

COMMITTENTE:



DIREZIONE INVESTIMENTI
DIREZIONE PROGRAMMI INVESTIMENTI
DIRETTRICE SUD - PROGETTO ADRIATICA

DIREZIONE LAVORI:



APPALTATORE:



PROGETTAZIONE:



PROGETTO ESECUTIVO

RIASSETTO NODO DI BARI

TRATTA A SUD DI BARI: VARIANTE DI TRACCIATO TRA BARI CENTRALE E BARI TORRE A MARE

FV03 – FERMATA TRIGGIANO
RELAZIONE DI CALCOLO PENSILINA

APPALTATORE	PROGETTAZIONE	SCALA:
DIRETTORE TECNICO D'Agostino Angelo Antonio Costruzioni Generali s.r.l. (data e firma)	DIRETTORE DELLA PROGETTAZIONE Ing. M. RASIMELLI (data e firma)	---

COMMESSA	LOTTO	FASE	ENTE	TIPO DOC.	OPERA / DISCIPLINA	PROGR.	REV.
IA3S	01	E	ZZ	CL	FV030C	001	C

Rev.	Descrizione	Redatto	Data	Verificato	Data	Approvato	Data	Autorizzato/Data
A	EMISSIONE ESECUTIVA	D. SALZILLO	17/04/2021	G. MENNILLO	19/04/2021	M. RASIMELLI	21/04/2021	 05/01/2022
B	Revisione per RdV IA3S-RV-0000000079	D. SALZILLO	29/09/2021	G. MENNILLO	01/10/2021	M. RASIMELLI	05/10/2021	
C	Revisione per RdV IA3S-RV-0000000251	D. SALZILLO	28/12/2021	G. MENNILLO	30/12/2021	M. RASIMELLI	03/01/2022	

APPALTATORE: D'AGOSTINO ANGELO ANTONIO COSTRUZIONI GENERALI s.r.l.	RIASSETTO NODO DI BARI					
PROGETTISTA: Mandataria: Mandante: RPA srl Technital SpA HUB Engineering Scarl	TRATTA A SUD DI BARI – VARIANTE DI TRACCIATO TRA BARI CENTRALE E BARI TORRE A MARE					
PROGETTO ESECUTIVO: Relazione di calcolo pensilina	PROGETTO	LOTTO	CODIFICA	DOCUMENTO	REV.	FOGLIO
	IA3S	01	E ZZ CL	FV030C 001	C	2 DI 129

INDICE

1. PREMESSA	4
2. NORME DI RIFERIMENTO	6
3. VITA NOMINALE, CLASSI D'USO E PERIODO DI RIFERIMENTO.....	7
4. MATERIALI.....	8
4.1 Calcestruzzo strutture di fondazione C25/30	8
4.2 Acciaio B450C per calcestruzzo armato	9
4.3 Copriferro minimo per opere in c.a.	10
4.4 Acciaio per carpenteria metallica.....	11
4.5 Bulloni di collegamento classe 8.8.....	11
4.6 Saldature.....	11
5. TERRENO DI FONDAZIONE.....	12
6. ANALISI DEI CARICHI	13
6.1 Pesi propri.....	13
6.2 Carichi permanenti non strutturali.....	13
6.3 Sovraccarichi accidentali.....	13
6.4 Azione termica	13
6.5 Carico da neve	13
6.6 Carico da vento	14
6.7 Effetti aerodinamici associati al passaggio dei treni.....	16
6.8 Trazione elettrica.....	17
6.9 Azione sismica	18
6.9.1 Combinazioni del Sisma in X e Y e Verticale	25
6.10 Combinazioni	25
7. INDICAZIONI SUL SOFTWARE UTILIZZATO.....	41
8. SCHEMA DI CALCOLO E CALCOLO DELLE SOLLECITAZIONI.....	42
8.1 Modellazione FEM.....	42
8.2 Modi di vibrare, masse modali e coefficienti di partecipazione modale	46
8.3 Criteri di verifica	50
8.3.1 Verifiche agli stati limite di esercizio	51
8.3.2 Verifiche agli stati limite ultimi.....	51
8.3.3 Parametri di verifica.....	51
8.4 Armature, deformate ed involuppo diagrammi delle sollecitazioni.....	57
8.5 Verifiche elementi principali	64
8.5.1 Pilastro HE260B.....	67
8.5.2 Trave HE260B.....	69

APPALTATORE: D'AGOSTINO ANGELO ANTONIO COSTRUZIONI GENERALI s.r.l.	RIASSETTO NODO DI BARI					
PROGETTISTA: <u>Mandataria:</u> <u>Mandante:</u> RPA srl Technital SpA HUB Engineering Scarl	TRATTA A SUD DI BARI – VARIANTE DI TRACCIATO TRA BARI CENTRALE E BARI TORRE A MARE					
PROGETTO ESECUTIVO: Relazione di calcolo pensilina	PROGETTO	LOTTO	CODIFICA	DOCUMENTO	REV.	FOGLIO
	IA3S	01	E ZZ CL	FV030C 001	C	3 DI 129

8.5.3	Travi HE220B.....	74
8.5.4	Arcareccio IPE100.....	76
8.5.5	Tirante controvento	77
8.6	Verifica Spostamento SLD	78
8.7	Verifica spostamento SLO.....	78
8.8	Verifica spostamenti laterali delle colonne in acciaio secondo NTC.....	79
8.9	Verifica Plinti	80
8.10	Verifica Nodo di base	100
8.10.1	Geometria	102
8.10.2	Proprietà materiali	103
8.10.3	Risultati dell'analisi	103
9.	COEFFICIENTI DI SICUREZZA RAGGIUNTI.....	105
10.	ALLEGATO FASCICOLO DEI CALCOLI	129

APPALTATORE: D'AGOSTINO ANGELO ANTONIO COSTRUZIONI GENERALI s.r.l.	RIASSETTO NODO DI BARI					
PROGETTISTA: Mandataria: Mandante: RPA srl Technital SpA HUB Engineering Scarl	TRATTA A SUD DI BARI – VARIANTE DI TRACCIATO TRA BARI CENTRALE E BARI TORRE A MARE					
PROGETTO ESECUTIVO: Relazione di calcolo pensilina	PROGETTO	LOTTO	CODIFICA	DOCUMENTO	REV.	FOGLIO
	IA3S	01	E ZZ CL	FV030C 001	C	4 DI 129

1. PREMESSA

Nell'ambito della progettazione della variante di tracciato tra Bari Centrale e Bari Torre a Mare è prevista la realizzazione di una nuova fermata nel comune di Triggiano.

La presente relazione definisce i dati di calcolo e le risultanze dell'analisi delle pensiline in acciaio di copertura delle rampe e delle scale di collegamento del sottopasso alle due banchine in progetto.

Le due differiscono solo per una campata. Nella presente relazione si analizza la struttura di maggiori dimensioni.

La pianta della copertura ha una forma rettangolare di dimensioni 83.00 m x 11.00 m e un'altezza di 5.10 m dal piano ferro.

La struttura portante di copertura è costituita da:

- N°2 travi principali di sezione HEB260 di interasse 4.50m che collegano la testa dei pilastri nella direzione longitudinale della pensilina;
- N°45 travi HEB220, con interasse di 1.80m, che costituiscono la struttura principale nella direzione trasversale della pensilina;
- Elementi secondari composti da profilati IPE100, collegate alle precedenti.

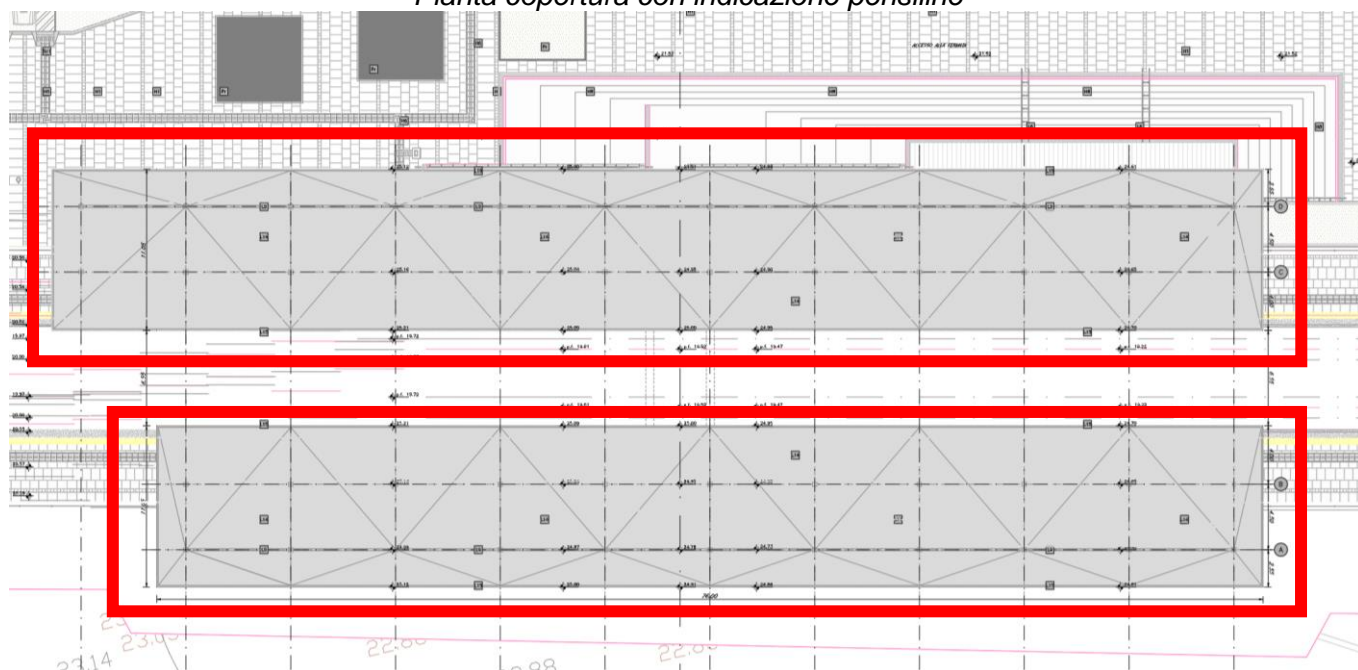
Completano la struttura una trave di chiusura perimetrale di sezione UPN 260, controventi costituiti da barre di sezione circolare Ø20 e copertura in lamiera grecata.

La pensilina risulta in parte collegata alle strutture interrate in calcestruzzo (rampe disabili e scale) ed in parte su plinti e muri di sostegno; di questi, solo i plinti saranno analizzati nel presente documento mentre, per le restanti strutture si rimanda ai documenti specifici. La connessione di base dei pilastri sarà realizzata con piastra in acciaio 50x40x3cm e n°8 tirafondi Ø20 di lunghezza 0.80.

I plinti hanno forma rettangolare di dimensioni pari a 1.80x1.80 m per un'altezza di 0.40m ed un dado di 0.80x0.80m per un'altezza di 0.90m. Gli stessi poggiano su uno strato di magrone di spessore 0.20m con dimensioni in pianta 2.00x2.00 m.

Per maggiore chiarezza si riportano alcuni stralci dei grafici architettonici e strutturali.

Pianta copertura con indicazione pensiline



APPALTATORE:
D'AGOSTINO ANGELO ANTONIO COSTRUZIONI
GENERALI s.r.l.

RIASSETTO NODO DI BARI

PROGETTISTA:

Mandataria: Mandante:

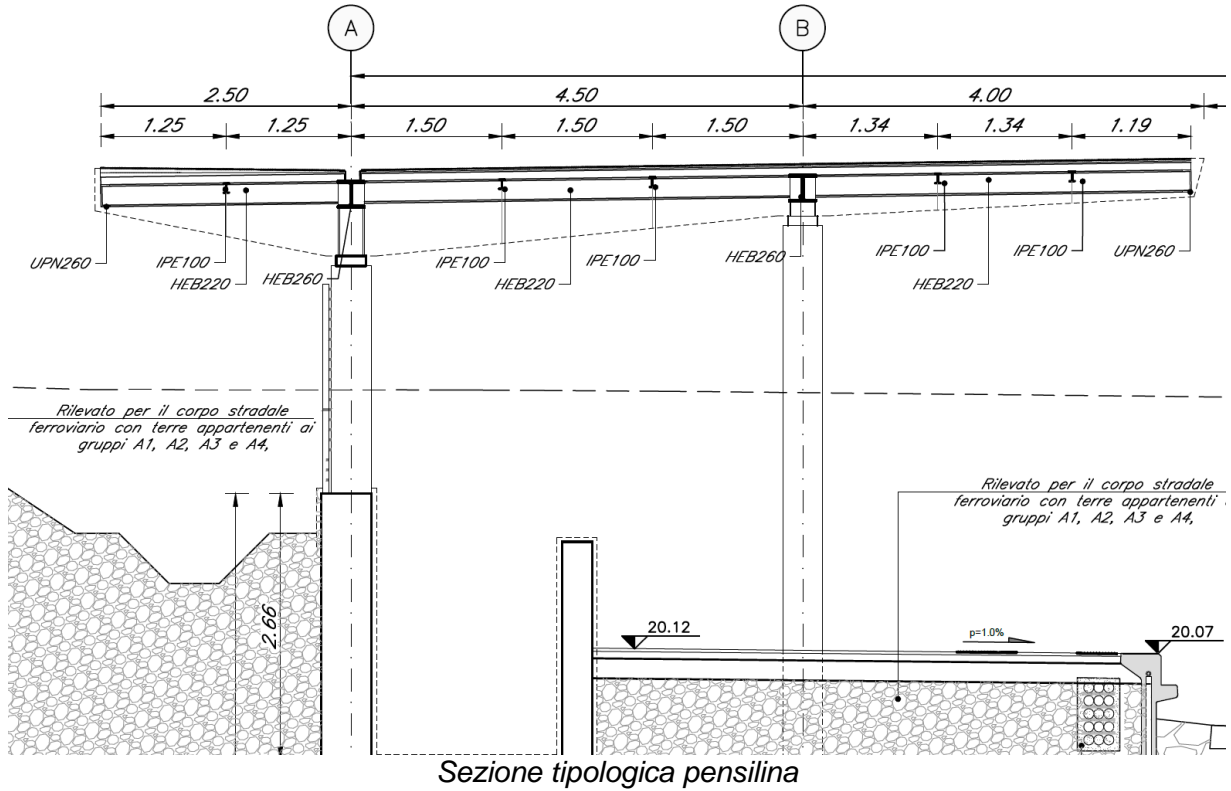
RPA srl Technital SpA HUB Engineering Scarl

TRATTA A SUD DI BARI – VARIANTE DI TRACCIATO TRA
BARI CENTRALE E BARI TORRE A MARE

PROGETTO ESECUTIVO:

Relazione di calcolo pensilina

PROGETTO	LOTTO	CODIFICA	DOCUMENTO	REV.	FOGLIO
IA3S	01	E ZZ CL	FV030C 001	C	5 DI 129



APPALTATORE: D'AGOSTINO ANGELO ANTONIO COSTRUZIONI GENERALI s.r.l.	RIASSETTO NODO DI BARI					
PROGETTISTA: Mandataria: Mandante: RPA srl Technital SpA HUB Engineering Scarl	TRATTA A SUD DI BARI – VARIANTE DI TRACCIATO TRA BARI CENTRALE E BARI TORRE A MARE					
PROGETTO ESECUTIVO: Relazione di calcolo pensilina	PROGETTO	LOTTO	CODIFICA	DOCUMENTO	REV.	FOGLIO
	IA3S	01	E ZZ CL	FV030C 001	C	6 DI 129

2. NORME DI RIFERIMENTO

Nel seguente elenco sono riportate le norme di riferimento secondo le quali sono state condotte le fasi di calcolo e verifica degli elementi strutturali:

Legge 5 novembre 1971 n. 1086 (G. U. 21 dicembre 1971 n. 321)

“Norme per la disciplina delle opere di conglomerato cementizio armato, normale e precompresso ed a struttura metallica”

Legge 2 febbraio 1974 n. 64 (G. U. 21 marzo 1974 n. 76)

“Provvedimenti per le costruzioni con particolari prescrizioni per le zone sismiche”

D.M. 14.01.2008 ("Nuove norme tecniche per le costruzioni")

Nel seguito denominate NT (norme tecniche)

Circolare 2 febbraio 2009 n°617

Istruzioni per l'applicazione delle “Nuove norme tecniche per le costruzioni” di cui al decreto ministeriale

UNI EN 1992-1-1

Progettazione delle strutture di calcestruzzo

UNI EN 206-1-2016

Calcestruzzo: specificazione, prestazione, produzione e conformità

REGOLAMENTO UE N.1299/2014 della COMMISSIONE del 18 novembre 2014 e successivo
REGOLAMENTO DI ESECUZIONE (UE) 2019/776 DELLA COMMISSIONE del 16 maggio 2019

Norme tecniche, circolari e istruzioni Rete Ferroviaria Italiana

RFI DTC INC CS LG IFS 001 A

Linee guida per il collaudo statico delle opere in terra

RFI DTC INC CS SP IFS 001 A

Specifica per la progettazione geotecnica delle opere civili ferroviarie

RFI DTC INC PO SP IFS 001 A

Specifica per la progettazione e l'esecuzione dei ponti ferroviari e di altre opere minori sotto binario

RFI DTC INC PO SP IFS 002 A

Specifica per la progettazione e l'esecuzione di cavalcavia e passerelle pedonali sulla sede ferroviaria

RFI DTC INC PO SP IFS 003 A

Specifica per la verifica a fatica dei ponti ferroviari

RFI DTC INC PO SP IFS 004 A

Specifica per la progettazione e l'esecuzione di impalcati ferroviari a travi in ferro a doppio T incorporate nel calcestruzzo

RFI DTC INC PO SP IFS 005 A

Specifica per il progetto, la produzione, il controllo della produzione e la posa in opera dei dispositivi di vincolo e dei coprigiunti degli impalcati ferroviari e dei cavalcavia.

APPALTATORE: D'AGOSTINO ANGELO ANTONIO COSTRUZIONI GENERALI s.r.l.	RIASSETTO NODO DI BARI					
PROGETTISTA: Mandataria: Mandante: RPA srl Technital SpA HUB Engineering Scarl	TRATTA A SUD DI BARI – VARIANTE DI TRACCIATO TRA BARI CENTRALE E BARI TORRE A MARE					
PROGETTO ESECUTIVO: Relazione di calcolo pensilina	PROGETTO IA3S	LOTTO 01	CODIFICA E ZZ CL	DOCUMENTO FV030C 001	REV. C	FOGLIO 7 DI 129

3. VITA NOMINALE, CLASSI D'USO E PERIODO DI RIFERIMENTO

La costruzione in oggetto è definita dalla seguente tipologia (p.to 2.4 delle NT):

Vita della struttura	
Tipo	Opere ordinarie (50-100)
Vita nominale VN [anni]	75.0
Classe d'uso	III
Coefficiente d'uso CU	1.500
Periodo di riferimento VR [anni]	112.500
Probabilità di superamento PVR allo Stato limite di esercizio - SLD	81.0%
Probabilità di superamento PVR allo Stato limite di esercizio - SLD	63.0%
Probabilità di superamento PVR allo Stato limite ultimo - SLV	10.0%
Periodo di ritorno TR SLO [anni]	67.7
Periodo di ritorno TR SLD [anni]	75.4
Periodo di ritorno TR SLV [anni]	1067.8

Per maggiori dettagli riguardo l'azione sismica si veda la definizione degli spettri di risposta

APPALTATORE: D'AGOSTINO ANGELO ANTONIO COSTRUZIONI GENERALI s.r.l.	RIASSETTO NODO DI BARI					
PROGETTISTA: Mandataria: Mandante: RPA srl Technital SpA HUB Engineering Scarl	TRATTA A SUD DI BARI – VARIANTE DI TRACCIATO TRA BARI CENTRALE E BARI TORRE A MARE					
PROGETTO ESECUTIVO: Relazione di calcolo pensilina	PROGETTO	LOTTO	CODIFICA	DOCUMENTO	REV.	FOGLIO
	IA3S	01	E ZZ CL	FV030C 001	C	8 DI 129

4. MATERIALI

Per la realizzazione dell'opera in oggetto saranno impiegati i seguenti materiali, di cui si riportano nell'ordine le proprietà meccaniche adottate nel calcolo elastico e le resistenze di calcolo per le verifiche di sicurezza. Tutti i materiali impiegati dovranno essere comunque verificati con opportune prove di laboratorio secondo le prescrizioni della vigente Normativa.

4.1 Calcestruzzo strutture di fondazione C25/30

Ai fini della valutazione del comportamento e della resistenza delle strutture in calcestruzzo, questo viene identificato mediante la classe di resistenza contraddistinta dai valori caratteristici delle resistenze cilindrica e cubica a compressione uniassiale, misurate rispettivamente su provini cilindrici e cubici, espressa in MPa. Alla tabella 4.1.I delle NTC sono riportate le classi di resistenza. Per l'opera di fondazione della strutturale in esame si utilizza calcestruzzo **C25/30**. Con riferimento alla normativa vigente si riportano le caratteristiche del materiale utilizzo.

[NTC – 4.1.2.1.1.1] La resistenza di calcolo a compressione del calcestruzzo f_{cd} è calcolata:

$$f_{cd} = \frac{f_{ck} \cdot \alpha_{cc}}{1.5} = 14.17 MPa$$

dove:

- α_{cc} è il coefficiente che tiene conto degli effetti di lunga durata sulla resistenza a compressione, pari a 0.85;
- γ_c è il coefficiente parziale di sicurezza relativo al calcestruzzo, pari a 1.5;
- f_{ck} è la resistenza caratteristica cilindrica a compressione del calcestruzzo a 28 giorni.

[NTC – 11.2.10.3] Per modulo elastico del calcestruzzo, in sede di progettazione, si può assumere:

$$E_{cm} = 22.000 \cdot \left(\frac{f_{cm}}{10}\right)^{0.3} = 22.000 \cdot \left(\frac{33}{10}\right)^{0.3} = 31476 MPa$$

dove f_{cm} è il valore medio della resistenza cilindrica, calcolato come segue:

$$f_{cm} = f_{ck} + 8 = 25 + 8 = 33 MPa$$

[NTC – 4.1.2.1.1.2] La resistenza di calcolo a trazione f_{ctd} è definita come:

$$f_{ctd} = \frac{f_{ctk}}{\gamma_c} = \frac{0.7 \cdot f_{ctm}}{\gamma_c} = \frac{0.7 \cdot 0.30 \cdot f_{ck}^{2/3}}{\gamma_c} = 1.20 MPa$$

dove [NTC – 11.2.10.2]:

- f_{ctk} è la resistenza caratteristica a trazione del calcestruzzo

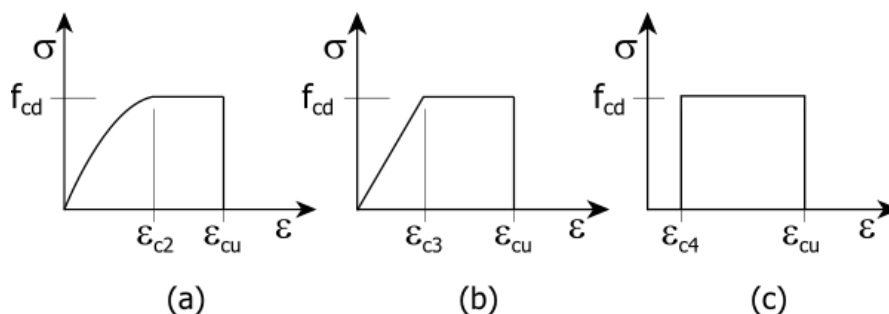
$$f_{ctk} = 0.7 \cdot f_{ctm} = 1.79 MPa$$

- f_{ctm} è la resistenza media a trazione semplice (assiale) per classi inferiori o uguali a C50/60.

$$f_{ctm} = 0.30 \cdot f_{ck}^{2/3} = 2.56 MPa$$

I diagrammi costitutivi del calcestruzzo e dell'acciaio per calcestruzzo sono stati adottati in conformità alle indicazioni riportate al punto 4.1.2.1.2 delle NT; in particolare per le verifiche delle sezioni in calcestruzzo armato è stato adottato il modello di calcestruzzo riportato in (a) della figura seguente:

APPALTATORE: D'AGOSTINO ANGELO ANTONIO COSTRUZIONI GENERALI s.r.l.	RIASSETTO NODO DI BARI					
PROGETTISTA: Mandataria: Mandante: RPA srl Technital SpA HUB Engineering Scarl	TRATTA A SUD DI BARI – VARIANTE DI TRACCIATO TRA BARI CENTRALE E BARI TORRE A MARE					
PROGETTO ESECUTIVO: Relazione di calcolo pensilina	PROGETTO	LOTTO	CODIFICA	DOCUMENTO	REV.	FOGLIO
	IA3S	01	E ZZ CL	FV030C 001	C	9 DI 129



Diagrammi di calcolo tensione/deformazione del calcestruzzo - a) parabola-rettangolo; b) triangolo-rettangolo; c) rettangolo (stress-block)

Nelle verifiche allo stato limite di esercizio, la massima tensione di compressione del calcestruzzo σ_c deve rispettare le seguenti limitazione [NTC – 4.1.2.2.5.1]:

$$\sigma_c < 0.60 \cdot f_{ck} = 15.00 \text{ MPa (Condizione caratteristica rara)}$$

$$\sigma_c < 0.45 \cdot f_{ck} = 11.25 \text{ MPa (Condizione caratteristica quasi permanente)}$$

Le strutture di progetto saranno soggette alle intemperie e/o interrate. La classe di esposizione del calcestruzzo utilizzata è **XC2** (calcestruzzo armato ordinario prevalentemente immerso in terreno non aggressivo), in accordo con la tabella 4.1.III delle NTC.

4.2 Acciaio B450C per calcestruzzo armato

Le norme prescrivono, per il calcestruzzo armato, l'utilizzo di armature di classe B450C. Tali armature hanno una resistenza f_{yd} , riferita alla tensione di snervamento [NTC – 4.1.6]:

$$f_{yd} = \frac{f_{yk}}{1.15} = 391.3 \text{ MPa}$$

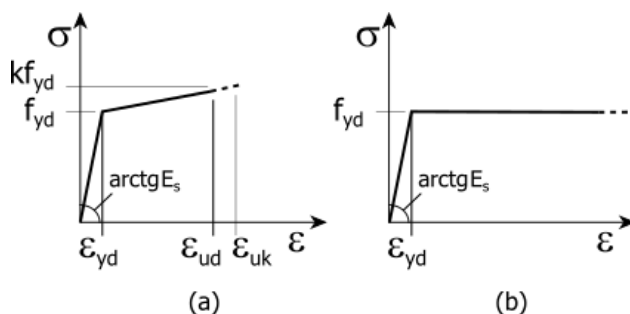
Dove

- γ_s è il coefficiente parziale di sicurezza relativo all'acciaio, pari ad 1,15 per tutti i tipi di acciaio;
- f_{yk} per armatura ordinaria è la tensione caratteristica di snervamento dell'acciaio [NTC – 11.3.2].

[NTC – 11.3.4.1] In sede di progettazione si può assumere convenzionalmente il valore nominale del modulo elastico, pari a:

$$E_s = 210000 \text{ MPa}$$

I diagrammi costitutivi dell'acciaio per calcestruzzo sono stati adottati in conformità alle indicazioni riportate al punto 4.1.2.1.2 delle NT



Diagrammi di calcolo tensione/deformazione dell'acciaio per calcestruzzo.

APPALTATORE: D'AGOSTINO ANGELO ANTONIO COSTRUZIONI GENERALI s.r.l.	RIASSETTO NODO DI BARI					
PROGETTISTA: Mandatario: Mandante: RPA srl Technital SpA HUB Engineering Scarl	TRATTA A SUD DI BARI – VARIANTE DI TRACCIATO TRA BARI CENTRALE E BARI TORRE A MARE					
PROGETTO ESECUTIVO: Relazione di calcolo pensilina	PROGETTO IA3S	LOTTO 01	CODIFICA E ZZ CL	DOCUMENTO FV030C 001	REV. C	FOGLIO 10 DI 129

4.3 Copriferro minimo per opere in c.a.

Per garantire la durabilità delle strutture in calcestruzzo armato ordinario o precompresso, esposte all'azione dell'ambiente, si devono adottare i provvedimenti atti a limitare gli effetti di degrado indotti dall'attacco chimico, fisico e derivante dalla corrosione delle armature e dai cicli di gelo e disgelo.

A tal fine in fase di progetto la prescrizione, valutate opportunamente le condizioni ambientali del sito ove sorgerà la costruzione o quelle di impiego, deve fissare le caratteristiche del calcestruzzo da impiegare (composizione e resistenza meccanica), i valori del copriferro e le regole di maturazione.

Per copriferro delle armature si intende la distanza tra la superficie esterna dell'armatura, inclusi collegamenti e staffe, e la superficie di calcestruzzo più vicina. La protezione dell'armatura contro la corrosione si basa sulla presenza continua di un ambiente alcalino ottenuto con un adeguato spessore di calcestruzzo di buona qualità, correttamente maturato. Lo spessore di copriferro dipende sia dalle condizioni ambientali che dalla qualità del calcestruzzo.

Pertanto, il progetto dovrà contenere tutte le indicazioni costruttive per realizzare e controllare il copriferro.

Il copriferro nominale, in accordo all'EC2, si può calcolare come segue:

$$C_{nom} = C_{min} + \Delta C_{dev}$$

dove:

- C_{nom} è il valore nominale di progetto;
- C_{min} è il valore minimo del copriferro;
- ΔC_{dev} è la tolleranza di esecuzione relativa al copriferro.

Il valore della tolleranza di esecuzione ΔC_{dev} , è assunto di norma pari a 10 mm, ma se in cantiere si prevedono controlli di qualità che comportano la misura dei copriferri, può assumersi $\Delta C_{dev}=5$ mm. Nel caso specifico si considera pari a 10mm.

Il valore minimo del copriferro è dato da:

$$C_{min} = \text{MAX} (C_{min,b} ; C_{min,dur} ; 10 \text{ mm})$$

dove:

- $C_{min,b}$ è il copriferro minimo necessario per l'aderenza delle armature;
- $C_{min,dur}$ è il copriferro minimo correlato alle condizioni ambientali (durabilità).

Il valore di $C_{min,b}$ è da assumersi pari al diametro della barra. Se la dimensione dell'inerte è più grande di 32 mm, il valore di $C_{min,b}$ deve essere maggiorato di 5 mm.

Le dimensioni minima da assumere per il copriferro in relazione alle condizioni ambientali ($C_{min,dur}$), sono funzione della classe strutturale e della classe ambientale e si ricavano dalla tabella 4.4N dell'Eurocodice 2 che qui si riporta.

Tab. 4.4 N - Copriferro minimo richiesto (mm)							
Classe Strutturale	Classi di esposizione ambientale in accordo con il prospetto 4.1						
	X0	XC1	XC2 /XC3	XC4	XD1 / XS1	XD2 / XS2	XD3 / XS3
S1	10	10	10	15	20	25	30
S2	10	10	15	20	25	30	35
S3	10	10	20	25	30	35	40
S4	10	15	25	30	35	40	45
S5	15	20	30	35	40	45	50
S6	20	25	35	40	45	50	55

La classe strutturale da prendere normalmente a riferimento per gli edifici è la S4 (vita media di progetto della struttura 50 anni).

APPALTATORE: D'AGOSTINO ANGELO ANTONIO COSTRUZIONI GENERALI s.r.l.	RIASSETTO NODO DI BARI					
PROGETTISTA: Mandataria: Mandante: RPA srl Technital SpA HUB Engineering Scarl	TRATTA A SUD DI BARI – VARIANTE DI TRACCIATO TRA BARI CENTRALE E BARI TORRE A MARE					
PROGETTO ESECUTIVO: Relazione di calcolo pensilina	PROGETTO IA3S	LOTTO 01	CODIFICA E ZZ CL	DOCUMENTO FV030C 001	REV. C	FOGLIO 11 DI 129

A partire dalla classe strutturale di progetto della struttura, per il dimensionamento del copriferro minimo può farsi riferimento ad altre classi strutturali qualora sussistano le condizioni riportate nella tabella 4.3N a cui si rimanda.

Per le fondazioni, per classe di esposizione XC2 si considera un copriferro minimo pari a 25mm. A questi è stata aggiunta la tolleranza di 10mm ed un ulteriore incremento di 5mm per elementi interrati. In conclusione, si considera un copriferro di **40mm**.

4.4 Acciaio per carpenteria metallica

I requisiti per l'esecuzione di strutture di acciaio, al fine di assicurare un adeguato livello di resistenza meccanica e stabilità, di efficienza e di durata, devono essere conformi alle UNI EN 1090-2:2011, "Esecuzione di strutture di acciaio e di alluminio – Parte 2: Requisiti tecnici per strutture di acciaio", per quanto non in contrasto con le Norme tecniche.

Per la realizzazione di strutture metalliche e di strutture composte si dovranno utilizzare acciai conformi alle norme armonizzate UNI EN 10025-1, UNI EN 10210-1 e UNI EN 10219-1, recanti la Marcatura CE, cui si applica il sistema di valutazione e verifica della costanza della prestazione 2+, e per i quali si rimanda a quanto specificato al punto A del § 11.1 della norma tecnica.

Per le pensiline, oggetto principale di analisi della presente relazione, si è scelto di utilizzare acciaio S275J0 classificato secondo la UNI EN 10025-2 per profili a sezione aperta.

In sede di progettazione si possono assumere nei calcoli i valori nominali delle tensioni caratteristiche di snervamento f_{yk} e di rottura f_{tk} riportati di seguito:

$$f_{yk} = 275MPa$$

$$f_{tk} = 430MPa$$

Il modulo elastico dell'acciaio è:

$$E_s = 210000MPa$$

Il modulo di elasticità trasversale è pari a:

$$G = 80769.23MPa$$

Le stesse caratteristiche saranno considerate per le piastre di collegamento.

4.5 Bulloni di collegamento classe 8.8

Caratteristiche dimensionali conformi alle norme UNI EN ISO 4016:2011

Viti conformi alle norme UNI EN ISO 898-1:2009

Dadi conformi alla norma UNI EN 898-2:2012

Rosette in acciaio C 50 UNI EN 10083-2-2006 temperato e rinvenuto HCR 32-40

Piastrine in acciaio C 50 UNI EN 10083-2-2006 temperato e rinvenuto HCR 32-40

Classe bulloni	Classe dado	f_{yb}	f_{tb}	α_v	γ_{M2}	γ_{M3}	$\gamma_{M6,ser}$	γ_{M7}
		[MPa]	[MPa]					
8.8	8	640.00	800.00	0.6	1.25	1.25	1.00	1.10

4.6 Saldature

Le saldature dovranno essere eseguite secondo i procedimenti omologati e qualificati previsti dalle Norme tecniche NTC2008.

APPALTATORE: D'AGOSTINO ANGELO ANTONIO COSTRUZIONI GENERALI s.r.l.	RIASSETTO NODO DI BARI					
PROGETTISTA: Mandataria: Mandante: RPA srl Technital SpA HUB Engineering Scarl	TRATTA A SUD DI BARI – VARIANTE DI TRACCIATO TRA BARI CENTRALE E BARI TORRE A MARE					
PROGETTO ESECUTIVO: Relazione di calcolo pensilina	PROGETTO IA3S	LOTTO 01	CODIFICA E ZZ CL	DOCUMENTO FV030C 001	REV. C	FOGLIO 12 DI 129

5. TERRENO DI FONDAZIONE

Il piano di posa dei plinti avrà una quota, rispetto al piano campagna esistente, pari a minimo -3.55m. Alla detta quota è previsto un getto di calcestruzzo magro (magrone) di spessore 0.10m.

Dalla documentazione geologica risulta che il terreno presenta n°3 strati di cui il primo, costituito da terreno vegetale, sarà completamente rimosso per raggiungere la quota di fondazione.

Dalle risultanze delle prove MASW lo stesso rientra nella **categoria A** (Tab. 3.2.11 della NT) in quanto presenta velocità di onde di taglio superiori a 800m/s; i parametri geotecnici adottati, in maniera cautelativa nell'analisi sono i seguenti:

N°	s	γ	ϕ	c	E'	ν_u	k_0	Note
	[cm]	[t/m ³]	[°]	[t/m ²]	[t/m ²]		MPa	
1	200	2.0	32	1.00	2000	0.3		Calcareniti di Gravina (GRAalt)
2	2000	2.3	36	2.00	4000	0.3		Calcere di Bari (CBA)

N° = Numero strato, s = spessore, γ = peso specifico, c = coesione, E_{ed} = modulo edometrico, ν_u = coefficiente di Poisson

Nel caso non si dovesse riscontrare, per tutta l'estensione della fondazione, la presenza di terreno con caratteristiche assimilabili a calcarenite di Gravina, si dovrà eseguire l'asporto dello stesso e la sostituzione, fino a quota fondazione, con misto cementato adeguatamente compattato fino ad ottenere quanto segue:

N°	s	γ	ϕ	c	E'	ν_u	k_0	Note
	[cm]	[t/m ³]	[°]	[t/m ²]	[t/m ²]		MPa	
1	200	2.0	35	0.00	1000	0.3		Misto cementato

Per la determinazione del carico limite del complesso terreno-fondazione, pertanto, si sono assunti i parametri fisico-meccanici precedentemente indicati. Per maggiori dettagli riguardo i parametri che caratterizzano il terreno si rimanda alla relazione geologica e a quella geotecnica.

APPALTATORE: D'AGOSTINO ANGELO ANTONIO COSTRUZIONI GENERALI s.r.l.	RIASSETTO NODO DI BARI					
PROGETTISTA: Mandataria: Mandante: RPA srl Technital SpA HUB Engineering Scarl	TRATTA A SUD DI BARI – VARIANTE DI TRACCIATO TRA BARI CENTRALE E BARI TORRE A MARE					
PROGETTO ESECUTIVO: Relazione di calcolo pensilina	PROGETTO IA3S	LOTTO 01	CODIFICA E ZZ CL	DOCUMENTO FV030C 001	REV. C	FOGLIO 13 DI 129

6. ANALISI DEI CARICHI

La valutazione dei carichi e dei sovraccarichi è stata effettuata in accordo con le disposizioni contenute nel D.M. 14.01.2008 ("Nuove norme tecniche per le costruzioni").

Il peso proprio degli elementi strutturali viene determinato automaticamente dal software in uso dopo aver impostato il peso specifico del materiale da costruzione utilizzato. Di seguito si riportano tutti i valori utilizzati.

6.1 Pesì propri

La struttura in elevazione è composta da elementi in acciaio il cui peso specifico è pari a:

$$\gamma_s = 7850 \text{ Kg/m}^3$$

Le strutture di fondazione sono in calcestruzzo armato il cui peso per unità di volume è pari a:

$$\gamma_{cls} = 2500 \text{ Kg/m}^3$$

6.2 Carichi permanenti non strutturali

I carichi permanenti non strutturali sono rappresentati dalla lamiera grecata di copertura e dal controsoffitto. In assenza di una scheda tecnica specifica della lamiera di copertura, della controsoffittatura ed altri rivestimenti, si è scelto di adottare un carico medio ricavato da diverse schede tecniche ed opportunamente incrementato. Per tale motivo si considera:

$$g_2 = QP \text{ Solai} = 50 \text{ Kg/m}^2$$

6.3 Sovraccarichi accidentali

I sovraccarichi accidentali (o carichi variabili) appartengono alla categoria H "Coperture accessibili per sola manutenzione e riparazione" (tab. 3.1.II della NT):

$$q = QV \text{ Solai} = 50 \text{ Kg/m}^2$$

Nelle combinazioni di carico riportate nei capitoli seguenti sono presenti i carichi "QV SolaiPsi0", "QV SolaiPsi1", e "QV SolaiPsi2" che rappresentano il sovraccarico accidentale ridotto secondo i coefficienti riportati alla tab. 2.5.I della NT ed impostati per ogni solaio presente nel modello.

6.4 Azione termica

Si considera una variazione termica uniforme pari a $DT = \pm 15^\circ\text{C}$.

6.5 Carico da neve

Per il carico da neve si considera quanto segue:

Provincia:	BARI
Zona:	2
Altitudine as:	30 m s.l.m.
Esposizione:	Normale
Periodo di ritorno:	50 anni

Il carico neve sulle coperture viene valutato con la seguente espressione [3.4.1. NT]:

$$q_s = q_{sk} \cdot \mu_i \cdot C_E \cdot C_t = 1.00 \cdot 0.8 \cdot 1.0 \cdot 1.0 = 0.8 \text{ kN/m}^2$$

dove:

- q_{sk} è il valore di riferimento del carico della neve al suolo, di cui al § 3.4.2 NT;

APPALTATORE: D'AGOSTINO ANGELO ANTONIO COSTRUZIONI GENERALI s.r.l.	RIASSETTO NODO DI BARI					
PROGETTISTA: Mandataria: Mandante: RPA srl Technital SpA HUB Engineering Scarl	TRATTA A SUD DI BARI – VARIANTE DI TRACCIATO TRA BARI CENTRALE E BARI TORRE A MARE					
PROGETTO ESECUTIVO: Relazione di calcolo pensilina	PROGETTO	LOTTO	CODIFICA	DOCUMENTO	REV.	FOGLIO
	IA3S	01	E ZZ CL	FV030C 001	C	14 DI 129

- μ_i è il coefficiente di forma della copertura, di cui al § 3.4.3 NT;
- C_E è il coefficiente di esposizione di cui al § 3.4.4 NT;
- C_t è il coefficiente termico di cui al § 3.4.5 NT.

Nel caso in esame (copertura ad una falda), con angolo di inclinazione pari a 0.8° , è possibile considerare un coefficiente di forma:

$$\mu_1 = 0.8 \text{ per } 0^\circ \leq \alpha \leq 30^\circ \text{ [Tab. 3.4.II NT]}$$

Inoltre, essendo la struttura in zona 2 (Fig. 3.4.1 NT – Zone di carico della neve), si può considerare:

$$q_{sk} = 1.00 \frac{kN}{m^2} \text{ per } a_s \leq 200 \text{ m [eq. 3.4.3 NT]}$$

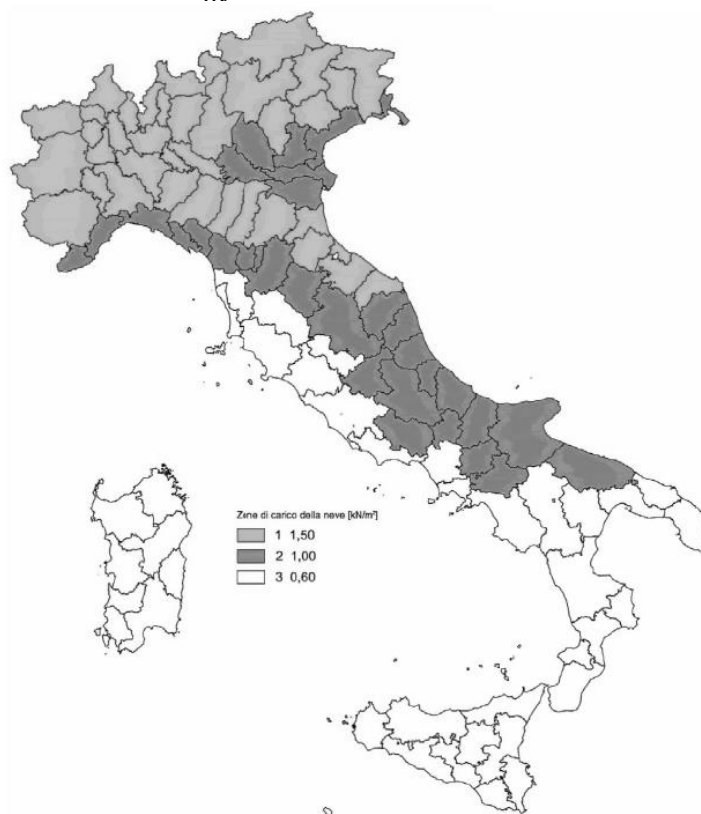


Fig. 3.4.1. NT – Zone di carico della neve

Si può considerare una esposizione topografica Normale - “Aree in cui non è presente una significativa rimozione di neve sulla costruzione prodotta dal vento, a causa del terreno, altre costruzioni o alberi” [Tab. 3.4.I NT] per cui il coefficiente di esposizione C_E è pari a 1.0.

Il coefficiente termico, in assenza di uno specifico e documentato studio, deve essere posto C_t pari a 1.0.

6.6 Carico da vento

Per il carico da vento si è fatto riferimento a quanto riportato dalla circolare 2 febbraio 2009, n.617 (Istruzioni per l’applicazione delle “Nuove norme tecniche per le costruzioni” di cui al decreto ministeriale 14 gennaio 2008).

APPALTATORE: D'AGOSTINO ANGELO ANTONIO COSTRUZIONI GENERALI s.r.l.	RIASSETTO NODO DI BARI					
PROGETTISTA: Mandataria: Mandante: RPA srl Technital SpA HUB Engineering Scarl	TRATTA A SUD DI BARI – VARIANTE DI TRACCIATO TRA BARI CENTRALE E BARI TORRE A MARE					
PROGETTO ESECUTIVO: Relazione di calcolo pensilina	PROGETTO	LOTTO	CODIFICA	DOCUMENTO	REV.	FOGLIO
	IA3S	01	E ZZ CL	FV030C 001	C	15 DI 129

L'azione del vento viene calcolata come segue [3.3.4 NT]:

$$p = q_r \cdot c_e \cdot c_p \cdot c_d$$

dove

- q_r è la pressione cinetica di riferimento di cui al § 3.3.6 NT;
- c_e è il coefficiente di esposizione di cui al § 3.3.7 NT;
- c_p è il coefficiente di pressione di cui al § 3.3.8 NT;
- c_d è il coefficiente dinamico di cui al § 3.3.9 NT.

La pressione cinetica di riferimento q_r è data dall'espressione [3.3.6 NT]:

$$q_r = \frac{1}{2} \cdot \rho \cdot v_r^2$$

dove

- v_r è la velocità di riferimento del vento di cui al § 3.3.2 NT;
- ρ è la densità dell'aria assunta convenzionalmente costante e pari a $1,25 \text{ kg/m}^3$.

La struttura ricade in zona 3: "Toscana, Marche, Umbria, Lazio, Abruzzo, Molise, Puglia, Campania, Basilicata, Calabria (esclusa la provincia di Reggio Calabria) per cui si ha:

Zona	$V_{b,0}$ (m/s)	a_0 (m)	K_s
3	27	500	0.37

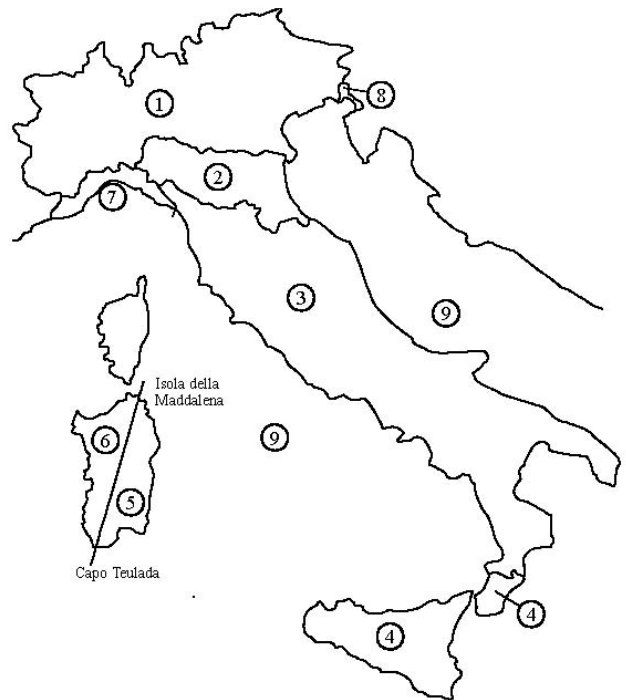
Inoltre, si può considerare una classe di rugosità del terreno tipo D non essendoci ostacoli diffusi. Quindi si ha:

Categoria di esposizione	K_r	z_0 (m)	z_{min} (m)
II	0.19	0.05	4

ZONE 1,2,3,4,5						
	costa			500 m	750 m	
	mare	2 km	10 km			
A	-	IV	IV	V	V	V
B	-	III	III	IV	IV	IV
C	-	*	III	III	IV	IV
D	I	II	II	II	III	**

* Categoria II in zona 1,2,3,4
Categoria III in zona 5

** Categoria III in zona 2,3,4,5
Categoria IV in zona 1



Per cui si ha:

Velocità base di riferimento del vento

$$v_b = v_{b,0} \cdot c_a = 27 \cdot 1 = 27 \text{ m/s}$$

$$c_a = 1 \quad \text{per} \quad a_s = 30 \leq a_0 = 500$$

Velocità di riferimento del vento

$$v_r = v_b \cdot c_t = 27 \cdot 1 = 27 \text{ m/s}$$

$$c_t = 1 \quad \text{per} \quad T_R = 50 \text{ anni}$$

Coefficiente dinamico

APPALTATORE: D'AGOSTINO ANGELO ANTONIO COSTRUZIONI GENERALI s.r.l.	RIASSETTO NODO DI BARI					
PROGETTISTA: Mandataria: Mandante: RPA srl Technital SpA HUB Engineering Scarl	TRATTA A SUD DI BARI – VARIANTE DI TRACCIATO TRA BARI CENTRALE E BARI TORRE A MARE					
PROGETTO ESECUTIVO: Relazione di calcolo pensilina	PROGETTO	LOTTO	CODIFICA	DOCUMENTO	REV.	FOGLIO
	IA3S	01	E ZZ CL	FV030C 001	C	16 DI 129

$$c_d = 1$$

Coefficiente di esposizione

$$c_e(z) = k_r^2 \cdot c_t \cdot \ln \frac{z}{z_0} \cdot \left(7 + c_t \cdot \ln \frac{z}{z_0} \right) = 1.80 \quad \text{per } z = 4m \geq z_{min} = 4m$$

Coefficiente di pressione

Il coefficiente richiede un maggiore approfondimento secondo la circolare esplicativa 617 del 02/02/2009. Nello specifico si è fatto riferimento al capitolo C3.3.10.3 "Tettoie e pensiline isolate".

La struttura in oggetto può essere assimilata ad una tettoia a due spioventi. Per semplicità di calcolo si è considerata la pendenza maggiore delle falde, pari a 5.5°.

In accordo alla circolare prima riportata è possibile considerare quanto segue:

Uno spiovente piano



$$C_p = \pm 1.30$$

Si ottiene quindi:

$$p = q_b \cdot c_p \cdot c_e \cdot c_d = 1071.81 Pa$$

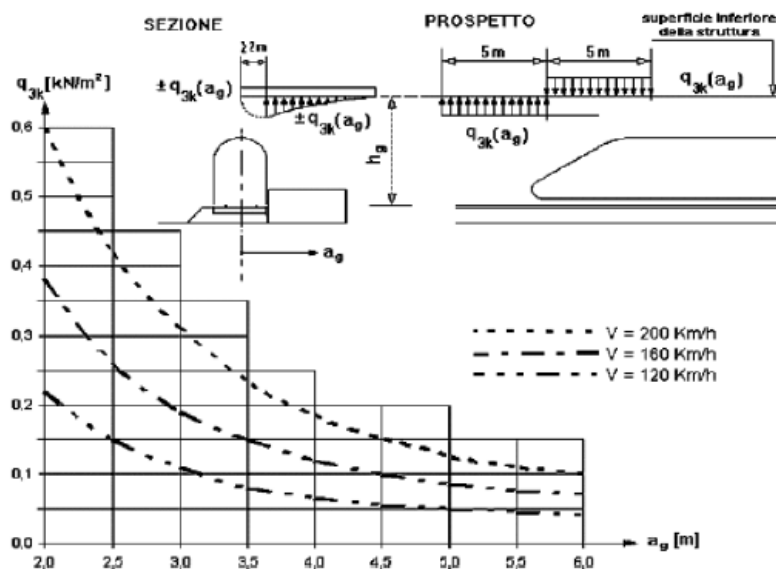
6.7 Effetti aerodinamici associati al passaggio dei treni

L'intensità della pressione da considerare, per tener conto degli effetti aerodinamici associati al passaggio dei convogli ferroviari viene determinata secondo quanto indicato nel punto 2.5.1.4.6. del Manuale, che riporta integralmente il contenuto del par.5.2.2.6.3 delle NT.

I valori caratteristici dell'azione $\pm q_{3k}$, relativi a superfici orizzontali adiacenti il binario, sono forniti in Fig. 5.2.10 e si applicano indipendentemente dalla forma aerodinamica del treno.

Per tutte le posizioni lungo le superfici da progettare, q_{3k} si determinerà come una funzione della distanza a_g dall'asse del binario più vicino.

APPALTATORE: D'AGOSTINO ANGELO ANTONIO COSTRUZIONI GENERALI s.r.l.	RIASSETTO NODO DI BARI					
PROGETTISTA: Mandataria: Mandante: RPA srl Technital SpA HUB Engineering Scarl	TRATTA A SUD DI BARI – VARIANTE DI TRACCIATO TRA BARI CENTRALE E BARI TORRE A MARE					
PROGETTO ESECUTIVO: Relazione di calcolo pensilina	PROGETTO	LOTTO	CODIFICA	DOCUMENTO	REV.	FOGLIO
	IA3S	01	E ZZ CL	FV030C 001	C	17 DI 129



Il valore massimo della pressione si ricava alla distanza minima dall'asse binario prescritta dalla normativa ($a_g=2m$), in corrispondenza della quale risulta, per velocità della linea pari a 120km/h:

Distanza dal P.F. della superficie inferiore della struttura	h_g	5.10	m
Distanza minima dall'asse binario	a_g	2.0	m
Velocità della linea	V	120.0	km/h
Pressione caratteristica	q_{3k}	± 0.22	kN/m

L'azione può essere ridotta, secondo quanto riportato dalla NT al paragrafo suddetto, di un coefficiente k_3 in quanto h_g supera i 3.80m:

$$k_3 = \frac{(7.5 - h_g)}{3.7} = \frac{(7.5 - 5.10)}{3.7} = 0.65$$

da cui si ottiene che:

$$q_{3k} = q'_{3k} \cdot k_3 = 0.22 \text{ kN/m}^2$$

6.8 Trazione elettrica

Come riportato nei grafici della trazione elettrica, sulle pensiline delle rampe per disabili saranno collocati dei supporti per la trazione elettrica.

Le azioni agenti in corrispondenza dell'incastro della palina TE (palina di sospensione normale) derivano dall'applicazione delle seguenti sollecitazioni:

- vento sulla palina, sulla mensola e sui conduttori;
- ghiaccio sui conduttori;
- carichi TE (pesi strutture/conduttori e tiri conduttori).

Le sollecitazioni trasmesse dalla palina sono:

Azioni	Combinazioni
--------	--------------

APPALTATORE: D'AGOSTINO ANGELO ANTONIO COSTRUZIONI GENERALI s.r.l.	RIASSETTO NODO DI BARI					
PROGETTISTA: Mandataria: Mandante: RPA srl Technital SpA HUB Engineering Scarl	TRATTA A SUD DI BARI – VARIANTE DI TRACCIATO TRA BARI CENTRALE E BARI TORRE A MARE					
PROGETTO ESECUTIVO: Relazione di calcolo pensilina	PROGETTO IA3S	LOTTO 01	CODIFICA E ZZ CL	DOCUMENTO FV030C 001	REV. C	FOGLIO 18 DI 129

	SLU	SLE
Azioni verticali – N	13.46 kN	9.34 kN
Azioni orizzontali perpendicolare all'asse del binario - V	13.77 kN	9.18 kN
Azioni orizzontali parallele all'asse del binario – L	4.255 kN	2.84 kN
Momento flettente avente asse perpendicolare all'asse del binario - MI	11.025 kNm	7.37 kNm
Momento flettente avente asse parallelo all'asse del binario - Mt	68.930 kNm	46.215 kNm

Inoltre, si deve considerare anche un evento eccezionale di rottura della catenaria. La forza trasmessa alla struttura in conseguenza di un simile evento si considererà come una forza di natura statica agente in direzione parallela all'asse dei binari, di intensità pari a 20KN e applicata sui sostegni alla quota del filo.

6.9 Azione sismica

L'azione sismica è stata valutata secondo le specifiche delle NTC2008.

Le azioni sismiche di progetto sono calcolate partendo dalla pericolosità sismica di base definita da uno studio condotto dall'INGV (Istituto nazionale di Geofisica e Vulcanologia) i cui risultati sono disponibili e consultabili mediante mappe interattive. Dalla pericolosità sismica di base si ricava la risposta sismica locale tenendo conto delle condizioni morfologiche e stratigrafiche del sito di costruzione. In questa sede, per la valutazione dell'azione sismica sulla struttura si procede con la definizione di uno spettro di risposta elastico in accelerazione, calcolato sulla base della pericolosità sismica di base definita dall'INGV. Il calcolo degli spettri di risposta si basa su tre parametri fondamentali che definiscono la pericolosità sismica di base:

- a_g accelerazione orizzontale massima al sito;
- F_0 valore massimo del fattore di amplificazione dello spettro in accelerazione orizzontale;
- T_c^* valore di riferimento per la determinazione del periodo di inizio del tratto a velocità costante dello spettro in accelerazione orizzontale.

L'espressione analitica dello spettro di risposta elastico in termini di accelerazione orizzontale è la seguente:

$$S_e(T) = a_g \cdot S \cdot \eta \cdot F_0 \cdot \left[\frac{T}{T_B} + \frac{1}{\eta \cdot F_0} \cdot \left(1 - \frac{T}{T_B} \right) \right] \quad 0 \leq T < T_B$$

$$S_e(T) = a_g \cdot S \cdot \eta \cdot F_0 \quad T_B \leq T < T_C$$

$$S_e(T) = a_g \cdot S \cdot \eta \cdot F_0 \cdot \frac{T T_C}{T} \quad T_C \leq T < T_D$$

$$S_e(T) = a_g \cdot S \cdot \eta \cdot F_0 \cdot \frac{T_B \cdot T_C}{T} \quad T_D \leq T$$

In cui

- $S = S_e \cdot S_T$
- S_s : coefficiente di amplificazione stratigrafica;
- S_T : coefficiente di amplificazione topografica.

APPALTATORE: D'AGOSTINO ANGELO ANTONIO COSTRUZIONI GENERALI s.r.l.	RIASSETTO NODO DI BARI					
PROGETTISTA: Mandataria: Mandante: RPA srl Technital SpA HUB Engineering Scarl	TRATTA A SUD DI BARI – VARIANTE DI TRACCIATO TRA BARI CENTRALE E BARI TORRE A MARE					
PROGETTO ESECUTIVO: Relazione di calcolo pensilina	PROGETTO IA3S	LOTTO 01	CODIFICA E ZZ CL	DOCUMENTO FV030C 001	REV. C	FOGLIO 19 DI 129

- η : fattore che tiene conto di un coefficiente di smorzamento viscoso equivalente ξ , espresso in punti percentuali diverso da 5 ($\eta=1$ per $\xi=5$):

$$\eta = \sqrt{\frac{10}{5 + \xi}} \geq 0.55$$

T_B , T_C , e T_D rappresentano i periodi che separano i diversi rami dello spettro e che sono pari a:

$$T_C = T_C \cdot T_C^*$$

$$T_B = \frac{T_C}{3}$$

$$T_D = 4.0 + \frac{a_g}{g} + 1.6$$

In cui:

- C_C : coefficiente che tiene conto della categoria del terreno;
- T_C^* : periodo di inizio del tratto a velocità costante dello spettro in accelerazione orizzontale.

Di seguito, in tabella, si riportano tutti i dati ed i parametri utilizzati per la definizione degli spettri di risposta.

Vita della struttura	
Tipo	Opere ordinarie (50-100)
Vita nominale VN [anni]	75.0
Classe d'uso	III
Coefficiente d'uso CU	1.500
Periodo di riferimento VR [anni]	112.500
Probabilità di superamento PVR allo Stato limite di esercizio - SLO	81.0%
Probabilità di superamento PVR allo Stato limite di esercizio - SLD	63.0%
Probabilità di superamento PVR allo Stato limite ultimo - SLV	10.0%
Periodo di ritorno TR SLO [anni]	67.7
Periodo di ritorno TR SLD [anni]	113.2
Periodo di ritorno TR SLV [anni]	1067.8
Parametri del sito	
Comune	Triggiano (BA)
Longitudine	16.9426
Latitudine	41.0875
Id reticolo del sito	31687-31909-31910-31688
Valori di riferimento del sito	
Accelerazione orizzontale massima del sito A_g/g - SLO (TR=67.7)	0.0337
Fattore di amplificazione dello spettro F_o - SLO (TR=67.7)	2.4283
Periodo di riferimento di inizio del tratto a velocità costante T^*C [s] - SLO (TR=67.7)	0.312
Accelerazione orizzontale massima del sito A_g/g - SLD (TR=113.2)	0.0399
Fattore di amplificazione dello spettro F_o - SLD (TR=113.2)	2.5325
Periodo di riferimento di inizio del tratto a velocità costante T^*C [s] - SLD (TR=113.2)	0.353
Accelerazione orizzontale massima del sito A_g/g - SLV (TR=1067.8)	0.0839
Fattore di amplificazione dello spettro F_o - SLV (TR=1067.8)	2.7256
Periodo di riferimento di inizio del tratto a velocità costante T^*C [s] - SLV (TR=1067.8)	0.553
Coefficiente Amplificazione Topografica S_t	1.000
Categoria terreno	A
Stato limite SLV	
Coefficiente di amplificazione stratigrafica S_s	1.00

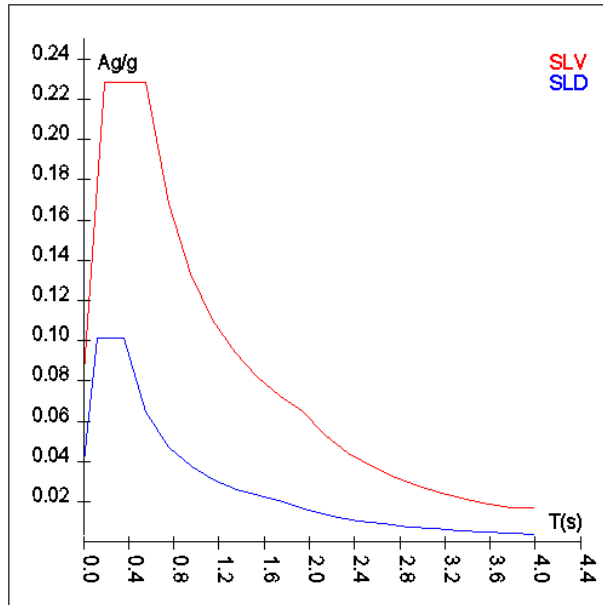
APPALTATORE: D'AGOSTINO ANGELO ANTONIO COSTRUZIONI GENERALI s.r.l.	RIASSETTO NODO DI BARI					
PROGETTISTA: Mandataria: Mandante: RPA srl Technital SpA HUB Engineering Scarl						
PROGETTO ESECUTIVO: Relazione di calcolo pensilina	PROGETTO	LOTTO	CODIFICA	DOCUMENTO	REV.	FOGLIO
	IA3S	01	E ZZ CL	FV030C 001	C	20 DI 129

Periodo di inizio del tratto ad accelerazione costante dello spettro TB [s]	0.18
Periodo di inizio del tratto a velocità costante dello spettro TC [s]	0.55
Periodo di inizio del tratto a spostamento costante dello spettro TD [s]	1.94
Stato limite SLD	
Coefficiente di amplificazione stratigrafica Ss	1.00
Periodo di inizio del tratto ad accelerazione costante dello spettro TB [s]	0.12
Periodo di inizio del tratto a velocità costante dello spettro TC [s]	0.35
Periodo di inizio del tratto a spostamento costante dello spettro TD [s]	1.76
Stato limite SLO	
Coefficiente di amplificazione stratigrafica Ss	1.00
Periodo di inizio del tratto ad accelerazione costante dello spettro TB [s]	0.10
Periodo di inizio del tratto a velocità costante dello spettro TC [s]	0.31
Periodo di inizio del tratto a spostamento costante dello spettro TD [s]	1.73
Fattore di comportamento (SLV)	
Classe duttilità	B
Tipo struttura	Acciaio
Fattore per spettro elastico	1.000
Fattore per spettro elastico sisma verticale	1.500
Fattore di comportamento (SLD)	
q orizzontale	1.000
q verticale	1.500
Fattore di comportamento (SLO) spettro elastico	
q	1.000

Spettro SLV ed SLD – Componente orizzontale

T SLV [s]	Sd SLV[a/g]	T SLD [s]	Sd SLD[a/g]
0.00000	0.08386	0.00000	0.03993
0.18424	0.22856	0.11755	0.10112
0.55272	0.22856	0.35264	0.10112
0.75025	0.16839	0.55365	0.06441
0.94778	0.13329	0.75466	0.04725
1.14531	0.11030	0.95567	0.03731
1.34284	0.09408	1.15668	0.03083
1.54037	0.08201	1.35769	0.02626
1.73790	0.07269	1.55870	0.02288
1.93543	0.06527	1.75971	0.02026
2.14189	0.05330	1.98374	0.01595
2.34835	0.04434	2.20777	0.01287
2.55480	0.03746	2.43180	0.01061
2.76126	0.03207	2.65583	0.00890
2.96772	0.02776	2.87986	0.00757
3.17417	0.02427	3.10389	0.00651
3.38063	0.02139	3.32791	0.00567
3.58709	0.01900	3.55194	0.00497
3.79354	0.01699	3.77597	0.00440
4.00000	0.01677	4.00000	0.00392

APPALTATORE: D'AGOSTINO ANGELO ANTONIO COSTRUZIONI GENERALI s.r.l.	RIASSETTO NODO DI BARI					
PROGETTISTA: Mandataria: Mandante: RPA srl Technital SpA HUB Engineering Scarl						
PROGETTO ESECUTIVO: Relazione di calcolo pensilina	PROGETTO	LOTTO	CODIFICA	DOCUMENTO	REV.	FOGLIO
	IA3S	01	E ZZ CL	FV030C 001	C	21 DI 129

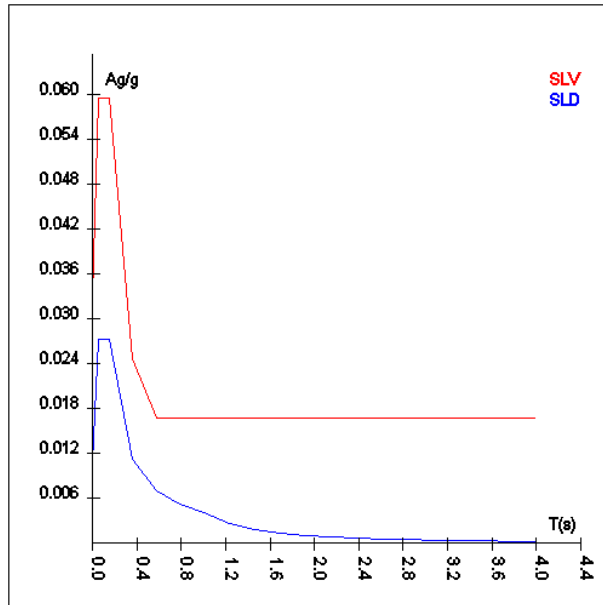


Spettro SLV – SLD sisma orizzontale

Spettro SLV ed SLD – Componente verticale

T SLV [s]	Sd SLV[a/g]	T SLD [s]	Sd SLD[a/g]
0.00000	0.03278	0.00000	0.01077
0.05000	0.05957	0.05000	0.02728
0.15000	0.05957	0.15000	0.02728
0.36250	0.02465	0.36250	0.01129
0.57500	0.01677	0.57500	0.00712
0.78750	0.01677	0.78750	0.00520
1.00000	0.01677	1.00000	0.00409
1.23077	0.01677	1.23077	0.00270
1.46154	0.01677	1.46154	0.00192
1.69231	0.01677	1.69231	0.00143
1.92308	0.01677	1.92308	0.00111
2.15385	0.01677	2.15385	0.00088
2.38462	0.01677	2.38462	0.00072
2.61538	0.01677	2.61538	0.00060
2.84615	0.01677	2.84615	0.00051
3.07692	0.01677	3.07692	0.00043
3.30769	0.01677	3.30769	0.00037
3.53846	0.01677	3.53846	0.00033
3.76923	0.01677	3.76923	0.00029
4.00000	0.01677	4.00000	0.00026

APPALTATORE: D'AGOSTINO ANGELO ANTONIO COSTRUZIONI GENERALI s.r.l.	RIASSETTO NODO DI BARI					
PROGETTISTA: Mandataria: Mandante: RPA srl Technital SpA HUB Engineering Scarl	TRATTA A SUD DI BARI – VARIANTE DI TRACCIATO TRA BARI CENTRALE E BARI TORRE A MARE					
PROGETTO ESECUTIVO: Relazione di calcolo pensilina	PROGETTO	LOTTO	CODIFICA	DOCUMENTO	REV.	FOGLIO
	IA3S	01	E ZZ CL	FV030C 001	C	22 DI 129

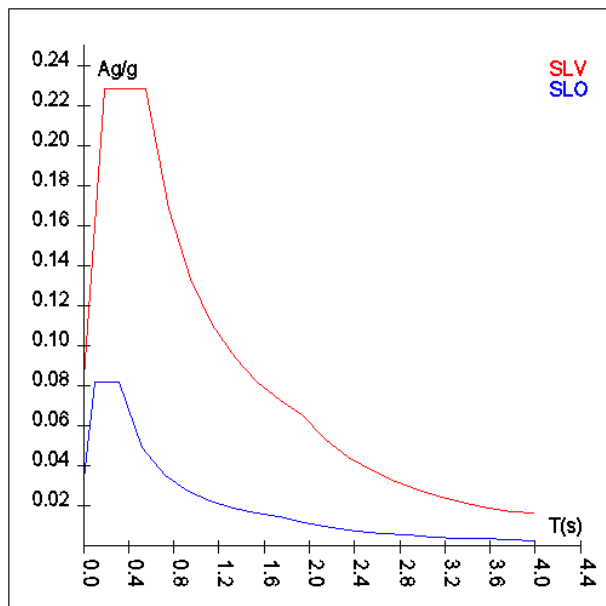


Spettro SLV – SLD sisma verticale

Spettro SLV ed SLO – Componente orizzontale

T SLV [s]	Sd SLV[a/g]	T SLO [s]	Sd SLO[a/g]
0.00000	0.08386	0.00000	0.03366
0.18424	0.22856	0.10399	0.08173
0.55272	0.22856	0.31198	0.08173
0.75025	0.16839	0.51522	0.04949
0.94778	0.13329	0.71846	0.03549
1.14531	0.11030	0.92169	0.02767
1.34284	0.09408	1.12493	0.02267
1.54037	0.08201	1.32816	0.01920
1.73790	0.07269	1.53140	0.01665
1.93543	0.06527	1.73464	0.01470
2.14189	0.05330	1.96117	0.01150
2.34835	0.04434	2.18771	0.00924
2.55480	0.03746	2.41424	0.00759
2.76126	0.03207	2.64078	0.00634
2.96772	0.02776	2.86732	0.00538
3.17417	0.02427	3.09385	0.00462
3.38063	0.02139	3.32039	0.00401
3.58709	0.01900	3.54693	0.00352
3.79354	0.01699	3.77346	0.00311
4.00000	0.01677	4.00000	0.00276

APPALTATORE: D'AGOSTINO ANGELO ANTONIO COSTRUZIONI GENERALI s.r.l.	RIASSETTO NODO DI BARI					
PROGETTISTA: Mandataria: Mandante: RPA srl Technital SpA HUB Engineering Scarl						
PROGETTO ESECUTIVO: Relazione di calcolo pensilina	PROGETTO	LOTTO	CODIFICA	DOCUMENTO	REV.	FOGLIO
	IA3S	01	E ZZ CL	FV030C 001	C	23 DI 129

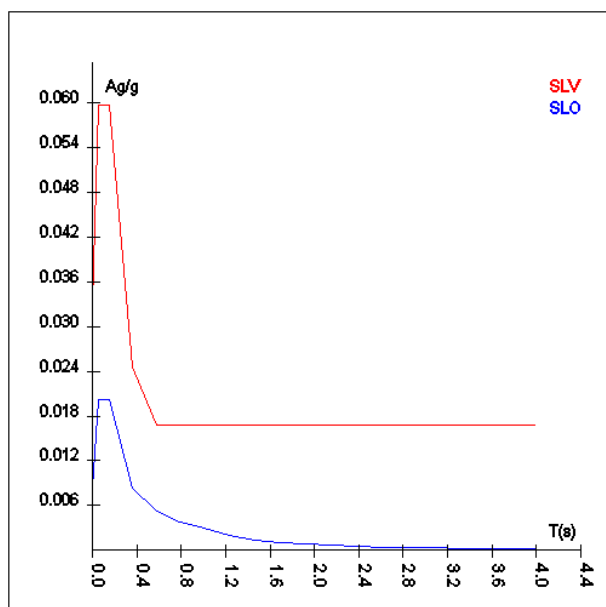


Spettro SLV – SLO sisma orizzontale

Spettro SLV ed SLO – Componente verticale

T SLV [s]	Sd SLV[a/g]	T SLO [s]	Sd SLO[a/g]
0.00000	0.03278	0.00000	0.00834
0.05000	0.05957	0.05000	0.02024
0.15000	0.05957	0.15000	0.02024
0.36250	0.02465	0.36250	0.00838
0.57500	0.01677	0.57500	0.00528
0.78750	0.01677	0.78750	0.00386
1.00000	0.01677	1.00000	0.00304
1.23077	0.01677	1.23077	0.00200
1.46154	0.01677	1.46154	0.00142
1.69231	0.01677	1.69231	0.00106
1.92308	0.01677	1.92308	0.00082
2.15385	0.01677	2.15385	0.00065
2.38462	0.01677	2.38462	0.00053
2.61538	0.01677	2.61538	0.00044
2.84615	0.01677	2.84615	0.00037
3.07692	0.01677	3.07692	0.00032
3.30769	0.01677	3.30769	0.00028
3.53846	0.01677	3.53846	0.00024
3.76923	0.01677	3.76923	0.00021
4.00000	0.01677	4.00000	0.00019

APPALTATORE: D'AGOSTINO ANGELO ANTONIO COSTRUZIONI GENERALI s.r.l.	RIASSETTO NODO DI BARI					
PROGETTISTA: Mandataria: Mandante: RPA srl Technital SpA HUB Engineering Scarl	TRATTA A SUD DI BARI – VARIANTE DI TRACCIATO TRA BARI CENTRALE E BARI TORRE A MARE					
PROGETTO ESECUTIVO: Relazione di calcolo pensilina	PROGETTO	LOTTO	CODIFICA	DOCUMENTO	REV.	FOGLIO
	IA3S	01	E ZZ CL	FV030C 001	C	24 DI 129



Spettro SLV – SLO sisma verticale

Per tener conto della variabilità spaziale del moto sismico, nonché di eventuali incertezze nella localizzazione delle masse, al centro di massa deve essere attribuita un'eccentricità accidentale rispetto alla sua posizione quale deriva dal calcolo.

In assenza di più accurate determinazioni l'eccentricità accidentale in ogni direzione non può essere considerata inferiore a 0.05 volte la dimensione dell'edificio misurata perpendicolarmente alla direzione di applicazione dell'azione sismica.

Il calcolo delle azioni sismiche è stato eseguito in analisi dinamica modale, considerando il comportamento della struttura in regime elastico lineare. Le masse sono applicate nei nodi del modello. Tali masse sono ottenute considerando le reazioni vincolari di incastro perfetto che si ottengono per effetto dei carichi agenti sulle membrature che collegano i nodi. La risposta massima di una generica caratteristica E, conseguente alla sovrapposizione dei modi, è valutata con la tecnica della combinazione probabilistica definita CQC (Complete Quadratic Combination - Combinazione Quadratica Completa):

$$E = \sqrt{\sum_{i,j=1,n} \rho_{ij} \cdot E_i \cdot E_j}$$

con:

$$\rho_{ij} = \frac{8\xi^2 \cdot (1 + \beta_{ij}) \cdot \beta_{ij}^{\frac{3}{2}}}{(1 - \beta_{ij}^2)^2 + 4\xi^2 \cdot \beta_{ij} \cdot (1 + \beta_{ij}^2)} \quad \beta_{ij} = \frac{\omega_i}{\omega_j}$$

dove:

- n è il numero di modi di vibrazione considerati;
- x è il coefficiente di smorzamento viscoso equivalente espresso in percentuale;
- β_{ij} è il rapporto tra le frequenze di ciascuna coppia i-j di modi di vibrazione.

Le sollecitazioni derivanti da tali azioni sono state calcolate considerando varie posizioni del baricentro come specificato in precedenza e riportato di seguito.

APPALTATORE: D'AGOSTINO ANGELO ANTONIO COSTRUZIONI GENERALI s.r.l.	RIASSETTO NODO DI BARI					
PROGETTISTA: Mandataria: Mandante: RPA srl Technital SpA HUB Engineering Scarl	TRATTA A SUD DI BARI – VARIANTE DI TRACCIATO TRA BARI CENTRALE E BARI TORRE A MARE					
PROGETTO ESECUTIVO: Relazione di calcolo pensilina	PROGETTO IA3S	LOTTO 01	CODIFICA E ZZ CL	DOCUMENTO FV030C 001	REV. C	FOGLIO 25 DI 129

Posizione	% Spostamento direzione X	% Spostamento direzione Y
1	0	-5
2	5	0
3	0	5
4	-5	0

6.9.1 Combinazioni del Sisma in X e Y e Verticale

Gli effetti delle forze equivalenti dovute all'eccentricità accidentale, vengono portati in conto nella combinazione sismica, sommandoli al contributo delle sollecitazioni che si ottengono a valle dell'analisi dinamica lineare con spettro di risposta.

Come metodo di analisi per determinare gli effetti dell'azione sismica si è scelto di utilizzare l'analisi dinamica lineare o analisi modale.

Come prescritto dalle NT al paragrafo 7.3.3.1, devono essere considerati tutti i modi di vibrare con massa partecipante significativa. È opportuno a tal riguardo considerare tutti i modi con massa partecipante superiore al 5% e comunque un numero di modi la cui massa partecipante totale sia superiore all'85%. Per la combinazione degli effetti relativi ai singoli modi, deve essere utilizzata una combinazione quadratica completa degli effetti relativi a ciascun modo.

La risposta della struttura viene calcolata separatamente per ciascuna delle tre componenti dell'azione sismica; gli effetti sulla struttura, in termini di sollecitazioni e spostamenti, sono poi combinati applicando le seguenti espressioni:

$$1.00 \cdot E_x + 0.30 \cdot E_y + 0.30 \cdot E_z$$

$$1.00 \cdot E_y + 0.30 \cdot E_x + 0.30 \cdot E_z$$

$$1.00 \cdot E_z + 0.30 \cdot E_x + 0.30 \cdot E_y$$

Si ottiene così:

Combinazione	Pos. Sisma X	Pos. Sisma Y	Fattore partecipazione Sisma X	Fattore partecipazione Sisma Y	Fattore partecipazione Sisma Z
1	1	2	1	0.3	0.3
2	1	2	0.3	1	0.3
3	1	4	1	0.3	0.3
4	1	4	0.3	1	0.3
5	3	2	1	0.3	0.3
6	3	2	0.3	1	0.3
7	3	4	1	0.3	0.3
8	3	4	0.3	1	0.3
9	1	2	0.3	0.3	1
10	1	4	0.3	0.3	1
11	3	2	0.3	0.3	1
12	3	4	0.3	0.3	1

Ogni combinazione genera al massimo otto (8) sotto-combinazioni in base a tutte le combinazioni possibili dei segni di Fattori di partecipazione.

6.10 Combinazioni

Ai fini delle verifiche degli stati limite, si definiscono le seguenti combinazioni delle azioni

- Combinazione fondamentale, generalmente impiegata per gli stati limite ultimi (SLU):

$$\gamma_{G1} \cdot G_1 + \gamma_{G2} \cdot G_2 + \gamma_{Q1} \cdot Q_{k1} + \psi_{02} \cdot \gamma_{Q2} \cdot Q_{k2} + \psi_{03} \cdot \gamma_{Q3} \cdot Q_{k3} \dots$$

APPALTATORE: D'AGOSTINO ANGELO ANTONIO COSTRUZIONI GENERALI s.r.l.	RIASSETTO NODO DI BARI					
PROGETTISTA: Mandataria: Mandante: RPA srl Technital SpA HUB Engineering Scarl	TRATTA A SUD DI BARI – VARIANTE DI TRACCIATO TRA BARI CENTRALE E BARI TORRE A MARE					
PROGETTO ESECUTIVO: Relazione di calcolo pensilina	PROGETTO IA3S	LOTTO 01	CODIFICA E ZZ CL	DOCUMENTO FV030C 001	REV. C	FOGLIO 26 DI 129

- Combinazione caratteristica, cosiddetta rara, generalmente impiegata per gli stati limite di esercizio (SLE) irreversibili:

$$G_1 + G_2 + Q_{k1} + \psi_{02} \cdot Q_{k2} + \psi_{03} \cdot Q_{k3} \dots$$

- Combinazione frequente, generalmente impiegata per gli stati limite di esercizio (SLE) reversibili:

$$G_1 + G_2 + \psi_{11} \cdot Q_{k1} + \psi_{22} \cdot Q_{k2} + \psi_{23} \cdot Q_{k3} \dots$$

- Combinazione quasi permanente (SLE), generalmente impiegata per gli effetti a lungo termine:

$$G_1 + G_2 + \psi_{21} \cdot Q_{k1} + \psi_{22} \cdot Q_{k2} + \psi_{23} \cdot Q_{k3} \dots$$

- Combinazione sismica, impiegata per gli stati limite ultimi e di esercizio connessi all'azione sismica E:

$$E + G_1 + G_2 + \psi_{21} \cdot Q_{k1} + \psi_{22} \cdot Q_{k2} \dots$$

dove:

	Ψ_0	Ψ_1	Ψ_2
Copertura accessibile per sola manutenzione	0.00	0.00	0.00
Neve	0.50	0.20	0.00
Vento	0.60	0.20	0.00
Termica	0.60	0.50	0.00

Mentre per i coefficienti di amplificazione si considera la tabella 2.6.I delle NT Colonna A1:

		Coefficiente	EQU	A1	A2
		γ_F			
Carichi permanenti G_1	Favorevoli	γ_{G1}	0,9	1,0	1,0
	Sfavorevoli		1,1	1,3	1,0
Carichi permanenti non strutturali $G_2^{(1)}$	Favorevoli	γ_{G2}	0,8	0,8	0,8
	Sfavorevoli		1,5	1,5	1,3
Azioni variabili Q	Favorevoli	γ_{Qi}	0,0	0,0	0,0
	Sfavorevoli		1,5	1,5	1,3

⁽¹⁾ Nel caso in cui l'intensità dei carichi permanenti non strutturali o di una parte di essi (ad es. carichi permanenti portati) sia ben definita in fase di progetto, per detti carichi o per la parte di essi nota si potranno adottare gli stessi coefficienti parziali validi per le azioni permanenti.

Scenario : Set_NT_SLV_SLD_A2_STR/GEO

Combinazione n° 1: Permanenti

Tipo: STR+GEO

Condizione di carico	Fattore di combinazione
Peso Proprio	1.3
QP Solai	1.3
QFissi Solai	1.5

Combinazione n° 2: CombSLU1 - var.

Tipo: STR+GEO

Condizione di carico	Fattore di combinazione
Peso Proprio	1.3
QP Solai	1.3

APPALTATORE: D'AGOSTINO ANGELO ANTONIO COSTRUZIONI GENERALI s.r.l.	RIASSETTO NODO DI BARI					
PROGETTISTA: Mandataria: Mandante: RPA srl Technital SpA HUB Engineering Scarl						
PROGETTO ESECUTIVO: Relazione di calcolo pensilina	PROGETTO	LOTTO	CODIFICA	DOCUMENTO	REV.	FOGLIO
	IA3S	01	E ZZ CL	FV030C 001	C	27 DI 129

Condizione di carico	Fattore di combinazione
QFissi Solai	1.5
QV Solai	1.5
Neve	0.75
Vento +Y	0.9
Carichi termici	0.9
Pressione dinamica treno inizio	1.16
Pressione dinamica treno fine	1.16
T.E. SLU	1

Combinazione n° 3: CombSLU2 - var.
Tipo: STR+GEO

Condizione di carico	Fattore di combinazione
Peso Proprio	1.3
QP Solai	1.3
QFissi Solai	1.5
QV Solai	1.5
Neve	0.75
Vento -Y	0.9
Carichi termici	0.9
Pressione dinamica treno inizio	1.16
Pressione dinamica treno fine	1.16
T.E. SLU	1

Combinazione n° 4: CombSLU3 - vento
Tipo: STR+GEO

Condizione di carico	Fattore di combinazione
Peso Proprio	1.3
QP Solai	1.3
QFissi Solai	1.5
Neve	0.75
Vento +Y	1.5
Carichi termici	0.9
Pressione dinamica treno inizio	1.16
Pressione dinamica treno fine	1.16
T.E. SLU	1

Combinazione n° 5: CombSLU4 - vento
Tipo: STR+GEO

Condizione di carico	Fattore di combinazione
Peso Proprio	1.3
QP Solai	1.3
QFissi Solai	1.5
Neve	0.75
Vento -Y	1.5
Carichi termici	0.9
Pressione dinamica treno inizio	1.16
Pressione dinamica treno fine	1.16
T.E. SLU	1

Combinazione n° 6: CombSLU5 - neve
Tipo: STR+GEO

APPALTATORE: D'AGOSTINO ANGELO ANTONIO COSTRUZIONI GENERALI s.r.l.	RIASSETTO NODO DI BARI					
PROGETTISTA: Mandataria: Mandante: RPA srl Technital SpA HUB Engineering Scarl						
PROGETTO ESECUTIVO: Relazione di calcolo pensilina	PROGETTO	LOTTO	CODIFICA	DOCUMENTO	REV.	FOGLIO
	IA3S	01	E ZZ CL	FV030C 001	C	28 DI 129

Condizione di carico	Fattore di combinazione
Peso Proprio	1.3
QP Solai	1.3
QFissi Solai	1.5
Neve	1.5
Vento +Y	0.9
Carichi termici	1.5
Pressione dinamica treno inizio	1.16
Pressione dinamica treno fine	1.16
T.E. SLU	1

Combinazione n° 7: CombSLU6 - neve
Tipo: STR+GEO

Condizione di carico	Fattore di combinazione
Peso Proprio	1.3
QP Solai	1.3
QFissi Solai	1.5
Neve	1.5
Vento -Y	0.9
Carichi termici	0.9
Pressione dinamica treno inizio	1.16
Pressione dinamica treno fine	1.16
T.E. SLU	1

Combinazione n° 8: CombSLU7 - dinam
Tipo: STR+GEO

Condizione di carico	Fattore di combinazione
Peso Proprio	1.3
QP Solai	1.3
QFissi Solai	1.5
Neve	0.75
Vento +Y	0.9
Carichi termici	0.9
Pressione dinamica treno inizio	1.5
Pressione dinamica treno fine	1.5
T.E. SLU	1

Combinazione n° 9: CombSLU8 - dinam
Tipo: STR+GEO

Condizione di carico	Fattore di combinazione
Peso Proprio	1.3
QP Solai	1.3
QFissi Solai	1.5
Neve	0.75
Vento -Y	0.9
Carichi termici	0.9
Pressione dinamica treno inizio	1.5
Pressione dinamica treno fine	1.5
T.E. SLU	1

Combinazione n° 10: CombSLU9 - termici
Tipo: STR+GEO

APPALTATORE: D'AGOSTINO ANGELO ANTONIO COSTRUZIONI GENERALI s.r.l.	RIASSETTO NODO DI BARI					
PROGETTISTA: Mandataria: Mandante: RPA srl Technital SpA HUB Engineering Scarl						
PROGETTO ESECUTIVO: Relazione di calcolo pensilina	PROGETTO	LOTTO	CODIFICA	DOCUMENTO	REV.	FOGLIO
	IA3S	01	E ZZ CL	FV030C 001	C	29 DI 129

Condizione di carico	Fattore di combinazione
Peso Proprio	1.3
QP Solai	1.3
QFissi Solai	1.5
Neve	0.75
Vento +Y	0.9
Carichi termici	0.9
Pressione dinamica treno inizio	1.16
Pressione dinamica treno fine	1.16
T.E. SLU	1

Combinazione n° 11: CombSLU10 - var.
Tipo: STR+GEO

Condizione di carico	Fattore di combinazione
Peso Proprio	1.3
QP Solai	1.3
QFissi Solai	1.5
QV Solai	1.5
Neve	0.75
Vento +Y	0.9
Carichi termici	0.9
Pressione dinamica treno inizio	1.16
Pressione dinamica treno fine	1.16
T.E. SLU	1

Combinazione n° 12: CombSLU11 - var
Tipo: STR+GEO

Condizione di carico	Fattore di combinazione
Peso Proprio	1.3
QP Solai	1.3
QFissi Solai	1.5
QV Solai	1.5
Neve	0.75
Vento -Y	0.9
Carichi termici	1.5
Pressione dinamica treno inizio	1.16
Pressione dinamica treno fine	1.16
T.E. SLU	1

Combinazione n° 13: CombSLU12 - vento
Tipo: STR+GEO

Condizione di carico	Fattore di combinazione
Peso Proprio	1.3
QP Solai	1.3
QFissi Solai	1.5
Neve	0.75
Vento +Y	1.5
Carichi termici	0.9
Pressione dinamica treno inizio	1.16
Pressione dinamica treno fine	1.16
T.E. SLU	1

Combinazione n° 14: CombSLU13 - vento

APPALTATORE: D'AGOSTINO ANGELO ANTONIO COSTRUZIONI GENERALI s.r.l.	RIASSETTO NODO DI BARI					
PROGETTISTA: Mandataria: Mandante: RPA srl Technital SpA HUB Engineering Scarl						
PROGETTO ESECUTIVO: Relazione di calcolo pensilina	PROGETTO	LOTTO	CODIFICA	DOCUMENTO	REV.	FOGLIO
	IA3S	01	E ZZ CL	FV030C 001	C	30 DI 129

Tipo: STR+GEO

Condizione di carico	Fattore di combinazione
Peso Proprio	1.3
QP Solai	1
QFissi Solai	1.5
Neve	0.75
Vento -Y	1.5
Carichi termici	0.5
Pressione dinamica treno inizio	1.16
Pressione dinamica treno fine	1.16
T.E. SLU	1

Combinazione n° 15: CombSLU14 - neve

Tipo: STR+GEO

Condizione di carico	Fattore di combinazione
Peso Proprio	1.3
QP Solai	1
QFissi Solai	1.5
Neve	1.5
Vento +Y	0.9
Carichi termici	0.5
Pressione dinamica treno inizio	1.16
Pressione dinamica treno fine	1.16
T.E. SLU	1

Combinazione n° 16: CombSLU15 - neve

Tipo: STR+GEO

Condizione di carico	Fattore di combinazione
Peso Proprio	1.3
QP Solai	1
QFissi Solai	1.5
Neve	1.5
Vento -Y	0.9
Carichi termici	0.6
Pressione dinamica treno inizio	1.16
Pressione dinamica treno fine	1.16
T.E. SLU	1

Combinazione n° 17: CombSLU16 - dianm

Tipo: STR+GEO

Condizione di carico	Fattore di combinazione
Peso Proprio	1.3
QP Solai	1
QFissi Solai	1.5
Neve	0.75
Vento +Y	0.9
Carichi termici	0.6
Pressione dinamica treno inizio	1.5
Pressione dinamica treno fine	1.5
T.E. SLU	1

Combinazione n° 18: CombSLU17 - dinam

Tipo: STR+GEO

APPALTATORE: D'AGOSTINO ANGELO ANTONIO COSTRUZIONI GENERALI s.r.l.	RIASSETTO NODO DI BARI					
PROGETTISTA: Mandataria: Mandante: RPA srl Technital SpA HUB Engineering Scarl						
PROGETTO ESECUTIVO: Relazione di calcolo pensilina	PROGETTO	LOTTO	CODIFICA	DOCUMENTO	REV.	FOGLIO
	IA3S	01	E ZZ CL	FV030C 001	C	31 DI 129

Condizione di carico	Fattore di combinazione
Peso Proprio	1.3
QP Solai	1
QFissi Solai	1.5
Neve	0.75
Vento -Y	0.9
Carichi termici	0.6
Pressione dinamica treno inizio	1.5
Pressione dinamica treno fine	1.5
T.E. SLU	1

Combinazione n° 19: CombSLU18 - termic
Tipo: STR+GEO

Condizione di carico	Fattore di combinazione
Peso Proprio	1.3
QP Solai	1
QFissi Solai	1.5
Neve	0.75
Vento +Y	0.9
Carichi termici	0.6
Pressione dinamica treno inizio	1.16
Pressione dinamica treno fine	1.16
T.E. SLU	1

Combinazione n° 20: SISMAX_SLV_X
Tipo: Modale STR+GEO

Spettro: SpettroNT(q=1)

Fattore sisma: 1.00

Angolo ingresso sisma [°]: 0

Condizione di carico	Fattore di combinazione	Massa	Fattore massa
Peso Proprio	1	Si	1
QP Solai	1	Si	1
QFissi Solai	1	Si	1
Carichi termici	0.6	No	1
Pressione dinamica treno inizio	0.2	No	1
Pressione dinamica treno fine	0.2	No	1
T.E. SLU	1	No	1

Combinazione n° 21: SISMAX_SLV_Y
Tipo: Modale STR+GEO

Spettro: SpettroNT(q=1)

Fattore sisma: 1.00

Angolo ingresso sisma [°]: 90

Condizione di carico	Fattore di combinazione	Massa	Fattore massa
Peso Proprio	1	Si	1
QP Solai	1	Si	1
QFissi Solai	1	Si	1
Carichi termici	0.6	No	1
Pressione dinamica treno inizio	0.2	No	1
Pressione dinamica treno fine	0.2	No	1
T.E. SLU	1	No	1

Combinazione n° 22: CombRara1

APPALTATORE: D'AGOSTINO ANGELO ANTONIO COSTRUZIONI GENERALI s.r.l.	RIASSETTO NODO DI BARI					
PROGETTISTA: Mandataria: Mandante: RPA srl Technital SpA HUB Engineering Scarl						
PROGETTO ESECUTIVO: Relazione di calcolo pensilina	PROGETTO	LOTTO	CODIFICA	DOCUMENTO	REV.	FOGLIO
	IA3S	01	E ZZ CL	FV030C 001	C	32 DI 129

Tipo: SLE Rara

Condizione di carico	Fattore di combinazione
Peso Proprio	1
QP Solai	1
QFissi Solai	1
QV Solai	1
Neve	0.5
Vento +Y	0.6
Carichi termici	0.6
Pressione dinamica treno inizio	0.8
Pressione dinamica treno fine	0.8
T.E. SLE	1

Combinazione n° 23: CombRara2

Tipo: SLE Rara

Condizione di carico	Fattore di combinazione
Peso Proprio	1
QP Solai	1
QFissi Solai	1
QV Solai	1
Neve	0.5
Vento -Y	0.6
Carichi termici	0.6
Pressione dinamica treno inizio	0.8
Pressione dinamica treno fine	0.8
T.E. SLE	1

Combinazione n° 24: CombRara3

Tipo: SLE Rara

Condizione di carico	Fattore di combinazione
Peso Proprio	1
QP Solai	1
QFissi Solai	1
Neve	0.5
Vento +Y	1
Carichi termici	0.6
Pressione dinamica treno inizio	0.8
Pressione dinamica treno fine	0.8
T.E. SLE	1

Combinazione n° 25: CombRara4

Tipo: SLE Rara

Condizione di carico	Fattore di combinazione
Peso Proprio	1
QP Solai	1
QFissi Solai	1
Neve	0.5
Vento -Y	1
Carichi termici	0.6
Pressione dinamica treno inizio	0.8
Pressione dinamica treno fine	0.8
T.E. SLE	1

APPALTATORE: D'AGOSTINO ANGELO ANTONIO COSTRUZIONI GENERALI s.r.l.	RIASSETTO NODO DI BARI					
PROGETTISTA: Mandataria: Mandante: RPA srl Technital SpA HUB Engineering Scarl						
PROGETTO ESECUTIVO: Relazione di calcolo pensilina	PROGETTO	LOTTO	CODIFICA	DOCUMENTO	REV.	FOGLIO
	IA3S	01	E ZZ CL	FV030C 001	C	33 DI 129

Combinazione n° 26: CombRara5

Tipo: SLE Rara

Condizione di carico	Fattore di combinazione
Peso Proprio	1
QP Solai	1
QFissi Solai	1
Neve	1
Vento +Y	0.6
Carichi termici	1
Pressione dinamica treno inizio	0.8
Pressione dinamica treno fine	0.8
T.E. SLE	1

Combinazione n° 27: CombRara6

Tipo: SLE Rara

Condizione di carico	Fattore di combinazione
Peso Proprio	1
QP Solai	1
QFissi Solai	1
Neve	1
Vento -Y	0.6
Carichi termici	0.6
Pressione dinamica treno inizio	0.8
Pressione dinamica treno fine	0.8
T.E. SLE	1

Combinazione n° 28: CombRara7

Tipo: SLE Rara

Condizione di carico	Fattore di combinazione
Peso Proprio	1
QP Solai	1
QFissi Solai	1
Neve	0.5
Vento +Y	0.6
Pressione dinamica treno inizio	1
Pressione dinamica treno fine	1
T.E. SLE	1

Combinazione n° 29: CombRara8

Tipo: SLE Rara

Condizione di carico	Fattore di combinazione
Peso Proprio	1
QP Solai	1
QFissi Solai	1
Neve	0.5
Vento -Y	0.6
Pressione dinamica treno inizio	1
Pressione dinamica treno fine	1
T.E. SLE	1

Combinazione n° 30: CombRara9

Tipo: SLE Rara

APPALTATORE: D'AGOSTINO ANGELO ANTONIO COSTRUZIONI GENERALI s.r.l.	RIASSETTO NODO DI BARI					
PROGETTISTA: Mandataria: Mandante: RPA srl Technital SpA HUB Engineering Scarl						
PROGETTO ESECUTIVO: Relazione di calcolo pensilina	PROGETTO	LOTTO	CODIFICA	DOCUMENTO	REV.	FOGLIO
	IA3S	01	E ZZ CL	FV030C 001	C	34 DI 129

Condizione di carico	Fattore di combinazione
Peso Proprio	1
QP Solai	1
QFissi Solai	1
QV Solai	1
Neve	0.5
Vento +Y	0.6
Pressione dinamica treno inizio	0.8
Pressione dinamica treno fine	0.8
T.E. SLE	1

Combinazione n° 31: CombRara1
Tipo: SLE Rara

Condizione di carico	Fattore di combinazione
Peso Proprio	1
QP Solai	1
QFissi Solai	1
QV Solai	1
Neve	0.5
Vento +Y	0.6
Pressione dinamica treno inizio	0.8
Pressione dinamica treno fine	0.8
T.E. SLE	1

Combinazione n° 32: CombRara2
Tipo: SLE Rara

Condizione di carico	Fattore di combinazione
Peso Proprio	1
QP Solai	1
QFissi Solai	1
QV Solai	1
Neve	0.5
Vento -Y	0.6
Carichi termici	0.5
Pressione dinamica treno inizio	0.8
Pressione dinamica treno fine	0.8
T.E. SLE	1

Combinazione n° 33: CombRara3
Tipo: SLE Rara

Condizione di carico	Fattore di combinazione
Peso Proprio	1
QP Solai	1
QFissi Solai	1
Neve	0.5
Vento +Y	1
Pressione dinamica treno inizio	0.8
Pressione dinamica treno fine	0.8
T.E. SLE	1

Combinazione n° 34: CombRara4
Tipo: SLE Rara

APPALTATORE: D'AGOSTINO ANGELO ANTONIO COSTRUZIONI GENERALI s.r.l.	RIASSETTO NODO DI BARI					
PROGETTISTA: Mandataria: Mandante: RPA srl Technital SpA HUB Engineering Scarl						
PROGETTO ESECUTIVO: Relazione di calcolo pensilina	PROGETTO	LOTTO	CODIFICA	DOCUMENTO	REV.	FOGLIO
	IA3S	01	E ZZ CL	FV030C 001	C	35 DI 129

Condizione di carico	Fattore di combinazione
Peso Proprio	1
QP Solai	1
QFissi Solai	1
Neve	0.5
Vento -Y	1
Pressione dinamica treno inizio	0.8
Pressione dinamica treno fine	0.8
T.E. SLE	1

Combinazione n° 35: CombRara5

Tipo: SLE Rara

Condizione di carico	Fattore di combinazione
Peso Proprio	1
QP Solai	1
QFissi Solai	1
Neve	1
Vento +Y	0.6
Pressione dinamica treno inizio	0.8
Pressione dinamica treno fine	0.8
T.E. SLE	1

Combinazione n° 36: CombRara6

Tipo: SLE Rara

Condizione di carico	Fattore di combinazione
Peso Proprio	1
QP Solai	1
QFissi Solai	1
Neve	1
Vento -Y	0.6
Pressione dinamica treno inizio	0.8
Pressione dinamica treno fine	0.8
T.E. SLE	1

Combinazione n° 37: CombRara7

Tipo: SLE Rara

Condizione di carico	Fattore di combinazione
Peso Proprio	1
QP Solai	1
QFissi Solai	1
Neve	0.5
Vento +Y	0.6
Pressione dinamica treno inizio	1
Pressione dinamica treno fine	1
T.E. SLE	1

Combinazione n° 38: CombRara8

Tipo: SLE Rara

Condizione di carico	Fattore di combinazione
Peso Proprio	1
QP Solai	1
QFissi Solai	1
Neve	0.5

APPALTATORE: D'AGOSTINO ANGELO ANTONIO COSTRUZIONI GENERALI s.r.l.	RIASSETTO NODO DI BARI					
PROGETTISTA: Mandataria: Mandante: RPA srl Technital SpA HUB Engineering Scarl						
PROGETTO ESECUTIVO: Relazione di calcolo pensilina	PROGETTO	LOTTO	CODIFICA	DOCUMENTO	REV.	FOGLIO
	IA3S	01	E ZZ CL	FV030C 001	C	36 DI 129

Condizione di carico	Fattore di combinazione
Vento -Y	0.6
Carichi termici	0.5
Pressione dinamica treno inizio	1
Pressione dinamica treno fine	1
T.E. SLE	1

Combinazione n° 39: CombRara9

Tipo: SLE Rara

Condizione di carico	Fattore di combinazione
Peso Proprio	1
QP Solai	1
QFissi Solai	1
QV Solai	1
Neve	0.5
Vento +Y	0.6
Pressione dinamica treno inizio	0.8
Pressione dinamica treno fine	0.8
T.E. SLE	1

Combinazione n° 40: CombFreq1

Tipo: SLE Freq.

Condizione di carico	Fattore di combinazione
Peso Proprio	1
QP Solai	1
QFissi Solai	1
T.E. SLE	1

Combinazione n° 41: CombFreq2

Tipo: SLE Freq.

Condizione di carico	Fattore di combinazione
Peso Proprio	1
QP Solai	1
QFissi Solai	1
T.E. SLE	1

Combinazione n° 42: CombFreq3

Tipo: SLE Freq.

Condizione di carico	Fattore di combinazione
Peso Proprio	1
QP Solai	1
QFissi Solai	1
Vento +Y	0.5
T.E. SLE	1

Combinazione n° 43: CombFreq4

Tipo: SLE Freq.

Condizione di carico	Fattore di combinazione
Peso Proprio	1
QP Solai	1
QFissi Solai	1
Vento -Y	0.5
T.E. SLE	1

APPALTATORE: D'AGOSTINO ANGELO ANTONIO COSTRUZIONI GENERALI s.r.l.	RIASSETTO NODO DI BARI					
PROGETTISTA: Mandataria: Mandante: RPA srl Technital SpA HUB Engineering Scarl						
PROGETTO ESECUTIVO: Relazione di calcolo pensilina	PROGETTO	LOTTO	CODIFICA	DOCUMENTO	REV.	FOGLIO
	IA3S	01	E ZZ CL	FV030C 001	C	37 DI 129

Combinazione n° 44: CombFreq5

Tipo: SLE Freq.

Condizione di carico	Fattore di combinazione
Peso Proprio	1
QP Solai	1
QFissi Solai	1
Neve	0.2
T.E. SLE	1

Combinazione n° 45: CombFreq6

Tipo: SLE Freq.

Condizione di carico	Fattore di combinazione
Peso Proprio	1
QP Solai	1
QFissi Solai	1
Neve	0.2
T.E. SLE	1

Combinazione n° 46: CombFreq7

Tipo: SLE Freq.

Condizione di carico	Fattore di combinazione
Peso Proprio	1
QP Solai	1
QFissi Solai	1
Pressione dinamica treno inizio	1
Pressione dinamica treno fine	1
T.E. SLE	1

Combinazione n° 47: CombFreq8

Tipo: SLE Freq.

Condizione di carico	Fattore di combinazione
Peso Proprio	1
QP Solai	1
QFissi Solai	1
Pressione dinamica treno inizio	1
Pressione dinamica treno fine	1
T.E. SLE	1

Combinazione n° 48: CombFreq9

Tipo: SLE Freq.

Condizione di carico	Fattore di combinazione
Peso Proprio	1
QP Solai	1
QFissi Solai	1
Pressione dinamica treno inizio	1
Pressione dinamica treno fine	1
T.E. SLE	1

Combinazione n° 49: CombFreq1

Tipo: SLE Freq.

APPALTATORE: D'AGOSTINO ANGELO ANTONIO COSTRUZIONI GENERALI s.r.l.	RIASSETTO NODO DI BARI					
PROGETTISTA: Mandataria: Mandante: RPA srl Technital SpA HUB Engineering Scarl	TRATTA A SUD DI BARI – VARIANTE DI TRACCIATO TRA BARI CENTRALE E BARI TORRE A MARE					
PROGETTO ESECUTIVO: Relazione di calcolo pensilina	PROGETTO	LOTTO	CODIFICA	DOCUMENTO	REV.	FOGLIO
	IA3S	01	E ZZ CL	FV030C 001	C	38 DI 129

Condizione di carico	Fattore di combinazione
Peso Proprio	1
QP Solai	1
QFissi Solai	1
T.E. SLE	1

Combinazione n° 50: CombFreq2

Tipo: SLE Freq.

Condizione di carico	Fattore di combinazione
Peso Proprio	1
QP Solai	1
QFissi Solai	1
T.E. SLE	1

Combinazione n° 51: CombFreq3

Tipo: SLE Freq.

Condizione di carico	Fattore di combinazione
Peso Proprio	1
QP Solai	1
QFissi Solai	1
Vento +Y	0.5
T.E. SLE	1

Combinazione n° 52: CombFreq4

Tipo: SLE Freq.

Condizione di carico	Fattore di combinazione
Peso Proprio	1
QP Solai	1
QFissi Solai	1
Vento -Y	0.5
T.E. SLE	1

Combinazione n° 53: CombFreq5

Tipo: SLE Freq.

Condizione di carico	Fattore di combinazione
Peso Proprio	1
QP Solai	1
QFissi Solai	1
Neve	0.2
T.E. SLE	1

Combinazione n° 54: CombFreq6

Tipo: SLE Freq.

Condizione di carico	Fattore di combinazione
Peso Proprio	1
QP Solai	1
QFissi Solai	1
Neve	0.2
T.E. SLE	1

Combinazione n° 55: CombFreq7

Tipo: SLE Freq.

APPALTATORE: D'AGOSTINO ANGELO ANTONIO COSTRUZIONI GENERALI s.r.l.	RIASSETTO NODO DI BARI					
PROGETTISTA: Mandataria: Mandante: RPA srl Technital SpA HUB Engineering Scarl						
PROGETTO ESECUTIVO: Relazione di calcolo pensilina	PROGETTO	LOTTO	CODIFICA	DOCUMENTO	REV.	FOGLIO
	IA3S	01	E ZZ CL	FV030C 001	C	39 DI 129

Condizione di carico	Fattore di combinazione
Peso Proprio	1
QP Solai	1
QFissi Solai	1
Pressione dinamica treno inizio	1
Pressione dinamica treno fine	1
T.E. SLE	1

Combinazione n° 56: CombFreq8

Tipo: SLE Freq.

Condizione di carico	Fattore di combinazione
Peso Proprio	1
QP Solai	1
QFissi Solai	1
Pressione dinamica treno inizio	1
Pressione dinamica treno fine	1
T.E. SLE	1

Combinazione n° 57: CombFreq9

Tipo: SLE Freq.

Condizione di carico	Fattore di combinazione
Peso Proprio	1
QP Solai	1
QFissi Solai	1
Pressione dinamica treno inizio	1
Pressione dinamica treno fine	1
T.E. SLE	1

Combinazione n° 58: CombPerm1

Tipo: SLE Q.Perm.

Condizione di carico	Fattore di combinazione
Peso Proprio	1
QP Solai	1
QFissi Solai	1
Pressione dinamica treno inizio	0.2
Pressione dinamica treno fine	0.2
T.E. SLE	1

Combinazione n° 59: CombPerm2

Tipo: SLE Q.Perm.

Condizione di carico	Fattore di combinazione
Peso Proprio	1
QP Solai	1
QFissi Solai	1
Pressione dinamica treno inizio	0.2
Pressione dinamica treno fine	0.2
T.E. SLE	1

Combinazione n° 60: Eccezionale

Tipo: STR+GEO

Condizione di carico	Fattore di combinazione
Peso Proprio	1
QP Solai	1

APPALTATORE: D'AGOSTINO ANGELO ANTONIO COSTRUZIONI GENERALI s.r.l.	RIASSETTO NODO DI BARI					
PROGETTISTA: Mandataria: Mandante: RPA srl Technital SpA HUB Engineering Scarl	TRATTA A SUD DI BARI – VARIANTE DI TRACCIATO TRA BARI CENTRALE E BARI TORRE A MARE					
PROGETTO ESECUTIVO: Relazione di calcolo pensilina	PROGETTO	LOTTO	CODIFICA	DOCUMENTO	REV.	FOGLIO
	IA3S	01	E ZZ CL	FV030C 001	C	40 DI 129

Condizione di carico	Fattore di combinazione
QFissi Solai	1
T.E. Eccezionale	1

Combinazione n° 61: SISMAX_SLD
 Tipo: Modale SLE
 Spettro: SpettroNT(q=1)
 Fattore sisma: 1.00
 Angolo ingresso sisma [°]: 0

Condizione di carico	Fattore di combinazione	Massa	Fattore massa
Peso Proprio	1	Si	1
QP Solai	1	Si	1
QFissi Solai	1	Si	1
Pressione dinamica treno inizio	0.2	No	1
Pressione dinamica treno fine	0.2	No	1
T.E. SLE	1	No	1

Combinazione n° 62: SISMAX_SLD_Y
 Tipo: Modale SLE
 Spettro: SpettroNT(q=1)
 Fattore sisma: 1.00
 Angolo ingresso sisma [°]: 90

Condizione di carico	Fattore di combinazione	Massa	Fattore massa
Peso Proprio	1	Si	1
QP Solai	1	Si	1
QFissi Solai	1	Si	1
Pressione dinamica treno inizio	0.2	No	1
Pressione dinamica treno fine	0.2	No	1
T.E. SLE	1	No	1

Sisma Verticale:

Il sisma verticale è associato ad ognuna delle combinazioni sismiche orizzontali precedenti, ad una combinazione sismica orizzontale di tipo SLV è associata la prima combinazione SLV del sisma verticale, analogamente per per lo stato limite SLD

Tipo	Spettro	F.Sisma	Cond.Carico	Massa	Fattore m.
Mod.+Vert GEO	SpettroNT-Z	1	Peso Proprio	Si	1
			QP Solai	Si	1
			QFissi Solai	Si	1

APPALTATORE: D'AGOSTINO ANGELO ANTONIO COSTRUZIONI GENERALI s.r.l.	RIASSETTO NODO DI BARI					
PROGETTISTA: Mandataria: Mandante: RPA srl Technital SpA HUB Engineering Scarl	TRATTA A SUD DI BARI – VARIANTE DI TRACCIATO TRA BARI CENTRALE E BARI TORRE A MARE					
PROGETTO ESECUTIVO: Relazione di calcolo pensilina	PROGETTO	LOTTO	CODIFICA	DOCUMENTO	REV.	FOGLIO
	IA3S	01	E ZZ CL	FV030C 001	C	41 DI 129

7. INDICAZIONI SUL SOFTWARE UTILIZZATO

Autori:	dott. ing. Dario PICA prof. ing. Paolo BISEGNA dott. ing. Donato Sista
Produzione e distribuzione	SOFT.LAB srl via Borgo II - 82030 PONTE (BN) tel. ++39 (824) 874392 fax ++39 (824) 874431 internet: http://www.soft.lab.it e.mail: info@soft.lab.it
Sigla:	IperSpaceBIM 4.0.1
Licenza n.	Concesso in licenza a GROMA SRLS GROMA SRLS codice utente C0093905

Il modello di calcolo assunto è di tipo spaziale e l'analisi condotta è una Analisi Elastica Lineare.

Il modello di calcolo è definito dalla posizione dei nodi collegati da elementi di tipo Beam o elementi di tipo shell, a comportamento sia flessionale che membranale; l'elemento finito shell utilizzato è anche in grado di esprimere una rigidità rotazionale in direzione ortogonale al suo piano.

L'analisi sismica utilizzata è l'analisi modale con Combinazione Quadratica Completa degli effetti del sisma. Il modello è stato analizzato sia per le combinazioni dei carichi verticali sia per le combinazioni di carico verticale e sisma. Un particolare chiarimento richiede la definizione delle masse nell'analisi sismica.

Pur avendo considerato il modello con impalcati rigidi non si rende necessario calcolare il modello con la metodologia del MASTER-SLAVE, in quanto gli impalcati rigidi sono stati modellati con elementi di tipo shell a comportamento membranale in corrispondenza dei campi di solaio. Per ottenere tale modellazione il programma inserisce in automatico elementi di tipo shell a comportamento membranale in corrispondenza del campo di solaio intercluso tra una maglia di travi; la loro rigidità membranale è sufficientemente alta da rendere il campo di solaio rigido nel proprio piano, ma tale da non condizionare in modo errato la matrice di rigidità della struttura.

Qualora una maglia di travi non sia collegata da solai, lo shell non viene inserito rendendo tale campo libero di deformarsi con il solo vincolo dato dalle travi; la rigidità flessionale delle travi è trascurabile rispetto a quella degli elementi che contornano il campo, per cui lo shell impone un vincolo orizzontale solo nel piano dell'impalcato tra i nodi collegati; pertanto, non è necessario definire preventivamente il centro di massa e momento d'inerzia delle masse poiché le masse sono trasferite direttamente nei nodi del modello (modello Lumped Mass) dal codice di calcolo.

Il metodo per calcolare le masse nei nodi può essere quello per aree di influenza, ma questo richiederebbe l'intervento diretto dell'operatore; il codice di calcolo utilizza una metodologia leggermente più raffinata per tener conto del fatto che su un elemento il carico portato non è uniforme. Il codice di calcolo, infatti, considera i carichi presenti sull'asta, che sono stati indicati come quelli che contribuiscono alla formazione della massa (tipicamente $G + y2Q$) e calcola le reazioni di incastro perfetto verticali; tali reazioni divise per l'accelerazione di gravità g forniscono il contributo dell'elemento alla determinazione della massa del nodo e, sommando i contributi di tutti gli elementi che convergono nel nodo, si ottiene la massa complessiva.

Per gli elementi shell invece si utilizza il metodo delle aree di influenza: in ognuno dei 3 oppure 4 nodi che definiscono lo shell si assegna $1/3$ oppure $1/4$ del peso dell'elemento shell e $1/3$ oppure $1/4$ dell'eventuale carico variabile ridotto; sommando i contributi di tutti gli shell che convergono nel nodo si ottiene la massa da assegnare a quest'ultimo.

APPALTATORE: D'AGOSTINO ANGELO ANTONIO COSTRUZIONI GENERALI s.r.l.	RIASSETTO NODO DI BARI					
PROGETTISTA: <u>Mandatario:</u> <u>Mandante:</u> RPA srl Technital SpA HUB Engineering Scarl	TRATTA A SUD DI BARI – VARIANTE DI TRACCIATO TRA BARI CENTRALE E BARI TORRE A MARE					
PROGETTO ESECUTIVO: Relazione di calcolo pensilina	PROGETTO	LOTTO	CODIFICA	DOCUMENTO	REV.	FOGLIO
	IA3S	01	E ZZ CL	FV030C 001	C	42 DI 129

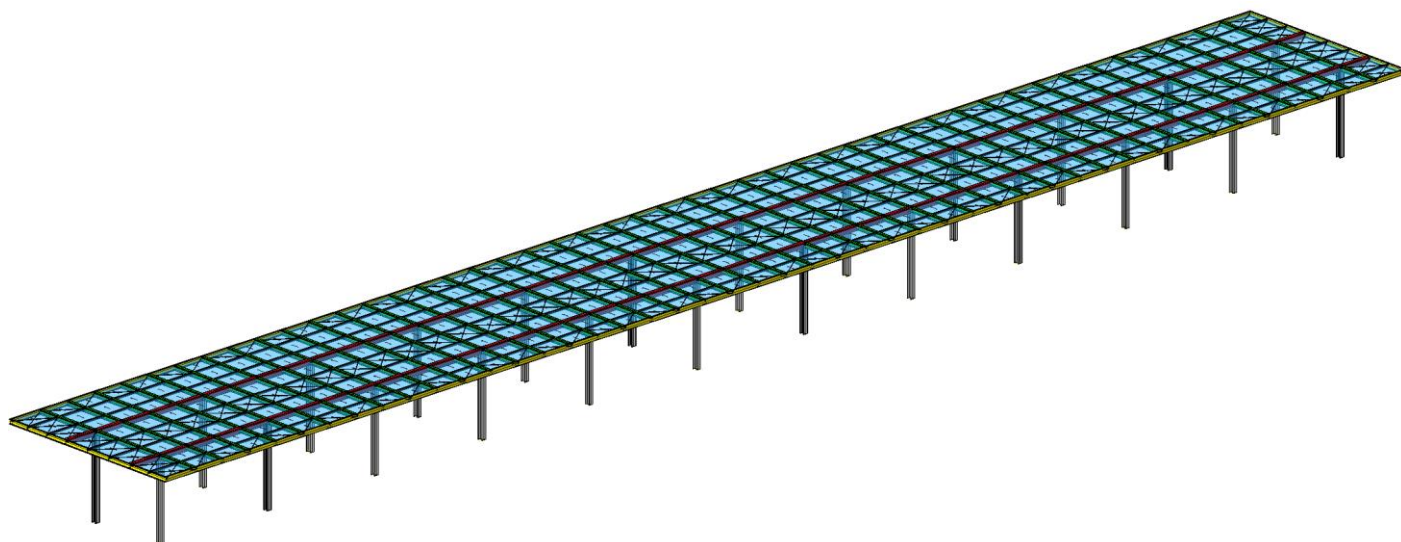
8. SCHEMA DI CALCOLO E CALCOLO DELLE SOLLECITAZIONI

8.1 Modellazione FEM

La modellazione dell'organismo strutturale è stata eseguita con il programma di calcolo agli elementi finiti Iperspace BIM 4. È stato realizzato un modello di calcolo tridimensionale: tutte le aste sono state modellate come elementi frame, monodimensionali, a ciascuno dei quali si è assegnata la sezione in acciaio corrispondente ed il criterio di verifica da adottare. Nel tabulato di calcolo si riportano i vincoli imposti alle varie aste; nello specifico, per i pilastri si considera un vincolo di incastro agli elementi di fondazione.

Di seguito si riportano alcune viste estratte dall'analisi della struttura; in queste vengono riportate le numerazioni degli elementi così da semplificare la lettura dei risultati del tabulato di calcolo allegato.

Figura 8-1 Vista d'insieme della struttura



APPALTATORE: D'AGOSTINO ANGELO ANTONIO COSTRUZIONI GENERALI s.r.l.	RIASSETTO NODO DI BARI					
PROGETTISTA: Mandataria: Mandante:	TRATTA A SUD DI BARI – VARIANTE DI TRACCIATO TRA BARI CENTRALE E BARI TORRE A MARE					
RPA srl Technital SpA HUB Engineering Scarl						
PROGETTO ESECUTIVO: Relazione di calcolo pensilina	PROGETTO	LOTTO	CODIFICA	DOCUMENTO	REV.	FOGLIO
	IA3S	01	E ZZ CL	FV030C 001	C	43 DI 129

Figura 8-2 Numerazione dei nodi

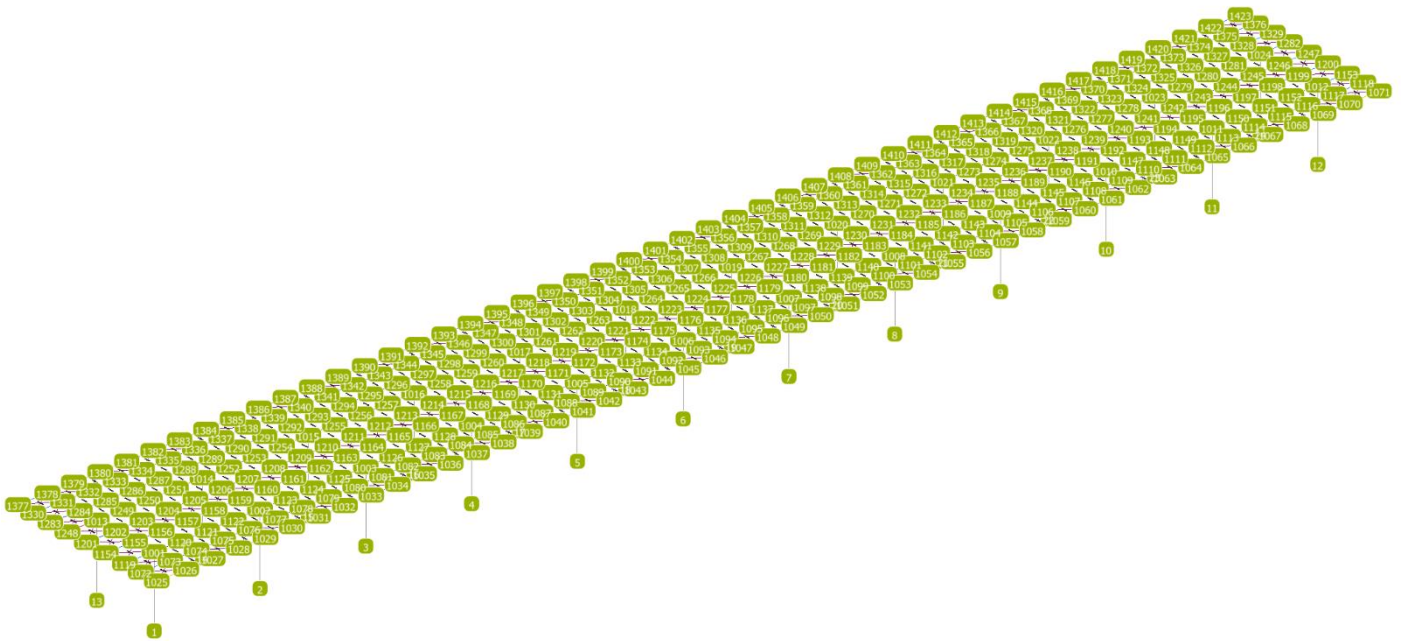
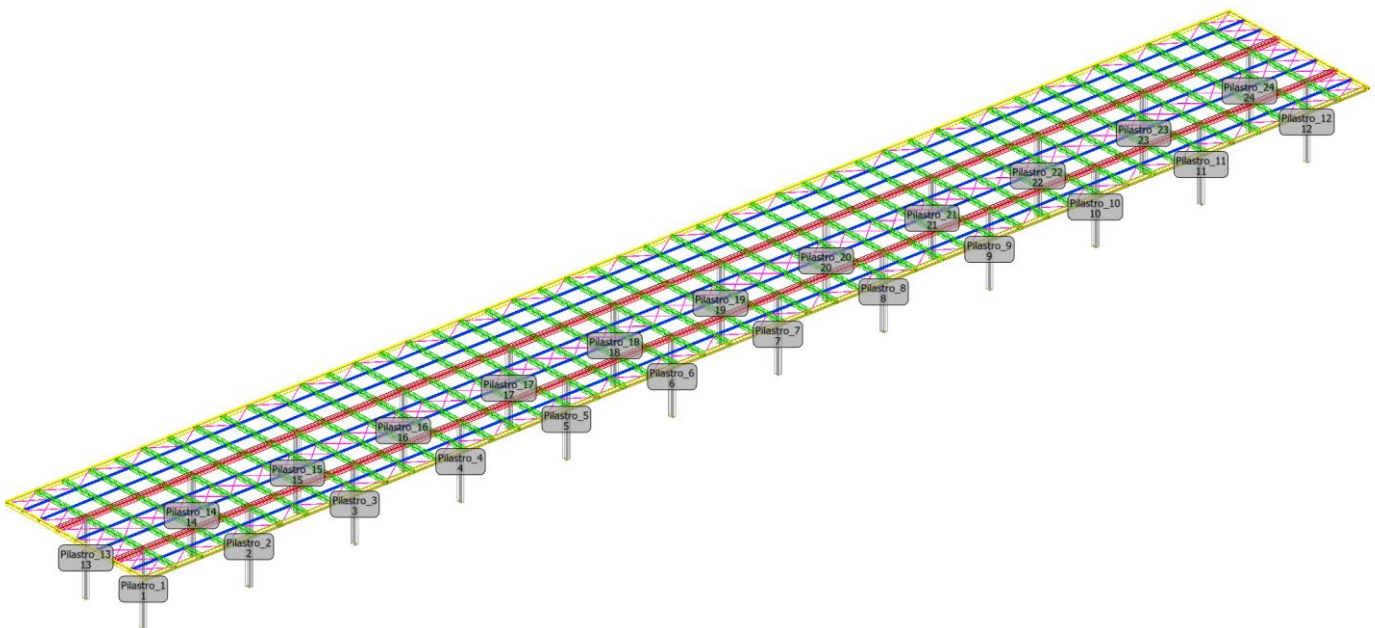


Figura 8-3 Numerazione pilastri



APPALTATORE: D'AGOSTINO ANGELO ANTONIO COSTRUZIONI GENERALI s.r.l.	RIASSETTO NODO DI BARI					
PROGETTISTA: Mandataria: Mandante: RPA srl Technital SpA HUB Engineering Scarl	TRATTA A SUD DI BARI – VARIANTE DI TRACCIATO TRA BARI CENTRALE E BARI TORRE A MARE					
PROGETTO ESECUTIVO: Relazione di calcolo pensilina	PROGETTO IA3S	LOTTO 01	CODIFICA E ZZ CL	DOCUMENTO FV030C 001	REV. C	FOGLIO 44 DI 129

Figura 8-4 Numerazione trave principale HE260B

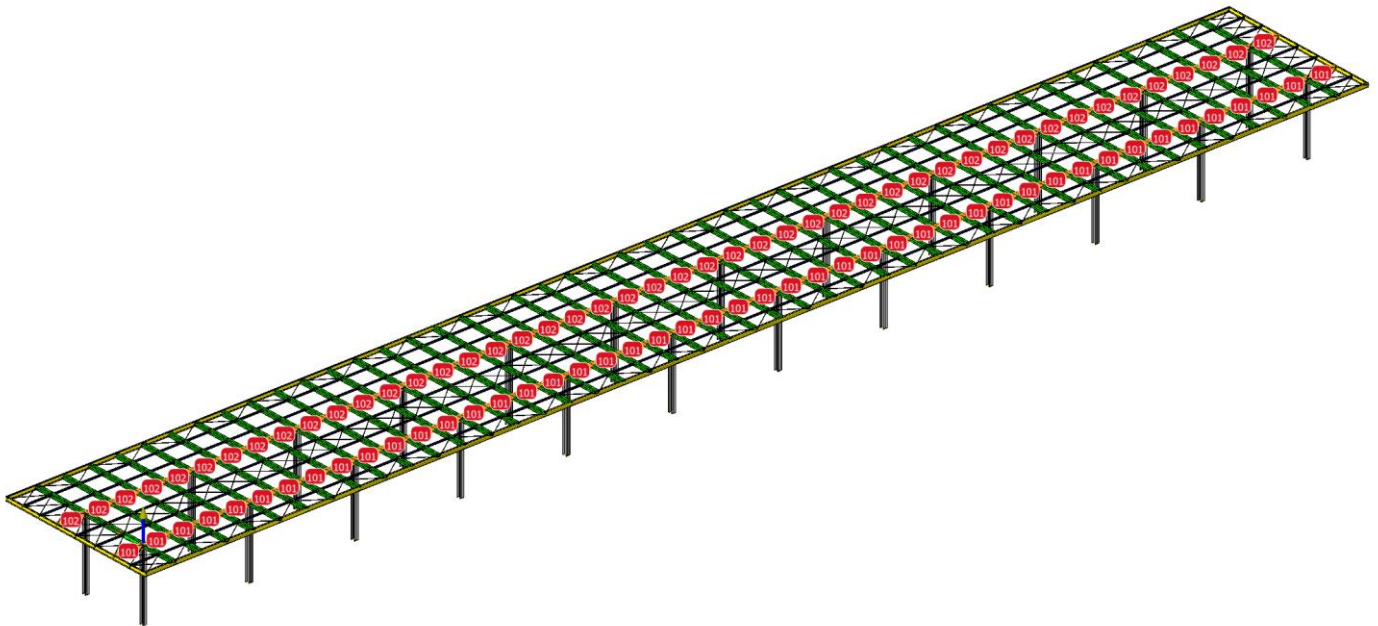
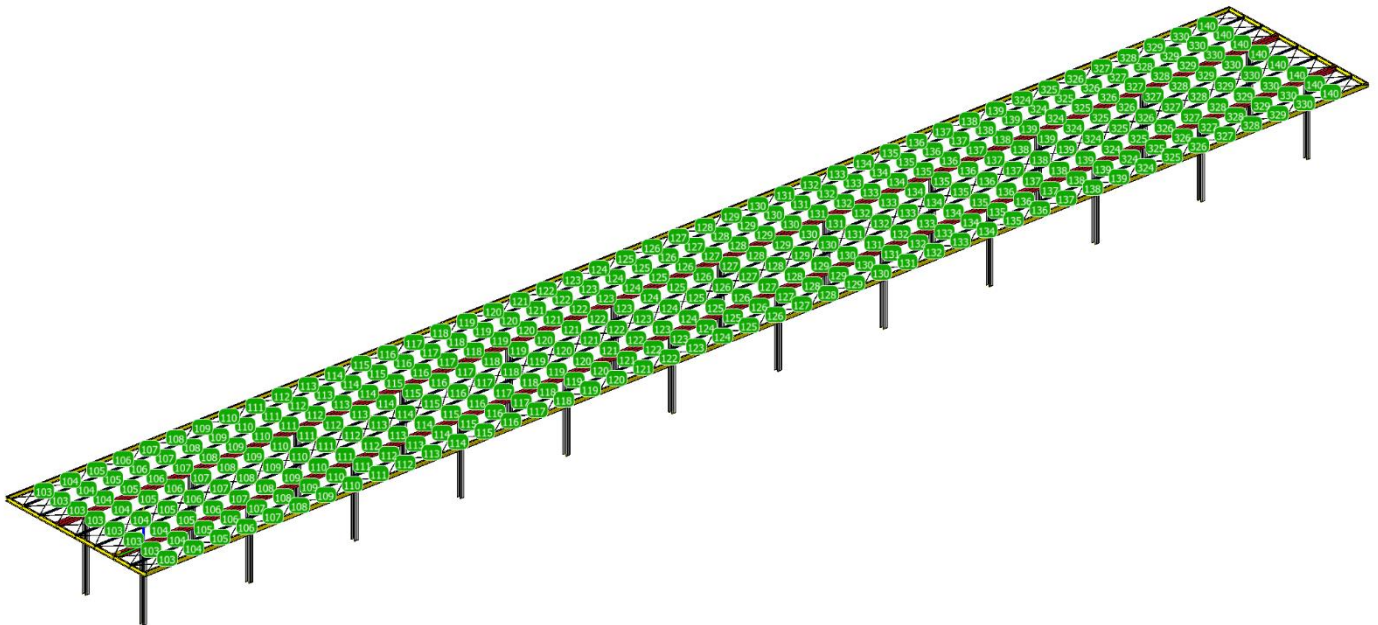


Figura 8-5 Numerazione travi principali HE220B



APPALTATORE: D'AGOSTINO ANGELO ANTONIO COSTRUZIONI GENERALI s.r.l.	RIASSETTO NODO DI BARI					
PROGETTISTA: Mandataria: Mandante: RPA srl Technital SpA HUB Engineering Scarl	TRATTA A SUD DI BARI – VARIANTE DI TRACCIATO TRA BARI CENTRALE E BARI TORRE A MARE					
PROGETTO ESECUTIVO: Relazione di calcolo pensilina	PROGETTO	LOTTO	CODIFICA	DOCUMENTO	REV.	FOGLIO
	IA3S	01	E ZZ CL	FV030C 001	C	45 DI 129

Figura 8-6 Numerazione travi principali IPE100

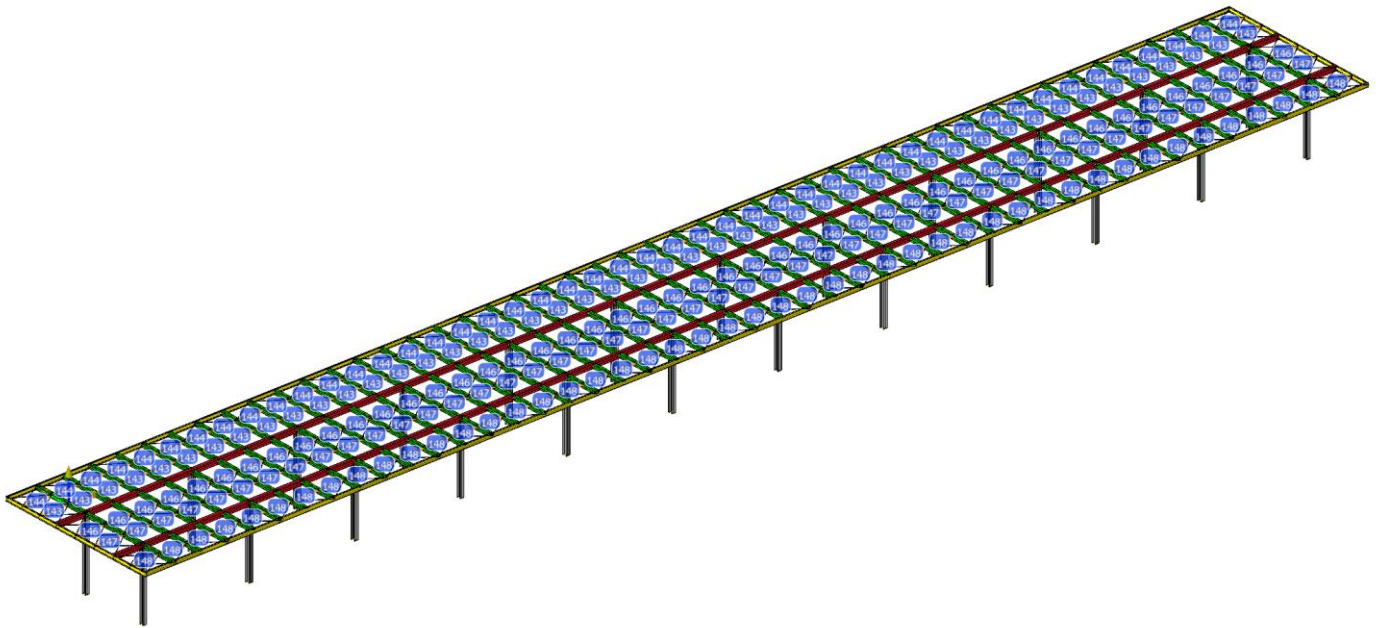
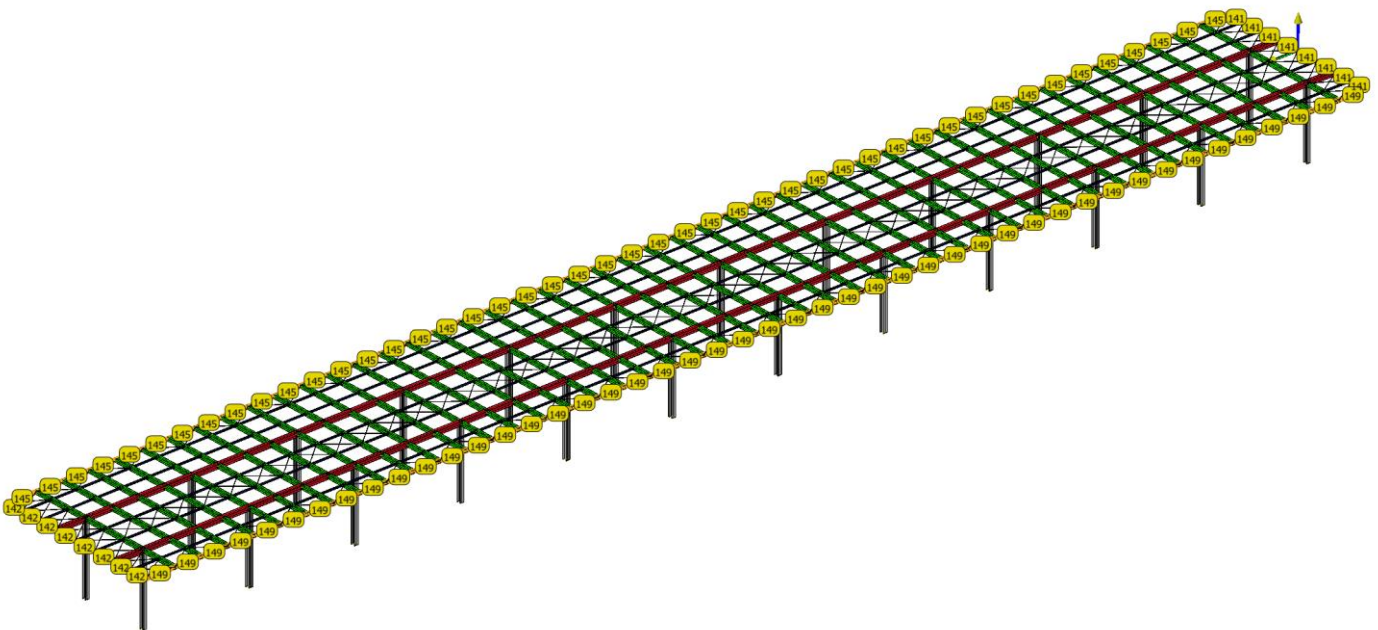


Figura 8-7 Numerazione travi principali UPN260



APPALTATORE: D'AGOSTINO ANGELO ANTONIO COSTRUZIONI GENERALI s.r.l.	RIASSETTO NODO DI BARI					
PROGETTISTA: Mandataria: Mandante: RPA srl Technital SpA HUB Engineering Scarl	TRATTA A SUD DI BARI – VARIANTE DI TRACCIATO TRA BARI CENTRALE E BARI TORRE A MARE					
PROGETTO ESECUTIVO: Relazione di calcolo pensilina	PROGETTO IA3S	LOTTO 01	CODIFICA E ZZ CL	DOCUMENTO FV030C 001	REV. C	FOGLIO 46 DI 129

8.2 Modi di vibrare, masse modali e coefficienti di partecipazione modale

Di seguito si riportano i risultati dell'analisi in termini di risposta modale; in particolare si riportano i modi di vibrare significativi e le masse partecipanti.

Posizione masse 1

Numero di Frequenze calcolate =8, filtrate=3

N	T	Coeff. Partecipazione		Masse Modali		Percentuali	
		s		kgm*g			
		Dir=0°	Dir=90°	Dir=0°	Dir=90°	Dir=0°	Dir=90°
1(1)	0.4185	104.359	-0.001	106802	0	99.78	0.00
2(2)	0.3097	-0.001	-102.768	0	103571	0.00	96.76
3(4)	0.2388	0.001	-11.566	0	1312	0.00	1.23
Somma delle Masse Modali [kgm*g]				106802	104882		
Masse strutturali libere [kgm*g]				107034	107034		
Percentuale				99.78	97.99	99.78	97.99

Masse e coefficienti di partecipazione rotazionali:

N	T(s)	Coeff. Partecipazione	Masse Modali		Percentuali
			kgm*g		
1(1)	0.4185	56.631	31451	0.06	
2(2)	0.3097	1.122	12	0.00	
3(4)	0.2388	-0.312	1	0.00	

Posizione masse 2

Numero di Frequenze calcolate =8, filtrate=4

N	T	Coeff. Partecipazione		Masse Modali		Percentuali	
		s		kgm*g			
		Dir=0°	Dir=90°	Dir=0°	Dir=90°	Dir=0°	Dir=90°
1(1)	0.4198	104.272	-1.075	106624	11	99.62	0.01
2(2)	0.3293	-2.777	-84.053	76	69283	0.07	64.73
3(3)	0.2854	-2.064	56.521	42	31328	0.04	29.27
4(6)	0.2340	0.243	-19.203	1	3616	0.00	3.38
Somma delle Masse Modali [kgm*g]				106742	104239		
Masse strutturali libere [kgm*g]				107034	107034		
Percentuale				99.73	97.39	99.73	97.39

Masse e coefficienti di partecipazione rotazionali:

N	T(s)	Coeff. Partecipazione	Masse Modali		Percentuali
			kgm*g		
1(1)	0.4198	-64.896	41300	0.08	
2(2)	0.3293	-1612.983	25514096	48.24	
3(3)	0.2854	-1377.501	18608216	35.18	
4(6)	0.2340	824.941	6673700	12.62	

Posizione masse 3

Numero di Frequenze calcolate =8, filtrate=3

N	T	Coeff. Partecipazione		Masse Modali		Percentuali	
		s		kgm*g			
		Dir=0°	Dir=90°	Dir=0°	Dir=90°	Dir=0°	Dir=90°

APPALTATORE: D'AGOSTINO ANGELO ANTONIO COSTRUZIONI GENERALI s.r.l.	RIASSETTO NODO DI BARI												
PROGETTISTA: Mandataria: Mandante: RPA srl Technital SpA HUB Engineering Scarl													
PROGETTO ESECUTIVO: Relazione di calcolo pensilina	<table border="1"> <tr> <td>PROGETTO</td> <td>LOTTO</td> <td>CODIFICA</td> <td>DOCUMENTO</td> <td>REV.</td> <td>FOGLIO</td> </tr> <tr> <td>IA3S</td> <td>01</td> <td>E ZZ CL</td> <td>FV030C 001</td> <td>C</td> <td>47 DI 129</td> </tr> </table>	PROGETTO	LOTTO	CODIFICA	DOCUMENTO	REV.	FOGLIO	IA3S	01	E ZZ CL	FV030C 001	C	47 DI 129
PROGETTO	LOTTO	CODIFICA	DOCUMENTO	REV.	FOGLIO								
IA3S	01	E ZZ CL	FV030C 001	C	47 DI 129								

N	T	Coeff. Partecipazione		Masse Modali		Percentuali	
1(1)	0.4218	-104.132	0.001	106337	0	99.35	0.00
2(2)	0.3110	0.001	-102.160	0	102349	0.00	95.62
3(3)	0.2993	5.599	0.053	307	0	0.29	0.00
Somma delle Masse Modali [kgm*g]				106645	102349		
Masse strutturali libere [kgm*g]				107034	107034		
Percentuale				99.64	95.62	99.64	95.62

Masse e coefficienti di partecipazione rotazionali:

N	T(s)	Coeff. Partecipazione		Masse Modali		Percentuali	
				kgm*g			
1(1)	0.4218		173.378		294789		0.56
2(2)	0.3110		1.183		14		0.00
3(3)	0.2993		2262.944		50219012		94.97

Posizione masse 4

Numero di Frequenze calcolate =8, filtrate=4

N	T	Coeff. Partecipazione		Masse Modali		Percentuali		
		s		kgm*g				
				Dir=0°	Dir=90°	Dir=0°	Dir=90°	
1(1)	0.4198		104.272	1.074	106624	11	99.62	0.01
2(2)	0.3293		2.776	-84.043	76	69267	0.07	64.71
3(3)	0.2854		2.064	56.534	42	31343	0.04	29.28
4(6)	0.2340		-0.241	-19.206	1	3617	0.00	3.38
Somma delle Masse Modali [kgm*g]				106742	104238			
Masse strutturali libere [kgm*g]				107034	107034			
Percentuale				99.73	97.39	99.73	97.39	

Masse e coefficienti di partecipazione rotazionali:

N	T(s)	Coeff. Partecipazione		Masse Modali		Percentuali	
				kgm*g			
1(1)	0.4198		-64.897		41302		0.08
2(2)	0.3293		1613.122		25518513		48.25
3(3)	0.2854		1377.020		18595221		35.16
4(6)	0.2340		-825.593		6684245		12.64

Sisma Verticale

Numero di Frequenze calcolate =180, filtrate=41

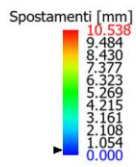
N	T	Coeff. Partecipazione		Masse Modali		Percentuali	
		s		kgm*g			
				SVert.	SVert.	SVert.	SVert.
1(4)	0.2249		-3.915		150		0.14
2(6)	0.2089		-5.784		328		0.31
3(8)	0.1985		10.664		1115		1.04
4(10)	0.1938		-35.037		12038		11.25
5(20)	0.1750		5.979		351		0.33
6(28)	0.1732		9.566		897		0.84
7(29)	0.1591		-5.670		315		0.29
8(30)	0.1588		-16.244		2588		2.42
9(32)	0.1488		3.995		156		0.15
10(34)	0.1386		4.775		224		0.21
11(35)	0.1343		18.150		3231		3.02

APPALTATORE: D'AGOSTINO ANGELO ANTONIO COSTRUZIONI GENERALI s.r.l.	RIASSETTO NODO DI BARI					
PROGETTISTA: Mandataria: Mandante: RPA srl Technital SpA HUB Engineering Scarl						
PROGETTO ESECUTIVO: Relazione di calcolo pensilina	PROGETTO	LOTTO	CODIFICA	DOCUMENTO	REV.	FOGLIO
	IA3S	01	E ZZ CL	FV030C 001	C	48 DI 129

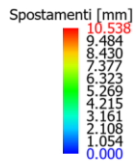
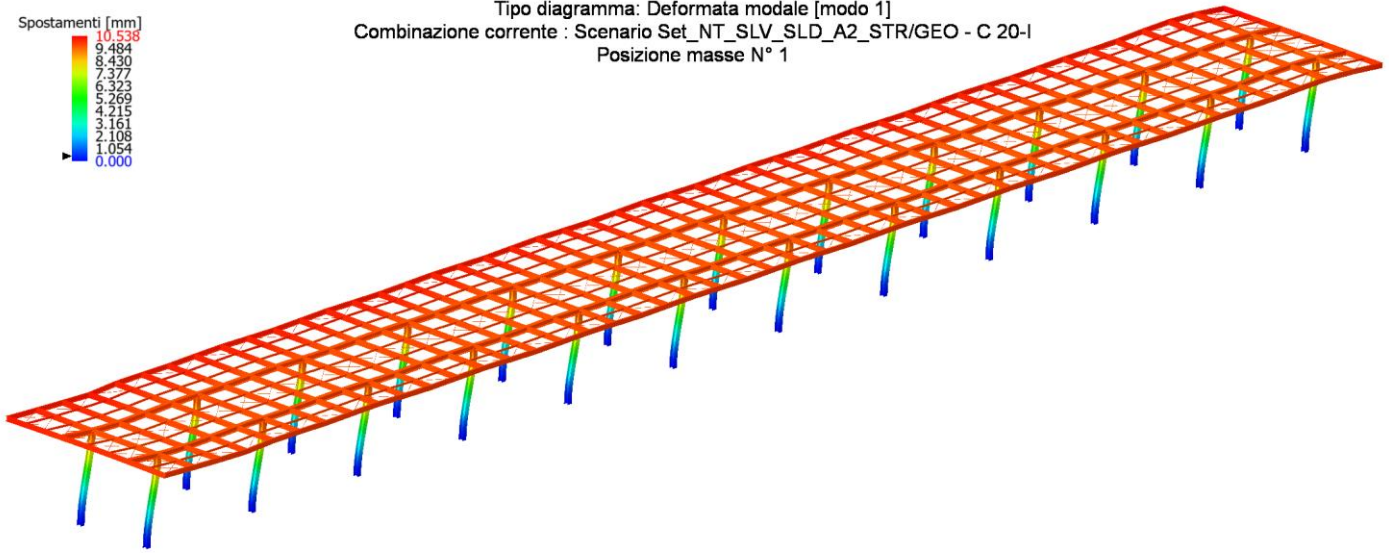
N	T	Coeff. Partecipazione	Masse Modali	Percentuali
12(45)	0.1268	-6.000	353	0.33
13(47)	0.1179	-9.154	822	0.77
14(49)	0.1131	27.049	7175	6.70
15(57)	0.0919	3.528	122	0.11
16(59)	0.0910	-3.480	119	0.11
17(61)	0.0903	-3.446	116	0.11
18(72)	0.0871	3.836	144	0.13
19(73)	0.0852	4.818	228	0.21
20(74)	0.0851	5.886	340	0.32
21(75)	0.0838	10.277	1036	0.97
22(77)	0.0740	14.393	2032	1.90
23(79)	0.0685	-24.360	5819	5.44
24(81)	0.0675	-48.722	23279	21.75
25(82)	0.0668	-6.976	477	0.45
26(90)	0.0609	40.185	15836	14.80
27(92)	0.0552	-5.838	334	0.31
28(124)	0.0323	4.002	157	0.15
29(126)	0.0322	12.767	1598	1.49
30(128)	0.0307	-5.416	288	0.27
31(132)	0.0284	3.790	141	0.13
32(134)	0.0278	-7.896	611	0.57
33(136)	0.0274	4.488	198	0.18
34(139)	0.0271	-19.914	3889	3.63
35(141)	0.0271	-3.444	116	0.11
36(159)	0.0249	-3.505	121	0.11
37(161)	0.0243	5.647	313	0.29
38(169)	0.0233	11.058	1199	1.12
39(171)	0.0221	10.874	1160	1.08
40(176)	0.0209	16.922	2808	2.62
41(179)	0.0208	-3.392	113	0.11
Somma delle Masse Modali [kgm*g]			92337	
Masse strutturali libere [kgm*g]			107034	
Percentuale			86.27	86.27

APPALTATORE: D'AGOSTINO ANGELO ANTONIO COSTRUZIONI GENERALI s.r.l.	RIASSETTO NODO DI BARI					
PROGETTISTA: Mandataria: Mandante: RPA srl Technital SpA HUB Engineering Scarl	TRATTA A SUD DI BARI – VARIANTE DI TRACCIATO TRA BARI CENTRALE E BARI TORRE A MARE					
PROGETTO ESECUTIVO: Relazione di calcolo pensilina	PROGETTO	LOTTO	CODIFICA	DOCUMENTO	REV.	FOGLIO
	IA3S	01	E ZZ CL	FV030C 001	C	49 DI 129

Deformata per sisma direzione X Modo di vibrare 1



Tipo diagramma: Deformata modale [modo 1]
 Combinazione corrente : Scenario Set_NT_SLV_SLD_A2_STR/GEO - C 20-I
 Posizione masse N° 1

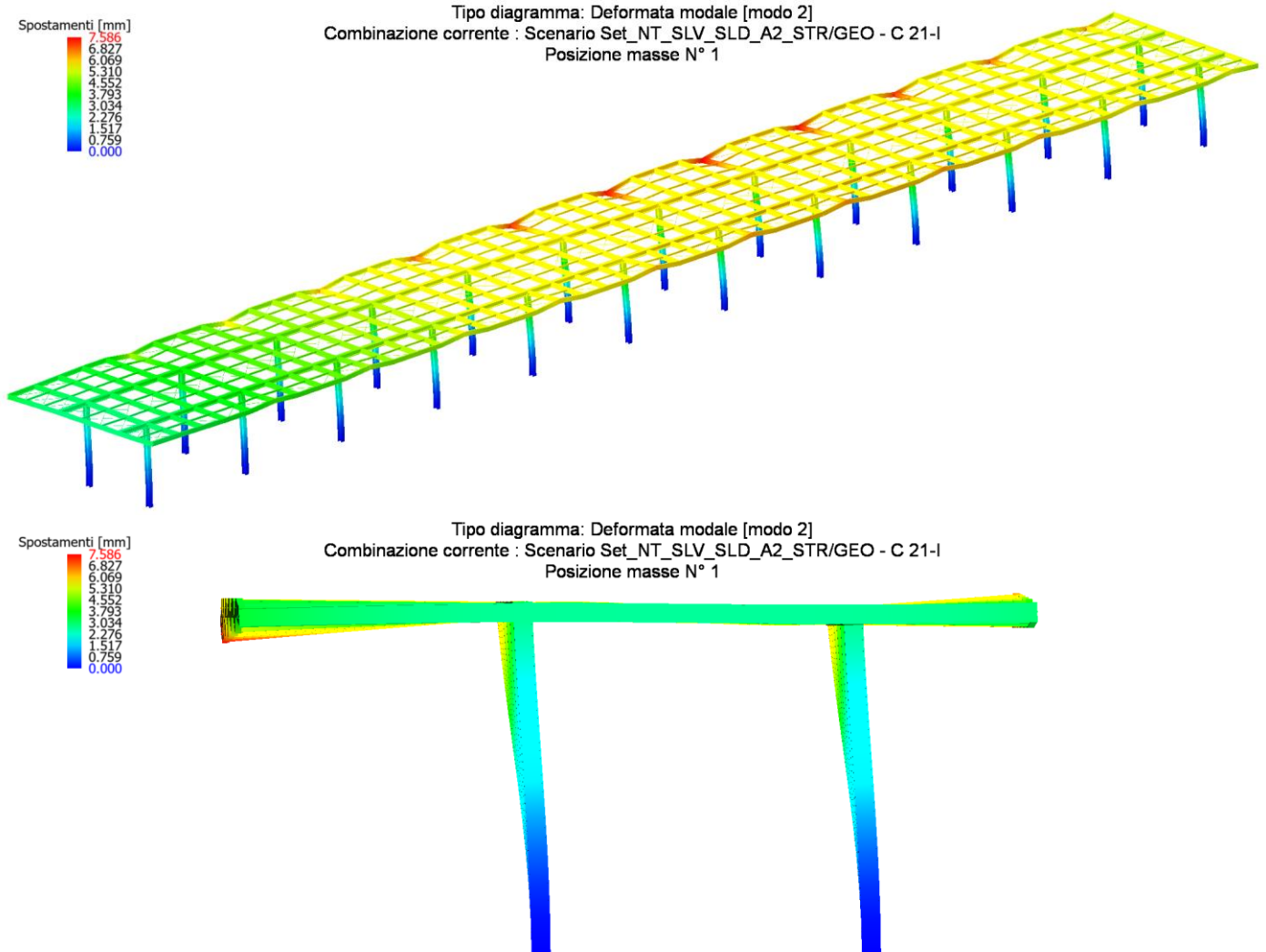


Tipo diagramma: Deformata modale [modo 1]
 Combinazione corrente : Scenario Set_NT_SLV_SLD_A2_STR/GEO - C 20-I
 Posizione masse N° 1



APPALTATORE: D'AGOSTINO ANGELO ANTONIO COSTRUZIONI GENERALI s.r.l.	RIASSETTO NODO DI BARI					
PROGETTISTA: Mandataria: Mandante: RPA srl Technital SpA HUB Engineering Scarl	TRATTA A SUD DI BARI – VARIANTE DI TRACCIATO TRA BARI CENTRALE E BARI TORRE A MARE					
PROGETTO ESECUTIVO: Relazione di calcolo pensilina	PROGETTO	LOTTO	CODIFICA	DOCUMENTO	REV.	FOGLIO
	IA3S	01	E ZZ CL	FV030C 001	C	50 DI 129

Deformata per sisma direzione Y Modo di vibrare 2



8.3 Criteri di verifica

Le verifiche di sicurezza sono state effettuate sulla base dei criteri definiti nelle vigenti norme tecniche - "Norme tecniche per le costruzioni" - DM 14.1.2008 -, tenendo inoltre conto delle integrazioni riportate nel "Manuale di progettazione delle opere civili" - RFI DTC SI MA IFS 001 A.

In particolare vengono effettuate le verifiche agli stati limite di servizio ed allo stato limite ultimo. Le combinazioni di carico considerate ai fini delle verifiche sono quelle indicate in precedenza.

Di seguito, per ogni tipologia di elemento modellato si riportano i criteri di verifica ed i coefficienti imposti.

APPALTATORE: D'AGOSTINO ANGELO ANTONIO COSTRUZIONI GENERALI s.r.l.	RIASSETTO NODO DI BARI					
PROGETTISTA: Mandatario: Mandante: RPA srl Technital SpA HUB Engineering Scarl	TRATTA A SUD DI BARI – VARIANTE DI TRACCIATO TRA BARI CENTRALE E BARI TORRE A MARE					
PROGETTO ESECUTIVO: Relazione di calcolo pensilina	PROGETTO IA3S	LOTTO 01	CODIFICA E ZZ CL	DOCUMENTO FV030C 001	REV. C	FOGLIO 51 DI 129

8.3.1 Verifiche agli stati limite di esercizio

8.3.1.1 Verifica spostamento relativo impalcati

Per le costruzioni ricadenti in classe d'uso I e II si deve verificare che l'azione sismica di progetto non produca agli elementi costruttivi senza funzione strutturale danni tali da rendere la costruzione temporaneamente inagibile.

Nel caso delle costruzioni civili e industriali, qualora la temporanea inagibilità sia dovuta a spostamenti eccessivi interpiano, questa condizione si può ritenere soddisfatta quando gli spostamenti interpiano ottenuti dall'analisi in presenza dell'azione sismica di progetto relativa allo SLD (v. § 3.2.1 e § 3.2.3.2) siano inferiori ai limiti indicati nel seguito

a) per tamponamenti collegati rigidamente alla struttura che interferiscono con la deformabilità della stessa

$$dr < 0,005 h$$

Per le costruzioni ricadenti in classe d'uso III e IV si deve verificare che l'azione sismica di progetto non produca danni agli elementi costruttivi senza funzione strutturale tali da rendere temporaneamente non operativa la costruzione.

Nel caso delle costruzioni civili e industriali questa condizione si può ritenere soddisfatta quando gli spostamenti interpiano ottenuti dall'analisi in presenza dell'azione sismica di progetto relativa allo SLO (v. § 3.2.1 e § 3.2.3.2) siano inferiori ai 2/3 dei limiti in precedenza indicati.

8.3.1.2 Verifica deformabilità struttura metallica

Le verifiche degli spostamenti orizzontali lungo X (U1) e lungo Y (U2) e degli abbassamenti/frecce (U3) dovuti al carico accidentale (δ_2) e al carico permanente + accidentale (δ_{max}) nella combinazione caratteristica dovranno essere inferiori alle limitazioni di seguito riportate:

- Abbassamenti delle travi di copertura:

$$\frac{\delta_{max}}{l} < \frac{1}{200}$$

$$\frac{\delta_2}{l} < \frac{1}{250}$$

- Spostamenti laterali alla sommità delle colonne:

$$\frac{\delta}{H} < \frac{1}{300}$$

8.3.2 Verifiche agli stati limite ultimi

Per le verifiche agli SLU si rimanda al paragrafo "Verifiche elementi principali".

8.3.3 Parametri di verifica

CLS Plinti		
Generici		
Resistenza caratteristica Rck	kg/cmq	300
Tensione caratteristica snervamento acciaio barre fyk	kg/cmq	4500
Tensione caratteristica snervamento acciaio staffe fyk	kg/cmq	4500
Deformazione unitaria ϵ_{c0}		0.002
Deformazione ultima ϵ_{cu}		0.0022

APPALTATORE: D'AGOSTINO ANGELO ANTONIO COSTRUZIONI GENERALI s.r.l.	RIASSETTO NODO DI BARI					
PROGETTISTA: Mandataria: Mandante: RPA srl Technital SpA HUB Engineering Scarl	TRATTA A SUD DI BARI – VARIANTE DI TRACCIATO TRA BARI CENTRALE E BARI TORRE A MARE					
PROGETTO ESECUTIVO: Relazione di calcolo pensilina	PROGETTO	LOTTO	CODIFICA	DOCUMENTO	REV.	FOGLIO
	IA3S	01	E ZZ CL	FV030C 001	C	52 DI 129

ϵ_{fu} (solo incrudimento)		0.002
Modulo elastico E acciaio	kg/cmq	2E06
Copriferro di calcolo	cm	5.6
Copriferro di disegno	cm	4.0
Coefficiente di sicurezza γ_{Cl} s		1.5
Coefficiente di sicurezza γ_{Acc}		1.15
Riduzione fcd calcestruzzo		0.85
Usa staffe minime di normativa in assenza di sisma		Si
Usa staffe minime di normativa in presenza di sisma		No
Generici N.T.		
Inclinazione bielle compresse $\cotg(\theta)$		1.00
Modello acciaio		Incrudente
Incrudimento E_y/E_0		0.000
Elemento esistente		No
Fessurazioni		
Verifica aperture fessure		Si
Classe di esposizione		XC2
Tipo armatura		Poco sensibile
Combinazione Rara		No
Combinazione QP		Si
W ammissibile Combinazione QP	mm	0.300
Combinazione Freq.		Si
W ammissibile Combinazione Freq.	mm	0.400
Valore caratteristico apertura fessure $w_k(*w_m)$		1
f_c efficace	kg/cmq	25.99
Coefficiente di breve o lunga durata k_t		0.40
Coefficiente di aderenza k_1		0.80
Tensioni ammissibili di esercizio		
Verifica Combinazione Rara		Si
Tensione ammissibile σ_{Cl} s	kg/cmq	149
Tensione ammissibile $\sigma_{Acciaio}$	kg/cmq	3600
Verifica Combinazione QP		Si
Tensione ammissibile σ_{Cl} s	kg/cmq	112
Tensione ammissibile $\sigma_{Acciaio}$	kg/cmq	3600
Verifica Combinazione Freq.		No
Coefficienti di omogeneizzazione		
Acciaio - Cls compresso		15
Cls tesoro - Cls compresso		0.5
Verifica plinti		
Copriferro verifiche	cm	4.0
Step armatura di verifica	cmq	0.50
Resistenza a taglio per elementi non armati		No
Verifica a pressoflessione deviata		Si

CLS_Dado		
Generici		
Resistenza caratteristica R_{ck}	kg/cmq	300
Tensione caratteristica snervamento acciaio barre f_{yk}	kg/cmq	4500
Tensione caratteristica snervamento acciaio staffe f_{yk}	kg/cmq	4500
Deformazione unitaria ϵ_{c0}		0.002

APPALTATORE: D'AGOSTINO ANGELO ANTONIO COSTRUZIONI GENERALI s.r.l.	RIASSETTO NODO DI BARI					
PROGETTISTA: Mandataria: Mandante: RPA srl Technital SpA HUB Engineering Scarl						
PROGETTO ESECUTIVO: Relazione di calcolo pensilina	PROGETTO	LOTTO	CODIFICA	DOCUMENTO	REV.	FOGLIO
	IA3S	01	E ZZ CL	FV030C 001	C	53 DI 129

Deformazione ultima ϵ_{cu}		0.0022
ϵ_{fu} (solo incrudimento)		0.002
Modulo elastico E acciaio	kg/cm ²	2E06
Copriferro di calcolo	cm	5.6
Copriferro di disegno	cm	4.0
Coefficiente di sicurezza γ_{ClS}		1.5
Coefficiente di sicurezza γ_{Acc}		1.15
Riduzione fcd calcestruzzo		0.85
Usa staffe minime di normativa in assenza di sisma		Si
Usa staffe minime di normativa in presenza di sisma		No
Generici N.T.		
Inclinazione bielle compresse $\cotg(\theta)$		1.00
Modello acciaio		Incrudente
Incrudimento E_y/E_0		0.000
Elemento esistente		No
Sforzo normale ammissibile v_{max} (CDA)		0.550
Sforzo normale ammissibile v_{max} (CDB)		0.650
Fessurazioni		
Verifica aperture fessure		Si
Classe di esposizione		XC2
Tipo armatura		Poco sensibile
Combinazione Rara		No
Combinazione QP		Si
W ammissibile Combinazione QP	mm	0.300
Combinazione Freq.		Si
W ammissibile Combinazione Freq.	mm	0.400
Valore caratteristico apertura fessure $w_k(*w_m)$		1
fc efficace	kg/cm ²	25.99
Coefficiente di breve o lunga durata kt		0.40
Coefficiente di aderenza k1		0.80
Tensioni ammissibili di esercizio		
Verifica Combinazione Rara		Si
Tensione ammissibile σ_{ClS}	kg/cm ²	149
Tensione ammissibile $\sigma_{Acciaio}$	kg/cm ²	3600
Verifica Combinazione QP		Si
Tensione ammissibile σ_{ClS}	kg/cm ²	112
Tensione ammissibile $\sigma_{Acciaio}$	kg/cm ²	3600
Coefficienti di omogeneizzazione		
Acciaio - Cls compresso		15
Cls tesoro - Cls compresso		0.5
Armatura pilastri		
Massimo numero di ferri in ogni spigolo		1
Diametro ferri di spigolo	mm	16
Diametro ferri laterali	mm	16
Diametro staffe	mm	8
Numero braccia staffe lato lungo		2
Minima percentuale armatura rispetto al Cls	%	0.00
Massima percentuale armatura rispetto al Cls	%	4.00
Verifica pilastri		
Verifica a carico di punta		No

APPALTATORE: D'AGOSTINO ANGELO ANTONIO COSTRUZIONI GENERALI s.r.l.	RIASSETTO NODO DI BARI					
PROGETTISTA: Mandataria: Mandante: RPA srl Technital SpA HUB Engineering Scarl	TRATTA A SUD DI BARI – VARIANTE DI TRACCIATO TRA BARI CENTRALE E BARI TORRE A MARE					
PROGETTO ESECUTIVO: Relazione di calcolo pensilina	PROGETTO IA3S	LOTTO 01	CODIFICA E ZZ CL	DOCUMENTO FV030C 001	REV. C	FOGLIO 54 DI 129

Verifica a pressoflessione deviata		Si
Verifica come pareti		No
Verifica a taglio pilastri		
Coefficiente di amplificazione γ_{Rd}		1.2
Sforzo normale ammissibile v_{max}		0.8
Effetto spinotto		Si
Effetto della pressoflessione		Si
Traslazione momento		Si
Considera la resistenza a taglio VRDns		NO
Verifica a taglio N.T. pilastri		
Coefficiente di amplificazione γ_{Rd} (CDA)		1.3
Coefficiente di amplificazione γ_{Rd} (CDB)		1.1

Cls aste collegamento Plinti_ND		
Generici		
Resistenza caratteristica Rck	kg/cm ²	300
Tensione caratteristica snervamento acciaio barre fyk	kg/cm ²	4500
Tensione caratteristica snervamento acciaio staffe fyk	kg/cm ²	4500
Deformazione unitaria ϵ_{c0}		0.002
Deformazione ultima ϵ_{cu}		0.0022
ϵ_{fu} (solo incrudimento)		0.002
Modulo elastico E acciaio	kg/cm ²	2E06
Copriferro di calcolo	cm	5.8
Copriferro di disegno	cm	4.0
Coefficiente di sicurezza γ_{Cl}		1.5
Coefficiente di sicurezza γ_{Acc}		1.15
Riduzione fcd calcestruzzo		0.85
Usa staffe minime di normativa in assenza di sisma		Si
Usa staffe minime di normativa in presenza di sisma		No
Generici N.T.		
Inclinazione bielle compresse $\cotg(\theta)$		1.00
Modello acciaio		Incrudente
Incrudimento E_y/E_0		0.000
Elemento esistente		No
Fessurazioni		
Verifica aperture fessure		Si
Classe di esposizione		XC2
Tipo armatura		Poco sensibile
Combinazione Rara		No
Combinazione QP		Si
W ammissibile Combinazione QP	mm	0.300
Combinazione Freq.		Si
W ammissibile Combinazione Freq.	mm	0.400
Valore caratteristico apertura fessure $w_k(*w_m)$		1.7
fc efficace	kg/cm ²	25.58
Coefficiente di breve o lunga durata kt		0.40
Coefficiente di aderenza k1		0.80
Tensioni ammissibili di esercizio		
Verifica Combinazione Rara		Si
Tensione ammissibile σ_{Cl}	kg/cm ²	149

APPALTATORE: D'AGOSTINO ANGELO ANTONIO COSTRUZIONI GENERALI s.r.l.	RIASSETTO NODO DI BARI					
PROGETTISTA: Mandataria: Mandante: RPA srl Technital SpA HUB Engineering Scarl						
PROGETTO ESECUTIVO: Relazione di calcolo pensilina	PROGETTO	LOTTO	CODIFICA	DOCUMENTO	REV.	FOGLIO
	IA3S	01	E ZZ CL	FV030C 001	C	55 DI 129

Tensione ammissibile σ Acciaio	kg/cmq	3600
Verifica Combinazione QP		Si
Tensione ammissibile σ Cls	kg/cmq	112
Tensione ammissibile σ Acciaio	kg/cmq	3600
Verifica Combinazione Freq.		No
Coefficienti di omogeneizzazione		
Acciaio - Cls compresso		15
Cls teso - Cls compresso		0.5
Armatura travi		
Numero di bracci delle staffe		2
Numero minimo di ferri superiori		2
Numero minimo di ferri inferiori		2
Numero minimo di ferri di parete		0
Numero reggistaffe superiori		0
Numero reggistaffe intermedi		0
Numero reggistaffe inferiori		0
Diametro ferri superiori	mm	16
Diametro ferri inferiori	mm	16
Diametro staffe	mm	10
Percentuale armatura rispetto alla base per verifica a taglio	%	100.00
Minima percentuale armatura compressa rispetto alla tesa	%	100.00
Minima percentuale armatura rispetto al Cls	%	0.20
Massima percentuale armatura rispetto al Cls	%	1.55
Calcolo travi		
Traslazione momento		Si
Verifica a taglio travi		
Coefficiente di sovra resistenza γR_d		1.2
Includi effetto spinotto nel taglio		Si
Includi effetto della pressoflessione nel taglio		Si
Verifica a taglio N.T. travi		
Coefficiente di sovra resistenza γR_d (CDA)		1.2
Coefficiente di sovra resistenza γR_d (CDB)		1

Acciaio FlessTors		
Verifiche		
Tipo di acciaio		S275
σ amm (T<40mm)	kg/cmq	1800
σ amm (T>40mm)	kg/cmq	1700
Fy (T<40mm)	kg/cmq	2750
Fy (T>40mm)	kg/cmq	2550
Ft (T<40mm)	kg/cmq	4300
Ft (T>40mm)	kg/cmq	4100
Piano di verifica		η
Tipo di instabilità		Flessotorsione
λ Max		200
Coefficiente di sicurezza γ_s		1.5
Coefficiente di adattamento plastico Ψ_x		1
Coefficiente di adattamento plastico Ψ_y		1
Costante di ingobbamento Jw		1
Usa β		No

APPALTATORE: D'AGOSTINO ANGELO ANTONIO COSTRUZIONI GENERALI s.r.l.	RIASSETTO NODO DI BARI					
PROGETTISTA: Mandataria: Mandante: RPA srl Technital SpA HUB Engineering Scarl	TRATTA A SUD DI BARI – VARIANTE DI TRACCIATO TRA BARI CENTRALE E BARI TORRE A MARE					
PROGETTO ESECUTIVO: Relazione di calcolo pensilina	PROGETTO	LOTTO	CODIFICA	DOCUMENTO	REV.	FOGLIO
	IA3S	01	E ZZ CL	FV030C 001	C	56 DI 129

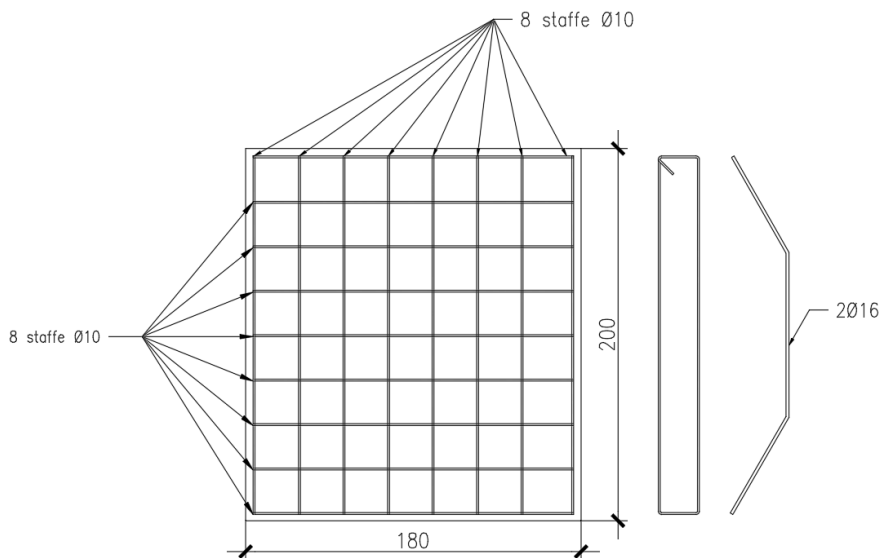
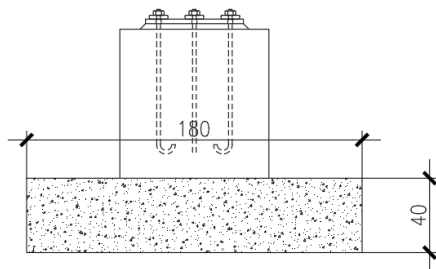
Escludi momento flettente trasversale Mz		No
Verifica come pendolo		No
Carichi estradossati		No
Verifiche N.T. SLU		
Coefficiente di sicurezza γ_M		1.05
Usa CNR 10011		No
Stampe		
Combinazioni di verifica		Più gravosa
Verifiche N.T. SLE		
Verifica degli spostamenti verticali		Si
Monta iniziale della trave δ_c	cm	0.0
Limite spostamento nello stato finale	mm	L/250.00
Limite spostamento nello stato finale (mensola)	mm	L/125.00
Limite spostamento dovuto ai soli carichi variabili	mm	L/300.00
Limite spostamento dovuto ai soli carichi variabili (mensola)	mm	L/150.00

Acciaio_Pressflessione		
Verifiche		
Tipo di acciaio		S275
σ amm (T<40mm)	kg/cmq	1800
σ amm (T>40mm)	kg/cmq	1700
Fy (T<40mm)	kg/cmq	2750
Fy (T>40mm)	kg/cmq	2550
Ft (T<40mm)	kg/cmq	4300
Ft (T>40mm)	kg/cmq	4100
Piano di verifica		η
Tipo di instabilità		Pressoflessione senza svergolamento
λ Max		200
Coefficiente di sicurezza γ_s		1.5
Coefficiente di adattamento plastico Ψ_x		1
Coefficiente di adattamento plastico Ψ_y		1
Costante di ingobbamento Jw		1
Usa β		No
Escludi momento flettente trasversale Mz		No
Verifica come pendolo		No
Carichi estradossati		No
Verifiche N.T. SLU		
Coefficiente di sicurezza γ_M		1.05
Usa CNR 10011		No
Stampe		
Combinazioni di verifica		Più gravosa
Verifiche N.T. SLE		
Verifica degli spostamenti verticali		Si
Monta iniziale della trave δ_c	cm	0.0
Limite spostamento nello stato finale	mm	L/250.00
Limite spostamento nello stato finale (mensola)	mm	L/125.00
Limite spostamento dovuto ai soli carichi variabili	mm	L/300.00
Limite spostamento dovuto ai soli carichi variabili (mensola)	mm	L/150.00

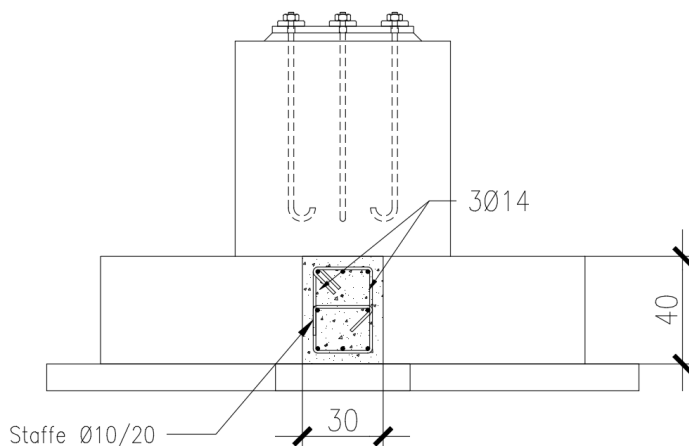
APPALTATORE: D'AGOSTINO ANGELO ANTONIO COSTRUZIONI GENERALI s.r.l.	RIASSETTO NODO DI BARI					
PROGETTISTA: Mandataria: Mandante: RPA srl Technital SpA HUB Engineering Scarl	TRATTA A SUD DI BARI – VARIANTE DI TRACCIATO TRA BARI CENTRALE E BARI TORRE A MARE					
PROGETTO ESECUTIVO: Relazione di calcolo pensilina	PROGETTO	LOTTO	CODIFICA	DOCUMENTO	REV.	FOGLIO
	IA3S	01	E ZZ CL	FV030C 001	C	57 DI 129

8.4 Armature, deformate ed involuppo diagrammi delle sollecitazioni

Di seguito si riportano le sezioni tipologiche con le armature correnti previste per la struttura oggetto di calcolo. In questa fase non è richiesta la rappresentazione delle zone in cui sarà necessario raffittire l'armatura. La rappresentazione completa delle armature sarà definita nella successiva fase di progettazione costruttiva. Analizzando le armature complessive da posare è possibile definire le seguenti incidenze di armatura:



Armatura plinto di fondazione
180x200x40
Incidenza armatura 130kg/m³



Armatura trave di collegamento
30x40
Incidenza armatura 130kg/m³

APPALTATORE: D'AGOSTINO ANGELO ANTONIO COSTRUZIONI GENERALI s.r.l.	RIASSETTO NODO DI BARI					
PROGETTISTA: Mandataria: Mandante:	TRATTA A SUD DI BARI – VARIANTE DI TRACCIATO TRA BARI CENTRALE E BARI TORRE A MARE					
RPA srl Technital SpA HUB Engineering Scarl						
PROGETTO ESECUTIVO: Relazione di calcolo pensilina	PROGETTO	LOTTO	CODIFICA	DOCUMENTO	REV.	FOGLIO
	IA3S	01	E ZZ CL	FV030C 001	C	58 DI 129

Di seguito si riportano i risultati grafici delle deformazioni per alcune delle combinazioni e l'involuppo delle sollecitazioni degli elementi in acciaio.

Figura 8-8 Deformata combinazione di carico 2

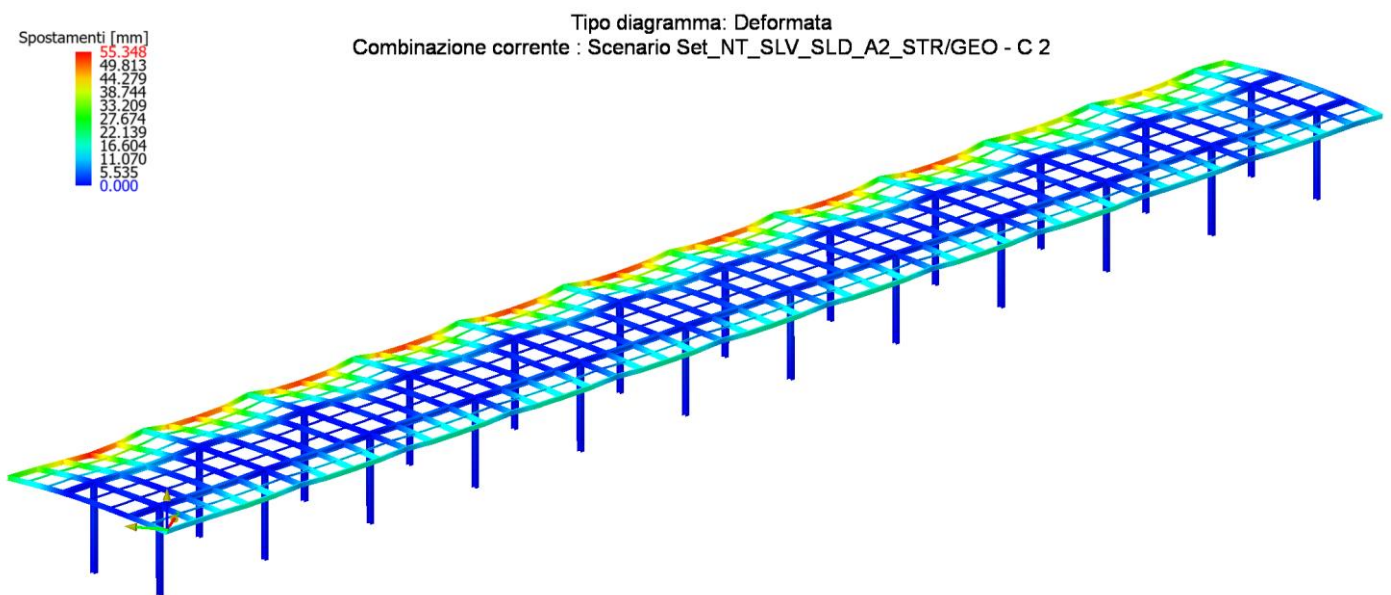
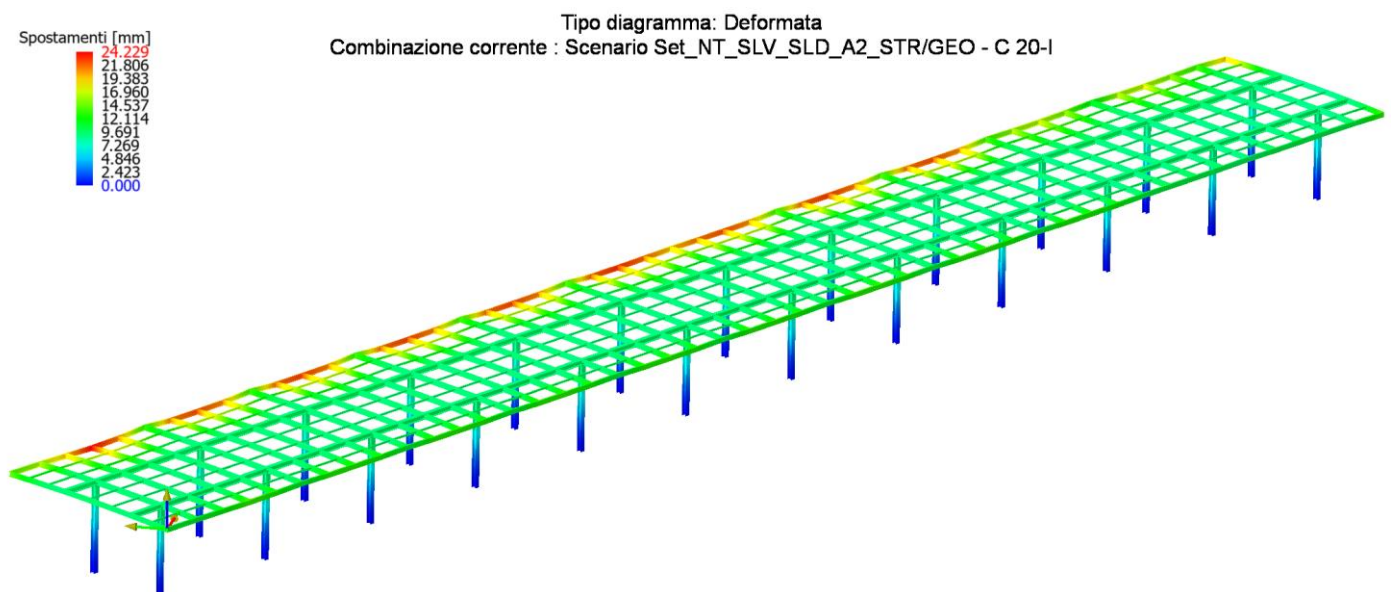


Figura 8-9 Deformata sotto sisma X (Combinazione 20) - posizione masse n°1



APPALTATORE:
D'AGOSTINO ANGELO ANTONIO COSTRUZIONI
GENERALI s.r.l.

RIASSETTO NODO DI BARI

PROGETTISTA:

Mandataria: Mandante:

RPA srl Technital SpA HUB Engineering Scarl

TRATTA A SUD DI BARI – VARIANTE DI TRACCIATO TRA
BARI CENTRALE E BARI TORRE A MARE

PROGETTO ESECUTIVO:

Relazione di calcolo pensilina

PROGETTO	LOTTO	CODIFICA	DOCUMENTO	REV.	FOGLIO
IA3S	01	E ZZ CL	FV030C 001	C	59 DI 129

Figura 8-10 Deformata sotto sisma Y (Combinazione 21) - posizione masse n°1

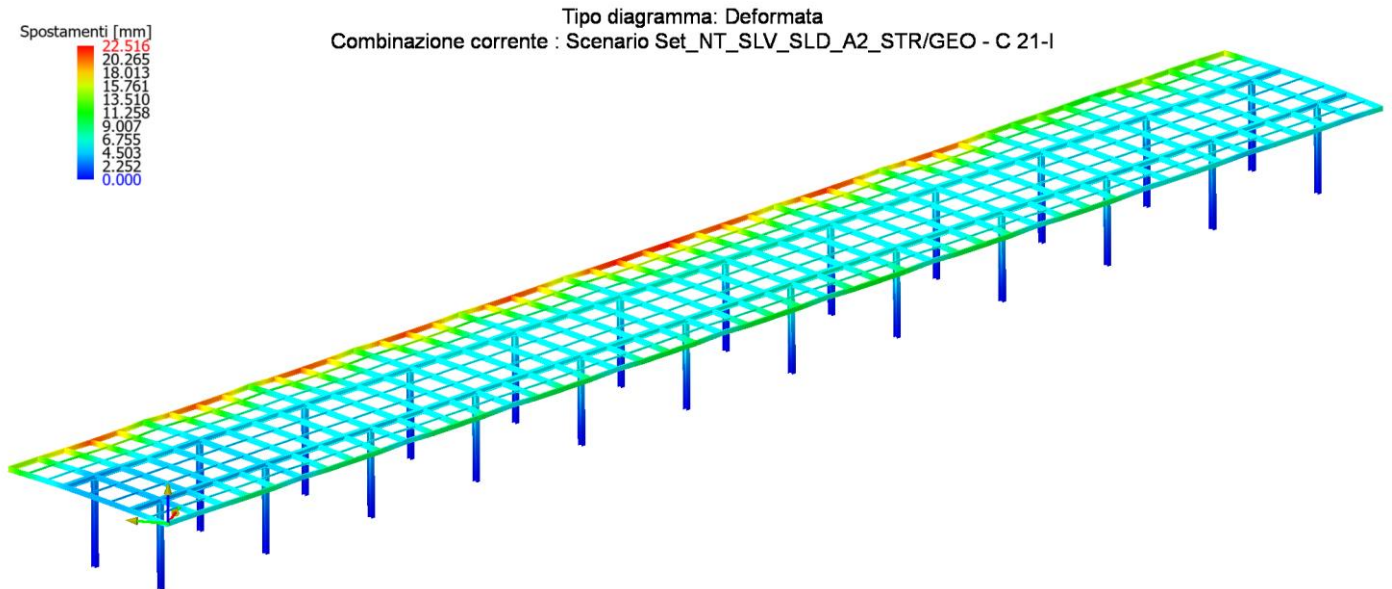
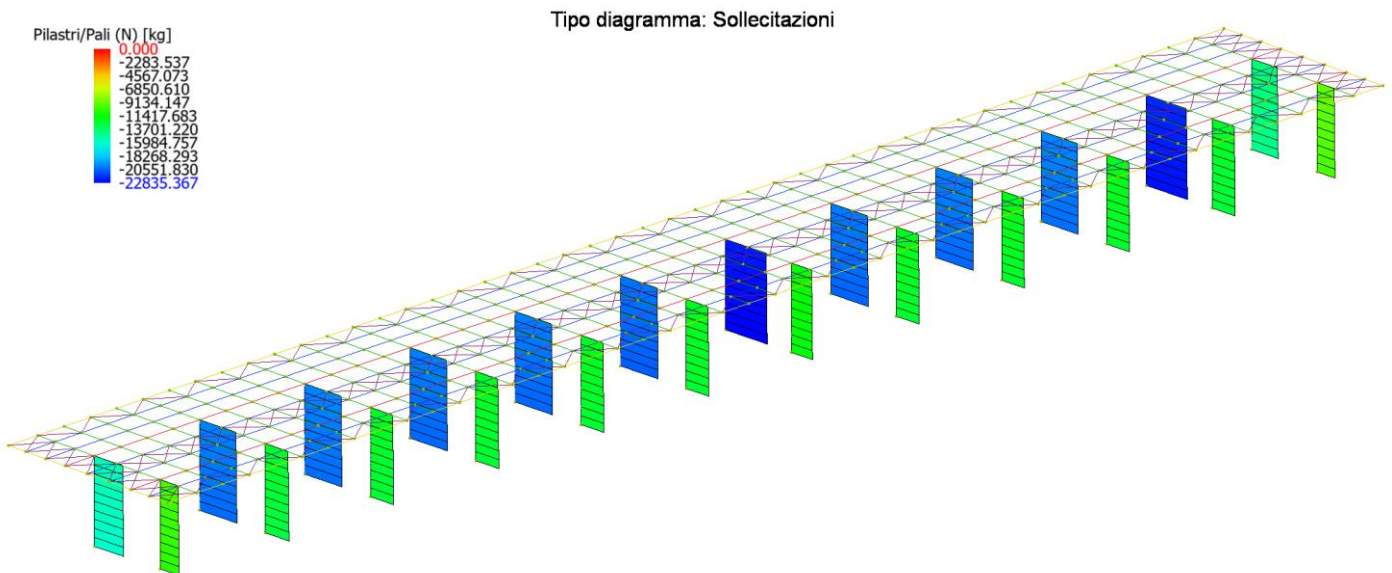


Figura 8-11 Involuppo sforzo normale - Pilastr



APPALTATORE:
D'AGOSTINO ANGELO ANTONIO COSTRUZIONI
GENERALI s.r.l.

RIASSETTO NODO DI BARI

PROGETTISTA:

TRATTA A SUD DI BARI – VARIANTE DI TRACCIATO TRA
BARI CENTRALE E BARI TORRE A MARE

Mandataria: Mandante:

RPA srl Technital SpA HUB Engineering Scarl

PROGETTO ESECUTIVO:

PROGETTO	LOTTO	CODIFICA	DOCUMENTO	REV.	FOGLIO
IA3S	01	E ZZ CL	FV030C 001	C	60 DI 129

Relazione di calcolo pensilina

Figura 8-12 Involuppo diagramma sollecitazioni taglio Ty - Pilastrri

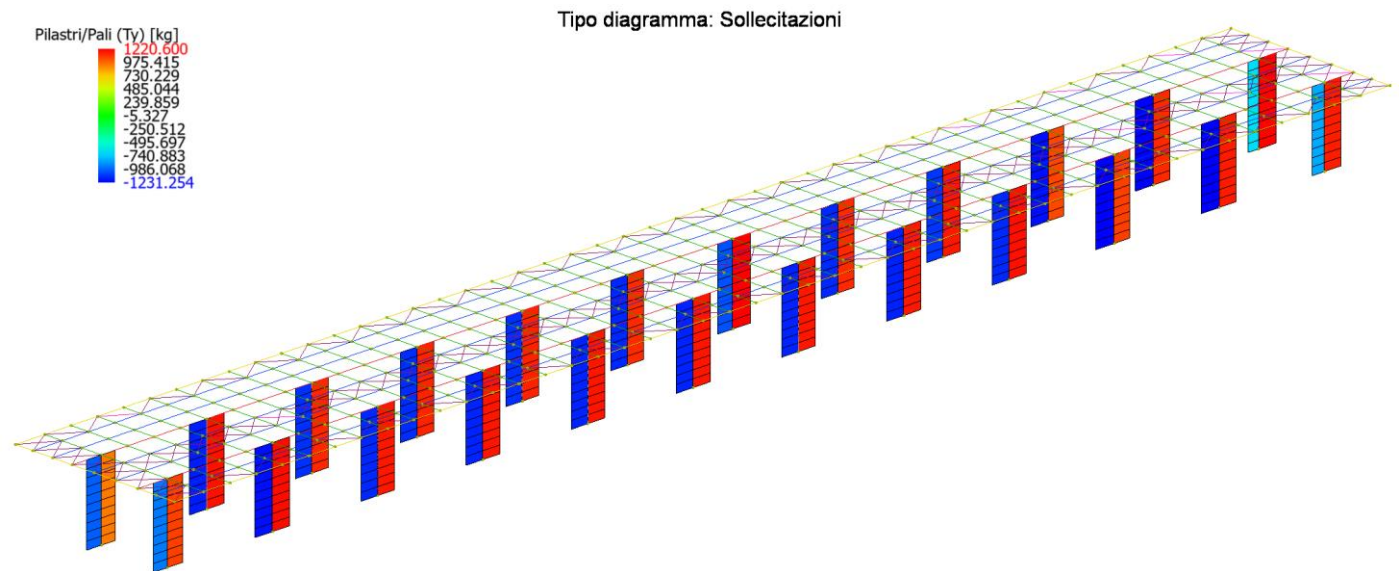
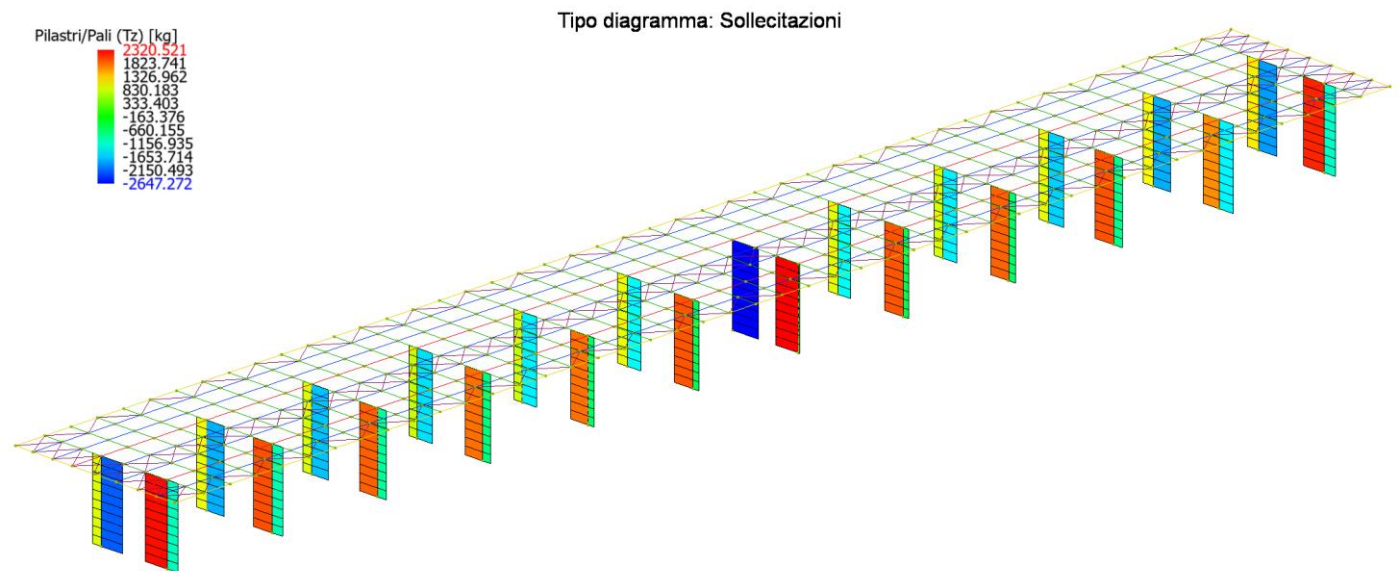


Figura 8-13 Involuppo diagramma sollecitazioni taglio Tz - Pilastrri



APPALTATORE:
D'AGOSTINO ANGELO ANTONIO COSTRUZIONI
GENERALI s.r.l.

RIASSETTO NODO DI BARI

PROGETTISTA:

Mandataria: Mandante:

RPA srl Technital SpA HUB Engineering Scarl

TRATTA A SUD DI BARI – VARIANTE DI TRACCIATO TRA
BARI CENTRALE E BARI TORRE A MARE

PROGETTO ESECUTIVO:

Relazione di calcolo pensilina

PROGETTO	LOTTO	CODIFICA	DOCUMENTO	REV.	FOGLIO
IA3S	01	E ZZ CL	FV030C 001	C	61 DI 129

Figura 8-14 Involuppo diagramma momento flettente My - Pilastrri

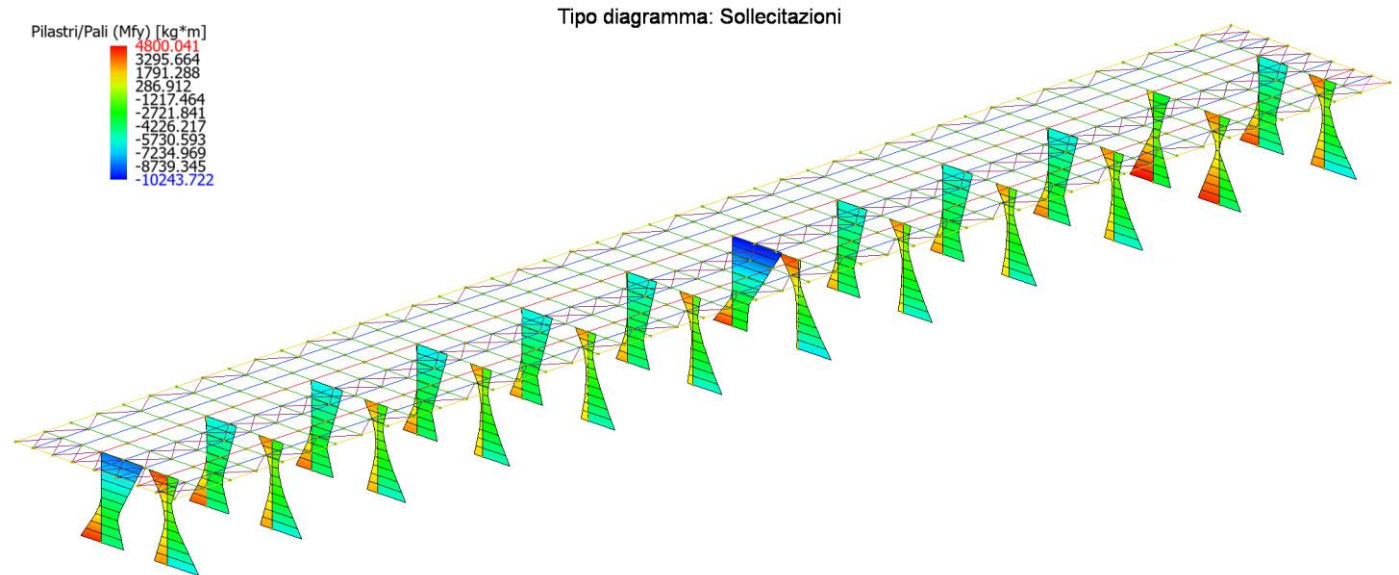
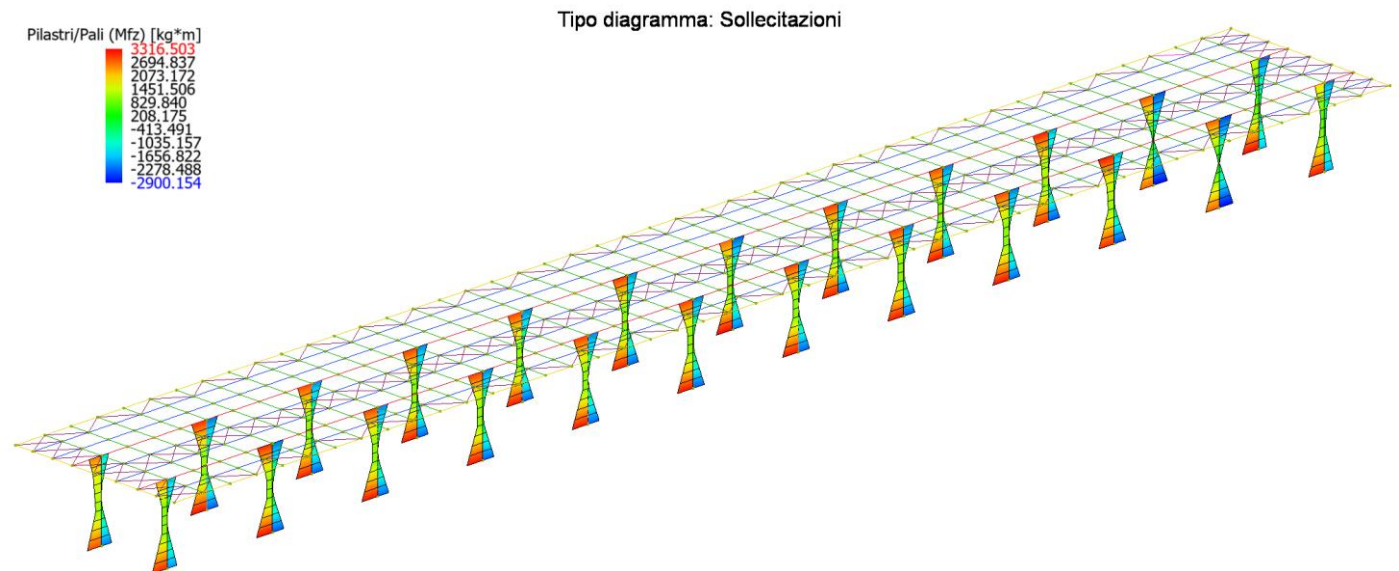


Figura 8-15 Involuppo diagramma momento flettente Mz - Pilastrri



APPALTATORE:
D'AGOSTINO ANGELO ANTONIO COSTRUZIONI
GENERALI s.r.l.

RIASSETTO NODO DI BARI

PROGETTISTA:

TRATTA A SUD DI BARI – VARIANTE DI TRACCIATO TRA
BARI CENTRALE E BARI TORRE A MARE

Mandataria: Mandante:

RPA srl Technital SpA HUB Engineering Scarl

PROGETTO ESECUTIVO:

PROGETTO	LOTTO	CODIFICA	DOCUMENTO	REV.	FOGLIO
IA3S	01	E ZZ CL	FV030C 001	C	62 DI 129

Relazione di calcolo pensilina

Figura 8-16 Inviluppo sforzo normale - Travi

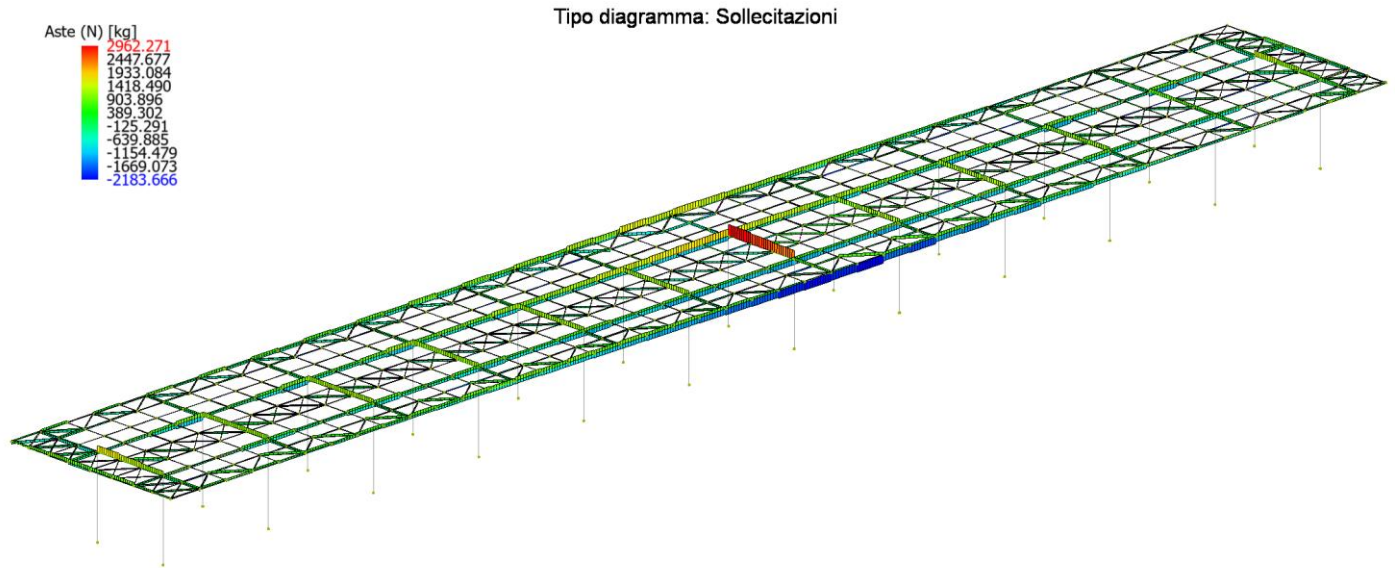
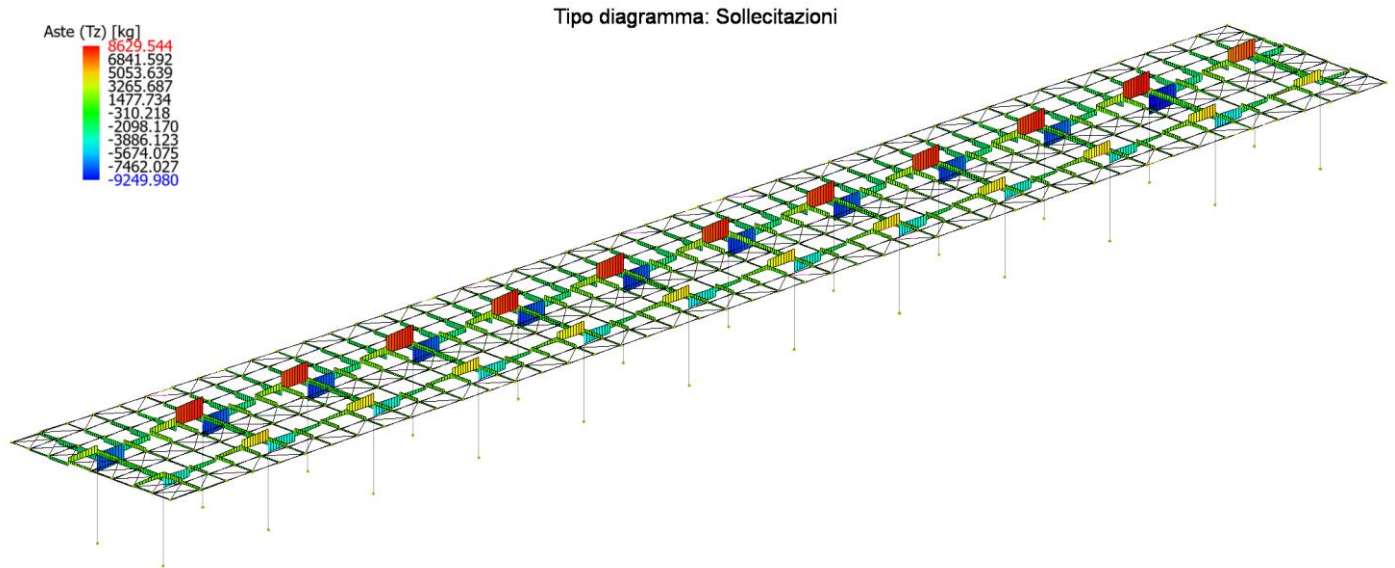


Figura 8-17 Inviluppo diagramma sollecitazioni taglio Tz - Travi



APPALTATORE:
D'AGOSTINO ANGELO ANTONIO COSTRUZIONI
GENERALI s.r.l.

RIASSETTO NODO DI BARI

PROGETTISTA:

TRATTA A SUD DI BARI – VARIANTE DI TRACCIATO TRA
BARI CENTRALE E BARI TORRE A MARE

Mandataria: Mandante:

RPA srl Technital SpA HUB Engineering Scarl

PROGETTO ESECUTIVO:

PROGETTO	LOTTO	CODIFICA	DOCUMENTO	REV.	FOGLIO
IA3S	01	E ZZ CL	FV030C 001	C	63 DI 129

Relazione di calcolo pensilina

Figura 8-18 Inviluppo diagramma momento flettente M_y - Travi

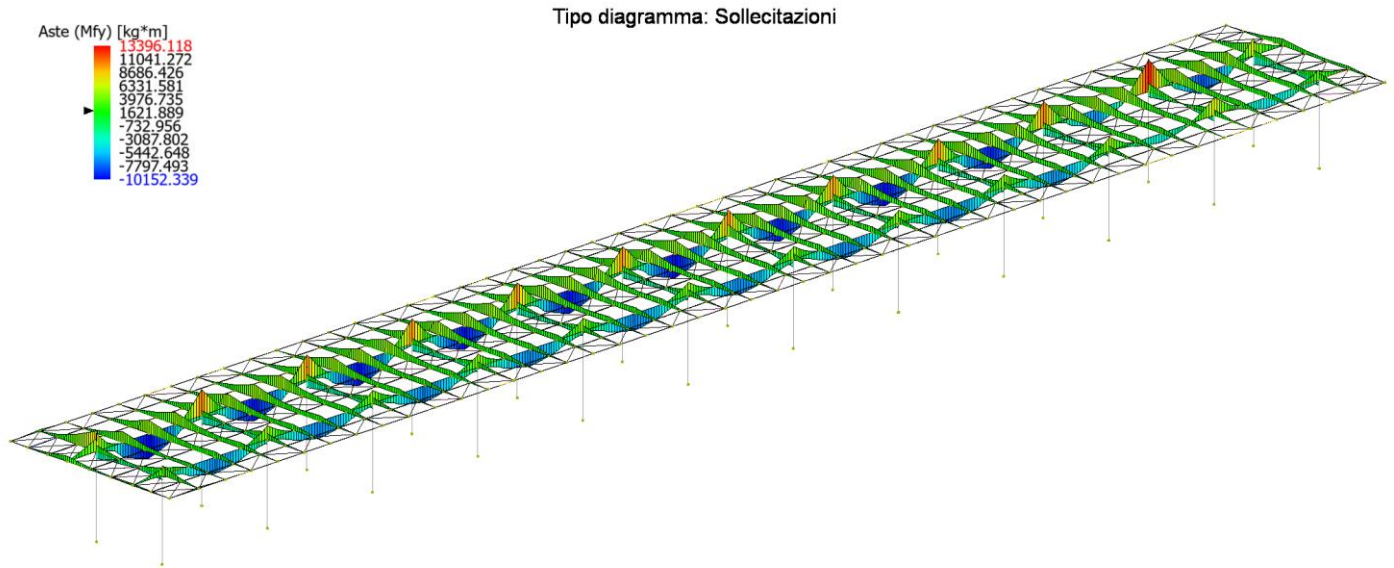
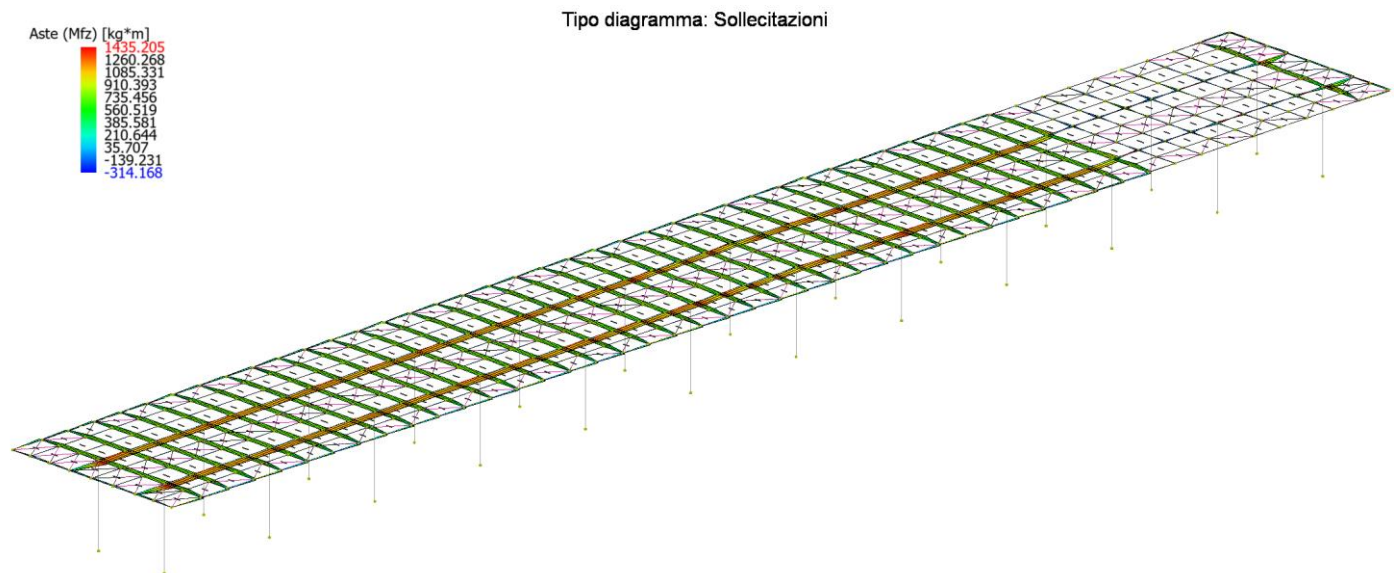


Figura 8-19 Inviluppo diagramma momento flettente M_z - Travi



APPALTATORE: D'AGOSTINO ANGELO ANTONIO COSTRUZIONI GENERALI s.r.l.	RIASSETTO NODO DI BARI					
PROGETTISTA: Mandataria: Mandante: RPA srl Technital SpA HUB Engineering Scarl	TRATTA A SUD DI BARI – VARIANTE DI TRACCIATO TRA BARI CENTRALE E BARI TORRE A MARE					
PROGETTO ESECUTIVO: Relazione di calcolo pensilina	PROGETTO	LOTTO	CODIFICA	DOCUMENTO	REV.	FOGLIO
	IA3S	01	E ZZ CL	FV030C 001	C	64 DI 129

8.5 Verifiche elementi principali

Verifica Stabilità

Simbologia

L	[cm]	Lunghezza teorica elemento (da nodo a nodo)
L _{n1}	[cm]	Luce libera nella direzione principale 1 dell'elemento
L _{n2}	[cm]	Luce libera nella direzione principale 2 dell'elemento
Sez. G		Sezione Generica (Sigla)
f _{yd}	[kg/cmq]	Tensione di progetto snervamento acciaio
f _t	[kg/cmq]	Tensione di rottura acciaio
γ _M		Coefficiente di sicurezza acciaio
N	[kg]	Sforzo Normale massimo
M _y	[kg*m]	Momento flettente massimo direzione Y
M _z	[kg*m]	Momento flettente massimo direzione Z
N _{Rk}	[kg]	A*fy Resistenza caratteristica instabilità a compressione (1)
M _{yRk}	[kg*m]	W _y *fy, Momento resistente caratteristico all'instabilità in direzione Y (1)
M _{zRk}	[kg*m]	W _z *fy Momento resistente caratteristico all'instabilità in direzione Z (1)
λ _y		Snellezza in direzione y
λ _z		Snellezza in direzione z
χ _y		Coefficiente di riduzione per la presso flessione dir y
χ _z		Coefficiente di riduzione per la presso flessione dir z
χ _{LT}		Coefficiente di riduzione per la instabilità flessio-torsionale, il coefficiente è applicato al termine relativo all'asse forte
k _{yy} , k _{yz}		Coefficienti di interazione per l'instabilità (cfr. EC3 Annex B, tab B1 e B2, e cfr. Circ.NTC tab. C4.2.IV e C4.2.V)
k _{zy} , k _{zz}		
M _{y_{eq}}	[kg*m]	M _y equivalente uguale a k _{yy} *M _y oppure k _{zy} *M _y
M _{z_{eq}}	[kg*m]	M _z equivalente uguale a k _{yz} *M _z oppure k _{zz} *M _z
N _{Rd}	[kg]	Resistenza instabilità a compressione (2)
M _{yRd}	[kg*m]	Momento resistente all'instabilità in direzione Y (2)
M _{zRd}	[kg*m]	Momento resistente all'instabilità in direzione Z (2)
SF		Coefficiente di sicurezza (asta verificata se >=1)
Comb		Combinazione di carico: quando Comb non è sismica è individuata dal codice [C], quando è sismica è individuata dal codice [(C _x +C _y) C _m S _c]
- C		Individua la Combinazione di Carico non sismica (1, 2, ecc. come da scenario)
- C _x		Individua la Combinazione di Carico sismica in direzione x (SismaX, come da scenario)
- C _y		Individua la Combinazione di Carico sismica in direzione y (SismaY, come da scenario)
- C _m		Individua la Combinazione spostamento masse (I, II, III, IV, V, ecc. come da Combinazioni Sisma in Spostamento masse impalcato)
- S _c		Individua la sottocombinazione ottenuta mediante la permutazione dei segni (1, 2, 3, 4, 5, 6, 7, 8)
1)		S _c = + SismaZ*fz + SismaX*fx + SismaY*fy
2)		S _c = + SismaZ*fz + SismaX*fx - SismaY*fy
3)		S _c = + SismaZ*fz - SismaX*fx + SismaY*fy
4)		S _c = + SismaZ*fz - SismaX*fx - SismaY*fy
5)		S _c = - SismaZ*fz + SismaX*fx + SismaY*fy
6)		S _c = - SismaZ*fz + SismaX*fx - SismaY*fy
7)		S _c = - SismaZ*fz - SismaX*fx + SismaY*fy
8)		S _c = - SismaZ*fz - SismaX*fx - SismaY*fy

Le ultime quattro sono assenti quando non è richiesto il contributo del sisma in direzione verticale. Le combinazioni delle azioni sismiche così ottenute vengono combinate con i carichi verticali (come da scenario).

Note:

(1) Y è l'asse forte della sezione, e Z l'asse debole della sezione; i valori da utilizzare per le resistenze sono N_{Rk}=f_y*A, M_{yRk}=f_y*W_y, M_{zRk}=f_y*W_z dove:

Classe	1	2	3	4
--------	---	---	---	---

APPALTATORE: D'AGOSTINO ANGELO ANTONIO COSTRUZIONI GENERALI s.r.l.	RIASSETTO NODO DI BARI					
PROGETTISTA: Mandataria: Mandante: RPA srl Technital SpA HUB Engineering Scarl						
PROGETTO ESECUTIVO: Relazione di calcolo pensilina	PROGETTO IA3S	LOTTO 01	CODIFICA E ZZ CL	DOCUMENTO FV030C 001	REV. C	FOGLIO 65 DI 129

A	A	A	A	A,eff
Wy	Wpl,y	Wpl,y	Wel,y	Wely,eff
Wz	Wpl,z	Wpl,z	Wel,z	Welz,eff

(2) le equazioni di verifica, le azioni e le resistenze di progetto sono date dalle seguenti equazioni:

$$\frac{N_{ed}}{\frac{\chi_y N_{Rk}}{\gamma_{M1}}} + k_{yy} \frac{M_{y,Ed}}{\chi_{LT} \frac{M_{yRk}}{\gamma_{M1}}} + k_{yz} \frac{M_{z,Ed}}{\gamma_{M1}} \leq 1$$

$$\frac{N_{ed}}{\frac{\chi_z N_{Rk}}{\gamma_{M1}}} + k_{zy} \frac{M_{y,Ed}}{\chi_{LT} \frac{M_{yRk}}{\gamma_{M1}}} + k_{zz} \frac{M_{z,Ed}}{\gamma_{M1}} \leq 1$$

$$N_{Rdy} = \frac{\chi_y N_{Rk}}{\gamma_{M1}} \quad M_{yRd} = \frac{\chi_{LT} M_{yRk}}{\gamma_{M1}} \quad M_{zRd} = \frac{M_{yRk}}{\gamma_{M1}}$$

$$M_{yyEq} = k_{yy} M_{yEd} \quad M_{yzEq} = k_{yz} M_{z,Ed}$$

$$M_{zyEq} = k_{zy} M_{yEd} \quad M_{zzEq} = k_{zz} M_{z,Ed}$$

$$\frac{N_{ed}}{N_{Rdy}} + \frac{M_{yyEq}}{M_{yRd}} + \frac{M_{yzEq}}{M_{zRd}} \leq 1$$

$$\frac{N_{ed}}{N_{Rdz}} + \frac{M_{zyEq}}{M_{yRd}} + \frac{M_{zzEq}}{M_{zRd}} \leq 1$$

Verifica Resistenza

Simbologia

L	[cm]	Lunghezza teorica elemento (da nodo a nodo)
Sez. G		Sezione Generica (Sigla)
f _{yd}	[kg/cm ²]	Tensione di progetto snervamento acciaio
f _t	[kg/cm ²]	Tensione di rottura acciaio
γ _M		Coefficiente di sicurezza acciaio
N	[kg]	Sforzo Normale massimo
T _y	[kg]	Taglio direzione Y
T _z	[kg]	Taglio direzione Z
M _t	[kg*m]	Momento torcente massimo
M _y	[kg*m]	Momento flettente massimo direzione Y
M _z	[kg*m]	Momento flettente massimo direzione Z
M _{y4}	[kg*m]	Momento flettente direzione Y + N*Δ _{ez} , per sezioni di classe 4
M _{z4}	[kg*m]	Momento flettente direzione Z + N*Δ _{ey} , per sezioni di classe 4
cls		Classe della sezione per la sollecitazione della combinazione corrente
N _r	[kg]	Sforzo normale resistente
V _{yr}	[kg]	Taglio resistente in direzione Y
V _{zr}	[kg]	Taglio resistente in direzione Z
M _{ry}	[kg*m]	Momento flettente resistente direzione Y
M _{rz}	[kg*m]	Momento flettente resistente direzione Z

APPALTATORE: D'AGOSTINO ANGELO ANTONIO COSTRUZIONI GENERALI s.r.l.	RIASSETTO NODO DI BARI					
PROGETTISTA: Mandataria: Mandante: RPA srl Technital SpA HUB Engineering Scarl	TRATTA A SUD DI BARI – VARIANTE DI TRACCIATO TRA BARI CENTRALE E BARI TORRE A MARE					
PROGETTO ESECUTIVO: Relazione di calcolo pensilina	PROGETTO	LOTTO	CODIFICA	DOCUMENTO	REV.	FOGLIO
	IA3S	01	E ZZ CL	FV030C 001	C	66 DI 129

SF_V	Coefficiente di sicurezza taglio
SF_M	Coefficiente di sicurezza pressoflessione
SF	Coefficiente di sicurezza complessivo (asta verificata se ≥ 1) (1)
Gerarchia travi/pilastri (quando richiesto)	
N _{Ed} [kg]	Sforzo Normale di verifica
N _{pl,Rd} [kg]	Sforzo Normale resistente (NTC 4.2.4.1.2)
V _{EdY} (*) [kg]	Taglio trave dir Y dovuto ai momenti ultimi M _{pl,RdZ} di estremità (cfr. NTC f.(7.5.6))
V _{pl,RdY} [kg]	Taglio resistente dir Y (NTC 4.2.4.1.2)
V _{EdZ} (*) [kg]	Taglio trave dir Z dovuto ai momenti ultimi M _{pl,RdY} di estremità (cfr. NTC f.(7.5.6))
V _{pl,RdZ} [kg]	Taglio resistente dir Z (NTC 4.2.4.1.2)
M _{EdY} [kg*m]	Momento flettente dir Y
M _{pl,RdY} [kg*m]	Momento resistente dir Y (NTC 4.2.4.1.2)
M _{EdZ} [kg*m]	Momento flettente dir Z
M _{pl,RdZ} [kg*m]	Momento resistente dir Z (NTC 4.2.4.1.2)
Verifiche Incendio:	
K _y	f _y (T)/f _y (20°) fattore riduzione resistenza alla temperatura T
K _E	E(T)/E(20) fattore riduzione modulo elastico alla temperatura T
SF	Coefficiente di sicurezza (asta verificata se ≥ 1)(2)
Ω*	Semplificazione sollecitazioni sismiche (solo per q>1)(3)
Fatt.Ampl.	Fattore moltiplicativo di gruppo per le azioni sismiche (solo se diverso da 1.0)
Sisma	

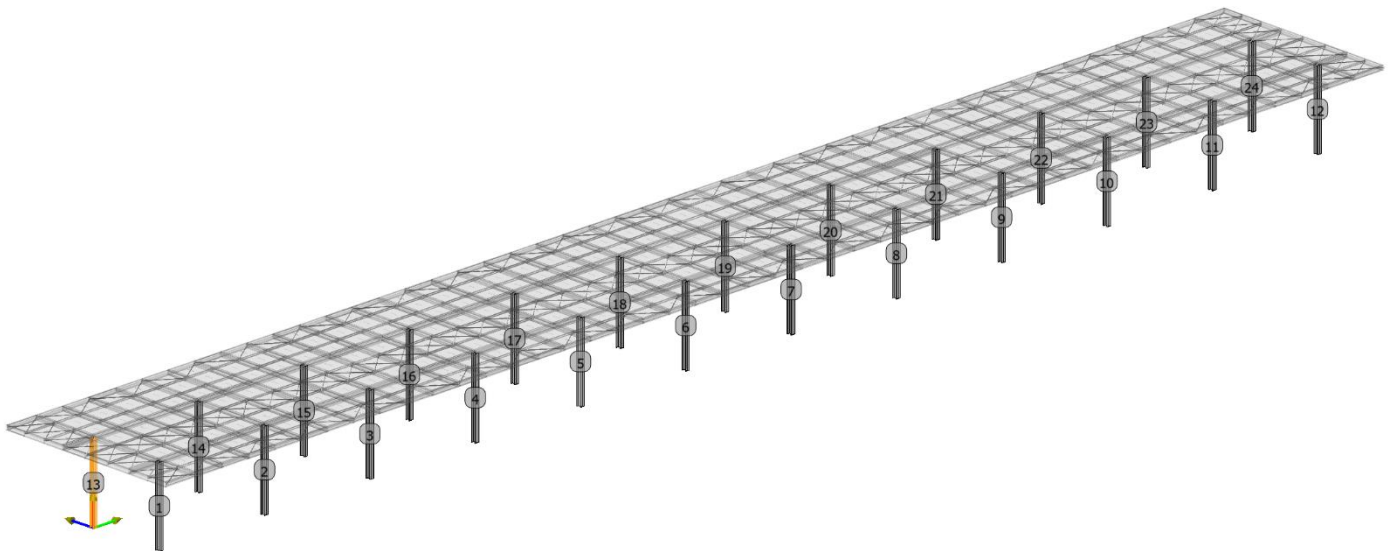
Note:

- (1): SF rappresenta il minimo tra SF_V ed SF_M dove:
- SF_V = VR/Vd con VR e Vd azione tagliante resistente ed agente
- SF_M = 1/[N/Nr + MY/Mry + MZ/Mrz], i valori di Mry ed Mrz sono ridotti opportunamente quando Vd > 0.5 Vr
- (2): SF rappresenta il minimo tra i seguenti rapporti:
- M_{EdY}/M_{pl,RdY} (travi)
- M_{EdZ}/M_{pl,RdZ} (travi)
- N_{Ed}/(0.15*N_{pl,Rd}) (travi)
- V_{EdY}*/(0.5*V_{pl,RdY}) (travi)
- V_{EdZ}*/(0.5*V_{pl,RdZ}) (travi)
- V_{EdY}/(0.5*V_{pl,RdY}) (pilastri)
- V_{EdZ}/(0.5*V_{pl,RdZ}) (pilastri)
- (3): Ω* = min(q, 1.1*γ_{ov}*Ω), con Ω secondo NTC 7.5.4.2

APPALTATORE: D'AGOSTINO ANGELO ANTONIO COSTRUZIONI GENERALI s.r.l.	RIASSETTO NODO DI BARI					
PROGETTISTA: Mandataria: Mandante: RPA srl Technital SpA HUB Engineering Scarl	TRATTA A SUD DI BARI – VARIANTE DI TRACCIATO TRA BARI CENTRALE E BARI TORRE A MARE					
PROGETTO ESECUTIVO: Relazione di calcolo pensilina	PROGETTO IA3S	LOTTO 01	CODIFICA E ZZ CL	DOCUMENTO FV030C 001	REV. C	FOGLIO 67 DI 129

8.5.1 Pilastro HE260B

HE260B		Section properties	
Geometry		Axis y	Axis z
h = 260 mm		$I_y = 1.49E+8 \text{ mm}^4$	$I_z = 5.13E+7 \text{ mm}^4$
b = 260 mm		$W_{y1} = 1.15E+6 \text{ mm}^3$	$W_{z1} = 3.95E+5 \text{ mm}^3$
$t_f = 17.5 \text{ mm}$		$W_{y,pl} = 1.28E+6 \text{ mm}^3$	$W_{z,pl} = 5.99E+5 \text{ mm}^3$
$t_w = 10 \text{ mm}$		$i_y = 112.0 \text{ mm}$	$i_z = 65.80 \text{ mm}$
$r_1 = 24 \text{ mm}$		$S_y = 6.41E+5 \text{ mm}^3$	$S_z = 3.00E+5 \text{ mm}^3$
$y_s = 130 \text{ mm}$		Warping and buckling	
d = 177 mm		$I_w = 7.54E+11 \text{ mm}^6$	$I_t = 1.27E+6 \text{ mm}^4$
A = 11800 mm ²		$i_w = 61.30 \text{ mm}$	$i_{pc} = 130.0 \text{ mm}$
$A_L = 1.5 \text{ m}^2 \cdot \text{m}^{-1}$		G = 93 kg·m ⁻¹	



Verifica Stabilità

Asta: 13 [13,1013] Sez. G: HE 260 B L=464.7 cm Ln1=464.7 cm Ln2=464.7 cm Crit.:

Acciaio_Pressflessione $\gamma_M=1.05$ $f_yk/\gamma_M=2619 \text{ kg/cm}^2$ $f_t=4300 \text{ kg/cm}^2$:Verificato

SF $\lambda=2.834$

N	My	Mz	NRk	MyRk	MzRk	λ_Y	λ_Z	χ_Y	χ_Z	χ_{LT}	kyy	kyz	kzy	kzz
kg	kg*m	kg*m	kg	kg*m	kg*m									
-15269	-8610	1912	325722	35301	16565	41	71	0.894	0.654	--	0.631	0.476	0.378	0.793

Cls	Dir	N	Myeq	Mzeq	NRd	MyRd	MzRd	Comb.	SF
		kg	kg*m	kg*m	kg	kg*m	kg*m		
1	Y	15269	5430	910	277425	33620	15776	6	3.6

APPALTATORE: D'AGOSTINO ANGELO ANTONIO COSTRUZIONI GENERALI s.r.l.	RIASSETTO NODO DI BARI												
PROGETTISTA: Mandataria: Mandante: RPA srl Technital SpA HUB Engineering Scarl													
PROGETTO ESECUTIVO: Relazione di calcolo pensilina	<table border="1"> <tr> <td>PROGETTO</td> <td>LOTTO</td> <td>CODIFICA</td> <td>DOCUMENTO</td> <td>REV.</td> <td>FOGLIO</td> </tr> <tr> <td>IA3S</td> <td>01</td> <td>E ZZ CL</td> <td>FV030C 001</td> <td>C</td> <td>68 DI 129</td> </tr> </table>	PROGETTO	LOTTO	CODIFICA	DOCUMENTO	REV.	FOGLIO	IA3S	01	E ZZ CL	FV030C 001	C	68 DI 129
PROGETTO	LOTTO	CODIFICA	DOCUMENTO	REV.	FOGLIO								
IA3S	01	E ZZ CL	FV030C 001	C	68 DI 129								

Cls	Dir	N	Myeq	Mzeq	NRd	MyRd	MzRd	Comb.	SF
1	Z	15269	3258	1516	202891	33620	15776	6	3.7

Verifica Resistenza

Asta: 13 [13,1013] Sez. G: HE 260 B L=464.7 cm Crit.: Acciaio_Pressflessione $\gamma_M=1.05$ $f_yk/\gamma_M=2619$ kg/cmq $f_t=4300$ kg/cmq :**Verificato**

X	cls	N	TY	TZ	MT	MY	MZ	My4	Mz4	Comb.
cm		kg	kg	kg	kg*m	kg*m	kg*m			
465	1	-14707	-272	-1755	-0	-8610	1912	--	--	6

X	cls	Nr	Vyr	Vzr	Mry	Mrz	MTrd	SF_V.	SF_M	SF_Mt	SF
cm		kg	kg	kg	kg*m	kg*m	kg*m				
465	1	310212	137596	56845	33620	15776	986	32	2.4	>100	2.4

Verifica Spostamento laterale

Interp.	Interpiano
NS e NI	Nodi giacenti sulla stessa verticale, appartenenti all'impalcato j e i, rispettivamente, dell'interpiano i-j
Nodo	Nodo/i dell'ultimo impalcato
Comb	Combinazione/i di carico Rara/e più gravosa/e
SpostX sup.	Spostamento lungo x del nodo superiore per la combinazione Comb.
SpostY sup.	Spostamento lungo y del nodo superiore per la combinazione Comb.
SpostX inf.	Spostamento lungo x del nodo inferiore per la combinazione Comb.
SpostY inf.	Spostamento lungo y del nodo inferiore per la combinazione Comb.
δ	Spostamento/i orizzontale/i relativo/i di piano
Δ	Spostamento/i orizzontale/i totale/i
L/k	Limite di deformabilità (Tab. 4.2.XIII, §4.2.4.2.2 - NTC 2008)

Verifica spostamenti orizzontali relativi di piano (§4.2.4.2.2 - NTC)

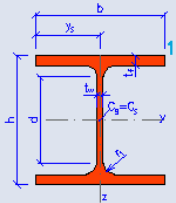
Interp.	NS	NI.	Comb.	SpostX sup.	SpostY sup.	SpostX inf.	SpostY inf.	δ	h/300	Verifica
				mm	mm	mm	mm	mm	mm	
0-1	1013 (Nodo_1013)	13 (Nodo_13)	33	0.14	1.32	0.00	0.00	1.33	15.49	Si

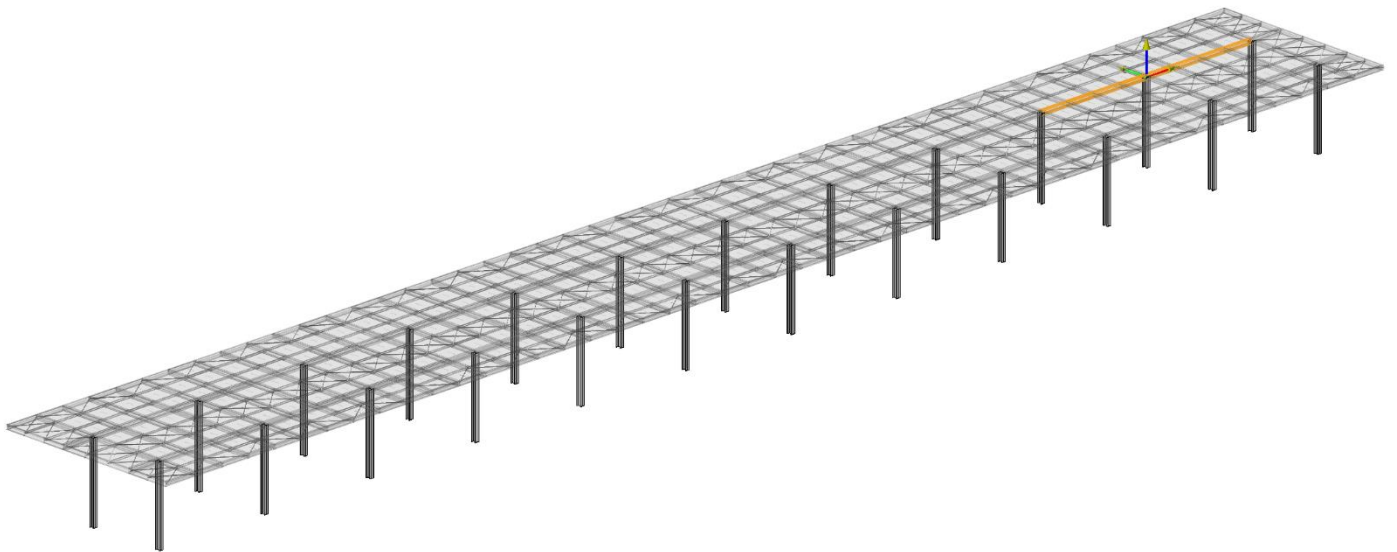
Verifica spostamenti orizzontali in sommità (§4.2.4.2.2 - NTC)

Nodo	Comb.	SpostX	SpostY	Δ	H/500	Verifica
		mm	mm	mm	mm	
1013 (Nodo_1013)	33	0.14	1.32	1.33	9.29	Si

APPALTATORE: D'AGOSTINO ANGELO ANTONIO COSTRUZIONI GENERALI s.r.l.	RIASSETTO NODO DI BARI					
PROGETTISTA: Mandataria: Mandante: RPA srl Technital SpA HUB Engineering Scarl	TRATTA A SUD DI BARI – VARIANTE DI TRACCIATO TRA BARI CENTRALE E BARI TORRE A MARE					
PROGETTO ESECUTIVO: Relazione di calcolo pensilina	PROGETTO	LOTTO	CODIFICA	DOCUMENTO	REV.	FOGLIO
	IA3S	01	E ZZ CL	FV030C 001	C	69 DI 129

8.5.2 Trave HE260B

HE260B			
Geometry		Section properties	
h = 260 mm		Axis y	Axis z
b = 260 mm		$I_y = 1.49E+8 \text{ mm}^4$	$I_z = 5.13E+7 \text{ mm}^4$
$t_f = 17.5 \text{ mm}$		$W_{y1} = 1.15E+6 \text{ mm}^3$	$W_{z1} = 3.95E+5 \text{ mm}^3$
$t_w = 10 \text{ mm}$		$W_{y,pl} = 1.28E+6 \text{ mm}^3$	$W_{z,pl} = 5.99E+5 \text{ mm}^3$
$r_1 = 24 \text{ mm}$		$i_y = 112.0 \text{ mm}$	$i_z = 65.80 \text{ mm}$
$y_s = 130 \text{ mm}$		$S_y = 6.41E+5 \text{ mm}^3$	$S_z = 3.00E+5 \text{ mm}^3$
d = 177 mm		Warping and buckling	
A = 11800 mm ²		$I_w = 7.54E+11 \text{ mm}^6$	$I_t = 1.27E+6 \text{ mm}^4$
$A_L = 1.5 \text{ m}^2 \cdot \text{m}^{-1}$		$G = 93 \text{ kg} \cdot \text{m}^{-1}$	$i_w = 61.30 \text{ mm}$



Verifica Stabilità

Asta: 102 [1023,1279] Sez. G: HE 260 B L=180.0 cm Ln1=180.0 cm Ln2=180.0 cm Crit.:

Acciaio_FlessTors $\gamma_M=1.05$ $f_{yk}/\gamma_M=2619 \text{ kg/cm}^2$ $f_t=4300 \text{ kg/cm}^2$:**Verificato**

SF_ $\lambda=7.316$

N	My	Mz	NRk	MyRk	MzRk	λ_Y	λ_Z	χ_Y	χ_Z	χ_{LT}	kyy	kyz	kzy	kzz
-561	13396	30	325722	35301	16565	16	27	1.000	0.942	1.000	0.532	0.339	0.319	0.565

Cls	Dir	N	Myeq	Mzeq	NRd	MyRd	MzRd	Comb.	SF
		kg	kg*m	kg*m	kg	kg*m	kg*m		
1	Y	561	7120	10	310212	33620	15776	2	4.7
1	Z	561	4272	17	292073	33620	15776	2	7.7

APPALTATORE: D'AGOSTINO ANGELO ANTONIO COSTRUZIONI GENERALI s.r.l.	RIASSETTO NODO DI BARI TRATTA A SUD DI BARI – VARIANTE DI TRACCIATO TRA BARI CENTRALE E BARI TORRE A MARE
PROGETTISTA: Mandataria: Mandante: RPA srl Technital SpA HUB Engineering Scarl	
PROGETTO ESECUTIVO: Relazione di calcolo pensilina	
	PROGETTO LOTTO CODIFICA DOCUMENTO REV. FOGLIO IA3S 01 E ZZ CL FV030C 001 C 71 DI 129

N	My	Mz	NRk	MyRk	MzRk	λY	λZ	χY	χZ	χLT	kyy	kyz	kzy	kzz
-590	-8233	-35	325722	35301	16565	16	27	1.000	0.942	1.000	0.711	0.441	0.427	0.735

Cls	Dir	N	Myeq	Mzeq	NRd	MyRd	MzRd	Comb.	SF
		kg	kg*m	kg*m	kg	kg*m	kg*m		
1	Y	590	5856	15	310212	33620	15776	2	5.6
1	Z	590	3514	26	292073	33620	15776	2	9.2

Asta: 102 [1280,1281] Sez. G: HE 260 B L=180.0 cm Ln1=180.0 cm Ln2=180.0 cm Crit.:

Acciaio_FlessTors $\gamma M=1.05$ fyk/ $\gamma M=2619$ kg/cm² ft=4300 kg/cm² :**Verificato**

SF_λ=7.316

N	My	Mz	NRk	MyRk	MzRk	λY	λZ	χY	χZ	χLT	kyy	kyz	kzy	kzz
kg	kg*m	kg*m	kg	kg*m	kg*m									
-625	-8232	-74	325722	35301	16565	16	27	1.000	0.942	1.000	0.837	0.346	0.502	0.577

Cls	Dir	N	Myeq	Mzeq	NRd	MyRd	MzRd	Comb.	SF
		kg	kg*m	kg*m	kg	kg*m	kg*m		
1	Y	625	6893	26	310212	33620	15776	2	4.8
1	Z	625	4136	43	292073	33620	15776	2	7.8

Asta: 102 [1281,1024] Sez. G: HE 260 B L=180.0 cm Ln1=180.0 cm Ln2=180.0 cm Crit.:

Acciaio_FlessTors $\gamma M=1.05$ fyk/ $\gamma M=2619$ kg/cm² ft=4300 kg/cm² :**Verificato**

SF_λ=7.316

N	My	Mz	NRk	MyRk	MzRk	λY	λZ	χY	χZ	χLT	kyy	kyz	kzy	kzz
kg	kg*m	kg*m	kg	kg*m	kg*m									
-656	7293	292	325722	35301	16565	16	27	1.000	0.942	1.000	0.400	0.299	0.240	0.498

Cls	Dir	N	Myeq	Mzeq	NRd	MyRd	MzRd	Comb.	SF
		kg	kg*m	kg*m	kg	kg*m	kg*m		
1	Y	656	2917	87	310212	33620	15776	2	11
1	Z	656	1750	145	292073	33620	15776	2	16

Verifica Resistenza

Asta: 102 [1023,1279] Sez. G: HE 260 B L=180.0 cm Crit.: Acciaio_FlessTors $\gamma M=1.05$ fyk/ $\gamma M=2619$ kg/cm² ft=4300 kg/cm² :Verificato****

X	cls	N	TY	TZ	MT	MY	MZ	My4	Mz4	Comb.
cm		kg	kg	kg	kg*m	kg*m	kg*m			
0	1	-561	-15	-9250	-22	13396	-3	--	--	2

X	cls	Nr	Vyr	Vzr	Mry	Mrz	MTrd	SF_V.	SF_M	SF_Mt	SF
cm		kg	kg	kg	kg*m	kg*m	kg*m				
0	1	310212	136353	56331	33620	15776	986	6.1	2.5	44	2.5

Asta: 102 [1278,1023] Sez. G: HE 260 B L=180.0 cm Crit.: Acciaio_FlessTors $\gamma M=1.05$ fyk/ $\gamma M=2619$ kg/cm² ft=4300 kg/cm² :Verificato****

X	cls	N	TY	TZ	MT	MY	MZ	My4	Mz4	Comb.
cm		kg	kg	kg	kg*m	kg*m	kg*m			
180	1	-380	15	8630	20	12884	-2	--	--	2

X	cls	Nr	Vyr	Vzr	Mry	Mrz	MTrd	SF_V.	SF_M	SF_Mt	SF
cm		kg	kg	kg	kg*m	kg*m	kg*m				
180	1	310212	136464	56377	33620	15776	986	6.5	2.6	49	2.6

APPALTATORE: D'AGOSTINO ANGELO ANTONIO COSTRUZIONI GENERALI s.r.l.	RIASSETTO NODO DI BARI TRATTA A SUD DI BARI – VARIANTE DI TRACCIATO TRA BARI CENTRALE E BARI TORRE A MARE				
PROGETTISTA: Mandataria: Mandante: RPA srl Technital SpA HUB Engineering Scarl					
PROGETTO ESECUTIVO: Relazione di calcolo pensilina					
PROGETTO	LOTTO	CODIFICA	DOCUMENTO	REV.	FOGLIO
IA3S	01	E ZZ CL	FV030C 001	C	72 DI 129

Asta: 102 [1277,1278] Sez. G: HE 260 B L=180.0 cm Crit.: Acciaio_FlessTors $\gamma M=1.05$ fyk/ $\gamma M=2619$ kg/cm² ft=4300 kg/cm² :**Verificato**

X	cls	N	TY	TZ	MT	MY	MZ	My4	Mz4	Comb.
cm		kg	kg	kg	kg*m	kg*m	kg*m			
0	1	-391	16	2289	1	-6739	-6	--	--	2

X	cls	Nr	Vyr	Vzr	Mry	Mrz	MTrd	SF_V.	SF_M	SF_Mt	SF
cm		kg	kg	kg	kg*m	kg*m	kg*m				
0	1	310212	137543	56822	33620	15776	986	25	4.9	>100	4.9

Asta: 102 [1276,1277] Sez. G: HE 260 B L=180.0 cm Crit.: Acciaio_FlessTors $\gamma M=1.05$ fyk/ $\gamma M=2619$ kg/cm² ft=4300 kg/cm² :**Verificato**

X	cls	N	TY	TZ	MT	MY	MZ	My4	Mz4	Comb.
cm		kg	kg	kg	kg*m	kg*m	kg*m			
180	1	-400	40	-1836	-2	-6738	-63	--	--	2

X	cls	Nr	Vyr	Vzr	Mry	Mrz	MTrd	SF_V.	SF_M	SF_Mt	SF
cm		kg	kg	kg	kg*m	kg*m	kg*m				
180	1	310212	137502	56806	33620	15776	986	31	4.9	>100	4.9

Asta: 102 [1022,1276] Sez. G: HE 260 B L=180.0 cm Crit.: Acciaio_FlessTors $\gamma M=1.05$ fyk/ $\gamma M=2619$ kg/cm² ft=4300 kg/cm² :**Verificato**

X	cls	N	TY	TZ	MT	MY	MZ	My4	Mz4	Comb.
cm		kg	kg	kg	kg*m	kg*m	kg*m			
0	1	-395	172	-8031	-20	11023	252	--	--	2

X	cls	Nr	Vyr	Vzr	Mry	Mrz	MTrd	SF_V.	SF_M	SF_Mt	SF
cm		kg	kg	kg	kg*m	kg*m	kg*m				
0	1	310212	136460	56375	33620	15776	986	7.0	2.9	48	2.9

Asta: 102 [1279,1280] Sez. G: HE 260 B L=180.0 cm Crit.: Acciaio_FlessTors $\gamma M=1.05$ fyk/ $\gamma M=2619$ kg/cm² ft=4300 kg/cm² :**Verificato**

X	cls	N	TY	TZ	MT	MY	MZ	My4	Mz4	Comb.
cm		kg	kg	kg	kg*m	kg*m	kg*m			
180	1	-590	-16	-2768	-1	-8233	-12	--	--	2

X	cls	Nr	Vyr	Vzr	Mry	Mrz	MTrd	SF_V.	SF_M	SF_Mt	SF
cm		kg	kg	kg	kg*m	kg*m	kg*m				
180	1	310212	137555	56827	33620	15776	986	21	4.0	>100	4.0

Asta: 102 [1280,1281] Sez. G: HE 260 B L=180.0 cm Crit.: Acciaio_FlessTors $\gamma M=1.05$ fyk/ $\gamma M=2619$ kg/cm² ft=4300 kg/cm² :**Verificato**

X	cls	N	TY	TZ	MT	MY	MZ	My4	Mz4	Comb.
cm		kg	kg	kg	kg*m	kg*m	kg*m			
0	1	-625	-41	1357	4	-8232	-74	--	--	2

X	cls	Nr	Vyr	Vzr	Mry	Mrz	MTrd	SF_V.	SF_M	SF_Mt	SF
cm		kg	kg	kg	kg*m	kg*m	kg*m				
0	1	310212	137394	56761	33620	15776	986	42	4.0	>100	4.0

Asta: 102 [1281,1024] Sez. G: HE 260 B L=180.0 cm Crit.: Acciaio_FlessTors $\gamma M=1.05$ fyk/ $\gamma M=2619$ kg/cm² ft=4300 kg/cm² :**Verificato**

X	cls	N	TY	TZ	MT	MY	MZ	My4	Mz4	Comb.
cm		kg	kg	kg	kg*m	kg*m	kg*m			

APPALTATORE: D'AGOSTINO ANGELO ANTONIO COSTRUZIONI GENERALI s.r.l.	RIASSETTO NODO DI BARI												
PROGETTISTA: Mandataria: Mandante: RPA srl Technital SpA HUB Engineering Scarl													
PROGETTO ESECUTIVO: Relazione di calcolo pensilina	<table border="1"> <tr> <td>PROGETTO</td> <td>LOTTO</td> <td>CODIFICA</td> <td>DOCUMENTO</td> <td>REV.</td> <td>FOGLIO</td> </tr> <tr> <td>IA3S</td> <td>01</td> <td>E ZZ CL</td> <td>FV030C 001</td> <td>C</td> <td>73 DI 129</td> </tr> </table>	PROGETTO	LOTTO	CODIFICA	DOCUMENTO	REV.	FOGLIO	IA3S	01	E ZZ CL	FV030C 001	C	73 DI 129
PROGETTO	LOTTO	CODIFICA	DOCUMENTO	REV.	FOGLIO								
IA3S	01	E ZZ CL	FV030C 001	C	73 DI 129								

X	cls	N	TY	TZ	MT	MY	MZ	My4	Mz4	Comb.
180	1	-656	-206	7268	21	7293	292	--	--	2

X	cls	Nr	Vyr	Vzr	Mry	Mrz	MTrd	SF_V.	SF_M	SF_Mt	SF
cm		kg	kg	kg	kg*m	kg*m	kg*m				
180	1	310212	136452	56372	33620	15776	986	7.8	4.2	48	4.2

Verifica spostamenti verticali delle aste in Acciaio secondo NTC 2008

Simbologia:

- L Luce della trave a cui appartiene l'asta
 δc Monta iniziale della trave
x Ascissa, nel sistema locale dell'asta, corrispondente allo spostamento massimo
Comb. Combinazione/i di carico Rara/e
 δ_{max} Spostamento nello stato finale depurato della monta iniziale (positivo se diretto verso il basso)
 $\delta 2$ Spostamento elastico dovuto ai soli carichi variabili (positivo se diretto verso il basso)
L/k: Valore limite

N.b. La verifica è soddisfatta se il valore assoluto degli spostamenti è inferiore al limite

Travata: 102 [1023,1024]: L=720.0 cm, Modello =Appoggiata, Crit.Prog: Acciaio_FlessTors, $\delta c = 0.0$ cm:
Verificato

Verifica spostamento nello stato finale (§4.2.4.2.1 - NTC)

x	Comb.	δ_{max}	L/250.00	Cs
cm		mm	mm	
378.0	22	7.08	28.80	4.1

Verifica spostamento elastico dovuto ai soli carichi variabili (§4.2.4.2.1 - NTC)

x	Comb.	$\delta 2$	L/300.00	Cs
cm		mm	mm	
378.0	22	4.12	24.00	5.8

Travata: 102 [1022,1023]: L=720.0 cm, Modello =Appoggiata, Crit.Prog: Acciaio_FlessTors, $\delta c = 0.0$ cm:
Verificato

Verifica spostamento nello stato finale (§4.2.4.2.1 - NTC)

x	Comb.	δ_{max}	L/250.00	Cs
cm		mm	mm	
360.0	22	4.92	28.80	5.9

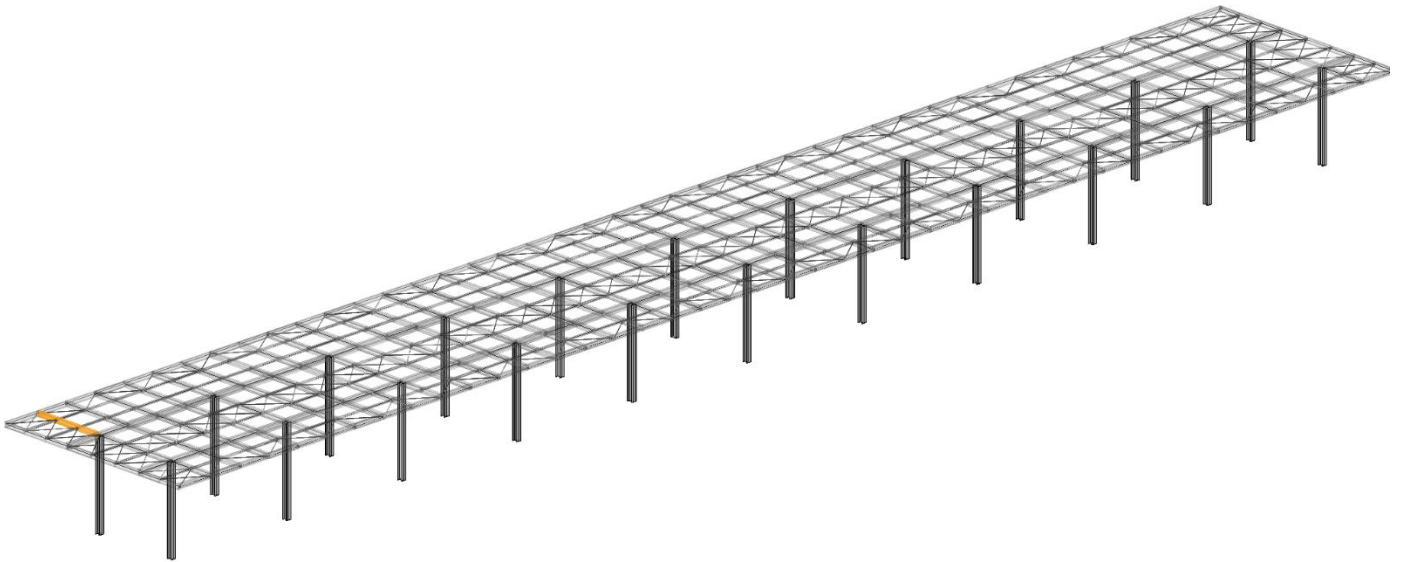
Verifica spostamento elastico dovuto ai soli carichi variabili (§4.2.4.2.1 - NTC)

x	Comb.	$\delta 2$	L/300.00	Cs
cm		mm	mm	
360.0	22	2.90	24.00	8.3

APPALTATORE: D'AGOSTINO ANGELO ANTONIO COSTRUZIONI GENERALI s.r.l.	RIASSETTO NODO DI BARI					
PROGETTISTA: Mandataria: Mandante: RPA srl Technital SpA HUB Engineering Scarl	TRATTA A SUD DI BARI – VARIANTE DI TRACCIATO TRA BARI CENTRALE E BARI TORRE A MARE					
PROGETTO ESECUTIVO: Relazione di calcolo pensilina	PROGETTO	LOTTO	CODIFICA	DOCUMENTO	REV.	FOGLIO
	IA3S	01	E ZZ CL	FV030C 001	C	74 DI 129

8.5.3 Travi HE220B

HE220B		Section properties	
Geometry		Axis y	Axis z
h = 220 mm		$I_y = 8.09E+7 \text{ mm}^4$	$I_z = 2.84E+7 \text{ mm}^4$
b = 220 mm		$W_{y1} = 7.36E+5 \text{ mm}^3$	$W_{z1} = 2.58E+5 \text{ mm}^3$
$t_f = 16 \text{ mm}$		$W_{y,pl} = 8.28E+5 \text{ mm}^3$	$W_{z,pl} = 3.92E+5 \text{ mm}^3$
$t_w = 9.5 \text{ mm}$		$i_y = 94.30 \text{ mm}$	$i_z = 55.90 \text{ mm}$
$r_1 = 18 \text{ mm}$		$S_y = 4.14E+5 \text{ mm}^3$	$S_z = 1.96E+5 \text{ mm}^3$
$y_s = 110 \text{ mm}$		Warping and buckling	
$d = 152 \text{ mm}$		$I_w = 2.95E+11 \text{ mm}^6$	$I_t = 7.71E+5 \text{ mm}^4$
$A = 9100 \text{ mm}^2$		$i_w = 52.00 \text{ mm}$	$i_{pc} = 110.0 \text{ mm}$
$A_L = 1.27 \text{ m}^2 \cdot \text{m}^{-1}$		$G = 71.5 \text{ kg} \cdot \text{m}^{-1}$	



Verifica Resistenza

Asta: 185 [1012,1278] Sez. G: HE 220 B L=134.0 cm Crit.: Acciaio_Flessione $\gamma_M=1.05$ $f_y/k/\gamma_M=2619$ kg/cmq $f_t=4300$ kg/cmq :Verificato

X	cls	N	TY	TZ	MT	MY	MZ	My4	Mz4	Comb.
cm		kg	kg	kg	kg*m	kg*m	kg*m	--	--	
0	1	-633	93	-3212	6	8522	835	--	--	6

X	cls	Nr	Vyr	Vzr	Mry	Mrz	MTrd	SF_V.	SF_M	SF_Mt	SF
cm		kg	kg	kg	kg*m	kg*m	kg*m				
0	1	238441	106090	42076	21670	10317	652	13	2.1	>100	2.1

APPALTATORE: D'AGOSTINO ANGELO ANTONIO COSTRUZIONI GENERALI s.r.l.	RIASSETTO NODO DI BARI												
PROGETTISTA: Mandataria: Mandante: RPA srl Technital SpA HUB Engineering Scarl													
PROGETTO ESECUTIVO: Relazione di calcolo pensilina	<table border="1"> <tr> <td>PROGETTO</td> <td>LOTTO</td> <td>CODIFICA</td> <td>DOCUMENTO</td> <td>REV.</td> <td>FOGLIO</td> </tr> <tr> <td>IA3S</td> <td>01</td> <td>E ZZ CL</td> <td>FV030C 001</td> <td>C</td> <td>75 DI 129</td> </tr> </table>	PROGETTO	LOTTO	CODIFICA	DOCUMENTO	REV.	FOGLIO	IA3S	01	E ZZ CL	FV030C 001	C	75 DI 129
PROGETTO	LOTTO	CODIFICA	DOCUMENTO	REV.	FOGLIO								
IA3S	01	E ZZ CL	FV030C 001	C	75 DI 129								

Asta: 185 [1278,1321] Sez. G: HE 220 B L=134.0 cm Crit.: Acciaio_Flessione $\gamma M=1.05$ $f_y/k\gamma M=2619$ kg/cmq $f_t=4300$ kg/cmq :**Verificato**

X	cls	N	TY	TZ	MT	MY	MZ	My4	Mz4	Comb.
cm		kg	kg	kg	kg*m	kg*m	kg*m			
0	1	-499	-21	-2218	5	4301	711	--	--	6

X	cls	Nr	Vyr	Vzr	Mry	Mrz	MTrd	SF_V.	SF_M	SF_Mt	SF
cm		kg	kg	kg	kg*m	kg*m	kg*m				
0	1	238441	106107	42083	21670	10317	652	19	3.7	>100	3.7

Asta: 185 [1321,1364] Sez. G: HE 220 B L=119.0 cm Crit.: Acciaio_Flessione $\gamma M=1.05$ $f_y/k\gamma M=2619$ kg/cmq $f_t=4300$ kg/cmq :**Verificato**

X	cls	N	TY	TZ	MT	MY	MZ	My4	Mz4	Comb.
cm		kg	kg	kg	kg*m	kg*m	kg*m			
0	1	-135	396	-1271	5	1412	741	--	--	6

X	cls	Nr	Vyr	Vzr	Mry	Mrz	MTrd	SF_V.	SF_M	SF_Mt	SF
cm		kg	kg	kg	kg*m	kg*m	kg*m				
0	1	238441	106128	42091	21670	10317	652	33	7.3	>100	7.3

Verifica spostamenti verticali delle aste in Acciaio secondo NTC 2008

Simbologia:

- L Luce della trave a cui appartiene l'asta
 δc Monta iniziale della trave
x Ascissa, nel sistema locale dell'asta, corrispondente allo spostamento massimo
Comb. Combinazione/i di carico Rara/e
 δ_{max} Spostamento nello stato finale depurato della monta iniziale (positivo se diretto verso il basso)
 $\delta 2$ Spostamento elastico dovuto ai soli carichi variabili (positivo se diretto verso il basso)
L/k: Valore limite
N.b. La verifica è soddisfatta se il valore assoluto degli spostamenti è inferiore al limite

Travata: 185 [1012,1364]: L=387.0 cm, Modello =Sbalzo, Crit.Prog: Acciaio_Flessione, $\delta c = 0.0$ cm:
Verificato

Verifica spostamento nello stato finale (§4.2.4.2.1 - NTC)

x	Comb.	δ_{max}	L/125.00	Cs
cm		mm	mm	
387.0	26	19.53	30.96	1.6

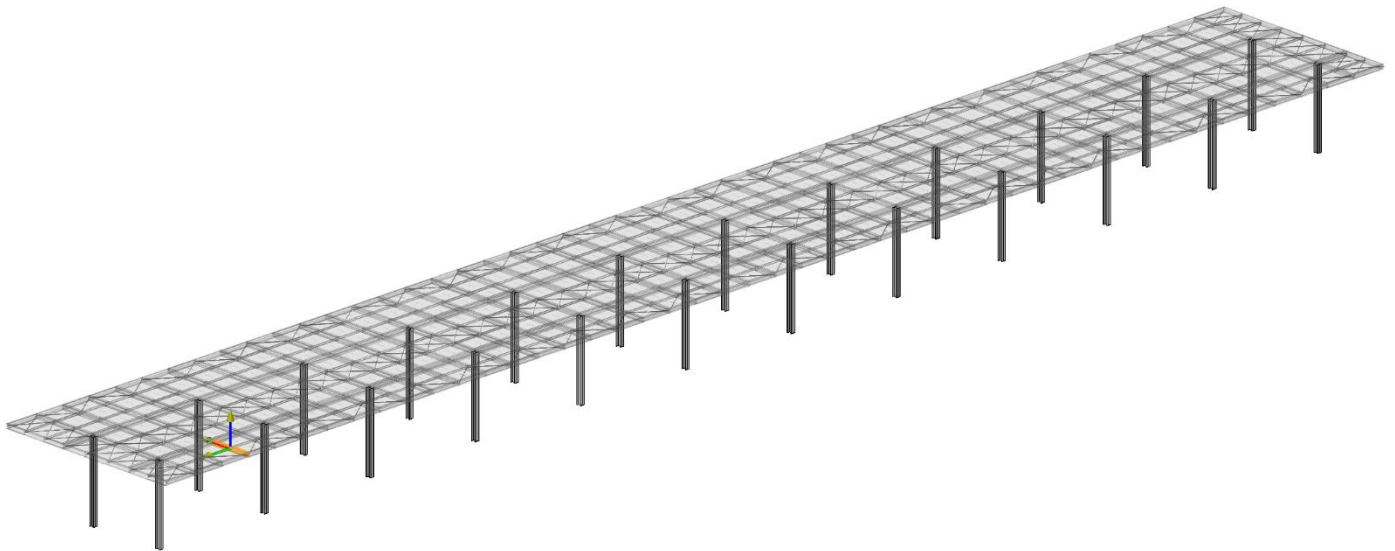
Verifica spostamento elastico dovuto ai soli carichi variabili (§4.2.4.2.1 - NTC)

x	Comb.	$\delta 2$	L/150.00	Cs
cm		mm	mm	
387.0	26	14.61	25.80	1.8

APPALTATORE: D'AGOSTINO ANGELO ANTONIO COSTRUZIONI GENERALI s.r.l.	RIASSETTO NODO DI BARI					
PROGETTISTA: Mandataria: Mandante: RPA srl Technital SpA HUB Engineering Scarl	TRATTA A SUD DI BARI – VARIANTE DI TRACCIATO TRA BARI CENTRALE E BARI TORRE A MARE					
PROGETTO ESECUTIVO: Relazione di calcolo pensilina	PROGETTO	LOTTO	CODIFICA	DOCUMENTO	REV.	FOGLIO
	IA3S	01	E ZZ CL	FV030C 001	C	76 DI 129

8.5.4 Arcareccio IPE100

Geometry		Section properties	
h = 100 mm		Axis y	Axis z
b = 55 mm		$I_y = 1.71E+6 \text{ mm}^4$	$I_z = 1.59E+5 \text{ mm}^4$
$t_f = 5.7 \text{ mm}$		$W_{y1} = 3.42E+4 \text{ mm}^3$	$W_{z1} = 5790 \text{ mm}^3$
$t_w = 4.1 \text{ mm}$		$W_{y,pl} = 3.94E+4 \text{ mm}^3$	$W_{z,pl} = 9146 \text{ mm}^3$
$r_1 = 7 \text{ mm}$		$i_y = 40.70 \text{ mm}$	$i_z = 12.40 \text{ mm}$
$y_s = 27.5 \text{ mm}$		$S_y = 1.97E+4 \text{ mm}^3$	$S_z = 4570 \text{ mm}^3$
d = 74.6 mm		Warping and buckling	
A = 1030 mm ²		$I_w = 3.51E+8 \text{ mm}^6$	$I_t = 1.16E+4 \text{ mm}^4$
$A_L = 0.4 \text{ m}^2 \cdot \text{m}^{-1}$		$G = 8.1 \text{ kg} \cdot \text{m}^{-1}$	$i_w = 13.70 \text{ mm}$



Verifica Resistenza

Asta: 105 [1075,1121] Sez. G: HE 220 B L=125.0 cm Crit.: Acciaio_Flessione $\gamma M=1.05$ $f_y k / \gamma M = 2619$ kg/cmq $f_t = 4300$ kg/cmq :**Verificato**

X	cls	N	TY	TZ	MT	MY	MZ	My4	Mz4	Comb.
cm		kg	kg	kg	kg*m	kg*m	kg*m			
125	1	28	22	1401	3	2316	713	--	--	6

X	cls	Nr	Vyr	Vzr	Mry	Mrz	MTrd	SF_V.	SF_M	SF_Mt	SF
cm		kg	kg	kg	kg*m	kg*m	kg*m				
125	1	238441	106235	42134	21670	10317	652	30	5.7	>100	5.7

Asta: 105 [1028,1075] Sez. G: HE 220 B L=125.0 cm Crit.: Acciaio_Flessione $\gamma M=1.05$ $f_y k / \gamma M = 2619$ kg/cmq $f_t = 4300$ kg/cmq :**Verificato**

APPALTATORE: D'AGOSTINO ANGELO ANTONIO COSTRUZIONI GENERALI s.r.l.	RIASSETTO NODO DI BARI					
PROGETTISTA: Mandataria: Mandante: RPA srl Technital SpA HUB Engineering Scarl	TRATTA A SUD DI BARI – VARIANTE DI TRACCIATO TRA BARI CENTRALE E BARI TORRE A MARE					
PROGETTO ESECUTIVO: Relazione di calcolo pensilina	PROGETTO IA3S	LOTTO 01	CODIFICA E ZZ CL	DOCUMENTO FV030C 001	REV. C	FOGLIO 77 DI 129

X	cls	N	TY	TZ	MT	MY	MZ	My4	Mz4	Comb.
cm		kg	kg	kg	kg*m	kg*m	kg*m			
125	1	23	-394	579	3	638	740	--	--	6

X	cls	Nr	Vyr	Vzr	Mry	Mrz	MTrd	SF_V.	SF_M	SF_Mt	SF
cm		kg	kg	kg	kg*m	kg*m	kg*m				
125	1	238441	106235	42134	21670	10317	652	73	9.9	>100	9.9

Verifica spostamenti verticali delle aste in Acciaio secondo NTC 2008

Simbologia:

- L Luce della trave a cui appartiene l'asta
 δc Monta iniziale della trave
x Ascissa, nel sistema locale dell'asta, corrispondente allo spostamento massimo
Comb. Combinazione/i di carico Rara/e
 δ_{max} Spostamento nello stato finale depurato della monta iniziale (positivo se diretto verso il basso)
 $\delta 2$ Spostamento elastico dovuto ai soli carichi variabili (positivo se diretto verso il basso)
L/k: Valore limite
N.b. La verifica è soddisfatta se il valore assoluto degli spostamenti è inferiore al limite

Travata: 105 [1028,1380]: L=1087.1 cm, Modello =Appoggiata, Crit.Prog: Acciaio_Flessione, $\delta c = 0.0$ cm:
Verificato

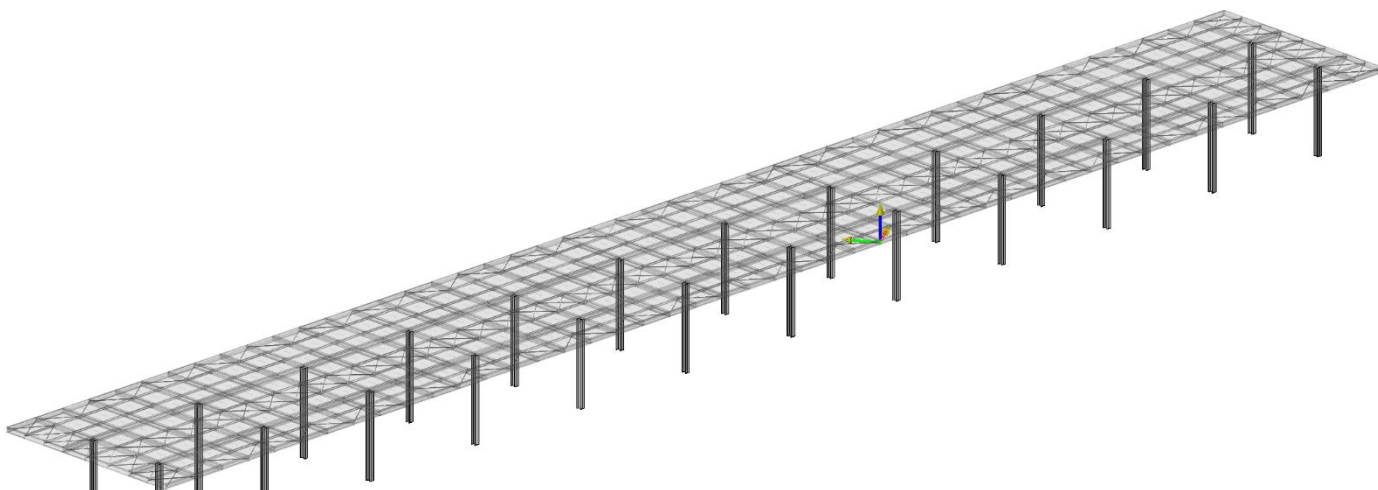
Verifica spostamento nello stato finale (§4.2.4.2.1 - NTC)

x	Comb.	δ_{max}	L/250.00	Cs
cm		mm	mm	
580.1	26	-28.31	43.48	1.5

Verifica spostamento elastico dovuto ai soli carichi variabili (§4.2.4.2.1 - NTC)

x	Comb.	$\delta 2$	L/300.00	Cs
cm		mm	mm	
580.1	26	-20.99	36.24	1.7

8.5.5 Tirante controvento



APPALTATORE: D'AGOSTINO ANGELO ANTONIO COSTRUZIONI GENERALI s.r.l.	RIASSETTO NODO DI BARI					
PROGETTISTA: Mandataria: Mandante: RPA srl Technital SpA HUB Engineering Scarl	TRATTA A SUD DI BARI – VARIANTE DI TRACCIATO TRA BARI CENTRALE E BARI TORRE A MARE					
PROGETTO ESECUTIVO: Relazione di calcolo pensilina	PROGETTO IA3S	LOTTO 01	CODIFICA E ZZ CL	DOCUMENTO FV030C 001	REV. C	FOGLIO 78 DI 129

Verifica Resistenza

Asta: 207 [1052,1100] Sez. G: D20 L=219.2 cm Crit.: Acciaio_Tirante $\gamma_M=1.05$ $f_{yk}/\gamma_M=2619$ kg/cmq
 $f_t=4300$ kg/cmq : **Verificato**

X	cls	N	TY	TZ	MT	MY	MZ	My4	Mz4	Comb.
cm		kg	kg	kg	kg*m	kg*m	kg*m			
0	1	-724	--	--	--	--	--	--	--	6

X	cls	Nr	Vyr	Vzr	Mry	Mrz	MTrd	SF_V.	SF_M	SF_Mt	SF
cm		kg	kg	kg	kg*m	kg*m	kg*m				
0	1	8228	--	--	--	--	--	>100	11	>100	11

8.6 Verifica Spostamento SLD

Interp.	Comb.	ηX_v	ηX_h	ηY_v	ηY_h	Nodo1	Nodo2	η	η_{Amm}	Cs
		mm	mm	mm	mm			mm	mm	
0-1	(61+62)-III-7	0.12	4.09	0.39	0.92	1	1001	4.20	22.92	5.5
0-1	(61+62)-III-7	0.11	4.09	0.42	0.90	2	1002	4.20	22.92	5.5
0-1	(61+62)-III-7	0.11	4.09	0.46	0.88	3	1003	4.20	22.92	5.5
0-1	(61+62)-III-7	0.11	4.09	0.55	0.80	4	1004	4.19	22.92	5.5
0-1	(61+62)-I-8	0.10	4.09	0.72	0.57	5	1005	4.19	22.92	5.5
0-1	(61+62)-I-8	0.10	4.09	1.01	0.62	6	1006	4.19	22.92	5.5
0-1	(61+62)-I-8	0.09	4.09	1.46	0.67	7	1007	4.18	22.92	5.5
0-1	(61+62)-I-8	0.08	4.09	1.01	0.72	8	1008	4.17	22.92	5.5
0-1	(61+62)-I-8	0.08	4.09	0.71	0.79	9	1009	4.17	22.92	5.5
0-1	(61+62)-I-8	0.07	4.09	0.55	0.88	10	1010	4.16	22.92	5.5
0-1	(61+62)-I-8	0.07	4.09	0.45	0.93	11	1011	4.16	22.92	5.5
0-1	(61+62)-I-8	0.06	4.09	0.39	0.98	12	1012	4.16	22.92	5.5
0-1	(61+62)-VII-7	0.10	4.09	0.40	0.54	13	1013	4.20	23.23	5.5
0-1	(61+62)-VII-7	0.10	4.09	0.42	0.65	14	1014	4.19	23.23	5.5
0-1	(61+62)-VII-7	0.10	4.08	0.47	0.68	15	1015	4.18	23.23	5.6
0-1	(61+62)-VII-7	0.09	4.08	0.56	0.91	16	1016	4.17	23.23	5.6
0-1	(61+62)-VII-7	0.09	4.08	0.72	0.80	17	1017	4.17	23.23	5.6
0-1	(61+62)-VII-7	0.10	4.07	1.02	0.70	18	1018	4.17	23.23	5.6
0-1	(61+62)-V-7	0.10	4.07	1.49	0.64	19	1019	4.18	23.23	5.6
0-1	(61+62)-V-8	0.11	4.08	1.02	0.65	20	1020	4.18	23.23	5.6
0-1	(61+62)-V-8	0.11	4.08	0.72	0.66	21	1021	4.19	23.23	5.5
0-1	(61+62)-V-8	0.10	4.09	0.55	0.67	22	1022	4.19	23.23	5.5
0-1	(61+62)-V-8	0.10	4.09	0.46	0.66	23	1023	4.19	23.23	5.5
0-1	(61+62)-V-8	0.09	4.10	0.39	0.58	24	1024	4.19	23.23	5.5
Minimo										
0-1	(61+62)-III-7	0.12	4.09	0.39	0.92	1	1001	4.20	22.92	5.5

8.7 Verifica spostamento SLO

Interp.	Comb.	ηX_v	ηX_h	ηY_v	ηY_h	Nodo1	Nodo2	η	η_{Amm}	Cs
		mm	mm	mm	mm			mm	mm	
0-1	(1+2)-VIII-8	0.12	0.68	0.39	2.66	1	1001	3.05	15.27	5.0
0-1	(1+2)-III-7	0.11	2.93	0.42	0.73	2	1002	3.04	15.27	5.0
0-1	(1+2)-III-7	0.11	2.93	0.46	0.70	3	1003	3.04	15.27	5.0

APPALTATORE: D'AGOSTINO ANGELO ANTONIO COSTRUZIONI GENERALI s.r.l.	RIASSETTO NODO DI BARI												
PROGETTISTA: Mandataria: Mandante: RPA srl Technital SpA HUB Engineering Scarl													
PROGETTO ESECUTIVO: Relazione di calcolo pensilina	<table border="1"> <tr> <td>PROGETTO</td> <td>LOTTO</td> <td>CODIFICA</td> <td>DOCUMENTO</td> <td>REV.</td> <td>FOGLIO</td> </tr> <tr> <td>IA3S</td> <td>01</td> <td>E ZZ CL</td> <td>FV030C 001</td> <td>C</td> <td>79 DI 129</td> </tr> </table>	PROGETTO	LOTTO	CODIFICA	DOCUMENTO	REV.	FOGLIO	IA3S	01	E ZZ CL	FV030C 001	C	79 DI 129
PROGETTO	LOTTO	CODIFICA	DOCUMENTO	REV.	FOGLIO								
IA3S	01	E ZZ CL	FV030C 001	C	79 DI 129								

Interp.	Comb.	η_{Xv}	η_{Xh}	η_{Yv}	η_{Yh}	Nodo1	Nodo2	η	η_{Amm}	Cs
0-1	(1+2)-III-7	0.11	2.93	0.55	0.65	4	1004	3.04	15.27	5.0
0-1	(1+2)-I-8	0.10	2.93	0.72	0.46	5	1005	3.03	15.27	5.0
0-1	(1+2)-I-8	0.10	2.93	1.01	0.50	6	1006	3.03	15.27	5.0
0-1	(1+2)-VI-8	0.09	1.00	1.46	1.79	7	1007	3.25	15.27	4.7
0-1	(1+2)-I-8	0.08	2.93	1.01	0.58	8	1008	3.02	15.27	5.1
0-1	(1+2)-I-8	0.08	2.93	0.71	0.63	9	1009	3.01	15.27	5.1
0-1	(1+2)-I-8	0.07	2.93	0.55	0.70	10	1010	3.01	15.27	5.1
0-1	(1+2)-VI-7	0.07	0.66	0.45	2.60	11	1011	3.06	15.27	5.0
0-1	(1+2)-VI-7	0.06	0.66	0.39	2.82	12	1012	3.20	15.27	4.8
0-1	(1+2)-VIII-8	0.10	0.82	0.40	2.66	13	1013	3.06	15.47	5.1
0-1	(1+2)-VII-7	0.10	2.92	0.42	0.54	14	1014	3.02	15.47	5.1
0-1	(1+2)-VII-7	0.10	2.91	0.47	0.83	15	1015	3.01	15.47	5.1
0-1	(1+2)-VII-7	0.09	2.91	0.56	0.73	16	1016	3.00	15.47	5.2
0-1	(1+2)-VII-7	0.09	2.91	0.72	0.64	17	1017	3.00	15.47	5.2
0-1	(1+2)-VII-7	0.10	2.91	1.02	0.56	18	1018	3.00	15.47	5.2
0-1	(1+2)-VI-8	0.10	0.82	1.49	1.79	19	1019	3.28	15.47	4.7
0-1	(1+2)-V-8	0.11	2.91	1.02	0.52	20	1020	3.02	15.47	5.1
0-1	(1+2)-V-8	0.11	2.91	0.72	0.53	21	1021	3.02	15.47	5.1
0-1	(1+2)-V-8	0.10	2.92	0.55	0.54	22	1022	3.02	15.47	5.1
0-1	(1+2)-VI-7	0.10	0.81	0.46	2.60	23	1023	3.06	15.47	5.1
0-1	(1+2)-VI-7	0.09	0.81	0.39	2.82	24	1024	3.21	15.47	4.8
Minimo										
0-1	(1+2)-VI-8	0.09	1.00	1.46	1.79	7	1007	3.25	15.27	4.7

8.8 Verifica spostamenti laterali delle colonne in acciaio secondo NTC

Scenario di calcolo: **Set_SLV_SLD**

Scenario Sisma Verticale: **Set_SLV_SLD-Verticale**

Simbologia:

Interp.	Interpiano
NS e NI	Nodi giacenti sulla stessa verticale, appartenenti all'impalcato j e i, rispettivamente, dell'interpiano i-j
Nodo	Nodo/i dell'ultimo impalcato
Comb	Combinazione/i di carico Rara/e più gravosa/e
SpstX sup.	Spostamento lungo x del nodo superiore per la combinazione Comb.
SpstY sup.	Spostamento lungo y del nodo superiore per la combinazione Comb.
SpstX inf.	Spostamento lungo x del nodo inferiore per la combinazione Comb.
SpstY inf.	Spostamento lungo y del nodo inferiore per la combinazione Comb.
δ	Spostamento/i orizzontale/i relativo/i di piano
Δ	Spostamento/i orizzontale/i totale/i
L/k	Limite di deformabilità (Tab. 4.2.XIII, §4.2.4.2.2 - NTC 2008)

Verifica spostamenti orizzontali relativi di piano (§4.2.4.2.2 - NTC)

Interp.	NS	NI.	Comb.	SpstX sup.	SpstY sup.	SpstX inf.	SpstY inf.	δ	h/300	Verifica
				mm	mm	mm	mm	mm	mm	
0-1	1019 (Nodo_1019)	19 (Nodo_19)	33	0.11	2.40	0.00	0.00	2.41	15.49	Si

APPALTATORE: D'AGOSTINO ANGELO ANTONIO COSTRUZIONI GENERALI s.r.l.	RIASSETTO NODO DI BARI					
PROGETTISTA: Mandatario: Mandante: RPA srl Technital SpA HUB Engineering Scarl	TRATTA A SUD DI BARI – VARIANTE DI TRACCIATO TRA BARI CENTRALE E BARI TORRE A MARE					
PROGETTO ESECUTIVO: Relazione di calcolo pensilina	PROGETTO IA3S	LOTTO 01	CODIFICA E ZZ CL	DOCUMENTO FV030C 001	REV. C	FOGLIO 80 DI 129

Verifica spostamenti orizzontali in sommità (§4.2.4.2.2 - NTC)

Nodo	Comb.	SpostX	SpostY	Δ	H/500	Verifica
		mm	mm	mm	mm	
1019 (Nodo_1019)	33	0.11	2.40	2.41	9.29	Si

Note

- ** La tabella riporta solo gli spostamenti orizzontali relativi più gravosi
- * La tabella riporta solo gli spostamenti orizzontali in sommità più gravosi

8.9 Verifica Plinti

Per semplicità si riportano le verifiche dei plinti più sollecitati. Inoltre, a vantaggio di sicurezza si ipotizza che il terreno di fondazione dei plinti sia costituito dal terreno superficiale che presenta caratteristiche meccaniche nettamente più scadenti.

Il modello di calcolo utilizzato per il carico limite prevede che il terreno di fondazione è considerato costituito da due strati: uno superiore ed uno inferiore al piano di posa della fondazione. Per la verifica a carico limite si adotta l'approccio 2 con una unica combinazione di carico A1+M1+R3, in cui i coefficienti parziali di sicurezza per le resistenze sono unitari ed il coefficiente di sicurezza globale è pari a 2.3 per il carico limite verticale e pari a 1.1 per il coefficiente di sicurezza per il carico limite orizzontale.

Il calcolo del carico limite è valutato secondo la formula di Terzaghi-Meyerof

$$Q_{lim} = q \cdot N_q \cdot \zeta_q \cdot \xi_q \cdot \alpha_q \cdot \beta_q \cdot \psi_q \cdot z_q + c \cdot N_c \cdot \zeta_c \cdot \xi_c \cdot \alpha_c \cdot \beta_c \cdot \psi_c \cdot z_c + \gamma \cdot N_\gamma \cdot \frac{B}{2} \cdot \zeta_\gamma \cdot \xi_\gamma \cdot \alpha_\gamma \cdot \beta_\gamma \cdot \psi_\gamma \cdot z_\gamma$$

dove:

- N_q, N_c, N_γ Coefficienti di Terzaghi - Meyerof per la striscia indefinita
- $\zeta_q, \zeta_c, \zeta_\gamma$ Coefficienti correttivi di forma, funzione del rapporto B/L
- ξ_q, ξ_c, ξ_γ Coefficienti correttivi di inclinazione del carico, dipendenti da H/V
- $\alpha_q, \alpha_c, \alpha_\gamma$ Coefficienti correttivi di inclinazione del piano di posa
- $\beta_q, \beta_c, \beta_\gamma$ Coefficienti correttivi di inclinazione del piano campagna
- Z_q, Z_c, Z_γ Coefficienti sismici per considerare l'effetto cinematico, considerati solo in presenza di sisma
- $\psi_q, \psi_c, \psi_\gamma$ Coefficienti correttivi di punzonamento dipendenti da un indice di rigidezza del terreno.

Le espressioni dei coefficienti correttivi sono riportate di seguito.

- Coefficienti di forma

$$\zeta_q = 1 + \frac{B}{L} \operatorname{tg}(\phi) \quad \zeta_c = 1 + \frac{B N_q}{L N_c} \quad \zeta_\gamma = 1 - 0.4 \frac{B}{L}$$

- Coefficienti di inclinazione del carico

$$\xi_q = \left[1 - \frac{H \operatorname{tg}(\phi)}{V \operatorname{tg}(\phi) + BLc} \right]^m \quad \xi_c = \xi_q - \frac{1 - \xi_q}{N_c \operatorname{tg}(\phi)} \quad \xi_\gamma = \left[1 - \frac{H \operatorname{tg}(\phi)}{V \operatorname{tg}(\phi) + BLc} \right]^{m+1}$$

essendo

APPALTATORE: D'AGOSTINO ANGELO ANTONIO COSTRUZIONI GENERALI s.r.l.	RIASSETTO NODO DI BARI					
PROGETTISTA: Mandataria: Mandante: RPA srl Technital SpA HUB Engineering Scarl	TRATTA A SUD DI BARI – VARIANTE DI TRACCIATO TRA BARI CENTRALE E BARI TORRE A MARE					
PROGETTO ESECUTIVO: Relazione di calcolo pensilina	PROGETTO IA3S	LOTTO 01	CODIFICA E ZZ CL	DOCUMENTO FV030C 001	REV. C	FOGLIO 81 DI 129

$$m = \frac{2 + \frac{B}{L}}{1 + \frac{B}{L}}$$

- Coefficienti correttivi di inclinazione del piano di posa

$$\alpha_q = (1 - \epsilon \operatorname{tg}(\phi))^2 \quad \alpha_c = \alpha_q - \frac{1 - \alpha_q}{N_c \operatorname{tg}(\phi)} \quad \alpha_\gamma = \alpha_q$$

con

$$\epsilon < \pi/4$$

- Coefficienti correttivi di inclinazione del piano campagna

$$\beta_q = (1 - \operatorname{tg}(\omega))^2 \cos(\phi) \quad \beta_c = \beta_q - \frac{q - \beta_\gamma}{N_c \operatorname{tg}(\phi)} \quad \beta_\gamma = \frac{\beta_q}{\cos(\omega)}$$

con

$$\omega < \pi/4; \omega < \phi$$

- Coefficienti di punzonamento

$$\psi_q = \left(\left(0.6 \frac{B}{L} - 4.4 \right) \operatorname{tg}(\phi) + \frac{3.07 \sin(\phi) \log_{10}(2I_r)}{1 + \sin(\phi)} \right)$$

$$\psi_c = \psi_q - \frac{1 - \psi_q}{N_q \operatorname{tg}(\phi)} \quad \text{se } \phi \neq 0$$

$$\psi_c = 0.32 + 0.12 \frac{B}{L} + 0.6 \log_{10}(I_r) \quad \text{se } \phi = 0$$

$$\psi_\gamma = \psi_q$$

- Coefficienti sismici

$$z_q = z_c = 1 \quad z_g = \left(1 - \frac{kh}{\operatorname{tg}(\phi)} \right)^{0.45}$$

con

$$kh = \beta \frac{a_{max}}{g} \quad (\text{cfr. NT - 7.11.3})$$

Detto I_r l'indice di rigidezza del terreno (secondo la teoria di Vesic dipendente dal modulo tangenziale $G=0.5 \cdot E/(1+\nu)$ del terreno, dalla coesione c , dalla tensione effettiva alla profondità $B/2$ sotto il piano di posa e dall'angolo di attrito del terreno di fondazione) ed I_{rcrit} l'indice di rigidezza critico (dipendente dall'angolo di attrito del terreno e dal rapporto B/L), i coefficienti di punzonamento sono uguali alla unità quando $I_r \geq I_{rcrit}$, mentre sono minori dell'unità quando $I_r < I_{rcrit}$.

APPALTATORE: D'AGOSTINO ANGELO ANTONIO COSTRUZIONI GENERALI s.r.l.	RIASSETTO NODO DI BARI					
PROGETTISTA: Mandataria: Mandante: RPA srl Technital SpA HUB Engineering Scarl	TRATTA A SUD DI BARI – VARIANTE DI TRACCIATO TRA BARI CENTRALE E BARI TORRE A MARE					
PROGETTO ESECUTIVO: Relazione di calcolo pensilina	PROGETTO IA3S	LOTTO 01	CODIFICA E ZZ CL	DOCUMENTO FV030C 001	REV. C	FOGLIO 82 DI 129

Oltre a queste correzioni un'altra deriva dall'eccentricità del carico e consiste nel ridurre le dimensioni della fondazione in modo che il carico risulti centrato rispetto alla fondazione ridotta; dette e_b ed e_l le eccentricità del carico nella direzione di B ed L, il carico limite si calcola per una fondazione di dimensioni ridotte $B' = B - 2e_b$ e $L' = L - 2e_l$.

Altra correzione deriva dalla presenza della falda inserendo i pesi del terreno immerso nel primo e terzo termine dell'espressione del carico limite, in particolare, detta Hf la profondità della falda e D la profondità del piano di posa, si assume che quando:

- Hf ≤ D si valuta la pressione effettiva sul piano di posa considerando che parte del terreno superiore è immerso, mentre nel terzo termine si userà il peso immerso;
- D < Hf ≤ D + B il peso del terreno del terzo termine si interpola tra i valori immerso e secco secondo la formula: $\gamma^* = \gamma'' + (\gamma - \gamma'') D/B$;
- D + B < Hf la falda è trascurata.

I coefficienti di Terzaghi - Meyerof per la striscia ed i coefficienti correttivi sono dati dalle relazioni:

$$N_q = \frac{1 + \sin(\phi)}{1 - \sin(\phi)} e^{\pi \tan(\phi)} \quad N_c = (N_q - 1) \cot(\phi)$$

I valori del coefficiente N_γ sono riportati nella tabella seguente in funzione dell'angolo di attrito del terreno.

ϕ°	0	1	2	3	4	5	6	7	8
N_q	0	0.07	0.15	0.24	0.34	0.45	0.57	0.71	0.86
ϕ°	9	10	11	12	13	14	15	16	17
N_q	1.03	1.22	1.44	1.69	1.97	2.29	2.65	3.06	3.53
ϕ°	18	19	20	21	22	23	24	25	26
N_q	4.07	4.68	5.39	6.2	7.13	8.2	9.44	10.88	12.54
ϕ°	27	28	29	30	31	32	33	34	35
N_q	14.47	16.72	19.34	22.4	25.99	30.22	35.19	41.06	48.03
ϕ°	36	37	38	39	40	41	42	43	44
N_q	56.31	66.19	78.03	92.25	109.41	130.22	155.55	186.54	224.64
ϕ°	45	46	47	48	49	50	-	-	-
N_q	271.76	330.75	403.67	496.01	613.16	762.89	-	-	-

Simbologia carico limite fondazione rettangolare:

- B Base
- L Lunghezza
- e_b Eccentricità secondo B
- e_l Eccentricità secondo L
- D Profondità del piano di posa
- Fv Componente ortogonale dell'azione sulla fondazione
- Fh Componente tangenziale dell'azione sulla fondazione
- ϵ Inclinazione del piano di posa
- ω Inclinazione del piano campagna
- ϕ Angolo di attrito del terreno di fondazione
- c Coesione del terreno di fondazione
- G Modulo tangenziale del terreno di fondazione
- γ_1 Peso specifico terreno superiore
- γ Peso specifico terreno di fondazione
- γ_{1Sat} Peso specifico terreno saturo superiore
- γ_{Sat} Peso specifico terreno saturo di fondazione
- Hf Profondità della falda
- W0 Peso specifico acqua

APPALTATORE: D'AGOSTINO ANGELO ANTONIO COSTRUZIONI GENERALI s.r.l.	RIASSETTO NODO DI BARI					
PROGETTISTA: Mandataria: Mandante:	TRATTA A SUD DI BARI – VARIANTE DI TRACCIATO TRA BARI CENTRALE E BARI TORRE A MARE					
RPA srl Technital SpA HUB Engineering Scarl						
PROGETTO ESECUTIVO: Relazione di calcolo pensilina	PROGETTO IA3S	LOTTO 01	CODIFICA E ZZ CL	DOCUMENTO FV030C 001	REV. C	FOGLIO 83 DI 129

Il terreno è modellato come sequenza di strati di tipo coesivo la cui deformabilità è individuata attraverso il modulo edometrico, ovvero in base alla curva edometrica dedotta da prove in sito. Il cedimento è calcolato secondo la teoria di Skempton e Bjerrum. Il cedimento complessivo si compone di un cedimento di consolidazione W_c e di un cedimento immediato W_0 . Il cedimento di consolidazione è valutato in funzione del cedimento edometrico secondo la relazione $W_c = \beta W_{ed}$ essendo β un parametro funzione del coefficiente A di Skempton, del rapporto H/B per la striscia ovvero di H/D per il quadrato o cerchio; i valori di β sono ottenuti dal grafico riportato di seguito.

La precedente relazione per il calcolo di W_c è applicabile ad uno strato omogeneo di spessore H ; nei casi reali di terreno stratificato la precedente non è applicabile, ma assumendo valida l'ipotesi di Steinbrenner si può porre il cedimento nella forma:

$$W_c = \sum_{i=1}^n \beta(A_i, z_i + \Delta_i, B, L) W_{ed}(z_i + \Delta_i) - \beta(A_i, z_i, B, L) W_{ed}(z_i)$$

dove:

- A_i coefficiente di Skempton dello strato i^{mo}
- z_i quota superiore dello strato in considerazione
- Δ_i spessore dello strato
- $W_{ed}(z_i)$ cedimento di uno strato ideale di spessore z_i e modulo edometrico $E_{ed,i}$
- $W_{ed}(z_i + \Delta_i)$ cedimento di uno strato ideale di spessore $z_i + \Delta_i$ e modulo edometrico $E_{ed,i}$
- β è letto dai diagrammi assumendo come spessore dello strato z_i ovvero $z_i + \Delta_i$

Riepilogo risultati del calcolo

Elm.	Combinazione	V	Vd	CsV (>2.30)	H	Hd	CsH (>1.10)	Qd	qe	W
		kg	kg		kg	kg		kg/cmq	kg/cmq	mm
108	1	13615	195305	32.99	305	7734	27.90	4.69	0.08	1
	2	19883	163014	18.86	1344	11295	9.24	4.30	0.21	2
	3	14284	159270	25.65	880	8114	10.15	4.31	0.10	1
	4	19652	161462	18.90	1371	11163	8.96	4.28	0.21	2
	5	10320	151574	33.78	597	5863	10.80	4.29	0.01	0
	6	19504	150180	17.71	1560	11080	7.81	4.17	0.20	2
	7	13809	156821	26.12	887	7845	9.73	4.28	0.09	1
	8	17786	160312	20.73	1217	10103	9.14	4.28	0.17	1
	9	12187	154755	29.21	752	6923	10.12	4.29	0.05	0
	10	17785	160309	20.73	1216	10103	9.14	4.28	0.17	1
	11	19883	163014	18.86	1344	11295	9.24	4.30	0.21	2
	12	14380	144483	23.11	1089	8169	8.25	4.17	0.10	1
	13	19652	161462	18.90	1371	11163	8.96	4.28	0.21	2
	14	10214	165586	37.29	455	5802	14.02	4.43	0.01	0
	15	19303	169085	20.15	1209	10965	9.98	4.35	0.20	2
	16	13720	164775	27.62	780	7794	11.00	4.36	0.08	1
	17	17696	166589	21.65	1109	10052	9.97	4.33	0.17	1
	18	12097	163679	31.12	645	6872	11.72	4.37	0.05	0
	19	17696	166586	21.65	1109	10052	9.97	4.33	0.17	1
	20	8729	71137	18.74	1679	4959	3.25	2.98	0.00	0
	21	10109	106253	24.17	1286	5743	4.91	3.43	0.01	0
	22	9697	115759	27.46	1638	5508	3.70	3.45	0.00	0
	23	11077	153797	31.94	1304	6292	5.31	3.87	0.03	0
	24	8839	72144	18.77	1685	5021	3.28	3.00	0.00	0
	25	10219	107083	24.10	1289	5805	4.95	3.45	0.01	0
	26	9806	116545	27.33	1642	5571	3.73	3.46	0.00	0
	27	11186	154355	31.74	1304	6355	5.36	3.88	0.03	0
	28	7458	50183	15.48	2067	4236	2.25	2.57	0.00	0
	29	12058	174629	33.31	777	6850	9.70	4.22	0.05	0
	30	7748	68552	20.35	2042	4401	2.37	2.82	0.00	0
	31	12348	201456	37.52	826	7015	9.35	4.38	0.06	0
	32	7567	51304	15.59	2075	4299	2.28	2.59	0.00	0

APPALTATORE:
**D'AGOSTINO ANGELO ANTONIO COSTRUZIONI
GENERALI s.r.l.**

RIASSETTO NODO DI BARI

PROGETTISTA:

**TRATTA A SUD DI BARI – VARIANTE DI TRACCIATO TRA
BARI CENTRALE E BARI TORRE A MARE**

Mandataria: Mandante:

RPA srl Technital SpA HUB Engineering Scarl

PROGETTO ESECUTIVO:

PROGETTO	LOTTO	CODIFICA	DOCUMENTO	REV.	FOGLIO
IA3S	01	E ZZ CL	FV030C 001	C	84 DI 129

Relazione di calcolo pensilina

Elm.	Combinazione	V	Vd	CsV (>2.30)	H	Hd	CsH (>1.10)	Qd	qe	W
	33	12168	175486	33.17	771	6912	9.87	4.23	0.05	0
	34	7858	69671	20.39	2049	4464	2.40	2.84	0.00	0
	35	12458	202210	37.33	818	7077	9.52	4.39	0.06	0
	36	8956	78319	20.11	1572	5088	3.56	3.10	0.00	0
	37	9882	99629	23.19	1351	5614	4.57	3.35	0.00	0
	38	9924	121266	28.11	1588	5637	3.90	3.51	0.01	0
	39	10849	150389	31.88	1299	6163	5.22	3.85	0.02	0
	40	9066	79291	20.12	1578	5150	3.59	3.11	0.00	0
	41	9992	100494	23.13	1355	5676	4.61	3.37	0.01	0
	42	10034	122014	27.97	1591	5700	3.94	3.53	0.01	0
	43	10959	150958	31.68	1300	6226	5.27	3.86	0.03	0
	44	8215	79244	22.19	1629	4667	3.15	3.13	0.00	0
	45	11301	173899	35.39	532	6419	13.26	4.32	0.03	0
	46	8505	100748	27.24	1654	4832	3.21	3.33	0.00	0
	47	11591	208644	41.40	419	6584	17.28	4.61	0.04	0
	48	8325	80210	22.16	1637	4729	3.18	3.15	0.00	0
	49	11410	174323	35.14	530	6482	13.45	4.33	0.04	0
	50	8615	101611	27.13	1661	4894	3.24	3.34	0.00	0
	51	11701	208882	41.06	413	6647	17.72	4.62	0.04	0
	52	8761	73963	19.42	1619	4977	3.38	3.03	0.00	0
	53	10141	109011	24.72	1248	5761	5.08	3.47	0.01	0
	54	9665	114188	27.17	1658	5490	3.64	3.43	0.00	0
	55	11045	153288	31.92	1290	6274	5.35	3.87	0.03	0
	56	8870	74964	19.44	1626	5039	3.41	3.05	0.00	0
	57	10251	109832	24.64	1251	5823	5.12	3.48	0.01	0
	58	9775	114979	27.05	1662	5553	3.68	3.44	0.00	0
	59	11155	153839	31.72	1291	6337	5.40	3.88	0.03	0
	60	7467	51073	15.73	2048	4242	2.28	2.59	0.00	0
	61	12068	174193	33.20	790	6855	9.55	4.21	0.05	0
	62	7738	67529	20.07	2059	4396	2.35	2.80	0.00	0
	63	12339	202239	37.70	806	7009	9.57	4.39	0.05	0
	64	7577	52194	15.84	2056	4304	2.30	2.61	0.00	0
	65	12177	175054	33.06	784	6918	9.71	4.22	0.05	0
	66	7848	68652	20.12	2066	4458	2.37	2.82	0.00	0
	67	12449	202970	37.50	798	7072	9.74	4.40	0.06	0
	68	8988	81240	20.79	1514	5106	3.71	3.15	0.00	0
	69	9914	102433	23.77	1309	5632	4.73	3.39	0.00	0
	70	9892	119843	27.86	1603	5619	3.86	3.50	0.00	0
	71	10818	149658	31.82	1292	6145	5.23	3.85	0.02	0
	72	9098	82203	20.78	1520	5168	3.74	3.16	0.00	0
	73	10023	103289	23.70	1313	5694	4.77	3.41	0.01	0
	74	10002	120594	27.73	1606	5682	3.89	3.51	0.01	0
	75	10928	150222	31.62	1293	6208	5.28	3.86	0.03	0
	76	8224	80329	22.46	1610	4672	3.19	3.15	0.00	0
	77	11310	174499	35.49	535	6425	13.20	4.32	0.03	0
	78	8496	99599	26.96	1670	4826	3.18	3.31	0.00	0
	79	11581	208524	41.41	401	6579	18.05	4.63	0.04	0
	80	8334	81288	22.43	1618	4734	3.22	3.17	0.00	0
	81	11420	174927	35.23	533	6487	13.40	4.33	0.04	0
	82	8606	100469	26.85	1677	4889	3.21	3.32	0.00	0
	83	11691	208759	41.07	395	6641	18.52	4.63	0.04	0
	84	8940	110067	28.32	1132	5078	4.94	3.67	0.00	0
	85	10320	162158	36.14	441	5862	14.62	4.37	0.01	0
	86	9230	136382	33.99	1115	5243	5.17	3.88	0.00	0
	87	10610	192117	41.65	461	6027	14.39	4.56	0.02	0
	88	9306	112381	27.78	1158	5286	5.02	3.70	0.00	0
	89	10686	163113	35.11	460	6070	14.50	4.38	0.02	0
	90	9596	138055	33.09	1138	5451	5.27	3.90	0.00	0
	91	10976	192337	40.30	469	6235	14.62	4.56	0.03	0
	92	9167	119977	30.10	1001	5207	5.72	3.82	0.00	0
	93	10093	153166	34.91	547	5733	11.52	4.27	0.01	0

APPALTATORE:
**D'AGOSTINO ANGELO ANTONIO COSTRUZIONI
GENERALI s.r.l.**

RIASSETTO NODO DI BARI

PROGETTISTA:

**TRATTA A SUD DI BARI – VARIANTE DI TRACCIATO TRA
BARI CENTRALE E BARI TORRE A MARE**

Mandataria: Mandante:

RPA srl Technital SpA HUB Engineering Scarl

PROGETTO ESECUTIVO:

PROGETTO	LOTTO	CODIFICA	DOCUMENTO	REV.	FOGLIO
IA3S	01	E ZZ CL	FV030C 001	C	85 DI 129

Relazione di calcolo pensilina

Elm.	Combinazione	V	Vd	CsV (>2.30)	H	Hd	CsH (>1.10)	Qd	qe	W
	94	9457	146398	35.60	1010	5372	5.85	4.00	0.00	0
	95	10383	184243	40.81	511	5898	12.69	4.49	0.01	0
	96	9533	121993	29.43	1027	5415	5.80	3.84	0.00	0
	97	10459	154338	33.94	569	5941	11.48	4.28	0.02	0
	98	9823	147762	34.60	1031	5580	5.95	4.02	0.00	0
	99	10749	184532	39.49	526	6106	12.77	4.50	0.02	0
	100	8949	111301	28.61	1112	5084	5.03	3.69	0.00	0
	101	10329	163404	36.38	424	5868	15.21	4.39	0.01	0
	102	9220	135136	33.71	1130	5238	5.10	3.86	0.00	0
	103	10601	191198	41.48	463	6022	14.29	4.55	0.02	0
	104	9315	113583	28.05	1138	5292	5.12	3.72	0.00	0
	105	10695	164333	35.34	443	6076	15.08	4.39	0.02	0
	106	9586	136843	32.83	1152	5446	5.20	3.89	0.00	0
	107	10967	191413	40.14	473	6230	14.49	4.56	0.03	0
	108	9176	121250	30.39	981	5213	5.85	3.84	0.00	0
	109	10102	154434	35.16	529	5739	11.93	4.29	0.01	0
	110	9448	145161	35.34	1024	5367	5.77	3.99	0.00	0
	111	10373	183159	40.61	519	5893	12.49	4.49	0.01	0
	112	9542	123232	29.70	1007	5421	5.92	3.86	0.00	0
	113	10468	155574	34.18	551	5946	11.88	4.29	0.02	0
	114	9814	146559	34.35	1045	5575	5.87	4.01	0.00	0
	115	10739	183459	39.29	534	6101	12.57	4.49	0.02	0
	116	10287	198428	44.36	243	5844	26.44	4.70	0.01	0
109	1	15215	215903	32.64	306	8643	31.09	4.81	0.11	1
	2	21753	185209	19.58	1240	12357	10.97	4.48	0.25	2
	3	16181	190388	27.06	776	9192	13.03	4.56	0.13	1
	4	21524	183925	19.65	1266	12227	10.63	4.46	0.24	2
	5	12238	194404	36.54	494	6952	15.50	4.63	0.05	0
	6	21459	174037	18.65	1457	12190	9.21	4.37	0.24	2
	7	15710	188985	27.67	782	8924	12.55	4.54	0.12	1
	8	19665	185191	21.66	1111	11171	11.06	4.48	0.21	2
	9	14094	191139	31.19	648	8006	13.59	4.58	0.09	1
	10	19667	185207	21.66	1111	11172	11.06	4.48	0.21	2
	11	21753	185209	19.58	1240	12357	10.97	4.48	0.25	2
	12	16359	176902	24.87	987	9293	10.35	4.44	0.14	1
	13	21524	183925	19.65	1266	12227	10.63	4.46	0.24	2
	14	12078	206548	39.33	350	6861	21.54	4.73	0.05	0
	15	21122	191082	20.81	1102	11999	11.97	4.53	0.24	2
	16	15580	196285	28.98	674	8850	14.44	4.61	0.12	1
	17	19535	190889	22.48	1003	11097	12.17	4.53	0.20	2
	18	13963	199383	32.84	540	7932	16.16	4.65	0.09	1
	19	19537	190905	22.47	1003	11098	12.17	4.53	0.20	2
	20	10820	124713	26.51	1633	6146	4.14	3.58	0.02	0
	21	12315	163765	30.59	1256	6996	6.13	3.99	0.05	0
	22	10494	124178	27.22	1598	5961	4.10	3.58	0.02	0
	23	11990	162170	31.11	1275	6811	5.88	3.96	0.05	0
	24	10926	125545	26.43	1629	6207	4.19	3.60	0.03	0
	25	12422	164161	30.40	1258	7056	6.17	3.99	0.06	0
	26	10601	125184	27.16	1590	6022	4.17	3.60	0.02	0
	27	12096	162780	30.95	1272	6871	5.94	3.97	0.05	0
	28	8961	83001	21.30	2105	5091	2.66	3.03	0.00	0
	29	13946	195834	32.30	995	7922	8.76	4.34	0.09	1
	30	8864	84297	21.87	2084	5035	2.66	3.05	0.00	0
	31	13848	194410	32.29	1030	7867	8.40	4.31	0.09	1
	32	9068	84310	21.38	2096	5151	2.70	3.05	0.00	0
	33	14052	195984	32.08	1005	7983	8.73	4.34	0.09	1
	34	8970	85680	21.97	2074	5096	2.70	3.08	0.00	0
	35	13955	194673	32.09	1038	7927	8.40	4.31	0.09	1
	36	11138	135282	27.93	1492	6327	4.66	3.72	0.03	0
	37	11996	156068	29.92	1322	6815	5.67	3.92	0.05	0
	38	10813	132763	28.24	1513	6142	4.47	3.68	0.02	0

APPALTATORE:
D'AGOSTINO ANGELO ANTONIO COSTRUZIONI
GENERALI s.r.l.

RIASSETTO NODO DI BARI

PROGETTISTA:

Mandataria: Mandante:

RPA srl Technital SpA HUB Engineering Scarl

TRATTA A SUD DI BARI – VARIANTE DI TRACCIATO TRA
BARI CENTRALE E BARI TORRE A MARE

PROGETTO ESECUTIVO:

Relazione di calcolo pensilina

PROGETTO	LOTTO	CODIFICA	DOCUMENTO	REV.	FOGLIO
IA3S	01	E ZZ CL	FV030C 001	C	86 DI 129

Elm.	Combinazione	V	Vd	CsV (>2.30)	H	Hd	CsH (>1.10)	Qd	qe	W
	39	11671	156939	30.93	1272	6630	5.73	3.94	0.04	0
	40	11245	136017	27.82	1489	6388	4.72	3.73	0.03	0
	41	12103	156548	29.75	1322	6875	5.72	3.93	0.05	0
	42	10919	133686	28.16	1505	6203	4.53	3.69	0.03	0
	43	11778	157612	30.78	1267	6690	5.81	3.95	0.04	0
	44	10023	126493	29.03	1452	5694	4.31	3.71	0.01	0
	45	12884	210225	37.53	536	7319	15.03	4.58	0.07	1
	46	9925	124483	28.85	1481	5638	4.19	3.67	0.01	0
	47	12786	217039	39.04	427	7263	18.71	4.67	0.06	1
	48	10130	127536	28.96	1443	5754	4.39	3.73	0.01	0
	49	12990	210080	37.20	543	7379	14.94	4.58	0.07	1
	50	10032	125612	28.80	1471	5699	4.26	3.69	0.01	0
	51	12893	216960	38.70	432	7324	18.65	4.67	0.07	1
	52	10968	130148	27.29	1554	6231	4.41	3.66	0.03	0
	53	12464	167463	30.90	1226	7080	6.35	4.02	0.06	0
	54	10346	119977	26.67	1643	5877	3.93	3.53	0.01	0
	55	11841	160212	31.12	1262	6726	5.86	3.96	0.04	0
	56	11075	130933	27.19	1551	6291	4.46	3.67	0.03	0
	57	12570	167811	30.70	1229	7141	6.39	4.02	0.06	0
	58	10452	121022	26.63	1634	5938	4.00	3.55	0.02	0
	59	11948	160858	30.97	1258	6787	5.93	3.97	0.05	0
	60	9006	84872	21.68	2075	5116	2.71	3.06	0.00	0
	61	13990	194763	32.02	1020	7947	8.57	4.32	0.09	1
	62	8819	82572	21.53	2112	5010	2.61	3.02	0.00	0
	63	13803	195806	32.63	1000	7841	8.62	4.33	0.09	1
	64	9113	86174	21.75	2066	5176	2.76	3.09	0.00	0
	65	14097	194920	31.80	1031	8008	8.55	4.32	0.09	1
	66	8926	83963	21.64	2102	5070	2.65	3.05	0.00	0
	67	13910	196061	32.42	1008	7902	8.62	4.33	0.09	1
	68	11287	140570	28.64	1419	6412	4.97	3.79	0.03	0
	69	12145	160237	30.35	1278	6899	5.94	3.96	0.05	0
	70	10664	128896	27.80	1547	6058	4.31	3.63	0.02	0
	71	11522	154146	30.77	1275	6545	5.65	3.92	0.04	0
	72	11394	141255	28.52	1417	6472	5.03	3.80	0.04	0
	73	12252	160681	30.16	1279	6960	5.99	3.97	0.05	0
	74	10771	129859	27.73	1539	6118	4.37	3.65	0.02	0
	75	11629	154862	30.63	1270	6606	5.72	3.94	0.04	0
	76	10068	128502	29.36	1422	5719	4.43	3.74	0.01	0
	77	12928	210759	37.49	546	7344	14.79	4.58	0.07	1
	78	9881	122763	28.58	1507	5613	4.10	3.65	0.00	0
	79	12742	217163	39.20	402	7238	19.82	4.69	0.06	1
	80	10174	129531	29.28	1413	5780	4.50	3.76	0.01	0
	81	13035	210600	37.16	554	7405	14.69	4.57	0.07	1
	82	9987	123905	28.53	1496	5674	4.17	3.67	0.01	0
	83	12848	217094	38.86	406	7299	19.77	4.69	0.07	1
	84	10581	150427	32.70	1096	6011	6.03	4.04	0.02	0
	85	12077	204032	38.86	385	6860	19.58	4.67	0.05	0
	86	10484	151883	33.32	1083	5955	6.05	4.05	0.02	0
	87	11979	203877	39.14	410	6805	18.27	4.65	0.05	0
	88	10937	153167	32.21	1069	6213	6.39	4.09	0.03	0
	89	12432	204495	37.83	385	7062	20.16	4.68	0.06	0
	90	10839	154957	32.88	1049	6157	6.46	4.11	0.02	0
	91	12334	205048	38.24	392	7007	19.66	4.68	0.05	0
	92	10900	163766	34.56	905	6192	7.53	4.21	0.03	0
	93	11758	193282	37.81	510	6679	14.42	4.56	0.04	0
	94	10802	163573	34.83	917	6136	7.36	4.20	0.02	0
	95	11661	196046	38.67	476	6624	15.31	4.59	0.04	0
	96	11255	166132	33.95	878	6394	8.01	4.26	0.03	0
	97	12114	194410	36.91	498	6881	15.21	4.58	0.05	0
	98	11158	166323	34.29	884	6338	7.89	4.25	0.03	0
	99	12016	197773	37.86	447	6826	16.78	4.63	0.05	0

APPALTATORE:
**D'AGOSTINO ANGELO ANTONIO COSTRUZIONI
GENERALI s.r.l.**

RIASSETTO NODO DI BARI

PROGETTISTA:

**TRATTA A SUD DI BARI – VARIANTE DI TRACCIATO TRA
BARI CENTRALE E BARI TORRE A MARE**

Mandataria: Mandante:

RPA srl Technital SpA HUB Engineering Scarl

PROGETTO ESECUTIVO:

PROGETTO	LOTTO	CODIFICA	DOCUMENTO	REV.	FOGLIO
IA3S	01	E ZZ CL	FV030C 001	C	87 DI 129

Relazione di calcolo pensilina

Elm.	Combinazione	V	Vd	CsV (>2.30)	H	Hd	CsH (>1.10)	Qd	qe	W
	100	10626	152450	33.00	1066	6036	6.23	4.06	0.02	0
	101	12121	205534	39.00	370	6886	20.48	4.68	0.05	0
	102	10439	150167	33.09	1108	5930	5.89	4.03	0.02	0
	103	11935	203009	39.12	412	6780	18.08	4.65	0.05	0
	104	10981	155137	32.49	1039	6238	6.60	4.11	0.03	0
	105	12477	205880	37.95	372	7088	20.95	4.69	0.06	0
	106	10795	153287	32.66	1074	6132	6.28	4.08	0.02	0
	107	12290	204272	38.23	393	6981	19.56	4.67	0.05	0
	108	10945	165788	34.84	875	6217	7.82	4.24	0.03	0
	109	11803	195066	38.01	486	6705	15.18	4.58	0.04	0
	110	10758	161932	34.62	941	6111	7.14	4.18	0.02	0
	111	11616	194755	38.56	490	6599	14.80	4.58	0.04	0
	112	11300	168097	34.21	849	6419	8.32	4.28	0.03	0
	113	12158	196107	37.10	475	6907	15.99	4.60	0.05	0
	114	11113	164730	34.09	907	6313	7.66	4.23	0.03	0
	115	11971	196551	37.76	461	6800	16.23	4.62	0.05	0
	116	11468	213521	42.82	244	6515	29.36	4.79	0.04	0
110	1	15370	217224	32.51	309	8731	31.04	4.82	0.12	1
	2	21904	185524	19.48	1196	12443	11.44	4.49	0.25	2
	3	16146	188077	26.79	735	9172	13.73	4.56	0.13	1
	4	21672	184252	19.55	1221	12311	11.09	4.48	0.25	2
	5	12075	188825	35.97	454	6859	16.63	4.61	0.05	0
	6	21441	173013	18.56	1415	12180	9.47	4.38	0.24	2
	7	15663	186497	27.38	740	8898	13.23	4.54	0.12	1
	8	19729	184536	21.51	1070	11207	11.52	4.49	0.21	2
	9	13970	187034	30.79	610	7936	14.32	4.57	0.09	1
	10	19753	184826	21.52	1067	11221	11.57	4.49	0.21	2
	11	21904	185524	19.48	1196	12443	11.44	4.49	0.25	2
	12	16164	172962	24.61	950	9182	10.63	4.42	0.13	1
	13	21672	184252	19.55	1221	12311	11.09	4.48	0.25	2
	14	12019	203123	38.87	307	6828	24.43	4.73	0.05	0
	15	21367	192133	20.68	1056	12138	12.65	4.55	0.24	2
	16	15611	194589	28.67	630	8868	15.49	4.61	0.12	1
	17	19676	190885	22.31	961	11177	12.80	4.55	0.21	2
	18	13918	196149	32.42	499	7906	17.41	4.65	0.09	1
	19	19701	191174	22.32	957	11191	12.86	4.55	0.21	2
	20	10358	115575	25.66	1665	5884	3.89	3.47	0.01	0
	21	12016	156833	30.02	1302	6826	5.77	3.89	0.05	0
	22	10883	127703	26.99	1624	6182	4.19	3.61	0.02	0
	23	12542	166764	30.58	1315	7124	5.96	3.98	0.06	0
	24	10451	116693	25.68	1656	5937	3.94	3.49	0.02	0
	25	12109	157557	29.93	1298	6879	5.83	3.90	0.05	0
	26	10976	128670	26.96	1622	6235	4.23	3.62	0.03	0
	27	12634	167288	30.45	1319	7177	5.98	3.98	0.06	0
	28	8607	72319	19.33	2186	4889	2.46	2.87	0.00	0
	29	14135	184384	30.00	1177	8030	7.50	4.22	0.09	1
	30	8765	80900	21.23	2163	4979	2.53	2.99	0.00	0
	31	14293	189875	30.56	1207	8119	7.40	4.24	0.10	1
	32	8700	73750	19.50	2176	4942	2.50	2.90	0.00	0
	33	14228	184379	29.81	1185	8082	7.50	4.22	0.09	1
	34	8858	82382	21.39	2155	5032	2.57	3.01	0.00	0
	35	14385	189846	30.35	1216	8172	7.39	4.24	0.10	1
	36	10791	129241	27.55	1495	6130	4.51	3.66	0.02	0
	37	11583	147273	29.24	1366	6580	5.30	3.82	0.04	0
	38	11316	138797	28.21	1514	6428	4.67	3.74	0.03	0
	39	12109	160109	30.41	1307	6878	5.79	3.96	0.05	0
	40	10884	130269	27.53	1487	6183	4.57	3.67	0.02	0
	41	11676	148099	29.17	1360	6633	5.36	3.83	0.04	0
	42	11409	139653	28.15	1513	6481	4.71	3.75	0.04	0
	43	12201	160746	30.30	1309	6931	5.82	3.96	0.05	0
	44	10051	129045	29.53	1335	5709	4.71	3.78	0.01	0

APPALTATORE:
**D'AGOSTINO ANGELO ANTONIO COSTRUZIONI
GENERALI s.r.l.**

RIASSETTO NODO DI BARI

PROGETTISTA:

**TRATTA A SUD DI BARI – VARIANTE DI TRACCIATO TRA
BARI CENTRALE E BARI TORRE A MARE**

Mandataria: Mandante:

RPA srl Technital SpA HUB Engineering Scarl

PROGETTO ESECUTIVO:

PROGETTO	LOTTO	CODIFICA	DOCUMENTO	REV.	FOGLIO
IA3S	01	E ZZ CL	FV030C 001	C	88 DI 129

Relazione di calcolo pensilina

Elm.	Combinazione	V	Vd	CsV (>2.30)	H	Hd	CsH (>1.10)	Qd	qe	W
	45	12691	203973	36.96	547	7210	14.49	4.54	0.06	1
	46	10208	134950	30.41	1369	5799	4.66	3.81	0.01	0
	47	12849	219808	39.35	421	7299	19.09	4.70	0.07	1
	48	10143	130232	29.53	1325	5762	4.78	3.79	0.01	0
	49	12784	204281	36.75	548	7262	14.57	4.54	0.06	1
	50	10301	136122	30.39	1362	5852	4.73	3.82	0.01	0
	51	12942	219876	39.08	430	7352	18.82	4.69	0.07	1
	52	10591	123803	26.89	1554	6016	4.26	3.59	0.02	0
	53	12249	162019	30.42	1277	6958	5.99	3.92	0.05	0
	54	10651	121202	26.17	1695	6050	3.93	3.53	0.02	0
	55	12309	163754	30.60	1294	6992	5.94	3.98	0.05	0
	56	10684	124872	26.88	1546	6069	4.32	3.60	0.02	0
	57	12342	162681	30.32	1274	7011	6.05	3.93	0.05	0
	58	10743	122229	26.17	1692	6103	3.97	3.55	0.02	0
	59	12402	164343	30.48	1297	7045	5.97	3.99	0.06	0
	60	8677	75127	19.91	2140	4929	2.53	2.92	0.00	0
	61	14205	182836	29.60	1217	8069	7.29	4.20	0.09	1
	62	8695	78200	20.69	2205	4939	2.46	2.94	0.00	0
	63	14223	191894	31.03	1162	8079	7.65	4.26	0.09	1
	64	8770	76552	20.08	2131	4982	2.57	2.95	0.00	0
	65	14298	182838	29.41	1225	8122	7.29	4.20	0.10	1
	66	8788	79692	20.86	2197	4992	2.50	2.97	0.00	0
	67	14316	191852	30.82	1171	8132	7.64	4.26	0.10	1
	68	11024	137102	28.61	1398	6262	4.93	3.75	0.03	0
	69	11816	153337	29.85	1313	6712	5.62	3.87	0.04	0
	70	11084	132941	27.59	1566	6296	4.42	3.68	0.03	0
	71	11876	155711	30.16	1315	6746	5.64	3.93	0.05	0
	72	11117	138073	28.57	1391	6315	4.99	3.77	0.03	0
	73	11909	154104	29.76	1308	6765	5.69	3.88	0.05	0
	74	11177	133861	27.55	1564	6349	4.47	3.69	0.03	0
	75	11969	156413	30.06	1316	6799	5.68	3.94	0.05	0
	76	10120	132130	30.03	1289	5749	4.91	3.82	0.01	0
	77	12761	204832	36.92	564	7249	14.15	4.53	0.06	1
	78	10138	132269	30.01	1408	5759	4.50	3.77	0.01	0
	79	12779	219864	39.57	385	7259	20.74	4.72	0.06	1
	80	10213	133300	30.02	1280	5802	4.99	3.84	0.01	0
	81	12854	205110	36.70	565	7302	14.21	4.53	0.07	1
	82	10231	133461	30.00	1401	5812	4.56	3.79	0.01	0
	83	12872	219943	39.30	394	7312	20.43	4.72	0.07	1
	84	10433	145150	32.00	1091	5927	5.97	4.00	0.02	0
	85	12092	201162	38.26	392	6869	19.30	4.64	0.05	0
	86	10591	155276	33.72	1069	6016	6.19	4.09	0.02	0
	87	12249	209877	39.41	395	6958	19.36	4.69	0.05	0
	88	10743	148735	31.84	1059	6103	6.34	4.05	0.02	0
	89	12401	202909	37.63	377	7045	20.55	4.66	0.06	0
	90	10901	158741	33.49	1046	6192	6.51	4.13	0.03	0
	91	12559	210918	38.63	408	7134	19.24	4.69	0.06	0
	92	10866	162421	34.38	846	6173	8.03	4.23	0.02	0
	93	11659	188519	37.19	511	6623	14.24	4.53	0.04	0
	94	11024	170835	35.64	852	6262	8.09	4.29	0.03	0
	95	11816	200461	39.02	455	6712	16.23	4.63	0.04	0
	96	11176	165640	34.09	813	6349	8.59	4.28	0.03	0
	97	11968	190965	36.70	484	6799	15.44	4.56	0.05	0
	98	11334	173831	35.28	832	6438	8.51	4.32	0.03	0
	99	12126	202366	38.38	448	6888	16.90	4.65	0.05	0
	100	10503	148226	32.46	1047	5966	6.27	4.04	0.02	0
	101	12162	203025	38.40	382	6909	19.92	4.65	0.05	0
	102	10521	152582	33.36	1108	5977	5.93	4.05	0.02	0
	103	12180	208791	39.43	392	6919	19.43	4.69	0.05	0
	104	10813	151751	32.28	1014	6142	6.66	4.09	0.02	0
	105	12471	204617	37.74	371	7084	21.03	4.67	0.06	0

APPALTATORE:
**D'AGOSTINO ANGELO ANTONIO COSTRUZIONI
GENERALI s.r.l.**

RIASSETTO NODO DI BARI

PROGETTISTA:

Mandataria: Mandante:

RPA srl Technital SpA HUB Engineering Scarl

**TRATTA A SUD DI BARI – VARIANTE DI TRACCIATO TRA
BARI CENTRALE E BARI TORRE A MARE**

PROGETTO ESECUTIVO:

Relazione di calcolo pensilina

PROGETTO	LOTTO	CODIFICA	DOCUMENTO	REV.	FOGLIO
IA3S	01	E ZZ CL	FV030C 001	C	89 DI 129

Elm.	Combinazione	V	Vd	CsV (>2.30)	H	Hd	CsH (>1.10)	Qd	qe	W
	106	10831	156123	33.15	1085	6153	6.24	4.10	0.02	0
	107	12489	209975	38.67	401	7095	19.48	4.69	0.06	0
	108	10936	165475	34.80	802	6212	8.52	4.27	0.03	0
	109	11729	191112	37.48	480	6663	15.26	4.56	0.04	0
	110	10954	168297	35.34	887	6223	7.72	4.26	0.03	0
	111	11747	198461	38.86	477	6673	15.40	4.61	0.04	0
	112	11246	168629	34.49	770	6388	9.13	4.31	0.03	0
	113	12038	193458	36.96	454	6838	16.56	4.59	0.05	0
	114	11264	171379	34.99	867	6399	8.12	4.29	0.03	0
	115	12056	200506	38.25	467	6849	16.12	4.63	0.05	0
	116	11604	215216	42.66	262	6592	27.63	4.79	0.04	0
111	1	12392	187477	34.80	494	7039	15.67	4.55	0.06	0
	2	17777	162186	20.98	1526	10098	7.28	4.20	0.17	1
	3	13578	167662	28.40	878	7713	9.67	4.34	0.08	1
	4	17591	160790	21.02	1544	9993	7.12	4.18	0.16	1
	5	10593	170283	36.97	498	6018	13.29	4.45	0.02	0
	6	17689	151017	19.64	1745	10048	6.33	4.09	0.17	1
	7	13210	166119	28.92	870	7504	9.49	4.33	0.07	1
	8	16222	162883	23.09	1316	9215	7.70	4.23	0.14	1
	9	12024	168869	32.30	681	6830	11.04	4.39	0.05	0
	10	16192	162245	23.05	1326	9198	7.63	4.22	0.13	1
	11	17777	162186	20.98	1526	10098	7.28	4.20	0.17	1
	12	13858	154171	25.59	1130	7872	7.66	4.20	0.09	1
	13	17591	160790	21.02	1544	9993	7.12	4.18	0.16	1
	14	10375	183262	40.63	314	5893	20.66	4.60	0.01	0
	15	17190	167770	22.45	1370	9765	7.84	4.25	0.16	1
	16	13038	173302	30.57	747	7406	10.91	4.40	0.07	1
	17	16051	168452	24.14	1202	9118	8.34	4.28	0.13	1
	18	11852	177056	34.36	551	6733	13.44	4.48	0.04	0
	19	16020	167805	24.09	1212	9100	8.26	4.27	0.13	1
	20	9656	110555	26.33	1613	5485	3.74	3.43	0.00	0
	21	11515	164067	32.77	1078	6541	6.68	4.03	0.04	0
	22	7661	72274	21.70	1564	4352	3.06	3.02	0.00	0
	23	9520	121125	29.26	1117	5408	5.32	3.58	0.00	0
	24	9732	111091	26.26	1616	5528	3.76	3.44	0.00	0
	25	11591	164661	32.67	1071	6584	6.76	4.04	0.04	0
	26	7736	72536	21.57	1578	4395	3.06	3.02	0.00	0
	27	9595	121177	29.05	1125	5451	5.33	3.59	0.00	0
	28	6789	42716	14.47	2479	3857	1.71	2.25	0.00	0
	29	12986	181593	32.16	1276	7377	6.36	4.12	0.07	1
	30	6190	27159	10.09	2453	3516	1.58	1.96	0.00	0
	31	12387	158350	29.40	1319	7037	5.87	3.95	0.06	0
	32	6864	43498	14.57	2490	3899	1.72	2.27	0.00	0
	33	13061	182375	32.12	1264	7420	6.46	4.14	0.07	1
	34	6266	27755	10.19	2465	3559	1.59	1.98	0.00	0
	35	12462	159039	29.35	1310	7079	5.94	3.96	0.06	0
	36	10173	129283	29.23	1372	5779	4.63	3.69	0.01	0
	37	10998	150822	31.54	1175	6248	5.85	3.92	0.03	0
	38	8178	86565	24.35	1387	4645	3.68	3.22	0.00	0
	39	9003	111497	28.49	1129	5114	4.98	3.54	0.00	0
	40	10249	129768	29.12	1374	5822	4.66	3.70	0.01	0
	41	11074	151385	31.44	1172	6291	5.90	3.94	0.03	0
	42	8253	86763	24.18	1400	4688	3.68	3.22	0.00	0
	43	9078	111548	28.26	1139	5157	4.98	3.54	0.00	0
	44	8512	117130	31.65	1430	4835	3.72	3.55	0.00	0
	45	11263	215499	44.01	447	6398	15.76	4.64	0.03	0
	46	7913	90312	26.25	1452	4495	3.41	3.28	0.00	0
	47	10664	192955	41.62	340	6058	19.61	4.56	0.02	0
	48	8588	117111	31.37	1440	4878	3.73	3.56	0.00	0
	49	11338	215981	43.81	435	6441	16.30	4.65	0.03	0
	50	7989	90440	26.04	1465	4538	3.41	3.28	0.00	0

APPALTATORE:
**D'AGOSTINO ANGELO ANTONIO COSTRUZIONI
GENERALI s.r.l.**

RIASSETTO NODO DI BARI

PROGETTISTA:

**TRATTA A SUD DI BARI – VARIANTE DI TRACCIATO TRA
BARI CENTRALE E BARI TORRE A MARE**

Mandataria: Mandante:

RPA srl Technital SpA HUB Engineering Scarl

PROGETTO ESECUTIVO:

PROGETTO	LOTTO	CODIFICA	DOCUMENTO	REV.	FOGLIO
IA3S	01	E ZZ CL	FV030C 001	C	90 DI 129

Relazione di calcolo pensilina

Elm.	Combinazione	V	Vd	CsV (>2.30)	H	Hd	CsH (>1.10)	Qd	qe	W
	51	10739	192695	41.27	339	6101	19.82	4.56	0.02	0
	52	10025	124302	28.52	1431	5695	4.38	3.62	0.01	0
	53	11884	171359	33.16	1075	6751	6.91	4.06	0.05	0
	54	7292	59619	18.80	1740	4142	2.62	2.77	0.00	0
	55	9151	113579	28.55	1131	5198	5.05	3.54	0.00	0
	56	10100	124804	28.42	1432	5738	4.41	3.63	0.01	0
	57	11959	171992	33.08	1065	6794	7.02	4.07	0.05	0
	58	7367	59973	18.72	1753	4185	2.63	2.77	0.00	0
	59	9226	113628	28.33	1141	5241	5.05	3.55	0.00	0
	60	6900	47292	15.77	2406	3919	1.79	2.35	0.00	0
	61	13096	178397	31.33	1348	7440	6.07	4.08	0.07	1
	62	6080	23626	8.94	2526	3454	1.50	1.87	0.00	0
	63	12276	161041	30.17	1247	6974	6.15	3.98	0.05	0
	64	6975	48064	15.85	2416	3962	1.80	2.36	0.00	0
	65	13172	179180	31.29	1335	7482	6.17	4.10	0.07	1
	66	6155	24230	9.05	2538	3496	1.52	1.88	0.00	0
	67	12352	161725	30.11	1238	7017	6.23	3.99	0.06	0
	68	10542	142313	31.05	1218	5989	5.41	3.85	0.02	0
	69	11367	160367	32.45	1104	6457	6.43	4.00	0.03	0
	70	7809	75597	22.27	1532	4436	3.18	3.06	0.00	0
	71	8634	101909	27.15	1209	4905	4.46	3.44	0.00	0
	72	10617	142785	30.93	1217	6031	5.45	3.86	0.02	0
	73	11443	160959	32.35	1098	6500	6.51	4.01	0.04	0
	74	7884	75869	22.13	1546	4479	3.19	3.07	0.00	0
	75	8709	101998	26.94	1221	4947	4.46	3.44	0.00	0
	76	8623	122419	32.65	1356	4898	3.97	3.64	0.00	0
	77	11373	216704	43.82	481	6461	14.78	4.62	0.03	0
	78	7803	85565	25.22	1522	4433	3.20	3.19	0.00	0
	79	10553	192513	41.96	293	5995	22.48	4.59	0.02	0
	80	8698	122352	32.35	1366	4941	3.98	3.64	0.00	0
	81	11449	217211	43.64	468	6503	15.29	4.63	0.04	0
	82	7878	85737	25.03	1535	4475	3.21	3.19	0.00	0
	83	10629	192162	41.58	295	6038	22.54	4.59	0.02	0
	84	8870	137489	35.65	1195	5039	4.64	3.83	0.00	0
	85	10729	212582	45.57	319	6095	21.03	4.73	0.02	0
	86	8271	111339	30.96	1171	4699	4.42	3.62	0.00	0
	87	10130	181580	41.23	341	5755	18.55	4.52	0.01	0
	88	9121	137866	34.76	1225	5181	4.65	3.83	0.00	0
	89	10980	211659	44.34	300	6237	22.84	4.74	0.03	0
	90	8522	111135	29.99	1214	4841	4.39	3.61	0.00	0
	91	10381	179865	39.85	371	5897	17.50	4.50	0.01	0
	92	9387	161324	39.53	886	5332	6.62	4.16	0.00	0
	93	10212	195280	43.98	496	5801	12.87	4.56	0.01	0
	94	8788	132459	34.67	887	4992	6.19	3.94	0.00	0
	95	9613	168065	40.21	450	5461	13.35	4.42	0.00	0
	96	9638	160108	38.21	914	5475	6.59	4.15	0.00	0
	97	10463	194562	42.77	507	5944	12.90	4.56	0.02	0
	98	9039	131571	33.48	932	5135	6.06	3.92	0.00	0
	99	9864	166106	38.73	495	5604	12.44	4.39	0.00	0
	100	8981	143162	36.66	1123	5102	5.00	3.91	0.00	0
	101	10840	214964	45.61	315	6158	21.53	4.73	0.02	0
	102	8161	106347	29.97	1241	4636	4.11	3.53	0.00	0
	103	10020	179131	41.12	348	5692	17.97	4.52	0.01	0
	104	9232	143070	35.64	1152	5244	5.01	3.91	0.00	0
	105	11091	214345	44.45	287	6300	24.18	4.76	0.03	0
	106	8412	106304	29.07	1284	4778	4.09	3.53	0.00	0
	107	10271	177258	39.69	384	5834	16.69	4.49	0.01	0
	108	9498	166562	40.34	816	5395	7.28	4.23	0.00	0
	109	10323	200072	44.58	443	5864	14.55	4.61	0.01	0
	110	8678	127561	33.81	953	4929	5.69	3.87	0.00	0
	111	9503	163636	39.61	504	5398	11.78	4.36	0.00	0

APPALTATORE:
D'AGOSTINO ANGELO ANTONIO COSTRUZIONI
GENERALI s.r.l.

RIASSETTO NODO DI BARI

PROGETTISTA:

TRATTA A SUD DI BARI – VARIANTE DI TRACCIATO TRA
BARI CENTRALE E BARI TORRE A MARE

Mandataria: Mandante:

RPA srl Technital SpA HUB Engineering Scarl

PROGETTO ESECUTIVO:

PROGETTO	LOTTO	CODIFICA	DOCUMENTO	REV.	FOGLIO
IA3S	01	E ZZ CL	FV030C 001	C	91 DI 129

Relazione di calcolo pensilina

Elm.	Combinazione	V	Vd	CsV (>2.30)	H	Hd	CsH (>1.10)	Qd	qe	W
	112	9749	165221	38.98	842	5538	7.23	4.22	0.00	0
	113	10574	199008	43.29	449	6007	14.70	4.61	0.02	0
	114	8929	126831	32.67	998	5072	5.59	3.85	0.00	0
	115	9754	161791	38.15	550	5541	11.08	4.33	0.00	0
	116	9264	183445	45.55	355	5262	16.31	4.54	0.00	0
119	1	16987	209638	28.39	305	9649	34.82	4.75	0.15	1
	2	29134	216400	17.08	705	16550	25.82	4.71	0.40	3
	3	18516	207280	25.75	462	10518	25.07	4.66	0.18	1
	4	28894	217248	17.29	659	16414	27.40	4.72	0.40	3
	5	11198	193565	39.76	253	6361	27.69	4.59	0.03	0
	6	28229	212017	17.27	851	16036	20.73	4.64	0.38	3
	7	17815	207825	26.83	405	10120	27.52	4.67	0.17	1
	8	25354	215128	19.52	577	14403	27.43	4.71	0.32	3
	9	14736	202759	31.65	334	8371	27.59	4.64	0.10	1
	10	25355	215122	19.51	578	14403	27.43	4.71	0.32	3
	11	29134	216400	17.08	705	16550	25.82	4.71	0.40	3
	12	18313	199745	25.09	664	10403	17.23	4.53	0.18	1
	13	28894	217248	17.29	659	16414	27.40	4.72	0.40	3
	14	11258	201552	41.18	115	6395	61.19	4.72	0.03	0
	15	28493	220305	17.78	510	16186	34.88	4.77	0.39	3
	16	17841	211691	27.29	301	10135	37.09	4.73	0.17	1
	17	25380	217891	19.75	474	14418	33.49	4.76	0.32	3
	18	14762	207375	32.31	230	8386	40.14	4.72	0.11	1
	19	25381	217884	19.74	474	14418	33.48	4.75	0.32	3
	20	12916	136353	24.28	1246	7337	6.48	3.76	0.07	1
	21	11519	122953	24.55	1351	6543	5.33	3.56	0.04	0
	22	13883	179247	29.70	1232	7886	7.04	4.12	0.09	1
	23	12486	167614	30.88	1358	7093	5.75	3.94	0.06	0
	24	13044	137358	24.22	1243	7410	6.56	3.78	0.07	1
	25	11647	123804	24.45	1353	6616	5.38	3.58	0.04	0
	26	14011	179901	29.53	1233	7959	7.10	4.13	0.09	1
	27	12614	168008	30.63	1364	7165	5.78	3.95	0.06	0
	28	14884	159236	24.61	1143	8455	8.14	4.17	0.11	1
	29	10227	120336	27.06	1509	5810	4.24	3.56	0.01	0
	30	15174	178528	27.06	1130	8620	8.39	4.30	0.11	1
	31	10517	142975	31.27	1517	5975	4.33	3.72	0.02	0
	32	15012	160139	24.53	1134	8528	8.27	4.18	0.11	1
	33	10355	121066	26.89	1517	5882	4.26	3.57	0.01	0
	34	15302	179309	26.95	1122	8693	8.52	4.31	0.12	1
	35	10645	143474	31.00	1527	6047	4.36	3.72	0.02	0
	36	12697	137026	24.82	1233	7213	6.43	3.75	0.06	1
	37	11737	127258	24.94	1306	6667	5.62	3.61	0.04	0
	38	13664	180619	30.40	1221	7762	6.99	4.11	0.08	1
	39	12704	172389	31.21	1311	7217	6.06	3.99	0.06	1
	40	12825	138030	24.75	1230	7286	6.51	3.76	0.06	1
	41	11865	128089	24.83	1307	6740	5.67	3.62	0.05	0
	42	13792	181251	30.23	1223	7835	7.05	4.11	0.08	1
	43	12832	172756	30.96	1316	7290	6.09	3.99	0.07	1
	44	14156	171444	27.86	782	8041	11.31	4.34	0.09	1
	45	10955	143690	30.17	1131	6223	6.05	3.91	0.03	0
	46	14446	193607	30.82	767	8206	11.77	4.48	0.10	1
	47	11245	168248	34.41	1139	6388	6.17	4.07	0.03	0
	48	14284	172309	27.75	773	8114	11.54	4.35	0.10	1
	49	11083	144218	29.93	1139	6296	6.08	3.92	0.03	0
	50	14574	194312	30.66	760	8279	11.99	4.49	0.10	1
	51	11373	168472	34.07	1149	6461	6.19	4.07	0.03	0
	52	12805	135677	24.37	1257	7274	6.37	3.74	0.06	1
	53	11408	119882	24.17	1391	6480	5.12	3.52	0.04	0
	54	13993	177586	29.19	1259	7949	6.95	4.11	0.09	1
	55	12596	168873	30.83	1351	7156	5.83	3.95	0.06	0
	56	12933	136686	24.31	1254	7347	6.45	3.76	0.07	1

APPALTATORE:
**D'AGOSTINO ANGELO ANTONIO COSTRUZIONI
GENERALI s.r.l.**

RIASSETTO NODO DI BARI

PROGETTISTA:

**TRATTA A SUD DI BARI – VARIANTE DI TRACCIATO TRA
BARI CENTRALE E BARI TORRE A MARE**

Mandataria: Mandante:

RPA srl Technital SpA HUB Engineering Scarl

PROGETTO ESECUTIVO:

PROGETTO	LOTTO	CODIFICA	DOCUMENTO	REV.	FOGLIO
IA3S	01	E ZZ CL	FV030C 001	C	92 DI 129

Relazione di calcolo pensilina

Elm.	Combinazione	V	Vd	CsV (>2.30)	H	Hd	CsH (>1.10)	Qd	qe	W
	57	11536	120752	24.08	1394	6553	5.17	3.54	0.04	0
	58	14121	178255	29.03	1259	8022	7.01	4.12	0.09	1
	59	12724	169264	30.60	1357	7228	5.86	3.96	0.06	1
	60	14851	159563	24.71	1129	8436	8.22	4.18	0.11	1
	61	10194	119134	26.88	1526	5791	4.17	3.55	0.01	0
	62	15207	178041	26.93	1148	8639	8.28	4.29	0.11	1
	63	10551	144185	31.43	1502	5993	4.39	3.73	0.02	0
	64	14979	160466	24.64	1120	8509	8.36	4.19	0.11	1
	65	10322	119875	26.71	1535	5864	4.20	3.56	0.01	0
	66	15335	178823	26.82	1139	8711	8.41	4.30	0.12	1
	67	10679	144671	31.16	1512	6066	4.41	3.74	0.02	0
	68	12587	136203	24.89	1249	7150	6.30	3.72	0.06	0
	69	11626	124278	24.59	1343	6605	5.41	3.57	0.04	0
	70	13775	179048	29.90	1243	7825	6.93	4.10	0.08	1
	71	12815	173477	31.14	1309	7280	6.12	3.99	0.06	1
	72	12715	137212	24.82	1247	7223	6.37	3.73	0.06	1
	73	11754	125126	24.48	1344	6677	5.46	3.59	0.04	0
	74	13903	179696	29.73	1244	7898	6.98	4.11	0.09	1
	75	12943	173843	30.89	1314	7352	6.15	4.00	0.07	1
	76	14123	171731	27.97	770	8023	11.45	4.34	0.09	1
	77	10922	142520	30.01	1148	6204	5.94	3.89	0.03	0
	78	14479	193040	30.66	784	8225	11.54	4.47	0.10	1
	79	11279	169413	34.55	1125	6407	6.26	4.08	0.03	0
	80	14251	172596	27.86	761	8095	11.70	4.35	0.09	1
	81	11050	143060	29.78	1157	6277	5.97	3.90	0.03	0
	82	14607	193748	30.51	777	8298	11.75	4.48	0.10	1
	83	11407	169625	34.20	1135	6480	6.28	4.08	0.04	0
	84	13105	185002	32.47	425	7444	19.25	4.50	0.07	1
	85	11708	170848	33.56	675	6651	10.84	4.27	0.04	0
	86	13395	211786	36.37	408	7609	20.52	4.68	0.08	1
	87	11998	198694	38.09	676	6816	11.09	4.45	0.05	0
	88	13532	187549	31.88	405	7687	20.87	4.53	0.08	1
	89	12134	171832	32.57	697	6893	10.88	4.28	0.05	0
	90	13822	213348	35.50	401	7852	21.55	4.70	0.09	1
	91	12425	198411	36.73	706	7058	10.99	4.45	0.06	0
	92	12886	187870	33.53	384	7320	20.95	4.52	0.07	1
	93	11926	176954	34.13	580	6775	12.85	4.34	0.05	0
	94	13177	215649	37.64	367	7485	22.42	4.71	0.07	1
	95	12216	205355	38.66	580	6940	13.17	4.53	0.05	0
	96	13313	190189	32.86	372	7563	22.38	4.54	0.08	1
	97	12353	177812	33.11	600	7017	12.87	4.35	0.06	0
	98	13603	216806	36.66	369	7728	23.02	4.71	0.08	1
	99	12643	204885	37.27	609	7182	12.98	4.53	0.06	0
	100	13072	185107	32.57	423	7425	19.32	4.50	0.07	1
	101	11675	169682	33.43	692	6632	10.55	4.25	0.04	0
	102	13428	211229	36.18	421	7628	19.94	4.68	0.08	1
	103	12031	199739	38.18	665	6834	11.31	4.46	0.05	0
	104	13498	187630	31.97	404	7668	20.90	4.53	0.08	1
	105	12101	170701	32.44	714	6874	10.59	4.26	0.05	0
	106	13855	212830	35.33	413	7870	20.98	4.69	0.09	1
	107	12458	199426	36.82	695	7077	11.20	4.46	0.06	0
	108	12853	187845	33.61	386	7301	20.78	4.51	0.07	1
	109	11893	175810	34.00	596	6756	12.47	4.33	0.05	0
	110	13210	215222	37.47	376	7504	21.94	4.70	0.07	1
	111	12249	206335	38.74	570	6958	13.42	4.54	0.05	0
	112	13280	190134	32.93	375	7544	22.11	4.54	0.07	1
	113	12320	176699	32.99	616	6998	12.49	4.34	0.05	0
	114	13636	216427	36.50	377	7746	22.60	4.71	0.08	1
	115	12676	205843	37.35	599	7201	13.22	4.54	0.06	1
	116	12722	212416	38.40	240	7227	33.11	4.76	0.06	1
120	1	18569	226533	28.06	304	10549	38.16	4.85	0.18	1

APPALTATORE:
**D'AGOSTINO ANGELO ANTONIO COSTRUZIONI
GENERALI s.r.l.**

RIASSETTO NODO DI BARI

PROGETTISTA:

Mandataria: Mandante:

RPA srl Technital SpA HUB Engineering Scarl

**TRATTA A SUD DI BARI – VARIANTE DI TRACCIATO TRA
BARI CENTRALE E BARI TORRE A MARE**

PROGETTO ESECUTIVO:

Relazione di calcolo pensilina

PROGETTO	LOTTO	CODIFICA	DOCUMENTO	REV.	FOGLIO
IA3S	01	E ZZ CL	FV030C 001	C	93 DI 129

Elm.	Combinazione	V	Vd	CsV (>2.30)	H	Hd	CsH (>1.10)	Qd	qe	W
	2	30744	226666	16.96	807	17465	23.80	4.76	0.44	4
	3	20185	224581	25.59	562	11466	22.43	4.75	0.22	2
	4	30505	227617	17.16	762	17329	25.02	4.77	0.43	3
	5	12906	223468	39.82	353	7332	22.82	4.75	0.07	1
	6	29933	224121	17.22	952	17004	19.65	4.71	0.42	3
	7	19487	225893	26.66	506	11070	24.06	4.76	0.20	2
	8	26992	227192	19.36	680	15333	24.80	4.77	0.36	3
	9	16433	224963	31.49	435	9335	23.61	4.76	0.14	1
	10	26985	227219	19.37	680	15329	24.79	4.77	0.36	3
	11	30744	226666	16.96	807	17465	23.80	4.76	0.44	4
	12	20072	219490	25.15	763	11402	16.44	4.65	0.21	2
	13	30505	227617	17.16	762	17329	25.02	4.77	0.43	3
	14	12907	228670	40.75	217	7332	37.10	4.85	0.07	1
	15	30046	229891	17.60	615	17068	30.52	4.82	0.42	3
	16	19468	228565	27.00	403	11059	30.15	4.81	0.20	2
	17	26973	229130	19.54	577	15323	29.20	4.81	0.36	3
	18	16414	228121	31.97	332	9324	30.87	4.82	0.14	1
	19	26967	229157	19.55	577	15319	29.18	4.81	0.36	3
	20	14864	180864	27.99	1250	8443	7.43	4.14	0.11	1
	21	13323	165360	28.55	1429	7568	5.83	3.95	0.08	1
	22	14583	183173	28.89	1193	8284	7.64	4.18	0.10	1
	23	13042	166772	29.41	1393	7409	5.85	3.97	0.07	1
	24	14981	181622	27.88	1245	8510	7.52	4.15	0.11	1
	25	13440	165807	28.37	1432	7635	5.87	3.96	0.08	1
	26	14700	183599	28.73	1195	8351	7.68	4.18	0.10	1
	27	13160	166892	29.17	1402	7475	5.87	3.97	0.07	1
	28	16562	182536	25.35	1173	9409	8.82	4.33	0.14	1
	29	11428	138858	27.95	1738	6492	4.11	3.66	0.04	0
	30	16478	184940	25.81	1149	9361	8.96	4.36	0.14	1
	31	11344	139364	28.26	1733	6444	4.09	3.66	0.03	0
	32	16680	183385	25.29	1161	9475	8.98	4.34	0.14	1
	33	11545	139335	27.76	1748	6558	4.13	3.66	0.04	0
	34	16595	185612	25.72	1140	9427	9.10	4.36	0.14	1
	35	11461	139660	28.03	1744	6510	4.11	3.66	0.04	0
	36	14532	182834	28.94	1245	8255	7.30	4.12	0.10	1
	37	13655	171965	28.97	1348	7757	6.33	4.02	0.08	1
	38	14251	185081	29.87	1188	8096	7.49	4.15	0.09	1
	39	13374	173800	29.89	1309	7597	6.38	4.03	0.08	1
	40	14649	183562	28.82	1242	8322	7.37	4.13	0.10	1
	41	13772	172395	28.79	1349	7823	6.38	4.03	0.08	1
	42	14368	185460	29.69	1192	8162	7.53	4.16	0.10	1
	43	13491	173886	29.64	1317	7664	6.40	4.04	0.08	1
	44	15457	203547	30.29	643	8781	15.01	4.59	0.12	1
	45	12533	174118	31.95	1160	7120	6.75	4.14	0.06	0
	46	15373	206431	30.88	600	8733	16.00	4.62	0.12	1
	47	12449	175688	32.46	1152	7072	6.75	4.15	0.06	0
	48	15574	204345	30.18	632	8847	15.39	4.60	0.12	1
	49	12650	174302	31.69	1170	7186	6.76	4.15	0.06	0
	50	15490	206975	30.73	593	8799	16.33	4.63	0.12	1
	51	12566	175633	32.15	1164	7138	6.74	4.15	0.06	0
	52	14786	181617	28.25	1260	8399	7.33	4.13	0.11	1
	53	13245	161790	28.09	1490	7524	5.56	3.91	0.07	1
	54	14661	181110	28.41	1221	8328	7.50	4.17	0.10	1
	55	13120	169334	29.68	1362	7453	6.02	3.99	0.07	1
	56	14903	182357	28.14	1256	8466	7.41	4.14	0.11	1
	57	13362	162248	27.93	1493	7591	5.59	3.92	0.08	1
	58	14778	181567	28.26	1223	8395	7.55	4.17	0.11	1
	59	13237	169447	29.44	1371	7520	6.03	3.99	0.07	1
	60	16539	183416	25.51	1149	9395	8.99	4.35	0.14	1
	61	11404	137363	27.70	1765	6478	4.04	3.64	0.04	0
	62	16502	183892	25.63	1177	9374	8.76	4.34	0.14	1

APPALTATORE:
**D'AGOSTINO ANGELO ANTONIO COSTRUZIONI
GENERALI s.r.l.**

RIASSETTO NODO DI BARI

PROGETTISTA:

**TRATTA A SUD DI BARI – VARIANTE DI TRACCIATO TRA
BARI CENTRALE E BARI TORRE A MARE**

Mandataria: Mandante:

RPA srl Technital SpA HUB Engineering Scarl

PROGETTO ESECUTIVO:

PROGETTO	LOTTO	CODIFICA	DOCUMENTO	REV.	FOGLIO
IA3S	01	E ZZ CL	FV030C 001	C	94 DI 129

Relazione di calcolo pensilina

Elm.	Combinazione	V	Vd	CsV (>2.30)	H	Hd	CsH (>1.10)	Qd	qe	W
	63	11367	140744	28.48	1707	6457	4.16	3.68	0.03	0
	64	16656	184263	25.44	1137	9462	9.15	4.36	0.14	1
	65	11522	137852	27.52	1776	6545	4.05	3.64	0.04	0
	66	16619	184568	25.54	1167	9440	8.90	4.35	0.14	1
	67	11484	141026	28.24	1719	6524	4.17	3.68	0.04	0
	68	14454	183262	29.16	1268	8211	7.12	4.10	0.10	1
	69	13577	168612	28.56	1401	7713	6.06	3.98	0.08	1
	70	14329	183304	29.42	1203	8140	7.44	4.15	0.10	1
	71	13452	176050	30.10	1290	7642	6.52	4.05	0.08	1
	72	14571	183971	29.04	1266	8277	7.19	4.11	0.10	1
	73	13694	169049	28.39	1403	7779	6.10	3.99	0.08	1
	74	14446	183715	29.25	1206	8206	7.48	4.16	0.10	1
	75	13569	176135	29.86	1297	7708	6.54	4.05	0.08	1
	76	15434	204443	30.47	625	8767	15.42	4.60	0.12	1
	77	12510	172603	31.73	1188	7106	6.58	4.12	0.06	0
	78	15396	205237	30.66	626	8746	15.37	4.61	0.12	1
	79	12472	177047	32.65	1128	7085	6.91	4.17	0.06	0
	80	15551	205233	30.35	614	8834	15.82	4.61	0.12	1
	81	12627	172800	31.48	1197	7173	6.59	4.13	0.06	0
	82	15513	205792	30.51	618	8813	15.68	4.62	0.12	1
	83	12589	176980	32.33	1140	7152	6.90	4.17	0.06	0
	84	14629	215577	33.89	420	8310	21.78	4.71	0.10	1
	85	13088	195371	34.33	804	7435	10.17	4.41	0.07	1
	86	14544	219586	34.72	359	8262	25.34	4.75	0.10	1
	87	13004	197833	34.99	781	7387	10.40	4.44	0.07	1
	88	15019	217732	33.34	398	8532	23.61	4.73	0.11	1
	89	13479	195487	33.36	832	7657	10.12	4.41	0.08	1
	90	14935	220531	33.96	357	8484	26.11	4.76	0.11	1
	91	13394	196985	33.82	821	7609	10.20	4.42	0.08	1
	92	14297	219548	35.32	399	8122	22.37	4.71	0.10	1
	93	13420	204850	35.11	653	7623	12.84	4.53	0.08	1
	94	14213	223769	36.21	335	8074	26.51	4.76	0.09	1
	95	13336	207797	35.84	624	7576	13.35	4.55	0.08	1
	96	14687	221181	34.64	394	8343	23.31	4.72	0.10	1
	97	13810	204810	34.11	677	7845	12.74	4.53	0.09	1
	98	14603	224005	35.28	354	8296	25.81	4.76	0.10	1
	99	13726	206680	34.63	663	7797	12.94	4.54	0.08	1
	100	14605	216168	34.04	416	8297	21.93	4.71	0.10	1
	101	13065	193873	34.13	831	7422	9.83	4.39	0.07	1
	102	14568	218536	34.50	374	8275	24.34	4.74	0.10	1
	103	13027	199137	35.16	759	7400	10.72	4.45	0.07	1
	104	14996	218235	33.47	396	8519	23.64	4.73	0.11	1
	105	13455	194023	33.17	859	7643	9.79	4.39	0.08	1
	106	14958	219575	33.76	370	8497	25.24	4.75	0.11	1
	107	13418	198253	33.98	798	7622	10.50	4.44	0.08	1
	108	14274	219768	35.41	408	8108	21.86	4.70	0.09	1
	109	13397	203398	34.92	678	7610	12.35	4.51	0.08	1
	110	14236	223100	36.04	337	8087	26.38	4.76	0.09	1
	111	13359	209024	35.99	604	7589	13.81	4.57	0.08	1
	112	14664	221326	34.71	405	8330	22.64	4.71	0.10	1
	113	13787	203383	33.93	702	7832	12.26	4.51	0.08	1
	114	14627	223438	35.14	353	8309	25.90	4.76	0.10	1
	115	13749	207879	34.77	642	7811	13.38	4.55	0.08	1
	116	13897	224609	37.17	232	7894	37.37	4.84	0.09	1
121	1	18842	227619	27.78	308	10704	38.17	4.85	0.19	2
	2	31468	225506	16.48	938	17876	20.96	4.74	0.45	4
	3	20570	219555	24.55	686	11685	18.73	4.69	0.22	2
	4	31216	226317	16.68	894	17733	21.82	4.75	0.44	4
	5	13053	211858	37.33	478	7415	17.05	4.64	0.07	1
	6	30461	222138	16.77	1078	17304	17.66	4.68	0.43	3
	7	19844	220322	25.54	631	11273	19.64	4.70	0.21	2

APPALTATORE:
**D'AGOSTINO ANGELO ANTONIO COSTRUZIONI
GENERALI s.r.l.**

RIASSETTO NODO DI BARI

PROGETTISTA:

**TRATTA A SUD DI BARI – VARIANTE DI TRACCIATO TRA
BARI CENTRALE E BARI TORRE A MARE**

Mandataria: Mandante:

RPA srl Technital SpA HUB Engineering Scarl

PROGETTO ESECUTIVO:

PROGETTO	LOTTO	CODIFICA	DOCUMENTO	REV.	FOGLIO
IA3S	01	E ZZ CL	FV030C 001	C	95 DI 129

Relazione di calcolo pensilina

Elm.	Combinazione	V	Vd	CsV (>2.30)	H	Hd	CsH (>1.10)	Qd	qe	W
	8	27717	224634	18.64	831	15745	20.84	4.73	0.37	3
	9	16819	216805	29.65	581	9554	18.09	4.67	0.15	1
	10	27583	224936	18.76	810	15669	21.29	4.74	0.37	3
	11	31468	225506	16.48	938	17876	20.96	4.74	0.45	4
	12	20288	213566	24.21	884	11525	14.35	4.59	0.22	2
	13	31216	226317	16.68	894	17733	21.82	4.75	0.44	4
	14	13162	217975	38.09	343	7477	23.95	4.74	0.07	1
	15	30852	227013	16.92	752	17526	25.65	4.78	0.44	4
	16	19907	223381	25.81	531	11309	23.44	4.75	0.21	2
	17	27780	226495	18.75	731	15781	23.73	4.77	0.37	3
	18	16882	220389	30.03	480	9590	21.99	4.73	0.15	1
	19	27646	226911	18.88	710	15705	24.33	4.77	0.37	3
	20	14495	175494	27.85	1272	8234	7.12	4.08	0.10	1
	21	12790	154884	27.85	1505	7265	5.31	3.84	0.06	1
	22	15093	183929	28.03	1262	8574	7.48	4.17	0.11	1
	23	13389	163739	28.13	1509	7606	5.54	3.93	0.08	1
	24	14596	175740	27.69	1276	8292	7.15	4.09	0.10	1
	25	12892	155093	27.67	1513	7323	5.32	3.85	0.07	1
	26	15195	184577	27.94	1256	8632	7.56	4.17	0.11	1
	27	13490	164310	28.01	1509	7663	5.59	3.93	0.08	1
	28	16693	178649	24.61	1218	9483	8.56	4.30	0.14	1
	29	11010	124984	26.11	1920	6254	3.58	3.47	0.03	0
	30	16873	185330	25.26	1209	9585	8.72	4.35	0.15	1
	31	11190	129915	26.70	1925	6357	3.63	3.51	0.03	0
	32	16795	179069	24.52	1213	9541	8.65	4.31	0.15	1
	33	11112	125461	25.97	1928	6312	3.60	3.48	0.03	0
	34	16975	185970	25.20	1201	9643	8.83	4.36	0.15	1
	35	11292	130599	26.60	1931	6414	3.65	3.52	0.03	0
	36	14049	177624	29.08	1276	7981	6.88	4.05	0.09	1
	37	13235	163885	28.48	1391	7518	5.94	3.94	0.07	1
	38	14648	185949	29.20	1267	8321	7.22	4.13	0.10	1
	39	13834	172914	28.75	1395	7858	6.20	4.02	0.09	1
	40	14151	177832	28.90	1282	8039	6.90	4.05	0.09	1
	41	13337	164041	28.29	1399	7576	5.96	3.94	0.08	1
	42	14750	186579	29.09	1263	8379	7.30	4.14	0.10	1
	43	13936	173456	28.63	1393	7916	6.25	4.03	0.09	1
	44	15209	205803	31.12	538	8640	17.66	4.63	0.11	1
	45	12494	171195	31.51	1163	7097	6.71	4.13	0.06	0
	46	15389	212714	31.79	522	8742	18.43	4.68	0.12	1
	47	12674	177461	32.20	1169	7200	6.78	4.16	0.06	1
	48	15311	206019	30.95	537	8698	17.82	4.63	0.12	1
	49	12596	171285	31.28	1171	7155	6.72	4.13	0.06	0
	50	15491	213305	31.67	513	8800	18.86	4.69	0.12	1
	51	12776	177823	32.01	1174	7257	6.80	4.17	0.06	1
	52	14229	175794	28.42	1295	8083	6.87	4.05	0.09	1
	53	12524	148245	27.22	1605	7114	4.88	3.76	0.06	0
	54	15359	181302	27.15	1304	8725	7.36	4.16	0.12	1
	55	13654	168292	28.35	1461	7756	5.84	3.97	0.08	1
	56	14331	176022	28.25	1300	8141	6.89	4.05	0.10	1
	57	12626	148499	27.05	1613	7172	4.89	3.77	0.06	0
	58	15461	181964	27.07	1298	8783	7.44	4.17	0.12	1
	59	13756	168851	28.23	1460	7814	5.89	3.97	0.08	1
	60	16614	179822	24.89	1181	9438	8.79	4.32	0.14	1
	61	10930	122337	25.74	1962	6209	3.48	3.43	0.03	0
	62	16953	183866	24.95	1251	9630	8.47	4.33	0.15	1
	63	11269	132345	27.01	1886	6402	3.73	3.55	0.03	0
	64	16716	180236	24.80	1176	9495	8.88	4.32	0.15	1
	65	11032	122836	25.61	1970	6267	3.50	3.44	0.03	0
	66	17055	184507	24.88	1243	9688	8.58	4.34	0.15	1
	67	11371	133013	26.90	1892	6460	3.76	3.56	0.03	0
	68	13784	172857	28.84	1324	7830	6.51	4.00	0.08	1

APPALTATORE:
**D'AGOSTINO ANGELO ANTONIO COSTRUZIONI
GENERALI s.r.l.**

RIASSETTO NODO DI BARI

PROGETTISTA:

Mandataria: Mandante:

RPA srl Technital SpA HUB Engineering Scarl

**TRATTA A SUD DI BARI – VARIANTE DI TRACCIATO TRA
BARI CENTRALE E BARI TORRE A MARE**

PROGETTO ESECUTIVO:

Relazione di calcolo pensilina

PROGETTO	LOTTO	CODIFICA	DOCUMENTO	REV.	FOGLIO
IA3S	01	E ZZ CL	FV030C 001	C	96 DI 129

Elm.	Combinazione	V	Vd	CsV (>2.30)	H	Hd	CsH (>1.10)	Qd	qe	W
	69	12969	157703	27.97	1477	7367	5.49	3.87	0.07	1
	70	14914	183849	28.35	1285	8472	7.25	4.14	0.11	1
	71	14099	176825	28.85	1367	8009	6.45	4.04	0.09	1
	72	13886	172977	28.65	1330	7888	6.52	4.01	0.09	1
	73	13071	157896	27.78	1485	7425	5.50	3.87	0.07	1
	74	15016	184495	28.26	1280	8530	7.33	4.15	0.11	1
	75	14201	177363	28.73	1365	8067	6.50	4.05	0.09	1
	76	15130	206976	31.46	517	8595	18.30	4.64	0.11	1
	77	12414	168629	31.24	1205	7052	6.44	4.09	0.06	0
	78	15469	210976	31.37	557	8787	17.35	4.66	0.12	1
	79	12753	179702	32.41	1132	7245	7.04	4.19	0.06	1
	80	15232	207171	31.28	516	8652	18.45	4.64	0.11	1
	81	12516	168740	31.01	1213	7110	6.45	4.09	0.06	0
	82	15571	211573	31.25	548	8845	17.74	4.67	0.12	1
	83	12855	180051	32.21	1137	7303	7.06	4.20	0.07	1
	84	14585	214399	33.81	391	8285	23.31	4.71	0.10	1
	85	12880	187070	33.40	894	7317	9.01	4.33	0.07	1
	86	14765	221189	34.46	392	8387	23.53	4.75	0.11	1
	87	13060	193052	34.00	901	7419	9.06	4.36	0.07	1
	88	14925	214508	33.06	402	8478	23.22	4.70	0.11	1
	89	13220	186930	32.52	922	7510	8.96	4.33	0.07	1
	90	15105	222881	33.94	371	8580	25.45	4.77	0.11	1
	91	13400	193940	33.29	916	7612	9.14	4.37	0.08	1
	92	14140	218480	35.54	402	8032	22.00	4.69	0.09	1
	93	13325	199717	34.47	688	7570	12.11	4.49	0.08	1
	94	14320	225277	36.18	404	8134	22.13	4.73	0.10	1
	95	13505	206077	35.10	696	7672	12.13	4.52	0.08	1
	96	14480	218116	34.65	425	8225	21.27	4.68	0.10	1
	97	13665	199239	33.53	716	7763	11.92	4.48	0.08	1
	98	14660	226519	35.54	398	8328	23.02	4.74	0.10	1
	99	13845	206760	34.35	707	7865	12.23	4.53	0.09	1
	100	14506	215039	34.10	390	8240	23.23	4.70	0.10	1
	101	12801	184546	33.16	935	7272	8.56	4.30	0.06	1
	102	14845	219729	34.04	412	8433	22.53	4.73	0.11	1
	103	13140	195178	34.16	867	7464	9.47	4.39	0.07	1
	104	14845	215056	33.32	404	8433	22.98	4.70	0.11	1
	105	13140	184473	32.29	963	7465	8.53	4.30	0.07	1
	106	15184	221486	33.55	389	8626	24.42	4.76	0.11	1
	107	13479	196035	33.45	881	7657	9.56	4.40	0.08	1
	108	14060	217496	35.58	425	7987	20.70	4.67	0.09	1
	109	13246	197291	34.26	727	7524	11.39	4.46	0.07	1
	110	14399	224506	35.86	400	8180	22.51	4.73	0.10	1
	111	13585	208021	35.22	666	7717	12.74	4.54	0.08	1
	112	14400	216676	34.61	450	8180	20.02	4.66	0.10	1
	113	13586	196876	33.33	756	7718	11.24	4.45	0.08	1
	114	14739	225839	35.24	390	8373	23.59	4.75	0.10	1
	115	13925	208692	34.47	676	7910	12.86	4.55	0.09	1
	116	14134	225432	36.68	253	8029	34.97	4.83	0.09	1
122	1	14918	201804	31.11	553	8474	16.86	4.60	0.11	1
	2	23486	203993	19.98	1443	13342	10.17	4.45	0.29	2
	3	15483	196414	29.18	904	8795	10.71	4.43	0.12	1
	4	23317	204981	20.22	1394	13246	10.45	4.46	0.28	2
	5	9979	184754	42.58	541	5669	11.53	4.40	0.01	0
	6	22872	200969	20.21	1594	12993	8.97	4.38	0.27	2
	7	14966	197292	30.32	831	8502	11.25	4.45	0.11	1
	8	20500	203534	22.84	1190	11645	10.77	4.47	0.22	2
	9	12497	193401	35.60	665	7099	11.75	4.45	0.06	0
	10	20650	203273	22.64	1210	11730	10.66	4.46	0.23	2
	11	23486	203993	19.98	1443	13342	10.17	4.45	0.29	2
	12	15386	190047	28.41	1165	8740	8.25	4.29	0.12	1
	13	23317	204981	20.22	1394	13246	10.45	4.46	0.28	2

APPALTATORE:
**D'AGOSTINO ANGELO ANTONIO COSTRUZIONI
GENERALI s.r.l.**

RIASSETTO NODO DI BARI

PROGETTISTA:

**TRATTA A SUD DI BARI – VARIANTE DI TRACCIATO TRA
BARI CENTRALE E BARI TORRE A MARE**

Mandataria: Mandante:

RPA srl Technital SpA HUB Engineering Scarl

PROGETTO ESECUTIVO:

PROGETTO	LOTTO	CODIFICA	DOCUMENTO	REV.	FOGLIO
IA3S	01	E ZZ CL	FV030C 001	C	97 DI 129

Relazione di calcolo pensilina

Elm.	Combinazione	V	Vd	CsV (>2.30)	H	Hd	CsH (>1.10)	Qd	qe	W
	14	9987	191340	44.07	346	5673	18.01	4.56	0.01	0
	15	22977	206965	20.72	1237	13053	11.61	4.51	0.27	2
	16	14958	200245	30.79	708	8497	13.20	4.52	0.11	1
	17	20491	205436	23.06	1084	11640	11.81	4.51	0.22	2
	18	12488	197086	36.30	533	7094	14.65	4.54	0.06	0
	19	20642	205190	22.86	1103	11726	11.70	4.50	0.23	2
	20	12894	175954	31.39	1161	7325	6.94	4.05	0.07	1
	21	10944	134942	28.36	1634	6217	4.19	3.59	0.03	0
	22	11091	149903	31.09	939	6300	7.38	3.91	0.03	0
	23	9141	109301	27.50	1380	5193	4.14	3.39	0.00	0
	24	12994	177059	31.34	1154	7382	7.04	4.06	0.07	1
	25	11045	135524	28.22	1639	6274	4.21	3.60	0.03	0
	26	11191	150326	30.90	947	6357	7.38	3.91	0.03	0
	27	9241	109459	27.24	1397	5250	4.13	3.39	0.00	0
	28	14538	180456	28.55	1199	8259	7.58	4.26	0.10	1
	29	8038	80509	23.04	2344	4566	2.14	2.68	0.00	0
	30	13997	162166	26.65	1184	7951	7.39	4.15	0.09	1
	31	7497	64966	19.93	2272	4259	2.06	2.51	0.00	0
	32	14638	181704	28.55	1181	8315	7.74	4.28	0.10	1
	33	8139	81374	23.00	2358	4623	2.16	2.69	0.00	0
	34	14097	163012	26.60	1170	8008	7.53	4.16	0.09	1
	35	7598	65584	19.85	2288	4316	2.07	2.52	0.00	0
	36	12338	168285	31.37	1226	7009	6.29	3.97	0.05	0
	37	11501	149371	29.87	1445	6533	4.97	3.77	0.04	0
	38	10534	145392	31.74	977	5984	6.74	3.83	0.02	0
	39	9698	124468	29.52	1185	5509	5.11	3.60	0.00	0
	40	12438	168906	31.23	1223	7066	6.35	3.98	0.06	0
	41	11601	149980	29.73	1447	6590	5.01	3.78	0.04	0
	42	10635	145315	31.43	990	6041	6.71	3.83	0.02	0
	43	9798	124496	29.23	1201	5566	5.10	3.60	0.00	0
	44	12683	216556	39.27	451	7205	17.58	4.67	0.06	1
	45	9894	150944	35.09	1413	5620	4.38	3.76	0.00	0
	46	12142	199129	37.72	293	6897	25.86	4.65	0.05	0
	47	9352	131976	32.46	1320	5313	4.43	3.66	0.00	0
	48	12783	217756	39.18	437	7262	18.26	4.69	0.06	1
	49	9994	151248	34.81	1425	5677	4.38	3.76	0.01	0
	50	12242	199589	37.50	289	6954	26.45	4.66	0.05	0
	51	9453	131879	32.09	1337	5370	4.42	3.66	0.00	0
	52	12529	170816	31.36	1214	7117	6.45	3.99	0.06	0
	53	10579	122910	26.72	1807	6010	3.66	3.42	0.02	0
	54	11457	147387	29.59	976	6508	7.34	3.93	0.04	0
	55	9507	120393	29.13	1227	5400	4.84	3.54	0.00	0
	56	12629	171440	31.22	1210	7174	6.52	4.00	0.06	0
	57	10679	123537	26.61	1813	6066	3.68	3.43	0.02	0
	58	11557	147916	29.44	980	6565	7.37	3.93	0.04	0
	59	9607	120457	28.84	1244	5457	4.83	3.54	0.00	0
	60	14428	182882	29.15	1135	8196	7.94	4.30	0.10	1
	61	7929	75930	22.03	2412	4504	2.05	2.60	0.00	0
	62	14107	159842	26.06	1251	8013	7.04	4.12	0.09	1
	63	7607	69211	20.93	2204	4321	2.16	2.59	0.00	0
	64	14528	184136	29.15	1118	8253	8.12	4.31	0.10	1
	65	8029	76825	22.01	2426	4561	2.07	2.61	0.00	0
	66	14207	160692	26.02	1238	8070	7.17	4.13	0.09	1
	67	7707	69790	20.83	2220	4378	2.17	2.60	0.00	0
	68	11972	159292	30.60	1326	6801	5.64	3.88	0.05	0
	69	11135	138683	28.64	1597	6326	4.36	3.64	0.03	0
	70	10900	149505	31.55	946	6192	7.20	3.88	0.03	0
	71	10063	134519	30.75	1067	5717	5.90	3.72	0.01	0
	72	12072	159896	30.46	1327	6858	5.69	3.89	0.05	0
	73	11236	139267	28.51	1602	6383	4.38	3.65	0.03	0
	74	11000	149911	31.34	955	6249	7.19	3.88	0.03	0

APPALTATORE: D'AGOSTINO ANGELO ANTONIO COSTRUZIONI GENERALI s.r.l.	RIASSETTO NODO DI BARI												
PROGETTISTA: Mandataria: Mandante: RPA srl Technital SpA HUB Engineering Scarl													
PROGETTO ESECUTIVO: Relazione di calcolo pensilina	<table border="1"> <tr> <td>PROGETTO</td> <td>LOTTO</td> <td>CODIFICA</td> <td>DOCUMENTO</td> <td>REV.</td> <td>FOGLIO</td> </tr> <tr> <td>IA3S</td> <td>01</td> <td>E ZZ CL</td> <td>FV030C 001</td> <td>C</td> <td>98 DI 129</td> </tr> </table>	PROGETTO	LOTTO	CODIFICA	DOCUMENTO	REV.	FOGLIO	IA3S	01	E ZZ CL	FV030C 001	C	98 DI 129
PROGETTO	LOTTO	CODIFICA	DOCUMENTO	REV.	FOGLIO								
IA3S	01	E ZZ CL	FV030C 001	C	98 DI 129								

Elm.	Combinazione	V	Vd	CsV (>2.30)	H	Hd	CsH (>1.10)	Qd	qe	W
	75	10163	134486	30.44	1081	5773	5.87	3.72	0.01	0
	76	12573	218536	39.98	432	7142	18.17	4.68	0.06	0
	77	9784	146181	34.36	1479	5558	4.13	3.69	0.00	0
	78	12252	196296	36.85	346	6960	22.10	4.62	0.05	0
	79	9462	136509	33.18	1253	5375	4.72	3.73	0.00	0
	80	12673	219677	39.87	421	7199	18.81	4.70	0.06	1
	81	9884	146522	34.10	1491	5615	4.14	3.70	0.00	0
	82	12352	196841	36.65	340	7017	22.71	4.63	0.06	0
	83	9562	136360	32.80	1269	5432	4.71	3.73	0.00	0
	84	12146	222067	42.05	436	6900	17.43	4.67	0.05	0
	85	10197	167085	37.69	1171	5792	5.44	3.98	0.01	0
	86	11605	205714	40.77	197	6593	36.80	4.70	0.04	0
	87	9656	149465	35.60	1063	5485	5.67	3.92	0.00	0
	88	12480	225185	41.50	418	7089	18.66	4.70	0.06	0
	89	10530	167697	36.63	1208	5982	5.45	3.99	0.02	0
	90	11939	205438	39.58	235	6782	31.79	4.68	0.05	0
	91	9989	148496	34.19	1119	5674	5.58	3.90	0.01	0
	92	11590	214687	42.60	554	6584	13.08	4.57	0.04	0
	93	10753	187087	40.02	910	6108	7.38	4.24	0.02	0
	94	11049	198321	41.28	362	6276	19.06	4.56	0.03	0
	95	10212	169285	38.13	783	5801	8.15	4.19	0.01	0
	96	11924	214817	41.44	566	6773	13.16	4.57	0.05	0
	97	11087	187290	38.85	942	6298	7.35	4.24	0.03	0
	98	11383	195620	39.53	420	6466	16.93	4.52	0.04	0
	99	10546	167633	36.56	839	5991	7.86	4.17	0.02	0
	100	12037	222956	42.60	452	6838	16.64	4.66	0.05	0
	101	10087	162360	37.02	1236	5730	5.10	3.92	0.01	0
	102	11715	204104	40.07	205	6655	35.73	4.70	0.04	0
	103	9765	154034	36.28	996	5547	6.12	3.98	0.00	0
	104	12370	225766	41.98	443	7027	17.46	4.68	0.06	0
	105	10421	163085	36.00	1274	5920	5.11	3.93	0.02	0
	106	12049	204395	39.02	227	6844	33.23	4.69	0.05	0
	107	10099	152894	34.82	1052	5737	6.00	3.96	0.01	0
	108	11480	210872	42.25	600	6521	11.95	4.52	0.04	0
	109	10643	182553	39.45	972	6046	6.84	4.18	0.02	0
	110	11159	202069	41.65	308	6339	22.63	4.60	0.03	0
	111	10322	173526	38.67	717	5863	9.00	4.25	0.01	0
	112	11814	210943	41.07	618	6711	11.95	4.53	0.04	0
	113	10977	182838	38.31	1006	6236	6.82	4.19	0.03	0
	114	11492	199270	39.88	365	6528	19.66	4.57	0.04	0
	115	10655	171713	37.06	774	6053	8.61	4.22	0.02	0
	116	11142	200651	41.42	343	6329	20.31	4.63	0.03	0
Minimi coeff. sic.										
111	62			8.94						
111	62						1.50			

Wmax=4 mm - Wmin=0 mm

Verifica a scorrimento globale della fondazione

Combinazione Combinazione di verifica
Hd Azione orizzontale depurata dalle azioni assorbite da pali e plinti su pali
R Resistenza allo scorrimento $R=A \cdot c + N \cdot \text{tg}(\phi)$
CS R/Hd
CSd Coefficiente di sicurezza di progetto

Area delle strutture di fondazione a contatto con il terreno **A=38.7200 m²**

Combinazione	N	Hd	R	CS.	CSd	ver
	kg	kg	kg			
1	125908	406	78676	193.65	1.10	Si

APPALTATORE:
**D'AGOSTINO ANGELO ANTONIO COSTRUZIONI
GENERALI s.r.l.**

RIASSETTO NODO DI BARI

PROGETTISTA:

Mandataria: Mandante:

RPA srl Technital SpA HUB Engineering Scarl

**TRATTA A SUD DI BARI – VARIANTE DI TRACCIATO TRA
BARI CENTRALE E BARI TORRE A MARE**

PROGETTO ESECUTIVO:

Relazione di calcolo pensilina

PROGETTO	LOTTO	CODIFICA	DOCUMENTO	REV.	FOGLIO
IA3S	01	E ZZ CL	FV030C 001	C	99 DI 129

Combinazione	N	Hd	R	CS.	CSd	ver
2	196148	1698	122567	72.20	1.10	Si
3	134942	723	84321	116.64	1.10	Si
4	194372	1950	121457	62.29	1.10	Si
5	92362	411	57714	140.38	1.10	Si
6	191588	1826	119718	65.55	1.10	Si
7	130505	949	81549	85.95	1.10	Si
8	173964	1624	108705	66.94	1.10	Si
9	112758	680	70459	103.62	1.10	Si
10	173970	1627	108709	66.82	1.10	Si
11	196148	1698	122567	72.20	1.10	Si
12	134819	675	84245	124.77	1.10	Si
13	194372	1950	121457	62.29	1.10	Si
14	92001	406	57488	141.68	1.10	Si
15	191349	1975	119568	60.54	1.10	Si
16	130123	984	81310	82.63	1.10	Si
17	173582	1671	108466	64.91	1.10	Si
18	112376	704	70220	99.79	1.10	Si
19	173588	1674	108470	64.80	1.10	Si
20	94731	10923	59195	5.42	1.10	Si
21	94532	10191	59070	5.80	1.10	Si
22	93385	10499	58353	5.56	1.10	Si
23	93185	9967	58229	5.84	1.10	Si
24	95563	10891	59714	5.48	1.10	Si
25	95364	10188	59590	5.85	1.10	Si
26	94217	10494	58873	5.61	1.10	Si
27	94017	9995	58748	5.88	1.10	Si
28	94493	13539	59046	4.36	1.10	Si
29	93828	11709	58630	5.01	1.10	Si
30	94089	13378	58793	4.39	1.10	Si
31	93424	11720	58378	4.98	1.10	Si
32	95324	13493	59565	4.41	1.10	Si
33	94660	11747	59150	5.04	1.10	Si
34	94921	13339	59313	4.45	1.10	Si
35	94256	11766	58898	5.01	1.10	Si
36	94675	10194	59160	5.80	1.10	Si
37	94588	10001	59105	5.91	1.10	Si
38	93329	10010	58318	5.83	1.10	Si
39	93241	9494	58264	6.14	1.10	Si
40	95507	10166	59680	5.87	1.10	Si
41	95420	9990	59625	5.97	1.10	Si
42	94161	10013	58838	5.88	1.10	Si
43	94073	9515	58783	6.18	1.10	Si
44	94306	7963	58929	7.40	1.10	Si
45	94014	6578	58747	8.93	1.10	Si
46	93902	8029	58677	7.31	1.10	Si
47	93611	6175	58494	9.47	1.10	Si
48	95138	7918	59449	7.51	1.10	Si
49	94846	6607	59267	8.97	1.10	Si
50	94734	7996	59196	7.40	1.10	Si
51	94442	6221	59014	9.49	1.10	Si
52	94693	10494	59171	5.64	1.10	Si
53	94494	10504	59046	5.62	1.10	Si
54	93423	10979	58377	5.32	1.10	Si
55	93223	9695	58252	6.01	1.10	Si
56	95525	10465	59691	5.70	1.10	Si
57	95326	10505	59566	5.67	1.10	Si
58	94255	10970	58897	5.37	1.10	Si
59	94055	9718	58772	6.05	1.10	Si
60	94481	13227	59038	4.46	1.10	Si
61	93817	12017	58623	4.88	1.10	Si
62	94100	13690	58800	4.30	1.10	Si
63	93435	11409	58385	5.12	1.10	Si

APPALTATORE: D'AGOSTINO ANGELO ANTONIO COSTRUZIONI GENERALI s.r.l.	RIASSETTO NODO DI BARI					
PROGETTISTA: Mandataria: Mandante: RPA srl Technital SpA HUB Engineering Scarl	TRATTA A SUD DI BARI – VARIANTE DI TRACCIATO TRA BARI CENTRALE E BARI TORRE A MARE					
PROGETTO ESECUTIVO: Relazione di calcolo pensilina	PROGETTO IA3S	LOTTO 01	CODIFICA E ZZ CL	DOCUMENTO FV030C 001	REV. C	FOGLIO 100 DI 129

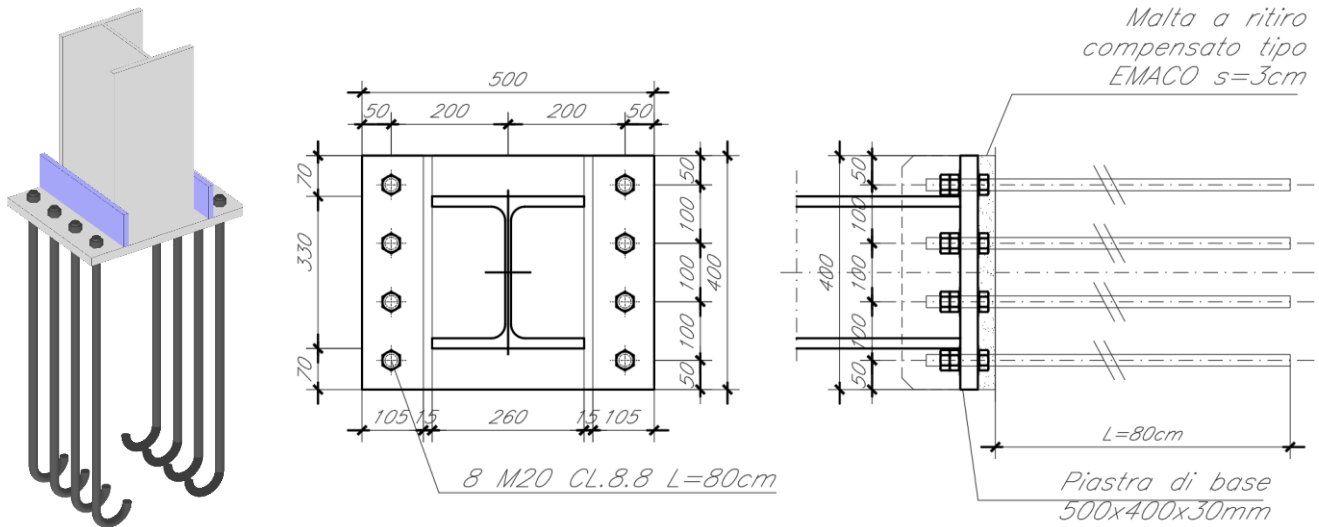
Combinazione	N	Hd	R	CS.	CSd	ver
64	95313	13181	59558	4.52	1.10	Si
65	94648	12055	59143	4.91	1.10	Si
66	94932	13651	59320	4.35	1.10	Si
67	94267	11454	58905	5.14	1.10	Si
68	94637	9918	59136	5.96	1.10	Si
69	94550	10142	59081	5.83	1.10	Si
70	93367	10338	58342	5.64	1.10	Si
71	93279	9403	58287	6.20	1.10	Si
72	95469	9895	59656	6.03	1.10	Si
73	95382	10136	59601	5.88	1.10	Si
74	94199	10336	58862	5.69	1.10	Si
75	94111	9419	58807	6.24	1.10	Si
76	94295	7662	58922	7.69	1.10	Si
77	94003	6851	58740	8.57	1.10	Si
78	93914	8324	58684	7.05	1.10	Si
79	93622	5880	58501	9.95	1.10	Si
80	95127	7616	59442	7.80	1.10	Si
81	94835	6880	59259	8.61	1.10	Si
82	94745	8289	59204	7.14	1.10	Si
83	94454	5925	59021	9.96	1.10	Si
84	93290	5594	58294	10.42	1.10	Si
85	93090	4086	58169	14.24	1.10	Si
86	92886	5325	58041	10.90	1.10	Si
87	92686	3890	57917	14.89	1.10	Si
88	96062	5447	60026	11.02	1.10	Si
89	95863	4145	59902	14.45	1.10	Si
90	95658	5228	59774	11.43	1.10	Si
91	95459	4028	59649	14.81	1.10	Si
92	93234	4194	58259	13.89	1.10	Si
93	93146	3341	58204	17.42	1.10	Si
94	92830	4033	58006	14.38	1.10	Si
95	92742	2825	57952	20.52	1.10	Si
96	96006	4058	59991	14.78	1.10	Si
97	95919	3338	59937	17.96	1.10	Si
98	95602	3969	59739	15.05	1.10	Si
99	95515	2928	59684	20.39	1.10	Si
100	93278	5328	58287	10.94	1.10	Si
101	93079	4300	58162	13.53	1.10	Si
102	92897	5600	58049	10.37	1.10	Si
103	92698	3666	57924	15.80	1.10	Si
104	96051	5182	60019	11.58	1.10	Si
105	95852	4366	59895	13.72	1.10	Si
106	95670	5500	59781	10.87	1.10	Si
107	95470	3800	59657	15.70	1.10	Si
108	93222	3972	58252	14.66	1.10	Si
109	93135	3444	58197	16.90	1.10	Si
110	92841	4264	58014	13.61	1.10	Si
111	92754	2717	57959	21.34	1.10	Si
112	95995	3840	59984	15.62	1.10	Si
113	95907	3455	59930	17.35	1.10	Si
114	95614	4192	59746	14.25	1.10	Si
115	95526	2807	59691	21.27	1.10	Si
116	94518	440	59061	134.10	1.10	Si

8.10 Verifica Nodo di base

Di seguito si riporta la verifica del nodo di base più sollecitato.

APPALTATORE: D'AGOSTINO ANGELO ANTONIO COSTRUZIONI GENERALI s.r.l.	RIASSETTO NODO DI BARI					
PROGETTISTA: Mandataria: Mandante: RPA srl Technital SpA HUB Engineering Scarl	TRATTA A SUD DI BARI – VARIANTE DI TRACCIATO TRA BARI CENTRALE E BARI TORRE A MARE					
PROGETTO ESECUTIVO: Relazione di calcolo pensilina	PROGETTO	LOTTO	CODIFICA	DOCUMENTO	REV.	FOGLIO
	IA3S	01	E ZZ CL	FV030C 001	C	101 DI 129

La forma e dimensione del nodo è vincolata dalla posizione in cui ricadono i pilastri. Per tutti i nodi si ipotizza di realizzare lo stesso collegamento costituito da piastra di base di spessore 30mm e dimensioni in pianta 500x400mm. Il collegamento alla struttura di base sarà realizzato con n°8 tirafondi Ø20 classe 8.8 annegati nel calcestruzzo per una lunghezza di 800mm.



Ove non diversamente specificato le dimensioni usate sono DaN e cm

Simbologia

Simbologia sezione I

Sezione	Nome della sezione
B	Base delle ali
H	Altezza della sezione
tbi	Spessore ala inferiore
tbs	Spessore ala superiore
th	Spessore anima

Geometria Tirafondi

N°	Indice del tirafondo
X,Y	Coordinate centro bullone
Φmm	Diametro nominale del bullone
classe	Classe di resistenza
Ares	Area resistente
L	Lunghezza del tirafondo
R	Eventuale raggio dell'uncino del tirafondo
Φm	Min(diametro del dado, diametro medio della testa) (NTC 4.2.64)

Forze applicate

Comb.	Nome della combinazione cui corrispondono le forze
N,Ty,Tz	Sforzo normale, taglio in direzione Y, taglio in direzione Z, nel riferimento locale della colonna
Mt,My,Mz	Momento torcente, flettente secondo Y, flettente secondo Z, nel riferimento locale della colonna

Verifica piastra di base

Comb.,Pann.	Combinazione, indice del pannello della mesh con minimo SF
N°	Indice del pannello della mesh
X,Y	Coordinate del centro del pannello della mesh
σxx,σyy,τxy	Tensioni del pannello nel riferimento della piastra

APPALTATORE: D'AGOSTINO ANGELO ANTONIO COSTRUZIONI GENERALI s.r.l.	RIASSETTO NODO DI BARI					
PROGETTISTA: Mandataria: Mandante: RPA srl Technital SpA HUB Engineering Scarl	TRATTA A SUD DI BARI – VARIANTE DI TRACCIATO TRA BARI CENTRALE E BARI TORRE A MARE					
PROGETTO ESECUTIVO: Relazione di calcolo pensilina	PROGETTO	LOTTO	CODIFICA	DOCUMENTO	REV.	FOGLIO
	IA3S	01	E ZZ CL	FV030C 001	C	102 DI 129

σ_{id} Tensione ideale di Von Mises= $(\sigma_{xx}^2+\sigma_{yy}^2-\sigma_{xx}\sigma_{yy}+3\tau_{xy}^2)^{1/2}$
SF Fattore di sicurezza= $\sigma_{id}/(f_{yk}/\gamma_{M0})$ (cfr. NTC. 4.2.4.1.2)

Verifica a punzonamento piastra di base

N°bull Indice del tirafondo
X,Y Coordinate del tirafondo
Fd Azione assiale nel tirafondo
B_{p,Rd} Resistenza al punzonamento della piastra (cfr. formula NTC. 4.2.64)
SF Fattore di sicurezza al punzonamento = $B_{p,Rd}/Azione$

Verifica calcestruzzo

Comb. combinazione delle azioni
N°Vert Indice vertice area compressa
X,Y Coordinate del vertice
 σ Tensione (di compressione) nel vertice
SF Fattore di sicurezza = f_{cd}/σ

Verifica tirafondi uncino

Comb. Nome della combinazione delle azioni
N° Indice tirafondo
X,Y Coordinate tirafondo
Dbordo Distanza dal bordo del tirafondo
Ft,Fv Azione assiale e tangenziale del tirafondo
Ftrd,Fvrd Resistenza assiale e tangenziale (1)
SF Fattore di sicurezza (2)
Lid,Lrich Lunghezza ideale effettiva e lunghezza ideale richiesta per il tirafondo (3)

(1) (cfr. formule NTC 4.2.57-4.2.59 e 4.2.62)

(2) nel caso di sola trazione SF=Ftrd/Ft, solo taglio SF=Fvrd/Fv, nel caso di taglio e trazione SF=1/(Fv/Fvrd+Ft/Ftrd/1.4) con la condizione Ft/Ftrd<1(cfr. formula NTC 4.2.65)

(3) Lid=L+6.4*R la resistenza a sfilamento è Fmax= $\pi*\Phi*Lid/(1+\Phi/Dbordo)^{1/2}$, la lunghezza richiesta è Lrich=F/Fmax*Lid, il fattore di sicurezza è il minimo tra quello in (2) e Lid/Lrich

8.10.1 Geometria

Dimensioni piastra: 50 x 40 x 2.5

Sezione della colonna

Centro anima

X 25 cm

Y 20 cm

Rotazione α 0°

Baricentro

X 25 cm

Y 20 cm

Sezione	Tipo	B	H	tbi	tbs	th
		mm	mm	mm	mm	mm
HE 260 B	I	260	260	17.5	17.5	10

Geometria costole

N°	Xi	Yi	Xf	Yf	l	h1	h2	t
	cm	cm	cm	cm	cm	cm	cm	cm
1	11.25	0	11.25	40	40	10	10	1.5
2	38.75	0	38.75	40	40	10	10	1.5

APPALTATORE: D'AGOSTINO ANGELO ANTONIO COSTRUZIONI GENERALI s.r.l.	RIASSETTO NODO DI BARI												
PROGETTISTA: Mandataria: Mandante: RPA srl Technital SpA HUB Engineering Scarl													
PROGETTO ESECUTIVO: Relazione di calcolo pensilina	<table border="1"> <tr> <td>PROGETTO</td> <td>LOTTO</td> <td>CODIFICA</td> <td>DOCUMENTO</td> <td>REV.</td> <td>FOGLIO</td> </tr> <tr> <td>IA3S</td> <td>01</td> <td>E ZZ CL</td> <td>FV030C 001</td> <td>C</td> <td>103 DI 129</td> </tr> </table>	PROGETTO	LOTTO	CODIFICA	DOCUMENTO	REV.	FOGLIO	IA3S	01	E ZZ CL	FV030C 001	C	103 DI 129
PROGETTO	LOTTO	CODIFICA	DOCUMENTO	REV.	FOGLIO								
IA3S	01	E ZZ CL	FV030C 001	C	103 DI 129								

Geometria Tirafondi

N°	X cm	Y cm	Φ mm	classe	Ares cm ²	L cm	R cm	Φm mm
1	5	5	20	8.8	3.14	80	5	30
2	45	5	20	8.8	3.14	80	5	30
3	5	15	20	8.8	3.14	80	5	30
4	45	15	20	8.8	3.14	80	5	30
5	5	25	20	8.8	3.14	80	5	30
6	45	25	20	8.8	3.14	80	5	30
7	5	35	20	8.8	3.14	80	5	30
8	45	35	20	8.8	3.14	80	5	30

8.10.2 Proprietà materiali

Calcestruzzo	Rck=300 DaN/cm ² , fcd=141.10 DaN/cm ²
Coefficiente Omog.	15
Aderenza tirafondi-cls	τ _{ad} =26.86 DaN/cm ²
Acciaio piastra	classe S275, fyd=fyk/γM=2750/1.05=2619.05 DaN/cm ²

Saldature

Verifiche condotte secondo le formule:

$$(\sigma_n^2 + \tau_p^2 + \tau_n^2)^{1/2} \leq f_y k \cdot \beta_1$$

$$|\sigma_n| + |\tau_n| \leq f_y k \cdot \beta_2$$

Elemento	fyk < 40 mm DaN/cm ²	fyk ≥ 40 mm DaN/cm ²	β1	β2
Piastra	2750	2550	0.7	0.85
Costole	2750	2550	0.7	0.85

8.10.3 Risultati dell'analisi

Riferimento locale della colonna

Riferimento locale della colonna

	X	Y	Z
Origine cm	25.0000	20.0000	0.0000
Asse x	0.0000	0.0000	1.0000
Asse y	1.0000	0.0000	0.0000
Asse z	0.0000	1.0000	0.0000

Caratteristiche applicate alla colonna

La verifica è stata effettuata per i nodi che presentano maggiori sollecitazioni.

Verifiche piastra

Comb.	Pann.	X cm	Y cm	σ _{xx} DaN/cm ²	σ _{yy} DaN/cm ²	τ _{xy} DaN/cm ²	σ _{id} DaN/cm ²	SF
(N12)(20+21)-II-1	7	8.28	2.23	1889.63	415.42	-219.99	1761.67	1.49

Tensione massima ideale σ_{id}= 1761.67 DaN/cm², SF=1.49 ((N12)(20+21)-II-1): **Verificato**

APPALTATORE: D'AGOSTINO ANGELO ANTONIO COSTRUZIONI GENERALI s.r.l.	RIASSETTO NODO DI BARI					
PROGETTISTA: Mandatario: Mandante: RPA srl Technital SpA HUB Engineering Scarl	TRATTA A SUD DI BARI – VARIANTE DI TRACCIATO TRA BARI CENTRALE E BARI TORRE A MARE					
PROGETTO ESECUTIVO: Relazione di calcolo pensilina	PROGETTO IA3S	LOTTO 01	CODIFICA E ZZ CL	DOCUMENTO FV030C 001	REV. C	FOGLIO 104 DI 129

Verifica a punzonamento piastra

Comb.	N°bull	X	Y	Fd	B _{p,Rd}	SF
		cm	cm	DaN	DaN	
(20+21)-VIII-5	1	5.00	5.00	7789	48632	6.24

Fo Forza di punz. massima $F_{dmax} = 7789.13$ DaN, $SF = 6.24$ ((20+21)-VIII-5) (bull 1): **Verificato**

Verifica calcestruzzo

Comb.	N°Vert	X	Y	σ	SF
		cm	cm	DaN/cm ²	
(N12)(20+21)-II-5	2	50.00	40.00	99.73	1.41

Tensione cls max $\sigma = 99.73$ DaN/cm², $SF = 1.41$ ((N12)(20+21)-II-5): **Verificato**

Verifiche Costole

Cond	N°Cost.	σ	τ	σ_{id}	SF
		DaN/cm ²	DaN/cm ²	DaN/cm ²	
(20+21)-VIII-5	2	1587	249	1645	1.59

Calcolo saldature orizzontali

Comb.	N°cost	Xi	Yi	Xf	Yf	L	a/2	σ_n	τ_p	SF
		cm	cm	cm	cm	cm	cm	DaN/cm ²	DaN/cm ²	
(N24)(20+21)-VI-3	1	11.25	32.13	11.25	40.00	7.88	0.50	1501.38	253.71	1.26
(N24)(20+21)-II-1	2	38.75	32.13	38.75	40.00	7.88	0.50	1619.31	278.60	1.17

Calcolo saldature verticali

Comb.	N°cost	X	Y	H	a	σ_n	τ_p	SF
		cm	cm	cm	cm	DaN/cm ²	DaN/cm ²	
(N12)(20+21)-VI-7	1	11.25	32.13	10.00	1.00	555.66	252.40	3.15
(N12)(20+21)-II-5	2	38.75	32.13	10.00	1.00	592.38	270.40	2.96

Verifica Tirafondi Uncino

Comb.	N°	X	Y	Dbordo	Ft	Fv	FtRd	FvRd	Lid	Lrich	SF
		cm	cm	cm	DaN	DaN	DaN	DaN	cm	cm	
(20+21)-VIII-5	1	5.00	5.00	5.00	7789	0	18086	12058	92	90	1.02

Coefficiente di sicurezza minimo 1.017028 ((20+21)-VIII-5): **Verificato**

Verifica complessiva

Coefficiente di sicurezza minimo 1.007961 (Saldature orizzontali): **Verificato**

APPALTATORE: D'AGOSTINO ANGELO ANTONIO COSTRUZIONI GENERALI s.r.l.	RIASSETTO NODO DI BARI					
PROGETTISTA: Mandataria: Mandante: RPA srl Technital SpA HUB Engineering Scarl	TRATTA A SUD DI BARI – VARIANTE DI TRACCIATO TRA BARI CENTRALE E BARI TORRE A MARE					
PROGETTO ESECUTIVO: Relazione di calcolo pensilina	PROGETTO	LOTTO	CODIFICA	DOCUMENTO	REV.	FOGLIO
	IA3S	01	E ZZ CL	FV030C 001	C	105 DI 129

9. COEFFICIENTI DI SICUREZZA RAGGIUNTI

Coefficienti di sicurezza Globale Pilastri HE260B

Nome	Combinazione	Cs
Pilastro 1: Nodi[1,1001] Tipo:Acciaio	6	2.872
Pilastro 8: Nodi[8,1008] Tipo:Acciaio	6	2.872
Pilastro 3: Nodi[3,1003] Tipo:Acciaio	6	2.872
Pilastro 2: Nodi[2,1002] Tipo:Acciaio	6	2.872
Pilastro 5: Nodi[5,1005] Tipo:Acciaio	6	2.872
Pilastro 4: Nodi[4,1004] Tipo:Acciaio	6	2.872
Pilastro 7: Nodi[7,1007] Tipo:Acciaio	6	2.872
Pilastro 9: Nodi[9,1009] Tipo:Acciaio	6	2.872
Pilastro 11: Nodi[11,1011] Tipo:Acciaio	6	2.872
Pilastro 10: Nodi[10,1010] Tipo:Acciaio	6	2.872
Pilastro 6: Nodi[6,1006] Tipo:Acciaio	6	2.872
Pilastro 19: Nodi[19,1019] Tipo:Acciaio	6	2.834
Pilastro 14: Nodi[14,1014] Tipo:Acciaio	6	2.834
Pilastro 13: Nodi[13,1013] Tipo:Acciaio	6	2.834
Pilastro 16: Nodi[16,1016] Tipo:Acciaio	6	2.834
Pilastro 20: Nodi[20,1020] Tipo:Acciaio	6	2.834
Pilastro 15: Nodi[15,1015] Tipo:Acciaio	6	2.834
Pilastro 21: Nodi[21,1021] Tipo:Acciaio	6	2.834
Pilastro 17: Nodi[17,1017] Tipo:Acciaio	6	2.834
Pilastro 22: Nodi[22,1022] Tipo:Acciaio	6	2.834
Pilastro 12: Nodi[12,1012] Tipo:Acciaio	6	2.364
Pilastro 18: Nodi[18,1018] Tipo:Acciaio	6	2.359
Minimi		2.359

Coefficienti di sicurezza Globale Travi HE260B

Nome	Combinazione	Cs
Trave 101: Nodi[1109,1001] Tipo:Acciaio	6	5.843
Trave 101: Nodi[1011,1149] Tipo:Acciaio	6	5.595
Trave 101: Nodi[1001,1111] Tipo:Acciaio	6	5.396
Trave 101: Nodi[1003,1118] Tipo:Acciaio	2	5.181
Trave 101: Nodi[1009,1141] Tipo:Acciaio	6	5.162
Trave 101: Nodi[1004,1122] Tipo:Acciaio	2	5.113
Trave 101: Nodi[1008,1137] Tipo:Acciaio	6	5.066
Trave 101: Nodi[1002,1115] Tipo:Acciaio	2	5.048
Trave 101: Nodi[1136,1008] Tipo:Acciaio	6	5.039
Trave 101: Nodi[1007,1134] Tipo:Acciaio	6	5.038
Trave 101: Nodi[1005,1126] Tipo:Acciaio	2	5.03
Trave 101: Nodi[1010,1145] Tipo:Acciaio	2	4.98
Trave 101: Nodi[1139,1009] Tipo:Acciaio	6	4.911
Trave 101: Nodi[1006,1130] Tipo:Acciaio	2	4.894
Trave 101: Nodi[1143,1010] Tipo:Acciaio	6	4.892
Trave 101: Nodi[1113,1002] Tipo:Acciaio	6	4.827
Trave 101: Nodi[1117,1003] Tipo:Acciaio	6	4.824
Trave 101: Nodi[1147,1011] Tipo:Acciaio	6	4.808
Trave 101: Nodi[1120,1004] Tipo:Acciaio	6	4.799
Trave 101: Nodi[1124,1005] Tipo:Acciaio	6	4.755
Trave 101: Nodi[1128,1006] Tipo:Acciaio	6	4.683
Trave 101: Nodi[1132,1007] Tipo:Acciaio	6	4.66
Trave 102: Nodi[1022,1276] Tipo:Acciaio	6	4.535
Trave 102: Nodi[1236,1012] Tipo:Acciaio	6	4.207
Trave 101: Nodi[1130,1131] Tipo:Acciaio	6	3.783

APPALTATORE: D'AGOSTINO ANGELO ANTONIO COSTRUZIONI GENERALI s.r.l.	RIASSETTO NODO DI BARI					
PROGETTISTA: Mandataria: Mandante: RPA srl Technital SpA HUB Engineering Scarl	TRATTA A SUD DI BARI – VARIANTE DI TRACCIATO TRA BARI CENTRALE E BARI TORRE A MARE					
PROGETTO ESECUTIVO: Relazione di calcolo pensilina	PROGETTO	LOTTO	CODIFICA	DOCUMENTO	REV.	FOGLIO
	IA3S	01	E ZZ CL	FV030C 001	C	106 DI 129

Nome	Combinazione	Cs
Trave 101: Nodi[1135,1136] Tipo:Acciaio	6	3.767
Trave 101: Nodi[1126,1127] Tipo:Acciaio	6	3.725
Trave 101: Nodi[1112,1113] Tipo:Acciaio	6	3.716
Trave 101: Nodi[1138,1139] Tipo:Acciaio	6	3.705
Trave 101: Nodi[1122,1123] Tipo:Acciaio	6	3.689
Trave 101: Nodi[1142,1143] Tipo:Acciaio	6	3.683
Trave 101: Nodi[1111,1112] Tipo:Acciaio	6	3.677
Trave 102: Nodi[1274,1022] Tipo:Acciaio	6	3.674
Trave 101: Nodi[1118,1119] Tipo:Acciaio	6	3.673
Trave 101: Nodi[1141,1142] Tipo:Acciaio	6	3.649
Trave 101: Nodi[1115,1116] Tipo:Acciaio	6	3.646
Trave 101: Nodi[1119,1120] Tipo:Acciaio	6	3.644
Trave 101: Nodi[1116,1117] Tipo:Acciaio	6	3.644
Trave 101: Nodi[1123,1124] Tipo:Acciaio	6	3.617
Trave 101: Nodi[1146,1147] Tipo:Acciaio	6	3.609
Trave 101: Nodi[1145,1146] Tipo:Acciaio	6	3.607
Trave 101: Nodi[1137,1138] Tipo:Acciaio	6	3.588
Trave 101: Nodi[1127,1128] Tipo:Acciaio	6	3.574
Trave 101: Nodi[1134,1135] Tipo:Acciaio	6	3.543
Trave 102: Nodi[1012,1238] Tipo:Acciaio	6	3.54
Trave 101: Nodi[1131,1132] Tipo:Acciaio	6	3.528
Trave 102: Nodi[1259,1018] Tipo:Acciaio	2	3.31
Trave 102: Nodi[1244,1014] Tipo:Acciaio	2	3.089
Trave 102: Nodi[1251,1016] Tipo:Acciaio	2	3.075
Trave 102: Nodi[1255,1017] Tipo:Acciaio	2	3.055
Trave 102: Nodi[1247,1015] Tipo:Acciaio	2	3.044
Trave 102: Nodi[1266,1020] Tipo:Acciaio	2	3.018
Trave 102: Nodi[1263,1019] Tipo:Acciaio	2	2.995
Trave 102: Nodi[1019,1264] Tipo:Acciaio	2	2.926
Trave 102: Nodi[1020,1268] Tipo:Acciaio	2	2.926
Trave 102: Nodi[1014,1245] Tipo:Acciaio	2	2.899
Trave 102: Nodi[1018,1261] Tipo:Acciaio	2	2.896
Trave 102: Nodi[1240,1013] Tipo:Acciaio	15	2.875
Trave 102: Nodi[1262,1263] Tipo:Acciaio	6	2.864
Trave 102: Nodi[1015,1249] Tipo:Acciaio	2	2.857
Trave 102: Nodi[1270,1021] Tipo:Acciaio	2	2.852
Trave 102: Nodi[1016,1253] Tipo:Acciaio	2	2.851
Trave 102: Nodi[1253,1254] Tipo:Acciaio	6	2.815
Trave 102: Nodi[1013,1242] Tipo:Acciaio	2	2.813
Trave 102: Nodi[1269,1270] Tipo:Acciaio	6	2.804
Trave 102: Nodi[1257,1258] Tipo:Acciaio	6	2.795
Trave 102: Nodi[1265,1266] Tipo:Acciaio	6	2.792
Trave 102: Nodi[1243,1244] Tipo:Acciaio	6	2.791
Trave 102: Nodi[1242,1243] Tipo:Acciaio	6	2.791
Trave 102: Nodi[1249,1250] Tipo:Acciaio	6	2.79
Trave 102: Nodi[1268,1269] Tipo:Acciaio	6	2.78
Trave 102: Nodi[1245,1246] Tipo:Acciaio	6	2.773
Trave 102: Nodi[1017,1257] Tipo:Acciaio	2	2.768
Trave 102: Nodi[1246,1247] Tipo:Acciaio	6	2.759
Trave 102: Nodi[1250,1251] Tipo:Acciaio	6	2.753
Trave 102: Nodi[1261,1262] Tipo:Acciaio	6	2.746
Trave 102: Nodi[1254,1255] Tipo:Acciaio	6	2.736
Trave 102: Nodi[1264,1265] Tipo:Acciaio	6	2.73
Trave 102: Nodi[1239,1240] Tipo:Acciaio	6	2.7
Trave 102: Nodi[1238,1239] Tipo:Acciaio	6	2.685

APPALTATORE: D'AGOSTINO ANGELO ANTONIO COSTRUZIONI GENERALI s.r.l.	RIASSETTO NODO DI BARI					
PROGETTISTA: Mandataria: Mandante: RPA srl Technital SpA HUB Engineering Scarl	TRATTA A SUD DI BARI – VARIANTE DI TRACCIATO TRA BARI CENTRALE E BARI TORRE A MARE					
PROGETTO ESECUTIVO: Relazione di calcolo pensilina	PROGETTO	LOTTO	CODIFICA	DOCUMENTO	REV.	FOGLIO
	IA3S	01	E ZZ CL	FV030C 001	C	107 DI 129

Nome	Combinazione	Cs
Trave 102: Nodi[1258,1259] Tipo:Acciaio		6 2.67
Trave 102: Nodi[1021,1272] Tipo:Acciaio		2 2.653
Trave 102: Nodi[1273,1274] Tipo:Acciaio		6 2.632
Trave 102: Nodi[1272,1273] Tipo:Acciaio		6 2.632
Minimi		2.632

Coefficienti di sicurezza Globale Travi HE220B

Nome	Combinazione	Cs
Trave 186: Nodi[1322,1365] Tipo:Acciaio		6 12.72
Trave 224: Nodi[1360,1403] Tipo:Acciaio		6 12.39
Trave 142: Nodi[1063,1106] Tipo:Acciaio		6 12.2
Trave 104: Nodi[1025,1068] Tipo:Acciaio		6 12.03
Trave 211: Nodi[1347,1390] Tipo:Acciaio		6 10.99
Trave 215: Nodi[1351,1394] Tipo:Acciaio		6 10.9
Trave 214: Nodi[1350,1393] Tipo:Acciaio		6 10.9
Trave 213: Nodi[1349,1392] Tipo:Acciaio		6 10.89
Trave 212: Nodi[1348,1391] Tipo:Acciaio		6 10.86
Trave 210: Nodi[1346,1389] Tipo:Acciaio		6 10.73
Trave 219: Nodi[1355,1398] Tipo:Acciaio		6 10.65
Trave 217: Nodi[1353,1396] Tipo:Acciaio		6 10.65
Trave 125: Nodi[1046,1089] Tipo:Acciaio		6 10.64
Trave 189: Nodi[1325,1368] Tipo:Acciaio		6 10.64
Trave 124: Nodi[1045,1088] Tipo:Acciaio		6 10.62
Trave 218: Nodi[1354,1397] Tipo:Acciaio		6 10.61
Trave 216: Nodi[1352,1395] Tipo:Acciaio		6 10.59
Trave 187: Nodi[1323,1366] Tipo:Acciaio		6 10.56
Trave 190: Nodi[1326,1369] Tipo:Acciaio		6 10.56
Trave 191: Nodi[1327,1370] Tipo:Acciaio		6 10.55
Trave 123: Nodi[1044,1087] Tipo:Acciaio		6 10.54
Trave 188: Nodi[1324,1367] Tipo:Acciaio		6 10.5
Trave 121: Nodi[1042,1085] Tipo:Acciaio		6 10.5
Trave 126: Nodi[1047,1090] Tipo:Acciaio		6 10.47
Trave 195: Nodi[1331,1374] Tipo:Acciaio		6 10.44
Trave 122: Nodi[1043,1086] Tipo:Acciaio		6 10.42
Trave 193: Nodi[1329,1372] Tipo:Acciaio		6 10.39
Trave 194: Nodi[1330,1373] Tipo:Acciaio		6 10.36
Trave 119: Nodi[1040,1083] Tipo:Acciaio		6 10.34
Trave 209: Nodi[1345,1388] Tipo:Acciaio		6 10.33
Trave 120: Nodi[1041,1084] Tipo:Acciaio		6 10.33
Trave 117: Nodi[1038,1081] Tipo:Acciaio		6 10.32
Trave 221: Nodi[1357,1400] Tipo:Acciaio		6 10.29
Trave 199: Nodi[1335,1378] Tipo:Acciaio		6 10.29
Trave 220: Nodi[1356,1399] Tipo:Acciaio		6 10.28
Trave 192: Nodi[1328,1371] Tipo:Acciaio		6 10.27
Trave 197: Nodi[1333,1376] Tipo:Acciaio		6 10.26
Trave 222: Nodi[1358,1401] Tipo:Acciaio		6 10.25
Trave 113: Nodi[1034,1077] Tipo:Acciaio		6 10.23
Trave 198: Nodi[1334,1377] Tipo:Acciaio		6 10.22
Trave 115: Nodi[1036,1079] Tipo:Acciaio		6 10.21
Trave 118: Nodi[1039,1082] Tipo:Acciaio		6 10.19
Trave 109: Nodi[1030,1073] Tipo:Acciaio		6 10.17
Trave 196: Nodi[1332,1375] Tipo:Acciaio		6 10.15
Trave 111: Nodi[1032,1075] Tipo:Acciaio		6 10.14
Trave 116: Nodi[1037,1080] Tipo:Acciaio		6 10.13
Trave 137: Nodi[1058,1101] Tipo:Acciaio		6 10.13

APPALTATORE: D'AGOSTINO ANGELO ANTONIO COSTRUZIONI GENERALI s.r.l.	RIASSETTO NODO DI BARI					
PROGETTISTA: Mandataria: Mandante: RPA srl Technital SpA HUB Engineering Scarl						
PROGETTO ESECUTIVO: Relazione di calcolo pensilina	PROGETTO	LOTTO	CODIFICA	DOCUMENTO	REV.	FOGLIO
	IA3S	01	E ZZ CL	FV030C 001	C	108 DI 129

Nome	Combinazione	Cs
Trave 139: Nodi[1060,1103] Tipo:Acciaio		6 10.1
Trave 127: Nodi[1048,1091] Tipo:Acciaio		6 10.09
Trave 201: Nodi[1337,1380] Tipo:Acciaio		6 10.08
Trave 203: Nodi[1339,1382] Tipo:Acciaio		6 10.08
Trave 114: Nodi[1035,1078] Tipo:Acciaio		6 10.07
Trave 107: Nodi[1028,1071] Tipo:Acciaio		6 10.06
Trave 112: Nodi[1033,1076] Tipo:Acciaio		6 10.03
Trave 207: Nodi[1343,1386] Tipo:Acciaio		6 10.03
Trave 202: Nodi[1338,1381] Tipo:Acciaio		6 10
Trave 110: Nodi[1031,1074] Tipo:Acciaio		6 10
Trave 140: Nodi[1061,1104] Tipo:Acciaio		6 9.988
Trave 200: Nodi[1336,1379] Tipo:Acciaio		6 9.981
Trave 135: Nodi[1056,1099] Tipo:Acciaio		6 9.977
Trave 138: Nodi[1059,1102] Tipo:Acciaio		6 9.969
Trave 108: Nodi[1029,1072] Tipo:Acciaio		6 9.963
Trave 133: Nodi[1054,1097] Tipo:Acciaio		6 9.94
Trave 136: Nodi[1057,1100] Tipo:Acciaio		6 9.91
Trave 208: Nodi[1344,1387] Tipo:Acciaio		6 9.902
Trave 106: Nodi[1027,1070] Tipo:Acciaio		6 9.888
Trave 105: Nodi[1026,1069] Tipo:Acciaio		6 9.88
Trave 205: Nodi[1341,1384] Tipo:Acciaio		6 9.866
Trave 141: Nodi[1062,1105] Tipo:Acciaio		6 9.864
Trave 129: Nodi[1050,1093] Tipo:Acciaio		6 9.802
Trave 206: Nodi[1342,1385] Tipo:Acciaio		6 9.794
Trave 134: Nodi[1055,1098] Tipo:Acciaio		6 9.77
Trave 131: Nodi[1052,1095] Tipo:Acciaio		6 9.753
Trave 204: Nodi[1340,1383] Tipo:Acciaio		6 9.753
Trave 132: Nodi[1053,1096] Tipo:Acciaio		6 9.682
Trave 128: Nodi[1049,1092] Tipo:Acciaio		6 9.625
Trave 223: Nodi[1359,1402] Tipo:Acciaio	(20+21)-XI-6	6 9.601
Trave 130: Nodi[1051,1094] Tipo:Acciaio		6 9.506
Trave 168: Nodi[1175,1218] Tipo:Acciaio		6 7.694
Trave 104: Nodi[1068,1111] Tipo:Acciaio		6 7.543
Trave 143: Nodi[1064,1107] Tipo:Acciaio		6 7.535
Trave 142: Nodi[1106,1147] Tipo:Acciaio		6 7.512
Trave 225: Nodi[1361,1404] Tipo:Acciaio		6 7.477
Trave 224: Nodi[1317,1360] Tipo:Acciaio		6 7.416
Trave 145: Nodi[1111,1152] Tipo:Acciaio		6 7.328
Trave 183: Nodi[1147,1190] Tipo:Acciaio		6 7.271
Trave 185: Nodi[1321,1364] Tipo:Acciaio		6 7.268
Trave 183: Nodi[1190,1233] Tipo:Acciaio		6 7.225
Trave 160: Nodi[1005,1167] Tipo:Acciaio	(20+21)-VIII-8	6 7.218
Trave 103: Nodi[1024,1067] Tipo:Acciaio		6 7.218
Trave 164: Nodi[1006,1171] Tipo:Acciaio		6 7.131
Trave 186: Nodi[1279,1322] Tipo:Acciaio		6 7.059
Trave 145: Nodi[1152,1195] Tipo:Acciaio		6 6.551
Trave 144: Nodi[1151,1194] Tipo:Acciaio		12 6.548
Trave 184: Nodi[1011,1191] Tipo:Acciaio	(20+21)-VI-2	6 6.484
Trave 184: Nodi[1191,1234] Tipo:Acciaio		12 6.457
Trave 176: Nodi[1009,1183] Tipo:Acciaio	(20+21)-VI-3	6 6.383
Trave 172: Nodi[1008,1179] Tipo:Acciaio	(20+21)-VI-3	6 6.341
Trave 164: Nodi[1171,1214] Tipo:Acciaio		12 6.305
Trave 144: Nodi[1194,1012] Tipo:Acciaio	(20+21)-VIII-8	6 6.252
Trave 130: Nodi[1094,1136] Tipo:Acciaio		6 6.242
Trave 180: Nodi[1010,1187] Tipo:Acciaio	(20+21)-II-8	6 6.232

APPALTATORE: D'AGOSTINO ANGELO ANTONIO COSTRUZIONI GENERALI s.r.l.	RIASSETTO NODO DI BARI					
PROGETTISTA: Mandataria: Mandante: RPA srl Technital SpA HUB Engineering Scarl	TRATTA A SUD DI BARI – VARIANTE DI TRACCIATO TRA BARI CENTRALE E BARI TORRE A MARE					
PROGETTO ESECUTIVO: Relazione di calcolo pensilina	PROGETTO	LOTTO	CODIFICA	DOCUMENTO	REV.	FOGLIO
	IA3S	01	E ZZ CL	FV030C 001	C	109 DI 129

Nome	Combinazione	Cs
Trave 165: Nodi[1130,1172] Tipo:Acciaio		6 6.204
Trave 156: Nodi[1004,1163] Tipo:Acciaio	(20+21)-VIII-8	6.2
Trave 167: Nodi[1132,1174] Tipo:Acciaio		6 6.194
Trave 166: Nodi[1131,1173] Tipo:Acciaio		6 6.159
Trave 128: Nodi[1092,1134] Tipo:Acciaio		6 6.119
Trave 163: Nodi[1128,1170] Tipo:Acciaio		6 6.096
Trave 161: Nodi[1126,1168] Tipo:Acciaio		6 6.087
Trave 129: Nodi[1093,1135] Tipo:Acciaio		6 6.07
Trave 160: Nodi[1167,1210] Tipo:Acciaio		12 6.052
Trave 162: Nodi[1127,1169] Tipo:Acciaio		6 6.012
Trave 134: Nodi[1098,1139] Tipo:Acciaio		6 5.95
Trave 132: Nodi[1096,1137] Tipo:Acciaio		6 5.949
Trave 131: Nodi[1095,1008] Tipo:Acciaio		6 5.943
Trave 159: Nodi[1124,1166] Tipo:Acciaio		6 5.921
Trave 157: Nodi[1122,1164] Tipo:Acciaio		6 5.921
Trave 180: Nodi[1187,1230] Tipo:Acciaio		12 5.92
Trave 156: Nodi[1163,1206] Tipo:Acciaio		12 5.911
Trave 188: Nodi[1281,1324] Tipo:Acciaio		6 5.868
Trave 133: Nodi[1097,1138] Tipo:Acciaio		6 5.846
Trave 106: Nodi[1070,1113] Tipo:Acciaio		6 5.844
Trave 158: Nodi[1123,1165] Tipo:Acciaio		6 5.843
Trave 152: Nodi[1159,1202] Tipo:Acciaio		12 5.837
Trave 153: Nodi[1118,1160] Tipo:Acciaio		6 5.829
Trave 155: Nodi[1120,1162] Tipo:Acciaio		6 5.819
Trave 176: Nodi[1183,1226] Tipo:Acciaio		12 5.79
Trave 110: Nodi[1074,1117] Tipo:Acciaio		6 5.778
Trave 138: Nodi[1102,1143] Tipo:Acciaio		6 5.778
Trave 189: Nodi[1282,1325] Tipo:Acciaio		6 5.77
Trave 149: Nodi[1115,1156] Tipo:Acciaio		6 5.769
Trave 190: Nodi[1283,1326] Tipo:Acciaio		6 5.763
Trave 136: Nodi[1100,1141] Tipo:Acciaio		6 5.763
Trave 151: Nodi[1117,1158] Tipo:Acciaio		6 5.758
Trave 172: Nodi[1179,1222] Tipo:Acciaio		12 5.751
Trave 172: Nodi[1222,1019] Tipo:Acciaio		12 5.748
Trave 154: Nodi[1119,1161] Tipo:Acciaio		6 5.747
Trave 108: Nodi[1072,1115] Tipo:Acciaio		6 5.745
Trave 114: Nodi[1078,1120] Tipo:Acciaio		6 5.739
Trave 135: Nodi[1099,1009] Tipo:Acciaio		6 5.734
Trave 206: Nodi[1299,1342] Tipo:Acciaio		6 5.723
Trave 204: Nodi[1297,1340] Tipo:Acciaio		6 5.716
Trave 181: Nodi[1145,1188] Tipo:Acciaio		6 5.708
Trave 112: Nodi[1076,1118] Tipo:Acciaio		6 5.705
Trave 202: Nodi[1295,1338] Tipo:Acciaio		6 5.694
Trave 148: Nodi[1155,1198] Tipo:Acciaio		12 5.693
Trave 140: Nodi[1104,1145] Tipo:Acciaio		6 5.691
Trave 150: Nodi[1116,1157] Tipo:Acciaio		6 5.69
Trave 200: Nodi[1293,1336] Tipo:Acciaio		6 5.688
Trave 107: Nodi[1071,1002] Tipo:Acciaio		6 5.686
Trave 147: Nodi[1113,1154] Tipo:Acciaio		6 5.685
Trave 208: Nodi[1301,1344] Tipo:Acciaio		6 5.684
Trave 137: Nodi[1101,1142] Tipo:Acciaio		6 5.684
Trave 109: Nodi[1073,1116] Tipo:Acciaio		6 5.679
Trave 198: Nodi[1291,1334] Tipo:Acciaio		6 5.677
Trave 105: Nodi[1069,1112] Tipo:Acciaio		6 5.676
Trave 196: Nodi[1289,1332] Tipo:Acciaio		6 5.674

APPALTATORE: D'AGOSTINO ANGELO ANTONIO COSTRUZIONI GENERALI s.r.l.	RIASSETTO NODO DI BARI					
PROGETTISTA: Mandataria: Mandante: RPA srl Technital SpA HUB Engineering Scarl	TRATTA A SUD DI BARI – VARIANTE DI TRACCIATO TRA BARI CENTRALE E BARI TORRE A MARE					
PROGETTO ESECUTIVO: Relazione di calcolo pensilina	PROGETTO	LOTTO	CODIFICA	DOCUMENTO	REV.	FOGLIO
	IA3S	01	E ZZ CL	FV030C 001	C	110 DI 129

Nome	Combinazione	Cs
Trave 194: Nodi[1287,1330] Tipo:Acciaio		6 5.668
Trave 192: Nodi[1285,1328] Tipo:Acciaio		6 5.664
Trave 118: Nodi[1082,1124] Tipo:Acciaio		6 5.662
Trave 223: Nodi[1316,1359] Tipo:Acciaio		6 5.659
Trave 210: Nodi[1303,1346] Tipo:Acciaio		6 5.658
Trave 218: Nodi[1311,1354] Tipo:Acciaio		6 5.655
Trave 216: Nodi[1309,1352] Tipo:Acciaio		6 5.65
Trave 177: Nodi[1141,1184] Tipo:Acciaio		6 5.649
Trave 207: Nodi[1300,1343] Tipo:Acciaio		6 5.644
Trave 113: Nodi[1077,1119] Tipo:Acciaio		6 5.643
Trave 179: Nodi[1143,1186] Tipo:Acciaio		6 5.64
Trave 116: Nodi[1080,1122] Tipo:Acciaio		6 5.638
Trave 111: Nodi[1075,1003] Tipo:Acciaio		6 5.638
Trave 203: Nodi[1296,1339] Tipo:Acciaio		6 5.632
Trave 214: Nodi[1307,1350] Tipo:Acciaio		6 5.631
Trave 139: Nodi[1103,1010] Tipo:Acciaio		6 5.628
Trave 212: Nodi[1305,1348] Tipo:Acciaio		6 5.626
Trave 199: Nodi[1292,1335] Tipo:Acciaio		6 5.616
Trave 152: Nodi[1003,1159] Tipo:Acciaio	(20+21)-VIII-8	6 5.615
Trave 195: Nodi[1288,1331] Tipo:Acciaio		6 5.608
Trave 127: Nodi[1091,1007] Tipo:Acciaio		6 5.605
Trave 205: Nodi[1298,1341] Tipo:Acciaio		6 5.604
Trave 191: Nodi[1284,1327] Tipo:Acciaio		6 5.599
Trave 219: Nodi[1312,1355] Tipo:Acciaio		6 5.598
Trave 115: Nodi[1079,1004] Tipo:Acciaio		6 5.588
Trave 201: Nodi[1294,1337] Tipo:Acciaio		6 5.585
Trave 215: Nodi[1308,1351] Tipo:Acciaio		6 5.584
Trave 211: Nodi[1304,1347] Tipo:Acciaio		6 5.58
Trave 117: Nodi[1081,1123] Tipo:Acciaio		6 5.576
Trave 197: Nodi[1290,1333] Tipo:Acciaio		6 5.575
Trave 178: Nodi[1142,1185] Tipo:Acciaio		6 5.57
Trave 193: Nodi[1286,1329] Tipo:Acciaio		6 5.569
Trave 187: Nodi[1280,1323] Tipo:Acciaio		6 5.565
Trave 209: Nodi[1302,1345] Tipo:Acciaio		6 5.565
Trave 217: Nodi[1310,1353] Tipo:Acciaio		6 5.557
Trave 146: Nodi[1112,1153] Tipo:Acciaio		6 5.556
Trave 220: Nodi[1313,1356] Tipo:Acciaio		6 5.554
Trave 213: Nodi[1306,1349] Tipo:Acciaio		6 5.533
Trave 122: Nodi[1086,1128] Tipo:Acciaio		6 5.517
Trave 120: Nodi[1084,1126] Tipo:Acciaio		6 5.507
Trave 175: Nodi[1139,1182] Tipo:Acciaio		6 5.507
Trave 173: Nodi[1137,1180] Tipo:Acciaio		6 5.505
Trave 119: Nodi[1083,1005] Tipo:Acciaio		6 5.491
Trave 182: Nodi[1146,1189] Tipo:Acciaio		6 5.467
Trave 141: Nodi[1105,1146] Tipo:Acciaio		6 5.459
Trave 168: Nodi[1007,1175] Tipo:Acciaio	(20+21)-VI-3	6 5.455
Trave 222: Nodi[1315,1358] Tipo:Acciaio		6 5.448
Trave 121: Nodi[1085,1127] Tipo:Acciaio		6 5.447
Trave 174: Nodi[1138,1181] Tipo:Acciaio		6 5.431
Trave 176: Nodi[1226,1020] Tipo:Acciaio		12 5.427
Trave 169: Nodi[1134,1176] Tipo:Acciaio		6 5.415
Trave 126: Nodi[1090,1132] Tipo:Acciaio		6 5.377
Trave 221: Nodi[1314,1357] Tipo:Acciaio		6 5.362
Trave 184: Nodi[1234,1022] Tipo:Acciaio	(20+21)-VI-2	6 5.347
Trave 165: Nodi[1172,1215] Tipo:Acciaio		6 5.343

APPALTATORE: D'AGOSTINO ANGELO ANTONIO COSTRUZIONI GENERALI s.r.l.	RIASSETTO NODO DI BARI					
PROGETTISTA: Mandataria: Mandante: RPA srl Technital SpA HUB Engineering Scarl	TRATTA A SUD DI BARI – VARIANTE DI TRACCIATO TRA BARI CENTRALE E BARI TORRE A MARE					
PROGETTO ESECUTIVO: Relazione di calcolo pensilina	PROGETTO	LOTTO	CODIFICA	DOCUMENTO	REV.	FOGLIO
	IA3S	01	E ZZ CL	FV030C 001	C	111 DI 129

Nome	Combinazione	Cs
Trave 147: Nodi[1154,1197] Tipo:Acciaio	6	5.34
Trave 123: Nodi[1087,1006] Tipo:Acciaio	6	5.321
Trave 144: Nodi[1001,1151] Tipo:Acciaio	(20+21)-VIII-4	5.314
Trave 171: Nodi[1136,1178] Tipo:Acciaio	6	5.312
Trave 124: Nodi[1088,1130] Tipo:Acciaio	6	5.296
Trave 125: Nodi[1089,1131] Tipo:Acciaio	6	5.276
Trave 166: Nodi[1173,1216] Tipo:Acciaio	6	5.276
Trave 170: Nodi[1135,1177] Tipo:Acciaio	6	5.267
Trave 167: Nodi[1174,1217] Tipo:Acciaio	6	5.266
Trave 163: Nodi[1170,1213] Tipo:Acciaio	6	5.26
Trave 148: Nodi[1002,1155] Tipo:Acciaio	(20+21)-VIII-4	5.251
Trave 161: Nodi[1168,1211] Tipo:Acciaio	6	5.227
Trave 149: Nodi[1156,1199] Tipo:Acciaio	6	5.218
Trave 162: Nodi[1169,1212] Tipo:Acciaio	6	5.188
Trave 159: Nodi[1166,1209] Tipo:Acciaio	6	5.172
Trave 157: Nodi[1164,1207] Tipo:Acciaio	6	5.15
Trave 164: Nodi[1214,1017] Tipo:Acciaio	12	5.135
Trave 155: Nodi[1162,1205] Tipo:Acciaio	6	5.121
Trave 158: Nodi[1165,1208] Tipo:Acciaio	6	5.107
Trave 153: Nodi[1160,1203] Tipo:Acciaio	6	5.107
Trave 151: Nodi[1158,1201] Tipo:Acciaio	6	5.091
Trave 160: Nodi[1210,1016] Tipo:Acciaio	12	5.078
Trave 154: Nodi[1161,1204] Tipo:Acciaio	6	5.062
Trave 152: Nodi[1202,1014] Tipo:Acciaio	12	5.06
Trave 156: Nodi[1206,1015] Tipo:Acciaio	12	5.058
Trave 150: Nodi[1157,1200] Tipo:Acciaio	6	5.036
Trave 180: Nodi[1230,1021] Tipo:Acciaio	(20+21)-VI-6	5.034
Trave 182: Nodi[1189,1232] Tipo:Acciaio	6	5.028
Trave 177: Nodi[1184,1227] Tipo:Acciaio	6	5.02
Trave 178: Nodi[1185,1228] Tipo:Acciaio	6	4.979
Trave 146: Nodi[1153,1196] Tipo:Acciaio	6	4.979
Trave 148: Nodi[1198,1013] Tipo:Acciaio	12	4.97
Trave 175: Nodi[1182,1225] Tipo:Acciaio	6	4.969
Trave 173: Nodi[1180,1223] Tipo:Acciaio	6	4.941
Trave 179: Nodi[1186,1229] Tipo:Acciaio	6	4.909
Trave 169: Nodi[1176,1219] Tipo:Acciaio	6	4.907
Trave 174: Nodi[1181,1224] Tipo:Acciaio	6	4.907
Trave 171: Nodi[1178,1221] Tipo:Acciaio	6	4.872
Trave 170: Nodi[1177,1220] Tipo:Acciaio	6	4.835
Trave 181: Nodi[1188,1231] Tipo:Acciaio	6	4.804
Trave 103: Nodi[1067,1001] Tipo:Acciaio	6	4.239
Trave 183: Nodi[1233,1274] Tipo:Acciaio	6	4.154
Trave 224: Nodi[1274,1317] Tipo:Acciaio	6	4.136
Trave 168: Nodi[1218,1018] Tipo:Acciaio	15	4.012
Trave 143: Nodi[1107,1011] Tipo:Acciaio	6	3.998
Trave 225: Nodi[1318,1361] Tipo:Acciaio	6	3.98
Trave 145: Nodi[1195,1238] Tipo:Acciaio	6	3.829
Trave 186: Nodi[1238,1279] Tipo:Acciaio	6	3.78
Trave 185: Nodi[1278,1321] Tipo:Acciaio	6	3.71
Trave 147: Nodi[1197,1240] Tipo:Acciaio	6	3.4
Trave 171: Nodi[1221,1263] Tipo:Acciaio	6	3.369
Trave 188: Nodi[1240,1281] Tipo:Acciaio	6	3.351
Trave 169: Nodi[1219,1261] Tipo:Acciaio	6	3.343
Trave 170: Nodi[1220,1262] Tipo:Acciaio	6	3.341
Trave 189: Nodi[1013,1282] Tipo:Acciaio	6	3.338

APPALTATORE: D'AGOSTINO ANGELO ANTONIO COSTRUZIONI GENERALI s.r.l.	RIASSETTO NODO DI BARI					
PROGETTISTA: Mandataria: Mandante: RPA srl Technital SpA HUB Engineering Scarl	TRATTA A SUD DI BARI – VARIANTE DI TRACCIATO TRA BARI CENTRALE E BARI TORRE A MARE					
PROGETTO ESECUTIVO: Relazione di calcolo pensilina	PROGETTO	LOTTO	CODIFICA	DOCUMENTO	REV.	FOGLIO
	IA3S	01	E ZZ CL	FV030C 001	C	112 DI 129

Nome	Combinazione	Cs
Trave 173: Nodi[1223,1264] Tipo:Acciaio	6	3.307
Trave 149: Nodi[1199,1242] Tipo:Acciaio	6	3.3
Trave 208: Nodi[1259,1301] Tipo:Acciaio	6	3.3
Trave 206: Nodi[1257,1299] Tipo:Acciaio	6	3.296
Trave 175: Nodi[1225,1266] Tipo:Acciaio	6	3.291
Trave 207: Nodi[1258,1300] Tipo:Acciaio	6	3.29
Trave 174: Nodi[1224,1265] Tipo:Acciaio	6	3.278
Trave 190: Nodi[1242,1283] Tipo:Acciaio	6	3.271
Trave 205: Nodi[1017,1298] Tipo:Acciaio	6	3.261
Trave 204: Nodi[1255,1297] Tipo:Acciaio	6	3.257
Trave 177: Nodi[1227,1268] Tipo:Acciaio	6	3.255
Trave 202: Nodi[1253,1295] Tipo:Acciaio	6	3.253
Trave 203: Nodi[1254,1296] Tipo:Acciaio	6	3.253
Trave 182: Nodi[1232,1273] Tipo:Acciaio	6	3.244
Trave 223: Nodi[1273,1316] Tipo:Acciaio	6	3.233
Trave 200: Nodi[1251,1293] Tipo:Acciaio	6	3.23
Trave 178: Nodi[1228,1269] Tipo:Acciaio	6	3.228
Trave 201: Nodi[1016,1294] Tipo:Acciaio	6	3.226
Trave 199: Nodi[1250,1292] Tipo:Acciaio	6	3.222
Trave 198: Nodi[1249,1291] Tipo:Acciaio	6	3.221
Trave 196: Nodi[1247,1289] Tipo:Acciaio	6	3.209
Trave 151: Nodi[1201,1244] Tipo:Acciaio	6	3.208
Trave 146: Nodi[1196,1239] Tipo:Acciaio	6	3.207
Trave 195: Nodi[1246,1288] Tipo:Acciaio	6	3.201
Trave 153: Nodi[1203,1245] Tipo:Acciaio	6	3.201
Trave 197: Nodi[1015,1290] Tipo:Acciaio	6	3.2
Trave 194: Nodi[1245,1287] Tipo:Acciaio	6	3.2
Trave 192: Nodi[1244,1285] Tipo:Acciaio	6	3.195
Trave 150: Nodi[1200,1243] Tipo:Acciaio	6	3.193
Trave 155: Nodi[1205,1247] Tipo:Acciaio	6	3.191
Trave 191: Nodi[1243,1284] Tipo:Acciaio	6	3.188
Trave 193: Nodi[1014,1286] Tipo:Acciaio	6	3.183
Trave 209: Nodi[1018,1302] Tipo:Acciaio	6	3.178
Trave 154: Nodi[1204,1246] Tipo:Acciaio	6	3.176
Trave 157: Nodi[1207,1249] Tipo:Acciaio	6	3.175
Trave 219: Nodi[1269,1312] Tipo:Acciaio	6	3.175
Trave 218: Nodi[1268,1311] Tipo:Acciaio	6	3.174
Trave 187: Nodi[1239,1280] Tipo:Acciaio	6	3.166
Trave 179: Nodi[1229,1270] Tipo:Acciaio	6	3.162
Trave 159: Nodi[1209,1251] Tipo:Acciaio	6	3.162
Trave 216: Nodi[1266,1309] Tipo:Acciaio	6	3.15
Trave 158: Nodi[1208,1250] Tipo:Acciaio	6	3.149
Trave 217: Nodi[1020,1310] Tipo:Acciaio	6	3.146
Trave 214: Nodi[1264,1307] Tipo:Acciaio	6	3.144
Trave 215: Nodi[1265,1308] Tipo:Acciaio	6	3.142
Trave 161: Nodi[1211,1253] Tipo:Acciaio	6	3.129
Trave 163: Nodi[1213,1255] Tipo:Acciaio	6	3.113
Trave 213: Nodi[1019,1306] Tipo:Acciaio	6	3.108
Trave 212: Nodi[1263,1305] Tipo:Acciaio	6	3.107
Trave 220: Nodi[1270,1313] Tipo:Acciaio	6	3.106
Trave 211: Nodi[1262,1304] Tipo:Acciaio	6	3.105
Trave 162: Nodi[1212,1254] Tipo:Acciaio	6	3.103
Trave 210: Nodi[1261,1303] Tipo:Acciaio	6	3.097
Trave 181: Nodi[1231,1272] Tipo:Acciaio	6	3.08
Trave 167: Nodi[1217,1259] Tipo:Acciaio	6	3.06

APPALTATORE: D'AGOSTINO ANGELO ANTONIO COSTRUZIONI GENERALI s.r.l.	RIASSETTO NODO DI BARI					
PROGETTISTA: Mandataria: Mandante: RPA srl Technital SpA HUB Engineering Scarl	TRATTA A SUD DI BARI – VARIANTE DI TRACCIATO TRA BARI CENTRALE E BARI TORRE A MARE					
PROGETTO ESECUTIVO: Relazione di calcolo pensilina	PROGETTO	LOTTO	CODIFICA	DOCUMENTO	REV.	FOGLIO
	IA3S	01	E ZZ CL	FV030C 001	C	113 DI 129

Nome	Combinazione	Cs
Trave 165: Nodi[1215,1257] Tipo:Acciaio	6	3.059
Trave 166: Nodi[1216,1258] Tipo:Acciaio	6	3.045
Trave 222: Nodi[1272,1315] Tipo:Acciaio	6	3.042
Trave 221: Nodi[1021,1314] Tipo:Acciaio	6	3.023
Trave 225: Nodi[1022,1318] Tipo:Acciaio	6	2.432
Trave 185: Nodi[1012,1278] Tipo:Acciaio	6	2.097
Minimi		2.097

Coefficienti di sicurezza Globale Travi IPE100

Nome	Combinazione	Cs
Trave 482: Nodi[1360,1361] Tipo:Acciaio	6	4.756
Trave 445: Nodi[1323,1324] Tipo:Acciaio	6	4.666
Trave 446: Nodi[1324,1325] Tipo:Acciaio	6	4.655
Trave 447: Nodi[1325,1326] Tipo:Acciaio	6	4.592
Trave 403: Nodi[1280,1281] Tipo:Acciaio	6	4.59
Trave 405: Nodi[1282,1283] Tipo:Acciaio	6	4.587
Trave 439: Nodi[1316,1317] Tipo:Acciaio	6	4.57
Trave 440: Nodi[1317,1318] Tipo:Acciaio	6	4.569
Trave 404: Nodi[1281,1282] Tipo:Acciaio	6	4.563
Trave 295: Nodi[1087,1088] Tipo:Acciaio	6	4.54
Trave 481: Nodi[1359,1360] Tipo:Acciaio	6	4.538
Trave 314: Nodi[1106,1107] Tipo:Acciaio	6	4.532
Trave 269: Nodi[1067,1068] Tipo:Acciaio	6	4.522
Trave 297: Nodi[1089,1090] Tipo:Acciaio	6	4.497
Trave 293: Nodi[1085,1086] Tipo:Acciaio	6	4.495
Trave 291: Nodi[1083,1084] Tipo:Acciaio	6	4.487
Trave 470: Nodi[1348,1349] Tipo:Acciaio	6	4.481
Trave 298: Nodi[1090,1091] Tipo:Acciaio	6	4.473
Trave 474: Nodi[1352,1353] Tipo:Acciaio	6	4.459
Trave 307: Nodi[1099,1100] Tipo:Acciaio	6	4.458
Trave 303: Nodi[1095,1096] Tipo:Acciaio	6	4.457
Trave 472: Nodi[1350,1351] Tipo:Acciaio	6	4.454
Trave 289: Nodi[1081,1082] Tipo:Acciaio	6	4.449
Trave 296: Nodi[1088,1089] Tipo:Acciaio	6	4.447
Trave 287: Nodi[1079,1080] Tipo:Acciaio	6	4.446
Trave 311: Nodi[1103,1104] Tipo:Acciaio	6	4.44
Trave 309: Nodi[1101,1102] Tipo:Acciaio	6	4.439
Trave 305: Nodi[1097,1098] Tipo:Acciaio	6	4.439
Trave 271: Nodi[1069,1070] Tipo:Acciaio	6	4.437
Trave 312: Nodi[1104,1105] Tipo:Acciaio	6	4.436
Trave 273: Nodi[1071,1072] Tipo:Acciaio	6	4.429
Trave 476: Nodi[1354,1355] Tipo:Acciaio	6	4.428
Trave 283: Nodi[1075,1076] Tipo:Acciaio	6	4.428
Trave 469: Nodi[1347,1348] Tipo:Acciaio	6	4.426
Trave 458: Nodi[1336,1337] Tipo:Acciaio	6	4.425
Trave 285: Nodi[1077,1078] Tipo:Acciaio	6	4.424
Trave 462: Nodi[1340,1341] Tipo:Acciaio	6	4.424
Trave 467: Nodi[1345,1346] Tipo:Acciaio	6	4.418
Trave 281: Nodi[1073,1074] Tipo:Acciaio	6	4.417
Trave 284: Nodi[1076,1077] Tipo:Acciaio	6	4.416
Trave 288: Nodi[1080,1081] Tipo:Acciaio	6	4.414
Trave 454: Nodi[1332,1333] Tipo:Acciaio	6	4.411
Trave 280: Nodi[1072,1073] Tipo:Acciaio	6	4.411
Trave 292: Nodi[1084,1085] Tipo:Acciaio	6	4.409
Trave 460: Nodi[1338,1339] Tipo:Acciaio	6	4.409

APPALTATORE: D'AGOSTINO ANGELO ANTONIO COSTRUZIONI GENERALI s.r.l.	RIASSETTO NODO DI BARI					
PROGETTISTA: Mandataria: Mandante: RPA srl Technital SpA HUB Engineering Scarl	TRATTA A SUD DI BARI – VARIANTE DI TRACCIATO TRA BARI CENTRALE E BARI TORRE A MARE					
PROGETTO ESECUTIVO: Relazione di calcolo pensilina	PROGETTO IA3S	LOTTO 01	CODIFICA E ZZ CL	DOCUMENTO FV030C 001	REV. C	FOGLIO 114 DI 129

Nome	Combinazione	Cs
Trave 456: Nodi[1334,1335] Tipo:Acciaio	6	4.405
Trave 450: Nodi[1328,1329] Tipo:Acciaio	6	4.404
Trave 452: Nodi[1330,1331] Tipo:Acciaio	6	4.4
Trave 448: Nodi[1326,1327] Tipo:Acciaio	6	4.399
Trave 282: Nodi[1074,1075] Tipo:Acciaio	6	4.397
Trave 313: Nodi[1105,1106] Tipo:Acciaio	6	4.397
Trave 286: Nodi[1078,1079] Tipo:Acciaio	6	4.395
Trave 301: Nodi[1093,1094] Tipo:Acciaio	6	4.394
Trave 290: Nodi[1082,1083] Tipo:Acciaio	6	4.386
Trave 465: Nodi[1343,1344] Tipo:Acciaio	6	4.384
Trave 308: Nodi[1100,1101] Tipo:Acciaio	6	4.383
Trave 310: Nodi[1102,1103] Tipo:Acciaio	6	4.382
Trave 294: Nodi[1086,1087] Tipo:Acciaio	6	4.381
Trave 272: Nodi[1070,1071] Tipo:Acciaio	6	4.378
Trave 468: Nodi[1346,1347] Tipo:Acciaio	6	4.368
Trave 449: Nodi[1327,1328] Tipo:Acciaio	6	4.361
Trave 270: Nodi[1068,1069] Tipo:Acciaio	6	4.357
Trave 299: Nodi[1091,1092] Tipo:Acciaio	6	4.351
Trave 453: Nodi[1331,1332] Tipo:Acciaio	6	4.347
Trave 477: Nodi[1355,1356] Tipo:Acciaio	6	4.343
Trave 473: Nodi[1351,1352] Tipo:Acciaio	6	4.342
Trave 300: Nodi[1092,1093] Tipo:Acciaio	6	4.342
Trave 410: Nodi[1287,1288] Tipo:Acciaio	6	4.34
Trave 304: Nodi[1096,1097] Tipo:Acciaio	6	4.339
Trave 407: Nodi[1284,1285] Tipo:Acciaio	6	4.339
Trave 306: Nodi[1098,1099] Tipo:Acciaio	6	4.337
Trave 414: Nodi[1291,1292] Tipo:Acciaio	6	4.335
Trave 430: Nodi[1307,1308] Tipo:Acciaio	6	4.334
Trave 434: Nodi[1311,1312] Tipo:Acciaio	6	4.333
Trave 451: Nodi[1329,1330] Tipo:Acciaio	6	4.331
Trave 411: Nodi[1288,1289] Tipo:Acciaio	6	4.33
Trave 432: Nodi[1309,1310] Tipo:Acciaio	6	4.33
Trave 420: Nodi[1297,1298] Tipo:Acciaio	6	4.33
Trave 406: Nodi[1283,1284] Tipo:Acciaio	6	4.33
Trave 428: Nodi[1305,1306] Tipo:Acciaio	6	4.329
Trave 418: Nodi[1295,1296] Tipo:Acciaio	6	4.329
Trave 422: Nodi[1299,1300] Tipo:Acciaio	6	4.329
Trave 412: Nodi[1289,1290] Tipo:Acciaio	6	4.328
Trave 416: Nodi[1293,1294] Tipo:Acciaio	6	4.328
Trave 464: Nodi[1342,1343] Tipo:Acciaio	6	4.326
Trave 457: Nodi[1335,1336] Tipo:Acciaio	6	4.326
Trave 409: Nodi[1286,1287] Tipo:Acciaio	6	4.325
Trave 427: Nodi[1304,1305] Tipo:Acciaio	6	4.325
Trave 429: Nodi[1306,1307] Tipo:Acciaio	6	4.325
Trave 431: Nodi[1308,1309] Tipo:Acciaio	6	4.324
Trave 415: Nodi[1292,1293] Tipo:Acciaio	6	4.322
Trave 408: Nodi[1285,1286] Tipo:Acciaio	6	4.322
Trave 435: Nodi[1312,1313] Tipo:Acciaio	6	4.321
Trave 426: Nodi[1303,1304] Tipo:Acciaio	6	4.321
Trave 413: Nodi[1290,1291] Tipo:Acciaio	6	4.318
Trave 433: Nodi[1310,1311] Tipo:Acciaio	6	4.318
Trave 419: Nodi[1296,1297] Tipo:Acciaio	6	4.317
Trave 421: Nodi[1298,1299] Tipo:Acciaio	6	4.314
Trave 417: Nodi[1294,1295] Tipo:Acciaio	6	4.312
Trave 455: Nodi[1333,1334] Tipo:Acciaio	6	4.311

APPALTATORE: D'AGOSTINO ANGELO ANTONIO COSTRUZIONI GENERALI s.r.l.	RIASSETTO NODO DI BARI					
PROGETTISTA: Mandataria: Mandante: RPA srl Technital SpA HUB Engineering Scarl	TRATTA A SUD DI BARI – VARIANTE DI TRACCIATO TRA BARI CENTRALE E BARI TORRE A MARE					
PROGETTO ESECUTIVO: Relazione di calcolo pensilina	PROGETTO	LOTTO	CODIFICA	DOCUMENTO	REV.	FOGLIO
	IA3S	01	E ZZ CL	FV030C 001	C	115 DI 129

Nome	Combinazione	Cs
Trave 471: Nodi[1349,1350] Tipo:Acciaio	6	4.31
Trave 475: Nodi[1353,1354] Tipo:Acciaio	6	4.306
Trave 423: Nodi[1300,1301] Tipo:Acciaio	6	4.305
Trave 461: Nodi[1339,1340] Tipo:Acciaio	6	4.299
Trave 302: Nodi[1094,1095] Tipo:Acciaio	6	4.286
Trave 459: Nodi[1337,1338] Tipo:Acciaio	6	4.278
Trave 424: Nodi[1301,1302] Tipo:Acciaio	6	4.275
Trave 425: Nodi[1302,1303] Tipo:Acciaio	6	4.264
Trave 463: Nodi[1341,1342] Tipo:Acciaio	6	4.258
Trave 443: Nodi[1321,1322] Tipo:Acciaio	6	4.237
Trave 480: Nodi[1358,1359] Tipo:Acciaio	6	4.215
Trave 478: Nodi[1356,1357] Tipo:Acciaio	6	4.198
Trave 466: Nodi[1344,1345] Tipo:Acciaio	6	4.16
Trave 444: Nodi[1322,1323] Tipo:Acciaio	6	4.135
Trave 479: Nodi[1357,1358] Tipo:Acciaio	6	4.095
Trave 436: Nodi[1313,1314] Tipo:Acciaio	6	4.09
Trave 438: Nodi[1315,1316] Tipo:Acciaio	6	4.088
Trave 401: Nodi[1278,1279] Tipo:Acciaio	6	4.082
Trave 402: Nodi[1279,1280] Tipo:Acciaio	6	4.079
Trave 437: Nodi[1314,1315] Tipo:Acciaio	6	4.076
Trave 323: Nodi[1157,1158] Tipo:Acciaio	6	4.01
Trave 351: Nodi[1185,1186] Tipo:Acciaio	6	4.01
Trave 319: Nodi[1153,1154] Tipo:Acciaio	6	4.01
Trave 354: Nodi[1188,1189] Tipo:Acciaio	6	4.01
Trave 318: Nodi[1152,1153] Tipo:Acciaio	6	4.009
Trave 355: Nodi[1189,1190] Tipo:Acciaio	6	4.009
Trave 327: Nodi[1161,1162] Tipo:Acciaio	6	4.009
Trave 326: Nodi[1160,1161] Tipo:Acciaio	6	4.008
Trave 322: Nodi[1156,1157] Tipo:Acciaio	6	4.007
Trave 320: Nodi[1154,1155] Tipo:Acciaio	6	4.006
Trave 360: Nodi[1195,1196] Tipo:Acciaio	6	4.005
Trave 329: Nodi[1163,1164] Tipo:Acciaio	6	4.005
Trave 328: Nodi[1162,1163] Tipo:Acciaio	6	4.005
Trave 321: Nodi[1155,1156] Tipo:Acciaio	6	4.004
Trave 324: Nodi[1158,1159] Tipo:Acciaio	6	4.003
Trave 361: Nodi[1196,1197] Tipo:Acciaio	6	4.003
Trave 350: Nodi[1184,1185] Tipo:Acciaio	6	4.003
Trave 330: Nodi[1164,1165] Tipo:Acciaio	6	4.003
Trave 331: Nodi[1165,1166] Tipo:Acciaio	6	4.002
Trave 352: Nodi[1186,1187] Tipo:Acciaio	6	4.002
Trave 325: Nodi[1159,1160] Tipo:Acciaio	6	4.001
Trave 347: Nodi[1181,1182] Tipo:Acciaio	6	4.001
Trave 365: Nodi[1200,1201] Tipo:Acciaio	6	4
Trave 353: Nodi[1187,1188] Tipo:Acciaio	6	4
Trave 369: Nodi[1204,1205] Tipo:Acciaio	6	3.999
Trave 368: Nodi[1203,1204] Tipo:Acciaio	6	3.999
Trave 364: Nodi[1199,1200] Tipo:Acciaio	6	3.998
Trave 385: Nodi[1220,1221] Tipo:Acciaio	6	3.998
Trave 349: Nodi[1183,1184] Tipo:Acciaio	6	3.997
Trave 372: Nodi[1207,1208] Tipo:Acciaio	6	3.997
Trave 356: Nodi[1190,1191] Tipo:Acciaio	6	3.997
Trave 373: Nodi[1208,1209] Tipo:Acciaio	6	3.997
Trave 359: Nodi[1194,1195] Tipo:Acciaio	6	3.997
Trave 376: Nodi[1211,1212] Tipo:Acciaio	6	3.996
Trave 334: Nodi[1168,1169] Tipo:Acciaio	6	3.996

APPALTATORE: D'AGOSTINO ANGELO ANTONIO COSTRUZIONI GENERALI s.r.l.	RIASSETTO NODO DI BARI					
PROGETTISTA: Mandataria: Mandante: RPA srl Technital SpA HUB Engineering Scarl	TRATTA A SUD DI BARI – VARIANTE DI TRACCIATO TRA BARI CENTRALE E BARI TORRE A MARE					
PROGETTO ESECUTIVO: Relazione di calcolo pensilina	PROGETTO	LOTTO	CODIFICA	DOCUMENTO	REV.	FOGLIO
	IA3S	01	E ZZ CL	FV030C 001	C	116 DI 129

Nome	Combinazione	Cs
Trave 377: Nodi[1212,1213] Tipo:Acciaio	6	3.996
Trave 344: Nodi[1178,1179] Tipo:Acciaio	6	3.995
Trave 337: Nodi[1171,1172] Tipo:Acciaio	6	3.995
Trave 335: Nodi[1169,1170] Tipo:Acciaio	6	3.995
Trave 393: Nodi[1228,1229] Tipo:Acciaio	6	3.995
Trave 338: Nodi[1172,1173] Tipo:Acciaio	6	3.995
Trave 346: Nodi[1180,1181] Tipo:Acciaio	6	3.995
Trave 348: Nodi[1182,1183] Tipo:Acciaio	6	3.995
Trave 380: Nodi[1215,1216] Tipo:Acciaio	6	3.994
Trave 332: Nodi[1166,1167] Tipo:Acciaio	6	3.994
Trave 333: Nodi[1167,1168] Tipo:Acciaio	6	3.994
Trave 343: Nodi[1177,1178] Tipo:Acciaio	6	3.992
Trave 389: Nodi[1224,1225] Tipo:Acciaio	6	3.992
Trave 392: Nodi[1227,1228] Tipo:Acciaio	6	3.991
Trave 396: Nodi[1231,1232] Tipo:Acciaio	6	3.99
Trave 388: Nodi[1223,1224] Tipo:Acciaio	6	3.989
Trave 366: Nodi[1201,1202] Tipo:Acciaio	6	3.989
Trave 367: Nodi[1202,1203] Tipo:Acciaio	6	3.989
Trave 362: Nodi[1197,1198] Tipo:Acciaio	6	3.989
Trave 345: Nodi[1179,1180] Tipo:Acciaio	6	3.988
Trave 363: Nodi[1198,1199] Tipo:Acciaio	6	3.987
Trave 379: Nodi[1214,1215] Tipo:Acciaio	6	3.987
Trave 397: Nodi[1232,1233] Tipo:Acciaio	6	3.986
Trave 370: Nodi[1205,1206] Tipo:Acciaio	6	3.986
Trave 371: Nodi[1206,1207] Tipo:Acciaio	6	3.986
Trave 336: Nodi[1170,1171] Tipo:Acciaio	6	3.985
Trave 398: Nodi[1233,1234] Tipo:Acciaio	6	3.984
Trave 394: Nodi[1229,1230] Tipo:Acciaio	6	3.983
Trave 386: Nodi[1221,1222] Tipo:Acciaio	6	3.982
Trave 395: Nodi[1230,1231] Tipo:Acciaio	6	3.981
Trave 317: Nodi[1151,1152] Tipo:Acciaio	6	3.981
Trave 375: Nodi[1210,1211] Tipo:Acciaio	6	3.981
Trave 374: Nodi[1209,1210] Tipo:Acciaio	6	3.98
Trave 378: Nodi[1213,1214] Tipo:Acciaio	6	3.977
Trave 390: Nodi[1225,1226] Tipo:Acciaio	6	3.975
Trave 391: Nodi[1226,1227] Tipo:Acciaio	6	3.975
Trave 387: Nodi[1222,1223] Tipo:Acciaio	6	3.971
Trave 483: Nodi[1361,1362] Tipo:Acciaio	6	3.967
Trave 384: Nodi[1219,1220] Tipo:Acciaio	6	3.946
Trave 381: Nodi[1216,1217] Tipo:Acciaio	6	3.943
Trave 342: Nodi[1176,1177] Tipo:Acciaio	6	3.942
Trave 339: Nodi[1173,1174] Tipo:Acciaio	6	3.942
Trave 441: Nodi[1318,1319] Tipo:Acciaio	6	3.878
Trave 383: Nodi[1218,1219] Tipo:Acciaio	6	3.872
Trave 382: Nodi[1217,1218] Tipo:Acciaio	6	3.872
Trave 340: Nodi[1174,1175] Tipo:Acciaio	6	3.851
Trave 341: Nodi[1175,1176] Tipo:Acciaio	6	3.849
Trave 268: Nodi[1066,1067] Tipo:Acciaio	6	3.814
Trave 315: Nodi[1107,1108] Tipo:Acciaio	6	3.785
Trave 442: Nodi[1320,1321] Tipo:Acciaio	6	3.669
Trave 400: Nodi[1277,1278] Tipo:Acciaio	6	3.479
Trave 316: Nodi[1150,1151] Tipo:Acciaio	6	3.403
Trave 358: Nodi[1193,1194] Tipo:Acciaio	6	3.381
Trave 357: Nodi[1191,1192] Tipo:Acciaio	6	3.376
Trave 399: Nodi[1234,1235] Tipo:Acciaio	6	3.359

APPALTATORE: D'AGOSTINO ANGELO ANTONIO COSTRUZIONI GENERALI s.r.l.	RIASSETTO NODO DI BARI					
PROGETTISTA: Mandataria: Mandante: RPA srl Technital SpA HUB Engineering Scarl	TRATTA A SUD DI BARI – VARIANTE DI TRACCIATO TRA BARI CENTRALE E BARI TORRE A MARE					
PROGETTO ESECUTIVO: Relazione di calcolo pensilina	PROGETTO	LOTTO	CODIFICA	DOCUMENTO	REV.	FOGLIO
	IA3S	01	E ZZ CL	FV030C 001	C	117 DI 129

Nome	Combinazione	Cs
Minimi		3.359

Coefficienti di sicurezza filtrati per minimo SLE Travi HE260B

Nome	Combinazione	Cs
Trave 101: Nodi[1142,1143] Tipo:Acciaio	22	15.89
Trave 101: Nodi[1143,1010] Tipo:Acciaio	22	15.89
Trave 101: Nodi[1009,1141] Tipo:Acciaio	22	15.89
Trave 101: Nodi[1141,1142] Tipo:Acciaio	22	15.89
Trave 101: Nodi[1136,1008] Tipo:Acciaio	22	15.68
Trave 101: Nodi[1007,1134] Tipo:Acciaio	22	15.68
Trave 101: Nodi[1135,1136] Tipo:Acciaio	22	15.68
Trave 101: Nodi[1134,1135] Tipo:Acciaio	22	15.68
Trave 101: Nodi[1006,1130] Tipo:Acciaio	22	15.66
Trave 101: Nodi[1132,1007] Tipo:Acciaio	22	15.66
Trave 101: Nodi[1130,1131] Tipo:Acciaio	22	15.66
Trave 101: Nodi[1131,1132] Tipo:Acciaio	22	15.66
Trave 101: Nodi[1127,1128] Tipo:Acciaio	22	15.65
Trave 101: Nodi[1005,1126] Tipo:Acciaio	22	15.65
Trave 101: Nodi[1126,1127] Tipo:Acciaio	22	15.65
Trave 101: Nodi[1128,1006] Tipo:Acciaio	22	15.65
Trave 101: Nodi[1124,1005] Tipo:Acciaio	22	15.64
Trave 101: Nodi[1122,1123] Tipo:Acciaio	22	15.64
Trave 101: Nodi[1123,1124] Tipo:Acciaio	22	15.64
Trave 101: Nodi[1004,1122] Tipo:Acciaio	22	15.64
Trave 101: Nodi[1120,1004] Tipo:Acciaio	39	15.46
Trave 101: Nodi[1003,1118] Tipo:Acciaio	39	15.46
Trave 101: Nodi[1119,1120] Tipo:Acciaio	39	15.46
Trave 101: Nodi[1118,1119] Tipo:Acciaio	39	15.46
Trave 101: Nodi[1139,1009] Tipo:Acciaio	39	15.42
Trave 101: Nodi[1138,1139] Tipo:Acciaio	39	15.42
Trave 101: Nodi[1137,1138] Tipo:Acciaio	39	15.42
Trave 101: Nodi[1008,1137] Tipo:Acciaio	39	15.42
Trave 101: Nodi[1117,1003] Tipo:Acciaio	22	15.37
Trave 101: Nodi[1002,1115] Tipo:Acciaio	22	15.37
Trave 101: Nodi[1115,1116] Tipo:Acciaio	22	15.37
Trave 101: Nodi[1116,1117] Tipo:Acciaio	22	15.37
Trave 101: Nodi[1145,1146] Tipo:Acciaio	39	11.53
Trave 101: Nodi[1010,1145] Tipo:Acciaio	39	11.53
Trave 101: Nodi[1147,1011] Tipo:Acciaio	39	11.53
Trave 101: Nodi[1146,1147] Tipo:Acciaio	39	11.53
Trave 101: Nodi[1112,1113] Tipo:Acciaio	39	11.31
Trave 101: Nodi[1001,1111] Tipo:Acciaio	39	11.31
Trave 101: Nodi[1111,1112] Tipo:Acciaio	39	11.31
Trave 101: Nodi[1113,1002] Tipo:Acciaio	39	11.31
Trave 102: Nodi[1261,1262] Tipo:Acciaio	22	8.987
Trave 102: Nodi[1263,1019] Tipo:Acciaio	22	8.987
Trave 102: Nodi[1018,1261] Tipo:Acciaio	22	8.987
Trave 102: Nodi[1262,1263] Tipo:Acciaio	22	8.987
Trave 102: Nodi[1013,1242] Tipo:Acciaio	22	8.639
Trave 102: Nodi[1242,1243] Tipo:Acciaio	22	8.639
Trave 102: Nodi[1244,1014] Tipo:Acciaio	22	8.639
Trave 102: Nodi[1243,1244] Tipo:Acciaio	22	8.639
Trave 102: Nodi[1020,1268] Tipo:Acciaio	22	8.626
Trave 102: Nodi[1268,1269] Tipo:Acciaio	22	8.626
Trave 102: Nodi[1269,1270] Tipo:Acciaio	22	8.626

APPALTATORE: D'AGOSTINO ANGELO ANTONIO COSTRUZIONI GENERALI s.r.l.	RIASSETTO NODO DI BARI					
PROGETTISTA: Mandataria: Mandante: RPA srl Technital SpA HUB Engineering Scarl	TRATTA A SUD DI BARI – VARIANTE DI TRACCIATO TRA BARI CENTRALE E BARI TORRE A MARE					
PROGETTO ESECUTIVO: Relazione di calcolo pensilina	PROGETTO	LOTTO	CODIFICA	DOCUMENTO	REV.	FOGLIO
	IA3S	01	E ZZ CL	FV030C 001	C	118 DI 129

Nome	Combinazione	Cs
Trave 102: Nodi[1270,1021] Tipo:Acciaio		22 8.626
Trave 101: Nodi[1109,1001] Tipo:Acciaio		26 8.607
Trave 102: Nodi[1254,1255] Tipo:Acciaio		39 8.482
Trave 102: Nodi[1016,1253] Tipo:Acciaio		39 8.482
Trave 102: Nodi[1255,1017] Tipo:Acciaio		39 8.482
Trave 102: Nodi[1253,1254] Tipo:Acciaio		39 8.482
Trave 102: Nodi[1249,1250] Tipo:Acciaio		22 8.351
Trave 102: Nodi[1250,1251] Tipo:Acciaio		22 8.351
Trave 102: Nodi[1015,1249] Tipo:Acciaio		22 8.351
Trave 102: Nodi[1251,1016] Tipo:Acciaio		22 8.351
Trave 101: Nodi[1011,1149] Tipo:Acciaio		26 8.263
Trave 102: Nodi[1247,1015] Tipo:Acciaio		39 8.235
Trave 102: Nodi[1014,1245] Tipo:Acciaio		39 8.235
Trave 102: Nodi[1246,1247] Tipo:Acciaio		39 8.235
Trave 102: Nodi[1245,1246] Tipo:Acciaio		39 8.235
Trave 102: Nodi[1264,1265] Tipo:Acciaio		39 8.16
Trave 102: Nodi[1266,1020] Tipo:Acciaio		39 8.16
Trave 102: Nodi[1019,1264] Tipo:Acciaio		39 8.16
Trave 102: Nodi[1265,1266] Tipo:Acciaio		39 8.16
Trave 102: Nodi[1257,1258] Tipo:Acciaio		39 7.809
Trave 102: Nodi[1258,1259] Tipo:Acciaio		39 7.809
Trave 102: Nodi[1259,1018] Tipo:Acciaio		39 7.809
Trave 102: Nodi[1017,1257] Tipo:Acciaio		39 7.809
Trave 102: Nodi[1022,1276] Tipo:Acciaio		26 7.791
Trave 102: Nodi[1236,1012] Tipo:Acciaio		26 7.242
Trave 102: Nodi[1238,1239] Tipo:Acciaio		39 6.193
Trave 102: Nodi[1012,1238] Tipo:Acciaio		39 6.193
Trave 102: Nodi[1239,1240] Tipo:Acciaio		39 6.193
Trave 102: Nodi[1240,1013] Tipo:Acciaio		39 6.193
Trave 102: Nodi[1273,1274] Tipo:Acciaio		39 6.06
Trave 102: Nodi[1272,1273] Tipo:Acciaio		39 6.06
Trave 102: Nodi[1021,1272] Tipo:Acciaio		39 6.06
Trave 102: Nodi[1274,1022] Tipo:Acciaio		39 6.06
Minimi		6.06

Coefficienti di sicurezza filtrati per minimo SLE Travi HE220B

Nome	Combinazione	Cs
Trave 172: Nodi[1179,1222] Tipo:Acciaio		26 21.75
Trave 172: Nodi[1008,1179] Tipo:Acciaio		26 21.75
Trave 172: Nodi[1222,1019] Tipo:Acciaio		26 21.75
Trave 164: Nodi[1214,1017] Tipo:Acciaio		26 21.73
Trave 164: Nodi[1171,1214] Tipo:Acciaio		26 21.73
Trave 164: Nodi[1006,1171] Tipo:Acciaio		26 21.73
Trave 148: Nodi[1198,1013] Tipo:Acciaio		26 21.64
Trave 148: Nodi[1155,1198] Tipo:Acciaio		26 21.64
Trave 148: Nodi[1002,1155] Tipo:Acciaio		26 21.64
Trave 176: Nodi[1009,1183] Tipo:Acciaio		26 21.29
Trave 176: Nodi[1226,1020] Tipo:Acciaio		26 21.29
Trave 176: Nodi[1183,1226] Tipo:Acciaio		26 21.29
Trave 160: Nodi[1005,1167] Tipo:Acciaio		26 21.26
Trave 160: Nodi[1167,1210] Tipo:Acciaio		26 21.26
Trave 160: Nodi[1210,1016] Tipo:Acciaio		26 21.26
Trave 156: Nodi[1004,1163] Tipo:Acciaio		26 20.99
Trave 156: Nodi[1163,1206] Tipo:Acciaio		26 20.99
Trave 156: Nodi[1206,1015] Tipo:Acciaio		26 20.99

APPALTATORE: D'AGOSTINO ANGELO ANTONIO COSTRUZIONI GENERALI s.r.l.	RIASSETTO NODO DI BARI					
PROGETTISTA: Mandataria: Mandante: RPA srl Technital SpA HUB Engineering Scarl	TRATTA A SUD DI BARI – VARIANTE DI TRACCIATO TRA BARI CENTRALE E BARI TORRE A MARE					
PROGETTO ESECUTIVO: Relazione di calcolo pensilina	PROGETTO	LOTTO	CODIFICA	DOCUMENTO	REV.	FOGLIO
	IA3S	01	E ZZ CL	FV030C 001	C	119 DI 129

Nome	Combinazione	Cs
Trave 152: Nodi[1003,1159] Tipo:Acciaio	26	20.86
Trave 152: Nodi[1159,1202] Tipo:Acciaio	26	20.86
Trave 152: Nodi[1202,1014] Tipo:Acciaio	26	20.86
Trave 180: Nodi[1230,1021] Tipo:Acciaio	26	20.21
Trave 180: Nodi[1187,1230] Tipo:Acciaio	26	20.21
Trave 180: Nodi[1010,1187] Tipo:Acciaio	26	20.21
Trave 184: Nodi[1191,1234] Tipo:Acciaio	26	16.14
Trave 184: Nodi[1234,1022] Tipo:Acciaio	26	16.14
Trave 184: Nodi[1011,1191] Tipo:Acciaio	26	16.14
Trave 144: Nodi[1151,1194] Tipo:Acciaio	26	14.42
Trave 144: Nodi[1194,1012] Tipo:Acciaio	26	14.42
Trave 144: Nodi[1001,1151] Tipo:Acciaio	26	14.42
Trave 142: Nodi[1063,1106] Tipo:Acciaio	26	12.61
Trave 142: Nodi[1106,1147] Tipo:Acciaio	26	12.61
Trave 104: Nodi[1068,1111] Tipo:Acciaio	26	12.57
Trave 104: Nodi[1025,1068] Tipo:Acciaio	26	12.57
Trave 138: Nodi[1102,1143] Tipo:Acciaio	26	11.08
Trave 138: Nodi[1059,1102] Tipo:Acciaio	26	11.08
Trave 122: Nodi[1086,1128] Tipo:Acciaio	26	11.08
Trave 122: Nodi[1043,1086] Tipo:Acciaio	26	11.08
Trave 124: Nodi[1088,1130] Tipo:Acciaio	26	11.08
Trave 124: Nodi[1045,1088] Tipo:Acciaio	26	11.08
Trave 130: Nodi[1094,1136] Tipo:Acciaio	26	11.08
Trave 130: Nodi[1051,1094] Tipo:Acciaio	26	11.08
Trave 132: Nodi[1053,1096] Tipo:Acciaio	26	11.08
Trave 132: Nodi[1096,1137] Tipo:Acciaio	26	11.08
Trave 136: Nodi[1100,1141] Tipo:Acciaio	26	11.08
Trave 136: Nodi[1057,1100] Tipo:Acciaio	26	11.08
Trave 120: Nodi[1084,1126] Tipo:Acciaio	26	11.08
Trave 120: Nodi[1041,1084] Tipo:Acciaio	26	11.08
Trave 134: Nodi[1055,1098] Tipo:Acciaio	26	11.08
Trave 134: Nodi[1098,1139] Tipo:Acciaio	26	11.08
Trave 118: Nodi[1039,1082] Tipo:Acciaio	26	11.08
Trave 118: Nodi[1082,1124] Tipo:Acciaio	26	11.08
Trave 140: Nodi[1104,1145] Tipo:Acciaio	26	11.08
Trave 140: Nodi[1061,1104] Tipo:Acciaio	26	11.08
Trave 128: Nodi[1049,1092] Tipo:Acciaio	26	11.08
Trave 128: Nodi[1092,1134] Tipo:Acciaio	26	11.08
Trave 116: Nodi[1037,1080] Tipo:Acciaio	26	11.08
Trave 116: Nodi[1080,1122] Tipo:Acciaio	26	11.08
Trave 114: Nodi[1035,1078] Tipo:Acciaio	26	11.08
Trave 114: Nodi[1078,1120] Tipo:Acciaio	26	11.08
Trave 110: Nodi[1074,1117] Tipo:Acciaio	26	11.08
Trave 110: Nodi[1031,1074] Tipo:Acciaio	26	11.08
Trave 112: Nodi[1033,1076] Tipo:Acciaio	26	11.08
Trave 112: Nodi[1076,1118] Tipo:Acciaio	26	11.08
Trave 126: Nodi[1090,1132] Tipo:Acciaio	26	11.08
Trave 126: Nodi[1047,1090] Tipo:Acciaio	26	11.08
Trave 108: Nodi[1072,1115] Tipo:Acciaio	26	11.08
Trave 108: Nodi[1029,1072] Tipo:Acciaio	26	11.08
Trave 106: Nodi[1027,1070] Tipo:Acciaio	26	11.08
Trave 106: Nodi[1070,1113] Tipo:Acciaio	26	11.08
Trave 109: Nodi[1073,1116] Tipo:Acciaio	26	11.07
Trave 109: Nodi[1030,1073] Tipo:Acciaio	26	11.07
Trave 121: Nodi[1042,1085] Tipo:Acciaio	26	11.07

APPALTATORE: D'AGOSTINO ANGELO ANTONIO COSTRUZIONI GENERALI s.r.l.	RIASSETTO NODO DI BARI					
PROGETTISTA: Mandataria: Mandante: RPA srl Technital SpA HUB Engineering Scarl	TRATTA A SUD DI BARI – VARIANTE DI TRACCIATO TRA BARI CENTRALE E BARI TORRE A MARE					
PROGETTO ESECUTIVO: Relazione di calcolo pensilina	PROGETTO	LOTTO	CODIFICA	DOCUMENTO	REV.	FOGLIO
	IA3S	01	E ZZ CL	FV030C 001	C	120 DI 129

Nome	Combinazione	Cs
Trave 121: Nodi[1085,1127] Tipo:Acciaio	26	11.07
Trave 129: Nodi[1050,1093] Tipo:Acciaio	26	11.07
Trave 129: Nodi[1093,1135] Tipo:Acciaio	26	11.07
Trave 117: Nodi[1081,1123] Tipo:Acciaio	26	11.07
Trave 117: Nodi[1038,1081] Tipo:Acciaio	26	11.07
Trave 113: Nodi[1034,1077] Tipo:Acciaio	26	11.07
Trave 113: Nodi[1077,1119] Tipo:Acciaio	26	11.07
Trave 133: Nodi[1054,1097] Tipo:Acciaio	26	11.07
Trave 133: Nodi[1097,1138] Tipo:Acciaio	26	11.07
Trave 125: Nodi[1089,1131] Tipo:Acciaio	26	11.07
Trave 125: Nodi[1046,1089] Tipo:Acciaio	26	11.07
Trave 137: Nodi[1058,1101] Tipo:Acciaio	26	11.07
Trave 137: Nodi[1101,1142] Tipo:Acciaio	26	11.07
Trave 105: Nodi[1069,1112] Tipo:Acciaio	26	10.9
Trave 105: Nodi[1026,1069] Tipo:Acciaio	26	10.9
Trave 141: Nodi[1062,1105] Tipo:Acciaio	26	10.75
Trave 141: Nodi[1105,1146] Tipo:Acciaio	26	10.75
Trave 168: Nodi[1175,1218] Tipo:Acciaio	26	10.56
Trave 168: Nodi[1007,1175] Tipo:Acciaio	26	10.56
Trave 168: Nodi[1218,1018] Tipo:Acciaio	26	10.56
Trave 224: Nodi[1317,1360] Tipo:Acciaio	26	7.211
Trave 224: Nodi[1274,1317] Tipo:Acciaio	26	7.211
Trave 224: Nodi[1360,1403] Tipo:Acciaio	26	7.211
Trave 186: Nodi[1322,1365] Tipo:Acciaio	26	6.951
Trave 186: Nodi[1238,1279] Tipo:Acciaio	26	6.951
Trave 186: Nodi[1279,1322] Tipo:Acciaio	26	6.951
Trave 183: Nodi[1147,1190] Tipo:Acciaio	26	6.115
Trave 183: Nodi[1190,1233] Tipo:Acciaio	26	6.115
Trave 183: Nodi[1233,1274] Tipo:Acciaio	26	6.115
Trave 188: Nodi[1281,1324] Tipo:Acciaio	26	6.089
Trave 188: Nodi[1240,1281] Tipo:Acciaio	26	6.089
Trave 188: Nodi[1324,1367] Tipo:Acciaio	26	6.089
Trave 190: Nodi[1326,1369] Tipo:Acciaio	26	5.976
Trave 190: Nodi[1283,1326] Tipo:Acciaio	26	5.976
Trave 190: Nodi[1242,1283] Tipo:Acciaio	26	5.976
Trave 223: Nodi[1316,1359] Tipo:Acciaio	26	5.899
Trave 223: Nodi[1273,1316] Tipo:Acciaio	26	5.899
Trave 223: Nodi[1359,1402] Tipo:Acciaio	26	5.899
Trave 194: Nodi[1287,1330] Tipo:Acciaio	26	5.867
Trave 194: Nodi[1330,1373] Tipo:Acciaio	26	5.867
Trave 194: Nodi[1245,1287] Tipo:Acciaio	26	5.867
Trave 192: Nodi[1285,1328] Tipo:Acciaio	26	5.867
Trave 192: Nodi[1244,1285] Tipo:Acciaio	26	5.867
Trave 192: Nodi[1328,1371] Tipo:Acciaio	26	5.867
Trave 198: Nodi[1249,1291] Tipo:Acciaio	26	5.867
Trave 198: Nodi[1291,1334] Tipo:Acciaio	26	5.867
Trave 198: Nodi[1334,1377] Tipo:Acciaio	26	5.867
Trave 196: Nodi[1332,1375] Tipo:Acciaio	26	5.867
Trave 196: Nodi[1289,1332] Tipo:Acciaio	26	5.867
Trave 196: Nodi[1247,1289] Tipo:Acciaio	26	5.867
Trave 202: Nodi[1295,1338] Tipo:Acciaio	26	5.867
Trave 202: Nodi[1338,1381] Tipo:Acciaio	26	5.867
Trave 202: Nodi[1253,1295] Tipo:Acciaio	26	5.867
Trave 218: Nodi[1268,1311] Tipo:Acciaio	26	5.867
Trave 218: Nodi[1311,1354] Tipo:Acciaio	26	5.867

APPALTATORE: D'AGOSTINO ANGELO ANTONIO COSTRUZIONI GENERALI s.r.l.	RIASSETTO NODO DI BARI					
PROGETTISTA: Mandataria: Mandante: RPA srl Technital SpA HUB Engineering Scarl	TRATTA A SUD DI BARI – VARIANTE DI TRACCIATO TRA BARI CENTRALE E BARI TORRE A MARE					
PROGETTO ESECUTIVO: Relazione di calcolo pensilina	PROGETTO	LOTTO	CODIFICA	DOCUMENTO	REV.	FOGLIO
	IA3S	01	E ZZ CL	FV030C 001	C	121 DI 129

Nome	Combinazione	Cs
Trave 218: Nodi[1354,1397] Tipo:Acciaio		26 5.867
Trave 200: Nodi[1336,1379] Tipo:Acciaio		26 5.867
Trave 200: Nodi[1251,1293] Tipo:Acciaio		26 5.867
Trave 200: Nodi[1293,1336] Tipo:Acciaio		26 5.867
Trave 216: Nodi[1352,1395] Tipo:Acciaio		26 5.867
Trave 216: Nodi[1309,1352] Tipo:Acciaio		26 5.867
Trave 216: Nodi[1266,1309] Tipo:Acciaio		26 5.867
Trave 214: Nodi[1307,1350] Tipo:Acciaio		26 5.867
Trave 214: Nodi[1264,1307] Tipo:Acciaio		26 5.867
Trave 214: Nodi[1350,1393] Tipo:Acciaio		26 5.867
Trave 206: Nodi[1299,1342] Tipo:Acciaio		26 5.866
Trave 206: Nodi[1342,1385] Tipo:Acciaio		26 5.866
Trave 206: Nodi[1257,1299] Tipo:Acciaio		26 5.866
Trave 204: Nodi[1255,1297] Tipo:Acciaio		26 5.866
Trave 204: Nodi[1297,1340] Tipo:Acciaio		26 5.866
Trave 204: Nodi[1340,1383] Tipo:Acciaio		26 5.866
Trave 212: Nodi[1263,1305] Tipo:Acciaio		26 5.866
Trave 212: Nodi[1305,1348] Tipo:Acciaio		26 5.866
Trave 212: Nodi[1348,1391] Tipo:Acciaio		26 5.866
Trave 208: Nodi[1301,1344] Tipo:Acciaio		26 5.861
Trave 208: Nodi[1344,1387] Tipo:Acciaio		26 5.861
Trave 208: Nodi[1259,1301] Tipo:Acciaio		26 5.861
Trave 210: Nodi[1261,1303] Tipo:Acciaio		26 5.861
Trave 210: Nodi[1346,1389] Tipo:Acciaio		26 5.861
Trave 210: Nodi[1303,1346] Tipo:Acciaio		26 5.861
Trave 191: Nodi[1327,1370] Tipo:Acciaio		26 5.856
Trave 191: Nodi[1284,1327] Tipo:Acciaio		26 5.856
Trave 191: Nodi[1243,1284] Tipo:Acciaio		26 5.856
Trave 215: Nodi[1308,1351] Tipo:Acciaio		26 5.855
Trave 215: Nodi[1265,1308] Tipo:Acciaio		26 5.855
Trave 215: Nodi[1351,1394] Tipo:Acciaio		26 5.855
Trave 199: Nodi[1292,1335] Tipo:Acciaio		26 5.855
Trave 199: Nodi[1250,1292] Tipo:Acciaio		26 5.855
Trave 199: Nodi[1335,1378] Tipo:Acciaio		26 5.855
Trave 195: Nodi[1288,1331] Tipo:Acciaio		26 5.855
Trave 195: Nodi[1331,1374] Tipo:Acciaio		26 5.855
Trave 195: Nodi[1246,1288] Tipo:Acciaio		26 5.855
Trave 207: Nodi[1258,1300] Tipo:Acciaio		26 5.855
Trave 207: Nodi[1300,1343] Tipo:Acciaio		26 5.855
Trave 207: Nodi[1343,1386] Tipo:Acciaio		26 5.855
Trave 203: Nodi[1296,1339] Tipo:Acciaio		26 5.855
Trave 203: Nodi[1254,1296] Tipo:Acciaio		26 5.855
Trave 203: Nodi[1339,1382] Tipo:Acciaio		26 5.855
Trave 211: Nodi[1262,1304] Tipo:Acciaio		26 5.855
Trave 211: Nodi[1304,1347] Tipo:Acciaio		26 5.855
Trave 211: Nodi[1347,1390] Tipo:Acciaio		26 5.855
Trave 219: Nodi[1269,1312] Tipo:Acciaio		26 5.854
Trave 219: Nodi[1312,1355] Tipo:Acciaio		26 5.854
Trave 219: Nodi[1355,1398] Tipo:Acciaio		26 5.854
Trave 187: Nodi[1280,1323] Tipo:Acciaio		26 5.805
Trave 187: Nodi[1323,1366] Tipo:Acciaio		26 5.805
Trave 187: Nodi[1239,1280] Tipo:Acciaio		26 5.805
Trave 220: Nodi[1313,1356] Tipo:Acciaio		26 5.761
Trave 220: Nodi[1270,1313] Tipo:Acciaio		26 5.761
Trave 220: Nodi[1356,1399] Tipo:Acciaio		26 5.761

APPALTATORE: D'AGOSTINO ANGELO ANTONIO COSTRUZIONI GENERALI s.r.l.	RIASSETTO NODO DI BARI					
PROGETTISTA: Mandataria: Mandante: RPA srl Technital SpA HUB Engineering Scarl	TRATTA A SUD DI BARI – VARIANTE DI TRACCIATO TRA BARI CENTRALE E BARI TORRE A MARE					
PROGETTO ESECUTIVO: Relazione di calcolo pensilina	PROGETTO	LOTTO	CODIFICA	DOCUMENTO	REV.	FOGLIO
	IA3S	01	E ZZ CL	FV030C 001	C	122 DI 129

Nome	Combinazione	Cs
Trave 222: Nodi[1272,1315] Tipo:Acciaio		26 5.66
Trave 222: Nodi[1315,1358] Tipo:Acciaio		26 5.66
Trave 222: Nodi[1358,1401] Tipo:Acciaio		26 5.66
Trave 145: Nodi[1111,1152] Tipo:Acciaio		26 5.576
Trave 145: Nodi[1152,1195] Tipo:Acciaio		26 5.576
Trave 145: Nodi[1195,1238] Tipo:Acciaio		26 5.576
Trave 127: Nodi[1091,1007] Tipo:Acciaio		26 5.272
Trave 127: Nodi[1048,1091] Tipo:Acciaio		26 5.272
Trave 107: Nodi[1028,1071] Tipo:Acciaio		26 5.271
Trave 107: Nodi[1071,1002] Tipo:Acciaio		26 5.271
Trave 111: Nodi[1075,1003] Tipo:Acciaio		26 5.27
Trave 111: Nodi[1032,1075] Tipo:Acciaio		26 5.27
Trave 115: Nodi[1036,1079] Tipo:Acciaio		26 5.27
Trave 115: Nodi[1079,1004] Tipo:Acciaio		26 5.27
Trave 119: Nodi[1040,1083] Tipo:Acciaio		26 5.27
Trave 119: Nodi[1083,1005] Tipo:Acciaio		26 5.27
Trave 139: Nodi[1103,1010] Tipo:Acciaio		26 5.27
Trave 139: Nodi[1060,1103] Tipo:Acciaio		26 5.27
Trave 135: Nodi[1056,1099] Tipo:Acciaio		26 5.27
Trave 135: Nodi[1099,1009] Tipo:Acciaio		26 5.27
Trave 123: Nodi[1087,1006] Tipo:Acciaio		26 5.269
Trave 123: Nodi[1044,1087] Tipo:Acciaio		26 5.269
Trave 131: Nodi[1052,1095] Tipo:Acciaio		26 5.269
Trave 131: Nodi[1095,1008] Tipo:Acciaio		26 5.269
Trave 147: Nodi[1154,1197] Tipo:Acciaio		26 4.71
Trave 147: Nodi[1113,1154] Tipo:Acciaio		26 4.71
Trave 147: Nodi[1197,1240] Tipo:Acciaio		26 4.71
Trave 149: Nodi[1156,1199] Tipo:Acciaio		26 4.585
Trave 149: Nodi[1199,1242] Tipo:Acciaio		26 4.585
Trave 149: Nodi[1115,1156] Tipo:Acciaio		26 4.585
Trave 161: Nodi[1168,1211] Tipo:Acciaio		26 4.464
Trave 161: Nodi[1126,1168] Tipo:Acciaio		26 4.464
Trave 161: Nodi[1211,1253] Tipo:Acciaio		26 4.464
Trave 157: Nodi[1164,1207] Tipo:Acciaio		26 4.464
Trave 157: Nodi[1207,1249] Tipo:Acciaio		26 4.464
Trave 157: Nodi[1122,1164] Tipo:Acciaio		26 4.464
Trave 175: Nodi[1182,1225] Tipo:Acciaio		26 4.464
Trave 175: Nodi[1225,1266] Tipo:Acciaio		26 4.464
Trave 175: Nodi[1139,1182] Tipo:Acciaio		26 4.464
Trave 177: Nodi[1184,1227] Tipo:Acciaio		26 4.464
Trave 177: Nodi[1227,1268] Tipo:Acciaio		26 4.464
Trave 177: Nodi[1141,1184] Tipo:Acciaio		26 4.464
Trave 153: Nodi[1160,1203] Tipo:Acciaio		26 4.464
Trave 153: Nodi[1203,1245] Tipo:Acciaio		26 4.464
Trave 153: Nodi[1118,1160] Tipo:Acciaio		26 4.464
Trave 173: Nodi[1137,1180] Tipo:Acciaio		26 4.464
Trave 173: Nodi[1180,1223] Tipo:Acciaio		26 4.464
Trave 173: Nodi[1223,1264] Tipo:Acciaio		26 4.464
Trave 159: Nodi[1124,1166] Tipo:Acciaio		26 4.464
Trave 159: Nodi[1166,1209] Tipo:Acciaio		26 4.464
Trave 159: Nodi[1209,1251] Tipo:Acciaio		26 4.464
Trave 151: Nodi[1201,1244] Tipo:Acciaio		26 4.464
Trave 151: Nodi[1117,1158] Tipo:Acciaio		26 4.464
Trave 151: Nodi[1158,1201] Tipo:Acciaio		26 4.464
Trave 155: Nodi[1120,1162] Tipo:Acciaio		26 4.464

APPALTATORE: D'AGOSTINO ANGELO ANTONIO COSTRUZIONI GENERALI s.r.l.	RIASSETTO NODO DI BARI					
PROGETTISTA: Mandataria: Mandante: RPA srl Technital SpA HUB Engineering Scarl	TRATTA A SUD DI BARI – VARIANTE DI TRACCIATO TRA BARI CENTRALE E BARI TORRE A MARE					
PROGETTO ESECUTIVO: Relazione di calcolo pensilina	PROGETTO	LOTTO	CODIFICA	DOCUMENTO	REV.	FOGLIO
	IA3S	01	E ZZ CL	FV030C 001	C	123 DI 129

Nome	Combinazione	Cs
Trave 155: Nodi[1205,1247] Tipo:Acciaio		26 4.464
Trave 155: Nodi[1162,1205] Tipo:Acciaio		26 4.464
Trave 163: Nodi[1170,1213] Tipo:Acciaio		26 4.464
Trave 163: Nodi[1128,1170] Tipo:Acciaio		26 4.464
Trave 163: Nodi[1213,1255] Tipo:Acciaio		26 4.464
Trave 165: Nodi[1215,1257] Tipo:Acciaio		26 4.464
Trave 165: Nodi[1172,1215] Tipo:Acciaio		26 4.464
Trave 165: Nodi[1130,1172] Tipo:Acciaio		26 4.464
Trave 171: Nodi[1136,1178] Tipo:Acciaio		26 4.464
Trave 171: Nodi[1178,1221] Tipo:Acciaio		26 4.464
Trave 171: Nodi[1221,1263] Tipo:Acciaio		26 4.464
Trave 167: Nodi[1217,1259] Tipo:Acciaio		26 4.454
Trave 167: Nodi[1132,1174] Tipo:Acciaio		26 4.454
Trave 167: Nodi[1174,1217] Tipo:Acciaio		26 4.454
Trave 169: Nodi[1134,1176] Tipo:Acciaio		26 4.454
Trave 169: Nodi[1176,1219] Tipo:Acciaio		26 4.454
Trave 169: Nodi[1219,1261] Tipo:Acciaio		26 4.454
Trave 150: Nodi[1157,1200] Tipo:Acciaio		26 4.432
Trave 150: Nodi[1116,1157] Tipo:Acciaio		26 4.432
Trave 150: Nodi[1200,1243] Tipo:Acciaio		26 4.432
Trave 158: Nodi[1123,1165] Tipo:Acciaio		26 4.431
Trave 158: Nodi[1208,1250] Tipo:Acciaio		26 4.431
Trave 158: Nodi[1165,1208] Tipo:Acciaio		26 4.431
Trave 154: Nodi[1204,1246] Tipo:Acciaio		26 4.431
Trave 154: Nodi[1161,1204] Tipo:Acciaio		26 4.431
Trave 154: Nodi[1119,1161] Tipo:Acciaio		26 4.431
Trave 174: Nodi[1138,1181] Tipo:Acciaio		26 4.431
Trave 174: Nodi[1224,1265] Tipo:Acciaio		26 4.431
Trave 174: Nodi[1181,1224] Tipo:Acciaio		26 4.431
Trave 162: Nodi[1127,1169] Tipo:Acciaio		26 4.431
Trave 162: Nodi[1169,1212] Tipo:Acciaio		26 4.431
Trave 162: Nodi[1212,1254] Tipo:Acciaio		26 4.431
Trave 166: Nodi[1131,1173] Tipo:Acciaio		26 4.43
Trave 166: Nodi[1216,1258] Tipo:Acciaio		26 4.43
Trave 166: Nodi[1173,1216] Tipo:Acciaio		26 4.43
Trave 170: Nodi[1135,1177] Tipo:Acciaio		26 4.43
Trave 170: Nodi[1220,1262] Tipo:Acciaio		26 4.43
Trave 170: Nodi[1177,1220] Tipo:Acciaio		26 4.43
Trave 178: Nodi[1228,1269] Tipo:Acciaio		26 4.429
Trave 178: Nodi[1185,1228] Tipo:Acciaio		26 4.429
Trave 178: Nodi[1142,1185] Tipo:Acciaio		26 4.429
Trave 143: Nodi[1107,1011] Tipo:Acciaio		26 4.424
Trave 143: Nodi[1064,1107] Tipo:Acciaio		26 4.424
Trave 182: Nodi[1189,1232] Tipo:Acciaio		26 4.375
Trave 182: Nodi[1146,1189] Tipo:Acciaio		26 4.375
Trave 182: Nodi[1232,1273] Tipo:Acciaio		26 4.375
Trave 146: Nodi[1153,1196] Tipo:Acciaio		26 4.357
Trave 146: Nodi[1112,1153] Tipo:Acciaio		26 4.357
Trave 146: Nodi[1196,1239] Tipo:Acciaio		26 4.357
Trave 179: Nodi[1143,1186] Tipo:Acciaio		26 4.349
Trave 179: Nodi[1229,1270] Tipo:Acciaio		26 4.349
Trave 179: Nodi[1186,1229] Tipo:Acciaio		26 4.349
Trave 103: Nodi[1067,1001] Tipo:Acciaio		26 4.305
Trave 103: Nodi[1024,1067] Tipo:Acciaio		26 4.305
Trave 181: Nodi[1231,1272] Tipo:Acciaio		26 4.241

APPALTATORE: D'AGOSTINO ANGELO ANTONIO COSTRUZIONI GENERALI s.r.l.	RIASSETTO NODO DI BARI					
PROGETTISTA: Mandataria: Mandante: RPA srl Technital SpA HUB Engineering Scarl	TRATTA A SUD DI BARI – VARIANTE DI TRACCIATO TRA BARI CENTRALE E BARI TORRE A MARE					
PROGETTO ESECUTIVO: Relazione di calcolo pensilina	PROGETTO	LOTTO	CODIFICA	DOCUMENTO	REV.	FOGLIO
	IA3S	01	E ZZ CL	FV030C 001	C	124 DI 129

Nome	Combinazione	Cs
Trave 181: Nodi[1145,1188] Tipo:Acciaio	26	4.241
Trave 181: Nodi[1188,1231] Tipo:Acciaio	26	4.241
Trave 189: Nodi[1013,1282] Tipo:Acciaio	26	2.671
Trave 189: Nodi[1282,1325] Tipo:Acciaio	26	2.671
Trave 189: Nodi[1325,1368] Tipo:Acciaio	26	2.671
Trave 209: Nodi[1345,1388] Tipo:Acciaio	26	2.545
Trave 209: Nodi[1018,1302] Tipo:Acciaio	26	2.545
Trave 209: Nodi[1302,1345] Tipo:Acciaio	26	2.545
Trave 213: Nodi[1306,1349] Tipo:Acciaio	26	2.54
Trave 213: Nodi[1019,1306] Tipo:Acciaio	26	2.54
Trave 213: Nodi[1349,1392] Tipo:Acciaio	26	2.54
Trave 205: Nodi[1341,1384] Tipo:Acciaio	26	2.54
Trave 205: Nodi[1017,1298] Tipo:Acciaio	26	2.54
Trave 205: Nodi[1298,1341] Tipo:Acciaio	26	2.54
Trave 201: Nodi[1016,1294] Tipo:Acciaio	26	2.54
Trave 201: Nodi[1337,1380] Tipo:Acciaio	26	2.54
Trave 201: Nodi[1294,1337] Tipo:Acciaio	26	2.54
Trave 217: Nodi[1310,1353] Tipo:Acciaio	26	2.54
Trave 217: Nodi[1353,1396] Tipo:Acciaio	26	2.54
Trave 217: Nodi[1020,1310] Tipo:Acciaio	26	2.54
Trave 197: Nodi[1333,1376] Tipo:Acciaio	26	2.54
Trave 197: Nodi[1015,1290] Tipo:Acciaio	26	2.54
Trave 197: Nodi[1290,1333] Tipo:Acciaio	26	2.54
Trave 193: Nodi[1286,1329] Tipo:Acciaio	26	2.54
Trave 193: Nodi[1014,1286] Tipo:Acciaio	26	2.54
Trave 193: Nodi[1329,1372] Tipo:Acciaio	26	2.54
Trave 221: Nodi[1314,1357] Tipo:Acciaio	26	2.422
Trave 221: Nodi[1357,1400] Tipo:Acciaio	26	2.422
Trave 221: Nodi[1021,1314] Tipo:Acciaio	26	2.422
Trave 225: Nodi[1361,1404] Tipo:Acciaio	26	1.966
Trave 225: Nodi[1022,1318] Tipo:Acciaio	26	1.966
Trave 225: Nodi[1318,1361] Tipo:Acciaio	26	1.966
Trave 185: Nodi[1321,1364] Tipo:Acciaio	26	1.766
Trave 185: Nodi[1278,1321] Tipo:Acciaio	26	1.766
Trave 185: Nodi[1012,1278] Tipo:Acciaio	26	1.766
Minimi		1.766

Coefficienti di sicurezza filtrati per minimo SLE Travi IPE100

Nome	Combinazione	Cs
Trave 423: Nodi[1300,1301] Tipo:Acciaio	39	7.167
Trave 435: Nodi[1312,1313] Tipo:Acciaio	39	7.167
Trave 414: Nodi[1291,1292] Tipo:Acciaio	39	7.167
Trave 425: Nodi[1302,1303] Tipo:Acciaio	39	7.167
Trave 422: Nodi[1299,1300] Tipo:Acciaio	39	7.167
Trave 419: Nodi[1296,1297] Tipo:Acciaio	39	7.167
Trave 430: Nodi[1307,1308] Tipo:Acciaio	39	7.167
Trave 428: Nodi[1305,1306] Tipo:Acciaio	39	7.167
Trave 409: Nodi[1286,1287] Tipo:Acciaio	39	7.167
Trave 413: Nodi[1290,1291] Tipo:Acciaio	39	7.167
Trave 427: Nodi[1304,1305] Tipo:Acciaio	39	7.167
Trave 434: Nodi[1311,1312] Tipo:Acciaio	39	7.167
Trave 411: Nodi[1288,1289] Tipo:Acciaio	39	7.167
Trave 433: Nodi[1310,1311] Tipo:Acciaio	39	7.167
Trave 432: Nodi[1309,1310] Tipo:Acciaio	39	7.167
Trave 416: Nodi[1293,1294] Tipo:Acciaio	39	7.167

APPALTATORE: D'AGOSTINO ANGELO ANTONIO COSTRUZIONI GENERALI s.r.l.	RIASSETTO NODO DI BARI					
PROGETTISTA: Mandataria: Mandante: RPA srl Technital SpA HUB Engineering Scarl	TRATTA A SUD DI BARI – VARIANTE DI TRACCIATO TRA BARI CENTRALE E BARI TORRE A MARE					
PROGETTO ESECUTIVO: Relazione di calcolo pensilina	PROGETTO	LOTTO	CODIFICA	DOCUMENTO	REV.	FOGLIO
	IA3S	01	E ZZ CL	FV030C 001	C	125 DI 129

Nome	Combinazione	Cs
Trave 420: Nodi[1297,1298] Tipo:Acciaio		39 7.167
Trave 429: Nodi[1306,1307] Tipo:Acciaio		39 7.167
Trave 406: Nodi[1283,1284] Tipo:Acciaio		39 7.167
Trave 418: Nodi[1295,1296] Tipo:Acciaio		39 7.167
Trave 424: Nodi[1301,1302] Tipo:Acciaio		39 7.167
Trave 407: Nodi[1284,1285] Tipo:Acciaio		39 7.167
Trave 408: Nodi[1285,1286] Tipo:Acciaio		39 7.167
Trave 415: Nodi[1292,1293] Tipo:Acciaio		39 7.167
Trave 410: Nodi[1287,1288] Tipo:Acciaio		39 7.167
Trave 412: Nodi[1289,1290] Tipo:Acciaio		39 7.167
Trave 417: Nodi[1294,1295] Tipo:Acciaio		39 7.167
Trave 426: Nodi[1303,1304] Tipo:Acciaio		39 7.167
Trave 431: Nodi[1308,1309] Tipo:Acciaio		39 7.167
Trave 421: Nodi[1298,1299] Tipo:Acciaio		39 7.167
Trave 479: Nodi[1357,1358] Tipo:Acciaio		39 6.836
Trave 444: Nodi[1322,1323] Tipo:Acciaio		39 6.835
Trave 443: Nodi[1321,1322] Tipo:Acciaio		39 6.835
Trave 480: Nodi[1358,1359] Tipo:Acciaio		39 6.835
Trave 478: Nodi[1356,1357] Tipo:Acciaio		39 6.835
Trave 482: Nodi[1360,1361] Tipo:Acciaio		25 6.684
Trave 446: Nodi[1324,1325] Tipo:Acciaio		25 6.684
Trave 447: Nodi[1325,1326] Tipo:Acciaio		25 6.684
Trave 445: Nodi[1323,1324] Tipo:Acciaio		25 6.684
Trave 481: Nodi[1359,1360] Tipo:Acciaio		25 6.684
Trave 314: Nodi[1106,1107] Tipo:Acciaio		39 6.649
Trave 311: Nodi[1103,1104] Tipo:Acciaio		39 6.649
Trave 309: Nodi[1101,1102] Tipo:Acciaio		39 6.649
Trave 280: Nodi[1072,1073] Tipo:Acciaio		39 6.649
Trave 307: Nodi[1099,1100] Tipo:Acciaio		39 6.649
Trave 306: Nodi[1098,1099] Tipo:Acciaio		39 6.649
Trave 283: Nodi[1075,1076] Tipo:Acciaio		39 6.649
Trave 288: Nodi[1080,1081] Tipo:Acciaio		39 6.649
Trave 285: Nodi[1077,1078] Tipo:Acciaio		39 6.649
Trave 297: Nodi[1089,1090] Tipo:Acciaio		39 6.649
Trave 290: Nodi[1082,1083] Tipo:Acciaio		39 6.649
Trave 303: Nodi[1095,1096] Tipo:Acciaio		39 6.649
Trave 299: Nodi[1091,1092] Tipo:Acciaio		39 6.649
Trave 293: Nodi[1085,1086] Tipo:Acciaio		39 6.649
Trave 302: Nodi[1094,1095] Tipo:Acciaio		39 6.649
Trave 304: Nodi[1096,1097] Tipo:Acciaio		39 6.649
Trave 308: Nodi[1100,1101] Tipo:Acciaio		39 6.649
Trave 292: Nodi[1084,1085] Tipo:Acciaio		39 6.649
Trave 298: Nodi[1090,1091] Tipo:Acciaio		39 6.649
Trave 294: Nodi[1086,1087] Tipo:Acciaio		39 6.649
Trave 287: Nodi[1079,1080] Tipo:Acciaio		39 6.649
Trave 296: Nodi[1088,1089] Tipo:Acciaio		39 6.649
Trave 301: Nodi[1093,1094] Tipo:Acciaio		39 6.649
Trave 270: Nodi[1068,1069] Tipo:Acciaio		39 6.649
Trave 269: Nodi[1067,1068] Tipo:Acciaio		39 6.649
Trave 281: Nodi[1073,1074] Tipo:Acciaio		39 6.649
Trave 271: Nodi[1069,1070] Tipo:Acciaio		39 6.649
Trave 272: Nodi[1070,1071] Tipo:Acciaio		39 6.649
Trave 282: Nodi[1074,1075] Tipo:Acciaio		39 6.649
Trave 273: Nodi[1071,1072] Tipo:Acciaio		39 6.649
Trave 284: Nodi[1076,1077] Tipo:Acciaio		39 6.649

APPALTATORE: D'AGOSTINO ANGELO ANTONIO COSTRUZIONI GENERALI s.r.l.	RIASSETTO NODO DI BARI					
PROGETTISTA: Mandataria: Mandante: RPA srl Technital SpA HUB Engineering Scarl	TRATTA A SUD DI BARI – VARIANTE DI TRACCIATO TRA BARI CENTRALE E BARI TORRE A MARE					
PROGETTO ESECUTIVO: Relazione di calcolo pensilina	PROGETTO IA3S	LOTTO 01	CODIFICA E ZZ CL	DOCUMENTO FV030C 001	REV. C	FOGLIO 126 DI 129

Nome	Combinazione	Cs
Trave 289: Nodi[1081,1082] Tipo:Acciaio		39 6.649
Trave 291: Nodi[1083,1084] Tipo:Acciaio		39 6.649
Trave 286: Nodi[1078,1079] Tipo:Acciaio		39 6.649
Trave 312: Nodi[1104,1105] Tipo:Acciaio		39 6.649
Trave 305: Nodi[1097,1098] Tipo:Acciaio		39 6.649
Trave 310: Nodi[1102,1103] Tipo:Acciaio		39 6.649
Trave 295: Nodi[1087,1088] Tipo:Acciaio		39 6.649
Trave 300: Nodi[1092,1093] Tipo:Acciaio		39 6.649
Trave 313: Nodi[1105,1106] Tipo:Acciaio		39 6.649
Trave 451: Nodi[1329,1330] Tipo:Acciaio		39 6.572
Trave 453: Nodi[1331,1332] Tipo:Acciaio		39 6.572
Trave 458: Nodi[1336,1337] Tipo:Acciaio		39 6.572
Trave 467: Nodi[1345,1346] Tipo:Acciaio		39 6.572
Trave 474: Nodi[1352,1353] Tipo:Acciaio		39 6.572
Trave 464: Nodi[1342,1343] Tipo:Acciaio		39 6.572
Trave 470: Nodi[1348,1349] Tipo:Acciaio		39 6.572
Trave 475: Nodi[1353,1354] Tipo:Acciaio		39 6.572
Trave 471: Nodi[1349,1350] Tipo:Acciaio		39 6.572
Trave 476: Nodi[1354,1355] Tipo:Acciaio		39 6.572
Trave 448: Nodi[1326,1327] Tipo:Acciaio		39 6.572
Trave 455: Nodi[1333,1334] Tipo:Acciaio		39 6.572
Trave 466: Nodi[1344,1345] Tipo:Acciaio		39 6.572
Trave 461: Nodi[1339,1340] Tipo:Acciaio		39 6.572
Trave 460: Nodi[1338,1339] Tipo:Acciaio		39 6.572
Trave 456: Nodi[1334,1335] Tipo:Acciaio		39 6.572
Trave 477: Nodi[1355,1356] Tipo:Acciaio		39 6.572
Trave 469: Nodi[1347,1348] Tipo:Acciaio		39 6.572
Trave 472: Nodi[1350,1351] Tipo:Acciaio		39 6.572
Trave 465: Nodi[1343,1344] Tipo:Acciaio		39 6.572
Trave 462: Nodi[1340,1341] Tipo:Acciaio		39 6.572
Trave 449: Nodi[1327,1328] Tipo:Acciaio		39 6.572
Trave 450: Nodi[1328,1329] Tipo:Acciaio		39 6.572
Trave 454: Nodi[1332,1333] Tipo:Acciaio		39 6.572
Trave 457: Nodi[1335,1336] Tipo:Acciaio		39 6.572
Trave 459: Nodi[1337,1338] Tipo:Acciaio		39 6.572
Trave 452: Nodi[1330,1331] Tipo:Acciaio		39 6.572
Trave 468: Nodi[1346,1347] Tipo:Acciaio		39 6.572
Trave 473: Nodi[1351,1352] Tipo:Acciaio		39 6.572
Trave 463: Nodi[1341,1342] Tipo:Acciaio		39 6.572
Trave 440: Nodi[1317,1318] Tipo:Acciaio		25 6.487
Trave 403: Nodi[1280,1281] Tipo:Acciaio		25 6.487
Trave 404: Nodi[1281,1282] Tipo:Acciaio		25 6.487
Trave 405: Nodi[1282,1283] Tipo:Acciaio		25 6.487
Trave 439: Nodi[1316,1317] Tipo:Acciaio		25 6.487
Trave 437: Nodi[1314,1315] Tipo:Acciaio		39 6.453
Trave 402: Nodi[1279,1280] Tipo:Acciaio		39 6.453
Trave 401: Nodi[1278,1279] Tipo:Acciaio		39 6.453
Trave 438: Nodi[1315,1316] Tipo:Acciaio		39 6.453
Trave 436: Nodi[1313,1314] Tipo:Acciaio		39 6.453
Trave 356: Nodi[1190,1191] Tipo:Acciaio		39 6.403
Trave 398: Nodi[1233,1234] Tipo:Acciaio		39 6.403
Trave 353: Nodi[1187,1188] Tipo:Acciaio		39 6.403
Trave 395: Nodi[1230,1231] Tipo:Acciaio		39 6.403
Trave 376: Nodi[1211,1212] Tipo:Acciaio		39 6.403
Trave 386: Nodi[1221,1222] Tipo:Acciaio		39 6.403

APPALTATORE: D'AGOSTINO ANGELO ANTONIO COSTRUZIONI GENERALI s.r.l.	RIASSETTO NODO DI BARI					
PROGETTISTA: Mandataria: Mandante: RPA srl Technital SpA HUB Engineering Scarl	TRATTA A SUD DI BARI – VARIANTE DI TRACCIATO TRA BARI CENTRALE E BARI TORRE A MARE					
PROGETTO ESECUTIVO: Relazione di calcolo pensilina	PROGETTO	LOTTO	CODIFICA	DOCUMENTO	REV.	FOGLIO
	IA3S	01	E ZZ CL	FV030C 001	C	127 DI 129

Nome	Combinazione	Cs
Trave 350: Nodi[1184,1185] Tipo:Acciaio		39 6.403
Trave 388: Nodi[1223,1224] Tipo:Acciaio		39 6.403
Trave 380: Nodi[1215,1216] Tipo:Acciaio		39 6.403
Trave 336: Nodi[1170,1171] Tipo:Acciaio		39 6.403
Trave 345: Nodi[1179,1180] Tipo:Acciaio		39 6.403
Trave 341: Nodi[1175,1176] Tipo:Acciaio		39 6.403
Trave 382: Nodi[1217,1218] Tipo:Acciaio		39 6.403
Trave 322: Nodi[1156,1157] Tipo:Acciaio		39 6.403
Trave 372: Nodi[1207,1208] Tipo:Acciaio		39 6.403
Trave 381: Nodi[1216,1217] Tipo:Acciaio		39 6.403
Trave 346: Nodi[1180,1181] Tipo:Acciaio		39 6.403
Trave 329: Nodi[1163,1164] Tipo:Acciaio		39 6.403
Trave 338: Nodi[1172,1173] Tipo:Acciaio		39 6.403
Trave 367: Nodi[1202,1203] Tipo:Acciaio		39 6.403
Trave 383: Nodi[1218,1219] Tipo:Acciaio		39 6.403
Trave 374: Nodi[1209,1210] Tipo:Acciaio		39 6.403
Trave 339: Nodi[1173,1174] Tipo:Acciaio		39 6.403
Trave 335: Nodi[1169,1170] Tipo:Acciaio		39 6.403
Trave 348: Nodi[1182,1183] Tipo:Acciaio		39 6.403
Trave 371: Nodi[1206,1207] Tipo:Acciaio		39 6.403
Trave 369: Nodi[1204,1205] Tipo:Acciaio		39 6.403
Trave 340: Nodi[1174,1175] Tipo:Acciaio		39 6.403
Trave 387: Nodi[1222,1223] Tipo:Acciaio		39 6.403
Trave 378: Nodi[1213,1214] Tipo:Acciaio		39 6.403
Trave 344: Nodi[1178,1179] Tipo:Acciaio		39 6.403
Trave 349: Nodi[1183,1184] Tipo:Acciaio		39 6.403
Trave 364: Nodi[1199,1200] Tipo:Acciaio		39 6.403
Trave 327: Nodi[1161,1162] Tipo:Acciaio		39 6.403
Trave 391: Nodi[1226,1227] Tipo:Acciaio		39 6.403
Trave 351: Nodi[1185,1186] Tipo:Acciaio		39 6.403
Trave 377: Nodi[1212,1213] Tipo:Acciaio		39 6.403
Trave 385: Nodi[1220,1221] Tipo:Acciaio		39 6.403
Trave 390: Nodi[1225,1226] Tipo:Acciaio		39 6.403
Trave 330: Nodi[1164,1165] Tipo:Acciaio		39 6.403
Trave 392: Nodi[1227,1228] Tipo:Acciaio		39 6.403
Trave 393: Nodi[1228,1229] Tipo:Acciaio		39 6.403
Trave 334: Nodi[1168,1169] Tipo:Acciaio		39 6.403
Trave 325: Nodi[1159,1160] Tipo:Acciaio		39 6.403
Trave 332: Nodi[1166,1167] Tipo:Acciaio		39 6.403
Trave 343: Nodi[1177,1178] Tipo:Acciaio		39 6.403
Trave 318: Nodi[1152,1153] Tipo:Acciaio		39 6.403
Trave 360: Nodi[1195,1196] Tipo:Acciaio		39 6.403
Trave 317: Nodi[1151,1152] Tipo:Acciaio		39 6.403
Trave 359: Nodi[1194,1195] Tipo:Acciaio		39 6.403
Trave 323: Nodi[1157,1158] Tipo:Acciaio		39 6.403
Trave 320: Nodi[1154,1155] Tipo:Acciaio		39 6.403
Trave 319: Nodi[1153,1154] Tipo:Acciaio		39 6.403
Trave 321: Nodi[1155,1156] Tipo:Acciaio		39 6.403
Trave 324: Nodi[1158,1159] Tipo:Acciaio		39 6.403
Trave 362: Nodi[1197,1198] Tipo:Acciaio		39 6.403
Trave 361: Nodi[1196,1197] Tipo:Acciaio		39 6.403
Trave 363: Nodi[1198,1199] Tipo:Acciaio		39 6.403
Trave 366: Nodi[1201,1202] Tipo:Acciaio		39 6.403
Trave 365: Nodi[1200,1201] Tipo:Acciaio		39 6.403
Trave 373: Nodi[1208,1209] Tipo:Acciaio		39 6.403

APPALTATORE: D'AGOSTINO ANGELO ANTONIO COSTRUZIONI GENERALI s.r.l.	RIASSETTO NODO DI BARI					
PROGETTISTA: Mandataria: Mandante: RPA srl Technital SpA HUB Engineering Scarl	TRATTA A SUD DI BARI – VARIANTE DI TRACCIATO TRA BARI CENTRALE E BARI TORRE A MARE					
PROGETTO ESECUTIVO: Relazione di calcolo pensilina	PROGETTO	LOTTO	CODIFICA	DOCUMENTO	REV.	FOGLIO
	IA3S	01	E ZZ CL	FV030C 001	C	128 DI 129

Nome	Combinazione	Cs
Trave 333: Nodi[1167,1168] Tipo:Acciaio		39 6.403
Trave 326: Nodi[1160,1161] Tipo:Acciaio		39 6.403
Trave 328: Nodi[1162,1163] Tipo:Acciaio		39 6.403
Trave 331: Nodi[1165,1166] Tipo:Acciaio		39 6.403
Trave 370: Nodi[1205,1206] Tipo:Acciaio		39 6.403
Trave 368: Nodi[1203,1204] Tipo:Acciaio		39 6.403
Trave 375: Nodi[1210,1211] Tipo:Acciaio		39 6.403
Trave 342: Nodi[1176,1177] Tipo:Acciaio		39 6.403
Trave 355: Nodi[1189,1190] Tipo:Acciaio		39 6.403
Trave 354: Nodi[1188,1189] Tipo:Acciaio		39 6.403
Trave 389: Nodi[1224,1225] Tipo:Acciaio		39 6.403
Trave 352: Nodi[1186,1187] Tipo:Acciaio		39 6.403
Trave 397: Nodi[1232,1233] Tipo:Acciaio		39 6.403
Trave 384: Nodi[1219,1220] Tipo:Acciaio		39 6.403
Trave 394: Nodi[1229,1230] Tipo:Acciaio		39 6.403
Trave 379: Nodi[1214,1215] Tipo:Acciaio		39 6.403
Trave 396: Nodi[1231,1232] Tipo:Acciaio		39 6.403
Trave 337: Nodi[1171,1172] Tipo:Acciaio		39 6.403
Trave 347: Nodi[1181,1182] Tipo:Acciaio		39 6.403
Trave 315: Nodi[1107,1108] Tipo:Acciaio		39 5.635
Trave 268: Nodi[1066,1067] Tipo:Acciaio		39 5.635
Trave 483: Nodi[1361,1362] Tipo:Acciaio		39 5.239
Trave 442: Nodi[1320,1321] Tipo:Acciaio		39 5.014
Trave 441: Nodi[1318,1319] Tipo:Acciaio		39 4.954
Trave 400: Nodi[1277,1278] Tipo:Acciaio		39 4.733
Trave 316: Nodi[1150,1151] Tipo:Acciaio		39 4.696
Trave 357: Nodi[1191,1192] Tipo:Acciaio		39 4.696
Trave 358: Nodi[1193,1194] Tipo:Acciaio		39 4.696
Trave 399: Nodi[1234,1235] Tipo:Acciaio		39 4.696
Minimi		4.696

APPALTATORE: D'AGOSTINO ANGELO ANTONIO COSTRUZIONI GENERALI s.r.l.	RIASSETTO NODO DI BARI					
PROGETTISTA: <u>Mandatario:</u> <u>Mandante:</u> RPA srl Technital SpA HUB Engineering Scarl	TRATTA A SUD DI BARI – VARIANTE DI TRACCIATO TRA BARI CENTRALE E BARI TORRE A MARE					
PROGETTO ESECUTIVO: Relazione di calcolo pensilina	PROGETTO IA3S	LOTTO 01	CODIFICA E ZZ CL	DOCUMENTO FV030C 001	REV. C	FOGLIO 129 DI 129

10.ALLEGATO FASCICOLO DEI CALCOLI

In allegato si riporta il fascicolo dei calcoli completo della struttura oggetto di analisi.

FASCICOLO DEI CALCOLI

DIMOSTRAZIONE NUMERICA DELLA SICUREZZA DELL'OPERA E DEL
RAGGIUNGIMENTO DELLE PRESTAZIONI ATTESE

Pensilina in acciaio

Sommario

1.	Modellazione	3
2.	Affidabilità dei codici utilizzati	3
3.	Presentazione dei risultati	4
4.	Tabulati di input	6
	Dati generali	6
	Impalcati.....	6
	Percentuali Spostamento masse impalcati	6
	Combinazioni del Sisma in X e Y e Verticale	7
	Nodi - Geometria e vincoli	7
	Nodi - Carichi	12
	Input - Aste - Tabella sezioni tipo	12
	Aste - Geometria e vincoli	12
	Aste - Carichi.....	23
	Tabella solai tipo	98
	Plinti - Geometria e vincoli.....	99
5.	Tabulati di verifica	99
	Centri di rigidezza e Centri di massa	99
	Risultati Analisi Dinamica - Baricentri masse e masse	99
	Taglianti di piano	100
	Verifica Degli Spostamenti Relativi SLD	103
	Verifica Degli Spostamenti Relativi SLO.....	103
	Periodi di vibrazione e Masse modali	104
6.	Verifiche stato limite ultimo	106
	Verifica Plinti	106
	Verifica dei Dadi di base.....	109
	Verifica Stabilità aste Metalliche	113
	Verifica Resistenza aste Metalliche	135
7.	Verifiche stato limite di esercizio	280
	Verifica Plinti (Stati limite esercizio).....	280
	Verifica delle travi collegamento plinti (Stati limite esercizio)	284
	Verifica dei dadi di base (Stati limite esercizio).....	291
	Verifica spostamenti verticali delle aste in Acciaio secondo NTC 2008.....	296
	Verifica spostamenti laterali delle colonne in acciaio secondo NTC 2008.....	388

Il Progettista

1. Modellazione

La struttura è costituita da diversi elementi distinti, in base alla loro funzione, in:

- Rampe disabili e scale (analizzata in altro documento)
- Plinti di fondazione;
- Travi di fondazione collegamento dei plinti;
- Dado di connessione plinto/pilatri in elevazione;
- Pilastrini in acciaio (HE260B);
- Travi principali direzione X (HE260B);
- Travi principali direzione Y (HE220B);
- Travi perimetrali (UPN260);
- Travi secondarie / arcarecci (IPE100);
- Controventi di copertura in acciaio (Ø20).

I livelli di sicurezza scelti dal Committente e dal Progettista in funzione del tipo e dell'uso della struttura, nonché in funzione delle conseguenze del danno, con riguardo a persone, beni, e possibile turbativa sociale, compreso il costo delle opere necessarie per la riduzione del rischio di danno o di collasso, hanno indirizzato al progetto di una struttura con i seguenti requisiti:

- sicurezza nei confronti degli Stati Limite Ultimi (SLU);
- sicurezza nei confronti degli Stati Limite di Esercizio (SLE).

La struttura è stata schematizzata attraverso un modello spaziale agli elementi finiti che tenga conto dell'effettivo stato deformativo e di sollecitazione, secondo l'effettiva realizzazione.

I vincoli esterni della struttura sono stati caratterizzati, a seconda della presenza degli elementi di fondazione, con: travi winkler, plinti diretti, plinti su pali, platee, ovvero con vincoli perfetti di incastro, appoggio, carrello, ecc.

I vincoli interni sono stati schematizzati secondo le sollecitazioni mutuamente scambiate tra gli elementi strutturali, inserendo, ove opportuno, il rilascio di alcune caratteristiche della sollecitazione per schematizzare il comportamento di vincoli interni non iperstatici (cerniere, carrelli, ecc.).

Il modello agli elementi finiti è stato calcolato tenendo conto dell'interazione tra strutture in fondazione e strutture in elevazione, consentendo un'accurata distribuzione delle azioni statiche e sismiche; il calcolo è stato eseguito considerando che la struttura abbia un comportamento elastico lineare.

I solai sono schematizzati come aree di carico, sulle quali vengono definiti i carichi permanenti (QP Solai), i carichi fissi (QFissi Solai) e i carichi variabili (QV solai); tali carichi sono assegnati alle aste in modo automatico in relazione all'influenza delle diverse aree di carico. Le masse corrispondenti ai carichi variabili sui solai nelle combinazioni sismiche sono state trattate in maniera automatica mediante un coefficiente moltiplicativo, definito in funzione della tipologia del solaio.

Il modello utilizzato è stato valutato alla luce dei diversi scenari di carico a cui la struttura è sottoposta durante la sua costruzione e la sua vita, al fine di garantire la sicurezza e la durabilità della stessa. Per la tipologia strutturale affrontata non è stato necessario definire scenari di contingenza; pertanto non si è tenuto conto delle fasi costruttive della struttura e, inoltre, si ritiene che non ci siano variazioni del modello di calcolo e degli schemi di vincolo, durante la vita dell'opera. Per il dettaglio degli scenari di calcolo si faccia riferimento alla "Relazione di Calcolo".

Il progetto e la verifica degli elementi strutturali è stato effettuato seguendo la teoria degli Stati limite. I parametri relativi alle verifiche effettuate sono riportati nella Relazione di Calcolo.

Il solutore agli elementi finiti impiegato nell'analisi è SpaceSolver, per il calcolo di strutture piane e spaziali schematizzabili da un insieme di elementi finiti tipo:

- BEAM
- PLATE-SHELL
- WINK
- BOUNDARY

Questi elementi interagiscono tra loro attraverso i nodi, con la possibilità di tenere in conto tutti i possibili disassamenti, mediante l'introduzione di concetti rigidi e traslazioni degli elementi bidimensionali. Il solutore lavora in campo elastico lineare, si basa sulle routines di Matlab ed è stato sviluppato in collaborazione con l'Università di Roma – Tor Vergata. Il solutore offre la possibilità di risolvere anche travi su suolo alla Winkler con molle spalmate sull'intera suola, anziché sul solo asse, plinti diretti e su pali, pali singoli, platee, piastre sottili e spesse, con controllo delle rotazioni attorno all'asse normale alla piastra (drilling). Inoltre, per gli elementi BEAM l'equilibrio è scritto rispetto alla linea dei centri di taglio anziché rispetto alla linea dei baricentri. L'affidabilità del solutore è stata testata su una serie di esempi campioni calcolati con altri procedimenti o con formule note, di cui si rende disponibile la documentazione.

2. Affidabilità dei codici utilizzati

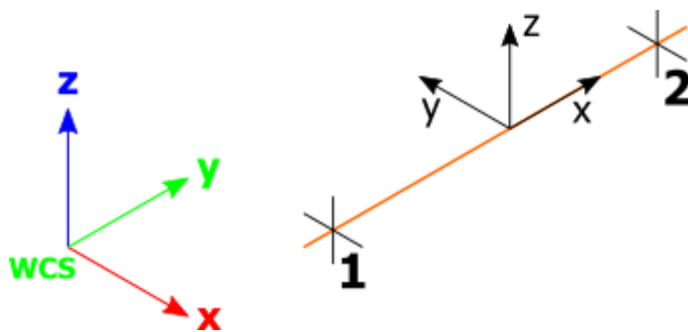
Il programma è dotato di una serie di filtri di auto diagnostica che segnalano i seguenti eventi:

- labilità della struttura;
- assenza di masse;

- nodi collegati ad aste nulle;
- mancanza di terreno sugli elementi in fondazione;
- controllo sull'assegnazione dei nodi all'impalcato;
- correttezza degli spettri di progetto;
- fattori di partecipazione modali;
- assegnazione dei criteri di verifica agli elementi;
- numerazione degli elementi strutturali;
- congruenza delle connessioni tra elementi shell;
- congruenza delle aree di carico;
- definizione delle caratteristiche d'inerzia delle sezioni;
- presenza del magrone sotto la travi tipo wink;
- elementi non verificati per semi progetto allo SLU, con inserimento automatico delle armature secondo i criteri di verifica;
- elementi non verificati allo SLU per armature già inserite nell'elemento strutturale;
- elementi non verificati allo SLE per armature già inserite nell'elemento strutturale.

3. Presentazione dei risultati

I disegni dello schema statico adottato sono riportati nel fascicolo allegato alla presente relazione. E' stato impiegato il Sistema Internazionale per le unità di misura, con riferimento al daN per le forze.



Il sistema di riferimento globale rispetto al quale è stata riferita l'intera struttura è una terna di assi cartesiani sinistrorsa OXYZ (X,Y, e Z sono disposti e orientati rispettivamente secondo il pollice, l'indice ed il medio della mano destra, una volta posizionati questi ultimi a 90° tra loro). La terna di riferimento locale per un'asta è anch'essa una terna sinistrorsa O'xyz che ha l'asse x orientato dal nodo iniziale I dell'asta verso il nodo finale J e gli assi y e z diretti secondo gli assi geometrici della sezione, con l'asse y orizzontale e orientato in modo da portarsi a coincidere con l'asse x a mezzo di una rotazione oraria di 90° e l'asse z di conseguenza.

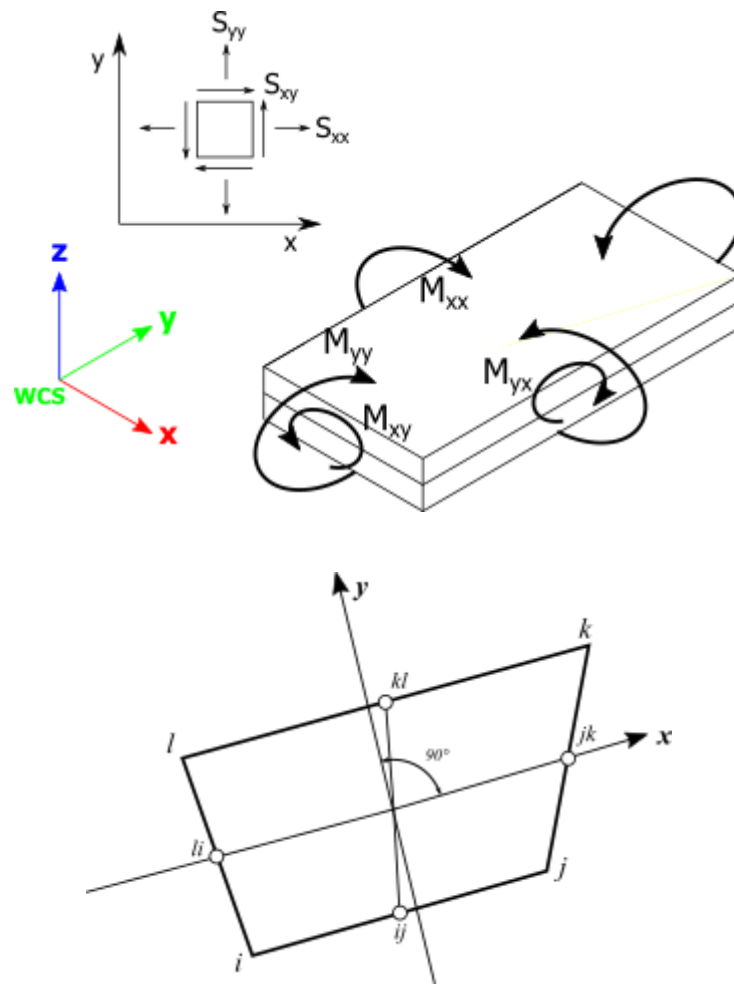
Per un'asta comunque disposta nello spazio la sua terna locale è orientata in modo tale da portarsi a coincidere con la terna globale a mezzo di rotazioni orarie degli assi locali inferiori a 180°.

- Le forze, sia sulle aste che sulle pareti o lastre, sono positive se opposte agli assi locali.
- Le forze nodali sono positive se opposte agli assi globali.
- Le coppie sono positive se sinistrorse.

Le caratteristiche di sollecitazione sono positive se sulla faccia di normale positiva sono rappresentate da vettori equiversi agli assi di riferimento locali; in particolare il vettore momento positivo rappresenta una coppia che ruota come le dita della mano destra che si chiudono quando il pollice è equiverso all'asse locale.

- Le traslazioni sono positive se concordi con gli assi globali.
- Le rotazioni sono positive se sinistrorse.

Il sistema di riferimento locale per gli elementi bidimensionali è quello riportato nelle figure seguenti.



La terna locale per l'elemento shell è costituita dall'asse x locale che va dal nodo li al nodo jk, l'asse y è diretto secondo il piano dell'elemento e orientato verso il nodo i e l'asse z, di conseguenza, è orientato in modo da formare la solita terna sinistrorsa. L'asse z locale rappresenta la normale positiva all'elemento.

Le sollecitazioni dell'elemento sono:

- Sforzi membranali
 - $S_{xx} = \sigma_x$
 - $S_{yy} = \sigma_y$
 - $S_{xy} = \tau_{xy}$
- Sforzi flessionali (momenti)
 - M_{xx} , momento che genera σ_x (intorno ad y)
 - M_{yy} , momento che genera σ_y (intorno a x)
 - M_{xy} , momento torcente che genera τ_{xy}

Le sollecitazioni principali dell'elemento sono:

$$M_{1,2} = \frac{M_{xx} + M_{yy}}{2} \pm \sqrt{\left(\frac{M_{xx} - M_{yy}}{2}\right)^2 + M_{xy}^2}$$

$$S_{1,2} = \frac{S_{xx} + S_{yy}}{2} \pm \sqrt{\left(\frac{S_{xx} - S_{yy}}{2}\right)^2 + S_{xy}^2}$$

$$\tan 2\theta = \frac{M_{xy}}{M_{xx} - M_{yy}} \quad \tan 2\psi = \frac{S_{xy}}{S_{xx} - S_{yy}}$$

dove θ è l'angolo formato dagli assi principali di M_1 e M_2 con quelli di riferimento e ψ è l'angolo formato dagli assi principali di S_1 e S_2 con quelli di riferimento. L'elemento shell usato come piastra fornisce i momenti flettenti e non i tagli in direzione ortogonale all'elemento, che possono ottenersi come derivazione dei momenti flettenti;

$$\tau_{zx} = M_{xx,x} + M_{xy,y}$$

$$\tau_{zy} = M_{xy,y} + M_{yy,y}$$

Quando invece viene usato come lastra ci restituisce valori di σ e τ costanti, non adatti a rappresentare momenti flettenti, ma solo sforzi normali e tagli nel piano della lastra.

I tabulati di calcolo contengono due sezioni principali: la descrizione del modello di calcolo e la presentazione dei risultati. La descrizione del modello di calcolo contiene:

- i dati generali (dimensioni);
- le coordinate nodali;
- i vincoli dei nodi e i vincoli interni delle aste, con le eventuali sconnessioni;
- le caratteristiche sezionali;
- le caratteristiche dei solai;
- le caratteristiche delle aste;
- i carichi sulle aste, sui nodi e sui muri (inclusa la distribuzione delle distorsioni impresse, e delle variazioni e dei gradienti di temperatura);
- configurazione di sistemi che introducono stati coattivi;
- le caratteristiche dei materiali;
- legami costitutivi e criteri di verifica;
- le condizioni di carico.

La stampa dei risultati contiene:

- le combinazioni dei carichi;
- le forze sismiche agenti sulla struttura;
- gli spostamenti d'impalcato, se l'impalcato è rigido;
- gli spostamenti nodali;
- le sollecitazioni sulle membrature per ogni combinazione di carico;
- la sollecitazione sul terreno sotto travi di fondazione o platee;
- deformate;
- diagrammi sollecitazioni.

4. Tabulati di input

Dati generali

Nome struttura	Pensilina in acciaio - Triggiano
Temperatura di riferimento [°C]	0
Fattore rigidezza assiale pilastri	1
Numero di frequenze	8
% Filtro masse libere	0.1
% Coefficiente di smorzamento viscoso	5
Spostamenti modali con segno	Si
Deformabilità a taglio delle aste	Si
Impalcati deformabili per carichi termici	No
Spostamento ammissibile impalcati	0.0050*h

Impalcati

N°	Quota mm	Rigido mm	Incr.Soll.Pil	Inc.Soll.Par.
0	0	No	1.000	1.000
1	4647	No	1.000	1.000

Percentuali Spostamento masse impalcati

Posizione	% Spostamento direzione X	% Spostamento direzione Y
1	0	-5
2	5	0
3	0	5
4	-5	0

Combinazioni del Sisma in X e Y e Verticale

Comb.	Pos. SismaX	Pos. SismaY	Fx	Fy	Fz
1	1	2	1	0.3	0.3
2	1	2	0.3	1	0.3
3	1	4	1	0.3	0.3
4	1	4	0.3	1	0.3
5	3	2	1	0.3	0.3
6	3	2	0.3	1	0.3
7	3	4	1	0.3	0.3
8	3	4	0.3	1	0.3
9	1	2	0.3	0.3	1
10	1	4	0.3	0.3	1
11	3	2	0.3	0.3	1
12	3	4	0.3	0.3	1

Comb. Numero di combinazione dei sismi
 Pos. SismaX Posizione in cui viene scelto il sisma in direzione X
 Pos. SismaY Posizione in cui viene scelto il sisma in direzione Y
 Fx Fattore con cui il sisma X partecipa
 Fy Fattore con cui il sisma Y partecipa
 Fz Fattore con cui il sisma Verticale partecipa (quando richiesto)

Ogni combinazione genera al massimo 8 sotto-combinazioni in base a tutte le combinazioni possibili dei segni di Fx ed Fy ed Fz.

Nodi - Geometria e vincoli

Nodo	X	Y	Z	Tx	Ty	Tz	Rx	Ry	Rz	Impalcato
1001	1100	250	4584	0	0	0	0	0	0	1
1002	8300	250	4584	0	0	0	0	0	0	1
1003	15500	250	4584	0	0	0	0	0	0	1
1004	22700	250	4584	0	0	0	0	0	0	1
1005	29900	250	4584	0	0	0	0	0	0	1
1006	37100	250	4584	0	0	0	0	0	0	1
1007	44300	250	4584	0	0	0	0	0	0	1
1008	51500	250	4584	0	0	0	0	0	0	1
1009	58700	250	4584	0	0	0	0	0	0	1
1010	65900	250	4584	0	0	0	0	0	0	1
1011	73100	250	4584	0	0	0	0	0	0	1
1012	1100	4750	4647	0	0	0	0	0	0	1
1013	8300	4750	4647	0	0	0	0	0	0	1
1014	15500	4750	4647	0	0	0	0	0	0	1
1015	22700	4750	4647	0	0	0	0	0	0	1
1016	29900	4750	4647	0	0	0	0	0	0	1
1017	37100	4750	4647	0	0	0	0	0	0	1
1018	44300	4750	4647	0	0	0	0	0	0	1
1019	51500	4750	4647	0	0	0	0	0	0	1
1020	58700	4750	4647	0	0	0	0	0	0	1
1021	65900	4750	4647	0	0	0	0	0	0	1
1022	73100	4750	4647	0	0	0	0	0	0	1
1023	-900	-2250	4550	0	0	0	0	0	0	1
1024	1100	-2250	4550	0	0	0	0	0	0	1
1025	2900	-2250	4550	0	0	0	0	0	0	1
1026	4700	-2250	4550	0	0	0	0	0	0	1
1027	6500	-2250	4550	0	0	0	0	0	0	1
1028	8300	-2250	4550	0	0	0	0	0	0	1
1029	10100	-2250	4550	0	0	0	0	0	0	1
1030	11900	-2250	4550	0	0	0	0	0	0	1
1031	13700	-2250	4550	0	0	0	0	0	0	1
1032	15500	-2250	4550	0	0	0	0	0	0	1
1033	17300	-2250	4550	0	0	0	0	0	0	1
1034	19100	-2250	4550	0	0	0	0	0	0	1
1035	20900	-2250	4550	0	0	0	0	0	0	1
1036	22700	-2250	4550	0	0	0	0	0	0	1
1037	24500	-2250	4550	0	0	0	0	0	0	1
1038	26300	-2250	4550	0	0	0	0	0	0	1
1039	28100	-2250	4550	0	0	0	0	0	0	1
1040	29900	-2250	4550	0	0	0	0	0	0	1
1041	31700	-2250	4550	0	0	0	0	0	0	1
1042	33500	-2250	4550	0	0	0	0	0	0	1
1043	35300	-2250	4550	0	0	0	0	0	0	1
1044	37100	-2250	4550	0	0	0	0	0	0	1

Nodo	X	Y	Z	Tx	Ty	Tz	Rx	Ry	Rz	Impalcato
1045	38900	-2250	4550	0	0	0	0	0	0	1
1046	40700	-2250	4550	0	0	0	0	0	0	1
1047	42500	-2250	4550	0	0	0	0	0	0	1
1048	44300	-2250	4550	0	0	0	0	0	0	1
1049	46100	-2250	4550	0	0	0	0	0	0	1
1050	47900	-2250	4550	0	0	0	0	0	0	1
1051	49700	-2250	4550	0	0	0	0	0	0	1
1052	51500	-2250	4550	0	0	0	0	0	0	1
1053	53300	-2250	4550	0	0	0	0	0	0	1
1054	55100	-2250	4550	0	0	0	0	0	0	1
1055	56900	-2250	4550	0	0	0	0	0	0	1
1056	58700	-2250	4550	0	0	0	0	0	0	1
1057	60500	-2250	4550	0	0	0	0	0	0	1
1058	62300	-2250	4550	0	0	0	0	0	0	1
1059	64100	-2250	4550	0	0	0	0	0	0	1
1060	65900	-2250	4550	0	0	0	0	0	0	1
1061	67700	-2250	4550	0	0	0	0	0	0	1
1062	69500	-2250	4550	0	0	0	0	0	0	1
1063	71300	-2250	4550	0	0	0	0	0	0	1
1064	73100	-2250	4550	0	0	0	0	0	0	1
1065	75100	-2250	4550	0	0	0	0	0	0	1
1066	-900	-1000	4567	0	0	0	0	0	0	1
1067	1100	-1000	4567	0	0	0	0	0	0	1
1068	2900	-1000	4567	0	0	0	0	0	0	1
1069	4700	-1000	4567	0	0	0	0	0	0	1
1070	6500	-1000	4567	0	0	0	0	0	0	1
1071	8300	-1000	4567	0	0	0	0	0	0	1
1072	10100	-1000	4567	0	0	0	0	0	0	1
1073	11900	-1000	4567	0	0	0	0	0	0	1
1074	13700	-1000	4567	0	0	0	0	0	0	1
1075	15500	-1000	4567	0	0	0	0	0	0	1
1076	17300	-1000	4567	0	0	0	0	0	0	1
1077	19100	-1000	4567	0	0	0	0	0	0	1
1078	20900	-1000	4567	0	0	0	0	0	0	1
1079	22700	-1000	4567	0	0	0	0	0	0	1
1080	24500	-1000	4567	0	0	0	0	0	0	1
1081	26300	-1000	4567	0	0	0	0	0	0	1
1082	28100	-1000	4567	0	0	0	0	0	0	1
1083	29900	-1000	4567	0	0	0	0	0	0	1
1084	31700	-1000	4567	0	0	0	0	0	0	1
1085	33500	-1000	4567	0	0	0	0	0	0	1
1086	35300	-1000	4567	0	0	0	0	0	0	1
1087	37100	-1000	4567	0	0	0	0	0	0	1
1088	38900	-1000	4567	0	0	0	0	0	0	1
1089	40700	-1000	4567	0	0	0	0	0	0	1
1090	42500	-1000	4567	0	0	0	0	0	0	1
1091	44300	-1000	4567	0	0	0	0	0	0	1
1092	46100	-1000	4567	0	0	0	0	0	0	1
1093	47900	-1000	4567	0	0	0	0	0	0	1
1094	49700	-1000	4567	0	0	0	0	0	0	1
1095	51500	-1000	4567	0	0	0	0	0	0	1
1096	53300	-1000	4567	0	0	0	0	0	0	1
1097	55100	-1000	4567	0	0	0	0	0	0	1
1098	56900	-1000	4567	0	0	0	0	0	0	1
1099	58700	-1000	4567	0	0	0	0	0	0	1
1100	60500	-1000	4567	0	0	0	0	0	0	1
1101	62300	-1000	4567	0	0	0	0	0	0	1
1102	64100	-1000	4567	0	0	0	0	0	0	1
1103	65900	-1000	4567	0	0	0	0	0	0	1
1104	67700	-1000	4567	0	0	0	0	0	0	1
1105	69500	-1000	4567	0	0	0	0	0	0	1
1106	71300	-1000	4567	0	0	0	0	0	0	1
1107	73100	-1000	4567	0	0	0	0	0	0	1
1108	75100	-1000	4567	0	0	0	0	0	0	1
1109	-900	250	4584	0	0	0	0	0	0	1
1111	2900	250	4584	0	0	0	0	0	0	1
1112	4700	250	4584	0	0	0	0	0	0	1
1113	6500	250	4584	0	0	0	0	0	0	1
1115	10100	250	4584	0	0	0	0	0	0	1
1116	11900	250	4584	0	0	0	0	0	0	1
1117	13700	250	4584	0	0	0	0	0	0	1
1118	17300	250	4584	0	0	0	0	0	0	1
1119	19100	250	4584	0	0	0	0	0	0	1
1120	20900	250	4584	0	0	0	0	0	0	1
1122	24500	250	4584	0	0	0	0	0	0	1
1123	26300	250	4584	0	0	0	0	0	0	1

Nodo	X	Y	Z	Tx	Ty	Tz	Rx	Ry	Rz	Impalcato
1124	28100	250	4584	0	0	0	0	0	0	1
1126	31700	250	4584	0	0	0	0	0	0	1
1127	33500	250	4584	0	0	0	0	0	0	1
1128	35300	250	4584	0	0	0	0	0	0	1
1130	38900	250	4584	0	0	0	0	0	0	1
1131	40700	250	4584	0	0	0	0	0	0	1
1132	42500	250	4584	0	0	0	0	0	0	1
1134	46100	250	4584	0	0	0	0	0	0	1
1135	47900	250	4584	0	0	0	0	0	0	1
1136	49700	250	4584	0	0	0	0	0	0	1
1137	53300	250	4584	0	0	0	0	0	0	1
1138	55100	250	4584	0	0	0	0	0	0	1
1139	56900	250	4584	0	0	0	0	0	0	1
1141	60500	250	4584	0	0	0	0	0	0	1
1142	62300	250	4584	0	0	0	0	0	0	1
1143	64100	250	4584	0	0	0	0	0	0	1
1145	67700	250	4584	0	0	0	0	0	0	1
1146	69500	250	4584	0	0	0	0	0	0	1
1147	71300	250	4584	0	0	0	0	0	0	1
1149	75100	250	4584	0	0	0	0	0	0	1
1150	-900	1750	4605	0	0	0	0	0	0	1
1151	1100	1750	4605	0	0	0	0	0	0	1
1152	2900	1750	4605	0	0	0	0	0	0	1
1153	4700	1750	4605	0	0	0	0	0	0	1
1154	6500	1750	4605	0	0	0	0	0	0	1
1155	8300	1750	4605	0	0	0	0	0	0	1
1156	10100	1750	4605	0	0	0	0	0	0	1
1157	11900	1750	4605	0	0	0	0	0	0	1
1158	13700	1750	4605	0	0	0	0	0	0	1
1159	15500	1750	4605	0	0	0	0	0	0	1
1160	17300	1750	4605	0	0	0	0	0	0	1
1161	19100	1750	4605	0	0	0	0	0	0	1
1162	20900	1750	4605	0	0	0	0	0	0	1
1163	22700	1750	4605	0	0	0	0	0	0	1
1164	24500	1750	4605	0	0	0	0	0	0	1
1165	26300	1750	4605	0	0	0	0	0	0	1
1166	28100	1750	4605	0	0	0	0	0	0	1
1167	29900	1750	4605	0	0	0	0	0	0	1
1168	31700	1750	4605	0	0	0	0	0	0	1
1169	33500	1750	4605	0	0	0	0	0	0	1
1170	35300	1750	4605	0	0	0	0	0	0	1
1171	37100	1750	4605	0	0	0	0	0	0	1
1172	38900	1750	4605	0	0	0	0	0	0	1
1173	40700	1750	4605	0	0	0	0	0	0	1
1174	42500	1750	4605	0	0	0	0	0	0	1
1175	44300	1750	4605	0	0	0	0	0	0	1
1176	46100	1750	4605	0	0	0	0	0	0	1
1177	47900	1750	4605	0	0	0	0	0	0	1
1178	49700	1750	4605	0	0	0	0	0	0	1
1179	51500	1750	4605	0	0	0	0	0	0	1
1180	53300	1750	4605	0	0	0	0	0	0	1
1181	55100	1750	4605	0	0	0	0	0	0	1
1182	56900	1750	4605	0	0	0	0	0	0	1
1183	58700	1750	4605	0	0	0	0	0	0	1
1184	60500	1750	4605	0	0	0	0	0	0	1
1185	62300	1750	4605	0	0	0	0	0	0	1
1186	64100	1750	4605	0	0	0	0	0	0	1
1187	65900	1750	4605	0	0	0	0	0	0	1
1188	67700	1750	4605	0	0	0	0	0	0	1
1189	69500	1750	4605	0	0	0	0	0	0	1
1190	71300	1750	4605	0	0	0	0	0	0	1
1191	73100	1750	4605	0	0	0	0	0	0	1
1192	75100	1750	4605	0	0	0	0	0	0	1
1193	-900	3250	4626	0	0	0	0	0	0	1
1194	1100	3250	4626	0	0	0	0	0	0	1
1195	2900	3250	4626	0	0	0	0	0	0	1
1196	4700	3250	4626	0	0	0	0	0	0	1
1197	6500	3250	4626	0	0	0	0	0	0	1
1198	8300	3250	4626	0	0	0	0	0	0	1
1199	10100	3250	4626	0	0	0	0	0	0	1
1200	11900	3250	4626	0	0	0	0	0	0	1
1201	13700	3250	4626	0	0	0	0	0	0	1
1202	15500	3250	4626	0	0	0	0	0	0	1
1203	17300	3250	4626	0	0	0	0	0	0	1
1204	19100	3250	4626	0	0	0	0	0	0	1
1205	20900	3250	4626	0	0	0	0	0	0	1

Nodo	X	Y	Z	Tx	Ty	Tz	Rx	Ry	Rz	Impalcato
1206	22700	3250	4626	0	0	0	0	0	0	1
1207	24500	3250	4626	0	0	0	0	0	0	1
1208	26300	3250	4626	0	0	0	0	0	0	1
1209	28100	3250	4626	0	0	0	0	0	0	1
1210	29900	3250	4626	0	0	0	0	0	0	1
1211	31700	3250	4626	0	0	0	0	0	0	1
1212	33500	3250	4626	0	0	0	0	0	0	1
1213	35300	3250	4626	0	0	0	0	0	0	1
1214	37100	3250	4626	0	0	0	0	0	0	1
1215	38900	3250	4626	0	0	0	0	0	0	1
1216	40700	3250	4626	0	0	0	0	0	0	1
1217	42500	3250	4626	0	0	0	0	0	0	1
1218	44300	3250	4626	0	0	0	0	0	0	1
1219	46100	3250	4626	0	0	0	0	0	0	1
1220	47900	3250	4626	0	0	0	0	0	0	1
1221	49700	3250	4626	0	0	0	0	0	0	1
1222	51500	3250	4626	0	0	0	0	0	0	1
1223	53300	3250	4626	0	0	0	0	0	0	1
1224	55100	3250	4626	0	0	0	0	0	0	1
1225	56900	3250	4626	0	0	0	0	0	0	1
1226	58700	3250	4626	0	0	0	0	0	0	1
1227	60500	3250	4626	0	0	0	0	0	0	1
1228	62300	3250	4626	0	0	0	0	0	0	1
1229	64100	3250	4626	0	0	0	0	0	0	1
1230	65900	3250	4626	0	0	0	0	0	0	1
1231	67700	3250	4626	0	0	0	0	0	0	1
1232	69500	3250	4626	0	0	0	0	0	0	1
1233	71300	3250	4626	0	0	0	0	0	0	1
1234	73100	3250	4626	0	0	0	0	0	0	1
1235	75100	3250	4626	0	0	0	0	0	0	1
1236	-900	4750	4647	0	0	0	0	0	0	1
1238	2900	4750	4647	0	0	0	0	0	0	1
1239	4700	4750	4647	0	0	0	0	0	0	1
1240	6500	4750	4647	0	0	0	0	0	0	1
1242	10100	4750	4647	0	0	0	0	0	0	1
1243	11900	4750	4647	0	0	0	0	0	0	1
1244	13700	4750	4647	0	0	0	0	0	0	1
1245	17300	4750	4647	0	0	0	0	0	0	1
1246	19100	4750	4647	0	0	0	0	0	0	1
1247	20900	4750	4647	0	0	0	0	0	0	1
1249	24500	4750	4647	0	0	0	0	0	0	1
1250	26300	4750	4647	0	0	0	0	0	0	1
1251	28100	4750	4647	0	0	0	0	0	0	1
1253	31700	4750	4647	0	0	0	0	0	0	1
1254	33500	4750	4647	0	0	0	0	0	0	1
1255	35300	4750	4647	0	0	0	0	0	0	1
1257	38900	4750	4647	0	0	0	0	0	0	1
1258	40700	4750	4647	0	0	0	0	0	0	1
1259	42500	4750	4647	0	0	0	0	0	0	1
1261	46100	4750	4647	0	0	0	0	0	0	1
1262	47900	4750	4647	0	0	0	0	0	0	1
1263	49700	4750	4647	0	0	0	0	0	0	1
1264	53300	4750	4647	0	0	0	0	0	0	1
1265	55100	4750	4647	0	0	0	0	0	0	1
1266	56900	4750	4647	0	0	0	0	0	0	1
1268	60500	4750	4647	0	0	0	0	0	0	1
1269	62300	4750	4647	0	0	0	0	0	0	1
1270	64100	4750	4647	0	0	0	0	0	0	1
1272	67700	4750	4647	0	0	0	0	0	0	1
1273	69500	4750	4647	0	0	0	0	0	0	1
1274	71300	4750	4647	0	0	0	0	0	0	1
1276	75100	4750	4647	0	0	0	0	0	0	1
1277	-900	6090	4665	0	0	0	0	0	0	1
1278	1100	6090	4665	0	0	0	0	0	0	1
1279	2900	6090	4665	0	0	0	0	0	0	1
1280	4700	6090	4665	0	0	0	0	0	0	1
1281	6500	6090	4665	0	0	0	0	0	0	1
1282	8300	6090	4665	0	0	0	0	0	0	1
1283	10100	6090	4665	0	0	0	0	0	0	1
1284	11900	6090	4665	0	0	0	0	0	0	1
1285	13700	6090	4665	0	0	0	0	0	0	1
1286	15500	6090	4665	0	0	0	0	0	0	1
1287	17300	6090	4665	0	0	0	0	0	0	1
1288	19100	6090	4665	0	0	0	0	0	0	1
1289	20900	6090	4665	0	0	0	0	0	0	1
1290	22700	6090	4665	0	0	0	0	0	0	1

Nodo	X	Y	Z	Tx	Ty	Tz	Rx	Ry	Rz	Impalcato
1291	24500	6090	4665	0	0	0	0	0	0	1
1292	26300	6090	4665	0	0	0	0	0	0	1
1293	28100	6090	4665	0	0	0	0	0	0	1
1294	29900	6090	4665	0	0	0	0	0	0	1
1295	31700	6090	4665	0	0	0	0	0	0	1
1296	33500	6090	4665	0	0	0	0	0	0	1
1297	35300	6090	4665	0	0	0	0	0	0	1
1298	37100	6090	4665	0	0	0	0	0	0	1
1299	38900	6090	4665	0	0	0	0	0	0	1
1300	40700	6090	4665	0	0	0	0	0	0	1
1301	42500	6090	4665	0	0	0	0	0	0	1
1302	44300	6090	4665	0	0	0	0	0	0	1
1303	46100	6090	4665	0	0	0	0	0	0	1
1304	47900	6090	4665	0	0	0	0	0	0	1
1305	49700	6090	4665	0	0	0	0	0	0	1
1306	51500	6090	4665	0	0	0	0	0	0	1
1307	53300	6090	4665	0	0	0	0	0	0	1
1308	55100	6090	4665	0	0	0	0	0	0	1
1309	56900	6090	4665	0	0	0	0	0	0	1
1310	58700	6090	4665	0	0	0	0	0	0	1
1311	60500	6090	4665	0	0	0	0	0	0	1
1312	62300	6090	4665	0	0	0	0	0	0	1
1313	64100	6090	4665	0	0	0	0	0	0	1
1314	65900	6090	4665	0	0	0	0	0	0	1
1315	67700	6090	4665	0	0	0	0	0	0	1
1316	69500	6090	4665	0	0	0	0	0	0	1
1317	71300	6090	4665	0	0	0	0	0	0	1
1318	73100	6090	4665	0	0	0	0	0	0	1
1319	75100	6090	4665	0	0	0	0	0	0	1
1320	-900	7430	4684	0	0	0	0	0	0	1
1321	1100	7430	4684	0	0	0	0	0	0	1
1322	2900	7430	4684	0	0	0	0	0	0	1
1323	4700	7430	4684	0	0	0	0	0	0	1
1324	6500	7430	4684	0	0	0	0	0	0	1
1325	8300	7430	4684	0	0	0	0	0	0	1
1326	10100	7430	4684	0	0	0	0	0	0	1
1327	11900	7430	4684	0	0	0	0	0	0	1
1328	13700	7430	4684	0	0	0	0	0	0	1
1329	15500	7430	4684	0	0	0	0	0	0	1
1330	17300	7430	4684	0	0	0	0	0	0	1
1331	19100	7430	4684	0	0	0	0	0	0	1
1332	20900	7430	4684	0	0	0	0	0	0	1
1333	22700	7430	4684	0	0	0	0	0	0	1
1334	24500	7430	4684	0	0	0	0	0	0	1
1335	26300	7430	4684	0	0	0	0	0	0	1
1336	28100	7430	4684	0	0	0	0	0	0	1
1337	29900	7430	4684	0	0	0	0	0	0	1
1338	31700	7430	4684	0	0	0	0	0	0	1
1339	33500	7430	4684	0	0	0	0	0	0	1
1340	35300	7430	4684	0	0	0	0	0	0	1
1341	37100	7430	4684	0	0	0	0	0	0	1
1342	38900	7430	4684	0	0	0	0	0	0	1
1343	40700	7430	4684	0	0	0	0	0	0	1
1344	42500	7430	4684	0	0	0	0	0	0	1
1345	44300	7430	4684	0	0	0	0	0	0	1
1346	46100	7430	4684	0	0	0	0	0	0	1
1347	47900	7430	4684	0	0	0	0	0	0	1
1348	49700	7430	4684	0	0	0	0	0	0	1
1349	51500	7430	4684	0	0	0	0	0	0	1
1350	53300	7430	4684	0	0	0	0	0	0	1
1351	55100	7430	4684	0	0	0	0	0	0	1
1352	56900	7430	4684	0	0	0	0	0	0	1
1353	58700	7430	4684	0	0	0	0	0	0	1
1354	60500	7430	4684	0	0	0	0	0	0	1
1355	62300	7430	4684	0	0	0	0	0	0	1
1356	64100	7430	4684	0	0	0	0	0	0	1
1357	65900	7430	4684	0	0	0	0	0	0	1
1358	67700	7430	4684	0	0	0	0	0	0	1
1359	69500	7430	4684	0	0	0	0	0	0	1
1360	71300	7430	4684	0	0	0	0	0	0	1
1361	73100	7430	4684	0	0	0	0	0	0	1
1362	75100	7430	4684	0	0	0	0	0	0	1
1363	-900	8620	4700	0	0	0	0	0	0	1
1364	1100	8620	4700	0	0	0	0	0	0	1
1365	2900	8620	4700	0	0	0	0	0	0	1
1366	4700	8620	4700	0	0	0	0	0	0	1

Nodo	X	Y	Z	Tx	Ty	Tz	Rx	Ry	Rz	Impalcato
1367	6500	8620	4700	0	0	0	0	0	0	1
1368	8300	8620	4700	0	0	0	0	0	0	1
1369	10100	8620	4700	0	0	0	0	0	0	1
1370	11900	8620	4700	0	0	0	0	0	0	1
1371	13700	8620	4700	0	0	0	0	0	0	1
1372	15500	8620	4700	0	0	0	0	0	0	1
1373	17300	8620	4700	0	0	0	0	0	0	1
1374	19100	8620	4700	0	0	0	0	0	0	1
1375	20900	8620	4700	0	0	0	0	0	0	1
1376	22700	8620	4700	0	0	0	0	0	0	1
1377	24500	8620	4700	0	0	0	0	0	0	1
1378	26300	8620	4700	0	0	0	0	0	0	1
1379	28100	8620	4700	0	0	0	0	0	0	1
1380	29900	8620	4700	0	0	0	0	0	0	1
1381	31700	8620	4700	0	0	0	0	0	0	1
1382	33500	8620	4700	0	0	0	0	0	0	1
1383	35300	8620	4700	0	0	0	0	0	0	1
1384	37100	8620	4700	0	0	0	0	0	0	1
1385	38900	8620	4700	0	0	0	0	0	0	1
1386	40700	8620	4700	0	0	0	0	0	0	1
1387	42500	8620	4700	0	0	0	0	0	0	1
1388	44300	8620	4700	0	0	0	0	0	0	1
1389	46100	8620	4700	0	0	0	0	0	0	1
1390	47900	8620	4700	0	0	0	0	0	0	1
1391	49700	8620	4700	0	0	0	0	0	0	1
1392	51500	8620	4700	0	0	0	0	0	0	1
1393	53300	8620	4700	0	0	0	0	0	0	1
1394	55100	8620	4700	0	0	0	0	0	0	1
1395	56900	8620	4700	0	0	0	0	0	0	1
1396	58700	8620	4700	0	0	0	0	0	0	1
1397	60500	8620	4700	0	0	0	0	0	0	1
1398	62300	8620	4700	0	0	0	0	0	0	1
1399	64100	8620	4700	0	0	0	0	0	0	1
1400	65900	8620	4700	0	0	0	0	0	0	1
1401	67700	8620	4700	0	0	0	0	0	0	1
1402	69500	8620	4700	0	0	0	0	0	0	1
1403	71300	8620	4700	0	0	0	0	0	0	1
1404	73100	8620	4700	0	0	0	0	0	0	1
1405	75100	8620	4700	0	0	0	0	0	0	1

Nodi - Carichi

N°	Cond.	Fx	Fy	Fz	Mx	My	Mz	Tx	Ty	Tz	Rx	Ry	Rz	Δt
		kg			kg*m			mm			mrad			°C
1018	T.E. SLU	-426	-1377	1346	6893	1103	0							
1018	T.E. SLE	-284	-737	918	4622	737	0							
1018	T.E. Eccezionale	2000	0	0	0	0	0							

Input - Aste - Tabella sezioni tipo

Tipo	Nome	Raggio
	C	cm
	D20	1

Tipo	Nome	Area	Ix	Iy	It	Fx	Fy	Lx	Lx
G		m ²	m ⁴	m ⁴	m ⁴			cm	cm
	HE 260 B	0.0	1.492E-04	5.135E-05	1.238E-06	1.000	1.000	26	26
	UPN 260	0.0	4.823E-05	3.174E-06	2.577E-07	3.780	2.000	9	26
	HE 220 B	0.0	8.091E-05	2.843E-05	7.657E-07	1.000	1.000	22	22
	IPE 100	0.0	1.710E-06	1.592E-07	8.826E-09	1.000	1.000	6	10

Tipo	Nome	Base	Altezza	Larg.mag.
R		cm	cm	cm
	30x40	30	40	50
	Dado 80x80	80	80	0

Aste - Geometria e vincoli

Ni	Nf	Vinc.	Sez.	Mat.	Crit.pr.	Rot.	f.f.	xi	yi	zi	xf	yf	zf	Tipo	L2	L3
						°		cm							cm	

	Ni	Nf	Vinc.	Sez.	Mat.	Crit.pr.	Rot.	f.f.	xi	yi	zi	xf	yf	zf	Tipo	L2	L3
487	1367	1366	Cy-Cy	UPN 260	Acciaio	Acciaio_Flessione	0	4045	0	0	0	0	0	0	Trave	180	180
488	1368	1367	Cy-Cy	UPN 260	Acciaio	Acciaio_Flessione	0	4045	0	0	0	0	0	0	Trave	180	180
489	1369	1368	Cy-Cy	UPN 260	Acciaio	Acciaio_Flessione	0	4045	0	0	0	0	0	0	Trave	180	180
490	1370	1369	Cy-Cy	UPN 260	Acciaio	Acciaio_Flessione	0	4045	0	0	0	0	0	0	Trave	180	180
491	1371	1370	Cy-Cy	UPN 260	Acciaio	Acciaio_Flessione	0	4045	0	0	0	0	0	0	Trave	180	180
492	1372	1371	Cy-Cy	UPN 260	Acciaio	Acciaio_Flessione	0	4045	0	0	0	0	0	0	Trave	180	180
493	1373	1372	Cy-Cy	UPN 260	Acciaio	Acciaio_Flessione	0	4045	0	0	0	0	0	0	Trave	180	180
494	1374	1373	Cy-Cy	UPN 260	Acciaio	Acciaio_Flessione	0	4045	0	0	0	0	0	0	Trave	180	180
495	1375	1374	Cy-Cy	UPN 260	Acciaio	Acciaio_Flessione	0	4045	0	0	0	0	0	0	Trave	180	180
496	1376	1375	Cy-Cy	UPN 260	Acciaio	Acciaio_Flessione	0	4045	0	0	0	0	0	0	Trave	180	180
497	1377	1376	Cy-Cy	UPN 260	Acciaio	Acciaio_Flessione	0	4045	0	0	0	0	0	0	Trave	180	180
498	1378	1377	Cy-Cy	UPN 260	Acciaio	Acciaio_Flessione	0	4045	0	0	0	0	0	0	Trave	180	180
499	1379	1378	Cy-Cy	UPN 260	Acciaio	Acciaio_Flessione	0	4045	0	0	0	0	0	0	Trave	180	180
500	1380	1379	Cy-Cy	UPN 260	Acciaio	Acciaio_Flessione	0	4045	0	0	0	0	0	0	Trave	180	180
501	1381	1380	Cy-Cy	UPN 260	Acciaio	Acciaio_Flessione	0	4045	0	0	0	0	0	0	Trave	180	180
502	1382	1381	Cy-Cy	UPN 260	Acciaio	Acciaio_Flessione	0	4045	0	0	0	0	0	0	Trave	180	180
503	1383	1382	Cy-Cy	UPN 260	Acciaio	Acciaio_Flessione	0	4045	0	0	0	0	0	0	Trave	180	180
504	1384	1383	Cy-Cy	UPN 260	Acciaio	Acciaio_Flessione	0	4045	0	0	0	0	0	0	Trave	180	180
505	1385	1384	Cy-Cy	UPN 260	Acciaio	Acciaio_Flessione	0	4045	0	0	0	0	0	0	Trave	180	180
506	1386	1385	Cy-Cy	UPN 260	Acciaio	Acciaio_Flessione	0	4045	0	0	0	0	0	0	Trave	180	180
507	1387	1386	Cy-Cy	UPN 260	Acciaio	Acciaio_Flessione	0	4045	0	0	0	0	0	0	Trave	180	180
508	1388	1387	Cy-Cy	UPN 260	Acciaio	Acciaio_Flessione	0	4045	0	0	0	0	0	0	Trave	180	180
509	1389	1388	Cy-Cy	UPN 260	Acciaio	Acciaio_Flessione	0	4045	0	0	0	0	0	0	Trave	180	180
510	1390	1389	Cy-Cy	UPN 260	Acciaio	Acciaio_Flessione	0	4045	0	0	0	0	0	0	Trave	180	180
511	1391	1390	Cy-Cy	UPN 260	Acciaio	Acciaio_Flessione	0	4045	0	0	0	0	0	0	Trave	180	180
512	1392	1391	Cy-Cy	UPN 260	Acciaio	Acciaio_Flessione	0	4045	0	0	0	0	0	0	Trave	180	180
513	1393	1392	Cy-Cy	UPN 260	Acciaio	Acciaio_Flessione	0	4045	0	0	0	0	0	0	Trave	180	180
514	1394	1393	Cy-Cy	UPN 260	Acciaio	Acciaio_Flessione	0	4045	0	0	0	0	0	0	Trave	180	180
515	1395	1394	Cy-Cy	UPN 260	Acciaio	Acciaio_Flessione	0	4045	0	0	0	0	0	0	Trave	180	180
516	1396	1395	Cy-Cy	UPN 260	Acciaio	Acciaio_Flessione	0	4045	0	0	0	0	0	0	Trave	180	180
517	1397	1396	Cy-Cy	UPN 260	Acciaio	Acciaio_Flessione	0	4045	0	0	0	0	0	0	Trave	180	180
518	1398	1397	Cy-Cy	UPN 260	Acciaio	Acciaio_Flessione	0	4045	0	0	0	0	0	0	Trave	180	180
519	1399	1398	Cy-Cy	UPN 260	Acciaio	Acciaio_Flessione	0	4045	0	0	0	0	0	0	Trave	180	180
520	1400	1399	Cy-Cy	UPN 260	Acciaio	Acciaio_Flessione	0	4045	0	0	0	0	0	0	Trave	180	180
521	1401	1400	Cy-Cy	UPN 260	Acciaio	Acciaio_Flessione	0	4045	0	0	0	0	0	0	Trave	180	180
522	1402	1401	Cy-Cy	UPN 260	Acciaio	Acciaio_Flessione	0	4045	0	0	0	0	0	0	Trave	180	180
523	1403	1402	I-Cy	UPN 260	Acciaio	Acciaio_Flessione	0	4045	0	0	0	0	0	0	Trave	180	180
524	1404	1403	I-I	UPN 260	Acciaio	Acciaio_Flessione	0	4045	0	0	0	0	0	0	Trave	180	180
525	1405	1404	Cy-I	UPN 260	Acciaio	Acciaio_Flessione	0	4045	0	0	0	0	0	0	Trave	200	200
526	1023	1066	I-I	UPN 260	Acciaio	Acciaio_Flessione	0	4045	0	0	0	0	0	0	Trave	125	125
526	1066	1109	I-I	UPN 260	Acciaio	Acciaio_Flessione	0	4045	0	0	0	0	0	0	Trave	125	125
526	1109	1150	I-I	UPN 260	Acciaio	Acciaio_Flessione	0	4045	0	0	0	0	0	0	Trave	150	150
526	1150	1193	I-I	UPN 260	Acciaio	Acciaio_Flessione	0	4045	0	0	0	0	0	0	Trave	150	150
526	1193	1236	I-I	UPN 260	Acciaio	Acciaio_Flessione	0	4045	0	0	0	0	0	0	Trave	150	150
526	1236	1277	I-I	UPN 260	Acciaio	Acciaio_Flessione	0	4045	0	0	0	0	0	0	Trave	134	134
526	1277	1320	I-I	UPN 260	Acciaio	Acciaio_Flessione	0	4045	0	0	0	0	0	0	Trave	134	134
526	1320	1363	I-I	UPN 260	Acciaio	Acciaio_Flessione	0	4045	0	0	0	0	0	0	Trave	119	119
527	1065	1108	I-I	UPN 260	Acciaio	Acciaio_Flessione	0	4045	0	0	0	0	0	0	Trave	125	125
527	1108	1149	I-I	UPN 260	Acciaio	Acciaio_Flessione	0	4045	0	0	0	0	0	0	Trave	125	125
527	1149	1192	I-I	UPN 260	Acciaio	Acciaio_Flessione	0	4045	0	0	0	0	0	0	Trave	150	150
527	1192	1235	I-I	UPN 260	Acciaio	Acciaio_Flessione	0	4045	0	0	0	0	0	0	Trave	150	150
527	1235	1276	I-I	UPN 260	Acciaio	Acciaio_Flessione	0	4045	0	0	0	0	0	0	Trave	150	150
527	1276	1319	I-I	UPN 260	Acciaio	Acciaio_Flessione	0	4045	0	0	0	0	0	0	Trave	134	134
527	1319	1362	I-I	UPN 260	Acciaio	Acciaio_Flessione	0	4045	0	0	0	0	0	0	Trave	134	134
527	1362	1405	I-I	UPN 260	Acciaio	Acciaio_Flessione	0	4045	0	0	0	0	0	0	Trave	119	119
600	1023	1067	CC-CC	D20	Acciaio	Acciaio_Tirante	0	5050	0	0	0	0	0	0	Trave	236	236
601	1066	1024	CC-CC	D20	Acciaio	Acciaio_Tirante	0	5050	0	0	0	0	0	0	Trave	236	236
602	1024	1068	CC-CC	D20	Acciaio	Acciaio_Tirante	0	5050	0	0	0	0	0	0	Trave	219	219
603	1068	1026	CC-CC	D20	Acciaio	Acciaio_Tirante	0	5050	0	0	0	0	0	0	Trave	219	219
604	1364	1322	CC-CC	D20	Acciaio	Acciaio_Tirante	0	5050	0	0	0	0	0	0	Trave	216	216
605	1363	1321	CC-CC	D20	Acciaio	Acciaio_Tirante	0	5050	0	0	0	0	0	0	Trave	233	233
606	1322	1366	CC-CC	D20	Acciaio	Acciaio_Tirante	0	5050	0	0	0	0	0	0	Trave	216	216
607	1320	1364	CC-CC	D20	Acciaio	Acciaio_Tirante	0	5050	0	0	0	0	0	0	Trave	233	233
608	1070	1028	CC-CC	D20	Acciaio	Acciaio_Tirante	0	5050	0	0	0	0	0	0	Trave	219	219
609	1026	1070	CC-CC	D20	Acciaio	Acciaio_Tirante	0	5050	0	0	0	0	0	0	Trave	219	219
610	1324	1368	CC-CC	D20	Acciaio	Acciaio_Tirante	0	5050	0	0	0	0	0	0	Trave	216	216
611	1366	1324	CC-CC	D20	Acciaio	Acciaio_Tirante	0	5050	0	0	0	0	0	0	Trave	216	216
612	1023	1024	Cy-I	UPN 260	Acciaio	Acciaio_Flessione	0	4045	0	0	0	0	0	0	Trave	200	200
613	1028	1072	CC-CC	D20	Acciaio	Acciaio_Tirante	0	5050	0	0	0	0	0	0	Trave	219	219
614	1326	1370	CC-CC	D20	Acciaio	Acciaio_Tirante	0	5050	0	0	0	0	0	0	Trave	216	216
615	1368	1326	CC-CC	D20	Acciaio	Acciaio_Tirante	0	5050	0	0	0	0	0	0	Trave	216	216
616	1074	1032	CC-CC	D20	Acciaio	Acciaio_Tirante	0	5050	0	0	0	0	0	0	Trave	219	219
617	1030	1074	CC-CC	D20	Acciaio	Acciaio_Tirante	0	5050	0	0	0	0	0	0	Trave	219	219
618	1328	1372	CC-CC	D20	Acciaio	Acciaio_Tirante	0	5050	0	0	0	0	0	0	Trave	216	216
619	1370	1328	CC-CC	D20	Acciaio	Acciaio_Tirante	0	5050	0	0	0	0	0	0	Trave	216	216
620	1076	1034	CC-CC	D20	Acciaio	Acciaio_Tirante	0	5050	0	0	0	0	0	0	Trave	219	219
621	1032	1076	CC-CC	D20	Acciaio	Acciaio_Tirante	0	5050	0	0	0	0	0	0	Trave	219	219
622	1330	1374	CC-CC	D20	Acciaio	Acciaio_Tirante	0	5050	0	0	0	0	0	0	Trave	216	216
623	1372	1330	CC-CC	D20	Acciaio	Acciaio_Tirante	0	5050	0	0	0	0	0	0	Trave	216	216
624	1078	1036	CC-CC	D20	Acciaio	Acciaio_Tirante	0	5050	0	0	0	0	0	0	Trave	219	219
625	1034	1078	CC-CC	D20	Acciaio	Acciaio_Tirante	0	5050	0	0	0	0	0	0	Trave	219	219
626	1332	1376	CC-CC	D20	Acciaio	Acciaio_Tirante	0	5050	0	0	0	0	0	0	Trave	216	216
627	1374	1332	CC-CC	D20	Acciaio	Acciaio_Tirante	0	5050	0	0	0	0	0	0	Trave	216	216
628	1080	1038	CC-CC	D20	Acciaio	Acciaio_Tirante	0	5050	0	0	0	0	0	0	Trave	219	219
629	1036	1080	CC-CC	D20	Acciaio	Acciaio_Tirante	0	5050	0	0	0	0	0	0	Trave	219	219
630	1334	1378	CC-CC	D20	Acciaio	Acciaio_Tirante	0	5050	0	0	0	0	0	0	Trave		

	Ni	Nf	Vinc.	Sez.	Mat.	Crit.pr.	Rot.	f.f.	xi	yi	zi	xf	yf	zf	Tipo	L2	L3
631	1376	1334	CC-CC	D20	Acciaio	Acciaio_Tirante	0	5050	0	0	0	0	0	0	Trave	216	216
632	1082	1040	CC-CC	D20	Acciaio	Acciaio_Tirante	0	5050	0	0	0	0	0	0	Trave	219	219
633	1038	1082	CC-CC	D20	Acciaio	Acciaio_Tirante	0	5050	0	0	0	0	0	0	Trave	219	219
634	1336	1380	CC-CC	D20	Acciaio	Acciaio_Tirante	0	5050	0	0	0	0	0	0	Trave	216	216
635	1378	1336	CC-CC	D20	Acciaio	Acciaio_Tirante	0	5050	0	0	0	0	0	0	Trave	216	216
636	1084	1042	CC-CC	D20	Acciaio	Acciaio_Tirante	0	5050	0	0	0	0	0	0	Trave	219	219
637	1040	1084	CC-CC	D20	Acciaio	Acciaio_Tirante	0	5050	0	0	0	0	0	0	Trave	219	219
638	1338	1382	CC-CC	D20	Acciaio	Acciaio_Tirante	0	5050	0	0	0	0	0	0	Trave	216	216
639	1380	1338	CC-CC	D20	Acciaio	Acciaio_Tirante	0	5050	0	0	0	0	0	0	Trave	216	216
640	1086	1044	CC-CC	D20	Acciaio	Acciaio_Tirante	0	5050	0	0	0	0	0	0	Trave	219	219
641	1042	1086	CC-CC	D20	Acciaio	Acciaio_Tirante	0	5050	0	0	0	0	0	0	Trave	219	219
642	1340	1384	CC-CC	D20	Acciaio	Acciaio_Tirante	0	5050	0	0	0	0	0	0	Trave	216	216
643	1382	1340	CC-CC	D20	Acciaio	Acciaio_Tirante	0	5050	0	0	0	0	0	0	Trave	216	216
644	1088	1046	CC-CC	D20	Acciaio	Acciaio_Tirante	0	5050	0	0	0	0	0	0	Trave	219	219
645	1044	1088	CC-CC	D20	Acciaio	Acciaio_Tirante	0	5050	0	0	0	0	0	0	Trave	219	219
646	1342	1386	CC-CC	D20	Acciaio	Acciaio_Tirante	0	5050	0	0	0	0	0	0	Trave	216	216
647	1384	1342	CC-CC	D20	Acciaio	Acciaio_Tirante	0	5050	0	0	0	0	0	0	Trave	216	216
648	1090	1048	CC-CC	D20	Acciaio	Acciaio_Tirante	0	5050	0	0	0	0	0	0	Trave	219	219
649	1046	1090	CC-CC	D20	Acciaio	Acciaio_Tirante	0	5050	0	0	0	0	0	0	Trave	219	219
650	1344	1388	CC-CC	D20	Acciaio	Acciaio_Tirante	0	5050	0	0	0	0	0	0	Trave	216	216
651	1386	1344	CC-CC	D20	Acciaio	Acciaio_Tirante	0	5050	0	0	0	0	0	0	Trave	216	216
652	1092	1050	CC-CC	D20	Acciaio	Acciaio_Tirante	0	5050	0	0	0	0	0	0	Trave	219	219
653	1048	1092	CC-CC	D20	Acciaio	Acciaio_Tirante	0	5050	0	0	0	0	0	0	Trave	219	219
654	1346	1390	CC-CC	D20	Acciaio	Acciaio_Tirante	0	5050	0	0	0	0	0	0	Trave	216	216
655	1388	1346	CC-CC	D20	Acciaio	Acciaio_Tirante	0	5050	0	0	0	0	0	0	Trave	216	216
656	1094	1052	CC-CC	D20	Acciaio	Acciaio_Tirante	0	5050	0	0	0	0	0	0	Trave	219	219
657	1050	1094	CC-CC	D20	Acciaio	Acciaio_Tirante	0	5050	0	0	0	0	0	0	Trave	219	219
658	1348	1392	CC-CC	D20	Acciaio	Acciaio_Tirante	0	5050	0	0	0	0	0	0	Trave	216	216
659	1390	1348	CC-CC	D20	Acciaio	Acciaio_Tirante	0	5050	0	0	0	0	0	0	Trave	216	216
660	1096	1054	CC-CC	D20	Acciaio	Acciaio_Tirante	0	5050	0	0	0	0	0	0	Trave	219	219
661	1052	1096	CC-CC	D20	Acciaio	Acciaio_Tirante	0	5050	0	0	0	0	0	0	Trave	219	219
662	1350	1394	CC-CC	D20	Acciaio	Acciaio_Tirante	0	5050	0	0	0	0	0	0	Trave	216	216
663	1392	1350	CC-CC	D20	Acciaio	Acciaio_Tirante	0	5050	0	0	0	0	0	0	Trave	216	216
664	1098	1056	CC-CC	D20	Acciaio	Acciaio_Tirante	0	5050	0	0	0	0	0	0	Trave	219	219
665	1054	1098	CC-CC	D20	Acciaio	Acciaio_Tirante	0	5050	0	0	0	0	0	0	Trave	219	219
666	1352	1396	CC-CC	D20	Acciaio	Acciaio_Tirante	0	5050	0	0	0	0	0	0	Trave	216	216
667	1394	1352	CC-CC	D20	Acciaio	Acciaio_Tirante	0	5050	0	0	0	0	0	0	Trave	216	216
668	1100	1058	CC-CC	D20	Acciaio	Acciaio_Tirante	0	5050	0	0	0	0	0	0	Trave	219	219
669	1056	1100	CC-CC	D20	Acciaio	Acciaio_Tirante	0	5050	0	0	0	0	0	0	Trave	219	219
670	1354	1398	CC-CC	D20	Acciaio	Acciaio_Tirante	0	5050	0	0	0	0	0	0	Trave	216	216
671	1396	1354	CC-CC	D20	Acciaio	Acciaio_Tirante	0	5050	0	0	0	0	0	0	Trave	216	216
672	1102	1060	CC-CC	D20	Acciaio	Acciaio_Tirante	0	5050	0	0	0	0	0	0	Trave	219	219
673	1058	1102	CC-CC	D20	Acciaio	Acciaio_Tirante	0	5050	0	0	0	0	0	0	Trave	219	219
674	1356	1400	CC-CC	D20	Acciaio	Acciaio_Tirante	0	5050	0	0	0	0	0	0	Trave	216	216
675	1398	1356	CC-CC	D20	Acciaio	Acciaio_Tirante	0	5050	0	0	0	0	0	0	Trave	216	216
676	1104	1062	CC-CC	D20	Acciaio	Acciaio_Tirante	0	5050	0	0	0	0	0	0	Trave	219	219
677	1060	1104	CC-CC	D20	Acciaio	Acciaio_Tirante	0	5050	0	0	0	0	0	0	Trave	219	219
678	1358	1402	CC-CC	D20	Acciaio	Acciaio_Tirante	0	5050	0	0	0	0	0	0	Trave	216	216
679	1400	1358	CC-CC	D20	Acciaio	Acciaio_Tirante	0	5050	0	0	0	0	0	0	Trave	216	216
680	1106	1064	CC-CC	D20	Acciaio	Acciaio_Tirante	0	5050	0	0	0	0	0	0	Trave	219	219
681	1062	1106	CC-CC	D20	Acciaio	Acciaio_Tirante	0	5050	0	0	0	0	0	0	Trave	219	219
682	1360	1404	CC-CC	D20	Acciaio	Acciaio_Tirante	0	5050	0	0	0	0	0	0	Trave	216	216
683	1402	1360	CC-CC	D20	Acciaio	Acciaio_Tirante	0	5050	0	0	0	0	0	0	Trave	216	216
684	1194	1152	CC-CC	D20	Acciaio	Acciaio_Tirante	0	5050	0	0	0	0	0	0	Trave	234	234
685	1151	1195	CC-CC	D20	Acciaio	Acciaio_Tirante	0	5050	0	0	0	0	0	0	Trave	234	234
686	1195	1153	CC-CC	D20	Acciaio	Acciaio_Tirante	0	5050	0	0	0	0	0	0	Trave	234	234
687	1152	1196	CC-CC	D20	Acciaio	Acciaio_Tirante	0	5050	0	0	0	0	0	0	Trave	234	234
688	1196	1154	CC-CC	D20	Acciaio	Acciaio_Tirante	0	5050	0	0	0	0	0	0	Trave	234	234
689	1153	1197	CC-CC	D20	Acciaio	Acciaio_Tirante	0	5050	0	0	0	0	0	0	Trave	234	234
690	1197	1155	CC-CC	D20	Acciaio	Acciaio_Tirante	0	5050	0	0	0	0	0	0	Trave	234	234
691	1154	1198	CC-CC	D20	Acciaio	Acciaio_Tirante	0	5050	0	0	0	0	0	0	Trave	234	234
692	1198	1156	CC-CC	D20	Acciaio	Acciaio_Tirante	0	5050	0	0	0	0	0	0	Trave	234	234
693	1155	1199	CC-CC	D20	Acciaio	Acciaio_Tirante	0	5050	0	0	0	0	0	0	Trave	234	234
694	1199	1157	CC-CC	D20	Acciaio	Acciaio_Tirante	0	5050	0	0	0	0	0	0	Trave	234	234
695	1156	1200	CC-CC	D20	Acciaio	Acciaio_Tirante	0	5050	0	0	0	0	0	0	Trave	234	234
696	1200	1158	CC-CC	D20	Acciaio	Acciaio_Tirante	0	5050	0	0	0	0	0	0	Trave	234	234
697	1157	1201	CC-CC	D20	Acciaio	Acciaio_Tirante	0	5050	0	0	0	0	0	0	Trave	234	234
698	1201	1159	CC-CC	D20	Acciaio	Acciaio_Tirante	0	5050	0	0	0	0	0	0	Trave	234	234
699	1158	1202	CC-CC	D20	Acciaio	Acciaio_Tirante	0	5050	0	0	0	0	0	0	Trave	234	234
700	1202	1160	CC-CC	D20	Acciaio	Acciaio_Tirante	0	5050	0	0	0	0	0	0	Trave	234	234
701	1159	1203	CC-CC	D20	Acciaio	Acciaio_Tirante	0	5050	0	0	0	0	0	0	Trave	234	234
702	1203	1161	CC-CC	D20	Acciaio	Acciaio_Tirante	0	5050	0	0	0	0	0	0	Trave	234	234
703	1160	1204	CC-CC	D20	Acciaio	Acciaio_Tirante	0	5050	0	0	0	0	0	0	Trave	234	234
704	1204	1162	CC-CC	D20	Acciaio	Acciaio_Tirante	0	5050	0	0	0	0	0	0	Trave	234	234
705	1161	1205	CC-CC	D20	Acciaio	Acciaio_Tirante	0	5050	0	0	0	0	0	0	Trave	234	234
706	1205	1163	CC-CC	D20	Acciaio	Acciaio_Tirante	0	5050	0	0	0	0	0	0	Trave	234	234
707	1162	1206	CC-CC	D20	Acciaio	Acciaio_Tirante	0	5050	0	0	0	0	0	0	Trave	234	234
708	1206	1164	CC-CC	D20	Acciaio	Acciaio_Tirante	0	5050	0	0	0	0	0	0	Trave	234	234
709	1163	1207	CC-CC	D20	Acciaio	Acciaio_Tirante	0	5050	0	0	0	0	0	0	Trave	234	234
710	1207	1165	CC-CC	D20	Acciaio	Acciaio_Tirante	0	5050	0	0	0	0	0	0	Trave	234	234
711	1164	1208	CC-CC	D20	Acciaio	Acciaio_Tirante	0	5050	0	0	0	0	0	0	Trave	234	234
712	1208	1166	CC-CC	D20	Acciaio	Acciaio_Tirante	0	5050	0	0	0	0	0	0	Trave	234	234
713	1165	1209	CC-CC	D20	Acciaio	Acciaio_Tirante	0	5050	0	0	0	0	0	0	Trave	234	234
714	1209	1167	CC-CC	D20	Acciaio	Acciaio_Tirante	0	5050	0	0	0	0	0	0	Trave	234	234
715	1166	1210	CC-CC	D20	Acciaio	Acciaio_Tirante	0	5050	0	0	0	0	0	0	Trave	234	234
716	1210	1168	CC-CC	D20	Acciaio	Acciaio_Tirante	0	5050	0	0	0	0	0	0	Trave	234	234

	Ni	Nf	Vinc.	Sez.	Mat.	Crit.pr.	Rot.	f.f.	xi	yi	zi	xf	yf	zf	Tipo	L2	L3
717	1167	1211	CC-CC	D20	Acciaio	Acciaio_Tirante	0	5050	0	0	0	0	0	0	Trave	234	234
718	1211	1169	CC-CC	D20	Acciaio	Acciaio_Tirante	0	5050	0	0	0	0	0	0	Trave	234	234
719	1168	1212	CC-CC	D20	Acciaio	Acciaio_Tirante	0	5050	0	0	0	0	0	0	Trave	234	234
720	1212	1170	CC-CC	D20	Acciaio	Acciaio_Tirante	0	5050	0	0	0	0	0	0	Trave	234	234
721	1169	1213	CC-CC	D20	Acciaio	Acciaio_Tirante	0	5050	0	0	0	0	0	0	Trave	234	234
722	1213	1171	CC-CC	D20	Acciaio	Acciaio_Tirante	0	5050	0	0	0	0	0	0	Trave	234	234
723	1170	1214	CC-CC	D20	Acciaio	Acciaio_Tirante	0	5050	0	0	0	0	0	0	Trave	234	234
724	1214	1172	CC-CC	D20	Acciaio	Acciaio_Tirante	0	5050	0	0	0	0	0	0	Trave	234	234
725	1171	1215	CC-CC	D20	Acciaio	Acciaio_Tirante	0	5050	0	0	0	0	0	0	Trave	234	234
726	1215	1173	CC-CC	D20	Acciaio	Acciaio_Tirante	0	5050	0	0	0	0	0	0	Trave	234	234
727	1172	1216	CC-CC	D20	Acciaio	Acciaio_Tirante	0	5050	0	0	0	0	0	0	Trave	234	234
728	1216	1174	CC-CC	D20	Acciaio	Acciaio_Tirante	0	5050	0	0	0	0	0	0	Trave	234	234
729	1173	1217	CC-CC	D20	Acciaio	Acciaio_Tirante	0	5050	0	0	0	0	0	0	Trave	234	234
730	1217	1175	CC-CC	D20	Acciaio	Acciaio_Tirante	0	5050	0	0	0	0	0	0	Trave	234	234
731	1174	1218	CC-CC	D20	Acciaio	Acciaio_Tirante	0	5050	0	0	0	0	0	0	Trave	234	234
732	1218	1176	CC-CC	D20	Acciaio	Acciaio_Tirante	0	5050	0	0	0	0	0	0	Trave	234	234
733	1175	1219	CC-CC	D20	Acciaio	Acciaio_Tirante	0	5050	0	0	0	0	0	0	Trave	234	234
734	1219	1177	CC-CC	D20	Acciaio	Acciaio_Tirante	0	5050	0	0	0	0	0	0	Trave	234	234
735	1176	1220	CC-CC	D20	Acciaio	Acciaio_Tirante	0	5050	0	0	0	0	0	0	Trave	234	234
736	1220	1178	CC-CC	D20	Acciaio	Acciaio_Tirante	0	5050	0	0	0	0	0	0	Trave	234	234
737	1177	1221	CC-CC	D20	Acciaio	Acciaio_Tirante	0	5050	0	0	0	0	0	0	Trave	234	234
738	1221	1179	CC-CC	D20	Acciaio	Acciaio_Tirante	0	5050	0	0	0	0	0	0	Trave	234	234
739	1178	1222	CC-CC	D20	Acciaio	Acciaio_Tirante	0	5050	0	0	0	0	0	0	Trave	234	234
740	1222	1180	CC-CC	D20	Acciaio	Acciaio_Tirante	0	5050	0	0	0	0	0	0	Trave	234	234
741	1179	1223	CC-CC	D20	Acciaio	Acciaio_Tirante	0	5050	0	0	0	0	0	0	Trave	234	234
742	1223	1181	CC-CC	D20	Acciaio	Acciaio_Tirante	0	5050	0	0	0	0	0	0	Trave	234	234
743	1180	1224	CC-CC	D20	Acciaio	Acciaio_Tirante	0	5050	0	0	0	0	0	0	Trave	234	234
744	1224	1182	CC-CC	D20	Acciaio	Acciaio_Tirante	0	5050	0	0	0	0	0	0	Trave	234	234
745	1181	1225	CC-CC	D20	Acciaio	Acciaio_Tirante	0	5050	0	0	0	0	0	0	Trave	234	234
746	1225	1183	CC-CC	D20	Acciaio	Acciaio_Tirante	0	5050	0	0	0	0	0	0	Trave	234	234
747	1182	1226	CC-CC	D20	Acciaio	Acciaio_Tirante	0	5050	0	0	0	0	0	0	Trave	234	234
748	1226	1184	CC-CC	D20	Acciaio	Acciaio_Tirante	0	5050	0	0	0	0	0	0	Trave	234	234
749	1183	1227	CC-CC	D20	Acciaio	Acciaio_Tirante	0	5050	0	0	0	0	0	0	Trave	234	234
750	1227	1185	CC-CC	D20	Acciaio	Acciaio_Tirante	0	5050	0	0	0	0	0	0	Trave	234	234
751	1184	1228	CC-CC	D20	Acciaio	Acciaio_Tirante	0	5050	0	0	0	0	0	0	Trave	234	234
752	1228	1186	CC-CC	D20	Acciaio	Acciaio_Tirante	0	5050	0	0	0	0	0	0	Trave	234	234
753	1185	1229	CC-CC	D20	Acciaio	Acciaio_Tirante	0	5050	0	0	0	0	0	0	Trave	234	234
754	1229	1187	CC-CC	D20	Acciaio	Acciaio_Tirante	0	5050	0	0	0	0	0	0	Trave	234	234
755	1186	1230	CC-CC	D20	Acciaio	Acciaio_Tirante	0	5050	0	0	0	0	0	0	Trave	234	234
756	1230	1188	CC-CC	D20	Acciaio	Acciaio_Tirante	0	5050	0	0	0	0	0	0	Trave	234	234
757	1187	1231	CC-CC	D20	Acciaio	Acciaio_Tirante	0	5050	0	0	0	0	0	0	Trave	234	234
758	1231	1189	CC-CC	D20	Acciaio	Acciaio_Tirante	0	5050	0	0	0	0	0	0	Trave	234	234
759	1188	1232	CC-CC	D20	Acciaio	Acciaio_Tirante	0	5050	0	0	0	0	0	0	Trave	234	234
760	1232	1190	CC-CC	D20	Acciaio	Acciaio_Tirante	0	5050	0	0	0	0	0	0	Trave	234	234
761	1189	1233	CC-CC	D20	Acciaio	Acciaio_Tirante	0	5050	0	0	0	0	0	0	Trave	234	234
762	1233	1191	CC-CC	D20	Acciaio	Acciaio_Tirante	0	5050	0	0	0	0	0	0	Trave	234	234
763	1190	1234	CC-CC	D20	Acciaio	Acciaio_Tirante	0	5050	0	0	0	0	0	0	Trave	234	234
764	1066	1001	CC-CC	D20	Acciaio	Acciaio_Tirante	0	5050	0	0	0	0	0	0	Trave	236	236
765	1001	1150	CC-CC	D20	Acciaio	Acciaio_Tirante	0	5050	0	0	0	0	0	0	Trave	250	250
766	1150	1194	CC-CC	D20	Acciaio	Acciaio_Tirante	0	5050	0	0	0	0	0	0	Trave	250	250
767	1194	1236	CC-CC	D20	Acciaio	Acciaio_Tirante	0	5050	0	0	0	0	0	0	Trave	250	250
768	1236	1278	CC-CC	D20	Acciaio	Acciaio_Tirante	0	5050	0	0	0	0	0	0	Trave	241	241
769	1278	1320	CC-CC	D20	Acciaio	Acciaio_Tirante	0	5050	0	0	0	0	0	0	Trave	241	241
770	1067	1109	CC-CC	D20	Acciaio	Acciaio_Tirante	0	5050	0	0	0	0	0	0	Trave	236	236
771	1109	1151	CC-CC	D20	Acciaio	Acciaio_Tirante	0	5050	0	0	0	0	0	0	Trave	250	250
772	1151	1193	CC-CC	D20	Acciaio	Acciaio_Tirante	0	5050	0	0	0	0	0	0	Trave	250	250
773	1193	1012	CC-CC	D20	Acciaio	Acciaio_Tirante	0	5050	0	0	0	0	0	0	Trave	250	250
774	1012	1277	CC-CC	D20	Acciaio	Acciaio_Tirante	0	5050	0	0	0	0	0	0	Trave	241	241
775	1277	1321	CC-CC	D20	Acciaio	Acciaio_Tirante	0	5050	0	0	0	0	0	0	Trave	241	241
776	1107	1065	CC-CC	D20	Acciaio	Acciaio_Tirante	0	5050	0	0	0	0	0	0	Trave	236	236
777	1064	1108	CC-CC	D20	Acciaio	Acciaio_Tirante	0	5050	0	0	0	0	0	0	Trave	236	236
778	1107	1149	CC-CC	D20	Acciaio	Acciaio_Tirante	0	5050	0	0	0	0	0	0	Trave	236	236
779	1108	1011	CC-CC	D20	Acciaio	Acciaio_Tirante	0	5050	0	0	0	0	0	0	Trave	236	236
780	1149	1191	CC-CC	D20	Acciaio	Acciaio_Tirante	0	5050	0	0	0	0	0	0	Trave	250	250
781	1011	1192	CC-CC	D20	Acciaio	Acciaio_Tirante	0	5050	0	0	0	0	0	0	Trave	250	250
782	1191	1235	CC-CC	D20	Acciaio	Acciaio_Tirante	0	5050	0	0	0	0	0	0	Trave	250	250
783	1192	1234	CC-CC	D20	Acciaio	Acciaio_Tirante	0	5050	0	0	0	0	0	0	Trave	250	250
784	1235	1022	CC-CC	D20	Acciaio	Acciaio_Tirante	0	5050	0	0	0	0	0	0	Trave	250	250
785	1234	1276	CC-CC	D20	Acciaio	Acciaio_Tirante	0	5050	0	0	0	0	0	0	Trave	250	250
786	1022	1319	CC-CC	D20	Acciaio	Acciaio_Tirante	0	5050	0	0	0	0	0	0	Trave	241	241
787	1276	1318	CC-CC	D20	Acciaio	Acciaio_Tirante	0	5050	0	0	0	0	0	0	Trave	241	241
788	1319	1361	CC-CC	D20	Acciaio	Acciaio_Tirante	0	5050	0	0	0	0	0	0	Trave	241	241
789	1318	1362	CC-CC	D20	Acciaio	Acciaio_Tirante	0	5050	0	0	0	0	0	0	Trave	241	241
790	1404	1362	CC-CC	D20	Acciaio	Acciaio_Tirante	0	5050	0	0	0	0	0	0	Trave	233	233
791	1361	1405	CC-CC	D20	Acciaio	Acciaio_Tirante	0	5050	0	0	0	0	0	0	Trave	233	233
792	1072	1030	CC-CC	D20	Acciaio	Acciaio_Tirante	0	5050	0	0	0	0	0	0	Trave	219	219

Aste - Carichi

Descrizione carichi aste

UnifG Uniforme globale

UnifL Uniforme locale

VarG Variabile lineare globale

VarL Variabile lineare locale
 PolG Poligonale globale
 Termico Distorsione termica
 Torcente Carico torcente
 Precomp. Carico da precompressione
 Poll Poligonale locale

Sezione	Ni	Nf	Cond.	Tipo c.	Xi	QXi	QYi	QZi	Xf	QXf	QYf	QZf
					cm	car. dist. kg/m coppie torc. kg*m/m			cm	car. dist. kg/m coppie torc. kg*m/m		
Pilastro 1												
HE 260 B	1	1001	Peso Proprio	UnifG	0	0	0	93	458	0	0	93
HE 260 B	1	1001	Carichi termici	Termico	ΔXY=15°C,ΔXZ=15°C							
Pilastro 2												
HE 260 B	2	1002	Peso Proprio	UnifG	0	0	0	93	458	0	0	93
HE 260 B	2	1002	Carichi termici	Termico	ΔXY=15°C,ΔXZ=15°C							
Pilastro 3												
HE 260 B	3	1003	Peso Proprio	UnifG	0	0	0	93	458	0	0	93
HE 260 B	3	1003	Carichi termici	Termico	ΔXY=15°C,ΔXZ=15°C							
Pilastro 4												
HE 260 B	4	1004	Peso Proprio	UnifG	0	0	0	93	458	0	0	93
HE 260 B	4	1004	Carichi termici	Termico	ΔXY=15°C,ΔXZ=15°C							
Pilastro 5												
HE 260 B	5	1005	Peso Proprio	UnifG	0	0	0	93	458	0	0	93
HE 260 B	5	1005	Carichi termici	Termico	ΔXY=15°C,ΔXZ=15°C							
Pilastro 6												
HE 260 B	6	1006	Peso Proprio	UnifG	0	0	0	93	458	0	0	93
HE 260 B	6	1006	Carichi termici	Termico	ΔXY=15°C,ΔXZ=15°C							
Pilastro 7												
HE 260 B	7	1007	Peso Proprio	UnifG	0	0	0	93	458	0	0	93
HE 260 B	7	1007	Carichi termici	Termico	ΔXY=15°C,ΔXZ=15°C							
Pilastro 8												
HE 260 B	8	1008	Peso Proprio	UnifG	0	0	0	93	458	0	0	93
HE 260 B	8	1008	Carichi termici	Termico	ΔXY=15°C,ΔXZ=15°C							
Pilastro 9												
HE 260 B	9	1009	Peso Proprio	UnifG	0	0	0	93	458	0	0	93
HE 260 B	9	1009	Carichi termici	Termico	ΔXY=15°C,ΔXZ=15°C							
Pilastro 10												
HE 260 B	10	1010	Peso Proprio	UnifG	0	0	0	93	458	0	0	93
HE 260 B	10	1010	Carichi termici	Termico	ΔXY=15°C,ΔXZ=15°C							
Pilastro 11												
HE 260 B	11	1011	Peso Proprio	UnifG	0	0	0	93	458	0	0	93
HE 260 B	11	1011	Carichi termici	Termico	ΔXY=15°C,ΔXZ=15°C							
Pilastro 12												
HE 260 B	12	1012	Peso Proprio	UnifG	0	0	0	93	465	0	0	93
HE 260 B	12	1012	Carichi termici	Termico	ΔXY=15°C,ΔXZ=15°C							
Pilastro 13												
HE 260 B	13	1013	Peso Proprio	UnifG	0	0	0	93	465	0	0	93
HE 260 B	13	1013	Carichi termici	Termico	ΔXY=15°C,ΔXZ=15°C							
Pilastro 14												
HE 260 B	14	1014	Peso Proprio	UnifG	0	0	0	93	465	0	0	93
HE 260 B	14	1014	Carichi termici	Termico	ΔXY=15°C,ΔXZ=15°C							
Pilastro 15												
HE 260 B	15	1015	Peso Proprio	UnifG	0	0	0	93	465	0	0	93
HE 260 B	15	1015	Carichi termici	Termico	ΔXY=15°C,ΔXZ=15°C							
Pilastro 16												
HE 260 B	16	1016	Peso Proprio	UnifG	0	0	0	93	465	0	0	93
HE 260 B	16	1016	Carichi termici	Termico	ΔXY=15°C,ΔXZ=15°C							
Pilastro 17												
HE 260 B	17	1017	Peso Proprio	UnifG	0	0	0	93	465	0	0	93
HE 260 B	17	1017	Carichi termici	Termico	ΔXY=15°C,ΔXZ=15°C							
Pilastro 18												
HE 260 B	18	1018	Peso Proprio	UnifG	0	0	0	93	465	0	0	93
HE 260 B	18	1018	Carichi termici	Termico	ΔXY=15°C,ΔXZ=15°C							
Pilastro 19												
HE 260 B	19	1019	Peso Proprio	UnifG	0	0	0	93	465	0	0	93
HE 260 B	19	1019	Carichi termici	Termico	ΔXY=15°C,ΔXZ=15°C							
Pilastro 20												
HE 260 B	20	1020	Peso Proprio	UnifG	0	0	0	93	465	0	0	93
HE 260 B	20	1020	Carichi termici	Termico	ΔXY=15°C,ΔXZ=15°C							
Pilastro 21												
HE 260 B	21	1021	Peso Proprio	UnifG	0	0	0	93	465	0	0	93
HE 260 B	21	1021	Carichi termici	Termico	ΔXY=15°C,ΔXZ=15°C							
Pilastro 22												
HE 260 B	22	1022	Peso Proprio	UnifG	0	0	0	93	465	0	0	93

Sezione	Ni	Nf	Cond.	Tipo c.	Xi	QXi	QYi	QZi	Xf	QXf	QYf	QZf
HE 260 B	22	1022	Carichi termici	Termico	$\Delta XY=15^{\circ}C, \Delta XZ=15^{\circ}C$							
Trave 101												
HE 260 B	1001	1111	Peso Proprio	UnifG	0	0	0	93	180	0	0	93
HE 260 B	1001	1111	QP Solai	PolG	0	0	0	7	180	0	0	7
HE 260 B	1001	1111	QFissi Solai	PolG	0	0	0	69	180	0	0	69
HE 260 B	1001	1111	QV Solai	PolG	0	0	0	69	180	0	0	69
HE 260 B	1001	1111	Neve	PolL	0	0	-1	60	180	0	-1	60
HE 260 B	1001	1111	Neve	PolL	0	0	-1	50	180	0	-1	50
HE 260 B	1001	1111	Vento +Y	PolL	0	0	-1	86	180	0	-1	86
HE 260 B	1001	1111	Vento +Y	PolL	0	0	-1	72	180	0	-1	72
HE 260 B	1001	1111	Vento -Y	PolL	0	0	1	-86	180	0	1	-86
HE 260 B	1001	1111	Vento -Y	PolL	0	0	1	-72	180	0	1	-72
HE 260 B	1001	1111	Carichi termici	Termico	$\Delta XY=15^{\circ}C, \Delta XZ=15^{\circ}C$							
HE 260 B	1002	1115	Peso Proprio	UnifG	0	0	0	93	180	0	0	93
HE 260 B	1002	1115	QP Solai	PolG	0	0	0	7	180	0	0	7
HE 260 B	1002	1115	QFissi Solai	PolG	0	0	0	69	180	0	0	69
HE 260 B	1002	1115	QV Solai	PolG	0	0	0	69	180	0	0	69
HE 260 B	1002	1115	Neve	PolL	0	0	-1	60	180	0	-1	60
HE 260 B	1002	1115	Neve	PolL	0	0	-1	50	180	0	-1	50
HE 260 B	1002	1115	Vento +Y	PolL	0	0	-1	72	180	0	-1	72
HE 260 B	1002	1115	Vento +Y	PolL	0	0	-1	86	180	0	-1	86
HE 260 B	1002	1115	Vento -Y	PolL	0	0	1	-86	180	0	1	-86
HE 260 B	1002	1115	Vento -Y	PolL	0	0	1	-72	180	0	1	-72
HE 260 B	1002	1115	Carichi termici	Termico	$\Delta XY=15^{\circ}C, \Delta XZ=15^{\circ}C$							
HE 260 B	1003	1118	Peso Proprio	UnifG	0	0	0	93	180	0	0	93
HE 260 B	1003	1118	QP Solai	PolG	0	0	0	7	180	0	0	7
HE 260 B	1003	1118	QFissi Solai	PolG	0	0	0	69	180	0	0	69
HE 260 B	1003	1118	QV Solai	PolG	0	0	0	69	180	0	0	69
HE 260 B	1003	1118	Neve	PolL	0	0	-1	60	180	0	-1	60
HE 260 B	1003	1118	Neve	PolL	0	0	-1	50	180	0	-1	50
HE 260 B	1003	1118	Vento +Y	PolL	0	0	-1	72	180	0	-1	72
HE 260 B	1003	1118	Vento +Y	PolL	0	0	-1	86	180	0	-1	86
HE 260 B	1003	1118	Vento -Y	PolL	0	0	1	-72	180	0	1	-72
HE 260 B	1003	1118	Vento -Y	PolL	0	0	1	-86	180	0	1	-86
HE 260 B	1003	1118	Carichi termici	Termico	$\Delta XY=15^{\circ}C, \Delta XZ=15^{\circ}C$							
HE 260 B	1004	1122	Peso Proprio	UnifG	0	0	0	93	180	0	0	93
HE 260 B	1004	1122	QP Solai	PolG	0	0	0	7	180	0	0	7
HE 260 B	1004	1122	QFissi Solai	PolG	0	0	0	69	180	0	0	69
HE 260 B	1004	1122	QV Solai	PolG	0	0	0	69	180	0	0	69
HE 260 B	1004	1122	Neve	PolL	0	0	-1	50	180	0	-1	50
HE 260 B	1004	1122	Neve	PolL	0	0	-1	60	180	0	-1	60
HE 260 B	1004	1122	Vento +Y	PolL	0	0	-1	72	180	0	-1	72
HE 260 B	1004	1122	Vento +Y	PolL	0	0	-1	86	180	0	-1	86
HE 260 B	1004	1122	Vento -Y	PolL	0	0	1	-86	180	0	1	-86
HE 260 B	1004	1122	Vento -Y	PolL	0	0	1	-72	180	0	1	-72
HE 260 B	1004	1122	Carichi termici	Termico	$\Delta XY=15^{\circ}C, \Delta XZ=15^{\circ}C$							
HE 260 B	1005	1126	Peso Proprio	UnifG	0	0	0	93	180	0	0	93
HE 260 B	1005	1126	QP Solai	PolG	0	0	0	7	180	0	0	7
HE 260 B	1005	1126	QFissi Solai	PolG	0	0	0	69	180	0	0	69
HE 260 B	1005	1126	QV Solai	PolG	0	0	0	69	180	0	0	69
HE 260 B	1005	1126	Neve	PolL	0	0	-1	60	180	0	-1	60
HE 260 B	1005	1126	Neve	PolL	0	0	-1	50	180	0	-1	50
HE 260 B	1005	1126	Vento +Y	PolL	0	0	-1	72	180	0	-1	72
HE 260 B	1005	1126	Vento +Y	PolL	0	0	-1	86	180	0	-1	86
HE 260 B	1005	1126	Vento -Y	PolL	0	0	1	-72	180	0	1	-72
HE 260 B	1005	1126	Vento -Y	PolL	0	0	1	-86	180	0	1	-86
HE 260 B	1005	1126	Carichi termici	Termico	$\Delta XY=15^{\circ}C, \Delta XZ=15^{\circ}C$							
HE 260 B	1006	1130	Peso Proprio	UnifG	0	0	0	93	180	0	0	93
HE 260 B	1006	1130	QP Solai	PolG	0	0	0	7	180	0	0	7
HE 260 B	1006	1130	QFissi Solai	PolG	0	0	0	69	180	0	0	69
HE 260 B	1006	1130	QV Solai	PolG	0	0	0	69	180	0	0	69
HE 260 B	1006	1130	Neve	PolL	0	0	-1	50	180	0	-1	50
HE 260 B	1006	1130	Neve	PolL	0	0	-1	60	180	0	-1	60
HE 260 B	1006	1130	Vento +Y	PolL	0	0	-1	86	180	0	-1	86
HE 260 B	1006	1130	Vento +Y	PolL	0	0	-1	72	180	0	-1	72
HE 260 B	1006	1130	Vento -Y	PolL	0	0	1	-72	180	0	1	-72
HE 260 B	1006	1130	Vento -Y	PolL	0	0	1	-86	180	0	1	-86
HE 260 B	1006	1130	Carichi termici	Termico	$\Delta XY=15^{\circ}C, \Delta XZ=15^{\circ}C$							
HE 260 B	1007	1134	Peso Proprio	UnifG	0	0	0	93	180	0	0	93
HE 260 B	1007	1134	QP Solai	PolG	0	0	0	7	180	0	0	7
HE 260 B	1007	1134	QFissi Solai	PolG	0	0	0	69	180	0	0	69
HE 260 B	1007	1134	QV Solai	PolG	0	0	0	69	180	0	0	69
HE 260 B	1007	1134	Neve	PolL	0	0	-1	60	180	0	-1	60
HE 260 B	1007	1134	Neve	PolL	0	0	-1	50	180	0	-1	50
HE 260 B	1007	1134	Vento +Y	PolL	0	0	-1	86	180	0	-1	86

Sezione	Ni	Nf	Cond.	Tipo c.	Xi	QXi	QYi	QZi	Xf	QXf	QYf	QZf			
HE 260 B	1007	1134	Vento +Y	PolL	0	0	-1	72	180	0	-1	72			
HE 260 B	1007	1134	Vento -Y	PolL	0	0	1	-72	180	0	1	-72			
HE 260 B	1007	1134	Vento -Y	PolL	0	0	1	-86	180	0	1	-86			
HE 260 B	1007	1134	Carichi termici	Termico	$\Delta XY=15^{\circ}C, \Delta XZ=15^{\circ}C$										
HE 260 B	1008	1137	Peso Proprio	UnifG	0	0	0	93	180	0	0	93			
HE 260 B	1008	1137	QP Solai	PolG	0	0	0	7	180	0	0	7			
HE 260 B	1008	1137	QFissi Solai	PolG	0	0	0	69	180	0	0	69			
HE 260 B	1008	1137	QV Solai	PolG	0	0	0	69	180	0	0	69			
HE 260 B	1008	1137	Neve	PolL	0	0	-1	50	180	0	-1	50			
HE 260 B	1008	1137	Neve	PolL	0	0	-1	60	180	0	-1	60			
HE 260 B	1008	1137	Vento +Y	PolL	0	0	-1	72	180	0	-1	72			
HE 260 B	1008	1137	Vento +Y	PolL	0	0	-1	86	180	0	-1	86			
HE 260 B	1008	1137	Vento -Y	PolL	0	0	1	-72	180	0	1	-72			
HE 260 B	1008	1137	Vento -Y	PolL	0	0	1	-86	180	0	1	-86			
HE 260 B	1008	1137	Carichi termici	Termico	$\Delta XY=15^{\circ}C, \Delta XZ=15^{\circ}C$										
HE 260 B	1009	1141	Peso Proprio	UnifG	0	0	0	93	180	0	0	93			
HE 260 B	1009	1141	QP Solai	PolG	0	0	0	7	180	0	0	7			
HE 260 B	1009	1141	QFissi Solai	PolG	0	0	0	69	180	0	0	69			
HE 260 B	1009	1141	QV Solai	PolG	0	0	0	69	180	0	0	69			
HE 260 B	1009	1141	Neve	PolL	0	0	-1	60	180	0	-1	60			
HE 260 B	1009	1141	Neve	PolL	0	0	-1	50	180	0	-1	50			
HE 260 B	1009	1141	Vento +Y	PolL	0	0	-1	86	180	0	-1	86			
HE 260 B	1009	1141	Vento +Y	PolL	0	0	-1	72	180	0	-1	72			
HE 260 B	1009	1141	Vento -Y	PolL	0	0	1	-86	180	0	1	-86			
HE 260 B	1009	1141	Vento -Y	PolL	0	0	1	-72	180	0	1	-72			
HE 260 B	1009	1141	Carichi termici	Termico	$\Delta XY=15^{\circ}C, \Delta XZ=15^{\circ}C$										
HE 260 B	1010	1145	Peso Proprio	UnifG	0	0	0	93	180	0	0	93			
HE 260 B	1010	1145	QP Solai	PolG	0	0	0	7	180	0	0	7			
HE 260 B	1010	1145	QFissi Solai	PolG	0	0	0	69	180	0	0	69			
HE 260 B	1010	1145	QV Solai	PolG	0	0	0	69	180	0	0	69			
HE 260 B	1010	1145	Neve	PolL	0	0	-1	50	180	0	-1	50			
HE 260 B	1010	1145	Neve	PolL	0	0	-1	60	180	0	-1	60			
HE 260 B	1010	1145	Vento +Y	PolL	0	0	-1	72	180	0	-1	72			
HE 260 B	1010	1145	Vento +Y	PolL	0	0	-1	86	180	0	-1	86			
HE 260 B	1010	1145	Vento -Y	PolL	0	0	1	-86	180	0	1	-86			
HE 260 B	1010	1145	Vento -Y	PolL	0	0	1	-72	180	0	1	-72			
HE 260 B	1010	1145	Carichi termici	Termico	$\Delta XY=15^{\circ}C, \Delta XZ=15^{\circ}C$										
HE 260 B	1011	1149	Peso Proprio	UnifG	0	0	0	93	200	0	0	93			
HE 260 B	1011	1149	QP Solai	PolG	0	0	0	7	200	0	0	7			
HE 260 B	1011	1149	QFissi Solai	PolG	0	0	0	69	200	0	0	69			
HE 260 B	1011	1149	QV Solai	PolG	0	0	0	69	200	0	0	69			
HE 260 B	1011	1149	Neve	PolL	0	0	-1	50	200	0	-1	50			
HE 260 B	1011	1149	Neve	PolL	0	0	-1	60	200	0	-1	60			
HE 260 B	1011	1149	Vento +Y	PolL	0	0	-1	72	200	0	-1	72			
HE 260 B	1011	1149	Vento +Y	PolL	0	0	-1	86	200	0	-1	86			
HE 260 B	1011	1149	Vento -Y	PolL	0	0	1	-86	200	0	1	-86			
HE 260 B	1011	1149	Vento -Y	PolL	0	0	1	-72	200	0	1	-72			
HE 260 B	1011	1149	Carichi termici	Termico	$\Delta XY=15^{\circ}C, \Delta XZ=15^{\circ}C$										
HE 260 B	1109	1001	Peso Proprio	UnifG	0	0	0	93	200	0	0	93			
HE 260 B	1109	1001	QP Solai	PolG	0	0	0	7	200	0	0	7			
HE 260 B	1109	1001	QFissi Solai	PolG	0	0	0	69	200	0	0	69			
HE 260 B	1109	1001	QV Solai	PolG	0	0	0	69	200	0	0	69			
HE 260 B	1109	1001	Neve	PolL	0	0	-1	60	200	0	-1	60			
HE 260 B	1109	1001	Neve	PolL	0	0	-1	50	200	0	-1	50			
HE 260 B	1109	1001	Vento +Y	PolL	0	0	-1	86	200	0	-1	86			
HE 260 B	1109	1001	Vento +Y	PolL	0	0	-1	72	200	0	-1	72			
HE 260 B	1109	1001	Vento -Y	PolL	0	0	1	-86	200	0	1	-86			
HE 260 B	1109	1001	Vento -Y	PolL	0	0	1	-72	200	0	1	-72			
HE 260 B	1109	1001	Carichi termici	Termico	$\Delta XY=15^{\circ}C, \Delta XZ=15^{\circ}C$										
HE 260 B	1111	1112	Peso Proprio	UnifG	0	0	0	93	180	0	0	93			
HE 260 B	1111	1112	QP Solai	PolG	0	0	0	7	180	0	0	7			
HE 260 B	1111	1112	QFissi Solai	PolG	0	0	0	69	180	0	0	69			
HE 260 B	1111	1112	QV Solai	PolG	0	0	0	69	180	0	0	69			
HE 260 B	1111	1112	Neve	PolL	0	0	-1	50	180	0	-1	50			
HE 260 B	1111	1112	Neve	PolL	0	0	-1	60	180	0	-1	60			
HE 260 B	1111	1112	Vento +Y	PolL	0	0	-1	86	180	0	-1	86			
HE 260 B	1111	1112	Vento +Y	PolL	0	0	-1	72	180	0	-1	72			
HE 260 B	1111	1112	Vento -Y	PolL	0	0	1	-72	180	0	1	-72			
HE 260 B	1111	1112	Vento -Y	PolL	0	0	1	-86	180	0	1	-86			
HE 260 B	1111	1112	Carichi termici	Termico	$\Delta XY=15^{\circ}C, \Delta XZ=15^{\circ}C$										
HE 260 B	1112	1113	Peso Proprio	UnifG	0	0	0	93	180	0	0	93			
HE 260 B	1112	1113	QP Solai	PolG	0	0	0	7	180	0	0	7			
HE 260 B	1112	1113	QFissi Solai	PolG	0	0	0	69	180	0	0	69			
HE 260 B	1112	1113	QV Solai	PolG	0	0	0	69	180	0	0	69			
HE 260 B	1112	1113	Neve	PolL	0	0	-1	60	180	0	-1	60			

Sezione	Ni	Nf	Cond.	Tipo c.	Xi	QXi	QYi	QZi	Xf	QXf	QYf	QZf
HE 260 B	1112	1113	Neve	PolL	0	0	-1	50	180	0	-1	50
HE 260 B	1112	1113	Vento +Y	PolL	0	0	-1	72	180	0	-1	72
HE 260 B	1112	1113	Vento +Y	PolL	0	0	-1	86	180	0	-1	86
HE 260 B	1112	1113	Vento -Y	PolL	0	0	1	-72	180	0	1	-72
HE 260 B	1112	1113	Vento -Y	PolL	0	0	1	-86	180	0	1	-86
HE 260 B	1112	1113	Carichi termici	Termico	$\Delta XY=15^{\circ}C, \Delta XZ=15^{\circ}C$							
HE 260 B	1113	1002	Peso Proprio	UnifG	0	0	0	93	180	0	0	93
HE 260 B	1113	1002	QP Solai	PolG	0	0	0	7	180	0	0	7
HE 260 B	1113	1002	QFissi Solai	PolG	0	0	0	69	180	0	0	69
HE 260 B	1113	1002	QV Solai	PolG	0	0	0	69	180	0	0	69
HE 260 B	1113	1002	Neve	PolL	0	0	-1	50	180	0	-1	50
HE 260 B	1113	1002	Neve	PolL	0	0	-1	60	180	0	-1	60
HE 260 B	1113	1002	Vento +Y	PolL	0	0	-1	86	180	0	-1	86
HE 260 B	1113	1002	Vento +Y	PolL	0	0	-1	72	180	0	-1	72
HE 260 B	1113	1002	Vento -Y	PolL	0	0	1	-86	180	0	1	-86
HE 260 B	1113	1002	Vento -Y	PolL	0	0	1	-72	180	0	1	-72
HE 260 B	1113	1002	Carichi termici	Termico	$\Delta XY=15^{\circ}C, \Delta XZ=15^{\circ}C$							
HE 260 B	1115	1116	Peso Proprio	UnifG	0	0	0	93	180	0	0	93
HE 260 B	1115	1116	QP Solai	PolG	0	0	0	7	180	0	0	7
HE 260 B	1115	1116	QFissi Solai	PolG	0	0	0	69	180	0	0	69
HE 260 B	1115	1116	QV Solai	PolG	0	0	0	69	180	0	0	69
HE 260 B	1115	1116	Neve	PolL	0	0	-1	50	180	0	-1	50
HE 260 B	1115	1116	Neve	PolL	0	0	-1	60	180	0	-1	60
HE 260 B	1115	1116	Vento +Y	PolL	0	0	-1	86	180	0	-1	86
HE 260 B	1115	1116	Vento +Y	PolL	0	0	-1	72	180	0	-1	72
HE 260 B	1115	1116	Vento -Y	PolL	0	0	1	-86	180	0	1	-86
HE 260 B	1115	1116	Vento -Y	PolL	0	0	1	-72	180	0	1	-72
HE 260 B	1115	1116	Carichi termici	Termico	$\Delta XY=15^{\circ}C, \Delta XZ=15^{\circ}C$							
HE 260 B	1116	1117	Peso Proprio	UnifG	0	0	0	93	180	0	0	93
HE 260 B	1116	1117	QP Solai	PolG	0	0	0	7	180	0	0	7
HE 260 B	1116	1117	QFissi Solai	PolG	0	0	0	69	180	0	0	69
HE 260 B	1116	1117	QV Solai	PolG	0	0	0	69	180	0	0	69
HE 260 B	1116	1117	Neve	PolL	0	0	-1	50	180	0	-1	50
HE 260 B	1116	1117	Neve	PolL	0	0	-1	60	180	0	-1	60
HE 260 B	1116	1117	Vento +Y	PolL	0	0	-1	72	180	0	-1	72
HE 260 B	1116	1117	Vento +Y	PolL	0	0	-1	86	180	0	-1	86
HE 260 B	1116	1117	Vento -Y	PolL	0	0	1	-86	180	0	1	-86
HE 260 B	1116	1117	Vento -Y	PolL	0	0	1	-72	180	0	1	-72
HE 260 B	1116	1117	Carichi termici	Termico	$\Delta XY=15^{\circ}C, \Delta XZ=15^{\circ}C$							
HE 260 B	1117	1003	Peso Proprio	UnifG	0	0	0	93	180	0	0	93
HE 260 B	1117	1003	QP Solai	PolG	0	0	0	7	180	0	0	7
HE 260 B	1117	1003	QFissi Solai	PolG	0	0	0	69	180	0	0	69
HE 260 B	1117	1003	QV Solai	PolG	0	0	0	69	180	0	0	69
HE 260 B	1117	1003	Neve	PolL	0	0	-1	50	180	0	-1	50
HE 260 B	1117	1003	Neve	PolL	0	0	-1	60	180	0	-1	60
HE 260 B	1117	1003	Vento +Y	PolL	0	0	-1	86	180	0	-1	86
HE 260 B	1117	1003	Vento +Y	PolL	0	0	-1	72	180	0	-1	72
HE 260 B	1117	1003	Vento -Y	PolL	0	0	1	-72	180	0	1	-72
HE 260 B	1117	1003	Vento -Y	PolL	0	0	1	-86	180	0	1	-86
HE 260 B	1117	1003	Carichi termici	Termico	$\Delta XY=15^{\circ}C, \Delta XZ=15^{\circ}C$							
HE 260 B	1118	1119	Peso Proprio	UnifG	0	0	0	93	180	0	0	93
HE 260 B	1118	1119	QP Solai	PolG	0	0	0	7	180	0	0	7
HE 260 B	1118	1119	QFissi Solai	PolG	0	0	0	69	180	0	0	69
HE 260 B	1118	1119	QV Solai	PolG	0	0	0	69	180	0	0	69
HE 260 B	1118	1119	Neve	PolL	0	0	-1	60	180	0	-1	60
HE 260 B	1118	1119	Neve	PolL	0	0	-1	50	180	0	-1	50
HE 260 B	1118	1119	Vento +Y	PolL	0	0	-1	72	180	0	-1	72
HE 260 B	1118	1119	Vento +Y	PolL	0	0	-1	86	180	0	-1	86
HE 260 B	1118	1119	Vento -Y	PolL	0	0	1	-86	180	0	1	-86
HE 260 B	1118	1119	Vento -Y	PolL	0	0	1	-72	180	0	1	-72
HE 260 B	1118	1119	Carichi termici	Termico	$\Delta XY=15^{\circ}C, \Delta XZ=15^{\circ}C$							
HE 260 B	1119	1120	Peso Proprio	UnifG	0	0	0	93	180	0	0	93
HE 260 B	1119	1120	QP Solai	PolG	0	0	0	7	180	0	0	7
HE 260 B	1119	1120	QFissi Solai	PolG	0	0	0	69	180	0	0	69
HE 260 B	1119	1120	QV Solai	PolG	0	0	0	69	180	0	0	69
HE 260 B	1119	1120	Neve	PolL	0	0	-1	60	180	0	-1	60
HE 260 B	1119	1120	Neve	PolL	0	0	-1	50	180	0	-1	50
HE 260 B	1119	1120	Vento +Y	PolL	0	0	-1	86	180	0	-1	86
HE 260 B	1119	1120	Vento +Y	PolL	0	0	-1	72	180	0	-1	72
HE 260 B	1119	1120	Vento -Y	PolL	0	0	1	-72	180	0	1	-72
HE 260 B	1119	1120	Vento -Y	PolL	0	0	1	-86	180	0	1	-86
HE 260 B	1119	1120	Carichi termici	Termico	$\Delta XY=15^{\circ}C, \Delta XZ=15^{\circ}C$							
HE 260 B	1120	1004	Peso Proprio	UnifG	0	0	0	93	180	0	0	93
HE 260 B	1120	1004	QP Solai	PolG	0	0	0	7	180	0	0	7
HE 260 B	1120	1004	QFissi Solai	PolG	0	0	0	69	180	0	0	69

Sezione	Ni	Nf	Cond.	Tipo c.	Xi	QXi	QYi	QZi	Xf	QXf	QYf	QZf
HE 260 B	1120	1004	QV Solai	PolG	0	0	0	69	180	0	0	69
HE 260 B	1120	1004	Neve	PolL	0	0	-1	60	180	0	-1	60
HE 260 B	1120	1004	Neve	PolL	0	0	-1	50	180	0	-1	50
HE 260 B	1120	1004	Vento +Y	PolL	0	0	-1	86	180	0	-1	86
HE 260 B	1120	1004	Vento +Y	PolL	0	0	-1	72	180	0	-1	72
HE 260 B	1120	1004	Vento -Y	PolL	0	0	1	-86	180	0	1	-86
HE 260 B	1120	1004	Vento -Y	PolL	0	0	1	-72	180	0	1	-72
HE 260 B	1120	1004	Carichi termici	Termico	$\Delta XY=15^{\circ}C, \Delta XZ=15^{\circ}C$							
HE 260 B	1122	1123	Peso Proprio	UnifG	0	0	0	93	180	0	0	93
HE 260 B	1122	1123	QP Solai	PolG	0	0	0	7	180	0	0	7
HE 260 B	1122	1123	QFissi Solai	PolG	0	0	0	69	180	0	0	69
HE 260 B	1122	1123	QV Solai	PolG	0	0	0	69	180	0	0	69
HE 260 B	1122	1123	Neve	PolL	0	0	-1	60	180	0	-1	60
HE 260 B	1122	1123	Neve	PolL	0	0	-1	50	180	0	-1	50
HE 260 B	1122	1123	Vento +Y	PolL	0	0	-1	86	180	0	-1	86
HE 260 B	1122	1123	Vento +Y	PolL	0	0	-1	72	180	0	-1	72
HE 260 B	1122	1123	Vento -Y	PolL	0	0	1	-86	180	0	1	-86
HE 260 B	1122	1123	Vento -Y	PolL	0	0	1	-72	180	0	1	-72
HE 260 B	1122	1123	Carichi termici	Termico	$\Delta XY=15^{\circ}C, \Delta XZ=15^{\circ}C$							
HE 260 B	1123	1124	Peso Proprio	UnifG	0	0	0	93	180	0	0	93
HE 260 B	1123	1124	QP Solai	PolG	0	0	0	7	180	0	0	7
HE 260 B	1123	1124	QFissi Solai	PolG	0	0	0	69	180	0	0	69
HE 260 B	1123	1124	QV Solai	PolG	0	0	0	69	180	0	0	69
HE 260 B	1123	1124	Neve	PolL	0	0	-1	50	180	0	-1	50
HE 260 B	1123	1124	Neve	PolL	0	0	-1	60	180	0	-1	60
HE 260 B	1123	1124	Vento +Y	PolL	0	0	-1	86	180	0	-1	86
HE 260 B	1123	1124	Vento +Y	PolL	0	0	-1	72	180	0	-1	72
HE 260 B	1123	1124	Vento -Y	PolL	0	0	1	-86	180	0	1	-86
HE 260 B	1123	1124	Vento -Y	PolL	0	0	1	-72	180	0	1	-72
HE 260 B	1123	1124	Carichi termici	Termico	$\Delta XY=15^{\circ}C, \Delta XZ=15^{\circ}C$							
HE 260 B	1124	1005	Peso Proprio	UnifG	0	0	0	93	180	0	0	93
HE 260 B	1124	1005	QP Solai	PolG	0	0	0	7	180	0	0	7
HE 260 B	1124	1005	QFissi Solai	PolG	0	0	0	69	180	0	0	69
HE 260 B	1124	1005	QV Solai	PolG	0	0	0	69	180	0	0	69
HE 260 B	1124	1005	Neve	PolL	0	0	-1	50	180	0	-1	50
HE 260 B	1124	1005	Neve	PolL	0	0	-1	60	180	0	-1	60
HE 260 B	1124	1005	Vento +Y	PolL	0	0	-1	86	180	0	-1	86
HE 260 B	1124	1005	Vento +Y	PolL	0	0	-1	72	180	0	-1	72
HE 260 B	1124	1005	Vento -Y	PolL	0	0	1	-86	180	0	1	-86
HE 260 B	1124	1005	Vento -Y	PolL	0	0	1	-86	180	0	1	-86
HE 260 B	1124	1005	Carichi termici	Termico	$\Delta XY=15^{\circ}C, \Delta XZ=15^{\circ}C$							
HE 260 B	1126	1127	Peso Proprio	UnifG	0	0	0	93	180	0	0	93
HE 260 B	1126	1127	QP Solai	PolG	0	0	0	7	180	0	0	7
HE 260 B	1126	1127	QFissi Solai	PolG	0	0	0	69	180	0	0	69
HE 260 B	1126	1127	QV Solai	PolG	0	0	0	69	180	0	0	69
HE 260 B	1126	1127	Neve	PolL	0	0	-1	50	180	0	-1	50
HE 260 B	1126	1127	Neve	PolL	0	0	-1	60	180	0	-1	60
HE 260 B	1126	1127	Vento +Y	PolL	0	0	-1	86	180	0	-1	86
HE 260 B	1126	1127	Vento +Y	PolL	0	0	-1	72	180	0	-1	72
HE 260 B	1126	1127	Vento -Y	PolL	0	0	1	-72	180	0	1	-72
HE 260 B	1126	1127	Vento -Y	PolL	0	0	1	-86	180	0	1	-86
HE 260 B	1126	1127	Carichi termici	Termico	$\Delta XY=15^{\circ}C, \Delta XZ=15^{\circ}C$							
HE 260 B	1127	1128	Peso Proprio	UnifG	0	0	0	93	180	0	0	93
HE 260 B	1127	1128	QP Solai	PolG	0	0	0	7	180	0	0	7
HE 260 B	1127	1128	QFissi Solai	PolG	0	0	0	69	180	0	0	69
HE 260 B	1127	1128	QV Solai	PolG	0	0	0	69	180	0	0	69
HE 260 B	1127	1128	Neve	PolL	0	0	-1	60	180	0	-1	60
HE 260 B	1127	1128	Neve	PolL	0	0	-1	50	180	0	-1	50
HE 260 B	1127	1128	Vento +Y	PolL	0	0	-1	86	180	0	-1	86
HE 260 B	1127	1128	Vento +Y	PolL	0	0	-1	72	180	0	-1	72
HE 260 B	1127	1128	Vento -Y	PolL	0	0	1	-72	180	0	1	-72
HE 260 B	1127	1128	Vento -Y	PolL	0	0	1	-86	180	0	1	-86
HE 260 B	1127	1128	Carichi termici	Termico	$\Delta XY=15^{\circ}C, \Delta XZ=15^{\circ}C$							
HE 260 B	1128	1006	Peso Proprio	UnifG	0	0	0	93	180	0	0	93
HE 260 B	1128	1006	QP Solai	PolG	0	0	0	7	180	0	0	7
HE 260 B	1128	1006	QFissi Solai	PolG	0	0	0	69	180	0	0	69
HE 260 B	1128	1006	QV Solai	PolG	0	0	0	69	180	0	0	69
HE 260 B	1128	1006	Neve	PolL	0	0	-1	50	180	0	-1	50
HE 260 B	1128	1006	Neve	PolL	0	0	-1	60	180	0	-1	60
HE 260 B	1128	1006	Vento +Y	PolL	0	0	-1	72	180	0	-1	72
HE 260 B	1128	1006	Vento +Y	PolL	0	0	-1	86	180	0	-1	86
HE 260 B	1128	1006	Vento -Y	PolL	0	0	1	-72	180	0	1	-72
HE 260 B	1128	1006	Vento -Y	PolL	0	0	1	-86	180	0	1	-86
HE 260 B	1128	1006	Carichi termici	Termico	$\Delta XY=15^{\circ}C, \Delta XZ=15^{\circ}C$							
HE 260 B	1130	1131	Peso Proprio	UnifG	0	0	0	93	180	0	0	93

Sezione	Ni	Nf	Cond.	Tipo c.	Xi	QXi	QYi	QZi	Xf	QXf	QYf	QZf
HE 260 B	1130	1131	QP Solai	PolG	0	0	0	7	180	0	0	7
HE 260 B	1130	1131	QFissi Solai	PolG	0	0	0	69	180	0	0	69
HE 260 B	1130	1131	QV Solai	PolG	0	0	0	69	180	0	0	69
HE 260 B	1130	1131	Neve	PolL	0	0	-1	50	180	0	-1	50
HE 260 B	1130	1131	Neve	PolL	0	0	-1	60	180	0	-1	60
HE 260 B	1130	1131	Vento +Y	PolL	0	0	-1	72	180	0	-1	72
HE 260 B	1130	1131	Vento +Y	PolL	0	0	-1	86	180	0	-1	86
HE 260 B	1130	1131	Vento -Y	PolL	0	0	1	-72	180	0	1	-72
HE 260 B	1130	1131	Vento -Y	PolL	0	0	1	-86	180	0	1	-86
HE 260 B	1130	1131	Carichi termici	Termico	$\Delta XY=15^{\circ}C, \Delta XZ=15^{\circ}C$							
HE 260 B	1131	1132	Peso Proprio	UnifG	0	0	0	93	180	0	0	93
HE 260 B	1131	1132	QP Solai	PolG	0	0	0	7	180	0	0	7
HE 260 B	1131	1132	QFissi Solai	PolG	0	0	0	69	180	0	0	69
HE 260 B	1131	1132	QV Solai	PolG	0	0	0	69	180	0	0	69
HE 260 B	1131	1132	Neve	PolL	0	0	-1	60	180	0	-1	60
HE 260 B	1131	1132	Neve	PolL	0	0	-1	50	180	0	-1	50
HE 260 B	1131	1132	Vento +Y	PolL	0	0	-1	72	180	0	-1	72
HE 260 B	1131	1132	Vento +Y	PolL	0	0	-1	86	180	0	-1	86
HE 260 B	1131	1132	Vento -Y	PolL	0	0	1	-72	180	0	1	-72
HE 260 B	1131	1132	Vento -Y	PolL	0	0	1	-86	180	0	1	-86
HE 260 B	1131	1132	Carichi termici	Termico	$\Delta XY=15^{\circ}C, \Delta XZ=15^{\circ}C$							
HE 260 B	1132	1007	Peso Proprio	UnifG	0	0	0	93	180	0	0	93
HE 260 B	1132	1007	QP Solai	PolG	0	0	0	7	180	0	0	7
HE 260 B	1132	1007	QFissi Solai	PolG	0	0	0	69	180	0	0	69
HE 260 B	1132	1007	QV Solai	PolG	0	0	0	69	180	0	0	69
HE 260 B	1132	1007	Neve	PolL	0	0	-1	50	180	0	-1	50
HE 260 B	1132	1007	Neve	PolL	0	0	-1	60	180	0	-1	60
HE 260 B	1132	1007	Vento +Y	PolL	0	0	-1	86	180	0	-1	86
HE 260 B	1132	1007	Vento +Y	PolL	0	0	-1	72	180	0	-1	72
HE 260 B	1132	1007	Vento -Y	PolL	0	0	1	-86	180	0	1	-86
HE 260 B	1132	1007	Vento -Y	PolL	0	0	1	-72	180	0	1	-72
HE 260 B	1132	1007	Carichi termici	Termico	$\Delta XY=15^{\circ}C, \Delta XZ=15^{\circ}C$							
HE 260 B	1134	1135	Peso Proprio	UnifG	0	0	0	93	180	0	0	93
HE 260 B	1134	1135	QP Solai	PolG	0	0	0	7	180	0	0	7
HE 260 B	1134	1135	QFissi Solai	PolG	0	0	0	69	180	0	0	69
HE 260 B	1134	1135	QV Solai	PolG	0	0	0	69	180	0	0	69
HE 260 B	1134	1135	Neve	PolL	0	0	-1	50	180	0	-1	50
HE 260 B	1134	1135	Neve	PolL	0	0	-1	60	180	0	-1	60
HE 260 B	1134	1135	Vento +Y	PolL	0	0	-1	86	180	0	-1	86
HE 260 B	1134	1135	Vento +Y	PolL	0	0	-1	72	180	0	-1	72
HE 260 B	1134	1135	Vento -Y	PolL	0	0	1	-72	180	0	1	-72
HE 260 B	1134	1135	Vento -Y	PolL	0	0	1	-86	180	0	1	-86
HE 260 B	1134	1135	Carichi termici	Termico	$\Delta XY=15^{\circ}C, \Delta XZ=15^{\circ}C$							
HE 260 B	1135	1136	Peso Proprio	UnifG	0	0	0	93	180	0	0	93
HE 260 B	1135	1136	QP Solai	PolG	0	0	0	7	180	0	0	7
HE 260 B	1135	1136	QFissi Solai	PolG	0	0	0	69	180	0	0	69
HE 260 B	1135	1136	QV Solai	PolG	0	0	0	69	180	0	0	69
HE 260 B	1135	1136	Neve	PolL	0	0	-1	60	180	0	-1	60
HE 260 B	1135	1136	Neve	PolL	0	0	-1	50	180	0	-1	50
HE 260 B	1135	1136	Vento +Y	PolL	0	0	-1	86	180	0	-1	86
HE 260 B	1135	1136	Vento +Y	PolL	0	0	-1	72	180	0	-1	72
HE 260 B	1135	1136	Vento -Y	PolL	0	0	1	-86	180	0	1	-86
HE 260 B	1135	1136	Vento -Y	PolL	0	0	1	-72	180	0	1	-72
HE 260 B	1135	1136	Carichi termici	Termico	$\Delta XY=15^{\circ}C, \Delta XZ=15^{\circ}C$							
HE 260 B	1136	1008	Peso Proprio	UnifG	0	0	0	93	180	0	0	93
HE 260 B	1136	1008	QP Solai	PolG	0	0	0	7	180	0	0	7
HE 260 B	1136	1008	QFissi Solai	PolG	0	0	0	69	180	0	0	69
HE 260 B	1136	1008	QV Solai	PolG	0	0	0	69	180	0	0	69
HE 260 B	1136	1008	Neve	PolL	0	0	-1	60	180	0	-1	60
HE 260 B	1136	1008	Neve	PolL	0	0	-1	50	180	0	-1	50
HE 260 B	1136	1008	Vento +Y	PolL	0	0	-1	86	180	0	-1	86
HE 260 B	1136	1008	Vento +Y	PolL	0	0	-1	72	180	0	-1	72
HE 260 B	1136	1008	Vento -Y	PolL	0	0	1	-86	180	0	1	-86
HE 260 B	1136	1008	Vento -Y	PolL	0	0	1	-72	180	0	1	-72
HE 260 B	1136	1008	Carichi termici	Termico	$\Delta XY=15^{\circ}C, \Delta XZ=15^{\circ}C$							
HE 260 B	1137	1138	Peso Proprio	UnifG	0	0	0	93	180	0	0	93
HE 260 B	1137	1138	QP Solai	PolG	0	0	0	7	180	0	0	7
HE 260 B	1137	1138	QFissi Solai	PolG	0	0	0	69	180	0	0	69
HE 260 B	1137	1138	QV Solai	PolG	0	0	0	69	180	0	0	69
HE 260 B	1137	1138	Neve	PolL	0	0	-1	50	180	0	-1	50
HE 260 B	1137	1138	Neve	PolL	0	0	-1	60	180	0	-1	60
HE 260 B	1137	1138	Vento +Y	PolL	0	0	-1	86	180	0	-1	86
HE 260 B	1137	1138	Vento +Y	PolL	0	0	-1	72	180	0	-1	72
HE 260 B	1137	1138	Vento -Y	PolL	0	0	1	-72	180	0	1	-72
HE 260 B	1137	1138	Vento -Y	PolL	0	0	1	-86	180	0	1	-86

Sezione	Ni	Nf	Cond.	Tipo c.	Xi	QXi	QYi	QZi	Xf	QXf	QYf	QZf
HE 260 B	1137	1138	Carichi termici	Termico	$\Delta XY=15^{\circ}C, \Delta XZ=15^{\circ}C$							
HE 260 B	1138	1139	Peso Proprio	UnifG	0	0	0	93	180	0	0	93
HE 260 B	1138	1139	QP Solai	PolG	0	0	0	7	180	0	0	7
HE 260 B	1138	1139	QFissi Solai	PolG	0	0	0	69	180	0	0	69
HE 260 B	1138	1139	QV Solai	PolG	0	0	0	69	180	0	0	69
HE 260 B	1138	1139	Neve	PolL	0	0	-1	50	180	0	-1	50
HE 260 B	1138	1139	Neve	PolL	0	0	-1	60	180	0	-1	60
HE 260 B	1138	1139	Vento +Y	PolL	0	0	-1	72	180	0	-1	72
HE 260 B	1138	1139	Vento +Y	PolL	0	0	-1	86	180	0	-1	86
HE 260 B	1138	1139	Vento -Y	PolL	0	0	1	-86	180	0	1	-86
HE 260 B	1138	1139	Vento -Y	PolL	0	0	1	-72	180	0	1	-72
HE 260 B	1138	1139	Carichi termici	Termico	$\Delta XY=15^{\circ}C, \Delta XZ=15^{\circ}C$							
HE 260 B	1139	1009	Peso Proprio	UnifG	0	0	0	93	180	0	0	93
HE 260 B	1139	1009	QP Solai	PolG	0	0	0	7	180	0	0	7
HE 260 B	1139	1009	QFissi Solai	PolG	0	0	0	69	180	0	0	69
HE 260 B	1139	1009	QV Solai	PolG	0	0	0	69	180	0	0	69
HE 260 B	1139	1009	Neve	PolL	0	0	-1	50	180	0	-1	50
HE 260 B	1139	1009	Neve	PolL	0	0	-1	60	180	0	-1	60
HE 260 B	1139	1009	Vento +Y	PolL	0	0	-1	72	180	0	-1	72
HE 260 B	1139	1009	Vento +Y	PolL	0	0	-1	86	180	0	-1	86
HE 260 B	1139	1009	Vento -Y	PolL	0	0	1	-72	180	0	1	-72
HE 260 B	1139	1009	Vento -Y	PolL	0	0	1	-86	180	0	1	-86
HE 260 B	1139	1009	Carichi termici	Termico	$\Delta XY=15^{\circ}C, \Delta XZ=15^{\circ}C$							
HE 260 B	1141	1142	Peso Proprio	UnifG	0	0	0	93	180	0	0	93
HE 260 B	1141	1142	QP Solai	PolG	0	0	0	7	180	0	0	7
HE 260 B	1141	1142	QFissi Solai	PolG	0	0	0	69	180	0	0	69
HE 260 B	1141	1142	QV Solai	PolG	0	0	0	69	180	0	0	69
HE 260 B	1141	1142	Neve	PolL	0	0	-1	50	180	0	-1	50
HE 260 B	1141	1142	Neve	PolL	0	0	-1	60	180	0	-1	60
HE 260 B	1141	1142	Vento +Y	PolL	0	0	-1	86	180	0	-1	86
HE 260 B	1141	1142	Vento +Y	PolL	0	0	-1	72	180	0	-1	72
HE 260 B	1141	1142	Vento -Y	PolL	0	0	1	-86	180	0	1	-86
HE 260 B	1141	1142	Vento -Y	PolL	0	0	1	-72	180	0	1	-72
HE 260 B	1141	1142	Carichi termici	Termico	$\Delta XY=15^{\circ}C, \Delta XZ=15^{\circ}C$							
HE 260 B	1142	1143	Peso Proprio	UnifG	0	0	0	93	180	0	0	93
HE 260 B	1142	1143	QP Solai	PolG	0	0	0	7	180	0	0	7
HE 260 B	1142	1143	QFissi Solai	PolG	0	0	0	69	180	0	0	69
HE 260 B	1142	1143	QV Solai	PolG	0	0	0	69	180	0	0	69
HE 260 B	1142	1143	Neve	PolL	0	0	-1	60	180	0	-1	60
HE 260 B	1142	1143	Neve	PolL	0	0	-1	50	180	0	-1	50
HE 260 B	1142	1143	Vento +Y	PolL	0	0	-1	86	180	0	-1	86
HE 260 B	1142	1143	Vento +Y	PolL	0	0	-1	72	180	0	-1	72
HE 260 B	1142	1143	Vento -Y	PolL	0	0	1	-86	180	0	1	-86
HE 260 B	1142	1143	Vento -Y	PolL	0	0	1	-72	180	0	1	-72
HE 260 B	1142	1143	Carichi termici	Termico	$\Delta XY=15^{\circ}C, \Delta XZ=15^{\circ}C$							
HE 260 B	1143	1010	Peso Proprio	UnifG	0	0	0	93	180	0	0	93
HE 260 B	1143	1010	QP Solai	PolG	0	0	0	7	180	0	0	7
HE 260 B	1143	1010	QFissi Solai	PolG	0	0	0	69	180	0	0	69
HE 260 B	1143	1010	QV Solai	PolG	0	0	0	69	180	0	0	69
HE 260 B	1143	1010	Neve	PolL	0	0	-1	60	180	0	-1	60
HE 260 B	1143	1010	Neve	PolL	0	0	-1	50	180	0	-1	50
HE 260 B	1143	1010	Vento +Y	PolL	0	0	-1	86	180	0	-1	86
HE 260 B	1143	1010	Vento +Y	PolL	0	0	-1	72	180	0	-1	72
HE 260 B	1143	1010	Vento -Y	PolL	0	0	1	-72	180	0	1	-72
HE 260 B	1143	1010	Vento -Y	PolL	0	0	1	-86	180	0	1	-86
HE 260 B	1143	1010	Carichi termici	Termico	$\Delta XY=15^{\circ}C, \Delta XZ=15^{\circ}C$							
HE 260 B	1145	1146	Peso Proprio	UnifG	0	0	0	93	180	0	0	93
HE 260 B	1145	1146	QP Solai	PolG	0	0	0	7	180	0	0	7
HE 260 B	1145	1146	QFissi Solai	PolG	0	0	0	69	180	0	0	69
HE 260 B	1145	1146	QV Solai	PolG	0	0	0	69	180	0	0	69
HE 260 B	1145	1146	Neve	PolL	0	0	-1	60	180	0	-1	60
HE 260 B	1145	1146	Neve	PolL	0	0	-1	50	180	0	-1	50
HE 260 B	1145	1146	Vento +Y	PolL	0	0	-1	72	180	0	-1	72
HE 260 B	1145	1146	Vento +Y	PolL	0	0	-1	86	180	0	-1	86
HE 260 B	1145	1146	Vento -Y	PolL	0	0	1	-86	180	0	1	-86
HE 260 B	1145	1146	Vento -Y	PolL	0	0	1	-72	180	0	1	-72
HE 260 B	1145	1146	Carichi termici	Termico	$\Delta XY=15^{\circ}C, \Delta XZ=15^{\circ}C$							
HE 260 B	1146	1147	Peso Proprio	UnifG	0	0	0	93	180	0	0	93
HE 260 B	1146	1147	QP Solai	PolG	0	0	0	7	180	0	0	7
HE 260 B	1146	1147	QFissi Solai	PolG	0	0	0	69	180	0	0	69
HE 260 B	1146	1147	QV Solai	PolG	0	0	0	69	180	0	0	69
HE 260 B	1146	1147	Neve	PolL	0	0	-1	60	180	0	-1	60
HE 260 B	1146	1147	Neve	PolL	0	0	-1	50	180	0	-1	50
HE 260 B	1146	1147	Vento +Y	PolL	0	0	-1	86	180	0	-1	86
HE 260 B	1146	1147	Vento +Y	PolL	0	0	-1	72	180	0	-1	72

Sezione	Ni	Nf	Cond.	Tipo c.	Xi	QXi	QYi	QZi	Xf	QXf	QYf	QZf
HE 260 B	1146	1147	Vento -Y	PolL	0	0	1	-86	180	0	1	-86
HE 260 B	1146	1147	Vento -Y	PolL	0	0	1	-72	180	0	1	-72
HE 260 B	1146	1147	Carichi termici	Termico	$\Delta XY=15^{\circ}C, \Delta XZ=15^{\circ}C$							
HE 260 B	1147	1011	Peso Proprio	UnifG	0	0	0	93	180	0	0	93
HE 260 B	1147	1011	QP Solai	PolG	0	0	0	7	180	0	0	7
HE 260 B	1147	1011	QFissi Solai	PolG	0	0	0	69	180	0	0	69
HE 260 B	1147	1011	QV Solai	PolG	0	0	0	69	180	0	0	69
HE 260 B	1147	1011	Neve	PolL	0	0	-1	60	180	0	-1	60
HE 260 B	1147	1011	Neve	PolL	0	0	-1	50	180	0	-1	50
HE 260 B	1147	1011	Vento +Y	PolL	0	0	-1	86	180	0	-1	86
HE 260 B	1147	1011	Vento +Y	PolL	0	0	-1	72	180	0	-1	72
HE 260 B	1147	1011	Vento -Y	PolL	0	0	1	-72	180	0	1	-72
HE 260 B	1147	1011	Vento -Y	PolL	0	0	1	-86	180	0	1	-86
HE 260 B	1147	1011	Carichi termici	Termico	$\Delta XY=15^{\circ}C, \Delta XZ=15^{\circ}C$							
Trave 102												
HE 260 B	1012	1238	Peso Proprio	UnifG	0	0	0	93	180	0	0	93
HE 260 B	1012	1238	QP Solai	PolG	0	0	0	7	180	0	0	7
HE 260 B	1012	1238	QFissi Solai	PolG	0	0	0	71	180	0	0	71
HE 260 B	1012	1238	QV Solai	PolG	0	0	0	71	180	0	0	71
HE 260 B	1012	1238	Neve	PolL	0	0	-1	60	180	0	-1	60
HE 260 B	1012	1238	Neve	PolL	0	0	-1	54	180	0	-1	54
HE 260 B	1012	1238	Vento +Y	PolL	0	0	-1	77	180	0	-1	77
HE 260 B	1012	1238	Vento +Y	PolL	0	0	-1	86	180	0	-1	86
HE 260 B	1012	1238	Vento -Y	PolL	0	0	1	-77	180	0	1	-77
HE 260 B	1012	1238	Vento -Y	PolL	0	0	1	-86	180	0	1	-86
HE 260 B	1012	1238	Carichi termici	Termico	$\Delta XY=15^{\circ}C, \Delta XZ=15^{\circ}C$							
HE 260 B	1012	1238	Pressione dinamica treno inizio	PolL	0	0	-0	15	180	0	-0	15
HE 260 B	1013	1242	Peso Proprio	UnifG	0	0	0	93	180	0	0	93
HE 260 B	1013	1242	QP Solai	PolG	0	0	0	7	180	0	0	7
HE 260 B	1013	1242	QFissi Solai	PolG	0	0	0	71	180	0	0	71
HE 260 B	1013	1242	QV Solai	PolG	0	0	0	71	180	0	0	71
HE 260 B	1013	1242	Neve	PolL	0	0	-1	54	180	0	-1	54
HE 260 B	1013	1242	Neve	PolL	0	0	-1	60	180	0	-1	60
HE 260 B	1013	1242	Vento +Y	PolL	0	0	-1	77	180	0	-1	77
HE 260 B	1013	1242	Vento +Y	PolL	0	0	-1	86	180	0	-1	86
HE 260 B	1013	1242	Vento -Y	PolL	0	0	1	-77	180	0	1	-77
HE 260 B	1013	1242	Vento -Y	PolL	0	0	1	-86	180	0	1	-86
HE 260 B	1013	1242	Carichi termici	Termico	$\Delta XY=15^{\circ}C, \Delta XZ=15^{\circ}C$							
HE 260 B	1013	1242	Pressione dinamica treno inizio	PolL	0	0	0	-15	180	0	0	-15
HE 260 B	1014	1245	Peso Proprio	UnifG	0	0	0	93	180	0	0	93
HE 260 B	1014	1245	QP Solai	PolG	0	0	0	7	180	0	0	7
HE 260 B	1014	1245	QFissi Solai	PolG	0	0	0	71	180	0	0	71
HE 260 B	1014	1245	QV Solai	PolG	0	0	0	71	180	0	0	71
HE 260 B	1014	1245	Neve	PolL	0	0	-1	60	180	0	-1	60
HE 260 B	1014	1245	Neve	PolL	0	0	-1	54	180	0	-1	54
HE 260 B	1014	1245	Vento +Y	PolL	0	0	-1	77	180	0	-1	77
HE 260 B	1014	1245	Vento +Y	PolL	0	0	-1	86	180	0	-1	86
HE 260 B	1014	1245	Vento -Y	PolL	0	0	1	-77	180	0	1	-77
HE 260 B	1014	1245	Vento -Y	PolL	0	0	1	-86	180	0	1	-86
HE 260 B	1014	1245	Carichi termici	Termico	$\Delta XY=15^{\circ}C, \Delta XZ=15^{\circ}C$							
HE 260 B	1015	1249	Peso Proprio	UnifG	0	0	0	93	180	0	0	93
HE 260 B	1015	1249	QP Solai	PolG	0	0	0	7	180	0	0	7
HE 260 B	1015	1249	QFissi Solai	PolG	0	0	0	71	180	0	0	71
HE 260 B	1015	1249	QV Solai	PolG	0	0	0	71	180	0	0	71
HE 260 B	1015	1249	Neve	PolL	0	0	-1	54	180	0	-1	54
HE 260 B	1015	1249	Neve	PolL	0	0	-1	60	180	0	-1	60
HE 260 B	1015	1249	Vento +Y	PolL	0	0	-1	86	180	0	-1	86
HE 260 B	1015	1249	Vento +Y	PolL	0	0	-1	77	180	0	-1	77
HE 260 B	1015	1249	Vento -Y	PolL	0	0	1	-86	180	0	1	-86
HE 260 B	1015	1249	Vento -Y	PolL	0	0	1	-77	180	0	1	-77
HE 260 B	1015	1249	Carichi termici	Termico	$\Delta XY=15^{\circ}C, \Delta XZ=15^{\circ}C$							
HE 260 B	1016	1253	Peso Proprio	UnifG	0	0	0	93	180	0	0	93
HE 260 B	1016	1253	QP Solai	PolG	0	0	0	7	180	0	0	7
HE 260 B	1016	1253	QFissi Solai	PolG	0	0	0	71	180	0	0	71
HE 260 B	1016	1253	QV Solai	PolG	0	0	0	71	180	0	0	71
HE 260 B	1016	1253	Neve	PolL	0	0	-1	54	180	0	-1	54
HE 260 B	1016	1253	Neve	PolL	0	0	-1	60	180	0	-1	60
HE 260 B	1016	1253	Vento +Y	PolL	0	0	-1	77	180	0	-1	77
HE 260 B	1016	1253	Vento +Y	PolL	0	0	-1	86	180	0	-1	86
HE 260 B	1016	1253	Vento -Y	PolL	0	0	1	-86	180	0	1	-86
HE 260 B	1016	1253	Vento -Y	PolL	0	0	1	-77	180	0	1	-77
HE 260 B	1016	1253	Carichi termici	Termico	$\Delta XY=15^{\circ}C, \Delta XZ=15^{\circ}C$							
HE 260 B	1017	1257	Peso Proprio	UnifG	0	0	0	93	180	0	0	93

Sezione	Ni	Nf	Cond.	Tipo c.	Xi	QXi	QYi	QZi	Xf	QXf	QYf	QZf
HE 260 B	1017	1257	QP Solai	PolG	0	0	0	7	180	0	0	7
HE 260 B	1017	1257	QFissi Solai	PolG	0	0	0	71	180	0	0	71
HE 260 B	1017	1257	QV Solai	PolG	0	0	0	71	180	0	0	71
HE 260 B	1017	1257	Neve	PolL	0	0	-1	60	180	0	-1	60
HE 260 B	1017	1257	Neve	PolL	0	0	-1	54	180	0	-1	54
HE 260 B	1017	1257	Vento +Y	PolL	0	0	-1	77	180	0	-1	77
HE 260 B	1017	1257	Vento +Y	PolL	0	0	-1	86	180	0	-1	86
HE 260 B	1017	1257	Vento -Y	PolL	0	0	1	-86	180	0	1	-86
HE 260 B	1017	1257	Vento -Y	PolL	0	0	1	-77	180	0	1	-77
HE 260 B	1017	1257	Carichi termici	Termico	$\Delta XY=15^{\circ}C, \Delta XZ=15^{\circ}C$							
HE 260 B	1018	1261	Peso Proprio	UnifG	0	0	0	93	180	0	0	93
HE 260 B	1018	1261	QP Solai	PolG	0	0	0	7	180	0	0	7
HE 260 B	1018	1261	QFissi Solai	PolG	0	0	0	71	180	0	0	71
HE 260 B	1018	1261	QV Solai	PolG	0	0	0	71	180	0	0	71
HE 260 B	1018	1261	Neve	PolL	0	0	-1	60	180	0	-1	60
HE 260 B	1018	1261	Neve	PolL	0	0	-1	54	180	0	-1	54
HE 260 B	1018	1261	Vento +Y	PolL	0	0	-1	86	180	0	-1	86
HE 260 B	1018	1261	Vento +Y	PolL	0	0	-1	77	180	0	-1	77
HE 260 B	1018	1261	Vento -Y	PolL	0	0	1	-86	180	0	1	-86
HE 260 B	1018	1261	Vento -Y	PolL	0	0	1	-77	180	0	1	-77
HE 260 B	1018	1261	Carichi termici	Termico	$\Delta XY=15^{\circ}C, \Delta XZ=15^{\circ}C$							
HE 260 B	1019	1264	Peso Proprio	UnifG	0	0	0	93	180	0	0	93
HE 260 B	1019	1264	QP Solai	PolG	0	0	0	7	180	0	0	7
HE 260 B	1019	1264	QFissi Solai	PolG	0	0	0	71	180	0	0	71
HE 260 B	1019	1264	QV Solai	PolG	0	0	0	71	180	0	0	71
HE 260 B	1019	1264	Neve	PolL	0	0	-1	60	180	0	-1	60
HE 260 B	1019	1264	Neve	PolL	0	0	-1	54	180	0	-1	54
HE 260 B	1019	1264	Vento +Y	PolL	0	0	-1	86	180	0	-1	86
HE 260 B	1019	1264	Vento +Y	PolL	0	0	-1	77	180	0	-1	77
HE 260 B	1019	1264	Vento -Y	PolL	0	0	1	-77	180	0	1	-77
HE 260 B	1019	1264	Vento -Y	PolL	0	0	1	-86	180	0	1	-86
HE 260 B	1019	1264	Carichi termici	Termico	$\Delta XY=15^{\circ}C, \Delta XZ=15^{\circ}C$							
HE 260 B	1020	1268	Peso Proprio	UnifG	0	0	0	93	180	0	0	93
HE 260 B	1020	1268	QP Solai	PolG	0	0	0	7	180	0	0	7
HE 260 B	1020	1268	QFissi Solai	PolG	0	0	0	71	180	0	0	71
HE 260 B	1020	1268	QV Solai	PolG	0	0	0	71	180	0	0	71
HE 260 B	1020	1268	Neve	PolL	0	0	-1	54	180	0	-1	54
HE 260 B	1020	1268	Neve	PolL	0	0	-1	60	180	0	-1	60
HE 260 B	1020	1268	Vento +Y	PolL	0	0	-1	86	180	0	-1	86
HE 260 B	1020	1268	Vento +Y	PolL	0	0	-1	77	180	0	-1	77
HE 260 B	1020	1268	Vento -Y	PolL	0	0	1	-77	180	0	1	-77
HE 260 B	1020	1268	Vento -Y	PolL	0	0	1	-86	180	0	1	-86
HE 260 B	1020	1268	Carichi termici	Termico	$\Delta XY=15^{\circ}C, \Delta XZ=15^{\circ}C$							
HE 260 B	1021	1272	Peso Proprio	UnifG	0	0	0	93	180	0	0	93
HE 260 B	1021	1272	QP Solai	PolG	0	0	0	7	180	0	0	7
HE 260 B	1021	1272	QFissi Solai	PolG	0	0	0	71	180	0	0	71
HE 260 B	1021	1272	QV Solai	PolG	0	0	0	71	180	0	0	71
HE 260 B	1021	1272	Neve	PolL	0	0	-1	60	180	0	-1	60
HE 260 B	1021	1272	Neve	PolL	0	0	-1	54	180	0	-1	54
HE 260 B	1021	1272	Vento +Y	PolL	0	0	-1	77	180	0	-1	77
HE 260 B	1021	1272	Vento +Y	PolL	0	0	-1	86	180	0	-1	86
HE 260 B	1021	1272	Vento -Y	PolL	0	0	1	-86	180	0	1	-86
HE 260 B	1021	1272	Vento -Y	PolL	0	0	1	-77	180	0	1	-77
HE 260 B	1021	1272	Carichi termici	Termico	$\Delta XY=15^{\circ}C, \Delta XZ=15^{\circ}C$							
HE 260 B	1021	1272	Pressione dinamica treno fine	PolL	0	0	-0	15	180	0	-0	15
HE 260 B	1022	1276	Peso Proprio	UnifG	0	0	0	93	200	0	0	93
HE 260 B	1022	1276	QP Solai	PolG	0	0	0	7	200	0	0	7
HE 260 B	1022	1276	QFissi Solai	PolG	0	0	0	71	200	0	0	71
HE 260 B	1022	1276	QV Solai	PolG	0	0	0	71	200	0	0	71
HE 260 B	1022	1276	Neve	PolL	0	0	-1	54	200	0	-1	54
HE 260 B	1022	1276	Neve	PolL	0	0	-1	60	200	0	-1	60
HE 260 B	1022	1276	Vento +Y	PolL	0	0	-1	86	200	0	-1	86
HE 260 B	1022	1276	Vento +Y	PolL	0	0	-1	77	200	0	-1	77
HE 260 B	1022	1276	Vento -Y	PolL	0	0	1	-77	200	0	1	-77
HE 260 B	1022	1276	Vento -Y	PolL	0	0	1	-86	200	0	1	-86
HE 260 B	1022	1276	Carichi termici	Termico	$\Delta XY=15^{\circ}C, \Delta XZ=15^{\circ}C$							
HE 260 B	1022	1276	Pressione dinamica treno fine	PolL	0	0	0	-15	200	0	0	-15
HE 260 B	1236	1012	Peso Proprio	UnifG	0	0	0	93	200	0	0	93
HE 260 B	1236	1012	QP Solai	PolG	0	0	0	7	200	0	0	7
HE 260 B	1236	1012	QFissi Solai	PolG	0	0	0	71	200	0	0	71
HE 260 B	1236	1012	QV Solai	PolG	0	0	0	71	200	0	0	71
HE 260 B	1236	1012	Neve	PolL	0	0	-1	60	200	0	-1	60
HE 260 B	1236	1012	Neve	PolL	0	0	-1	54	200	0	-1	54

Sezione	Ni	Nf	Cond.	Tipo c.	Xi	QXi	QYi	QZi	Xf	QXf	QYf	QZf			
HE 260 B	1236	1012	Vento +Y	PolL	0	0	-1	77	200	0	-1	77			
HE 260 B	1236	1012	Vento +Y	PolL	0	0	-1	86	200	0	-1	86			
HE 260 B	1236	1012	Vento -Y	PolL	0	0	1	-77	200	0	1	-77			
HE 260 B	1236	1012	Vento -Y	PolL	0	0	1	-86	200	0	1	-86			
HE 260 B	1236	1012	Carichi termici	Termico	$\Delta XY=15^{\circ}C, \Delta XZ=15^{\circ}C$										
HE 260 B	1236	1012	Pressione dinamica treno inizio	PolL	0	0	-0	15	200	0	-0	15			
HE 260 B	1238	1239	Peso Proprio	UnifG	0	0	0	93	180	0	0	93			
HE 260 B	1238	1239	QP Solai	PolG	0	0	0	7	180	0	0	7			
HE 260 B	1238	1239	QFissi Solai	PolG	0	0	0	71	180	0	0	71			
HE 260 B	1238	1239	QV Solai	PolG	0	0	0	71	180	0	0	71			
HE 260 B	1238	1239	Neve	PolL	0	0	-1	60	180	0	-1	60			
HE 260 B	1238	1239	Neve	PolL	0	0	-1	54	180	0	-1	54			
HE 260 B	1238	1239	Vento +Y	PolL	0	0	-1	86	180	0	-1	86			
HE 260 B	1238	1239	Vento +Y	PolL	0	0	-1	77	180	0	-1	77			
HE 260 B	1238	1239	Vento -Y	PolL	0	0	1	-77	180	0	1	-77			
HE 260 B	1238	1239	Vento -Y	PolL	0	0	1	-86	180	0	1	-86			
HE 260 B	1238	1239	Carichi termici	Termico	$\Delta XY=15^{\circ}C, \Delta XZ=15^{\circ}C$										
HE 260 B	1238	1239	Pressione dinamica treno inizio	PolL	0	0	-0	15	180	0	-0	15			
HE 260 B	1239	1240	Peso Proprio	UnifG	0	0	0	93	180	0	0	93			
HE 260 B	1239	1240	QP Solai	PolG	0	0	0	7	180	0	0	7			
HE 260 B	1239	1240	QFissi Solai	PolG	0	0	0	71	180	0	0	71			
HE 260 B	1239	1240	QV Solai	PolG	0	0	0	71	180	0	0	71			
HE 260 B	1239	1240	Neve	PolL	0	0	-1	54	180	0	-1	54			
HE 260 B	1239	1240	Neve	PolL	0	0	-1	60	180	0	-1	60			
HE 260 B	1239	1240	Vento +Y	PolL	0	0	-1	86	180	0	-1	86			
HE 260 B	1239	1240	Vento +Y	PolL	0	0	-1	77	180	0	-1	77			
HE 260 B	1239	1240	Vento -Y	PolL	0	0	1	-77	180	0	1	-77			
HE 260 B	1239	1240	Vento -Y	PolL	0	0	1	-86	180	0	1	-86			
HE 260 B	1239	1240	Carichi termici	Termico	$\Delta XY=15^{\circ}C, \Delta XZ=15^{\circ}C$										
HE 260 B	1239	1240	Pressione dinamica treno inizio	PolL	0	0	0	-15	180	0	0	-15			
HE 260 B	1240	1013	Peso Proprio	UnifG	0	0	0	93	180	0	0	93			
HE 260 B	1240	1013	QP Solai	PolG	0	0	0	7	180	0	0	7			
HE 260 B	1240	1013	QFissi Solai	PolG	0	0	0	71	180	0	0	71			
HE 260 B	1240	1013	QV Solai	PolG	0	0	0	71	180	0	0	71			
HE 260 B	1240	1013	Neve	PolL	0	0	-1	54	180	0	-1	54			
HE 260 B	1240	1013	Neve	PolL	0	0	-1	60	180	0	-1	60			
HE 260 B	1240	1013	Vento +Y	PolL	0	0	-1	77	180	0	-1	77			
HE 260 B	1240	1013	Vento +Y	PolL	0	0	-1	86	180	0	-1	86			
HE 260 B	1240	1013	Vento -Y	PolL	0	0	1	-77	180	0	1	-77			
HE 260 B	1240	1013	Vento -Y	PolL	0	0	1	-86	180	0	1	-86			
HE 260 B	1240	1013	Carichi termici	Termico	$\Delta XY=15^{\circ}C, \Delta XZ=15^{\circ}C$										
HE 260 B	1240	1013	Pressione dinamica treno inizio	PolL	0	0	0	-15	180	0	0	-15			
HE 260 B	1242	1243	Peso Proprio	UnifG	0	0	0	93	180	0	0	93			
HE 260 B	1242	1243	QP Solai	PolG	0	0	0	7	180	0	0	7			
HE 260 B	1242	1243	QFissi Solai	PolG	0	0	0	71	180	0	0	71			
HE 260 B	1242	1243	QV Solai	PolG	0	0	0	71	180	0	0	71			
HE 260 B	1242	1243	Neve	PolL	0	0	-1	54	180	0	-1	54			
HE 260 B	1242	1243	Neve	PolL	0	0	-1	60	180	0	-1	60			
HE 260 B	1242	1243	Vento +Y	PolL	0	0	-1	86	180	0	-1	86			
HE 260 B	1242	1243	Vento +Y	PolL	0	0	-1	77	180	0	-1	77			
HE 260 B	1242	1243	Vento -Y	PolL	0	0	1	-86	180	0	1	-86			
HE 260 B	1242	1243	Vento -Y	PolL	0	0	1	-77	180	0	1	-77			
HE 260 B	1242	1243	Carichi termici	Termico	$\Delta XY=15^{\circ}C, \Delta XZ=15^{\circ}C$										
HE 260 B	1243	1244	Peso Proprio	UnifG	0	0	0	93	180	0	0	93			
HE 260 B	1243	1244	QP Solai	PolG	0	0	0	7	180	0	0	7			
HE 260 B	1243	1244	QFissi Solai	PolG	0	0	0	71	180	0	0	71			
HE 260 B	1243	1244	QV Solai	PolG	0	0	0	71	180	0	0	71			
HE 260 B	1243	1244	Neve	PolL	0	0	-1	60	180	0	-1	60			
HE 260 B	1243	1244	Neve	PolL	0	0	-1	54	180	0	-1	54			
HE 260 B	1243	1244	Vento +Y	PolL	0	0	-1	86	180	0	-1	86			
HE 260 B	1243	1244	Vento +Y	PolL	0	0	-1	77	180	0	-1	77			
HE 260 B	1243	1244	Vento -Y	PolL	0	0	1	-86	180	0	1	-86			
HE 260 B	1243	1244	Vento -Y	PolL	0	0	1	-77	180	0	1	-77			
HE 260 B	1243	1244	Carichi termici	Termico	$\Delta XY=15^{\circ}C, \Delta XZ=15^{\circ}C$										
HE 260 B	1244	1014	Peso Proprio	UnifG	0	0	0	93	180	0	0	93			
HE 260 B	1244	1014	QP Solai	PolG	0	0	0	7	180	0	0	7			
HE 260 B	1244	1014	QFissi Solai	PolG	0	0	0	71	180	0	0	71			
HE 260 B	1244	1014	QV Solai	PolG	0	0	0	71	180	0	0	71			
HE 260 B	1244	1014	Neve	PolL	0	0	-1	54	180	0	-1	54			
HE 260 B	1244	1014	Neve	PolL	0	0	-1	60	180	0	-1	60			
HE 260 B	1244	1014	Vento +Y	PolL	0	0	-1	86	180	0	-1	86			
HE 260 B	1244	1014	Vento +Y	PolL	0	0	-1	77	180	0	-1	77			

Sezione	Ni	Nf	Cond.	Tipo c.	Xi	QXi	QYi	QZi	Xf	QXf	QYf	QZf
HE 260 B	1244	1014	Vento -Y	PolL	0	0	1	-86	180	0	1	-86
HE 260 B	1244	1014	Vento -Y	PolL	0	0	1	-77	180	0	1	-77
HE 260 B	1244	1014	Carichi termici	Termico	$\Delta XY=15^{\circ}C, \Delta XZ=15^{\circ}C$							
HE 260 B	1245	1246	Peso Proprio	UnifG	0	0	0	93	180	0	0	93
HE 260 B	1245	1246	QP Solai	PolG	0	0	0	7	180	0	0	7
HE 260 B	1245	1246	QFissi Solai	PolG	0	0	0	71	180	0	0	71
HE 260 B	1245	1246	QV Solai	PolG	0	0	0	71	180	0	0	71
HE 260 B	1245	1246	Neve	PolL	0	0	-1	60	180	0	-1	60
HE 260 B	1245	1246	Neve	PolL	0	0	-1	54	180	0	-1	54
HE 260 B	1245	1246	Vento +Y	PolL	0	0	-1	77	180	0	-1	77
HE 260 B	1245	1246	Vento +Y	PolL	0	0	-1	86	180	0	-1	86
HE 260 B	1245	1246	Vento -Y	PolL	0	0	1	-86	180	0	1	-86
HE 260 B	1245	1246	Vento -Y	PolL	0	0	1	-77	180	0	1	-77
HE 260 B	1245	1246	Carichi termici	Termico	$\Delta XY=15^{\circ}C, \Delta XZ=15^{\circ}C$							
HE 260 B	1246	1247	Peso Proprio	UnifG	0	0	0	93	180	0	0	93
HE 260 B	1246	1247	QP Solai	PolG	0	0	0	7	180	0	0	7
HE 260 B	1246	1247	QFissi Solai	PolG	0	0	0	71	180	0	0	71
HE 260 B	1246	1247	QV Solai	PolG	0	0	0	71	180	0	0	71
HE 260 B	1246	1247	Neve	PolL	0	0	-1	60	180	0	-1	60
HE 260 B	1246	1247	Neve	PolL	0	0	-1	54	180	0	-1	54
HE 260 B	1246	1247	Vento +Y	PolL	0	0	-1	86	180	0	-1	86
HE 260 B	1246	1247	Vento +Y	PolL	0	0	-1	77	180	0	-1	77
HE 260 B	1246	1247	Vento -Y	PolL	0	0	1	-86	180	0	1	-86
HE 260 B	1246	1247	Vento -Y	PolL	0	0	1	-77	180	0	1	-77
HE 260 B	1246	1247	Carichi termici	Termico	$\Delta XY=15^{\circ}C, \Delta XZ=15^{\circ}C$							
HE 260 B	1247	1015	Peso Proprio	UnifG	0	0	0	93	180	0	0	93
HE 260 B	1247	1015	QP Solai	PolG	0	0	0	7	180	0	0	7
HE 260 B	1247	1015	QFissi Solai	PolG	0	0	0	71	180	0	0	71
HE 260 B	1247	1015	QV Solai	PolG	0	0	0	71	180	0	0	71
HE 260 B	1247	1015	Neve	PolL	0	0	-1	54	180	0	-1	54
HE 260 B	1247	1015	Neve	PolL	0	0	-1	60	180	0	-1	60
HE 260 B	1247	1015	Vento +Y	PolL	0	0	-1	77	180	0	-1	77
HE 260 B	1247	1015	Vento +Y	PolL	0	0	-1	86	180	0	-1	86
HE 260 B	1247	1015	Vento -Y	PolL	0	0	1	-86	180	0	1	-86
HE 260 B	1247	1015	Vento -Y	PolL	0	0	1	-77	180	0	1	-77
HE 260 B	1247	1015	Carichi termici	Termico	$\Delta XY=15^{\circ}C, \Delta XZ=15^{\circ}C$							
HE 260 B	1249	1250	Peso Proprio	UnifG	0	0	0	93	180	0	0	93
HE 260 B	1249	1250	QP Solai	PolG	0	0	0	7	180	0	0	7
HE 260 B	1249	1250	QFissi Solai	PolG	0	0	0	71	180	0	0	71
HE 260 B	1249	1250	QV Solai	PolG	0	0	0	71	180	0	0	71
HE 260 B	1249	1250	Neve	PolL	0	0	-1	60	180	0	-1	60
HE 260 B	1249	1250	Neve	PolL	0	0	-1	54	180	0	-1	54
HE 260 B	1249	1250	Vento +Y	PolL	0	0	-1	77	180	0	-1	77
HE 260 B	1249	1250	Vento +Y	PolL	0	0	-1	86	180	0	-1	86
HE 260 B	1249	1250	Vento -Y	PolL	0	0	1	-86	180	0	1	-86
HE 260 B	1249	1250	Vento -Y	PolL	0	0	1	-77	180	0	1	-77
HE 260 B	1249	1250	Carichi termici	Termico	$\Delta XY=15^{\circ}C, \Delta XZ=15^{\circ}C$							
HE 260 B	1250	1251	Peso Proprio	UnifG	0	0	0	93	180	0	0	93
HE 260 B	1250	1251	QP Solai	PolG	0	0	0	7	180	0	0	7
HE 260 B	1250	1251	QFissi Solai	PolG	0	0	0	71	180	0	0	71
HE 260 B	1250	1251	QV Solai	PolG	0	0	0	71	180	0	0	71
HE 260 B	1250	1251	Neve	PolL	0	0	-1	60	180	0	-1	60
HE 260 B	1250	1251	Neve	PolL	0	0	-1	54	180	0	-1	54
HE 260 B	1250	1251	Vento +Y	PolL	0	0	-1	77	180	0	-1	77
HE 260 B	1250	1251	Vento +Y	PolL	0	0	-1	86	180	0	-1	86
HE 260 B	1250	1251	Vento -Y	PolL	0	0	1	-86	180	0	1	-86
HE 260 B	1250	1251	Vento -Y	PolL	0	0	1	-77	180	0	1	-77
HE 260 B	1250	1251	Carichi termici	Termico	$\Delta XY=15^{\circ}C, \Delta XZ=15^{\circ}C$							
HE 260 B	1251	1016	Peso Proprio	UnifG	0	0	0	93	180	0	0	93
HE 260 B	1251	1016	QP Solai	PolG	0	0	0	7	180	0	0	7
HE 260 B	1251	1016	QFissi Solai	PolG	0	0	0	71	180	0	0	71
HE 260 B	1251	1016	QV Solai	PolG	0	0	0	71	180	0	0	71
HE 260 B	1251	1016	Neve	PolL	0	0	-1	60	180	0	-1	60
HE 260 B	1251	1016	Neve	PolL	0	0	-1	54	180	0	-1	54
HE 260 B	1251	1016	Vento +Y	PolL	0	0	-1	77	180	0	-1	77
HE 260 B	1251	1016	Vento +Y	PolL	0	0	-1	86	180	0	-1	86
HE 260 B	1251	1016	Vento -Y	PolL	0	0	1	-86	180	0	1	-86
HE 260 B	1251	1016	Vento -Y	PolL	0	0	1	-77	180	0	1	-77
HE 260 B	1251	1016	Carichi termici	Termico	$\Delta XY=15^{\circ}C, \Delta XZ=15^{\circ}C$							
HE 260 B	1253	1254	Peso Proprio	UnifG	0	0	0	93	180	0	0	93
HE 260 B	1253	1254	QP Solai	PolG	0	0	0	7	180	0	0	7
HE 260 B	1253	1254	QFissi Solai	PolG	0	0	0	71	180	0	0	71
HE 260 B	1253	1254	QV Solai	PolG	0	0	0	71	180	0	0	71
HE 260 B	1253	1254	Neve	PolL	0	0	-1	60	180	0	-1	60
HE 260 B	1253	1254	Neve	PolL	0	0	-1	54	180	0	-1	54

Sezione	Ni	Nf	Cond.	Tipo c.	Xi	QXi	QYi	QZi	Xf	QXf	QYf	QZf			
HE 260 B	1253	1254	Vento +Y	PolL	0	0	-1	77	180	0	-1	77			
HE 260 B	1253	1254	Vento +Y	PolL	0	0	-1	86	180	0	-1	86			
HE 260 B	1253	1254	Vento -Y	PolL	0	0	1	-77	180	0	1	-77			
HE 260 B	1253	1254	Vento -Y	PolL	0	0	1	-86	180	0	1	-86			
HE 260 B	1253	1254	Carichi termici	Termico	$\Delta XY=15^{\circ}C, \Delta XZ=15^{\circ}C$										
HE 260 B	1254	1255	Peso Proprio	UnifG	0	0	0	93	180	0	0	93			
HE 260 B	1254	1255	QP Solai	PolG	0	0	0	7	180	0	0	7			
HE 260 B	1254	1255	QFissi Solai	PolG	0	0	0	71	180	0	0	71			
HE 260 B	1254	1255	QV Solai	PolG	0	0	0	71	180	0	0	71			
HE 260 B	1254	1255	Neve	PolL	0	0	-1	60	180	0	-1	60			
HE 260 B	1254	1255	Neve	PolL	0	0	-1	54	180	0	-1	54			
HE 260 B	1254	1255	Vento +Y	PolL	0	0	-1	77	180	0	-1	77			
HE 260 B	1254	1255	Vento +Y	PolL	0	0	-1	86	180	0	-1	86			
HE 260 B	1254	1255	Vento -Y	PolL	0	0	1	-77	180	0	1	-77			
HE 260 B	1254	1255	Vento -Y	PolL	0	0	1	-86	180	0	1	-86			
HE 260 B	1254	1255	Carichi termici	Termico	$\Delta XY=15^{\circ}C, \Delta XZ=15^{\circ}C$										
HE 260 B	1255	1017	Peso Proprio	UnifG	0	0	0	93	180	0	0	93			
HE 260 B	1255	1017	QP Solai	PolG	0	0	0	7	180	0	0	7			
HE 260 B	1255	1017	QFissi Solai	PolG	0	0	0	71	180	0	0	71			
HE 260 B	1255	1017	QV Solai	PolG	0	0	0	71	180	0	0	71			
HE 260 B	1255	1017	Neve	PolL	0	0	-1	60	180	0	-1	60			
HE 260 B	1255	1017	Neve	PolL	0	0	-1	54	180	0	-1	54			
HE 260 B	1255	1017	Vento +Y	PolL	0	0	-1	86	180	0	-1	86			
HE 260 B	1255	1017	Vento +Y	PolL	0	0	-1	77	180	0	-1	77			
HE 260 B	1255	1017	Vento -Y	PolL	0	0	1	-77	180	0	1	-77			
HE 260 B	1255	1017	Vento -Y	PolL	0	0	1	-86	180	0	1	-86			
HE 260 B	1255	1017	Carichi termici	Termico	$\Delta XY=15^{\circ}C, \Delta XZ=15^{\circ}C$										
HE 260 B	1257	1258	Peso Proprio	UnifG	0	0	0	93	180	0	0	93			
HE 260 B	1257	1258	QP Solai	PolG	0	0	0	7	180	0	0	7			
HE 260 B	1257	1258	QFissi Solai	PolG	0	0	0	71	180	0	0	71			
HE 260 B	1257	1258	QV Solai	PolG	0	0	0	71	180	0	0	71			
HE 260 B	1257	1258	Neve	PolL	0	0	-1	60	180	0	-1	60			
HE 260 B	1257	1258	Neve	PolL	0	0	-1	54	180	0	-1	54			
HE 260 B	1257	1258	Vento +Y	PolL	0	0	-1	77	180	0	-1	77			
HE 260 B	1257	1258	Vento +Y	PolL	0	0	-1	86	180	0	-1	86			
HE 260 B	1257	1258	Vento -Y	PolL	0	0	1	-86	180	0	1	-86			
HE 260 B	1257	1258	Vento -Y	PolL	0	0	1	-77	180	0	1	-77			
HE 260 B	1257	1258	Carichi termici	Termico	$\Delta XY=15^{\circ}C, \Delta XZ=15^{\circ}C$										
HE 260 B	1258	1259	Peso Proprio	UnifG	0	0	0	93	180	0	0	93			
HE 260 B	1258	1259	QP Solai	PolG	0	0	0	7	180	0	0	7			
HE 260 B	1258	1259	QFissi Solai	PolG	0	0	0	71	180	0	0	71			
HE 260 B	1258	1259	QV Solai	PolG	0	0	0	71	180	0	0	71			
HE 260 B	1258	1259	Neve	PolL	0	0	-1	54	180	0	-1	54			
HE 260 B	1258	1259	Neve	PolL	0	0	-1	60	180	0	-1	60			
HE 260 B	1258	1259	Vento +Y	PolL	0	0	-1	86	180	0	-1	86			
HE 260 B	1258	1259	Vento +Y	PolL	0	0	-1	77	180	0	-1	77			
HE 260 B	1258	1259	Vento -Y	PolL	0	0	1	-77	180	0	1	-77			
HE 260 B	1258	1259	Vento -Y	PolL	0	0	1	-86	180	0	1	-86			
HE 260 B	1258	1259	Carichi termici	Termico	$\Delta XY=15^{\circ}C, \Delta XZ=15^{\circ}C$										
HE 260 B	1259	1018	Peso Proprio	UnifG	0	0	0	93	180	0	0	93			
HE 260 B	1259	1018	QP Solai	PolG	0	0	0	7	180	0	0	7			
HE 260 B	1259	1018	QFissi Solai	PolG	0	0	0	71	180	0	0	71			
HE 260 B	1259	1018	QV Solai	PolG	0	0	0	71	180	0	0	71			
HE 260 B	1259	1018	Neve	PolL	0	0	-1	54	180	0	-1	54			
HE 260 B	1259	1018	Neve	PolL	0	0	-1	60	180	0	-1	60			
HE 260 B	1259	1018	Vento +Y	PolL	0	0	-1	86	180	0	-1	86			
HE 260 B	1259	1018	Vento +Y	PolL	0	0	-1	77	180	0	-1	77			
HE 260 B	1259	1018	Vento -Y	PolL	0	0	1	-77	180	0	1	-77			
HE 260 B	1259	1018	Vento -Y	PolL	0	0	1	-86	180	0	1	-86			
HE 260 B	1259	1018	Carichi termici	Termico	$\Delta XY=15^{\circ}C, \Delta XZ=15^{\circ}C$										
HE 260 B	1261	1262	Peso Proprio	UnifG	0	0	0	93	180	0	0	93			
HE 260 B	1261	1262	QP Solai	PolG	0	0	0	7	180	0	0	7			
HE 260 B	1261	1262	QFissi Solai	PolG	0	0	0	71	180	0	0	71			
HE 260 B	1261	1262	QV Solai	PolG	0	0	0	71	180	0	0	71			
HE 260 B	1261	1262	Neve	PolL	0	0	-1	54	180	0	-1	54			
HE 260 B	1261	1262	Neve	PolL	0	0	-1	60	180	0	-1	60			
HE 260 B	1261	1262	Vento +Y	PolL	0	0	-1	86	180	0	-1	86			
HE 260 B	1261	1262	Vento +Y	PolL	0	0	-1	77	180	0	-1	77			
HE 260 B	1261	1262	Vento -Y	PolL	0	0	1	-77	180	0	1	-77			
HE 260 B	1261	1262	Vento -Y	PolL	0	0	1	-86	180	0	1	-86			
HE 260 B	1261	1262	Carichi termici	Termico	$\Delta XY=15^{\circ}C, \Delta XZ=15^{\circ}C$										
HE 260 B	1262	1263	Peso Proprio	UnifG	0	0	0	93	180	0	0	93			
HE 260 B	1262	1263	QP Solai	PolG	0	0	0	7	180	0	0	7			
HE 260 B	1262	1263	QFissi Solai	PolG	0	0	0	71	180	0	0	71			
HE 260 B	1262	1263	QV Solai	PolG	0	0	0	71	180	0	0	71			

Sezione	Ni	Nf	Cond.	Tipo c.	Xi	QXi	QYi	QZi	Xf	QXf	QYf	QZf
HE 260 B	1262	1263	Neve	PolL	0	0	-1	60	180	0	-1	60
HE 260 B	1262	1263	Neve	PolL	0	0	-1	54	180	0	-1	54
HE 260 B	1262	1263	Vento +Y	PolL	0	0	-1	86	180	0	-1	86
HE 260 B	1262	1263	Vento +Y	PolL	0	0	-1	77	180	0	-1	77
HE 260 B	1262	1263	Vento -Y	PolL	0	0	1	-86	180	0	1	-86
HE 260 B	1262	1263	Vento -Y	PolL	0	0	1	-77	180	0	1	-77
HE 260 B	1262	1263	Carichi termici	Termico	$\Delta XY=15^{\circ}C, \Delta XZ=15^{\circ}C$							
HE 260 B	1263	1019	Peso Proprio	UnifG	0	0	0	93	180	0	0	93
HE 260 B	1263	1019	QP Solai	PolG	0	0	0	7	180	0	0	7
HE 260 B	1263	1019	QFissi Solai	PolG	0	0	0	71	180	0	0	71
HE 260 B	1263	1019	QV Solai	PolG	0	0	0	71	180	0	0	71
HE 260 B	1263	1019	Neve	PolL	0	0	-1	60	180	0	-1	60
HE 260 B	1263	1019	Neve	PolL	0	0	-1	54	180	0	-1	54
HE 260 B	1263	1019	Vento +Y	PolL	0	0	-1	86	180	0	-1	86
HE 260 B	1263	1019	Vento +Y	PolL	0	0	-1	77	180	0	-1	77
HE 260 B	1263	1019	Vento -Y	PolL	0	0	1	-86	180	0	1	-86
HE 260 B	1263	1019	Vento -Y	PolL	0	0	1	-77	180	0	1	-77
HE 260 B	1263	1019	Carichi termici	Termico	$\Delta XY=15^{\circ}C, \Delta XZ=15^{\circ}C$							
HE 260 B	1264	1265	Peso Proprio	UnifG	0	0	0	93	180	0	0	93
HE 260 B	1264	1265	QP Solai	PolG	0	0	0	7	180	0	0	7
HE 260 B	1264	1265	QFissi Solai	PolG	0	0	0	71	180	0	0	71
HE 260 B	1264	1265	QV Solai	PolG	0	0	0	71	180	0	0	71
HE 260 B	1264	1265	Neve	PolL	0	0	-1	60	180	0	-1	60
HE 260 B	1264	1265	Neve	PolL	0	0	-1	54	180	0	-1	54
HE 260 B	1264	1265	Vento +Y	PolL	0	0	-1	86	180	0	-1	86
HE 260 B	1264	1265	Vento +Y	PolL	0	0	-1	77	180	0	-1	77
HE 260 B	1264	1265	Vento -Y	PolL	0	0	1	-86	180	0	1	-86
HE 260 B	1264	1265	Vento -Y	PolL	0	0	1	-77	180	0	1	-77
HE 260 B	1264	1265	Carichi termici	Termico	$\Delta XY=15^{\circ}C, \Delta XZ=15^{\circ}C$							
HE 260 B	1265	1266	Peso Proprio	UnifG	0	0	0	93	180	0	0	93
HE 260 B	1265	1266	QP Solai	PolG	0	0	0	7	180	0	0	7
HE 260 B	1265	1266	QFissi Solai	PolG	0	0	0	71	180	0	0	71
HE 260 B	1265	1266	QV Solai	PolG	0	0	0	71	180	0	0	71
HE 260 B	1265	1266	Neve	PolL	0	0	-1	54	180	0	-1	54
HE 260 B	1265	1266	Neve	PolL	0	0	-1	60	180	0	-1	60
HE 260 B	1265	1266	Vento +Y	PolL	0	0	-1	86	180	0	-1	86
HE 260 B	1265	1266	Vento +Y	PolL	0	0	-1	77	180	0	-1	77
HE 260 B	1265	1266	Vento -Y	PolL	0	0	1	-77	180	0	1	-77
HE 260 B	1265	1266	Vento -Y	PolL	0	0	1	-86	180	0	1	-86
HE 260 B	1265	1266	Carichi termici	Termico	$\Delta XY=15^{\circ}C, \Delta XZ=15^{\circ}C$							
HE 260 B	1266	1020	Peso Proprio	UnifG	0	0	0	93	180	0	0	93
HE 260 B	1266	1020	QP Solai	PolG	0	0	0	7	180	0	0	7
HE 260 B	1266	1020	QFissi Solai	PolG	0	0	0	71	180	0	0	71
HE 260 B	1266	1020	QV Solai	PolG	0	0	0	71	180	0	0	71
HE 260 B	1266	1020	Neve	PolL	0	0	-1	60	180	0	-1	60
HE 260 B	1266	1020	Neve	PolL	0	0	-1	54	180	0	-1	54
HE 260 B	1266	1020	Vento +Y	PolL	0	0	-1	77	180	0	-1	77
HE 260 B	1266	1020	Vento +Y	PolL	0	0	-1	86	180	0	-1	86
HE 260 B	1266	1020	Vento -Y	PolL	0	0	1	-86	180	0	1	-86
HE 260 B	1266	1020	Vento -Y	PolL	0	0	1	-77	180	0	1	-77
HE 260 B	1266	1020	Carichi termici	Termico	$\Delta XY=15^{\circ}C, \Delta XZ=15^{\circ}C$							
HE 260 B	1268	1269	Peso Proprio	UnifG	0	0	0	93	180	0	0	93
HE 260 B	1268	1269	QP Solai	PolG	0	0	0	7	180	0	0	7
HE 260 B	1268	1269	QFissi Solai	PolG	0	0	0	71	180	0	0	71
HE 260 B	1268	1269	QV Solai	PolG	0	0	0	71	180	0	0	71
HE 260 B	1268	1269	Neve	PolL	0	0	-1	60	180	0	-1	60
HE 260 B	1268	1269	Neve	PolL	0	0	-1	54	180	0	-1	54
HE 260 B	1268	1269	Vento +Y	PolL	0	0	-1	77	180	0	-1	77
HE 260 B	1268	1269	Vento +Y	PolL	0	0	-1	86	180	0	-1	86
HE 260 B	1268	1269	Vento -Y	PolL	0	0	1	-86	180	0	1	-86
HE 260 B	1268	1269	Vento -Y	PolL	0	0	1	-77	180	0	1	-77
HE 260 B	1268	1269	Carichi termici	Termico	$\Delta XY=15^{\circ}C, \Delta XZ=15^{\circ}C$							
HE 260 B	1269	1270	Peso Proprio	UnifG	0	0	0	93	180	0	0	93
HE 260 B	1269	1270	QP Solai	PolG	0	0	0	7	180	0	0	7
HE 260 B	1269	1270	QFissi Solai	PolG	0	0	0	71	180	0	0	71
HE 260 B	1269	1270	QV Solai	PolG	0	0	0	71	180	0	0	71
HE 260 B	1269	1270	Neve	PolL	0	0	-1	54	180	0	-1	54
HE 260 B	1269	1270	Neve	PolL	0	0	-1	60	180	0	-1	60
HE 260 B	1269	1270	Vento +Y	PolL	0	0	-1	86	180	0	-1	86
HE 260 B	1269	1270	Vento +Y	PolL	0	0	-1	77	180	0	-1	77
HE 260 B	1269	1270	Vento -Y	PolL	0	0	1	-77	180	0	1	-77
HE 260 B	1269	1270	Vento -Y	PolL	0	0	1	-86	180	0	1	-86
HE 260 B	1269	1270	Carichi termici	Termico	$\Delta XY=15^{\circ}C, \Delta XZ=15^{\circ}C$							
HE 260 B	1270	1021	Peso Proprio	UnifG	0	0	0	93	180	0	0	93
HE 260 B	1270	1021	QP Solai	PolG	0	0	0	7	180	0	0	7

Sezione	Ni	Nf	Cond.	Tipo c.	Xi	QXi	QYi	QZi	Xf	QXf	QYf	QZf
HE 260 B	1270	1021	QFissi Solai	PolG	0	0	0	71	180	0	0	71
HE 260 B	1270	1021	QV Solai	PolG	0	0	0	71	180	0	0	71
HE 260 B	1270	1021	Neve	PolL	0	0	-1	54	180	0	-1	54
HE 260 B	1270	1021	Neve	PolL	0	0	-1	60	180	0	-1	60
HE 260 B	1270	1021	Vento +Y	PolL	0	0	-1	86	180	0	-1	86
HE 260 B	1270	1021	Vento +Y	PolL	0	0	-1	77	180	0	-1	77
HE 260 B	1270	1021	Vento -Y	PolL	0	0	1	-77	180	0	1	-77
HE 260 B	1270	1021	Vento -Y	PolL	0	0	1	-86	180	0	1	-86
HE 260 B	1270	1021	Carichi termici	Termico	$\Delta XY=15^{\circ}C, \Delta XZ=15^{\circ}C$							
HE 260 B	1270	1021	Pressione dinamica treno fine	PolL	0	0	-0	15	180	0	-0	15
HE 260 B	1272	1273	Peso Proprio	UnifG	0	0	0	93	180	0	0	93
HE 260 B	1272	1273	QP Solai	PolG	0	0	0	7	180	0	0	7
HE 260 B	1272	1273	QFissi Solai	PolG	0	0	0	71	180	0	0	71
HE 260 B	1272	1273	QV Solai	PolG	0	0	0	71	180	0	0	71
HE 260 B	1272	1273	Neve	PolL	0	0	-1	60	180	0	-1	60
HE 260 B	1272	1273	Neve	PolL	0	0	-1	54	180	0	-1	54
HE 260 B	1272	1273	Vento +Y	PolL	0	0	-1	86	180	0	-1	86
HE 260 B	1272	1273	Vento +Y	PolL	0	0	-1	77	180	0	-1	77
HE 260 B	1272	1273	Vento -Y	PolL	0	0	1	-77	180	0	1	-77
HE 260 B	1272	1273	Vento -Y	PolL	0	0	1	-86	180	0	1	-86
HE 260 B	1272	1273	Carichi termici	Termico	$\Delta XY=15^{\circ}C, \Delta XZ=15^{\circ}C$							
HE 260 B	1272	1273	Pressione dinamica treno fine	PolL	0	0	-0	15	180	0	-0	15
HE 260 B	1273	1274	Peso Proprio	UnifG	0	0	0	93	180	0	0	93
HE 260 B	1273	1274	QP Solai	PolG	0	0	0	7	180	0	0	7
HE 260 B	1273	1274	QFissi Solai	PolG	0	0	0	71	180	0	0	71
HE 260 B	1273	1274	QV Solai	PolG	0	0	0	71	180	0	0	71
HE 260 B	1273	1274	Neve	PolL	0	0	-1	54	180	0	-1	54
HE 260 B	1273	1274	Neve	PolL	0	0	-1	60	180	0	-1	60
HE 260 B	1273	1274	Vento +Y	PolL	0	0	-1	77	180	0	-1	77
HE 260 B	1273	1274	Vento +Y	PolL	0	0	-1	86	180	0	-1	86
HE 260 B	1273	1274	Vento -Y	PolL	0	0	1	-86	180	0	1	-86
HE 260 B	1273	1274	Vento -Y	PolL	0	0	1	-77	180	0	1	-77
HE 260 B	1273	1274	Carichi termici	Termico	$\Delta XY=15^{\circ}C, \Delta XZ=15^{\circ}C$							
HE 260 B	1273	1274	Pressione dinamica treno fine	PolL	0	0	0	-15	180	0	0	-15
HE 260 B	1274	1022	Peso Proprio	UnifG	0	0	0	93	180	0	0	93
HE 260 B	1274	1022	QP Solai	PolG	0	0	0	7	180	0	0	7
HE 260 B	1274	1022	QFissi Solai	PolG	0	0	0	71	180	0	0	71
HE 260 B	1274	1022	QV Solai	PolG	0	0	0	71	180	0	0	71
HE 260 B	1274	1022	Neve	PolL	0	0	-1	60	180	0	-1	60
HE 260 B	1274	1022	Neve	PolL	0	0	-1	54	180	0	-1	54
HE 260 B	1274	1022	Vento +Y	PolL	0	0	-1	86	180	0	-1	86
HE 260 B	1274	1022	Vento +Y	PolL	0	0	-1	77	180	0	-1	77
HE 260 B	1274	1022	Vento -Y	PolL	0	0	1	-86	180	0	1	-86
HE 260 B	1274	1022	Vento -Y	PolL	0	0	1	-77	180	0	1	-77
HE 260 B	1274	1022	Carichi termici	Termico	$\Delta XY=15^{\circ}C, \Delta XZ=15^{\circ}C$							
HE 260 B	1274	1022	Pressione dinamica treno fine	PolL	0	0	0	-15	180	0	0	-15
Trave 103												
HE 220 B	1024	1067	Peso Proprio	UnifG	0	0	0	72	125	0	0	72
HE 220 B	1024	1067	Carichi termici	Termico	$\Delta XY=15^{\circ}C, \Delta XZ=15^{\circ}C$							
HE 220 B	1067	1001	Peso Proprio	UnifG	0	0	0	72	125	0	0	72
HE 220 B	1067	1001	Carichi termici	Termico	$\Delta XY=15^{\circ}C, \Delta XZ=15^{\circ}C$							
Trave 104												
HE 220 B	1025	1068	Peso Proprio	UnifG	0	0	0	72	125	0	0	72
HE 220 B	1025	1068	Carichi termici	Termico	$\Delta XY=15^{\circ}C, \Delta XZ=15^{\circ}C$							
HE 220 B	1068	1111	Peso Proprio	UnifG	0	0	0	72	125	0	0	72
HE 220 B	1068	1111	Carichi termici	Termico	$\Delta XY=15^{\circ}C, \Delta XZ=15^{\circ}C$							
Trave 105												
HE 220 B	1026	1069	Peso Proprio	UnifG	0	0	0	72	125	0	0	72
HE 220 B	1026	1069	Carichi termici	Termico	$\Delta XY=15^{\circ}C, \Delta XZ=15^{\circ}C$							
HE 220 B	1069	1112	Peso Proprio	UnifG	0	0	0	72	125	0	0	72
HE 220 B	1069	1112	Carichi termici	Termico	$\Delta XY=15^{\circ}C, \Delta XZ=15^{\circ}C$							
Trave 106												
HE 220 B	1027	1070	Peso Proprio	UnifG	0	0	0	72	125	0	0	72
HE 220 B	1027	1070	Carichi termici	Termico	$\Delta XY=15^{\circ}C, \Delta XZ=15^{\circ}C$							
HE 220 B	1070	1113	Peso Proprio	UnifG	0	0	0	72	125	0	0	72
HE 220 B	1070	1113	Carichi termici	Termico	$\Delta XY=15^{\circ}C, \Delta XZ=15^{\circ}C$							
Trave 107												
HE 220 B	1028	1071	Peso Proprio	UnifG	0	0	0	72	125	0	0	72
HE 220 B	1028	1071	Carichi termici	Termico	$\Delta XY=15^{\circ}C, \Delta XZ=15^{\circ}C$							
HE 220 B	1071	1002	Peso Proprio	UnifG	0	0	0	72	125	0	0	72
HE 220 B	1071	1002	Carichi termici	Termico	$\Delta XY=15^{\circ}C, \Delta XZ=15^{\circ}C$							

Sezione	Ni	Nf	Cond.	Tipoc.	Xi	QXi	QYi	QZi	Xf	QXf	QYf	QZf
Trave 108												
HE 220 B	1029	1072	Peso Proprio	UnifG	0	0	0	72	125	0	0	72
HE 220 B	1029	1072	Carichi termici	Termico	$\Delta XY=15^{\circ}C, \Delta XZ=15^{\circ}C$							
HE 220 B	1072	1115	Peso Proprio	UnifG	0	0	0	72	125	0	0	72
HE 220 B	1072	1115	Carichi termici	Termico	$\Delta XY=15^{\circ}C, \Delta XZ=15^{\circ}C$							
Trave 109												
HE 220 B	1030	1073	Peso Proprio	UnifG	0	0	0	72	125	0	0	72
HE 220 B	1030	1073	Carichi termici	Termico	$\Delta XY=15^{\circ}C, \Delta XZ=15^{\circ}C$							
HE 220 B	1073	1116	Peso Proprio	UnifG	0	0	0	72	125	0	0	72
HE 220 B	1073	1116	Carichi termici	Termico	$\Delta XY=15^{\circ}C, \Delta XZ=15^{\circ}C$							
Trave 110												
HE 220 B	1031	1074	Peso Proprio	UnifG	0	0	0	72	125	0	0	72
HE 220 B	1031	1074	Carichi termici	Termico	$\Delta XY=15^{\circ}C, \Delta XZ=15^{\circ}C$							
HE 220 B	1074	1117	Peso Proprio	UnifG	0	0	0	72	125	0	0	72
HE 220 B	1074	1117	Carichi termici	Termico	$\Delta XY=15^{\circ}C, \Delta XZ=15^{\circ}C$							
Trave 111												
HE 220 B	1032	1075	Peso Proprio	UnifG	0	0	0	72	125	0	0	72
HE 220 B	1032	1075	Carichi termici	Termico	$\Delta XY=15^{\circ}C, \Delta XZ=15^{\circ}C$							
HE 220 B	1075	1003	Peso Proprio	UnifG	0	0	0	72	125	0	0	72
HE 220 B	1075	1003	Carichi termici	Termico	$\Delta XY=15^{\circ}C, \Delta XZ=15^{\circ}C$							
Trave 112												
HE 220 B	1033	1076	Peso Proprio	UnifG	0	0	0	72	125	0	0	72
HE 220 B	1033	1076	Carichi termici	Termico	$\Delta XY=15^{\circ}C, \Delta XZ=15^{\circ}C$							
HE 220 B	1076	1118	Peso Proprio	UnifG	0	0	0	72	125	0	0	72
HE 220 B	1076	1118	Carichi termici	Termico	$\Delta XY=15^{\circ}C, \Delta XZ=15^{\circ}C$							
Trave 113												
HE 220 B	1034	1077	Peso Proprio	UnifG	0	0	0	72	125	0	0	72
HE 220 B	1034	1077	Carichi termici	Termico	$\Delta XY=15^{\circ}C, \Delta XZ=15^{\circ}C$							
HE 220 B	1077	1119	Peso Proprio	UnifG	0	0	0	72	125	0	0	72
HE 220 B	1077	1119	Carichi termici	Termico	$\Delta XY=15^{\circ}C, \Delta XZ=15^{\circ}C$							
Trave 114												
HE 220 B	1035	1078	Peso Proprio	UnifG	0	0	0	72	125	0	0	72
HE 220 B	1035	1078	Carichi termici	Termico	$\Delta XY=15^{\circ}C, \Delta XZ=15^{\circ}C$							
HE 220 B	1078	1120	Peso Proprio	UnifG	0	0	0	72	125	0	0	72
HE 220 B	1078	1120	Carichi termici	Termico	$\Delta XY=15^{\circ}C, \Delta XZ=15^{\circ}C$							
Trave 115												
HE 220 B	1036	1079	Peso Proprio	UnifG	0	0	0	72	125	0	0	72
HE 220 B	1036	1079	Carichi termici	Termico	$\Delta XY=15^{\circ}C, \Delta XZ=15^{\circ}C$							
HE 220 B	1079	1004	Peso Proprio	UnifG	0	0	0	72	125	0	0	72
HE 220 B	1079	1004	Carichi termici	Termico	$\Delta XY=15^{\circ}C, \Delta XZ=15^{\circ}C$							
Trave 116												
HE 220 B	1037	1080	Peso Proprio	UnifG	0	0	0	72	125	0	0	72
HE 220 B	1037	1080	Carichi termici	Termico	$\Delta XY=15^{\circ}C, \Delta XZ=15^{\circ}C$							
HE 220 B	1080	1122	Peso Proprio	UnifG	0	0	0	72	125	0	0	72
HE 220 B	1080	1122	Carichi termici	Termico	$\Delta XY=15^{\circ}C, \Delta XZ=15^{\circ}C$							
Trave 117												
HE 220 B	1038	1081	Peso Proprio	UnifG	0	0	0	72	125	0	0	72
HE 220 B	1038	1081	Carichi termici	Termico	$\Delta XY=15^{\circ}C, \Delta XZ=15^{\circ}C$							
HE 220 B	1081	1123	Peso Proprio	UnifG	0	0	0	72	125	0	0	72
HE 220 B	1081	1123	Carichi termici	Termico	$\Delta XY=15^{\circ}C, \Delta XZ=15^{\circ}C$							
Trave 118												
HE 220 B	1039	1082	Peso Proprio	UnifG	0	0	0	72	125	0	0	72
HE 220 B	1039	1082	Carichi termici	Termico	$\Delta XY=15^{\circ}C, \Delta XZ=15^{\circ}C$							
HE 220 B	1082	1124	Peso Proprio	UnifG	0	0	0	72	125	0	0	72
HE 220 B	1082	1124	Carichi termici	Termico	$\Delta XY=15^{\circ}C, \Delta XZ=15^{\circ}C$							
Trave 119												
HE 220 B	1040	1083	Peso Proprio	UnifG	0	0	0	72	125	0	0	72
HE 220 B	1040	1083	Carichi termici	Termico	$\Delta XY=15^{\circ}C, \Delta XZ=15^{\circ}C$							
HE 220 B	1083	1005	Peso Proprio	UnifG	0	0	0	72	125	0	0	72
HE 220 B	1083	1005	Carichi termici	Termico	$\Delta XY=15^{\circ}C, \Delta XZ=15^{\circ}C$							
Trave 120												
HE 220 B	1041	1084	Peso Proprio	UnifG	0	0	0	72	125	0	0	72
HE 220 B	1041	1084	Carichi termici	Termico	$\Delta XY=15^{\circ}C, \Delta XZ=15^{\circ}C$							
HE 220 B	1084	1126	Peso Proprio	UnifG	0	0	0	72	125	0	0	72
HE 220 B	1084	1126	Carichi termici	Termico	$\Delta XY=15^{\circ}C, \Delta XZ=15^{\circ}C$							
Trave 121												
HE 220 B	1042	1085	Peso Proprio	UnifG	0	0	0	72	125	0	0	72
HE 220 B	1042	1085	Carichi termici	Termico	$\Delta XY=15^{\circ}C, \Delta XZ=15^{\circ}C$							
HE 220 B	1085	1127	Peso Proprio	UnifG	0	0	0	72	125	0	0	72
HE 220 B	1085	1127	Carichi termici	Termico	$\Delta XY=15^{\circ}C, \Delta XZ=15^{\circ}C$							
Trave 122												
HE 220 B	1043	1086	Peso Proprio	UnifG	0	0	0	72	125	0	0	72
HE 220 B	1043	1086	Carichi termici	Termico	$\Delta XY=15^{\circ}C, \Delta XZ=15^{\circ}C$							
HE 220 B	1086	1128	Peso Proprio	UnifG	0	0	0	72	125	0	0	72

Sezione	Ni	Nf	Cond.	Tipo c.	Xi	QXi	QYi	QZi	Xf	QXf	QYf	QZf
HE 220 B	1086	1128	Carichi termici	Termico	$\Delta XY=15^{\circ}C, \Delta XZ=15^{\circ}C$							
Trave 123												
HE 220 B	1044	1087	Peso Proprio	UnifG	0	0	0	72	125	0	0	72
HE 220 B	1044	1087	Carichi termici	Termico	$\Delta XY=15^{\circ}C, \Delta XZ=15^{\circ}C$							
HE 220 B	1087	1006	Peso Proprio	UnifG	0	0	0	72	125	0	0	72
HE 220 B	1087	1006	Carichi termici	Termico	$\Delta XY=15^{\circ}C, \Delta XZ=15^{\circ}C$							
Trave 124												
HE 220 B	1045	1088	Peso Proprio	UnifG	0	0	0	72	125	0	0	72
HE 220 B	1045	1088	Carichi termici	Termico	$\Delta XY=15^{\circ}C, \Delta XZ=15^{\circ}C$							
HE 220 B	1088	1130	Peso Proprio	UnifG	0	0	0	72	125	0	0	72
HE 220 B	1088	1130	Carichi termici	Termico	$\Delta XY=15^{\circ}C, \Delta XZ=15^{\circ}C$							
Trave 125												
HE 220 B	1046	1089	Peso Proprio	UnifG	0	0	0	72	125	0	0	72
HE 220 B	1046	1089	Carichi termici	Termico	$\Delta XY=15^{\circ}C, \Delta XZ=15^{\circ}C$							
HE 220 B	1089	1131	Peso Proprio	UnifG	0	0	0	72	125	0	0	72
HE 220 B	1089	1131	Carichi termici	Termico	$\Delta XY=15^{\circ}C, \Delta XZ=15^{\circ}C$							
Trave 126												
HE 220 B	1047	1090	Peso Proprio	UnifG	0	0	0	72	125	0	0	72
HE 220 B	1047	1090	Carichi termici	Termico	$\Delta XY=15^{\circ}C, \Delta XZ=15^{\circ}C$							
HE 220 B	1090	1132	Peso Proprio	UnifG	0	0	0	72	125	0	0	72
HE 220 B	1090	1132	Carichi termici	Termico	$\Delta XY=15^{\circ}C, \Delta XZ=15^{\circ}C$							
Trave 127												
HE 220 B	1048	1091	Peso Proprio	UnifG	0	0	0	72	125	0	0	72
HE 220 B	1048	1091	Carichi termici	Termico	$\Delta XY=15^{\circ}C, \Delta XZ=15^{\circ}C$							
HE 220 B	1091	1007	Peso Proprio	UnifG	0	0	0	72	125	0	0	72
HE 220 B	1091	1007	Carichi termici	Termico	$\Delta XY=15^{\circ}C, \Delta XZ=15^{\circ}C$							
Trave 128												
HE 220 B	1049	1092	Peso Proprio	UnifG	0	0	0	72	125	0	0	72
HE 220 B	1049	1092	Carichi termici	Termico	$\Delta XY=15^{\circ}C, \Delta XZ=15^{\circ}C$							
HE 220 B	1092	1134	Peso Proprio	UnifG	0	0	0	72	125	0	0	72
HE 220 B	1092	1134	Carichi termici	Termico	$\Delta XY=15^{\circ}C, \Delta XZ=15^{\circ}C$							
Trave 129												
HE 220 B	1050	1093	Peso Proprio	UnifG	0	0	0	72	125	0	0	72
HE 220 B	1050	1093	Carichi termici	Termico	$\Delta XY=15^{\circ}C, \Delta XZ=15^{\circ}C$							
HE 220 B	1093	1135	Peso Proprio	UnifG	0	0	0	72	125	0	0	72
HE 220 B	1093	1135	Carichi termici	Termico	$\Delta XY=15^{\circ}C, \Delta XZ=15^{\circ}C$							
Trave 130												
HE 220 B	1051	1094	Peso Proprio	UnifG	0	0	0	72	125	0	0	72
HE 220 B	1051	1094	Carichi termici	Termico	$\Delta XY=15^{\circ}C, \Delta XZ=15^{\circ}C$							
HE 220 B	1094	1136	Peso Proprio	UnifG	0	0	0	72	125	0	0	72
HE 220 B	1094	1136	Carichi termici	Termico	$\Delta XY=15^{\circ}C, \Delta XZ=15^{\circ}C$							
Trave 131												
HE 220 B	1052	1095	Peso Proprio	UnifG	0	0	0	72	125	0	0	72
HE 220 B	1052	1095	Carichi termici	Termico	$\Delta XY=15^{\circ}C, \Delta XZ=15^{\circ}C$							
HE 220 B	1095	1008	Peso Proprio	UnifG	0	0	0	72	125	0	0	72
HE 220 B	1095	1008	Carichi termici	Termico	$\Delta XY=15^{\circ}C, \Delta XZ=15^{\circ}C$							
Trave 132												
HE 220 B	1053	1096	Peso Proprio	UnifG	0	0	0	72	125	0	0	72
HE 220 B	1053	1096	Carichi termici	Termico	$\Delta XY=15^{\circ}C, \Delta XZ=15^{\circ}C$							
HE 220 B	1096	1137	Peso Proprio	UnifG	0	0	0	72	125	0	0	72
HE 220 B	1096	1137	Carichi termici	Termico	$\Delta XY=15^{\circ}C, \Delta XZ=15^{\circ}C$							
Trave 133												
HE 220 B	1054	1097	Peso Proprio	UnifG	0	0	0	72	125	0	0	72
HE 220 B	1054	1097	Carichi termici	Termico	$\Delta XY=15^{\circ}C, \Delta XZ=15^{\circ}C$							
HE 220 B	1097	1138	Peso Proprio	UnifG	0	0	0	72	125	0	0	72
HE 220 B	1097	1138	Carichi termici	Termico	$\Delta XY=15^{\circ}C, \Delta XZ=15^{\circ}C$							
Trave 134												
HE 220 B	1055	1098	Peso Proprio	UnifG	0	0	0	72	125	0	0	72
HE 220 B	1055	1098	Carichi termici	Termico	$\Delta XY=15^{\circ}C, \Delta XZ=15^{\circ}C$							
HE 220 B	1098	1139	Peso Proprio	UnifG	0	0	0	72	125	0	0	72
HE 220 B	1098	1139	Carichi termici	Termico	$\Delta XY=15^{\circ}C, \Delta XZ=15^{\circ}C$							
Trave 135												
HE 220 B	1056	1099	Peso Proprio	UnifG	0	0	0	72	125	0	0	72
HE 220 B	1056	1099	Carichi termici	Termico	$\Delta XY=15^{\circ}C, \Delta XZ=15^{\circ}C$							
HE 220 B	1099	1009	Peso Proprio	UnifG	0	0	0	72	125	0	0	72
HE 220 B	1099	1009	Carichi termici	Termico	$\Delta XY=15^{\circ}C, \Delta XZ=15^{\circ}C$							
Trave 136												
HE 220 B	1057	1100	Peso Proprio	UnifG	0	0	0	72	125	0	0	72
HE 220 B	1057	1100	Carichi termici	Termico	$\Delta XY=15^{\circ}C, \Delta XZ=15^{\circ}C$							
HE 220 B	1100	1141	Peso Proprio	UnifG	0	0	0	72	125	0	0	72
HE 220 B	1100	1141	Carichi termici	Termico	$\Delta XY=15^{\circ}C, \Delta XZ=15^{\circ}C$							
Trave 137												
HE 220 B	1058	1101	Peso Proprio	UnifG	0	0	0	72	125	0	0	72
HE 220 B	1058	1101	Carichi termici	Termico	$\Delta XY=15^{\circ}C, \Delta XZ=15^{\circ}C$							

Sezione	Ni	Nf	Cond.	Tipo c.	Xi	QXi	QYi	QZi	Xf	QXf	QYf	QZf
HE 220 B	1101	1142	Peso Proprio	UnifG	0	0	0	72	125	0	0	72
HE 220 B	1101	1142	Carichi termici	Termico	$\Delta XY=15^{\circ}C, \Delta XZ=15^{\circ}C$							
Trave 138												
HE 220 B	1059	1102	Peso Proprio	UnifG	0	0	0	72	125	0	0	72
HE 220 B	1059	1102	Carichi termici	Termico	$\Delta XY=15^{\circ}C, \Delta XZ=15^{\circ}C$							
HE 220 B	1102	1143	Peso Proprio	UnifG	0	0	0	72	125	0	0	72
HE 220 B	1102	1143	Carichi termici	Termico	$\Delta XY=15^{\circ}C, \Delta XZ=15^{\circ}C$							
Trave 139												
HE 220 B	1060	1103	Peso Proprio	UnifG	0	0	0	72	125	0	0	72
HE 220 B	1060	1103	Carichi termici	Termico	$\Delta XY=15^{\circ}C, \Delta XZ=15^{\circ}C$							
HE 220 B	1103	1010	Peso Proprio	UnifG	0	0	0	72	125	0	0	72
HE 220 B	1103	1010	Carichi termici	Termico	$\Delta XY=15^{\circ}C, \Delta XZ=15^{\circ}C$							
Trave 140												
HE 220 B	1061	1104	Peso Proprio	UnifG	0	0	0	72	125	0	0	72
HE 220 B	1061	1104	Carichi termici	Termico	$\Delta XY=15^{\circ}C, \Delta XZ=15^{\circ}C$							
HE 220 B	1104	1145	Peso Proprio	UnifG	0	0	0	72	125	0	0	72
HE 220 B	1104	1145	Carichi termici	Termico	$\Delta XY=15^{\circ}C, \Delta XZ=15^{\circ}C$							
Trave 141												
HE 220 B	1062	1105	Peso Proprio	UnifG	0	0	0	72	125	0	0	72
HE 220 B	1062	1105	Carichi termici	Termico	$\Delta XY=15^{\circ}C, \Delta XZ=15^{\circ}C$							
HE 220 B	1105	1146	Peso Proprio	UnifG	0	0	0	72	125	0	0	72
HE 220 B	1105	1146	Carichi termici	Termico	$\Delta XY=15^{\circ}C, \Delta XZ=15^{\circ}C$							
Trave 142												
HE 220 B	1063	1106	Peso Proprio	UnifG	0	0	0	72	125	0	0	72
HE 220 B	1063	1106	Carichi termici	Termico	$\Delta XY=15^{\circ}C, \Delta XZ=15^{\circ}C$							
HE 220 B	1106	1147	Peso Proprio	UnifG	0	0	0	72	125	0	0	72
HE 220 B	1106	1147	Carichi termici	Termico	$\Delta XY=15^{\circ}C, \Delta XZ=15^{\circ}C$							
Trave 143												
HE 220 B	1064	1107	Peso Proprio	UnifG	0	0	0	72	125	0	0	72
HE 220 B	1064	1107	Carichi termici	Termico	$\Delta XY=15^{\circ}C, \Delta XZ=15^{\circ}C$							
HE 220 B	1107	1011	Peso Proprio	UnifG	0	0	0	72	125	0	0	72
HE 220 B	1107	1011	Carichi termici	Termico	$\Delta XY=15^{\circ}C, \Delta XZ=15^{\circ}C$							
Trave 144												
HE 220 B	1001	1151	Peso Proprio	UnifG	0	0	0	72	150	0	0	72
HE 220 B	1001	1151	Carichi termici	Termico	$\Delta XY=15^{\circ}C, \Delta XZ=15^{\circ}C$							
HE 220 B	1151	1194	Peso Proprio	UnifG	0	0	0	72	150	0	0	72
HE 220 B	1151	1194	Carichi termici	Termico	$\Delta XY=15^{\circ}C, \Delta XZ=15^{\circ}C$							
HE 220 B	1194	1012	Peso Proprio	UnifG	0	0	0	72	150	0	0	72
HE 220 B	1194	1012	Carichi termici	Termico	$\Delta XY=15^{\circ}C, \Delta XZ=15^{\circ}C$							
Trave 145												
HE 220 B	1111	1152	Peso Proprio	UnifG	0	0	0	72	150	0	0	72
HE 220 B	1111	1152	Carichi termici	Termico	$\Delta XY=15^{\circ}C, \Delta XZ=15^{\circ}C$							
HE 220 B	1152	1195	Peso Proprio	UnifG	0	0	0	72	150	0	0	72
HE 220 B	1152	1195	Carichi termici	Termico	$\Delta XY=15^{\circ}C, \Delta XZ=15^{\circ}C$							
HE 220 B	1195	1238	Peso Proprio	UnifG	0	0	0	72	150	0	0	72
HE 220 B	1195	1238	Carichi termici	Termico	$\Delta XY=15^{\circ}C, \Delta XZ=15^{\circ}C$							
Trave 146												
HE 220 B	1112	1153	Peso Proprio	UnifG	0	0	0	72	150	0	0	72
HE 220 B	1112	1153	Carichi termici	Termico	$\Delta XY=15^{\circ}C, \Delta XZ=15^{\circ}C$							
HE 220 B	1153	1196	Peso Proprio	UnifG	0	0	0	72	150	0	0	72
HE 220 B	1153	1196	Carichi termici	Termico	$\Delta XY=15^{\circ}C, \Delta XZ=15^{\circ}C$							
HE 220 B	1196	1239	Peso Proprio	UnifG	0	0	0	72	150	0	0	72
HE 220 B	1196	1239	Carichi termici	Termico	$\Delta XY=15^{\circ}C, \Delta XZ=15^{\circ}C$							
Trave 147												
HE 220 B	1113	1154	Peso Proprio	UnifG	0	0	0	72	150	0	0	72
HE 220 B	1113	1154	Carichi termici	Termico	$\Delta XY=15^{\circ}C, \Delta XZ=15^{\circ}C$							
HE 220 B	1154	1197	Peso Proprio	UnifG	0	0	0	72	150	0	0	72
HE 220 B	1154	1197	Carichi termici	Termico	$\Delta XY=15^{\circ}C, \Delta XZ=15^{\circ}C$							
HE 220 B	1197	1240	Peso Proprio	UnifG	0	0	0	72	150	0	0	72
HE 220 B	1197	1240	Carichi termici	Termico	$\Delta XY=15^{\circ}C, \Delta XZ=15^{\circ}C$							
Trave 148												
HE 220 B	1002	1155	Peso Proprio	UnifG	0	0	0	72	150	0	0	72
HE 220 B	1002	1155	Carichi termici	Termico	$\Delta XY=15^{\circ}C, \Delta XZ=15^{\circ}C$							
HE 220 B	1155	1198	Peso Proprio	UnifG	0	0	0	72	150	0	0	72
HE 220 B	1155	1198	Carichi termici	Termico	$\Delta XY=15^{\circ}C, \Delta XZ=15^{\circ}C$							
HE 220 B	1198	1013	Peso Proprio	UnifG	0	0	0	72	150	0	0	72
HE 220 B	1198	1013	Carichi termici	Termico	$\Delta XY=15^{\circ}C, \Delta XZ=15^{\circ}C$							
Trave 149												
HE 220 B	1115	1156	Peso Proprio	UnifG	0	0	0	72	150	0	0	72
HE 220 B	1115	1156	Carichi termici	Termico	$\Delta XY=15^{\circ}C, \Delta XZ=15^{\circ}C$							
HE 220 B	1156	1199	Peso Proprio	UnifG	0	0	0	72	150	0	0	72
HE 220 B	1156	1199	Carichi termici	Termico	$\Delta XY=15^{\circ}C, \Delta XZ=15^{\circ}C$							
HE 220 B	1199	1242	Peso Proprio	UnifG	0	0	0	72	150	0	0	72
HE 220 B	1199	1242	Carichi termici	Termico	$\Delta XY=15^{\circ}C, \Delta XZ=15^{\circ}C$							

Sezione	Ni	Nf	Cond.	Tipo c.	Xi	QXi	QYi	QZi	Xf	QXf	QYf	QZf
Trave 150												
HE 220 B	1116	1157	Peso Proprio	UnifG	0	0	0	72	150	0	0	72
HE 220 B	1116	1157	Carichi termici	Termico	$\Delta XY=15^{\circ}C, \Delta XZ=15^{\circ}C$							
HE 220 B	1157	1200	Peso Proprio	UnifG	0	0	0	72	150	0	0	72
HE 220 B	1157	1200	Carichi termici	Termico	$\Delta XY=15^{\circ}C, \Delta XZ=15^{\circ}C$							
HE 220 B	1200	1243	Peso Proprio	UnifG	0	0	0	72	150	0	0	72
HE 220 B	1200	1243	Carichi termici	Termico	$\Delta XY=15^{\circ}C, \Delta XZ=15^{\circ}C$							
Trave 151												
HE 220 B	1117	1158	Peso Proprio	UnifG	0	0	0	72	150	0	0	72
HE 220 B	1117	1158	Carichi termici	Termico	$\Delta XY=15^{\circ}C, \Delta XZ=15^{\circ}C$							
HE 220 B	1158	1201	Peso Proprio	UnifG	0	0	0	72	150	0	0	72
HE 220 B	1158	1201	Carichi termici	Termico	$\Delta XY=15^{\circ}C, \Delta XZ=15^{\circ}C$							
HE 220 B	1201	1244	Peso Proprio	UnifG	0	0	0	72	150	0	0	72
HE 220 B	1201	1244	Carichi termici	Termico	$\Delta XY=15^{\circ}C, \Delta XZ=15^{\circ}C$							
Trave 152												
HE 220 B	1003	1159	Peso Proprio	UnifG	0	0	0	72	150	0	0	72
HE 220 B	1003	1159	Carichi termici	Termico	$\Delta XY=15^{\circ}C, \Delta XZ=15^{\circ}C$							
HE 220 B	1159	1202	Peso Proprio	UnifG	0	0	0	72	150	0	0	72
HE 220 B	1159	1202	Carichi termici	Termico	$\Delta XY=15^{\circ}C, \Delta XZ=15^{\circ}C$							
HE 220 B	1202	1014	Peso Proprio	UnifG	0	0	0	72	150	0	0	72
HE 220 B	1202	1014	Carichi termici	Termico	$\Delta XY=15^{\circ}C, \Delta XZ=15^{\circ}C$							
Trave 153												
HE 220 B	1118	1160	Peso Proprio	UnifG	0	0	0	72	150	0	0	72
HE 220 B	1118	1160	Carichi termici	Termico	$\Delta XY=15^{\circ}C, \Delta XZ=15^{\circ}C$							
HE 220 B	1160	1203	Peso Proprio	UnifG	0	0	0	72	150	0	0	72
HE 220 B	1160	1203	Carichi termici	Termico	$\Delta XY=15^{\circ}C, \Delta XZ=15^{\circ}C$							
HE 220 B	1203	1245	Peso Proprio	UnifG	0	0	0	72	150	0	0	72
HE 220 B	1203	1245	Carichi termici	Termico	$\Delta XY=15^{\circ}C, \Delta XZ=15^{\circ}C$							
Trave 154												
HE 220 B	1119	1161	Peso Proprio	UnifG	0	0	0	72	150	0	0	72
HE 220 B	1119	1161	Carichi termici	Termico	$\Delta XY=15^{\circ}C, \Delta XZ=15^{\circ}C$							
HE 220 B	1161	1204	Peso Proprio	UnifG	0	0	0	72	150	0	0	72
HE 220 B	1161	1204	Carichi termici	Termico	$\Delta XY=15^{\circ}C, \Delta XZ=15^{\circ}C$							
HE 220 B	1204	1246	Peso Proprio	UnifG	0	0	0	72	150	0	0	72
HE 220 B	1204	1246	Carichi termici	Termico	$\Delta XY=15^{\circ}C, \Delta XZ=15^{\circ}C$							
Trave 155												
HE 220 B	1120	1162	Peso Proprio	UnifG	0	0	0	72	150	0	0	72
HE 220 B	1120	1162	Carichi termici	Termico	$\Delta XY=15^{\circ}C, \Delta XZ=15^{\circ}C$							
HE 220 B	1162	1205	Peso Proprio	UnifG	0	0	0	72	150	0	0	72
HE 220 B	1162	1205	Carichi termici	Termico	$\Delta XY=15^{\circ}C, \Delta XZ=15^{\circ}C$							
HE 220 B	1205	1247	Peso Proprio	UnifG	0	0	0	72	150	0	0	72
HE 220 B	1205	1247	Carichi termici	Termico	$\Delta XY=15^{\circ}C, \Delta XZ=15^{\circ}C$							
Trave 156												
HE 220 B	1004	1163	Peso Proprio	UnifG	0	0	0	72	150	0	0	72
HE 220 B	1004	1163	Carichi termici	Termico	$\Delta XY=15^{\circ}C, \Delta XZ=15^{\circ}C$							
HE 220 B	1163	1206	Peso Proprio	UnifG	0	0	0	72	150	0	0	72
HE 220 B	1163	1206	Carichi termici	Termico	$\Delta XY=15^{\circ}C, \Delta XZ=15^{\circ}C$							
HE 220 B	1206	1015	Peso Proprio	UnifG	0	0	0	72	150	0	0	72
HE 220 B	1206	1015	Carichi termici	Termico	$\Delta XY=15^{\circ}C, \Delta XZ=15^{\circ}C$							
Trave 157												
HE 220 B	1122	1164	Peso Proprio	UnifG	0	0	0	72	150	0	0	72
HE 220 B	1122	1164	Carichi termici	Termico	$\Delta XY=15^{\circ}C, \Delta XZ=15^{\circ}C$							
HE 220 B	1164	1207	Peso Proprio	UnifG	0	0	0	72	150	0	0	72
HE 220 B	1164	1207	Carichi termici	Termico	$\Delta XY=15^{\circ}C, \Delta XZ=15^{\circ}C$							
HE 220 B	1207	1249	Peso Proprio	UnifG	0	0	0	72	150	0	0	72
HE 220 B	1207	1249	Carichi termici	Termico	$\Delta XY=15^{\circ}C, \Delta XZ=15^{\circ}C$							
Trave 158												
HE 220 B	1123	1165	Peso Proprio	UnifG	0	0	0	72	150	0	0	72
HE 220 B	1123	1165	Carichi termici	Termico	$\Delta XY=15^{\circ}C, \Delta XZ=15^{\circ}C$							
HE 220 B	1165	1208	Peso Proprio	UnifG	0	0	0	72	150	0	0	72
HE 220 B	1165	1208	Carichi termici	Termico	$\Delta XY=15^{\circ}C, \Delta XZ=15^{\circ}C$							
HE 220 B	1208	1250	Peso Proprio	UnifG	0	0	0	72	150	0	0	72
HE 220 B	1208	1250	Carichi termici	Termico	$\Delta XY=15^{\circ}C, \Delta XZ=15^{\circ}C$							
Trave 159												
HE 220 B	1124	1166	Peso Proprio	UnifG	0	0	0	72	150	0	0	72
HE 220 B	1124	1166	Carichi termici	Termico	$\Delta XY=15^{\circ}C, \Delta XZ=15^{\circ}C$							
HE 220 B	1166	1209	Peso Proprio	UnifG	0	0	0	72	150	0	0	72
HE 220 B	1166	1209	Carichi termici	Termico	$\Delta XY=15^{\circ}C, \Delta XZ=15^{\circ}C$							
HE 220 B	1209	1251	Peso Proprio	UnifG	0	0	0	72	150	0	0	72
HE 220 B	1209	1251	Carichi termici	Termico	$\Delta XY=15^{\circ}C, \Delta XZ=15^{\circ}C$							
Trave 160												
HE 220 B	1005	1167	Peso Proprio	UnifG	0	0	0	72	150	0	0	72
HE 220 B	1005	1167	Carichi termici	Termico	$\Delta XY=15^{\circ}C, \Delta XZ=15^{\circ}C$							
HE 220 B	1167	1210	Peso Proprio	UnifG	0	0	0	72	150	0	0	72

Sezione	Ni	Nf	Cond.	Tipo c.	Xi	QXi	QYi	QZi	Xf	QXf	QYf	QZf
HE 220 B	1167	1210	Carichi termici	Termico	ΔXY=15°C,ΔXZ=15°C							
HE 220 B	1210	1016	Peso Proprio	UnifG	0	0	0	72	150	0	0	72
HE 220 B	1210	1016	Carichi termici	Termico	ΔXY=15°C,ΔXZ=15°C							
Trave 161												
HE 220 B	1126	1168	Peso Proprio	UnifG	0	0	0	72	150	0	0	72
HE 220 B	1126	1168	Carichi termici	Termico	ΔXY=15°C,ΔXZ=15°C							
HE 220 B	1168	1211	Peso Proprio	UnifG	0	0	0	72	150	0	0	72
HE 220 B	1168	1211	Carichi termici	Termico	ΔXY=15°C,ΔXZ=15°C							
HE 220 B	1211	1253	Peso Proprio	UnifG	0	0	0	72	150	0	0	72
HE 220 B	1211	1253	Carichi termici	Termico	ΔXY=15°C,ΔXZ=15°C							
Trave 162												
HE 220 B	1127	1169	Peso Proprio	UnifG	0	0	0	72	150	0	0	72
HE 220 B	1127	1169	Carichi termici	Termico	ΔXY=15°C,ΔXZ=15°C							
HE 220 B	1169	1212	Peso Proprio	UnifG	0	0	0	72	150	0	0	72
HE 220 B	1169	1212	Carichi termici	Termico	ΔXY=15°C,ΔXZ=15°C							
HE 220 B	1212	1254	Peso Proprio	UnifG	0	0	0	72	150	0	0	72
HE 220 B	1212	1254	Carichi termici	Termico	ΔXY=15°C,ΔXZ=15°C							
Trave 163												
HE 220 B	1128	1170	Peso Proprio	UnifG	0	0	0	72	150	0	0	72
HE 220 B	1128	1170	Carichi termici	Termico	ΔXY=15°C,ΔXZ=15°C							
HE 220 B	1170	1213	Peso Proprio	UnifG	0	0	0	72	150	0	0	72
HE 220 B	1170	1213	Carichi termici	Termico	ΔXY=15°C,ΔXZ=15°C							
HE 220 B	1213	1255	Peso Proprio	UnifG	0	0	0	72	150	0	0	72
HE 220 B	1213	1255	Carichi termici	Termico	ΔXY=15°C,ΔXZ=15°C							
Trave 164												
HE 220 B	1006	1171	Peso Proprio	UnifG	0	0	0	72	150	0	0	72
HE 220 B	1006	1171	Carichi termici	Termico	ΔXY=15°C,ΔXZ=15°C							
HE 220 B	1171	1214	Peso Proprio	UnifG	0	0	0	72	150	0	0	72
HE 220 B	1171	1214	Carichi termici	Termico	ΔXY=15°C,ΔXZ=15°C							
HE 220 B	1214	1017	Peso Proprio	UnifG	0	0	0	72	150	0	0	72
HE 220 B	1214	1017	Carichi termici	Termico	ΔXY=15°C,ΔXZ=15°C							
Trave 165												
HE 220 B	1130	1172	Peso Proprio	UnifG	0	0	0	72	150	0	0	72
HE 220 B	1130	1172	Carichi termici	Termico	ΔXY=15°C,ΔXZ=15°C							
HE 220 B	1172	1215	Peso Proprio	UnifG	0	0	0	72	150	0	0	72
HE 220 B	1172	1215	Carichi termici	Termico	ΔXY=15°C,ΔXZ=15°C							
HE 220 B	1215	1257	Peso Proprio	UnifG	0	0	0	72	150	0	0	72
HE 220 B	1215	1257	Carichi termici	Termico	ΔXY=15°C,ΔXZ=15°C							
Trave 166												
HE 220 B	1131	1173	Peso Proprio	UnifG	0	0	0	72	150	0	0	72
HE 220 B	1131	1173	Carichi termici	Termico	ΔXY=15°C,ΔXZ=15°C							
HE 220 B	1173	1216	Peso Proprio	UnifG	0	0	0	72	150	0	0	72
HE 220 B	1173	1216	Carichi termici	Termico	ΔXY=15°C,ΔXZ=15°C							
HE 220 B	1216	1258	Peso Proprio	UnifG	0	0	0	72	150	0	0	72
HE 220 B	1216	1258	Carichi termici	Termico	ΔXY=15°C,ΔXZ=15°C							
Trave 167												
HE 220 B	1132	1174	Peso Proprio	UnifG	0	0	0	72	150	0	0	72
HE 220 B	1132	1174	Carichi termici	Termico	ΔXY=15°C,ΔXZ=15°C							
HE 220 B	1174	1217	Peso Proprio	UnifG	0	0	0	72	150	0	0	72
HE 220 B	1174	1217	Carichi termici	Termico	ΔXY=15°C,ΔXZ=15°C							
HE 220 B	1217	1259	Peso Proprio	UnifG	0	0	0	72	150	0	0	72
HE 220 B	1217	1259	Carichi termici	Termico	ΔXY=15°C,ΔXZ=15°C							
Trave 168												
HE 220 B	1007	1175	Peso Proprio	UnifG	0	0	0	72	150	0	0	72
HE 220 B	1007	1175	Carichi termici	Termico	ΔXY=15°C,ΔXZ=15°C							
HE 220 B	1175	1218	Peso Proprio	UnifG	0	0	0	72	150	0	0	72
HE 220 B	1175	1218	Carichi termici	Termico	ΔXY=15°C,ΔXZ=15°C							
HE 220 B	1218	1018	Peso Proprio	UnifG	0	0	0	72	150	0	0	72
HE 220 B	1218	1018	Carichi termici	Termico	ΔXY=15°C,ΔXZ=15°C							
Trave 169												
HE 220 B	1134	1176	Peso Proprio	UnifG	0	0	0	72	150	0	0	72
HE 220 B	1134	1176	Carichi termici	Termico	ΔXY=15°C,ΔXZ=15°C							
HE 220 B	1176	1219	Peso Proprio	UnifG	0	0	0	72	150	0	0	72
HE 220 B	1176	1219	Carichi termici	Termico	ΔXY=15°C,ΔXZ=15°C							
HE 220 B	1219	1261	Peso Proprio	UnifG	0	0	0	72	150	0	0	72
HE 220 B	1219	1261	Carichi termici	Termico	ΔXY=15°C,ΔXZ=15°C							
Trave 170												
HE 220 B	1135	1177	Peso Proprio	UnifG	0	0	0	72	150	0	0	72
HE 220 B	1135	1177	Carichi termici	Termico	ΔXY=15°C,ΔXZ=15°C							
HE 220 B	1177	1220	Peso Proprio	UnifG	0	0	0	72	150	0	0	72
HE 220 B	1177	1220	Carichi termici	Termico	ΔXY=15°C,ΔXZ=15°C							
HE 220 B	1220	1262	Peso Proprio	UnifG	0	0	0	72	150	0	0	72
HE 220 B	1220	1262	Carichi termici	Termico	ΔXY=15°C,ΔXZ=15°C							
Trave 171												

Sezione	Ni	Nf	Cond.	Tipo c.	Xi	QXi	QYi	QZi	Xf	QXf	QYf	QZf
HE 220 B	1136	1178	Peso Proprio	UnifG	0	0	0	72	150	0	0	72
HE 220 B	1136	1178	Carichi termici	Termico	$\Delta XY=15^{\circ}C, \Delta XZ=15^{\circ}C$							
HE 220 B	1178	1221	Peso Proprio	UnifG	0	0	0	72	150	0	0	72
HE 220 B	1178	1221	Carichi termici	Termico	$\Delta XY=15^{\circ}C, \Delta XZ=15^{\circ}C$							
HE 220 B	1221	1263	Peso Proprio	UnifG	0	0	0	72	150	0	0	72
HE 220 B	1221	1263	Carichi termici	Termico	$\Delta XY=15^{\circ}C, \Delta XZ=15^{\circ}C$							
Trave 172												
HE 220 B	1008	1179	Peso Proprio	UnifG	0	0	0	72	150	0	0	72
HE 220 B	1008	1179	Carichi termici	Termico	$\Delta XY=15^{\circ}C, \Delta XZ=15^{\circ}C$							
HE 220 B	1179	1222	Peso Proprio	UnifG	0	0	0	72	150	0	0	72
HE 220 B	1179	1222	Carichi termici	Termico	$\Delta XY=15^{\circ}C, \Delta XZ=15^{\circ}C$							
HE 220 B	1222	1019	Peso Proprio	UnifG	0	0	0	72	150	0	0	72
HE 220 B	1222	1019	Carichi termici	Termico	$\Delta XY=15^{\circ}C, \Delta XZ=15^{\circ}C$							
Trave 173												
HE 220 B	1137	1180	Peso Proprio	UnifG	0	0	0	72	150	0	0	72
HE 220 B	1137	1180	Carichi termici	Termico	$\Delta XY=15^{\circ}C, \Delta XZ=15^{\circ}C$							
HE 220 B	1180	1223	Peso Proprio	UnifG	0	0	0	72	150	0	0	72
HE 220 B	1180	1223	Carichi termici	Termico	$\Delta XY=15^{\circ}C, \Delta XZ=15^{\circ}C$							
HE 220 B	1223	1264	Peso Proprio	UnifG	0	0	0	72	150	0	0	72
HE 220 B	1223	1264	Carichi termici	Termico	$\Delta XY=15^{\circ}C, \Delta XZ=15^{\circ}C$							
Trave 174												
HE 220 B	1138	1181	Peso Proprio	UnifG	0	0	0	72	150	0	0	72
HE 220 B	1138	1181	Carichi termici	Termico	$\Delta XY=15^{\circ}C, \Delta XZ=15^{\circ}C$							
HE 220 B	1181	1224	Peso Proprio	UnifG	0	0	0	72	150	0	0	72
HE 220 B	1181	1224	Carichi termici	Termico	$\Delta XY=15^{\circ}C, \Delta XZ=15^{\circ}C$							
HE 220 B	1224	1265	Peso Proprio	UnifG	0	0	0	72	150	0	0	72
HE 220 B	1224	1265	Carichi termici	Termico	$\Delta XY=15^{\circ}C, \Delta XZ=15^{\circ}C$							
Trave 175												
HE 220 B	1139	1182	Peso Proprio	UnifG	0	0	0	72	150	0	0	72
HE 220 B	1139	1182	Carichi termici	Termico	$\Delta XY=15^{\circ}C, \Delta XZ=15^{\circ}C$							
HE 220 B	1182	1225	Peso Proprio	UnifG	0	0	0	72	150	0	0	72
HE 220 B	1182	1225	Carichi termici	Termico	$\Delta XY=15^{\circ}C, \Delta XZ=15^{\circ}C$							
HE 220 B	1225	1266	Peso Proprio	UnifG	0	0	0	72	150	0	0	72
HE 220 B	1225	1266	Carichi termici	Termico	$\Delta XY=15^{\circ}C, \Delta XZ=15^{\circ}C$							
Trave 176												
HE 220 B	1009	1183	Peso Proprio	UnifG	0	0	0	72	150	0	0	72
HE 220 B	1009	1183	Carichi termici	Termico	$\Delta XY=15^{\circ}C, \Delta XZ=15^{\circ}C$							
HE 220 B	1183	1226	Peso Proprio	UnifG	0	0	0	72	150	0	0	72
HE 220 B	1183	1226	Carichi termici	Termico	$\Delta XY=15^{\circ}C, \Delta XZ=15^{\circ}C$							
HE 220 B	1226	1020	Peso Proprio	UnifG	0	0	0	72	150	0	0	72
HE 220 B	1226	1020	Carichi termici	Termico	$\Delta XY=15^{\circ}C, \Delta XZ=15^{\circ}C$							
Trave 177												
HE 220 B	1141	1184	Peso Proprio	UnifG	0	0	0	72	150	0	0	72
HE 220 B	1141	1184	Carichi termici	Termico	$\Delta XY=15^{\circ}C, \Delta XZ=15^{\circ}C$							
HE 220 B	1184	1227	Peso Proprio	UnifG	0	0	0	72	150	0	0	72
HE 220 B	1184	1227	Carichi termici	Termico	$\Delta XY=15^{\circ}C, \Delta XZ=15^{\circ}C$							
HE 220 B	1227	1268	Peso Proprio	UnifG	0	0	0	72	150	0	0	72
HE 220 B	1227	1268	Carichi termici	Termico	$\Delta XY=15^{\circ}C, \Delta XZ=15^{\circ}C$							
Trave 178												
HE 220 B	1142	1185	Peso Proprio	UnifG	0	0	0	72	150	0	0	72
HE 220 B	1142	1185	Carichi termici	Termico	$\Delta XY=15^{\circ}C, \Delta XZ=15^{\circ}C$							
HE 220 B	1185	1228	Peso Proprio	UnifG	0	0	0	72	150	0	0	72
HE 220 B	1185	1228	Carichi termici	Termico	$\Delta XY=15^{\circ}C, \Delta XZ=15^{\circ}C$							
HE 220 B	1228	1269	Peso Proprio	UnifG	0	0	0	72	150	0	0	72
HE 220 B	1228	1269	Carichi termici	Termico	$\Delta XY=15^{\circ}C, \Delta XZ=15^{\circ}C$							
Trave 179												
HE 220 B	1143	1186	Peso Proprio	UnifG	0	0	0	72	150	0	0	72
HE 220 B	1143	1186	Carichi termici	Termico	$\Delta XY=15^{\circ}C, \Delta XZ=15^{\circ}C$							
HE 220 B	1186	1229	Peso Proprio	UnifG	0	0	0	72	150	0	0	72
HE 220 B	1186	1229	Carichi termici	Termico	$\Delta XY=15^{\circ}C, \Delta XZ=15^{\circ}C$							
HE 220 B	1229	1270	Peso Proprio	UnifG	0	0	0	72	150	0	0	72
HE 220 B	1229	1270	Carichi termici	Termico	$\Delta XY=15^{\circ}C, \Delta XZ=15^{\circ}C$							
Trave 180												
HE 220 B	1010	1187	Peso Proprio	UnifG	0	0	0	72	150	0	0	72
HE 220 B	1010	1187	Carichi termici	Termico	$\Delta XY=15^{\circ}C, \Delta XZ=15^{\circ}C$							
HE 220 B	1187	1230	Peso Proprio	UnifG	0	0	0	72	150	0	0	72
HE 220 B	1187	1230	Carichi termici	Termico	$\Delta XY=15^{\circ}C, \Delta XZ=15^{\circ}C$							
HE 220 B	1230	1021	Peso Proprio	UnifG	0	0	0	72	150	0	0	72
HE 220 B	1230	1021	Carichi termici	Termico	$\Delta XY=15^{\circ}C, \Delta XZ=15^{\circ}C$							
Trave 181												
HE 220 B	1145	1188	Peso Proprio	UnifG	0	0	0	72	150	0	0	72
HE 220 B	1145	1188	Carichi termici	Termico	$\Delta XY=15^{\circ}C, \Delta XZ=15^{\circ}C$							
HE 220 B	1188	1231	Peso Proprio	UnifG	0	0	0	72	150	0	0	72
HE 220 B	1188	1231	Carichi termici	Termico	$\Delta XY=15^{\circ}C, \Delta XZ=15^{\circ}C$							

Sezione	Ni	Nf	Cond.	Tipo c.	Xi	QXi	QYi	QZi	Xf	QXf	QYf	QZf
HE 220 B	1231	1272	Peso Proprio	UnifG	0	0	0	72	150	0	0	72
HE 220 B	1231	1272	Carichi termici	Termico	$\Delta XY=15^{\circ}C, \Delta XZ=15^{\circ}C$							
Trave 182												
HE 220 B	1146	1189	Peso Proprio	UnifG	0	0	0	72	150	0	0	72
HE 220 B	1146	1189	Carichi termici	Termico	$\Delta XY=15^{\circ}C, \Delta XZ=15^{\circ}C$							
HE 220 B	1189	1232	Peso Proprio	UnifG	0	0	0	72	150	0	0	72
HE 220 B	1189	1232	Carichi termici	Termico	$\Delta XY=15^{\circ}C, \Delta XZ=15^{\circ}C$							
HE 220 B	1232	1273	Peso Proprio	UnifG	0	0	0	72	150	0	0	72
HE 220 B	1232	1273	Carichi termici	Termico	$\Delta XY=15^{\circ}C, \Delta XZ=15^{\circ}C$							
Trave 183												
HE 220 B	1147	1190	Peso Proprio	UnifG	0	0	0	72	150	0	0	72
HE 220 B	1147	1190	Carichi termici	Termico	$\Delta XY=15^{\circ}C, \Delta XZ=15^{\circ}C$							
HE 220 B	1190	1233	Peso Proprio	UnifG	0	0	0	72	150	0	0	72
HE 220 B	1190	1233	Carichi termici	Termico	$\Delta XY=15^{\circ}C, \Delta XZ=15^{\circ}C$							
HE 220 B	1233	1274	Peso Proprio	UnifG	0	0	0	72	150	0	0	72
HE 220 B	1233	1274	Carichi termici	Termico	$\Delta XY=15^{\circ}C, \Delta XZ=15^{\circ}C$							
Trave 184												
HE 220 B	1011	1191	Peso Proprio	UnifG	0	0	0	72	150	0	0	72
HE 220 B	1011	1191	Carichi termici	Termico	$\Delta XY=15^{\circ}C, \Delta XZ=15^{\circ}C$							
HE 220 B	1191	1234	Peso Proprio	UnifG	0	0	0	72	150	0	0	72
HE 220 B	1191	1234	Carichi termici	Termico	$\Delta XY=15^{\circ}C, \Delta XZ=15^{\circ}C$							
HE 220 B	1234	1022	Peso Proprio	UnifG	0	0	0	72	150	0	0	72
HE 220 B	1234	1022	Carichi termici	Termico	$\Delta XY=15^{\circ}C, \Delta XZ=15^{\circ}C$							
Trave 185												
HE 220 B	1012	1278	Peso Proprio	UnifG	0	0	0	72	134	0	0	72
HE 220 B	1012	1278	Carichi termici	Termico	$\Delta XY=15^{\circ}C, \Delta XZ=15^{\circ}C$							
HE 220 B	1278	1321	Peso Proprio	UnifG	0	0	0	72	134	0	0	72
HE 220 B	1278	1321	Carichi termici	Termico	$\Delta XY=15^{\circ}C, \Delta XZ=15^{\circ}C$							
HE 220 B	1321	1364	Peso Proprio	UnifG	0	0	0	72	119	0	0	72
HE 220 B	1321	1364	Carichi termici	Termico	$\Delta XY=15^{\circ}C, \Delta XZ=15^{\circ}C$							
Trave 186												
HE 220 B	1238	1279	Peso Proprio	UnifG	0	0	0	72	134	0	0	72
HE 220 B	1238	1279	Carichi termici	Termico	$\Delta XY=15^{\circ}C, \Delta XZ=15^{\circ}C$							
HE 220 B	1279	1322	Peso Proprio	UnifG	0	0	0	72	134	0	0	72
HE 220 B	1279	1322	Carichi termici	Termico	$\Delta XY=15^{\circ}C, \Delta XZ=15^{\circ}C$							
HE 220 B	1322	1365	Peso Proprio	UnifG	0	0	0	72	119	0	0	72
HE 220 B	1322	1365	Carichi termici	Termico	$\Delta XY=15^{\circ}C, \Delta XZ=15^{\circ}C$							
Trave 187												
HE 220 B	1239	1280	Peso Proprio	UnifG	0	0	0	72	134	0	0	72
HE 220 B	1239	1280	Carichi termici	Termico	$\Delta XY=15^{\circ}C, \Delta XZ=15^{\circ}C$							
HE 220 B	1280	1323	Peso Proprio	UnifG	0	0	0	72	134	0	0	72
HE 220 B	1280	1323	Carichi termici	Termico	$\Delta XY=15^{\circ}C, \Delta XZ=15^{\circ}C$							
HE 220 B	1323	1366	Peso Proprio	UnifG	0	0	0	72	119	0	0	72
HE 220 B	1323	1366	Carichi termici	Termico	$\Delta XY=15^{\circ}C, \Delta XZ=15^{\circ}C$							
Trave 188												
HE 220 B	1240	1281	Peso Proprio	UnifG	0	0	0	72	134	0	0	72
HE 220 B	1240	1281	Carichi termici	Termico	$\Delta XY=15^{\circ}C, \Delta XZ=15^{\circ}C$							
HE 220 B	1281	1324	Peso Proprio	UnifG	0	0	0	72	134	0	0	72
HE 220 B	1281	1324	Carichi termici	Termico	$\Delta XY=15^{\circ}C, \Delta XZ=15^{\circ}C$							
HE 220 B	1324	1367	Peso Proprio	UnifG	0	0	0	72	119	0	0	72
HE 220 B	1324	1367	Carichi termici	Termico	$\Delta XY=15^{\circ}C, \Delta XZ=15^{\circ}C$							
Trave 189												
HE 220 B	1013	1282	Peso Proprio	UnifG	0	0	0	72	134	0	0	72
HE 220 B	1013	1282	Carichi termici	Termico	$\Delta XY=15^{\circ}C, \Delta XZ=15^{\circ}C$							
HE 220 B	1282	1325	Peso Proprio	UnifG	0	0	0	72	134	0	0	72
HE 220 B	1282	1325	Carichi termici	Termico	$\Delta XY=15^{\circ}C, \Delta XZ=15^{\circ}C$							
HE 220 B	1325	1368	Peso Proprio	UnifG	0	0	0	72	119	0	0	72
HE 220 B	1325	1368	Carichi termici	Termico	$\Delta XY=15^{\circ}C, \Delta XZ=15^{\circ}C$							
Trave 190												
HE 220 B	1242	1283	Peso Proprio	UnifG	0	0	0	72	134	0	0	72
HE 220 B	1242	1283	Carichi termici	Termico	$\Delta XY=15^{\circ}C, \Delta XZ=15^{\circ}C$							
HE 220 B	1283	1326	Peso Proprio	UnifG	0	0	0	72	134	0	0	72
HE 220 B	1283	1326	Carichi termici	Termico	$\Delta XY=15^{\circ}C, \Delta XZ=15^{\circ}C$							
HE 220 B	1326	1369	Peso Proprio	UnifG	0	0	0	72	119	0	0	72
HE 220 B	1326	1369	Carichi termici	Termico	$\Delta XY=15^{\circ}C, \Delta XZ=15^{\circ}C$							
Trave 191												
HE 220 B	1243	1284	Peso Proprio	UnifG	0	0	0	72	134	0	0	72
HE 220 B	1243	1284	Carichi termici	Termico	$\Delta XY=15^{\circ}C, \Delta XZ=15^{\circ}C$							
HE 220 B	1284	1327	Peso Proprio	UnifG	0	0	0	72	134	0	0	72
HE 220 B	1284	1327	Carichi termici	Termico	$\Delta XY=15^{\circ}C, \Delta XZ=15^{\circ}C$							
HE 220 B	1327	1370	Peso Proprio	UnifG	0	0	0	72	119	0	0	72
HE 220 B	1327	1370	Carichi termici	Termico	$\Delta XY=15^{\circ}C, \Delta XZ=15^{\circ}C$							
Trave 192												
HE 220 B	1244	1285	Peso Proprio	UnifG	0	0	0	72	134	0	0	72

Sezione	Ni	Nf	Cond.	Tipo c.	Xi	QXi	QYi	QZi	Xf	QXf	QYf	QZf
HE 220 B	1244	1285	Carichi termici	Termico	$\Delta XY=15^{\circ}C, \Delta XZ=15^{\circ}C$							
HE 220 B	1285	1328	Peso Proprio	UnifG	0	0	0	72	134	0	0	72
HE 220 B	1285	1328	Carichi termici	Termico	$\Delta XY=15^{\circ}C, \Delta XZ=15^{\circ}C$							
HE 220 B	1328	1371	Peso Proprio	UnifG	0	0	0	72	119	0	0	72
HE 220 B	1328	1371	Carichi termici	Termico	$\Delta XY=15^{\circ}C, \Delta XZ=15^{\circ}C$							
Trave 193												
HE 220 B	1014	1286	Peso Proprio	UnifG	0	0	0	72	134	0	0	72
HE 220 B	1014	1286	Carichi termici	Termico	$\Delta XY=15^{\circ}C, \Delta XZ=15^{\circ}C$							
HE 220 B	1286	1329	Peso Proprio	UnifG	0	0	0	72	134	0	0	72
HE 220 B	1286	1329	Carichi termici	Termico	$\Delta XY=15^{\circ}C, \Delta XZ=15^{\circ}C$							
HE 220 B	1329	1372	Peso Proprio	UnifG	0	0	0	72	119	0	0	72
HE 220 B	1329	1372	Carichi termici	Termico	$\Delta XY=15^{\circ}C, \Delta XZ=15^{\circ}C$							
Trave 194												
HE 220 B	1245	1287	Peso Proprio	UnifG	0	0	0	72	134	0	0	72
HE 220 B	1245	1287	Carichi termici	Termico	$\Delta XY=15^{\circ}C, \Delta XZ=15^{\circ}C$							
HE 220 B	1287	1330	Peso Proprio	UnifG	0	0	0	72	134	0	0	72
HE 220 B	1287	1330	Carichi termici	Termico	$\Delta XY=15^{\circ}C, \Delta XZ=15^{\circ}C$							
HE 220 B	1330	1373	Peso Proprio	UnifG	0	0	0	72	119	0	0	72
HE 220 B	1330	1373	Carichi termici	Termico	$\Delta XY=15^{\circ}C, \Delta XZ=15^{\circ}C$							
Trave 195												
HE 220 B	1246	1288	Peso Proprio	UnifG	0	0	0	72	134	0	0	72
HE 220 B	1246	1288	Carichi termici	Termico	$\Delta XY=15^{\circ}C, \Delta XZ=15^{\circ}C$							
HE 220 B	1288	1331	Peso Proprio	UnifG	0	0	0	72	134	0	0	72
HE 220 B	1288	1331	Carichi termici	Termico	$\Delta XY=15^{\circ}C, \Delta XZ=15^{\circ}C$							
HE 220 B	1331	1374	Peso Proprio	UnifG	0	0	0	72	119	0	0	72
HE 220 B	1331	1374	Carichi termici	Termico	$\Delta XY=15^{\circ}C, \Delta XZ=15^{\circ}C$							
Trave 196												
HE 220 B	1247	1289	Peso Proprio	UnifG	0	0	0	72	134	0	0	72
HE 220 B	1247	1289	Carichi termici	Termico	$\Delta XY=15^{\circ}C, \Delta XZ=15^{\circ}C$							
HE 220 B	1289	1332	Peso Proprio	UnifG	0	0	0	72	134	0	0	72
HE 220 B	1289	1332	Carichi termici	Termico	$\Delta XY=15^{\circ}C, \Delta XZ=15^{\circ}C$							
HE 220 B	1332	1375	Peso Proprio	UnifG	0	0	0	72	119	0	0	72
HE 220 B	1332	1375	Carichi termici	Termico	$\Delta XY=15^{\circ}C, \Delta XZ=15^{\circ}C$							
Trave 197												
HE 220 B	1015	1290	Peso Proprio	UnifG	0	0	0	72	134	0	0	72
HE 220 B	1015	1290	Carichi termici	Termico	$\Delta XY=15^{\circ}C, \Delta XZ=15^{\circ}C$							
HE 220 B	1290	1333	Peso Proprio	UnifG	0	0	0	72	134	0	0	72
HE 220 B	1290	1333	Carichi termici	Termico	$\Delta XY=15^{\circ}C, \Delta XZ=15^{\circ}C$							
HE 220 B	1333	1376	Peso Proprio	UnifG	0	0	0	72	119	0	0	72
HE 220 B	1333	1376	Carichi termici	Termico	$\Delta XY=15^{\circ}C, \Delta XZ=15^{\circ}C$							
Trave 198												
HE 220 B	1249	1291	Peso Proprio	UnifG	0	0	0	72	134	0	0	72
HE 220 B	1249	1291	Carichi termici	Termico	$\Delta XY=15^{\circ}C, \Delta XZ=15^{\circ}C$							
HE 220 B	1291	1334	Peso Proprio	UnifG	0	0	0	72	134	0	0	72
HE 220 B	1291	1334	Carichi termici	Termico	$\Delta XY=15^{\circ}C, \Delta XZ=15^{\circ}C$							
HE 220 B	1334	1377	Peso Proprio	UnifG	0	0	0	72	119	0	0	72
HE 220 B	1334	1377	Carichi termici	Termico	$\Delta XY=15^{\circ}C, \Delta XZ=15^{\circ}C$							
Trave 199												
HE 220 B	1250	1292	Peso Proprio	UnifG	0	0	0	72	134	0	0	72
HE 220 B	1250	1292	Carichi termici	Termico	$\Delta XY=15^{\circ}C, \Delta XZ=15^{\circ}C$							
HE 220 B	1292	1335	Peso Proprio	UnifG	0	0	0	72	134	0	0	72
HE 220 B	1292	1335	Carichi termici	Termico	$\Delta XY=15^{\circ}C, \Delta XZ=15^{\circ}C$							
HE 220 B	1335	1378	Peso Proprio	UnifG	0	0	0	72	119	0	0	72
HE 220 B	1335	1378	Carichi termici	Termico	$\Delta XY=15^{\circ}C, \Delta XZ=15^{\circ}C$							
Trave 200												
HE 220 B	1251	1293	Peso Proprio	UnifG	0	0	0	72	134	0	0	72
HE 220 B	1251	1293	Carichi termici	Termico	$\Delta XY=15^{\circ}C, \Delta XZ=15^{\circ}C$							
HE 220 B	1293	1336	Peso Proprio	UnifG	0	0	0	72	134	0	0	72
HE 220 B	1293	1336	Carichi termici	Termico	$\Delta XY=15^{\circ}C, \Delta XZ=15^{\circ}C$							
HE 220 B	1336	1379	Peso Proprio	UnifG	0	0	0	72	119	0	0	72
HE 220 B	1336	1379	Carichi termici	Termico	$\Delta XY=15^{\circ}C, \Delta XZ=15^{\circ}C$							
Trave 201												
HE 220 B	1016	1294	Peso Proprio	UnifG	0	0	0	72	134	0	0	72
HE 220 B	1016	1294	Carichi termici	Termico	$\Delta XY=15^{\circ}C, \Delta XZ=15^{\circ}C$							
HE 220 B	1294	1337	Peso Proprio	UnifG	0	0	0	72	134	0	0	72
HE 220 B	1294	1337	Carichi termici	Termico	$\Delta XY=15^{\circ}C, \Delta XZ=15^{\circ}C$							
HE 220 B	1337	1380	Peso Proprio	UnifG	0	0	0	72	119	0	0	72
HE 220 B	1337	1380	Carichi termici	Termico	$\Delta XY=15^{\circ}C, \Delta XZ=15^{\circ}C$							
Trave 202												
HE 220 B	1253	1295	Peso Proprio	UnifG	0	0	0	72	134	0	0	72
HE 220 B	1253	1295	Carichi termici	Termico	$\Delta XY=15^{\circ}C, \Delta XZ=15^{\circ}C$							
HE 220 B	1295	1338	Peso Proprio	UnifG	0	0	0	72	134	0	0	72
HE 220 B	1295	1338	Carichi termici	Termico	$\Delta XY=15^{\circ}C, \Delta XZ=15^{\circ}C$							
HE 220 B	1338	1381	Peso Proprio	UnifG	0	0	0	72	119	0	0	72

Sezione	Ni	Nf	Cond.	Tipo c.	Xi	QXi	QYi	QZi	Xf	QXf	QYf	QZf
HE 220 B	1338	1381	Carichi termici	Termico	$\Delta XY=15^{\circ}C, \Delta XZ=15^{\circ}C$							
Trave 203												
HE 220 B	1254	1296	Peso Proprio	UnifG	0	0	0	72	134	0	0	72
HE 220 B	1254	1296	Carichi termici	Termico	$\Delta XY=15^{\circ}C, \Delta XZ=15^{\circ}C$							
HE 220 B	1296	1339	Peso Proprio	UnifG	0	0	0	72	134	0	0	72
HE 220 B	1296	1339	Carichi termici	Termico	$\Delta XY=15^{\circ}C, \Delta XZ=15^{\circ}C$							
HE 220 B	1339	1382	Peso Proprio	UnifG	0	0	0	72	119	0	0	72
HE 220 B	1339	1382	Carichi termici	Termico	$\Delta XY=15^{\circ}C, \Delta XZ=15^{\circ}C$							
Trave 204												
HE 220 B	1255	1297	Peso Proprio	UnifG	0	0	0	72	134	0	0	72
HE 220 B	1255	1297	Carichi termici	Termico	$\Delta XY=15^{\circ}C, \Delta XZ=15^{\circ}C$							
HE 220 B	1297	1340	Peso Proprio	UnifG	0	0	0	72	134	0	0	72
HE 220 B	1297	1340	Carichi termici	Termico	$\Delta XY=15^{\circ}C, \Delta XZ=15^{\circ}C$							
HE 220 B	1340	1383	Peso Proprio	UnifG	0	0	0	72	119	0	0	72
HE 220 B	1340	1383	Carichi termici	Termico	$\Delta XY=15^{\circ}C, \Delta XZ=15^{\circ}C$							
Trave 205												
HE 220 B	1017	1298	Peso Proprio	UnifG	0	0	0	72	134	0	0	72
HE 220 B	1017	1298	Carichi termici	Termico	$\Delta XY=15^{\circ}C, \Delta XZ=15^{\circ}C$							
HE 220 B	1298	1341	Peso Proprio	UnifG	0	0	0	72	134	0	0	72
HE 220 B	1298	1341	Carichi termici	Termico	$\Delta XY=15^{\circ}C, \Delta XZ=15^{\circ}C$							
HE 220 B	1341	1384	Peso Proprio	UnifG	0	0	0	72	119	0	0	72
HE 220 B	1341	1384	Carichi termici	Termico	$\Delta XY=15^{\circ}C, \Delta XZ=15^{\circ}C$							
Trave 206												
HE 220 B	1257	1299	Peso Proprio	UnifG	0	0	0	72	134	0	0	72
HE 220 B	1257	1299	Carichi termici	Termico	$\Delta XY=15^{\circ}C, \Delta XZ=15^{\circ}C$							
HE 220 B	1299	1342	Peso Proprio	UnifG	0	0	0	72	134	0	0	72
HE 220 B	1299	1342	Carichi termici	Termico	$\Delta XY=15^{\circ}C, \Delta XZ=15^{\circ}C$							
HE 220 B	1342	1385	Peso Proprio	UnifG	0	0	0	72	119	0	0	72
HE 220 B	1342	1385	Carichi termici	Termico	$\Delta XY=15^{\circ}C, \Delta XZ=15^{\circ}C$							
Trave 207												
HE 220 B	1258	1300	Peso Proprio	UnifG	0	0	0	72	134	0	0	72
HE 220 B	1258	1300	Carichi termici	Termico	$\Delta XY=15^{\circ}C, \Delta XZ=15^{\circ}C$							
HE 220 B	1300	1343	Peso Proprio	UnifG	0	0	0	72	134	0	0	72
HE 220 B	1300	1343	Carichi termici	Termico	$\Delta XY=15^{\circ}C, \Delta XZ=15^{\circ}C$							
HE 220 B	1343	1386	Peso Proprio	UnifG	0	0	0	72	119	0	0	72
HE 220 B	1343	1386	Carichi termici	Termico	$\Delta XY=15^{\circ}C, \Delta XZ=15^{\circ}C$							
Trave 208												
HE 220 B	1259	1301	Peso Proprio	UnifG	0	0	0	72	134	0	0	72
HE 220 B	1259	1301	Carichi termici	Termico	$\Delta XY=15^{\circ}C, \Delta XZ=15^{\circ}C$							
HE 220 B	1301	1344	Peso Proprio	UnifG	0	0	0	72	134	0	0	72
HE 220 B	1301	1344	Carichi termici	Termico	$\Delta XY=15^{\circ}C, \Delta XZ=15^{\circ}C$							
HE 220 B	1344	1387	Peso Proprio	UnifG	0	0	0	72	119	0	0	72
HE 220 B	1344	1387	Carichi termici	Termico	$\Delta XY=15^{\circ}C, \Delta XZ=15^{\circ}C$							
Trave 209												
HE 220 B	1018	1302	Peso Proprio	UnifG	0	0	0	72	134	0	0	72
HE 220 B	1018	1302	Carichi termici	Termico	$\Delta XY=15^{\circ}C, \Delta XZ=15^{\circ}C$							
HE 220 B	1302	1345	Peso Proprio	UnifG	0	0	0	72	134	0	0	72
HE 220 B	1302	1345	Carichi termici	Termico	$\Delta XY=15^{\circ}C, \Delta XZ=15^{\circ}C$							
HE 220 B	1345	1388	Peso Proprio	UnifG	0	0	0	72	119	0	0	72
HE 220 B	1345	1388	Carichi termici	Termico	$\Delta XY=15^{\circ}C, \Delta XZ=15^{\circ}C$							
Trave 210												
HE 220 B	1261	1303	Peso Proprio	UnifG	0	0	0	72	134	0	0	72
HE 220 B	1261	1303	Carichi termici	Termico	$\Delta XY=15^{\circ}C, \Delta XZ=15^{\circ}C$							
HE 220 B	1303	1346	Peso Proprio	UnifG	0	0	0	72	134	0	0	72
HE 220 B	1303	1346	Carichi termici	Termico	$\Delta XY=15^{\circ}C, \Delta XZ=15^{\circ}C$							
HE 220 B	1346	1389	Peso Proprio	UnifG	0	0	0	72	119	0	0	72
HE 220 B	1346	1389	Carichi termici	Termico	$\Delta XY=15^{\circ}C, \Delta XZ=15^{\circ}C$							
Trave 211												
HE 220 B	1262	1304	Peso Proprio	UnifG	0	0	0	72	134	0	0	72
HE 220 B	1262	1304	Carichi termici	Termico	$\Delta XY=15^{\circ}C, \Delta XZ=15^{\circ}C$							
HE 220 B	1304	1347	Peso Proprio	UnifG	0	0	0	72	134	0	0	72
HE 220 B	1304	1347	Carichi termici	Termico	$\Delta XY=15^{\circ}C, \Delta XZ=15^{\circ}C$							
HE 220 B	1347	1390	Peso Proprio	UnifG	0	0	0	72	119	0	0	72
HE 220 B	1347	1390	Carichi termici	Termico	$\Delta XY=15^{\circ}C, \Delta XZ=15^{\circ}C$							
Trave 212												
HE 220 B	1263	1305	Peso Proprio	UnifG	0	0	0	72	134	0	0	72
HE 220 B	1263	1305	Carichi termici	Termico	$\Delta XY=15^{\circ}C, \Delta XZ=15^{\circ}C$							
HE 220 B	1305	1348	Peso Proprio	UnifG	0	0	0	72	134	0	0	72
HE 220 B	1305	1348	Carichi termici	Termico	$\Delta XY=15^{\circ}C, \Delta XZ=15^{\circ}C$							
HE 220 B	1348	1391	Peso Proprio	UnifG	0	0	0	72	119	0	0	72
HE 220 B	1348	1391	Carichi termici	Termico	$\Delta XY=15^{\circ}C, \Delta XZ=15^{\circ}C$							
Trave 213												
HE 220 B	1019	1306	Peso Proprio	UnifG	0	0	0	72	134	0	0	72
HE 220 B	1019	1306	Carichi termici	Termico	$\Delta XY=15^{\circ}C, \Delta XZ=15^{\circ}C$							

Sezione	Ni	Nf	Cond.	Tipo c.	Xi	QXi	QYi	QZi	Xf	QXf	QYf	QZf
HE 220 B	1306	1349	Peso Proprio	UnifG	0	0	0	72	134	0	0	72
HE 220 B	1306	1349	Carichi termici	Termico	$\Delta XY=15^{\circ}C, \Delta XZ=15^{\circ}C$							
HE 220 B	1349	1392	Peso Proprio	UnifG	0	0	0	72	119	0	0	72
HE 220 B	1349	1392	Carichi termici	Termico	$\Delta XY=15^{\circ}C, \Delta XZ=15^{\circ}C$							
Trave 214												
HE 220 B	1264	1307	Peso Proprio	UnifG	0	0	0	72	134	0	0	72
HE 220 B	1264	1307	Carichi termici	Termico	$\Delta XY=15^{\circ}C, \Delta XZ=15^{\circ}C$							
HE 220 B	1307	1350	Peso Proprio	UnifG	0	0	0	72	134	0	0	72
HE 220 B	1307	1350	Carichi termici	Termico	$\Delta XY=15^{\circ}C, \Delta XZ=15^{\circ}C$							
HE 220 B	1350	1393	Peso Proprio	UnifG	0	0	0	72	119	0	0	72
HE 220 B	1350	1393	Carichi termici	Termico	$\Delta XY=15^{\circ}C, \Delta XZ=15^{\circ}C$							
Trave 215												
HE 220 B	1265	1308	Peso Proprio	UnifG	0	0	0	72	134	0	0	72
HE 220 B	1265	1308	Carichi termici	Termico	$\Delta XY=15^{\circ}C, \Delta XZ=15^{\circ}C$							
HE 220 B	1308	1351	Peso Proprio	UnifG	0	0	0	72	134	0	0	72
HE 220 B	1308	1351	Carichi termici	Termico	$\Delta XY=15^{\circ}C, \Delta XZ=15^{\circ}C$							
HE 220 B	1351	1394	Peso Proprio	UnifG	0	0	0	72	119	0	0	72
HE 220 B	1351	1394	Carichi termici	Termico	$\Delta XY=15^{\circ}C, \Delta XZ=15^{\circ}C$							
Trave 216												
HE 220 B	1266	1309	Peso Proprio	UnifG	0	0	0	72	134	0	0	72
HE 220 B	1266	1309	Carichi termici	Termico	$\Delta XY=15^{\circ}C, \Delta XZ=15^{\circ}C$							
HE 220 B	1309	1352	Peso Proprio	UnifG	0	0	0	72	134	0	0	72
HE 220 B	1309	1352	Carichi termici	Termico	$\Delta XY=15^{\circ}C, \Delta XZ=15^{\circ}C$							
HE 220 B	1352	1395	Peso Proprio	UnifG	0	0	0	72	119	0	0	72
HE 220 B	1352	1395	Carichi termici	Termico	$\Delta XY=15^{\circ}C, \Delta XZ=15^{\circ}C$							
Trave 217												
HE 220 B	1020	1310	Peso Proprio	UnifG	0	0	0	72	134	0	0	72
HE 220 B	1020	1310	Carichi termici	Termico	$\Delta XY=15^{\circ}C, \Delta XZ=15^{\circ}C$							
HE 220 B	1310	1353	Peso Proprio	UnifG	0	0	0	72	134	0	0	72
HE 220 B	1310	1353	Carichi termici	Termico	$\Delta XY=15^{\circ}C, \Delta XZ=15^{\circ}C$							
HE 220 B	1353	1396	Peso Proprio	UnifG	0	0	0	72	119	0	0	72
HE 220 B	1353	1396	Carichi termici	Termico	$\Delta XY=15^{\circ}C, \Delta XZ=15^{\circ}C$							
Trave 218												
HE 220 B	1268	1311	Peso Proprio	UnifG	0	0	0	72	134	0	0	72
HE 220 B	1268	1311	Carichi termici	Termico	$\Delta XY=15^{\circ}C, \Delta XZ=15^{\circ}C$							
HE 220 B	1311	1354	Peso Proprio	UnifG	0	0	0	72	134	0	0	72
HE 220 B	1311	1354	Carichi termici	Termico	$\Delta XY=15^{\circ}C, \Delta XZ=15^{\circ}C$							
HE 220 B	1354	1397	Peso Proprio	UnifG	0	0	0	72	119	0	0	72
HE 220 B	1354	1397	Carichi termici	Termico	$\Delta XY=15^{\circ}C, \Delta XZ=15^{\circ}C$							
Trave 219												
HE 220 B	1269	1312	Peso Proprio	UnifG	0	0	0	72	134	0	0	72
HE 220 B	1269	1312	Carichi termici	Termico	$\Delta XY=15^{\circ}C, \Delta XZ=15^{\circ}C$							
HE 220 B	1312	1355	Peso Proprio	UnifG	0	0	0	72	134	0	0	72
HE 220 B	1312	1355	Carichi termici	Termico	$\Delta XY=15^{\circ}C, \Delta XZ=15^{\circ}C$							
HE 220 B	1355	1398	Peso Proprio	UnifG	0	0	0	72	119	0	0	72
HE 220 B	1355	1398	Carichi termici	Termico	$\Delta XY=15^{\circ}C, \Delta XZ=15^{\circ}C$							
Trave 220												
HE 220 B	1270	1313	Peso Proprio	UnifG	0	0	0	72	134	0	0	72
HE 220 B	1270	1313	Carichi termici	Termico	$\Delta XY=15^{\circ}C, \Delta XZ=15^{\circ}C$							
HE 220 B	1313	1356	Peso Proprio	UnifG	0	0	0	72	134	0	0	72
HE 220 B	1313	1356	Carichi termici	Termico	$\Delta XY=15^{\circ}C, \Delta XZ=15^{\circ}C$							
HE 220 B	1356	1399	Peso Proprio	UnifG	0	0	0	72	119	0	0	72
HE 220 B	1356	1399	Carichi termici	Termico	$\Delta XY=15^{\circ}C, \Delta XZ=15^{\circ}C$							
Trave 221												
HE 220 B	1021	1314	Peso Proprio	UnifG	0	0	0	72	134	0	0	72
HE 220 B	1021	1314	Carichi termici	Termico	$\Delta XY=15^{\circ}C, \Delta XZ=15^{\circ}C$							
HE 220 B	1314	1357	Peso Proprio	UnifG	0	0	0	72	134	0	0	72
HE 220 B	1314	1357	Carichi termici	Termico	$\Delta XY=15^{\circ}C, \Delta XZ=15^{\circ}C$							
HE 220 B	1357	1400	Peso Proprio	UnifG	0	0	0	72	119	0	0	72
HE 220 B	1357	1400	Carichi termici	Termico	$\Delta XY=15^{\circ}C, \Delta XZ=15^{\circ}C$							
Trave 222												
HE 220 B	1272	1315	Peso Proprio	UnifG	0	0	0	72	134	0	0	72
HE 220 B	1272	1315	Carichi termici	Termico	$\Delta XY=15^{\circ}C, \Delta XZ=15^{\circ}C$							
HE 220 B	1315	1358	Peso Proprio	UnifG	0	0	0	72	134	0	0	72
HE 220 B	1315	1358	Carichi termici	Termico	$\Delta XY=15^{\circ}C, \Delta XZ=15^{\circ}C$							
HE 220 B	1358	1401	Peso Proprio	UnifG	0	0	0	72	119	0	0	72
HE 220 B	1358	1401	Carichi termici	Termico	$\Delta XY=15^{\circ}C, \Delta XZ=15^{\circ}C$							
Trave 223												
HE 220 B	1273	1316	Peso Proprio	UnifG	0	0	0	72	134	0	0	72
HE 220 B	1273	1316	Carichi termici	Termico	$\Delta XY=15^{\circ}C, \Delta XZ=15^{\circ}C$							
HE 220 B	1316	1359	Peso Proprio	UnifG	0	0	0	72	134	0	0	72
HE 220 B	1316	1359	Carichi termici	Termico	$\Delta XY=15^{\circ}C, \Delta XZ=15^{\circ}C$							
HE 220 B	1359	1402	Peso Proprio	UnifG	0	0	0	72	119	0	0	72
HE 220 B	1359	1402	Carichi termici	Termico	$\Delta XY=15^{\circ}C, \Delta XZ=15^{\circ}C$							

Sezione	Ni	Nf	Cond.	Tipo c.	Xi	QXi	QYi	QZi	Xf	QXf	QYf	QZf
Trave 224												
HE 220 B	1274	1317	Peso Proprio	UnifG	0	0	0	72	134	0	0	72
HE 220 B	1274	1317	Carichi termici	Termico	$\Delta XY=15^{\circ}C, \Delta XZ=15^{\circ}C$							
HE 220 B	1317	1360	Peso Proprio	UnifG	0	0	0	72	134	0	0	72
HE 220 B	1317	1360	Carichi termici	Termico	$\Delta XY=15^{\circ}C, \Delta XZ=15^{\circ}C$							
HE 220 B	1360	1403	Peso Proprio	UnifG	0	0	0	72	119	0	0	72
HE 220 B	1360	1403	Carichi termici	Termico	$\Delta XY=15^{\circ}C, \Delta XZ=15^{\circ}C$							
Trave 225												
HE 220 B	1022	1318	Peso Proprio	UnifG	0	0	0	72	134	0	0	72
HE 220 B	1022	1318	Carichi termici	Termico	$\Delta XY=15^{\circ}C, \Delta XZ=15^{\circ}C$							
HE 220 B	1318	1361	Peso Proprio	UnifG	0	0	0	72	134	0	0	72
HE 220 B	1318	1361	Carichi termici	Termico	$\Delta XY=15^{\circ}C, \Delta XZ=15^{\circ}C$							
HE 220 B	1361	1404	Peso Proprio	UnifG	0	0	0	72	119	0	0	72
HE 220 B	1361	1404	Carichi termici	Termico	$\Delta XY=15^{\circ}C, \Delta XZ=15^{\circ}C$							
Trave 227												
UPN 260	1024	1025	Peso Proprio	UnifG	0	0	0	38	180	0	0	38
UPN 260	1024	1025	QP Solai	PolG	0	0	0	3	180	0	0	3
UPN 260	1024	1025	QFissi Solai	PolG	0	0	0	31	180	0	0	31
UPN 260	1024	1025	QV Solai	PolG	0	0	0	31	180	0	0	31
UPN 260	1024	1025	Neve	PolL	0	0	-1	50	180	0	-1	50
UPN 260	1024	1025	Vento +Y	PolL	0	0	-1	72	180	0	-1	72
UPN 260	1024	1025	Vento -Y	PolL	0	0	1	-72	180	0	1	-72
UPN 260	1024	1025	Carichi termici	Termico	$\Delta XY=15^{\circ}C, \Delta XZ=15^{\circ}C$							
Trave 228												
UPN 260	1025	1026	Peso Proprio	UnifG	0	0	0	38	180	0	0	38
UPN 260	1025	1026	QP Solai	PolG	0	0	0	3	180	0	0	3
UPN 260	1025	1026	QFissi Solai	PolG	0	0	0	31	180	0	0	31
UPN 260	1025	1026	QV Solai	PolG	0	0	0	31	180	0	0	31
UPN 260	1025	1026	Neve	PolL	0	0	-1	50	180	0	-1	50
UPN 260	1025	1026	Vento +Y	PolL	0	0	-1	72	180	0	-1	72
UPN 260	1025	1026	Vento -Y	PolL	0	0	1	-72	180	0	1	-72
UPN 260	1025	1026	Carichi termici	Termico	$\Delta XY=15^{\circ}C, \Delta XZ=15^{\circ}C$							
Trave 229												
UPN 260	1026	1027	Peso Proprio	UnifG	0	0	0	38	180	0	0	38
UPN 260	1026	1027	QP Solai	PolG	0	0	0	3	180	0	0	3
UPN 260	1026	1027	QFissi Solai	PolG	0	0	0	31	180	0	0	31
UPN 260	1026	1027	QV Solai	PolG	0	0	0	31	180	0	0	31
UPN 260	1026	1027	Neve	PolL	0	0	-1	50	180	0	-1	50
UPN 260	1026	1027	Vento +Y	PolL	0	0	-1	72	180	0	-1	72
UPN 260	1026	1027	Vento -Y	PolL	0	0	1	-72	180	0	1	-72
UPN 260	1026	1027	Carichi termici	Termico	$\Delta XY=15^{\circ}C, \Delta XZ=15^{\circ}C$							
Trave 230												
UPN 260	1027	1028	Peso Proprio	UnifG	0	0	0	38	180	0	0	38
UPN 260	1027	1028	QP Solai	PolG	0	0	0	3	180	0	0	3
UPN 260	1027	1028	QFissi Solai	PolG	0	0	0	31	180	0	0	31
UPN 260	1027	1028	QV Solai	PolG	0	0	0	31	180	0	0	31
UPN 260	1027	1028	Neve	PolL	0	0	-1	50	180	0	-1	50
UPN 260	1027	1028	Vento +Y	PolL	0	0	-1	72	180	0	-1	72
UPN 260	1027	1028	Vento -Y	PolL	0	0	1	-72	180	0	1	-72
UPN 260	1027	1028	Carichi termici	Termico	$\Delta XY=15^{\circ}C, \Delta XZ=15^{\circ}C$							
Trave 231												
UPN 260	1028	1029	Peso Proprio	UnifG	0	0	0	38	180	0	0	38
UPN 260	1028	1029	QP Solai	PolG	0	0	0	3	180	0	0	3
UPN 260	1028	1029	QFissi Solai	PolG	0	0	0	31	180	0	0	31
UPN 260	1028	1029	QV Solai	PolG	0	0	0	31	180	0	0	31
UPN 260	1028	1029	Neve	PolL	0	0	-1	50	180	0	-1	50
UPN 260	1028	1029	Vento +Y	PolL	0	0	-1	72	180	0	-1	72
UPN 260	1028	1029	Vento -Y	PolL	0	0	1	-72	180	0	1	-72
UPN 260	1028	1029	Carichi termici	Termico	$\Delta XY=15^{\circ}C, \Delta XZ=15^{\circ}C$							
Trave 232												
UPN 260	1029	1030	Peso Proprio	UnifG	0	0	0	38	180	0	0	38
UPN 260	1029	1030	QP Solai	PolG	0	0	0	3	180	0	0	3
UPN 260	1029	1030	QFissi Solai	PolG	0	0	0	31	180	0	0	31
UPN 260	1029	1030	QV Solai	PolG	0	0	0	31	180	0	0	31
UPN 260	1029	1030	Neve	PolL	0	0	-1	50	180	0	-1	50
UPN 260	1029	1030	Vento +Y	PolL	0	0	-1	72	180	0	-1	72
UPN 260	1029	1030	Vento -Y	PolL	0	0	1	-72	180	0	1	-72
UPN 260	1029	1030	Carichi termici	Termico	$\Delta XY=15^{\circ}C, \Delta XZ=15^{\circ}C$							
Trave 233												
UPN 260	1030	1031	Peso Proprio	UnifG	0	0	0	38	180	0	0	38
UPN 260	1030	1031	QP Solai	PolG	0	0	0	3	180	0	0	3
UPN 260	1030	1031	QFissi Solai	PolG	0	0	0	31	180	0	0	31
UPN 260	1030	1031	QV Solai	PolG	0	0	0	31	180	0	0	31
UPN 260	1030	1031	Neve	PolL	0	0	-1	50	180	0	-1	50
UPN 260	1030	1031	Vento +Y	PolL	0	0	-1	72	180	0	-1	72

Sezione	Ni	Nf	Cond.	Tipo c.	Xi	QXi	QYi	QZi	Xf	QXf	QYf	QZf
UPN 260	1030	1031	Vento -Y	PolL	0	0	1	-72	180	0	1	-72
UPN 260	1030	1031	Carichi termici	Termico	$\Delta XY=15^{\circ}C, \Delta XZ=15^{\circ}C$							
Trave 234												
UPN 260	1031	1032	Peso Proprio	UnifG	0	0	0	38	180	0	0	38
UPN 260	1031	1032	QP Solai	PolG	0	0	0	3	180	0	0	3
UPN 260	1031	1032	QFissi Solai	PolG	0	0	0	31	180	0	0	31
UPN 260	1031	1032	QV Solai	PolG	0	0	0	31	180	0	0	31
UPN 260	1031	1032	Neve	PolL	0	0	-1	50	180	0	-1	50
UPN 260	1031	1032	Vento +Y	PolL	0	0	-1	72	180	0	-1	72
UPN 260	1031	1032	Vento -Y	PolL	0	0	1	-72	180	0	1	-72
UPN 260	1031	1032	Carichi termici	Termico	$\Delta XY=15^{\circ}C, \Delta XZ=15^{\circ}C$							
Trave 235												
UPN 260	1032	1033	Peso Proprio	UnifG	0	0	0	38	180	0	0	38
UPN 260	1032	1033	QP Solai	PolG	0	0	0	3	180	0	0	3
UPN 260	1032	1033	QFissi Solai	PolG	0	0	0	31	180	0	0	31
UPN 260	1032	1033	QV Solai	PolG	0	0	0	31	180	0	0	31
UPN 260	1032	1033	Neve	PolL	0	0	-1	50	180	0	-1	50
UPN 260	1032	1033	Vento +Y	PolL	0	0	-1	72	180	0	-1	72
UPN 260	1032	1033	Vento -Y	PolL	0	0	1	-72	180	0	1	-72
UPN 260	1032	1033	Carichi termici	Termico	$\Delta XY=15^{\circ}C, \Delta XZ=15^{\circ}C$							
Trave 236												
UPN 260	1033	1034	Peso Proprio	UnifG	0	0	0	38	180	0	0	38
UPN 260	1033	1034	QP Solai	PolG	0	0	0	3	180	0	0	3
UPN 260	1033	1034	QFissi Solai	PolG	0	0	0	31	180	0	0	31
UPN 260	1033	1034	QV Solai	PolG	0	0	0	31	180	0	0	31
UPN 260	1033	1034	Neve	PolL	0	0	-1	50	180	0	-1	50
UPN 260	1033	1034	Vento +Y	PolL	0	0	-1	72	180	0	-1	72
UPN 260	1033	1034	Vento -Y	PolL	0	0	1	-72	180	0	1	-72
UPN 260	1033	1034	Carichi termici	Termico	$\Delta XY=15^{\circ}C, \Delta XZ=15^{\circ}C$							
Trave 237												
UPN 260	1034	1035	Peso Proprio	UnifG	0	0	0	38	180	0	0	38
UPN 260	1034	1035	QP Solai	PolG	0	0	0	3	180	0	0	3
UPN 260	1034	1035	QFissi Solai	PolG	0	0	0	31	180	0	0	31
UPN 260	1034	1035	QV Solai	PolG	0	0	0	31	180	0	0	31
UPN 260	1034	1035	Neve	PolL	0	0	-1	50	180	0	-1	50
UPN 260	1034	1035	Vento +Y	PolL	0	0	-1	72	180	0	-1	72
UPN 260	1034	1035	Vento -Y	PolL	0	0	1	-72	180	0	1	-72
UPN 260	1034	1035	Carichi termici	Termico	$\Delta XY=15^{\circ}C, \Delta XZ=15^{\circ}C$							
Trave 238												
UPN 260	1035	1036	Peso Proprio	UnifG	0	0	0	38	180	0	0	38
UPN 260	1035	1036	QP Solai	PolG	0	0	0	3	180	0	0	3
UPN 260	1035	1036	QFissi Solai	PolG	0	0	0	31	180	0	0	31
UPN 260	1035	1036	QV Solai	PolG	0	0	0	31	180	0	0	31
UPN 260	1035	1036	Neve	PolL	0	0	-1	50	180	0	-1	50
UPN 260	1035	1036	Vento +Y	PolL	0	0	-1	72	180	0	-1	72
UPN 260	1035	1036	Vento -Y	PolL	0	0	1	-72	180	0	1	-72
UPN 260	1035	1036	Carichi termici	Termico	$\Delta XY=15^{\circ}C, \Delta XZ=15^{\circ}C$							
Trave 239												
UPN 260	1036	1037	Peso Proprio	UnifG	0	0	0	38	180	0	0	38
UPN 260	1036	1037	QP Solai	PolG	0	0	0	3	180	0	0	3
UPN 260	1036	1037	QFissi Solai	PolG	0	0	0	31	180	0	0	31
UPN 260	1036	1037	QV Solai	PolG	0	0	0	31	180	0	0	31
UPN 260	1036	1037	Neve	PolL	0	0	-1	50	180	0	-1	50
UPN 260	1036	1037	Vento +Y	PolL	0	0	-1	72	180	0	-1	72
UPN 260	1036	1037	Vento -Y	PolL	0	0	1	-72	180	0	1	-72
UPN 260	1036	1037	Carichi termici	Termico	$\Delta XY=15^{\circ}C, \Delta XZ=15^{\circ}C$							
Trave 240												
UPN 260	1037	1038	Peso Proprio	UnifG	0	0	0	38	180	0	0	38
UPN 260	1037	1038	QP Solai	PolG	0	0	0	3	180	0	0	3
UPN 260	1037	1038	QFissi Solai	PolG	0	0	0	31	180	0	0	31
UPN 260	1037	1038	QV Solai	PolG	0	0	0	31	180	0	0	31
UPN 260	1037	1038	Neve	PolL	0	0	-1	50	180	0	-1	50
UPN 260	1037	1038	Vento +Y	PolL	0	0	-1	72	180	0	-1	72
UPN 260	1037	1038	Vento -Y	PolL	0	0	1	-72	180	0	1	-72
UPN 260	1037	1038	Carichi termici	Termico	$\Delta XY=15^{\circ}C, \Delta XZ=15^{\circ}C$							
Trave 241												
UPN 260	1038	1039	Peso Proprio	UnifG	0	0	0	38	180	0	0	38
UPN 260	1038	1039	QP Solai	PolG	0	0	0	3	180	0	0	3
UPN 260	1038	1039	QFissi Solai	PolG	0	0	0	31	180	0	0	31
UPN 260	1038	1039	QV Solai	PolG	0	0	0	31	180	0	0	31
UPN 260	1038	1039	Neve	PolL	0	0	-1	50	180	0	-1	50
UPN 260	1038	1039	Vento +Y	PolL	0	0	-1	72	180	0	-1	72
UPN 260	1038	1039	Vento -Y	PolL	0	0	1	-72	180	0	1	-72
UPN 260	1038	1039	Carichi termici	Termico	$\Delta XY=15^{\circ}C, \Delta XZ=15^{\circ}C$							
Trave 242												

Sezione	Ni	Nf	Cond.	Tipo c.	Xi	QXi	QYi	QZi	Xf	QXf	QYf	QZf
UPN 260	1039	1040	Peso Proprio	UnifG	0	0	0	38	180	0	0	38
UPN 260	1039	1040	QP Solai	PolG	0	0	0	3	180	0	0	3
UPN 260	1039	1040	QFissi Solai	PolG	0	0	0	31	180	0	0	31
UPN 260	1039	1040	QV Solai	PolG	0	0	0	31	180	0	0	31
UPN 260	1039	1040	Neve	PolL	0	0	-1	50	180	0	-1	50
UPN 260	1039	1040	Vento +Y	PolL	0	0	-1	72	180	0	-1	72
UPN 260	1039	1040	Vento -Y	PolL	0	0	1	-72	180	0	1	-72
UPN 260	1039	1040	Carichi termici	Termico	$\Delta XY=15^{\circ}C, \Delta XZ=15^{\circ}C$							
Trave 243												
UPN 260	1040	1041	Peso Proprio	UnifG	0	0	0	38	180	0	0	38
UPN 260	1040	1041	QP Solai	PolG	0	0	0	3	180	0	0	3
UPN 260	1040	1041	QFissi Solai	PolG	0	0	0	31	180	0	0	31
UPN 260	1040	1041	QV Solai	PolG	0	0	0	31	180	0	0	31
UPN 260	1040	1041	Neve	PolL	0	0	-1	50	180	0	-1	50
UPN 260	1040	1041	Vento +Y	PolL	0	0	-1	72	180	0	-1	72
UPN 260	1040	1041	Vento -Y	PolL	0	0	1	-72	180	0	1	-72
UPN 260	1040	1041	Carichi termici	Termico	$\Delta XY=15^{\circ}C, \Delta XZ=15^{\circ}C$							
Trave 244												
UPN 260	1041	1042	Peso Proprio	UnifG	0	0	0	38	180	0	0	38
UPN 260	1041	1042	QP Solai	PolG	0	0	0	3	180	0	0	3
UPN 260	1041	1042	QFissi Solai	PolG	0	0	0	31	180	0	0	31
UPN 260	1041	1042	QV Solai	PolG	0	0	0	31	180	0	0	31
UPN 260	1041	1042	Neve	PolL	0	0	-1	50	180	0	-1	50
UPN 260	1041	1042	Vento +Y	PolL	0	0	-1	72	180	0	-1	72
UPN 260	1041	1042	Vento -Y	PolL	0	0	1	-72	180	0	1	-72
UPN 260	1041	1042	Carichi termici	Termico	$\Delta XY=15^{\circ}C, \Delta XZ=15^{\circ}C$							
Trave 245												
UPN 260	1042	1043	Peso Proprio	UnifG	0	0	0	38	180	0	0	38
UPN 260	1042	1043	QP Solai	PolG	0	0	0	3	180	0	0	3
UPN 260	1042	1043	QFissi Solai	PolG	0	0	0	31	180	0	0	31
UPN 260	1042	1043	QV Solai	PolG	0	0	0	31	180	0	0	31
UPN 260	1042	1043	Neve	PolL	0	0	-1	50	180	0	-1	50
UPN 260	1042	1043	Vento +Y	PolL	0	0	-1	72	180	0	-1	72
UPN 260	1042	1043	Vento -Y	PolL	0	0	1	-72	180	0	1	-72
UPN 260	1042	1043	Carichi termici	Termico	$\Delta XY=15^{\circ}C, \Delta XZ=15^{\circ}C$							
Trave 246												
UPN 260	1043	1044	Peso Proprio	UnifG	0	0	0	38	180	0	0	38
UPN 260	1043	1044	QP Solai	PolG	0	0	0	3	180	0	0	3
UPN 260	1043	1044	QFissi Solai	PolG	0	0	0	31	180	0	0	31
UPN 260	1043	1044	QV Solai	PolG	0	0	0	31	180	0	0	31
UPN 260	1043	1044	Neve	PolL	0	0	-1	50	180	0	-1	50
UPN 260	1043	1044	Vento +Y	PolL	0	0	-1	72	180	0	-1	72
UPN 260	1043	1044	Vento -Y	PolL	0	0	1	-72	180	0	1	-72
UPN 260	1043	1044	Carichi termici	Termico	$\Delta XY=15^{\circ}C, \Delta XZ=15^{\circ}C$							
Trave 247												
UPN 260	1044	1045	Peso Proprio	UnifG	0	0	0	38	180	0	0	38
UPN 260	1044	1045	QP Solai	PolG	0	0	0	3	180	0	0	3
UPN 260	1044	1045	QFissi Solai	PolG	0	0	0	31	180	0	0	31
UPN 260	1044	1045	QV Solai	PolG	0	0	0	31	180	0	0	31
UPN 260	1044	1045	Neve	PolL	0	0	-1	50	180	0	-1	50
UPN 260	1044	1045	Vento +Y	PolL	0	0	-1	72	180	0	-1	72
UPN 260	1044	1045	Vento -Y	PolL	0	0	1	-72	180	0	1	-72
UPN 260	1044	1045	Carichi termici	Termico	$\Delta XY=15^{\circ}C, \Delta XZ=15^{\circ}C$							
Trave 248												
UPN 260	1045	1046	Peso Proprio	UnifG	0	0	0	38	180	0	0	38
UPN 260	1045	1046	QP Solai	PolG	0	0	0	3	180	0	0	3
UPN 260	1045	1046	QFissi Solai	PolG	0	0	0	31	180	0	0	31
UPN 260	1045	1046	QV Solai	PolG	0	0	0	31	180	0	0	31
UPN 260	1045	1046	Neve	PolL	0	0	-1	50	180	0	-1	50
UPN 260	1045	1046	Vento +Y	PolL	0	0	-1	72	180	0	-1	72
UPN 260	1045	1046	Vento -Y	PolL	0	0	1	-72	180	0	1	-72
UPN 260	1045	1046	Carichi termici	Termico	$\Delta XY=15^{\circ}C, \Delta XZ=15^{\circ}C$							
Trave 249												
UPN 260	1046	1047	Peso Proprio	UnifG	0	0	0	38	180	0	0	38
UPN 260	1046	1047	QP Solai	PolG	0	0	0	3	180	0	0	3
UPN 260	1046	1047	QFissi Solai	PolG	0	0	0	31	180	0	0	31
UPN 260	1046	1047	QV Solai	PolG	0	0	0	31	180	0	0	31
UPN 260	1046	1047	Neve	PolL	0	0	-1	50	180	0	-1	50
UPN 260	1046	1047	Vento +Y	PolL	0	0	-1	72	180	0	-1	72
UPN 260	1046	1047	Vento -Y	PolL	0	0	1	-72	180	0	1	-72
UPN 260	1046	1047	Carichi termici	Termico	$\Delta XY=15^{\circ}C, \Delta XZ=15^{\circ}C$							
Trave 250												
UPN 260	1047	1048	Peso Proprio	UnifG	0	0	0	38	180	0	0	38
UPN 260	1047	1048	QP Solai	PolG	0	0	0	3	180	0	0	3
UPN 260	1047	1048	QFissi Solai	PolG	0	0	0	31	180	0	0	31

Sezione	Ni	Nf	Cond.	Tipo c.	Xi	QXi	QYi	QZi	Xf	QXf	QYf	QZf
UPN 260	1047	1048	QV Solai	PolG	0	0	0	31	180	0	0	31
UPN 260	1047	1048	Neve	PolL	0	0	-1	50	180	0	-1	50
UPN 260	1047	1048	Vento +Y	PolL	0	0	-1	72	180	0	-1	72
UPN 260	1047	1048	Vento -Y	PolL	0	0	1	-72	180	0	1	-72
UPN 260	1047	1048	Carichi termici	Termico	$\Delta XY=15^{\circ}C, \Delta XZ=15^{\circ}C$							
Trave 251												
UPN 260	1048	1049	Peso Proprio	UnifG	0	0	0	38	180	0	0	38
UPN 260	1048	1049	QP Solai	PolG	0	0	0	3	180	0	0	3
UPN 260	1048	1049	QFissi Solai	PolG	0	0	0	31	180	0	0	31
UPN 260	1048	1049	QV Solai	PolG	0	0	0	31	180	0	0	31
UPN 260	1048	1049	Neve	PolL	0	0	-1	50	180	0	-1	50
UPN 260	1048	1049	Vento +Y	PolL	0	0	-1	72	180	0	-1	72
UPN 260	1048	1049	Vento -Y	PolL	0	0	1	-72	180	0	1	-72
UPN 260	1048	1049	Carichi termici	Termico	$\Delta XY=15^{\circ}C, \Delta XZ=15^{\circ}C$							
Trave 252												
UPN 260	1049	1050	Peso Proprio	UnifG	0	0	0	38	180	0	0	38
UPN 260	1049	1050	QP Solai	PolG	0	0	0	3	180	0	0	3
UPN 260	1049	1050	QFissi Solai	PolG	0	0	0	31	180	0	0	31
UPN 260	1049	1050	QV Solai	PolG	0	0	0	31	180	0	0	31
UPN 260	1049	1050	Neve	PolL	0	0	-1	50	180	0	-1	50
UPN 260	1049	1050	Vento +Y	PolL	0	0	-1	72	180	0	-1	72
UPN 260	1049	1050	Vento -Y	PolL	0	0	1	-72	180	0	1	-72
UPN 260	1049	1050	Carichi termici	Termico	$\Delta XY=15^{\circ}C, \Delta XZ=15^{\circ}C$							
Trave 253												
UPN 260	1050	1051	Peso Proprio	UnifG	0	0	0	38	180	0	0	38
UPN 260	1050	1051	QP Solai	PolG	0	0	0	3	180	0	0	3
UPN 260	1050	1051	QFissi Solai	PolG	0	0	0	31	180	0	0	31
UPN 260	1050	1051	QV Solai	PolG	0	0	0	31	180	0	0	31
UPN 260	1050	1051	Neve	PolL	0	0	-1	50	180	0	-1	50
UPN 260	1050	1051	Vento +Y	PolL	0	0	-1	72	180	0	-1	72
UPN 260	1050	1051	Vento -Y	PolL	0	0	1	-72	180	0	1	-72
UPN 260	1050	1051	Carichi termici	Termico	$\Delta XY=15^{\circ}C, \Delta XZ=15^{\circ}C$							
Trave 254												
UPN 260	1051	1052	Peso Proprio	UnifG	0	0	0	38	180	0	0	38
UPN 260	1051	1052	QP Solai	PolG	0	0	0	3	180	0	0	3
UPN 260	1051	1052	QFissi Solai	PolG	0	0	0	31	180	0	0	31
UPN 260	1051	1052	QV Solai	PolG	0	0	0	31	180	0	0	31
UPN 260	1051	1052	Neve	PolL	0	0	-1	50	180	0	-1	50
UPN 260	1051	1052	Vento +Y	PolL	0	0	-1	72	180	0	-1	72
UPN 260	1051	1052	Vento -Y	PolL	0	0	1	-72	180	0	1	-72
UPN 260	1051	1052	Carichi termici	Termico	$\Delta XY=15^{\circ}C, \Delta XZ=15^{\circ}C$							
Trave 255												
UPN 260	1052	1053	Peso Proprio	UnifG	0	0	0	38	180	0	0	38
UPN 260	1052	1053	QP Solai	PolG	0	0	0	3	180	0	0	3
UPN 260	1052	1053	QFissi Solai	PolG	0	0	0	31	180	0	0	31
UPN 260	1052	1053	QV Solai	PolG	0	0	0	31	180	0	0	31
UPN 260	1052	1053	Neve	PolL	0	0	-1	50	180	0	-1	50
UPN 260	1052	1053	Vento +Y	PolL	0	0	-1	72	180	0	-1	72
UPN 260	1052	1053	Vento -Y	PolL	0	0	1	-72	180	0	1	-72
UPN 260	1052	1053	Carichi termici	Termico	$\Delta XY=15^{\circ}C, \Delta XZ=15^{\circ}C$							
Trave 256												
UPN 260	1053	1054	Peso Proprio	UnifG	0	0	0	38	180	0	0	38
UPN 260	1053	1054	QP Solai	PolG	0	0	0	3	180	0	0	3
UPN 260	1053	1054	QFissi Solai	PolG	0	0	0	31	180	0	0	31
UPN 260	1053	1054	QV Solai	PolG	0	0	0	31	180	0	0	31
UPN 260	1053	1054	Neve	PolL	0	0	-1	50	180	0	-1	50
UPN 260	1053	1054	Vento +Y	PolL	0	0	-1	72	180	0	-1	72
UPN 260	1053	1054	Vento -Y	PolL	0	0	1	-72	180	0	1	-72
UPN 260	1053	1054	Carichi termici	Termico	$\Delta XY=15^{\circ}C, \Delta XZ=15^{\circ}C$							
Trave 257												
UPN 260	1054	1055	Peso Proprio	UnifG	0	0	0	38	180	0	0	38
UPN 260	1054	1055	QP Solai	PolG	0	0	0	3	180	0	0	3
UPN 260	1054	1055	QFissi Solai	PolG	0	0	0	31	180	0	0	31
UPN 260	1054	1055	QV Solai	PolG	0	0	0	31	180	0	0	31
UPN 260	1054	1055	Neve	PolL	0	0	-1	50	180	0	-1	50
UPN 260	1054	1055	Vento +Y	PolL	0	0	-1	72	180	0	-1	72
UPN 260	1054	1055	Vento -Y	PolL	0	0	1	-72	180	0	1	-72
UPN 260	1054	1055	Carichi termici	Termico	$\Delta XY=15^{\circ}C, \Delta XZ=15^{\circ}C$							
Trave 258												
UPN 260	1055	1056	Peso Proprio	UnifG	0	0	0	38	180	0	0	38
UPN 260	1055	1056	QP Solai	PolG	0	0	0	3	180	0	0	3
UPN 260	1055	1056	QFissi Solai	PolG	0	0	0	31	180	0	0	31
UPN 260	1055	1056	QV Solai	PolG	0	0	0	31	180	0	0	31
UPN 260	1055	1056	Neve	PolL	0	0	-1	50	180	0	-1	50
UPN 260	1055	1056	Vento +Y	PolL	0	0	-1	72	180	0	-1	72

Sezione	Ni	Nf	Cond.	Tipo c.	Xi	QXi	QYi	QZi	Xf	QXf	QYf	QZf
UPN 260	1055	1056	Vento -Y	PolL	0	0	1	-72	180	0	1	-72
UPN 260	1055	1056	Carichi termici	Termico	$\Delta XY=15^{\circ}C, \Delta XZ=15^{\circ}C$							
Trave 259												
UPN 260	1056	1057	Peso Proprio	UnifG	0	0	0	38	180	0	0	38
UPN 260	1056	1057	QP Solai	PolG	0	0	0	3	180	0	0	3
UPN 260	1056	1057	QFissi Solai	PolG	0	0	0	31	180	0	0	31
UPN 260	1056	1057	QV Solai	PolG	0	0	0	31	180	0	0	31
UPN 260	1056	1057	Neve	PolL	0	0	-1	50	180	0	-1	50
UPN 260	1056	1057	Vento +Y	PolL	0	0	-1	72	180	0	-1	72
UPN 260	1056	1057	Vento -Y	PolL	0	0	1	-72	180	0	1	-72
UPN 260	1056	1057	Carichi termici	Termico	$\Delta XY=15^{\circ}C, \Delta XZ=15^{\circ}C$							
Trave 260												
UPN 260	1057	1058	Peso Proprio	UnifG	0	0	0	38	180	0	0	38
UPN 260	1057	1058	QP Solai	PolG	0	0	0	3	180	0	0	3
UPN 260	1057	1058	QFissi Solai	PolG	0	0	0	31	180	0	0	31
UPN 260	1057	1058	QV Solai	PolG	0	0	0	31	180	0	0	31
UPN 260	1057	1058	Neve	PolL	0	0	-1	50	180	0	-1	50
UPN 260	1057	1058	Vento +Y	PolL	0	0	-1	72	180	0	-1	72
UPN 260	1057	1058	Vento -Y	PolL	0	0	1	-72	180	0	1	-72
UPN 260	1057	1058	Carichi termici	Termico	$\Delta XY=15^{\circ}C, \Delta XZ=15^{\circ}C$							
Trave 261												
UPN 260	1058	1059	Peso Proprio	UnifG	0	0	0	38	180	0	0	38
UPN 260	1058	1059	QP Solai	PolG	0	0	0	3	180	0	0	3
UPN 260	1058	1059	QFissi Solai	PolG	0	0	0	31	180	0	0	31
UPN 260	1058	1059	QV Solai	PolG	0	0	0	31	180	0	0	31
UPN 260	1058	1059	Neve	PolL	0	0	-1	50	180	0	-1	50
UPN 260	1058	1059	Vento +Y	PolL	0	0	-1	72	180	0	-1	72
UPN 260	1058	1059	Vento -Y	PolL	0	0	1	-72	180	0	1	-72
UPN 260	1058	1059	Carichi termici	Termico	$\Delta XY=15^{\circ}C, \Delta XZ=15^{\circ}C$							
Trave 262												
UPN 260	1059	1060	Peso Proprio	UnifG	0	0	0	38	180	0	0	38
UPN 260	1059	1060	QP Solai	PolG	0	0	0	3	180	0	0	3
UPN 260	1059	1060	QFissi Solai	PolG	0	0	0	31	180	0	0	31
UPN 260	1059	1060	QV Solai	PolG	0	0	0	31	180	0	0	31
UPN 260	1059	1060	Neve	PolL	0	0	-1	50	180	0	-1	50
UPN 260	1059	1060	Vento +Y	PolL	0	0	-1	72	180	0	-1	72
UPN 260	1059	1060	Vento -Y	PolL	0	0	1	-72	180	0	1	-72
UPN 260	1059	1060	Carichi termici	Termico	$\Delta XY=15^{\circ}C, \Delta XZ=15^{\circ}C$							
Trave 263												
UPN 260	1060	1061	Peso Proprio	UnifG	0	0	0	38	180	0	0	38
UPN 260	1060	1061	QP Solai	PolG	0	0	0	3	180	0	0	3
UPN 260	1060	1061	QFissi Solai	PolG	0	0	0	31	180	0	0	31
UPN 260	1060	1061	QV Solai	PolG	0	0	0	31	180	0	0	31
UPN 260	1060	1061	Neve	PolL	0	0	-1	50	180	0	-1	50
UPN 260	1060	1061	Vento +Y	PolL	0	0	-1	72	180	0	-1	72
UPN 260	1060	1061	Vento -Y	PolL	0	0	1	-72	180	0	1	-72
UPN 260	1060	1061	Carichi termici	Termico	$\Delta XY=15^{\circ}C, \Delta XZ=15^{\circ}C$							
Trave 264												
UPN 260	1061	1062	Peso Proprio	UnifG	0	0	0	38	180	0	0	38
UPN 260	1061	1062	QP Solai	PolG	0	0	0	3	180	0	0	3
UPN 260	1061	1062	QFissi Solai	PolG	0	0	0	31	180	0	0	31
UPN 260	1061	1062	QV Solai	PolG	0	0	0	31	180	0	0	31
UPN 260	1061	1062	Neve	PolL	0	0	-1	50	180	0	-1	50
UPN 260	1061	1062	Vento +Y	PolL	0	0	-1	72	180	0	-1	72
UPN 260	1061	1062	Vento -Y	PolL	0	0	1	-72	180	0	1	-72
UPN 260	1061	1062	Carichi termici	Termico	$\Delta XY=15^{\circ}C, \Delta XZ=15^{\circ}C$							
Trave 265												
UPN 260	1062	1063	Peso Proprio	UnifG	0	0	0	38	180	0	0	38
UPN 260	1062	1063	QP Solai	PolG	0	0	0	3	180	0	0	3
UPN 260	1062	1063	QFissi Solai	PolG	0	0	0	31	180	0	0	31
UPN 260	1062	1063	QV Solai	PolG	0	0	0	31	180	0	0	31
UPN 260	1062	1063	Neve	PolL	0	0	-1	50	180	0	-1	50
UPN 260	1062	1063	Vento +Y	PolL	0	0	-1	72	180	0	-1	72
UPN 260	1062	1063	Vento -Y	PolL	0	0	1	-72	180	0	1	-72
UPN 260	1062	1063	Carichi termici	Termico	$\Delta XY=15^{\circ}C, \Delta XZ=15^{\circ}C$							
Trave 266												
UPN 260	1063	1064	Peso Proprio	UnifG	0	0	0	38	180	0	0	38
UPN 260	1063	1064	QP Solai	PolG	0	0	0	3	180	0	0	3
UPN 260	1063	1064	QFissi Solai	PolG	0	0	0	31	180	0	0	31
UPN 260	1063	1064	QV Solai	PolG	0	0	0	31	180	0	0	31
UPN 260	1063	1064	Neve	PolL	0	0	-1	50	180	0	-1	50
UPN 260	1063	1064	Vento +Y	PolL	0	0	-1	72	180	0	-1	72
UPN 260	1063	1064	Vento -Y	PolL	0	0	1	-72	180	0	1	-72
UPN 260	1063	1064	Carichi termici	Termico	$\Delta XY=15^{\circ}C, \Delta XZ=15^{\circ}C$							
Trave 267												

Sezione	Ni	Nf	Cond.	Tipo c.	Xi	QXi	QYi	QZi	Xf	QXf	QYf	QZf
UPN 260	1064	1065	Peso Proprio	UnifG	0	0	0	38	200	0	0	38
UPN 260	1064	1065	QP Solai	PolG	0	0	0	3	200	0	0	3
UPN 260	1064	1065	QFissi Solai	PolG	0	0	0	31	200	0	0	31
UPN 260	1064	1065	QV Solai	PolG	0	0	0	31	200	0	0	31
UPN 260	1064	1065	Neve	PolL	0	0	-1	50	200	0	-1	50
UPN 260	1064	1065	Vento +Y	PolL	0	0	-1	72	200	0	-1	72
UPN 260	1064	1065	Vento -Y	PolL	0	0	1	-72	200	0	1	-72
UPN 260	1064	1065	Carichi termici	Termico	$\Delta XY=15^{\circ}C, \Delta XZ=15^{\circ}C$							
Trave 268												
IPE 100	1066	1067	Peso Proprio	UnifG	0	0	0	8	200	0	0	8
IPE 100	1066	1067	QP Solai	PolG	0	0	0	6	200	0	0	6
IPE 100	1066	1067	QFissi Solai	PolG	0	0	0	63	200	0	0	63
IPE 100	1066	1067	QV Solai	PolG	0	0	0	63	200	0	0	63
IPE 100	1066	1067	Neve	PolL	0	0	-1	50	200	0	-1	50
IPE 100	1066	1067	Neve	PolL	0	0	-1	50	200	0	-1	50
IPE 100	1066	1067	Vento +Y	PolL	0	0	-1	72	200	0	-1	72
IPE 100	1066	1067	Vento +Y	PolL	0	0	-1	72	200	0	-1	72
IPE 100	1066	1067	Vento -Y	PolL	0	0	1	-72	200	0	1	-72
IPE 100	1066	1067	Vento -Y	PolL	0	0	1	-72	200	0	1	-72
IPE 100	1066	1067	Carichi termici	Termico	$\Delta XY=15^{\circ}C, \Delta XZ=15^{\circ}C$							
Trave 269												
IPE 100	1067	1068	Peso Proprio	UnifG	0	0	0	8	180	0	0	8
IPE 100	1067	1068	QP Solai	PolG	0	0	0	6	180	0	0	6
IPE 100	1067	1068	QFissi Solai	PolG	0	0	0	63	180	0	0	63
IPE 100	1067	1068	QV Solai	PolG	0	0	0	63	180	0	0	63
IPE 100	1067	1068	Neve	PolL	0	0	-1	50	180	0	-1	50
IPE 100	1067	1068	Neve	PolL	0	0	-1	50	180	0	-1	50
IPE 100	1067	1068	Vento +Y	PolL	0	0	-1	72	180	0	-1	72
IPE 100	1067	1068	Vento +Y	PolL	0	0	-1	72	180	0	-1	72
IPE 100	1067	1068	Vento -Y	PolL	0	0	1	-72	180	0	1	-72
IPE 100	1067	1068	Vento -Y	PolL	0	0	1	-72	180	0	1	-72
IPE 100	1067	1068	Carichi termici	Termico	$\Delta XY=15^{\circ}C, \Delta XZ=15^{\circ}C$							
Trave 270												
IPE 100	1068	1069	Peso Proprio	UnifG	0	0	0	8	180	0	0	8
IPE 100	1068	1069	QP Solai	PolG	0	0	0	6	180	0	0	6
IPE 100	1068	1069	QFissi Solai	PolG	0	0	0	63	180	0	0	63
IPE 100	1068	1069	QV Solai	PolG	0	0	0	63	180	0	0	63
IPE 100	1068	1069	Neve	PolL	0	0	-1	50	180	0	-1	50
IPE 100	1068	1069	Neve	PolL	0	0	-1	50	180	0	-1	50
IPE 100	1068	1069	Vento +Y	PolL	0	0	-1	72	180	0	-1	72
IPE 100	1068	1069	Vento +Y	PolL	0	0	-1	72	180	0	-1	72
IPE 100	1068	1069	Vento -Y	PolL	0	0	1	-72	180	0	1	-72
IPE 100	1068	1069	Vento -Y	PolL	0	0	1	-72	180	0	1	-72
IPE 100	1068	1069	Carichi termici	Termico	$\Delta XY=15^{\circ}C, \Delta XZ=15^{\circ}C$							
Trave 271												
IPE 100	1069	1070	Peso Proprio	UnifG	0	0	0	8	180	0	0	8
IPE 100	1069	1070	QP Solai	PolG	0	0	0	6	180	0	0	6
IPE 100	1069	1070	QFissi Solai	PolG	0	0	0	63	180	0	0	63
IPE 100	1069	1070	QV Solai	PolG	0	0	0	63	180	0	0	63
IPE 100	1069	1070	Neve	PolL	0	0	-1	50	180	0	-1	50
IPE 100	1069	1070	Neve	PolL	0	0	-1	50	180	0	-1	50
IPE 100	1069	1070	Vento +Y	PolL	0	0	-1	72	180	0	-1	72
IPE 100	1069	1070	Vento +Y	PolL	0	0	-1	72	180	0	-1	72
IPE 100	1069	1070	Vento -Y	PolL	0	0	1	-72	180	0	1	-72
IPE 100	1069	1070	Vento -Y	PolL	0	0	1	-72	180	0	1	-72
IPE 100	1069	1070	Carichi termici	Termico	$\Delta XY=15^{\circ}C, \Delta XZ=15^{\circ}C$							
Trave 272												
IPE 100	1070	1071	Peso Proprio	UnifG	0	0	0	8	180	0	0	8
IPE 100	1070	1071	QP Solai	PolG	0	0	0	6	180	0	0	6
IPE 100	1070	1071	QFissi Solai	PolG	0	0	0	63	180	0	0	63
IPE 100	1070	1071	QV Solai	PolG	0	0	0	63	180	0	0	63
IPE 100	1070	1071	Neve	PolL	0	0	-1	50	180	0	-1	50
IPE 100	1070	1071	Neve	PolL	0	0	-1	50	180	0	-1	50
IPE 100	1070	1071	Vento +Y	PolL	0	0	-1	72	180	0	-1	72
IPE 100	1070	1071	Vento +Y	PolL	0	0	-1	72	180	0	-1	72
IPE 100	1070	1071	Vento -Y	PolL	0	0	1	-72	180	0	1	-72
IPE 100	1070	1071	Vento -Y	PolL	0	0	1	-72	180	0	1	-72
IPE 100	1070	1071	Carichi termici	Termico	$\Delta XY=15^{\circ}C, \Delta XZ=15^{\circ}C$							
Trave 273												
IPE 100	1071	1072	Peso Proprio	UnifG	0	0	0	8	180	0	0	8
IPE 100	1071	1072	QP Solai	PolG	0	0	0	6	180	0	0	6
IPE 100	1071	1072	QFissi Solai	PolG	0	0	0	63	180	0	0	63
IPE 100	1071	1072	QV Solai	PolG	0	0	0	63	180	0	0	63
IPE 100	1071	1072	Neve	PolL	0	0	-1	50	180	0	-1	50
IPE 100	1071	1072	Neve	PolL	0	0	-1	50	180	0	-1	50

Sezione	Ni	Nf	Cond.	Tipo c.	Xi	QXi	QYi	QZi	Xf	QXf	QYf	QZf
IPE 100	1071	1072	Vento +Y	PolL	0	0	-1	72	180	0	-1	72
IPE 100	1071	1072	Vento +Y	PolL	0	0	-1	72	180	0	-1	72
IPE 100	1071	1072	Vento -Y	PolL	0	0	1	-72	180	0	1	-72
IPE 100	1071	1072	Vento -Y	PolL	0	0	1	-72	180	0	1	-72
IPE 100	1071	1072	Carichi termici	Termico	$\Delta XY=15^{\circ}C, \Delta XZ=15^{\circ}C$							
Trave 280												
IPE 100	1072	1073	Peso Proprio	UnifG	0	0	0	8	180	0	0	8
IPE 100	1072	1073	QP Solai	PolG	0	0	0	6	180	0	0	6
IPE 100	1072	1073	QFissi Solai	PolG	0	0	0	63	180	0	0	63
IPE 100	1072	1073	QV Solai	PolG	0	0	0	63	180	0	0	63
IPE 100	1072	1073	Neve	PolL	0	0	-1	50	180	0	-1	50
IPE 100	1072	1073	Neve	PolL	0	0	-1	50	180	0	-1	50
IPE 100	1072	1073	Vento +Y	PolL	0	0	-1	72	180	0	-1	72
IPE 100	1072	1073	Vento +Y	PolL	0	0	-1	72	180	0	-1	72
IPE 100	1072	1073	Vento -Y	PolL	0	0	1	-72	180	0	1	-72
IPE 100	1072	1073	Vento -Y	PolL	0	0	1	-72	180	0	1	-72
IPE 100	1072	1073	Carichi termici	Termico	$\Delta XY=15^{\circ}C, \Delta XZ=15^{\circ}C$							
Trave 281												
IPE 100	1073	1074	Peso Proprio	UnifG	0	0	0	8	180	0	0	8
IPE 100	1073	1074	QP Solai	PolG	0	0	0	6	180	0	0	6
IPE 100	1073	1074	QFissi Solai	PolG	0	0	0	63	180	0	0	63
IPE 100	1073	1074	QV Solai	PolG	0	0	0	63	180	0	0	63
IPE 100	1073	1074	Neve	PolL	0	0	-1	50	180	0	-1	50
IPE 100	1073	1074	Neve	PolL	0	0	-1	50	180	0	-1	50
IPE 100	1073	1074	Vento +Y	PolL	0	0	-1	72	180	0	-1	72
IPE 100	1073	1074	Vento +Y	PolL	0	0	-1	72	180	0	-1	72
IPE 100	1073	1074	Vento -Y	PolL	0	0	1	-72	180	0	1	-72
IPE 100	1073	1074	Vento -Y	PolL	0	0	1	-72	180	0	1	-72
IPE 100	1073	1074	Carichi termici	Termico	$\Delta XY=15^{\circ}C, \Delta XZ=15^{\circ}C$							
Trave 282												
IPE 100	1074	1075	Peso Proprio	UnifG	0	0	0	8	180	0	0	8
IPE 100	1074	1075	QP Solai	PolG	0	0	0	6	180	0	0	6
IPE 100	1074	1075	QFissi Solai	PolG	0	0	0	63	180	0	0	63
IPE 100	1074	1075	QV Solai	PolG	0	0	0	63	180	0	0	63
IPE 100	1074	1075	Neve	PolL	0	0	-1	50	180	0	-1	50
IPE 100	1074	1075	Neve	PolL	0	0	-1	50	180	0	-1	50
IPE 100	1074	1075	Vento +Y	PolL	0	0	-1	72	180	0	-1	72
IPE 100	1074	1075	Vento +Y	PolL	0	0	-1	72	180	0	-1	72
IPE 100	1074	1075	Vento -Y	PolL	0	0	1	-72	180	0	1	-72
IPE 100	1074	1075	Vento -Y	PolL	0	0	1	-72	180	0	1	-72
IPE 100	1074	1075	Carichi termici	Termico	$\Delta XY=15^{\circ}C, \Delta XZ=15^{\circ}C$							
Trave 283												
IPE 100	1075	1076	Peso Proprio	UnifG	0	0	0	8	180	0	0	8
IPE 100	1075	1076	QP Solai	PolG	0	0	0	6	180	0	0	6
IPE 100	1075	1076	QFissi Solai	PolG	0	0	0	63	180	0	0	63
IPE 100	1075	1076	QV Solai	PolG	0	0	0	63	180	0	0	63
IPE 100	1075	1076	Neve	PolL	0	0	-1	50	180	0	-1	50
IPE 100	1075	1076	Neve	PolL	0	0	-1	50	180	0	-1	50
IPE 100	1075	1076	Vento +Y	PolL	0	0	-1	72	180	0	-1	72
IPE 100	1075	1076	Vento +Y	PolL	0	0	-1	72	180	0	-1	72
IPE 100	1075	1076	Vento -Y	PolL	0	0	1	-72	180	0	1	-72
IPE 100	1075	1076	Vento -Y	PolL	0	0	1	-72	180	0	1	-72
IPE 100	1075	1076	Carichi termici	Termico	$\Delta XY=15^{\circ}C, \Delta XZ=15^{\circ}C$							
Trave 284												
IPE 100	1076	1077	Peso Proprio	UnifG	0	0	0	8	180	0	0	8
IPE 100	1076	1077	QP Solai	PolG	0	0	0	6	180	0	0	6
IPE 100	1076	1077	QFissi Solai	PolG	0	0	0	63	180	0	0	63
IPE 100	1076	1077	QV Solai	PolG	0	0	0	63	180	0	0	63
IPE 100	1076	1077	Neve	PolL	0	0	-1	50	180	0	-1	50
IPE 100	1076	1077	Neve	PolL	0	0	-1	50	180	0	-1	50
IPE 100	1076	1077	Vento +Y	PolL	0	0	-1	72	180	0	-1	72
IPE 100	1076	1077	Vento +Y	PolL	0	0	-1	72	180	0	-1	72
IPE 100	1076	1077	Vento -Y	PolL	0	0	1	-72	180	0	1	-72
IPE 100	1076	1077	Vento -Y	PolL	0	0	1	-72	180	0	1	-72
IPE 100	1076	1077	Carichi termici	Termico	$\Delta XY=15^{\circ}C, \Delta XZ=15^{\circ}C$							
Trave 285												
IPE 100	1077	1078	Peso Proprio	UnifG	0	0	0	8	180	0	0	8
IPE 100	1077	1078	QP Solai	PolG	0	0	0	6	180	0	0	6
IPE 100	1077	1078	QFissi Solai	PolG	0	0	0	63	180	0	0	63
IPE 100	1077	1078	QV Solai	PolG	0	0	0	63	180	0	0	63
IPE 100	1077	1078	Neve	PolL	0	0	-1	50	180	0	-1	50
IPE 100	1077	1078	Neve	PolL	0	0	-1	50	180	0	-1	50
IPE 100	1077	1078	Vento +Y	PolL	0	0	-1	72	180	0	-1	72
IPE 100	1077	1078	Vento +Y	PolL	0	0	-1	72	180	0	-1	72
IPE 100	1077	1078	Vento -Y	PolL	0	0	1	-72	180	0	1	-72
IPE 100	1077	1078	Vento -Y	PolL	0	0	1	-72	180	0	1	-72

Sezione	Ni	Nf	Cond.	Tipo c.	Xi	QXi	QYi	QZi	Xf	QXf	QYf	QZf
IPE 100	1077	1078	Vento -Y	PolL	0	0	1	-72	180	0	1	-72
IPE 100	1077	1078	Carichi termici	Termico	$\Delta XY=15^{\circ}C, \Delta XZ=15^{\circ}C$							
Trave 286												
IPE 100	1078	1079	Peso Proprio	UnifG	0	0	0	8	180	0	0	8
IPE 100	1078	1079	QP Solai	PolG	0	0	0	6	180	0	0	6
IPE 100	1078	1079	QFissi Solai	PolG	0	0	0	63	180	0	0	63
IPE 100	1078	1079	QV Solai	PolG	0	0	0	63	180	0	0	63
IPE 100	1078	1079	Neve	PolL	0	0	-1	50	180	0	-1	50
IPE 100	1078	1079	Neve	PolL	0	0	-1	50	180	0	-1	50
IPE 100	1078	1079	Vento +Y	PolL	0	0	-1	72	180	0	-1	72
IPE 100	1078	1079	Vento +Y	PolL	0	0	-1	72	180	0	-1	72
IPE 100	1078	1079	Vento -Y	PolL	0	0	1	-72	180	0	1	-72
IPE 100	1078	1079	Vento -Y	PolL	0	0	1	-72	180	0	1	-72
IPE 100	1078	1079	Carichi termici	Termico	$\Delta XY=15^{\circ}C, \Delta XZ=15^{\circ}C$							
Trave 287												
IPE 100	1079	1080	Peso Proprio	UnifG	0	0	0	8	180	0	0	8
IPE 100	1079	1080	QP Solai	PolG	0	0	0	6	180	0	0	6
IPE 100	1079	1080	QFissi Solai	PolG	0	0	0	63	180	0	0	63
IPE 100	1079	1080	QV Solai	PolG	0	0	0	63	180	0	0	63
IPE 100	1079	1080	Neve	PolL	0	0	-1	50	180	0	-1	50
IPE 100	1079	1080	Neve	PolL	0	0	-1	50	180	0	-1	50
IPE 100	1079	1080	Vento +Y	PolL	0	0	-1	72	180	0	-1	72
IPE 100	1079	1080	Vento +Y	PolL	0	0	-1	72	180	0	-1	72
IPE 100	1079	1080	Vento -Y	PolL	0	0	1	-72	180	0	1	-72
IPE 100	1079	1080	Vento -Y	PolL	0	0	1	-72	180	0	1	-72
IPE 100	1079	1080	Carichi termici	Termico	$\Delta XY=15^{\circ}C, \Delta XZ=15^{\circ}C$							
Trave 288												
IPE 100	1080	1081	Peso Proprio	UnifG	0	0	0	8	180	0	0	8
IPE 100	1080	1081	QP Solai	PolG	0	0	0	6	180	0	0	6
IPE 100	1080	1081	QFissi Solai	PolG	0	0	0	63	180	0	0	63
IPE 100	1080	1081	QV Solai	PolG	0	0	0	63	180	0	0	63
IPE 100	1080	1081	Neve	PolL	0	0	-1	50	180	0	-1	50
IPE 100	1080	1081	Neve	PolL	0	0	-1	50	180	0	-1	50
IPE 100	1080	1081	Vento +Y	PolL	0	0	-1	72	180	0	-1	72
IPE 100	1080	1081	Vento +Y	PolL	0	0	-1	72	180	0	-1	72
IPE 100	1080	1081	Vento -Y	PolL	0	0	1	-72	180	0	1	-72
IPE 100	1080	1081	Vento -Y	PolL	0	0	1	-72	180	0	1	-72
IPE 100	1080	1081	Carichi termici	Termico	$\Delta XY=15^{\circ}C, \Delta XZ=15^{\circ}C$							
Trave 289												
IPE 100	1081	1082	Peso Proprio	UnifG	0	0	0	8	180	0	0	8
IPE 100	1081	1082	QP Solai	PolG	0	0	0	6	180	0	0	6
IPE 100	1081	1082	QFissi Solai	PolG	0	0	0	63	180	0	0	63
IPE 100	1081	1082	QV Solai	PolG	0	0	0	63	180	0	0	63
IPE 100	1081	1082	Neve	PolL	0	0	-1	50	180	0	-1	50
IPE 100	1081	1082	Neve	PolL	0	0	-1	50	180	0	-1	50
IPE 100	1081	1082	Vento +Y	PolL	0	0	-1	72	180	0	-1	72
IPE 100	1081	1082	Vento +Y	PolL	0	0	-1	72	180	0	-1	72
IPE 100	1081	1082	Vento -Y	PolL	0	0	1	-72	180	0	1	-72
IPE 100	1081	1082	Vento -Y	PolL	0	0	1	-72	180	0	1	-72
IPE 100	1081	1082	Carichi termici	Termico	$\Delta XY=15^{\circ}C, \Delta XZ=15^{\circ}C$							
Trave 290												
IPE 100	1082	1083	Peso Proprio	UnifG	0	0	0	8	180	0	0	8
IPE 100	1082	1083	QP Solai	PolG	0	0	0	6	180	0	0	6
IPE 100	1082	1083	QFissi Solai	PolG	0	0	0	63	180	0	0	63
IPE 100	1082	1083	QV Solai	PolG	0	0	0	63	180	0	0	63
IPE 100	1082	1083	Neve	PolL	0	0	-1	50	180	0	-1	50
IPE 100	1082	1083	Neve	PolL	0	0	-1	50	180	0	-1	50
IPE 100	1082	1083	Vento +Y	PolL	0	0	-1	72	180	0	-1	72
IPE 100	1082	1083	Vento +Y	PolL	0	0	-1	72	180	0	-1	72
IPE 100	1082	1083	Vento -Y	PolL	0	0	1	-72	180	0	1	-72
IPE 100	1082	1083	Vento -Y	PolL	0	0	1	-72	180	0	1	-72
IPE 100	1082	1083	Carichi termici	Termico	$\Delta XY=15^{\circ}C, \Delta XZ=15^{\circ}C$							
Trave 291												
IPE 100	1083	1084	Peso Proprio	UnifG	0	0	0	8	180	0	0	8
IPE 100	1083	1084	QP Solai	PolG	0	0	0	6	180	0	0	6
IPE 100	1083	1084	QFissi Solai	PolG	0	0	0	63	180	0	0	63
IPE 100	1083	1084	QV Solai	PolG	0	0	0	63	180	0	0	63
IPE 100	1083	1084	Neve	PolL	0	0	-1	50	180	0	-1	50
IPE 100	1083	1084	Neve	PolL	0	0	-1	50	180	0	-1	50
IPE 100	1083	1084	Vento +Y	PolL	0	0	-1	72	180	0	-1	72
IPE 100	1083	1084	Vento +Y	PolL	0	0	-1	72	180	0	-1	72
IPE 100	1083	1084	Vento -Y	PolL	0	0	1	-72	180	0	1	-72
IPE 100	1083	1084	Vento -Y	PolL	0	0	1	-72	180	0	1	-72
IPE 100	1083	1084	Carichi termici	Termico	$\Delta XY=15^{\circ}C, \Delta XZ=15^{\circ}C$							
Trave 292												

Sezione	Ni	Nf	Cond.	Tipo c.	Xi	QXi	QYi	QZi	Xf	QXf	QYf	QZf
IPE 100	1084	1085	Peso Proprio	UnifG	0	0	0	8	180	0	0	8
IPE 100	1084	1085	QP Solai	PolG	0	0	0	6	180	0	0	6
IPE 100	1084	1085	QFissi Solai	PolG	0	0	0	63	180	0	0	63
IPE 100	1084	1085	QV Solai	PolG	0	0	0	63	180	0	0	63
IPE 100	1084	1085	Neve	PolL	0	0	-1	50	180	0	-1	50
IPE 100	1084	1085	Neve	PolL	0	0	-1	50	180	0	-1	50
IPE 100	1084	1085	Vento +Y	PolL	0	0	-1	72	180	0	-1	72
IPE 100	1084	1085	Vento +Y	PolL	0	0	-1	72	180	0	-1	72
IPE 100	1084	1085	Vento -Y	PolL	0	0	1	-72	180	0	1	-72
IPE 100	1084	1085	Vento -Y	PolL	0	0	1	-72	180	0	1	-72
IPE 100	1084	1085	Carichi termici	Termico	$\Delta XY=15^{\circ}C, \Delta XZ=15^{\circ}C$							
Trave 293												
IPE 100	1085	1086	Peso Proprio	UnifG	0	0	0	8	180	0	0	8
IPE 100	1085	1086	QP Solai	PolG	0	0	0	6	180	0	0	6
IPE 100	1085	1086	QFissi Solai	PolG	0	0	0	63	180	0	0	63
IPE 100	1085	1086	QV Solai	PolG	0	0	0	63	180	0	0	63
IPE 100	1085	1086	Neve	PolL	0	0	-1	50	180	0	-1	50
IPE 100	1085	1086	Neve	PolL	0	0	-1	50	180	0	-1	50
IPE 100	1085	1086	Vento +Y	PolL	0	0	-1	72	180	0	-1	72
IPE 100	1085	1086	Vento +Y	PolL	0	0	-1	72	180	0	-1	72
IPE 100	1085	1086	Vento -Y	PolL	0	0	1	-72	180	0	1	-72
IPE 100	1085	1086	Vento -Y	PolL	0	0	1	-72	180	0	1	-72
IPE 100	1085	1086	Carichi termici	Termico	$\Delta XY=15^{\circ}C, \Delta XZ=15^{\circ}C$							
Trave 294												
IPE 100	1086	1087	Peso Proprio	UnifG	0	0	0	8	180	0	0	8
IPE 100	1086	1087	QP Solai	PolG	0	0	0	6	180	0	0	6
IPE 100	1086	1087	QFissi Solai	PolG	0	0	0	63	180	0	0	63
IPE 100	1086	1087	QV Solai	PolG	0	0	0	63	180	0	0	63
IPE 100	1086	1087	Neve	PolL	0	0	-1	50	180	0	-1	50
IPE 100	1086	1087	Neve	PolL	0	0	-1	50	180	0	-1	50
IPE 100	1086	1087	Vento +Y	PolL	0	0	-1	72	180	0	-1	72
IPE 100	1086	1087	Vento +Y	PolL	0	0	-1	72	180	0	-1	72
IPE 100	1086	1087	Vento -Y	PolL	0	0	1	-72	180	0	1	-72
IPE 100	1086	1087	Vento -Y	PolL	0	0	1	-72	180	0	1	-72
IPE 100	1086	1087	Carichi termici	Termico	$\Delta XY=15^{\circ}C, \Delta XZ=15^{\circ}C$							
Trave 295												
IPE 100	1087	1088	Peso Proprio	UnifG	0	0	0	8	180	0	0	8
IPE 100	1087	1088	QP Solai	PolG	0	0	0	6	180	0	0	6
IPE 100	1087	1088	QFissi Solai	PolG	0	0	0	63	180	0	0	63
IPE 100	1087	1088	QV Solai	PolG	0	0	0	63	180	0	0	63
IPE 100	1087	1088	Neve	PolL	0	0	-1	50	180	0	-1	50
IPE 100	1087	1088	Neve	PolL	0	0	-1	50	180	0	-1	50
IPE 100	1087	1088	Vento +Y	PolL	0	0	-1	72	180	0	-1	72
IPE 100	1087	1088	Vento +Y	PolL	0	0	-1	72	180	0	-1	72
IPE 100	1087	1088	Vento -Y	PolL	0	0	1	-72	180	0	1	-72
IPE 100	1087	1088	Vento -Y	PolL	0	0	1	-72	180	0	1	-72
IPE 100	1087	1088	Carichi termici	Termico	$\Delta XY=15^{\circ}C, \Delta XZ=15^{\circ}C$							
Trave 296												
IPE 100	1088	1089	Peso Proprio	UnifG	0	0	0	8	180	0	0	8
IPE 100	1088	1089	QP Solai	PolG	0	0	0	6	180	0	0	6
IPE 100	1088	1089	QFissi Solai	PolG	0	0	0	63	180	0	0	63
IPE 100	1088	1089	QV Solai	PolG	0	0	0	63	180	0	0	63
IPE 100	1088	1089	Neve	PolL	0	0	-1	50	180	0	-1	50
IPE 100	1088	1089	Neve	PolL	0	0	-1	50	180	0	-1	50
IPE 100	1088	1089	Vento +Y	PolL	0	0	-1	72	180	0	-1	72
IPE 100	1088	1089	Vento +Y	PolL	0	0	-1	72	180	0	-1	72
IPE 100	1088	1089	Vento -Y	PolL	0	0	1	-72	180	0	1	-72
IPE 100	1088	1089	Vento -Y	PolL	0	0	1	-72	180	0	1	-72
IPE 100	1088	1089	Carichi termici	Termico	$\Delta XY=15^{\circ}C, \Delta XZ=15^{\circ}C$							
Trave 297												
IPE 100	1089	1090	Peso Proprio	UnifG	0	0	0	8	180	0	0	8
IPE 100	1089	1090	QP Solai	PolG	0	0	0	6	180	0	0	6
IPE 100	1089	1090	QFissi Solai	PolG	0	0	0	63	180	0	0	63
IPE 100	1089	1090	QV Solai	PolG	0	0	0	63	180	0	0	63
IPE 100	1089	1090	Neve	PolL	0	0	-1	50	180	0	-1	50
IPE 100	1089	1090	Neve	PolL	0	0	-1	50	180	0	-1	50
IPE 100	1089	1090	Vento +Y	PolL	0	0	-1	72	180	0	-1	72
IPE 100	1089	1090	Vento +Y	PolL	0	0	-1	72	180	0	-1	72
IPE 100	1089	1090	Vento -Y	PolL	0	0	1	-72	180	0	1	-72
IPE 100	1089	1090	Vento -Y	PolL	0	0	1	-72	180	0	1	-72
IPE 100	1089	1090	Carichi termici	Termico	$\Delta XY=15^{\circ}C, \Delta XZ=15^{\circ}C$							
Trave 298												
IPE 100	1090	1091	Peso Proprio	UnifG	0	0	0	8	180	0	0	8
IPE 100	1090	1091	QP Solai	PolG	0	0	0	6	180	0	0	6
IPE 100	1090	1091	QFissi Solai	PolG	0	0	0	63	180	0	0	63

Sezione	Ni	Nf	Cond.	Tipo c.	Xi	QXi	QYi	QZi	Xf	QXf	QYf	QZf
IPE 100	1090	1091	QV Solai	PolG	0	0	0	63	180	0	0	63
IPE 100	1090	1091	Neve	PolL	0	0	-1	50	180	0	-1	50
IPE 100	1090	1091	Neve	PolL	0	0	-1	50	180	0	-1	50
IPE 100	1090	1091	Vento +Y	PolL	0	0	-1	72	180	0	-1	72
IPE 100	1090	1091	Vento +Y	PolL	0	0	-1	72	180	0	-1	72
IPE 100	1090	1091	Vento -Y	PolL	0	0	1	-72	180	0	1	-72
IPE 100	1090	1091	Vento -Y	PolL	0	0	1	-72	180	0	1	-72
IPE 100	1090	1091	Carichi termici	Termico	$\Delta XY=15^{\circ}C, \Delta XZ=15^{\circ}C$							
Trave 299												
IPE 100	1091	1092	Peso Proprio	UnifG	0	0	0	8	180	0	0	8
IPE 100	1091	1092	QP Solai	PolG	0	0	0	6	180	0	0	6
IPE 100	1091	1092	QFissi Solai	PolG	0	0	0	63	180	0	0	63
IPE 100	1091	1092	QV Solai	PolG	0	0	0	63	180	0	0	63
IPE 100	1091	1092	Neve	PolL	0	0	-1	50	180	0	-1	50
IPE 100	1091	1092	Neve	PolL	0	0	-1	50	180	0	-1	50
IPE 100	1091	1092	Vento +Y	PolL	0	0	-1	72	180	0	-1	72
IPE 100	1091	1092	Vento +Y	PolL	0	0	-1	72	180	0	-1	72
IPE 100	1091	1092	Vento -Y	PolL	0	0	1	-72	180	0	1	-72
IPE 100	1091	1092	Vento -Y	PolL	0	0	1	-72	180	0	1	-72
IPE 100	1091	1092	Carichi termici	Termico	$\Delta XY=15^{\circ}C, \Delta XZ=15^{\circ}C$							
Trave 300												
IPE 100	1092	1093	Peso Proprio	UnifG	0	0	0	8	180	0	0	8
IPE 100	1092	1093	QP Solai	PolG	0	0	0	6	180	0	0	6
IPE 100	1092	1093	QFissi Solai	PolG	0	0	0	63	180	0	0	63
IPE 100	1092	1093	QV Solai	PolG	0	0	0	63	180	0	0	63
IPE 100	1092	1093	Neve	PolL	0	0	-1	50	180	0	-1	50
IPE 100	1092	1093	Neve	PolL	0	0	-1	50	180	0	-1	50
IPE 100	1092	1093	Vento +Y	PolL	0	0	-1	72	180	0	-1	72
IPE 100	1092	1093	Vento +Y	PolL	0	0	-1	72	180	0	-1	72
IPE 100	1092	1093	Vento -Y	PolL	0	0	1	-72	180	0	1	-72
IPE 100	1092	1093	Vento -Y	PolL	0	0	1	-72	180	0	1	-72
IPE 100	1092	1093	Carichi termici	Termico	$\Delta XY=15^{\circ}C, \Delta XZ=15^{\circ}C$							
Trave 301												
IPE 100	1093	1094	Peso Proprio	UnifG	0	0	0	8	180	0	0	8
IPE 100	1093	1094	QP Solai	PolG	0	0	0	6	180	0	0	6
IPE 100	1093	1094	QFissi Solai	PolG	0	0	0	63	180	0	0	63
IPE 100	1093	1094	QV Solai	PolG	0	0	0	63	180	0	0	63
IPE 100	1093	1094	Neve	PolL	0	0	-1	50	180	0	-1	50
IPE 100	1093	1094	Neve	PolL	0	0	-1	50	180	0	-1	50
IPE 100	1093	1094	Vento +Y	PolL	0	0	-1	72	180	0	-1	72
IPE 100	1093	1094	Vento +Y	PolL	0	0	-1	72	180	0	-1	72
IPE 100	1093	1094	Vento -Y	PolL	0	0	1	-72	180	0	1	-72
IPE 100	1093	1094	Vento -Y	PolL	0	0	1	-72	180	0	1	-72
IPE 100	1093	1094	Carichi termici	Termico	$\Delta XY=15^{\circ}C, \Delta XZ=15^{\circ}C$							
Trave 302												
IPE 100	1094	1095	Peso Proprio	UnifG	0	0	0	8	180	0	0	8
IPE 100	1094	1095	QP Solai	PolG	0	0	0	6	180	0	0	6
IPE 100	1094	1095	QFissi Solai	PolG	0	0	0	63	180	0	0	63
IPE 100	1094	1095	QV Solai	PolG	0	0	0	63	180	0	0	63
IPE 100	1094	1095	Neve	PolL	0	0	-1	50	180	0	-1	50
IPE 100	1094	1095	Neve	PolL	0	0	-1	50	180	0	-1	50
IPE 100	1094	1095	Vento +Y	PolL	0	0	-1	72	180	0	-1	72
IPE 100	1094	1095	Vento +Y	PolL	0	0	-1	72	180	0	-1	72
IPE 100	1094	1095	Vento -Y	PolL	0	0	1	-72	180	0	1	-72
IPE 100	1094	1095	Vento -Y	PolL	0	0	1	-72	180	0	1	-72
IPE 100	1094	1095	Carichi termici	Termico	$\Delta XY=15^{\circ}C, \Delta XZ=15^{\circ}C$							
Trave 303												
IPE 100	1095	1096	Peso Proprio	UnifG	0	0	0	8	180	0	0	8
IPE 100	1095	1096	QP Solai	PolG	0	0	0	6	180	0	0	6
IPE 100	1095	1096	QFissi Solai	PolG	0	0	0	63	180	0	0	63
IPE 100	1095	1096	QV Solai	PolG	0	0	0	63	180	0	0	63
IPE 100	1095	1096	Neve	PolL	0	0	-1	50	180	0	-1	50
IPE 100	1095	1096	Neve	PolL	0	0	-1	50	180	0	-1	50
IPE 100	1095	1096	Vento +Y	PolL	0	0	-1	72	180	0	-1	72
IPE 100	1095	1096	Vento +Y	PolL	0	0	-1	72	180	0	-1	72
IPE 100	1095	1096	Vento -Y	PolL	0	0	1	-72	180	0	1	-72
IPE 100	1095	1096	Vento -Y	PolL	0	0	1	-72	180	0	1	-72
IPE 100	1095	1096	Carichi termici	Termico	$\Delta XY=15^{\circ}C, \Delta XZ=15^{\circ}C$							
Trave 304												
IPE 100	1096	1097	Peso Proprio	UnifG	0	0	0	8	180	0	0	8
IPE 100	1096	1097	QP Solai	PolG	0	0	0	6	180	0	0	6
IPE 100	1096	1097	QFissi Solai	PolG	0	0	0	63	180	0	0	63
IPE 100	1096	1097	QV Solai	PolG	0	0	0	63	180	0	0	63
IPE 100	1096	1097	Neve	PolL	0	0	-1	50	180	0	-1	50
IPE 100	1096	1097	Neve	PolL	0	0	-1	50	180	0	-1	50

Sezione	Ni	Nf	Cond.	Tipo c.	Xi	QXi	QYi	QZi	Xf	QXf	QYf	QZf
IPE 100	1096	1097	Vento +Y	PolL	0	0	-1	72	180	0	-1	72
IPE 100	1096	1097	Vento +Y	PolL	0	0	-1	72	180	0	-1	72
IPE 100	1096	1097	Vento -Y	PolL	0	0	1	-72	180	0	1	-72
IPE 100	1096	1097	Vento -Y	PolL	0	0	1	-72	180	0	1	-72
IPE 100	1096	1097	Carichi termici	Termico	$\Delta XY=15^{\circ}C, \Delta XZ=15^{\circ}C$							
Trave 305												
IPE 100	1097	1098	Peso Proprio	UnifG	0	0	0	8	180	0	0	8
IPE 100	1097	1098	QP Solai	PolG	0	0	0	6	180	0	0	6
IPE 100	1097	1098	QFissi Solai	PolG	0	0	0	63	180	0	0	63
IPE 100	1097	1098	QV Solai	PolG	0	0	0	63	180	0	0	63
IPE 100	1097	1098	Neve	PolL	0	0	-1	50	180	0	-1	50
IPE 100	1097	1098	Neve	PolL	0	0	-1	50	180	0	-1	50
IPE 100	1097	1098	Vento +Y	PolL	0	0	-1	72	180	0	-1	72
IPE 100	1097	1098	Vento +Y	PolL	0	0	-1	72	180	0	-1	72
IPE 100	1097	1098	Vento -Y	PolL	0	0	1	-72	180	0	1	-72
IPE 100	1097	1098	Vento -Y	PolL	0	0	1	-72	180	0	1	-72
IPE 100	1097	1098	Carichi termici	Termico	$\Delta XY=15^{\circ}C, \Delta XZ=15^{\circ}C$							
Trave 306												
IPE 100	1098	1099	Peso Proprio	UnifG	0	0	0	8	180	0	0	8
IPE 100	1098	1099	QP Solai	PolG	0	0	0	6	180	0	0	6
IPE 100	1098	1099	QFissi Solai	PolG	0	0	0	63	180	0	0	63
IPE 100	1098	1099	QV Solai	PolG	0	0	0	63	180	0	0	63
IPE 100	1098	1099	Neve	PolL	0	0	-1	50	180	0	-1	50
IPE 100	1098	1099	Neve	PolL	0	0	-1	50	180	0	-1	50
IPE 100	1098	1099	Vento +Y	PolL	0	0	-1	72	180	0	-1	72
IPE 100	1098	1099	Vento +Y	PolL	0	0	-1	72	180	0	-1	72
IPE 100	1098	1099	Vento -Y	PolL	0	0	1	-72	180	0	1	-72
IPE 100	1098	1099	Vento -Y	PolL	0	0	1	-72	180	0	1	-72
IPE 100	1098	1099	Carichi termici	Termico	$\Delta XY=15^{\circ}C, \Delta XZ=15^{\circ}C$							
Trave 307												
IPE 100	1099	1100	Peso Proprio	UnifG	0	0	0	8	180	0	0	8
IPE 100	1099	1100	QP Solai	PolG	0	0	0	6	180	0	0	6
IPE 100	1099	1100	QFissi Solai	PolG	0	0	0	63	180	0	0	63
IPE 100	1099	1100	QV Solai	PolG	0	0	0	63	180	0	0	63
IPE 100	1099	1100	Neve	PolL	0	0	-1	50	180	0	-1	50
IPE 100	1099	1100	Neve	PolL	0	0	-1	50	180	0	-1	50
IPE 100	1099	1100	Vento +Y	PolL	0	0	-1	72	180	0	-1	72
IPE 100	1099	1100	Vento +Y	PolL	0	0	-1	72	180	0	-1	72
IPE 100	1099	1100	Vento -Y	PolL	0	0	1	-72	180	0	1	-72
IPE 100	1099	1100	Vento -Y	PolL	0	0	1	-72	180	0	1	-72
IPE 100	1099	1100	Carichi termici	Termico	$\Delta XY=15^{\circ}C, \Delta XZ=15^{\circ}C$							
Trave 308												
IPE 100	1100	1101	Peso Proprio	UnifG	0	0	0	8	180	0	0	8
IPE 100	1100	1101	QP Solai	PolG	0	0	0	6	180	0	0	6
IPE 100	1100	1101	QFissi Solai	PolG	0	0	0	63	180	0	0	63
IPE 100	1100	1101	QV Solai	PolG	0	0	0	63	180	0	0	63
IPE 100	1100	1101	Neve	PolL	0	0	-1	50	180	0	-1	50
IPE 100	1100	1101	Neve	PolL	0	0	-1	50	180	0	-1	50
IPE 100	1100	1101	Vento +Y	PolL	0	0	-1	72	180	0	-1	72
IPE 100	1100	1101	Vento +Y	PolL	0	0	-1	72	180	0	-1	72
IPE 100	1100	1101	Vento -Y	PolL	0	0	1	-72	180	0	1	-72
IPE 100	1100	1101	Vento -Y	PolL	0	0	1	-72	180	0	1	-72
IPE 100	1100	1101	Carichi termici	Termico	$\Delta XY=15^{\circ}C, \Delta XZ=15^{\circ}C$							
Trave 309												
IPE 100	1101	1102	Peso Proprio	UnifG	0	0	0	8	180	0	0	8
IPE 100	1101	1102	QP Solai	PolG	0	0	0	6	180	0	0	6
IPE 100	1101	1102	QFissi Solai	PolG	0	0	0	63	180	0	0	63
IPE 100	1101	1102	QV Solai	PolG	0	0	0	63	180	0	0	63
IPE 100	1101	1102	Neve	PolL	0	0	-1	50	180	0	-1	50
IPE 100	1101	1102	Neve	PolL	0	0	-1	50	180	0	-1	50
IPE 100	1101	1102	Vento +Y	PolL	0	0	-1	72	180	0	-1	72
IPE 100	1101	1102	Vento +Y	PolL	0	0	-1	72	180	0	-1	72
IPE 100	1101	1102	Vento -Y	PolL	0	0	1	-72	180	0	1	-72
IPE 100	1101	1102	Vento -Y	PolL	0	0	1	-72	180	0	1	-72
IPE 100	1101	1102	Carichi termici	Termico	$\Delta XY=15^{\circ}C, \Delta XZ=15^{\circ}C$							
Trave 310												
IPE 100	1102	1103	Peso Proprio	UnifG	0	0	0	8	180	0	0	8
IPE 100	1102	1103	QP Solai	PolG	0	0	0	6	180	0	0	6
IPE 100	1102	1103	QFissi Solai	PolG	0	0	0	63	180	0	0	63
IPE 100	1102	1103	QV Solai	PolG	0	0	0	63	180	0	0	63
IPE 100	1102	1103	Neve	PolL	0	0	-1	50	180	0	-1	50
IPE 100	1102	1103	Neve	PolL	0	0	-1	50	180	0	-1	50
IPE 100	1102	1103	Vento +Y	PolL	0	0	-1	72	180	0	-1	72
IPE 100	1102	1103	Vento +Y	PolL	0	0	-1	72	180	0	-1	72
IPE 100	1102	1103	Vento -Y	PolL	0	0	1	-72	180	0	1	-72
IPE 100	1102	1103	Vento -Y	PolL	0	0	1	-72	180	0	1	-72

Sezione	Ni	Nf	Cond.	Tipo c.	Xi	QXi	QYi	QZi	Xf	QXf	QYf	QZf
IPE 100	1102	1103	Vento -Y	PolL	0	0	1	-72	180	0	1	-72
IPE 100	1102	1103	Carichi termici	Termico	$\Delta XY=15^{\circ}C, \Delta XZ=15^{\circ}C$							
Trave 311												
IPE 100	1103	1104	Peso Proprio	UnifG	0	0	0	8	180	0	0	8
IPE 100	1103	1104	QP Solai	PolG	0	0	0	6	180	0	0	6
IPE 100	1103	1104	QFissi Solai	PolG	0	0	0	63	180	0	0	63
IPE 100	1103	1104	QV Solai	PolG	0	0	0	63	180	0	0	63
IPE 100	1103	1104	Neve	PolL	0	0	-1	50	180	0	-1	50
IPE 100	1103	1104	Neve	PolL	0	0	-1	50	180	0	-1	50
IPE 100	1103	1104	Vento +Y	PolL	0	0	-1	72	180	0	-1	72
IPE 100	1103	1104	Vento +Y	PolL	0	0	-1	72	180	0	-1	72
IPE 100	1103	1104	Vento -Y	PolL	0	0	1	-72	180	0	1	-72
IPE 100	1103	1104	Vento -Y	PolL	0	0	1	-72	180	0	1	-72
IPE 100	1103	1104	Carichi termici	Termico	$\Delta XY=15^{\circ}C, \Delta XZ=15^{\circ}C$							
Trave 312												
IPE 100	1104	1105	Peso Proprio	UnifG	0	0	0	8	180	0	0	8
IPE 100	1104	1105	QP Solai	PolG	0	0	0	6	180	0	0	6
IPE 100	1104	1105	QFissi Solai	PolG	0	0	0	63	180	0	0	63
IPE 100	1104	1105	QV Solai	PolG	0	0	0	63	180	0	0	63
IPE 100	1104	1105	Neve	PolL	0	0	-1	50	180	0	-1	50
IPE 100	1104	1105	Neve	PolL	0	0	-1	50	180	0	-1	50
IPE 100	1104	1105	Vento +Y	PolL	0	0	-1	72	180	0	-1	72
IPE 100	1104	1105	Vento +Y	PolL	0	0	-1	72	180	0	-1	72
IPE 100	1104	1105	Vento -Y	PolL	0	0	1	-72	180	0	1	-72
IPE 100	1104	1105	Vento -Y	PolL	0	0	1	-72	180	0	1	-72
IPE 100	1104	1105	Carichi termici	Termico	$\Delta XY=15^{\circ}C, \Delta XZ=15^{\circ}C$							
Trave 313												
IPE 100	1105	1106	Peso Proprio	UnifG	0	0	0	8	180	0	0	8
IPE 100	1105	1106	QP Solai	PolG	0	0	0	6	180	0	0	6
IPE 100	1105	1106	QFissi Solai	PolG	0	0	0	63	180	0	0	63
IPE 100	1105	1106	QV Solai	PolG	0	0	0	63	180	0	0	63
IPE 100	1105	1106	Neve	PolL	0	0	-1	50	180	0	-1	50
IPE 100	1105	1106	Neve	PolL	0	0	-1	50	180	0	-1	50
IPE 100	1105	1106	Vento +Y	PolL	0	0	-1	72	180	0	-1	72
IPE 100	1105	1106	Vento +Y	PolL	0	0	-1	72	180	0	-1	72
IPE 100	1105	1106	Vento -Y	PolL	0	0	1	-72	180	0	1	-72
IPE 100	1105	1106	Vento -Y	PolL	0	0	1	-72	180	0	1	-72
IPE 100	1105	1106	Carichi termici	Termico	$\Delta XY=15^{\circ}C, \Delta XZ=15^{\circ}C$							
Trave 314												
IPE 100	1106	1107	Peso Proprio	UnifG	0	0	0	8	180	0	0	8
IPE 100	1106	1107	QP Solai	PolG	0	0	0	6	180	0	0	6
IPE 100	1106	1107	QFissi Solai	PolG	0	0	0	63	180	0	0	63
IPE 100	1106	1107	QV Solai	PolG	0	0	0	63	180	0	0	63
IPE 100	1106	1107	Neve	PolL	0	0	-1	50	180	0	-1	50
IPE 100	1106	1107	Neve	PolL	0	0	-1	50	180	0	-1	50
IPE 100	1106	1107	Vento +Y	PolL	0	0	-1	72	180	0	-1	72
IPE 100	1106	1107	Vento +Y	PolL	0	0	-1	72	180	0	-1	72
IPE 100	1106	1107	Vento -Y	PolL	0	0	1	-72	180	0	1	-72
IPE 100	1106	1107	Vento -Y	PolL	0	0	1	-72	180	0	1	-72
IPE 100	1106	1107	Carichi termici	Termico	$\Delta XY=15^{\circ}C, \Delta XZ=15^{\circ}C$							
Trave 315												
IPE 100	1107	1108	Peso Proprio	UnifG	0	0	0	8	200	0	0	8
IPE 100	1107	1108	QP Solai	PolG	0	0	0	6	200	0	0	6
IPE 100	1107	1108	QFissi Solai	PolG	0	0	0	63	200	0	0	63
IPE 100	1107	1108	QV Solai	PolG	0	0	0	63	200	0	0	63
IPE 100	1107	1108	Neve	PolL	0	0	-1	50	200	0	-1	50
IPE 100	1107	1108	Neve	PolL	0	0	-1	50	200	0	-1	50
IPE 100	1107	1108	Vento +Y	PolL	0	0	-1	72	200	0	-1	72
IPE 100	1107	1108	Vento +Y	PolL	0	0	-1	72	200	0	-1	72
IPE 100	1107	1108	Vento -Y	PolL	0	0	1	-72	200	0	1	-72
IPE 100	1107	1108	Vento -Y	PolL	0	0	1	-72	200	0	1	-72
IPE 100	1107	1108	Carichi termici	Termico	$\Delta XY=15^{\circ}C, \Delta XZ=15^{\circ}C$							
Trave 316												
IPE 100	1150	1151	Peso Proprio	UnifG	0	0	0	8	200	0	0	8
IPE 100	1150	1151	QP Solai	PolG	0	0	0	8	200	0	0	8
IPE 100	1150	1151	QFissi Solai	PolG	0	0	0	75	200	0	0	75
IPE 100	1150	1151	QV Solai	PolG	0	0	0	75	200	0	0	75
IPE 100	1150	1151	Neve	PolL	0	0	-1	60	200	0	-1	60
IPE 100	1150	1151	Neve	PolL	0	0	-1	60	200	0	-1	60
IPE 100	1150	1151	Vento +Y	PolL	0	0	-1	86	200	0	-1	86
IPE 100	1150	1151	Vento +Y	PolL	0	0	-1	86	200	0	-1	86
IPE 100	1150	1151	Vento -Y	PolL	0	0	1	-86	200	0	1	-86
IPE 100	1150	1151	Vento -Y	PolL	0	0	1	-86	200	0	1	-86
IPE 100	1150	1151	Carichi termici	Termico	$\Delta XY=15^{\circ}C, \Delta XZ=15^{\circ}C$							
Trave 317												

Sezione	Ni	Nf	Cond.	Tipo c.	Xi	QXi	QYi	QZi	Xf	QXf	QYf	QZf
IPE 100	1151	1152	Peso Proprio	UnifG	0	0	0	8	180	0	0	8
IPE 100	1151	1152	QP Solai	PolG	0	0	0	8	180	0	0	8
IPE 100	1151	1152	QFissi Solai	PolG	0	0	0	75	180	0	0	75
IPE 100	1151	1152	QV Solai	PolG	0	0	0	75	180	0	0	75
IPE 100	1151	1152	Neve	PolL	0	0	-1	60	180	0	-1	60
IPE 100	1151	1152	Neve	PolL	0	0	-1	60	180	0	-1	60
IPE 100	1151	1152	Vento +Y	PolL	0	0	-1	86	180	0	-1	86
IPE 100	1151	1152	Vento +Y	PolL	0	0	-1	86	180	0	-1	86
IPE 100	1151	1152	Vento -Y	PolL	0	0	1	-86	180	0	1	-86
IPE 100	1151	1152	Vento -Y	PolL	0	0	1	-86	180	0	1	-86
IPE 100	1151	1152	Carichi termici	Termico	$\Delta XY=15^{\circ}C, \Delta XZ=15^{\circ}C$							
Trave 318												
IPE 100	1152	1153	Peso Proprio	UnifG	0	0	0	8	180	0	0	8
IPE 100	1152	1153	QP Solai	PolG	0	0	0	8	180	0	0	8
IPE 100	1152	1153	QFissi Solai	PolG	0	0	0	75	180	0	0	75
IPE 100	1152	1153	QV Solai	PolG	0	0	0	75	180	0	0	75
IPE 100	1152	1153	Neve	PolL	0	0	-1	60	180	0	-1	60
IPE 100	1152	1153	Neve	PolL	0	0	-1	60	180	0	-1	60
IPE 100	1152	1153	Vento +Y	PolL	0	0	-1	86	180	0	-1	86
IPE 100	1152	1153	Vento +Y	PolL	0	0	-1	86	180	0	-1	86
IPE 100	1152	1153	Vento -Y	PolL	0	0	1	-86	180	0	1	-86
IPE 100	1152	1153	Vento -Y	PolL	0	0	1	-86	180	0	1	-86
IPE 100	1152	1153	Carichi termici	Termico	$\Delta XY=15^{\circ}C, \Delta XZ=15^{\circ}C$							
Trave 319												
IPE 100	1153	1154	Peso Proprio	UnifG	0	0	0	8	180	0	0	8
IPE 100	1153	1154	QP Solai	PolG	0	0	0	8	180	0	0	8
IPE 100	1153	1154	QFissi Solai	PolG	0	0	0	75	180	0	0	75
IPE 100	1153	1154	QV Solai	PolG	0	0	0	75	180	0	0	75
IPE 100	1153	1154	Neve	PolL	0	0	-1	60	180	0	-1	60
IPE 100	1153	1154	Neve	PolL	0	0	-1	60	180	0	-1	60
IPE 100	1153	1154	Vento +Y	PolL	0	0	-1	86	180	0	-1	86
IPE 100	1153	1154	Vento +Y	PolL	0	0	-1	86	180	0	-1	86
IPE 100	1153	1154	Vento -Y	PolL	0	0	1	-86	180	0	1	-86
IPE 100	1153	1154	Vento -Y	PolL	0	0	1	-86	180	0	1	-86
IPE 100	1153	1154	Carichi termici	Termico	$\Delta XY=15^{\circ}C, \Delta XZ=15^{\circ}C$							
Trave 320												
IPE 100	1154	1155	Peso Proprio	UnifG	0	0	0	8	180	0	0	8
IPE 100	1154	1155	QP Solai	PolG	0	0	0	8	180	0	0	8
IPE 100	1154	1155	QFissi Solai	PolG	0	0	0	75	180	0	0	75
IPE 100	1154	1155	QV Solai	PolG	0	0	0	75	180	0	0	75
IPE 100	1154	1155	Neve	PolL	0	0	-1	60	180	0	-1	60
IPE 100	1154	1155	Neve	PolL	0	0	-1	60	180	0	-1	60
IPE 100	1154	1155	Vento +Y	PolL	0	0	-1	86	180	0	-1	86
IPE 100	1154	1155	Vento +Y	PolL	0	0	-1	86	180	0	-1	86
IPE 100	1154	1155	Vento -Y	PolL	0	0	1	-86	180	0	1	-86
IPE 100	1154	1155	Vento -Y	PolL	0	0	1	-86	180	0	1	-86
IPE 100	1154	1155	Carichi termici	Termico	$\Delta XY=15^{\circ}C, \Delta XZ=15^{\circ}C$							
Trave 321												
IPE 100	1155	1156	Peso Proprio	UnifG	0	0	0	8	180	0	0	8
IPE 100	1155	1156	QP Solai	PolG	0	0	0	8	180	0	0	8
IPE 100	1155	1156	QFissi Solai	PolG	0	0	0	75	180	0	0	75
IPE 100	1155	1156	QV Solai	PolG	0	0	0	75	180	0	0	75
IPE 100	1155	1156	Neve	PolL	0	0	-1	60	180	0	-1	60
IPE 100	1155	1156	Neve	PolL	0	0	-1	60	180	0	-1	60
IPE 100	1155	1156	Vento +Y	PolL	0	0	-1	86	180	0	-1	86
IPE 100	1155	1156	Vento +Y	PolL	0	0	-1	86	180	0	-1	86
IPE 100	1155	1156	Vento -Y	PolL	0	0	1	-86	180	0	1	-86
IPE 100	1155	1156	Vento -Y	PolL	0	0	1	-86	180	0	1	-86
IPE 100	1155	1156	Carichi termici	Termico	$\Delta XY=15^{\circ}C, \Delta XZ=15^{\circ}C$							
Trave 322												
IPE 100	1156	1157	Peso Proprio	UnifG	0	0	0	8	180	0	0	8
IPE 100	1156	1157	QP Solai	PolG	0	0	0	8	180	0	0	8
IPE 100	1156	1157	QFissi Solai	PolG	0	0	0	75	180	0	0	75
IPE 100	1156	1157	QV Solai	PolG	0	0	0	75	180	0	0	75
IPE 100	1156	1157	Neve	PolL	0	0	-1	60	180	0	-1	60
IPE 100	1156	1157	Neve	PolL	0	0	-1	60	180	0	-1	60
IPE 100	1156	1157	Vento +Y	PolL	0	0	-1	86	180	0	-1	86
IPE 100	1156	1157	Vento +Y	PolL	0	0	-1	86	180	0	-1	86
IPE 100	1156	1157	Vento -Y	PolL	0	0	1	-86	180	0	1	-86
IPE 100	1156	1157	Vento -Y	PolL	0	0	1	-86	180	0	1	-86
IPE 100	1156	1157	Carichi termici	Termico	$\Delta XY=15^{\circ}C, \Delta XZ=15^{\circ}C$							
Trave 323												
IPE 100	1157	1158	Peso Proprio	UnifG	0	0	0	8	180	0	0	8
IPE 100	1157	1158	QP Solai	PolG	0	0	0	8	180	0	0	8
IPE 100	1157	1158	QFissi Solai	PolG	0	0	0	75	180	0	0	75

Sezione	Ni	Nf	Cond.	Tipo c.	Xi	QXi	QYi	QZi	Xf	QXf	QYf	QZf
IPE 100	1157	1158	QV Solai	PolG	0	0	0	75	180	0	0	75
IPE 100	1157	1158	Neve	PolL	0	0	-1	60	180	0	-1	60
IPE 100	1157	1158	Neve	PolL	0	0	-1	60	180	0	-1	60
IPE 100	1157	1158	Vento +Y	PolL	0	0	-1	86	180	0	-1	86
IPE 100	1157	1158	Vento +Y	PolL	0	0	-1	86	180	0	-1	86
IPE 100	1157	1158	Vento -Y	PolL	0	0	1	-86	180	0	1	-86
IPE 100	1157	1158	Vento -Y	PolL	0	0	1	-86	180	0	1	-86
IPE 100	1157	1158	Carichi termici	Termico	$\Delta XY=15^{\circ}C, \Delta XZ=15^{\circ}C$							
Trave 324												
IPE 100	1158	1159	Peso Proprio	UnifG	0	0	0	8	180	0	0	8
IPE 100	1158	1159	QP Solai	PolG	0	0	0	8	180	0	0	8
IPE 100	1158	1159	QFissi Solai	PolG	0	0	0	75	180	0	0	75
IPE 100	1158	1159	QV Solai	PolG	0	0	0	75	180	0	0	75
IPE 100	1158	1159	Neve	PolL	0	0	-1	60	180	0	-1	60
IPE 100	1158	1159	Neve	PolL	0	0	-1	60	180	0	-1	60
IPE 100	1158	1159	Vento +Y	PolL	0	0	-1	86	180	0	-1	86
IPE 100	1158	1159	Vento +Y	PolL	0	0	-1	86	180	0	-1	86
IPE 100	1158	1159	Vento -Y	PolL	0	0	1	-86	180	0	1	-86
IPE 100	1158	1159	Vento -Y	PolL	0	0	1	-86	180	0	1	-86
IPE 100	1158	1159	Carichi termici	Termico	$\Delta XY=15^{\circ}C, \Delta XZ=15^{\circ}C$							
Trave 325												
IPE 100	1159	1160	Peso Proprio	UnifG	0	0	0	8	180	0	0	8
IPE 100	1159	1160	QP Solai	PolG	0	0	0	8	180	0	0	8
IPE 100	1159	1160	QFissi Solai	PolG	0	0	0	75	180	0	0	75
IPE 100	1159	1160	QV Solai	PolG	0	0	0	75	180	0	0	75
IPE 100	1159	1160	Neve	PolL	0	0	-1	60	180	0	-1	60
IPE 100	1159	1160	Neve	PolL	0	0	-1	60	180	0	-1	60
IPE 100	1159	1160	Vento +Y	PolL	0	0	-1	86	180	0	-1	86
IPE 100	1159	1160	Vento +Y	PolL	0	0	-1	86	180	0	-1	86
IPE 100	1159	1160	Vento -Y	PolL	0	0	1	-86	180	0	1	-86
IPE 100	1159	1160	Vento -Y	PolL	0	0	1	-86	180	0	1	-86
IPE 100	1159	1160	Carichi termici	Termico	$\Delta XY=15^{\circ}C, \Delta XZ=15^{\circ}C$							
Trave 326												
IPE 100	1160	1161	Peso Proprio	UnifG	0	0	0	8	180	0	0	8
IPE 100	1160	1161	QP Solai	PolG	0	0	0	8	180	0	0	8
IPE 100	1160	1161	QFissi Solai	PolG	0	0	0	75	180	0	0	75
IPE 100	1160	1161	QV Solai	PolG	0	0	0	75	180	0	0	75
IPE 100	1160	1161	Neve	PolL	0	0	-1	60	180	0	-1	60
IPE 100	1160	1161	Neve	PolL	0	0	-1	60	180	0	-1	60
IPE 100	1160	1161	Vento +Y	PolL	0	0	-1	86	180	0	-1	86
IPE 100	1160	1161	Vento +Y	PolL	0	0	-1	86	180	0	-1	86
IPE 100	1160	1161	Vento -Y	PolL	0	0	1	-86	180	0	1	-86
IPE 100	1160	1161	Vento -Y	PolL	0	0	1	-86	180	0	1	-86
IPE 100	1160	1161	Carichi termici	Termico	$\Delta XY=15^{\circ}C, \Delta XZ=15^{\circ}C$							
Trave 327												
IPE 100	1161	1162	Peso Proprio	UnifG	0	0	0	8	180	0	0	8
IPE 100	1161	1162	QP Solai	PolG	0	0	0	8	180	0	0	8
IPE 100	1161	1162	QFissi Solai	PolG	0	0	0	75	180	0	0	75
IPE 100	1161	1162	QV Solai	PolG	0	0	0	75	180	0	0	75
IPE 100	1161	1162	Neve	PolL	0	0	-1	60	180	0	-1	60
IPE 100	1161	1162	Neve	PolL	0	0	-1	60	180	0	-1	60
IPE 100	1161	1162	Vento +Y	PolL	0	0	-1	86	180	0	-1	86
IPE 100	1161	1162	Vento +Y	PolL	0	0	-1	86	180	0	-1	86
IPE 100	1161	1162	Vento -Y	PolL	0	0	1	-86	180	0	1	-86
IPE 100	1161	1162	Vento -Y	PolL	0	0	1	-86	180	0	1	-86
IPE 100	1161	1162	Carichi termici	Termico	$\Delta XY=15^{\circ}C, \Delta XZ=15^{\circ}C$							
Trave 328												
IPE 100	1162	1163	Peso Proprio	UnifG	0	0	0	8	180	0	0	8
IPE 100	1162	1163	QP Solai	PolG	0	0	0	8	180	0	0	8
IPE 100	1162	1163	QFissi Solai	PolG	0	0	0	75	180	0	0	75
IPE 100	1162	1163	QV Solai	PolG	0	0	0	75	180	0	0	75
IPE 100	1162	1163	Neve	PolL	0	0	-1	60	180	0	-1	60
IPE 100	1162	1163	Neve	PolL	0	0	-1	60	180	0	-1	60
IPE 100	1162	1163	Vento +Y	PolL	0	0	-1	86	180	0	-1	86
IPE 100	1162	1163	Vento +Y	PolL	0	0	-1	86	180	0	-1	86
IPE 100	1162	1163	Vento -Y	PolL	0	0	1	-86	180	0	1	-86
IPE 100	1162	1163	Vento -Y	PolL	0	0	1	-86	180	0	1	-86
IPE 100	1162	1163	Carichi termici	Termico	$\Delta XY=15^{\circ}C, \Delta XZ=15^{\circ}C$							
Trave 329												
IPE 100	1163	1164	Peso Proprio	UnifG	0	0	0	8	180	0	0	8
IPE 100	1163	1164	QP Solai	PolG	0	0	0	8	180	0	0	8
IPE 100	1163	1164	QFissi Solai	PolG	0	0	0	75	180	0	0	75
IPE 100	1163	1164	QV Solai	PolG	0	0	0	75	180	0	0	75
IPE 100	1163	1164	Neve	PolL	0	0	-1	60	180	0	-1	60
IPE 100	1163	1164	Neve	PolL	0	0	-1	60	180	0	-1	60

Sezione	Ni	Nf	Cond.	Tipo c.	Xi	QXi	QYi	QZi	Xf	QXf	QYf	QZf
IPE 100	1163	1164	Vento +Y	PolL	0	0	-1	86	180	0	-1	86
IPE 100	1163	1164	Vento +Y	PolL	0	0	-1	86	180	0	-1	86
IPE 100	1163	1164	Vento -Y	PolL	0	0	1	-86	180	0	1	-86
IPE 100	1163	1164	Vento -Y	PolL	0	0	1	-86	180	0	1	-86
IPE 100	1163	1164	Carichi termici	Termico	$\Delta XY=15^{\circ}C, \Delta XZ=15^{\circ}C$							
Trave 330												
IPE 100	1164	1165	Peso Proprio	UnifG	0	0	0	8	180	0	0	8
IPE 100	1164	1165	QP Solai	PolG	0	0	0	8	180	0	0	8
IPE 100	1164	1165	QFissi Solai	PolG	0	0	0	75	180	0	0	75
IPE 100	1164	1165	QV Solai	PolG	0	0	0	75	180	0	0	75
IPE 100	1164	1165	Neve	PolL	0	0	-1	60	180	0	-1	60
IPE 100	1164	1165	Neve	PolL	0	0	-1	60	180	0	-1	60
IPE 100	1164	1165	Vento +Y	PolL	0	0	-1	86	180	0	-1	86
IPE 100	1164	1165	Vento +Y	PolL	0	0	-1	86	180	0	-1	86
IPE 100	1164	1165	Vento -Y	PolL	0	0	1	-86	180	0	1	-86
IPE 100	1164	1165	Vento -Y	PolL	0	0	1	-86	180	0	1	-86
IPE 100	1164	1165	Carichi termici	Termico	$\Delta XY=15^{\circ}C, \Delta XZ=15^{\circ}C$							
Trave 331												
IPE 100	1165	1166	Peso Proprio	UnifG	0	0	0	8	180	0	0	8
IPE 100	1165	1166	QP Solai	PolG	0	0	0	8	180	0	0	8
IPE 100	1165	1166	QFissi Solai	PolG	0	0	0	75	180	0	0	75
IPE 100	1165	1166	QV Solai	PolG	0	0	0	75	180	0	0	75
IPE 100	1165	1166	Neve	PolL	0	0	-1	60	180	0	-1	60
IPE 100	1165	1166	Neve	PolL	0	0	-1	60	180	0	-1	60
IPE 100	1165	1166	Vento +Y	PolL	0	0	-1	86	180	0	-1	86
IPE 100	1165	1166	Vento +Y	PolL	0	0	-1	86	180	0	-1	86
IPE 100	1165	1166	Vento -Y	PolL	0	0	1	-86	180	0	1	-86
IPE 100	1165	1166	Vento -Y	PolL	0	0	1	-86	180	0	1	-86
IPE 100	1165	1166	Carichi termici	Termico	$\Delta XY=15^{\circ}C, \Delta XZ=15^{\circ}C$							
Trave 332												
IPE 100	1166	1167	Peso Proprio	UnifG	0	0	0	8	180	0	0	8
IPE 100	1166	1167	QP Solai	PolG	0	0	0	8	180	0	0	8
IPE 100	1166	1167	QFissi Solai	PolG	0	0	0	75	180	0	0	75
IPE 100	1166	1167	QV Solai	PolG	0	0	0	75	180	0	0	75
IPE 100	1166	1167	Neve	PolL	0	0	-1	60	180	0	-1	60
IPE 100	1166	1167	Neve	PolL	0	0	-1	60	180	0	-1	60
IPE 100	1166	1167	Vento +Y	PolL	0	0	-1	86	180	0	-1	86
IPE 100	1166	1167	Vento +Y	PolL	0	0	-1	86	180	0	-1	86
IPE 100	1166	1167	Vento -Y	PolL	0	0	1	-86	180	0	1	-86
IPE 100	1166	1167	Vento -Y	PolL	0	0	1	-86	180	0	1	-86
IPE 100	1166	1167	Carichi termici	Termico	$\Delta XY=15^{\circ}C, \Delta XZ=15^{\circ}C$							
Trave 333												
IPE 100	1167	1168	Peso Proprio	UnifG	0	0	0	8	180	0	0	8
IPE 100	1167	1168	QP Solai	PolG	0	0	0	8	180	0	0	8
IPE 100	1167	1168	QFissi Solai	PolG	0	0	0	75	180	0	0	75
IPE 100	1167	1168	QV Solai	PolG	0	0	0	75	180	0	0	75
IPE 100	1167	1168	Neve	PolL	0	0	-1	60	180	0	-1	60
IPE 100	1167	1168	Neve	PolL	0	0	-1	60	180	0	-1	60
IPE 100	1167	1168	Vento +Y	PolL	0	0	-1	86	180	0	-1	86
IPE 100	1167	1168	Vento +Y	PolL	0	0	-1	86	180	0	-1	86
IPE 100	1167	1168	Vento -Y	PolL	0	0	1	-86	180	0	1	-86
IPE 100	1167	1168	Vento -Y	PolL	0	0	1	-86	180	0	1	-86
IPE 100	1167	1168	Carichi termici	Termico	$\Delta XY=15^{\circ}C, \Delta XZ=15^{\circ}C$							
Trave 334												
IPE 100	1168	1169	Peso Proprio	UnifG	0	0	0	8	180	0	0	8
IPE 100	1168	1169	QP Solai	PolG	0	0	0	8	180	0	0	8
IPE 100	1168	1169	QFissi Solai	PolG	0	0	0	75	180	0	0	75
IPE 100	1168	1169	QV Solai	PolG	0	0	0	75	180	0	0	75
IPE 100	1168	1169	Neve	PolL	0	0	-1	60	180	0	-1	60
IPE 100	1168	1169	Neve	PolL	0	0	-1	60	180	0	-1	60
IPE 100	1168	1169	Vento +Y	PolL	0	0	-1	86	180	0	-1	86
IPE 100	1168	1169	Vento +Y	PolL	0	0	-1	86	180	0	-1	86
IPE 100	1168	1169	Vento -Y	PolL	0	0	1	-86	180	0	1	-86
IPE 100	1168	1169	Vento -Y	PolL	0	0	1	-86	180	0	1	-86
IPE 100	1168	1169	Carichi termici	Termico	$\Delta XY=15^{\circ}C, \Delta XZ=15^{\circ}C$							
Trave 335												
IPE 100	1169	1170	Peso Proprio	UnifG	0	0	0	8	180	0	0	8
IPE 100	1169	1170	QP Solai	PolG	0	0	0	8	180	0	0	8
IPE 100	1169	1170	QFissi Solai	PolG	0	0	0	75	180	0	0	75
IPE 100	1169	1170	QV Solai	PolG	0	0	0	75	180	0	0	75
IPE 100	1169	1170	Neve	PolL	0	0	-1	60	180	0	-1	60
IPE 100	1169	1170	Neve	PolL	0	0	-1	60	180	0	-1	60
IPE 100	1169	1170	Vento +Y	PolL	0	0	-1	86	180	0	-1	86
IPE 100	1169	1170	Vento +Y	PolL	0	0	-1	86	180	0	-1	86
IPE 100	1169	1170	Vento -Y	PolL	0	0	1	-86	180	0	1	-86
IPE 100	1169	1170	Vento -Y	PolL	0	0	1	-86	180	0	1	-86

Sezione	Ni	Nf	Cond.	Tipo c.	Xi	QXi	QYi	QZi	Xf	QXf	QYf	QZf
IPE 100	1169	1170	Vento -Y	PolL	0	0	1	-86	180	0	1	-86
IPE 100	1169	1170	Carichi termici	Termico	$\Delta XY=15^{\circ}C, \Delta XZ=15^{\circ}C$							
Trave 336												
IPE 100	1170	1171	Peso Proprio	UnifG	0	0	0	8	180	0	0	8
IPE 100	1170	1171	QP Solai	PolG	0	0	0	8	180	0	0	8
IPE 100	1170	1171	QFissi Solai	PolG	0	0	0	75	180	0	0	75
IPE 100	1170	1171	QV Solai	PolG	0	0	0	75	180	0	0	75
IPE 100	1170	1171	Neve	PolL	0	0	-1	60	180	0	-1	60
IPE 100	1170	1171	Neve	PolL	0	0	-1	60	180	0	-1	60
IPE 100	1170	1171	Vento +Y	PolL	0	0	-1	86	180	0	-1	86
IPE 100	1170	1171	Vento +Y	PolL	0	0	-1	86	180	0	-1	86
IPE 100	1170	1171	Vento -Y	PolL	0	0	1	-86	180	0	1	-86
IPE 100	1170	1171	Vento -Y	PolL	0	0	1	-86	180	0	1	-86
IPE 100	1170	1171	Carichi termici	Termico	$\Delta XY=15^{\circ}C, \Delta XZ=15^{\circ}C$							
Trave 337												
IPE 100	1171	1172	Peso Proprio	UnifG	0	0	0	8	180	0	0	8
IPE 100	1171	1172	QP Solai	PolG	0	0	0	8	180	0	0	8
IPE 100	1171	1172	QFissi Solai	PolG	0	0	0	75	180	0	0	75
IPE 100	1171	1172	QV Solai	PolG	0	0	0	75	180	0	0	75
IPE 100	1171	1172	Neve	PolL	0	0	-1	60	180	0	-1	60
IPE 100	1171	1172	Neve	PolL	0	0	-1	60	180	0	-1	60
IPE 100	1171	1172	Vento +Y	PolL	0	0	-1	86	180	0	-1	86
IPE 100	1171	1172	Vento +Y	PolL	0	0	-1	86	180	0	-1	86
IPE 100	1171	1172	Vento -Y	PolL	0	0	1	-86	180	0	1	-86
IPE 100	1171	1172	Vento -Y	PolL	0	0	1	-86	180	0	1	-86
IPE 100	1171	1172	Carichi termici	Termico	$\Delta XY=15^{\circ}C, \Delta XZ=15^{\circ}C$							
Trave 338												
IPE 100	1172	1173	Peso Proprio	UnifG	0	0	0	8	180	0	0	8
IPE 100	1172	1173	QP Solai	PolG	0	0	0	8	180	0	0	8
IPE 100	1172	1173	QFissi Solai	PolG	0	0	0	75	180	0	0	75
IPE 100	1172	1173	QV Solai	PolG	0	0	0	75	180	0	0	75
IPE 100	1172	1173	Neve	PolL	0	0	-1	60	180	0	-1	60
IPE 100	1172	1173	Neve	PolL	0	0	-1	60	180	0	-1	60
IPE 100	1172	1173	Vento +Y	PolL	0	0	-1	86	180	0	-1	86
IPE 100	1172	1173	Vento +Y	PolL	0	0	-1	86	180	0	-1	86
IPE 100	1172	1173	Vento -Y	PolL	0	0	1	-86	180	0	1	-86
IPE 100	1172	1173	Vento -Y	PolL	0	0	1	-86	180	0	1	-86
IPE 100	1172	1173	Carichi termici	Termico	$\Delta XY=15^{\circ}C, \Delta XZ=15^{\circ}C$							
Trave 339												
IPE 100	1173	1174	Peso Proprio	UnifG	0	0	0	8	180	0	0	8
IPE 100	1173	1174	QP Solai	PolG	0	0	0	8	180	0	0	8
IPE 100	1173	1174	QFissi Solai	PolG	0	0	0	75	180	0	0	75
IPE 100	1173	1174	QV Solai	PolG	0	0	0	75	180	0	0	75
IPE 100	1173	1174	Neve	PolL	0	0	-1	60	180	0	-1	60
IPE 100	1173	1174	Neve	PolL	0	0	-1	60	180	0	-1	60
IPE 100	1173	1174	Vento +Y	PolL	0	0	-1	86	180	0	-1	86
IPE 100	1173	1174	Vento +Y	PolL	0	0	-1	86	180	0	-1	86
IPE 100	1173	1174	Vento -Y	PolL	0	0	1	-86	180	0	1	-86
IPE 100	1173	1174	Vento -Y	PolL	0	0	1	-86	180	0	1	-86
IPE 100	1173	1174	Carichi termici	Termico	$\Delta XY=15^{\circ}C, \Delta XZ=15^{\circ}C$							
Trave 340												
IPE 100	1174	1175	Peso Proprio	UnifG	0	0	0	8	180	0	0	8
IPE 100	1174	1175	QP Solai	PolG	0	0	0	8	180	0	0	8
IPE 100	1174	1175	QFissi Solai	PolG	0	0	0	75	180	0	0	75
IPE 100	1174	1175	QV Solai	PolG	0	0	0	75	180	0	0	75
IPE 100	1174	1175	Neve	PolL	0	0	-1	60	180	0	-1	60
IPE 100	1174	1175	Neve	PolL	0	0	-1	60	180	0	-1	60
IPE 100	1174	1175	Vento +Y	PolL	0	0	-1	86	180	0	-1	86
IPE 100	1174	1175	Vento +Y	PolL	0	0	-1	86	180	0	-1	86
IPE 100	1174	1175	Vento -Y	PolL	0	0	1	-86	180	0	1	-86
IPE 100	1174	1175	Vento -Y	PolL	0	0	1	-86	180	0	1	-86
IPE 100	1174	1175	Carichi termici	Termico	$\Delta XY=15^{\circ}C, \Delta XZ=15^{\circ}C$							
Trave 341												
IPE 100	1175	1176	Peso Proprio	UnifG	0	0	0	8	180	0	0	8
IPE 100	1175	1176	QP Solai	PolG	0	0	0	8	180	0	0	8
IPE 100	1175	1176	QFissi Solai	PolG	0	0	0	75	180	0	0	75
IPE 100	1175	1176	QV Solai	PolG	0	0	0	75	180	0	0	75
IPE 100	1175	1176	Neve	PolL	0	0	-1	60	180	0	-1	60
IPE 100	1175	1176	Neve	PolL	0	0	-1	60	180	0	-1	60
IPE 100	1175	1176	Vento +Y	PolL	0	0	-1	86	180	0	-1	86
IPE 100	1175	1176	Vento +Y	PolL	0	0	-1	86	180	0	-1	86
IPE 100	1175	1176	Vento -Y	PolL	0	0	1	-86	180	0	1	-86
IPE 100	1175	1176	Vento -Y	PolL	0	0	1	-86	180	0	1	-86
IPE 100	1175	1176	Carichi termici	Termico	$\Delta XY=15^{\circ}C, \Delta XZ=15^{\circ}C$							
Trave 342												

Sezione	Ni	Nf	Cond.	Tipo c.	Xi	QXi	QYi	QZi	Xf	QXf	QYf	QZf
IPE 100	1176	1177	Peso Proprio	UnifG	0	0	0	8	180	0	0	8
IPE 100	1176	1177	QP Solai	PolG	0	0	0	8	180	0	0	8
IPE 100	1176	1177	QFissi Solai	PolG	0	0	0	75	180	0	0	75
IPE 100	1176	1177	QV Solai	PolG	0	0	0	75	180	0	0	75
IPE 100	1176	1177	Neve	PolL	0	0	-1	60	180	0	-1	60
IPE 100	1176	1177	Neve	PolL	0	0	-1	60	180	0	-1	60
IPE 100	1176	1177	Vento +Y	PolL	0	0	-1	86	180	0	-1	86
IPE 100	1176	1177	Vento +Y	PolL	0	0	-1	86	180	0	-1	86
IPE 100	1176	1177	Vento -Y	PolL	0	0	1	-86	180	0	1	-86
IPE 100	1176	1177	Vento -Y	PolL	0	0	1	-86	180	0	1	-86
IPE 100	1176	1177	Carichi termici	Termico	$\Delta XY=15^{\circ}C, \Delta XZ=15^{\circ}C$							
Trave 343												
IPE 100	1177	1178	Peso Proprio	UnifG	0	0	0	8	180	0	0	8
IPE 100	1177	1178	QP Solai	PolG	0	0	0	8	180	0	0	8
IPE 100	1177	1178	QFissi Solai	PolG	0	0	0	75	180	0	0	75
IPE 100	1177	1178	QV Solai	PolG	0	0	0	75	180	0	0	75
IPE 100	1177	1178	Neve	PolL	0	0	-1	60	180	0	-1	60
IPE 100	1177	1178	Neve	PolL	0	0	-1	60	180	0	-1	60
IPE 100	1177	1178	Vento +Y	PolL	0	0	-1	86	180	0	-1	86
IPE 100	1177	1178	Vento +Y	PolL	0	0	-1	86	180	0	-1	86
IPE 100	1177	1178	Vento -Y	PolL	0	0	1	-86	180	0	1	-86
IPE 100	1177	1178	Vento -Y	PolL	0	0	1	-86	180	0	1	-86
IPE 100	1177	1178	Carichi termici	Termico	$\Delta XY=15^{\circ}C, \Delta XZ=15^{\circ}C$							
Trave 344												
IPE 100	1178	1179	Peso Proprio	UnifG	0	0	0	8	180	0	0	8
IPE 100	1178	1179	QP Solai	PolG	0	0	0	8	180	0	0	8
IPE 100	1178	1179	QFissi Solai	PolG	0	0	0	75	180	0	0	75
IPE 100	1178	1179	QV Solai	PolG	0	0	0	75	180	0	0	75
IPE 100	1178	1179	Neve	PolL	0	0	-1	60	180	0	-1	60
IPE 100	1178	1179	Neve	PolL	0	0	-1	60	180	0	-1	60
IPE 100	1178	1179	Vento +Y	PolL	0	0	-1	86	180	0	-1	86
IPE 100	1178	1179	Vento +Y	PolL	0	0	-1	86	180	0	-1	86
IPE 100	1178	1179	Vento -Y	PolL	0	0	1	-86	180	0	1	-86
IPE 100	1178	1179	Vento -Y	PolL	0	0	1	-86	180	0	1	-86
IPE 100	1178	1179	Carichi termici	Termico	$\Delta XY=15^{\circ}C, \Delta XZ=15^{\circ}C$							
Trave 345												
IPE 100	1179	1180	Peso Proprio	UnifG	0	0	0	8	180	0	0	8
IPE 100	1179	1180	QP Solai	PolG	0	0	0	8	180	0	0	8
IPE 100	1179	1180	QFissi Solai	PolG	0	0	0	75	180	0	0	75
IPE 100	1179	1180	QV Solai	PolG	0	0	0	75	180	0	0	75
IPE 100	1179	1180	Neve	PolL	0	0	-1	60	180	0	-1	60
IPE 100	1179	1180	Neve	PolL	0	0	-1	60	180	0	-1	60
IPE 100	1179	1180	Vento +Y	PolL	0	0	-1	86	180	0	-1	86
IPE 100	1179	1180	Vento +Y	PolL	0	0	-1	86	180	0	-1	86
IPE 100	1179	1180	Vento -Y	PolL	0	0	1	-86	180	0	1	-86
IPE 100	1179	1180	Vento -Y	PolL	0	0	1	-86	180	0	1	-86
IPE 100	1179	1180	Carichi termici	Termico	$\Delta XY=15^{\circ}C, \Delta XZ=15^{\circ}C$							
Trave 346												
IPE 100	1180	1181	Peso Proprio	UnifG	0	0	0	8	180	0	0	8
IPE 100	1180	1181	QP Solai	PolG	0	0	0	8	180	0	0	8
IPE 100	1180	1181	QFissi Solai	PolG	0	0	0	75	180	0	0	75
IPE 100	1180	1181	QV Solai	PolG	0	0	0	75	180	0	0	75
IPE 100	1180	1181	Neve	PolL	0	0	-1	60	180	0	-1	60
IPE 100	1180	1181	Neve	PolL	0	0	-1	60	180	0	-1	60
IPE 100	1180	1181	Vento +Y	PolL	0	0	-1	86	180	0	-1	86
IPE 100	1180	1181	Vento +Y	PolL	0	0	-1	86	180	0	-1	86
IPE 100	1180	1181	Vento -Y	PolL	0	0	1	-86	180	0	1	-86
IPE 100	1180	1181	Vento -Y	PolL	0	0	1	-86	180	0	1	-86
IPE 100	1180	1181	Carichi termici	Termico	$\Delta XY=15^{\circ}C, \Delta XZ=15^{\circ}C$							
Trave 347												
IPE 100	1181	1182	Peso Proprio	UnifG	0	0	0	8	180	0	0	8
IPE 100	1181	1182	QP Solai	PolG	0	0	0	8	180	0	0	8
IPE 100	1181	1182	QFissi Solai	PolG	0	0	0	75	180	0	0	75
IPE 100	1181	1182	QV Solai	PolG	0	0	0	75	180	0	0	75
IPE 100	1181	1182	Neve	PolL	0	0	-1	60	180	0	-1	60
IPE 100	1181	1182	Neve	PolL	0	0	-1	60	180	0	-1	60
IPE 100	1181	1182	Vento +Y	PolL	0	0	-1	86	180	0	-1	86
IPE 100	1181	1182	Vento +Y	PolL	0	0	-1	86	180	0	-1	86
IPE 100	1181	1182	Vento -Y	PolL	0	0	1	-86	180	0	1	-86
IPE 100	1181	1182	Vento -Y	PolL	0	0	1	-86	180	0	1	-86
IPE 100	1181	1182	Carichi termici	Termico	$\Delta XY=15^{\circ}C, \Delta XZ=15^{\circ}C$							
Trave 348												
IPE 100	1182	1183	Peso Proprio	UnifG	0	0	0	8	180	0	0	8
IPE 100	1182	1183	QP Solai	PolG	0	0	0	8	180	0	0	8
IPE 100	1182	1183	QFissi Solai	PolG	0	0	0	75	180	0	0	75

Sezione	Ni	Nf	Cond.	Tipo c.	Xi	QXi	QYi	QZi	Xf	QXf	QYf	QZf
IPE 100	1182	1183	QV Solai	PolG	0	0	0	75	180	0	0	75
IPE 100	1182	1183	Neve	PolL	0	0	-1	60	180	0	-1	60
IPE 100	1182	1183	Neve	PolL	0	0	-1	60	180	0	-1	60
IPE 100	1182	1183	Vento +Y	PolL	0	0	-1	86	180	0	-1	86
IPE 100	1182	1183	Vento +Y	PolL	0	0	-1	86	180	0	-1	86
IPE 100	1182	1183	Vento -Y	PolL	0	0	1	-86	180	0	1	-86
IPE 100	1182	1183	Vento -Y	PolL	0	0	1	-86	180	0	1	-86
IPE 100	1182	1183	Carichi termici	Termico	$\Delta XY=15^{\circ}C, \Delta XZ=15^{\circ}C$							
Trave 349												
IPE 100	1183	1184	Peso Proprio	UnifG	0	0	0	8	180	0	0	8
IPE 100	1183	1184	QP Solai	PolG	0	0	0	8	180	0	0	8
IPE 100	1183	1184	QFissi Solai	PolG	0	0	0	75	180	0	0	75
IPE 100	1183	1184	QV Solai	PolG	0	0	0	75	180	0	0	75
IPE 100	1183	1184	Neve	PolL	0	0	-1	60	180	0	-1	60
IPE 100	1183	1184	Neve	PolL	0	0	-1	60	180	0	-1	60
IPE 100	1183	1184	Vento +Y	PolL	0	0	-1	86	180	0	-1	86
IPE 100	1183	1184	Vento +Y	PolL	0	0	-1	86	180	0	-1	86
IPE 100	1183	1184	Vento -Y	PolL	0	0	1	-86	180	0	1	-86
IPE 100	1183	1184	Vento -Y	PolL	0	0	1	-86	180	0	1	-86
IPE 100	1183	1184	Carichi termici	Termico	$\Delta XY=15^{\circ}C, \Delta XZ=15^{\circ}C$							
Trave 350												
IPE 100	1184	1185	Peso Proprio	UnifG	0	0	0	8	180	0	0	8
IPE 100	1184	1185	QP Solai	PolG	0	0	0	8	180	0	0	8
IPE 100	1184	1185	QFissi Solai	PolG	0	0	0	75	180	0	0	75
IPE 100	1184	1185	QV Solai	PolG	0	0	0	75	180	0	0	75
IPE 100	1184	1185	Neve	PolL	0	0	-1	60	180	0	-1	60
IPE 100	1184	1185	Neve	PolL	0	0	-1	60	180	0	-1	60
IPE 100	1184	1185	Vento +Y	PolL	0	0	-1	86	180	0	-1	86
IPE 100	1184	1185	Vento +Y	PolL	0	0	-1	86	180	0	-1	86
IPE 100	1184	1185	Vento -Y	PolL	0	0	1	-86	180	0	1	-86
IPE 100	1184	1185	Vento -Y	PolL	0	0	1	-86	180	0	1	-86
IPE 100	1184	1185	Carichi termici	Termico	$\Delta XY=15^{\circ}C, \Delta XZ=15^{\circ}C$							
Trave 351												
IPE 100	1185	1186	Peso Proprio	UnifG	0	0	0	8	180	0	0	8
IPE 100	1185	1186	QP Solai	PolG	0	0	0	8	180	0	0	8
IPE 100	1185	1186	QFissi Solai	PolG	0	0	0	75	180	0	0	75
IPE 100	1185	1186	QV Solai	PolG	0	0	0	75	180	0	0	75
IPE 100	1185	1186	Neve	PolL	0	0	-1	60	180	0	-1	60
IPE 100	1185	1186	Neve	PolL	0	0	-1	60	180	0	-1	60
IPE 100	1185	1186	Vento +Y	PolL	0	0	-1	86	180	0	-1	86
IPE 100	1185	1186	Vento +Y	PolL	0	0	-1	86	180	0	-1	86
IPE 100	1185	1186	Vento -Y	PolL	0	0	1	-86	180	0	1	-86
IPE 100	1185	1186	Vento -Y	PolL	0	0	1	-86	180	0	1	-86
IPE 100	1185	1186	Carichi termici	Termico	$\Delta XY=15^{\circ}C, \Delta XZ=15^{\circ}C$							
Trave 352												
IPE 100	1186	1187	Peso Proprio	UnifG	0	0	0	8	180	0	0	8
IPE 100	1186	1187	QP Solai	PolG	0	0	0	8	180	0	0	8
IPE 100	1186	1187	QFissi Solai	PolG	0	0	0	75	180	0	0	75
IPE 100	1186	1187	QV Solai	PolG	0	0	0	75	180	0	0	75
IPE 100	1186	1187	Neve	PolL	0	0	-1	60	180	0	-1	60
IPE 100	1186	1187	Neve	PolL	0	0	-1	60	180	0	-1	60
IPE 100	1186	1187	Vento +Y	PolL	0	0	-1	86	180	0	-1	86
IPE 100	1186	1187	Vento +Y	PolL	0	0	-1	86	180	0	-1	86
IPE 100	1186	1187	Vento -Y	PolL	0	0	1	-86	180	0	1	-86
IPE 100	1186	1187	Vento -Y	PolL	0	0	1	-86	180	0	1	-86
IPE 100	1186	1187	Carichi termici	Termico	$\Delta XY=15^{\circ}C, \Delta XZ=15^{\circ}C$							
Trave 353												
IPE 100	1187	1188	Peso Proprio	UnifG	0	0	0	8	180	0	0	8
IPE 100	1187	1188	QP Solai	PolG	0	0	0	8	180	0	0	8
IPE 100	1187	1188	QFissi Solai	PolG	0	0	0	75	180	0	0	75
IPE 100	1187	1188	QV Solai	PolG	0	0	0	75	180	0	0	75
IPE 100	1187	1188	Neve	PolL	0	0	-1	60	180	0	-1	60
IPE 100	1187	1188	Neve	PolL	0	0	-1	60	180	0	-1	60
IPE 100	1187	1188	Vento +Y	PolL	0	0	-1	86	180	0	-1	86
IPE 100	1187	1188	Vento +Y	PolL	0	0	-1	86	180	0	-1	86
IPE 100	1187	1188	Vento -Y	PolL	0	0	1	-86	180	0	1	-86
IPE 100	1187	1188	Vento -Y	PolL	0	0	1	-86	180	0	1	-86
IPE 100	1187	1188	Carichi termici	Termico	$\Delta XY=15^{\circ}C, \Delta XZ=15^{\circ}C$							
Trave 354												
IPE 100	1188	1189	Peso Proprio	UnifG	0	0	0	8	180	0	0	8
IPE 100	1188	1189	QP Solai	PolG	0	0	0	8	180	0	0	8
IPE 100	1188	1189	QFissi Solai	PolG	0	0	0	75	180	0	0	75
IPE 100	1188	1189	QV Solai	PolG	0	0	0	75	180	0	0	75
IPE 100	1188	1189	Neve	PolL	0	0	-1	60	180	0	-1	60
IPE 100	1188	1189	Neve	PolL	0	0	-1	60	180	0	-1	60

Sezione	Ni	Nf	Cond.	Tipo c.	Xi	QXi	QYi	QZi	Xf	QXf	QYf	QZf
IPE 100	1188	1189	Vento +Y	PolL	0	0	-1	86	180	0	-1	86
IPE 100	1188	1189	Vento +Y	PolL	0	0	-1	86	180	0	-1	86
IPE 100	1188	1189	Vento -Y	PolL	0	0	1	-86	180	0	1	-86
IPE 100	1188	1189	Vento -Y	PolL	0	0	1	-86	180	0	1	-86
IPE 100	1188	1189	Carichi termici	Termico	$\Delta XY=15^{\circ}C, \Delta XZ=15^{\circ}C$							
Trave 355												
IPE 100	1189	1190	Peso Proprio	UnifG	0	0	0	8	180	0	0	8
IPE 100	1189	1190	QP Solai	PolG	0	0	0	8	180	0	0	8
IPE 100	1189	1190	QFissi Solai	PolG	0	0	0	75	180	0	0	75
IPE 100	1189	1190	QV Solai	PolG	0	0	0	75	180	0	0	75
IPE 100	1189	1190	Neve	PolL	0	0	-1	60	180	0	-1	60
IPE 100	1189	1190	Neve	PolL	0	0	-1	60	180	0	-1	60
IPE 100	1189	1190	Vento +Y	PolL	0	0	-1	86	180	0	-1	86
IPE 100	1189	1190	Vento +Y	PolL	0	0	-1	86	180	0	-1	86
IPE 100	1189	1190	Vento -Y	PolL	0	0	1	-86	180	0	1	-86
IPE 100	1189	1190	Vento -Y	PolL	0	0	1	-86	180	0	1	-86
IPE 100	1189	1190	Carichi termici	Termico	$\Delta XY=15^{\circ}C, \Delta XZ=15^{\circ}C$							
Trave 356												
IPE 100	1190	1191	Peso Proprio	UnifG	0	0	0	8	180	0	0	8
IPE 100	1190	1191	QP Solai	PolG	0	0	0	8	180	0	0	8
IPE 100	1190	1191	QFissi Solai	PolG	0	0	0	75	180	0	0	75
IPE 100	1190	1191	QV Solai	PolG	0	0	0	75	180	0	0	75
IPE 100	1190	1191	Neve	PolL	0	0	-1	60	180	0	-1	60
IPE 100	1190	1191	Neve	PolL	0	0	-1	60	180	0	-1	60
IPE 100	1190	1191	Vento +Y	PolL	0	0	-1	86	180	0	-1	86
IPE 100	1190	1191	Vento +Y	PolL	0	0	-1	86	180	0	-1	86
IPE 100	1190	1191	Vento -Y	PolL	0	0	1	-86	180	0	1	-86
IPE 100	1190	1191	Vento -Y	PolL	0	0	1	-86	180	0	1	-86
IPE 100	1190	1191	Carichi termici	Termico	$\Delta XY=15^{\circ}C, \Delta XZ=15^{\circ}C$							
Trave 357												
IPE 100	1191	1192	Peso Proprio	UnifG	0	0	0	8	200	0	0	8
IPE 100	1191	1192	QP Solai	PolG	0	0	0	8	200	0	0	8
IPE 100	1191	1192	QFissi Solai	PolG	0	0	0	75	200	0	0	75
IPE 100	1191	1192	QV Solai	PolG	0	0	0	75	200	0	0	75
IPE 100	1191	1192	Neve	PolL	0	0	-1	60	200	0	-1	60
IPE 100	1191	1192	Neve	PolL	0	0	-1	60	200	0	-1	60
IPE 100	1191	1192	Vento +Y	PolL	0	0	-1	86	200	0	-1	86
IPE 100	1191	1192	Vento +Y	PolL	0	0	-1	86	200	0	-1	86
IPE 100	1191	1192	Vento -Y	PolL	0	0	1	-86	200	0	1	-86
IPE 100	1191	1192	Vento -Y	PolL	0	0	1	-86	200	0	1	-86
IPE 100	1191	1192	Carichi termici	Termico	$\Delta XY=15^{\circ}C, \Delta XZ=15^{\circ}C$							
Trave 358												
IPE 100	1193	1194	Peso Proprio	UnifG	0	0	0	8	200	0	0	8
IPE 100	1193	1194	QP Solai	PolG	0	0	0	8	200	0	0	8
IPE 100	1193	1194	QFissi Solai	PolG	0	0	0	75	200	0	0	75
IPE 100	1193	1194	QV Solai	PolG	0	0	0	75	200	0	0	75
IPE 100	1193	1194	Neve	PolL	0	0	-1	60	200	0	-1	60
IPE 100	1193	1194	Neve	PolL	0	0	-1	60	200	0	-1	60
IPE 100	1193	1194	Vento +Y	PolL	0	0	-1	86	200	0	-1	86
IPE 100	1193	1194	Vento +Y	PolL	0	0	-1	86	200	0	-1	86
IPE 100	1193	1194	Vento -Y	PolL	0	0	1	-86	200	0	1	-86
IPE 100	1193	1194	Vento -Y	PolL	0	0	1	-86	200	0	1	-86
IPE 100	1193	1194	Carichi termici	Termico	$\Delta XY=15^{\circ}C, \Delta XZ=15^{\circ}C$							
Trave 359												
IPE 100	1194	1195	Peso Proprio	UnifG	0	0	0	8	180	0	0	8
IPE 100	1194	1195	QP Solai	PolG	0	0	0	8	180	0	0	8
IPE 100	1194	1195	QFissi Solai	PolG	0	0	0	75	180	0	0	75
IPE 100	1194	1195	QV Solai	PolG	0	0	0	75	180	0	0	75
IPE 100	1194	1195	Neve	PolL	0	0	-1	60	180	0	-1	60
IPE 100	1194	1195	Neve	PolL	0	0	-1	60	180	0	-1	60
IPE 100	1194	1195	Vento +Y	PolL	0	0	-1	86	180	0	-1	86
IPE 100	1194	1195	Vento +Y	PolL	0	0	-1	86	180	0	-1	86
IPE 100	1194	1195	Vento -Y	PolL	0	0	1	-86	180	0	1	-86
IPE 100	1194	1195	Vento -Y	PolL	0	0	1	-86	180	0	1	-86
IPE 100	1194	1195	Carichi termici	Termico	$\Delta XY=15^{\circ}C, \Delta XZ=15^{\circ}C$							
Trave 360												
IPE 100	1195	1196	Peso Proprio	UnifG	0	0	0	8	180	0	0	8
IPE 100	1195	1196	QP Solai	PolG	0	0	0	8	180	0	0	8
IPE 100	1195	1196	QFissi Solai	PolG	0	0	0	75	180	0	0	75
IPE 100	1195	1196	QV Solai	PolG	0	0	0	75	180	0	0	75
IPE 100	1195	1196	Neve	PolL	0	0	-1	60	180	0	-1	60
IPE 100	1195	1196	Neve	PolL	0	0	-1	60	180	0	-1	60
IPE 100	1195	1196	Vento +Y	PolL	0	0	-1	86	180	0	-1	86
IPE 100	1195	1196	Vento +Y	PolL	0	0	-1	86	180	0	-1	86
IPE 100	1195	1196	Vento -Y	PolL	0	0	1	-86	180	0	1	-86
IPE 100	1195	1196	Vento -Y	PolL	0	0	1	-86	180	0	1	-86

Sezione	Ni	Nf	Cond.	Tipo c.	Xi	QXi	QYi	QZi	Xf	QXf	QYf	QZf
IPE 100	1195	1196	Vento -Y	PolL	0	0	1	-86	180	0	1	-86
IPE 100	1195	1196	Carichi termici	Termico	$\Delta XY=15^{\circ}C, \Delta XZ=15^{\circ}C$							
Trave 361												
IPE 100	1196	1197	Peso Proprio	UnifG	0	0	0	8	180	0	0	8
IPE 100	1196	1197	QP Solai	PolG	0	0	0	8	180	0	0	8
IPE 100	1196	1197	QFissi Solai	PolG	0	0	0	75	180	0	0	75
IPE 100	1196	1197	QV Solai	PolG	0	0	0	75	180	0	0	75
IPE 100	1196	1197	Neve	PolL	0	0	-1	60	180	0	-1	60
IPE 100	1196	1197	Neve	PolL	0	0	-1	60	180	0	-1	60
IPE 100	1196	1197	Vento +Y	PolL	0	0	-1	86	180	0	-1	86
IPE 100	1196	1197	Vento +Y	PolL	0	0	-1	86	180	0	-1	86
IPE 100	1196	1197	Vento -Y	PolL	0	0	1	-86	180	0	1	-86
IPE 100	1196	1197	Vento -Y	PolL	0	0	1	-86	180	0	1	-86
IPE 100	1196	1197	Carichi termici	Termico	$\Delta XY=15^{\circ}C, \Delta XZ=15^{\circ}C$							
Trave 362												
IPE 100	1197	1198	Peso Proprio	UnifG	0	0	0	8	180	0	0	8
IPE 100	1197	1198	QP Solai	PolG	0	0	0	8	180	0	0	8
IPE 100	1197	1198	QFissi Solai	PolG	0	0	0	75	180	0	0	75
IPE 100	1197	1198	QV Solai	PolG	0	0	0	75	180	0	0	75
IPE 100	1197	1198	Neve	PolL	0	0	-1	60	180	0	-1	60
IPE 100	1197	1198	Neve	PolL	0	0	-1	60	180	0	-1	60
IPE 100	1197	1198	Vento +Y	PolL	0	0	-1	86	180	0	-1	86
IPE 100	1197	1198	Vento +Y	PolL	0	0	-1	86	180	0	-1	86
IPE 100	1197	1198	Vento -Y	PolL	0	0	1	-86	180	0	1	-86
IPE 100	1197	1198	Vento -Y	PolL	0	0	1	-86	180	0	1	-86
IPE 100	1197	1198	Carichi termici	Termico	$\Delta XY=15^{\circ}C, \Delta XZ=15^{\circ}C$							
Trave 363												
IPE 100	1198	1199	Peso Proprio	UnifG	0	0	0	8	180	0	0	8
IPE 100	1198	1199	QP Solai	PolG	0	0	0	8	180	0	0	8
IPE 100	1198	1199	QFissi Solai	PolG	0	0	0	75	180	0	0	75
IPE 100	1198	1199	QV Solai	PolG	0	0	0	75	180	0	0	75
IPE 100	1198	1199	Neve	PolL	0	0	-1	60	180	0	-1	60
IPE 100	1198	1199	Neve	PolL	0	0	-1	60	180	0	-1	60
IPE 100	1198	1199	Vento +Y	PolL	0	0	-1	86	180	0	-1	86
IPE 100	1198	1199	Vento +Y	PolL	0	0	-1	86	180	0	-1	86
IPE 100	1198	1199	Vento -Y	PolL	0	0	1	-86	180	0	1	-86
IPE 100	1198	1199	Vento -Y	PolL	0	0	1	-86	180	0	1	-86
IPE 100	1198	1199	Carichi termici	Termico	$\Delta XY=15^{\circ}C, \Delta XZ=15^{\circ}C$							
Trave 364												
IPE 100	1199	1200	Peso Proprio	UnifG	0	0	0	8	180	0	0	8
IPE 100	1199	1200	QP Solai	PolG	0	0	0	8	180	0	0	8
IPE 100	1199	1200	QFissi Solai	PolG	0	0	0	75	180	0	0	75
IPE 100	1199	1200	QV Solai	PolG	0	0	0	75	180	0	0	75
IPE 100	1199	1200	Neve	PolL	0	0	-1	60	180	0	-1	60
IPE 100	1199	1200	Neve	PolL	0	0	-1	60	180	0	-1	60
IPE 100	1199	1200	Vento +Y	PolL	0	0	-1	86	180	0	-1	86
IPE 100	1199	1200	Vento +Y	PolL	0	0	-1	86	180	0	-1	86
IPE 100	1199	1200	Vento -Y	PolL	0	0	1	-86	180	0	1	-86
IPE 100	1199	1200	Vento -Y	PolL	0	0	1	-86	180	0	1	-86
IPE 100	1199	1200	Carichi termici	Termico	$\Delta XY=15^{\circ}C, \Delta XZ=15^{\circ}C$							
Trave 365												
IPE 100	1200	1201	Peso Proprio	UnifG	0	0	0	8	180	0	0	8
IPE 100	1200	1201	QP Solai	PolG	0	0	0	8	180	0	0	8
IPE 100	1200	1201	QFissi Solai	PolG	0	0	0	75	180	0	0	75
IPE 100	1200	1201	QV Solai	PolG	0	0	0	75	180	0	0	75
IPE 100	1200	1201	Neve	PolL	0	0	-1	60	180	0	-1	60
IPE 100	1200	1201	Neve	PolL	0	0	-1	60	180	0	-1	60
IPE 100	1200	1201	Vento +Y	PolL	0	0	-1	86	180	0	-1	86
IPE 100	1200	1201	Vento +Y	PolL	0	0	-1	86	180	0	-1	86
IPE 100	1200	1201	Vento -Y	PolL	0	0	1	-86	180	0	1	-86
IPE 100	1200	1201	Vento -Y	PolL	0	0	1	-86	180	0	1	-86
IPE 100	1200	1201	Carichi termici	Termico	$\Delta XY=15^{\circ}C, \Delta XZ=15^{\circ}C$							
Trave 366												
IPE 100	1201	1202	Peso Proprio	UnifG	0	0	0	8	180	0	0	8
IPE 100	1201	1202	QP Solai	PolG	0	0	0	8	180	0	0	8
IPE 100	1201	1202	QFissi Solai	PolG	0	0	0	75	180	0	0	75
IPE 100	1201	1202	QV Solai	PolG	0	0	0	75	180	0	0	75
IPE 100	1201	1202	Neve	PolL	0	0	-1	60	180	0	-1	60
IPE 100	1201	1202	Neve	PolL	0	0	-1	60	180	0	-1	60
IPE 100	1201	1202	Vento +Y	PolL	0	0	-1	86	180	0	-1	86
IPE 100	1201	1202	Vento +Y	PolL	0	0	-1	86	180	0	-1	86
IPE 100	1201	1202	Vento -Y	PolL	0	0	1	-86	180	0	1	-86
IPE 100	1201	1202	Vento -Y	PolL	0	0	1	-86	180	0	1	-86
IPE 100	1201	1202	Carichi termici	Termico	$\Delta XY=15^{\circ}C, \Delta XZ=15^{\circ}C$							
Trave 367												

Sezione	Ni	Nf	Cond.	Tipo c.	Xi	QXi	QYi	QZi	Xf	QXf	QYf	QZf
IPE 100	1202	1203	Peso Proprio	UnifG	0	0	0	8	180	0	0	8
IPE 100	1202	1203	QP Solai	PolG	0	0	0	8	180	0	0	8
IPE 100	1202	1203	QFissi Solai	PolG	0	0	0	75	180	0	0	75
IPE 100	1202	1203	QV Solai	PolG	0	0	0	75	180	0	0	75
IPE 100	1202	1203	Neve	PolL	0	0	-1	60	180	0	-1	60
IPE 100	1202	1203	Neve	PolL	0	0	-1	60	180	0	-1	60
IPE 100	1202	1203	Vento +Y	PolL	0	0	-1	86	180	0	-1	86
IPE 100	1202	1203	Vento +Y	PolL	0	0	-1	86	180	0	-1	86
IPE 100	1202	1203	Vento -Y	PolL	0	0	1	-86	180	0	1	-86
IPE 100	1202	1203	Vento -Y	PolL	0	0	1	-86	180	0	1	-86
IPE 100	1202	1203	Carichi termici	Termico	$\Delta XY=15^{\circ}C, \Delta XZ=15^{\circ}C$							
Trave 368												
IPE 100	1203	1204	Peso Proprio	UnifG	0	0	0	8	180	0	0	8
IPE 100	1203	1204	QP Solai	PolG	0	0	0	8	180	0	0	8
IPE 100	1203	1204	QFissi Solai	PolG	0	0	0	75	180	0	0	75
IPE 100	1203	1204	QV Solai	PolG	0	0	0	75	180	0	0	75
IPE 100	1203	1204	Neve	PolL	0	0	-1	60	180	0	-1	60
IPE 100	1203	1204	Neve	PolL	0	0	-1	60	180	0	-1	60
IPE 100	1203	1204	Vento +Y	PolL	0	0	-1	86	180	0	-1	86
IPE 100	1203	1204	Vento +Y	PolL	0	0	-1	86	180	0	-1	86
IPE 100	1203	1204	Vento -Y	PolL	0	0	1	-86	180	0	1	-86
IPE 100	1203	1204	Vento -Y	PolL	0	0	1	-86	180	0	1	-86
IPE 100	1203	1204	Carichi termici	Termico	$\Delta XY=15^{\circ}C, \Delta XZ=15^{\circ}C$							
Trave 369												
IPE 100	1204	1205	Peso Proprio	UnifG	0	0	0	8	180	0	0	8
IPE 100	1204	1205	QP Solai	PolG	0	0	0	8	180	0	0	8
IPE 100	1204	1205	QFissi Solai	PolG	0	0	0	75	180	0	0	75
IPE 100	1204	1205	QV Solai	PolG	0	0	0	75	180	0	0	75
IPE 100	1204	1205	Neve	PolL	0	0	-1	60	180	0	-1	60
IPE 100	1204	1205	Neve	PolL	0	0	-1	60	180	0	-1	60
IPE 100	1204	1205	Vento +Y	PolL	0	0	-1	86	180	0	-1	86
IPE 100	1204	1205	Vento +Y	PolL	0	0	-1	86	180	0	-1	86
IPE 100	1204	1205	Vento -Y	PolL	0	0	1	-86	180	0	1	-86
IPE 100	1204	1205	Vento -Y	PolL	0	0	1	-86	180	0	1	-86
IPE 100	1204	1205	Carichi termici	Termico	$\Delta XY=15^{\circ}C, \Delta XZ=15^{\circ}C$							
Trave 370												
IPE 100	1205	1206	Peso Proprio	UnifG	0	0	0	8	180	0	0	8
IPE 100	1205	1206	QP Solai	PolG	0	0	0	8	180	0	0	8
IPE 100	1205	1206	QFissi Solai	PolG	0	0	0	75	180	0	0	75
IPE 100	1205	1206	QV Solai	PolG	0	0	0	75	180	0	0	75
IPE 100	1205	1206	Neve	PolL	0	0	-1	60	180	0	-1	60
IPE 100	1205	1206	Neve	PolL	0	0	-1	60	180	0	-1	60
IPE 100	1205	1206	Vento +Y	PolL	0	0	-1	86	180	0	-1	86
IPE 100	1205	1206	Vento +Y	PolL	0	0	-1	86	180	0	-1	86
IPE 100	1205	1206	Vento -Y	PolL	0	0	1	-86	180	0	1	-86
IPE 100	1205	1206	Vento -Y	PolL	0	0	1	-86	180	0	1	-86
IPE 100	1205	1206	Carichi termici	Termico	$\Delta XY=15^{\circ}C, \Delta XZ=15^{\circ}C$							
Trave 371												
IPE 100	1206	1207	Peso Proprio	UnifG	0	0	0	8	180	0	0	8
IPE 100	1206	1207	QP Solai	PolG	0	0	0	8	180	0	0	8
IPE 100	1206	1207	QFissi Solai	PolG	0	0	0	75	180	0	0	75
IPE 100	1206	1207	QV Solai	PolG	0	0	0	75	180	0	0	75
IPE 100	1206	1207	Neve	PolL	0	0	-1	60	180	0	-1	60
IPE 100	1206	1207	Neve	PolL	0	0	-1	60	180	0	-1	60
IPE 100	1206	1207	Vento +Y	PolL	0	0	-1	86	180	0	-1	86
IPE 100	1206	1207	Vento +Y	PolL	0	0	-1	86	180	0	-1	86
IPE 100	1206	1207	Vento -Y	PolL	0	0	1	-86	180	0	1	-86
IPE 100	1206	1207	Vento -Y	PolL	0	0	1	-86	180	0	1	-86
IPE 100	1206	1207	Carichi termici	Termico	$\Delta XY=15^{\circ}C, \Delta XZ=15^{\circ}C$							
Trave 372												
IPE 100	1207	1208	Peso Proprio	UnifG	0	0	0	8	180	0	0	8
IPE 100	1207	1208	QP Solai	PolG	0	0	0	8	180	0	0	8
IPE 100	1207	1208	QFissi Solai	PolG	0	0	0	75	180	0	0	75
IPE 100	1207	1208	QV Solai	PolG	0	0	0	75	180	0	0	75
IPE 100	1207	1208	Neve	PolL	0	0	-1	60	180	0	-1	60
IPE 100	1207	1208	Neve	PolL	0	0	-1	60	180	0	-1	60
IPE 100	1207	1208	Vento +Y	PolL	0	0	-1	86	180	0	-1	86
IPE 100	1207	1208	Vento +Y	PolL	0	0	-1	86	180	0	-1	86
IPE 100	1207	1208	Vento -Y	PolL	0	0	1	-86	180	0	1	-86
IPE 100	1207	1208	Vento -Y	PolL	0	0	1	-86	180	0	1	-86
IPE 100	1207	1208	Carichi termici	Termico	$\Delta XY=15^{\circ}C, \Delta XZ=15^{\circ}C$							
Trave 373												
IPE 100	1208	1209	Peso Proprio	UnifG	0	0	0	8	180	0	0	8
IPE 100	1208	1209	QP Solai	PolG	0	0	0	8	180	0	0	8
IPE 100	1208	1209	QFissi Solai	PolG	0	0	0	75	180	0	0	75

Sezione	Ni	Nf	Cond.	Tipo c.	Xi	QXi	QYi	QZi	Xf	QXf	QYf	QZf
IPE 100	1208	1209	QV Solai	PolG	0	0	0	75	180	0	0	75
IPE 100	1208	1209	Neve	PolL	0	0	-1	60	180	0	-1	60
IPE 100	1208	1209	Neve	PolL	0	0	-1	60	180	0	-1	60
IPE 100	1208	1209	Vento +Y	PolL	0	0	-1	86	180	0	-1	86
IPE 100	1208	1209	Vento +Y	PolL	0	0	-1	86	180	0	-1	86
IPE 100	1208	1209	Vento -Y	PolL	0	0	1	-86	180	0	1	-86
IPE 100	1208	1209	Vento -Y	PolL	0	0	1	-86	180	0	1	-86
IPE 100	1208	1209	Carichi termici	Termico	$\Delta XY=15^{\circ}C, \Delta XZ=15^{\circ}C$							
Trave 374												
IPE 100	1209	1210	Peso Proprio	UnifG	0	0	0	8	180	0	0	8
IPE 100	1209	1210	QP Solai	PolG	0	0	0	8	180	0	0	8
IPE 100	1209	1210	QFissi Solai	PolG	0	0	0	75	180	0	0	75
IPE 100	1209	1210	QV Solai	PolG	0	0	0	75	180	0	0	75
IPE 100	1209	1210	Neve	PolL	0	0	-1	60	180	0	-1	60
IPE 100	1209	1210	Neve	PolL	0	0	-1	60	180	0	-1	60
IPE 100	1209	1210	Vento +Y	PolL	0	0	-1	86	180	0	-1	86
IPE 100	1209	1210	Vento +Y	PolL	0	0	-1	86	180	0	-1	86
IPE 100	1209	1210	Vento -Y	PolL	0	0	1	-86	180	0	1	-86
IPE 100	1209	1210	Vento -Y	PolL	0	0	1	-86	180	0	1	-86
IPE 100	1209	1210	Carichi termici	Termico	$\Delta XY=15^{\circ}C, \Delta XZ=15^{\circ}C$							
Trave 375												
IPE 100	1210	1211	Peso Proprio	UnifG	0	0	0	8	180	0	0	8
IPE 100	1210	1211	QP Solai	PolG	0	0	0	8	180	0	0	8
IPE 100	1210	1211	QFissi Solai	PolG	0	0	0	75	180	0	0	75
IPE 100	1210	1211	QV Solai	PolG	0	0	0	75	180	0	0	75
IPE 100	1210	1211	Neve	PolL	0	0	-1	60	180	0	-1	60
IPE 100	1210	1211	Neve	PolL	0	0	-1	60	180	0	-1	60
IPE 100	1210	1211	Vento +Y	PolL	0	0	-1	86	180	0	-1	86
IPE 100	1210	1211	Vento +Y	PolL	0	0	-1	86	180	0	-1	86
IPE 100	1210	1211	Vento -Y	PolL	0	0	1	-86	180	0	1	-86
IPE 100	1210	1211	Vento -Y	PolL	0	0	1	-86	180	0	1	-86
IPE 100	1210	1211	Carichi termici	Termico	$\Delta XY=15^{\circ}C, \Delta XZ=15^{\circ}C$							
Trave 376												
IPE 100	1211	1212	Peso Proprio	UnifG	0	0	0	8	180	0	0	8
IPE 100	1211	1212	QP Solai	PolG	0	0	0	8	180	0	0	8
IPE 100	1211	1212	QFissi Solai	PolG	0	0	0	75	180	0	0	75
IPE 100	1211	1212	QV Solai	PolG	0	0	0	75	180	0	0	75
IPE 100	1211	1212	Neve	PolL	0	0	-1	60	180	0	-1	60
IPE 100	1211	1212	Neve	PolL	0	0	-1	60	180	0	-1	60
IPE 100	1211	1212	Vento +Y	PolL	0	0	-1	86	180	0	-1	86
IPE 100	1211	1212	Vento +Y	PolL	0	0	-1	86	180	0	-1	86
IPE 100	1211	1212	Vento -Y	PolL	0	0	1	-86	180	0	1	-86
IPE 100	1211	1212	Vento -Y	PolL	0	0	1	-86	180	0	1	-86
IPE 100	1211	1212	Carichi termici	Termico	$\Delta XY=15^{\circ}C, \Delta XZ=15^{\circ}C$							
Trave 377												
IPE 100	1212	1213	Peso Proprio	UnifG	0	0	0	8	180	0	0	8
IPE 100	1212	1213	QP Solai	PolG	0	0	0	8	180	0	0	8
IPE 100	1212	1213	QFissi Solai	PolG	0	0	0	75	180	0	0	75
IPE 100	1212	1213	QV Solai	PolG	0	0	0	75	180	0	0	75
IPE 100	1212	1213	Neve	PolL	0	0	-1	60	180	0	-1	60
IPE 100	1212	1213	Neve	PolL	0	0	-1	60	180	0	-1	60
IPE 100	1212	1213	Vento +Y	PolL	0	0	-1	86	180	0	-1	86
IPE 100	1212	1213	Vento +Y	PolL	0	0	-1	86	180	0	-1	86
IPE 100	1212	1213	Vento -Y	PolL	0	0	1	-86	180	0	1	-86
IPE 100	1212	1213	Vento -Y	PolL	0	0	1	-86	180	0	1	-86
IPE 100	1212	1213	Carichi termici	Termico	$\Delta XY=15^{\circ}C, \Delta XZ=15^{\circ}C$							
Trave 378												
IPE 100	1213	1214	Peso Proprio	UnifG	0	0	0	8	180	0	0	8
IPE 100	1213	1214	QP Solai	PolG	0	0	0	8	180	0	0	8
IPE 100	1213	1214	QFissi Solai	PolG	0	0	0	75	180	0	0	75
IPE 100	1213	1214	QV Solai	PolG	0	0	0	75	180	0	0	75
IPE 100	1213	1214	Neve	PolL	0	0	-1	60	180	0	-1	60
IPE 100	1213	1214	Neve	PolL	0	0	-1	60	180	0	-1	60
IPE 100	1213	1214	Vento +Y	PolL	0	0	-1	86	180	0	-1	86
IPE 100	1213	1214	Vento +Y	PolL	0	0	-1	86	180	0	-1	86
IPE 100	1213	1214	Vento -Y	PolL	0	0	1	-86	180	0	1	-86
IPE 100	1213	1214	Vento -Y	PolL	0	0	1	-86	180	0	1	-86
IPE 100	1213	1214	Carichi termici	Termico	$\Delta XY=15^{\circ}C, \Delta XZ=15^{\circ}C$							
Trave 379												
IPE 100	1214	1215	Peso Proprio	UnifG	0	0	0	8	180	0	0	8
IPE 100	1214	1215	QP Solai	PolG	0	0	0	8	180	0	0	8
IPE 100	1214	1215	QFissi Solai	PolG	0	0	0	75	180	0	0	75
IPE 100	1214	1215	QV Solai	PolG	0	0	0	75	180	0	0	75
IPE 100	1214	1215	Neve	PolL	0	0	-1	60	180	0	-1	60
IPE 100	1214	1215	Neve	PolL	0	0	-1	60	180	0	-1	60

Sezione	Ni	Nf	Cond.	Tipo c.	Xi	QXi	QYi	QZi	Xf	QXf	QYf	QZf
IPE 100	1214	1215	Vento +Y	PolL	0	0	-1	86	180	0	-1	86
IPE 100	1214	1215	Vento +Y	PolL	0	0	-1	86	180	0	-1	86
IPE 100	1214	1215	Vento -Y	PolL	0	0	1	-86	180	0	1	-86
IPE 100	1214	1215	Vento -Y	PolL	0	0	1	-86	180	0	1	-86
IPE 100	1214	1215	Carichi termici	Termico	$\Delta XY=15^{\circ}C, \Delta XZ=15^{\circ}C$							
Trave 380												
IPE 100	1215	1216	Peso Proprio	UnifG	0	0	0	8	180	0	0	8
IPE 100	1215	1216	QP Solai	PolG	0	0	0	8	180	0	0	8
IPE 100	1215	1216	QFissi Solai	PolG	0	0	0	75	180	0	0	75
IPE 100	1215	1216	QV Solai	PolG	0	0	0	75	180	0	0	75
IPE 100	1215	1216	Neve	PolL	0	0	-1	60	180	0	-1	60
IPE 100	1215	1216	Neve	PolL	0	0	-1	60	180	0	-1	60
IPE 100	1215	1216	Vento +Y	PolL	0	0	-1	86	180	0	-1	86
IPE 100	1215	1216	Vento +Y	PolL	0	0	-1	86	180	0	-1	86
IPE 100	1215	1216	Vento -Y	PolL	0	0	1	-86	180	0	1	-86
IPE 100	1215	1216	Vento -Y	PolL	0	0	1	-86	180	0	1	-86
IPE 100	1215	1216	Carichi termici	Termico	$\Delta XY=15^{\circ}C, \Delta XZ=15^{\circ}C$							
Trave 381												
IPE 100	1216	1217	Peso Proprio	UnifG	0	0	0	8	180	0	0	8
IPE 100	1216	1217	QP Solai	PolG	0	0	0	8	180	0	0	8
IPE 100	1216	1217	QFissi Solai	PolG	0	0	0	75	180	0	0	75
IPE 100	1216	1217	QV Solai	PolG	0	0	0	75	180	0	0	75
IPE 100	1216	1217	Neve	PolL	0	0	-1	60	180	0	-1	60
IPE 100	1216	1217	Neve	PolL	0	0	-1	60	180	0	-1	60
IPE 100	1216	1217	Vento +Y	PolL	0	0	-1	86	180	0	-1	86
IPE 100	1216	1217	Vento +Y	PolL	0	0	-1	86	180	0	-1	86
IPE 100	1216	1217	Vento -Y	PolL	0	0	1	-86	180	0	1	-86
IPE 100	1216	1217	Vento -Y	PolL	0	0	1	-86	180	0	1	-86
IPE 100	1216	1217	Carichi termici	Termico	$\Delta XY=15^{\circ}C, \Delta XZ=15^{\circ}C$							
Trave 382												
IPE 100	1217	1218	Peso Proprio	UnifG	0	0	0	8	180	0	0	8
IPE 100	1217	1218	QP Solai	PolG	0	0	0	8	180	0	0	8
IPE 100	1217	1218	QFissi Solai	PolG	0	0	0	75	180	0	0	75
IPE 100	1217	1218	QV Solai	PolG	0	0	0	75	180	0	0	75
IPE 100	1217	1218	Neve	PolL	0	0	-1	60	180	0	-1	60
IPE 100	1217	1218	Neve	PolL	0	0	-1	60	180	0	-1	60
IPE 100	1217	1218	Vento +Y	PolL	0	0	-1	86	180	0	-1	86
IPE 100	1217	1218	Vento +Y	PolL	0	0	-1	86	180	0	-1	86
IPE 100	1217	1218	Vento -Y	PolL	0	0	1	-86	180	0	1	-86
IPE 100	1217	1218	Vento -Y	PolL	0	0	1	-86	180	0	1	-86
IPE 100	1217	1218	Carichi termici	Termico	$\Delta XY=15^{\circ}C, \Delta XZ=15^{\circ}C$							
Trave 383												
IPE 100	1218	1219	Peso Proprio	UnifG	0	0	0	8	180	0	0	8
IPE 100	1218	1219	QP Solai	PolG	0	0	0	8	180	0	0	8
IPE 100	1218	1219	QFissi Solai	PolG	0	0	0	75	180	0	0	75
IPE 100	1218	1219	QV Solai	PolG	0	0	0	75	180	0	0	75
IPE 100	1218	1219	Neve	PolL	0	0	-1	60	180	0	-1	60
IPE 100	1218	1219	Neve	PolL	0	0	-1	60	180	0	-1	60
IPE 100	1218	1219	Vento +Y	PolL	0	0	-1	86	180	0	-1	86
IPE 100	1218	1219	Vento +Y	PolL	0	0	-1	86	180	0	-1	86
IPE 100	1218	1219	Vento -Y	PolL	0	0	1	-86	180	0	1	-86
IPE 100	1218	1219	Vento -Y	PolL	0	0	1	-86	180	0	1	-86
IPE 100	1218	1219	Carichi termici	Termico	$\Delta XY=15^{\circ}C, \Delta XZ=15^{\circ}C$							
Trave 384												
IPE 100	1219	1220	Peso Proprio	UnifG	0	0	0	8	180	0	0	8
IPE 100	1219	1220	QP Solai	PolG	0	0	0	8	180	0	0	8
IPE 100	1219	1220	QFissi Solai	PolG	0	0	0	75	180	0	0	75
IPE 100	1219	1220	QV Solai	PolG	0	0	0	75	180	0	0	75
IPE 100	1219	1220	Neve	PolL	0	0	-1	60	180	0	-1	60
IPE 100	1219	1220	Neve	PolL	0	0	-1	60	180	0	-1	60
IPE 100	1219	1220	Vento +Y	PolL	0	0	-1	86	180	0	-1	86
IPE 100	1219	1220	Vento +Y	PolL	0	0	-1	86	180	0	-1	86
IPE 100	1219	1220	Vento -Y	PolL	0	0	1	-86	180	0	1	-86
IPE 100	1219	1220	Vento -Y	PolL	0	0	1	-86	180	0	1	-86
IPE 100	1219	1220	Carichi termici	Termico	$\Delta XY=15^{\circ}C, \Delta XZ=15^{\circ}C$							
Trave 385												
IPE 100	1220	1221	Peso Proprio	UnifG	0	0	0	8	180	0	0	8
IPE 100	1220	1221	QP Solai	PolG	0	0	0	8	180	0	0	8
IPE 100	1220	1221	QFissi Solai	PolG	0	0	0	75	180	0	0	75
IPE 100	1220	1221	QV Solai	PolG	0	0	0	75	180	0	0	75
IPE 100	1220	1221	Neve	PolL	0	0	-1	60	180	0	-1	60
IPE 100	1220	1221	Neve	PolL	0	0	-1	60	180	0	-1	60
IPE 100	1220	1221	Vento +Y	PolL	0	0	-1	86	180	0	-1	86
IPE 100	1220	1221	Vento +Y	PolL	0	0	-1	86	180	0	-1	86
IPE 100	1220	1221	Vento -Y	PolL	0	0	1	-86	180	0	1	-86
IPE 100	1220	1221	Vento -Y	PolL	0	0	1	-86	180	0	1	-86

Sezione	Ni	Nf	Cond.	Tipo c.	Xi	QXi	QYi	QZi	Xf	QXf	QYf	QZf
IPE 100	1220	1221	Vento -Y	PolL	0	0	1	-86	180	0	1	-86
IPE 100	1220	1221	Carichi termici	Termico	$\Delta XY=15^{\circ}C, \Delta XZ=15^{\circ}C$							
Trave 386												
IPE 100	1221	1222	Peso Proprio	UnifG	0	0	0	8	180	0	0	8
IPE 100	1221	1222	QP Solai	PolG	0	0	0	8	180	0	0	8
IPE 100	1221	1222	QFissi Solai	PolG	0	0	0	75	180	0	0	75
IPE 100	1221	1222	QV Solai	PolG	0	0	0	75	180	0	0	75
IPE 100	1221	1222	Neve	PolL	0	0	-1	60	180	0	-1	60
IPE 100	1221	1222	Neve	PolL	0	0	-1	60	180	0	-1	60
IPE 100	1221	1222	Vento +Y	PolL	0	0	-1	86	180	0	-1	86
IPE 100	1221	1222	Vento +Y	PolL	0	0	-1	86	180	0	-1	86
IPE 100	1221	1222	Vento -Y	PolL	0	0	1	-86	180	0	1	-86
IPE 100	1221	1222	Vento -Y	PolL	0	0	1	-86	180	0	1	-86
IPE 100	1221	1222	Carichi termici	Termico	$\Delta XY=15^{\circ}C, \Delta XZ=15^{\circ}C$							
Trave 387												
IPE 100	1222	1223	Peso Proprio	UnifG	0	0	0	8	180	0	0	8
IPE 100	1222	1223	QP Solai	PolG	0	0	0	8	180	0	0	8
IPE 100	1222	1223	QFissi Solai	PolG	0	0	0	75	180	0	0	75
IPE 100	1222	1223	QV Solai	PolG	0	0	0	75	180	0	0	75
IPE 100	1222	1223	Neve	PolL	0	0	-1	60	180	0	-1	60
IPE 100	1222	1223	Neve	PolL	0	0	-1	60	180	0	-1	60
IPE 100	1222	1223	Vento +Y	PolL	0	0	-1	86	180	0	-1	86
IPE 100	1222	1223	Vento +Y	PolL	0	0	-1	86	180	0	-1	86
IPE 100	1222	1223	Vento -Y	PolL	0	0	1	-86	180	0	1	-86
IPE 100	1222	1223	Vento -Y	PolL	0	0	1	-86	180	0	1	-86
IPE 100	1222	1223	Carichi termici	Termico	$\Delta XY=15^{\circ}C, \Delta XZ=15^{\circ}C$							
Trave 388												
IPE 100	1223	1224	Peso Proprio	UnifG	0	0	0	8	180	0	0	8
IPE 100	1223	1224	QP Solai	PolG	0	0	0	8	180	0	0	8
IPE 100	1223	1224	QFissi Solai	PolG	0	0	0	75	180	0	0	75
IPE 100	1223	1224	QV Solai	PolG	0	0	0	75	180	0	0	75
IPE 100	1223	1224	Neve	PolL	0	0	-1	60	180	0	-1	60
IPE 100	1223	1224	Neve	PolL	0	0	-1	60	180	0	-1	60
IPE 100	1223	1224	Vento +Y	PolL	0	0	-1	86	180	0	-1	86
IPE 100	1223	1224	Vento +Y	PolL	0	0	-1	86	180	0	-1	86
IPE 100	1223	1224	Vento -Y	PolL	0	0	1	-86	180	0	1	-86
IPE 100	1223	1224	Vento -Y	PolL	0	0	1	-86	180	0	1	-86
IPE 100	1223	1224	Carichi termici	Termico	$\Delta XY=15^{\circ}C, \Delta XZ=15^{\circ}C$							
Trave 389												
IPE 100	1224	1225	Peso Proprio	UnifG	0	0	0	8	180	0	0	8
IPE 100	1224	1225	QP Solai	PolG	0	0	0	8	180	0	0	8
IPE 100	1224	1225	QFissi Solai	PolG	0	0	0	75	180	0	0	75
IPE 100	1224	1225	QV Solai	PolG	0	0	0	75	180	0	0	75
IPE 100	1224	1225	Neve	PolL	0	0	-1	60	180	0	-1	60
IPE 100	1224	1225	Neve	PolL	0	0	-1	60	180	0	-1	60
IPE 100	1224	1225	Vento +Y	PolL	0	0	-1	86	180	0	-1	86
IPE 100	1224	1225	Vento +Y	PolL	0	0	-1	86	180	0	-1	86
IPE 100	1224	1225	Vento -Y	PolL	0	0	1	-86	180	0	1	-86
IPE 100	1224	1225	Vento -Y	PolL	0	0	1	-86	180	0	1	-86
IPE 100	1224	1225	Carichi termici	Termico	$\Delta XY=15^{\circ}C, \Delta XZ=15^{\circ}C$							
Trave 390												
IPE 100	1225	1226	Peso Proprio	UnifG	0	0	0	8	180	0	0	8
IPE 100	1225	1226	QP Solai	PolG	0	0	0	8	180	0	0	8
IPE 100	1225	1226	QFissi Solai	PolG	0	0	0	75	180	0	0	75
IPE 100	1225	1226	QV Solai	PolG	0	0	0	75	180	0	0	75
IPE 100	1225	1226	Neve	PolL	0	0	-1	60	180	0	-1	60
IPE 100	1225	1226	Neve	PolL	0	0	-1	60	180	0	-1	60
IPE 100	1225	1226	Vento +Y	PolL	0	0	-1	86	180	0	-1	86
IPE 100	1225	1226	Vento +Y	PolL	0	0	-1	86	180	0	-1	86
IPE 100	1225	1226	Vento -Y	PolL	0	0	1	-86	180	0	1	-86
IPE 100	1225	1226	Vento -Y	PolL	0	0	1	-86	180	0	1	-86
IPE 100	1225	1226	Carichi termici	Termico	$\Delta XY=15^{\circ}C, \Delta XZ=15^{\circ}C$							
Trave 391												
IPE 100	1226	1227	Peso Proprio	UnifG	0	0	0	8	180	0	0	8
IPE 100	1226	1227	QP Solai	PolG	0	0	0	8	180	0	0	8
IPE 100	1226	1227	QFissi Solai	PolG	0	0	0	75	180	0	0	75
IPE 100	1226	1227	QV Solai	PolG	0	0	0	75	180	0	0	75
IPE 100	1226	1227	Neve	PolL	0	0	-1	60	180	0	-1	60
IPE 100	1226	1227	Neve	PolL	0	0	-1	60	180	0	-1	60
IPE 100	1226	1227	Vento +Y	PolL	0	0	-1	86	180	0	-1	86
IPE 100	1226	1227	Vento +Y	PolL	0	0	-1	86	180	0	-1	86
IPE 100	1226	1227	Vento -Y	PolL	0	0	1	-86	180	0	1	-86
IPE 100	1226	1227	Vento -Y	PolL	0	0	1	-86	180	0	1	-86
IPE 100	1226	1227	Carichi termici	Termico	$\Delta XY=15^{\circ}C, \Delta XZ=15^{\circ}C$							
Trave 392												

Sezione	Ni	Nf	Cond.	Tipo c.	Xi	QXi	QYi	QZi	Xf	QXf	QYf	QZf
IPE 100	1227	1228	Peso Proprio	UnifG	0	0	0	8	180	0	0	8
IPE 100	1227	1228	QP Solai	PolG	0	0	0	8	180	0	0	8
IPE 100	1227	1228	QFissi Solai	PolG	0	0	0	75	180	0	0	75
IPE 100	1227	1228	QV Solai	PolG	0	0	0	75	180	0	0	75
IPE 100	1227	1228	Neve	PolL	0	0	-1	60	180	0	-1	60
IPE 100	1227	1228	Neve	PolL	0	0	-1	60	180	0	-1	60
IPE 100	1227	1228	Vento +Y	PolL	0	0	-1	86	180	0	-1	86
IPE 100	1227	1228	Vento +Y	PolL	0	0	-1	86	180	0	-1	86
IPE 100	1227	1228	Vento -Y	PolL	0	0	1	-86	180	0	1	-86
IPE 100	1227	1228	Vento -Y	PolL	0	0	1	-86	180	0	1	-86
IPE 100	1227	1228	Carichi termici	Termico	$\Delta XY=15^{\circ}C, \Delta XZ=15^{\circ}C$							
Trave 393												
IPE 100	1228	1229	Peso Proprio	UnifG	0	0	0	8	180	0	0	8
IPE 100	1228	1229	QP Solai	PolG	0	0	0	8	180	0	0	8
IPE 100	1228	1229	QFissi Solai	PolG	0	0	0	75	180	0	0	75
IPE 100	1228	1229	QV Solai	PolG	0	0	0	75	180	0	0	75
IPE 100	1228	1229	Neve	PolL	0	0	-1	60	180	0	-1	60
IPE 100	1228	1229	Neve	PolL	0	0	-1	60	180	0	-1	60
IPE 100	1228	1229	Vento +Y	PolL	0	0	-1	86	180	0	-1	86
IPE 100	1228	1229	Vento +Y	PolL	0	0	-1	86	180	0	-1	86
IPE 100	1228	1229	Vento -Y	PolL	0	0	1	-86	180	0	1	-86
IPE 100	1228	1229	Vento -Y	PolL	0	0	1	-86	180	0	1	-86
IPE 100	1228	1229	Carichi termici	Termico	$\Delta XY=15^{\circ}C, \Delta XZ=15^{\circ}C$							
Trave 394												
IPE 100	1229	1230	Peso Proprio	UnifG	0	0	0	8	180	0	0	8
IPE 100	1229	1230	QP Solai	PolG	0	0	0	8	180	0	0	8
IPE 100	1229	1230	QFissi Solai	PolG	0	0	0	75	180	0	0	75
IPE 100	1229	1230	QV Solai	PolG	0	0	0	75	180	0	0	75
IPE 100	1229	1230	Neve	PolL	0	0	-1	60	180	0	-1	60
IPE 100	1229	1230	Neve	PolL	0	0	-1	60	180	0	-1	60
IPE 100	1229	1230	Vento +Y	PolL	0	0	-1	86	180	0	-1	86
IPE 100	1229	1230	Vento +Y	PolL	0	0	-1	86	180	0	-1	86
IPE 100	1229	1230	Vento -Y	PolL	0	0	1	-86	180	0	1	-86
IPE 100	1229	1230	Vento -Y	PolL	0	0	1	-86	180	0	1	-86
IPE 100	1229	1230	Carichi termici	Termico	$\Delta XY=15^{\circ}C, \Delta XZ=15^{\circ}C$							
Trave 395												
IPE 100	1230	1231	Peso Proprio	UnifG	0	0	0	8	180	0	0	8
IPE 100	1230	1231	QP Solai	PolG	0	0	0	8	180	0	0	8
IPE 100	1230	1231	QFissi Solai	PolG	0	0	0	75	180	0	0	75
IPE 100	1230	1231	QV Solai	PolG	0	0	0	75	180	0	0	75
IPE 100	1230	1231	Neve	PolL	0	0	-1	60	180	0	-1	60
IPE 100	1230	1231	Neve	PolL	0	0	-1	60	180	0	-1	60
IPE 100	1230	1231	Vento +Y	PolL	0	0	-1	86	180	0	-1	86
IPE 100	1230	1231	Vento +Y	PolL	0	0	-1	86	180	0	-1	86
IPE 100	1230	1231	Vento -Y	PolL	0	0	1	-86	180	0	1	-86
IPE 100	1230	1231	Vento -Y	PolL	0	0	1	-86	180	0	1	-86
IPE 100	1230	1231	Carichi termici	Termico	$\Delta XY=15^{\circ}C, \Delta XZ=15^{\circ}C$							
Trave 396												
IPE 100	1231	1232	Peso Proprio	UnifG	0	0	0	8	180	0	0	8
IPE 100	1231	1232	QP Solai	PolG	0	0	0	8	180	0	0	8
IPE 100	1231	1232	QFissi Solai	PolG	0	0	0	75	180	0	0	75
IPE 100	1231	1232	QV Solai	PolG	0	0	0	75	180	0	0	75
IPE 100	1231	1232	Neve	PolL	0	0	-1	60	180	0	-1	60
IPE 100	1231	1232	Neve	PolL	0	0	-1	60	180	0	-1	60
IPE 100	1231	1232	Vento +Y	PolL	0	0	-1	86	180	0	-1	86
IPE 100	1231	1232	Vento +Y	PolL	0	0	-1	86	180	0	-1	86
IPE 100	1231	1232	Vento -Y	PolL	0	0	1	-86	180	0	1	-86
IPE 100	1231	1232	Vento -Y	PolL	0	0	1	-86	180	0	1	-86
IPE 100	1231	1232	Carichi termici	Termico	$\Delta XY=15^{\circ}C, \Delta XZ=15^{\circ}C$							
Trave 397												
IPE 100	1232	1233	Peso Proprio	UnifG	0	0	0	8	180	0	0	8
IPE 100	1232	1233	QP Solai	PolG	0	0	0	8	180	0	0	8
IPE 100	1232	1233	QFissi Solai	PolG	0	0	0	75	180	0	0	75
IPE 100	1232	1233	QV Solai	PolG	0	0	0	75	180	0	0	75
IPE 100	1232	1233	Neve	PolL	0	0	-1	60	180	0	-1	60
IPE 100	1232	1233	Neve	PolL	0	0	-1	60	180	0	-1	60
IPE 100	1232	1233	Vento +Y	PolL	0	0	-1	86	180	0	-1	86
IPE 100	1232	1233	Vento +Y	PolL	0	0	-1	86	180	0	-1	86
IPE 100	1232	1233	Vento -Y	PolL	0	0	1	-86	180	0	1	-86
IPE 100	1232	1233	Vento -Y	PolL	0	0	1	-86	180	0	1	-86
IPE 100	1232	1233	Carichi termici	Termico	$\Delta XY=15^{\circ}C, \Delta XZ=15^{\circ}C$							
Trave 398												
IPE 100	1233	1234	Peso Proprio	UnifG	0	0	0	8	180	0	0	8
IPE 100	1233	1234	QP Solai	PolG	0	0	0	8	180	0	0	8
IPE 100	1233	1234	QFissi Solai	PolG	0	0	0	75	180	0	0	75

Sezione	Ni	Nf	Cond.	Tipo c.	Xi	QXi	QYi	QZi	Xf	QXf	QYf	QZf
IPE 100	1233	1234	QV Solai	PolG	0	0	0	75	180	0	0	75
IPE 100	1233	1234	Neve	PolL	0	0	-1	60	180	0	-1	60
IPE 100	1233	1234	Neve	PolL	0	0	-1	60	180	0	-1	60
IPE 100	1233	1234	Vento +Y	PolL	0	0	-1	86	180	0	-1	86
IPE 100	1233	1234	Vento +Y	PolL	0	0	-1	86	180	0	-1	86
IPE 100	1233	1234	Vento -Y	PolL	0	0	1	-86	180	0	1	-86
IPE 100	1233	1234	Vento -Y	PolL	0	0	1	-86	180	0	1	-86
IPE 100	1233	1234	Carichi termici	Termico	$\Delta XY=15^{\circ}C, \Delta XZ=15^{\circ}C$							
Trave 399												
IPE 100	1234	1235	Peso Proprio	UnifG	0	0	0	8	200	0	0	8
IPE 100	1234	1235	QP Solai	PolG	0	0	0	8	200	0	0	8
IPE 100	1234	1235	QFissi Solai	PolG	0	0	0	75	200	0	0	75
IPE 100	1234	1235	QV Solai	PolG	0	0	0	75	200	0	0	75
IPE 100	1234	1235	Neve	PolL	0	0	-1	60	200	0	-1	60
IPE 100	1234	1235	Neve	PolL	0	0	-1	60	200	0	-1	60
IPE 100	1234	1235	Vento +Y	PolL	0	0	-1	86	200	0	-1	86
IPE 100	1234	1235	Vento +Y	PolL	0	0	-1	86	200	0	-1	86
IPE 100	1234	1235	Vento -Y	PolL	0	0	1	-86	200	0	1	-86
IPE 100	1234	1235	Vento -Y	PolL	0	0	1	-86	200	0	1	-86
IPE 100	1234	1235	Carichi termici	Termico	$\Delta XY=15^{\circ}C, \Delta XZ=15^{\circ}C$							
Trave 400												
IPE 100	1277	1278	Peso Proprio	UnifG	0	0	0	8	200	0	0	8
IPE 100	1277	1278	QP Solai	PolG	0	0	0	7	200	0	0	7
IPE 100	1277	1278	QFissi Solai	PolG	0	0	0	67	200	0	0	67
IPE 100	1277	1278	QV Solai	PolG	0	0	0	67	200	0	0	67
IPE 100	1277	1278	Neve	PolL	0	0	-1	54	200	0	-1	54
IPE 100	1277	1278	Neve	PolL	0	0	-1	54	200	0	-1	54
IPE 100	1277	1278	Vento +Y	PolL	0	0	-1	77	200	0	-1	77
IPE 100	1277	1278	Vento +Y	PolL	0	0	-1	77	200	0	-1	77
IPE 100	1277	1278	Vento -Y	PolL	0	0	1	-77	200	0	1	-77
IPE 100	1277	1278	Vento -Y	PolL	0	0	1	-77	200	0	1	-77
IPE 100	1277	1278	Carichi termici	Termico	$\Delta XY=15^{\circ}C, \Delta XZ=15^{\circ}C$							
IPE 100	1277	1278	Pressione dinamica treno inizio	PolL	0	0	-0	15	200	0	-0	15
IPE 100	1277	1278	Pressione dinamica treno inizio	PolL	0	0	-0	15	200	0	-0	15
Trave 401												
IPE 100	1278	1279	Peso Proprio	UnifG	0	0	0	8	180	0	0	8
IPE 100	1278	1279	QP Solai	PolG	0	0	0	7	180	0	0	7
IPE 100	1278	1279	QFissi Solai	PolG	0	0	0	67	180	0	0	67
IPE 100	1278	1279	QV Solai	PolG	0	0	0	67	180	0	0	67
IPE 100	1278	1279	Neve	PolL	0	0	-1	54	180	0	-1	54
IPE 100	1278	1279	Neve	PolL	0	0	-1	54	180	0	-1	54
IPE 100	1278	1279	Vento +Y	PolL	0	0	-1	77	180	0	-1	77
IPE 100	1278	1279	Vento +Y	PolL	0	0	-1	77	180	0	-1	77
IPE 100	1278	1279	Vento -Y	PolL	0	0	1	-77	180	0	1	-77
IPE 100	1278	1279	Vento -Y	PolL	0	0	1	-77	180	0	1	-77
IPE 100	1278	1279	Carichi termici	Termico	$\Delta XY=15^{\circ}C, \Delta XZ=15^{\circ}C$							
IPE 100	1278	1279	Pressione dinamica treno inizio	PolL	0	0	-0	15	180	0	-0	15
IPE 100	1278	1279	Pressione dinamica treno inizio	PolL	0	0	-0	15	180	0	-0	15
Trave 402												
IPE 100	1279	1280	Peso Proprio	UnifG	0	0	0	8	180	0	0	8
IPE 100	1279	1280	QP Solai	PolG	0	0	0	7	180	0	0	7
IPE 100	1279	1280	QFissi Solai	PolG	0	0	0	67	180	0	0	67
IPE 100	1279	1280	QV Solai	PolG	0	0	0	67	180	0	0	67
IPE 100	1279	1280	Neve	PolL	0	0	-1	54	180	0	-1	54
IPE 100	1279	1280	Neve	PolL	0	0	-1	54	180	0	-1	54
IPE 100	1279	1280	Vento +Y	PolL	0	0	-1	77	180	0	-1	77
IPE 100	1279	1280	Vento +Y	PolL	0	0	-1	77	180	0	-1	77
IPE 100	1279	1280	Vento -Y	PolL	0	0	1	-77	180	0	1	-77
IPE 100	1279	1280	Vento -Y	PolL	0	0	1	-77	180	0	1	-77
IPE 100	1279	1280	Carichi termici	Termico	$\Delta XY=15^{\circ}C, \Delta XZ=15^{\circ}C$							
IPE 100	1279	1280	Pressione dinamica treno inizio	PolL	0	0	-0	15	180	0	-0	15
IPE 100	1279	1280	Pressione dinamica treno inizio	PolL	0	0	-0	15	180	0	-0	15
Trave 403												
IPE 100	1280	1281	Peso Proprio	UnifG	0	0	0	8	180	0	0	8
IPE 100	1280	1281	QP Solai	PolG	0	0	0	7	180	0	0	7
IPE 100	1280	1281	QFissi Solai	PolG	0	0	0	67	180	0	0	67
IPE 100	1280	1281	QV Solai	PolG	0	0	0	67	180	0	0	67
IPE 100	1280	1281	Neve	PolL	0	0	-1	54	180	0	-1	54
IPE 100	1280	1281	Neve	PolL	0	0	-1	54	180	0	-1	54
IPE 100	1280	1281	Vento +Y	PolL	0	0	-1	77	180	0	-1	77

Sezione	Ni	Nf	Cond.	Tipo c.	Xi	QXi	QYi	QZi	Xf	QXf	QYf	QZf
IPE 100	1280	1281	Vento +Y	PolL	0	0	-1	77	180	0	-1	77
IPE 100	1280	1281	Vento -Y	PolL	0	0	1	-77	180	0	1	-77
IPE 100	1280	1281	Vento -Y	PolL	0	0	1	-77	180	0	1	-77
IPE 100	1280	1281	Carichi termici	Termico	$\Delta XY=15^{\circ}C, \Delta XZ=15^{\circ}C$							
IPE 100	1280	1281	Pressione dinamica treno inizio	PolL	0	0	0	-15	180	0	0	-15
IPE 100	1280	1281	Pressione dinamica treno inizio	PolL	0	0	0	-15	180	0	0	-15
Trave 404												
IPE 100	1281	1282	Peso Proprio	UnifG	0	0	0	8	180	0	0	8
IPE 100	1281	1282	QP Solai	PolG	0	0	0	7	180	0	0	7
IPE 100	1281	1282	QFissi Solai	PolG	0	0	0	67	180	0	0	67
IPE 100	1281	1282	QV Solai	PolG	0	0	0	67	180	0	0	67
IPE 100	1281	1282	Neve	PolL	0	0	-1	54	180	0	-1	54
IPE 100	1281	1282	Neve	PolL	0	0	-1	54	180	0	-1	54
IPE 100	1281	1282	Vento +Y	PolL	0	0	-1	77	180	0	-1	77
IPE 100	1281	1282	Vento +Y	PolL	0	0	-1	77	180	0	-1	77
IPE 100	1281	1282	Vento -Y	PolL	0	0	1	-77	180	0	1	-77
IPE 100	1281	1282	Vento -Y	PolL	0	0	1	-77	180	0	1	-77
IPE 100	1281	1282	Carichi termici	Termico	$\Delta XY=15^{\circ}C, \Delta XZ=15^{\circ}C$							
IPE 100	1281	1282	Pressione dinamica treno inizio	PolL	0	0	0	-15	180	0	0	-15
IPE 100	1281	1282	Pressione dinamica treno inizio	PolL	0	0	0	-15	180	0	0	-15
Trave 405												
IPE 100	1282	1283	Peso Proprio	UnifG	0	0	0	8	180	0	0	8
IPE 100	1282	1283	QP Solai	PolG	0	0	0	7	180	0	0	7
IPE 100	1282	1283	QFissi Solai	PolG	0	0	0	67	180	0	0	67
IPE 100	1282	1283	QV Solai	PolG	0	0	0	67	180	0	0	67
IPE 100	1282	1283	Neve	PolL	0	0	-1	54	180	0	-1	54
IPE 100	1282	1283	Neve	PolL	0	0	-1	54	180	0	-1	54
IPE 100	1282	1283	Vento +Y	PolL	0	0	-1	77	180	0	-1	77
IPE 100	1282	1283	Vento +Y	PolL	0	0	-1	77	180	0	-1	77
IPE 100	1282	1283	Vento -Y	PolL	0	0	1	-77	180	0	1	-77
IPE 100	1282	1283	Vento -Y	PolL	0	0	1	-77	180	0	1	-77
IPE 100	1282	1283	Carichi termici	Termico	$\Delta XY=15^{\circ}C, \Delta XZ=15^{\circ}C$							
IPE 100	1282	1283	Pressione dinamica treno inizio	PolL	0	0	0	-15	180	0	0	-15
IPE 100	1282	1283	Pressione dinamica treno inizio	PolL	0	0	0	-15	180	0	0	-15
Trave 406												
IPE 100	1283	1284	Peso Proprio	UnifG	0	0	0	8	180	0	0	8
IPE 100	1283	1284	QP Solai	PolG	0	0	0	7	180	0	0	7
IPE 100	1283	1284	QFissi Solai	PolG	0	0	0	67	180	0	0	67
IPE 100	1283	1284	QV Solai	PolG	0	0	0	67	180	0	0	67
IPE 100	1283	1284	Neve	PolL	0	0	-1	54	180	0	-1	54
IPE 100	1283	1284	Neve	PolL	0	0	-1	54	180	0	-1	54
IPE 100	1283	1284	Vento +Y	PolL	0	0	-1	77	180	0	-1	77
IPE 100	1283	1284	Vento +Y	PolL	0	0	-1	77	180	0	-1	77
IPE 100	1283	1284	Vento -Y	PolL	0	0	1	-77	180	0	1	-77
IPE 100	1283	1284	Vento -Y	PolL	0	0	1	-77	180	0	1	-77
IPE 100	1283	1284	Carichi termici	Termico	$\Delta XY=15^{\circ}C, \Delta XZ=15^{\circ}C$							
Trave 407												
IPE 100	1284	1285	Peso Proprio	UnifG	0	0	0	8	180	0	0	8
IPE 100	1284	1285	QP Solai	PolG	0	0	0	7	180	0	0	7
IPE 100	1284	1285	QFissi Solai	PolG	0	0	0	67	180	0	0	67
IPE 100	1284	1285	QV Solai	PolG	0	0	0	67	180	0	0	67
IPE 100	1284	1285	Neve	PolL	0	0	-1	54	180	0	-1	54
IPE 100	1284	1285	Neve	PolL	0	0	-1	54	180	0	-1	54
IPE 100	1284	1285	Vento +Y	PolL	0	0	-1	77	180	0	-1	77
IPE 100	1284	1285	Vento +Y	PolL	0	0	-1	77	180	0	-1	77
IPE 100	1284	1285	Vento -Y	PolL	0	0	1	-77	180	0	1	-77
IPE 100	1284	1285	Vento -Y	PolL	0	0	1	-77	180	0	1	-77
IPE 100	1284	1285	Carichi termici	Termico	$\Delta XY=15^{\circ}C, \Delta XZ=15^{\circ}C$							
Trave 408												
IPE 100	1285	1286	Peso Proprio	UnifG	0	0	0	8	180	0	0	8
IPE 100	1285	1286	QP Solai	PolG	0	0	0	7	180	0	0	7
IPE 100	1285	1286	QFissi Solai	PolG	0	0	0	67	180	0	0	67
IPE 100	1285	1286	QV Solai	PolG	0	0	0	67	180	0	0	67
IPE 100	1285	1286	Neve	PolL	0	0	-1	54	180	0	-1	54
IPE 100	1285	1286	Neve	PolL	0	0	-1	54	180	0	-1	54
IPE 100	1285	1286	Vento +Y	PolL	0	0	-1	77	180	0	-1	77
IPE 100	1285	1286	Vento +Y	PolL	0	0	-1	77	180	0	-1	77
IPE 100	1285	1286	Vento -Y	PolL	0	0	1	-77	180	0	1	-77
IPE 100	1285	1286	Vento -Y	PolL	0	0	1	-77	180	0	1	-77
IPE 100	1285	1286	Carichi termici	Termico	$\Delta XY=15^{\circ}C, \Delta XZ=15^{\circ}C$							

Sezione	Ni	Nf	Cond.	Tipo c.	Xi	QXi	QYi	QZi	Xf	QXf	QYf	QZf
Trave 409												
IPE 100	1286	1287	Peso Proprio	UnifG	0	0	0	8	180	0	0	8
IPE 100	1286	1287	QP Solai	PolG	0	0	0	7	180	0	0	7
IPE 100	1286	1287	QFissi Solai	PolG	0	0	0	67	180	0	0	67
IPE 100	1286	1287	QV Solai	PolG	0	0	0	67	180	0	0	67
IPE 100	1286	1287	Neve	PolL	0	0	-1	54	180	0	-1	54
IPE 100	1286	1287	Neve	PolL	0	0	-1	54	180	0	-1	54
IPE 100	1286	1287	Vento +Y	PolL	0	0	-1	77	180	0	-1	77
IPE 100	1286	1287	Vento +Y	PolL	0	0	-1	77	180	0	-1	77
IPE 100	1286	1287	Vento -Y	PolL	0	0	1	-77	180	0	1	-77
IPE 100	1286	1287	Vento -Y	PolL	0	0	1	-77	180	0	1	-77
IPE 100	1286	1287	Carichi termici	Termico	$\Delta XY=15^{\circ}C, \Delta XZ=15^{\circ}C$							
Trave 410												
IPE 100	1287	1288	Peso Proprio	UnifG	0	0	0	8	180	0	0	8
IPE 100	1287	1288	QP Solai	PolG	0	0	0	7	180	0	0	7
IPE 100	1287	1288	QFissi Solai	PolG	0	0	0	67	180	0	0	67
IPE 100	1287	1288	QV Solai	PolG	0	0	0	67	180	0	0	67
IPE 100	1287	1288	Neve	PolL	0	0	-1	54	180	0	-1	54
IPE 100	1287	1288	Neve	PolL	0	0	-1	54	180	0	-1	54
IPE 100	1287	1288	Vento +Y	PolL	0	0	-1	77	180	0	-1	77
IPE 100	1287	1288	Vento +Y	PolL	0	0	-1	77	180	0	-1	77
IPE 100	1287	1288	Vento -Y	PolL	0	0	1	-77	180	0	1	-77
IPE 100	1287	1288	Vento -Y	PolL	0	0	1	-77	180	0	1	-77
IPE 100	1287	1288	Carichi termici	Termico	$\Delta XY=15^{\circ}C, \Delta XZ=15^{\circ}C$							
Trave 411												
IPE 100	1288	1289	Peso Proprio	UnifG	0	0	0	8	180	0	0	8
IPE 100	1288	1289	QP Solai	PolG	0	0	0	7	180	0	0	7
IPE 100	1288	1289	QFissi Solai	PolG	0	0	0	67	180	0	0	67
IPE 100	1288	1289	QV Solai	PolG	0	0	0	67	180	0	0	67
IPE 100	1288	1289	Neve	PolL	0	0	-1	54	180	0	-1	54
IPE 100	1288	1289	Neve	PolL	0	0	-1	54	180	0	-1	54
IPE 100	1288	1289	Vento +Y	PolL	0	0	-1	77	180	0	-1	77
IPE 100	1288	1289	Vento +Y	PolL	0	0	-1	77	180	0	-1	77
IPE 100	1288	1289	Vento -Y	PolL	0	0	1	-77	180	0	1	-77
IPE 100	1288	1289	Vento -Y	PolL	0	0	1	-77	180	0	1	-77
IPE 100	1288	1289	Carichi termici	Termico	$\Delta XY=15^{\circ}C, \Delta XZ=15^{\circ}C$							
Trave 412												
IPE 100	1289	1290	Peso Proprio	UnifG	0	0	0	8	180	0	0	8
IPE 100	1289	1290	QP Solai	PolG	0	0	0	7	180	0	0	7
IPE 100	1289	1290	QFissi Solai	PolG	0	0	0	67	180	0	0	67
IPE 100	1289	1290	QV Solai	PolG	0	0	0	67	180	0	0	67
IPE 100	1289	1290	Neve	PolL	0	0	-1	54	180	0	-1	54
IPE 100	1289	1290	Neve	PolL	0	0	-1	54	180	0	-1	54
IPE 100	1289	1290	Vento +Y	PolL	0	0	-1	77	180	0	-1	77
IPE 100	1289	1290	Vento +Y	PolL	0	0	-1	77	180	0	-1	77
IPE 100	1289	1290	Vento -Y	PolL	0	0	1	-77	180	0	1	-77
IPE 100	1289	1290	Vento -Y	PolL	0	0	1	-77	180	0	1	-77
IPE 100	1289	1290	Carichi termici	Termico	$\Delta XY=15^{\circ}C, \Delta XZ=15^{\circ}C$							
Trave 413												
IPE 100	1290	1291	Peso Proprio	UnifG	0	0	0	8	180	0	0	8
IPE 100	1290	1291	QP Solai	PolG	0	0	0	7	180	0	0	7
IPE 100	1290	1291	QFissi Solai	PolG	0	0	0	67	180	0	0	67
IPE 100	1290	1291	QV Solai	PolG	0	0	0	67	180	0	0	67
IPE 100	1290	1291	Neve	PolL	0	0	-1	54	180	0	-1	54
IPE 100	1290	1291	Neve	PolL	0	0	-1	54	180	0	-1	54
IPE 100	1290	1291	Vento +Y	PolL	0	0	-1	77	180	0	-1	77
IPE 100	1290	1291	Vento +Y	PolL	0	0	-1	77	180	0	-1	77
IPE 100	1290	1291	Vento -Y	PolL	0	0	1	-77	180	0	1	-77
IPE 100	1290	1291	Vento -Y	PolL	0	0	1	-77	180	0	1	-77
IPE 100	1290	1291	Carichi termici	Termico	$\Delta XY=15^{\circ}C, \Delta XZ=15^{\circ}C$							
Trave 414												
IPE 100	1291	1292	Peso Proprio	UnifG	0	0	0	8	180	0	0	8
IPE 100	1291	1292	QP Solai	PolG	0	0	0	7	180	0	0	7
IPE 100	1291	1292	QFissi Solai	PolG	0	0	0	67	180	0	0	67
IPE 100	1291	1292	QV Solai	PolG	0	0	0	67	180	0	0	67
IPE 100	1291	1292	Neve	PolL	0	0	-1	54	180	0	-1	54
IPE 100	1291	1292	Neve	PolL	0	0	-1	54	180	0	-1	54
IPE 100	1291	1292	Vento +Y	PolL	0	0	-1	77	180	0	-1	77
IPE 100	1291	1292	Vento +Y	PolL	0	0	-1	77	180	0	-1	77
IPE 100	1291	1292	Vento -Y	PolL	0	0	1	-77	180	0	1	-77
IPE 100	1291	1292	Vento -Y	PolL	0	0	1	-77	180	0	1	-77
IPE 100	1291	1292	Carichi termici	Termico	$\Delta XY=15^{\circ}C, \Delta XZ=15^{\circ}C$							
Trave 415												
IPE 100	1292	1293	Peso Proprio	UnifG	0	0	0	8	180	0	0	8
IPE 100	1292	1293	QP Solai	PolG	0	0	0	7	180	0	0	7

Sezione	Ni	Nf	Cond.	Tipo c.	Xi	QXi	QYi	QZi	Xf	QXf	QYf	QZf
IPE 100	1292	1293	QFissi Solai	PolG	0	0	0	67	180	0	0	67
IPE 100	1292	1293	QV Solai	PolG	0	0	0	67	180	0	0	67
IPE 100	1292	1293	Neve	PolL	0	0	-1	54	180	0	-1	54
IPE 100	1292	1293	Neve	PolL	0	0	-1	54	180	0	-1	54
IPE 100	1292	1293	Vento +Y	PolL	0	0	-1	77	180	0	-1	77
IPE 100	1292	1293	Vento +Y	PolL	0	0	-1	77	180	0	-1	77
IPE 100	1292	1293	Vento -Y	PolL	0	0	1	-77	180	0	1	-77
IPE 100	1292	1293	Vento -Y	PolL	0	0	1	-77	180	0	1	-77
IPE 100	1292	1293	Carichi termici	Termico	$\Delta XY=15^{\circ}C, \Delta XZ=15^{\circ}C$							
Trave 416												
IPE 100	1293	1294	Peso Proprio	UnifG	0	0	0	8	180	0	0	8
IPE 100	1293	1294	QP Solai	PolG	0	0	0	7	180	0	0	7
IPE 100	1293	1294	QFissi Solai	PolG	0	0	0	67	180	0	0	67
IPE 100	1293	1294	QV Solai	PolG	0	0	0	67	180	0	0	67
IPE 100	1293	1294	Neve	PolL	0	0	-1	54	180	0	-1	54
IPE 100	1293	1294	Neve	PolL	0	0	-1	54	180	0	-1	54
IPE 100	1293	1294	Vento +Y	PolL	0	0	-1	77	180	0	-1	77
IPE 100	1293	1294	Vento +Y	PolL	0	0	-1	77	180	0	-1	77
IPE 100	1293	1294	Vento -Y	PolL	0	0	1	-77	180	0	1	-77
IPE 100	1293	1294	Vento -Y	PolL	0	0	1	-77	180	0	1	-77
IPE 100	1293	1294	Carichi termici	Termico	$\Delta XY=15^{\circ}C, \Delta XZ=15^{\circ}C$							
Trave 417												
IPE 100	1294	1295	Peso Proprio	UnifG	0	0	0	8	180	0	0	8
IPE 100	1294	1295	QP Solai	PolG	0	0	0	7	180	0	0	7
IPE 100	1294	1295	QFissi Solai	PolG	0	0	0	67	180	0	0	67
IPE 100	1294	1295	QV Solai	PolG	0	0	0	67	180	0	0	67
IPE 100	1294	1295	Neve	PolL	0	0	-1	54	180	0	-1	54
IPE 100	1294	1295	Neve	PolL	0	0	-1	54	180	0	-1	54
IPE 100	1294	1295	Vento +Y	PolL	0	0	-1	77	180	0	-1	77
IPE 100	1294	1295	Vento +Y	PolL	0	0	-1	77	180	0	-1	77
IPE 100	1294	1295	Vento -Y	PolL	0	0	1	-77	180	0	1	-77
IPE 100	1294	1295	Vento -Y	PolL	0	0	1	-77	180	0	1	-77
IPE 100	1294	1295	Carichi termici	Termico	$\Delta XY=15^{\circ}C, \Delta XZ=15^{\circ}C$							
Trave 418												
IPE 100	1295	1296	Peso Proprio	UnifG	0	0	0	8	180	0	0	8
IPE 100	1295	1296	QP Solai	PolG	0	0	0	7	180	0	0	7
IPE 100	1295	1296	QFissi Solai	PolG	0	0	0	67	180	0	0	67
IPE 100	1295	1296	QV Solai	PolG	0	0	0	67	180	0	0	67
IPE 100	1295	1296	Neve	PolL	0	0	-1	54	180	0	-1	54
IPE 100	1295	1296	Neve	PolL	0	0	-1	54	180	0	-1	54
IPE 100	1295	1296	Vento +Y	PolL	0	0	-1	77	180	0	-1	77
IPE 100	1295	1296	Vento +Y	PolL	0	0	-1	77	180	0	-1	77
IPE 100	1295	1296	Vento -Y	PolL	0	0	1	-77	180	0	1	-77
IPE 100	1295	1296	Vento -Y	PolL	0	0	1	-77	180	0	1	-77
IPE 100	1295	1296	Carichi termici	Termico	$\Delta XY=15^{\circ}C, \Delta XZ=15^{\circ}C$							
Trave 419												
IPE 100	1296	1297	Peso Proprio	UnifG	0	0	0	8	180	0	0	8
IPE 100	1296	1297	QP Solai	PolG	0	0	0	7	180	0	0	7
IPE 100	1296	1297	QFissi Solai	PolG	0	0	0	67	180	0	0	67
IPE 100	1296	1297	QV Solai	PolG	0	0	0	67	180	0	0	67
IPE 100	1296	1297	Neve	PolL	0	0	-1	54	180	0	-1	54
IPE 100	1296	1297	Neve	PolL	0	0	-1	54	180	0	-1	54
IPE 100	1296	1297	Vento +Y	PolL	0	0	-1	77	180	0	-1	77
IPE 100	1296	1297	Vento +Y	PolL	0	0	-1	77	180	0	-1	77
IPE 100	1296	1297	Vento -Y	PolL	0	0	1	-77	180	0	1	-77
IPE 100	1296	1297	Vento -Y	PolL	0	0	1	-77	180	0	1	-77
IPE 100	1296	1297	Carichi termici	Termico	$\Delta XY=15^{\circ}C, \Delta XZ=15^{\circ}C$							
Trave 420												
IPE 100	1297	1298	Peso Proprio	UnifG	0	0	0	8	180	0	0	8
IPE 100	1297	1298	QP Solai	PolG	0	0	0	7	180	0	0	7
IPE 100	1297	1298	QFissi Solai	PolG	0	0	0	67	180	0	0	67
IPE 100	1297	1298	QV Solai	PolG	0	0	0	67	180	0	0	67
IPE 100	1297	1298	Neve	PolL	0	0	-1	54	180	0	-1	54
IPE 100	1297	1298	Neve	PolL	0	0	-1	54	180	0	-1	54
IPE 100	1297	1298	Vento +Y	PolL	0	0	-1	77	180	0	-1	77
IPE 100	1297	1298	Vento +Y	PolL	0	0	-1	77	180	0	-1	77
IPE 100	1297	1298	Vento -Y	PolL	0	0	1	-77	180	0	1	-77
IPE 100	1297	1298	Vento -Y	PolL	0	0	1	-77	180	0	1	-77
IPE 100	1297	1298	Carichi termici	Termico	$\Delta XY=15^{\circ}C, \Delta XZ=15^{\circ}C$							
Trave 421												
IPE 100	1298	1299	Peso Proprio	UnifG	0	0	0	8	180	0	0	8
IPE 100	1298	1299	QP Solai	PolG	0	0	0	7	180	0	0	7
IPE 100	1298	1299	QFissi Solai	PolG	0	0	0	67	180	0	0	67
IPE 100	1298	1299	QV Solai	PolG	0	0	0	67	180	0	0	67
IPE 100	1298	1299	Neve	PolL	0	0	-1	54	180	0	-1	54

Sezione	Ni	Nf	Cond.	Tipo c.	Xi	QXi	QYi	QZi	Xf	QXf	QYf	QZf
IPE 100	1298	1299	Neve	PolL	0	0	-1	54	180	0	-1	54
IPE 100	1298	1299	Vento +Y	PolL	0	0	-1	77	180	0	-1	77
IPE 100	1298	1299	Vento +Y	PolL	0	0	-1	77	180	0	-1	77
IPE 100	1298	1299	Vento -Y	PolL	0	0	1	-77	180	0	1	-77
IPE 100	1298	1299	Vento -Y	PolL	0	0	1	-77	180	0	1	-77
IPE 100	1298	1299	Carichi termici	Termico	$\Delta XY=15^{\circ}C, \Delta XZ=15^{\circ}C$							
Trave 422												
IPE 100	1299	1300	Peso Proprio	UnifG	0	0	0	8	180	0	0	8
IPE 100	1299	1300	QP Solai	PolG	0	0	0	7	180	0	0	7
IPE 100	1299	1300	QFissi Solai	PolG	0	0	0	67	180	0	0	67
IPE 100	1299	1300	QV Solai	PolG	0	0	0	67	180	0	0	67
IPE 100	1299	1300	Neve	PolL	0	0	-1	54	180	0	-1	54
IPE 100	1299	1300	Neve	PolL	0	0	-1	54	180	0	-1	54
IPE 100	1299	1300	Vento +Y	PolL	0	0	-1	77	180	0	-1	77
IPE 100	1299	1300	Vento +Y	PolL	0	0	-1	77	180	0	-1	77
IPE 100	1299	1300	Vento -Y	PolL	0	0	1	-77	180	0	1	-77
IPE 100	1299	1300	Vento -Y	PolL	0	0	1	-77	180	0	1	-77
IPE 100	1299	1300	Carichi termici	Termico	$\Delta XY=15^{\circ}C, \Delta XZ=15^{\circ}C$							
Trave 423												
IPE 100	1300	1301	Peso Proprio	UnifG	0	0	0	8	180	0	0	8
IPE 100	1300	1301	QP Solai	PolG	0	0	0	7	180	0	0	7
IPE 100	1300	1301	QFissi Solai	PolG	0	0	0	67	180	0	0	67
IPE 100	1300	1301	QV Solai	PolG	0	0	0	67	180	0	0	67
IPE 100	1300	1301	Neve	PolL	0	0	-1	54	180	0	-1	54
IPE 100	1300	1301	Neve	PolL	0	0	-1	54	180	0	-1	54
IPE 100	1300	1301	Vento +Y	PolL	0	0	-1	77	180	0	-1	77
IPE 100	1300	1301	Vento +Y	PolL	0	0	-1	77	180	0	-1	77
IPE 100	1300	1301	Vento -Y	PolL	0	0	1	-77	180	0	1	-77
IPE 100	1300	1301	Vento -Y	PolL	0	0	1	-77	180	0	1	-77
IPE 100	1300	1301	Carichi termici	Termico	$\Delta XY=15^{\circ}C, \Delta XZ=15^{\circ}C$							
Trave 424												
IPE 100	1301	1302	Peso Proprio	UnifG	0	0	0	8	180	0	0	8
IPE 100	1301	1302	QP Solai	PolG	0	0	0	7	180	0	0	7
IPE 100	1301	1302	QFissi Solai	PolG	0	0	0	67	180	0	0	67
IPE 100	1301	1302	QV Solai	PolG	0	0	0	67	180	0	0	67
IPE 100	1301	1302	Neve	PolL	0	0	-1	54	180	0	-1	54
IPE 100	1301	1302	Neve	PolL	0	0	-1	54	180	0	-1	54
IPE 100	1301	1302	Vento +Y	PolL	0	0	-1	77	180	0	-1	77
IPE 100	1301	1302	Vento +Y	PolL	0	0	-1	77	180	0	-1	77
IPE 100	1301	1302	Vento -Y	PolL	0	0	1	-77	180	0	1	-77
IPE 100	1301	1302	Vento -Y	PolL	0	0	1	-77	180	0	1	-77
IPE 100	1301	1302	Carichi termici	Termico	$\Delta XY=15^{\circ}C, \Delta XZ=15^{\circ}C$							
Trave 425												
IPE 100	1302	1303	Peso Proprio	UnifG	0	0	0	8	180	0	0	8
IPE 100	1302	1303	QP Solai	PolG	0	0	0	7	180	0	0	7
IPE 100	1302	1303	QFissi Solai	PolG	0	0	0	67	180	0	0	67
IPE 100	1302	1303	QV Solai	PolG	0	0	0	67	180	0	0	67
IPE 100	1302	1303	Neve	PolL	0	0	-1	54	180	0	-1	54
IPE 100	1302	1303	Neve	PolL	0	0	-1	54	180	0	-1	54
IPE 100	1302	1303	Vento +Y	PolL	0	0	-1	77	180	0	-1	77
IPE 100	1302	1303	Vento +Y	PolL	0	0	-1	77	180	0	-1	77
IPE 100	1302	1303	Vento -Y	PolL	0	0	1	-77	180	0	1	-77
IPE 100	1302	1303	Vento -Y	PolL	0	0	1	-77	180	0	1	-77
IPE 100	1302	1303	Carichi termici	Termico	$\Delta XY=15^{\circ}C, \Delta XZ=15^{\circ}C$							
Trave 426												
IPE 100	1303	1304	Peso Proprio	UnifG	0	0	0	8	180	0	0	8
IPE 100	1303	1304	QP Solai	PolG	0	0	0	7	180	0	0	7
IPE 100	1303	1304	QFissi Solai	PolG	0	0	0	67	180	0	0	67
IPE 100	1303	1304	QV Solai	PolG	0	0	0	67	180	0	0	67
IPE 100	1303	1304	Neve	PolL	0	0	-1	54	180	0	-1	54
IPE 100	1303	1304	Neve	PolL	0	0	-1	54	180	0	-1	54
IPE 100	1303	1304	Vento +Y	PolL	0	0	-1	77	180	0	-1	77
IPE 100	1303	1304	Vento +Y	PolL	0	0	-1	77	180	0	-1	77
IPE 100	1303	1304	Vento -Y	PolL	0	0	1	-77	180	0	1	-77
IPE 100	1303	1304	Vento -Y	PolL	0	0	1	-77	180	0	1	-77
IPE 100	1303	1304	Carichi termici	Termico	$\Delta XY=15^{\circ}C, \Delta XZ=15^{\circ}C$							
Trave 427												
IPE 100	1304	1305	Peso Proprio	UnifG	0	0	0	8	180	0	0	8
IPE 100	1304	1305	QP Solai	PolG	0	0	0	7	180	0	0	7
IPE 100	1304	1305	QFissi Solai	PolG	0	0	0	67	180	0	0	67
IPE 100	1304	1305	QV Solai	PolG	0	0	0	67	180	0	0	67
IPE 100	1304	1305	Neve	PolL	0	0	-1	54	180	0	-1	54
IPE 100	1304	1305	Neve	PolL	0	0	-1	54	180	0	-1	54
IPE 100	1304	1305	Vento +Y	PolL	0	0	-1	77	180	0	-1	77
IPE 100	1304	1305	Vento +Y	PolL	0	0	-1	77	180	0	-1	77

Sezione	Ni	Nf	Cond.	Tipo c.	Xi	QXi	QYi	QZi	Xf	QXf	QYf	QZf
IPE 100	1304	1305	Vento -Y	PolL	0	0	1	-77	180	0	1	-77
IPE 100	1304	1305	Vento -Y	PolL	0	0	1	-77	180	0	1	-77
IPE 100	1304	1305	Carichi termici	Termico	$\Delta XY=15^{\circ}C, \Delta XZ=15^{\circ}C$							
Trave 428												
IPE 100	1305	1306	Peso Proprio	UnifG	0	0	0	8	180	0	0	8
IPE 100	1305	1306	QP Solai	PolG	0	0	0	7	180	0	0	7
IPE 100	1305	1306	QFissi Solai	PolG	0	0	0	67	180	0	0	67
IPE 100	1305	1306	QV Solai	PolG	0	0	0	67	180	0	0	67
IPE 100	1305	1306	Neve	PolL	0	0	-1	54	180	0	-1	54
IPE 100	1305	1306	Neve	PolL	0	0	-1	54	180	0	-1	54
IPE 100	1305	1306	Vento +Y	PolL	0	0	-1	77	180	0	-1	77
IPE 100	1305	1306	Vento +Y	PolL	0	0	-1	77	180	0	-1	77
IPE 100	1305	1306	Vento -Y	PolL	0	0	1	-77	180	0	1	-77
IPE 100	1305	1306	Vento -Y	PolL	0	0	1	-77	180	0	1	-77
IPE 100	1305	1306	Carichi termici	Termico	$\Delta XY=15^{\circ}C, \Delta XZ=15^{\circ}C$							
Trave 429												
IPE 100	1306	1307	Peso Proprio	UnifG	0	0	0	8	180	0	0	8
IPE 100	1306	1307	QP Solai	PolG	0	0	0	7	180	0	0	7
IPE 100	1306	1307	QFissi Solai	PolG	0	0	0	67	180	0	0	67
IPE 100	1306	1307	QV Solai	PolG	0	0	0	67	180	0	0	67
IPE 100	1306	1307	Neve	PolL	0	0	-1	54	180	0	-1	54
IPE 100	1306	1307	Neve	PolL	0	0	-1	54	180	0	-1	54
IPE 100	1306	1307	Vento +Y	PolL	0	0	-1	77	180	0	-1	77
IPE 100	1306	1307	Vento +Y	PolL	0	0	-1	77	180	0	-1	77
IPE 100	1306	1307	Vento -Y	PolL	0	0	1	-77	180	0	1	-77
IPE 100	1306	1307	Vento -Y	PolL	0	0	1	-77	180	0	1	-77
IPE 100	1306	1307	Carichi termici	Termico	$\Delta XY=15^{\circ}C, \Delta XZ=15^{\circ}C$							
Trave 430												
IPE 100	1307	1308	Peso Proprio	UnifG	0	0	0	8	180	0	0	8
IPE 100	1307	1308	QP Solai	PolG	0	0	0	7	180	0	0	7
IPE 100	1307	1308	QFissi Solai	PolG	0	0	0	67	180	0	0	67
IPE 100	1307	1308	QV Solai	PolG	0	0	0	67	180	0	0	67
IPE 100	1307	1308	Neve	PolL	0	0	-1	54	180	0	-1	54
IPE 100	1307	1308	Neve	PolL	0	0	-1	54	180	0	-1	54
IPE 100	1307	1308	Vento +Y	PolL	0	0	-1	77	180	0	-1	77
IPE 100	1307	1308	Vento +Y	PolL	0	0	-1	77	180	0	-1	77
IPE 100	1307	1308	Vento -Y	PolL	0	0	1	-77	180	0	1	-77
IPE 100	1307	1308	Vento -Y	PolL	0	0	1	-77	180	0	1	-77
IPE 100	1307	1308	Carichi termici	Termico	$\Delta XY=15^{\circ}C, \Delta XZ=15^{\circ}C$							
Trave 431												
IPE 100	1308	1309	Peso Proprio	UnifG	0	0	0	8	180	0	0	8
IPE 100	1308	1309	QP Solai	PolG	0	0	0	7	180	0	0	7
IPE 100	1308	1309	QFissi Solai	PolG	0	0	0	67	180	0	0	67
IPE 100	1308	1309	QV Solai	PolG	0	0	0	67	180	0	0	67
IPE 100	1308	1309	Neve	PolL	0	0	-1	54	180	0	-1	54
IPE 100	1308	1309	Neve	PolL	0	0	-1	54	180	0	-1	54
IPE 100	1308	1309	Vento +Y	PolL	0	0	-1	77	180	0	-1	77
IPE 100	1308	1309	Vento +Y	PolL	0	0	-1	77	180	0	-1	77
IPE 100	1308	1309	Vento -Y	PolL	0	0	1	-77	180	0	1	-77
IPE 100	1308	1309	Vento -Y	PolL	0	0	1	-77	180	0	1	-77
IPE 100	1308	1309	Carichi termici	Termico	$\Delta XY=15^{\circ}C, \Delta XZ=15^{\circ}C$							
Trave 432												
IPE 100	1309	1310	Peso Proprio	UnifG	0	0	0	8	180	0	0	8
IPE 100	1309	1310	QP Solai	PolG	0	0	0	7	180	0	0	7
IPE 100	1309	1310	QFissi Solai	PolG	0	0	0	67	180	0	0	67
IPE 100	1309	1310	QV Solai	PolG	0	0	0	67	180	0	0	67
IPE 100	1309	1310	Neve	PolL	0	0	-1	54	180	0	-1	54
IPE 100	1309	1310	Neve	PolL	0	0	-1	54	180	0	-1	54
IPE 100	1309	1310	Vento +Y	PolL	0	0	-1	77	180	0	-1	77
IPE 100	1309	1310	Vento +Y	PolL	0	0	-1	77	180	0	-1	77
IPE 100	1309	1310	Vento -Y	PolL	0	0	1	-77	180	0	1	-77
IPE 100	1309	1310	Vento -Y	PolL	0	0	1	-77	180	0	1	-77
IPE 100	1309	1310	Carichi termici	Termico	$\Delta XY=15^{\circ}C, \Delta XZ=15^{\circ}C$							
Trave 433												
IPE 100	1310	1311	Peso Proprio	UnifG	0	0	0	8	180	0	0	8
IPE 100	1310	1311	QP Solai	PolG	0	0	0	7	180	0	0	7
IPE 100	1310	1311	QFissi Solai	PolG	0	0	0	67	180	0	0	67
IPE 100	1310	1311	QV Solai	PolG	0	0	0	67	180	0	0	67
IPE 100	1310	1311	Neve	PolL	0	0	-1	54	180	0	-1	54
IPE 100	1310	1311	Neve	PolL	0	0	-1	54	180	0	-1	54
IPE 100	1310	1311	Vento +Y	PolL	0	0	-1	77	180	0	-1	77
IPE 100	1310	1311	Vento +Y	PolL	0	0	-1	77	180	0	-1	77
IPE 100	1310	1311	Vento -Y	PolL	0	0	1	-77	180	0	1	-77
IPE 100	1310	1311	Vento -Y	PolL	0	0	1	-77	180	0	1	-77
IPE 100	1310	1311	Carichi termici	Termico	$\Delta XY=15^{\circ}C, \Delta XZ=15^{\circ}C$							

Sezione	Ni	Nf	Cond.	Tipo c.	Xi	QXi	QYi	QZi	Xf	QXf	QYf	QZf
Trave 434												
IPE 100	1311	1312	Peso Proprio	UnifG	0	0	0	8	180	0	0	8
IPE 100	1311	1312	QP Solai	PolG	0	0	0	7	180	0	0	7
IPE 100	1311	1312	QFissi Solai	PolG	0	0	0	67	180	0	0	67
IPE 100	1311	1312	QV Solai	PolG	0	0	0	67	180	0	0	67
IPE 100	1311	1312	Neve	PolL	0	0	-1	54	180	0	-1	54
IPE 100	1311	1312	Neve	PolL	0	0	-1	54	180	0	-1	54
IPE 100	1311	1312	Vento +Y	PolL	0	0	-1	77	180	0	-1	77
IPE 100	1311	1312	Vento +Y	PolL	0	0	-1	77	180	0	-1	77
IPE 100	1311	1312	Vento -Y	PolL	0	0	1	-77	180	0	1	-77
IPE 100	1311	1312	Vento -Y	PolL	0	0	1	-77	180	0	1	-77
IPE 100	1311	1312	Carichi termici	Termico	$\Delta XY=15^{\circ}C, \Delta XZ=15^{\circ}C$							
Trave 435												
IPE 100	1312	1313	Peso Proprio	UnifG	0	0	0	8	180	0	0	8
IPE 100	1312	1313	QP Solai	PolG	0	0	0	7	180	0	0	7
IPE 100	1312	1313	QFissi Solai	PolG	0	0	0	67	180	0	0	67
IPE 100	1312	1313	QV Solai	PolG	0	0	0	67	180	0	0	67
IPE 100	1312	1313	Neve	PolL	0	0	-1	54	180	0	-1	54
IPE 100	1312	1313	Neve	PolL	0	0	-1	54	180	0	-1	54
IPE 100	1312	1313	Vento +Y	PolL	0	0	-1	77	180	0	-1	77
IPE 100	1312	1313	Vento +Y	PolL	0	0	-1	77	180	0	-1	77
IPE 100	1312	1313	Vento -Y	PolL	0	0	1	-77	180	0	1	-77
IPE 100	1312	1313	Vento -Y	PolL	0	0	1	-77	180	0	1	-77
IPE 100	1312	1313	Carichi termici	Termico	$\Delta XY=15^{\circ}C, \Delta XZ=15^{\circ}C$							
Trave 436												
IPE 100	1313	1314	Peso Proprio	UnifG	0	0	0	8	180	0	0	8
IPE 100	1313	1314	QP Solai	PolG	0	0	0	7	180	0	0	7
IPE 100	1313	1314	QFissi Solai	PolG	0	0	0	67	180	0	0	67
IPE 100	1313	1314	QV Solai	PolG	0	0	0	67	180	0	0	67
IPE 100	1313	1314	Neve	PolL	0	0	-1	54	180	0	-1	54
IPE 100	1313	1314	Neve	PolL	0	0	-1	54	180	0	-1	54
IPE 100	1313	1314	Vento +Y	PolL	0	0	-1	77	180	0	-1	77
IPE 100	1313	1314	Vento +Y	PolL	0	0	-1	77	180	0	-1	77
IPE 100	1313	1314	Vento -Y	PolL	0	0	1	-77	180	0	1	-77
IPE 100	1313	1314	Vento -Y	PolL	0	0	1	-77	180	0	1	-77
IPE 100	1313	1314	Carichi termici	Termico	$\Delta XY=15^{\circ}C, \Delta XZ=15^{\circ}C$							
IPE 100	1313	1314	Pressione dinamica treno fine	PolL	0	0	-0	15	180	0	-0	15
IPE 100	1313	1314	Pressione dinamica treno fine	PolL	0	0	-0	15	180	0	-0	15
Trave 437												
IPE 100	1314	1315	Peso Proprio	UnifG	0	0	0	8	180	0	0	8
IPE 100	1314	1315	QP Solai	PolG	0	0	0	7	180	0	0	7
IPE 100	1314	1315	QFissi Solai	PolG	0	0	0	67	180	0	0	67
IPE 100	1314	1315	QV Solai	PolG	0	0	0	67	180	0	0	67
IPE 100	1314	1315	Neve	PolL	0	0	-1	54	180	0	-1	54
IPE 100	1314	1315	Neve	PolL	0	0	-1	54	180	0	-1	54
IPE 100	1314	1315	Vento +Y	PolL	0	0	-1	77	180	0	-1	77
IPE 100	1314	1315	Vento +Y	PolL	0	0	-1	77	180	0	-1	77
IPE 100	1314	1315	Vento -Y	PolL	0	0	1	-77	180	0	1	-77
IPE 100	1314	1315	Vento -Y	PolL	0	0	1	-77	180	0	1	-77
IPE 100	1314	1315	Carichi termici	Termico	$\Delta XY=15^{\circ}C, \Delta XZ=15^{\circ}C$							
IPE 100	1314	1315	Pressione dinamica treno fine	PolL	0	0	-0	15	180	0	-0	15
IPE 100	1314	1315	Pressione dinamica treno fine	PolL	0	0	-0	15	180	0	-0	15
Trave 438												
IPE 100	1315	1316	Peso Proprio	UnifG	0	0	0	8	180	0	0	8
IPE 100	1315	1316	QP Solai	PolG	0	0	0	7	180	0	0	7
IPE 100	1315	1316	QFissi Solai	PolG	0	0	0	67	180	0	0	67
IPE 100	1315	1316	QV Solai	PolG	0	0	0	67	180	0	0	67
IPE 100	1315	1316	Neve	PolL	0	0	-1	54	180	0	-1	54
IPE 100	1315	1316	Neve	PolL	0	0	-1	54	180	0	-1	54
IPE 100	1315	1316	Vento +Y	PolL	0	0	-1	77	180	0	-1	77
IPE 100	1315	1316	Vento +Y	PolL	0	0	-1	77	180	0	-1	77
IPE 100	1315	1316	Vento -Y	PolL	0	0	1	-77	180	0	1	-77
IPE 100	1315	1316	Vento -Y	PolL	0	0	1	-77	180	0	1	-77
IPE 100	1315	1316	Carichi termici	Termico	$\Delta XY=15^{\circ}C, \Delta XZ=15^{\circ}C$							
IPE 100	1315	1316	Pressione dinamica treno fine	PolL	0	0	-0	15	180	0	-0	15
IPE 100	1315	1316	Pressione dinamica treno fine	PolL	0	0	-0	15	180	0	-0	15
Trave 439												
IPE 100	1316	1317	Peso Proprio	UnifG	0	0	0	8	180	0	0	8
IPE 100	1316	1317	QP Solai	PolG	0	0	0	7	180	0	0	7
IPE 100	1316	1317	QFissi Solai	PolG	0	0	0	67	180	0	0	67

Sezione	Ni	Nf	Cond.	Tipo c.	Xi	QXi	QYi	QZi	Xf	QXf	QYf	QZf
IPE 100	1316	1317	QV Solai	PolG	0	0	0	67	180	0	0	67
IPE 100	1316	1317	Neve	PolL	0	0	-1	54	180	0	-1	54
IPE 100	1316	1317	Neve	PolL	0	0	-1	54	180	0	-1	54
IPE 100	1316	1317	Vento +Y	PolL	0	0	-1	77	180	0	-1	77
IPE 100	1316	1317	Vento +Y	PolL	0	0	-1	77	180	0	-1	77
IPE 100	1316	1317	Vento -Y	PolL	0	0	1	-77	180	0	1	-77
IPE 100	1316	1317	Vento -Y	PolL	0	0	1	-77	180	0	1	-77
IPE 100	1316	1317	Carichi termici	Termico	$\Delta XY=15^{\circ}C, \Delta XZ=15^{\circ}C$							
IPE 100	1316	1317	Pressione dinamica treno fine	PolL	0	0	0	-15	180	0	0	-15
IPE 100	1316	1317	Pressione dinamica treno fine	PolL	0	0	0	-15	180	0	0	-15
Trave 440												
IPE 100	1317	1318	Peso Proprio	UnifG	0	0	0	8	180	0	0	8
IPE 100	1317	1318	QP Solai	PolG	0	0	0	7	180	0	0	7
IPE 100	1317	1318	QFissi Solai	PolG	0	0	0	67	180	0	0	67
IPE 100	1317	1318	QV Solai	PolG	0	0	0	67	180	0	0	67
IPE 100	1317	1318	Neve	PolL	0	0	-1	54	180	0	-1	54
IPE 100	1317	1318	Neve	PolL	0	0	-1	54	180	0	-1	54
IPE 100	1317	1318	Vento +Y	PolL	0	0	-1	77	180	0	-1	77
IPE 100	1317	1318	Vento +Y	PolL	0	0	-1	77	180	0	-1	77
IPE 100	1317	1318	Vento -Y	PolL	0	0	1	-77	180	0	1	-77
IPE 100	1317	1318	Vento -Y	PolL	0	0	1	-77	180	0	1	-77
IPE 100	1317	1318	Carichi termici	Termico	$\Delta XY=15^{\circ}C, \Delta XZ=15^{\circ}C$							
IPE 100	1317	1318	Pressione dinamica treno fine	PolL	0	0	0	-15	180	0	0	-15
IPE 100	1317	1318	Pressione dinamica treno fine	PolL	0	0	0	-15	180	0	0	-15
Trave 441												
IPE 100	1318	1319	Peso Proprio	UnifG	0	0	0	8	200	0	0	8
IPE 100	1318	1319	QP Solai	PolG	0	0	0	7	200	0	0	7
IPE 100	1318	1319	QFissi Solai	PolG	0	0	0	67	200	0	0	67
IPE 100	1318	1319	QV Solai	PolG	0	0	0	67	200	0	0	67
IPE 100	1318	1319	Neve	PolL	0	0	-1	54	200	0	-1	54
IPE 100	1318	1319	Neve	PolL	0	0	-1	54	200	0	-1	54
IPE 100	1318	1319	Vento +Y	PolL	0	0	-1	77	200	0	-1	77
IPE 100	1318	1319	Vento +Y	PolL	0	0	-1	77	200	0	-1	77
IPE 100	1318	1319	Vento -Y	PolL	0	0	1	-77	200	0	1	-77
IPE 100	1318	1319	Vento -Y	PolL	0	0	1	-77	200	0	1	-77
IPE 100	1318	1319	Carichi termici	Termico	$\Delta XY=15^{\circ}C, \Delta XZ=15^{\circ}C$							
IPE 100	1318	1319	Pressione dinamica treno fine	PolL	0	0	0	-15	200	0	0	-15
IPE 100	1318	1319	Pressione dinamica treno fine	PolL	0	0	0	-15	200	0	0	-15
Trave 442												
IPE 100	1320	1321	Peso Proprio	UnifG	0	0	0	8	200	0	0	8
IPE 100	1320	1321	QP Solai	PolG	0	0	0	6	200	0	0	6
IPE 100	1320	1321	QFissi Solai	PolG	0	0	0	63	200	0	0	63
IPE 100	1320	1321	QV Solai	PolG	0	0	0	63	200	0	0	63
IPE 100	1320	1321	Neve	PolL	0	0	-1	48	200	0	-1	48
IPE 100	1320	1321	Neve	PolL	0	0	-1	54	200	0	-1	54
IPE 100	1320	1321	Vento +Y	PolL	0	0	-1	77	200	0	-1	77
IPE 100	1320	1321	Vento +Y	PolL	0	0	-1	68	200	0	-1	68
IPE 100	1320	1321	Vento -Y	PolL	0	0	1	-77	200	0	1	-77
IPE 100	1320	1321	Vento -Y	PolL	0	0	1	-68	200	0	1	-68
IPE 100	1320	1321	Carichi termici	Termico	$\Delta XY=15^{\circ}C, \Delta XZ=15^{\circ}C$							
IPE 100	1320	1321	Pressione dinamica treno inizio	PolL	0	0	-0	15	200	0	-0	15
IPE 100	1320	1321	Pressione dinamica treno inizio	PolL	0	0	-0	13	200	0	-0	13
Trave 443												
IPE 100	1321	1322	Peso Proprio	UnifG	0	0	0	8	180	0	0	8
IPE 100	1321	1322	QP Solai	PolG	0	0	0	6	180	0	0	6
IPE 100	1321	1322	QFissi Solai	PolG	0	0	0	63	180	0	0	63
IPE 100	1321	1322	QV Solai	PolG	0	0	0	63	180	0	0	63
IPE 100	1321	1322	Neve	PolL	0	0	-1	54	180	0	-1	54
IPE 100	1321	1322	Neve	PolL	0	0	-1	48	180	0	-1	48
IPE 100	1321	1322	Vento +Y	PolL	0	0	-1	68	180	0	-1	68
IPE 100	1321	1322	Vento +Y	PolL	0	0	-1	77	180	0	-1	77
IPE 100	1321	1322	Vento -Y	PolL	0	0	1	-77	180	0	1	-77
IPE 100	1321	1322	Vento -Y	PolL	0	0	1	-68	180	0	1	-68
IPE 100	1321	1322	Carichi termici	Termico	$\Delta XY=15^{\circ}C, \Delta XZ=15^{\circ}C$							
IPE 100	1321	1322	Pressione dinamica treno inizio	PolL	0	0	-0	15	180	0	-0	15
IPE 100	1321	1322	Pressione dinamica treno inizio	PolL	0	0	-0	13	180	0	-0	13

Sezione	Ni	Nf	Cond.	Tipo c.	Xi	QXi	QYi	QZi	Xf	QXf	QYf	QZf
Trave 444												
IPE 100	1322	1323	Peso Proprio	UnifG	0	0	0	8	180	0	0	8
IPE 100	1322	1323	QP Solai	PolG	0	0	0	6	180	0	0	6
IPE 100	1322	1323	QFissi Solai	PolG	0	0	0	63	180	0	0	63
IPE 100	1322	1323	QV Solai	PolG	0	0	0	63	180	0	0	63
IPE 100	1322	1323	Neve	PolL	0	0	-1	54	180	0	-1	54
IPE 100	1322	1323	Neve	PolL	0	0	-1	48	180	0	-1	48
IPE 100	1322	1323	Vento +Y	PolL	0	0	-1	77	180	0	-1	77
IPE 100	1322	1323	Vento +Y	PolL	0	0	-1	68	180	0	-1	68
IPE 100	1322	1323	Vento -Y	PolL	0	0	1	-77	180	0	1	-77
IPE 100	1322	1323	Vento -Y	PolL	0	0	1	-68	180	0	1	-68
IPE 100	1322	1323	Carichi termici	Termico	$\Delta XY=15^{\circ}C, \Delta XZ=15^{\circ}C$							
IPE 100	1322	1323	Pressione dinamica treno inizio	PolL	0	0	-0	13	180	0	-0	13
IPE 100	1322	1323	Pressione dinamica treno inizio	PolL	0	0	-0	15	180	0	-0	15
Trave 445												
IPE 100	1323	1324	Peso Proprio	UnifG	0	0	0	8	180	0	0	8
IPE 100	1323	1324	QP Solai	PolG	0	0	0	6	180	0	0	6
IPE 100	1323	1324	QFissi Solai	PolG	0	0	0	63	180	0	0	63
IPE 100	1323	1324	QV Solai	PolG	0	0	0	63	180	0	0	63
IPE 100	1323	1324	Neve	PolL	0	0	-1	48	180	0	-1	48
IPE 100	1323	1324	Neve	PolL	0	0	-1	54	180	0	-1	54
IPE 100	1323	1324	Vento +Y	PolL	0	0	-1	77	180	0	-1	77
IPE 100	1323	1324	Vento +Y	PolL	0	0	-1	68	180	0	-1	68
IPE 100	1323	1324	Vento -Y	PolL	0	0	1	-77	180	0	1	-77
IPE 100	1323	1324	Vento -Y	PolL	0	0	1	-68	180	0	1	-68
IPE 100	1323	1324	Carichi termici	Termico	$\Delta XY=15^{\circ}C, \Delta XZ=15^{\circ}C$							
IPE 100	1323	1324	Pressione dinamica treno inizio	PolL	0	0	0	-13	180	0	0	-13
IPE 100	1323	1324	Pressione dinamica treno inizio	PolL	0	0	0	-15	180	0	0	-15
Trave 446												
IPE 100	1324	1325	Peso Proprio	UnifG	0	0	0	8	180	0	0	8
IPE 100	1324	1325	QP Solai	PolG	0	0	0	6	180	0	0	6
IPE 100	1324	1325	QFissi Solai	PolG	0	0	0	63	180	0	0	63
IPE 100	1324	1325	QV Solai	PolG	0	0	0	63	180	0	0	63
IPE 100	1324	1325	Neve	PolL	0	0	-1	54	180	0	-1	54
IPE 100	1324	1325	Neve	PolL	0	0	-1	48	180	0	-1	48
IPE 100	1324	1325	Vento +Y	PolL	0	0	-1	77	180	0	-1	77
IPE 100	1324	1325	Vento +Y	PolL	0	0	-1	68	180	0	-1	68
IPE 100	1324	1325	Vento -Y	PolL	0	0	1	-77	180	0	1	-77
IPE 100	1324	1325	Vento -Y	PolL	0	0	1	-68	180	0	1	-68
IPE 100	1324	1325	Carichi termici	Termico	$\Delta XY=15^{\circ}C, \Delta XZ=15^{\circ}C$							
IPE 100	1324	1325	Pressione dinamica treno inizio	PolL	0	0	0	-13	180	0	0	-13
IPE 100	1324	1325	Pressione dinamica treno inizio	PolL	0	0	0	-15	180	0	0	-15
Trave 447												
IPE 100	1325	1326	Peso Proprio	UnifG	0	0	0	8	180	0	0	8
IPE 100	1325	1326	QP Solai	PolG	0	0	0	6	180	0	0	6
IPE 100	1325	1326	QFissi Solai	PolG	0	0	0	63	180	0	0	63
IPE 100	1325	1326	QV Solai	PolG	0	0	0	63	180	0	0	63
IPE 100	1325	1326	Neve	PolL	0	0	-1	48	180	0	-1	48
IPE 100	1325	1326	Neve	PolL	0	0	-1	54	180	0	-1	54
IPE 100	1325	1326	Vento +Y	PolL	0	0	-1	68	180	0	-1	68
IPE 100	1325	1326	Vento +Y	PolL	0	0	-1	77	180	0	-1	77
IPE 100	1325	1326	Vento -Y	PolL	0	0	1	-68	180	0	1	-68
IPE 100	1325	1326	Vento -Y	PolL	0	0	1	-77	180	0	1	-77
IPE 100	1325	1326	Carichi termici	Termico	$\Delta XY=15^{\circ}C, \Delta XZ=15^{\circ}C$							
IPE 100	1325	1326	Pressione dinamica treno inizio	PolL	0	0	0	-13	180	0	0	-13
IPE 100	1325	1326	Pressione dinamica treno inizio	PolL	0	0	0	-15	180	0	0	-15
Trave 448												
IPE 100	1326	1327	Peso Proprio	UnifG	0	0	0	8	180	0	0	8
IPE 100	1326	1327	QP Solai	PolG	0	0	0	6	180	0	0	6
IPE 100	1326	1327	QFissi Solai	PolG	0	0	0	63	180	0	0	63
IPE 100	1326	1327	QV Solai	PolG	0	0	0	63	180	0	0	63
IPE 100	1326	1327	Neve	PolL	0	0	-1	54	180	0	-1	54
IPE 100	1326	1327	Neve	PolL	0	0	-1	48	180	0	-1	48
IPE 100	1326	1327	Vento +Y	PolL	0	0	-1	68	180	0	-1	68
IPE 100	1326	1327	Vento +Y	PolL	0	0	-1	77	180	0	-1	77
IPE 100	1326	1327	Vento -Y	PolL	0	0	1	-68	180	0	1	-68
IPE 100	1326	1327	Vento -Y	PolL	0	0	1	-77	180	0	1	-77
IPE 100	1326	1327	Carichi termici	Termico	$\Delta XY=15^{\circ}C, \Delta XZ=15^{\circ}C$							

Sezione	Ni	Nf	Cond.	Tipo c.	Xi	QXi	QYi	QZi	Xf	QXf	QYf	QZf
Trave 449												
IPE 100	1327	1328	Peso Proprio	UnifG	0	0	0	8	180	0	0	8
IPE 100	1327	1328	QP Solai	PolG	0	0	0	6	180	0	0	6
IPE 100	1327	1328	QFissi Solai	PolG	0	0	0	63	180	0	0	63
IPE 100	1327	1328	QV Solai	PolG	0	0	0	63	180	0	0	63
IPE 100	1327	1328	Neve	PolL	0	0	-1	54	180	0	-1	54
IPE 100	1327	1328	Neve	PolL	0	0	-1	48	180	0	-1	48
IPE 100	1327	1328	Vento +Y	PolL	0	0	-1	77	180	0	-1	77
IPE 100	1327	1328	Vento +Y	PolL	0	0	-1	68	180	0	-1	68
IPE 100	1327	1328	Vento -Y	PolL	0	0	1	-77	180	0	1	-77
IPE 100	1327	1328	Vento -Y	PolL	0	0	1	-68	180	0	1	-68
IPE 100	1327	1328	Carichi termici	Termico	$\Delta XY=15^{\circ}C, \Delta XZ=15^{\circ}C$							
Trave 450												
IPE 100	1328	1329	Peso Proprio	UnifG	0	0	0	8	180	0	0	8
IPE 100	1328	1329	QP Solai	PolG	0	0	0	6	180	0	0	6
IPE 100	1328	1329	QFissi Solai	PolG	0	0	0	63	180	0	0	63
IPE 100	1328	1329	QV Solai	PolG	0	0	0	63	180	0	0	63
IPE 100	1328	1329	Neve	PolL	0	0	-1	48	180	0	-1	48
IPE 100	1328	1329	Neve	PolL	0	0	-1	54	180	0	-1	54
IPE 100	1328	1329	Vento +Y	PolL	0	0	-1	77	180	0	-1	77
IPE 100	1328	1329	Vento +Y	PolL	0	0	-1	68	180	0	-1	68
IPE 100	1328	1329	Vento -Y	PolL	0	0	1	-77	180	0	1	-77
IPE 100	1328	1329	Vento -Y	PolL	0	0	1	-68	180	0	1	-68
IPE 100	1328	1329	Carichi termici	Termico	$\Delta XY=15^{\circ}C, \Delta XZ=15^{\circ}C$							
Trave 451												
IPE 100	1329	1330	Peso Proprio	UnifG	0	0	0	8	180	0	0	8
IPE 100	1329	1330	QP Solai	PolG	0	0	0	6	180	0	0	6
IPE 100	1329	1330	QFissi Solai	PolG	0	0	0	63	180	0	0	63
IPE 100	1329	1330	QV Solai	PolG	0	0	0	63	180	0	0	63
IPE 100	1329	1330	Neve	PolL	0	0	-1	54	180	0	-1	54
IPE 100	1329	1330	Neve	PolL	0	0	-1	48	180	0	-1	48
IPE 100	1329	1330	Vento +Y	PolL	0	0	-1	68	180	0	-1	68
IPE 100	1329	1330	Vento +Y	PolL	0	0	-1	77	180	0	-1	77
IPE 100	1329	1330	Vento -Y	PolL	0	0	1	-77	180	0	1	-77
IPE 100	1329	1330	Vento -Y	PolL	0	0	1	-68	180	0	1	-68
IPE 100	1329	1330	Carichi termici	Termico	$\Delta XY=15^{\circ}C, \Delta XZ=15^{\circ}C$							
Trave 452												
IPE 100	1330	1331	Peso Proprio	UnifG	0	0	0	8	180	0	0	8
IPE 100	1330	1331	QP Solai	PolG	0	0	0	6	180	0	0	6
IPE 100	1330	1331	QFissi Solai	PolG	0	0	0	63	180	0	0	63
IPE 100	1330	1331	QV Solai	PolG	0	0	0	63	180	0	0	63
IPE 100	1330	1331	Neve	PolL	0	0	-1	54	180	0	-1	54
IPE 100	1330	1331	Neve	PolL	0	0	-1	48	180	0	-1	48
IPE 100	1330	1331	Vento +Y	PolL	0	0	-1	68	180	0	-1	68
IPE 100	1330	1331	Vento +Y	PolL	0	0	-1	77	180	0	-1	77
IPE 100	1330	1331	Vento -Y	PolL	0	0	1	-77	180	0	1	-77
IPE 100	1330	1331	Vento -Y	PolL	0	0	1	-68	180	0	1	-68
IPE 100	1330	1331	Carichi termici	Termico	$\Delta XY=15^{\circ}C, \Delta XZ=15^{\circ}C$							
Trave 453												
IPE 100	1331	1332	Peso Proprio	UnifG	0	0	0	8	180	0	0	8
IPE 100	1331	1332	QP Solai	PolG	0	0	0	6	180	0	0	6
IPE 100	1331	1332	QFissi Solai	PolG	0	0	0	63	180	0	0	63
IPE 100	1331	1332	QV Solai	PolG	0	0	0	63	180	0	0	63
IPE 100	1331	1332	Neve	PolL	0	0	-1	48	180	0	-1	48
IPE 100	1331	1332	Neve	PolL	0	0	-1	54	180	0	-1	54
IPE 100	1331	1332	Vento +Y	PolL	0	0	-1	77	180	0	-1	77
IPE 100	1331	1332	Vento +Y	PolL	0	0	-1	68	180	0	-1	68
IPE 100	1331	1332	Vento -Y	PolL	0	0	1	-68	180	0	1	-68
IPE 100	1331	1332	Vento -Y	PolL	0	0	1	-77	180	0	1	-77
IPE 100	1331	1332	Carichi termici	Termico	$\Delta XY=15^{\circ}C, \Delta XZ=15^{\circ}C$							
Trave 454												
IPE 100	1332	1333	Peso Proprio	UnifG	0	0	0	8	180	0	0	8
IPE 100	1332	1333	QP Solai	PolG	0	0	0	6	180	0	0	6
IPE 100	1332	1333	QFissi Solai	PolG	0	0	0	63	180	0	0	63
IPE 100	1332	1333	QV Solai	PolG	0	0	0	63	180	0	0	63
IPE 100	1332	1333	Neve	PolL	0	0	-1	54	180	0	-1	54
IPE 100	1332	1333	Neve	PolL	0	0	-1	48	180	0	-1	48
IPE 100	1332	1333	Vento +Y	PolL	0	0	-1	77	180	0	-1	77
IPE 100	1332	1333	Vento +Y	PolL	0	0	-1	68	180	0	-1	68
IPE 100	1332	1333	Vento -Y	PolL	0	0	1	-77	180	0	1	-77
IPE 100	1332	1333	Vento -Y	PolL	0	0	1	-68	180	0	1	-68
IPE 100	1332	1333	Carichi termici	Termico	$\Delta XY=15^{\circ}C, \Delta XZ=15^{\circ}C$							
Trave 455												
IPE 100	1333	1334	Peso Proprio	UnifG	0	0	0	8	180	0	0	8
IPE 100	1333	1334	QP Solai	PolG	0	0	0	6	180	0	0	6

Sezione	Ni	Nf	Cond.	Tipo c.	Xi	QXi	QYi	QZi	Xf	QXf	QYf	QZf
IPE 100	1333	1334	QFissi Solai	PolG	0	0	0	63	180	0	0	63
IPE 100	1333	1334	QV Solai	PolG	0	0	0	63	180	0	0	63
IPE 100	1333	1334	Neve	PolL	0	0	-1	54	180	0	-1	54
IPE 100	1333	1334	Neve	PolL	0	0	-1	48	180	0	-1	48
IPE 100	1333	1334	Vento +Y	PolL	0	0	-1	68	180	0	-1	68
IPE 100	1333	1334	Vento +Y	PolL	0	0	-1	77	180	0	-1	77
IPE 100	1333	1334	Vento -Y	PolL	0	0	1	-68	180	0	1	-68
IPE 100	1333	1334	Vento -Y	PolL	0	0	1	-77	180	0	1	-77
IPE 100	1333	1334	Carichi termici	Termico	$\Delta XY=15^{\circ}C, \Delta XZ=15^{\circ}C$							
Trave 456												
IPE 100	1334	1335	Peso Proprio	UnifG	0	0	0	8	180	0	0	8
IPE 100	1334	1335	QP Solai	PolG	0	0	0	6	180	0	0	6
IPE 100	1334	1335	QFissi Solai	PolG	0	0	0	63	180	0	0	63
IPE 100	1334	1335	QV Solai	PolG	0	0	0	63	180	0	0	63
IPE 100	1334	1335	Neve	PolL	0	0	-1	54	180	0	-1	54
IPE 100	1334	1335	Neve	PolL	0	0	-1	48	180	0	-1	48
IPE 100	1334	1335	Vento +Y	PolL	0	0	-1	68	180	0	-1	68
IPE 100	1334	1335	Vento +Y	PolL	0	0	-1	77	180	0	-1	77
IPE 100	1334	1335	Vento -Y	PolL	0	0	1	-68	180	0	1	-68
IPE 100	1334	1335	Vento -Y	PolL	0	0	1	-77	180	0	1	-77
IPE 100	1334	1335	Carichi termici	Termico	$\Delta XY=15^{\circ}C, \Delta XZ=15^{\circ}C$							
Trave 457												
IPE 100	1335	1336	Peso Proprio	UnifG	0	0	0	8	180	0	0	8
IPE 100	1335	1336	QP Solai	PolG	0	0	0	6	180	0	0	6
IPE 100	1335	1336	QFissi Solai	PolG	0	0	0	63	180	0	0	63
IPE 100	1335	1336	QV Solai	PolG	0	0	0	63	180	0	0	63
IPE 100	1335	1336	Neve	PolL	0	0	-1	48	180	0	-1	48
IPE 100	1335	1336	Neve	PolL	0	0	-1	54	180	0	-1	54
IPE 100	1335	1336	Vento +Y	PolL	0	0	-1	77	180	0	-1	77
IPE 100	1335	1336	Vento +Y	PolL	0	0	-1	68	180	0	-1	68
IPE 100	1335	1336	Vento -Y	PolL	0	0	1	-68	180	0	1	-68
IPE 100	1335	1336	Vento -Y	PolL	0	0	1	-77	180	0	1	-77
IPE 100	1335	1336	Carichi termici	Termico	$\Delta XY=15^{\circ}C, \Delta XZ=15^{\circ}C$							
Trave 458												
IPE 100	1336	1337	Peso Proprio	UnifG	0	0	0	8	180	0	0	8
IPE 100	1336	1337	QP Solai	PolG	0	0	0	6	180	0	0	6
IPE 100	1336	1337	QFissi Solai	PolG	0	0	0	63	180	0	0	63
IPE 100	1336	1337	QV Solai	PolG	0	0	0	63	180	0	0	63
IPE 100	1336	1337	Neve	PolL	0	0	-1	54	180	0	-1	54
IPE 100	1336	1337	Neve	PolL	0	0	-1	48	180	0	-1	48
IPE 100	1336	1337	Vento +Y	PolL	0	0	-1	68	180	0	-1	68
IPE 100	1336	1337	Vento +Y	PolL	0	0	-1	77	180	0	-1	77
IPE 100	1336	1337	Vento -Y	PolL	0	0	1	-77	180	0	1	-77
IPE 100	1336	1337	Vento -Y	PolL	0	0	1	-68	180	0	1	-68
IPE 100	1336	1337	Carichi termici	Termico	$\Delta XY=15^{\circ}C, \Delta XZ=15^{\circ}C$							
Trave 459												
IPE 100	1337	1338	Peso Proprio	UnifG	0	0	0	8	180	0	0	8
IPE 100	1337	1338	QP Solai	PolG	0	0	0	6	180	0	0	6
IPE 100	1337	1338	QFissi Solai	PolG	0	0	0	63	180	0	0	63
IPE 100	1337	1338	QV Solai	PolG	0	0	0	63	180	0	0	63
IPE 100	1337	1338	Neve	PolL	0	0	-1	48	180	0	-1	48
IPE 100	1337	1338	Neve	PolL	0	0	-1	54	180	0	-1	54
IPE 100	1337	1338	Vento +Y	PolL	0	0	-1	68	180	0	-1	68
IPE 100	1337	1338	Vento +Y	PolL	0	0	-1	77	180	0	-1	77
IPE 100	1337	1338	Vento -Y	PolL	0	0	1	-68	180	0	1	-68
IPE 100	1337	1338	Vento -Y	PolL	0	0	1	-77	180	0	1	-77
IPE 100	1337	1338	Carichi termici	Termico	$\Delta XY=15^{\circ}C, \Delta XZ=15^{\circ}C$							
Trave 460												
IPE 100	1338	1339	Peso Proprio	UnifG	0	0	0	8	180	0	0	8
IPE 100	1338	1339	QP Solai	PolG	0	0	0	6	180	0	0	6
IPE 100	1338	1339	QFissi Solai	PolG	0	0	0	63	180	0	0	63
IPE 100	1338	1339	QV Solai	PolG	0	0	0	63	180	0	0	63
IPE 100	1338	1339	Neve	PolL	0	0	-1	48	180	0	-1	48
IPE 100	1338	1339	Neve	PolL	0	0	-1	54	180	0	-1	54
IPE 100	1338	1339	Vento +Y	PolL	0	0	-1	68	180	0	-1	68
IPE 100	1338	1339	Vento +Y	PolL	0	0	-1	77	180	0	-1	77
IPE 100	1338	1339	Vento -Y	PolL	0	0	1	-68	180	0	1	-68
IPE 100	1338	1339	Vento -Y	PolL	0	0	1	-77	180	0	1	-77
IPE 100	1338	1339	Carichi termici	Termico	$\Delta XY=15^{\circ}C, \Delta XZ=15^{\circ}C$							
Trave 461												
IPE 100	1339	1340	Peso Proprio	UnifG	0	0	0	8	180	0	0	8
IPE 100	1339	1340	QP Solai	PolG	0	0	0	6	180	0	0	6
IPE 100	1339	1340	QFissi Solai	PolG	0	0	0	63	180	0	0	63
IPE 100	1339	1340	QV Solai	PolG	0	0	0	63	180	0	0	63
IPE 100	1339	1340	Neve	PolL	0	0	-1	48	180	0	-1	48

Sezione	Ni	Nf	Cond.	Tipo c.	Xi	QXi	QYi	QZi	Xf	QXf	QYf	QZf
IPE 100	1339	1340	Neve	PolL	0	0	-1	54	180	0	-1	54
IPE 100	1339	1340	Vento +Y	PolL	0	0	-1	77	180	0	-1	77
IPE 100	1339	1340	Vento +Y	PolL	0	0	-1	68	180	0	-1	68
IPE 100	1339	1340	Vento -Y	PolL	0	0	1	-68	180	0	1	-68
IPE 100	1339	1340	Vento -Y	PolL	0	0	1	-77	180	0	1	-77
IPE 100	1339	1340	Carichi termici	Termico	$\Delta XY=15^{\circ}C, \Delta XZ=15^{\circ}C$							
Trave 462												
IPE 100	1340	1341	Peso Proprio	UnifG	0	0	0	8	180	0	0	8
IPE 100	1340	1341	QP Solai	PolG	0	0	0	6	180	0	0	6
IPE 100	1340	1341	QFissi Solai	PolG	0	0	0	63	180	0	0	63
IPE 100	1340	1341	QV Solai	PolG	0	0	0	63	180	0	0	63
IPE 100	1340	1341	Neve	PolL	0	0	-1	54	180	0	-1	54
IPE 100	1340	1341	Neve	PolL	0	0	-1	48	180	0	-1	48
IPE 100	1340	1341	Vento +Y	PolL	0	0	-1	68	180	0	-1	68
IPE 100	1340	1341	Vento +Y	PolL	0	0	-1	77	180	0	-1	77
IPE 100	1340	1341	Vento -Y	PolL	0	0	1	-68	180	0	1	-68
IPE 100	1340	1341	Vento -Y	PolL	0	0	1	-77	180	0	1	-77
IPE 100	1340	1341	Carichi termici	Termico	$\Delta XY=15^{\circ}C, \Delta XZ=15^{\circ}C$							
Trave 463												
IPE 100	1341	1342	Peso Proprio	UnifG	0	0	0	8	180	0	0	8
IPE 100	1341	1342	QP Solai	PolG	0	0	0	6	180	0	0	6
IPE 100	1341	1342	QFissi Solai	PolG	0	0	0	63	180	0	0	63
IPE 100	1341	1342	QV Solai	PolG	0	0	0	63	180	0	0	63
IPE 100	1341	1342	Neve	PolL	0	0	-1	48	180	0	-1	48
IPE 100	1341	1342	Neve	PolL	0	0	-1	54	180	0	-1	54
IPE 100	1341	1342	Vento +Y	PolL	0	0	-1	68	180	0	-1	68
IPE 100	1341	1342	Vento +Y	PolL	0	0	-1	77	180	0	-1	77
IPE 100	1341	1342	Vento -Y	PolL	0	0	1	-68	180	0	1	-68
IPE 100	1341	1342	Vento -Y	PolL	0	0	1	-77	180	0	1	-77
IPE 100	1341	1342	Carichi termici	Termico	$\Delta XY=15^{\circ}C, \Delta XZ=15^{\circ}C$							
Trave 464												
IPE 100	1342	1343	Peso Proprio	UnifG	0	0	0	8	180	0	0	8
IPE 100	1342	1343	QP Solai	PolG	0	0	0	6	180	0	0	6
IPE 100	1342	1343	QFissi Solai	PolG	0	0	0	63	180	0	0	63
IPE 100	1342	1343	QV Solai	PolG	0	0	0	63	180	0	0	63
IPE 100	1342	1343	Neve	PolL	0	0	-1	48	180	0	-1	48
IPE 100	1342	1343	Neve	PolL	0	0	-1	54	180	0	-1	54
IPE 100	1342	1343	Vento +Y	PolL	0	0	-1	68	180	0	-1	68
IPE 100	1342	1343	Vento +Y	PolL	0	0	-1	77	180	0	-1	77
IPE 100	1342	1343	Vento -Y	PolL	0	0	1	-68	180	0	1	-68
IPE 100	1342	1343	Vento -Y	PolL	0	0	1	-77	180	0	1	-77
IPE 100	1342	1343	Carichi termici	Termico	$\Delta XY=15^{\circ}C, \Delta XZ=15^{\circ}C$							
Trave 465												
IPE 100	1343	1344	Peso Proprio	UnifG	0	0	0	8	180	0	0	8
IPE 100	1343	1344	QP Solai	PolG	0	0	0	6	180	0	0	6
IPE 100	1343	1344	QFissi Solai	PolG	0	0	0	63	180	0	0	63
IPE 100	1343	1344	QV Solai	PolG	0	0	0	63	180	0	0	63
IPE 100	1343	1344	Neve	PolL	0	0	-1	54	180	0	-1	54
IPE 100	1343	1344	Neve	PolL	0	0	-1	48	180	0	-1	48
IPE 100	1343	1344	Vento +Y	PolL	0	0	-1	68	180	0	-1	68
IPE 100	1343	1344	Vento +Y	PolL	0	0	-1	77	180	0	-1	77
IPE 100	1343	1344	Vento -Y	PolL	0	0	1	-68	180	0	1	-68
IPE 100	1343	1344	Vento -Y	PolL	0	0	1	-77	180	0	1	-77
IPE 100	1343	1344	Carichi termici	Termico	$\Delta XY=15^{\circ}C, \Delta XZ=15^{\circ}C$							
Trave 466												
IPE 100	1344	1345	Peso Proprio	UnifG	0	0	0	8	180	0	0	8
IPE 100	1344	1345	QP Solai	PolG	0	0	0	6	180	0	0	6
IPE 100	1344	1345	QFissi Solai	PolG	0	0	0	63	180	0	0	63
IPE 100	1344	1345	QV Solai	PolG	0	0	0	63	180	0	0	63
IPE 100	1344	1345	Neve	PolL	0	0	-1	54	180	0	-1	54
IPE 100	1344	1345	Neve	PolL	0	0	-1	48	180	0	-1	48
IPE 100	1344	1345	Vento +Y	PolL	0	0	-1	68	180	0	-1	68
IPE 100	1344	1345	Vento +Y	PolL	0	0	-1	77	180	0	-1	77
IPE 100	1344	1345	Vento -Y	PolL	0	0	1	-68	180	0	1	-68
IPE 100	1344	1345	Vento -Y	PolL	0	0	1	-77	180	0	1	-77
IPE 100	1344	1345	Carichi termici	Termico	$\Delta XY=15^{\circ}C, \Delta XZ=15^{\circ}C$							
Trave 467												
IPE 100	1345	1346	Peso Proprio	UnifG	0	0	0	8	180	0	0	8
IPE 100	1345	1346	QP Solai	PolG	0	0	0	6	180	0	0	6
IPE 100	1345	1346	QFissi Solai	PolG	0	0	0	63	180	0	0	63
IPE 100	1345	1346	QV Solai	PolG	0	0	0	63	180	0	0	63
IPE 100	1345	1346	Neve	PolL	0	0	-1	48	180	0	-1	48
IPE 100	1345	1346	Neve	PolL	0	0	-1	54	180	0	-1	54
IPE 100	1345	1346	Vento +Y	PolL	0	0	-1	68	180	0	-1	68
IPE 100	1345	1346	Vento +Y	PolL	0	0	-1	77	180	0	-1	77

Sezione	Ni	Nf	Cond.	Tipo c.	Xi	QXi	QYi	QZi	Xf	QXf	QYf	QZf
IPE 100	1345	1346	Vento -Y	PolL	0	0	1	-68	180	0	1	-68
IPE 100	1345	1346	Vento -Y	PolL	0	0	1	-77	180	0	1	-77
IPE 100	1345	1346	Carichi termici	Termico	$\Delta XY=15^{\circ}C, \Delta XZ=15^{\circ}C$							
Trave 468												
IPE 100	1346	1347	Peso Proprio	UnifG	0	0	0	8	180	0	0	8
IPE 100	1346	1347	QP Solai	PolG	0	0	0	6	180	0	0	6
IPE 100	1346	1347	QFissi Solai	PolG	0	0	0	63	180	0	0	63
IPE 100	1346	1347	QV Solai	PolG	0	0	0	63	180	0	0	63
IPE 100	1346	1347	Neve	PolL	0	0	-1	48	180	0	-1	48
IPE 100	1346	1347	Neve	PolL	0	0	-1	54	180	0	-1	54
IPE 100	1346	1347	Vento +Y	PolL	0	0	-1	68	180	0	-1	68
IPE 100	1346	1347	Vento +Y	PolL	0	0	-1	77	180	0	-1	77
IPE 100	1346	1347	Vento -Y	PolL	0	0	1	-68	180	0	1	-68
IPE 100	1346	1347	Vento -Y	PolL	0	0	1	-77	180	0	1	-77
IPE 100	1346	1347	Carichi termici	Termico	$\Delta XY=15^{\circ}C, \Delta XZ=15^{\circ}C$							
Trave 469												
IPE 100	1347	1348	Peso Proprio	UnifG	0	0	0	8	180	0	0	8
IPE 100	1347	1348	QP Solai	PolG	0	0	0	6	180	0	0	6
IPE 100	1347	1348	QFissi Solai	PolG	0	0	0	63	180	0	0	63
IPE 100	1347	1348	QV Solai	PolG	0	0	0	63	180	0	0	63
IPE 100	1347	1348	Neve	PolL	0	0	-1	48	180	0	-1	48
IPE 100	1347	1348	Neve	PolL	0	0	-1	54	180	0	-1	54
IPE 100	1347	1348	Vento +Y	PolL	0	0	-1	77	180	0	-1	77
IPE 100	1347	1348	Vento +Y	PolL	0	0	-1	68	180	0	-1	68
IPE 100	1347	1348	Vento -Y	PolL	0	0	1	-68	180	0	1	-68
IPE 100	1347	1348	Vento -Y	PolL	0	0	1	-77	180	0	1	-77
IPE 100	1347	1348	Carichi termici	Termico	$\Delta XY=15^{\circ}C, \Delta XZ=15^{\circ}C$							
Trave 470												
IPE 100	1348	1349	Peso Proprio	UnifG	0	0	0	8	180	0	0	8
IPE 100	1348	1349	QP Solai	PolG	0	0	0	6	180	0	0	6
IPE 100	1348	1349	QFissi Solai	PolG	0	0	0	63	180	0	0	63
IPE 100	1348	1349	QV Solai	PolG	0	0	0	63	180	0	0	63
IPE 100	1348	1349	Neve	PolL	0	0	-1	54	180	0	-1	54
IPE 100	1348	1349	Neve	PolL	0	0	-1	48	180	0	-1	48
IPE 100	1348	1349	Vento +Y	PolL	0	0	-1	77	180	0	-1	77
IPE 100	1348	1349	Vento +Y	PolL	0	0	-1	68	180	0	-1	68
IPE 100	1348	1349	Vento -Y	PolL	0	0	1	-68	180	0	1	-68
IPE 100	1348	1349	Vento -Y	PolL	0	0	1	-77	180	0	1	-77
IPE 100	1348	1349	Carichi termici	Termico	$\Delta XY=15^{\circ}C, \Delta XZ=15^{\circ}C$							
Trave 471												
IPE 100	1349	1350	Peso Proprio	UnifG	0	0	0	8	180	0	0	8
IPE 100	1349	1350	QP Solai	PolG	0	0	0	6	180	0	0	6
IPE 100	1349	1350	QFissi Solai	PolG	0	0	0	63	180	0	0	63
IPE 100	1349	1350	QV Solai	PolG	0	0	0	63	180	0	0	63
IPE 100	1349	1350	Neve	PolL	0	0	-1	54	180	0	-1	54
IPE 100	1349	1350	Neve	PolL	0	0	-1	48	180	0	-1	48
IPE 100	1349	1350	Vento +Y	PolL	0	0	-1	68	180	0	-1	68
IPE 100	1349	1350	Vento +Y	PolL	0	0	-1	77	180	0	-1	77
IPE 100	1349	1350	Vento -Y	PolL	0	0	1	-77	180	0	1	-77
IPE 100	1349	1350	Vento -Y	PolL	0	0	1	-68	180	0	1	-68
IPE 100	1349	1350	Carichi termici	Termico	$\Delta XY=15^{\circ}C, \Delta XZ=15^{\circ}C$							
Trave 472												
IPE 100	1350	1351	Peso Proprio	UnifG	0	0	0	8	180	0	0	8
IPE 100	1350	1351	QP Solai	PolG	0	0	0	6	180	0	0	6
IPE 100	1350	1351	QFissi Solai	PolG	0	0	0	63	180	0	0	63
IPE 100	1350	1351	QV Solai	PolG	0	0	0	63	180	0	0	63
IPE 100	1350	1351	Neve	PolL	0	0	-1	54	180	0	-1	54
IPE 100	1350	1351	Neve	PolL	0	0	-1	48	180	0	-1	48
IPE 100	1350	1351	Vento +Y	PolL	0	0	-1	68	180	0	-1	68
IPE 100	1350	1351	Vento +Y	PolL	0	0	-1	77	180	0	-1	77
IPE 100	1350	1351	Vento -Y	PolL	0	0	1	-68	180	0	1	-68
IPE 100	1350	1351	Vento -Y	PolL	0	0	1	-77	180	0	1	-77
IPE 100	1350	1351	Carichi termici	Termico	$\Delta XY=15^{\circ}C, \Delta XZ=15^{\circ}C$							
Trave 473												
IPE 100	1351	1352	Peso Proprio	UnifG	0	0	0	8	180	0	0	8
IPE 100	1351	1352	QP Solai	PolG	0	0	0	6	180	0	0	6
IPE 100	1351	1352	QFissi Solai	PolG	0	0	0	63	180	0	0	63
IPE 100	1351	1352	QV Solai	PolG	0	0	0	63	180	0	0	63
IPE 100	1351	1352	Neve	PolL	0	0	-1	54	180	0	-1	54
IPE 100	1351	1352	Neve	PolL	0	0	-1	48	180	0	-1	48
IPE 100	1351	1352	Vento +Y	PolL	0	0	-1	77	180	0	-1	77
IPE 100	1351	1352	Vento +Y	PolL	0	0	-1	68	180	0	-1	68
IPE 100	1351	1352	Vento -Y	PolL	0	0	1	-77	180	0	1	-77
IPE 100	1351	1352	Vento -Y	PolL	0	0	1	-68	180	0	1	-68
IPE 100	1351	1352	Carichi termici	Termico	$\Delta XY=15^{\circ}C, \Delta XZ=15^{\circ}C$							

Sezione	Ni	Nf	Cond.	Tipo c.	Xi	QXi	QYi	QZi	Xf	QXf	QYf	QZf
Trave 474												
IPE 100	1352	1353	Peso Proprio	UnifG	0	0	0	8	180	0	0	8
IPE 100	1352	1353	QP Solai	PolG	0	0	0	6	180	0	0	6
IPE 100	1352	1353	QFissi Solai	PolG	0	0	0	63	180	0	0	63
IPE 100	1352	1353	QV Solai	PolG	0	0	0	63	180	0	0	63
IPE 100	1352	1353	Neve	PolL	0	0	-1	54	180	0	-1	54
IPE 100	1352	1353	Neve	PolL	0	0	-1	48	180	0	-1	48
IPE 100	1352	1353	Vento +Y	PolL	0	0	-1	77	180	0	-1	77
IPE 100	1352	1353	Vento +Y	PolL	0	0	-1	68	180	0	-1	68
IPE 100	1352	1353	Vento -Y	PolL	0	0	1	-77	180	0	1	-77
IPE 100	1352	1353	Vento -Y	PolL	0	0	1	-68	180	0	1	-68
IPE 100	1352	1353	Carichi termici	Termico	$\Delta XY=15^{\circ}C, \Delta XZ=15^{\circ}C$							
Trave 475												
IPE 100	1353	1354	Peso Proprio	UnifG	0	0	0	8	180	0	0	8
IPE 100	1353	1354	QP Solai	PolG	0	0	0	6	180	0	0	6
IPE 100	1353	1354	QFissi Solai	PolG	0	0	0	63	180	0	0	63
IPE 100	1353	1354	QV Solai	PolG	0	0	0	63	180	0	0	63
IPE 100	1353	1354	Neve	PolL	0	0	-1	54	180	0	-1	54
IPE 100	1353	1354	Neve	PolL	0	0	-1	48	180	0	-1	48
IPE 100	1353	1354	Vento +Y	PolL	0	0	-1	68	180	0	-1	68
IPE 100	1353	1354	Vento +Y	PolL	0	0	-1	77	180	0	-1	77
IPE 100	1353	1354	Vento -Y	PolL	0	0	1	-68	180	0	1	-68
IPE 100	1353	1354	Vento -Y	PolL	0	0	1	-77	180	0	1	-77
IPE 100	1353	1354	Carichi termici	Termico	$\Delta XY=15^{\circ}C, \Delta XZ=15^{\circ}C$							
Trave 476												
IPE 100	1354	1355	Peso Proprio	UnifG	0	0	0	8	180	0	0	8
IPE 100	1354	1355	QP Solai	PolG	0	0	0	6	180	0	0	6
IPE 100	1354	1355	QFissi Solai	PolG	0	0	0	63	180	0	0	63
IPE 100	1354	1355	QV Solai	PolG	0	0	0	63	180	0	0	63
IPE 100	1354	1355	Neve	PolL	0	0	-1	54	180	0	-1	54
IPE 100	1354	1355	Neve	PolL	0	0	-1	48	180	0	-1	48
IPE 100	1354	1355	Vento +Y	PolL	0	0	-1	68	180	0	-1	68
IPE 100	1354	1355	Vento +Y	PolL	0	0	-1	77	180	0	-1	77
IPE 100	1354	1355	Vento -Y	PolL	0	0	1	-68	180	0	1	-68
IPE 100	1354	1355	Vento -Y	PolL	0	0	1	-77	180	0	1	-77
IPE 100	1354	1355	Carichi termici	Termico	$\Delta XY=15^{\circ}C, \Delta XZ=15^{\circ}C$							
Trave 477												
IPE 100	1355	1356	Peso Proprio	UnifG	0	0	0	8	180	0	0	8
IPE 100	1355	1356	QP Solai	PolG	0	0	0	6	180	0	0	6
IPE 100	1355	1356	QFissi Solai	PolG	0	0	0	63	180	0	0	63
IPE 100	1355	1356	QV Solai	PolG	0	0	0	63	180	0	0	63
IPE 100	1355	1356	Neve	PolL	0	0	-1	54	180	0	-1	54
IPE 100	1355	1356	Neve	PolL	0	0	-1	48	180	0	-1	48
IPE 100	1355	1356	Vento +Y	PolL	0	0	-1	77	180	0	-1	77
IPE 100	1355	1356	Vento +Y	PolL	0	0	-1	68	180	0	-1	68
IPE 100	1355	1356	Vento -Y	PolL	0	0	1	-77	180	0	1	-77
IPE 100	1355	1356	Vento -Y	PolL	0	0	1	-68	180	0	1	-68
IPE 100	1355	1356	Carichi termici	Termico	$\Delta XY=15^{\circ}C, \Delta XZ=15^{\circ}C$							
Trave 478												
IPE 100	1356	1357	Peso Proprio	UnifG	0	0	0	8	180	0	0	8
IPE 100	1356	1357	QP Solai	PolG	0	0	0	6	180	0	0	6
IPE 100	1356	1357	QFissi Solai	PolG	0	0	0	63	180	0	0	63
IPE 100	1356	1357	QV Solai	PolG	0	0	0	63	180	0	0	63
IPE 100	1356	1357	Neve	PolL	0	0	-1	48	180	0	-1	48
IPE 100	1356	1357	Neve	PolL	0	0	-1	54	180	0	-1	54
IPE 100	1356	1357	Vento +Y	PolL	0	0	-1	68	180	0	-1	68
IPE 100	1356	1357	Vento +Y	PolL	0	0	-1	77	180	0	-1	77
IPE 100	1356	1357	Vento -Y	PolL	0	0	1	-77	180	0	1	-77
IPE 100	1356	1357	Vento -Y	PolL	0	0	1	-68	180	0	1	-68
IPE 100	1356	1357	Carichi termici	Termico	$\Delta XY=15^{\circ}C, \Delta XZ=15^{\circ}C$							
IPE 100	1356	1357	Pressione dinamica treno fine	PolL	0	0	-0	13	180	0	-0	13
IPE 100	1356	1357	Pressione dinamica treno fine	PolL	0	0	-0	15	180	0	-0	15
Trave 479												
IPE 100	1357	1358	Peso Proprio	UnifG	0	0	0	8	180	0	0	8
IPE 100	1357	1358	QP Solai	PolG	0	0	0	6	180	0	0	6
IPE 100	1357	1358	QFissi Solai	PolG	0	0	0	63	180	0	0	63
IPE 100	1357	1358	QV Solai	PolG	0	0	0	63	180	0	0	63
IPE 100	1357	1358	Neve	PolL	0	0	-1	54	180	0	-1	54
IPE 100	1357	1358	Neve	PolL	0	0	-1	48	180	0	-1	48
IPE 100	1357	1358	Vento +Y	PolL	0	0	-1	77	180	0	-1	77
IPE 100	1357	1358	Vento +Y	PolL	0	0	-1	68	180	0	-1	68
IPE 100	1357	1358	Vento -Y	PolL	0	0	1	-77	180	0	1	-77
IPE 100	1357	1358	Vento -Y	PolL	0	0	1	-68	180	0	1	-68

Sezione	Ni	Nf	Cond.	Tipo c.	Xi	QXi	QYi	QZi	Xf	QXf	QYf	QZf
IPE 100	1357	1358	Carichi termici	Termico	$\Delta XY=15^{\circ}C, \Delta XZ=15^{\circ}C$							
IPE 100	1357	1358	Pressione dinamica treno fine	PolL	0	0	-0	13	180	0	-0	13
IPE 100	1357	1358	Pressione dinamica treno fine	PolL	0	0	-0	15	180	0	-0	15
Trave 480												
IPE 100	1358	1359	Peso Proprio	UnifG	0	0	0	8	180	0	0	8
IPE 100	1358	1359	QP Solai	PolG	0	0	0	6	180	0	0	6
IPE 100	1358	1359	QFissi Solai	PolG	0	0	0	63	180	0	0	63
IPE 100	1358	1359	QV Solai	PolG	0	0	0	63	180	0	0	63
IPE 100	1358	1359	Neve	PolL	0	0	-1	54	180	0	-1	54
IPE 100	1358	1359	Neve	PolL	0	0	-1	48	180	0	-1	48
IPE 100	1358	1359	Vento +Y	PolL	0	0	-1	77	180	0	-1	77
IPE 100	1358	1359	Vento +Y	PolL	0	0	-1	68	180	0	-1	68
IPE 100	1358	1359	Vento -Y	PolL	0	0	1	-68	180	0	1	-68
IPE 100	1358	1359	Vento -Y	PolL	0	0	1	-77	180	0	1	-77
IPE 100	1358	1359	Carichi termici	Termico	$\Delta XY=15^{\circ}C, \Delta XZ=15^{\circ}C$							
IPE 100	1358	1359	Pressione dinamica treno fine	PolL	0	0	-0	13	180	0	-0	13
IPE 100	1358	1359	Pressione dinamica treno fine	PolL	0	0	-0	15	180	0	-0	15
Trave 481												
IPE 100	1359	1360	Peso Proprio	UnifG	0	0	0	8	180	0	0	8
IPE 100	1359	1360	QP Solai	PolG	0	0	0	6	180	0	0	6
IPE 100	1359	1360	QFissi Solai	PolG	0	0	0	63	180	0	0	63
IPE 100	1359	1360	QV Solai	PolG	0	0	0	63	180	0	0	63
IPE 100	1359	1360	Neve	PolL	0	0	-1	54	180	0	-1	54
IPE 100	1359	1360	Neve	PolL	0	0	-1	48	180	0	-1	48
IPE 100	1359	1360	Vento +Y	PolL	0	0	-1	77	180	0	-1	77
IPE 100	1359	1360	Vento +Y	PolL	0	0	-1	68	180	0	-1	68
IPE 100	1359	1360	Vento -Y	PolL	0	0	1	-77	180	0	1	-77
IPE 100	1359	1360	Vento -Y	PolL	0	0	1	-68	180	0	1	-68
IPE 100	1359	1360	Carichi termici	Termico	$\Delta XY=15^{\circ}C, \Delta XZ=15^{\circ}C$							
IPE 100	1359	1360	Pressione dinamica treno fine	PolL	0	0	0	-15	180	0	0	-15
IPE 100	1359	1360	Pressione dinamica treno fine	PolL	0	0	0	-13	180	0	0	-13
Trave 482												
IPE 100	1360	1361	Peso Proprio	UnifG	0	0	0	8	180	0	0	8
IPE 100	1360	1361	QP Solai	PolG	0	0	0	6	180	0	0	6
IPE 100	1360	1361	QFissi Solai	PolG	0	0	0	63	180	0	0	63
IPE 100	1360	1361	QV Solai	PolG	0	0	0	63	180	0	0	63
IPE 100	1360	1361	Neve	PolL	0	0	-1	54	180	0	-1	54
IPE 100	1360	1361	Neve	PolL	0	0	-1	48	180	0	-1	48
IPE 100	1360	1361	Vento +Y	PolL	0	0	-1	77	180	0	-1	77
IPE 100	1360	1361	Vento +Y	PolL	0	0	-1	68	180	0	-1	68
IPE 100	1360	1361	Vento -Y	PolL	0	0	1	-68	180	0	1	-68
IPE 100	1360	1361	Vento -Y	PolL	0	0	1	-77	180	0	1	-77
IPE 100	1360	1361	Carichi termici	Termico	$\Delta XY=15^{\circ}C, \Delta XZ=15^{\circ}C$							
IPE 100	1360	1361	Pressione dinamica treno fine	PolL	0	0	0	-15	180	0	0	-15
IPE 100	1360	1361	Pressione dinamica treno fine	PolL	0	0	0	-13	180	0	0	-13
Trave 483												
IPE 100	1361	1362	Peso Proprio	UnifG	0	0	0	8	200	0	0	8
IPE 100	1361	1362	QP Solai	PolG	0	0	0	6	200	0	0	6
IPE 100	1361	1362	QFissi Solai	PolG	0	0	0	63	200	0	0	63
IPE 100	1361	1362	QV Solai	PolG	0	0	0	63	200	0	0	63
IPE 100	1361	1362	Neve	PolL	0	0	-1	54	200	0	-1	54
IPE 100	1361	1362	Neve	PolL	0	0	-1	48	200	0	-1	48
IPE 100	1361	1362	Vento +Y	PolL	0	0	-1	68	200	0	-1	68
IPE 100	1361	1362	Vento +Y	PolL	0	0	-1	77	200	0	-1	77
IPE 100	1361	1362	Vento -Y	PolL	0	0	1	-68	200	0	1	-68
IPE 100	1361	1362	Vento -Y	PolL	0	0	1	-77	200	0	1	-77
IPE 100	1361	1362	Carichi termici	Termico	$\Delta XY=15^{\circ}C, \Delta XZ=15^{\circ}C$							
IPE 100	1361	1362	Pressione dinamica treno fine	PolL	0	0	0	-15	200	0	0	-15
IPE 100	1361	1362	Pressione dinamica treno fine	PolL	0	0	0	-13	200	0	0	-13
Trave 484												
UPN 260	1364	1363	Peso Proprio	UnifG	0	0	0	38	200	0	0	38
UPN 260	1364	1363	QP Solai	PolG	0	0	0	3	200	0	0	3
UPN 260	1364	1363	QFissi Solai	PolG	0	0	0	30	200	0	0	30
UPN 260	1364	1363	QV Solai	PolG	0	0	0	30	200	0	0	30
UPN 260	1364	1363	Neve	PolL	0	0	1	48	200	0	1	48
UPN 260	1364	1363	Vento +Y	PolL	0	0	1	68	200	0	1	68

Sezione	Ni	Nf	Cond.	Tipo c.	Xi	QXi	QYi	QZi	Xf	QXf	QYf	QZf
UPN 260	1364	1363	Vento -Y	PolL	0	0	-1	-68	200	0	-1	-68
UPN 260	1364	1363	Carichi termici	Termico	$\Delta XY=15^{\circ}C, \Delta XZ=15^{\circ}C$							
UPN 260	1364	1363	Pressione dinamica treno inizio	PolL	0	0	0	13	200	0	0	13
Trave 485												
UPN 260	1365	1364	Peso Proprio	UnifG	0	0	0	38	180	0	0	38
UPN 260	1365	1364	QP Solai	PolG	0	0	0	3	180	0	0	3
UPN 260	1365	1364	QFissi Solai	PolG	0	0	0	30	180	0	0	30
UPN 260	1365	1364	QV Solai	PolG	0	0	0	30	180	0	0	30
UPN 260	1365	1364	Neve	PolL	0	0	1	48	180	0	1	48
UPN 260	1365	1364	Vento +Y	PolL	0	0	1	68	180	0	1	68
UPN 260	1365	1364	Vento -Y	PolL	0	0	-1	-68	180	0	-1	-68
UPN 260	1365	1364	Carichi termici	Termico	$\Delta XY=15^{\circ}C, \Delta XZ=15^{\circ}C$							
UPN 260	1365	1364	Pressione dinamica treno inizio	PolL	0	0	0	13	180	0	0	13
Trave 486												
UPN 260	1366	1365	Peso Proprio	UnifG	0	0	0	38	180	0	0	38
UPN 260	1366	1365	QP Solai	PolG	0	0	0	3	180	0	0	3
UPN 260	1366	1365	QFissi Solai	PolG	0	0	0	30	180	0	0	30
UPN 260	1366	1365	QV Solai	PolG	0	0	0	30	180	0	0	30
UPN 260	1366	1365	Neve	PolL	0	0	1	48	180	0	1	48
UPN 260	1366	1365	Vento +Y	PolL	0	0	1	68	180	0	1	68
UPN 260	1366	1365	Vento -Y	PolL	0	0	-1	-68	180	0	-1	-68
UPN 260	1366	1365	Carichi termici	Termico	$\Delta XY=15^{\circ}C, \Delta XZ=15^{\circ}C$							
UPN 260	1366	1365	Pressione dinamica treno inizio	PolL	0	0	0	13	180	0	0	13
Trave 487												
UPN 260	1367	1366	Peso Proprio	UnifG	0	0	0	38	180	0	0	38
UPN 260	1367	1366	QP Solai	PolG	0	0	0	3	180	0	0	3
UPN 260	1367	1366	QFissi Solai	PolG	0	0	0	30	180	0	0	30
UPN 260	1367	1366	QV Solai	PolG	0	0	0	30	180	0	0	30
UPN 260	1367	1366	Neve	PolL	0	0	1	48	180	0	1	48
UPN 260	1367	1366	Vento +Y	PolL	0	0	1	68	180	0	1	68
UPN 260	1367	1366	Vento -Y	PolL	0	0	-1	-68	180	0	-1	-68
UPN 260	1367	1366	Carichi termici	Termico	$\Delta XY=15^{\circ}C, \Delta XZ=15^{\circ}C$							
UPN 260	1367	1366	Pressione dinamica treno inizio	PolL	0	0	-0	-13	180	0	-0	-13
Trave 488												
UPN 260	1368	1367	Peso Proprio	UnifG	0	0	0	38	180	0	0	38
UPN 260	1368	1367	QP Solai	PolG	0	0	0	3	180	0	0	3
UPN 260	1368	1367	QFissi Solai	PolG	0	0	0	30	180	0	0	30
UPN 260	1368	1367	QV Solai	PolG	0	0	0	30	180	0	0	30
UPN 260	1368	1367	Neve	PolL	0	0	1	48	180	0	1	48
UPN 260	1368	1367	Vento +Y	PolL	0	0	1	68	180	0	1	68
UPN 260	1368	1367	Vento -Y	PolL	0	0	-1	-68	180	0	-1	-68
UPN 260	1368	1367	Carichi termici	Termico	$\Delta XY=15^{\circ}C, \Delta XZ=15^{\circ}C$							
UPN 260	1368	1367	Pressione dinamica treno inizio	PolL	0	0	-0	-13	180	0	-0	-13
Trave 489												
UPN 260	1369	1368	Peso Proprio	UnifG	0	0	0	38	180	0	0	38
UPN 260	1369	1368	QP Solai	PolG	0	0	0	3	180	0	0	3
UPN 260	1369	1368	QFissi Solai	PolG	0	0	0	30	180	0	0	30
UPN 260	1369	1368	QV Solai	PolG	0	0	0	30	180	0	0	30
UPN 260	1369	1368	Neve	PolL	0	0	1	48	180	0	1	48
UPN 260	1369	1368	Vento +Y	PolL	0	0	1	68	180	0	1	68
UPN 260	1369	1368	Vento -Y	PolL	0	0	-1	-68	180	0	-1	-68
UPN 260	1369	1368	Carichi termici	Termico	$\Delta XY=15^{\circ}C, \Delta XZ=15^{\circ}C$							
UPN 260	1369	1368	Pressione dinamica treno inizio	PolL	0	0	-0	-13	180	0	-0	-13
Trave 490												
UPN 260	1370	1369	Peso Proprio	UnifG	0	0	0	38	180	0	0	38
UPN 260	1370	1369	QP Solai	PolG	0	0	0	3	180	0	0	3
UPN 260	1370	1369	QFissi Solai	PolG	0	0	0	30	180	0	0	30
UPN 260	1370	1369	QV Solai	PolG	0	0	0	30	180	0	0	30
UPN 260	1370	1369	Neve	PolL	0	0	1	48	180	0	1	48
UPN 260	1370	1369	Vento +Y	PolL	0	0	1	68	180	0	1	68
UPN 260	1370	1369	Vento -Y	PolL	0	0	-1	-68	180	0	-1	-68
UPN 260	1370	1369	Carichi termici	Termico	$\Delta XY=15^{\circ}C, \Delta XZ=15^{\circ}C$							
Trave 491												
UPN 260	1371	1370	Peso Proprio	UnifG	0	0	0	38	180	0	0	38
UPN 260	1371	1370	QP Solai	PolG	0	0	0	3	180	0	0	3
UPN 260	1371	1370	QFissi Solai	PolG	0	0	0	30	180	0	0	30
UPN 260	1371	1370	QV Solai	PolG	0	0	0	30	180	0	0	30
UPN 260	1371	1370	Neve	PolL	0	0	1	48	180	0	1	48
UPN 260	1371	1370	Vento +Y	PolL	0	0	1	68	180	0	1	68
UPN 260	1371	1370	Vento -Y	PolL	0	0	-1	-68	180	0	-1	-68

Sezione	Ni	Nf	Cond.	Tipo c.	Xi	QXi	QYi	QZi	Xf	QXf	QYf	QZf
UPN 260	1371	1370	Carichi termici	Termico	$\Delta XY=15^{\circ}C, \Delta XZ=15^{\circ}C$							
Trave 492												
UPN 260	1372	1371	Peso Proprio	UnifG	0	0	0	38	180	0	0	38
UPN 260	1372	1371	QP Solai	PolG	0	0	0	3	180	0	0	3
UPN 260	1372	1371	QFissi Solai	PolG	0	0	0	30	180	0	0	30
UPN 260	1372	1371	QV Solai	PolG	0	0	0	30	180	0	0	30
UPN 260	1372	1371	Neve	PolL	0	0	1	48	180	0	1	48
UPN 260	1372	1371	Vento +Y	PolL	0	0	1	68	180	0	1	68
UPN 260	1372	1371	Vento -Y	PolL	0	0	-1	-68	180	0	-1	-68
UPN 260	1372	1371	Carichi termici	Termico	$\Delta XY=15^{\circ}C, \Delta XZ=15^{\circ}C$							
Trave 493												
UPN 260	1373	1372	Peso Proprio	UnifG	0	0	0	38	180	0	0	38
UPN 260	1373	1372	QP Solai	PolG	0	0	0	3	180	0	0	3
UPN 260	1373	1372	QFissi Solai	PolG	0	0	0	30	180	0	0	30
UPN 260	1373	1372	QV Solai	PolG	0	0	0	30	180	0	0	30
UPN 260	1373	1372	Neve	PolL	0	0	1	48	180	0	1	48
UPN 260	1373	1372	Vento +Y	PolL	0	0	1	68	180	0	1	68
UPN 260	1373	1372	Vento -Y	PolL	0	0	-1	-68	180	0	-1	-68
UPN 260	1373	1372	Carichi termici	Termico	$\Delta XY=15^{\circ}C, \Delta XZ=15^{\circ}C$							
Trave 494												
UPN 260	1374	1373	Peso Proprio	UnifG	0	0	0	38	180	0	0	38
UPN 260	1374	1373	QP Solai	PolG	0	0	0	3	180	0	0	3
UPN 260	1374	1373	QFissi Solai	PolG	0	0	0	30	180	0	0	30
UPN 260	1374	1373	QV Solai	PolG	0	0	0	30	180	0	0	30
UPN 260	1374	1373	Neve	PolL	0	0	1	48	180	0	1	48
UPN 260	1374	1373	Vento +Y	PolL	0	0	1	68	180	0	1	68
UPN 260	1374	1373	Vento -Y	PolL	0	0	-1	-68	180	0	-1	-68
UPN 260	1374	1373	Carichi termici	Termico	$\Delta XY=15^{\circ}C, \Delta XZ=15^{\circ}C$							
Trave 495												
UPN 260	1375	1374	Peso Proprio	UnifG	0	0	0	38	180	0	0	38
UPN 260	1375	1374	QP Solai	PolG	0	0	0	3	180	0	0	3
UPN 260	1375	1374	QFissi Solai	PolG	0	0	0	30	180	0	0	30
UPN 260	1375	1374	QV Solai	PolG	0	0	0	30	180	0	0	30
UPN 260	1375	1374	Neve	PolL	0	0	1	48	180	0	1	48
UPN 260	1375	1374	Vento +Y	PolL	0	0	1	68	180	0	1	68
UPN 260	1375	1374	Vento -Y	PolL	0	0	-1	-68	180	0	-1	-68
UPN 260	1375	1374	Carichi termici	Termico	$\Delta XY=15^{\circ}C, \Delta XZ=15^{\circ}C$							
Trave 496												
UPN 260	1376	1375	Peso Proprio	UnifG	0	0	0	38	180	0	0	38
UPN 260	1376	1375	QP Solai	PolG	0	0	0	3	180	0	0	3
UPN 260	1376	1375	QFissi Solai	PolG	0	0	0	30	180	0	0	30
UPN 260	1376	1375	QV Solai	PolG	0	0	0	30	180	0	0	30
UPN 260	1376	1375	Neve	PolL	0	0	1	48	180	0	1	48
UPN 260	1376	1375	Vento +Y	PolL	0	0	1	68	180	0	1	68
UPN 260	1376	1375	Vento -Y	PolL	0	0	-1	-68	180	0	-1	-68
UPN 260	1376	1375	Carichi termici	Termico	$\Delta XY=15^{\circ}C, \Delta XZ=15^{\circ}C$							
Trave 497												
UPN 260	1377	1376	Peso Proprio	UnifG	0	0	0	38	180	0	0	38
UPN 260	1377	1376	QP Solai	PolG	0	0	0	3	180	0	0	3
UPN 260	1377	1376	QFissi Solai	PolG	0	0	0	30	180	0	0	30
UPN 260	1377	1376	QV Solai	PolG	0	0	0	30	180	0	0	30
UPN 260	1377	1376	Neve	PolL	0	0	1	48	180	0	1	48
UPN 260	1377	1376	Vento +Y	PolL	0	0	1	68	180	0	1	68
UPN 260	1377	1376	Vento -Y	PolL	0	0	-1	-68	180	0	-1	-68
UPN 260	1377	1376	Carichi termici	Termico	$\Delta XY=15^{\circ}C, \Delta XZ=15^{\circ}C$							
Trave 498												
UPN 260	1378	1377	Peso Proprio	UnifG	0	0	0	38	180	0	0	38
UPN 260	1378	1377	QP Solai	PolG	0	0	0	3	180	0	0	3
UPN 260	1378	1377	QFissi Solai	PolG	0	0	0	30	180	0	0	30
UPN 260	1378	1377	QV Solai	PolG	0	0	0	30	180	0	0	30
UPN 260	1378	1377	Neve	PolL	0	0	1	48	180	0	1	48
UPN 260	1378	1377	Vento +Y	PolL	0	0	1	68	180	0	1	68
UPN 260	1378	1377	Vento -Y	PolL	0	0	-1	-68	180	0	-1	-68
UPN 260	1378	1377	Carichi termici	Termico	$\Delta XY=15^{\circ}C, \Delta XZ=15^{\circ}C$							
Trave 499												
UPN 260	1379	1378	Peso Proprio	UnifG	0	0	0	38	180	0	0	38
UPN 260	1379	1378	QP Solai	PolG	0	0	0	3	180	0	0	3
UPN 260	1379	1378	QFissi Solai	PolG	0	0	0	30	180	0	0	30
UPN 260	1379	1378	QV Solai	PolG	0	0	0	30	180	0	0	30
UPN 260	1379	1378	Neve	PolL	0	0	1	48	180	0	1	48
UPN 260	1379	1378	Vento +Y	PolL	0	0	1	68	180	0	1	68
UPN 260	1379	1378	Vento -Y	PolL	0	0	-1	-68	180	0	-1	-68
UPN 260	1379	1378	Carichi termici	Termico	$\Delta XY=15^{\circ}C, \Delta XZ=15^{\circ}C$							
Trave 500												
UPN 260	1380	1379	Peso Proprio	UnifG	0	0	0	38	180	0	0	38

Sezione	Ni	Nf	Cond.	Tipo c.	Xi	QXi	QYi	QZi	Xf	QXf	QYf	QZf
UPN 260	1380	1379	QP Solai	PolG	0	0	0	3	180	0	0	3
UPN 260	1380	1379	QFissi Solai	PolG	0	0	0	30	180	0	0	30
UPN 260	1380	1379	QV Solai	PolG	0	0	0	30	180	0	0	30
UPN 260	1380	1379	Neve	PolL	0	0	1	48	180	0	1	48
UPN 260	1380	1379	Vento +Y	PolL	0	0	1	68	180	0	1	68
UPN 260	1380	1379	Vento -Y	PolL	0	0	-1	-68	180	0	-1	-68
UPN 260	1380	1379	Carichi termici	Termico	$\Delta XY=15^{\circ}C, \Delta XZ=15^{\circ}C$							
Trave 501												
UPN 260	1381	1380	Peso Proprio	UnifG	0	0	0	38	180	0	0	38
UPN 260	1381	1380	QP Solai	PolG	0	0	0	3	180	0	0	3
UPN 260	1381	1380	QFissi Solai	PolG	0	0	0	30	180	0	0	30
UPN 260	1381	1380	QV Solai	PolG	0	0	0	30	180	0	0	30
UPN 260	1381	1380	Neve	PolL	0	0	1	48	180	0	1	48
UPN 260	1381	1380	Vento +Y	PolL	0	0	1	68	180	0	1	68
UPN 260	1381	1380	Vento -Y	PolL	0	0	-1	-68	180	0	-1	-68
UPN 260	1381	1380	Carichi termici	Termico	$\Delta XY=15^{\circ}C, \Delta XZ=15^{\circ}C$							
Trave 502												
UPN 260	1382	1381	Peso Proprio	UnifG	0	0	0	38	180	0	0	38
UPN 260	1382	1381	QP Solai	PolG	0	0	0	3	180	0	0	3
UPN 260	1382	1381	QFissi Solai	PolG	0	0	0	30	180	0	0	30
UPN 260	1382	1381	QV Solai	PolG	0	0	0	30	180	0	0	30
UPN 260	1382	1381	Neve	PolL	0	0	1	48	180	0	1	48
UPN 260	1382	1381	Vento +Y	PolL	0	0	1	68	180	0	1	68
UPN 260	1382	1381	Vento -Y	PolL	0	0	-1	-68	180	0	-1	-68
UPN 260	1382	1381	Carichi termici	Termico	$\Delta XY=15^{\circ}C, \Delta XZ=15^{\circ}C$							
Trave 503												
UPN 260	1383	1382	Peso Proprio	UnifG	0	0	0	38	180	0	0	38
UPN 260	1383	1382	QP Solai	PolG	0	0	0	3	180	0	0	3
UPN 260	1383	1382	QFissi Solai	PolG	0	0	0	30	180	0	0	30
UPN 260	1383	1382	QV Solai	PolG	0	0	0	30	180	0	0	30
UPN 260	1383	1382	Neve	PolL	0	0	1	48	180	0	1	48
UPN 260	1383	1382	Vento +Y	PolL	0	0	1	68	180	0	1	68
UPN 260	1383	1382	Vento -Y	PolL	0	0	-1	-68	180	0	-1	-68
UPN 260	1383	1382	Carichi termici	Termico	$\Delta XY=15^{\circ}C, \Delta XZ=15^{\circ}C$							
Trave 504												
UPN 260	1384	1383	Peso Proprio	UnifG	0	0	0	38	180	0	0	38
UPN 260	1384	1383	QP Solai	PolG	0	0	0	3	180	0	0	3
UPN 260	1384	1383	QFissi Solai	PolG	0	0	0	30	180	0	0	30
UPN 260	1384	1383	QV Solai	PolG	0	0	0	30	180	0	0	30
UPN 260	1384	1383	Neve	PolL	0	0	1	48	180	0	1	48
UPN 260	1384	1383	Vento +Y	PolL	0	0	1	68	180	0	1	68
UPN 260	1384	1383	Vento -Y	PolL	0	0	-1	-68	180	0	-1	-68
UPN 260	1384	1383	Carichi termici	Termico	$\Delta XY=15^{\circ}C, \Delta XZ=15^{\circ}C$							
Trave 505												
UPN 260	1385	1384	Peso Proprio	UnifG	0	0	0	38	180	0	0	38
UPN 260	1385	1384	QP Solai	PolG	0	0	0	3	180	0	0	3
UPN 260	1385	1384	QFissi Solai	PolG	0	0	0	30	180	0	0	30
UPN 260	1385	1384	QV Solai	PolG	0	0	0	30	180	0	0	30
UPN 260	1385	1384	Neve	PolL	0	0	1	48	180	0	1	48
UPN 260	1385	1384	Vento +Y	PolL	0	0	1	68	180	0	1	68
UPN 260	1385	1384	Vento -Y	PolL	0	0	-1	-68	180	0	-1	-68
UPN 260	1385	1384	Carichi termici	Termico	$\Delta XY=15^{\circ}C, \Delta XZ=15^{\circ}C$							
Trave 506												
UPN 260	1386	1385	Peso Proprio	UnifG	0	0	0	38	180	0	0	38
UPN 260	1386	1385	QP Solai	PolG	0	0	0	3	180	0	0	3
UPN 260	1386	1385	QFissi Solai	PolG	0	0	0	30	180	0	0	30
UPN 260	1386	1385	QV Solai	PolG	0	0	0	30	180	0	0	30
UPN 260	1386	1385	Neve	PolL	0	0	1	48	180	0	1	48
UPN 260	1386	1385	Vento +Y	PolL	0	0	1	68	180	0	1	68
UPN 260	1386	1385	Vento -Y	PolL	0	0	-1	-68	180	0	-1	-68
UPN 260	1386	1385	Carichi termici	Termico	$\Delta XY=15^{\circ}C, \Delta XZ=15^{\circ}C$							
Trave 507												
UPN 260	1387	1386	Peso Proprio	UnifG	0	0	0	38	180	0	0	38
UPN 260	1387	1386	QP Solai	PolG	0	0	0	3	180	0	0	3
UPN 260	1387	1386	QFissi Solai	PolG	0	0	0	30	180	0	0	30
UPN 260	1387	1386	QV Solai	PolG	0	0	0	30	180	0	0	30
UPN 260	1387	1386	Neve	PolL	0	0	1	48	180	0	1	48
UPN 260	1387	1386	Vento +Y	PolL	0	0	1	68	180	0	1	68
UPN 260	1387	1386	Vento -Y	PolL	0	0	-1	-68	180	0	-1	-68
UPN 260	1387	1386	Carichi termici	Termico	$\Delta XY=15^{\circ}C, \Delta XZ=15^{\circ}C$							
Trave 508												
UPN 260	1388	1387	Peso Proprio	UnifG	0	0	0	38	180	0	0	38
UPN 260	1388	1387	QP Solai	PolG	0	0	0	3	180	0	0	3
UPN 260	1388	1387	QFissi Solai	PolG	0	0	0	30	180	0	0	30
UPN 260	1388	1387	QV Solai	PolG	0	0	0	30	180	0	0	30

Sezione	Ni	Nf	Cond.	Tipo c.	Xi	QXi	QYi	QZi	Xf	QXf	QYf	QZf
UPN 260	1388	1387	Neve	PolL	0	0	1	48	180	0	1	48
UPN 260	1388	1387	Vento +Y	PolL	0	0	1	68	180	0	1	68
UPN 260	1388	1387	Vento -Y	PolL	0	0	-1	-68	180	0	-1	-68
UPN 260	1388	1387	Carichi termici	Termico	$\Delta XY=15^{\circ}C, \Delta XZ=15^{\circ}C$							
Trave 509												
UPN 260	1389	1388	Peso Proprio	UnifG	0	0	0	38	180	0	0	38
UPN 260	1389	1388	QP Solai	PolG	0	0	0	3	180	0	0	3
UPN 260	1389	1388	QFissi Solai	PolG	0	0	0	30	180	0	0	30
UPN 260	1389	1388	QV Solai	PolG	0	0	0	30	180	0	0	30
UPN 260	1389	1388	Neve	PolL	0	0	1	48	180	0	1	48
UPN 260	1389	1388	Vento +Y	PolL	0	0	1	68	180	0	1	68
UPN 260	1389	1388	Vento -Y	PolL	0	0	-1	-68	180	0	-1	-68
UPN 260	1389	1388	Carichi termici	Termico	$\Delta XY=15^{\circ}C, \Delta XZ=15^{\circ}C$							
Trave 510												
UPN 260	1390	1389	Peso Proprio	UnifG	0	0	0	38	180	0	0	38
UPN 260	1390	1389	QP Solai	PolG	0	0	0	3	180	0	0	3
UPN 260	1390	1389	QFissi Solai	PolG	0	0	0	30	180	0	0	30
UPN 260	1390	1389	QV Solai	PolG	0	0	0	30	180	0	0	30
UPN 260	1390	1389	Neve	PolL	0	0	1	48	180	0	1	48
UPN 260	1390	1389	Vento +Y	PolL	0	0	1	68	180	0	1	68
UPN 260	1390	1389	Vento -Y	PolL	0	0	-1	-68	180	0	-1	-68
UPN 260	1390	1389	Carichi termici	Termico	$\Delta XY=15^{\circ}C, \Delta XZ=15^{\circ}C$							
Trave 511												
UPN 260	1391	1390	Peso Proprio	UnifG	0	0	0	38	180	0	0	38
UPN 260	1391	1390	QP Solai	PolG	0	0	0	3	180	0	0	3
UPN 260	1391	1390	QFissi Solai	PolG	0	0	0	30	180	0	0	30
UPN 260	1391	1390	QV Solai	PolG	0	0	0	30	180	0	0	30
UPN 260	1391	1390	Neve	PolL	0	0	1	48	180	0	1	48
UPN 260	1391	1390	Vento +Y	PolL	0	0	1	68	180	0	1	68
UPN 260	1391	1390	Vento -Y	PolL	0	0	-1	-68	180	0	-1	-68
UPN 260	1391	1390	Carichi termici	Termico	$\Delta XY=15^{\circ}C, \Delta XZ=15^{\circ}C$							
Trave 512												
UPN 260	1392	1391	Peso Proprio	UnifG	0	0	0	38	180	0	0	38
UPN 260	1392	1391	QP Solai	PolG	0	0	0	3	180	0	0	3
UPN 260	1392	1391	QFissi Solai	PolG	0	0	0	30	180	0	0	30
UPN 260	1392	1391	QV Solai	PolG	0	0	0	30	180	0	0	30
UPN 260	1392	1391	Neve	PolL	0	0	1	48	180	0	1	48
UPN 260	1392	1391	Vento +Y	PolL	0	0	1	68	180	0	1	68
UPN 260	1392	1391	Vento -Y	PolL	0	0	-1	-68	180	0	-1	-68
UPN 260	1392	1391	Carichi termici	Termico	$\Delta XY=15^{\circ}C, \Delta XZ=15^{\circ}C$							
Trave 513												
UPN 260	1393	1392	Peso Proprio	UnifG	0	0	0	38	180	0	0	38
UPN 260	1393	1392	QP Solai	PolG	0	0	0	3	180	0	0	3
UPN 260	1393	1392	QFissi Solai	PolG	0	0	0	30	180	0	0	30
UPN 260	1393	1392	QV Solai	PolG	0	0	0	30	180	0	0	30
UPN 260	1393	1392	Neve	PolL	0	0	1	48	180	0	1	48
UPN 260	1393	1392	Vento +Y	PolL	0	0	1	68	180	0	1	68
UPN 260	1393	1392	Vento -Y	PolL	0	0	-1	-68	180	0	-1	-68
UPN 260	1393	1392	Carichi termici	Termico	$\Delta XY=15^{\circ}C, \Delta XZ=15^{\circ}C$							
Trave 514												
UPN 260	1394	1393	Peso Proprio	UnifG	0	0	0	38	180	0	0	38
UPN 260	1394	1393	QP Solai	PolG	0	0	0	3	180	0	0	3
UPN 260	1394	1393	QFissi Solai	PolG	0	0	0	30	180	0	0	30
UPN 260	1394	1393	QV Solai	PolG	0	0	0	30	180	0	0	30
UPN 260	1394	1393	Neve	PolL	0	0	1	48	180	0	1	48
UPN 260	1394	1393	Vento +Y	PolL	0	0	1	68	180	0	1	68
UPN 260	1394	1393	Vento -Y	PolL	0	0	-1	-68	180	0	-1	-68
UPN 260	1394	1393	Carichi termici	Termico	$\Delta XY=15^{\circ}C, \Delta XZ=15^{\circ}C$							
Trave 515												
UPN 260	1395	1394	Peso Proprio	UnifG	0	0	0	38	180	0	0	38
UPN 260	1395	1394	QP Solai	PolG	0	0	0	3	180	0	0	3
UPN 260	1395	1394	QFissi Solai	PolG	0	0	0	30	180	0	0	30
UPN 260	1395	1394	QV Solai	PolG	0	0	0	30	180	0	0	30
UPN 260	1395	1394	Neve	PolL	0	0	1	48	180	0	1	48
UPN 260	1395	1394	Vento +Y	PolL	0	0	1	68	180	0	1	68
UPN 260	1395	1394	Vento -Y	PolL	0	0	-1	-68	180	0	-1	-68
UPN 260	1395	1394	Carichi termici	Termico	$\Delta XY=15^{\circ}C, \Delta XZ=15^{\circ}C$							
Trave 516												
UPN 260	1396	1395	Peso Proprio	UnifG	0	0	0	38	180	0	0	38
UPN 260	1396	1395	QP Solai	PolG	0	0	0	3	180	0	0	3
UPN 260	1396	1395	QFissi Solai	PolG	0	0	0	30	180	0	0	30
UPN 260	1396	1395	QV Solai	PolG	0	0	0	30	180	0	0	30
UPN 260	1396	1395	Neve	PolL	0	0	1	48	180	0	1	48
UPN 260	1396	1395	Vento +Y	PolL	0	0	1	68	180	0	1	68
UPN 260	1396	1395	Vento -Y	PolL	0	0	-1	-68	180	0	-1	-68

Sezione	Ni	Nf	Cond.	Tipo c.	Xi	QXi	QYi	QZi	Xf	QXf	QYf	QZf
UPN 260	1396	1395	Carichi termici	Termico	$\Delta XY=15^{\circ}C, \Delta XZ=15^{\circ}C$							
Trave 517												
UPN 260	1397	1396	Peso Proprio	UnifG	0	0	0	38	180	0	0	38
UPN 260	1397	1396	QP Solai	PolG	0	0	0	3	180	0	0	3
UPN 260	1397	1396	QFissi Solai	PolG	0	0	0	30	180	0	0	30
UPN 260	1397	1396	QV Solai	PolG	0	0	0	30	180	0	0	30
UPN 260	1397	1396	Neve	PolL	0	0	1	48	180	0	1	48
UPN 260	1397	1396	Vento +Y	PolL	0	0	1	68	180	0	1	68
UPN 260	1397	1396	Vento -Y	PolL	0	0	-1	-68	180	0	-1	-68
UPN 260	1397	1396	Carichi termici	Termico	$\Delta XY=15^{\circ}C, \Delta XZ=15^{\circ}C$							
Trave 518												
UPN 260	1398	1397	Peso Proprio	UnifG	0	0	0	38	180	0	0	38
UPN 260	1398	1397	QP Solai	PolG	0	0	0	3	180	0	0	3
UPN 260	1398	1397	QFissi Solai	PolG	0	0	0	30	180	0	0	30
UPN 260	1398	1397	QV Solai	PolG	0	0	0	30	180	0	0	30
UPN 260	1398	1397	Neve	PolL	0	0	1	48	180	0	1	48
UPN 260	1398	1397	Vento +Y	PolL	0	0	1	68	180	0	1	68
UPN 260	1398	1397	Vento -Y	PolL	0	0	-1	-68	180	0	-1	-68
UPN 260	1398	1397	Carichi termici	Termico	$\Delta XY=15^{\circ}C, \Delta XZ=15^{\circ}C$							
Trave 519												
UPN 260	1399	1398	Peso Proprio	UnifG	0	0	0	38	180	0	0	38
UPN 260	1399	1398	QP Solai	PolG	0	0	0	3	180	0	0	3
UPN 260	1399	1398	QFissi Solai	PolG	0	0	0	30	180	0	0	30
UPN 260	1399	1398	QV Solai	PolG	0	0	0	30	180	0	0	30
UPN 260	1399	1398	Neve	PolL	0	0	1	48	180	0	1	48
UPN 260	1399	1398	Vento +Y	PolL	0	0	1	68	180	0	1	68
UPN 260	1399	1398	Vento -Y	PolL	0	0	-1	-68	180	0	-1	-68
UPN 260	1399	1398	Carichi termici	Termico	$\Delta XY=15^{\circ}C, \Delta XZ=15^{\circ}C$							
Trave 520												
UPN 260	1400	1399	Peso Proprio	UnifG	0	0	0	38	180	0	0	38
UPN 260	1400	1399	QP Solai	PolG	0	0	0	3	180	0	0	3
UPN 260	1400	1399	QFissi Solai	PolG	0	0	0	30	180	0	0	30
UPN 260	1400	1399	QV Solai	PolG	0	0	0	30	180	0	0	30
UPN 260	1400	1399	Neve	PolL	0	0	1	48	180	0	1	48
UPN 260	1400	1399	Vento +Y	PolL	0	0	1	68	180	0	1	68
UPN 260	1400	1399	Vento -Y	PolL	0	0	-1	-68	180	0	-1	-68
UPN 260	1400	1399	Carichi termici	Termico	$\Delta XY=15^{\circ}C, \Delta XZ=15^{\circ}C$							
UPN 260	1400	1399	Pressione dinamica treno fine	PolL	0	0	0	13	180	0	0	13
Trave 521												
UPN 260	1401	1400	Peso Proprio	UnifG	0	0	0	38	180	0	0	38
UPN 260	1401	1400	QP Solai	PolG	0	0	0	3	180	0	0	3
UPN 260	1401	1400	QFissi Solai	PolG	0	0	0	30	180	0	0	30
UPN 260	1401	1400	QV Solai	PolG	0	0	0	30	180	0	0	30
UPN 260	1401	1400	Neve	PolL	0	0	1	48	180	0	1	48
UPN 260	1401	1400	Vento +Y	PolL	0	0	1	68	180	0	1	68
UPN 260	1401	1400	Vento -Y	PolL	0	0	-1	-68	180	0	-1	-68
UPN 260	1401	1400	Carichi termici	Termico	$\Delta XY=15^{\circ}C, \Delta XZ=15^{\circ}C$							
UPN 260	1401	1400	Pressione dinamica treno fine	PolL	0	0	0	13	180	0	0	13
Trave 522												
UPN 260	1402	1401	Peso Proprio	UnifG	0	0	0	38	180	0	0	38
UPN 260	1402	1401	QP Solai	PolG	0	0	0	3	180	0	0	3
UPN 260	1402	1401	QFissi Solai	PolG	0	0	0	30	180	0	0	30
UPN 260	1402	1401	QV Solai	PolG	0	0	0	30	180	0	0	30
UPN 260	1402	1401	Neve	PolL	0	0	1	48	180	0	1	48
UPN 260	1402	1401	Vento +Y	PolL	0	0	1	68	180	0	1	68
UPN 260	1402	1401	Vento -Y	PolL	0	0	-1	-68	180	0	-1	-68
UPN 260	1402	1401	Carichi termici	Termico	$\Delta XY=15^{\circ}C, \Delta XZ=15^{\circ}C$							
UPN 260	1402	1401	Pressione dinamica treno fine	PolL	0	0	0	13	180	0	0	13
Trave 523												
UPN 260	1403	1402	Peso Proprio	UnifG	0	0	0	38	180	0	0	38
UPN 260	1403	1402	QP Solai	PolG	0	0	0	3	180	0	0	3
UPN 260	1403	1402	QFissi Solai	PolG	0	0	0	30	180	0	0	30
UPN 260	1403	1402	QV Solai	PolG	0	0	0	30	180	0	0	30
UPN 260	1403	1402	Neve	PolL	0	0	1	48	180	0	1	48
UPN 260	1403	1402	Vento +Y	PolL	0	0	1	68	180	0	1	68
UPN 260	1403	1402	Vento -Y	PolL	0	0	-1	-68	180	0	-1	-68
UPN 260	1403	1402	Carichi termici	Termico	$\Delta XY=15^{\circ}C, \Delta XZ=15^{\circ}C$							
UPN 260	1403	1402	Pressione dinamica treno fine	PolL	0	0	-0	-13	180	0	-0	-13
Trave 524												
UPN 260	1404	1403	Peso Proprio	UnifG	0	0	0	38	180	0	0	38
UPN 260	1404	1403	QP Solai	PolG	0	0	0	3	180	0	0	3

Sezione	Ni	Nf	Cond.	Tipo c.	Xi	QXi	QYi	QZi	Xf	QXf	QYf	QZf
UPN 260	1404	1403	QFissi Solai	PolG	0	0	0	30	180	0	0	30
UPN 260	1404	1403	QV Solai	PolG	0	0	0	30	180	0	0	30
UPN 260	1404	1403	Neve	PolL	0	0	1	48	180	0	1	48
UPN 260	1404	1403	Vento +Y	PolL	0	0	1	68	180	0	1	68
UPN 260	1404	1403	Vento -Y	PolL	0	0	-1	-68	180	0	-1	-68
UPN 260	1404	1403	Carichi termici	Termico	$\Delta XY=15^{\circ}C, \Delta XZ=15^{\circ}C$							
UPN 260	1404	1403	Pressione dinamica treno fine	PolL	0	0	-0	-13	180	0	-0	-13
Trave 525												
UPN 260	1405	1404	Peso Proprio	UnifG	0	0	0	38	200	0	0	38
UPN 260	1405	1404	QP Solai	PolG	0	0	0	3	200	0	0	3
UPN 260	1405	1404	QFissi Solai	PolG	0	0	0	30	200	0	0	30
UPN 260	1405	1404	QV Solai	PolG	0	0	0	30	200	0	0	30
UPN 260	1405	1404	Neve	PolL	0	0	1	48	200	0	1	48
UPN 260	1405	1404	Vento +Y	PolL	0	0	1	68	200	0	1	68
UPN 260	1405	1404	Vento -Y	PolL	0	0	-1	-68	200	0	-1	-68
UPN 260	1405	1404	Carichi termici	Termico	$\Delta XY=15^{\circ}C, \Delta XZ=15^{\circ}C$							
UPN 260	1405	1404	Pressione dinamica treno fine	PolL	0	0	-0	-13	200	0	-0	-13
Trave 526												
UPN 260	1023	1066	Peso Proprio	UnifG	0	0	0	38	125	0	0	38
UPN 260	1023	1066	Carichi termici	Termico	$\Delta XY=15^{\circ}C, \Delta XZ=15^{\circ}C$							
UPN 260	1066	1109	Peso Proprio	UnifG	0	0	0	38	125	0	0	38
UPN 260	1066	1109	Carichi termici	Termico	$\Delta XY=15^{\circ}C, \Delta XZ=15^{\circ}C$							
UPN 260	1109	1150	Peso Proprio	UnifG	0	0	0	38	150	0	0	38
UPN 260	1109	1150	Carichi termici	Termico	$\Delta XY=15^{\circ}C, \Delta XZ=15^{\circ}C$							
UPN 260	1150	1193	Peso Proprio	UnifG	0	0	0	38	150	0	0	38
UPN 260	1150	1193	Carichi termici	Termico	$\Delta XY=15^{\circ}C, \Delta XZ=15^{\circ}C$							
UPN 260	1193	1236	Peso Proprio	UnifG	0	0	0	38	150	0	0	38
UPN 260	1193	1236	Carichi termici	Termico	$\Delta XY=15^{\circ}C, \Delta XZ=15^{\circ}C$							
UPN 260	1236	1277	Peso Proprio	UnifG	0	0	0	38	134	0	0	38
UPN 260	1236	1277	Carichi termici	Termico	$\Delta XY=15^{\circ}C, \Delta XZ=15^{\circ}C$							
UPN 260	1277	1320	Peso Proprio	UnifG	0	0	0	38	134	0	0	38
UPN 260	1277	1320	Carichi termici	Termico	$\Delta XY=15^{\circ}C, \Delta XZ=15^{\circ}C$							
UPN 260	1320	1363	Peso Proprio	UnifG	0	0	0	38	119	0	0	38
UPN 260	1320	1363	Carichi termici	Termico	$\Delta XY=15^{\circ}C, \Delta XZ=15^{\circ}C$							
Trave 527												
UPN 260	1065	1108	Peso Proprio	UnifG	0	0	0	38	125	0	0	38
UPN 260	1065	1108	Carichi termici	Termico	$\Delta XY=15^{\circ}C, \Delta XZ=15^{\circ}C$							
UPN 260	1108	1149	Peso Proprio	UnifG	0	0	0	38	125	0	0	38
UPN 260	1108	1149	Carichi termici	Termico	$\Delta XY=15^{\circ}C, \Delta XZ=15^{\circ}C$							
UPN 260	1149	1192	Peso Proprio	UnifG	0	0	0	38	150	0	0	38
UPN 260	1149	1192	Carichi termici	Termico	$\Delta XY=15^{\circ}C, \Delta XZ=15^{\circ}C$							
UPN 260	1192	1235	Peso Proprio	UnifG	0	0	0	38	150	0	0	38
UPN 260	1192	1235	Carichi termici	Termico	$\Delta XY=15^{\circ}C, \Delta XZ=15^{\circ}C$							
UPN 260	1235	1276	Peso Proprio	UnifG	0	0	0	38	150	0	0	38
UPN 260	1235	1276	Carichi termici	Termico	$\Delta XY=15^{\circ}C, \Delta XZ=15^{\circ}C$							
UPN 260	1276	1319	Peso Proprio	UnifG	0	0	0	38	134	0	0	38
UPN 260	1276	1319	Carichi termici	Termico	$\Delta XY=15^{\circ}C, \Delta XZ=15^{\circ}C$							
UPN 260	1319	1362	Peso Proprio	UnifG	0	0	0	38	134	0	0	38
UPN 260	1319	1362	Carichi termici	Termico	$\Delta XY=15^{\circ}C, \Delta XZ=15^{\circ}C$							
UPN 260	1362	1405	Peso Proprio	UnifG	0	0	0	38	119	0	0	38
UPN 260	1362	1405	Carichi termici	Termico	$\Delta XY=15^{\circ}C, \Delta XZ=15^{\circ}C$							
Trave 600												
D20	1023	1067	Peso Proprio	UnifG	0	0	0	2	236	0	0	2
Trave 601												
D20	1066	1024	Peso Proprio	UnifG	0	0	0	2	236	0	0	2
Trave 602												
D20	1024	1068	Peso Proprio	UnifG	0	0	0	2	219	0	0	2
Trave 603												
D20	1068	1026	Peso Proprio	UnifG	0	0	0	2	219	0	0	2
Trave 604												
D20	1364	1322	Peso Proprio	UnifG	0	0	0	2	216	0	0	2
Trave 605												
D20	1363	1321	Peso Proprio	UnifG	0	0	0	2	233	0	0	2
Trave 606												
D20	1322	1366	Peso Proprio	UnifG	0	0	0	2	216	0	0	2
Trave 607												
D20	1320	1364	Peso Proprio	UnifG	0	0	0	2	233	0	0	2
Trave 608												
D20	1070	1028	Peso Proprio	UnifG	0	0	0	2	219	0	0	2
Trave 609												
D20	1026	1070	Peso Proprio	UnifG	0	0	0	2	219	0	0	2
Trave 610												
D20	1324	1368	Peso Proprio	UnifG	0	0	0	2	216	0	0	2

Sezione	Ni	Nf	Cond.	Tipo c.	Xi	QXi	QYi	QZi	Xf	QXf	QYf	QZf
Trave 611												
D20	1366	1324	Peso Proprio	UnifG	0	0	0	2	216	0	0	2
Trave 612												
UPN 260	1023	1024	Peso Proprio	UnifG	0	0	0	38	200	0	0	38
UPN 260	1023	1024	QP Solai	PolG	0	0	0	3	200	0	0	3
UPN 260	1023	1024	QFissi Solai	PolG	0	0	0	31	200	0	0	31
UPN 260	1023	1024	QV Solai	PolG	0	0	0	31	200	0	0	31
UPN 260	1023	1024	Neve	PolL	0	0	-1	50	200	0	-1	50
UPN 260	1023	1024	Vento +Y	PolL	0	0	-1	72	200	0	-1	72
UPN 260	1023	1024	Vento -Y	PolL	0	0	1	-72	200	0	1	-72
UPN 260	1023	1024	Carichi termici	Termico	$\Delta XY=15^{\circ}C, \Delta XZ=15^{\circ}C$							
Trave 613												
D20	1028	1072	Peso Proprio	UnifG	0	0	0	2	219	0	0	2
Trave 614												
D20	1326	1370	Peso Proprio	UnifG	0	0	0	2	216	0	0	2
Trave 615												
D20	1368	1326	Peso Proprio	UnifG	0	0	0	2	216	0	0	2
Trave 616												
D20	1074	1032	Peso Proprio	UnifG	0	0	0	2	219	0	0	2
Trave 617												
D20	1030	1074	Peso Proprio	UnifG	0	0	0	2	219	0	0	2
Trave 618												
D20	1328	1372	Peso Proprio	UnifG	0	0	0	2	216	0	0	2
Trave 619												
D20	1370	1328	Peso Proprio	UnifG	0	0	0	2	216	0	0	2
Trave 620												
D20	1076	1034	Peso Proprio	UnifG	0	0	0	2	219	0	0	2
Trave 621												
D20	1032	1076	Peso Proprio	UnifG	0	0	0	2	219	0	0	2
Trave 622												
D20	1330	1374	Peso Proprio	UnifG	0	0	0	2	216	0	0	2
Trave 623												
D20	1372	1330	Peso Proprio	UnifG	0	0	0	2	216	0	0	2
Trave 624												
D20	1078	1036	Peso Proprio	UnifG	0	0	0	2	219	0	0	2
Trave 625												
D20	1034	1078	Peso Proprio	UnifG	0	0	0	2	219	0	0	2
Trave 626												
D20	1332	1376	Peso Proprio	UnifG	0	0	0	2	216	0	0	2
Trave 627												
D20	1374	1332	Peso Proprio	UnifG	0	0	0	2	216	0	0	2
Trave 628												
D20	1080	1038	Peso Proprio	UnifG	0	0	0	2	219	0	0	2
Trave 629												
D20	1036	1080	Peso Proprio	UnifG	0	0	0	2	219	0	0	2
Trave 630												
D20	1334	1378	Peso Proprio	UnifG	0	0	0	2	216	0	0	2
Trave 631												
D20	1376	1334	Peso Proprio	UnifG	0	0	0	2	216	0	0	2
Trave 632												
D20	1082	1040	Peso Proprio	UnifG	0	0	0	2	219	0	0	2
Trave 633												
D20	1038	1082	Peso Proprio	UnifG	0	0	0	2	219	0	0	2
Trave 634												
D20	1336	1380	Peso Proprio	UnifG	0	0	0	2	216	0	0	2
Trave 635												
D20	1378	1336	Peso Proprio	UnifG	0	0	0	2	216	0	0	2
Trave 636												
D20	1084	1042	Peso Proprio	UnifG	0	0	0	2	219	0	0	2
Trave 637												
D20	1040	1084	Peso Proprio	UnifG	0	0	0	2	219	0	0	2
Trave 638												
D20	1338	1382	Peso Proprio	UnifG	0	0	0	2	216	0	0	2
Trave 639												
D20	1380	1338	Peso Proprio	UnifG	0	0	0	2	216	0	0	2
Trave 640												
D20	1086	1044	Peso Proprio	UnifG	0	0	0	2	219	0	0	2
Trave 641												
D20	1042	1086	Peso Proprio	UnifG	0	0	0	2	219	0	0	2
Trave 642												
D20	1340	1384	Peso Proprio	UnifG	0	0	0	2	216	0	0	2
Trave 643												
D20	1382	1340	Peso Proprio	UnifG	0	0	0	2	216	0	0	2
Trave 644												
D20	1088	1046	Peso Proprio	UnifG	0	0	0	2	219	0	0	2
Trave 645												

Sezione	Ni	Nf	Cond.	Tipo c.	Xi	QXi	QYi	QZi	Xf	QXf	QYf	QZf
D20	1044	1088	Peso Proprio	UnifG	0	0	0	2	219	0	0	2
Trave 646												
D20	1342	1386	Peso Proprio	UnifG	0	0	0	2	216	0	0	2
Trave 647												
D20	1384	1342	Peso Proprio	UnifG	0	0	0	2	216	0	0	2
Trave 648												
D20	1090	1048	Peso Proprio	UnifG	0	0	0	2	219	0	0	2
Trave 649												
D20	1046	1090	Peso Proprio	UnifG	0	0	0	2	219	0	0	2
Trave 650												
D20	1344	1388	Peso Proprio	UnifG	0	0	0	2	216	0	0	2
Trave 651												
D20	1386	1344	Peso Proprio	UnifG	0	0	0	2	216	0	0	2
Trave 652												
D20	1092	1050	Peso Proprio	UnifG	0	0	0	2	219	0	0	2
Trave 653												
D20	1048	1092	Peso Proprio	UnifG	0	0	0	2	219	0	0	2
Trave 654												
D20	1346	1390	Peso Proprio	UnifG	0	0	0	2	216	0	0	2
Trave 655												
D20	1388	1346	Peso Proprio	UnifG	0	0	0	2	216	0	0	2
Trave 656												
D20	1094	1052	Peso Proprio	UnifG	0	0	0	2	219	0	0	2
Trave 657												
D20	1050	1094	Peso Proprio	UnifG	0	0	0	2	219	0	0	2
Trave 658												
D20	1348	1392	Peso Proprio	UnifG	0	0	0	2	216	0	0	2
Trave 659												
D20	1390	1348	Peso Proprio	UnifG	0	0	0	2	216	0	0	2
Trave 660												
D20	1096	1054	Peso Proprio	UnifG	0	0	0	2	219	0	0	2
Trave 661												
D20	1052	1096	Peso Proprio	UnifG	0	0	0	2	219	0	0	2
Trave 662												
D20	1350	1394	Peso Proprio	UnifG	0	0	0	2	216	0	0	2
Trave 663												
D20	1392	1350	Peso Proprio	UnifG	0	0	0	2	216	0	0	2
Trave 664												
D20	1098	1056	Peso Proprio	UnifG	0	0	0	2	219	0	0	2
Trave 665												
D20	1054	1098	Peso Proprio	UnifG	0	0	0	2	219	0	0	2
Trave 666												
D20	1352	1396	Peso Proprio	UnifG	0	0	0	2	216	0	0	2
Trave 667												
D20	1394	1352	Peso Proprio	UnifG	0	0	0	2	216	0	0	2
Trave 668												
D20	1100	1058	Peso Proprio	UnifG	0	0	0	2	219	0	0	2
Trave 669												
D20	1056	1100	Peso Proprio	UnifG	0	0	0	2	219	0	0	2
Trave 670												
D20	1354	1398	Peso Proprio	UnifG	0	0	0	2	216	0	0	2
Trave 671												
D20	1396	1354	Peso Proprio	UnifG	0	0	0	2	216	0	0	2
Trave 672												
D20	1102	1060	Peso Proprio	UnifG	0	0	0	2	219	0	0	2
Trave 673												
D20	1058	1102	Peso Proprio	UnifG	0	0	0	2	219	0	0	2
Trave 674												
D20	1356	1400	Peso Proprio	UnifG	0	0	0	2	216	0	0	2
Trave 675												
D20	1398	1356	Peso Proprio	UnifG	0	0	0	2	216	0	0	2
Trave 676												
D20	1104	1062	Peso Proprio	UnifG	0	0	0	2	219	0	0	2
Trave 677												
D20	1060	1104	Peso Proprio	UnifG	0	0	0	2	219	0	0	2
Trave 678												
D20	1358	1402	Peso Proprio	UnifG	0	0	0	2	216	0	0	2
Trave 679												
D20	1400	1358	Peso Proprio	UnifG	0	0	0	2	216	0	0	2
Trave 680												
D20	1106	1064	Peso Proprio	UnifG	0	0	0	2	219	0	0	2
Trave 681												
D20	1062	1106	Peso Proprio	UnifG	0	0	0	2	219	0	0	2
Trave 682												
D20	1360	1404	Peso Proprio	UnifG	0	0	0	2	216	0	0	2
Trave 683												

Sezione	Ni	Nf	Cond.	Tipo c.	Xi	QXi	QYi	QZi	Xf	QXf	QYf	QZf
D20	1402	1360	Peso Proprio	UnifG	0	0	0	2	216	0	0	2
Trave 684												
D20	1194	1152	Peso Proprio	UnifG	0	0	0	2	234	0	0	2
Trave 685												
D20	1151	1195	Peso Proprio	UnifG	0	0	0	2	234	0	0	2
Trave 686												
D20	1195	1153	Peso Proprio	UnifG	0	0	0	2	234	0	0	2
Trave 687												
D20	1152	1196	Peso Proprio	UnifG	0	0	0	2	234	0	0	2
Trave 688												
D20	1196	1154	Peso Proprio	UnifG	0	0	0	2	234	0	0	2
Trave 689												
D20	1153	1197	Peso Proprio	UnifG	0	0	0	2	234	0	0	2
Trave 690												
D20	1197	1155	Peso Proprio	UnifG	0	0	0	2	234	0	0	2
Trave 691												
D20	1154	1198	Peso Proprio	UnifG	0	0	0	2	234	0	0	2
Trave 692												
D20	1198	1156	Peso Proprio	UnifG	0	0	0	2	234	0	0	2
Trave 693												
D20	1155	1199	Peso Proprio	UnifG	0	0	0	2	234	0	0	2
Trave 694												
D20	1199	1157	Peso Proprio	UnifG	0	0	0	2	234	0	0	2
Trave 695												
D20	1156	1200	Peso Proprio	UnifG	0	0	0	2	234	0	0	2
Trave 696												
D20	1200	1158	Peso Proprio	UnifG	0	0	0	2	234	0	0	2
Trave 697												
D20	1157	1201	Peso Proprio	UnifG	0	0	0	2	234	0	0	2
Trave 698												
D20	1201	1159	Peso Proprio	UnifG	0	0	0	2	234	0	0	2
Trave 699												
D20	1158	1202	Peso Proprio	UnifG	0	0	0	2	234	0	0	2
Trave 700												
D20	1202	1160	Peso Proprio	UnifG	0	0	0	2	234	0	0	2
Trave 701												
D20	1159	1203	Peso Proprio	UnifG	0	0	0	2	234	0	0	2
Trave 702												
D20	1203	1161	Peso Proprio	UnifG	0	0	0	2	234	0	0	2
Trave 703												
D20	1160	1204	Peso Proprio	UnifG	0	0	0	2	234	0	0	2
Trave 704												
D20	1204	1162	Peso Proprio	UnifG	0	0	0	2	234	0	0	2
Trave 705												
D20	1161	1205	Peso Proprio	UnifG	0	0	0	2	234	0	0	2
Trave 706												
D20	1205	1163	Peso Proprio	UnifG	0	0	0	2	234	0	0	2
Trave 707												
D20	1162	1206	Peso Proprio	UnifG	0	0	0	2	234	0	0	2
Trave 708												
D20	1206	1164	Peso Proprio	UnifG	0	0	0	2	234	0	0	2
Trave 709												
D20	1163	1207	Peso Proprio	UnifG	0	0	0	2	234	0	0	2
Trave 710												
D20	1207	1165	Peso Proprio	UnifG	0	0	0	2	234	0	0	2
Trave 711												
D20	1164	1208	Peso Proprio	UnifG	0	0	0	2	234	0	0	2
Trave 712												
D20	1208	1166	Peso Proprio	UnifG	0	0	0	2	234	0	0	2
Trave 713												
D20	1165	1209	Peso Proprio	UnifG	0	0	0	2	234	0	0	2
Trave 714												
D20	1209	1167	Peso Proprio	UnifG	0	0	0	2	234	0	0	2
Trave 715												
D20	1166	1210	Peso Proprio	UnifG	0	0	0	2	234	0	0	2
Trave 716												
D20	1210	1168	Peso Proprio	UnifG	0	0	0	2	234	0	0	2
Trave 717												
D20	1167	1211	Peso Proprio	UnifG	0	0	0	2	234	0	0	2
Trave 718												
D20	1211	1169	Peso Proprio	UnifG	0	0	0	2	234	0	0	2
Trave 719												
D20	1168	1212	Peso Proprio	UnifG	0	0	0	2	234	0	0	2
Trave 720												
D20	1212	1170	Peso Proprio	UnifG	0	0	0	2	234	0	0	2
Trave 721												

Sezione	Ni	Nf	Cond.	Tipo c.	Xi	QXi	QYi	QZi	Xf	QXf	QYf	QZf
D20	1169	1213	Peso Proprio	UnifG	0	0	0	2	234	0	0	2
Trave 722												
D20	1213	1171	Peso Proprio	UnifG	0	0	0	2	234	0	0	2
Trave 723												
D20	1170	1214	Peso Proprio	UnifG	0	0	0	2	234	0	0	2
Trave 724												
D20	1214	1172	Peso Proprio	UnifG	0	0	0	2	234	0	0	2
Trave 725												
D20	1171	1215	Peso Proprio	UnifG	0	0	0	2	234	0	0	2
Trave 726												
D20	1215	1173	Peso Proprio	UnifG	0	0	0	2	234	0	0	2
Trave 727												
D20	1172	1216	Peso Proprio	UnifG	0	0	0	2	234	0	0	2
Trave 728												
D20	1216	1174	Peso Proprio	UnifG	0	0	0	2	234	0	0	2
Trave 729												
D20	1173	1217	Peso Proprio	UnifG	0	0	0	2	234	0	0	2
Trave 730												
D20	1217	1175	Peso Proprio	UnifG	0	0	0	2	234	0	0	2
Trave 731												
D20	1174	1218	Peso Proprio	UnifG	0	0	0	2	234	0	0	2
Trave 732												
D20	1218	1176	Peso Proprio	UnifG	0	0	0	2	234	0	0	2
Trave 733												
D20	1175	1219	Peso Proprio	UnifG	0	0	0	2	234	0	0	2
Trave 734												
D20	1219	1177	Peso Proprio	UnifG	0	0	0	2	234	0	0	2
Trave 735												
D20	1176	1220	Peso Proprio	UnifG	0	0	0	2	234	0	0	2
Trave 736												
D20	1220	1178	Peso Proprio	UnifG	0	0	0	2	234	0	0	2
Trave 737												
D20	1177	1221	Peso Proprio	UnifG	0	0	0	2	234	0	0	2
Trave 738												
D20	1221	1179	Peso Proprio	UnifG	0	0	0	2	234	0	0	2
Trave 739												
D20	1178	1222	Peso Proprio	UnifG	0	0	0	2	234	0	0	2
Trave 740												
D20	1222	1180	Peso Proprio	UnifG	0	0	0	2	234	0	0	2
Trave 741												
D20	1179	1223	Peso Proprio	UnifG	0	0	0	2	234	0	0	2
Trave 742												
D20	1223	1181	Peso Proprio	UnifG	0	0	0	2	234	0	0	2
Trave 743												
D20	1180	1224	Peso Proprio	UnifG	0	0	0	2	234	0	0	2
Trave 744												
D20	1224	1182	Peso Proprio	UnifG	0	0	0	2	234	0	0	2
Trave 745												
D20	1181	1225	Peso Proprio	UnifG	0	0	0	2	234	0	0	2
Trave 746												
D20	1225	1183	Peso Proprio	UnifG	0	0	0	2	234	0	0	2
Trave 747												
D20	1182	1226	Peso Proprio	UnifG	0	0	0	2	234	0	0	2
Trave 748												
D20	1226	1184	Peso Proprio	UnifG	0	0	0	2	234	0	0	2
Trave 749												
D20	1183	1227	Peso Proprio	UnifG	0	0	0	2	234	0	0	2
Trave 750												
D20	1227	1185	Peso Proprio	UnifG	0	0	0	2	234	0	0	2
Trave 751												
D20	1184	1228	Peso Proprio	UnifG	0	0	0	2	234	0	0	2
Trave 752												
D20	1228	1186	Peso Proprio	UnifG	0	0	0	2	234	0	0	2
Trave 753												
D20	1185	1229	Peso Proprio	UnifG	0	0	0	2	234	0	0	2
Trave 754												
D20	1229	1187	Peso Proprio	UnifG	0	0	0	2	234	0	0	2
Trave 755												
D20	1186	1230	Peso Proprio	UnifG	0	0	0	2	234	0	0	2
Trave 756												
D20	1230	1188	Peso Proprio	UnifG	0	0	0	2	234	0	0	2
Trave 757												
D20	1187	1231	Peso Proprio	UnifG	0	0	0	2	234	0	0	2
Trave 758												
D20	1231	1189	Peso Proprio	UnifG	0	0	0	2	234	0	0	2
Trave 759												

Sezione	Ni	Nf	Cond.	Tipo c.	Xi	QXi	QYi	QZi	Xf	QXf	QYf	QZf
D20	1188	1232	Peso Proprio	UnifG	0	0	0	2	234	0	0	2
Trave 760												
D20	1232	1190	Peso Proprio	UnifG	0	0	0	2	234	0	0	2
Trave 761												
D20	1189	1233	Peso Proprio	UnifG	0	0	0	2	234	0	0	2
Trave 762												
D20	1233	1191	Peso Proprio	UnifG	0	0	0	2	234	0	0	2
Trave 763												
D20	1190	1234	Peso Proprio	UnifG	0	0	0	2	234	0	0	2
Trave 764												
D20	1066	1001	Peso Proprio	UnifG	0	0	0	2	236	0	0	2
Trave 765												
D20	1001	1150	Peso Proprio	UnifG	0	0	0	2	250	0	0	2
Trave 766												
D20	1150	1194	Peso Proprio	UnifG	0	0	0	2	250	0	0	2
Trave 767												
D20	1194	1236	Peso Proprio	UnifG	0	0	0	2	250	0	0	2
Trave 768												
D20	1236	1278	Peso Proprio	UnifG	0	0	0	2	241	0	0	2
Trave 769												
D20	1278	1320	Peso Proprio	UnifG	0	0	0	2	241	0	0	2
Trave 770												
D20	1067	1109	Peso Proprio	UnifG	0	0	0	2	236	0	0	2
Trave 771												
D20	1109	1151	Peso Proprio	UnifG	0	0	0	2	250	0	0	2
Trave 772												
D20	1151	1193	Peso Proprio	UnifG	0	0	0	2	250	0	0	2
Trave 773												
D20	1193	1012	Peso Proprio	UnifG	0	0	0	2	250	0	0	2
Trave 774												
D20	1012	1277	Peso Proprio	UnifG	0	0	0	2	241	0	0	2
Trave 775												
D20	1277	1321	Peso Proprio	UnifG	0	0	0	2	241	0	0	2
Trave 776												
D20	1107	1065	Peso Proprio	UnifG	0	0	0	2	236	0	0	2
Trave 777												
D20	1064	1108	Peso Proprio	UnifG	0	0	0	2	236	0	0	2
Trave 778												
D20	1107	1149	Peso Proprio	UnifG	0	0	0	2	236	0	0	2
Trave 779												
D20	1108	1011	Peso Proprio	UnifG	0	0	0	2	236	0	0	2
Trave 780												
D20	1149	1191	Peso Proprio	UnifG	0	0	0	2	250	0	0	2
Trave 781												
D20	1011	1192	Peso Proprio	UnifG	0	0	0	2	250	0	0	2
Trave 782												
D20	1191	1235	Peso Proprio	UnifG	0	0	0	2	250	0	0	2
Trave 783												
D20	1192	1234	Peso Proprio	UnifG	0	0	0	2	250	0	0	2
Trave 784												
D20	1235	1022	Peso Proprio	UnifG	0	0	0	2	250	0	0	2
Trave 785												
D20	1234	1276	Peso Proprio	UnifG	0	0	0	2	250	0	0	2
Trave 786												
D20	1022	1319	Peso Proprio	UnifG	0	0	0	2	241	0	0	2
Trave 787												
D20	1276	1318	Peso Proprio	UnifG	0	0	0	2	241	0	0	2
Trave 788												
D20	1319	1361	Peso Proprio	UnifG	0	0	0	2	241	0	0	2
Trave 789												
D20	1318	1362	Peso Proprio	UnifG	0	0	0	2	241	0	0	2
Trave 790												
D20	1404	1362	Peso Proprio	UnifG	0	0	0	2	233	0	0	2
Trave 791												
D20	1361	1405	Peso Proprio	UnifG	0	0	0	2	233	0	0	2
Trave 792												
D20	1072	1030	Peso Proprio	UnifG	0	0	0	2	219	0	0	2

Tabella solai tipo

Sol.N°	Descrizione	Spessore	QP	QF	QVar.	ψ0	ψ1	ψ2	Luce netta	Def	%QX	%QY
		cm	kg/mq	kg/mq	kg/mq							
1	Coperture Acciaio	8	5	50	50	0.00	0.00	0.00	No	Si	100	0

Plinti - Geometria e vincoli

N.	Nodo	X	Y	Z	Tipo	Materiale	Criterio	f.f.	F.Rig.Ass	F.Rig.Rot
		mm	mm	mm						
108	1	51500	250	-800	180x180	C25/30	CLS_Plinti_ND	55	1.000	1.000
109	3	58700	250	-800	180x180	C25/30	CLS_Plinti_ND	55	1.000	1.000
110	2	65900	250	-800	180x180	C25/30	CLS_Plinti_ND	55	1.000	1.000
111	7	73100	250	-800	180x180	C25/30	CLS_Plinti_ND	55	1.000	1.000
119	4	51500	4750	-800	180x180	C25/30	CLS_Plinti_ND	55	1.000	1.000
120	6	58700	4750	-800	180x180	C25/30	CLS_Plinti_ND	55	1.000	1.000
121	8	65900	4750	-800	180x180	C25/30	CLS_Plinti_ND	55	1.000	1.000
122	5	73100	4750	-800	180x180	C25/30	CLS_Plinti_ND	55	1.000	1.000

5. Tabulati di verifica

L'esito di ogni elaborazione viene sintetizzato nei disegni e schemi grafici allegati, che evidenziano i valori numerici nei punti e/o nelle sezioni significative, ai fini della valutazione del comportamento complessivo della struttura, e quelli necessari ai fini delle verifiche di misura della sicurezza.

Di seguito si riportano le tabelle relative a:

- Baricentri rigidezze e masse
- Forze sismiche e masse
- Taglianti di piano
- Spostamenti Relativi dei nodi (SLD)
- Fattori di partecipazione e masse modali
- Massime sollecitazioni travi
- Massime sollecitazioni pilastri

Centri di rigidezza e Centri di massa

Scenario di calcolo: **Set_SLV_SLD**

Scenario Sisma Verticale: **Set_SLV_SLD-Verticale**

Centri rigidezze

Piano	Kx	Ky	Kxy	K ϕ	X	Y	r/l>0.8
	kg/cm	kg/cm	kg/cm	kg*cm/rad	cm	cm	
1	2.484852E04	4.782265E04	7.409259E-02	2.536203E11	3710	244	1.039

Ellissi delle rigidezze

Piano	K ξ	K η	alfa	r ξ	r η
	kg/cm	kg/cm	°	cm	cm
1	2.484852E04	4.782265E04	-0	2303	3195

Baricentri masse per posizione masse

Piano	Pos.Masse	X	Y	Peso Sism.
		cm	cm	kg
0	1	0	0	0
0	2	0	0	0
0	3	0	0	0
0	4	0	0	0
1	1	3710	253	107034
1	2	4090	307	107034
1	3	3710	361	107034
1	4	3330	307	107034

Risultati Analisi Dinamica - Baricentri masse e masse

Scenario di calcolo: **Set_NT_SLV_SLD_A2_STR/GEO**

Scenario Sisma Verticale: **Set_SLV_SLD-Z**

Combinazione masse 1

Piano	Rigido	Massa	X	Y	Z
		kg	cm	cm	cm
0	No	0	0	0	0
1	No	107034	3710	253	462

Combinazione masse 2

Piano	Rigido	Massa	X	Y	Z
		kg	cm	cm	cm
0	No	0	0	0	0
1	No	107034	4090	307	462

Combinazione masse 3

Piano	Rigido	Massa	X	Y	Z
		kg	cm	cm	cm
0	No	0	0	0	0
1	No	107034	3710	361	462

Combinazione masse 4

Piano	Rigido	Massa	X	Y	Z
		kg	cm	cm	cm
0	No	0	0	0	0
1	No	107034	3330	307	462

Taglianti di pianoScenario di calcolo: **Set_SLV_SLD**Scenario Sisma Verticale: **Set_SLV_SLD-Verticale**

I taglianti sono dati per combinazioni di calcolo C-S-Pm con C=Combinazione(1,2,...) S=Sisma(I,II) Pm=posizione masse(1,2,...). Le azioni, complessive, sono riferite al sistema di riferimento globale.

 $\Theta = Fz \cdot dr / (Fh \cdot H)$ con:

- Fz Forza verticale
- dr Spostamento medio del piano rispetto al piano inferiore
- Fh Tagliante
- H Altezza del piano

dx spostamento medio di piano in direzione X

dy spostamento medio di piano in direzione Y

dr $\sqrt{((dxs-dxi)^2 + (dys-dyi)^2)^{0.5}}$ s=impalcato superiore i=impalcato inferiore

Nel caso di combinazioni sismiche l'aliquota dovuta al sisma di dx e dy è valutata secondo le indicazioni in 7.3.3, moltiplicando lo spostamento per μd

Combinazione: 20-I-1 (SISMAX_SLV_X)

Piano	Fx	Fy	Fz	dx	dy	Θ
	kg	kg	kg	mm	mm	
0	-24837	-1377	113102	0.00	0.00	--
1	24837	1377	-103654	0.26	0.00	0.000232

Piano	FxPil/Isol.	FyPil/Isol.	FxPar	FyPar	FxShell	FyShell	FxTot	FyTot
	kg	kg	kg	kg	kg	kg	kg	kg
0	-24837	-1377	0	0	0	0	-24837	-1377
1	24837	1377	0	0	0	0	24837	1377

Percentuali assorbite in direzione X

Piano	%Pil/Isol. FX	%Par. FX	%Shell. FX
0		100.00	0.00
1		100.00	0.00

Percentuali assorbite in direzione Y

Piano	%Pil/Isol. FY	%Par. FY	%Shell. FY
0		100.00	0.00
1		100.00	0.00

Combinazione: 20-I-2 (SISMAX_SLV_X)

Piano	Fx	Fy	Fz	dx	dy	Θ
	kg	kg	kg	mm	mm	
0	-24799	-1256	113026	0.00	0.00	--
1	24799	1256	-103578	0.26	0.00	0.000232

Piano	FxPil/Isol.	FyPil/Isol.	FxPar	FyPar	FxShell	FyShell	FxTot	FyTot
	kg	kg	kg	kg	kg	kg	kg	kg
0	-24799	-1256	0	0	0	0	-24799	-1256
1	24799	1256	0	0	0	0	24799	1256

Percentuali assorbite in direzione X

Piano	%Pil/Isol. FX	%Par. FX	%Shell. FX
0	100.00	0.00	0.00
1	100.00	0.00	0.00

Percentuali assorbite in direzione Y

Piano	%Pil/Isol. FY	%Par. FY	%Shell. FY
0	100.00	0.00	0.00
1	100.00	0.00	0.00

Combinazione: 20-I-3 (SISMAX_SLV_X)

Piano	Fx	Fy	Fz	dx	dy	⊖
	kg	kg	kg	mm	mm	
0	-24736	-1377	113102	0.00	0.00	--
1	24736	1377	-103653	0.26	0.00	0.000232

Piano	FxPil/Isol.	FyPil/Isol.	FxPar	FyPar	FxShell	FyShell	FxTot	FyTot
	kg	kg	kg	kg	kg	kg	kg	kg
0	-24736	-1377	0	0	0	0	-24736	-1377
1	24736	1377	0	0	0	0	24736	1377

Percentuali assorbite in direzione X

Piano	%Pil/Isol. FX	%Par. FX	%Shell. FX
0	100.00	0.00	0.00
1	100.00	0.00	0.00

Percentuali assorbite in direzione Y

Piano	%Pil/Isol. FY	%Par. FY	%Shell. FY
0	100.00	0.00	0.00
1	100.00	0.00	0.00

Combinazione: 20-I-4 (SISMAX_SLV_X)

Piano	Fx	Fy	Fz	dx	dy	⊖
	kg	kg	kg	mm	mm	
0	-24799	-1499	113116	0.00	0.00	--
1	24799	1499	-103667	0.26	0.00	0.000232

Piano	FxPil/Isol.	FyPil/Isol.	FxPar	FyPar	FxShell	FyShell	FxTot	FyTot
	kg	kg	kg	kg	kg	kg	kg	kg
0	-24799	-1499	0	0	0	0	-24799	-1499
1	24799	1499	0	0	0	0	24799	1499

Percentuali assorbite in direzione X

Piano	%Pil/Isol. FX	%Par. FX	%Shell. FX
0	100.00	0.00	0.00
1	100.00	0.00	0.00

Percentuali assorbite in direzione Y

Piano	%Pil/Isol. FY	%Par. FY	%Shell. FY
0	100.00	0.00	0.00
1	100.00	0.00	0.00

Combinazione: 21-I-1 (SISMAY_SLV_Y)

Piano	Fx	Fy	Fz	dx	dy	⊖
	kg	kg	kg	mm	mm	
0	-426	-25148	113312	0.00	0.00	--
1	426	25148	-103863	0.00	0.13	0.000112

Piano	FxPil/Isol.	FyPil/Isol.	FxPar	FyPar	FxShell	FyShell	FxTot	FyTot
	kg	kg	kg	kg	kg	kg	kg	kg
0	-426	-25148	0	0	0	0	-426	-25148
1	426	25148	0	0	0	0	426	25148

Percentuali assorbite in direzione X

Piano	%Pil/Isol. FX	%Par. FX	%Shell. FX
0	100.00	0.00	0.00
1	100.00	0.00	0.00

Percentuali assorbite in direzione Y

Piano	%Pil/Isol. FY	%Par. FY	%Shell. FY
0	100.00	0.00	0.00
1	100.00	0.00	0.00

Combinazione: 21-I-2 (SISMAY_SLV_Y)

Piano	Fx	Fy	Fz	dx	dy	⊖
	kg	kg	kg	mm	mm	
0	-1046	-24449	113731	0.00	0.00	--
1	1046	24449	-104282	0.01	0.12	0.000113

Piano	FxPil/Isol.	FyPil/Isol.	FxPar	FyPar	FxShell	FyShell	FxTot	FyTot
	kg	kg	kg	kg	kg	kg	kg	kg
0	-1046	-24449	0	0	0	0	-1046	-24449
1	1046	24449	0	0	0	0	1046	24449

Percentuali assorbite in direzione X

Piano	%Pil/Isol. FX	%Par. FX	%Shell. FX
0	100.00	0.00	0.00
1	100.00	0.00	0.00

Percentuali assorbite in direzione Y

Piano	%Pil/Isol. FY	%Par. FY	%Shell. FY
0	100.00	0.00	0.00
1	100.00	0.00	0.00

Combinazione: 21-I-3 (SISMAY_SLV_Y)

Piano	Fx	Fy	Fz	dx	dy	⊖
	kg	kg	kg	mm	mm	
0	-426	-24770	114085	0.00	0.00	--
1	426	24770	-104637	0.00	0.12	0.000114

Piano	FxPil/Isol.	FyPil/Isol.	FxPar	FyPar	FxShell	FyShell	FxTot	FyTot
	kg	kg	kg	kg	kg	kg	kg	kg
0	-426	-24770	0	0	0	0	-426	-24770
1	426	24770	0	0	0	0	426	24770

Percentuali assorbite in direzione X

Piano	%Pil/Isol. FX	%Par. FX	%Shell. FX
0	100.00	0.00	0.00
1	100.00	0.00	0.00

Percentuali assorbite in direzione Y

Piano	%Pil/Isol. FY	%Par. FY	%Shell. FY
0	100.00	0.00	0.00
1	100.00	0.00	0.00

Combinazione: 21-I-4 (SISMAY_SLV_Y)

Piano	Fx	Fy	Fz	dx	dy	⊖
	kg	kg	kg	mm	mm	
0	193	-24448	113730	0.00	0.00	--
1	-193	24448	-104282	-0.00	0.12	0.000113

Piano	FxPil/Isol.	FyPil/Isol.	FxPar	FyPar	FxShell	FyShell	FxTot	FyTot
	kg	kg	kg	kg	kg	kg	kg	kg
0	193	-24448	0	0	0	0	193	-24448
1	-193	24448	0	0	0	0	-193	24448

Percentuali assorbite in direzione X

Piano	%Pil/Isol. FX	%Par. FX	%Shell. FX
0	100.00	0.00	0.00
1	100.00	0.00	0.00

Percentuali assorbite in direzione Y

Piano	%Pil/Isol. FY	%Par. FY	%Shell. FY
0	100.00	0.00	0.00
1	100.00	0.00	0.00

Verifica Degli Spostamenti Relativi SLDScenario di calcolo: **Set_SLV_SLD**Scenario Sisma Verticale: **Set_SLV_SLD-Verticale**

Interp.	Comb.	η_{Xv}	η_{Xh}	η_{Yv}	η_{Yh}	Nodo1	Nodo2	η	η_{Amm}	Cs
		mm	mm	mm	mm			mm	mm	
0-1	(61+62)-III-7	0.12	4.09	0.39	0.92	1	1001	4.21	22.92	5.5
0-1	(61+62)-III-7	0.12	4.09	0.41	0.90	2	1002	4.20	22.92	5.5
0-1	(61+62)-III-7	0.11	4.09	0.46	0.84	3	1003	4.20	22.92	5.5
0-1	(61+62)-III-7	0.11	4.09	0.55	0.76	4	1004	4.19	22.92	5.5
0-1	(61+62)-III-7	0.10	4.09	0.72	0.70	5	1005	4.19	22.92	5.5
0-1	(61+62)-III-7	0.10	4.09	1.01	0.64	6	1006	4.18	22.92	5.5
0-1	(61+62)-I-8	0.09	4.09	1.46	0.70	7	1007	4.18	22.92	5.5
0-1	(61+62)-I-8	0.08	4.09	1.01	0.76	8	1008	4.17	22.92	5.5
0-1	(61+62)-I-8	0.08	4.09	0.72	0.84	9	1009	4.16	22.92	5.5
0-1	(61+62)-I-8	0.07	4.09	0.55	0.90	10	1010	4.16	22.92	5.5
0-1	(61+62)-I-8	0.07	4.09	0.45	0.92	11	1011	4.15	22.92	5.5
0-1	(61+62)-VII-7	0.11	4.09	0.40	0.53	12	1012	4.20	23.23	5.5
0-1	(61+62)-VII-7	0.10	4.09	0.42	0.64	13	1013	4.19	23.23	5.6
0-1	(61+62)-VII-7	0.10	4.08	0.47	0.66	14	1014	4.18	23.23	5.6
0-1	(61+62)-VII-7	0.09	4.08	0.56	0.88	15	1015	4.17	23.23	5.6
0-1	(61+62)-VII-7	0.09	4.07	0.72	0.75	16	1016	4.17	23.23	5.6
0-1	(61+62)-V-7	0.10	4.07	1.02	0.64	17	1017	4.17	23.23	5.6
0-1	(61+62)-V-8	0.10	4.07	1.49	0.75	18	1018	4.18	23.23	5.6
0-1	(61+62)-V-8	0.11	4.08	1.02	0.88	19	1019	4.18	23.23	5.6
0-1	(61+62)-V-8	0.11	4.08	0.72	0.66	20	1020	4.19	23.23	5.5
0-1	(61+62)-V-8	0.10	4.08	0.56	0.64	21	1021	4.19	23.23	5.5
0-1	(61+62)-V-8	0.10	4.09	0.46	0.54	22	1022	4.19	23.23	5.5
Minimo										
0-1	(61+62)-III-7	0.12	4.09	0.39	0.92	1	1001	4.21	22.92	5.5

Verifica Degli Spostamenti Relativi SLOScenario di calcolo: **Set_SLO**Scenario Sisma Verticale: **Set_SLO-Verticale**

Interp.	Comb.	η_{Xv}	η_{Xh}	η_{Yv}	η_{Yh}	Nodo1	Nodo2	η	η_{Amm}	Cs
		mm	mm	mm	mm			mm	mm	
0-1	(1+2)-VIII-8	0.12	0.66	0.39	2.68	1	1001	3.08	15.27	5.0
0-1	(1+2)-III-7	0.12	2.93	0.41	0.72	2	1002	3.05	15.27	5.0
0-1	(1+2)-III-7	0.11	2.93	0.46	0.67	3	1003	3.04	15.27	5.0
0-1	(1+2)-III-7	0.11	2.93	0.55	0.61	4	1004	3.04	15.27	5.0
0-1	(1+2)-III-7	0.10	2.93	0.72	0.56	5	1005	3.04	15.27	5.0
0-1	(1+2)-III-7	0.10	2.93	1.01	0.51	6	1006	3.03	15.27	5.0
0-1	(1+2)-VI-8	0.09	1.01	1.46	1.89	7	1007	3.35	15.27	4.6
0-1	(1+2)-VI-8	0.08	1.01	1.01	2.08	8	1008	3.10	15.27	4.9
0-1	(1+2)-VI-7	0.08	0.66	0.72	2.31	9	1009	3.02	15.27	5.1
0-1	(1+2)-VI-7	0.07	0.66	0.55	2.53	10	1010	3.08	15.27	5.0
0-1	(1+2)-VI-7	0.07	0.66	0.45	2.68	11	1011	3.13	15.27	4.9
0-1	(1+2)-VIII-8	0.11	0.81	0.40	2.68	12	1012	3.08	15.47	5.0
0-1	(1+2)-VII-7	0.10	2.92	0.42	0.53	13	1013	3.02	15.47	5.1
0-1	(1+2)-VII-7	0.10	2.91	0.47	0.54	14	1014	3.01	15.47	5.1
0-1	(1+2)-VII-7	0.09	2.91	0.56	0.70	15	1015	3.00	15.47	5.2
0-1	(1+2)-VII-7	0.09	2.91	0.72	0.61	16	1016	3.00	15.47	5.2
0-1	(1+2)-V-8	0.10	2.91	1.02	0.51	17	1017	3.00	15.47	5.2
0-1	(1+2)-VI-8	0.10	0.92	1.49	1.89	18	1018	3.38	15.47	4.6

Interp.	Comb.	η_{Xv}	η_{Xh}	η_{Yv}	η_{Yh}	Nodo1	Nodo2	η	η_{Amm}	Cs
0-1	(1+2)-VI-8	0.11	0.92	1.02	2.08	19	1019	3.10	15.47	5.0
0-1	(1+2)-VI-7	0.11	0.81	0.72	2.31	20	1020	3.03	15.47	5.1
0-1	(1+2)-VI-7	0.10	0.81	0.56	2.53	21	1021	3.09	15.47	5.0
0-1	(1+2)-VI-7	0.10	0.81	0.46	2.68	22	1022	3.14	15.47	4.9
Minimo										
0-1	(1+2)-VI-8	0.09	1.01	1.46	1.89	7	1007	3.35	15.27	4.6

Periodi di vibrazione e Masse modali

Scenario di calcolo: **Set_SLV_SLD**

Posizione masse 1

Numero di Frequenze calcolate =8, filtrate=3

N	T	Coeff. Partecipazione		Masse Modali		Percentuali		
		s		kgm*g				
			Dir=0°	Dir=90°	Dir=0°	Dir=90°	Dir=0°	Dir=90°
1(1)	0.4185		104.359	-0.001	106802	0	99.78	0.00
2(2)	0.3097		-0.001	-102.768	0	103571	0.00	96.76
3(4)	0.2388		0.001	-11.566	0	1312	0.00	1.23
Somma delle Masse Modali [kgm*g]					106802	104882		
Masse strutturali libere [kgm*g]					107034	107034		
Percentuale					99.78	97.99	99.78	97.99

Masse e coefficienti di partecipazione rotazionali:

N	T(s)	Coeff. Partecipazione		Masse Modali		Percentuali	
				kgm*g			
1(1)	0.4185		56.631		31451		0.06
2(2)	0.3097		1.122		12		0.00
3(4)	0.2388		-0.312		1		0.00

Posizione masse 2

Numero di Frequenze calcolate =8, filtrate=4

N	T	Coeff. Partecipazione		Masse Modali		Percentuali		
		s		kgm*g				
			Dir=0°	Dir=90°	Dir=0°	Dir=90°	Dir=0°	Dir=90°
1(1)	0.4198		104.272	-1.075	106624	11	99.62	0.01
2(2)	0.3293		-2.777	-84.053	76	69283	0.07	64.73
3(3)	0.2854		-2.064	56.521	42	31328	0.04	29.27
4(6)	0.2340		0.243	-19.203	1	3616	0.00	3.38
Somma delle Masse Modali [kgm*g]					106742	104239		
Masse strutturali libere [kgm*g]					107034	107034		
Percentuale					99.73	97.39	99.73	97.39

Masse e coefficienti di partecipazione rotazionali:

N	T(s)	Coeff. Partecipazione		Masse Modali		Percentuali	
				kgm*g			
1(1)	0.4198		-64.896		41300		0.08
2(2)	0.3293		-1612.983		25514096		48.24
3(3)	0.2854		-1377.501		18608216		35.18
4(6)	0.2340		824.941		6673700		12.62

Posizione masse 3

Numero di Frequenze calcolate =8, filtrate=3

N	T	Coeff. Partecipazione		Masse Modali		Percentuali		
		s		kgm*g				
			Dir=0°	Dir=90°	Dir=0°	Dir=90°	Dir=0°	Dir=90°
1(1)	0.4218		-104.132	0.001	106337	0	99.35	0.00
2(2)	0.3110		0.001	-102.160	0	102349	0.00	95.62
3(3)	0.2993		5.599	0.053	307	0	0.29	0.00
Somma delle Masse Modali [kgm*g]					106645	102349		
Masse strutturali libere [kgm*g]					107034	107034		
Percentuale					99.64	95.62	99.64	95.62

Masse e coefficienti di partecipazione rotazionali:

N	T(s)	Coeff. Partecipazione	Masse Modali		Percentuali	
			kgm*g			
1(1)	0.4218	173.378	294789	0.56		
2(2)	0.3110	1.183	14	0.00		
3(3)	0.2993	2262.944	50219012	94.97		

Posizione masse 4

Numero di Frequenze calcolate =8, filtrate=4

N	T	Coeff. Partecipazione		Masse Modali		Percentuali	
		s		kgm*g			
		Dir=0°	Dir=90°	Dir=0°	Dir=90°	Dir=0°	Dir=90°
1(1)	0.4198	104.272	1.074	106624	11	99.62	0.01
2(2)	0.3293	2.776	-84.043	76	69267	0.07	64.71
3(3)	0.2854	2.064	56.534	42	31343	0.04	29.28
4(6)	0.2340	-0.241	-19.206	1	3617	0.00	3.38
Somma delle Masse Modali [kgm*g]				106742	104238		
Masse strutturali libere [kgm*g]				107034	107034		
Percentuale				99.73	97.39	99.73	97.39

Masse e coefficienti di partecipazione rotazionali:

N	T(s)	Coeff. Partecipazione	Masse Modali		Percentuali	
			kgm*g			
1(1)	0.4198	-64.897	41302	0.08		
2(2)	0.3293	1613.122	25518513	48.25		
3(3)	0.2854	1377.020	18595221	35.16		
4(6)	0.2340	-825.593	6684245	12.64		

Sisma Verticale

Numero di Frequenze calcolate =180, filtrate=41

N	T	Coeff. Partecipazione	Masse Modali		Percentuali	
			kgm*g			
	s	SVert.	SVert.	SVert.	SVert.	SVert.
1(4)	0.2249	-3.915	150	0.14		
2(6)	0.2089	-5.784	328	0.31		
3(8)	0.1985	10.664	1115	1.04		
4(10)	0.1938	-35.037	12038	11.25		
5(20)	0.1750	5.979	351	0.33		
6(28)	0.1732	9.566	897	0.84		
7(29)	0.1591	-5.670	315	0.29		
8(30)	0.1588	-16.244	2588	2.42		
9(32)	0.1488	3.995	156	0.15		
10(34)	0.1386	4.775	224	0.21		
11(35)	0.1343	18.150	3231	3.02		
12(45)	0.1268	-6.000	353	0.33		
13(47)	0.1179	-9.154	822	0.77		
14(49)	0.1131	27.049	7175	6.70		
15(57)	0.0919	3.528	122	0.11		
16(59)	0.0910	-3.480	119	0.11		
17(61)	0.0903	-3.446	116	0.11		
18(72)	0.0871	3.836	144	0.13		
19(73)	0.0852	4.818	228	0.21		
20(74)	0.0851	5.886	340	0.32		
21(75)	0.0838	10.277	1036	0.97		
22(77)	0.0740	14.393	2032	1.90		
23(79)	0.0685	-24.360	5819	5.44		
24(81)	0.0675	-48.722	23279	21.75		
25(82)	0.0668	-6.976	477	0.45		
26(90)	0.0609	40.185	15836	14.80		
27(92)	0.0552	-5.838	334	0.31		
28(124)	0.0323	4.002	157	0.15		
29(126)	0.0322	12.767	1598	1.49		
30(128)	0.0307	-5.416	288	0.27		
31(132)	0.0284	3.790	141	0.13		
32(134)	0.0278	-7.896	611	0.57		
33(136)	0.0274	4.488	198	0.18		
34(139)	0.0271	-19.914	3889	3.63		
35(141)	0.0271	-3.444	116	0.11		
36(159)	0.0249	-3.505	121	0.11		
37(161)	0.0243	5.647	313	0.29		
38(169)	0.0233	11.058	1199	1.12		
39(171)	0.0221	10.874	1160	1.08		
40(176)	0.0209	16.922	2808	2.62		
41(179)	0.0208	-3.392	113	0.11		

N	T	Coeff. Partecipazione	Masse Modali	Percentuali
Somma delle Masse Modali [kgm*g]			92337	
Masse strutturali libere [kgm*g]			107034	
Percentuale			86.27	86.27

6. Verifiche stato limite ultimo

Verifica Plinti

Scenario di calcolo: **Set_SLV_SLD**

Scenario Sisma Verticale: **Set_SLV_SLD-Verticale**

Simbologia: PLINTI DIRETTI

H [cm]	Altezza totale del plinto
Hsup [cm]	Altezza della eventuale parte a tronco di piramide
Bx [cm]	Base inferiore parallela ad X
By [cm]	Base inferiore parallela ad Y
Bxsup [cm]	Base superiore parallela ad X
Bysup [cm]	Base superiore parallela ad Y
MagrX [cm]	Larghezza Magrone parallela ad X
MagrY [cm]	Larghezza Magrone parallela ad Y
Hmagr [cm]	Altezza Magrone
TR.X [cm]	Traslazione secondo l'asse X globale
TR.Y [cm]	Traslazione secondo l'asse Y globale
Rot. [°]	Rotazione intorno all'asse Z globale
F.punz [kg]	Forza di punzonamento
F. Punz.res [kg]	Resistenza di punzonamento
Arm.punz [cmq]	armatura a punzonamento
Afx [cmq]	Armatura inferiore parallela ad X
Afy [cmq]	Armatura inferiore parallela ad Y
Apx [cmq]	Armatura ferri piegati parallela ad X
Apy [cmq]	Armatura ferri piegati parallela ad Y
N [kg]	Sforzo Normale
Mx [kg*m]	Momento flettente dir X del plinto
My [kg*m]	Momento flettente dir Y del plinto
Mfx [kg*m]	Momento flettente dir X della sezione di verifica plinto con base disposta secondo Y
Mfy [kg*m]	Momento flettente dir Y della sezione di verifica plinto con base disposta secondo X
ϵ_{cx}	Deformazione cls dovuto al momento Mfx (1)
ϵ_{cy}	Deformazione cls dovuto al momento Mfy (1)
ϵ_{fx}	Deformazione acciaio dovuto al momento Mfx(1)
ϵ_{fy}	Deformazione acciaio dovuto al momento Mfy(1)
σ_1 [kg/cmq]	Tensione terreno in corrispondente Filo Fisso 1
σ_3 [kg/cmq]	Tensione terreno in corrispondente Filo Fisso 3
σ_7 [kg/cmq]	Tensione terreno in corrispondente Filo Fisso 7
σ_9 [kg/cmq]	Tensione terreno in corrispondente Filo Fisso 9
Comb	Combinazione di carico: quando Comb non è sismica è individuata dal codice [C], quando è sismica è individuata dal codice [(Cx+Cy) Cm Sc].
- C	Individua la Combinazione di Carico non sismica (1, 2, ecc. come da scenario);
- Cx	Individua la Combinazione di Carico sismica in direzione x (SismaX, come da scenario);
- Cy	Individua la Combinazione di Carico sismica in direzione y (SismaY, come da scenario);
- Cm	Individua la Combinazione spostamento masse (I, II, III, IV, V, ecc. come da Combinazioni Sisma in Spostamento masse impalcato);
- Sc	Individua la sottocombinazione ottenuta mediante la permutazione dei segni (1, 2, 3, 4, 5, 6, 7, 8):
1)	$Sc = + SismaZ*fx + SismaX*fx + SismaY*fy$
2)	$Sc = + SismaZ*fx + SismaX*fx - SismaY*fy$
3)	$Sc = + SismaZ*fx - SismaX*fx + SismaY*fy$
4)	$Sc = + SismaZ*fx - SismaX*fx - SismaY*fy$
5)	$Sc = - SismaZ*fx + SismaX*fx + SismaY*fy$
6)	$Sc = - SismaZ*fx + SismaX*fx - SismaY*fy$
7)	$Sc = - SismaZ*fx - SismaX*fx + SismaY*fy$
8)	$Sc = - SismaZ*fx - SismaX*fx - SismaY*fy$

Le ultime quattro sono assenti quando non è richiesto il contributo del sisma in direzione verticale. Le combinazioni delle

azioni sismiche così ottenute vengono combinate con i carichi verticali (come da scenario).

Fatt.Ampl.Sisma Fattore moltiplicativo di gruppo per le azioni sismiche (solo se diverso da 1.0)

Cs Coefficiente di sicurezza definito dal rapporto Fr/Fd (Fr=resistenza,Fd=azione)

Note Verifica plinti:

(1): le deformazioni sono stampate a meno del fattore 10^{-3}

Plinto n°: 108 [Nodo 1] - Tipo: Plinto Diretto - Crit.Prog.: CLS_Plinti_ND - Terreno: Terreno1

H	HSup	Bx	By	BxSup	BySup	MagrX	MagrY	HMagr	TR.X	TR.Y	Rot
cm	cm	cm	cm	cm	cm	cm	cm	cm	cm	cm	°
40.0	0.0	180.0	180.0	180.0	180.0	220.0	220.0	20.0	0.0	0.0	0

Peso plinto	Peso Magr	F punz	Res. punz	Arm.punz	Afx	Afy	Apx	Apy
kg	kg	kg	kg	cmq	cmq	cmq	cmq	cmq
3240	2420	2330 (C. 28)	103143	0.00	4.71	4.71	1.54	1.54

Tensioni terreno

C.	N	Mx	My	σ_1	σ_3	σ_7	σ_9
	kg	kg*m	kg*m	kg/cmq	kg/cmq	kg/cmq	kg/cmq
6	19504	4175	-1637	0.14	0.32	0.61	0.80

Verifica sezioni

C.	Mfx	Mfy	Mrx	Mry	Csx	Csy
	kg*m	kg*m	kg*m	kg*m		
6	1607	1999	6334	6334	3.9	3.2

Plinto: **Verificato**

Plinto n°: 110 [Nodo 2] - Tipo: Plinto Diretto - Crit.Prog.: CLS_Plinti_ND - Terreno: Terreno1

H	HSup	Bx	By	BxSup	BySup	MagrX	MagrY	HMagr	TR.X	TR.Y	Rot
cm	cm	cm	cm	cm	cm	cm	cm	cm	cm	cm	°
40.0	0.0	180.0	180.0	180.0	180.0	220.0	220.0	20.0	0.0	0.0	0

Peso plinto	Peso Magr	F punz	Res. punz	Arm.punz	Afx	Afy	Apx	Apy
kg	kg	kg	kg	cmq	cmq	cmq	cmq	cmq
3240	2420	385 (C. 2)	103143	0.00	4.71	4.71	1.54	1.54

Tensioni terreno

C.	N	Mx	My	σ_1	σ_3	σ_7	σ_9
	kg	kg*m	kg*m	kg/cmq	kg/cmq	kg/cmq	kg/cmq
6	21441	4036	-364	0.26	0.30	0.71	0.76

Verifica sezioni

C.	Mfx	Mfy	Mrx	Mry	Csx	Csy
	kg*m	kg*m	kg*m	kg*m		
6	1545	2112	6334	6334	4.1	3.0

Plinto: **Verificato**

Plinto n°: 109 [Nodo 3] - Tipo: Plinto Diretto - Crit.Prog.: CLS_Plinti_ND - Terreno: Terreno1

H	HSup	Bx	By	BxSup	BySup	MagrX	MagrY	HMagr	TR.X	TR.Y	Rot
cm	cm	cm	cm	cm	cm	cm	cm	cm	cm	cm	°
40.0	0.0	180.0	180.0	180.0	180.0	220.0	220.0	20.0	0.0	0.0	0

Peso plinto	Peso Magr	F punz	Res. punz	Arm.punz	Afx	Afy	Apx	Apy
kg	kg	kg	kg	cmq	cmq	cmq	cmq	cmq
3240	2420	353 (C. 2)	103143	0.00	4.71	4.71	1.54	1.54

Tensioni terreno

C.	N	Mx	My	σ_1	σ_3	σ_7	σ_9
	kg	kg*m	kg*m	kg/cmq	kg/cmq	kg/cmq	kg/cmq
6	21459	4032	-206	0.27	0.29	0.72	0.75

Verifica sezioni

C.	Mfx	Mfy	Mrx	Mry	Csx	Csy
	kg*m	kg*m	kg*m	kg*m		
6	1522	2112	6334	6334	4.2	3.0

Plinto: **Verificato**

Plinto n°: 119 [Nodo 4] - Tipo: Plinto Diretto - Crit.Prog.: CLS_Plinti_ND - Terreno: Terreno1

H	HSup	Bx	By	BxSup	BySup	MagrX	MagrY	HMagr	TR.X	TR.Y	Rot
cm	cm	cm	cm	cm	cm	cm	cm	cm	cm	cm	°
40.0	0.0	180.0	180.0	180.0	180.0	220.0	220.0	20.0	0.0	0.0	0

Peso plinto	Peso Magr	F punz	Res. punz	Arm.punz	Afx	Afy	Apx	Apy
kg	kg	kg	kg	cmq	cmq	cmq	cmq	cmq
3240	2420	1903 (C. 2)	103143	0.00	4.71	4.71	1.54	1.54

Tensioni terreno

C.	N	Mx	My	σ_1	σ_3	σ_7	σ_9
	kg	kg*m	kg*m	kg/cmq	kg/cmq	kg/cmq	kg/cmq
2	29134	-255	-1383	0.60	0.76	0.57	0.73

Verifica sezioni

C.	Mfx	Mfy	Mrx	Mry	Csx	Csy
	kg*m	kg*m	kg*m	kg*m		
2	2237	2063	6334	6334	2.8	3.1

Plinto: **Verificato**

Plinto n°: 122 [Nodo 5] - Tipo: Plinto Diretto - Crit.Prog.: CLS_Plinti_ND - Terreno: Terreno1

H	HSup	Bx	By	BxSup	BySup	MagrX	MagrY	HMagr	TR.X	TR.Y	Rot
cm	cm	cm	cm	cm	cm	cm	cm	cm	cm	cm	°
40.0	0.0	180.0	180.0	180.0	180.0	220.0	220.0	20.0	0.0	0.0	0

Peso plinto	Peso Magr	F punz	Res. punz	Arm.punz	Afx	Afy	Apx	Apy
kg	kg	kg	kg	cmq	cmq	cmq	cmq	cmq
3240	2420	717 (C. 2)	103143	0.00	4.71	4.71	1.54	1.54

Tensioni terreno

C.	N	Mx	My	σ_1	σ_3	σ_7	σ_9
	kg	kg*m	kg*m	kg/cmq	kg/cmq	kg/cmq	kg/cmq
2	23486	-1258	100	0.63	0.62	0.48	0.47

Verifica sezioni

C.	Mfx	Mfy	Mrx	Mry	Csx	Csy
	kg*m	kg*m	kg*m	kg*m		
2	1646	1825	6334	6334	3.8	3.5

Plinto: **Verificato**

Plinto n°: 120 [Nodo 6] - Tipo: Plinto Diretto - Crit.Prog.: CLS_Plinti_ND - Terreno: Terreno1

H	HSup	Bx	By	BxSup	BySup	MagrX	MagrY	HMagr	TR.X	TR.Y	Rot
cm	cm	cm	cm	cm	cm	cm	cm	cm	cm	cm	°
40.0	0.0	180.0	180.0	180.0	180.0	220.0	220.0	20.0	0.0	0.0	0

Peso plinto	Peso Magr	F punz	Res. punz	Arm.punz	Afx	Afy	Apx	Apy
kg	kg	kg	kg	cmq	cmq	cmq	cmq	cmq
3240	2420	2240 (C. 2)	103143	0.00	4.71	4.71	1.54	1.54

Tensioni terreno

C.	N	Mx	My	σ_1	σ_3	σ_7	σ_9
	kg	kg*m	kg*m	kg/cmq	kg/cmq	kg/cmq	kg/cmq
2	30744	-404	-152	0.71	0.73	0.67	0.69

Verifica sezioni

C.	Mfx	Mfy	Mrx	Mry	Csx	Csy
	kg*m	kg*m	kg*m	kg*m		
2	2159	2197	6334	6334	2.9	2.9

Plinto: **Verificato**

Plinto n°: 111 [Nodo 7] - Tipo: Plinto Diretto - Crit.Prog.: CLS_Plinti_ND - Terreno: Terreno1

H	HSup	Bx	By	BxSup	BySup	MagrX	MagrY	HMagr	TR.X	TR.Y	Rot
cm	cm	cm	cm	cm	cm	cm	cm	cm	cm	cm	°
40.0	0.0	180.0	180.0	180.0	180.0	220.0	220.0	20.0	0.0	0.0	0

Peso plinto	Peso Magr	F punz	Res. punz	Arm.punz	Afx	Afy	Apx	Apy
kg	kg	kg	kg	cmq	cmq	cmq	cmq	cmq
3240	2420	3735 (C. 64)	103143	0.00	4.71	4.71	1.54	1.54

Tensioni terreno

C.	N	Mx	My	σ_1	σ_3	σ_7	σ_9
	kg	kg*m	kg*m	kg/cmq	kg/cmq	kg/cmq	kg/cmq
6	17689	4276	441	0.21	0.16	0.70	0.65

Verifica sezioni

C.	Mfx	Mfy	Mrx	Mry	Csx	Csy
	kg*m	kg*m	kg*m	kg*m		
62	1598	2469	6334	6334	4.0	2.6

Plinto: **Verificato**Plinto n°: **121 [Nodo 8]** - Tipo: Plinto Diretto - Crit.Prog.: CLS_Plinti_ND - Terreno: Terreno1

H	HSup	Bx	By	BxSup	BySup	MagrX	MagrY	HMagr	TR.X	TR.Y	Rot
cm	cm	cm	cm	cm	cm	cm	cm	cm	cm	cm	°
40.0	0.0	180.0	180.0	180.0	180.0	220.0	220.0	20.0	0.0	0.0	0

Peso plinto	Peso Magr	F punz	Res. punz	Arm.punz	Afx	Afy	Apx	Apy
kg	kg	kg	kg	cmq	cmq	cmq	cmq	cmq
3240	2420	2392 (C. 2)	103143	0.00	4.71	4.71	1.54	1.54

Tensioni terreno

C.	N	Mx	My	σ_1	σ_3	σ_7	σ_9
	kg	kg*m	kg*m	kg/cmq	kg/cmq	kg/cmq	kg/cmq
2	31468	-559	-1	0.75	0.75	0.68	0.68

Verifica sezioni

C.	Mfx	Mfy	Mrx	Mry	Csx	Csy
	kg*m	kg*m	kg*m	kg*m		
2	2185	2271	6334	6334	2.9	2.8

Plinto: **Verificato****Verifica dei Dadi di base**Scenario di calcolo: **Set_SLV_SLD**Scenario Sisma Verticale: **Set_SLV_SLD-Verticale****Simbologia**

L [cm] Lunghezza teorica elemento (distanza tra i nodi)

Ln [cm] Lunghezza netta elemento (tiene conto dei conci rigidi)

L2,L3 [cm] Lunghezze libere di inflessione

Sez. R: Sezione Rettangolare

By[cm]: Larghezza (asse locale y)

Bz[cm]: Larghezza (asse locale z)

Sez. T: Sezione a T (rovescia e non)

Ba[cm]: Larghezza base inferiore

Ha[cm]: Altezza inferiore

Bs[cm]: Larghezza superiore

Hs[cm]: Altezza superiore

Sez. L: Sezione ad L (rovescia e non)

Ba[cm]: Larghezza base inferiore

Ha[cm]: Altezza inferiore

Bs[cm]: Larghezza superiore

Hs[cm]: Altezza superiore

Sez. C: Sezione circolare

R[cm]: Raggio

Sez. G: Sezione generica

B[cm]: Larghezza

H[cm]: Altezza

Aspigoli Area di ferro negli spigoli

Afy Area di ferro sul lato Y

Afs Area di ferro sul lato Z

Zona Punto di verifica

1/N Distanza dall'inizio della lunghezza netta

Piede Inizio lunghezza netta

Testa Fine lunghezza netta

Comb Combinazione di carico: quando Comb non è sismica è individuata dal codice [(+/-)C], quando è sismica è individuata dal codice [(+/-)(Cx+Cy) Cm Sc], (+/-) rappresenta la eventuale traslazione del diagramma del momento dovuta al taglio, come specificato nel criterio di verifica [positiva (+) o negativa (-)]

- C Individua la Combinazione di Carico non sismica (1, 2, ecc. come da scenario);

- Cx	Individua la Combinazione di Carico sismica in direzione x (SismaX, come da scenario);
- Cy	Individua la Combinazione di Carico sismica in direzione y (SismaY, come da scenario);
- Cm	Individua la Combinazione spostamento masse (I, II, III, IV, V, ecc. come da Combinazioni Sisma in Spostamento masse impalcato);
- Sc	Individua la sottocombinazione ottenuta mediante la permutazione dei segni (1, 2, 3, 4, 5, 6, 7, 8):
1)	$Sc = + SismaZ^*fz + SismaX^*fx + SismaY^*fy$
2)	$Sc = + SismaZ^*fz + SismaX^*fx - SismaY^*fy$
3)	$Sc = + SismaZ^*fz - SismaX^*fx + SismaY^*fy$
4)	$Sc = + SismaZ^*fz - SismaX^*fx - SismaY^*fy$
5)	$Sc = - SismaZ^*fz + SismaX^*fx + SismaY^*fy$
6)	$Sc = - SismaZ^*fz + SismaX^*fx - SismaY^*fy$
7)	$Sc = - SismaZ^*fz - SismaX^*fx + SismaY^*fy$
8)	$Sc = - SismaZ^*fz - SismaX^*fx - SismaY^*fy$

Le ultime quattro sono assenti quando non è richiesto il contributo del sisma in direzione verticale. Le combinazioni delle azioni sismiche così ottenute vengono combinate con i carichi verticali (come da scenario).

N [kg]	Sforzo Normale
N'y [kg]	Sforzo Normale x Omega2
N'z [kg]	Sforzo Normale x Omega3
My [kg*m]	Momento flettente dir Y
M'y [kg*m]	Momento flettente dir Y x cy
cy [kg*m]	Coefficiente moltiplicativo momento flettente dir Y per verifica a carico di punta
cz [kg*m]	Coefficiente moltiplicativo momento flettente dir Z per verifica a carico di punta
Mz [kg*m]	Momento flettente dir Z
M'z [kg*m]	Momento flettente dir Z x cz
εcmax	Deformazione massima cls (1)
εfmax	Deformazione massima acciaio (1)
εcMy	Deformazione massima cls int direzione Y per pressoflessione retta (1)
εfMy	Deformazione massima acciaio int direzione Y per pressoflessione retta (1)
εcMz	Deformazione massima cls int direzione Z per pressoflessione retta (1)
εfMz	Deformazione massima acciaio int direzione Z per pressoflessione retta (1)
ΣMrtY	Somma dei momenti resistenti delle travi in direzione Y(2)
ΣMrtZ	Somma dei momenti resistenti delle travi in direzione Z(2)
ΣMyRich.	Momento resistente richiesto direzione Y per rispettare la gerarchia(2)
ΣMzRich.	Momento resistente richiesto direzione Z per rispettare la gerarchia(2)
T [kg]	Valore del taglio
Dir[Y-Z]	Direzione della componente di taglio
VRdns [kg]	Resistenza a taglio in assenza di armature
VRcd [kg]	Resistenza taglio-compressione calcestruzzo
VRsd [kg]	Resistenza taglio-trazione acciaio
VRd [kg]	Resistenza a taglio =min(VRcd,VRsd)
VRd,f [kg]	Resistenza a taglio dovuta alla resistenza a trazione del calcestruzzo ad alte prestazioni (quando presente)(cfr. eq 4.2 CNR204/2006), oppure resistenza rinforzo del composito (quando presente)(cfr. eq 4.19 CNR200/2013), oppure resistenza rinforzo della camicia in acciaio (quando presente)(cfr. eq C8.7.4.5 Circolare NTC)
Ast/m [cmq]	Armatura staffe
Min.Norm.	Valore minimo di norma dell' area delle staffe
cot(θ)	cot(θ) secondo il punto 4.1.2.3.5 delle Norme Tecniche
Fatt.Ampl.Sisma	Fattore moltiplicativo di gruppo per le azioni sismiche (solo se diverso da 1.0)
Cs	Coefficiente di sicurezza definito dal rapporto Fr / Fd (Fr=punto sul dominio di resistenza ottenuto aumentando proporzionalmente Fd,Fd=azione), quando richiesto dal criterio di verifica
ζE	Livello di sicurezza sismico definito come rapporto tra l'accelerazione sopportabile e l'accelerazione di progetto(valore stampato quando richiesto dal criterio di verifica)
Verifiche duttilità (quando richieste):	
Zona	Sezione di verifica dell'elemento
Comb.	Combinazione di verifica
Nmax [kg]	Sforzo Normale massimo
Dir	Direzione di flessione (pilastri=Y o Z, travi =Z, pareti= ortogonale alla base)
Mry [kg*m]	Momento di snervamento corrispondente a Nmax
MrU [kg*m]	Momento ultimo (resistente) corrispondente a Nmax sulla sezione depurata del calcestruzzo non confinato, considerando il confinamento
φy[1/m]	Curvatura allo snervamento ($\phi_y = MrU/Mry * \phi'_y$)
φu[1/m]	Curvatura allo corrispondente a MrU
μ	Capacità in duttilità della sezione
F.Conf	Fattore di confinamento adottato (= fck,c/fck)

μd Richiesta in duttilità della sezione

Cs Livello di sicurezza ($Cs=\mu/\mu d$)

Note Verifica pilastri:

(1) le deformazioni sono stampate a meno del fattore 10^{-3}

(2) I momenti resistenti richiesti sono quelli dovuti alla ripartizione della somma dei momenti resistenti delle travi quando nella tabella dei momenti appare '--' significa che la gerarchia in quella direzione non è applicabile a seconda che il pilastro sia al piano terra o all'ultimo piano, oppure, la combinazione corrente non è sismica, oppure, la combinazione è sismica ma la sua direzione non è nella direzione del pilastro considerata. Un valore nullo dei momenti resistenti è relativo a piede o testa di pilastri in fondazione o copertura

Dado: 108 [1,8] Sez. R: $B_y=80.0$ cm $B_z=80.0$ cm $L=80.0$ cm $L_n=80.0$ cm Criterio: CLS_Dado-Base - Verifica a presso-flessione retta: **Verificato**

Piede	AfSpigolo = 2.01	Afy = 14.07	Afz = 14.07
Testa	AfSpigolo = 2.01	Afy = 14.07	Afz = 14.07

Zona	C.	N	My	Mz	Mry+	Mrz+	Mry-	Mrz-	Csy	Csz	ζ_{EY}	ζ_{EZ}
		kg	kg*m	kg*m	kg*m	kg*m	kg*m	kg*m				
Piede	66(-)	-4607	-7968	-525	68736	68736	68736	68736	9.9	>100	--	--
Testa	62(-)	-3216	-6997	-389	68360	68360	68360	68360	11	>100	--	--

Verifica a taglio

Dir	C.	MrSup	MrInf	T	Vrdns	Vrcd	Vrsd	Vrd	Ast/m	cot(θ)	Cs	ζ_E
		kg*m	kg*m	kg	kg	kg	kg	kg	cmq/m			
Y	24	--	--	1302	--	130732	102617	102617	15.71	2.500	79	--
Z	66	--	--	2044	--	130631	102617	102617	15.71	2.500	50	--

Dado: 109 [3,9] Sez. R: $B_y=80.0$ cm $B_z=80.0$ cm $L=80.0$ cm $L_n=80.0$ cm Criterio: CLS_Dado-Base - Verifica a presso-flessione retta: **Verificato**

Piede	AfSpigolo = 2.01	Afy = 14.07	Afz = 14.07
Testa	AfSpigolo = 2.01	Afy = 14.07	Afz = 14.07

Zona	C.	N	My	Mz	Mry+	Mrz+	Mry-	Mrz-	Csy	Csz	ζ_{EY}	ζ_{EZ}
		kg	kg*m	kg*m	kg*m	kg*m	kg*m	kg*m				
Piede	66(-)	-4544	-8127	-525	68719	68719	68719	68719	9.7	>100	--	--
Testa	66(-)	-3264	-7158	-386	68373	68373	68373	68373	11	>100	--	--

Verifica a taglio

Dir	C.	MrSup	MrInf	T	Vrdns	Vrcd	Vrsd	Vrd	Ast/m	cot(θ)	Cs	ζ_E
		kg*m	kg*m	kg	kg	kg	kg	kg	cmq/m			
Y	24	--	--	1291	--	130747	102617	102617	15.71	2.500	79	--
Z	62	--	--	2090	--	130607	102617	102617	15.71	2.500	49	--

Dado: 110 [2,10] Sez. R: $B_y=80.0$ cm $B_z=80.0$ cm $L=80.0$ cm $L_n=80.0$ cm Criterio: CLS_Dado-Base - Verifica a presso-flessione retta: **Verificato**

Piede	AfSpigolo = 2.01	Afy = 14.07	Afz = 14.07
Testa	AfSpigolo = 2.01	Afy = 14.07	Afz = 14.07

Zona	C.	N	My	Mz	Mry+	Mrz+	Mry-	Mrz-	Csy	Csz	ζ_{EY}	ζ_{EZ}
		kg	kg*m	kg*m	kg*m	kg*m	kg*m	kg*m				
Piede	62(-)	-4388	-8483	-535	68677	68677	68677	68677	9.2	>100	--	--
Testa	62(-)	-3108	-7464	-396	68331	68331	68331	68331	10	>100	--	--

Verifica a taglio

Dir	C.	MrSup	MrInf	T	Vrdns	Vrcd	Vrsd	Vrd	Ast/m	cot(θ)	Cs	ζ_E
		kg*m	kg*m	kg	kg	kg	kg	kg	cmq/m			
Y	20	--	--	1343	--	130695	102617	102617	15.71	2.500	76	--
Z	62	--	--	2185	--	130599	102617	102617	15.71	2.500	47	--

Dado: 111 [7,11] Sez. R: $B_y=80.0$ cm $B_z=80.0$ cm $L=80.0$ cm $L_n=80.0$ cm Criterio: CLS_Dado-Base - Verifica a presso-flessione retta: **Verificato**

Piede	AfSpigolo = 2.01	Afy = 14.07	Afz = 14.07
-------	------------------	-------------	-------------

Testa	AfSpigolo = 2.01	Afy = 14.07	Afz = 14.07
-------	------------------	-------------	-------------

Zona	C.	N	My	Mz	Mry+	Mrz+	Mry-	Mrz-	Csy	Csz	ζ _{EY}	ζ _{EZ}
		kg	kg*m	kg*m	kg*m	kg*m	kg*m	kg*m				
Piede	62(-)	-3199	-9334	-367	68356	68356	68356	68356	7.9	>100	--	--
Testa	66(-)	-1995	-8190	-274	68030	68030	68030	68030	8.8	>100	--	--

Verifica a taglio

Dir	C.	MrSup	MrInf	T	Vrdns	Vrcd	Vrsd	Vrd	Ast/m	cot(θ)	Cs	ζ _E
		kg*m	kg*m	kg	kg	kg	kg	kg	cmq/m			
Y	20	--	--	1129	--	130686	102617	102617	15.71	2.500	91	--
Z	66	--	--	2527	--	130439	102617	102617	15.71	2.500	41	--

Dado: 119 [4,19] Sez. R: By=80.0 cm Bz=80.0 cm L=80.0 cm Ln=80.0 cm Criterio: CLS_Dado-Base - Verifica a presso-flessione retta: **Verificato**

Piede	AfSpigolo = 2.01	Afy = 14.07	Afz = 14.07
Testa	AfSpigolo = 2.01	Afy = 14.07	Afz = 14.07

Zona	C.	N	My	Mz	Mry+	Mrz+	Mry-	Mrz-	Csy	Csz	ζ _{EY}	ζ _{EZ}
		kg	kg*m	kg*m	kg*m	kg*m	kg*m	kg*m				
Piede	62(-)	-8490	-5786	-692	69783	69783	69783	69783	18	>100	--	--
Testa	62(-)	-7210	-5277	-529	69438	69438	69438	69438	19	>100	--	--

Verifica a taglio

Dir	C.	MrSup	MrInf	T	Vrdns	Vrcd	Vrsd	Vrd	Ast/m	cot(θ)	Cs	ζ _E
		kg*m	kg*m	kg	kg	kg	kg	kg	cmq/m			
Y	52	--	--	1250	--	131069	102617	102617	15.71	2.500	82	--
Z	65	--	--	1494	--	130889	102617	102617	15.71	2.500	69	--

Dado: 120 [6,20] Sez. R: By=80.0 cm Bz=80.0 cm L=80.0 cm Ln=80.0 cm Criterio: CLS_Dado-Base - Verifica a presso-flessione retta: **Verificato**

Piede	AfSpigolo = 2.01	Afy = 14.07	Afz = 14.07
Testa	AfSpigolo = 2.01	Afy = 14.07	Afz = 14.07

Zona	C.	N	My	Mz	Mry+	Mrz+	Mry-	Mrz-	Csy	Csz	ζ _{EY}	ζ _{EZ}
		kg	kg*m	kg*m	kg*m	kg*m	kg*m	kg*m				
Piede	62(-)	-8580	-5935	-633	69807	69807	69807	69807	18	>100	--	--
Testa	62(-)	-7300	-5408	-481	69463	69463	69463	69463	19	>100	--	--

Verifica a taglio

Dir	C.	MrSup	MrInf	T	Vrdns	Vrcd	Vrsd	Vrd	Ast/m	cot(θ)	Cs	ζ _E
		kg*m	kg*m	kg	kg	kg	kg	kg	cmq/m			
Y	52	--	--	1259	--	131092	102617	102617	15.71	2.500	81	--
Z	65	--	--	1737	--	130879	102617	102617	15.71	2.500	59	--

Dado: 121 [8,21] Sez. R: By=80.0 cm Bz=80.0 cm L=80.0 cm Ln=80.0 cm Criterio: CLS_Dado-Base - Verifica a presso-flessione retta: **Verificato**

Piede	AfSpigolo = 2.01	Afy = 14.07	Afz = 14.07
Testa	AfSpigolo = 2.01	Afy = 14.07	Afz = 14.07

Zona	C.	N	My	Mz	Mry+	Mrz+	Mry-	Mrz-	Csy	Csz	ζ _{EY}	ζ _{EZ}
		kg	kg*m	kg*m	kg*m	kg*m	kg*m	kg*m				
Piede	62(-)	-8966	-6215	-716	69911	69911	69911	69911	17	96	--	--
Testa	62(-)	-7686	-5656	-547	69567	69567	69567	69567	18	>100	--	--

Verifica a taglio

Dir	C.	MrSup	MrInf	T	Vrdns	Vrcd	Vrsd	Vrd	Ast/m	cot(θ)	Cs	ζ _E
		kg*m	kg*m	kg	kg	kg	kg	kg	cmq/m			
Y	56	--	--	1298	--	131075	102617	102617	15.71	2.500	79	--
Z	65	--	--	1937	--	130858	102617	102617	15.71	2.500	53	--

Dado: 122 [5,22] Sez. R: By=80.0 cm Bz=80.0 cm L=80.0 cm Ln=80.0 cm Criterio: CLS_Dado-Base - Verifica a presso-flessione retta: **Verificato**

Piede	AfSpigolo = 2.01	Afy = 14.07	Afz = 14.07
Testa	AfSpigolo = 2.01	Afy = 14.07	Afz = 14.07

Zona	C.	N	My	Mz	Mry+	Mrz+	Mry-	Mrz-	Csy	Csz	ζ _{EY}	ζ _{EZ}
		kg	kg*m	kg*m	kg*m	kg*m	kg*m	kg*m				
Piede	61(-)	-4185	6661	1912	68622	68622	68622	68622	12	70	--	--
Testa	65(-)	-3007	5586	1672	68304	68304	68304	68304	14	71	--	--

Verifica a taglio

Dir	C.	MrSup	MrInf	T	Vrdns	Vrcd	Vrsd	Vrd	Ast/m	cot(θ)	Cs	ζ _E
		kg*m	kg*m	kg	kg	kg	kg	kg	cmq/m			
Y	53	--	--	1193	--	130767	102617	102617	15.71	2.500	86	--
Z	65	--	--	2379	--	130585	102617	102617	15.71	2.500	43	--

Verifica Stabilità aste MetallicheScenario di calcolo: **Set_SLV_SLD**Scenario Sisma Verticale: **Set_SLV_SLD-Verticale****Simbologia**

L [cm]	Lunghezza teorica elemento (da nodo a nodo)
Ln1 [cm]	Luce libera nella direzione principale 1 dell'elemento
Ln2 [cm]	Luce libera nella direzione principale 2 dell'elemento
Sez. G	Sezione Generica (Sigla)
f _{yd} [kg/cmq]	Tensione di progetto snervamento acciaio
f _t [kg/cmq]	Tensione di rottura acciaio
γ _M	Coefficiente di sicurezza acciaio
N [kg]	Sforzo Normale massimo
My [kg*m]	My massimo
Mz [kg*m]	Mz massimo
NR _k [kg]	:A*fy, Resistenza caratteristica instabilità a compressione (1)
MyR _k [kg*m]	:Wy*fy, Momento resistente caratteristico all'instabilità in direzione Y (1)
MzR _k [kg*m]	:Wz*fy, Momento resistente caratteristico all'instabilità in direzione Z (1)
λ _y	Snellezza in direzione y
λ _z	Snellezza in direzione z
χ _y	Coefficiente di riduzione per la presso flessione dir y
χ _z	Coefficiente di riduzione per la presso flessione dir z
χ _{LT}	Coefficiente di riduzione per la instabilità flesso-torsionale, il coefficiente è applicato al termine relativo all'asse forte
k _{yy} , k _{yz}	
k _{zy} , k _{zz}	Coefficienti di interazione per l'instabilità (cfr. EC3 Annex B, tab B1 e B2, e cfr. Circ.NTC tab. C4.2.IV e C4.2.V)
My _{eq} [kg*m]	My equivalente uguale a k _{yy} *My oppure k _{zy} *My
Mz _{eq} [kg*m]	Mz equivalente uguale a k _{yz} *Mz oppure k _{zz} *Mz
NR _d [kg]	:Resistenza instabilità a compressione (2)
My _{Rd} [kg*m]	:Momento resistente all'instabilità in direzione Y (2)
Mz _{Rd} [kg*m]	:Momento resistente all'instabilità in direzione Z (2)
SF	Coefficiente di sicurezza (asta verificata se >=1)
Comb	Combinazione di carico: quando Comb non è sismica è individuata dal codice [C], quando è sismica è individuata dal codice [(Cx+Cy) Cm Sc].
- C	Individua la Combinazione di Carico non sismica (1, 2, ecc. come da scenario);
- Cx	Individua la Combinazione di Carico sismica in direzione x (SismaX, come da scenario);
- Cy	Individua la Combinazione di Carico sismica in direzione y (SismaY, come da scenario);
- Cm	Individua la Combinazione spostamento masse (I, II, III, IV, V, ecc. come da Combinazioni Sisma in Spostamento masse impalcato);
- Sc	Individua la sottocombinazione ottenuta mediante la permutazione dei segni (1, 2, 3, 4, 5, 6, 7, 8):
1)	Sc = + SismaZ*fz + SismaX*fx + SismaY*fy
2)	Sc = + SismaZ*fz + SismaX*fx - SismaY*fy
3)	Sc = + SismaZ*fz - SismaX*fx + SismaY*fy
4)	Sc = + SismaZ*fz - SismaX*fx - SismaY*fy.
5)	Sc = - SismaZ*fz + SismaX*fx + SismaY*fy
6)	Sc = - SismaZ*fz + SismaX*fx - SismaY*fy
7)	Sc = - SismaZ*fz - SismaX*fx + SismaY*fy

8) $Sc = - SismaZ* fz - SismaX* fx - SismaY* fy.$

Le ultime quattro sono assenti quando non è richiesto il contributo del sisma in direzione verticale. Le combinazioni delle azioni sismiche così ottenute vengono combinate con i carichi verticali (come da scenario).

Note:

- (1) Y è l'asse forte della sezione, e Z l'asse debole della sezione; i valori da utilizzare per le resistenze sono $N_{Rk}=f_y \cdot A, M_{yRk}=f_y \cdot W_{y}, M_{zRk}=f_y \cdot W_z$ dove:

Classe	1	2	3	4
A	A	A	A	A,eff
Wy	Wpl,y	Wpl,y	Wel,y	Wely,eff
Wz	Wpl,z	Wpl,z	Wel,z	Welz,eff

- (2) le equazioni di verifica, le azioni e le resistenze di progetto sono date dalle seguenti equazioni:

$$\frac{N_{ed}}{\chi_y N_{Rk}} + k_{yy} \frac{M_{y,Ed}}{\chi_{LT} \frac{M_{yRk}}{\gamma_{M1}}} + k_{yz} \frac{M_{z,Ed}}{\frac{M_{zRk}}{\gamma_{M1}}} \leq 1$$

$$\frac{N_{ed}}{\chi_z N_{Rk}} + k_{zy} \frac{M_{y,Ed}}{\chi_{LT} \frac{M_{yRk}}{\gamma_{M1}}} + k_{zz} \frac{M_{z,Ed}}{\frac{M_{zRk}}{\gamma_{M1}}} \leq 1$$

$$N_{Rdy} = \frac{\chi_y N_{Rk}}{\gamma_{M1}} \quad M_{yRd} = \frac{\chi_{LT} M_{yRk}}{\gamma_{M1}} \quad M_{zRd} = \frac{M_{yRk}}{\gamma_{M1}}$$

$$M_{yyEq} = k_{yy} M_{yEd} \quad M_{yzEq} = k_{yz} M_{z,Ed}$$

$$M_{zyEq} = k_{zy} M_{yEd} \quad M_{zzEq} = k_{zz} M_{z,Ed}$$

$$\frac{N_{ed}}{N_{Rdy}} + \frac{M_{yyEq}}{M_{yRd}} + \frac{M_{yzEq}}{M_{zRd}} \leq 1$$

$$\frac{N_{ed}}{N_{Rdz}} + \frac{M_{zyEq}}{M_{yRd}} + \frac{M_{zzEq}}{M_{zRd}} \leq 1$$

Asta: 1 [1,1001] Sez. G: HE 260 B L=458.4 cm Ln1=458.4 cm Ln2=458.4 cm Crit.: Acciaio_Pressflessione $\gamma_M=1.05$ $f_y/\gamma_M=2619$ kg/cm² $f_t=4300$ kg/cm² : **Verificato**

SF_λ=2.872

N	My	Mz	NRk	MyRk	MzRk	λY	λZ	χY	χZ	χLT	kyy	kyz	kzy	kzz
kg	kg*m	kg*m	kg	kg*m	kg*m									
-10445	-5688	1162	325722	35301	16565	41	70	0.897	0.661	--	0.424	0.576	0.255	0.960

Clas	Dir	N	Myeq	Mzeq	NRd	MyRd	MzRd	Comb.	SF
		kg	kg*m	kg*m	kg	kg*m	kg*m		
1	Y	10445	2413	669	278274	33620	15776	6	6.6
1	Z	10445	1448	1116	205007	33620	15776	6	6.1

Asta: 2 [2,1002] Sez. G: HE 260 B L=458.4 cm Ln1=458.4 cm Ln2=458.4 cm Crit.: Acciaio_Pressflessione $\gamma_M=1.05$ $f_y/\gamma_M=2619$ kg/cm² $f_t=4300$ kg/cm² : **Verificato**

SF_λ=2.872

N	My	Mz	NRk	MyRk	MzRk	λY	λZ	χY	χZ	χLT	kyy	kyz	kzy	kzz
kg	kg*m	kg*m	kg	kg*m	kg*m									

N	My	Mz	NRk	MyRk	MzRk	λY	λZ	χY	χZ	χLT	kyy	kyz	kzy	kzz
-12722	-4999	1088	325722	35301	16565	41	70	0.897	0.661	--	0.514	0.634	0.309	1.057

Cls	Dir	N	Myeq	Mzeq	NRd	MyRd	MzRd	Comb.	SF
		kg	kg*m	kg*m	kg	kg*m	kg*m		
1	Y	12722	2571	690	278274	33620	15776	6	6.0
1	Z	12722	1543	1149	205007	33620	15776	6	5.5

Asta: 3 [3,1003] Sez. G: HE 260 B L=458.4 cm Ln1=458.4 cm Ln2=458.4 cm Crit.: Acciaio_Pressflessione
 $\gamma M=1.05 f_{yk}/\gamma M=2619 \text{ kg/cmq}$ $f_t=4300 \text{ kg/cmq}$:**Verificato**
 SF_ $\lambda=2.872$

N	My	Mz	NRk	MyRk	MzRk	λY	λZ	χY	χZ	χLT	kyy	kyz	kzy	kzz
kg	kg*m	kg*m	kg	kg*m	kg*m									
-12686	-5046	1097	325722	35301	16565	41	70	0.897	0.661	--	0.511	0.624	0.306	1.040

Cls	Dir	N	Myeq	Mzeq	NRd	MyRd	MzRd	Comb.	SF
		kg	kg*m	kg*m	kg	kg*m	kg*m		
1	Y	12686	2577	684	278274	33620	15776	6	6.0
1	Z	12686	1546	1141	205007	33620	15776	6	5.6

Asta: 4 [4,1004] Sez. G: HE 260 B L=458.4 cm Ln1=458.4 cm Ln2=458.4 cm Crit.: Acciaio_Pressflessione
 $\gamma M=1.05 f_{yk}/\gamma M=2619 \text{ kg/cmq}$ $f_t=4300 \text{ kg/cmq}$:**Verificato**
 SF_ $\lambda=2.872$

N	My	Mz	NRk	MyRk	MzRk	λY	λZ	χY	χZ	χLT	kyy	kyz	kzy	kzz
kg	kg*m	kg*m	kg	kg*m	kg*m									
-12640	-5128	1089	325722	35301	16565	41	70	0.897	0.661	--	0.508	0.629	0.305	1.048

Cls	Dir	N	Myeq	Mzeq	NRd	MyRd	MzRd	Comb.	SF
		kg	kg*m	kg*m	kg	kg*m	kg*m		
1	Y	12640	2606	685	278274	33620	15776	6	6.0
1	Z	12640	1564	1141	205007	33620	15776	6	5.5

Asta: 5 [5,1005] Sez. G: HE 260 B L=458.4 cm Ln1=458.4 cm Ln2=458.4 cm Crit.: Acciaio_Pressflessione
 $\gamma M=1.05 f_{yk}/\gamma M=2619 \text{ kg/cmq}$ $f_t=4300 \text{ kg/cmq}$:**Verificato**
 SF_ $\lambda=2.872$

N	My	Mz	NRk	MyRk	MzRk	λY	λZ	χY	χZ	χLT	kyy	kyz	kzy	kzz
kg	kg*m	kg*m	kg	kg*m	kg*m									
-12600	-5293	1088	325722	35301	16565	41	70	0.897	0.661	--	0.504	0.629	0.302	1.048

Cls	Dir	N	Myeq	Mzeq	NRd	MyRd	MzRd	Comb.	SF
		kg	kg*m	kg*m	kg	kg*m	kg*m		
1	Y	12600	2666	684	278274	33620	15776	6	6.0
1	Z	12600	1599	1140	205007	33620	15776	6	5.5

Asta: 6 [6,1006] Sez. G: HE 260 B L=458.4 cm Ln1=458.4 cm Ln2=458.4 cm Crit.: Acciaio_Pressflessione
 $\gamma M=1.05 f_{yk}/\gamma M=2619 \text{ kg/cmq}$ $f_t=4300 \text{ kg/cmq}$:**Verificato**
 SF_ $\lambda=2.872$

N	My	Mz	NRk	MyRk	MzRk	λY	λZ	χY	χZ	χLT	kyy	kyz	kzy	kzz
kg	kg*m	kg*m	kg	kg*m	kg*m									
-12514	-5599	1086	325722	35301	16565	41	70	0.897	0.661	--	0.496	0.630	0.298	1.049

Cls	Dir	N	Myeq	Mzeq	NRd	MyRd	MzRd	Comb.	SF
		kg	kg*m	kg*m	kg	kg*m	kg*m		
1	Y	12514	2776	683	278274	33620	15776	6	5.9
1	Z	12514	1666	1139	205007	33620	15776	6	5.5

Asta: 7 [7,1007] Sez. G: HE 260 B L=458.4 cm Ln1=458.4 cm Ln2=458.4 cm Crit.: Acciaio_Pressflessione
 $\gamma M=1.05 f_{yk}/\gamma M=2619 \text{ kg/cmq}$ $f_t=4300 \text{ kg/cmq}$:**Verificato**
 SF_ $\lambda=2.872$

N	My	Mz	NRk	MyRk	MzRk	λY	λZ	χY	χZ	χLT	kyy	kyz	kzy	kzz
kg	kg*m	kg*m	kg	kg*m	kg*m									
-11689	-6418	1082	325722	35301	16565	41	70	0.897	0.661	--	0.444	0.629	0.266	1.048

Cls	Dir	N	Myeq	Mzeq	NRd	MyRd	MzRd	Comb.	SF
		kg	kg*m	kg*m	kg	kg*m	kg*m		
1	Y	11689	2847	680	278274	33620	15776	6	5.9

Cls	Dir	N	Myeq	Mzeq	NRd	MyRd	MzRd	Comb.	SF
1	Z	11689	1708	1134	205007	33620	15776	6	5.6

Asta: 8 [8,1008] Sez. G: HE 260 B L=458.4 cm Ln1=458.4 cm Ln2=458.4 cm Crit.: Acciaio_Pressflessione $\gamma_M=1.05$ fyk/ $\gamma_M=2619$ kg/cmq ft=4300 kg/cmq :**Verificato**

SF_λ=2.872

N	My	Mz	NRk	MyRk	MzRk	λY	λZ	χY	χZ	χLT	kyy	kyz	kzy	kzz
kg	kg*m	kg*m	kg	kg*m	kg*m									
-12515	-5606	1077	325722	35301	16565	41	70	0.897	0.661	--	0.496	0.634	0.297	1.056

Cls	Dir	N	Myeq	Mzeq	NRd	MyRd	MzRd	Comb.	SF
		kg	kg*m	kg*m	kg	kg*m	kg*m		
1	Y	12515	2779	683	278274	33620	15776	6	5.9
1	Z	12515	1667	1138	205007	33620	15776	6	5.5

Asta: 9 [9,1009] Sez. G: HE 260 B L=458.4 cm Ln1=458.4 cm Ln2=458.4 cm Crit.: Acciaio_Pressflessione $\gamma_M=1.05$ fyk/ $\gamma_M=2619$ kg/cmq ft=4300 kg/cmq :**Verificato**

SF_λ=2.872

N	My	Mz	NRk	MyRk	MzRk	λY	λZ	χY	χZ	χLT	kyy	kyz	kzy	kzz
kg	kg*m	kg*m	kg	kg*m	kg*m									
-12577	-5311	1081	325722	35301	16565	41	70	0.897	0.661	--	0.503	0.631	0.302	1.051

Cls	Dir	N	Myeq	Mzeq	NRd	MyRd	MzRd	Comb.	SF
		kg	kg*m	kg*m	kg	kg*m	kg*m		
1	Y	12577	2672	682	278274	33620	15776	6	6.0
1	Z	12577	1603	1136	205007	33620	15776	6	5.5

Asta: 10 [10,1010] Sez. G: HE 260 B L=458.4 cm Ln1=458.4 cm Ln2=458.4 cm Crit.: Acciaio_Pressflessione $\gamma_M=1.05$ fyk/ $\gamma_M=2619$ kg/cmq ft=4300 kg/cmq :**Verificato**

SF_λ=2.872

N	My	Mz	NRk	MyRk	MzRk	λY	λZ	χY	χZ	χLT	kyy	kyz	kzy	kzz
kg	kg*m	kg*m	kg	kg*m	kg*m									
-12587	-5176	1097	325722	35301	16565	41	70	0.897	0.661	--	0.505	0.628	0.303	1.047

Cls	Dir	N	Myeq	Mzeq	NRd	MyRd	MzRd	Comb.	SF
		kg	kg*m	kg*m	kg	kg*m	kg*m		
1	Y	12587	2613	689	278274	33620	15776	6	6.0
1	Z	12587	1568	1148	205007	33620	15776	6	5.5

Asta: 11 [11,1011] Sez. G: HE 260 B L=458.4 cm Ln1=458.4 cm Ln2=458.4 cm Crit.: Acciaio_Pressflessione $\gamma_M=1.05$ fyk/ $\gamma_M=2619$ kg/cmq ft=4300 kg/cmq :**Verificato**

SF_λ=2.872

N	My	Mz	NRk	MyRk	MzRk	λY	λZ	χY	χZ	χLT	kyy	kyz	kzy	kzz
kg	kg*m	kg*m	kg	kg*m	kg*m									
-10279	-5617	1173	325722	35301	16565	41	70	0.897	0.661	--	0.435	0.564	0.261	0.940

Cls	Dir	N	Myeq	Mzeq	NRd	MyRd	MzRd	Comb.	SF
		kg	kg*m	kg*m	kg	kg*m	kg*m		
1	Y	10279	2443	662	278274	33620	15776	6	6.6
1	Z	10279	1466	1103	205007	33620	15776	6	6.1

Asta: 12 [12,1012] Sez. G: HE 260 B L=464.7 cm Ln1=464.7 cm Ln2=464.7 cm Crit.: Acciaio_Pressflessione $\gamma_M=1.05$ fyk/ $\gamma_M=2619$ kg/cmq ft=4300 kg/cmq :**Verificato**

SF_λ=2.834

N	My	Mz	NRk	MyRk	MzRk	λY	λZ	χY	χZ	χLT	kyy	kyz	kzy	kzz
kg	kg*m	kg*m	kg	kg*m	kg*m									
-15274	-8590	1894	325722	35301	16565	41	71	0.894	0.654	--	0.632	0.479	0.379	0.799

Cls	Dir	N	Myeq	Mzeq	NRd	MyRd	MzRd	Comb.	SF
		kg	kg*m	kg*m	kg	kg*m	kg*m		
1	Y	15274	5430	908	277425	33620	15776	6	3.6
1	Z	15274	3258	1514	202891	33620	15776	6	3.7

Asta: 13 [13,1013] Sez. G: HE 260 B L=464.7 cm Ln1=464.7 cm Ln2=464.7 cm Crit.: Acciaio_Pressflessione $\gamma_M=1.05$ fyk/ $\gamma_M=2619$ kg/cmq ft=4300 kg/cmq :**Verificato**

SF_λ=2.834

N	My	Mz	NRk	MyRk	MzRk	λY	λZ	χY	χZ	χLT	kyy	kyz	kzy	kzz
kg	kg*m	kg*m	kg	kg*m	kg*m									
-19040	-6151	1145	325722	35301	16565	41	71	0.894	0.654	--	0.717	0.610	0.430	1.017

Cls	Dir	N	Myeq	Mzeq	NRd	MyRd	MzRd	Comb.	SF
		kg	kg*m	kg*m	kg	kg*m	kg*m		
1	Y	19040	4413	699	277425	33620	15776	6	4.1
1	Z	19040	2648	1165	202891	33620	15776	6	4.1

Asta: 14 [14,1014] Sez. G: HE 260 B L=464.7 cm Ln1=464.7 cm Ln2=464.7 cm Crit.:Acciaio_Pressflessione γM=1.05 fyk/γM=2619 kg/cm² ft=4300 kg/cm² :**Verificato**

SF_λ=2.834

N	My	Mz	NRk	MyRk	MzRk	λY	λZ	χY	χZ	χLT	kyy	kyz	kzy	kzz
kg	kg*m	kg*m	kg	kg*m	kg*m									
-19259	-6361	1089	325722	35301	16565	41	71	0.894	0.654	--	0.709	0.654	0.425	1.090

Cls	Dir	N	Myeq	Mzeq	NRd	MyRd	MzRd	Comb.	SF
		kg	kg*m	kg*m	kg	kg*m	kg*m		
1	Y	19259	4510	712	277425	33620	15776	6	4.0
1	Z	19259	2706	1187	202891	33620	15776	6	4.0

Asta: 15 [15,1015] Sez. G: HE 260 B L=464.7 cm Ln1=464.7 cm Ln2=464.7 cm Crit.:Acciaio_Pressflessione γM=1.05 fyk/γM=2619 kg/cm² ft=4300 kg/cm² :**Verificato**

SF_λ=2.834

N	My	Mz	NRk	MyRk	MzRk	λY	λZ	χY	χZ	χLT	kyy	kyz	kzy	kzz
kg	kg*m	kg*m	kg	kg*m	kg*m									
-19358	-6313	1087	325722	35301	16565	41	71	0.894	0.654	--	0.715	0.650	0.429	1.084

Cls	Dir	N	Myeq	Mzeq	NRd	MyRd	MzRd	Comb.	SF
		kg	kg*m	kg*m	kg	kg*m	kg*m		
1	Y	19358	4514	707	277425	33620	15776	6	4.0
1	Z	19358	2708	1179	202891	33620	15776	6	4.0

Asta: 16 [16,1016] Sez. G: HE 260 B L=464.7 cm Ln1=464.7 cm Ln2=464.7 cm Crit.:Acciaio_Pressflessione γM=1.05 fyk/γM=2619 kg/cm² ft=4300 kg/cm² :**Verificato**

SF_λ=2.834

N	My	Mz	NRk	MyRk	MzRk	λY	λZ	χY	χZ	χLT	kyy	kyz	kzy	kzz
kg	kg*m	kg*m	kg	kg*m	kg*m									
-19364	-6213	1089	325722	35301	16565	41	71	0.894	0.654	--	0.727	0.649	0.436	1.081

Cls	Dir	N	Myeq	Mzeq	NRd	MyRd	MzRd	Comb.	SF
		kg	kg*m	kg*m	kg	kg*m	kg*m		
1	Y	19364	4519	707	277425	33620	15776	6	4.0
1	Z	19364	2711	1178	202891	33620	15776	6	4.0

Asta: 17 [17,1017] Sez. G: HE 260 B L=464.7 cm Ln1=464.7 cm Ln2=464.7 cm Crit.:Acciaio_Pressflessione γM=1.05 fyk/γM=2619 kg/cm² ft=4300 kg/cm² :**Verificato**

SF_λ=2.834

N	My	Mz	NRk	MyRk	MzRk	λY	λZ	χY	χZ	χLT	kyy	kyz	kzy	kzz
kg	kg*m	kg*m	kg	kg*m	kg*m									
-19564	-6030	1111	325722	35301	16565	41	71	0.894	0.654	--	0.751	0.647	0.451	1.079

Cls	Dir	N	Myeq	Mzeq	NRd	MyRd	MzRd	Comb.	SF
		kg	kg*m	kg*m	kg	kg*m	kg*m		
1	Y	19564	4530	719	277425	33620	15776	6	4.0
1	Z	19564	2718	1198	202891	33620	15776	6	3.9

Asta: 18 [18,1018] Sez. G: HE 260 B L=464.7 cm Ln1=464.7 cm Ln2=464.7 cm Crit.:Acciaio_Pressflessione γM=1.05 fyk/γM=2619 kg/cm² ft=4300 kg/cm² :**Verificato**

SF_λ=2.834

N	My	Mz	NRk	MyRk	MzRk	λY	λZ	χY	χZ	χLT	kyy	kyz	kzy	kzz
kg	kg*m	kg*m	kg	kg*m	kg*m									
-21662	-10267	1218	325722	35301	16565	41	71	0.894	0.654	--	0.629	0.574	0.378	0.956

Cls	Dir	N	Myeq	Mzeq	NRd	MyRd	MzRd	Comb.	SF
		kg	kg*m	kg*m	kg	kg*m	kg*m		
1	Y	21662	6461	698	277425	33620	15776	6	3.2
1	Z	21662	3877	1164	202891	33620	15776	6	3.4

Asta: 19 [19,1019] Sez. G: HE 260 B L=464.7 cm Ln1=464.7 cm Ln2=464.7 cm Crit.:

Acciaio_Pressflessione $\gamma M=1.05 f_{yk}/\gamma M=2619 \text{ kg/cmq}$ $f_t=4300 \text{ kg/cmq}$:**Verificato**

SF $\lambda=2.834$

N	My	Mz	NRk	MyRk	MzRk	λY	λZ	χY	χZ	χLT	kyy	kyz	kzy	kzz
kg	kg*m	kg*m	kg	kg*m	kg*m									
-19393	-6025	1104	325722	35301	16565	41	71	0.894	0.654	--	0.752	0.650	0.451	1.083

Cls	Dir	N	Myeq	Mzeq	NRd	MyRd	MzRd	Comb.	SF
		kg	kg*m	kg*m	kg	kg*m	kg*m		
1	Y	19393	4529	717	277425	33620	15776	6	4.0
1	Z	19393	2717	1196	202891	33620	15776	6	4.0

Asta: 20 [20,1020] Sez. G: HE 260 B L=464.7 cm Ln1=464.7 cm Ln2=464.7 cm Crit.:

Acciaio_Pressflessione $\gamma M=1.05 f_{yk}/\gamma M=2619 \text{ kg/cmq}$ $f_t=4300 \text{ kg/cmq}$:**Verificato**

SF $\lambda=2.834$

N	My	Mz	NRk	MyRk	MzRk	λY	λZ	χY	χZ	χLT	kyy	kyz	kzy	kzz
kg	kg*m	kg*m	kg	kg*m	kg*m									
-19345	-6202	1114	325722	35301	16565	41	71	0.894	0.654	--	0.729	0.633	0.437	1.056

Cls	Dir	N	Myeq	Mzeq	NRd	MyRd	MzRd	Comb.	SF
		kg	kg*m	kg*m	kg	kg*m	kg*m		
1	Y	19345	4519	706	277425	33620	15776	6	4.0
1	Z	19345	2712	1176	202891	33620	15776	6	4.0

Asta: 21 [21,1021] Sez. G: HE 260 B L=464.7 cm Ln1=464.7 cm Ln2=464.7 cm Crit.:

Acciaio_Pressflessione $\gamma M=1.05 f_{yk}/\gamma M=2619 \text{ kg/cmq}$ $f_t=4300 \text{ kg/cmq}$:**Verificato**

SF $\lambda=2.834$

N	My	Mz	NRk	MyRk	MzRk	λY	λZ	χY	χZ	χLT	kyy	kyz	kzy	kzz
kg	kg*m	kg*m	kg	kg*m	kg*m									
-20242	-6525	1282	325722	35301	16565	41	71	0.894	0.654	--	0.707	0.598	0.424	0.997

Cls	Dir	N	Myeq	Mzeq	NRd	MyRd	MzRd	Comb.	SF
		kg	kg*m	kg*m	kg	kg*m	kg*m		
1	Y	20242	4616	767	277425	33620	15776	6	3.9
1	Z	20242	2770	1279	202891	33620	15776	6	3.8

Asta: 22 [22,1022] Sez. G: HE 260 B L=464.7 cm Ln1=464.7 cm Ln2=464.7 cm Crit.:

Acciaio_Pressflessione $\gamma M=1.05 f_{yk}/\gamma M=2619 \text{ kg/cmq}$ $f_t=4300 \text{ kg/cmq}$:**Verificato**

SF $\lambda=2.834$

N	My	Mz	NRk	MyRk	MzRk	λY	λZ	χY	χZ	χLT	kyy	kyz	kzy	kzz
kg	kg*m	kg*m	kg	kg*m	kg*m									
-13774	-7924	1762	325722	35301	16565	41	71	0.894	0.654	--	0.650	0.341	0.390	0.568

Cls	Dir	N	Myeq	Mzeq	NRd	MyRd	MzRd	Comb.	SF
		kg	kg*m	kg*m	kg	kg*m	kg*m		
1	Y	13774	5149	601	277425	33620	15776	6	4.2
1	Z	13774	3090	1002	202891	33620	15776	6	4.5

Asta: 101 [1001,1111] Sez. G: HE 260 B L=180.0 cm Ln1=180.0 cm Ln2=180.0 cm Crit.:

Acciaio_FlessTors $\gamma M=1.05 f_{yk}/\gamma M=2619 \text{ kg/cmq}$ $f_t=4300 \text{ kg/cmq}$:**Verificato**

SF $\lambda=7.316$

N	My	Mz	NRk	MyRk	MzRk	λY	λZ	χY	χZ	χLT	kyy	kyz	kzy	kzz
kg	kg*m	kg*m	kg	kg*m	kg*m									
-93	-3774	1233	325722	35301	16565	16	27	1.000	0.942	1.000	0.400	0.576	0.240	0.961

Cls	Dir	N	Myeq	Mzeq	NRd	MyRd	MzRd	Comb.	SF
		kg	kg*m	kg*m	kg	kg*m	kg*m		
1	Y	93	1509	711	310212	33620	15776	6	11
1	Z	93	906	1184	292073	33620	15776	6	9.8

Asta: 101 [1002,1115] Sez. G: HE 260 B L=180.0 cm Ln1=180.0 cm Ln2=180.0 cm Crit.:

Acciaio_FlessTors $\gamma_M=1.05$ $f_{yk}/\gamma_M=2619$ kg/cmq $f_t=4300$ kg/cmq :**Verificato**

SF_ $\lambda=7.316$

N	My	Mz	NRk	MyRk	MzRk	λY	λZ	χY	χZ	χ_{LT}	kyy	kyz	kzy	kzz
kg	kg*m	kg*m	kg	kg*m	kg*m									
-2	-3755	1134	325722	35301	16565	16	27	1.000	0.942	1.000	0.559	0.599	0.335	0.998

Cls	Dir	N	Myeq	Mzeq	NRd	MyRd	MzRd	Comb.	SF
		kg	kg*m	kg*m	kg	kg*m	kg*m		
1	Y	2	2100	679	310212	33620	15776	12	9.5
1	Z	2	1260	1132	292072	33620	15776	12	9.2

Asta: 101 [1003,1118] Sez. G: HE 260 B L=180.0 cm Ln1=180.0 cm Ln2=180.0 cm Crit.:

Acciaio_FlessTors $\gamma_M=1.05$ $f_{yk}/\gamma_M=2619$ kg/cmq $f_t=4300$ kg/cmq :**Verificato**

SF_ $\lambda=7.316$

N	My	Mz	NRk	MyRk	MzRk	λY	λZ	χY	χZ	χ_{LT}	kyy	kyz	kzy	kzz
kg	kg*m	kg*m	kg	kg*m	kg*m									
-12	-3532	1151	325722	35301	16565	16	27	1.000	0.942	1.000	0.527	0.592	0.316	0.987

Cls	Dir	N	Myeq	Mzeq	NRd	MyRd	MzRd	Comb.	SF
		kg	kg*m	kg*m	kg	kg*m	kg*m		
1	Y	12	1861	682	310212	33620	15776	12	10
1	Z	12	1116	1136	292073	33620	15776	12	9.5

Asta: 101 [1004,1122] Sez. G: HE 260 B L=180.0 cm Ln1=180.0 cm Ln2=180.0 cm Crit.:

Acciaio_FlessTors $\gamma_M=1.05$ $f_{yk}/\gamma_M=2619$ kg/cmq $f_t=4300$ kg/cmq :**Verificato**

SF_ $\lambda=7.316$

N	My	Mz	NRk	MyRk	MzRk	λY	λZ	χY	χZ	χ_{LT}	kyy	kyz	kzy	kzz
kg	kg*m	kg*m	kg	kg*m	kg*m									
-58	-3575	1178	325722	35301	16565	16	27	1.000	0.942	1.000	0.535	0.581	0.321	0.969

Cls	Dir	N	Myeq	Mzeq	NRd	MyRd	MzRd	Comb.	SF
		kg	kg*m	kg*m	kg	kg*m	kg*m		
1	Y	58	1912	685	310212	33620	15776	12	10.0
1	Z	58	1147	1142	292073	33620	15776	12	9.4

Asta: 101 [1005,1126] Sez. G: HE 260 B L=180.0 cm Ln1=180.0 cm Ln2=180.0 cm Crit.:

Acciaio_FlessTors $\gamma_M=1.05$ $f_{yk}/\gamma_M=2619$ kg/cmq $f_t=4300$ kg/cmq :**Verificato**

SF_ $\lambda=7.316$

N	My	Mz	NRk	MyRk	MzRk	λY	λZ	χY	χZ	χ_{LT}	kyy	kyz	kzy	kzz
kg	kg*m	kg*m	kg	kg*m	kg*m									
-126	-3566	1229	325722	35301	16565	16	27	1.000	0.942	1.000	0.533	0.563	0.320	0.938

Cls	Dir	N	Myeq	Mzeq	NRd	MyRd	MzRd	Comb.	SF
		kg	kg*m	kg*m	kg	kg*m	kg*m		
1	Y	126	1902	692	310212	33620	15776	12	9.9
1	Z	126	1141	1154	292072	33620	15776	12	9.3

Asta: 101 [1006,1130] Sez. G: HE 260 B L=180.0 cm Ln1=180.0 cm Ln2=180.0 cm Crit.:

Acciaio_FlessTors $\gamma_M=1.05$ $f_{yk}/\gamma_M=2619$ kg/cmq $f_t=4300$ kg/cmq :**Verificato**

SF_ $\lambda=7.316$

N	My	Mz	NRk	MyRk	MzRk	λY	λZ	χY	χZ	χ_{LT}	kyy	kyz	kzy	kzz
kg	kg*m	kg*m	kg	kg*m	kg*m									
-204	-3567	1314	325722	35301	16565	16	27	1.000	0.942	1.000	0.534	0.535	0.320	0.892

Cls	Dir	N	Myeq	Mzeq	NRd	MyRd	MzRd	Comb.	SF
		kg	kg*m	kg*m	kg	kg*m	kg*m		
1	Y	204	1905	704	310212	33620	15776	12	9.8
1	Z	204	1143	1173	292072	33620	15776	12	9.2

Asta: 101 [1007,1134] Sez. G: HE 260 B L=180.0 cm Ln1=180.0 cm Ln2=180.0 cm Crit.:

Acciaio_FlessTors $\gamma_M=1.05$ $f_{yk}/\gamma_M=2619$ kg/cmq $f_t=4300$ kg/cmq :**Verificato**

SF_ $\lambda=7.316$

N	My	Mz	NRk	MyRk	MzRk	λY	λZ	χY	χZ	χ_{LT}	kyy	kyz	kzy	kzz
kg	kg*m	kg*m	kg	kg*m	kg*m									
-232	-3565	1212	325722	35301	16565	16	27	1.000	0.942	1.000	0.533	0.552	0.320	0.920

Cls	Dir	N	Myeq	Mzeq	NRd	MyRd	MzRd	Comb.	SF
		kg	kg*m	kg*m	kg	kg*m	kg*m		
1	Y	232	1900	669	310212	33620	15776	12	10
1	Z	232	1140	1116	292073	33620	15776	12	9.5

Asta: 101 [1008,1137] Sez. G: HE 260 B L=180.0 cm Ln1=180.0 cm Ln2=180.0 cm Crit.:

Acciaio_FlessTors $\gamma M=1.05 f_{yk}/\gamma M=2619 \text{ kg/cm}^2 f_t=4300 \text{ kg/cm}^2$:**Verificato**

SF_λ=7.316

N	My	Mz	NRk	MyRk	MzRk	λY	λZ	χY	χZ	χLT	kyy	kyz	kzy	kzz
kg	kg*m	kg*m	kg	kg*m	kg*m									
-175	-3569	1195	325722	35301	16565	16	27	1.000	0.942	1.000	0.534	0.578	0.321	0.963

Cls	Dir	N	Myeq	Mzeq	NRd	MyRd	MzRd	Comb.	SF
		kg	kg*m	kg*m	kg	kg*m	kg*m		
1	Y	175	1907	691	310212	33620	15776	12	9.9
1	Z	175	1144	1151	292073	33620	15776	12	9.3

Asta: 101 [1009,1141] Sez. G: HE 260 B L=180.0 cm Ln1=180.0 cm Ln2=180.0 cm Crit.:

Acciaio_FlessTors $\gamma M=1.05 f_{yk}/\gamma M=2619 \text{ kg/cm}^2 f_t=4300 \text{ kg/cm}^2$:**Verificato**

SF_λ=7.316

N	My	Mz	NRk	MyRk	MzRk	λY	λZ	χY	χZ	χLT	kyy	kyz	kzy	kzz
kg	kg*m	kg*m	kg	kg*m	kg*m									
-81	-3568	1143	325722	35301	16565	16	27	1.000	0.942	1.000	0.529	0.597	0.318	0.995

Cls	Dir	N	Myeq	Mzeq	NRd	MyRd	MzRd	Comb.	SF
		kg	kg*m	kg*m	kg	kg*m	kg*m		
1	Y	81	1888	682	310212	33620	15776	12	10
1	Z	81	1133	1137	292073	33620	15776	12	9.4

Asta: 101 [1010,1145] Sez. G: HE 260 B L=180.0 cm Ln1=180.0 cm Ln2=180.0 cm Crit.:

Acciaio_FlessTors $\gamma M=1.05 f_{yk}/\gamma M=2619 \text{ kg/cm}^2 f_t=4300 \text{ kg/cm}^2$:**Verificato**

SF_λ=7.316

N	My	Mz	NRk	MyRk	MzRk	λY	λZ	χY	χZ	χLT	kyy	kyz	kzy	kzz
kg	kg*m	kg*m	kg	kg*m	kg*m									
71	-3534	1145	325722	35301	16565	16	27	1.000	0.942	1.000	0.562	0.595	0.337	0.991

Cls	Dir	N	Myeq	Mzeq	NRd	MyRd	MzRd	Comb.	SF
		kg	kg*m	kg*m	kg	kg*m	kg*m		
1	Y	71	1985	681	310212	33620	15776	12	9.8
1	Z	71	1191	1134	292073	33620	15776	12	9.3

Asta: 101 [1111,1112] Sez. G: HE 260 B L=180.0 cm Ln1=180.0 cm Ln2=180.0 cm Crit.:

Acciaio_FlessTors $\gamma M=1.05 f_{yk}/\gamma M=2619 \text{ kg/cm}^2 f_t=4300 \text{ kg/cm}^2$:**Verificato**

SF_λ=7.316

N	My	Mz	NRk	MyRk	MzRk	λY	λZ	χY	χZ	χLT	kyy	kyz	kzy	kzz
kg	kg*m	kg*m	kg	kg*m	kg*m									
-141	-6722	1129	325722	35301	16565	16	27	1.000	0.942	1.000	0.825	0.588	0.495	0.980

Cls	Dir	N	Myeq	Mzeq	NRd	MyRd	MzRd	Comb.	SF
		kg	kg*m	kg*m	kg	kg*m	kg*m		
1	Y	141	5544	664	310212	33620	15776	6	4.8
1	Z	141	3326	1107	292073	33620	15776	6	5.9

Asta: 101 [1112,1113] Sez. G: HE 260 B L=180.0 cm Ln1=180.0 cm Ln2=180.0 cm Crit.:

Acciaio_FlessTors $\gamma M=1.05 f_{yk}/\gamma M=2619 \text{ kg/cm}^2 f_t=4300 \text{ kg/cm}^2$:**Verificato**

SF_λ=7.316

N	My	Mz	NRk	MyRk	MzRk	λY	λZ	χY	χZ	χLT	kyy	kyz	kzy	kzz
kg	kg*m	kg*m	kg	kg*m	kg*m									
-137	-6717	1133	325722	35301	16565	16	27	1.000	0.942	1.000	0.878	0.590	0.527	0.984

Cls	Dir	N	Myeq	Mzeq	NRd	MyRd	MzRd	Comb.	SF
		kg	kg*m	kg*m	kg	kg*m	kg*m		
1	Y	137	5895	669	310212	33620	15776	6	4.6
1	Z	137	3537	1115	292072	33620	15776	6	5.7

Asta: 101 [1113,1002] Sez. G: HE 260 B L=180.0 cm Ln1=180.0 cm Ln2=180.0 cm Crit.:

Acciaio_FlessTors $\gamma_M=1.05$ $f_{yk}/\gamma_M=2619$ kg/cmq $f_t=4300$ kg/cmq :**Verificato**

SF $\lambda=7.316$

N	My	Mz	NRk	MyRk	MzRk	λ_Y	λ_Z	χ_Y	χ_Z	χ_{LT}	kyy	kyz	kzy	kzz
kg	kg*m	kg*m	kg	kg*m	kg*m									
25	-4131	1159	325722	35301	16565	16	27	1.000	0.942	1.000	0.680	0.585	0.408	0.975

Cls	Dir	N	Myeq	Mzeq	NRd	MyRd	MzRd	Comb.	SF
		kg	kg*m	kg*m	kg	kg*m	kg*m		
1	Y	25	2810	678	310212	33620	15776	12	7.9
1	Z	25	1686	1129	292072	33620	15776	12	8.2

Asta: 101 [1115,1116] Sez. G: HE 260 B L=180.0 cm Ln1=180.0 cm Ln2=180.0 cm Crit.:

Acciaio_FlessTors $\gamma_M=1.05$ $f_{yk}/\gamma_M=2619$ kg/cmq $f_t=4300$ kg/cmq :**Verificato**

SF $\lambda=7.316$

N	My	Mz	NRk	MyRk	MzRk	λ_Y	λ_Z	χ_Y	χ_Z	χ_{LT}	kyy	kyz	kzy	kzz
kg	kg*m	kg*m	kg	kg*m	kg*m									
-181	-6855	1107	325722	35301	16565	16	27	1.000	0.942	1.000	0.842	0.597	0.505	0.996

Cls	Dir	N	Myeq	Mzeq	NRd	MyRd	MzRd	Comb.	SF
		kg	kg*m	kg*m	kg	kg*m	kg*m		
1	Y	181	5771	661	310212	33620	15776	6	4.7
1	Z	181	3463	1102	292073	33620	15776	6	5.8

Asta: 101 [1116,1117] Sez. G: HE 260 B L=180.0 cm Ln1=180.0 cm Ln2=180.0 cm Crit.:

Acciaio_FlessTors $\gamma_M=1.05$ $f_{yk}/\gamma_M=2619$ kg/cmq $f_t=4300$ kg/cmq :**Verificato**

SF $\lambda=7.316$

N	My	Mz	NRk	MyRk	MzRk	λ_Y	λ_Z	χ_Y	χ_Z	χ_{LT}	kyy	kyz	kzy	kzz
kg	kg*m	kg*m	kg	kg*m	kg*m									
-166	-6851	1113	325722	35301	16565	16	27	1.000	0.942	1.000	0.869	0.598	0.522	0.997

Cls	Dir	N	Myeq	Mzeq	NRd	MyRd	MzRd	Comb.	SF
		kg	kg*m	kg*m	kg	kg*m	kg*m		
1	Y	166	5956	666	310212	33620	15776	6	4.5
1	Z	166	3574	1110	292072	33620	15776	6	5.6

Asta: 101 [1117,1003] Sez. G: HE 260 B L=180.0 cm Ln1=180.0 cm Ln2=180.0 cm Crit.:

Acciaio_FlessTors $\gamma_M=1.05$ $f_{yk}/\gamma_M=2619$ kg/cmq $f_t=4300$ kg/cmq :**Verificato**

SF $\lambda=7.316$

N	My	Mz	NRk	MyRk	MzRk	λ_Y	λ_Z	χ_Y	χ_Z	χ_{LT}	kyy	kyz	kzy	kzz
kg	kg*m	kg*m	kg	kg*m	kg*m									
-42	-4096	1134	325722	35301	16565	16	27	1.000	0.942	1.000	0.637	0.595	0.382	0.992

Cls	Dir	N	Myeq	Mzeq	NRd	MyRd	MzRd	Comb.	SF
		kg	kg*m	kg*m	kg	kg*m	kg*m		
1	Y	42	2609	675	310212	33620	15776	12	8.3
1	Z	42	1565	1125	292072	33620	15776	12	8.5

Asta: 101 [1118,1119] Sez. G: HE 260 B L=180.0 cm Ln1=180.0 cm Ln2=180.0 cm Crit.:

Acciaio_FlessTors $\gamma_M=1.05$ $f_{yk}/\gamma_M=2619$ kg/cmq $f_t=4300$ kg/cmq :**Verificato**

SF $\lambda=7.316$

N	My	Mz	NRk	MyRk	MzRk	λ_Y	λ_Z	χ_Y	χ_Z	χ_{LT}	kyy	kyz	kzy	kzz
kg	kg*m	kg*m	kg	kg*m	kg*m									
-201	-6817	1123	325722	35301	16565	16	27	1.000	0.942	1.000	0.839	0.592	0.503	0.987

Cls	Dir	N	Myeq	Mzeq	NRd	MyRd	MzRd	Comb.	SF
		kg	kg*m	kg*m	kg	kg*m	kg*m		
1	Y	201	5719	665	310212	33620	15776	6	4.7
1	Z	201	3432	1108	292072	33620	15776	6	5.8

Asta: 101 [1119,1120] Sez. G: HE 260 B L=180.0 cm Ln1=180.0 cm Ln2=180.0 cm Crit.:

Acciaio_FlessTors $\gamma_M=1.05$ $f_{yk}/\gamma_M=2619$ kg/cmq $f_t=4300$ kg/cmq :**Verificato**

SF $\lambda=7.316$

N	My	Mz	NRk	MyRk	MzRk	λY	λZ	χY	χZ	χLT	kyy	kyz	kzy	kzz
kg	kg*m	kg*m	kg	kg*m	kg*m									
-193	-6814	1122	325722	35301	16565	16	27	1.000	0.942	1.000	0.871	0.595	0.522	0.991

Cls	Dir	N	Myeq	Mzeq	NRd	MyRd	MzRd	Comb.	SF
		kg	kg*m	kg*m	kg	kg*m	kg*m		
1	Y	193	5933	667	310212	33620	15776	6	4.6
1	Z	193	3560	1112	292073	33620	15776	6	5.6

Asta: 101 [1120,1004] Sez. G: HE 260 B L=180.0 cm Ln1=180.0 cm Ln2=180.0 cm Crit.:

Acciaio_FlessTors $\gamma M=1.05$ fyk/ $\gamma M=2619$ kg/cm² ft=4300 kg/cm² :**Verificato**

SF_ $\lambda=7.316$

N	My	Mz	NRk	MyRk	MzRk	λY	λZ	χY	χZ	χLT	kyy	kyz	kzy	kzz
kg	kg*m	kg*m	kg	kg*m	kg*m									
-68	-4092	1129	325722	35301	16565	16	27	1.000	0.942	1.000	0.647	0.598	0.388	0.997

Cls	Dir	N	Myeq	Mzeq	NRd	MyRd	MzRd	Comb.	SF
		kg	kg*m	kg*m	kg	kg*m	kg*m		
1	Y	68	2648	675	310212	33620	15776	12	8.2
1	Z	68	1589	1125	292072	33620	15776	12	8.4

Asta: 101 [1122,1123] Sez. G: HE 260 B L=180.0 cm Ln1=180.0 cm Ln2=180.0 cm Crit.:

Acciaio_FlessTors $\gamma M=1.05$ fyk/ $\gamma M=2619$ kg/cm² ft=4300 kg/cm² :**Verificato**

SF_ $\lambda=7.316$

N	My	Mz	NRk	MyRk	MzRk	λY	λZ	χY	χZ	χLT	kyy	kyz	kzy	kzz
kg	kg*m	kg*m	kg	kg*m	kg*m									
-250	-6824	1147	325722	35301	16565	16	27	1.000	0.942	1.000	0.840	0.582	0.504	0.970

Cls	Dir	N	Myeq	Mzeq	NRd	MyRd	MzRd	Comb.	SF
		kg	kg*m	kg*m	kg	kg*m	kg*m		
1	Y	250	5729	668	310212	33620	15776	6	4.7
1	Z	250	3437	1113	292073	33620	15776	6	5.8

Asta: 101 [1123,1124] Sez. G: HE 260 B L=180.0 cm Ln1=180.0 cm Ln2=180.0 cm Crit.:

Acciaio_FlessTors $\gamma M=1.05$ fyk/ $\gamma M=2619$ kg/cm² ft=4300 kg/cm² :**Verificato**

SF_ $\lambda=7.316$

N	My	Mz	NRk	MyRk	MzRk	λY	λZ	χY	χZ	χLT	kyy	kyz	kzy	kzz
kg	kg*m	kg*m	kg	kg*m	kg*m									
-250	-6821	1149	325722	35301	16565	16	27	1.000	0.942	1.000	0.870	0.584	0.522	0.973

Cls	Dir	N	Myeq	Mzeq	NRd	MyRd	MzRd	Comb.	SF
		kg	kg*m	kg*m	kg	kg*m	kg*m		
1	Y	250	5938	670	310212	33620	15776	6	4.5
1	Z	250	3563	1117	292072	33620	15776	6	5.6

Asta: 101 [1124,1005] Sez. G: HE 260 B L=180.0 cm Ln1=180.0 cm Ln2=180.0 cm Crit.:

Acciaio_FlessTors $\gamma M=1.05$ fyk/ $\gamma M=2619$ kg/cm² ft=4300 kg/cm² :**Verificato**

SF_ $\lambda=7.316$

N	My	Mz	NRk	MyRk	MzRk	λY	λZ	χY	χZ	χLT	kyy	kyz	kzy	kzz
kg	kg*m	kg*m	kg	kg*m	kg*m									
-130	-4093	1157	325722	35301	16565	16	27	1.000	0.942	1.000	0.645	0.588	0.387	0.979

Cls	Dir	N	Myeq	Mzeq	NRd	MyRd	MzRd	Comb.	SF
		kg	kg*m	kg*m	kg	kg*m	kg*m		
1	Y	130	2640	680	310212	33620	15776	12	8.2
1	Z	130	1584	1133	292073	33620	15776	12	8.4

Asta: 101 [1126,1127] Sez. G: HE 260 B L=180.0 cm Ln1=180.0 cm Ln2=180.0 cm Crit.:

Acciaio_FlessTors $\gamma M=1.05$ fyk/ $\gamma M=2619$ kg/cm² ft=4300 kg/cm² :**Verificato**

SF_ $\lambda=7.316$

N	My	Mz	NRk	MyRk	MzRk	λY	λZ	χY	χZ	χLT	kyy	kyz	kzy	kzz
kg	kg*m	kg*m	kg	kg*m	kg*m									
-320	-6822	1192	325722	35301	16565	16	27	1.000	0.942	1.000	0.839	0.565	0.504	0.942

Cls	Dir	N	Myeq	Mzeq	NRd	MyRd	MzRd	Comb.	SF
		kg	kg*m	kg*m	kg	kg*m	kg*m		

Cls	Dir	N	Myeq	Mzeq	NRd	MyRd	MzRd	Comb.	SF
1	Y	320	5727	673	310212	33620	15776	6	4.7
1	Z	320	3436	1122	292073	33620	15776	6	5.7

Asta: 101 [1127,1128] Sez. G: HE 260 B L=180.0 cm Ln1=180.0 cm Ln2=180.0 cm Crit.:

Acciaio_FlessTors $\gamma_M=1.05$ $f_{yk}/\gamma_M=2619$ kg/cmq $f_t=4300$ kg/cmq :**Verificato**

SF_λ=7.316

N	My	Mz	NRk	MyRk	MzRk	λY	λZ	χY	χZ	χLT	kyy	kyz	kzy	kzz
kg	kg*m	kg*m	kg	kg*m	kg*m									
-325	-6821	1197	325722	35301	16565	16	27	1.000	0.942	1.000	0.871	0.564	0.522	0.940

Cls	Dir	N	Myeq	Mzeq	NRd	MyRd	MzRd	Comb.	SF
		kg	kg*m	kg*m	kg	kg*m	kg*m		
1	Y	325	5938	676	310212	33620	15776	6	4.5
1	Z	325	3563	1126	292073	33620	15776	6	5.6

Asta: 101 [1128,1006] Sez. G: HE 260 B L=180.0 cm Ln1=180.0 cm Ln2=180.0 cm Crit.:

Acciaio_FlessTors $\gamma_M=1.05$ $f_{yk}/\gamma_M=2619$ kg/cmq $f_t=4300$ kg/cmq :**Verificato**

SF_λ=7.316

N	My	Mz	NRk	MyRk	MzRk	λY	λZ	χY	χZ	χLT	kyy	kyz	kzy	kzz
kg	kg*m	kg*m	kg	kg*m	kg*m									
-204	-4095	1204	325722	35301	16565	16	27	1.000	0.942	1.000	0.646	0.571	0.387	0.952

Cls	Dir	N	Myeq	Mzeq	NRd	MyRd	MzRd	Comb.	SF
		kg	kg*m	kg*m	kg	kg*m	kg*m		
1	Y	204	2644	687	310212	33620	15776	12	8.1
1	Z	204	1586	1146	292073	33620	15776	12	8.3

Asta: 101 [1130,1131] Sez. G: HE 260 B L=180.0 cm Ln1=180.0 cm Ln2=180.0 cm Crit.:

Acciaio_FlessTors $\gamma_M=1.05$ $f_{yk}/\gamma_M=2619$ kg/cmq $f_t=4300$ kg/cmq :**Verificato**

SF_λ=7.316

N	My	Mz	NRk	MyRk	MzRk	λY	λZ	χY	χZ	χLT	kyy	kyz	kzy	kzz
kg	kg*m	kg*m	kg	kg*m	kg*m									
-390	-6820	1258	325722	35301	16565	16	27	1.000	0.942	1.000	0.840	0.541	0.504	0.902

Cls	Dir	N	Myeq	Mzeq	NRd	MyRd	MzRd	Comb.	SF
		kg	kg*m	kg*m	kg	kg*m	kg*m		
1	Y	390	5726	681	310212	33620	15776	6	4.7
1	Z	390	3436	1135	292073	33620	15776	6	5.7

Asta: 101 [1131,1132] Sez. G: HE 260 B L=180.0 cm Ln1=180.0 cm Ln2=180.0 cm Crit.:

Acciaio_FlessTors $\gamma_M=1.05$ $f_{yk}/\gamma_M=2619$ kg/cmq $f_t=4300$ kg/cmq :**Verificato**

SF_λ=7.316

N	My	Mz	NRk	MyRk	MzRk	λY	λZ	χY	χZ	χLT	kyy	kyz	kzy	kzz
kg	kg*m	kg*m	kg	kg*m	kg*m									
-396	-6822	1251	325722	35301	16565	16	27	1.000	0.942	1.000	0.870	0.544	0.522	0.906

Cls	Dir	N	Myeq	Mzeq	NRd	MyRd	MzRd	Comb.	SF
		kg	kg*m	kg*m	kg	kg*m	kg*m		
1	Y	396	5937	680	310212	33620	15776	6	4.5
1	Z	396	3562	1133	292073	33620	15776	6	5.6

Asta: 101 [1132,1007] Sez. G: HE 260 B L=180.0 cm Ln1=180.0 cm Ln2=180.0 cm Crit.:

Acciaio_FlessTors $\gamma_M=1.05$ $f_{yk}/\gamma_M=2619$ kg/cmq $f_t=4300$ kg/cmq :**Verificato**

SF_λ=7.316

N	My	Mz	NRk	MyRk	MzRk	λY	λZ	χY	χZ	χLT	kyy	kyz	kzy	kzz
kg	kg*m	kg*m	kg	kg*m	kg*m									
-256	-4091	1219	325722	35301	16565	16	27	1.000	0.942	1.000	0.645	0.546	0.387	0.910

Cls	Dir	N	Myeq	Mzeq	NRd	MyRd	MzRd	Comb.	SF
		kg	kg*m	kg*m	kg	kg*m	kg*m		
1	Y	256	2640	666	310212	33620	15776	12	8.2
1	Z	256	1584	1110	292073	33620	15776	12	8.5

Asta: 101 [1134,1135] Sez. G: HE 260 B L=180.0 cm Ln1=180.0 cm Ln2=180.0 cm Crit.:

Acciaio_FlessTors $\gamma_M=1.05$ $f_{yk}/\gamma_M=2619$ kg/cmq $f_t=4300$ kg/cmq :**Verificato**

SF_ $\lambda=7.316$

N	My	Mz	NRk	MyRk	MzRk	λ_Y	λ_Z	χ_Y	χ_Z	χ_{LT}	kyy	kyz	kzy	kzz
kg	kg*m	kg*m	kg	kg*m	kg*m									
-415	-6823	1230	325722	35301	16565	16	27	1.000	0.942	1.000	0.839	0.549	0.503	0.915

Cls	Dir	N	Myeq	Mzeq	NRd	MyRd	MzRd	Comb.	SF
		kg	kg*m	kg*m	kg	kg*m	kg*m		
1	Y	415	5724	675	310212	33620	15776	6	4.7
1	Z	415	3434	1125	292072	33620	15776	6	5.7

Asta: 101 [1135,1136] Sez. G: HE 260 B L=180.0 cm Ln1=180.0 cm Ln2=180.0 cm Crit.:

Acciaio_FlessTors $\gamma_M=1.05$ $f_{yk}/\gamma_M=2619$ kg/cmq $f_t=4300$ kg/cmq :**Verificato**

SF_ $\lambda=7.316$

N	My	Mz	NRk	MyRk	MzRk	λ_Y	λ_Z	χ_Y	χ_Z	χ_{LT}	kyy	kyz	kzy	kzz
kg	kg*m	kg*m	kg	kg*m	kg*m									
-370	-6815	1247	325722	35301	16565	16	27	1.000	0.942	1.000	0.871	0.547	0.523	0.912

Cls	Dir	N	Myeq	Mzeq	NRd	MyRd	MzRd	Comb.	SF
		kg	kg*m	kg*m	kg	kg*m	kg*m		
1	Y	370	5935	682	310212	33620	15776	6	4.5
1	Z	370	3561	1137	292073	33620	15776	6	5.6

Asta: 101 [1136,1008] Sez. G: HE 260 B L=180.0 cm Ln1=180.0 cm Ln2=180.0 cm Crit.:

Acciaio_FlessTors $\gamma_M=1.05$ $f_{yk}/\gamma_M=2619$ kg/cmq $f_t=4300$ kg/cmq :**Verificato**

SF_ $\lambda=7.316$

N	My	Mz	NRk	MyRk	MzRk	λ_Y	λ_Z	χ_Y	χ_Z	χ_{LT}	kyy	kyz	kzy	kzz
kg	kg*m	kg*m	kg	kg*m	kg*m									
-228	-4095	1290	325722	35301	16565	16	27	1.000	0.942	1.000	0.647	0.540	0.388	0.900

Cls	Dir	N	Myeq	Mzeq	NRd	MyRd	MzRd	Comb.	SF
		kg	kg*m	kg*m	kg	kg*m	kg*m		
1	Y	228	2648	696	310212	33620	15776	12	8.1
1	Z	228	1589	1161	292073	33620	15776	12	8.2

Asta: 101 [1137,1138] Sez. G: HE 260 B L=180.0 cm Ln1=180.0 cm Ln2=180.0 cm Crit.:

Acciaio_FlessTors $\gamma_M=1.05$ $f_{yk}/\gamma_M=2619$ kg/cmq $f_t=4300$ kg/cmq :**Verificato**

SF_ $\lambda=7.316$

N	My	Mz	NRk	MyRk	MzRk	λ_Y	λ_Z	χ_Y	χ_Z	χ_{LT}	kyy	kyz	kzy	kzz
kg	kg*m	kg*m	kg	kg*m	kg*m									
-336	-6830	1175	325722	35301	16565	16	27	1.000	0.942	1.000	0.839	0.571	0.503	0.951

Cls	Dir	N	Myeq	Mzeq	NRd	MyRd	MzRd	Comb.	SF
		kg	kg*m	kg*m	kg	kg*m	kg*m		
1	Y	336	5731	670	310212	33620	15776	6	4.7
1	Z	336	3438	1117	292073	33620	15776	6	5.7

Asta: 101 [1138,1139] Sez. G: HE 260 B L=180.0 cm Ln1=180.0 cm Ln2=180.0 cm Crit.:

Acciaio_FlessTors $\gamma_M=1.05$ $f_{yk}/\gamma_M=2619$ kg/cmq $f_t=4300$ kg/cmq :**Verificato**

SF_ $\lambda=7.316$

N	My	Mz	NRk	MyRk	MzRk	λ_Y	λ_Z	χ_Y	χ_Z	χ_{LT}	kyy	kyz	kzy	kzz
kg	kg*m	kg*m	kg	kg*m	kg*m									
-288	-6825	1178	325722	35301	16565	16	27	1.000	0.942	1.000	0.871	0.572	0.523	0.954

Cls	Dir	N	Myeq	Mzeq	NRd	MyRd	MzRd	Comb.	SF
		kg	kg*m	kg*m	kg	kg*m	kg*m		
1	Y	288	5946	674	310212	33620	15776	6	4.5
1	Z	288	3567	1124	292072	33620	15776	6	5.6

Asta: 101 [1139,1009] Sez. G: HE 260 B L=180.0 cm Ln1=180.0 cm Ln2=180.0 cm Crit.:

Acciaio_FlessTors $\gamma_M=1.05$ $f_{yk}/\gamma_M=2619$ kg/cmq $f_t=4300$ kg/cmq :**Verificato**

SF_ $\lambda=7.316$

N	My	Mz	NRk	MyRk	MzRk	λ_Y	λ_Z	χ_Y	χ_Z	χ_{LT}	kyy	kyz	kzy	kzz
kg	kg*m	kg*m	kg	kg*m	kg*m									
-130	-4079	1203	325722	35301	16565	16	27	1.000	0.942	1.000	0.644	0.569	0.386	0.949

Cls	Dir	N	Myeq	Mzeq	NRd	MyRd	MzRd	Comb.	SF
		kg	kg*m	kg*m	kg	kg*m	kg*m		
1	Y	130	2626	685	310212	33620	15776	12	8.2
1	Z	130	1576	1141	292073	33620	15776	12	8.4

Asta: 101 [1141,1142] Sez. G: HE 260 B L=180.0 cm Ln1=180.0 cm Ln2=180.0 cm Crit.:

Acciaio_FlessTors $\gamma M=1.05 f_{yk}/\gamma M=2619 \text{ kg/cmq}$ $f_t=4300 \text{ kg/cmq}$:**Verificato**

SF_λ=7.316

N	My	Mz	NRk	MyRk	MzRk	λY	λZ	χY	χZ	χLT	kyy	kyz	kzy	kzz
kg	kg*m	kg*m	kg	kg*m	kg*m									
-223	-6796	1124	325722	35301	16565	16	27	1.000	0.942	1.000	0.840	0.592	0.504	0.986

Cls	Dir	N	Myeq	Mzeq	NRd	MyRd	MzRd	Comb.	SF
		kg	kg*m	kg*m	kg	kg*m	kg*m		
1	Y	223	5709	665	310212	33620	15776	6	4.7
1	Z	223	3425	1108	292073	33620	15776	6	5.8

Asta: 101 [1142,1143] Sez. G: HE 260 B L=180.0 cm Ln1=180.0 cm Ln2=180.0 cm Crit.:

Acciaio_FlessTors $\gamma M=1.05 f_{yk}/\gamma M=2619 \text{ kg/cmq}$ $f_t=4300 \text{ kg/cmq}$:**Verificato**

SF_λ=7.316

N	My	Mz	NRk	MyRk	MzRk	λY	λZ	χY	χZ	χLT	kyy	kyz	kzy	kzz
kg	kg*m	kg*m	kg	kg*m	kg*m									
-172	-6792	1131	325722	35301	16565	16	27	1.000	0.942	1.000	0.869	0.591	0.521	0.985

Cls	Dir	N	Myeq	Mzeq	NRd	MyRd	MzRd	Comb.	SF
		kg	kg*m	kg*m	kg	kg*m	kg*m		
1	Y	172	5900	668	310212	33620	15776	6	4.6
1	Z	172	3540	1114	292073	33620	15776	6	5.7

Asta: 101 [1143,1010] Sez. G: HE 260 B L=180.0 cm Ln1=180.0 cm Ln2=180.0 cm Crit.:

Acciaio_FlessTors $\gamma M=1.05 f_{yk}/\gamma M=2619 \text{ kg/cmq}$ $f_t=4300 \text{ kg/cmq}$:**Verificato**

SF_λ=7.316

N	My	Mz	NRk	MyRk	MzRk	λY	λZ	χY	χZ	χLT	kyy	kyz	kzy	kzz
kg	kg*m	kg*m	kg	kg*m	kg*m									
-11	-4164	1147	325722	35301	16565	16	27	1.000	0.942	1.000	0.662	0.590	0.397	0.983

Cls	Dir	N	Myeq	Mzeq	NRd	MyRd	MzRd	Comb.	SF
		kg	kg*m	kg*m	kg	kg*m	kg*m		
1	Y	11	2756	676	310212	33620	15776	12	8.0
1	Z	11	1653	1127	292072	33620	15776	12	8.3

Asta: 101 [1145,1146] Sez. G: HE 260 B L=180.0 cm Ln1=180.0 cm Ln2=180.0 cm Crit.:

Acciaio_FlessTors $\gamma M=1.05 f_{yk}/\gamma M=2619 \text{ kg/cmq}$ $f_t=4300 \text{ kg/cmq}$:**Verificato**

SF_λ=7.316

N	My	Mz	NRk	MyRk	MzRk	λY	λZ	χY	χZ	χLT	kyy	kyz	kzy	kzz
kg	kg*m	kg*m	kg	kg*m	kg*m									
-107	-6951	1106	325722	35301	16565	16	27	1.000	0.942	1.000	0.833	0.599	0.500	0.998

Cls	Dir	N	Myeq	Mzeq	NRd	MyRd	MzRd	Comb.	SF
		kg	kg*m	kg*m	kg	kg*m	kg*m		
1	Y	107	5793	662	310212	33620	15776	6	4.7
1	Z	107	3476	1104	292072	33620	15776	6	5.8

Asta: 101 [1146,1147] Sez. G: HE 260 B L=180.0 cm Ln1=180.0 cm Ln2=180.0 cm Crit.:

Acciaio_FlessTors $\gamma M=1.05 f_{yk}/\gamma M=2619 \text{ kg/cmq}$ $f_t=4300 \text{ kg/cmq}$:**Verificato**

SF_λ=7.316

N	My	Mz	NRk	MyRk	MzRk	λY	λZ	χY	χZ	χLT	kyy	kyz	kzy	kzz
kg	kg*m	kg*m	kg	kg*m	kg*m									
-64	-6948	1108	325722	35301	16565	16	27	1.000	0.942	1.000	0.872	0.598	0.523	0.997

Cls	Dir	N	Myeq	Mzeq	NRd	MyRd	MzRd	Comb.	SF
		kg	kg*m	kg*m	kg	kg*m	kg*m		
1	Y	64	6061	662	310212	33620	15776	6	4.5
1	Z	64	3636	1104	292072	33620	15776	6	5.6

Asta: 101 [1147,1011] Sez. G: HE 260 B L=180.0 cm Ln1=180.0 cm Ln2=180.0 cm Crit.:

Acciaio_FlessTors $\gamma_M=1.05$ $f_{yk}/\gamma_M=2619$ kg/cmq $f_t=4300$ kg/cmq :**Verificato**

SF $\lambda=7.316$

N	My	Mz	NRk	MyRk	MzRk	λ_Y	λ_Z	χ_Y	χ_Z	χ_{LT}	kyy	kzy	kzz	
kg	kg*m	kg*m	kg	kg*m	kg*m									
115	-3569	1242	325722	35301	16565	16	27	1.000	0.942	1.000	0.573	0.571	0.344	0.952

Cls	Dir	N	Myeq	Mzeq	NRd	MyRd	MzRd	Comb.	SF
		kg	kg*m	kg*m	kg	kg*m	kg*m		
1	Y	115	2046	710	310212	33620	15776	12	9.4
1	Z	115	1227	1183	292073	33620	15776	12	8.9

Asta: 101 [1011,1149] Sez. G: HE 260 B L=200.0 cm Ln1=200.0 cm Ln2=200.0 cm Crit.:

Acciaio_FlessTors $\gamma_M=1.05$ $f_{yk}/\gamma_M=2619$ kg/cmq $f_t=4300$ kg/cmq :**Verificato**

SF $\lambda=6.584$

N	My	Mz	NRk	MyRk	MzRk	λ_Y	λ_Z	χ_Y	χ_Z	χ_{LT}	kyy	kzy	kzz	
kg	kg*m	kg*m	kg	kg*m	kg*m									
-32	2934	1441	325722	35301	16565	18	30	0.998	0.924	1.000	0.599	0.392	0.359	0.654

Cls	Dir	N	Myeq	Mzeq	NRd	MyRd	MzRd	Comb.	SF
		kg	kg*m	kg*m	kg	kg*m	kg*m		
1	Y	32	1757	565	309633	33620	15776	6	11
1	Z	32	1054	942	286486	33620	15776	6	11

Asta: 101 [1109,1001] Sez. G: HE 260 B L=200.0 cm Ln1=200.0 cm Ln2=200.0 cm Crit.:

Acciaio_FlessTors $\gamma_M=1.05$ $f_{yk}/\gamma_M=2619$ kg/cmq $f_t=4300$ kg/cmq :**Verificato**

SF $\lambda=6.584$

N	My	Mz	NRk	MyRk	MzRk	λ_Y	λ_Z	χ_Y	χ_Z	χ_{LT}	kyy	kzy	kzz	
kg	kg*m	kg*m	kg	kg*m	kg*m									
-72	2682	1438	325722	35301	16565	18	30	0.998	0.924	1.000	0.599	0.393	0.360	0.655

Cls	Dir	N	Myeq	Mzeq	NRd	MyRd	MzRd	Comb.	SF
		kg	kg*m	kg*m	kg	kg*m	kg*m		
1	Y	72	1608	565	309633	33620	15776	6	12
1	Z	72	965	942	286486	33620	15776	6	11

Asta: 102 [1012,1238] Sez. G: HE 260 B L=180.0 cm Ln1=180.0 cm Ln2=180.0 cm Crit.:

Acciaio_FlessTors $\gamma_M=1.05$ $f_{yk}/\gamma_M=2619$ kg/cmq $f_t=4300$ kg/cmq :**Verificato**

SF $\lambda=7.316$

N	My	Mz	NRk	MyRk	MzRk	λ_Y	λ_Z	χ_Y	χ_Z	χ_{LT}	kyy	kzy	kzz	
kg	kg*m	kg*m	kg	kg*m	kg*m									
-219	6849	1231	325722	35301	16565	16	27	1.000	0.942	1.000	0.400	0.578	0.240	0.963

Cls	Dir	N	Myeq	Mzeq	NRd	MyRd	MzRd	Comb.	SF
		kg	kg*m	kg*m	kg	kg*m	kg*m		
1	Y	219	2740	711	310212	33620	15776	6	7.9
1	Z	219	1644	1185	292073	33620	15776	6	8.0

Asta: 102 [1013,1242] Sez. G: HE 260 B L=180.0 cm Ln1=180.0 cm Ln2=180.0 cm Crit.:

Acciaio_FlessTors $\gamma_M=1.05$ $f_{yk}/\gamma_M=2619$ kg/cmq $f_t=4300$ kg/cmq :**Verificato**

SF $\lambda=7.316$

N	My	Mz	NRk	MyRk	MzRk	λ_Y	λ_Z	χ_Y	χ_Z	χ_{LT}	kyy	kzy	kzz	
kg	kg*m	kg*m	kg	kg*m	kg*m									
-340	10734	428	325722	35301	16565	16	27	1.000	0.942	1.000	0.500	0.569	0.300	0.948

Cls	Dir	N	Myeq	Mzeq	NRd	MyRd	MzRd	Comb.	SF
		kg	kg*m	kg*m	kg	kg*m	kg*m		
1	Y	340	5368	244	310212	33620	15776	15	5.7
1	Z	340	3221	406	292072	33620	15776	15	8.2

Asta: 102 [1014,1245] Sez. G: HE 260 B L=180.0 cm Ln1=180.0 cm Ln2=180.0 cm Crit.:

Acciaio_FlessTors $\gamma_M=1.05$ $f_{yk}/\gamma_M=2619$ kg/cmq $f_t=4300$ kg/cmq :**Verificato**

SF $\lambda=7.316$

N	My	Mz	NRk	MyRk	MzRk	λY	λZ	χY	χZ	χLT	kyy	kyz	kzy	kzz
kg	kg*m	kg*m	kg	kg*m	kg*m									
-310	10247	436	325722	35301	16565	16	27	1.000	0.942	1.000	0.477	0.557	0.286	0.928

Cls	Dir	N	Myeq	Mzeq	NRd	MyRd	MzRd	Comb.	SF
		kg	kg*m	kg*m	kg	kg*m	kg*m		
1	Y	310	4884	243	310212	33620	15776	15	6.2
1	Z	310	2930	405	292073	33620	15776	15	8.8

Asta: 102 [1015,1249] Sez. G: HE 260 B L=180.0 cm Ln1=180.0 cm Ln2=180.0 cm Crit.:

Acciaio_FlessTors $\gamma M=1.05$ fyk/ $\gamma M=2619$ kg/cm² ft=4300 kg/cm² :**Verificato**

SF_ $\lambda=7.316$

N	My	Mz	NRk	MyRk	MzRk	λY	λZ	χY	χZ	χLT	kyy	kyz	kzy	kzz
kg	kg*m	kg*m	kg	kg*m	kg*m									
-218	10394	462	325722	35301	16565	16	27	1.000	0.942	1.000	0.482	0.535	0.289	0.891

Cls	Dir	N	Myeq	Mzeq	NRd	MyRd	MzRd	Comb.	SF
		kg	kg*m	kg*m	kg	kg*m	kg*m		
1	Y	218	5010	247	310212	33620	15776	15	6.0
1	Z	218	3006	412	292073	33620	15776	15	8.6

Asta: 102 [1016,1253] Sez. G: HE 260 B L=180.0 cm Ln1=180.0 cm Ln2=180.0 cm Crit.:

Acciaio_FlessTors $\gamma M=1.05$ fyk/ $\gamma M=2619$ kg/cm² ft=4300 kg/cm² :**Verificato**

SF_ $\lambda=7.316$

N	My	Mz	NRk	MyRk	MzRk	λY	λZ	χY	χZ	χLT	kyy	kyz	kzy	kzz
kg	kg*m	kg*m	kg	kg*m	kg*m									
-55	10333	507	325722	35301	16565	16	27	1.000	0.942	1.000	0.481	0.501	0.288	0.834

Cls	Dir	N	Myeq	Mzeq	NRd	MyRd	MzRd	Comb.	SF
		kg	kg*m	kg*m	kg	kg*m	kg*m		
1	Y	55	4967	254	310212	33620	15776	15	6.1
1	Z	55	2980	423	292072	33620	15776	15	8.6

Asta: 102 [1017,1257] Sez. G: HE 260 B L=180.0 cm Ln1=180.0 cm Ln2=180.0 cm Crit.:

Acciaio_FlessTors $\gamma M=1.05$ fyk/ $\gamma M=2619$ kg/cm² ft=4300 kg/cm² :**Verificato**

SF_ $\lambda=7.316$

N	My	Mz	NRk	MyRk	MzRk	λY	λZ	χY	χZ	χLT	kyy	kyz	kzy	kzz
kg	kg*m	kg*m	kg	kg*m	kg*m									
245	10510	579	325722	35301	16565	16	27	1.000	0.942	1.000	0.483	0.457	0.290	0.762

Cls	Dir	N	Myeq	Mzeq	NRd	MyRd	MzRd	Comb.	SF
		kg	kg*m	kg*m	kg	kg*m	kg*m		
1	Y	245	5074	264	310212	33620	15776	15	5.9
1	Z	245	3044	441	292072	33620	15776	15	8.4

Asta: 102 [1018,1261] Sez. G: HE 260 B L=180.0 cm Ln1=180.0 cm Ln2=180.0 cm Crit.:

Acciaio_FlessTors $\gamma M=1.05$ fyk/ $\gamma M=2619$ kg/cm² ft=4300 kg/cm² :**Verificato**

SF_ $\lambda=7.316$

N	My	Mz	NRk	MyRk	MzRk	λY	λZ	χY	χZ	χLT	kyy	kyz	kzy	kzz
kg	kg*m	kg*m	kg	kg*m	kg*m									
231	10776	497	325722	35301	16565	16	27	1.000	0.942	1.000	0.496	0.457	0.297	0.762

Cls	Dir	N	Myeq	Mzeq	NRd	MyRd	MzRd	Comb.	SF
		kg	kg*m	kg*m	kg	kg*m	kg*m		
1	Y	231	5342	227	310212	33620	15776	15	5.7
1	Z	231	3205	379	292073	33620	15776	15	8.3

Asta: 102 [1019,1264] Sez. G: HE 260 B L=180.0 cm Ln1=180.0 cm Ln2=180.0 cm Crit.:

Acciaio_FlessTors $\gamma M=1.05$ fyk/ $\gamma M=2619$ kg/cm² ft=4300 kg/cm² :**Verificato**

SF_ $\lambda=7.316$

N	My	Mz	NRk	MyRk	MzRk	λY	λZ	χY	χZ	χLT	kyy	kyz	kzy	kzz
kg	kg*m	kg*m	kg	kg*m	kg*m									
-96	10320	441	325722	35301	16565	16	27	1.000	0.942	1.000	0.478	0.561	0.287	0.936

Cls	Dir	N	Myeq	Mzeq	NRd	MyRd	MzRd	Comb.	SF
		kg	kg*m	kg*m	kg	kg*m	kg*m		

Cls	Dir	N	Myeq	Mzeq	NRd	MyRd	MzRd	Comb.	SF
1	Y	96	4937	248	310212	33620	15776	15	6.1
1	Z	96	2962	413	292073	33620	15776	15	8.7

Asta: 102 [1020,1268] Sez. G: HE 260 B L=180.0 cm Ln1=180.0 cm Ln2=180.0 cm Crit.:

Acciaio_FlessTors $\gamma_M=1.05$ $f_{yk}/\gamma_M=2619$ kg/cmq $f_t=4300$ kg/cmq :**Verificato**

SF_λ=7.316

N	My	Mz	NRk	MyRk	MzRk	λY	λZ	χY	χZ	χLT	kyy	kyz	kzy	kzz
kg	kg*m	kg*m	kg	kg*m	kg*m									
-271	10218	406	325722	35301	16565	16	27	1.000	0.942	1.000	0.480	0.595	0.288	0.991

Cls	Dir	N	Myeq	Mzeq	NRd	MyRd	MzRd	Comb.	SF
		kg	kg*m	kg*m	kg	kg*m	kg*m		
1	Y	271	4904	241	310212	33620	15776	15	6.2
1	Z	271	2942	402	292073	33620	15776	15	8.8

Asta: 102 [1021,1272] Sez. G: HE 260 B L=180.0 cm Ln1=180.0 cm Ln2=180.0 cm Crit.:

Acciaio_FlessTors $\gamma_M=1.05$ $f_{yk}/\gamma_M=2619$ kg/cmq $f_t=4300$ kg/cmq :**Verificato**

SF_λ=7.316

N	My	Mz	NRk	MyRk	MzRk	λY	λZ	χY	χZ	χLT	kyy	kyz	kzy	kzz
kg	kg*m	kg*m	kg	kg*m	kg*m									
-481	11472	407	325722	35301	16565	16	27	1.000	0.942	1.000	0.486	0.591	0.292	0.985

Cls	Dir	N	Myeq	Mzeq	NRd	MyRd	MzRd	Comb.	SF
		kg	kg*m	kg*m	kg	kg*m	kg*m		
1	Y	481	5577	241	310212	33620	15776	15	5.5
1	Z	481	3346	401	292073	33620	15776	15	7.9

Asta: 102 [1238,1239] Sez. G: HE 260 B L=180.0 cm Ln1=180.0 cm Ln2=180.0 cm Crit.:

Acciaio_FlessTors $\gamma_M=1.05$ $f_{yk}/\gamma_M=2619$ kg/cmq $f_t=4300$ kg/cmq :**Verificato**

SF_λ=7.316

N	My	Mz	NRk	MyRk	MzRk	λY	λZ	χY	χZ	χLT	kyy	kyz	kzy	kzz
kg	kg*m	kg*m	kg	kg*m	kg*m									
-222	-10152	1101	325722	35301	16565	16	27	1.000	0.942	1.000	0.833	0.597	0.500	0.996

Cls	Dir	N	Myeq	Mzeq	NRd	MyRd	MzRd	Comb.	SF
		kg	kg*m	kg*m	kg	kg*m	kg*m		
1	Y	222	8452	658	310212	33620	15776	6	3.4
1	Z	222	5071	1096	292073	33620	15776	6	4.5

Asta: 102 [1239,1240] Sez. G: HE 260 B L=180.0 cm Ln1=180.0 cm Ln2=180.0 cm Crit.:

Acciaio_FlessTors $\gamma_M=1.05$ $f_{yk}/\gamma_M=2619$ kg/cmq $f_t=4300$ kg/cmq :**Verificato**

SF_λ=7.316

N	My	Mz	NRk	MyRk	MzRk	λY	λZ	χY	χZ	χLT	kyy	kyz	kzy	kzz
kg	kg*m	kg*m	kg	kg*m	kg*m									
-239	-10155	1136	325722	35301	16565	16	27	1.000	0.942	1.000	0.815	0.585	0.489	0.975

Cls	Dir	N	Myeq	Mzeq	NRd	MyRd	MzRd	Comb.	SF
		kg	kg*m	kg*m	kg	kg*m	kg*m		
1	Y	239	8277	665	310212	33620	15776	6	3.5
1	Z	239	4966	1108	292072	33620	15776	6	4.6

Asta: 102 [1240,1013] Sez. G: HE 260 B L=180.0 cm Ln1=180.0 cm Ln2=180.0 cm Crit.:

Acciaio_FlessTors $\gamma_M=1.05$ $f_{yk}/\gamma_M=2619$ kg/cmq $f_t=4300$ kg/cmq :**Verificato**

SF_λ=7.316

N	My	Mz	NRk	MyRk	MzRk	λY	λZ	χY	χZ	χLT	kyy	kyz	kzy	kzz
kg	kg*m	kg*m	kg	kg*m	kg*m									
-455	10719	435	325722	35301	16565	16	27	1.000	0.942	1.000	0.483	0.560	0.290	0.933

Cls	Dir	N	Myeq	Mzeq	NRd	MyRd	MzRd	Comb.	SF
		kg	kg*m	kg*m	kg	kg*m	kg*m		
1	Y	455	5181	244	310212	33620	15776	15	5.8
1	Z	455	3108	406	292072	33620	15776	15	8.4

Asta: 102 [1242,1243] Sez. G: HE 260 B L=180.0 cm Ln1=180.0 cm Ln2=180.0 cm Crit.:

Acciaio_FlessTors $\gamma_M=1.05$ $f_{yk}/\gamma_M=2619$ kg/cm² $f_t=4300$ kg/cm² :**Verificato**

SF_ $\lambda=7.316$

N	My	Mz	NRk	MyRk	MzRk	λ_Y	λ_Z	χ_Y	χ_Z	χ_{LT}	kyy	kyz	kzy	kzz
kg	kg*m	kg*m	kg	kg*m	kg*m									
-195	-9715	1120	325722	35301	16565	16	27	1.000	0.942	1.000	0.801	0.592	0.481	0.987

Cls	Dir	N	Myeq	Mzeq	NRd	MyRd	MzRd	Comb.	SF
		kg	kg*m	kg*m	kg	kg*m	kg*m		
1	Y	195	7784	663	310212	33620	15776	6	3.6
1	Z	195	4671	1106	292073	33620	15776	6	4.8

Asta: 102 [1243,1244] Sez. G: HE 260 B L=180.0 cm Ln1=180.0 cm Ln2=180.0 cm Crit.:

Acciaio_FlessTors $\gamma_M=1.05$ $f_{yk}/\gamma_M=2619$ kg/cm² $f_t=4300$ kg/cm² :**Verificato**

SF_ $\lambda=7.316$

N	My	Mz	NRk	MyRk	MzRk	λ_Y	λ_Z	χ_Y	χ_Z	χ_{LT}	kyy	kyz	kzy	kzz
kg	kg*m	kg*m	kg	kg*m	kg*m									
-195	-9718	1121	325722	35301	16565	16	27	1.000	0.942	1.000	0.830	0.592	0.498	0.986

Cls	Dir	N	Myeq	Mzeq	NRd	MyRd	MzRd	Comb.	SF
		kg	kg*m	kg*m	kg	kg*m	kg*m		
1	Y	195	8070	663	310212	33620	15776	6	3.5
1	Z	195	4842	1105	292072	33620	15776	6	4.7

Asta: 102 [1244,1014] Sez. G: HE 260 B L=180.0 cm Ln1=180.0 cm Ln2=180.0 cm Crit.:

Acciaio_FlessTors $\gamma_M=1.05$ $f_{yk}/\gamma_M=2619$ kg/cm² $f_t=4300$ kg/cm² :**Verificato**

SF_ $\lambda=7.316$

N	My	Mz	NRk	MyRk	MzRk	λ_Y	λ_Z	χ_Y	χ_Z	χ_{LT}	kyy	kyz	kzy	kzz
kg	kg*m	kg*m	kg	kg*m	kg*m									
-312	9853	413	325722	35301	16565	16	27	1.000	0.942	1.000	0.469	0.580	0.281	0.966

Cls	Dir	N	Myeq	Mzeq	NRd	MyRd	MzRd	Comb.	SF
		kg	kg*m	kg*m	kg	kg*m	kg*m		
1	Y	312	4617	240	310212	33620	15776	15	6.5
1	Z	312	2770	399	292072	33620	15776	15	9.2

Asta: 102 [1245,1246] Sez. G: HE 260 B L=180.0 cm Ln1=180.0 cm Ln2=180.0 cm Crit.:

Acciaio_FlessTors $\gamma_M=1.05$ $f_{yk}/\gamma_M=2619$ kg/cm² $f_t=4300$ kg/cm² :**Verificato**

SF_ $\lambda=7.316$

N	My	Mz	NRk	MyRk	MzRk	λ_Y	λ_Z	χ_Y	χ_Z	χ_{LT}	kyy	kyz	kzy	kzz
kg	kg*m	kg*m	kg	kg*m	kg*m									
-155	-9829	1134	325722	35301	16565	16	27	1.000	0.942	1.000	0.808	0.586	0.485	0.977

Cls	Dir	N	Myeq	Mzeq	NRd	MyRd	MzRd	Comb.	SF
		kg	kg*m	kg*m	kg	kg*m	kg*m		
1	Y	155	7943	665	310212	33620	15776	6	3.6
1	Z	155	4766	1108	292072	33620	15776	6	4.7

Asta: 102 [1246,1247] Sez. G: HE 260 B L=180.0 cm Ln1=180.0 cm Ln2=180.0 cm Crit.:

Acciaio_FlessTors $\gamma_M=1.05$ $f_{yk}/\gamma_M=2619$ kg/cm² $f_t=4300$ kg/cm² :**Verificato**

SF_ $\lambda=7.316$

N	My	Mz	NRk	MyRk	MzRk	λ_Y	λ_Z	χ_Y	χ_Z	χ_{LT}	kyy	kyz	kzy	kzz
kg	kg*m	kg*m	kg	kg*m	kg*m									
-145	-9833	1105	325722	35301	16565	16	27	1.000	0.942	1.000	0.828	0.598	0.497	0.997

Cls	Dir	N	Myeq	Mzeq	NRd	MyRd	MzRd	Comb.	SF
		kg	kg*m	kg*m	kg	kg*m	kg*m		
1	Y	145	8140	661	310212	33620	15776	6	3.5
1	Z	145	4884	1102	292073	33620	15776	6	4.6

Asta: 102 [1247,1015] Sez. G: HE 260 B L=180.0 cm Ln1=180.0 cm Ln2=180.0 cm Crit.:

Acciaio_FlessTors $\gamma_M=1.05$ $f_{yk}/\gamma_M=2619$ kg/cm² $f_t=4300$ kg/cm² :**Verificato**

SF_ $\lambda=7.316$

N	My	Mz	NRk	MyRk	MzRk	λ_Y	λ_Z	χ_Y	χ_Z	χ_{LT}	kyy	kyz	kzy	kzz
kg	kg*m	kg*m	kg	kg*m	kg*m									
-256	10080	404	325722	35301	16565	16	27	1.000	0.942	1.000	0.471	0.593	0.283	0.988

Cls	Dir	N	Myeq	Mzeq	NRd	MyRd	MzRd	Comb.	SF
		kg	kg*m	kg*m	kg	kg*m	kg*m		
1	Y	256	4749	239	310212	33620	15776	15	6.4
1	Z	256	2849	399	292072	33620	15776	15	9.0

Asta: 102 [1249,1250] Sez. G: HE 260 B L=180.0 cm Ln1=180.0 cm Ln2=180.0 cm Crit.:

Acciaio_FlessTors $\gamma M=1.05 f_{yk}/\gamma M=2619 \text{ kg/cmq}$ $f_t=4300 \text{ kg/cmq}$:**Verificato**

SF_λ=7.316

N	My	Mz	NRk	MyRk	MzRk	λY	λZ	χY	χZ	χLT	kyy	kyz	kzy	kzz
kg	kg*m	kg*m	kg	kg*m	kg*m									
-56	-9814	1157	325722	35301	16565	16	27	1.000	0.942	1.000	0.807	0.577	0.484	0.961

Cls	Dir	N	Myeq	Mzeq	NRd	MyRd	MzRd	Comb.	SF
		kg	kg*m	kg*m	kg	kg*m	kg*m		
1	Y	56	7917	667	310212	33620	15776	6	3.6
1	Z	56	4750	1112	292073	33620	15776	6	4.7

Asta: 102 [1250,1251] Sez. G: HE 260 B L=180.0 cm Ln1=180.0 cm Ln2=180.0 cm Crit.:

Acciaio_FlessTors $\gamma M=1.05 f_{yk}/\gamma M=2619 \text{ kg/cmq}$ $f_t=4300 \text{ kg/cmq}$:**Verificato**

SF_λ=7.316

N	My	Mz	NRk	MyRk	MzRk	λY	λZ	χY	χZ	χLT	kyy	kyz	kzy	kzz
kg	kg*m	kg*m	kg	kg*m	kg*m									
-29	-9818	1122	325722	35301	16565	16	27	1.000	0.942	1.000	0.829	0.591	0.497	0.985

Cls	Dir	N	Myeq	Mzeq	NRd	MyRd	MzRd	Comb.	SF
		kg	kg*m	kg*m	kg	kg*m	kg*m		
1	Y	29	8137	663	310212	33620	15776	6	3.5
1	Z	29	4882	1105	292072	33620	15776	6	4.6

Asta: 102 [1251,1016] Sez. G: HE 260 B L=180.0 cm Ln1=180.0 cm Ln2=180.0 cm Crit.:

Acciaio_FlessTors $\gamma M=1.05 f_{yk}/\gamma M=2619 \text{ kg/cmq}$ $f_t=4300 \text{ kg/cmq}$:**Verificato**

SF_λ=7.316

N	My	Mz	NRk	MyRk	MzRk	λY	λZ	χY	χZ	χLT	kyy	kyz	kzy	kzz
kg	kg*m	kg*m	kg	kg*m	kg*m									
-115	10014	414	325722	35301	16565	16	27	1.000	0.942	1.000	0.470	0.584	0.282	0.973

Cls	Dir	N	Myeq	Mzeq	NRd	MyRd	MzRd	Comb.	SF
		kg	kg*m	kg*m	kg	kg*m	kg*m		
1	Y	115	4705	242	310212	33620	15776	15	6.4
1	Z	115	2823	403	292073	33620	15776	15	9.1

Asta: 102 [1253,1254] Sez. G: HE 260 B L=180.0 cm Ln1=180.0 cm Ln2=180.0 cm Crit.:

Acciaio_FlessTors $\gamma M=1.05 f_{yk}/\gamma M=2619 \text{ kg/cmq}$ $f_t=4300 \text{ kg/cmq}$:**Verificato**

SF_λ=7.316

N	My	Mz	NRk	MyRk	MzRk	λY	λZ	χY	χZ	χLT	kyy	kyz	kzy	kzz
kg	kg*m	kg*m	kg	kg*m	kg*m									
138	-9781	1195	325722	35301	16565	16	27	1.000	0.942	1.000	0.808	0.562	0.485	0.937

Cls	Dir	N	Myeq	Mzeq	NRd	MyRd	MzRd	Comb.	SF
		kg	kg*m	kg*m	kg	kg*m	kg*m		
1	Y	138	7900	672	310212	33620	15776	6	3.6
1	Z	138	4740	1120	292073	33620	15776	6	4.7

Asta: 102 [1254,1255] Sez. G: HE 260 B L=180.0 cm Ln1=180.0 cm Ln2=180.0 cm Crit.:

Acciaio_FlessTors $\gamma M=1.05 f_{yk}/\gamma M=2619 \text{ kg/cmq}$ $f_t=4300 \text{ kg/cmq}$:**Verificato**

SF_λ=7.316

N	My	Mz	NRk	MyRk	MzRk	λY	λZ	χY	χZ	χLT	kyy	kyz	kzy	kzz
kg	kg*m	kg*m	kg	kg*m	kg*m									
200	-9787	1164	325722	35301	16565	16	27	1.000	0.942	1.000	0.827	0.574	0.496	0.957

Cls	Dir	N	Myeq	Mzeq	NRd	MyRd	MzRd	Comb.	SF
		kg	kg*m	kg*m	kg	kg*m	kg*m		
1	Y	200	8089	668	310212	33620	15776	6	3.5
1	Z	200	4853	1114	292073	33620	15776	6	4.6

Asta: 102 [1255,1017] Sez. G: HE 260 B L=180.0 cm Ln1=180.0 cm Ln2=180.0 cm Crit.:

Acciaio_FlessTors $\gamma M=1.05$ fyk/ $\gamma M=2619$ kg/cm² ft=4300 kg/cm² :**Verificato**

SF $\lambda=7.316$

N	My	Mz	NRk	MyRk	MzRk	λY	λZ	χY	χZ	χLT	kyy	kzy	kzz	
kg	kg*m	kg*m	kg	kg*m	kg*m									
156	10131	450	325722	35301	16565	16	27	1.000	0.942	1.000	0.474	0.552	0.284	0.921

Cls	Dir	N	Myeq	Mzeq	NRd	MyRd	MzRd	Comb.	SF
		kg	kg*m	kg*m	kg	kg*m	kg*m		
1	Y	156	4803	249	310212	33620	15776	15	6.3
1	Z	156	2882	414	292073	33620	15776	15	8.9

Asta: 102 [1257,1258] Sez. G: HE 260 B L=180.0 cm Ln1=180.0 cm Ln2=180.0 cm Crit.:

Acciaio_FlessTors $\gamma M=1.05$ fyk/ $\gamma M=2619$ kg/cm² ft=4300 kg/cm² :**Verificato**

SF $\lambda=7.316$

N	My	Mz	NRk	MyRk	MzRk	λY	λZ	χY	χZ	χLT	kyy	kzy	kzz	
kg	kg*m	kg*m	kg	kg*m	kg*m									
494	-9957	1248	325722	35301	16565	16	27	1.000	0.942	1.000	0.804	0.542	0.482	0.904

Cls	Dir	N	Myeq	Mzeq	NRd	MyRd	MzRd	Comb.	SF
		kg	kg*m	kg*m	kg	kg*m	kg*m		
1	Y	494	8007	677	310212	33620	15776	6	3.5
1	Z	494	4804	1128	292073	33620	15776	6	4.6

Asta: 102 [1258,1259] Sez. G: HE 260 B L=180.0 cm Ln1=180.0 cm Ln2=180.0 cm Crit.:

Acciaio_FlessTors $\gamma M=1.05$ fyk/ $\gamma M=2619$ kg/cm² ft=4300 kg/cm² :**Verificato**

SF $\lambda=7.316$

N	My	Mz	NRk	MyRk	MzRk	λY	λZ	χY	χZ	χLT	kyy	kzy	kzz	
kg	kg*m	kg*m	kg	kg*m	kg*m									
596	-9964	1202	325722	35301	16565	16	27	1.000	0.942	1.000	0.837	0.560	0.502	0.933

Cls	Dir	N	Myeq	Mzeq	NRd	MyRd	MzRd	Comb.	SF
		kg	kg*m	kg*m	kg	kg*m	kg*m		
1	Y	596	8336	673	310212	33620	15776	6	3.4
1	Z	596	5002	1122	292073	33620	15776	6	4.5

Asta: 102 [1259,1018] Sez. G: HE 260 B L=180.0 cm Ln1=180.0 cm Ln2=180.0 cm Crit.:

Acciaio_FlessTors $\gamma M=1.05$ fyk/ $\gamma M=2619$ kg/cm² ft=4300 kg/cm² :**Verificato**

SF $\lambda=7.316$

N	My	Mz	NRk	MyRk	MzRk	λY	λZ	χY	χZ	χLT	kyy	kzy	kzz	
kg	kg*m	kg*m	kg	kg*m	kg*m									
548	9607	502	325722	35301	16565	16	27	1.000	0.942	1.000	0.452	0.451	0.271	0.752

Cls	Dir	N	Myeq	Mzeq	NRd	MyRd	MzRd	Comb.	SF
		kg	kg*m	kg*m	kg	kg*m	kg*m		
1	Y	548	4346	226	310212	33620	15776	15	6.9
1	Z	548	2608	377	292073	33620	15776	15	9.7

Asta: 102 [1261,1262] Sez. G: HE 260 B L=180.0 cm Ln1=180.0 cm Ln2=180.0 cm Crit.:

Acciaio_FlessTors $\gamma M=1.05$ fyk/ $\gamma M=2619$ kg/cm² ft=4300 kg/cm² :**Verificato**

SF $\lambda=7.316$

N	My	Mz	NRk	MyRk	MzRk	λY	λZ	χY	χZ	χLT	kyy	kzy	kzz	
kg	kg*m	kg*m	kg	kg*m	kg*m									
313	-9669	1193	325722	35301	16565	16	27	1.000	0.942	1.000	0.799	0.564	0.479	0.940

Cls	Dir	N	Myeq	Mzeq	NRd	MyRd	MzRd	Comb.	SF
		kg	kg*m	kg*m	kg	kg*m	kg*m		
1	Y	313	7722	673	310212	33620	15776	6	3.7
1	Z	313	4633	1122	292072	33620	15776	6	4.8

Asta: 102 [1262,1263] Sez. G: HE 260 B L=180.0 cm Ln1=180.0 cm Ln2=180.0 cm Crit.:

Acciaio_FlessTors $\gamma M=1.05$ fyk/ $\gamma M=2619$ kg/cm² ft=4300 kg/cm² :**Verificato**

SF $\lambda=7.316$

N	My	Mz	NRk	MyRk	MzRk	λY	λZ	χY	χZ	χLT	kyy	kyz	kzy	kzz
kg	kg*m	kg*m	kg	kg*m	kg*m									
221	-9668	1237	325722	35301	16565	16	27	1.000	0.942	1.000	0.831	0.546	0.499	0.910

Cls	Dir	N	Myeq	Mzeq	NRd	MyRd	MzRd	Comb.	SF
		kg	kg*m	kg*m	kg	kg*m	kg*m		
1	Y	221	8036	676	310212	33620	15776	6	3.5
1	Z	221	4822	1126	292073	33620	15776	6	4.6

Asta: 102 [1263,1019] Sez. G: HE 260 B L=180.0 cm Ln1=180.0 cm Ln2=180.0 cm Crit.:

Acciaio_FlessTors $\gamma M=1.05$ fyk/ $\gamma M=2619$ kg/cm² ft=4300 kg/cm² :**Verificato**

SF_ $\lambda=7.316$

N	My	Mz	NRk	MyRk	MzRk	λY	λZ	χY	χZ	χLT	kyy	kyz	kzy	kzz
kg	kg*m	kg*m	kg	kg*m	kg*m									
-8	9934	568	325722	35301	16565	16	27	1.000	0.942	1.000	0.470	0.462	0.282	0.770

Cls	Dir	N	Myeq	Mzeq	NRd	MyRd	MzRd	Comb.	SF
		kg	kg*m	kg*m	kg	kg*m	kg*m		
1	Y	8	4671	262	310212	33620	15776	15	6.4
1	Z	8	2803	437	292073	33620	15776	15	9.0

Asta: 102 [1264,1265] Sez. G: HE 260 B L=180.0 cm Ln1=180.0 cm Ln2=180.0 cm Crit.:

Acciaio_FlessTors $\gamma M=1.05$ fyk/ $\gamma M=2619$ kg/cm² ft=4300 kg/cm² :**Verificato**

SF_ $\lambda=7.316$

N	My	Mz	NRk	MyRk	MzRk	λY	λZ	χY	χZ	χLT	kyy	kyz	kzy	kzz
kg	kg*m	kg*m	kg	kg*m	kg*m									
-17	-9859	1152	325722	35301	16565	16	27	1.000	0.942	1.000	0.808	0.579	0.485	0.964

Cls	Dir	N	Myeq	Mzeq	NRd	MyRd	MzRd	Comb.	SF
		kg	kg*m	kg*m	kg	kg*m	kg*m		
1	Y	17	7968	667	310212	33620	15776	6	3.6
1	Z	17	4781	1111	292073	33620	15776	6	4.7

Asta: 102 [1265,1266] Sez. G: HE 260 B L=180.0 cm Ln1=180.0 cm Ln2=180.0 cm Crit.:

Acciaio_FlessTors $\gamma M=1.05$ fyk/ $\gamma M=2619$ kg/cm² ft=4300 kg/cm² :**Verificato**

SF_ $\lambda=7.316$

N	My	Mz	NRk	MyRk	MzRk	λY	λZ	χY	χZ	χLT	kyy	kyz	kzy	kzz
kg	kg*m	kg*m	kg	kg*m	kg*m									
-76	-9861	1183	325722	35301	16565	16	27	1.000	0.942	1.000	0.829	0.567	0.497	0.945

Cls	Dir	N	Myeq	Mzeq	NRd	MyRd	MzRd	Comb.	SF
		kg	kg*m	kg*m	kg	kg*m	kg*m		
1	Y	76	8173	670	310212	33620	15776	6	3.5
1	Z	76	4904	1117	292072	33620	15776	6	4.6

Asta: 102 [1266,1020] Sez. G: HE 260 B L=180.0 cm Ln1=180.0 cm Ln2=180.0 cm Crit.:

Acciaio_FlessTors $\gamma M=1.05$ fyk/ $\gamma M=2619$ kg/cm² ft=4300 kg/cm² :**Verificato**

SF_ $\lambda=7.316$

N	My	Mz	NRk	MyRk	MzRk	λY	λZ	χY	χZ	χLT	kyy	kyz	kzy	kzz
kg	kg*m	kg*m	kg	kg*m	kg*m									
-267	9962	496	325722	35301	16565	16	27	1.000	0.942	1.000	0.467	0.507	0.280	0.845

Cls	Dir	N	Myeq	Mzeq	NRd	MyRd	MzRd	Comb.	SF
		kg	kg*m	kg*m	kg	kg*m	kg*m		
1	Y	267	4651	252	310212	33620	15776	15	6.4
1	Z	267	2791	419	292073	33620	15776	15	9.0

Asta: 102 [1268,1269] Sez. G: HE 260 B L=180.0 cm Ln1=180.0 cm Ln2=180.0 cm Crit.:

Acciaio_FlessTors $\gamma M=1.05$ fyk/ $\gamma M=2619$ kg/cm² ft=4300 kg/cm² :**Verificato**

SF_ $\lambda=7.316$

N	My	Mz	NRk	MyRk	MzRk	λY	λZ	χY	χZ	χLT	kyy	kyz	kzy	kzz
kg	kg*m	kg*m	kg	kg*m	kg*m									
-154	-9711	1110	325722	35301	16565	16	27	1.000	0.942	1.000	0.809	0.596	0.485	0.994

Cls	Dir	N	Myeq	Mzeq	NRd	MyRd	MzRd	Comb.	SF
		kg	kg*m	kg*m	kg	kg*m	kg*m		

Cls	Dir	N	Myeq	Mzeq	NRd	MyRd	MzRd	Comb.	SF
1	Y	154	7853	662	310212	33620	15776	6	3.6
1	Z	154	4712	1103	292073	33620	15776	6	4.7

Asta: 102 [1269,1270] Sez. G: HE 260 B L=180.0 cm Ln1=180.0 cm Ln2=180.0 cm Crit.:

Acciaio_FlessTors $\gamma_M=1.05$ $f_{yk}/\gamma_M=2619$ kg/cmq $f_t=4300$ kg/cmq :**Verificato**

SF_λ=7.316

N	My	Mz	NRk	MyRk	MzRk	λY	λZ	χY	χZ	χLT	kyy	kyz	kzy	kzz
kg	kg*m	kg*m	kg	kg*m	kg*m									
-184	-9713	1144	325722	35301	16565	16	27	1.000	0.942	1.000	0.823	0.582	0.494	0.970

Cls	Dir	N	Myeq	Mzeq	NRd	MyRd	MzRd	Comb.	SF
		kg	kg*m	kg*m	kg	kg*m	kg*m		
1	Y	184	7993	666	310212	33620	15776	6	3.6
1	Z	184	4796	1110	292073	33620	15776	6	4.7

Asta: 102 [1270,1021] Sez. G: HE 260 B L=180.0 cm Ln1=180.0 cm Ln2=180.0 cm Crit.:

Acciaio_FlessTors $\gamma_M=1.05$ $f_{yk}/\gamma_M=2619$ kg/cmq $f_t=4300$ kg/cmq :**Verificato**

SF_λ=7.316

N	My	Mz	NRk	MyRk	MzRk	λY	λZ	χY	χZ	χLT	kyy	kyz	kzy	kzz
kg	kg*m	kg*m	kg	kg*m	kg*m									
-350	10776	452	325722	35301	16565	16	27	1.000	0.942	1.000	0.492	0.543	0.295	0.906

Cls	Dir	N	Myeq	Mzeq	NRd	MyRd	MzRd	Comb.	SF
		kg	kg*m	kg*m	kg	kg*m	kg*m		
1	Y	350	5304	246	310212	33620	15776	15	5.7
1	Z	350	3183	410	292072	33620	15776	15	8.2

Asta: 102 [1272,1273] Sez. G: HE 260 B L=180.0 cm Ln1=180.0 cm Ln2=180.0 cm Crit.:

Acciaio_FlessTors $\gamma_M=1.05$ $f_{yk}/\gamma_M=2619$ kg/cmq $f_t=4300$ kg/cmq :**Verificato**

SF_λ=7.316

N	My	Mz	NRk	MyRk	MzRk	λY	λZ	χY	χZ	χLT	kyy	kyz	kzy	kzz
kg	kg*m	kg*m	kg	kg*m	kg*m									
-305	-10426	1114	325722	35301	16565	16	27	1.000	0.942	1.000	0.801	0.594	0.481	0.990

Cls	Dir	N	Myeq	Mzeq	NRd	MyRd	MzRd	Comb.	SF
		kg	kg*m	kg*m	kg	kg*m	kg*m		
1	Y	305	8353	662	310212	33620	15776	6	3.4
1	Z	305	5012	1103	292072	33620	15776	6	4.5

Asta: 102 [1273,1274] Sez. G: HE 260 B L=180.0 cm Ln1=180.0 cm Ln2=180.0 cm Crit.:

Acciaio_FlessTors $\gamma_M=1.05$ $f_{yk}/\gamma_M=2619$ kg/cmq $f_t=4300$ kg/cmq :**Verificato**

SF_λ=7.316

N	My	Mz	NRk	MyRk	MzRk	λY	λZ	χY	χZ	χLT	kyy	kyz	kzy	kzz
kg	kg*m	kg*m	kg	kg*m	kg*m									
-332	-10428	1106	325722	35301	16565	16	27	1.000	0.942	1.000	0.860	0.595	0.516	0.992

Cls	Dir	N	Myeq	Mzeq	NRd	MyRd	MzRd	Comb.	SF
		kg	kg*m	kg*m	kg	kg*m	kg*m		
1	Y	332	8966	658	310212	33620	15776	6	3.2
1	Z	332	5379	1096	292072	33620	15776	6	4.3

Asta: 102 [1274,1022] Sez. G: HE 260 B L=180.0 cm Ln1=180.0 cm Ln2=180.0 cm Crit.:

Acciaio_FlessTors $\gamma_M=1.05$ $f_{yk}/\gamma_M=2619$ kg/cmq $f_t=4300$ kg/cmq :**Verificato**

SF_λ=7.316

N	My	Mz	NRk	MyRk	MzRk	λY	λZ	χY	χZ	χLT	kyy	kyz	kzy	kzz
kg	kg*m	kg*m	kg	kg*m	kg*m									
-346	-6766	1234	325722	35301	16565	16	27	1.000	0.942	1.000	0.400	0.574	0.240	0.957

Cls	Dir	N	Myeq	Mzeq	NRd	MyRd	MzRd	Comb.	SF
		kg	kg*m	kg*m	kg	kg*m	kg*m		
1	Y	346	2706	709	310212	33620	15776	6	7.9
1	Z	346	1624	1181	292073	33620	15776	6	8.0

Asta: 102 [1022,1276] Sez. G: HE 260 B L=200.0 cm Ln1=200.0 cm Ln2=200.0 cm Crit.:

Acciaio_FlessTors $\gamma_M=1.05$ $f_{yk}/\gamma_M=2619$ kg/cm^q $f_t=4300$ kg/cm^q :**Verificato**

SF_λ=6.584

N	My	Mz	NRk	MyRk	MzRk	λY	λZ	χY	χZ	χLT	kyy	kyz	kzy	kzz
kg	kg*m	kg*m	kg	kg*m	kg*m									
28	4392	1416	325722	35301	16565	18	30	0.998	0.924	1.000	0.599	0.394	0.359	0.656

Cls	Dir	N	Myeq	Mzeq	NRd	MyRd	MzRd	Comb.	SF
		kg	kg*m	kg*m	kg	kg*m	kg*m		
1	Y	28	2629	557	309633	33620	15776	6	8.8
1	Z	28	1578	929	286486	33620	15776	6	9.4

Asta: 102 [1236,1012] Sez. G: HE 260 B L=200.0 cm Ln1=200.0 cm Ln2=200.0 cm Crit.:

Acciaio_FlessTors $\gamma_M=1.05$ $f_{yk}/\gamma_M=2619$ kg/cm^q $f_t=4300$ kg/cm^q :**Verificato**

SF_λ=6.584

N	My	Mz	NRk	MyRk	MzRk	λY	λZ	χY	χZ	χLT	kyy	kyz	kzy	kzz
kg	kg*m	kg*m	kg	kg*m	kg*m									
2	4957	1424	325722	35301	16565	18	30	0.998	0.924	1.000	0.601	0.395	0.361	0.659

Cls	Dir	N	Myeq	Mzeq	NRd	MyRd	MzRd	Comb.	SF
		kg	kg*m	kg*m	kg	kg*m	kg*m		
1	Y	2	2979	563	309633	33620	15776	6	8.0
1	Z	2	1788	939	286486	33620	15776	6	8.9

Verifica Resistenza aste Metalliche

Scenario di calcolo: **Set_SLV_SLD**

Scenario Sisma Verticale: **Set_SLV_SLD-Verticale**

Simbologia

L [cm]	Lunghezza teorica elemento (da nodo a nodo)
Sez. G	Sezione Generica (Sigla)
f_{yd} [kg/cm ^q]	Tensione di progetto snervamento acciaio
f_t [kg/cm ^q]	Tensione di rottura acciaio
γ_M	Coefficiente di sicurezza acciaio
X [cm]	Punto di verifica
N [kg]	Sforzo Normale
TY [kg]	Taglio dir Y
TZ [kg]	Taglio dir Z
MT [kg*m]	Momento torcente
MY [kg*m]	Momento flettente dir Y
MZ [kg*m]	Momento flettente dir Z
MY4 [kg*m]	Momento flettente dir Y + N*Δez, per sezioni di classe 4
MZ4 [kg*m]	Momento flettente dir Z + N*Δey, per sezioni di classe 4
cls	Classe della sezione per la sollecitazione della combinazione corrente
Comb.	Combinazione della sollecitazione
Nr [kg]	Sforzo Normale resistente
Vyr [kg]	Taglio resistente in dir Y
Vzr [kg]	Taglio resistente dir Z
Mry [kg*m]	Momento flettente resistente dir Y
Mrz [kg*m]	Momento flettente resistente dir Z
SF_V	Coefficiente di sicurezza taglio
SF_M	Coefficiente di sicurezza pressoflessione
SF	Coefficiente di sicurezza complessivo (asta verificata se ≥ 1)(¹)

Gerarchia travi/pilastrini (quando richiesto):

NEd [kg]	Sforzo Normale di verifica
Npl,Rd [kg]	Sforzo Normale resistente (NTC 4.2.4.1.2)
VEdY(*) [kg]	Taglio trave dir Y dovuto ai momenti ultimi Mpl,RdZ di estremità (cfr. NTC f.(7.5.6))
Vpl,RdY [kg]	Taglio resistente dir Y (NTC 4.2.4.1.2)
VEdZ(*) [kg]	Taglio trave dir Z dovuto ai momenti ultimi Mpl,RdY di estremità (cfr. NTC f.(7.5.6))
Vpl,RdZ [kg]	Taglio resistente dir Z (NTC 4.2.4.1.2)
MEdY [kg*m]	Momento flettente dir Y
Mpl,RdY [kg*m]	Momento resistente dir Y (NTC 4.2.4.1.2)
MEdZ [kg*m]	Momento flettente dir Z

Mpl,RdZ [kg*m] Momento resistente dir Z (NTC 4.2.4.1.2)

Verifiche Incendio:

Ky fy(T)/fy(20°) fattore riduzione resistenza alla temperatura T
KE E(T)/E(20) fattore riduzione modulo elastico alla temperatura T

SF Coefficiente di sicurezza (asta verificata se ≥ 1)⁽²⁾

Ω^* Smplicazione sollecitazioni sismiche (solo per $q > 1$)⁽³⁾

Fatt.Ampl.Sisma Fattore moltiplicativo di gruppo per le azioni sismiche (solo se diverso da 1.0)

Note:

(1): SF rappresenta il minimo tra SF_V ed SF_M dove:

- SF_V = VR/Vd con VR e Vd azione tagliante resistente ed agente

- SF_M = $1/[N/Nr + MY/Mry + MZ/Mrz]$, i valori di Mry ed Mrz sono ridotti opportunamente quando $Vd > 0.5 Vr$

(2): SF rappresenta il minimo tra i seguenti rapporti:

- MEdY/Mpl,RdY (travi)

- MEdZ/Mpl,RdZ (travi)

- NEd/(0.15*Npl,Rd) (travi)

- VEdY*/(0.5*Vpl,RdY) (travi)

- VEdZ*/(0.5*Vpl,RdZ) (travi)

- VEdY/(0.5*Vpl,RdY) (pilastri)

- VEdZ/(0.5*Vpl,RdZ) (pilastri)

(3): $\Omega^* = \min(q, 1.1 * \gamma_{ov} * \Omega)$, con Ω secondo NTC 7.5.4.2

Asta: 1 [1,1001] Sez. G: HE 260 B L=458.4 cm Crit.: Acciaio_Pressflessione $\gamma_M=1.05$ fyk/ $\gamma_M=2619$ kg/cmq ft=4300 kg/cmq :Verificato

X	cls	N	TY	TZ	MT	MY	MZ	My4	Mz4	Comb.
cm		kg	kg	kg	kg*m	kg*m	kg*m			
0	1	-2701	1025	1307	-0	-3994	2971	--	--	(20+21)-VII-5

X	cls	Nr	Vyr	Vzr	Mry	Mrz	MTrd	SF_V.	SF_M	SF_Mt	SF
cm		kg	kg	kg	kg*m	kg*m	kg*m				
0	1	310212	137595	56844	33620	15776	986	44	3.2	>100	3.2

Asta: 2 [2,1002] Sez. G: HE 260 B L=458.4 cm Crit.: Acciaio_Pressflessione $\gamma_M=1.05$ fyk/ $\gamma_M=2619$ kg/cmq ft=4300 kg/cmq :Verificato

X	cls	N	TY	TZ	MT	MY	MZ	My4	Mz4	Comb.
cm		kg	kg	kg	kg*m	kg*m	kg*m			
0	1	-4174	1147	1041	-0	-3469	3156	--	--	(20+21)-VII-5

X	cls	Nr	Vyr	Vzr	Mry	Mrz	MTrd	SF_V.	SF_M	SF_Mt	SF
cm		kg	kg	kg	kg*m	kg*m	kg*m				
0	1	310212	137602	56847	33620	15776	986	55	3.2	>100	3.2

Asta: 3 [3,1003] Sez. G: HE 260 B L=458.4 cm Crit.: Acciaio_Pressflessione $\gamma_M=1.05$ fyk/ $\gamma_M=2619$ kg/cmq ft=4300 kg/cmq :Verificato

X	cls	N	TY	TZ	MT	MY	MZ	My4	Mz4	Comb.
cm		kg	kg	kg	kg*m	kg*m	kg*m			
0	1	-4065	1122	971	0	-3265	3119	--	--	(20+21)-VII-5

X	cls	Nr	Vyr	Vzr	Mry	Mrz	MTrd	SF_V.	SF_M	SF_Mt	SF
cm		kg	kg	kg	kg*m	kg*m	kg*m				
0	1	310212	137599	56846	33620	15776	986	59	3.2	>100	3.2

Asta: 4 [4,1004] Sez. G: HE 260 B L=458.4 cm Crit.: Acciaio_Pressflessione $\gamma_M=1.05$ fyk/ $\gamma_M=2619$ kg/cmq ft=4300 kg/cmq :Verificato

X	cls	N	TY	TZ	MT	MY	MZ	My4	Mz4	Comb.
cm		kg	kg	kg	kg*m	kg*m	kg*m			
0	1	-4206	1129	928	-0	-3141	3129	--	--	(20+21)-VII-5

X	cls	Nr	Vyr	Vzr	Mry	Mrz	MTrd	SF_V.	SF_M	SF_Mt	SF
cm		kg	kg	kg	kg*m	kg*m	kg*m				
0	1	310212	137594	56844	33620	15776	986	61	3.3	>100	3.3

Asta: 5 [5,1005] Sez. G: HE 260 B L=458.4 cm Crit.: Acciaio_Pressflessione $\gamma_M=1.05$ fyk/ $\gamma_M=2619$ kg/cmq ft=4300 kg/cmq :Verificato

X	cls	N	TY	TZ	MT	MY	MZ	My4	Mz4	Comb.
cm		kg	kg	kg	kg*m	kg*m	kg*m			
0	1	-4194	1185	839	0	-2889	3265	--	--	(20+21)-I-5

X	cls	Nr	Vyr	Vzr	Mry	Mrz	MTrd	SF_V.	SF_M	SF_Mt	SF
cm		kg	kg	kg	kg*m	kg*m	kg*m				
0	1	310212	137592	56843	33620	15776	986	68	3.3	>100	3.3

Asta: 6 [6,1006] Sez. G: HE 260 B L=458.4 cm Crit.: Acciaio_Pressflessione $\gamma_M=1.05$ $f_{yk}/\gamma_M=2619$ kg/cmq
 $f_t=4300$ kg/cmq :**Verificato**

X	cls	N	TY	TZ	MT	MY	MZ	My4	Mz4	Comb.
cm		kg	kg	kg	kg*m	kg*m	kg*m			
0	1	-4088	1184	973	0	-3270	3264	--	--	(20+21)-I-5

X	cls	Nr	Vyr	Vzr	Mry	Mrz	MTrd	SF_V.	SF_M	SF_Mt	SF
cm		kg	kg	kg	kg*m	kg*m	kg*m				
0	1	310212	137588	56841	33620	15776	986	58	3.2	>100	3.2

Asta: 7 [7,1007] Sez. G: HE 260 B L=458.4 cm Crit.: Acciaio_Pressflessione $\gamma_M=1.05$ $f_{yk}/\gamma_M=2619$ kg/cmq
 $f_t=4300$ kg/cmq :**Verificato**

X	cls	N	TY	TZ	MT	MY	MZ	My4	Mz4	Comb.
cm		kg	kg	kg	kg*m	kg*m	kg*m			
0	1	-3242	1184	1407	0	-4167	3263	--	--	(20+21)-I-5

X	cls	Nr	Vyr	Vzr	Mry	Mrz	MTrd	SF_V.	SF_M	SF_Mt	SF
cm		kg	kg	kg	kg*m	kg*m	kg*m				
0	1	310212	137596	56844	33620	15776	986	40	2.9	>100	2.9

Asta: 8 [8,1008] Sez. G: HE 260 B L=458.4 cm Crit.: Acciaio_Pressflessione $\gamma_M=1.05$ $f_{yk}/\gamma_M=2619$ kg/cmq
 $f_t=4300$ kg/cmq :**Verificato**

X	cls	N	TY	TZ	MT	MY	MZ	My4	Mz4	Comb.
cm		kg	kg	kg	kg*m	kg*m	kg*m			
0	1	-4027	1185	1033	-0	-3442	3263	--	--	(20+21)-I-5

X	cls	Nr	Vyr	Vzr	Mry	Mrz	MTrd	SF_V.	SF_M	SF_Mt	SF
cm		kg	kg	kg	kg*m	kg*m	kg*m				
0	1	310212	137601	56847	33620	15776	986	55	3.1	>100	3.1

Asta: 9 [9,1009] Sez. G: HE 260 B L=458.4 cm Crit.: Acciaio_Pressflessione $\gamma_M=1.05$ $f_{yk}/\gamma_M=2619$ kg/cmq
 $f_t=4300$ kg/cmq :**Verificato**

X	cls	N	TY	TZ	MT	MY	MZ	My4	Mz4	Comb.
cm		kg	kg	kg	kg*m	kg*m	kg*m			
0	1	-4133	1175	954	-0	-3242	3247	--	--	(20+21)-I-5

X	cls	Nr	Vyr	Vzr	Mry	Mrz	MTrd	SF_V.	SF_M	SF_Mt	SF
cm		kg	kg	kg	kg*m	kg*m	kg*m				
0	1	310212	137591	56843	33620	15776	986	60	3.2	>100	3.2

Asta: 10 [10,1010] Sez. G: HE 260 B L=458.4 cm Crit.: Acciaio_Pressflessione $\gamma_M=1.05$ $f_{yk}/\gamma_M=2619$ kg/cmq
 $f_t=4300$ kg/cmq :**Verificato**

X	cls	N	TY	TZ	MT	MY	MZ	My4	Mz4	Comb.
cm		kg	kg	kg	kg*m	kg*m	kg*m			
0	1	-3859	1219	932	-0	-3155	3319	--	--	(20+21)-I-5

X	cls	Nr	Vyr	Vzr	Mry	Mrz	MTrd	SF_V.	SF_M	SF_Mt	SF
cm		kg	kg	kg	kg*m	kg*m	kg*m				
0	1	310212	137594	56843	33620	15776	986	61	3.2	>100	3.2

Asta: 11 [11,1011] Sez. G: HE 260 B L=458.4 cm Crit.: Acciaio_Pressflessione $\gamma_M=1.05$ $f_{yk}/\gamma_M=2619$ kg/cmq
 $f_t=4300$ kg/cmq :**Verificato**

X	cls	N	TY	TZ	MT	MY	MZ	My4	Mz4	Comb.
cm		kg	kg	kg	kg*m	kg*m	kg*m			
0	1	-3783	1020	1112	-0	-3405	3011	--	--	(20+21)-I-5

X	cls	Nr	Vyr	Vzr	Mry	Mrz	MTrd	SF_V.	SF_M	SF_Mt	SF
cm		kg	kg	kg	kg*m	kg*m	kg*m				

X	cls	Nr	Vyr	Vzr	Mry	Mrz	MTrd	SF_V.	SF_M	SF_Mt	SF
0	1	310212	137600	56846	33620	15776	986	51	3.3	>100	3.3

Asta: 12 [12,1012] Sez. G: HE 260 B L=464.7 cm Crit.: Acciaio_Pressflessione $\gamma_M=1.05$ $f_y/k/\gamma_M=2619$ kg/cmq $f_t=4300$ kg/cmq :**Verificato**

X	cls	N	TY	TZ	MT	MY	MZ	My4	Mz4	Comb.
cm		kg	kg	kg	kg*m	kg*m	kg*m			
465	1	-14712	-263	-1744	-0	-8590	1894	--	--	6

X	cls	Nr	Vyr	Vzr	Mry	Mrz	MTrd	SF_V.	SF_M	SF_Mt	SF
cm		kg	kg	kg	kg*m	kg*m	kg*m				
465	1	310212	137596	56844	33620	15776	986	33	2.4	>100	2.4

Asta: 13 [13,1013] Sez. G: HE 260 B L=464.7 cm Crit.: Acciaio_Pressflessione $\gamma_M=1.05$ $f_y/k/\gamma_M=2619$ kg/cmq $f_t=4300$ kg/cmq :**Verificato**

X	cls	N	TY	TZ	MT	MY	MZ	My4	Mz4	Comb.
cm		kg	kg	kg	kg*m	kg*m	kg*m			
465	1	-4803	-1153	-949	0	-3328	3025	--	--	(20+21)-VII-4

X	cls	Nr	Vyr	Vzr	Mry	Mrz	MTrd	SF_V.	SF_M	SF_Mt	SF
cm		kg	kg	kg	kg*m	kg*m	kg*m				
465	1	310212	137598	56845	33620	15776	986	60	3.3	>100	3.3

Asta: 14 [14,1014] Sez. G: HE 260 B L=464.7 cm Crit.: Acciaio_Pressflessione $\gamma_M=1.05$ $f_y/k/\gamma_M=2619$ kg/cmq $f_t=4300$ kg/cmq :**Verificato**

X	cls	N	TY	TZ	MT	MY	MZ	My4	Mz4	Comb.
cm		kg	kg	kg	kg*m	kg*m	kg*m			
465	1	-18697	-4	-1042	0	-6361	1089	--	--	6

X	cls	Nr	Vyr	Vzr	Mry	Mrz	MTrd	SF_V.	SF_M	SF_Mt	SF
cm		kg	kg	kg	kg*m	kg*m	kg*m				
465	1	310212	137601	56846	33620	15776	986	55	3.1	>100	3.1

Asta: 15 [15,1015] Sez. G: HE 260 B L=464.7 cm Crit.: Acciaio_Pressflessione $\gamma_M=1.05$ $f_y/k/\gamma_M=2619$ kg/cmq $f_t=4300$ kg/cmq :**Verificato**

X	cls	N	TY	TZ	MT	MY	MZ	My4	Mz4	Comb.
cm		kg	kg	kg	kg*m	kg*m	kg*m			
465	1	-18796	7	-1014	0	-6313	1053	--	--	6

X	cls	Nr	Vyr	Vzr	Mry	Mrz	MTrd	SF_V.	SF_M	SF_Mt	SF
cm		kg	kg	kg	kg*m	kg*m	kg*m				
465	1	310212	137600	56846	33620	15776	986	56	3.2	>100	3.2

Asta: 16 [16,1016] Sez. G: HE 260 B L=464.7 cm Crit.: Acciaio_Pressflessione $\gamma_M=1.05$ $f_y/k/\gamma_M=2619$ kg/cmq $f_t=4300$ kg/cmq :**Verificato**

X	cls	N	TY	TZ	MT	MY	MZ	My4	Mz4	Comb.
cm		kg	kg	kg	kg*m	kg*m	kg*m			
465	1	-18802	9	-958	0	-6213	1048	--	--	6

X	cls	Nr	Vyr	Vzr	Mry	Mrz	MTrd	SF_V.	SF_M	SF_Mt	SF
cm		kg	kg	kg	kg*m	kg*m	kg*m				
465	1	310212	137598	56845	33620	15776	986	59	3.2	>100	3.2

Asta: 17 [17,1017] Sez. G: HE 260 B L=464.7 cm Crit.: Acciaio_Pressflessione $\gamma_M=1.05$ $f_y/k/\gamma_M=2619$ kg/cmq $f_t=4300$ kg/cmq :**Verificato**

X	cls	N	TY	TZ	MT	MY	MZ	My4	Mz4	Comb.
cm		kg	kg	kg	kg*m	kg*m	kg*m			
465	1	-19002	-11	-854	0	-6030	1111	--	--	6

X	cls	Nr	Vyr	Vzr	Mry	Mrz	MTrd	SF_V.	SF_M	SF_Mt	SF
cm		kg	kg	kg	kg*m	kg*m	kg*m				
465	1	310212	137594	56844	33620	15776	986	67	3.2	>100	3.2

Asta: 18 [18,1018] Sez. G: HE 260 B L=464.7 cm Crit.: Acciaio_Pressflessione $\gamma_M=1.05$ $f_y/k/\gamma_M=2619$ kg/cmq $f_t=4300$ kg/cmq :**Verificato**

X	cls	N	TY	TZ	MT	MY	MZ	My4	Mz4	Comb.
cm		kg	kg	kg	kg*m	kg*m	kg*m			
465	1	-21100	91	-2121	-0	-10267	796	--	--	6

X	cls	Nr	Vyr	Vzr	Mry	Mrz	MTrd	SF_V.	SF_M	SF_Mt	SF
cm		kg	kg	kg	kg*m	kg*m	kg*m				
465	1	310212	137601	56847	33620	15776	986	27	2.4	>100	2.4

Asta: 19 [19,1019] Sez. G: HE 260 B L=464.7 cm Crit.: Acciaio_Pressflessione $\gamma_M=1.05$ $f_yk/\gamma_M=2619$ kg/cm² $f_t=4300$ kg/cm² :Verificato

X	cls	N	TY	TZ	MT	MY	MZ	My4	Mz4	Comb.
cm		kg	kg	kg	kg*m	kg*m	kg*m			
465	1	-18830	-8	-851	-0	-6025	1104	--	--	6

X	cls	Nr	Vyr	Vzr	Mry	Mrz	MTrd	SF_V.	SF_M	SF_Mt	SF
cm		kg	kg	kg	kg*m	kg*m	kg*m				
465	1	310212	137594	56843	33620	15776	986	67	3.2	>100	3.2

Asta: 20 [20,1020] Sez. G: HE 260 B L=464.7 cm Crit.: Acciaio_Pressflessione $\gamma_M=1.05$ $f_yk/\gamma_M=2619$ kg/cm² $f_t=4300$ kg/cm² :Verificato

X	cls	N	TY	TZ	MT	MY	MZ	My4	Mz4	Comb.
cm		kg	kg	kg	kg*m	kg*m	kg*m			
465	1	-18783	23	-951	-0	-6202	1007	--	--	6

X	cls	Nr	Vyr	Vzr	Mry	Mrz	MTrd	SF_V.	SF_M	SF_Mt	SF
cm		kg	kg	kg	kg*m	kg*m	kg*m				
465	1	310212	137597	56845	33620	15776	986	60	3.2	>100	3.2

Asta: 21 [21,1021] Sez. G: HE 260 B L=464.7 cm Crit.: Acciaio_Pressflessione $\gamma_M=1.05$ $f_yk/\gamma_M=2619$ kg/cm² $f_t=4300$ kg/cm² :Verificato

X	cls	N	TY	TZ	MT	MY	MZ	My4	Mz4	Comb.
cm		kg	kg	kg	kg*m	kg*m	kg*m			
465	1	-19680	-66	-1076	-0	-6525	1282	--	--	6

X	cls	Nr	Vyr	Vzr	Mry	Mrz	MTrd	SF_V.	SF_M	SF_Mt	SF
cm		kg	kg	kg	kg*m	kg*m	kg*m				
465	1	310212	137599	56846	33620	15776	986	53	3.0	>100	3.0

Asta: 22 [22,1022] Sez. G: HE 260 B L=464.7 cm Crit.: Acciaio_Pressflessione $\gamma_M=1.05$ $f_yk/\gamma_M=2619$ kg/cm² $f_t=4300$ kg/cm² :Verificato

X	cls	N	TY	TZ	MT	MY	MZ	My4	Mz4	Comb.
cm		kg	kg	kg	kg*m	kg*m	kg*m			
465	1	-14157	595	-1315	-0	-6207	-1197	--	--	2

X	cls	Nr	Vyr	Vzr	Mry	Mrz	MTrd	SF_V.	SF_M	SF_Mt	SF
cm		kg	kg	kg	kg*m	kg*m	kg*m				
465	1	310212	137600	56846	33620	15776	986	43	3.3	>100	3.3

Asta: 101 [1001,1111] Sez. G: HE 260 B L=180.0 cm Crit.: Acciaio_FlessTors $\gamma_M=1.05$ $f_yk/\gamma_M=2619$ kg/cm² $f_t=4300$ kg/cm² :Verificato

X	cls	N	TY	TZ	MT	MY	MZ	My4	Mz4	Comb.
cm		kg	kg	kg	kg*m	kg*m	kg*m			
0	1	-93	71	-4579	7	3593	1233	--	--	6

X	cls	Nr	Vyr	Vzr	Mry	Mrz	MTrd	SF_V.	SF_M	SF_Mt	SF
cm		kg	kg	kg	kg*m	kg*m	kg*m				
0	1	310212	137185	56675	33620	15776	986	12	5.4	>100	5.4

Asta: 101 [1002,1115] Sez. G: HE 260 B L=180.0 cm Crit.: Acciaio_FlessTors $\gamma_M=1.05$ $f_yk/\gamma_M=2619$ kg/cm² $f_t=4300$ kg/cm² :Verificato

X	cls	N	TY	TZ	MT	MY	MZ	My4	Mz4	Comb.
cm		kg	kg	kg	kg*m	kg*m	kg*m			
0	1	-223	37	-4924	17	5095	723	--	--	2

X	cls	Nr	Vyr	Vzr	Mry	Mrz	MTrd	SF_V.	SF_M	SF_Mt	SF
cm		kg	kg	kg	kg*m	kg*m	kg*m				

X	cls	Nr	Vyr	Vzr	Mry	Mrz	MTrd	SF_V.	SF_M	SF_Mt	SF
0	1	310212	136676	56464	33620	15776	986	11	5.0	60	5.0

Asta: 101 [1003,1118] Sez. G: HE 260 B L=180.0 cm Crit.: Acciaio_FlessTors $\gamma_M=1.05$ fyk/ $\gamma_M=2619$ kg/cm² ft=4300 kg/cm² :**Verificato**

X	cls	N	TY	TZ	MT	MY	MZ	My4	Mz4	Comb.
cm		kg	kg	kg	kg*m	kg*m	kg*m			
0	1	-244	52	-4863	17	4898	735	--	--	2

X	cls	Nr	Vyr	Vzr	Mry	Mrz	MTrd	SF_V.	SF_M	SF_Mt	SF
cm		kg	kg	kg	kg*m	kg*m	kg*m				
0	1	310212	136677	56465	33620	15776	986	12	5.2	60	5.2

Asta: 101 [1004,1122] Sez. G: HE 260 B L=180.0 cm Crit.: Acciaio_FlessTors $\gamma_M=1.05$ fyk/ $\gamma_M=2619$ kg/cm² ft=4300 kg/cm² :**Verificato**

X	cls	N	TY	TZ	MT	MY	MZ	My4	Mz4	Comb.
cm		kg	kg	kg	kg*m	kg*m	kg*m			
0	1	-287	79	-4867	17	4924	760	--	--	2

X	cls	Nr	Vyr	Vzr	Mry	Mrz	MTrd	SF_V.	SF_M	SF_Mt	SF
cm		kg	kg	kg	kg*m	kg*m	kg*m				
0	1	310212	136665	56460	33620	15776	986	12	5.1	59	5.1

Asta: 101 [1005,1126] Sez. G: HE 260 B L=180.0 cm Crit.: Acciaio_FlessTors $\gamma_M=1.05$ fyk/ $\gamma_M=2619$ kg/cm² ft=4300 kg/cm² :**Verificato**

X	cls	N	TY	TZ	MT	MY	MZ	My4	Mz4	Comb.
cm		kg	kg	kg	kg*m	kg*m	kg*m			
0	1	-355	132	-4866	17	4920	810	--	--	2

X	cls	Nr	Vyr	Vzr	Mry	Mrz	MTrd	SF_V.	SF_M	SF_Mt	SF
cm		kg	kg	kg	kg*m	kg*m	kg*m				
0	1	310212	136648	56453	33620	15776	986	12	5.0	58	5.0

Asta: 101 [1006,1130] Sez. G: HE 260 B L=180.0 cm Crit.: Acciaio_FlessTors $\gamma_M=1.05$ fyk/ $\gamma_M=2619$ kg/cm² ft=4300 kg/cm² :**Verificato**

X	cls	N	TY	TZ	MT	MY	MZ	My4	Mz4	Comb.
cm		kg	kg	kg	kg*m	kg*m	kg*m			
0	1	-435	222	-4864	17	4918	893	--	--	2

X	cls	Nr	Vyr	Vzr	Mry	Mrz	MTrd	SF_V.	SF_M	SF_Mt	SF
cm		kg	kg	kg	kg*m	kg*m	kg*m				
0	1	310212	136635	56447	33620	15776	986	12	4.9	57	4.9

Asta: 101 [1007,1134] Sez. G: HE 260 B L=180.0 cm Crit.: Acciaio_FlessTors $\gamma_M=1.05$ fyk/ $\gamma_M=2619$ kg/cm² ft=4300 kg/cm² :**Verificato**

X	cls	N	TY	TZ	MT	MY	MZ	My4	Mz4	Comb.
cm		kg	kg	kg	kg*m	kg*m	kg*m			
180	1	-391	-109	-3786	19	-4081	1196	--	--	6

X	cls	Nr	Vyr	Vzr	Mry	Mrz	MTrd	SF_V.	SF_M	SF_Mt	SF
cm		kg	kg	kg	kg*m	kg*m	kg*m				
180	1	310212	136552	56413	33620	15776	986	15	5.0	53	5.0

Asta: 101 [1008,1137] Sez. G: HE 260 B L=180.0 cm Crit.: Acciaio_FlessTors $\gamma_M=1.05$ fyk/ $\gamma_M=2619$ kg/cm² ft=4300 kg/cm² :**Verificato**

X	cls	N	TY	TZ	MT	MY	MZ	My4	Mz4	Comb.
cm		kg	kg	kg	kg*m	kg*m	kg*m			
180	1	-336	-37	-3790	19	-4085	1180	--	--	6

X	cls	Nr	Vyr	Vzr	Mry	Mrz	MTrd	SF_V.	SF_M	SF_Mt	SF
cm		kg	kg	kg	kg*m	kg*m	kg*m				
180	1	310212	136522	56401	33620	15776	986	15	5.1	51	5.1

Asta: 101 [1009,1141] Sez. G: HE 260 B L=180.0 cm Crit.: Acciaio_FlessTors $\gamma_M=1.05$ fyk/ $\gamma_M=2619$ kg/cm² ft=4300 kg/cm² :**Verificato**

X	cls	N	TY	TZ	MT	MY	MZ	My4	Mz4	Comb.
cm		kg	kg	kg	kg*m	kg*m	kg*m			
180	1	-233	14	-3773	19	-4080	1130	--	--	6

X	cls	Nr	Vyr	Vzr	Mry	Mrz	MTrd	SF_V.	SF_M	SF_Mt	SF
cm		kg	kg	kg	kg*m	kg*m	kg*m				
180	1	310212	136538	56407	33620	15776	986	15	5.2	52	5.2

Asta: 101 [1010,1145] Sez. G: HE 260 B L=180.0 cm Crit.: Acciaio_FlessTors $\gamma M=1.05$ fyk/ $\gamma M=2619$ kg/cm² ft=4300 kg/cm² :**Verificato**

X	cls	N	TY	TZ	MT	MY	MZ	My4	Mz4	Comb.
cm		kg	kg	kg	kg*m	kg*m	kg*m			
0	1	-265	25	-5009	17	5205	712	--	--	2

X	cls	Nr	Vyr	Vzr	Mry	Mrz	MTrd	SF_V.	SF_M	SF_Mt	SF
cm		kg	kg	kg	kg*m	kg*m	kg*m				
0	1	310212	136671	56462	33620	15776	986	11	5.0	59	5.0

Asta: 101 [1111,1112] Sez. G: HE 260 B L=180.0 cm Crit.: Acciaio_FlessTors $\gamma M=1.05$ fyk/ $\gamma M=2619$ kg/cm² ft=4300 kg/cm² :**Verificato**

X	cls	N	TY	TZ	MT	MY	MZ	My4	Mz4	Comb.
cm		kg	kg	kg	kg*m	kg*m	kg*m			
180	1	-141	-35	-1150	6	-6722	1129	--	--	6

X	cls	Nr	Vyr	Vzr	Mry	Mrz	MTrd	SF_V.	SF_M	SF_Mt	SF
cm		kg	kg	kg	kg*m	kg*m	kg*m				
180	1	310212	137279	56714	33620	15776	986	49	3.7	>100	3.7

Asta: 101 [1112,1113] Sez. G: HE 260 B L=180.0 cm Crit.: Acciaio_FlessTors $\gamma M=1.05$ fyk/ $\gamma M=2619$ kg/cm² ft=4300 kg/cm² :**Verificato**

X	cls	N	TY	TZ	MT	MY	MZ	My4	Mz4	Comb.
cm		kg	kg	kg	kg*m	kg*m	kg*m			
0	1	-137	-22	656	1	-6717	1087	--	--	6

X	cls	Nr	Vyr	Vzr	Mry	Mrz	MTrd	SF_V.	SF_M	SF_Mt	SF
cm		kg	kg	kg	kg*m	kg*m	kg*m				
0	1	310212	137549	56825	33620	15776	986	87	3.7	>100	3.7

Asta: 101 [1113,1002] Sez. G: HE 260 B L=180.0 cm Crit.: Acciaio_FlessTors $\gamma M=1.05$ fyk/ $\gamma M=2619$ kg/cm² ft=4300 kg/cm² :**Verificato**

X	cls	N	TY	TZ	MT	MY	MZ	My4	Mz4	Comb.
cm		kg	kg	kg	kg*m	kg*m	kg*m			
0	1	-169	-59	3482	-17	-4655	1076	--	--	6

X	cls	Nr	Vyr	Vzr	Mry	Mrz	MTrd	SF_V.	SF_M	SF_Mt	SF
cm		kg	kg	kg	kg*m	kg*m	kg*m				
0	1	310212	136640	56450	33620	15776	986	16	4.8	57	4.8

Asta: 101 [1115,1116] Sez. G: HE 260 B L=180.0 cm Crit.: Acciaio_FlessTors $\gamma M=1.05$ fyk/ $\gamma M=2619$ kg/cm² ft=4300 kg/cm² :**Verificato**

X	cls	N	TY	TZ	MT	MY	MZ	My4	Mz4	Comb.
cm		kg	kg	kg	kg*m	kg*m	kg*m			
180	1	-181	-1	-1019	-1	-6855	1101	--	--	6

X	cls	Nr	Vyr	Vzr	Mry	Mrz	MTrd	SF_V.	SF_M	SF_Mt	SF
cm		kg	kg	kg	kg*m	kg*m	kg*m				
180	1	310212	137550	56826	33620	15776	986	56	3.6	>100	3.6

Asta: 101 [1116,1117] Sez. G: HE 260 B L=180.0 cm Crit.: Acciaio_FlessTors $\gamma M=1.05$ fyk/ $\gamma M=2619$ kg/cm² ft=4300 kg/cm² :**Verificato**

X	cls	N	TY	TZ	MT	MY	MZ	My4	Mz4	Comb.
cm		kg	kg	kg	kg*m	kg*m	kg*m			
0	1	-166	-0	757	1	-6851	1106	--	--	6

X	cls	Nr	Vyr	Vzr	Mry	Mrz	MTrd	SF_V.	SF_M	SF_Mt	SF
cm		kg	kg	kg	kg*m	kg*m	kg*m				

X	cls	Nr	Vyr	Vzr	Mry	Mrz	MTrd	SF_V.	SF_M	SF_Mt	SF
0	1	310212	137536	56819	33620	15776	986	75	3.6	>100	3.6

Asta: 101 [1117,1003] Sez. G: HE 260 B L=180.0 cm Crit.: Acciaio_FlessTors $\gamma M=1.05$ fyk/ $\gamma M=2619$ kg/cm² ft=4300 kg/cm² :**Verificato**

X	cls	N	TY	TZ	MT	MY	MZ	My4	Mz4	Comb.
cm		kg	kg	kg	kg*m	kg*m	kg*m			
0	1	-196	-35	3507	-19	-4609	1098	--	--	6

X	cls	Nr	Vyr	Vzr	Mry	Mrz	MTrd	SF_V.	SF_M	SF_Mt	SF
cm		kg	kg	kg	kg*m	kg*m	kg*m				
0	1	310212	136559	56416	33620	15776	986	16	4.8	53	4.8

Asta: 101 [1118,1119] Sez. G: HE 260 B L=180.0 cm Crit.: Acciaio_FlessTors $\gamma M=1.05$ fyk/ $\gamma M=2619$ kg/cm² ft=4300 kg/cm² :**Verificato**

X	cls	N	TY	TZ	MT	MY	MZ	My4	Mz4	Comb.
cm		kg	kg	kg	kg*m	kg*m	kg*m			
180	1	-201	16	-1038	-1	-6817	1086	--	--	6

X	cls	Nr	Vyr	Vzr	Mry	Mrz	MTrd	SF_V.	SF_M	SF_Mt	SF
cm		kg	kg	kg	kg*m	kg*m	kg*m				
180	1	310212	137527	56816	33620	15776	986	55	3.7	>100	3.7

Asta: 101 [1119,1120] Sez. G: HE 260 B L=180.0 cm Crit.: Acciaio_FlessTors $\gamma M=1.05$ fyk/ $\gamma M=2619$ kg/cm² ft=4300 kg/cm² :**Verificato**

X	cls	N	TY	TZ	MT	MY	MZ	My4	Mz4	Comb.
cm		kg	kg	kg	kg*m	kg*m	kg*m			
0	1	-193	17	737	1	-6814	1122	--	--	6

X	cls	Nr	Vyr	Vzr	Mry	Mrz	MTrd	SF_V.	SF_M	SF_Mt	SF
cm		kg	kg	kg	kg*m	kg*m	kg*m				
0	1	310212	137526	56815	33620	15776	986	77	3.6	>100	3.6

Asta: 101 [1120,1004] Sez. G: HE 260 B L=180.0 cm Crit.: Acciaio_FlessTors $\gamma M=1.05$ fyk/ $\gamma M=2619$ kg/cm² ft=4300 kg/cm² :**Verificato**

X	cls	N	TY	TZ	MT	MY	MZ	My4	Mz4	Comb.
cm		kg	kg	kg	kg*m	kg*m	kg*m			
0	1	-229	-19	3487	-19	-4608	1113	--	--	6

X	cls	Nr	Vyr	Vzr	Mry	Mrz	MTrd	SF_V.	SF_M	SF_Mt	SF
cm		kg	kg	kg	kg*m	kg*m	kg*m				
0	1	310212	136562	56417	33620	15776	986	16	4.8	53	4.8

Asta: 101 [1122,1123] Sez. G: HE 260 B L=180.0 cm Crit.: Acciaio_FlessTors $\gamma M=1.05$ fyk/ $\gamma M=2619$ kg/cm² ft=4300 kg/cm² :**Verificato**

X	cls	N	TY	TZ	MT	MY	MZ	My4	Mz4	Comb.
cm		kg	kg	kg	kg*m	kg*m	kg*m			
180	1	-250	43	-1034	-1	-6824	1062	--	--	6

X	cls	Nr	Vyr	Vzr	Mry	Mrz	MTrd	SF_V.	SF_M	SF_Mt	SF
cm		kg	kg	kg	kg*m	kg*m	kg*m				
180	1	310212	137527	56816	33620	15776	986	55	3.7	>100	3.7

Asta: 101 [1123,1124] Sez. G: HE 260 B L=180.0 cm Crit.: Acciaio_FlessTors $\gamma M=1.05$ fyk/ $\gamma M=2619$ kg/cm² ft=4300 kg/cm² :**Verificato**

X	cls	N	TY	TZ	MT	MY	MZ	My4	Mz4	Comb.
cm		kg	kg	kg	kg*m	kg*m	kg*m			
0	1	-250	48	741	1	-6821	1149	--	--	6

X	cls	Nr	Vyr	Vzr	Mry	Mrz	MTrd	SF_V.	SF_M	SF_Mt	SF
cm		kg	kg	kg	kg*m	kg*m	kg*m				
0	1	310212	137528	56816	33620	15776	986	77	3.6	>100	3.6

Asta: 101 [1124,1005] Sez. G: HE 260 B L=180.0 cm Crit.: Acciaio_FlessTors $\gamma M=1.05$ fyk/ $\gamma M=2619$ kg/cm² ft=4300 kg/cm² :**Verificato**

X	cls	N	TY	TZ	MT	MY	MZ	My4	Mz4	Comb.
cm		kg	kg	kg	kg*m	kg*m	kg*m			
0	1	-290	8	3491	-19	-4608	1140	--	--	6

X	cls	Nr	Vyr	Vzr	Mry	Mrz	MTrd	SF_V.	SF_M	SF_Mt	SF
cm		kg	kg	kg	kg*m	kg*m	kg*m				
0	1	310212	136546	56411	33620	15776	986	16	4.8	52	4.8

Asta: 101 [1126,1127] Sez. G: HE 260 B L=180.0 cm Crit.: Acciaio_FlessTors $\gamma M=1.05$ fyk/ $\gamma M=2619$ kg/cmq ft=4300 kg/cmq :Verificato

X	cls	N	TY	TZ	MT	MY	MZ	My4	Mz4	Comb.
cm		kg	kg	kg	kg*m	kg*m	kg*m			
180	1	-320	93	-1035	-1	-6822	1018	--	--	6

X	cls	Nr	Vyr	Vzr	Mry	Mrz	MTrd	SF_V.	SF_M	SF_Mt	SF
cm		kg	kg	kg	kg*m	kg*m	kg*m				
180	1	310212	137529	56817	33620	15776	986	55	3.7	>100	3.7

Asta: 101 [1127,1128] Sez. G: HE 260 B L=180.0 cm Crit.: Acciaio_FlessTors $\gamma M=1.05$ fyk/ $\gamma M=2619$ kg/cmq ft=4300 kg/cmq :Verificato

X	cls	N	TY	TZ	MT	MY	MZ	My4	Mz4	Comb.
cm		kg	kg	kg	kg*m	kg*m	kg*m			
0	1	-325	103	741	1	-6821	1197	--	--	6

X	cls	Nr	Vyr	Vzr	Mry	Mrz	MTrd	SF_V.	SF_M	SF_Mt	SF
cm		kg	kg	kg	kg*m	kg*m	kg*m				
0	1	310212	137527	56816	33620	15776	986	77	3.6	>100	3.6

Asta: 101 [1128,1006] Sez. G: HE 260 B L=180.0 cm Crit.: Acciaio_FlessTors $\gamma M=1.05$ fyk/ $\gamma M=2619$ kg/cmq ft=4300 kg/cmq :Verificato

X	cls	N	TY	TZ	MT	MY	MZ	My4	Mz4	Comb.
cm		kg	kg	kg	kg*m	kg*m	kg*m			
0	1	-364	55	3490	-19	-4611	1187	--	--	6

X	cls	Nr	Vyr	Vzr	Mry	Mrz	MTrd	SF_V.	SF_M	SF_Mt	SF
cm		kg	kg	kg	kg*m	kg*m	kg*m				
0	1	310212	136513	56397	33620	15776	986	16	4.7	51	4.7

Asta: 101 [1130,1131] Sez. G: HE 260 B L=180.0 cm Crit.: Acciaio_FlessTors $\gamma M=1.05$ fyk/ $\gamma M=2619$ kg/cmq ft=4300 kg/cmq :Verificato

X	cls	N	TY	TZ	MT	MY	MZ	My4	Mz4	Comb.
cm		kg	kg	kg	kg*m	kg*m	kg*m			
180	1	-390	167	-1033	-2	-6820	950	--	--	6

X	cls	Nr	Vyr	Vzr	Mry	Mrz	MTrd	SF_V.	SF_M	SF_Mt	SF
cm		kg	kg	kg	kg*m	kg*m	kg*m				
180	1	310212	137516	56811	33620	15776	986	55	3.8	>100	3.8

Asta: 101 [1131,1132] Sez. G: HE 260 B L=180.0 cm Crit.: Acciaio_FlessTors $\gamma M=1.05$ fyk/ $\gamma M=2619$ kg/cmq ft=4300 kg/cmq :Verificato

X	cls	N	TY	TZ	MT	MY	MZ	My4	Mz4	Comb.
cm		kg	kg	kg	kg*m	kg*m	kg*m			
0	1	-396	167	743	1	-6822	1251	--	--	6

X	cls	Nr	Vyr	Vzr	Mry	Mrz	MTrd	SF_V.	SF_M	SF_Mt	SF
cm		kg	kg	kg	kg*m	kg*m	kg*m				
0	1	310212	137526	56816	33620	15776	986	77	3.5	>100	3.5

Asta: 101 [1132,1007] Sez. G: HE 260 B L=180.0 cm Crit.: Acciaio_FlessTors $\gamma M=1.05$ fyk/ $\gamma M=2619$ kg/cmq ft=4300 kg/cmq :Verificato

X	cls	N	TY	TZ	MT	MY	MZ	My4	Mz4	Comb.
cm		kg	kg	kg	kg*m	kg*m	kg*m			
0	1	-415	125	3489	-18	-4608	1202	--	--	6

X	cls	Nr	Vyr	Vzr	Mry	Mrz	MTrd	SF_V.	SF_M	SF_Mt	SF
cm		kg	kg	kg	kg*m	kg*m	kg*m				

X	cls	Nr	Vyr	Vzr	Mry	Mrz	MTrd	SF_V.	SF_M	SF_Mt	SF
0	1	310212	136593	56430	33620	15776	986	16	4.7	55	4.7

Asta: 101 [1134,1135] Sez. G: HE 260 B L=180.0 cm Crit.: Acciaio_FlessTors $\gamma_M=1.05$ fyk/ $\gamma_M=2619$ kg/cmq ft=4300 kg/cmq :**Verificato**

X	cls	N	TY	TZ	MT	MY	MZ	My4	Mz4	Comb.
cm		kg	kg	kg	kg*m	kg*m	kg*m			
180	1	-415	-149	-1040	-1	-6823	1230	--	--	6

X	cls	Nr	Vyr	Vzr	Mry	Mrz	MTrd	SF_V.	SF_M	SF_Mt	SF
cm		kg	kg	kg	kg*m	kg*m	kg*m				
180	1	310212	137527	56816	33620	15776	986	55	3.5	>100	3.5

Asta: 101 [1135,1136] Sez. G: HE 260 B L=180.0 cm Crit.: Acciaio_FlessTors $\gamma_M=1.05$ fyk/ $\gamma_M=2619$ kg/cmq ft=4300 kg/cmq :**Verificato**

X	cls	N	TY	TZ	MT	MY	MZ	My4	Mz4	Comb.
cm		kg	kg	kg	kg*m	kg*m	kg*m			
0	1	-370	-149	736	1	-6815	971	--	--	6

X	cls	Nr	Vyr	Vzr	Mry	Mrz	MTrd	SF_V.	SF_M	SF_Mt	SF
cm		kg	kg	kg	kg*m	kg*m	kg*m				
0	1	310212	137536	56820	33620	15776	986	77	3.8	>100	3.8

Asta: 101 [1136,1008] Sez. G: HE 260 B L=180.0 cm Crit.: Acciaio_FlessTors $\gamma_M=1.05$ fyk/ $\gamma_M=2619$ kg/cmq ft=4300 kg/cmq :**Verificato**

X	cls	N	TY	TZ	MT	MY	MZ	My4	Mz4	Comb.
cm		kg	kg	kg	kg*m	kg*m	kg*m			
0	1	-386	-206	3485	-20	-4607	949	--	--	6

X	cls	Nr	Vyr	Vzr	Mry	Mrz	MTrd	SF_V.	SF_M	SF_Mt	SF
cm		kg	kg	kg	kg*m	kg*m	kg*m				
0	1	310212	136507	56395	33620	15776	986	16	5.0	50	5.0

Asta: 101 [1137,1138] Sez. G: HE 260 B L=180.0 cm Crit.: Acciaio_FlessTors $\gamma_M=1.05$ fyk/ $\gamma_M=2619$ kg/cmq ft=4300 kg/cmq :**Verificato**

X	cls	N	TY	TZ	MT	MY	MZ	My4	Mz4	Comb.
cm		kg	kg	kg	kg*m	kg*m	kg*m			
180	1	-336	-84	-1041	-1	-6830	1175	--	--	6

X	cls	Nr	Vyr	Vzr	Mry	Mrz	MTrd	SF_V.	SF_M	SF_Mt	SF
cm		kg	kg	kg	kg*m	kg*m	kg*m				
180	1	310212	137526	56816	33620	15776	986	55	3.6	>100	3.6

Asta: 101 [1138,1139] Sez. G: HE 260 B L=180.0 cm Crit.: Acciaio_FlessTors $\gamma_M=1.05$ fyk/ $\gamma_M=2619$ kg/cmq ft=4300 kg/cmq :**Verificato**

X	cls	N	TY	TZ	MT	MY	MZ	My4	Mz4	Comb.
cm		kg	kg	kg	kg*m	kg*m	kg*m			
0	1	-288	-72	735	1	-6825	1041	--	--	6

X	cls	Nr	Vyr	Vzr	Mry	Mrz	MTrd	SF_V.	SF_M	SF_Mt	SF
cm		kg	kg	kg	kg*m	kg*m	kg*m				
0	1	310212	137525	56815	33620	15776	986	77	3.7	>100	3.7

Asta: 101 [1139,1009] Sez. G: HE 260 B L=180.0 cm Crit.: Acciaio_FlessTors $\gamma_M=1.05$ fyk/ $\gamma_M=2619$ kg/cmq ft=4300 kg/cmq :**Verificato**

X	cls	N	TY	TZ	MT	MY	MZ	My4	Mz4	Comb.
cm		kg	kg	kg	kg*m	kg*m	kg*m			
0	1	-289	-114	3484	-19	-4620	1030	--	--	6

X	cls	Nr	Vyr	Vzr	Mry	Mrz	MTrd	SF_V.	SF_M	SF_Mt	SF
cm		kg	kg	kg	kg*m	kg*m	kg*m				
0	1	310212	136548	56411	33620	15776	986	16	4.9	52	4.9

Asta: 101 [1141,1142] Sez. G: HE 260 B L=180.0 cm Crit.: Acciaio_FlessTors $\gamma_M=1.05$ fyk/ $\gamma_M=2619$ kg/cmq ft=4300 kg/cmq :**Verificato**

X	cls	N	TY	TZ	MT	MY	MZ	My4	Mz4	Comb.
cm		kg	kg	kg	kg*m	kg*m	kg*m			
180	1	-223	-26	-1023	-1	-6796	1124	--	--	6

X	cls	Nr	Vyr	Vzr	Mry	Mrz	MTrd	SF_V.	SF_M	SF_Mt	SF
cm		kg	kg	kg	kg*m	kg*m	kg*m				
180	1	310212	137533	56818	33620	15776	986	56	3.6	>100	3.6

Asta: 101 [1142,1143] Sez. G: HE 260 B L=180.0 cm Crit.: Acciaio_FlessTors $\gamma M=1.05$ fyk/ $\gamma M=2619$ kg/cm² ft=4300 kg/cm² :**Verificato**

X	cls	N	TY	TZ	MT	MY	MZ	My4	Mz4	Comb.
cm		kg	kg	kg	kg*m	kg*m	kg*m			
0	1	-172	-20	752	2	-6792	1088	--	--	6

X	cls	Nr	Vyr	Vzr	Mry	Mrz	MTrd	SF_V.	SF_M	SF_Mt	SF
cm		kg	kg	kg	kg*m	kg*m	kg*m				
0	1	310212	137505	56807	33620	15776	986	76	3.7	>100	3.7

Asta: 101 [1143,1010] Sez. G: HE 260 B L=180.0 cm Crit.: Acciaio_FlessTors $\gamma M=1.05$ fyk/ $\gamma M=2619$ kg/cm² ft=4300 kg/cm² :**Verificato**

X	cls	N	TY	TZ	MT	MY	MZ	My4	Mz4	Comb.
cm		kg	kg	kg	kg*m	kg*m	kg*m			
0	1	-163	-57	3463	-19	-4558	1078	--	--	6

X	cls	Nr	Vyr	Vzr	Mry	Mrz	MTrd	SF_V.	SF_M	SF_Mt	SF
cm		kg	kg	kg	kg*m	kg*m	kg*m				
0	1	310212	136528	56403	33620	15776	986	16	4.9	51	4.9

Asta: 101 [1145,1146] Sez. G: HE 260 B L=180.0 cm Crit.: Acciaio_FlessTors $\gamma M=1.05$ fyk/ $\gamma M=2619$ kg/cm² ft=4300 kg/cm² :**Verificato**

X	cls	N	TY	TZ	MT	MY	MZ	My4	Mz4	Comb.
cm		kg	kg	kg	kg*m	kg*m	kg*m			
180	1	-107	-5	-1122	-2	-6951	1106	--	--	6

X	cls	Nr	Vyr	Vzr	Mry	Mrz	MTrd	SF_V.	SF_M	SF_Mt	SF
cm		kg	kg	kg	kg*m	kg*m	kg*m				
180	1	310212	137468	56792	33620	15776	986	51	3.6	>100	3.6

Asta: 101 [1146,1147] Sez. G: HE 260 B L=180.0 cm Crit.: Acciaio_FlessTors $\gamma M=1.05$ fyk/ $\gamma M=2619$ kg/cm² ft=4300 kg/cm² :**Verificato**

X	cls	N	TY	TZ	MT	MY	MZ	My4	Mz4	Comb.
cm		kg	kg	kg	kg*m	kg*m	kg*m			
0	1	-64	6	746	-7	-6948	1108	--	--	6

X	cls	Nr	Vyr	Vzr	Mry	Mrz	MTrd	SF_V.	SF_M	SF_Mt	SF
cm		kg	kg	kg	kg*m	kg*m	kg*m				
0	1	310212	137215	56687	33620	15776	986	76	3.6	>100	3.6

Asta: 101 [1147,1011] Sez. G: HE 260 B L=180.0 cm Crit.: Acciaio_FlessTors $\gamma M=1.05$ fyk/ $\gamma M=2619$ kg/cm² ft=4300 kg/cm² :**Verificato**

X	cls	N	TY	TZ	MT	MY	MZ	My4	Mz4	Comb.
cm		kg	kg	kg	kg*m	kg*m	kg*m			
0	1	-82	-121	3288	-7	-4725	1060	--	--	6

X	cls	Nr	Vyr	Vzr	Mry	Mrz	MTrd	SF_V.	SF_M	SF_Mt	SF
cm		kg	kg	kg	kg*m	kg*m	kg*m				
0	1	310212	137231	56694	33620	15776	986	17	4.8	>100	4.8

Asta: 101 [1011,1149] Sez. G: HE 260 B L=200.0 cm Crit.: Acciaio_FlessTors $\gamma M=1.05$ fyk/ $\gamma M=2619$ kg/cm² ft=4300 kg/cm² :**Verificato**

X	cls	N	TY	TZ	MT	MY	MZ	My4	Mz4	Comb.
cm		kg	kg	kg	kg*m	kg*m	kg*m			
0	1	-32	628	-2012	6	2934	1441	--	--	6

X	cls	Nr	Vyr	Vzr	Mry	Mrz	MTrd	SF_V.	SF_M	SF_Mt	SF
cm		kg	kg	kg	kg*m	kg*m	kg*m				

X	cls	Nr	Vyr	Vzr	Mry	Mrz	MTrd	SF_V.	SF_M	SF_Mt	SF
0	1	310212	137244	56699	33620	15776	986	28	5.6	>100	5.6

Asta: 101 [1109,1001] Sez. G: HE 260 B L=200.0 cm Crit.: Acciaio_FlessTors $\gamma M=1.05$ fyk/ $\gamma M=2619$ kg/cm² ft=4300 kg/cm² :**Verificato**

X	cls	N	TY	TZ	MT	MY	MZ	My4	Mz4	Comb.
cm		kg	kg	kg	kg*m	kg*m	kg*m			
200	1	-72	-624	1883	-6	2682	1438	--	--	6

X	cls	Nr	Vyr	Vzr	Mry	Mrz	MTrd	SF_V.	SF_M	SF_Mt	SF
cm		kg	kg	kg	kg*m	kg*m	kg*m				
200	1	310212	137293	56719	33620	15776	986	30	5.8	>100	5.8

Asta: 102 [1012,1238] Sez. G: HE 260 B L=180.0 cm Crit.: Acciaio_FlessTors $\gamma M=1.05$ fyk/ $\gamma M=2619$ kg/cm² ft=4300 kg/cm² :**Verificato**

X	cls	N	TY	TZ	MT	MY	MZ	My4	Mz4	Comb.
cm		kg	kg	kg	kg*m	kg*m	kg*m			
0	1	-219	68	-7597	-26	6849	1231	--	--	6

X	cls	Nr	Vyr	Vzr	Mry	Mrz	MTrd	SF_V.	SF_M	SF_Mt	SF
cm		kg	kg	kg	kg*m	kg*m	kg*m				
0	1	310212	136168	56255	33620	15776	986	7.4	3.5	39	3.5

Asta: 102 [1013,1242] Sez. G: HE 260 B L=180.0 cm Crit.: Acciaio_FlessTors $\gamma M=1.05$ fyk/ $\gamma M=2619$ kg/cm² ft=4300 kg/cm² :**Verificato**

X	cls	N	TY	TZ	MT	MY	MZ	My4	Mz4	Comb.
cm		kg	kg	kg	kg*m	kg*m	kg*m			
0	1	-308	23	-8292	-29	10392	717	--	--	2

X	cls	Nr	Vyr	Vzr	Mry	Mrz	MTrd	SF_V.	SF_M	SF_Mt	SF
cm		kg	kg	kg	kg*m	kg*m	kg*m				
0	1	310212	135945	56162	33620	15776	986	6.8	2.8	33	2.8

Asta: 102 [1014,1245] Sez. G: HE 260 B L=180.0 cm Crit.: Acciaio_FlessTors $\gamma M=1.05$ fyk/ $\gamma M=2619$ kg/cm² ft=4300 kg/cm² :**Verificato**

X	cls	N	TY	TZ	MT	MY	MZ	My4	Mz4	Comb.
cm		kg	kg	kg	kg*m	kg*m	kg*m			
0	1	-281	36	-8325	-30	10022	725	--	--	2

X	cls	Nr	Vyr	Vzr	Mry	Mrz	MTrd	SF_V.	SF_M	SF_Mt	SF
cm		kg	kg	kg	kg*m	kg*m	kg*m				
0	1	310212	135907	56147	33620	15776	986	6.7	2.9	33	2.9

Asta: 102 [1015,1249] Sez. G: HE 260 B L=180.0 cm Crit.: Acciaio_FlessTors $\gamma M=1.05$ fyk/ $\gamma M=2619$ kg/cm² ft=4300 kg/cm² :**Verificato**

X	cls	N	TY	TZ	MT	MY	MZ	My4	Mz4	Comb.
cm		kg	kg	kg	kg*m	kg*m	kg*m			
0	1	-192	63	-8350	-30	10146	752	--	--	2

X	cls	Nr	Vyr	Vzr	Mry	Mrz	MTrd	SF_V.	SF_M	SF_Mt	SF
cm		kg	kg	kg	kg*m	kg*m	kg*m				
0	1	310212	135918	56151	33620	15776	986	6.7	2.9	33	2.9

Asta: 102 [1016,1253] Sez. G: HE 260 B L=180.0 cm Crit.: Acciaio_FlessTors $\gamma M=1.05$ fyk/ $\gamma M=2619$ kg/cm² ft=4300 kg/cm² :**Verificato**

X	cls	N	TY	TZ	MT	MY	MZ	My4	Mz4	Comb.
cm		kg	kg	kg	kg*m	kg*m	kg*m			
0	1	-29	110	-8326	-30	10089	797	--	--	2

X	cls	Nr	Vyr	Vzr	Mry	Mrz	MTrd	SF_V.	SF_M	SF_Mt	SF
cm		kg	kg	kg	kg*m	kg*m	kg*m				
0	1	310212	135935	56158	33620	15776	986	6.7	2.9	33	2.9

Asta: 102 [1017,1257] Sez. G: HE 260 B L=180.0 cm Crit.: Acciaio_FlessTors $\gamma M=1.05$ fyk/ $\gamma M=2619$ kg/cm² ft=4300 kg/cm² :**Verificato**

X	cls	N	TY	TZ	MT	MY	MZ	My4	Mz4	Comb.
cm		kg	kg	kg	kg*m	kg*m	kg*m			
0	1	272	186	-8423	-29	10265	870	--	--	2

X	cls	Nr	Vyr	Vzr	Mry	Mrz	MTrd	SF_V.	SF_M	SF_Mt	SF
cm		kg	kg	kg	kg*m	kg*m	kg*m				
0	1	310212	135948	56164	33620	15776	986	6.7	2.8	33	2.8

Asta: 102 [1018,1261] Sez. G: HE 260 B L=180.0 cm Crit.: Acciaio_FlessTors $\gamma M=1.05$ fyk/ $\gamma M=2619$ kg/cm² ft=4300 kg/cm² :**Verificato**

X	cls	N	TY	TZ	MT	MY	MZ	My4	Mz4	Comb.
cm		kg	kg	kg	kg*m	kg*m	kg*m			
0	1	259	-169	-8421	-18	10532	493	--	--	2

X	cls	Nr	Vyr	Vzr	Mry	Mrz	MTrd	SF_V.	SF_M	SF_Mt	SF
cm		kg	kg	kg	kg*m	kg*m	kg*m				
0	1	310212	136585	56427	33620	15776	986	6.7	2.9	54	2.9

Asta: 102 [1019,1264] Sez. G: HE 260 B L=180.0 cm Crit.: Acciaio_FlessTors $\gamma M=1.05$ fyk/ $\gamma M=2619$ kg/cm² ft=4300 kg/cm² :**Verificato**

X	cls	N	TY	TZ	MT	MY	MZ	My4	Mz4	Comb.
cm		kg	kg	kg	kg*m	kg*m	kg*m			
0	1	-66	-43	-8347	-29	10071	663	--	--	2

X	cls	Nr	Vyr	Vzr	Mry	Mrz	MTrd	SF_V.	SF_M	SF_Mt	SF
cm		kg	kg	kg	kg*m	kg*m	kg*m				
0	1	310212	135955	56167	33620	15776	986	6.7	2.9	34	2.9

Asta: 102 [1020,1268] Sez. G: HE 260 B L=180.0 cm Crit.: Acciaio_FlessTors $\gamma M=1.05$ fyk/ $\gamma M=2619$ kg/cm² ft=4300 kg/cm² :**Verificato**

X	cls	N	TY	TZ	MT	MY	MZ	My4	Mz4	Comb.
cm		kg	kg	kg	kg*m	kg*m	kg*m			
0	1	-240	-7	-8264	-30	9992	691	--	--	2

X	cls	Nr	Vyr	Vzr	Mry	Mrz	MTrd	SF_V.	SF_M	SF_Mt	SF
cm		kg	kg	kg	kg*m	kg*m	kg*m				
0	1	310212	135940	56160	33620	15776	986	6.8	2.9	33	2.9

Asta: 102 [1021,1272] Sez. G: HE 260 B L=180.0 cm Crit.: Acciaio_FlessTors $\gamma M=1.05$ fyk/ $\gamma M=2619$ kg/cm² ft=4300 kg/cm² :**Verificato**

X	cls	N	TY	TZ	MT	MY	MZ	My4	Mz4	Comb.
cm		kg	kg	kg	kg*m	kg*m	kg*m			
0	1	-433	10	-9017	-32	11126	704	--	--	2

X	cls	Nr	Vyr	Vzr	Mry	Mrz	MTrd	SF_V.	SF_M	SF_Mt	SF
cm		kg	kg	kg	kg*m	kg*m	kg*m				
0	1	310212	135803	56104	33620	15776	986	6.2	2.7	31	2.7

Asta: 102 [1238,1239] Sez. G: HE 260 B L=180.0 cm Crit.: Acciaio_FlessTors $\gamma M=1.05$ fyk/ $\gamma M=2619$ kg/cm² ft=4300 kg/cm² :**Verificato**

X	cls	N	TY	TZ	MT	MY	MZ	My4	Mz4	Comb.
cm		kg	kg	kg	kg*m	kg*m	kg*m			
180	1	-222	-11	-1847	-9	-10152	1101	--	--	6

X	cls	Nr	Vyr	Vzr	Mry	Mrz	MTrd	SF_V.	SF_M	SF_Mt	SF
cm		kg	kg	kg	kg*m	kg*m	kg*m				
180	1	310212	137077	56630	33620	15776	986	31	2.7	>100	2.7

Asta: 102 [1239,1240] Sez. G: HE 260 B L=180.0 cm Crit.: Acciaio_FlessTors $\gamma M=1.05$ fyk/ $\gamma M=2619$ kg/cm² ft=4300 kg/cm² :**Verificato**

X	cls	N	TY	TZ	MT	MY	MZ	My4	Mz4	Comb.
cm		kg	kg	kg	kg*m	kg*m	kg*m			
0	1	-239	-35	2125	5	-10155	1066	--	--	6

X	cls	Nr	Vyr	Vzr	Mry	Mrz	MTrd	SF_V.	SF_M	SF_Mt	SF
cm		kg	kg	kg	kg*m	kg*m	kg*m				

X	cls	Nr	Vyr	Vzr	Mry	Mrz	MTrd	SF_V.	SF_M	SF_Mt	SF
0	1	310212	137348	56742	33620	15776	986	27	2.7	>100	2.7

Asta: 102 [1240,1013] Sez. G: HE 260 B L=180.0 cm Crit.: Acciaio_FlessTors $\gamma_M=1.05$ fyk/ $\gamma_M=2619$ kg/cmq ft=4300 kg/cmq :**Verificato**

X	cls	N	TY	TZ	MT	MY	MZ	My4	Mz4	Comb.
cm		kg	kg	kg	kg*m	kg*m	kg*m			
180	1	-455	-44	8174	24	10719	435	--	--	15

X	cls	Nr	Vyr	Vzr	Mry	Mrz	MTrd	SF_V.	SF_M	SF_Mt	SF
cm		kg	kg	kg	kg*m	kg*m	kg*m				
180	1	310212	136272	56298	33620	15776	986	6.9	2.9	42	2.9

Asta: 102 [1242,1243] Sez. G: HE 260 B L=180.0 cm Crit.: Acciaio_FlessTors $\gamma_M=1.05$ fyk/ $\gamma_M=2619$ kg/cmq ft=4300 kg/cmq :**Verificato**

X	cls	N	TY	TZ	MT	MY	MZ	My4	Mz4	Comb.
cm		kg	kg	kg	kg*m	kg*m	kg*m			
180	1	-195	16	-2183	-3	-9715	1084	--	--	6

X	cls	Nr	Vyr	Vzr	Mry	Mrz	MTrd	SF_V.	SF_M	SF_Mt	SF
cm		kg	kg	kg	kg*m	kg*m	kg*m				
180	1	310212	137445	56782	33620	15776	986	26	2.8	>100	2.8

Asta: 102 [1243,1244] Sez. G: HE 260 B L=180.0 cm Crit.: Acciaio_FlessTors $\gamma_M=1.05$ fyk/ $\gamma_M=2619$ kg/cmq ft=4300 kg/cmq :**Verificato**

X	cls	N	TY	TZ	MT	MY	MZ	My4	Mz4	Comb.
cm		kg	kg	kg	kg*m	kg*m	kg*m			
0	1	-195	-18	1790	2	-9718	1082	--	--	6

X	cls	Nr	Vyr	Vzr	Mry	Mrz	MTrd	SF_V.	SF_M	SF_Mt	SF
cm		kg	kg	kg	kg*m	kg*m	kg*m				
0	1	310212	137501	56805	33620	15776	986	32	2.8	>100	2.8

Asta: 102 [1244,1014] Sez. G: HE 260 B L=180.0 cm Crit.: Acciaio_FlessTors $\gamma_M=1.05$ fyk/ $\gamma_M=2619$ kg/cmq ft=4300 kg/cmq :**Verificato**

X	cls	N	TY	TZ	MT	MY	MZ	My4	Mz4	Comb.
cm		kg	kg	kg	kg*m	kg*m	kg*m			
180	1	-282	-18	8083	30	9348	707	--	--	2

X	cls	Nr	Vyr	Vzr	Mry	Mrz	MTrd	SF_V.	SF_M	SF_Mt	SF
cm		kg	kg	kg	kg*m	kg*m	kg*m				
180	1	310212	135920	56152	33620	15776	986	6.9	3.1	33	3.1

Asta: 102 [1245,1246] Sez. G: HE 260 B L=180.0 cm Crit.: Acciaio_FlessTors $\gamma_M=1.05$ fyk/ $\gamma_M=2619$ kg/cmq ft=4300 kg/cmq :**Verificato**

X	cls	N	TY	TZ	MT	MY	MZ	My4	Mz4	Comb.
cm		kg	kg	kg	kg*m	kg*m	kg*m			
180	1	-155	32	-2120	-2	-9829	1069	--	--	6

X	cls	Nr	Vyr	Vzr	Mry	Mrz	MTrd	SF_V.	SF_M	SF_Mt	SF
cm		kg	kg	kg	kg*m	kg*m	kg*m				
180	1	310212	137492	56801	33620	15776	986	27	2.8	>100	2.8

Asta: 102 [1246,1247] Sez. G: HE 260 B L=180.0 cm Crit.: Acciaio_FlessTors $\gamma_M=1.05$ fyk/ $\gamma_M=2619$ kg/cmq ft=4300 kg/cmq :**Verificato**

X	cls	N	TY	TZ	MT	MY	MZ	My4	Mz4	Comb.
cm		kg	kg	kg	kg*m	kg*m	kg*m			
0	1	-145	-1	1852	2	-9833	1097	--	--	6

X	cls	Nr	Vyr	Vzr	Mry	Mrz	MTrd	SF_V.	SF_M	SF_Mt	SF
cm		kg	kg	kg	kg*m	kg*m	kg*m				
0	1	310212	137490	56801	33620	15776	986	31	2.8	>100	2.8

Asta: 102 [1247,1015] Sez. G: HE 260 B L=180.0 cm Crit.: Acciaio_FlessTors $\gamma_M=1.05$ fyk/ $\gamma_M=2619$ kg/cmq ft=4300 kg/cmq :**Verificato**

X	cls	N	TY	TZ	MT	MY	MZ	My4	Mz4	Comb.
cm		kg	kg	kg	kg*m	kg*m	kg*m			
180	1	-225	-4	8193	30	9539	696	--	--	2

X	cls	Nr	Vyr	Vzr	Mry	Mrz	MTrd	SF_V.	SF_M	SF_Mt	SF
cm		kg	kg	kg	kg*m	kg*m	kg*m				
180	1	310212	135916	56150	33620	15776	986	6.9	3.0	33	3.0

Asta: 102 [1249,1250] Sez. G: HE 260 B L=180.0 cm Crit.: Acciaio_FlessTors $\gamma M=1.05$ fyk/ $\gamma M=2619$ kg/cmq ft=4300 kg/cmq :**Verificato**

X	cls	N	TY	TZ	MT	MY	MZ	My4	Mz4	Comb.
cm		kg	kg	kg	kg*m	kg*m	kg*m			
180	1	-56	58	-2136	-2	-9814	1046	--	--	6

X	cls	Nr	Vyr	Vzr	Mry	Mrz	MTrd	SF_V.	SF_M	SF_Mt	SF
cm		kg	kg	kg	kg*m	kg*m	kg*m				
180	1	310212	137491	56801	33620	15776	986	27	2.8	>100	2.8

Asta: 102 [1250,1251] Sez. G: HE 260 B L=180.0 cm Crit.: Acciaio_FlessTors $\gamma M=1.05$ fyk/ $\gamma M=2619$ kg/cmq ft=4300 kg/cmq :**Verificato**

X	cls	N	TY	TZ	MT	MY	MZ	My4	Mz4	Comb.
cm		kg	kg	kg	kg*m	kg*m	kg*m			
0	1	-29	28	1837	2	-9818	1122	--	--	6

X	cls	Nr	Vyr	Vzr	Mry	Mrz	MTrd	SF_V.	SF_M	SF_Mt	SF
cm		kg	kg	kg	kg*m	kg*m	kg*m				
0	1	310212	137492	56802	33620	15776	986	31	2.8	>100	2.8

Asta: 102 [1251,1016] Sez. G: HE 260 B L=180.0 cm Crit.: Acciaio_FlessTors $\gamma M=1.05$ fyk/ $\gamma M=2619$ kg/cmq ft=4300 kg/cmq :**Verificato**

X	cls	N	TY	TZ	MT	MY	MZ	My4	Mz4	Comb.
cm		kg	kg	kg	kg*m	kg*m	kg*m			
180	1	-85	20	8168	30	9481	678	--	--	2

X	cls	Nr	Vyr	Vzr	Mry	Mrz	MTrd	SF_V.	SF_M	SF_Mt	SF
cm		kg	kg	kg	kg*m	kg*m	kg*m				
180	1	310212	135932	56157	33620	15776	986	6.9	3.1	33	3.1

Asta: 102 [1253,1254] Sez. G: HE 260 B L=180.0 cm Crit.: Acciaio_FlessTors $\gamma M=1.05$ fyk/ $\gamma M=2619$ kg/cmq ft=4300 kg/cmq :**Verificato**

X	cls	N	TY	TZ	MT	MY	MZ	My4	Mz4	Comb.
cm		kg	kg	kg	kg*m	kg*m	kg*m			
180	1	138	100	-2113	-2	-9781	1008	--	--	6

X	cls	Nr	Vyr	Vzr	Mry	Mrz	MTrd	SF_V.	SF_M	SF_Mt	SF
cm		kg	kg	kg	kg*m	kg*m	kg*m				
180	1	310212	137494	56802	33620	15776	986	27	2.8	>100	2.8

Asta: 102 [1254,1255] Sez. G: HE 260 B L=180.0 cm Crit.: Acciaio_FlessTors $\gamma M=1.05$ fyk/ $\gamma M=2619$ kg/cmq ft=4300 kg/cmq :**Verificato**

X	cls	N	TY	TZ	MT	MY	MZ	My4	Mz4	Comb.
cm		kg	kg	kg	kg*m	kg*m	kg*m			
0	1	200	74	1859	2	-9787	1164	--	--	6

X	cls	Nr	Vyr	Vzr	Mry	Mrz	MTrd	SF_V.	SF_M	SF_Mt	SF
cm		kg	kg	kg	kg*m	kg*m	kg*m				
0	1	310212	137492	56802	33620	15776	986	31	2.7	>100	2.7

Asta: 102 [1255,1017] Sez. G: HE 260 B L=180.0 cm Crit.: Acciaio_FlessTors $\gamma M=1.05$ fyk/ $\gamma M=2619$ kg/cmq ft=4300 kg/cmq :**Verificato**

X	cls	N	TY	TZ	MT	MY	MZ	My4	Mz4	Comb.
cm		kg	kg	kg	kg*m	kg*m	kg*m			
180	1	187	54	8192	29	9596	651	--	--	2

X	cls	Nr	Vyr	Vzr	Mry	Mrz	MTrd	SF_V.	SF_M	SF_Mt	SF
cm		kg	kg	kg	kg*m	kg*m	kg*m				

X	cls	Nr	Vyr	Vzr	Mry	Mrz	MTrd	SF_V.	SF_M	SF_Mt	SF
180	1	310212	135964	56170	33620	15776	986	6.9	3.1	34	3.1

Asta: 102 [1257,1258] Sez. G: HE 260 B L=180.0 cm Crit.: Acciaio_FlessTors $\gamma_M=1.05$ fyk/ $\gamma_M=2619$ kg/cmq ft=4300 kg/cmq :**Verificato**

X	cls	N	TY	TZ	MT	MY	MZ	My4	Mz4	Comb.
cm		kg	kg	kg	kg*m	kg*m	kg*m			
180	1	494	163	-2210	-2	-9957	948	--	--	6

X	cls	Nr	Vyr	Vzr	Mry	Mrz	MTrd	SF_V.	SF_M	SF_Mt	SF
cm		kg	kg	kg	kg*m	kg*m	kg*m				
180	1	310212	137480	56797	33620	15776	986	26	2.8	>100	2.8

Asta: 102 [1258,1259] Sez. G: HE 260 B L=180.0 cm Crit.: Acciaio_FlessTors $\gamma_M=1.05$ fyk/ $\gamma_M=2619$ kg/cmq ft=4300 kg/cmq :**Verificato**

X	cls	N	TY	TZ	MT	MY	MZ	My4	Mz4	Comb.
cm		kg	kg	kg	kg*m	kg*m	kg*m			
0	1	596	116	1762	2	-9964	1202	--	--	6

X	cls	Nr	Vyr	Vzr	Mry	Mrz	MTrd	SF_V.	SF_M	SF_Mt	SF
cm		kg	kg	kg	kg*m	kg*m	kg*m				
0	1	310212	137497	56804	33620	15776	986	32	2.7	>100	2.7

Asta: 102 [1259,1018] Sez. G: HE 260 B L=180.0 cm Crit.: Acciaio_FlessTors $\gamma_M=1.05$ fyk/ $\gamma_M=2619$ kg/cmq ft=4300 kg/cmq :**Verificato**

X	cls	N	TY	TZ	MT	MY	MZ	My4	Mz4	Comb.
cm		kg	kg	kg	kg*m	kg*m	kg*m			
180	1	580	178	8099	19	9072	480	--	--	2

X	cls	Nr	Vyr	Vzr	Mry	Mrz	MTrd	SF_V.	SF_M	SF_Mt	SF
cm		kg	kg	kg	kg*m	kg*m	kg*m				
180	1	310212	136543	56409	33620	15776	986	7.0	3.3	52	3.3

Asta: 102 [1261,1262] Sez. G: HE 260 B L=180.0 cm Crit.: Acciaio_FlessTors $\gamma_M=1.05$ fyk/ $\gamma_M=2619$ kg/cmq ft=4300 kg/cmq :**Verificato**

X	cls	N	TY	TZ	MT	MY	MZ	My4	Mz4	Comb.
cm		kg	kg	kg	kg*m	kg*m	kg*m			
180	1	313	-103	-2204	-2	-9669	1193	--	--	6

X	cls	Nr	Vyr	Vzr	Mry	Mrz	MTrd	SF_V.	SF_M	SF_Mt	SF
cm		kg	kg	kg	kg*m	kg*m	kg*m				
180	1	310212	137498	56804	33620	15776	986	26	2.7	>100	2.7

Asta: 102 [1262,1263] Sez. G: HE 260 B L=180.0 cm Crit.: Acciaio_FlessTors $\gamma_M=1.05$ fyk/ $\gamma_M=2619$ kg/cmq ft=4300 kg/cmq :**Verificato**

X	cls	N	TY	TZ	MT	MY	MZ	My4	Mz4	Comb.
cm		kg	kg	kg	kg*m	kg*m	kg*m			
0	1	221	-150	1768	2	-9668	960	--	--	6

X	cls	Nr	Vyr	Vzr	Mry	Mrz	MTrd	SF_V.	SF_M	SF_Mt	SF
cm		kg	kg	kg	kg*m	kg*m	kg*m				
0	1	310212	137501	56805	33620	15776	986	32	2.9	>100	2.9

Asta: 102 [1263,1019] Sez. G: HE 260 B L=180.0 cm Crit.: Acciaio_FlessTors $\gamma_M=1.05$ fyk/ $\gamma_M=2619$ kg/cmq ft=4300 kg/cmq :**Verificato**

X	cls	N	TY	TZ	MT	MY	MZ	My4	Mz4	Comb.
cm		kg	kg	kg	kg*m	kg*m	kg*m			
180	1	25	-175	8102	29	9397	857	--	--	2

X	cls	Nr	Vyr	Vzr	Mry	Mrz	MTrd	SF_V.	SF_M	SF_Mt	SF
cm		kg	kg	kg	kg*m	kg*m	kg*m				
180	1	310212	135970	56173	33620	15776	986	6.9	3.0	34	3.0

Asta: 102 [1264,1265] Sez. G: HE 260 B L=180.0 cm Crit.: Acciaio_FlessTors $\gamma_M=1.05$ fyk/ $\gamma_M=2619$ kg/cmq ft=4300 kg/cmq :**Verificato**

X	cls	N	TY	TZ	MT	MY	MZ	My4	Mz4	Comb.
cm		kg	kg	kg	kg*m	kg*m	kg*m			
180	1	-17	-61	-2128	-2	-9859	1152	--	--	6

X	cls	Nr	Vyr	Vzr	Mry	Mrz	MTrd	SF_V.	SF_M	SF_Mt	SF
cm		kg	kg	kg	kg*m	kg*m	kg*m				
180	1	310212	137491	56801	33620	15776	986	27	2.7	>100	2.7

Asta: 102 [1265,1266] Sez. G: HE 260 B L=180.0 cm Crit.: Acciaio_FlessTors $\gamma M=1.05$ fyk/ $\gamma M=2619$ kg/cm² ft=4300 kg/cm² :**Verificato**

X	cls	N	TY	TZ	MT	MY	MZ	My4	Mz4	Comb.
cm		kg	kg	kg	kg*m	kg*m	kg*m			
0	1	-76	-87	1845	2	-9861	1019	--	--	6

X	cls	Nr	Vyr	Vzr	Mry	Mrz	MTrd	SF_V.	SF_M	SF_Mt	SF
cm		kg	kg	kg	kg*m	kg*m	kg*m				
0	1	310212	137490	56801	33620	15776	986	31	2.8	>100	2.8

Asta: 102 [1266,1020] Sez. G: HE 260 B L=180.0 cm Crit.: Acciaio_FlessTors $\gamma M=1.05$ fyk/ $\gamma M=2619$ kg/cm² ft=4300 kg/cm² :**Verificato**

X	cls	N	TY	TZ	MT	MY	MZ	My4	Mz4	Comb.
cm		kg	kg	kg	kg*m	kg*m	kg*m			
180	1	-231	-100	8171	30	9440	785	--	--	2

X	cls	Nr	Vyr	Vzr	Mry	Mrz	MTrd	SF_V.	SF_M	SF_Mt	SF
cm		kg	kg	kg	kg*m	kg*m	kg*m				
180	1	310212	135930	56156	33620	15776	986	6.9	3.0	33	3.0

Asta: 102 [1268,1269] Sez. G: HE 260 B L=180.0 cm Crit.: Acciaio_FlessTors $\gamma M=1.05$ fyk/ $\gamma M=2619$ kg/cm² ft=4300 kg/cm² :**Verificato**

X	cls	N	TY	TZ	MT	MY	MZ	My4	Mz4	Comb.
cm		kg	kg	kg	kg*m	kg*m	kg*m			
180	1	-154	-14	-2081	-2	-9711	1110	--	--	6

X	cls	Nr	Vyr	Vzr	Mry	Mrz	MTrd	SF_V.	SF_M	SF_Mt	SF
cm		kg	kg	kg	kg*m	kg*m	kg*m				
180	1	310212	137497	56803	33620	15776	986	27	2.8	>100	2.8

Asta: 102 [1269,1270] Sez. G: HE 260 B L=180.0 cm Crit.: Acciaio_FlessTors $\gamma M=1.05$ fyk/ $\gamma M=2619$ kg/cm² ft=4300 kg/cm² :**Verificato**

X	cls	N	TY	TZ	MT	MY	MZ	My4	Mz4	Comb.
cm		kg	kg	kg	kg*m	kg*m	kg*m			
0	1	-184	-43	1891	1	-9713	1059	--	--	6

X	cls	Nr	Vyr	Vzr	Mry	Mrz	MTrd	SF_V.	SF_M	SF_Mt	SF
cm		kg	kg	kg	kg*m	kg*m	kg*m				
0	1	310212	137540	56821	33620	15776	986	30	2.8	>100	2.8

Asta: 102 [1270,1021] Sez. G: HE 260 B L=180.0 cm Crit.: Acciaio_FlessTors $\gamma M=1.05$ fyk/ $\gamma M=2619$ kg/cm² ft=4300 kg/cm² :**Verificato**

X	cls	N	TY	TZ	MT	MY	MZ	My4	Mz4	Comb.
cm		kg	kg	kg	kg*m	kg*m	kg*m			
180	1	-312	-51	8396	30	10179	739	--	--	2

X	cls	Nr	Vyr	Vzr	Mry	Mrz	MTrd	SF_V.	SF_M	SF_Mt	SF
cm		kg	kg	kg	kg*m	kg*m	kg*m				
180	1	310212	135913	56149	33620	15776	986	6.7	2.9	33	2.9

Asta: 102 [1272,1273] Sez. G: HE 260 B L=180.0 cm Crit.: Acciaio_FlessTors $\gamma M=1.05$ fyk/ $\gamma M=2619$ kg/cm² ft=4300 kg/cm² :**Verificato**

X	cls	N	TY	TZ	MT	MY	MZ	My4	Mz4	Comb.
cm		kg	kg	kg	kg*m	kg*m	kg*m			
180	1	-305	11	-2365	-1	-10426	1086	--	--	6

X	cls	Nr	Vyr	Vzr	Mry	Mrz	MTrd	SF_V.	SF_M	SF_Mt	SF
cm		kg	kg	kg	kg*m	kg*m	kg*m				

X	cls	Nr	Vyr	Vzr	Mry	Mrz	MTrd	SF_V.	SF_M	SF_Mt	SF
180	1	310212	137558	56829	33620	15776	986	24	2.6	>100	2.6

Asta: 102 [1273,1274] Sez. G: HE 260 B L=180.0 cm Crit.: Acciaio_FlessTors $\gamma M=1.05$ fyk/ $\gamma M=2619$ kg/cm² ft=4300 kg/cm² :**Verificato**

X	cls	N	TY	TZ	MT	MY	MZ	My4	Mz4	Comb.
cm		kg	kg	kg	kg*m	kg*m	kg*m			
0	1	-332	-9	1549	12	-10428	1083	--	--	6

X	cls	Nr	Vyr	Vzr	Mry	Mrz	MTrd	SF_V.	SF_M	SF_Mt	SF
cm		kg	kg	kg	kg*m	kg*m	kg*m				
0	1	310212	136957	56580	33620	15776	986	37	2.6	86	2.6

Asta: 102 [1274,1022] Sez. G: HE 260 B L=180.0 cm Crit.: Acciaio_FlessTors $\gamma M=1.05$ fyk/ $\gamma M=2619$ kg/cm² ft=4300 kg/cm² :**Verificato**

X	cls	N	TY	TZ	MT	MY	MZ	My4	Mz4	Comb.
cm		kg	kg	kg	kg*m	kg*m	kg*m			
0	1	-346	-70	5884	25	-6766	1102	--	--	6

X	cls	Nr	Vyr	Vzr	Mry	Mrz	MTrd	SF_V.	SF_M	SF_Mt	SF
cm		kg	kg	kg	kg*m	kg*m	kg*m				
0	1	310212	136210	56272	33620	15776	986	9.6	3.7	40	3.7

Asta: 102 [1022,1276] Sez. G: HE 260 B L=200.0 cm Crit.: Acciaio_FlessTors $\gamma M=1.05$ fyk/ $\gamma M=2619$ kg/cm² ft=4300 kg/cm² :**Verificato**

X	cls	N	TY	TZ	MT	MY	MZ	My4	Mz4	Comb.
cm		kg	kg	kg	kg*m	kg*m	kg*m			
0	1	28	613	-2740	-10	4392	1416	--	--	6

X	cls	Nr	Vyr	Vzr	Mry	Mrz	MTrd	SF_V.	SF_M	SF_Mt	SF
cm		kg	kg	kg	kg*m	kg*m	kg*m				
0	1	310212	137061	56623	33620	15776	986	21	4.5	>100	4.5

Asta: 102 [1236,1012] Sez. G: HE 260 B L=200.0 cm Crit.: Acciaio_FlessTors $\gamma M=1.05$ fyk/ $\gamma M=2619$ kg/cm² ft=4300 kg/cm² :**Verificato**

X	cls	N	TY	TZ	MT	MY	MZ	My4	Mz4	Comb.
cm		kg	kg	kg	kg*m	kg*m	kg*m			
200	1	2	-612	3043	11	4957	1424	--	--	6

X	cls	Nr	Vyr	Vzr	Mry	Mrz	MTrd	SF_V.	SF_M	SF_Mt	SF
cm		kg	kg	kg	kg*m	kg*m	kg*m				
200	1	310212	136975	56588	33620	15776	986	19	4.2	88	4.2

Asta: 103 [1067,1001] Sez. G: HE 220 B L=125.0 cm Crit.: Acciaio_Flessione $\gamma M=1.05$ fyk/ $\gamma M=2619$ kg/cm² ft=4300 kg/cm² :**Verificato**

X	cls	N	TY	TZ	MT	MY	MZ	My4	Mz4	Comb.
cm		kg	kg	kg	kg*m	kg*m	kg*m			
125	1	-14	133	2034	-1	3826	612	--	--	6

X	cls	Nr	Vyr	Vzr	Mry	Mrz	MTrd	SF_V.	SF_M	SF_Mt	SF
cm		kg	kg	kg	kg*m	kg*m	kg*m				
125	1	238441	106392	42196	21670	10317	652	21	4.2	>100	4.2

Asta: 103 [1024,1067] Sez. G: HE 220 B L=125.0 cm Crit.: Acciaio_Flessione $\gamma M=1.05$ fyk/ $\gamma M=2619$ kg/cm² ft=4300 kg/cm² :**Verificato**

X	cls	N	TY	TZ	MT	MY	MZ	My4	Mz4	Comb.
cm		kg	kg	kg	kg*m	kg*m	kg*m			
125	1	111	-401	1166	-1	1356	779	--	--	6

X	cls	Nr	Vyr	Vzr	Mry	Mrz	MTrd	SF_V.	SF_M	SF_Mt	SF
cm		kg	kg	kg	kg*m	kg*m	kg*m				
125	1	238441	106396	42198	21670	10317	652	36	7.2	>100	7.2

Asta: 104 [1068,1111] Sez. G: HE 220 B L=125.0 cm Crit.: Acciaio_Flessione $\gamma M=1.05$ fyk/ $\gamma M=2619$ kg/cm² ft=4300 kg/cm² :**Verificato**

X	cls	N	TY	TZ	MT	MY	MZ	My4	Mz4	Comb.
cm		kg	kg	kg	kg*m	kg*m	kg*m			
125	1	4	57	1034	-2	1405	699	--	--	6

X	cls	Nr	Vyr	Vzr	Mry	Mrz	MTrd	SF_V.	SF_M	SF_Mt	SF
cm		kg	kg	kg	kg*m	kg*m	kg*m				
125	1	238441	106326	42170	21670	10317	652	41	7.5	>100	7.5

Asta: 104 [1025,1068] Sez. G: HE 220 B L=125.0 cm Crit.: Acciaio_Flessione $\gamma_M=1.05$ $f_yk/\gamma_M=2619$ kg/cmq $f_t=4300$ kg/cmq :**Verificato**

X	cls	N	TY	TZ	MT	MY	MZ	My4	Mz4	Comb.
cm		kg	kg	kg	kg*m	kg*m	kg*m			
125	1	-3	-433	206	-2	185	769	--	--	6

X	cls	Nr	Vyr	Vzr	Mry	Mrz	MTrd	SF_V.	SF_M	SF_Mt	SF
cm		kg	kg	kg	kg*m	kg*m	kg*m				
125	1	238441	106318	42166	21670	10317	652	>100	12	>100	12

Asta: 105 [1069,1112] Sez. G: HE 220 B L=125.0 cm Crit.: Acciaio_Flessione $\gamma_M=1.05$ $f_yk/\gamma_M=2619$ kg/cmq $f_t=4300$ kg/cmq :**Verificato**

X	cls	N	TY	TZ	MT	MY	MZ	My4	Mz4	Comb.
cm		kg	kg	kg	kg*m	kg*m	kg*m			
125	1	28	21	1401	3	2316	714	--	--	6

X	cls	Nr	Vyr	Vzr	Mry	Mrz	MTrd	SF_V.	SF_M	SF_Mt	SF
cm		kg	kg	kg	kg*m	kg*m	kg*m				
125	1	238441	106235	42134	21670	10317	652	30	5.7	>100	5.7

Asta: 105 [1026,1069] Sez. G: HE 220 B L=125.0 cm Crit.: Acciaio_Flessione $\gamma_M=1.05$ $f_yk/\gamma_M=2619$ kg/cmq $f_t=4300$ kg/cmq :**Verificato**

X	cls	N	TY	TZ	MT	MY	MZ	My4	Mz4	Comb.
cm		kg	kg	kg	kg*m	kg*m	kg*m			
125	1	23	-394	579	3	638	740	--	--	6

X	cls	Nr	Vyr	Vzr	Mry	Mrz	MTrd	SF_V.	SF_M	SF_Mt	SF
cm		kg	kg	kg	kg*m	kg*m	kg*m				
125	1	238441	106235	42134	21670	10317	652	73	9.9	>100	9.9

Asta: 106 [1070,1113] Sez. G: HE 220 B L=125.0 cm Crit.: Acciaio_Flessione $\gamma_M=1.05$ $f_yk/\gamma_M=2619$ kg/cmq $f_t=4300$ kg/cmq :**Verificato**

X	cls	N	TY	TZ	MT	MY	MZ	My4	Mz4	Comb.
cm		kg	kg	kg	kg*m	kg*m	kg*m			
125	1	33	51	1378	3	2249	693	--	--	6

X	cls	Nr	Vyr	Vzr	Mry	Mrz	MTrd	SF_V.	SF_M	SF_Mt	SF
cm		kg	kg	kg	kg*m	kg*m	kg*m				
125	1	238441	106238	42135	21670	10317	652	31	5.8	>100	5.8

Asta: 106 [1027,1070] Sez. G: HE 220 B L=125.0 cm Crit.: Acciaio_Flessione $\gamma_M=1.05$ $f_yk/\gamma_M=2619$ kg/cmq $f_t=4300$ kg/cmq :**Verificato**

X	cls	N	TY	TZ	MT	MY	MZ	My4	Mz4	Comb.
cm		kg	kg	kg	kg*m	kg*m	kg*m			
125	1	23	-410	549	3	599	757	--	--	6

X	cls	Nr	Vyr	Vzr	Mry	Mrz	MTrd	SF_V.	SF_M	SF_Mt	SF
cm		kg	kg	kg	kg*m	kg*m	kg*m				
125	1	238441	106231	42132	21670	10317	652	77	9.9	>100	9.9

Asta: 107 [1071,1002] Sez. G: HE 220 B L=125.0 cm Crit.: Acciaio_Flessione $\gamma_M=1.05$ $f_yk/\gamma_M=2619$ kg/cmq $f_t=4300$ kg/cmq :**Verificato**

X	cls	N	TY	TZ	MT	MY	MZ	My4	Mz4	Comb.
cm		kg	kg	kg	kg*m	kg*m	kg*m			
125	1	-53	-3	1378	3	2271	731	--	--	6

X	cls	Nr	Vyr	Vzr	Mry	Mrz	MTrd	SF_V.	SF_M	SF_Mt	SF
cm		kg	kg	kg	kg*m	kg*m	kg*m				

X	cls	Nr	Vyr	Vzr	Mry	Mrz	MTrd	SF_V.	SF_M	SF_Mt	SF
125	1	238441	106228	42131	21670	10317	652	31	5.7	>100	5.7

Asta: 107 [1028,1071] Sez. G: HE 220 B L=125.0 cm Crit.: Acciaio_Flessione $\gamma_M=1.05$ fyk/ $\gamma_M=2619$ kg/cmq ft=4300 kg/cmq :**Verificato**

X	cls	N	TY	TZ	MT	MY	MZ	My4	Mz4	Comb.
cm		kg	kg	kg	kg*m	kg*m	kg*m			
125	1	-56	-380	557	3	620	728	--	--	6

X	cls	Nr	Vyr	Vzr	Mry	Mrz	MTrd	SF_V.	SF_M	SF_Mt	SF
cm		kg	kg	kg	kg*m	kg*m	kg*m				
125	1	238441	106228	42131	21670	10317	652	76	10	>100	10

Asta: 108 [1072,1115] Sez. G: HE 220 B L=125.0 cm Crit.: Acciaio_Flessione $\gamma_M=1.05$ fyk/ $\gamma_M=2619$ kg/cmq ft=4300 kg/cmq :**Verificato**

X	cls	N	TY	TZ	MT	MY	MZ	My4	Mz4	Comb.
cm		kg	kg	kg	kg*m	kg*m	kg*m			
125	1	34	20	1378	3	2248	724	--	--	6

X	cls	Nr	Vyr	Vzr	Mry	Mrz	MTrd	SF_V.	SF_M	SF_Mt	SF
cm		kg	kg	kg	kg*m	kg*m	kg*m				
125	1	238441	106245	42138	21670	10317	652	31	5.7	>100	5.7

Asta: 108 [1029,1072] Sez. G: HE 220 B L=125.0 cm Crit.: Acciaio_Flessione $\gamma_M=1.05$ fyk/ $\gamma_M=2619$ kg/cmq ft=4300 kg/cmq :**Verificato**

X	cls	N	TY	TZ	MT	MY	MZ	My4	Mz4	Comb.
cm		kg	kg	kg	kg*m	kg*m	kg*m			
125	1	24	-425	549	3	599	749	--	--	6

X	cls	Nr	Vyr	Vzr	Mry	Mrz	MTrd	SF_V.	SF_M	SF_Mt	SF
cm		kg	kg	kg	kg*m	kg*m	kg*m				
125	1	238441	106256	42142	21670	10317	652	77	10.0	>100	10.0

Asta: 109 [1073,1116] Sez. G: HE 220 B L=125.0 cm Crit.: Acciaio_Flessione $\gamma_M=1.05$ fyk/ $\gamma_M=2619$ kg/cmq ft=4300 kg/cmq :**Verificato**

X	cls	N	TY	TZ	MT	MY	MZ	My4	Mz4	Comb.
cm		kg	kg	kg	kg*m	kg*m	kg*m			
125	1	8	-13	1378	3	2262	739	--	--	6

X	cls	Nr	Vyr	Vzr	Mry	Mrz	MTrd	SF_V.	SF_M	SF_Mt	SF
cm		kg	kg	kg	kg*m	kg*m	kg*m				
125	1	238441	106227	42130	21670	10317	652	31	5.7	>100	5.7

Asta: 109 [1030,1073] Sez. G: HE 220 B L=125.0 cm Crit.: Acciaio_Flessione $\gamma_M=1.05$ fyk/ $\gamma_M=2619$ kg/cmq ft=4300 kg/cmq :**Verificato**

X	cls	N	TY	TZ	MT	MY	MZ	My4	Mz4	Comb.
cm		kg	kg	kg	kg*m	kg*m	kg*m			
125	1	3	-377	556	3	612	723	--	--	6

X	cls	Nr	Vyr	Vzr	Mry	Mrz	MTrd	SF_V.	SF_M	SF_Mt	SF
cm		kg	kg	kg	kg*m	kg*m	kg*m				
125	1	238441	106227	42130	21670	10317	652	76	10	>100	10

Asta: 110 [1074,1117] Sez. G: HE 220 B L=125.0 cm Crit.: Acciaio_Flessione $\gamma_M=1.05$ fyk/ $\gamma_M=2619$ kg/cmq ft=4300 kg/cmq :**Verificato**

X	cls	N	TY	TZ	MT	MY	MZ	My4	Mz4	Comb.
cm		kg	kg	kg	kg*m	kg*m	kg*m			
125	1	34	26	1378	3	2248	714	--	--	6

X	cls	Nr	Vyr	Vzr	Mry	Mrz	MTrd	SF_V.	SF_M	SF_Mt	SF
cm		kg	kg	kg	kg*m	kg*m	kg*m				
125	1	238441	106239	42135	21670	10317	652	31	5.8	>100	5.8

Asta: 110 [1031,1074] Sez. G: HE 220 B L=125.0 cm Crit.: Acciaio_Flessione $\gamma_M=1.05$ fyk/ $\gamma_M=2619$ kg/cmq ft=4300 kg/cmq :**Verificato**

X	cls	N	TY	TZ	MT	MY	MZ	My4	Mz4	Comb.
cm		kg	kg	kg	kg*m	kg*m	kg*m			
125	1	24	-401	549	3	599	745	--	--	6

X	cls	Nr	Vyr	Vzr	Mry	Mrz	MTrd	SF_V.	SF_M	SF_Mt	SF
cm		kg	kg	kg	kg*m	kg*m	kg*m				
125	1	238441	106232	42132	21670	10317	652	77	10	>100	10

Asta: 111 [1075,1003] Sez. G: HE 220 B L=125.0 cm Crit.: Acciaio_Flessione $\gamma M=1.05$ fyk/ $\gamma M=2619$ kg/cmq ft=4300 kg/cmq :**Verificato**

X	cls	N	TY	TZ	MT	MY	MZ	My4	Mz4	Comb.
cm		kg	kg	kg	kg*m	kg*m	kg*m			
125	1	-52	-21	1378	3	2271	746	--	--	6

X	cls	Nr	Vyr	Vzr	Mry	Mrz	MTrd	SF_V.	SF_M	SF_Mt	SF
cm		kg	kg	kg	kg*m	kg*m	kg*m				
125	1	238441	106228	42131	21670	10317	652	31	5.6	>100	5.6

Asta: 111 [1032,1075] Sez. G: HE 220 B L=125.0 cm Crit.: Acciaio_Flessione $\gamma M=1.05$ fyk/ $\gamma M=2619$ kg/cmq ft=4300 kg/cmq :**Verificato**

X	cls	N	TY	TZ	MT	MY	MZ	My4	Mz4	Comb.
cm		kg	kg	kg	kg*m	kg*m	kg*m			
125	1	-55	-375	557	3	620	720	--	--	6

X	cls	Nr	Vyr	Vzr	Mry	Mrz	MTrd	SF_V.	SF_M	SF_Mt	SF
cm		kg	kg	kg	kg*m	kg*m	kg*m				
125	1	238441	106228	42131	21670	10317	652	76	10	>100	10

Asta: 112 [1076,1118] Sez. G: HE 220 B L=125.0 cm Crit.: Acciaio_Flessione $\gamma M=1.05$ fyk/ $\gamma M=2619$ kg/cmq ft=4300 kg/cmq :**Verificato**

X	cls	N	TY	TZ	MT	MY	MZ	My4	Mz4	Comb.
cm		kg	kg	kg	kg*m	kg*m	kg*m			
125	1	35	4	1378	3	2248	737	--	--	6

X	cls	Nr	Vyr	Vzr	Mry	Mrz	MTrd	SF_V.	SF_M	SF_Mt	SF
cm		kg	kg	kg	kg*m	kg*m	kg*m				
125	1	238441	106246	42138	21670	10317	652	31	5.7	>100	5.7

Asta: 112 [1033,1076] Sez. G: HE 220 B L=125.0 cm Crit.: Acciaio_Flessione $\gamma M=1.05$ fyk/ $\gamma M=2619$ kg/cmq ft=4300 kg/cmq :**Verificato**

X	cls	N	TY	TZ	MT	MY	MZ	My4	Mz4	Comb.
cm		kg	kg	kg	kg*m	kg*m	kg*m			
125	1	24	-420	549	3	599	742	--	--	6

X	cls	Nr	Vyr	Vzr	Mry	Mrz	MTrd	SF_V.	SF_M	SF_Mt	SF
cm		kg	kg	kg	kg*m	kg*m	kg*m				
125	1	238441	106256	42142	21670	10317	652	77	10	>100	10

Asta: 113 [1077,1119] Sez. G: HE 220 B L=125.0 cm Crit.: Acciaio_Flessione $\gamma M=1.05$ fyk/ $\gamma M=2619$ kg/cmq ft=4300 kg/cmq :**Verificato**

X	cls	N	TY	TZ	MT	MY	MZ	My4	Mz4	Comb.
cm		kg	kg	kg	kg*m	kg*m	kg*m			
125	1	7	-28	1378	3	2262	751	--	--	6

X	cls	Nr	Vyr	Vzr	Mry	Mrz	MTrd	SF_V.	SF_M	SF_Mt	SF
cm		kg	kg	kg	kg*m	kg*m	kg*m				
125	1	238441	106228	42131	21670	10317	652	31	5.6	>100	5.6

Asta: 113 [1034,1077] Sez. G: HE 220 B L=125.0 cm Crit.: Acciaio_Flessione $\gamma M=1.05$ fyk/ $\gamma M=2619$ kg/cmq ft=4300 kg/cmq :**Verificato**

X	cls	N	TY	TZ	MT	MY	MZ	My4	Mz4	Comb.
cm		kg	kg	kg	kg*m	kg*m	kg*m			
125	1	3	-373	556	3	612	717	--	--	6

X	cls	Nr	Vyr	Vzr	Mry	Mrz	MTrd	SF_V.	SF_M	SF_Mt	SF
cm		kg	kg	kg	kg*m	kg*m	kg*m				

X	cls	Nr	Vyr	Vzr	Mry	Mrz	MTrd	SF_V.	SF_M	SF_Mt	SF
125	1	238441	106228	42131	21670	10317	652	76	10	>100	10

Asta: 114 [1078,1120] Sez. G: HE 220 B L=125.0 cm Crit.: Acciaio_Flessione $\gamma_M=1.05$ fyk/ $\gamma_M=2619$ kg/cm² ft=4300 kg/cm² :**Verificato**

X	cls	N	TY	TZ	MT	MY	MZ	My4	Mz4	Comb.
cm		kg	kg	kg	kg*m	kg*m	kg*m			
125	1	32	10	1378	3	2248	726	--	--	6

X	cls	Nr	Vyr	Vzr	Mry	Mrz	MTrd	SF_V.	SF_M	SF_Mt	SF
cm		kg	kg	kg	kg*m	kg*m	kg*m				
125	1	238441	106240	42136	21670	10317	652	31	5.7	>100	5.7

Asta: 114 [1035,1078] Sez. G: HE 220 B L=125.0 cm Crit.: Acciaio_Flessione $\gamma_M=1.05$ fyk/ $\gamma_M=2619$ kg/cm² ft=4300 kg/cm² :**Verificato**

X	cls	N	TY	TZ	MT	MY	MZ	My4	Mz4	Comb.
cm		kg	kg	kg	kg*m	kg*m	kg*m			
125	1	25	-396	549	3	599	739	--	--	6

X	cls	Nr	Vyr	Vzr	Mry	Mrz	MTrd	SF_V.	SF_M	SF_Mt	SF
cm		kg	kg	kg	kg*m	kg*m	kg*m				
125	1	238441	106233	42133	21670	10317	652	77	10	>100	10

Asta: 115 [1079,1004] Sez. G: HE 220 B L=125.0 cm Crit.: Acciaio_Flessione $\gamma_M=1.05$ fyk/ $\gamma_M=2619$ kg/cm² ft=4300 kg/cm² :**Verificato**

X	cls	N	TY	TZ	MT	MY	MZ	My4	Mz4	Comb.
cm		kg	kg	kg	kg*m	kg*m	kg*m			
125	1	-59	-40	1378	3	2271	762	--	--	6

X	cls	Nr	Vyr	Vzr	Mry	Mrz	MTrd	SF_V.	SF_M	SF_Mt	SF
cm		kg	kg	kg	kg*m	kg*m	kg*m				
125	1	238441	106231	42132	21670	10317	652	31	5.6	>100	5.6

Asta: 115 [1036,1079] Sez. G: HE 220 B L=125.0 cm Crit.: Acciaio_Flessione $\gamma_M=1.05$ fyk/ $\gamma_M=2619$ kg/cm² ft=4300 kg/cm² :**Verificato**

X	cls	N	TY	TZ	MT	MY	MZ	My4	Mz4	Comb.
cm		kg	kg	kg	kg*m	kg*m	kg*m			
125	1	-62	-371	557	3	620	713	--	--	6

X	cls	Nr	Vyr	Vzr	Mry	Mrz	MTrd	SF_V.	SF_M	SF_Mt	SF
cm		kg	kg	kg	kg*m	kg*m	kg*m				
125	1	238441	106231	42132	21670	10317	652	76	10	>100	10

Asta: 116 [1080,1122] Sez. G: HE 220 B L=125.0 cm Crit.: Acciaio_Flessione $\gamma_M=1.05$ fyk/ $\gamma_M=2619$ kg/cm² ft=4300 kg/cm² :**Verificato**

X	cls	N	TY	TZ	MT	MY	MZ	My4	Mz4	Comb.
cm		kg	kg	kg	kg*m	kg*m	kg*m			
125	1	32	-22	1378	3	2248	758	--	--	6

X	cls	Nr	Vyr	Vzr	Mry	Mrz	MTrd	SF_V.	SF_M	SF_Mt	SF
cm		kg	kg	kg	kg*m	kg*m	kg*m				
125	1	238441	106249	42139	21670	10317	652	31	5.6	>100	5.6

Asta: 116 [1037,1080] Sez. G: HE 220 B L=125.0 cm Crit.: Acciaio_Flessione $\gamma_M=1.05$ fyk/ $\gamma_M=2619$ kg/cm² ft=4300 kg/cm² :**Verificato**

X	cls	N	TY	TZ	MT	MY	MZ	My4	Mz4	Comb.
cm		kg	kg	kg	kg*m	kg*m	kg*m			
125	1	25	-414	549	3	599	732	--	--	6

X	cls	Nr	Vyr	Vzr	Mry	Mrz	MTrd	SF_V.	SF_M	SF_Mt	SF
cm		kg	kg	kg	kg*m	kg*m	kg*m				
125	1	238441	106259	42143	21670	10317	652	77	10	>100	10

Asta: 117 [1081,1123] Sez. G: HE 220 B L=125.0 cm Crit.: Acciaio_Flessione $\gamma_M=1.05$ fyk/ $\gamma_M=2619$ kg/cm² ft=4300 kg/cm² :**Verificato**

X	cls	N	TY	TZ	MT	MY	MZ	My4	Mz4	Comb.
cm		kg	kg	kg	kg*m	kg*m	kg*m			
125	1	10	-53	1378	3	2262	773	--	--	6

X	cls	Nr	Vyr	Vzr	Mry	Mrz	MTrd	SF_V.	SF_M	SF_Mt	SF
cm		kg	kg	kg	kg*m	kg*m	kg*m				
125	1	238441	106232	42133	21670	10317	652	31	5.6	>100	5.6

Asta: 117 [1038,1081] Sez. G: HE 220 B L=125.0 cm Crit.: Acciaio_Flessione $\gamma M=1.05$ fyk/ $\gamma M=2619$ kg/cm² ft=4300 kg/cm² :**Verificato**

X	cls	N	TY	TZ	MT	MY	MZ	My4	Mz4	Comb.
cm		kg	kg	kg	kg*m	kg*m	kg*m			
125	1	6	-368	556	3	612	708	--	--	6

X	cls	Nr	Vyr	Vzr	Mry	Mrz	MTrd	SF_V.	SF_M	SF_Mt	SF
cm		kg	kg	kg	kg*m	kg*m	kg*m				
125	1	238441	106231	42132	21670	10317	652	76	10	>100	10

Asta: 118 [1082,1124] Sez. G: HE 220 B L=125.0 cm Crit.: Acciaio_Flessione $\gamma M=1.05$ fyk/ $\gamma M=2619$ kg/cm² ft=4300 kg/cm² :**Verificato**

X	cls	N	TY	TZ	MT	MY	MZ	My4	Mz4	Comb.
cm		kg	kg	kg	kg*m	kg*m	kg*m			
125	1	27	-20	1378	3	2248	751	--	--	6

X	cls	Nr	Vyr	Vzr	Mry	Mrz	MTrd	SF_V.	SF_M	SF_Mt	SF
cm		kg	kg	kg	kg*m	kg*m	kg*m				
125	1	238441	106242	42137	21670	10317	652	31	5.7	>100	5.7

Asta: 118 [1039,1082] Sez. G: HE 220 B L=125.0 cm Crit.: Acciaio_Flessione $\gamma M=1.05$ fyk/ $\gamma M=2619$ kg/cm² ft=4300 kg/cm² :**Verificato**

X	cls	N	TY	TZ	MT	MY	MZ	My4	Mz4	Comb.
cm		kg	kg	kg	kg*m	kg*m	kg*m			
125	1	25	-388	549	3	599	726	--	--	6

X	cls	Nr	Vyr	Vzr	Mry	Mrz	MTrd	SF_V.	SF_M	SF_Mt	SF
cm		kg	kg	kg	kg*m	kg*m	kg*m				
125	1	238441	106235	42134	21670	10317	652	77	10	>100	10

Asta: 119 [1083,1005] Sez. G: HE 220 B L=125.0 cm Crit.: Acciaio_Flessione $\gamma M=1.05$ fyk/ $\gamma M=2619$ kg/cm² ft=4300 kg/cm² :**Verificato**

X	cls	N	TY	TZ	MT	MY	MZ	My4	Mz4	Comb.
cm		kg	kg	kg	kg*m	kg*m	kg*m			
125	1	-73	-77	1379	3	2272	794	--	--	6

X	cls	Nr	Vyr	Vzr	Mry	Mrz	MTrd	SF_V.	SF_M	SF_Mt	SF
cm		kg	kg	kg	kg*m	kg*m	kg*m				
125	1	238441	106237	42135	21670	10317	652	31	5.5	>100	5.5

Asta: 119 [1040,1083] Sez. G: HE 220 B L=125.0 cm Crit.: Acciaio_Flessione $\gamma M=1.05$ fyk/ $\gamma M=2619$ kg/cm² ft=4300 kg/cm² :**Verificato**

X	cls	N	TY	TZ	MT	MY	MZ	My4	Mz4	Comb.
cm		kg	kg	kg	kg*m	kg*m	kg*m			
125	1	-76	-366	557	3	621	699	--	--	6

X	cls	Nr	Vyr	Vzr	Mry	Mrz	MTrd	SF_V.	SF_M	SF_Mt	SF
cm		kg	kg	kg	kg*m	kg*m	kg*m				
125	1	238441	106236	42134	21670	10317	652	76	10	>100	10

Asta: 120 [1084,1126] Sez. G: HE 220 B L=125.0 cm Crit.: Acciaio_Flessione $\gamma M=1.05$ fyk/ $\gamma M=2619$ kg/cm² ft=4300 kg/cm² :**Verificato**

X	cls	N	TY	TZ	MT	MY	MZ	My4	Mz4	Comb.
cm		kg	kg	kg	kg*m	kg*m	kg*m			
125	1	24	-73	1378	3	2248	802	--	--	6

X	cls	Nr	Vyr	Vzr	Mry	Mrz	MTrd	SF_V.	SF_M	SF_Mt	SF
cm		kg	kg	kg	kg*m	kg*m	kg*m				

X	cls	Nr	Vyr	Vzr	Mry	Mrz	MTrd	SF_V.	SF_M	SF_Mt	SF
125	1	238441	106255	42142	21670	10317	652	31	5.5	>100	5.5

Asta: 120 [1041,1084] Sez. G: HE 220 B L=125.0 cm Crit.: Acciaio_Flessione $\gamma_M=1.05$ fyk/ $\gamma_M=2619$ kg/cmq ft=4300 kg/cmq :**Verificato**

X	cls	N	TY	TZ	MT	MY	MZ	My4	Mz4	Comb.
cm		kg	kg	kg	kg*m	kg*m	kg*m			
125	1	25	-403	549	3	599	713	--	--	6

X	cls	Nr	Vyr	Vzr	Mry	Mrz	MTrd	SF_V.	SF_M	SF_Mt	SF
cm		kg	kg	kg	kg*m	kg*m	kg*m				
125	1	238441	106264	42145	21670	10317	652	77	10	>100	10

Asta: 121 [1085,1127] Sez. G: HE 220 B L=125.0 cm Crit.: Acciaio_Flessione $\gamma_M=1.05$ fyk/ $\gamma_M=2619$ kg/cmq ft=4300 kg/cmq :**Verificato**

X	cls	N	TY	TZ	MT	MY	MZ	My4	Mz4	Comb.
cm		kg	kg	kg	kg*m	kg*m	kg*m			
125	1	16	-102	1378	3	2262	816	--	--	6

X	cls	Nr	Vyr	Vzr	Mry	Mrz	MTrd	SF_V.	SF_M	SF_Mt	SF
cm		kg	kg	kg	kg*m	kg*m	kg*m				
125	1	238441	106241	42136	21670	10317	652	31	5.4	>100	5.4

Asta: 121 [1042,1085] Sez. G: HE 220 B L=125.0 cm Crit.: Acciaio_Flessione $\gamma_M=1.05$ fyk/ $\gamma_M=2619$ kg/cmq ft=4300 kg/cmq :**Verificato**

X	cls	N	TY	TZ	MT	MY	MZ	My4	Mz4	Comb.
cm		kg	kg	kg	kg*m	kg*m	kg*m			
125	1	12	-361	556	3	612	690	--	--	6

X	cls	Nr	Vyr	Vzr	Mry	Mrz	MTrd	SF_V.	SF_M	SF_Mt	SF
cm		kg	kg	kg	kg*m	kg*m	kg*m				
125	1	238441	106239	42135	21670	10317	652	76	11	>100	11

Asta: 122 [1086,1128] Sez. G: HE 220 B L=125.0 cm Crit.: Acciaio_Flessione $\gamma_M=1.05$ fyk/ $\gamma_M=2619$ kg/cmq ft=4300 kg/cmq :**Verificato**

X	cls	N	TY	TZ	MT	MY	MZ	My4	Mz4	Comb.
cm		kg	kg	kg	kg*m	kg*m	kg*m			
125	1	14	-77	1378	3	2248	799	--	--	6

X	cls	Nr	Vyr	Vzr	Mry	Mrz	MTrd	SF_V.	SF_M	SF_Mt	SF
cm		kg	kg	kg	kg*m	kg*m	kg*m				
125	1	238441	106248	42139	21670	10317	652	31	5.5	>100	5.5

Asta: 122 [1043,1086] Sez. G: HE 220 B L=125.0 cm Crit.: Acciaio_Flessione $\gamma_M=1.05$ fyk/ $\gamma_M=2619$ kg/cmq ft=4300 kg/cmq :**Verificato**

X	cls	N	TY	TZ	MT	MY	MZ	My4	Mz4	Comb.
cm		kg	kg	kg	kg*m	kg*m	kg*m			
125	1	26	-374	549	3	599	704	--	--	6

X	cls	Nr	Vyr	Vzr	Mry	Mrz	MTrd	SF_V.	SF_M	SF_Mt	SF
cm		kg	kg	kg	kg*m	kg*m	kg*m				
125	1	238441	106240	42135	21670	10317	652	77	10	>100	10

Asta: 123 [1087,1006] Sez. G: HE 220 B L=125.0 cm Crit.: Acciaio_Flessione $\gamma_M=1.05$ fyk/ $\gamma_M=2619$ kg/cmq ft=4300 kg/cmq :**Verificato**

X	cls	N	TY	TZ	MT	MY	MZ	My4	Mz4	Comb.
cm		kg	kg	kg	kg*m	kg*m	kg*m			
125	1	-99	-142	1379	3	2272	853	--	--	6

X	cls	Nr	Vyr	Vzr	Mry	Mrz	MTrd	SF_V.	SF_M	SF_Mt	SF
cm		kg	kg	kg	kg*m	kg*m	kg*m				
125	1	238441	106250	42140	21670	10317	652	31	5.3	>100	5.3

Asta: 123 [1044,1087] Sez. G: HE 220 B L=125.0 cm Crit.: Acciaio_Flessione $\gamma_M=1.05$ fyk/ $\gamma_M=2619$ kg/cmq ft=4300 kg/cmq :**Verificato**

X	cls	N	TY	TZ	MT	MY	MZ	My4	Mz4	Comb.
cm		kg	kg	kg	kg*m	kg*m	kg*m			
125	1	-101	-360	557	3	621	679	--	--	6

X	cls	Nr	Vyr	Vzr	Mry	Mrz	MTrd	SF_V.	SF_M	SF_Mt	SF
cm		kg	kg	kg	kg*m	kg*m	kg*m				
125	1	238441	106248	42139	21670	10317	652	76	11	>100	11

Asta: 124 [1088,1130] Sez. G: HE 220 B L=125.0 cm Crit.: Acciaio_Flessione $\gamma M=1.05$ fyk/ $\gamma M=2619$ kg/cm² ft=4300 kg/cm² :**Verificato**

X	cls	N	TY	TZ	MT	MY	MZ	My4	Mz4	Comb.
cm		kg	kg	kg	kg*m	kg*m	kg*m			
125	1	8	-157	1378	3	2248	877	--	--	6

X	cls	Nr	Vyr	Vzr	Mry	Mrz	MTrd	SF_V.	SF_M	SF_Mt	SF
cm		kg	kg	kg	kg*m	kg*m	kg*m				
125	1	238441	106268	42147	21670	10317	652	31	5.3	>100	5.3

Asta: 124 [1045,1088] Sez. G: HE 220 B L=125.0 cm Crit.: Acciaio_Flessione $\gamma M=1.05$ fyk/ $\gamma M=2619$ kg/cm² ft=4300 kg/cm² :**Verificato**

X	cls	N	TY	TZ	MT	MY	MZ	My4	Mz4	Comb.
cm		kg	kg	kg	kg*m	kg*m	kg*m			
125	1	26	-391	549	3	599	685	--	--	6

X	cls	Nr	Vyr	Vzr	Mry	Mrz	MTrd	SF_V.	SF_M	SF_Mt	SF
cm		kg	kg	kg	kg*m	kg*m	kg*m				
125	1	238441	106275	42150	21670	10317	652	77	11	>100	11

Asta: 125 [1089,1131] Sez. G: HE 220 B L=125.0 cm Crit.: Acciaio_Flessione $\gamma M=1.05$ fyk/ $\gamma M=2619$ kg/cm² ft=4300 kg/cm² :**Verificato**

X	cls	N	TY	TZ	MT	MY	MZ	My4	Mz4	Comb.
cm		kg	kg	kg	kg*m	kg*m	kg*m			
125	1	21	-163	1378	3	2262	877	--	--	6

X	cls	Nr	Vyr	Vzr	Mry	Mrz	MTrd	SF_V.	SF_M	SF_Mt	SF
cm		kg	kg	kg	kg*m	kg*m	kg*m				
125	1	238441	106260	42144	21670	10317	652	31	5.3	>100	5.3

Asta: 125 [1046,1089] Sez. G: HE 220 B L=125.0 cm Crit.: Acciaio_Flessione $\gamma M=1.05$ fyk/ $\gamma M=2619$ kg/cm² ft=4300 kg/cm² :**Verificato**

X	cls	N	TY	TZ	MT	MY	MZ	My4	Mz4	Comb.
cm		kg	kg	kg	kg*m	kg*m	kg*m			
125	1	17	-367	557	3	612	677	--	--	6

X	cls	Nr	Vyr	Vzr	Mry	Mrz	MTrd	SF_V.	SF_M	SF_Mt	SF
cm		kg	kg	kg	kg*m	kg*m	kg*m				
125	1	238441	106257	42143	21670	10317	652	76	11	>100	11

Asta: 126 [1090,1132] Sez. G: HE 220 B L=125.0 cm Crit.: Acciaio_Flessione $\gamma M=1.05$ fyk/ $\gamma M=2619$ kg/cm² ft=4300 kg/cm² :**Verificato**

X	cls	N	TY	TZ	MT	MY	MZ	My4	Mz4	Comb.
cm		kg	kg	kg	kg*m	kg*m	kg*m			
125	1	58	-119	1378	3	2248	846	--	--	6

X	cls	Nr	Vyr	Vzr	Mry	Mrz	MTrd	SF_V.	SF_M	SF_Mt	SF
cm		kg	kg	kg	kg*m	kg*m	kg*m				
125	1	238441	106262	42144	21670	10317	652	31	5.4	>100	5.4

Asta: 126 [1047,1090] Sez. G: HE 220 B L=125.0 cm Crit.: Acciaio_Flessione $\gamma M=1.05$ fyk/ $\gamma M=2619$ kg/cm² ft=4300 kg/cm² :**Verificato**

X	cls	N	TY	TZ	MT	MY	MZ	My4	Mz4	Comb.
cm		kg	kg	kg	kg*m	kg*m	kg*m			
125	1	26	-382	549	3	599	699	--	--	6

X	cls	Nr	Vyr	Vzr	Mry	Mrz	MTrd	SF_V.	SF_M	SF_Mt	SF
cm		kg	kg	kg	kg*m	kg*m	kg*m				

X	cls	Nr	Vyr	Vzr	Mry	Mrz	MTrd	SF_V.	SF_M	SF_Mt	SF
125	1	238441	106253	42141	21670	10317	652	77	10	>100	10

Asta: 127 [1091,1007] Sez. G: HE 220 B L=125.0 cm Crit.: Acciaio_Flessione $\gamma_M=1.05$ fyk/ $\gamma_M=2619$ kg/cmq ft=4300 kg/cmq :**Verificato**

X	cls	N	TY	TZ	MT	MY	MZ	My4	Mz4	Comb.
cm		kg	kg	kg	kg*m	kg*m	kg*m			
125	1	212	-26	1378	3	2270	751	--	--	6

X	cls	Nr	Vyr	Vzr	Mry	Mrz	MTrd	SF_V.	SF_M	SF_Mt	SF
cm		kg	kg	kg	kg*m	kg*m	kg*m				
125	1	238441	106230	42132	21670	10317	652	31	5.6	>100	5.6

Asta: 127 [1048,1091] Sez. G: HE 220 B L=125.0 cm Crit.: Acciaio_Flessione $\gamma_M=1.05$ fyk/ $\gamma_M=2619$ kg/cmq ft=4300 kg/cmq :**Verificato**

X	cls	N	TY	TZ	MT	MY	MZ	My4	Mz4	Comb.
cm		kg	kg	kg	kg*m	kg*m	kg*m			
125	1	207	-375	557	3	620	719	--	--	6

X	cls	Nr	Vyr	Vzr	Mry	Mrz	MTrd	SF_V.	SF_M	SF_Mt	SF
cm		kg	kg	kg	kg*m	kg*m	kg*m				
125	1	238441	106229	42131	21670	10317	652	76	10	>100	10

Asta: 128 [1092,1134] Sez. G: HE 220 B L=125.0 cm Crit.: Acciaio_Flessione $\gamma_M=1.05$ fyk/ $\gamma_M=2619$ kg/cmq ft=4300 kg/cmq :**Verificato**

X	cls	N	TY	TZ	MT	MY	MZ	My4	Mz4	Comb.
cm		kg	kg	kg	kg*m	kg*m	kg*m			
125	1	59	139	1378	3	2248	613	--	--	6

X	cls	Nr	Vyr	Vzr	Mry	Mrz	MTrd	SF_V.	SF_M	SF_Mt	SF
cm		kg	kg	kg	kg*m	kg*m	kg*m				
125	1	238441	106225	42130	21670	10317	652	31	6.1	>100	6.1

Asta: 128 [1049,1092] Sez. G: HE 220 B L=125.0 cm Crit.: Acciaio_Flessione $\gamma_M=1.05$ fyk/ $\gamma_M=2619$ kg/cmq ft=4300 kg/cmq :**Verificato**

X	cls	N	TY	TZ	MT	MY	MZ	My4	Mz4	Comb.
cm		kg	kg	kg	kg*m	kg*m	kg*m			
125	1	26	-437	549	3	599	786	--	--	6

X	cls	Nr	Vyr	Vzr	Mry	Mrz	MTrd	SF_V.	SF_M	SF_Mt	SF
cm		kg	kg	kg	kg*m	kg*m	kg*m				
125	1	238441	106237	42134	21670	10317	652	77	9.6	>100	9.6

Asta: 129 [1093,1135] Sez. G: HE 220 B L=125.0 cm Crit.: Acciaio_Flessione $\gamma_M=1.05$ fyk/ $\gamma_M=2619$ kg/cmq ft=4300 kg/cmq :**Verificato**

X	cls	N	TY	TZ	MT	MY	MZ	My4	Mz4	Comb.
cm		kg	kg	kg	kg*m	kg*m	kg*m			
125	1	22	113	1378	4	2262	622	--	--	6

X	cls	Nr	Vyr	Vzr	Mry	Mrz	MTrd	SF_V.	SF_M	SF_Mt	SF
cm		kg	kg	kg	kg*m	kg*m	kg*m				
125	1	238441	106196	42118	21670	10317	652	31	6.1	>100	6.1

Asta: 129 [1050,1093] Sez. G: HE 220 B L=125.0 cm Crit.: Acciaio_Flessione $\gamma_M=1.05$ fyk/ $\gamma_M=2619$ kg/cmq ft=4300 kg/cmq :**Verificato**

X	cls	N	TY	TZ	MT	MY	MZ	My4	Mz4	Comb.
cm		kg	kg	kg	kg*m	kg*m	kg*m			
125	1	17	-381	557	4	612	760	--	--	6

X	cls	Nr	Vyr	Vzr	Mry	Mrz	MTrd	SF_V.	SF_M	SF_Mt	SF
cm		kg	kg	kg	kg*m	kg*m	kg*m				
125	1	238441	106198	42119	21670	10317	652	76	9.8	>100	9.8

Asta: 130 [1094,1136] Sez. G: HE 220 B L=125.0 cm Crit.: Acciaio_Flessione $\gamma_M=1.05$ fyk/ $\gamma_M=2619$ kg/cmq ft=4300 kg/cmq :**Verificato**

X	cls	N	TY	TZ	MT	MY	MZ	My4	Mz4	Comb.
cm		kg	kg	kg	kg*m	kg*m	kg*m			
125	1	5	176	1378	4	2248	582	--	--	6

X	cls	Nr	Vyr	Vzr	Mry	Mrz	MTrd	SF_V.	SF_M	SF_Mt	SF
cm		kg	kg	kg	kg*m	kg*m	kg*m				
125	1	238441	106218	42127	21670	10317	652	31	6.2	>100	6.2

Asta: 130 [1051,1094] Sez. G: HE 220 B L=125.0 cm Crit.: Acciaio_Flessione $\gamma M=1.05$ fyk/ $\gamma M=2619$ kg/cm² ft=4300 kg/cm² :**Verificato**

X	cls	N	TY	TZ	MT	MY	MZ	My4	Mz4	Comb.
cm		kg	kg	kg	kg*m	kg*m	kg*m			
125	1	25	-427	549	4	599	799	--	--	6

X	cls	Nr	Vyr	Vzr	Mry	Mrz	MTrd	SF_V.	SF_M	SF_Mt	SF
cm		kg	kg	kg	kg*m	kg*m	kg*m				
125	1	238441	106213	42125	21670	10317	652	77	9.5	>100	9.5

Asta: 131 [1095,1008] Sez. G: HE 220 B L=125.0 cm Crit.: Acciaio_Flessione $\gamma M=1.05$ fyk/ $\gamma M=2619$ kg/cm² ft=4300 kg/cm² :**Verificato**

X	cls	N	TY	TZ	MT	MY	MZ	My4	Mz4	Comb.
cm		kg	kg	kg	kg*m	kg*m	kg*m			
125	1	-99	88	1379	4	2272	650	--	--	6

X	cls	Nr	Vyr	Vzr	Mry	Mrz	MTrd	SF_V.	SF_M	SF_Mt	SF
cm		kg	kg	kg	kg*m	kg*m	kg*m				
125	1	238441	106208	42123	21670	10317	652	31	5.9	>100	5.9

Asta: 131 [1052,1095] Sez. G: HE 220 B L=125.0 cm Crit.: Acciaio_Flessione $\gamma M=1.05$ fyk/ $\gamma M=2619$ kg/cm² ft=4300 kg/cm² :**Verificato**

X	cls	N	TY	TZ	MT	MY	MZ	My4	Mz4	Comb.
cm		kg	kg	kg	kg*m	kg*m	kg*m			
125	1	-101	-389	557	4	621	758	--	--	6

X	cls	Nr	Vyr	Vzr	Mry	Mrz	MTrd	SF_V.	SF_M	SF_Mt	SF
cm		kg	kg	kg	kg*m	kg*m	kg*m				
125	1	238441	106209	42124	21670	10317	652	76	9.8	>100	9.8

Asta: 132 [1096,1137] Sez. G: HE 220 B L=125.0 cm Crit.: Acciaio_Flessione $\gamma M=1.05$ fyk/ $\gamma M=2619$ kg/cm² ft=4300 kg/cm² :**Verificato**

X	cls	N	TY	TZ	MT	MY	MZ	My4	Mz4	Comb.
cm		kg	kg	kg	kg*m	kg*m	kg*m			
125	1	11	93	1378	3	2248	664	--	--	6

X	cls	Nr	Vyr	Vzr	Mry	Mrz	MTrd	SF_V.	SF_M	SF_Mt	SF
cm		kg	kg	kg	kg*m	kg*m	kg*m				
125	1	238441	106238	42135	21670	10317	652	31	5.9	>100	5.9

Asta: 132 [1053,1096] Sez. G: HE 220 B L=125.0 cm Crit.: Acciaio_Flessione $\gamma M=1.05$ fyk/ $\gamma M=2619$ kg/cm² ft=4300 kg/cm² :**Verificato**

X	cls	N	TY	TZ	MT	MY	MZ	My4	Mz4	Comb.
cm		kg	kg	kg	kg*m	kg*m	kg*m			
125	1	26	-444	549	3	599	779	--	--	6

X	cls	Nr	Vyr	Vzr	Mry	Mrz	MTrd	SF_V.	SF_M	SF_Mt	SF
cm		kg	kg	kg	kg*m	kg*m	kg*m				
125	1	238441	106250	42140	21670	10317	652	77	9.7	>100	9.7

Asta: 133 [1097,1138] Sez. G: HE 220 B L=125.0 cm Crit.: Acciaio_Flessione $\gamma M=1.05$ fyk/ $\gamma M=2619$ kg/cm² ft=4300 kg/cm² :**Verificato**

X	cls	N	TY	TZ	MT	MY	MZ	My4	Mz4	Comb.
cm		kg	kg	kg	kg*m	kg*m	kg*m			
125	1	18	48	1378	4	2262	687	--	--	6

X	cls	Nr	Vyr	Vzr	Mry	Mrz	MTrd	SF_V.	SF_M	SF_Mt	SF
cm		kg	kg	kg	kg*m	kg*m	kg*m				

X	cls	Nr	Vyr	Vzr	Mry	Mrz	MTrd	SF_V.	SF_M	SF_Mt	SF
125	1	238441	106216	42126	21670	10317	652	31	5.8	>100	5.8

Asta: 133 [1054,1097] Sez. G: HE 220 B L=125.0 cm Crit.: Acciaio_Flessione $\gamma M=1.05$ fyk/ $\gamma M=2619$ kg/cm² ft=4300 kg/cm² :**Verificato**

X	cls	N	TY	TZ	MT	MY	MZ	My4	Mz4	Comb.
cm		kg	kg	kg	kg*m	kg*m	kg*m			
125	1	14	-387	556	4	612	746	--	--	6

X	cls	Nr	Vyr	Vzr	Mry	Mrz	MTrd	SF_V.	SF_M	SF_Mt	SF
cm		kg	kg	kg	kg*m	kg*m	kg*m				
125	1	238441	106217	42127	21670	10317	652	76	9.9	>100	9.9

Asta: 134 [1098,1139] Sez. G: HE 220 B L=125.0 cm Crit.: Acciaio_Flessione $\gamma M=1.05$ fyk/ $\gamma M=2619$ kg/cm² ft=4300 kg/cm² :**Verificato**

X	cls	N	TY	TZ	MT	MY	MZ	My4	Mz4	Comb.
cm		kg	kg	kg	kg*m	kg*m	kg*m			
125	1	18	87	1378	3	2248	663	--	--	6

X	cls	Nr	Vyr	Vzr	Mry	Mrz	MTrd	SF_V.	SF_M	SF_Mt	SF
cm		kg	kg	kg	kg*m	kg*m	kg*m				
125	1	238441	106232	42132	21670	10317	652	31	5.9	>100	5.9

Asta: 134 [1055,1098] Sez. G: HE 220 B L=125.0 cm Crit.: Acciaio_Flessione $\gamma M=1.05$ fyk/ $\gamma M=2619$ kg/cm² ft=4300 kg/cm² :**Verificato**

X	cls	N	TY	TZ	MT	MY	MZ	My4	Mz4	Comb.
cm		kg	kg	kg	kg*m	kg*m	kg*m			
125	1	25	-415	549	3	599	770	--	--	6

X	cls	Nr	Vyr	Vzr	Mry	Mrz	MTrd	SF_V.	SF_M	SF_Mt	SF
cm		kg	kg	kg	kg*m	kg*m	kg*m				
125	1	238441	106226	42130	21670	10317	652	77	9.8	>100	9.8

Asta: 135 [1099,1009] Sez. G: HE 220 B L=125.0 cm Crit.: Acciaio_Flessione $\gamma M=1.05$ fyk/ $\gamma M=2619$ kg/cm² ft=4300 kg/cm² :**Verificato**

X	cls	N	TY	TZ	MT	MY	MZ	My4	Mz4	Comb.
cm		kg	kg	kg	kg*m	kg*m	kg*m			
125	1	-72	17	1379	4	2272	715	--	--	6

X	cls	Nr	Vyr	Vzr	Mry	Mrz	MTrd	SF_V.	SF_M	SF_Mt	SF
cm		kg	kg	kg	kg*m	kg*m	kg*m				
125	1	238441	106223	42129	21670	10317	652	31	5.7	>100	5.7

Asta: 135 [1056,1099] Sez. G: HE 220 B L=125.0 cm Crit.: Acciaio_Flessione $\gamma M=1.05$ fyk/ $\gamma M=2619$ kg/cm² ft=4300 kg/cm² :**Verificato**

X	cls	N	TY	TZ	MT	MY	MZ	My4	Mz4	Comb.
cm		kg	kg	kg	kg*m	kg*m	kg*m			
125	1	-75	-383	557	4	621	735	--	--	6

X	cls	Nr	Vyr	Vzr	Mry	Mrz	MTrd	SF_V.	SF_M	SF_Mt	SF
cm		kg	kg	kg	kg*m	kg*m	kg*m				
125	1	238441	106223	42129	21670	10317	652	76	10.0	>100	10.0

Asta: 136 [1100,1141] Sez. G: HE 220 B L=125.0 cm Crit.: Acciaio_Flessione $\gamma M=1.05$ fyk/ $\gamma M=2619$ kg/cm² ft=4300 kg/cm² :**Verificato**

X	cls	N	TY	TZ	MT	MY	MZ	My4	Mz4	Comb.
cm		kg	kg	kg	kg*m	kg*m	kg*m			
125	1	21	28	1378	3	2248	719	--	--	6

X	cls	Nr	Vyr	Vzr	Mry	Mrz	MTrd	SF_V.	SF_M	SF_Mt	SF
cm		kg	kg	kg	kg*m	kg*m	kg*m				
125	1	238441	106245	42138	21670	10317	652	31	5.8	>100	5.8

Asta: 136 [1057,1100] Sez. G: HE 220 B L=125.0 cm Crit.: Acciaio_Flessione $\gamma M=1.05$ fyk/ $\gamma M=2619$ kg/cm² ft=4300 kg/cm² :**Verificato**

X	cls	N	TY	TZ	MT	MY	MZ	My4	Mz4	Comb.
cm		kg	kg	kg	kg*m	kg*m	kg*m			
125	1	25	-430	549	3	599	755	--	--	6

X	cls	Nr	Vyr	Vzr	Mry	Mrz	MTrd	SF_V.	SF_M	SF_Mt	SF
cm		kg	kg	kg	kg*m	kg*m	kg*m				
125	1	238441	106256	42142	21670	10317	652	77	9.9	>100	9.9

Asta: 137 [1101,1142] Sez. G: HE 220 B L=125.0 cm Crit.: Acciaio_Flessione $\gamma M=1.05$ fyk/ $\gamma M=2619$ kg/cm² ft=4300 kg/cm² :**Verificato**

X	cls	N	TY	TZ	MT	MY	MZ	My4	Mz4	Comb.
cm		kg	kg	kg	kg*m	kg*m	kg*m			
125	1	13	-9	1378	3	2262	737	--	--	6

X	cls	Nr	Vyr	Vzr	Mry	Mrz	MTrd	SF_V.	SF_M	SF_Mt	SF
cm		kg	kg	kg	kg*m	kg*m	kg*m				
125	1	238441	106227	42131	21670	10317	652	31	5.7	>100	5.7

Asta: 137 [1058,1101] Sez. G: HE 220 B L=125.0 cm Crit.: Acciaio_Flessione $\gamma M=1.05$ fyk/ $\gamma M=2619$ kg/cm² ft=4300 kg/cm² :**Verificato**

X	cls	N	TY	TZ	MT	MY	MZ	My4	Mz4	Comb.
cm		kg	kg	kg	kg*m	kg*m	kg*m			
125	1	8	-380	556	3	612	727	--	--	6

X	cls	Nr	Vyr	Vzr	Mry	Mrz	MTrd	SF_V.	SF_M	SF_Mt	SF
cm		kg	kg	kg	kg*m	kg*m	kg*m				
125	1	238441	106227	42131	21670	10317	652	76	10	>100	10

Asta: 138 [1102,1143] Sez. G: HE 220 B L=125.0 cm Crit.: Acciaio_Flessione $\gamma M=1.05$ fyk/ $\gamma M=2619$ kg/cm² ft=4300 kg/cm² :**Verificato**

X	cls	N	TY	TZ	MT	MY	MZ	My4	Mz4	Comb.
cm		kg	kg	kg	kg*m	kg*m	kg*m			
125	1	24	28	1378	3	2248	714	--	--	6

X	cls	Nr	Vyr	Vzr	Mry	Mrz	MTrd	SF_V.	SF_M	SF_Mt	SF
cm		kg	kg	kg	kg*m	kg*m	kg*m				
125	1	238441	106239	42135	21670	10317	652	31	5.8	>100	5.8

Asta: 138 [1059,1102] Sez. G: HE 220 B L=125.0 cm Crit.: Acciaio_Flessione $\gamma M=1.05$ fyk/ $\gamma M=2619$ kg/cm² ft=4300 kg/cm² :**Verificato**

X	cls	N	TY	TZ	MT	MY	MZ	My4	Mz4	Comb.
cm		kg	kg	kg	kg*m	kg*m	kg*m			
125	1	25	-404	549	3	599	749	--	--	6

X	cls	Nr	Vyr	Vzr	Mry	Mrz	MTrd	SF_V.	SF_M	SF_Mt	SF
cm		kg	kg	kg	kg*m	kg*m	kg*m				
125	1	238441	106232	42133	21670	10317	652	77	10.0	>100	10.0

Asta: 139 [1103,1010] Sez. G: HE 220 B L=125.0 cm Crit.: Acciaio_Flessione $\gamma M=1.05$ fyk/ $\gamma M=2619$ kg/cm² ft=4300 kg/cm² :**Verificato**

X	cls	N	TY	TZ	MT	MY	MZ	My4	Mz4	Comb.
cm		kg	kg	kg	kg*m	kg*m	kg*m			
125	1	-53	-21	1378	3	2271	750	--	--	6

X	cls	Nr	Vyr	Vzr	Mry	Mrz	MTrd	SF_V.	SF_M	SF_Mt	SF
cm		kg	kg	kg	kg*m	kg*m	kg*m				
125	1	238441	106230	42132	21670	10317	652	31	5.6	>100	5.6

Asta: 139 [1060,1103] Sez. G: HE 220 B L=125.0 cm Crit.: Acciaio_Flessione $\gamma M=1.05$ fyk/ $\gamma M=2619$ kg/cm² ft=4300 kg/cm² :**Verificato**

X	cls	N	TY	TZ	MT	MY	MZ	My4	Mz4	Comb.
cm		kg	kg	kg	kg*m	kg*m	kg*m			
125	1	-56	-379	557	3	620	723	--	--	6

X	cls	Nr	Vyr	Vzr	Mry	Mrz	MTrd	SF_V.	SF_M	SF_Mt	SF
cm		kg	kg	kg	kg*m	kg*m	kg*m				

X	cls	Nr	Vyr	Vzr	Mry	Mrz	MTrd	SF_V.	SF_M	SF_Mt	SF
125	1	238441	106230	42132	21670	10317	652	76	10	>100	10

Asta: 140 [1104,1145] Sez. G: HE 220 B L=125.0 cm Crit.: Acciaio_Flessione $\gamma M=1.05$ fyk/ $\gamma M=2619$ kg/cm² ft=4300 kg/cm² :**Verificato**

X	cls	N	TY	TZ	MT	MY	MZ	My4	Mz4	Comb.
cm		kg	kg	kg	kg*m	kg*m	kg*m			
125	1	20	3	1378	3	2248	742	--	--	6

X	cls	Nr	Vyr	Vzr	Mry	Mrz	MTrd	SF_V.	SF_M	SF_Mt	SF
cm		kg	kg	kg	kg*m	kg*m	kg*m				
125	1	238441	106250	42140	21670	10317	652	31	5.7	>100	5.7

Asta: 140 [1061,1104] Sez. G: HE 220 B L=125.0 cm Crit.: Acciaio_Flessione $\gamma M=1.05$ fyk/ $\gamma M=2619$ kg/cm² ft=4300 kg/cm² :**Verificato**

X	cls	N	TY	TZ	MT	MY	MZ	My4	Mz4	Comb.
cm		kg	kg	kg	kg*m	kg*m	kg*m			
125	1	24	-426	549	3	599	747	--	--	6

X	cls	Nr	Vyr	Vzr	Mry	Mrz	MTrd	SF_V.	SF_M	SF_Mt	SF
cm		kg	kg	kg	kg*m	kg*m	kg*m				
125	1	238441	106260	42143	21670	10317	652	77	10.0	>100	10.0

Asta: 141 [1105,1146] Sez. G: HE 220 B L=125.0 cm Crit.: Acciaio_Flessione $\gamma M=1.05$ fyk/ $\gamma M=2619$ kg/cm² ft=4300 kg/cm² :**Verificato**

X	cls	N	TY	TZ	MT	MY	MZ	My4	Mz4	Comb.
cm		kg	kg	kg	kg*m	kg*m	kg*m			
125	1	7	-23	1428	3	2384	755	--	--	6

X	cls	Nr	Vyr	Vzr	Mry	Mrz	MTrd	SF_V.	SF_M	SF_Mt	SF
cm		kg	kg	kg	kg*m	kg*m	kg*m				
125	1	238441	106224	42129	21670	10317	652	29	5.5	>100	5.5

Asta: 141 [1062,1105] Sez. G: HE 220 B L=125.0 cm Crit.: Acciaio_Flessione $\gamma M=1.05$ fyk/ $\gamma M=2619$ kg/cm² ft=4300 kg/cm² :**Verificato**

X	cls	N	TY	TZ	MT	MY	MZ	My4	Mz4	Comb.
cm		kg	kg	kg	kg*m	kg*m	kg*m			
125	1	2	-380	607	3	672	726	--	--	6

X	cls	Nr	Vyr	Vzr	Mry	Mrz	MTrd	SF_V.	SF_M	SF_Mt	SF
cm		kg	kg	kg	kg*m	kg*m	kg*m				
125	1	238441	106224	42129	21670	10317	652	69	9.9	>100	9.9

Asta: 142 [1106,1147] Sez. G: HE 220 B L=125.0 cm Crit.: Acciaio_Flessione $\gamma M=1.05$ fyk/ $\gamma M=2619$ kg/cm² ft=4300 kg/cm² :**Verificato**

X	cls	N	TY	TZ	MT	MY	MZ	My4	Mz4	Comb.
cm		kg	kg	kg	kg*m	kg*m	kg*m			
125	1	-25	39	1026	2	1386	712	--	--	6

X	cls	Nr	Vyr	Vzr	Mry	Mrz	MTrd	SF_V.	SF_M	SF_Mt	SF
cm		kg	kg	kg	kg*m	kg*m	kg*m				
125	1	238441	106303	42161	21670	10317	652	41	7.5	>100	7.5

Asta: 142 [1063,1106] Sez. G: HE 220 B L=125.0 cm Crit.: Acciaio_Flessione $\gamma M=1.05$ fyk/ $\gamma M=2619$ kg/cm² ft=4300 kg/cm² :**Verificato**

X	cls	N	TY	TZ	MT	MY	MZ	My4	Mz4	Comb.
cm		kg	kg	kg	kg*m	kg*m	kg*m			
125	1	-6	-426	198	2	175	762	--	--	6

X	cls	Nr	Vyr	Vzr	Mry	Mrz	MTrd	SF_V.	SF_M	SF_Mt	SF
cm		kg	kg	kg	kg*m	kg*m	kg*m				
125	1	238441	106297	42158	21670	10317	652	>100	12	>100	12

Asta: 143 [1107,1011] Sez. G: HE 220 B L=125.0 cm Crit.: Acciaio_Flessione $\gamma M=1.05$ fyk/ $\gamma M=2619$ kg/cm² ft=4300 kg/cm² :**Verificato**

X	cls	N	TY	TZ	MT	MY	MZ	My4	Mz4	Comb.
cm		kg	kg	kg	kg*m	kg*m	kg*m			
125	1	202	-50	1979	-0	3691	815	--	--	6

X	cls	Nr	Vyr	Vzr	Mry	Mrz	MTrd	SF_V.	SF_M	SF_Mt	SF
cm		kg	kg	kg	kg*m	kg*m	kg*m				
125	1	238441	106433	42212	21670	10317	652	21	4.0	>100	4.0

Asta: 143 [1064,1107] Sez. G: HE 220 B L=125.0 cm Crit.: Acciaio_Flessione $\gamma M=1.05$ fyk/ $\gamma M=2619$ kg/cm² ft=4300 kg/cm² :**Verificato**

X	cls	N	TY	TZ	MT	MY	MZ	My4	Mz4	Comb.
cm		kg	kg	kg	kg*m	kg*m	kg*m			
125	1	-71	-443	1111	-0	1290	752	--	--	6

X	cls	Nr	Vyr	Vzr	Mry	Mrz	MTrd	SF_V.	SF_M	SF_Mt	SF
cm		kg	kg	kg	kg*m	kg*m	kg*m				
125	1	238441	106435	42213	21670	10317	652	38	7.5	>100	7.5

Asta: 144 [1001,1151] Sez. G: HE 220 B L=150.0 cm Crit.: Acciaio_Flessione $\gamma M=1.05$ fyk/ $\gamma M=2619$ kg/cm² ft=4300 kg/cm² :**Verificato**

X	cls	N	TY	TZ	MT	MY	MZ	My4	Mz4	Comb.
cm		kg	kg	kg	kg*m	kg*m	kg*m			
0	1	-283	174	-1703	1	3083	462	--	--	(20+21)-VIII-4

X	cls	Nr	Vyr	Vzr	Mry	Mrz	MTrd	SF_V.	SF_M	SF_Mt	SF
cm		kg	kg	kg	kg*m	kg*m	kg*m				
0	1	238441	106407	42202	21670	10317	652	25	5.3	>100	5.3

Asta: 144 [1151,1194] Sez. G: HE 220 B L=150.0 cm Crit.: Acciaio_Flessione $\gamma M=1.05$ fyk/ $\gamma M=2619$ kg/cm² ft=4300 kg/cm² :**Verificato**

X	cls	N	TY	TZ	MT	MY	MZ	My4	Mz4	Comb.
cm		kg	kg	kg	kg*m	kg*m	kg*m			
150	1	924	-47	-582	1	-1610	769	--	--	12

X	cls	Nr	Vyr	Vzr	Mry	Mrz	MTrd	SF_V.	SF_M	SF_Mt	SF
cm		kg	kg	kg	kg*m	kg*m	kg*m				
150	1	238441	106403	42200	21670	10317	652	73	6.5	>100	6.5

Asta: 144 [1194,1012] Sez. G: HE 220 B L=150.0 cm Crit.: Acciaio_Flessione $\gamma M=1.05$ fyk/ $\gamma M=2619$ kg/cm² ft=4300 kg/cm² :**Verificato**

X	cls	N	TY	TZ	MT	MY	MZ	My4	Mz4	Comb.
cm		kg	kg	kg	kg*m	kg*m	kg*m			
150	1	1593	151	-1018	1	-3007	150	--	--	(20+21)-VIII-8

X	cls	Nr	Vyr	Vzr	Mry	Mrz	MTrd	SF_V.	SF_M	SF_Mt	SF
cm		kg	kg	kg	kg*m	kg*m	kg*m				
150	1	238441	106411	42204	21670	10317	652	41	6.3	>100	6.3

Asta: 145 [1195,1238] Sez. G: HE 220 B L=150.0 cm Crit.: Acciaio_Flessione $\gamma M=1.05$ fyk/ $\gamma M=2619$ kg/cm² ft=4300 kg/cm² :**Verificato**

X	cls	N	TY	TZ	MT	MY	MZ	My4	Mz4	Comb.
cm		kg	kg	kg	kg*m	kg*m	kg*m			
150	1	45	15	1668	2	4142	720	--	--	6

X	cls	Nr	Vyr	Vzr	Mry	Mrz	MTrd	SF_V.	SF_M	SF_Mt	SF
cm		kg	kg	kg	kg*m	kg*m	kg*m				
150	1	238441	106319	42167	21670	10317	652	25	3.8	>100	3.8

Asta: 145 [1152,1195] Sez. G: HE 220 B L=150.0 cm Crit.: Acciaio_Flessione $\gamma M=1.05$ fyk/ $\gamma M=2619$ kg/cm² ft=4300 kg/cm² :**Verificato**

X	cls	N	TY	TZ	MT	MY	MZ	My4	Mz4	Comb.
cm		kg	kg	kg	kg*m	kg*m	kg*m			
150	1	55	-12	678	2	1745	742	--	--	6

X	cls	Nr	Vyr	Vzr	Mry	Mrz	MTrd	SF_V.	SF_M	SF_Mt	SF
cm		kg	kg	kg	kg*m	kg*m	kg*m				

X	cls	Nr	Vyr	Vzr	Mry	Mrz	MTrd	SF_V.	SF_M	SF_Mt	SF
150	1	238441	106327	42170	21670	10317	652	62	6.6	>100	6.6

Asta: 145 [1111,1152] Sez. G: HE 220 B L=150.0 cm Crit.: Acciaio_Flessione $\gamma_M=1.05$ fyk/ $\gamma_M=2619$ kg/cm² ft=4300 kg/cm² :**Verificato**

X	cls	N	TY	TZ	MT	MY	MZ	My4	Mz4	Comb.
cm		kg	kg	kg	kg*m	kg*m	kg*m			
0	1	74	9	-451	2	1404	736	--	--	6

X	cls	Nr	Vyr	Vzr	Mry	Mrz	MTrd	SF_V.	SF_M	SF_Mt	SF
cm		kg	kg	kg	kg*m	kg*m	kg*m				
0	1	238441	106336	42174	21670	10317	652	94	7.3	>100	7.3

Asta: 146 [1196,1239] Sez. G: HE 220 B L=150.0 cm Crit.: Acciaio_Flessione $\gamma_M=1.05$ fyk/ $\gamma_M=2619$ kg/cm² ft=4300 kg/cm² :**Verificato**

X	cls	N	TY	TZ	MT	MY	MZ	My4	Mz4	Comb.
cm		kg	kg	kg	kg*m	kg*m	kg*m			
150	1	6	20	1713	-0	5256	714	--	--	6

X	cls	Nr	Vyr	Vzr	Mry	Mrz	MTrd	SF_V.	SF_M	SF_Mt	SF
cm		kg	kg	kg	kg*m	kg*m	kg*m				
150	1	238441	106433	42212	21670	10317	652	25	3.2	>100	3.2

Asta: 146 [1153,1196] Sez. G: HE 220 B L=150.0 cm Crit.: Acciaio_Flessione $\gamma_M=1.05$ fyk/ $\gamma_M=2619$ kg/cm² ft=4300 kg/cm² :**Verificato**

X	cls	N	TY	TZ	MT	MY	MZ	My4	Mz4	Comb.
cm		kg	kg	kg	kg*m	kg*m	kg*m			
150	1	-0	-17	724	-0	2790	744	--	--	6

X	cls	Nr	Vyr	Vzr	Mry	Mrz	MTrd	SF_V.	SF_M	SF_Mt	SF
cm		kg	kg	kg	kg*m	kg*m	kg*m				
150	1	238441	106432	42212	21670	10317	652	58	5.0	>100	5.0

Asta: 146 [1112,1153] Sez. G: HE 220 B L=150.0 cm Crit.: Acciaio_Flessione $\gamma_M=1.05$ fyk/ $\gamma_M=2619$ kg/cm² ft=4300 kg/cm² :**Verificato**

X	cls	N	TY	TZ	MT	MY	MZ	My4	Mz4	Comb.
cm		kg	kg	kg	kg*m	kg*m	kg*m			
0	1	-10	25	-405	-0	2311	756	--	--	6

X	cls	Nr	Vyr	Vzr	Mry	Mrz	MTrd	SF_V.	SF_M	SF_Mt	SF
cm		kg	kg	kg	kg*m	kg*m	kg*m				
0	1	238441	106431	42212	21670	10317	652	>100	5.6	>100	5.6

Asta: 147 [1197,1240] Sez. G: HE 220 B L=150.0 cm Crit.: Acciaio_Flessione $\gamma_M=1.05$ fyk/ $\gamma_M=2619$ kg/cm² ft=4300 kg/cm² :**Verificato**

X	cls	N	TY	TZ	MT	MY	MZ	My4	Mz4	Comb.
cm		kg	kg	kg	kg*m	kg*m	kg*m			
150	1	34	14	1643	-2	4857	720	--	--	6

X	cls	Nr	Vyr	Vzr	Mry	Mrz	MTrd	SF_V.	SF_M	SF_Mt	SF
cm		kg	kg	kg	kg*m	kg*m	kg*m				
150	1	238441	106314	42165	21670	10317	652	26	3.4	>100	3.4

Asta: 147 [1154,1197] Sez. G: HE 220 B L=150.0 cm Crit.: Acciaio_Flessione $\gamma_M=1.05$ fyk/ $\gamma_M=2619$ kg/cm² ft=4300 kg/cm² :**Verificato**

X	cls	N	TY	TZ	MT	MY	MZ	My4	Mz4	Comb.
cm		kg	kg	kg	kg*m	kg*m	kg*m			
150	1	34	-13	653	-2	2497	742	--	--	6

X	cls	Nr	Vyr	Vzr	Mry	Mrz	MTrd	SF_V.	SF_M	SF_Mt	SF
cm		kg	kg	kg	kg*m	kg*m	kg*m				
150	1	238441	106322	42168	21670	10317	652	65	5.3	>100	5.3

Asta: 147 [1113,1154] Sez. G: HE 220 B L=150.0 cm Crit.: Acciaio_Flessione $\gamma_M=1.05$ fyk/ $\gamma_M=2619$ kg/cm² ft=4300 kg/cm² :**Verificato**

X	cls	N	TY	TZ	MT	MY	MZ	My4	Mz4	Comb.
cm		kg	kg	kg	kg*m	kg*m	kg*m			
0	1	37	19	-476	-2	2231	751	--	--	6

X	cls	Nr	Vyr	Vzr	Mry	Mrz	MTrd	SF_V.	SF_M	SF_Mt	SF
cm		kg	kg	kg	kg*m	kg*m	kg*m				
0	1	238441	106331	42172	21670	10317	652	89	5.7	>100	5.7

Asta: 148 [1198,1013] Sez. G: HE 220 B L=150.0 cm Crit.: Acciaio_Flessione $\gamma M=1.05$ fyk/ $\gamma M=2619$ kg/cmq ft=4300 kg/cmq :**Verificato**

X	cls	N	TY	TZ	MT	MY	MZ	My4	Mz4	Comb.
cm		kg	kg	kg	kg*m	kg*m	kg*m			
150	1	820	14	-328	-0	-2773	720	--	--	12

X	cls	Nr	Vyr	Vzr	Mry	Mrz	MTrd	SF_V.	SF_M	SF_Mt	SF
cm		kg	kg	kg	kg*m	kg*m	kg*m				
150	1	238441	106446	42218	21670	10317	652	>100	5.0	>100	5.0

Asta: 148 [1155,1198] Sez. G: HE 220 B L=150.0 cm Crit.: Acciaio_Flessione $\gamma M=1.05$ fyk/ $\gamma M=2619$ kg/cmq ft=4300 kg/cmq :**Verificato**

X	cls	N	TY	TZ	MT	MY	MZ	My4	Mz4	Comb.
cm		kg	kg	kg	kg*m	kg*m	kg*m			
150	1	796	-13	-799	-0	-2177	742	--	--	12

X	cls	Nr	Vyr	Vzr	Mry	Mrz	MTrd	SF_V.	SF_M	SF_Mt	SF
cm		kg	kg	kg	kg*m	kg*m	kg*m				
150	1	238441	106447	42218	21670	10317	652	53	5.7	>100	5.7

Asta: 148 [1002,1155] Sez. G: HE 220 B L=150.0 cm Crit.: Acciaio_Flessione $\gamma M=1.05$ fyk/ $\gamma M=2619$ kg/cmq ft=4300 kg/cmq :**Verificato**

X	cls	N	TY	TZ	MT	MY	MZ	My4	Mz4	Comb.
cm		kg	kg	kg	kg*m	kg*m	kg*m			
0	1	-135	163	-1819	-0	3184	443	--	--	(20+21)-VIII-4

X	cls	Nr	Vyr	Vzr	Mry	Mrz	MTrd	SF_V.	SF_M	SF_Mt	SF
cm		kg	kg	kg	kg*m	kg*m	kg*m				
0	1	238441	106449	42219	21670	10317	652	23	5.3	>100	5.3

Asta: 149 [1199,1242] Sez. G: HE 220 B L=150.0 cm Crit.: Acciaio_Flessione $\gamma M=1.05$ fyk/ $\gamma M=2619$ kg/cmq ft=4300 kg/cmq :**Verificato**

X	cls	N	TY	TZ	MT	MY	MZ	My4	Mz4	Comb.
cm		kg	kg	kg	kg*m	kg*m	kg*m			
150	1	32	2	1681	2	5026	732	--	--	6

X	cls	Nr	Vyr	Vzr	Mry	Mrz	MTrd	SF_V.	SF_M	SF_Mt	SF
cm		kg	kg	kg	kg*m	kg*m	kg*m				
150	1	238441	106346	42178	21670	10317	652	25	3.3	>100	3.3

Asta: 149 [1156,1199] Sez. G: HE 220 B L=150.0 cm Crit.: Acciaio_Flessione $\gamma M=1.05$ fyk/ $\gamma M=2619$ kg/cmq ft=4300 kg/cmq :**Verificato**

X	cls	N	TY	TZ	MT	MY	MZ	My4	Mz4	Comb.
cm		kg	kg	kg	kg*m	kg*m	kg*m			
150	1	31	-1	691	1	2609	734	--	--	6

X	cls	Nr	Vyr	Vzr	Mry	Mrz	MTrd	SF_V.	SF_M	SF_Mt	SF
cm		kg	kg	kg	kg*m	kg*m	kg*m				
150	1	238441	106355	42181	21670	10317	652	61	5.2	>100	5.2

Asta: 149 [1115,1156] Sez. G: HE 220 B L=150.0 cm Crit.: Acciaio_Flessione $\gamma M=1.05$ fyk/ $\gamma M=2619$ kg/cmq ft=4300 kg/cmq :**Verificato**

X	cls	N	TY	TZ	MT	MY	MZ	My4	Mz4	Comb.
cm		kg	kg	kg	kg*m	kg*m	kg*m			
0	1	35	-4	-438	1	2229	726	--	--	6

X	cls	Nr	Vyr	Vzr	Mry	Mrz	MTrd	SF_V.	SF_M	SF_Mt	SF
cm		kg	kg	kg	kg*m	kg*m	kg*m				

X	cls	Nr	Vyr	Vzr	Mry	Mrz	MTrd	SF_V.	SF_M	SF_Mt	SF
0	1	238441	106364	42185	21670	10317	652	96	5.8	>100	5.8

Asta: 150 [1200,1243] Sez. G: HE 220 B L=150.0 cm Crit.: Acciaio_Flessione $\gamma_M=1.05$ $f_yk/\gamma_M=2619$ kg/cm² $f_t=4300$ kg/cm² :**Verificato**

X	cls	N	TY	TZ	MT	MY	MZ	My4	Mz4	Comb.
cm		kg	kg	kg	kg*m	kg*m	kg*m			
150	1	0	-2	1721	0	5243	735	--	--	6

X	cls	Nr	Vyr	Vzr	Mry	Mrz	MTrd	SF_V.	SF_M	SF_Mt	SF
cm		kg	kg	kg	kg*m	kg*m	kg*m				
150	1	238441	106448	42218	21670	10317	652	25	3.2	>100	3.2

Asta: 150 [1157,1200] Sez. G: HE 220 B L=150.0 cm Crit.: Acciaio_Flessione $\gamma_M=1.05$ $f_yk/\gamma_M=2619$ kg/cm² $f_t=4300$ kg/cm² :**Verificato**

X	cls	N	TY	TZ	MT	MY	MZ	My4	Mz4	Comb.
cm		kg	kg	kg	kg*m	kg*m	kg*m			
150	1	-6	1	732	0	2765	732	--	--	6

X	cls	Nr	Vyr	Vzr	Mry	Mrz	MTrd	SF_V.	SF_M	SF_Mt	SF
cm		kg	kg	kg	kg*m	kg*m	kg*m				
150	1	238441	106449	42218	21670	10317	652	58	5.0	>100	5.0

Asta: 150 [1116,1157] Sez. G: HE 220 B L=150.0 cm Crit.: Acciaio_Flessione $\gamma_M=1.05$ $f_yk/\gamma_M=2619$ kg/cm² $f_t=4300$ kg/cm² :**Verificato**

X	cls	N	TY	TZ	MT	MY	MZ	My4	Mz4	Comb.
cm		kg	kg	kg	kg*m	kg*m	kg*m			
0	1	-17	1	-397	0	2264	735	--	--	6

X	cls	Nr	Vyr	Vzr	Mry	Mrz	MTrd	SF_V.	SF_M	SF_Mt	SF
cm		kg	kg	kg	kg*m	kg*m	kg*m				
0	1	238441	106449	42219	21670	10317	652	>100	5.7	>100	5.7

Asta: 151 [1201,1244] Sez. G: HE 220 B L=150.0 cm Crit.: Acciaio_Flessione $\gamma_M=1.05$ $f_yk/\gamma_M=2619$ kg/cm² $f_t=4300$ kg/cm² :**Verificato**

X	cls	N	TY	TZ	MT	MY	MZ	My4	Mz4	Comb.
cm		kg	kg	kg	kg*m	kg*m	kg*m			
150	1	32	-8	1719	-2	5196	741	--	--	6

X	cls	Nr	Vyr	Vzr	Mry	Mrz	MTrd	SF_V.	SF_M	SF_Mt	SF
cm		kg	kg	kg	kg*m	kg*m	kg*m				
150	1	238441	106347	42178	21670	10317	652	25	3.2	>100	3.2

Asta: 151 [1158,1201] Sez. G: HE 220 B L=150.0 cm Crit.: Acciaio_Flessione $\gamma_M=1.05$ $f_yk/\gamma_M=2619$ kg/cm² $f_t=4300$ kg/cm² :**Verificato**

X	cls	N	TY	TZ	MT	MY	MZ	My4	Mz4	Comb.
cm		kg	kg	kg	kg*m	kg*m	kg*m			
150	1	33	5	729	-1	2722	729	--	--	6

X	cls	Nr	Vyr	Vzr	Mry	Mrz	MTrd	SF_V.	SF_M	SF_Mt	SF
cm		kg	kg	kg	kg*m	kg*m	kg*m				
150	1	238441	106356	42182	21670	10317	652	58	5.1	>100	5.1

Asta: 151 [1117,1158] Sez. G: HE 220 B L=150.0 cm Crit.: Acciaio_Flessione $\gamma_M=1.05$ $f_yk/\gamma_M=2619$ kg/cm² $f_t=4300$ kg/cm² :**Verificato**

X	cls	N	TY	TZ	MT	MY	MZ	My4	Mz4	Comb.
cm		kg	kg	kg	kg*m	kg*m	kg*m			
0	1	37	-5	-400	-1	2229	729	--	--	6

X	cls	Nr	Vyr	Vzr	Mry	Mrz	MTrd	SF_V.	SF_M	SF_Mt	SF
cm		kg	kg	kg	kg*m	kg*m	kg*m				
0	1	238441	106364	42185	21670	10317	652	>100	5.8	>100	5.8

Asta: 152 [1202,1014] Sez. G: HE 220 B L=150.0 cm Crit.: Acciaio_Flessione $\gamma_M=1.05$ $f_yk/\gamma_M=2619$ kg/cm² $f_t=4300$ kg/cm² :**Verificato**

X	cls	N	TY	TZ	MT	MY	MZ	My4	Mz4	Comb.
cm		kg	kg	kg	kg*m	kg*m	kg*m			
150	1	870	-9	-289	0	-2646	741	--	--	12

X	cls	Nr	Vyr	Vzr	Mry	Mrz	MTrd	SF_V.	SF_M	SF_Mt	SF
cm		kg	kg	kg	kg*m	kg*m	kg*m				
150	1	238441	106451	42219	21670	10317	652	>100	5.1	>100	5.1

Asta: 152 [1159,1202] Sez. G: HE 220 B L=150.0 cm Crit.: Acciaio_Flessione $\gamma M=1.05$ fyk/ $\gamma M=2619$ kg/cmq ft=4300 kg/cmq :**Verificato**

X	cls	N	TY	TZ	MT	MY	MZ	My4	Mz4	Comb.
cm		kg	kg	kg	kg*m	kg*m	kg*m			
150	1	837	6	-760	0	-2108	728	--	--	12

X	cls	Nr	Vyr	Vzr	Mry	Mrz	MTrd	SF_V.	SF_M	SF_Mt	SF
cm		kg	kg	kg	kg*m	kg*m	kg*m				
150	1	238441	106450	42219	21670	10317	652	56	5.8	>100	5.8

Asta: 152 [1003,1159] Sez. G: HE 220 B L=150.0 cm Crit.: Acciaio_Flessione $\gamma M=1.05$ fyk/ $\gamma M=2619$ kg/cmq ft=4300 kg/cmq :**Verificato**

X	cls	N	TY	TZ	MT	MY	MZ	My4	Mz4	Comb.
cm		kg	kg	kg	kg*m	kg*m	kg*m			
0	1	16	172	-1680	-0	2909	452	--	--	(20+21)-VIII-8

X	cls	Nr	Vyr	Vzr	Mry	Mrz	MTrd	SF_V.	SF_M	SF_Mt	SF
cm		kg	kg	kg	kg*m	kg*m	kg*m				
0	1	238441	106451	42219	21670	10317	652	25	5.6	>100	5.6

Asta: 153 [1203,1245] Sez. G: HE 220 B L=150.0 cm Crit.: Acciaio_Flessione $\gamma M=1.05$ fyk/ $\gamma M=2619$ kg/cmq ft=4300 kg/cmq :**Verificato**

X	cls	N	TY	TZ	MT	MY	MZ	My4	Mz4	Comb.
cm		kg	kg	kg	kg*m	kg*m	kg*m			
150	1	32	-17	1719	2	5196	748	--	--	6

X	cls	Nr	Vyr	Vzr	Mry	Mrz	MTrd	SF_V.	SF_M	SF_Mt	SF
cm		kg	kg	kg	kg*m	kg*m	kg*m				
150	1	238441	106339	42175	21670	10317	652	25	3.2	>100	3.2

Asta: 153 [1160,1203] Sez. G: HE 220 B L=150.0 cm Crit.: Acciaio_Flessione $\gamma M=1.05$ fyk/ $\gamma M=2619$ kg/cmq ft=4300 kg/cmq :**Verificato**

X	cls	N	TY	TZ	MT	MY	MZ	My4	Mz4	Comb.
cm		kg	kg	kg	kg*m	kg*m	kg*m			
150	1	32	15	729	2	2722	723	--	--	6

X	cls	Nr	Vyr	Vzr	Mry	Mrz	MTrd	SF_V.	SF_M	SF_Mt	SF
cm		kg	kg	kg	kg*m	kg*m	kg*m				
150	1	238441	106347	42178	21670	10317	652	58	5.1	>100	5.1

Asta: 153 [1118,1160] Sez. G: HE 220 B L=150.0 cm Crit.: Acciaio_Flessione $\gamma M=1.05$ fyk/ $\gamma M=2619$ kg/cmq ft=4300 kg/cmq :**Verificato**

X	cls	N	TY	TZ	MT	MY	MZ	My4	Mz4	Comb.
cm		kg	kg	kg	kg*m	kg*m	kg*m			
0	1	36	-25	-400	1	2229	707	--	--	6

X	cls	Nr	Vyr	Vzr	Mry	Mrz	MTrd	SF_V.	SF_M	SF_Mt	SF
cm		kg	kg	kg	kg*m	kg*m	kg*m				
0	1	238441	106356	42182	21670	10317	652	>100	5.8	>100	5.8

Asta: 154 [1204,1246] Sez. G: HE 220 B L=150.0 cm Crit.: Acciaio_Flessione $\gamma M=1.05$ fyk/ $\gamma M=2619$ kg/cmq ft=4300 kg/cmq :**Verificato**

X	cls	N	TY	TZ	MT	MY	MZ	My4	Mz4	Comb.
cm		kg	kg	kg	kg*m	kg*m	kg*m			
150	1	-0	-21	1721	-0	5244	752	--	--	6

X	cls	Nr	Vyr	Vzr	Mry	Mrz	MTrd	SF_V.	SF_M	SF_Mt	SF
cm		kg	kg	kg	kg*m	kg*m	kg*m				

X	cls	Nr	Vyr	Vzr	Mry	Mrz	MTrd	SF_V.	SF_M	SF_Mt	SF
150	1	238441	106452	42220	21670	10317	652	25	3.2	>100	3.2

Asta: 154 [1161,1204] Sez. G: HE 220 B L=150.0 cm Crit.: Acciaio_Flessione $\gamma M=1.05$ fyk/ $\gamma M=2619$ kg/cm² ft=4300 kg/cm² :**Verificato**

X	cls	N	TY	TZ	MT	MY	MZ	My4	Mz4	Comb.
cm		kg	kg	kg	kg*m	kg*m	kg*m			
150	1	-6	16	732	-0	2766	721	--	--	6

X	cls	Nr	Vyr	Vzr	Mry	Mrz	MTrd	SF_V.	SF_M	SF_Mt	SF
cm		kg	kg	kg	kg*m	kg*m	kg*m				
150	1	238441	106452	42220	21670	10317	652	58	5.1	>100	5.1

Asta: 154 [1119,1161] Sez. G: HE 220 B L=150.0 cm Crit.: Acciaio_Flessione $\gamma M=1.05$ fyk/ $\gamma M=2619$ kg/cm² ft=4300 kg/cm² :**Verificato**

X	cls	N	TY	TZ	MT	MY	MZ	My4	Mz4	Comb.
cm		kg	kg	kg	kg*m	kg*m	kg*m			
0	1	-18	-19	-397	-0	2265	716	--	--	6

X	cls	Nr	Vyr	Vzr	Mry	Mrz	MTrd	SF_V.	SF_M	SF_Mt	SF
cm		kg	kg	kg	kg*m	kg*m	kg*m				
0	1	238441	106452	42220	21670	10317	652	>100	5.7	>100	5.7

Asta: 155 [1205,1247] Sez. G: HE 220 B L=150.0 cm Crit.: Acciaio_Flessione $\gamma M=1.05$ fyk/ $\gamma M=2619$ kg/cm² ft=4300 kg/cm² :**Verificato**

X	cls	N	TY	TZ	MT	MY	MZ	My4	Mz4	Comb.
cm		kg	kg	kg	kg*m	kg*m	kg*m			
150	1	31	-28	1719	-2	5196	758	--	--	6

X	cls	Nr	Vyr	Vzr	Mry	Mrz	MTrd	SF_V.	SF_M	SF_Mt	SF
cm		kg	kg	kg	kg*m	kg*m	kg*m				
150	1	238441	106338	42175	21670	10317	652	25	3.2	>100	3.2

Asta: 155 [1162,1205] Sez. G: HE 220 B L=150.0 cm Crit.: Acciaio_Flessione $\gamma M=1.05$ fyk/ $\gamma M=2619$ kg/cm² ft=4300 kg/cm² :**Verificato**

X	cls	N	TY	TZ	MT	MY	MZ	My4	Mz4	Comb.
cm		kg	kg	kg	kg*m	kg*m	kg*m			
150	1	32	21	729	-2	2722	717	--	--	6

X	cls	Nr	Vyr	Vzr	Mry	Mrz	MTrd	SF_V.	SF_M	SF_Mt	SF
cm		kg	kg	kg	kg*m	kg*m	kg*m				
150	1	238441	106347	42178	21670	10317	652	58	5.1	>100	5.1

Asta: 155 [1120,1162] Sez. G: HE 220 B L=150.0 cm Crit.: Acciaio_Flessione $\gamma M=1.05$ fyk/ $\gamma M=2619$ kg/cm² ft=4300 kg/cm² :**Verificato**

X	cls	N	TY	TZ	MT	MY	MZ	My4	Mz4	Comb.
cm		kg	kg	kg	kg*m	kg*m	kg*m			
0	1	36	-26	-400	-1	2228	710	--	--	6

X	cls	Nr	Vyr	Vzr	Mry	Mrz	MTrd	SF_V.	SF_M	SF_Mt	SF
cm		kg	kg	kg	kg*m	kg*m	kg*m				
0	1	238441	106356	42182	21670	10317	652	>100	5.8	>100	5.8

Asta: 156 [1206,1015] Sez. G: HE 220 B L=150.0 cm Crit.: Acciaio_Flessione $\gamma M=1.05$ fyk/ $\gamma M=2619$ kg/cm² ft=4300 kg/cm² :**Verificato**

X	cls	N	TY	TZ	MT	MY	MZ	My4	Mz4	Comb.
cm		kg	kg	kg	kg*m	kg*m	kg*m			
150	1	860	-35	-269	-0	-2601	764	--	--	12

X	cls	Nr	Vyr	Vzr	Mry	Mrz	MTrd	SF_V.	SF_M	SF_Mt	SF
cm		kg	kg	kg	kg*m	kg*m	kg*m				
150	1	238441	106451	42219	21670	10317	652	>100	5.1	>100	5.1

Asta: 156 [1163,1206] Sez. G: HE 220 B L=150.0 cm Crit.: Acciaio_Flessione $\gamma M=1.05$ fyk/ $\gamma M=2619$ kg/cm² ft=4300 kg/cm² :**Verificato**

X	cls	N	TY	TZ	MT	MY	MZ	My4	Mz4	Comb.
cm		kg	kg	kg	kg*m	kg*m	kg*m			
150	1	836	27	-740	-0	-2093	713	--	--	12

X	cls	Nr	Vyr	Vzr	Mry	Mrz	MTrd	SF_V.	SF_M	SF_Mt	SF
cm		kg	kg	kg	kg*m	kg*m	kg*m				
150	1	238441	106452	42220	21670	10317	652	57	5.9	>100	5.9

Asta: 156 [1004,1163] Sez. G: HE 220 B L=150.0 cm Crit.: Acciaio_Flessione $\gamma M=1.05$ fyk/ $\gamma M=2619$ kg/cm² ft=4300 kg/cm² :**Verificato**

X	cls	N	TY	TZ	MT	MY	MZ	My4	Mz4	Comb.
cm		kg	kg	kg	kg*m	kg*m	kg*m			
0	1	71	131	-1567	-0	2617	415	--	--	(20+21)-VIII-8

X	cls	Nr	Vyr	Vzr	Mry	Mrz	MTrd	SF_V.	SF_M	SF_Mt	SF
cm		kg	kg	kg	kg*m	kg*m	kg*m				
0	1	238441	106452	42220	21670	10317	652	27	6.2	>100	6.2

Asta: 157 [1207,1249] Sez. G: HE 220 B L=150.0 cm Crit.: Acciaio_Flessione $\gamma M=1.05$ fyk/ $\gamma M=2619$ kg/cm² ft=4300 kg/cm² :**Verificato**

X	cls	N	TY	TZ	MT	MY	MZ	My4	Mz4	Comb.
cm		kg	kg	kg	kg*m	kg*m	kg*m			
150	1	31	-45	1719	2	5196	774	--	--	6

X	cls	Nr	Vyr	Vzr	Mry	Mrz	MTrd	SF_V.	SF_M	SF_Mt	SF
cm		kg	kg	kg	kg*m	kg*m	kg*m				
150	1	238441	106340	42175	21670	10317	652	25	3.2	>100	3.2

Asta: 157 [1164,1207] Sez. G: HE 220 B L=150.0 cm Crit.: Acciaio_Flessione $\gamma M=1.05$ fyk/ $\gamma M=2619$ kg/cm² ft=4300 kg/cm² :**Verificato**

X	cls	N	TY	TZ	MT	MY	MZ	My4	Mz4	Comb.
cm		kg	kg	kg	kg*m	kg*m	kg*m			
150	1	30	37	729	2	2722	706	--	--	6

X	cls	Nr	Vyr	Vzr	Mry	Mrz	MTrd	SF_V.	SF_M	SF_Mt	SF
cm		kg	kg	kg	kg*m	kg*m	kg*m				
150	1	238441	106348	42179	21670	10317	652	58	5.1	>100	5.1

Asta: 157 [1122,1164] Sez. G: HE 220 B L=150.0 cm Crit.: Acciaio_Flessione $\gamma M=1.05$ fyk/ $\gamma M=2619$ kg/cm² ft=4300 kg/cm² :**Verificato**

X	cls	N	TY	TZ	MT	MY	MZ	My4	Mz4	Comb.
cm		kg	kg	kg	kg*m	kg*m	kg*m			
0	1	34	-55	-400	1	2228	680	--	--	6

X	cls	Nr	Vyr	Vzr	Mry	Mrz	MTrd	SF_V.	SF_M	SF_Mt	SF
cm		kg	kg	kg	kg*m	kg*m	kg*m				
0	1	238441	106357	42182	21670	10317	652	>100	5.9	>100	5.9

Asta: 158 [1208,1250] Sez. G: HE 220 B L=150.0 cm Crit.: Acciaio_Flessione $\gamma M=1.05$ fyk/ $\gamma M=2619$ kg/cm² ft=4300 kg/cm² :**Verificato**

X	cls	N	TY	TZ	MT	MY	MZ	My4	Mz4	Comb.
cm		kg	kg	kg	kg*m	kg*m	kg*m			
150	1	-1	-51	1721	0	5244	779	--	--	6

X	cls	Nr	Vyr	Vzr	Mry	Mrz	MTrd	SF_V.	SF_M	SF_Mt	SF
cm		kg	kg	kg	kg*m	kg*m	kg*m				
150	1	238441	106452	42220	21670	10317	652	25	3.1	>100	3.1

Asta: 158 [1165,1208] Sez. G: HE 220 B L=150.0 cm Crit.: Acciaio_Flessione $\gamma M=1.05$ fyk/ $\gamma M=2619$ kg/cm² ft=4300 kg/cm² :**Verificato**

X	cls	N	TY	TZ	MT	MY	MZ	My4	Mz4	Comb.
cm		kg	kg	kg	kg*m	kg*m	kg*m			
150	1	-8	41	732	0	2766	703	--	--	6

X	cls	Nr	Vyr	Vzr	Mry	Mrz	MTrd	SF_V.	SF_M	SF_Mt	SF
cm		kg	kg	kg	kg*m	kg*m	kg*m				

X	cls	Nr	Vyr	Vzr	Mry	Mrz	MTrd	SF_V.	SF_M	SF_Mt	SF
150	1	238441	106452	42220	21670	10317	652	58	5.1	>100	5.1

Asta: 158 [1123,1165] Sez. G: HE 220 B L=150.0 cm Crit.: Acciaio_Flessione $\gamma_M=1.05$ $f_yk/\gamma_M=2619$ kg/cm² $f_t=4300$ kg/cm² :**Verificato**

X	cls	N	TY	TZ	MT	MY	MZ	My4	Mz4	Comb.
cm		kg	kg	kg	kg*m	kg*m	kg*m			
0	1	-19	-52	-397	0	2265	686	--	--	6

X	cls	Nr	Vyr	Vzr	Mry	Mrz	MTrd	SF_V.	SF_M	SF_Mt	SF
cm		kg	kg	kg	kg*m	kg*m	kg*m				
0	1	238441	106452	42220	21670	10317	652	>100	5.8	>100	5.8

Asta: 159 [1209,1251] Sez. G: HE 220 B L=150.0 cm Crit.: Acciaio_Flessione $\gamma_M=1.05$ $f_yk/\gamma_M=2619$ kg/cm² $f_t=4300$ kg/cm² :**Verificato**

X	cls	N	TY	TZ	MT	MY	MZ	My4	Mz4	Comb.
cm		kg	kg	kg	kg*m	kg*m	kg*m			
150	1	29	-61	1719	-2	5196	788	--	--	6

X	cls	Nr	Vyr	Vzr	Mry	Mrz	MTrd	SF_V.	SF_M	SF_Mt	SF
cm		kg	kg	kg	kg*m	kg*m	kg*m				
150	1	238441	106339	42175	21670	10317	652	25	3.2	>100	3.2

Asta: 159 [1166,1209] Sez. G: HE 220 B L=150.0 cm Crit.: Acciaio_Flessione $\gamma_M=1.05$ $f_yk/\gamma_M=2619$ kg/cm² $f_t=4300$ kg/cm² :**Verificato**

X	cls	N	TY	TZ	MT	MY	MZ	My4	Mz4	Comb.
cm		kg	kg	kg	kg*m	kg*m	kg*m			
150	1	29	48	729	-2	2722	698	--	--	6

X	cls	Nr	Vyr	Vzr	Mry	Mrz	MTrd	SF_V.	SF_M	SF_Mt	SF
cm		kg	kg	kg	kg*m	kg*m	kg*m				
150	1	238441	106349	42179	21670	10317	652	58	5.2	>100	5.2

Asta: 159 [1124,1166] Sez. G: HE 220 B L=150.0 cm Crit.: Acciaio_Flessione $\gamma_M=1.05$ $f_yk/\gamma_M=2619$ kg/cm² $f_t=4300$ kg/cm² :**Verificato**

X	cls	N	TY	TZ	MT	MY	MZ	My4	Mz4	Comb.
cm		kg	kg	kg	kg*m	kg*m	kg*m			
0	1	34	-60	-400	-1	2228	680	--	--	6

X	cls	Nr	Vyr	Vzr	Mry	Mrz	MTrd	SF_V.	SF_M	SF_Mt	SF
cm		kg	kg	kg	kg*m	kg*m	kg*m				
0	1	238441	106358	42182	21670	10317	652	>100	5.9	>100	5.9

Asta: 160 [1210,1016] Sez. G: HE 220 B L=150.0 cm Crit.: Acciaio_Flessione $\gamma_M=1.05$ $f_yk/\gamma_M=2619$ kg/cm² $f_t=4300$ kg/cm² :**Verificato**

X	cls	N	TY	TZ	MT	MY	MZ	My4	Mz4	Comb.
cm		kg	kg	kg	kg*m	kg*m	kg*m			
150	1	840	-78	-226	-0	-2504	804	--	--	12

X	cls	Nr	Vyr	Vzr	Mry	Mrz	MTrd	SF_V.	SF_M	SF_Mt	SF
cm		kg	kg	kg	kg*m	kg*m	kg*m				
150	1	238441	106450	42219	21670	10317	652	>100	5.1	>100	5.1

Asta: 160 [1167,1210] Sez. G: HE 220 B L=150.0 cm Crit.: Acciaio_Flessione $\gamma_M=1.05$ $f_yk/\gamma_M=2619$ kg/cm² $f_t=4300$ kg/cm² :**Verificato**

X	cls	N	TY	TZ	MT	MY	MZ	My4	Mz4	Comb.
cm		kg	kg	kg	kg*m	kg*m	kg*m			
150	1	834	61	-697	-0	-2061	688	--	--	12

X	cls	Nr	Vyr	Vzr	Mry	Mrz	MTrd	SF_V.	SF_M	SF_Mt	SF
cm		kg	kg	kg	kg*m	kg*m	kg*m				
150	1	238441	106451	42220	21670	10317	652	61	6.1	>100	6.1

Asta: 160 [1005,1167] Sez. G: HE 220 B L=150.0 cm Crit.: Acciaio_Flessione $\gamma_M=1.05$ $f_yk/\gamma_M=2619$ kg/cm² $f_t=4300$ kg/cm² :**Verificato**

X	cls	N	TY	TZ	MT	MY	MZ	My4	Mz4	Comb.
cm		kg	kg	kg	kg*m	kg*m	kg*m			
0	1	213	45	-1418	-0	2275	337	--	--	(20+21)-VIII-8

X	cls	Nr	Vyr	Vzr	Mry	Mrz	MTrd	SF_V.	SF_M	SF_Mt	SF
cm		kg	kg	kg	kg*m	kg*m	kg*m				
0	1	238441	106451	42219	21670	10317	652	30	7.2	>100	7.2

Asta: 161 [1211,1253] Sez. G: HE 220 B L=150.0 cm Crit.: Acciaio_Flessione $\gamma M=1.05$ fyk/ $\gamma M=2619$ kg/cm² ft=4300 kg/cm² :**Verificato**

X	cls	N	TY	TZ	MT	MY	MZ	My4	Mz4	Comb.
cm		kg	kg	kg	kg*m	kg*m	kg*m			
150	1	29	-97	1719	2	5196	822	--	--	6

X	cls	Nr	Vyr	Vzr	Mry	Mrz	MTrd	SF_V.	SF_M	SF_Mt	SF
cm		kg	kg	kg	kg*m	kg*m	kg*m				
150	1	238441	106342	42176	21670	10317	652	25	3.1	>100	3.1

Asta: 161 [1168,1211] Sez. G: HE 220 B L=150.0 cm Crit.: Acciaio_Flessione $\gamma M=1.05$ fyk/ $\gamma M=2619$ kg/cm² ft=4300 kg/cm² :**Verificato**

X	cls	N	TY	TZ	MT	MY	MZ	My4	Mz4	Comb.
cm		kg	kg	kg	kg*m	kg*m	kg*m			
150	1	26	77	729	2	2722	677	--	--	6

X	cls	Nr	Vyr	Vzr	Mry	Mrz	MTrd	SF_V.	SF_M	SF_Mt	SF
cm		kg	kg	kg	kg*m	kg*m	kg*m				
150	1	238441	106350	42179	21670	10317	652	58	5.2	>100	5.2

Asta: 161 [1126,1168] Sez. G: HE 220 B L=150.0 cm Crit.: Acciaio_Flessione $\gamma M=1.05$ fyk/ $\gamma M=2619$ kg/cm² ft=4300 kg/cm² :**Verificato**

X	cls	N	TY	TZ	MT	MY	MZ	My4	Mz4	Comb.
cm		kg	kg	kg	kg*m	kg*m	kg*m			
0	1	30	-107	-400	1	2228	633	--	--	6

X	cls	Nr	Vyr	Vzr	Mry	Mrz	MTrd	SF_V.	SF_M	SF_Mt	SF
cm		kg	kg	kg	kg*m	kg*m	kg*m				
0	1	238441	106358	42182	21670	10317	652	>100	6.1	>100	6.1

Asta: 162 [1212,1254] Sez. G: HE 220 B L=150.0 cm Crit.: Acciaio_Flessione $\gamma M=1.05$ fyk/ $\gamma M=2619$ kg/cm² ft=4300 kg/cm² :**Verificato**

X	cls	N	TY	TZ	MT	MY	MZ	My4	Mz4	Comb.
cm		kg	kg	kg	kg*m	kg*m	kg*m			
150	1	-1	-106	1721	-0	5244	829	--	--	6

X	cls	Nr	Vyr	Vzr	Mry	Mrz	MTrd	SF_V.	SF_M	SF_Mt	SF
cm		kg	kg	kg	kg*m	kg*m	kg*m				
150	1	238441	106450	42219	21670	10317	652	25	3.1	>100	3.1

Asta: 162 [1169,1212] Sez. G: HE 220 B L=150.0 cm Crit.: Acciaio_Flessione $\gamma M=1.05$ fyk/ $\gamma M=2619$ kg/cm² ft=4300 kg/cm² :**Verificato**

X	cls	N	TY	TZ	MT	MY	MZ	My4	Mz4	Comb.
cm		kg	kg	kg	kg*m	kg*m	kg*m			
150	1	-9	83	732	-0	2766	671	--	--	6

X	cls	Nr	Vyr	Vzr	Mry	Mrz	MTrd	SF_V.	SF_M	SF_Mt	SF
cm		kg	kg	kg	kg*m	kg*m	kg*m				
150	1	238441	106452	42220	21670	10317	652	58	5.2	>100	5.2

Asta: 162 [1127,1169] Sez. G: HE 220 B L=150.0 cm Crit.: Acciaio_Flessione $\gamma M=1.05$ fyk/ $\gamma M=2619$ kg/cm² ft=4300 kg/cm² :**Verificato**

X	cls	N	TY	TZ	MT	MY	MZ	My4	Mz4	Comb.
cm		kg	kg	kg	kg*m	kg*m	kg*m			
0	1	-18	-107	-397	0	2265	637	--	--	6

X	cls	Nr	Vyr	Vzr	Mry	Mrz	MTrd	SF_V.	SF_M	SF_Mt	SF
cm		kg	kg	kg	kg*m	kg*m	kg*m				

X	cls	Nr	Vyr	Vzr	Mry	Mrz	MTrd	SF_V.	SF_M	SF_Mt	SF
0	1	238441	106452	42220	21670	10317	652	>100	6.0	>100	6.0

Asta: 163 [1213,1255] Sez. G: HE 220 B L=150.0 cm Crit.: Acciaio_Flessione $\gamma M=1.05$ fyk/ $\gamma M=2619$ kg/cm² ft=4300 kg/cm² :**Verificato**

X	cls	N	TY	TZ	MT	MY	MZ	My4	Mz4	Comb.
cm		kg	kg	kg	kg*m	kg*m	kg*m			
150	1	25	-118	1719	-2	5197	839	--	--	6

X	cls	Nr	Vyr	Vzr	Mry	Mrz	MTrd	SF_V.	SF_M	SF_Mt	SF
cm		kg	kg	kg	kg*m	kg*m	kg*m				
150	1	238441	106340	42175	21670	10317	652	25	3.1	>100	3.1

Asta: 163 [1170,1213] Sez. G: HE 220 B L=150.0 cm Crit.: Acciaio_Flessione $\gamma M=1.05$ fyk/ $\gamma M=2619$ kg/cm² ft=4300 kg/cm² :**Verificato**

X	cls	N	TY	TZ	MT	MY	MZ	My4	Mz4	Comb.
cm		kg	kg	kg	kg*m	kg*m	kg*m			
150	1	24	92	730	-2	2723	664	--	--	6

X	cls	Nr	Vyr	Vzr	Mry	Mrz	MTrd	SF_V.	SF_M	SF_Mt	SF
cm		kg	kg	kg	kg*m	kg*m	kg*m				
150	1	238441	106350	42179	21670	10317	652	58	5.3	>100	5.3

Asta: 163 [1128,1170] Sez. G: HE 220 B L=150.0 cm Crit.: Acciaio_Flessione $\gamma M=1.05$ fyk/ $\gamma M=2619$ kg/cm² ft=4300 kg/cm² :**Verificato**

X	cls	N	TY	TZ	MT	MY	MZ	My4	Mz4	Comb.
cm		kg	kg	kg	kg*m	kg*m	kg*m			
0	1	30	-116	-399	-1	2227	631	--	--	6

X	cls	Nr	Vyr	Vzr	Mry	Mrz	MTrd	SF_V.	SF_M	SF_Mt	SF
cm		kg	kg	kg	kg*m	kg*m	kg*m				
0	1	238441	106360	42183	21670	10317	652	>100	6.1	>100	6.1

Asta: 164 [1214,1017] Sez. G: HE 220 B L=150.0 cm Crit.: Acciaio_Flessione $\gamma M=1.05$ fyk/ $\gamma M=2619$ kg/cm² ft=4300 kg/cm² :**Verificato**

X	cls	N	TY	TZ	MT	MY	MZ	My4	Mz4	Comb.
cm		kg	kg	kg	kg*m	kg*m	kg*m			
150	1	807	-149	-144	0	-2321	869	--	--	12

X	cls	Nr	Vyr	Vzr	Mry	Mrz	MTrd	SF_V.	SF_M	SF_Mt	SF
cm		kg	kg	kg	kg*m	kg*m	kg*m				
150	1	238441	106449	42219	21670	10317	652	>100	5.1	>100	5.1

Asta: 164 [1171,1214] Sez. G: HE 220 B L=150.0 cm Crit.: Acciaio_Flessione $\gamma M=1.05$ fyk/ $\gamma M=2619$ kg/cm² ft=4300 kg/cm² :**Verificato**

X	cls	N	TY	TZ	MT	MY	MZ	My4	Mz4	Comb.
cm		kg	kg	kg	kg*m	kg*m	kg*m			
150	1	835	114	-615	0	-2000	648	--	--	12

X	cls	Nr	Vyr	Vzr	Mry	Mrz	MTrd	SF_V.	SF_M	SF_Mt	SF
cm		kg	kg	kg	kg*m	kg*m	kg*m				
150	1	238441	106447	42218	21670	10317	652	69	6.3	>100	6.3

Asta: 164 [1006,1171] Sez. G: HE 220 B L=150.0 cm Crit.: Acciaio_Flessione $\gamma M=1.05$ fyk/ $\gamma M=2619$ kg/cm² ft=4300 kg/cm² :**Verificato**

X	cls	N	TY	TZ	MT	MY	MZ	My4	Mz4	Comb.
cm		kg	kg	kg	kg*m	kg*m	kg*m			
150	1	1240	-149	-1243	0	-1201	821	--	--	6

X	cls	Nr	Vyr	Vzr	Mry	Mrz	MTrd	SF_V.	SF_M	SF_Mt	SF
cm		kg	kg	kg	kg*m	kg*m	kg*m				
150	1	238441	106444	42217	21670	10317	652	34	7.1	>100	7.1

Asta: 165 [1215,1257] Sez. G: HE 220 B L=150.0 cm Crit.: Acciaio_Flessione $\gamma M=1.05$ fyk/ $\gamma M=2619$ kg/cm² ft=4300 kg/cm² :**Verificato**

X	cls	N	TY	TZ	MT	MY	MZ	My4	Mz4	Comb.
cm		kg	kg	kg	kg*m	kg*m	kg*m			
150	1	24	-177	1719	2	5197	897	--	--	6

X	cls	Nr	Vyr	Vzr	Mry	Mrz	MTrd	SF_V.	SF_M	SF_Mt	SF
cm		kg	kg	kg	kg*m	kg*m	kg*m				
150	1	238441	106333	42172	21670	10317	652	25	3.1	>100	3.1

Asta: 165 [1172,1215] Sez. G: HE 220 B L=150.0 cm Crit.: Acciaio_Flessione $\gamma M=1.05$ fyk/ $\gamma M=2619$ kg/cm² ft=4300 kg/cm² :**Verificato**

X	cls	N	TY	TZ	MT	MY	MZ	My4	Mz4	Comb.
cm		kg	kg	kg	kg*m	kg*m	kg*m			
150	1	24	134	730	2	2723	634	--	--	6

X	cls	Nr	Vyr	Vzr	Mry	Mrz	MTrd	SF_V.	SF_M	SF_Mt	SF
cm		kg	kg	kg	kg*m	kg*m	kg*m				
150	1	238441	106339	42175	21670	10317	652	58	5.3	>100	5.3

Asta: 165 [1130,1172] Sez. G: HE 220 B L=150.0 cm Crit.: Acciaio_Flessione $\gamma M=1.05$ fyk/ $\gamma M=2619$ kg/cm² ft=4300 kg/cm² :**Verificato**

X	cls	N	TY	TZ	MT	MY	MZ	My4	Mz4	Comb.
cm		kg	kg	kg	kg*m	kg*m	kg*m			
150	1	32	-182	-260	2	1733	836	--	--	6

X	cls	Nr	Vyr	Vzr	Mry	Mrz	MTrd	SF_V.	SF_M	SF_Mt	SF
cm		kg	kg	kg	kg*m	kg*m	kg*m				
150	1	238441	106346	42178	21670	10317	652	>100	6.2	>100	6.2

Asta: 166 [1216,1258] Sez. G: HE 220 B L=150.0 cm Crit.: Acciaio_Flessione $\gamma M=1.05$ fyk/ $\gamma M=2619$ kg/cm² ft=4300 kg/cm² :**Verificato**

X	cls	N	TY	TZ	MT	MY	MZ	My4	Mz4	Comb.
cm		kg	kg	kg	kg*m	kg*m	kg*m			
150	1	-4	-171	1721	0	5244	892	--	--	6

X	cls	Nr	Vyr	Vzr	Mry	Mrz	MTrd	SF_V.	SF_M	SF_Mt	SF
cm		kg	kg	kg	kg*m	kg*m	kg*m				
150	1	238441	106449	42219	21670	10317	652	25	3.0	>100	3.0

Asta: 166 [1173,1216] Sez. G: HE 220 B L=150.0 cm Crit.: Acciaio_Flessione $\gamma M=1.05$ fyk/ $\gamma M=2619$ kg/cm² ft=4300 kg/cm² :**Verificato**

X	cls	N	TY	TZ	MT	MY	MZ	My4	Mz4	Comb.
cm		kg	kg	kg	kg*m	kg*m	kg*m			
150	1	-3	126	732	0	2766	638	--	--	6

X	cls	Nr	Vyr	Vzr	Mry	Mrz	MTrd	SF_V.	SF_M	SF_Mt	SF
cm		kg	kg	kg	kg*m	kg*m	kg*m				
150	1	238441	106447	42218	21670	10317	652	58	5.3	>100	5.3

Asta: 166 [1131,1173] Sez. G: HE 220 B L=150.0 cm Crit.: Acciaio_Flessione $\gamma M=1.05$ fyk/ $\gamma M=2619$ kg/cm² ft=4300 kg/cm² :**Verificato**

X	cls	N	TY	TZ	MT	MY	MZ	My4	Mz4	Comb.
cm		kg	kg	kg	kg*m	kg*m	kg*m			
150	1	-1	-169	-258	0	1774	830	--	--	6

X	cls	Nr	Vyr	Vzr	Mry	Mrz	MTrd	SF_V.	SF_M	SF_Mt	SF
cm		kg	kg	kg	kg*m	kg*m	kg*m				
150	1	238441	106445	42217	21670	10317	652	>100	6.2	>100	6.2

Asta: 167 [1217,1259] Sez. G: HE 220 B L=150.0 cm Crit.: Acciaio_Flessione $\gamma M=1.05$ fyk/ $\gamma M=2619$ kg/cm² ft=4300 kg/cm² :**Verificato**

X	cls	N	TY	TZ	MT	MY	MZ	My4	Mz4	Comb.
cm		kg	kg	kg	kg*m	kg*m	kg*m			
150	1	106	-156	1722	-2	5211	887	--	--	6

X	cls	Nr	Vyr	Vzr	Mry	Mrz	MTrd	SF_V.	SF_M	SF_Mt	SF
cm		kg	kg	kg	kg*m	kg*m	kg*m				

X	cls	Nr	Vyr	Vzr	Mry	Mrz	MTrd	SF_V.	SF_M	SF_Mt	SF
150	1	238441	106333	42172	21670	10317	652	24	3.1	>100	3.1

Asta: 167 [1174,1217] Sez. G: HE 220 B L=150.0 cm Crit.: Acciaio_Flessione $\gamma_M=1.05$ $f_yk/\gamma_M=2619$ kg/cm² $f_t=4300$ kg/cm² :**Verificato**

X	cls	N	TY	TZ	MT	MY	MZ	My4	Mz4	Comb.
cm		kg	kg	kg	kg*m	kg*m	kg*m			
150	1	77	102	732	-2	2732	655	--	--	6

X	cls	Nr	Vyr	Vzr	Mry	Mrz	MTrd	SF_V.	SF_M	SF_Mt	SF
cm		kg	kg	kg	kg*m	kg*m	kg*m				
150	1	238441	106342	42176	21670	10317	652	58	5.3	>100	5.3

Asta: 167 [1132,1174] Sez. G: HE 220 B L=150.0 cm Crit.: Acciaio_Flessione $\gamma_M=1.05$ $f_yk/\gamma_M=2619$ kg/cm² $f_t=4300$ kg/cm² :**Verificato**

X	cls	N	TY	TZ	MT	MY	MZ	My4	Mz4	Comb.
cm		kg	kg	kg	kg*m	kg*m	kg*m			
0	1	67	-139	-397	-2	2229	602	--	--	6

X	cls	Nr	Vyr	Vzr	Mry	Mrz	MTrd	SF_V.	SF_M	SF_Mt	SF
cm		kg	kg	kg	kg*m	kg*m	kg*m				
0	1	238441	106353	42180	21670	10317	652	>100	6.2	>100	6.2

Asta: 168 [1218,1018] Sez. G: HE 220 B L=150.0 cm Crit.: Acciaio_Flessione $\gamma_M=1.05$ $f_yk/\gamma_M=2619$ kg/cm² $f_t=4300$ kg/cm² :**Verificato**

X	cls	N	TY	TZ	MT	MY	MZ	My4	Mz4	Comb.
cm		kg	kg	kg	kg*m	kg*m	kg*m			
150	1	2634	-12	2272	-0	4626	256	--	--	15

X	cls	Nr	Vyr	Vzr	Mry	Mrz	MTrd	SF_V.	SF_M	SF_Mt	SF
cm		kg	kg	kg	kg*m	kg*m	kg*m				
150	1	238441	106427	42210	21670	10317	652	19	4.0	>100	4.0

Asta: 168 [1175,1218] Sez. G: HE 220 B L=150.0 cm Crit.: Acciaio_Flessione $\gamma_M=1.05$ $f_yk/\gamma_M=2619$ kg/cm² $f_t=4300$ kg/cm² :**Verificato**

X	cls	N	TY	TZ	MT	MY	MZ	My4	Mz4	Comb.
cm		kg	kg	kg	kg*m	kg*m	kg*m			
0	1	2646	8	424	-0	-1027	738	--	--	6

X	cls	Nr	Vyr	Vzr	Mry	Mrz	MTrd	SF_V.	SF_M	SF_Mt	SF
cm		kg	kg	kg	kg*m	kg*m	kg*m				
0	1	238441	106427	42210	21670	10317	652	100	7.7	>100	7.7

Asta: 168 [1007,1175] Sez. G: HE 220 B L=150.0 cm Crit.: Acciaio_Flessione $\gamma_M=1.05$ $f_yk/\gamma_M=2619$ kg/cm² $f_t=4300$ kg/cm² :**Verificato**

X	cls	N	TY	TZ	MT	MY	MZ	My4	Mz4	Comb.
cm		kg	kg	kg	kg*m	kg*m	kg*m			
0	1	2194	116	1267	-0	-2931	401	--	--	(20+21)-VI-3

X	cls	Nr	Vyr	Vzr	Mry	Mrz	MTrd	SF_V.	SF_M	SF_Mt	SF
cm		kg	kg	kg	kg*m	kg*m	kg*m				
0	1	238441	106425	42209	21670	10317	652	33	5.5	>100	5.5

Asta: 169 [1219,1261] Sez. G: HE 220 B L=150.0 cm Crit.: Acciaio_Flessione $\gamma_M=1.05$ $f_yk/\gamma_M=2619$ kg/cm² $f_t=4300$ kg/cm² :**Verificato**

X	cls	N	TY	TZ	MT	MY	MZ	My4	Mz4	Comb.
cm		kg	kg	kg	kg*m	kg*m	kg*m			
150	1	109	133	1722	2	5212	601	--	--	6

X	cls	Nr	Vyr	Vzr	Mry	Mrz	MTrd	SF_V.	SF_M	SF_Mt	SF
cm		kg	kg	kg	kg*m	kg*m	kg*m				
150	1	238441	106346	42178	21670	10317	652	24	3.3	>100	3.3

Asta: 169 [1176,1219] Sez. G: HE 220 B L=150.0 cm Crit.: Acciaio_Flessione $\gamma_M=1.05$ $f_yk/\gamma_M=2619$ kg/cm² $f_t=4300$ kg/cm² :**Verificato**

X	cls	N	TY	TZ	MT	MY	MZ	My4	Mz4	Comb.
cm		kg	kg	kg	kg*m	kg*m	kg*m			
150	1	79	-85	733	1	2733	798	--	--	6

X	cls	Nr	Vyr	Vzr	Mry	Mrz	MTrd	SF_V.	SF_M	SF_Mt	SF
cm		kg	kg	kg	kg*m	kg*m	kg*m				
150	1	238441	106356	42182	21670	10317	652	58	4.9	>100	4.9

Asta: 169 [1134,1176] Sez. G: HE 220 B L=150.0 cm Crit.: Acciaio_Flessione $\gamma M=1.05$ fyk/ $\gamma M=2619$ kg/cm² ft=4300 kg/cm² :**Verificato**

X	cls	N	TY	TZ	MT	MY	MZ	My4	Mz4	Comb.
cm		kg	kg	kg	kg*m	kg*m	kg*m			
0	1	67	116	-396	1	2228	842	--	--	6

X	cls	Nr	Vyr	Vzr	Mry	Mrz	MTrd	SF_V.	SF_M	SF_Mt	SF
cm		kg	kg	kg	kg*m	kg*m	kg*m				
0	1	238441	106366	42186	21670	10317	652	>100	5.4	>100	5.4

Asta: 170 [1220,1262] Sez. G: HE 220 B L=150.0 cm Crit.: Acciaio_Flessione $\gamma M=1.05$ fyk/ $\gamma M=2619$ kg/cm² ft=4300 kg/cm² :**Verificato**

X	cls	N	TY	TZ	MT	MY	MZ	My4	Mz4	Comb.
cm		kg	kg	kg	kg*m	kg*m	kg*m			
150	1	-3	152	1721	0	5244	591	--	--	6

X	cls	Nr	Vyr	Vzr	Mry	Mrz	MTrd	SF_V.	SF_M	SF_Mt	SF
cm		kg	kg	kg	kg*m	kg*m	kg*m				
150	1	238441	106447	42218	21670	10317	652	25	3.3	>100	3.3

Asta: 170 [1177,1220] Sez. G: HE 220 B L=150.0 cm Crit.: Acciaio_Flessione $\gamma M=1.05$ fyk/ $\gamma M=2619$ kg/cm² ft=4300 kg/cm² :**Verificato**

X	cls	N	TY	TZ	MT	MY	MZ	My4	Mz4	Comb.
cm		kg	kg	kg	kg*m	kg*m	kg*m			
150	1	-2	-114	732	0	2766	817	--	--	6

X	cls	Nr	Vyr	Vzr	Mry	Mrz	MTrd	SF_V.	SF_M	SF_Mt	SF
cm		kg	kg	kg	kg*m	kg*m	kg*m				
150	1	238441	106449	42219	21670	10317	652	58	4.8	>100	4.8

Asta: 170 [1135,1177] Sez. G: HE 220 B L=150.0 cm Crit.: Acciaio_Flessione $\gamma M=1.05$ fyk/ $\gamma M=2619$ kg/cm² ft=4300 kg/cm² :**Verificato**

X	cls	N	TY	TZ	MT	MY	MZ	My4	Mz4	Comb.
cm		kg	kg	kg	kg*m	kg*m	kg*m			
0	1	-3	158	-397	0	2265	880	--	--	6

X	cls	Nr	Vyr	Vzr	Mry	Mrz	MTrd	SF_V.	SF_M	SF_Mt	SF
cm		kg	kg	kg	kg*m	kg*m	kg*m				
0	1	238441	106451	42220	21670	10317	652	>100	5.3	>100	5.3

Asta: 171 [1221,1263] Sez. G: HE 220 B L=150.0 cm Crit.: Acciaio_Flessione $\gamma M=1.05$ fyk/ $\gamma M=2619$ kg/cm² ft=4300 kg/cm² :**Verificato**

X	cls	N	TY	TZ	MT	MY	MZ	My4	Mz4	Comb.
cm		kg	kg	kg	kg*m	kg*m	kg*m			
150	1	23	157	1719	-2	5197	587	--	--	6

X	cls	Nr	Vyr	Vzr	Mry	Mrz	MTrd	SF_V.	SF_M	SF_Mt	SF
cm		kg	kg	kg	kg*m	kg*m	kg*m				
150	1	238441	106350	42179	21670	10317	652	25	3.4	>100	3.4

Asta: 171 [1178,1221] Sez. G: HE 220 B L=150.0 cm Crit.: Acciaio_Flessione $\gamma M=1.05$ fyk/ $\gamma M=2619$ kg/cm² ft=4300 kg/cm² :**Verificato**

X	cls	N	TY	TZ	MT	MY	MZ	My4	Mz4	Comb.
cm		kg	kg	kg	kg*m	kg*m	kg*m			
150	1	24	-118	730	-1	2723	821	--	--	6

X	cls	Nr	Vyr	Vzr	Mry	Mrz	MTrd	SF_V.	SF_M	SF_Mt	SF
cm		kg	kg	kg	kg*m	kg*m	kg*m				

X	cls	Nr	Vyr	Vzr	Mry	Mrz	MTrd	SF_V.	SF_M	SF_Mt	SF
150	1	238441	106356	42182	21670	10317	652	58	4.9	>100	4.9

Asta: 171 [1136,1178] Sez. G: HE 220 B L=150.0 cm Crit.: Acciaio_Flessione $\gamma M=1.05$ fyk/ $\gamma M=2619$ kg/cm^q ft=4300 kg/cm^q :**Verificato**

X	cls	N	TY	TZ	MT	MY	MZ	My4	Mz4	Comb.
cm		kg	kg	kg	kg*m	kg*m	kg*m			
0	1	30	160	-399	-1	2227	880	--	--	6

X	cls	Nr	Vyr	Vzr	Mry	Mrz	MTrd	SF_V.	SF_M	SF_Mt	SF
cm		kg	kg	kg	kg*m	kg*m	kg*m				
0	1	238441	106363	42184	21670	10317	652	>100	5.3	>100	5.3

Asta: 172 [1222,1019] Sez. G: HE 220 B L=150.0 cm Crit.: Acciaio_Flessione $\gamma M=1.05$ fyk/ $\gamma M=2619$ kg/cm^q ft=4300 kg/cm^q :**Verificato**

X	cls	N	TY	TZ	MT	MY	MZ	My4	Mz4	Comb.
cm		kg	kg	kg	kg*m	kg*m	kg*m			
15	1	803	128	-267	0	-2039	789	--	--	12

X	cls	Nr	Vyr	Vzr	Mry	Mrz	MTrd	SF_V.	SF_M	SF_Mt	SF
cm		kg	kg	kg	kg*m	kg*m	kg*m				
15	1	238441	106447	42218	21670	10317	652	>100	5.7	>100	5.7

Asta: 172 [1179,1222] Sez. G: HE 220 B L=150.0 cm Crit.: Acciaio_Flessione $\gamma M=1.05$ fyk/ $\gamma M=2619$ kg/cm^q ft=4300 kg/cm^q :**Verificato**

X	cls	N	TY	TZ	MT	MY	MZ	My4	Mz4	Comb.
cm		kg	kg	kg	kg*m	kg*m	kg*m			
150	1	836	-100	-612	0	-1998	807	--	--	12

X	cls	Nr	Vyr	Vzr	Mry	Mrz	MTrd	SF_V.	SF_M	SF_Mt	SF
cm		kg	kg	kg	kg*m	kg*m	kg*m				
150	1	238441	106448	42218	21670	10317	652	69	5.8	>100	5.8

Asta: 172 [1008,1179] Sez. G: HE 220 B L=150.0 cm Crit.: Acciaio_Flessione $\gamma M=1.05$ fyk/ $\gamma M=2619$ kg/cm^q ft=4300 kg/cm^q :**Verificato**

X	cls	N	TY	TZ	MT	MY	MZ	My4	Mz4	Comb.
cm		kg	kg	kg	kg*m	kg*m	kg*m			
0	1	1115	301	540	0	-2119	570	--	--	(20+21)-VI-3

X	cls	Nr	Vyr	Vzr	Mry	Mrz	MTrd	SF_V.	SF_M	SF_Mt	SF
cm		kg	kg	kg	kg*m	kg*m	kg*m				
0	1	238441	106450	42219	21670	10317	652	78	6.3	>100	6.3

Asta: 173 [1223,1264] Sez. G: HE 220 B L=150.0 cm Crit.: Acciaio_Flessione $\gamma M=1.05$ fyk/ $\gamma M=2619$ kg/cm^q ft=4300 kg/cm^q :**Verificato**

X	cls	N	TY	TZ	MT	MY	MZ	My4	Mz4	Comb.
cm		kg	kg	kg	kg*m	kg*m	kg*m			
150	1	25	99	1719	2	5197	645	--	--	6

X	cls	Nr	Vyr	Vzr	Mry	Mrz	MTrd	SF_V.	SF_M	SF_Mt	SF
cm		kg	kg	kg	kg*m	kg*m	kg*m				
150	1	238441	106336	42174	21670	10317	652	25	3.3	>100	3.3

Asta: 173 [1180,1223] Sez. G: HE 220 B L=150.0 cm Crit.: Acciaio_Flessione $\gamma M=1.05$ fyk/ $\gamma M=2619$ kg/cm^q ft=4300 kg/cm^q :**Verificato**

X	cls	N	TY	TZ	MT	MY	MZ	My4	Mz4	Comb.
cm		kg	kg	kg	kg*m	kg*m	kg*m			
150	1	23	-77	730	2	2723	791	--	--	6

X	cls	Nr	Vyr	Vzr	Mry	Mrz	MTrd	SF_V.	SF_M	SF_Mt	SF
cm		kg	kg	kg	kg*m	kg*m	kg*m				
150	1	238441	106346	42178	21670	10317	652	58	4.9	>100	4.9

Asta: 173 [1137,1180] Sez. G: HE 220 B L=150.0 cm Crit.: Acciaio_Flessione $\gamma M=1.05$ fyk/ $\gamma M=2619$ kg/cm^q ft=4300 kg/cm^q :**Verificato**

X	cls	N	TY	TZ	MT	MY	MZ	My4	Mz4	Comb.
cm		kg	kg	kg	kg*m	kg*m	kg*m			
0	1	26	93	-399	1	2227	813	--	--	6

X	cls	Nr	Vyr	Vzr	Mry	Mrz	MTrd	SF_V.	SF_M	SF_Mt	SF
cm		kg	kg	kg	kg*m	kg*m	kg*m				
0	1	238441	106357	42182	21670	10317	652	>100	5.5	>100	5.5

Asta: 174 [1224,1265] Sez. G: HE 220 B L=150.0 cm Crit.: Acciaio_Flessione $\gamma M=1.05$ fyk/ $\gamma M=2619$ kg/cm² ft=4300 kg/cm² :**Verificato**

X	cls	N	TY	TZ	MT	MY	MZ	My4	Mz4	Comb.
cm		kg	kg	kg	kg*m	kg*m	kg*m			
150	1	0	90	1721	0	5244	651	--	--	6

X	cls	Nr	Vyr	Vzr	Mry	Mrz	MTrd	SF_V.	SF_M	SF_Mt	SF
cm		kg	kg	kg	kg*m	kg*m	kg*m				
150	1	238441	106452	42220	21670	10317	652	25	3.3	>100	3.3

Asta: 174 [1181,1224] Sez. G: HE 220 B L=150.0 cm Crit.: Acciaio_Flessione $\gamma M=1.05$ fyk/ $\gamma M=2619$ kg/cm² ft=4300 kg/cm² :**Verificato**

X	cls	N	TY	TZ	MT	MY	MZ	My4	Mz4	Comb.
cm		kg	kg	kg	kg*m	kg*m	kg*m			
150	1	-7	-72	732	-0	2766	785	--	--	6

X	cls	Nr	Vyr	Vzr	Mry	Mrz	MTrd	SF_V.	SF_M	SF_Mt	SF
cm		kg	kg	kg	kg*m	kg*m	kg*m				
150	1	238441	106452	42220	21670	10317	652	58	4.9	>100	4.9

Asta: 174 [1138,1181] Sez. G: HE 220 B L=150.0 cm Crit.: Acciaio_Flessione $\gamma M=1.05$ fyk/ $\gamma M=2619$ kg/cm² ft=4300 kg/cm² :**Verificato**

X	cls	N	TY	TZ	MT	MY	MZ	My4	Mz4	Comb.
cm		kg	kg	kg	kg*m	kg*m	kg*m			
0	1	-18	96	-397	-0	2265	821	--	--	6

X	cls	Nr	Vyr	Vzr	Mry	Mrz	MTrd	SF_V.	SF_M	SF_Mt	SF
cm		kg	kg	kg	kg*m	kg*m	kg*m				
0	1	238441	106451	42219	21670	10317	652	>100	5.4	>100	5.4

Asta: 175 [1225,1266] Sez. G: HE 220 B L=150.0 cm Crit.: Acciaio_Flessione $\gamma M=1.05$ fyk/ $\gamma M=2619$ kg/cm² ft=4300 kg/cm² :**Verificato**

X	cls	N	TY	TZ	MT	MY	MZ	My4	Mz4	Comb.
cm		kg	kg	kg	kg*m	kg*m	kg*m			
150	1	26	80	1719	-2	5196	660	--	--	6

X	cls	Nr	Vyr	Vzr	Mry	Mrz	MTrd	SF_V.	SF_M	SF_Mt	SF
cm		kg	kg	kg	kg*m	kg*m	kg*m				
150	1	238441	106339	42175	21670	10317	652	25	3.3	>100	3.3

Asta: 175 [1182,1225] Sez. G: HE 220 B L=150.0 cm Crit.: Acciaio_Flessione $\gamma M=1.05$ fyk/ $\gamma M=2619$ kg/cm² ft=4300 kg/cm² :**Verificato**

X	cls	N	TY	TZ	MT	MY	MZ	My4	Mz4	Comb.
cm		kg	kg	kg	kg*m	kg*m	kg*m			
150	1	25	-63	729	-2	2722	779	--	--	6

X	cls	Nr	Vyr	Vzr	Mry	Mrz	MTrd	SF_V.	SF_M	SF_Mt	SF
cm		kg	kg	kg	kg*m	kg*m	kg*m				
150	1	238441	106346	42178	21670	10317	652	58	5.0	>100	5.0

Asta: 175 [1139,1182] Sez. G: HE 220 B L=150.0 cm Crit.: Acciaio_Flessione $\gamma M=1.05$ fyk/ $\gamma M=2619$ kg/cm² ft=4300 kg/cm² :**Verificato**

X	cls	N	TY	TZ	MT	MY	MZ	My4	Mz4	Comb.
cm		kg	kg	kg	kg*m	kg*m	kg*m			
0	1	27	85	-400	-2	2228	812	--	--	6

X	cls	Nr	Vyr	Vzr	Mry	Mrz	MTrd	SF_V.	SF_M	SF_Mt	SF
cm		kg	kg	kg	kg*m	kg*m	kg*m				

X	cls	Nr	Vyr	Vzr	Mry	Mrz	MTrd	SF_V.	SF_M	SF_Mt	SF
0	1	238441	106354	42181	21670	10317	652	>100	5.5	>100	5.5

Asta: 176 [1226,1020] Sez. G: HE 220 B L=150.0 cm Crit.: Acciaio_Flessione $\gamma_M=1.05$ $f_yk/\gamma_M=2619$ kg/cm² $f_t=4300$ kg/cm² :**Verificato**

X	cls	N	TY	TZ	MT	MY	MZ	My4	Mz4	Comb.
cm		kg	kg	kg	kg*m	kg*m	kg*m			
150	1	838	58	-219	-0	-2488	680	--	--	12

X	cls	Nr	Vyr	Vzr	Mry	Mrz	MTrd	SF_V.	SF_M	SF_Mt	SF
cm		kg	kg	kg	kg*m	kg*m	kg*m				
150	1	238441	106451	42219	21670	10317	652	>100	5.4	>100	5.4

Asta: 176 [1183,1226] Sez. G: HE 220 B L=150.0 cm Crit.: Acciaio_Flessione $\gamma_M=1.05$ $f_yk/\gamma_M=2619$ kg/cm² $f_t=4300$ kg/cm² :**Verificato**

X	cls	N	TY	TZ	MT	MY	MZ	My4	Mz4	Comb.
cm		kg	kg	kg	kg*m	kg*m	kg*m			
150	1	836	-47	-689	-0	-2055	767	--	--	12

X	cls	Nr	Vyr	Vzr	Mry	Mrz	MTrd	SF_V.	SF_M	SF_Mt	SF
cm		kg	kg	kg	kg*m	kg*m	kg*m				
150	1	238441	106451	42219	21670	10317	652	61	5.8	>100	5.8

Asta: 176 [1009,1183] Sez. G: HE 220 B L=150.0 cm Crit.: Acciaio_Flessione $\gamma_M=1.05$ $f_yk/\gamma_M=2619$ kg/cm² $f_t=4300$ kg/cm² :**Verificato**

X	cls	N	TY	TZ	MT	MY	MZ	My4	Mz4	Comb.
cm		kg	kg	kg	kg*m	kg*m	kg*m			
0	1	1225	252	567	-0	-2181	525	--	--	(20+21)-VI-3

X	cls	Nr	Vyr	Vzr	Mry	Mrz	MTrd	SF_V.	SF_M	SF_Mt	SF
cm		kg	kg	kg	kg*m	kg*m	kg*m				
0	1	238441	106446	42217	21670	10317	652	74	6.4	>100	6.4

Asta: 177 [1227,1268] Sez. G: HE 220 B L=150.0 cm Crit.: Acciaio_Flessione $\gamma_M=1.05$ $f_yk/\gamma_M=2619$ kg/cm² $f_t=4300$ kg/cm² :**Verificato**

X	cls	N	TY	TZ	MT	MY	MZ	My4	Mz4	Comb.
cm		kg	kg	kg	kg*m	kg*m	kg*m			
150	1	27	43	1719	2	5197	695	--	--	6

X	cls	Nr	Vyr	Vzr	Mry	Mrz	MTrd	SF_V.	SF_M	SF_Mt	SF
cm		kg	kg	kg	kg*m	kg*m	kg*m				
150	1	238441	106344	42177	21670	10317	652	25	3.3	>100	3.3

Asta: 177 [1184,1227] Sez. G: HE 220 B L=150.0 cm Crit.: Acciaio_Flessione $\gamma_M=1.05$ $f_yk/\gamma_M=2619$ kg/cm² $f_t=4300$ kg/cm² :**Verificato**

X	cls	N	TY	TZ	MT	MY	MZ	My4	Mz4	Comb.
cm		kg	kg	kg	kg*m	kg*m	kg*m			
150	1	26	-33	729	2	2722	758	--	--	6

X	cls	Nr	Vyr	Vzr	Mry	Mrz	MTrd	SF_V.	SF_M	SF_Mt	SF
cm		kg	kg	kg	kg*m	kg*m	kg*m				
150	1	238441	106353	42180	21670	10317	652	58	5.0	>100	5.0

Asta: 177 [1141,1184] Sez. G: HE 220 B L=150.0 cm Crit.: Acciaio_Flessione $\gamma_M=1.05$ $f_yk/\gamma_M=2619$ kg/cm² $f_t=4300$ kg/cm² :**Verificato**

X	cls	N	TY	TZ	MT	MY	MZ	My4	Mz4	Comb.
cm		kg	kg	kg	kg*m	kg*m	kg*m			
0	1	28	38	-400	1	2228	764	--	--	6

X	cls	Nr	Vyr	Vzr	Mry	Mrz	MTrd	SF_V.	SF_M	SF_Mt	SF
cm		kg	kg	kg	kg*m	kg*m	kg*m				
0	1	238441	106363	42184	21670	10317	652	>100	5.6	>100	5.6

Asta: 178 [1228,1269] Sez. G: HE 220 B L=150.0 cm Crit.: Acciaio_Flessione $\gamma_M=1.05$ $f_yk/\gamma_M=2619$ kg/cm² $f_t=4300$ kg/cm² :**Verificato**

X	cls	N	TY	TZ	MT	MY	MZ	My4	Mz4	Comb.
cm		kg	kg	kg	kg*m	kg*m	kg*m			
150	1	1	37	1721	-0	5245	699	--	--	6

X	cls	Nr	Vyr	Vzr	Mry	Mrz	MTrd	SF_V.	SF_M	SF_Mt	SF
cm		kg	kg	kg	kg*m	kg*m	kg*m				
150	1	238441	106451	42219	21670	10317	652	25	3.2	>100	3.2

Asta: 178 [1185,1228] Sez. G: HE 220 B L=150.0 cm Crit.: Acciaio_Flessione $\gamma M=1.05$ fyk/ $\gamma M=2619$ kg/cm² ft=4300 kg/cm² :**Verificato**

X	cls	N	TY	TZ	MT	MY	MZ	My4	Mz4	Comb.
cm		kg	kg	kg	kg*m	kg*m	kg*m			
150	1	-5	-30	732	-0	2767	754	--	--	6

X	cls	Nr	Vyr	Vzr	Mry	Mrz	MTrd	SF_V.	SF_M	SF_Mt	SF
cm		kg	kg	kg	kg*m	kg*m	kg*m				
150	1	238441	106450	42219	21670	10317	652	58	5.0	>100	5.0

Asta: 178 [1142,1185] Sez. G: HE 220 B L=150.0 cm Crit.: Acciaio_Flessione $\gamma M=1.05$ fyk/ $\gamma M=2619$ kg/cm² ft=4300 kg/cm² :**Verificato**

X	cls	N	TY	TZ	MT	MY	MZ	My4	Mz4	Comb.
cm		kg	kg	kg	kg*m	kg*m	kg*m			
0	1	-17	43	-397	-0	2265	773	--	--	6

X	cls	Nr	Vyr	Vzr	Mry	Mrz	MTrd	SF_V.	SF_M	SF_Mt	SF
cm		kg	kg	kg	kg*m	kg*m	kg*m				
0	1	238441	106449	42219	21670	10317	652	>100	5.6	>100	5.6

Asta: 179 [1229,1270] Sez. G: HE 220 B L=150.0 cm Crit.: Acciaio_Flessione $\gamma M=1.05$ fyk/ $\gamma M=2619$ kg/cm² ft=4300 kg/cm² :**Verificato**

X	cls	N	TY	TZ	MT	MY	MZ	My4	Mz4	Comb.
cm		kg	kg	kg	kg*m	kg*m	kg*m			
150	1	28	30	1757	-2	5367	706	--	--	6

X	cls	Nr	Vyr	Vzr	Mry	Mrz	MTrd	SF_V.	SF_M	SF_Mt	SF
cm		kg	kg	kg	kg*m	kg*m	kg*m				
150	1	238441	106344	42177	21670	10317	652	24	3.2	>100	3.2

Asta: 179 [1186,1229] Sez. G: HE 220 B L=150.0 cm Crit.: Acciaio_Flessione $\gamma M=1.05$ fyk/ $\gamma M=2619$ kg/cm² ft=4300 kg/cm² :**Verificato**

X	cls	N	TY	TZ	MT	MY	MZ	My4	Mz4	Comb.
cm		kg	kg	kg	kg*m	kg*m	kg*m			
150	1	28	-25	767	-2	2835	751	--	--	6

X	cls	Nr	Vyr	Vzr	Mry	Mrz	MTrd	SF_V.	SF_M	SF_Mt	SF
cm		kg	kg	kg	kg*m	kg*m	kg*m				
150	1	238441	106352	42180	21670	10317	652	55	4.9	>100	4.9

Asta: 179 [1143,1186] Sez. G: HE 220 B L=150.0 cm Crit.: Acciaio_Flessione $\gamma M=1.05$ fyk/ $\gamma M=2619$ kg/cm² ft=4300 kg/cm² :**Verificato**

X	cls	N	TY	TZ	MT	MY	MZ	My4	Mz4	Comb.
cm		kg	kg	kg	kg*m	kg*m	kg*m			
0	1	30	37	-362	-1	2227	768	--	--	6

X	cls	Nr	Vyr	Vzr	Mry	Mrz	MTrd	SF_V.	SF_M	SF_Mt	SF
cm		kg	kg	kg	kg*m	kg*m	kg*m				
0	1	238441	106360	42183	21670	10317	652	>100	5.6	>100	5.6

Asta: 180 [1230,1021] Sez. G: HE 220 B L=150.0 cm Crit.: Acciaio_Flessione $\gamma M=1.05$ fyk/ $\gamma M=2619$ kg/cm² ft=4300 kg/cm² :**Verificato**

X	cls	N	TY	TZ	MT	MY	MZ	My4	Mz4	Comb.
cm		kg	kg	kg	kg*m	kg*m	kg*m			
150	1	1163	-101	-1115	0	-3400	381	--	--	(20+21)-VI-6

X	cls	Nr	Vyr	Vzr	Mry	Mrz	MTrd	SF_V.	SF_M	SF_Mt	SF
cm		kg	kg	kg	kg*m	kg*m	kg*m				

X	cls	Nr	Vyr	Vzr	Mry	Mrz	MTrd	SF_V.	SF_M	SF_Mt	SF
150	1	238441	106446	42218	21670	10317	652	38	5.0	>100	5.0

Asta: 180 [1187,1230] Sez. G: HE 220 B L=150.0 cm Crit.: Acciaio_Flessione $\gamma_M=1.05$ $f_{yk}/\gamma_M=2619$ kg/cm^q ft=4300 kg/cm^q :**Verificato**

X	cls	N	TY	TZ	MT	MY	MZ	My4	Mz4	Comb.
cm		kg	kg	kg	kg*m	kg*m	kg*m			
150	1	880	-16	-694	0	-2018	744	--	--	12

X	cls	Nr	Vyr	Vzr	Mry	Mrz	MTrd	SF_V.	SF_M	SF_Mt	SF
cm		kg	kg	kg	kg*m	kg*m	kg*m				
150	1	238441	106442	42216	21670	10317	652	61	5.9	>100	5.9

Asta: 180 [1010,1187] Sez. G: HE 220 B L=150.0 cm Crit.: Acciaio_Flessione $\gamma_M=1.05$ $f_{yk}/\gamma_M=2619$ kg/cm^q ft=4300 kg/cm^q :**Verificato**

X	cls	N	TY	TZ	MT	MY	MZ	My4	Mz4	Comb.
cm		kg	kg	kg	kg*m	kg*m	kg*m			
0	1	-56	-77	-1734	0	3003	224	--	--	(20+21)-II-8

X	cls	Nr	Vyr	Vzr	Mry	Mrz	MTrd	SF_V.	SF_M	SF_Mt	SF
cm		kg	kg	kg	kg*m	kg*m	kg*m				
0	1	238441	106445	42217	21670	10317	652	24	6.2	>100	6.2

Asta: 181 [1231,1272] Sez. G: HE 220 B L=150.0 cm Crit.: Acciaio_Flessione $\gamma_M=1.05$ $f_{yk}/\gamma_M=2619$ kg/cm^q ft=4300 kg/cm^q :**Verificato**

X	cls	N	TY	TZ	MT	MY	MZ	My4	Mz4	Comb.
cm		kg	kg	kg	kg*m	kg*m	kg*m			
150	1	26	20	1794	2	5535	714	--	--	6

X	cls	Nr	Vyr	Vzr	Mry	Mrz	MTrd	SF_V.	SF_M	SF_Mt	SF
cm		kg	kg	kg	kg*m	kg*m	kg*m				
150	1	238441	106306	42162	21670	10317	652	23	3.1	>100	3.1

Asta: 181 [1188,1231] Sez. G: HE 220 B L=150.0 cm Crit.: Acciaio_Flessione $\gamma_M=1.05$ $f_{yk}/\gamma_M=2619$ kg/cm^q ft=4300 kg/cm^q :**Verificato**

X	cls	N	TY	TZ	MT	MY	MZ	My4	Mz4	Comb.
cm		kg	kg	kg	kg*m	kg*m	kg*m			
150	1	26	-14	805	2	2948	743	--	--	6

X	cls	Nr	Vyr	Vzr	Mry	Mrz	MTrd	SF_V.	SF_M	SF_Mt	SF
cm		kg	kg	kg	kg*m	kg*m	kg*m				
150	1	238441	106316	42166	21670	10317	652	52	4.8	>100	4.8

Asta: 181 [1145,1188] Sez. G: HE 220 B L=150.0 cm Crit.: Acciaio_Flessione $\gamma_M=1.05$ $f_{yk}/\gamma_M=2619$ kg/cm^q ft=4300 kg/cm^q :**Verificato**

X	cls	N	TY	TZ	MT	MY	MZ	My4	Mz4	Comb.
cm		kg	kg	kg	kg*m	kg*m	kg*m			
0	1	26	16	-324	2	2227	746	--	--	6

X	cls	Nr	Vyr	Vzr	Mry	Mrz	MTrd	SF_V.	SF_M	SF_Mt	SF
cm		kg	kg	kg	kg*m	kg*m	kg*m				
0	1	238441	106326	42170	21670	10317	652	>100	5.7	>100	5.7

Asta: 182 [1232,1273] Sez. G: HE 220 B L=150.0 cm Crit.: Acciaio_Flessione $\gamma_M=1.05$ $f_{yk}/\gamma_M=2619$ kg/cm^q ft=4300 kg/cm^q :**Verificato**

X	cls	N	TY	TZ	MT	MY	MZ	My4	Mz4	Comb.
cm		kg	kg	kg	kg*m	kg*m	kg*m			
150	1	-14	14	1679	0	5167	719	--	--	6

X	cls	Nr	Vyr	Vzr	Mry	Mrz	MTrd	SF_V.	SF_M	SF_Mt	SF
cm		kg	kg	kg	kg*m	kg*m	kg*m				
150	1	238441	106438	42214	21670	10317	652	25	3.2	>100	3.2

Asta: 182 [1189,1232] Sez. G: HE 220 B L=150.0 cm Crit.: Acciaio_Flessione $\gamma_M=1.05$ $f_{yk}/\gamma_M=2619$ kg/cm^q ft=4300 kg/cm^q :**Verificato**

X	cls	N	TY	TZ	MT	MY	MZ	My4	Mz4	Comb.
cm		kg	kg	kg	kg*m	kg*m	kg*m			
150	1	-17	-12	689	0	2753	740	--	--	6

X	cls	Nr	Vyr	Vzr	Mry	Mrz	MTrd	SF_V.	SF_M	SF_Mt	SF
cm		kg	kg	kg	kg*m	kg*m	kg*m				
150	1	238441	106438	42214	21670	10317	652	61	5.0	>100	5.0

Asta: 182 [1146,1189] Sez. G: HE 220 B L=150.0 cm Crit.: Acciaio_Flessione $\gamma M=1.05$ $f_y k/\gamma M=2619$ kg/cmq $f_t=4300$ kg/cmq :**Verificato**

X	cls	N	TY	TZ	MT	MY	MZ	My4	Mz4	Comb.
cm		kg	kg	kg	kg*m	kg*m	kg*m			
0	1	-30	20	-440	0	2380	753	--	--	6

X	cls	Nr	Vyr	Vzr	Mry	Mrz	MTrd	SF_V.	SF_M	SF_Mt	SF
cm		kg	kg	kg	kg*m	kg*m	kg*m				
0	1	238441	106437	42214	21670	10317	652	96	5.5	>100	5.5

Asta: 183 [1233,1274] Sez. G: HE 220 B L=150.0 cm Crit.: Acciaio_Flessione $\gamma M=1.05$ $f_y k/\gamma M=2619$ kg/cmq $f_t=4300$ kg/cmq :**Verificato**

X	cls	N	TY	TZ	MT	MY	MZ	My4	Mz4	Comb.
cm		kg	kg	kg	kg*m	kg*m	kg*m			
150	1	42	11	1573	-2	3701	720	--	--	6

X	cls	Nr	Vyr	Vzr	Mry	Mrz	MTrd	SF_V.	SF_M	SF_Mt	SF
cm		kg	kg	kg	kg*m	kg*m	kg*m				
150	1	238441	106316	42166	21670	10317	652	27	4.2	>100	4.2

Asta: 183 [1190,1233] Sez. G: HE 220 B L=150.0 cm Crit.: Acciaio_Flessione $\gamma M=1.05$ $f_y k/\gamma M=2619$ kg/cmq $f_t=4300$ kg/cmq :**Verificato**

X	cls	N	TY	TZ	MT	MY	MZ	My4	Mz4	Comb.
cm		kg	kg	kg	kg*m	kg*m	kg*m			
150	1	57	-9	584	-2	1445	738	--	--	6

X	cls	Nr	Vyr	Vzr	Mry	Mrz	MTrd	SF_V.	SF_M	SF_Mt	SF
cm		kg	kg	kg	kg*m	kg*m	kg*m				
150	1	238441	106323	42169	21670	10317	652	72	7.2	>100	7.2

Asta: 183 [1147,1190] Sez. G: HE 220 B L=150.0 cm Crit.: Acciaio_Flessione $\gamma M=1.05$ $f_y k/\gamma M=2619$ kg/cmq $f_t=4300$ kg/cmq :**Verificato**

X	cls	N	TY	TZ	MT	MY	MZ	My4	Mz4	Comb.
cm		kg	kg	kg	kg*m	kg*m	kg*m			
0	1	73	21	-545	-2	1386	756	--	--	6

X	cls	Nr	Vyr	Vzr	Mry	Mrz	MTrd	SF_V.	SF_M	SF_Mt	SF
cm		kg	kg	kg	kg*m	kg*m	kg*m				
0	1	238441	106331	42172	21670	10317	652	77	7.3	>100	7.3

Asta: 184 [1234,1022] Sez. G: HE 220 B L=150.0 cm Crit.: Acciaio_Flessione $\gamma M=1.05$ $f_y k/\gamma M=2619$ kg/cmq $f_t=4300$ kg/cmq :**Verificato**

X	cls	N	TY	TZ	MT	MY	MZ	My4	Mz4	Comb.
cm		kg	kg	kg	kg*m	kg*m	kg*m			
150	1	1102	-146	-1018	-1	-3050	430	--	--	(20+21)-VI-2

X	cls	Nr	Vyr	Vzr	Mry	Mrz	MTrd	SF_V.	SF_M	SF_Mt	SF
cm		kg	kg	kg	kg*m	kg*m	kg*m				
150	1	238441	106401	42200	21670	10317	652	41	5.3	>100	5.3

Asta: 184 [1191,1234] Sez. G: HE 220 B L=150.0 cm Crit.: Acciaio_Flessione $\gamma M=1.05$ $f_y k/\gamma M=2619$ kg/cmq $f_t=4300$ kg/cmq :**Verificato**

X	cls	N	TY	TZ	MT	MY	MZ	My4	Mz4	Comb.
cm		kg	kg	kg	kg*m	kg*m	kg*m			
150	1	999	40	-657	-1	-1792	701	--	--	12

X	cls	Nr	Vyr	Vzr	Mry	Mrz	MTrd	SF_V.	SF_M	SF_Mt	SF
cm		kg	kg	kg	kg*m	kg*m	kg*m				

X	cls	Nr	Vyr	Vzr	Mry	Mrz	MTrd	SF_V.	SF_M	SF_Mt	SF
150	1	238441	106386	42194	21670	10317	652	64	6.5	>100	6.5

Asta: 184 [1011,1191] Sez. G: HE 220 B L=150.0 cm Crit.: Acciaio_Flessione $\gamma_M=1.05$ fyk/ $\gamma_M=2619$ kg/cm² ft=4300 kg/cm² :**Verificato**

X	cls	N	TY	TZ	MT	MY	MZ	My4	Mz4	Comb.
cm		kg	kg	kg	kg*m	kg*m	kg*m			
0	1	-289	-168	-1696	-1	3043	130	--	--	(20+21)-VI-2

X	cls	Nr	Vyr	Vzr	Mry	Mrz	MTrd	SF_V.	SF_M	SF_Mt	SF
cm		kg	kg	kg	kg*m	kg*m	kg*m				
0	1	238441	106412	42204	21670	10317	652	25	6.5	>100	6.5

Asta: 185 [1012,1278] Sez. G: HE 220 B L=134.0 cm Crit.: Acciaio_Flessione $\gamma_M=1.05$ fyk/ $\gamma_M=2619$ kg/cm² ft=4300 kg/cm² :**Verificato**

X	cls	N	TY	TZ	MT	MY	MZ	My4	Mz4	Comb.
cm		kg	kg	kg	kg*m	kg*m	kg*m			
0	1	-633	93	-3212	6	8522	835	--	--	6

X	cls	Nr	Vyr	Vzr	Mry	Mrz	MTrd	SF_V.	SF_M	SF_Mt	SF
cm		kg	kg	kg	kg*m	kg*m	kg*m				
0	1	238441	106090	42076	21670	10317	652	13	2.1	>100	2.1

Asta: 185 [1278,1321] Sez. G: HE 220 B L=134.0 cm Crit.: Acciaio_Flessione $\gamma_M=1.05$ fyk/ $\gamma_M=2619$ kg/cm² ft=4300 kg/cm² :**Verificato**

X	cls	N	TY	TZ	MT	MY	MZ	My4	Mz4	Comb.
cm		kg	kg	kg	kg*m	kg*m	kg*m			
0	1	-499	-21	-2218	5	4301	711	--	--	6

X	cls	Nr	Vyr	Vzr	Mry	Mrz	MTrd	SF_V.	SF_M	SF_Mt	SF
cm		kg	kg	kg	kg*m	kg*m	kg*m				
0	1	238441	106107	42083	21670	10317	652	19	3.7	>100	3.7

Asta: 185 [1321,1364] Sez. G: HE 220 B L=119.0 cm Crit.: Acciaio_Flessione $\gamma_M=1.05$ fyk/ $\gamma_M=2619$ kg/cm² ft=4300 kg/cm² :**Verificato**

X	cls	N	TY	TZ	MT	MY	MZ	My4	Mz4	Comb.
cm		kg	kg	kg	kg*m	kg*m	kg*m			
0	1	-135	396	-1271	5	1412	741	--	--	6

X	cls	Nr	Vyr	Vzr	Mry	Mrz	MTrd	SF_V.	SF_M	SF_Mt	SF
cm		kg	kg	kg	kg*m	kg*m	kg*m				
0	1	238441	106128	42091	21670	10317	652	33	7.3	>100	7.3

Asta: 186 [1238,1279] Sez. G: HE 220 B L=134.0 cm Crit.: Acciaio_Flessione $\gamma_M=1.05$ fyk/ $\gamma_M=2619$ kg/cm² ft=4300 kg/cm² :**Verificato**

X	cls	N	TY	TZ	MT	MY	MZ	My4	Mz4	Comb.
cm		kg	kg	kg	kg*m	kg*m	kg*m			
0	1	55	12	-2027	6	4158	748	--	--	6

X	cls	Nr	Vyr	Vzr	Mry	Mrz	MTrd	SF_V.	SF_M	SF_Mt	SF
cm		kg	kg	kg	kg*m	kg*m	kg*m				
0	1	238441	106085	42074	21670	10317	652	21	3.8	>100	3.8

Asta: 186 [1279,1322] Sez. G: HE 220 B L=134.0 cm Crit.: Acciaio_Flessione $\gamma_M=1.05$ fyk/ $\gamma_M=2619$ kg/cm² ft=4300 kg/cm² :**Verificato**

X	cls	N	TY	TZ	MT	MY	MZ	My4	Mz4	Comb.
cm		kg	kg	kg	kg*m	kg*m	kg*m			
0	1	60	-3	-1086	6	1526	733	--	--	6

X	cls	Nr	Vyr	Vzr	Mry	Mrz	MTrd	SF_V.	SF_M	SF_Mt	SF
cm		kg	kg	kg	kg*m	kg*m	kg*m				
0	1	238441	106085	42074	21670	10317	652	39	7.1	>100	7.1

Asta: 186 [1322,1365] Sez. G: HE 220 B L=119.0 cm Crit.: Acciaio_Flessione $\gamma_M=1.05$ fyk/ $\gamma_M=2619$ kg/cm² ft=4300 kg/cm² :**Verificato**

X	cls	N	TY	TZ	MT	MY	MZ	My4	Mz4	Comb.
cm		kg	kg	kg	kg*m	kg*m	kg*m			
0	1	23	432	-183	6	154	737	--	--	6

X	cls	Nr	Vyr	Vzr	Mry	Mrz	MTrd	SF_V.	SF_M	SF_Mt	SF
cm		kg	kg	kg	kg*m	kg*m	kg*m				
0	1	238441	106074	42070	21670	10317	652	>100	13	>100	13

Asta: 187 [1239,1280] Sez. G: HE 220 B L=134.0 cm Crit.: Acciaio_Flessione $\gamma_M=1.05$ $f_yk/\gamma_M=2619$ kg/cmq $f_t=4300$ kg/cmq :**Verificato**

X	cls	N	TY	TZ	MT	MY	MZ	My4	Mz4	Comb.
cm		kg	kg	kg	kg*m	kg*m	kg*m			
0	1	-24	4	-2258	3	5270	749	--	--	6

X	cls	Nr	Vyr	Vzr	Mry	Mrz	MTrd	SF_V.	SF_M	SF_Mt	SF
cm		kg	kg	kg	kg*m	kg*m	kg*m				
0	1	238441	106231	42132	21670	10317	652	19	3.2	>100	3.2

Asta: 187 [1280,1323] Sez. G: HE 220 B L=134.0 cm Crit.: Acciaio_Flessione $\gamma_M=1.05$ $f_yk/\gamma_M=2619$ kg/cmq $f_t=4300$ kg/cmq :**Verificato**

X	cls	N	TY	TZ	MT	MY	MZ	My4	Mz4	Comb.
cm		kg	kg	kg	kg*m	kg*m	kg*m			
0	1	-19	28	-1379	3	2327	745	--	--	6

X	cls	Nr	Vyr	Vzr	Mry	Mrz	MTrd	SF_V.	SF_M	SF_Mt	SF
cm		kg	kg	kg	kg*m	kg*m	kg*m				
0	1	238441	106230	42132	21670	10317	652	31	5.6	>100	5.6

Asta: 187 [1323,1366] Sez. G: HE 220 B L=119.0 cm Crit.: Acciaio_Flessione $\gamma_M=1.05$ $f_yk/\gamma_M=2619$ kg/cmq $f_t=4300$ kg/cmq :**Verificato**

X	cls	N	TY	TZ	MT	MY	MZ	My4	Mz4	Comb.
cm		kg	kg	kg	kg*m	kg*m	kg*m			
0	1	-14	390	-541	3	562	709	--	--	6

X	cls	Nr	Vyr	Vzr	Mry	Mrz	MTrd	SF_V.	SF_M	SF_Mt	SF
cm		kg	kg	kg	kg*m	kg*m	kg*m				
0	1	238441	106230	42132	21670	10317	652	78	11	>100	11

Asta: 188 [1240,1281] Sez. G: HE 220 B L=134.0 cm Crit.: Acciaio_Flessione $\gamma_M=1.05$ $f_yk/\gamma_M=2619$ kg/cmq $f_t=4300$ kg/cmq :**Verificato**

X	cls	N	TY	TZ	MT	MY	MZ	My4	Mz4	Comb.
cm		kg	kg	kg	kg*m	kg*m	kg*m			
0	1	-24	14	-2104	3	4889	750	--	--	6

X	cls	Nr	Vyr	Vzr	Mry	Mrz	MTrd	SF_V.	SF_M	SF_Mt	SF
cm		kg	kg	kg	kg*m	kg*m	kg*m				
0	1	238441	106276	42150	21670	10317	652	20	3.4	>100	3.4

Asta: 188 [1281,1324] Sez. G: HE 220 B L=134.0 cm Crit.: Acciaio_Flessione $\gamma_M=1.05$ $f_yk/\gamma_M=2619$ kg/cmq $f_t=4300$ kg/cmq :**Verificato**

X	cls	N	TY	TZ	MT	MY	MZ	My4	Mz4	Comb.
cm		kg	kg	kg	kg*m	kg*m	kg*m			
0	1	-19	-1	-1286	3	2153	732	--	--	6

X	cls	Nr	Vyr	Vzr	Mry	Mrz	MTrd	SF_V.	SF_M	SF_Mt	SF
cm		kg	kg	kg	kg*m	kg*m	kg*m				
0	1	238441	106275	42149	21670	10317	652	33	5.9	>100	5.9

Asta: 188 [1324,1367] Sez. G: HE 220 B L=119.0 cm Crit.: Acciaio_Flessione $\gamma_M=1.05$ $f_yk/\gamma_M=2619$ kg/cmq $f_t=4300$ kg/cmq :**Verificato**

X	cls	N	TY	TZ	MT	MY	MZ	My4	Mz4	Comb.
cm		kg	kg	kg	kg*m	kg*m	kg*m			
0	1	-44	470	-499	2	513	736	--	--	6

X	cls	Nr	Vyr	Vzr	Mry	Mrz	MTrd	SF_V.	SF_M	SF_Mt	SF
cm		kg	kg	kg	kg*m	kg*m	kg*m				

X	cls	Nr	Vyr	Vzr	Mry	Mrz	MTrd	SF_V.	SF_M	SF_Mt	SF
0	1	238441	106293	42157	21670	10317	652	84	11	>100	11

Asta: 189 [1013,1282] Sez. G: HE 220 B L=134.0 cm Crit.: Acciaio_Flessione $\gamma_M=1.05$ $f_yk/\gamma_M=2619$ kg/cm² $f_t=4300$ kg/cm² :**Verificato**

X	cls	N	TY	TZ	MT	MY	MZ	My4	Mz4	Comb.
cm		kg	kg	kg	kg*m	kg*m	kg*m			
0	1	61	-0	-2106	3	4928	742	--	--	6

X	cls	Nr	Vyr	Vzr	Mry	Mrz	MTrd	SF_V.	SF_M	SF_Mt	SF
cm		kg	kg	kg	kg*m	kg*m	kg*m				
0	1	238441	106235	42134	21670	10317	652	20	3.3	>100	3.3

Asta: 189 [1282,1325] Sez. G: HE 220 B L=134.0 cm Crit.: Acciaio_Flessione $\gamma_M=1.05$ $f_yk/\gamma_M=2619$ kg/cm² $f_t=4300$ kg/cm² :**Verificato**

X	cls	N	TY	TZ	MT	MY	MZ	My4	Mz4	Comb.
cm		kg	kg	kg	kg*m	kg*m	kg*m			
0	1	64	27	-1288	3	2188	744	--	--	6

X	cls	Nr	Vyr	Vzr	Mry	Mrz	MTrd	SF_V.	SF_M	SF_Mt	SF
cm		kg	kg	kg	kg*m	kg*m	kg*m				
0	1	238441	106235	42134	21670	10317	652	33	5.8	>100	5.8

Asta: 189 [1325,1368] Sez. G: HE 220 B L=119.0 cm Crit.: Acciaio_Flessione $\gamma_M=1.05$ $f_yk/\gamma_M=2619$ kg/cm² $f_t=4300$ kg/cm² :**Verificato**

X	cls	N	TY	TZ	MT	MY	MZ	My4	Mz4	Comb.
cm		kg	kg	kg	kg*m	kg*m	kg*m			
0	1	65	390	-508	3	544	708	--	--	6

X	cls	Nr	Vyr	Vzr	Mry	Mrz	MTrd	SF_V.	SF_M	SF_Mt	SF
cm		kg	kg	kg	kg*m	kg*m	kg*m				
0	1	238441	106234	42133	21670	10317	652	83	11	>100	11

Asta: 190 [1242,1283] Sez. G: HE 220 B L=134.0 cm Crit.: Acciaio_Flessione $\gamma_M=1.05$ $f_yk/\gamma_M=2619$ kg/cm² $f_t=4300$ kg/cm² :**Verificato**

X	cls	N	TY	TZ	MT	MY	MZ	My4	Mz4	Comb.
cm		kg	kg	kg	kg*m	kg*m	kg*m			
0	1	-33	10	-2177	3	5059	744	--	--	6

X	cls	Nr	Vyr	Vzr	Mry	Mrz	MTrd	SF_V.	SF_M	SF_Mt	SF
cm		kg	kg	kg	kg*m	kg*m	kg*m				
0	1	238441	106229	42132	21670	10317	652	19	3.3	>100	3.3

Asta: 190 [1283,1326] Sez. G: HE 220 B L=134.0 cm Crit.: Acciaio_Flessione $\gamma_M=1.05$ $f_yk/\gamma_M=2619$ kg/cm² $f_t=4300$ kg/cm² :**Verificato**

X	cls	N	TY	TZ	MT	MY	MZ	My4	Mz4	Comb.
cm		kg	kg	kg	kg*m	kg*m	kg*m			
0	1	-27	3	-1329	3	2225	730	--	--	6

X	cls	Nr	Vyr	Vzr	Mry	Mrz	MTrd	SF_V.	SF_M	SF_Mt	SF
cm		kg	kg	kg	kg*m	kg*m	kg*m				
0	1	238441	106230	42132	21670	10317	652	32	5.8	>100	5.8

Asta: 190 [1326,1369] Sez. G: HE 220 B L=119.0 cm Crit.: Acciaio_Flessione $\gamma_M=1.05$ $f_yk/\gamma_M=2619$ kg/cm² $f_t=4300$ kg/cm² :**Verificato**

X	cls	N	TY	TZ	MT	MY	MZ	My4	Mz4	Comb.
cm		kg	kg	kg	kg*m	kg*m	kg*m			
0	1	-50	386	-513	4	528	724	--	--	6

X	cls	Nr	Vyr	Vzr	Mry	Mrz	MTrd	SF_V.	SF_M	SF_Mt	SF
cm		kg	kg	kg	kg*m	kg*m	kg*m				
0	1	238441	106214	42125	21670	10317	652	82	11	>100	11

Asta: 191 [1243,1284] Sez. G: HE 220 B L=134.0 cm Crit.: Acciaio_Flessione $\gamma_M=1.05$ $f_yk/\gamma_M=2619$ kg/cm² $f_t=4300$ kg/cm² :**Verificato**

X	cls	N	TY	TZ	MT	MY	MZ	My4	Mz4	Comb.
cm		kg	kg	kg	kg*m	kg*m	kg*m			
0	1	-21	-2	-2252	3	5247	737	--	--	6

X	cls	Nr	Vyr	Vzr	Mry	Mrz	MTrd	SF_V.	SF_M	SF_Mt	SF
cm		kg	kg	kg	kg*m	kg*m	kg*m				
0	1	238441	106232	42133	21670	10317	652	19	3.2	>100	3.2

Asta: 191 [1284,1327] Sez. G: HE 220 B L=134.0 cm Crit.: Acciaio_Flessione $\gamma_M=1.05$ $f_yk/\gamma_M=2619$ kg/cmq $f_t=4300$ kg/cmq :**Verificato**

X	cls	N	TY	TZ	MT	MY	MZ	My4	Mz4	Comb.
cm		kg	kg	kg	kg*m	kg*m	kg*m			
0	1	-16	22	-1372	3	2314	741	--	--	6

X	cls	Nr	Vyr	Vzr	Mry	Mrz	MTrd	SF_V.	SF_M	SF_Mt	SF
cm		kg	kg	kg	kg*m	kg*m	kg*m				
0	1	238441	106232	42132	21670	10317	652	31	5.6	>100	5.6

Asta: 191 [1327,1370] Sez. G: HE 220 B L=119.0 cm Crit.: Acciaio_Flessione $\gamma_M=1.05$ $f_yk/\gamma_M=2619$ kg/cmq $f_t=4300$ kg/cmq :**Verificato**

X	cls	N	TY	TZ	MT	MY	MZ	My4	Mz4	Comb.
cm		kg	kg	kg	kg*m	kg*m	kg*m			
0	1	-11	391	-534	3	558	712	--	--	6

X	cls	Nr	Vyr	Vzr	Mry	Mrz	MTrd	SF_V.	SF_M	SF_Mt	SF
cm		kg	kg	kg	kg*m	kg*m	kg*m				
0	1	238441	106231	42132	21670	10317	652	79	11	>100	11

Asta: 192 [1244,1285] Sez. G: HE 220 B L=134.0 cm Crit.: Acciaio_Flessione $\gamma_M=1.05$ $f_yk/\gamma_M=2619$ kg/cmq $f_t=4300$ kg/cmq :**Verificato**

X	cls	N	TY	TZ	MT	MY	MZ	My4	Mz4	Comb.
cm		kg	kg	kg	kg*m	kg*m	kg*m			
0	1	-35	9	-2251	3	5231	737	--	--	6

X	cls	Nr	Vyr	Vzr	Mry	Mrz	MTrd	SF_V.	SF_M	SF_Mt	SF
cm		kg	kg	kg	kg*m	kg*m	kg*m				
0	1	238441	106269	42147	21670	10317	652	19	3.2	>100	3.2

Asta: 192 [1285,1328] Sez. G: HE 220 B L=134.0 cm Crit.: Acciaio_Flessione $\gamma_M=1.05$ $f_yk/\gamma_M=2619$ kg/cmq $f_t=4300$ kg/cmq :**Verificato**

X	cls	N	TY	TZ	MT	MY	MZ	My4	Mz4	Comb.
cm		kg	kg	kg	kg*m	kg*m	kg*m			
0	1	-30	-12	-1372	3	2298	726	--	--	6

X	cls	Nr	Vyr	Vzr	Mry	Mrz	MTrd	SF_V.	SF_M	SF_Mt	SF
cm		kg	kg	kg	kg*m	kg*m	kg*m				
0	1	238441	106268	42147	21670	10317	652	31	5.7	>100	5.7

Asta: 192 [1328,1371] Sez. G: HE 220 B L=119.0 cm Crit.: Acciaio_Flessione $\gamma_M=1.05$ $f_yk/\gamma_M=2619$ kg/cmq $f_t=4300$ kg/cmq :**Verificato**

X	cls	N	TY	TZ	MT	MY	MZ	My4	Mz4	Comb.
cm		kg	kg	kg	kg*m	kg*m	kg*m			
0	1	-52	470	-527	3	544	744	--	--	6

X	cls	Nr	Vyr	Vzr	Mry	Mrz	MTrd	SF_V.	SF_M	SF_Mt	SF
cm		kg	kg	kg	kg*m	kg*m	kg*m				
0	1	238441	106286	42154	21670	10317	652	80	10	>100	10

Asta: 193 [1014,1286] Sez. G: HE 220 B L=134.0 cm Crit.: Acciaio_Flessione $\gamma_M=1.05$ $f_yk/\gamma_M=2619$ kg/cmq $f_t=4300$ kg/cmq :**Verificato**

X	cls	N	TY	TZ	MT	MY	MZ	My4	Mz4	Comb.
cm		kg	kg	kg	kg*m	kg*m	kg*m			
0	1	51	-7	-2253	3	5271	729	--	--	6

X	cls	Nr	Vyr	Vzr	Mry	Mrz	MTrd	SF_V.	SF_M	SF_Mt	SF
cm		kg	kg	kg	kg*m	kg*m	kg*m				

X	cls	Nr	Vyr	Vzr	Mry	Mrz	MTrd	SF_V.	SF_M	SF_Mt	SF
0	1	238441	106231	42132	21670	10317	652	19	3.2	>100	3.2

Asta: 193 [1286,1329] Sez. G: HE 220 B L=134.0 cm Crit.: Acciaio_Flessione $\gamma_M=1.05$ fyk/ $\gamma_M=2619$ kg/cmq ft=4300 kg/cmq :**Verificato**

X	cls	N	TY	TZ	MT	MY	MZ	My4	Mz4	Comb.
cm		kg	kg	kg	kg*m	kg*m	kg*m			
0	1	54	17	-1374	3	2334	739	--	--	6

X	cls	Nr	Vyr	Vzr	Mry	Mrz	MTrd	SF_V.	SF_M	SF_Mt	SF
cm		kg	kg	kg	kg*m	kg*m	kg*m				
0	1	238441	106231	42132	21670	10317	652	31	5.6	>100	5.6

Asta: 193 [1329,1372] Sez. G: HE 220 B L=119.0 cm Crit.: Acciaio_Flessione $\gamma_M=1.05$ fyk/ $\gamma_M=2619$ kg/cmq ft=4300 kg/cmq :**Verificato**

X	cls	N	TY	TZ	MT	MY	MZ	My4	Mz4	Comb.
cm		kg	kg	kg	kg*m	kg*m	kg*m			
0	1	55	395	-536	3	576	717	--	--	6

X	cls	Nr	Vyr	Vzr	Mry	Mrz	MTrd	SF_V.	SF_M	SF_Mt	SF
cm		kg	kg	kg	kg*m	kg*m	kg*m				
0	1	238441	106231	42132	21670	10317	652	79	10	>100	10

Asta: 194 [1245,1287] Sez. G: HE 220 B L=134.0 cm Crit.: Acciaio_Flessione $\gamma_M=1.05$ fyk/ $\gamma_M=2619$ kg/cmq ft=4300 kg/cmq :**Verificato**

X	cls	N	TY	TZ	MT	MY	MZ	My4	Mz4	Comb.
cm		kg	kg	kg	kg*m	kg*m	kg*m			
0	1	-37	5	-2251	3	5231	732	--	--	6

X	cls	Nr	Vyr	Vzr	Mry	Mrz	MTrd	SF_V.	SF_M	SF_Mt	SF
cm		kg	kg	kg	kg*m	kg*m	kg*m				
0	1	238441	106228	42131	21670	10317	652	19	3.2	>100	3.2

Asta: 194 [1287,1330] Sez. G: HE 220 B L=134.0 cm Crit.: Acciaio_Flessione $\gamma_M=1.05$ fyk/ $\gamma_M=2619$ kg/cmq ft=4300 kg/cmq :**Verificato**

X	cls	N	TY	TZ	MT	MY	MZ	My4	Mz4	Comb.
cm		kg	kg	kg	kg*m	kg*m	kg*m			
0	1	-31	-8	-1372	3	2298	725	--	--	6

X	cls	Nr	Vyr	Vzr	Mry	Mrz	MTrd	SF_V.	SF_M	SF_Mt	SF
cm		kg	kg	kg	kg*m	kg*m	kg*m				
0	1	238441	106229	42131	21670	10317	652	31	5.7	>100	5.7

Asta: 194 [1330,1373] Sez. G: HE 220 B L=119.0 cm Crit.: Acciaio_Flessione $\gamma_M=1.05$ fyk/ $\gamma_M=2619$ kg/cmq ft=4300 kg/cmq :**Verificato**

X	cls	N	TY	TZ	MT	MY	MZ	My4	Mz4	Comb.
cm		kg	kg	kg	kg*m	kg*m	kg*m			
0	1	-52	395	-527	4	544	735	--	--	6

X	cls	Nr	Vyr	Vzr	Mry	Mrz	MTrd	SF_V.	SF_M	SF_Mt	SF
cm		kg	kg	kg	kg*m	kg*m	kg*m				
0	1	238441	106214	42125	21670	10317	652	80	10	>100	10

Asta: 195 [1246,1288] Sez. G: HE 220 B L=134.0 cm Crit.: Acciaio_Flessione $\gamma_M=1.05$ fyk/ $\gamma_M=2619$ kg/cmq ft=4300 kg/cmq :**Verificato**

X	cls	N	TY	TZ	MT	MY	MZ	My4	Mz4	Comb.
cm		kg	kg	kg	kg*m	kg*m	kg*m			
0	1	-22	-11	-2252	3	5248	723	--	--	6

X	cls	Nr	Vyr	Vzr	Mry	Mrz	MTrd	SF_V.	SF_M	SF_Mt	SF
cm		kg	kg	kg	kg*m	kg*m	kg*m				
0	1	238441	106232	42132	21670	10317	652	19	3.2	>100	3.2

Asta: 195 [1288,1331] Sez. G: HE 220 B L=134.0 cm Crit.: Acciaio_Flessione $\gamma_M=1.05$ fyk/ $\gamma_M=2619$ kg/cmq ft=4300 kg/cmq :**Verificato**

X	cls	N	TY	TZ	MT	MY	MZ	My4	Mz4	Comb.
cm		kg	kg	kg	kg*m	kg*m	kg*m			
0	1	-17	12	-1372	3	2314	737	--	--	6

X	cls	Nr	Vyr	Vzr	Mry	Mrz	MTrd	SF_V.	SF_M	SF_Mt	SF
cm		kg	kg	kg	kg*m	kg*m	kg*m				
0	1	238441	106232	42132	21670	10317	652	31	5.6	>100	5.6

Asta: 195 [1331,1374] Sez. G: HE 220 B L=119.0 cm Crit.: Acciaio_Flessione $\gamma M=1.05$ fyk/ $\gamma M=2619$ kg/cmq ft=4300 kg/cmq :**Verificato**

X	cls	N	TY	TZ	MT	MY	MZ	My4	Mz4	Comb.
cm		kg	kg	kg	kg*m	kg*m	kg*m			
0	1	-12	399	-534	3	558	722	--	--	6

X	cls	Nr	Vyr	Vzr	Mry	Mrz	MTrd	SF_V.	SF_M	SF_Mt	SF
cm		kg	kg	kg	kg*m	kg*m	kg*m				
0	1	238441	106232	42132	21670	10317	652	79	10	>100	10

Asta: 196 [1247,1289] Sez. G: HE 220 B L=134.0 cm Crit.: Acciaio_Flessione $\gamma M=1.05$ fyk/ $\gamma M=2619$ kg/cmq ft=4300 kg/cmq :**Verificato**

X	cls	N	TY	TZ	MT	MY	MZ	My4	Mz4	Comb.
cm		kg	kg	kg	kg*m	kg*m	kg*m			
0	1	-35	1	-2251	3	5231	723	--	--	6

X	cls	Nr	Vyr	Vzr	Mry	Mrz	MTrd	SF_V.	SF_M	SF_Mt	SF
cm		kg	kg	kg	kg*m	kg*m	kg*m				
0	1	238441	106267	42147	21670	10317	652	19	3.2	>100	3.2

Asta: 196 [1289,1332] Sez. G: HE 220 B L=134.0 cm Crit.: Acciaio_Flessione $\gamma M=1.05$ fyk/ $\gamma M=2619$ kg/cmq ft=4300 kg/cmq :**Verificato**

X	cls	N	TY	TZ	MT	MY	MZ	My4	Mz4	Comb.
cm		kg	kg	kg	kg*m	kg*m	kg*m			
0	1	-30	-23	-1372	3	2298	723	--	--	6

X	cls	Nr	Vyr	Vzr	Mry	Mrz	MTrd	SF_V.	SF_M	SF_Mt	SF
cm		kg	kg	kg	kg*m	kg*m	kg*m				
0	1	238441	106267	42146	21670	10317	652	31	5.7	>100	5.7

Asta: 196 [1332,1375] Sez. G: HE 220 B L=119.0 cm Crit.: Acciaio_Flessione $\gamma M=1.05$ fyk/ $\gamma M=2619$ kg/cmq ft=4300 kg/cmq :**Verificato**

X	cls	N	TY	TZ	MT	MY	MZ	My4	Mz4	Comb.
cm		kg	kg	kg	kg*m	kg*m	kg*m			
0	1	-52	479	-527	3	544	756	--	--	6

X	cls	Nr	Vyr	Vzr	Mry	Mrz	MTrd	SF_V.	SF_M	SF_Mt	SF
cm		kg	kg	kg	kg*m	kg*m	kg*m				
0	1	238441	106285	42154	21670	10317	652	80	10	>100	10

Asta: 197 [1015,1290] Sez. G: HE 220 B L=134.0 cm Crit.: Acciaio_Flessione $\gamma M=1.05$ fyk/ $\gamma M=2619$ kg/cmq ft=4300 kg/cmq :**Verificato**

X	cls	N	TY	TZ	MT	MY	MZ	My4	Mz4	Comb.
cm		kg	kg	kg	kg*m	kg*m	kg*m			
0	1	56	-19	-2253	3	5271	712	--	--	6

X	cls	Nr	Vyr	Vzr	Mry	Mrz	MTrd	SF_V.	SF_M	SF_Mt	SF
cm		kg	kg	kg	kg*m	kg*m	kg*m				
0	1	238441	106229	42131	21670	10317	652	19	3.2	>100	3.2

Asta: 197 [1290,1333] Sez. G: HE 220 B L=134.0 cm Crit.: Acciaio_Flessione $\gamma M=1.05$ fyk/ $\gamma M=2619$ kg/cmq ft=4300 kg/cmq :**Verificato**

X	cls	N	TY	TZ	MT	MY	MZ	My4	Mz4	Comb.
cm		kg	kg	kg	kg*m	kg*m	kg*m			
0	1	59	6	-1374	3	2334	736	--	--	6

X	cls	Nr	Vyr	Vzr	Mry	Mrz	MTrd	SF_V.	SF_M	SF_Mt	SF
cm		kg	kg	kg	kg*m	kg*m	kg*m				

X	cls	Nr	Vyr	Vzr	Mry	Mrz	MTrd	SF_V.	SF_M	SF_Mt	SF
0	1	238441	106229	42131	21670	10317	652	31	5.6	>100	5.6

Asta: 197 [1333,1376] Sez. G: HE 220 B L=119.0 cm Crit.: Acciaio_Flessione $\gamma_M=1.05$ fyk/ $\gamma_M=2619$ kg/cm² ft=4300 kg/cm² :**Verificato**

X	cls	N	TY	TZ	MT	MY	MZ	My4	Mz4	Comb.
cm		kg	kg	kg	kg*m	kg*m	kg*m			
0	1	60	403	-536	3	576	728	--	--	6

X	cls	Nr	Vyr	Vzr	Mry	Mrz	MTrd	SF_V.	SF_M	SF_Mt	SF
cm		kg	kg	kg	kg*m	kg*m	kg*m				
0	1	238441	106229	42132	21670	10317	652	79	10	>100	10

Asta: 198 [1249,1291] Sez. G: HE 220 B L=134.0 cm Crit.: Acciaio_Flessione $\gamma_M=1.05$ fyk/ $\gamma_M=2619$ kg/cm² ft=4300 kg/cm² :**Verificato**

X	cls	N	TY	TZ	MT	MY	MZ	My4	Mz4	Comb.
cm		kg	kg	kg	kg*m	kg*m	kg*m			
0	1	-36	-9	-2251	3	5231	711	--	--	6

X	cls	Nr	Vyr	Vzr	Mry	Mrz	MTrd	SF_V.	SF_M	SF_Mt	SF
cm		kg	kg	kg	kg*m	kg*m	kg*m				
0	1	238441	106226	42130	21670	10317	652	19	3.2	>100	3.2

Asta: 198 [1291,1334] Sez. G: HE 220 B L=134.0 cm Crit.: Acciaio_Flessione $\gamma_M=1.05$ fyk/ $\gamma_M=2619$ kg/cm² ft=4300 kg/cm² :**Verificato**

X	cls	N	TY	TZ	MT	MY	MZ	My4	Mz4	Comb.
cm		kg	kg	kg	kg*m	kg*m	kg*m			
0	1	-30	-21	-1372	3	2298	722	--	--	6

X	cls	Nr	Vyr	Vzr	Mry	Mrz	MTrd	SF_V.	SF_M	SF_Mt	SF
cm		kg	kg	kg	kg*m	kg*m	kg*m				
0	1	238441	106227	42131	21670	10317	652	31	5.7	>100	5.7

Asta: 198 [1334,1377] Sez. G: HE 220 B L=119.0 cm Crit.: Acciaio_Flessione $\gamma_M=1.05$ fyk/ $\gamma_M=2619$ kg/cm² ft=4300 kg/cm² :**Verificato**

X	cls	N	TY	TZ	MT	MY	MZ	My4	Mz4	Comb.
cm		kg	kg	kg	kg*m	kg*m	kg*m			
0	1	-52	406	-527	4	544	749	--	--	6

X	cls	Nr	Vyr	Vzr	Mry	Mrz	MTrd	SF_V.	SF_M	SF_Mt	SF
cm		kg	kg	kg	kg*m	kg*m	kg*m				
0	1	238441	106213	42125	21670	10317	652	80	10	>100	10

Asta: 199 [1250,1292] Sez. G: HE 220 B L=134.0 cm Crit.: Acciaio_Flessione $\gamma_M=1.05$ fyk/ $\gamma_M=2619$ kg/cm² ft=4300 kg/cm² :**Verificato**

X	cls	N	TY	TZ	MT	MY	MZ	My4	Mz4	Comb.
cm		kg	kg	kg	kg*m	kg*m	kg*m			
0	1	-25	-25	-2252	3	5248	702	--	--	6

X	cls	Nr	Vyr	Vzr	Mry	Mrz	MTrd	SF_V.	SF_M	SF_Mt	SF
cm		kg	kg	kg	kg*m	kg*m	kg*m				
0	1	238441	106229	42131	21670	10317	652	19	3.2	>100	3.2

Asta: 199 [1292,1335] Sez. G: HE 220 B L=134.0 cm Crit.: Acciaio_Flessione $\gamma_M=1.05$ fyk/ $\gamma_M=2619$ kg/cm² ft=4300 kg/cm² :**Verificato**

X	cls	N	TY	TZ	MT	MY	MZ	My4	Mz4	Comb.
cm		kg	kg	kg	kg*m	kg*m	kg*m			
0	1	-21	-1	-1372	3	2314	735	--	--	6

X	cls	Nr	Vyr	Vzr	Mry	Mrz	MTrd	SF_V.	SF_M	SF_Mt	SF
cm		kg	kg	kg	kg*m	kg*m	kg*m				
0	1	238441	106229	42131	21670	10317	652	31	5.6	>100	5.6

Asta: 199 [1335,1378] Sez. G: HE 220 B L=119.0 cm Crit.: Acciaio_Flessione $\gamma_M=1.05$ fyk/ $\gamma_M=2619$ kg/cm² ft=4300 kg/cm² :**Verificato**

X	cls	N	TY	TZ	MT	MY	MZ	My4	Mz4	Comb.
cm		kg	kg	kg	kg*m	kg*m	kg*m			
0	1	-16	409	-534	3	558	736	--	--	6

X	cls	Nr	Vyr	Vzr	Mry	Mrz	MTrd	SF_V.	SF_M	SF_Mt	SF
cm		kg	kg	kg	kg*m	kg*m	kg*m				
0	1	238441	106230	42132	21670	10317	652	79	10	>100	10

Asta: 200 [1251,1293] Sez. G: HE 220 B L=134.0 cm Crit.: Acciaio_Flessione $\gamma M=1.05$ fyk/ $\gamma M=2619$ kg/cm² ft=4300 kg/cm² :**Verificato**

X	cls	N	TY	TZ	MT	MY	MZ	My4	Mz4	Comb.
cm		kg	kg	kg	kg*m	kg*m	kg*m			
0	1	-32	-12	-2251	3	5231	703	--	--	6

X	cls	Nr	Vyr	Vzr	Mry	Mrz	MTrd	SF_V.	SF_M	SF_Mt	SF
cm		kg	kg	kg	kg*m	kg*m	kg*m				
0	1	238441	106266	42146	21670	10317	652	19	3.2	>100	3.2

Asta: 200 [1293,1336] Sez. G: HE 220 B L=134.0 cm Crit.: Acciaio_Flessione $\gamma M=1.05$ fyk/ $\gamma M=2619$ kg/cm² ft=4300 kg/cm² :**Verificato**

X	cls	N	TY	TZ	MT	MY	MZ	My4	Mz4	Comb.
cm		kg	kg	kg	kg*m	kg*m	kg*m			
0	1	-27	-39	-1372	3	2298	719	--	--	6

X	cls	Nr	Vyr	Vzr	Mry	Mrz	MTrd	SF_V.	SF_M	SF_Mt	SF
cm		kg	kg	kg	kg*m	kg*m	kg*m				
0	1	238441	106266	42146	21670	10317	652	31	5.7	>100	5.7

Asta: 200 [1336,1379] Sez. G: HE 220 B L=119.0 cm Crit.: Acciaio_Flessione $\gamma M=1.05$ fyk/ $\gamma M=2619$ kg/cm² ft=4300 kg/cm² :**Verificato**

X	cls	N	TY	TZ	MT	MY	MZ	My4	Mz4	Comb.
cm		kg	kg	kg	kg*m	kg*m	kg*m			
0	1	-52	493	-527	3	544	773	--	--	6

X	cls	Nr	Vyr	Vzr	Mry	Mrz	MTrd	SF_V.	SF_M	SF_Mt	SF
cm		kg	kg	kg	kg*m	kg*m	kg*m				
0	1	238441	106285	42153	21670	10317	652	80	10.0	>100	10.0

Asta: 201 [1016,1294] Sez. G: HE 220 B L=134.0 cm Crit.: Acciaio_Flessione $\gamma M=1.05$ fyk/ $\gamma M=2619$ kg/cm² ft=4300 kg/cm² :**Verificato**

X	cls	N	TY	TZ	MT	MY	MZ	My4	Mz4	Comb.
cm		kg	kg	kg	kg*m	kg*m	kg*m			
0	1	68	-36	-2253	3	5271	685	--	--	6

X	cls	Nr	Vyr	Vzr	Mry	Mrz	MTrd	SF_V.	SF_M	SF_Mt	SF
cm		kg	kg	kg	kg*m	kg*m	kg*m				
0	1	238441	106225	42130	21670	10317	652	19	3.2	>100	3.2

Asta: 201 [1294,1337] Sez. G: HE 220 B L=134.0 cm Crit.: Acciaio_Flessione $\gamma M=1.05$ fyk/ $\gamma M=2619$ kg/cm² ft=4300 kg/cm² :**Verificato**

X	cls	N	TY	TZ	MT	MY	MZ	My4	Mz4	Comb.
cm		kg	kg	kg	kg*m	kg*m	kg*m			
0	1	70	-10	-1374	3	2334	733	--	--	6

X	cls	Nr	Vyr	Vzr	Mry	Mrz	MTrd	SF_V.	SF_M	SF_Mt	SF
cm		kg	kg	kg	kg*m	kg*m	kg*m				
0	1	238441	106226	42130	21670	10317	652	31	5.6	>100	5.6

Asta: 201 [1337,1380] Sez. G: HE 220 B L=119.0 cm Crit.: Acciaio_Flessione $\gamma M=1.05$ fyk/ $\gamma M=2619$ kg/cm² ft=4300 kg/cm² :**Verificato**

X	cls	N	TY	TZ	MT	MY	MZ	My4	Mz4	Comb.
cm		kg	kg	kg	kg*m	kg*m	kg*m			
0	1	71	415	-536	3	576	746	--	--	6

X	cls	Nr	Vyr	Vzr	Mry	Mrz	MTrd	SF_V.	SF_M	SF_Mt	SF
cm		kg	kg	kg	kg*m	kg*m	kg*m				

X	cls	Nr	Vyr	Vzr	Mry	Mrz	MTrd	SF_V.	SF_M	SF_Mt	SF
0	1	238441	106226	42130	21670	10317	652	79	10	>100	10

Asta: 202 [1253,1295] Sez. G: HE 220 B L=134.0 cm Crit.: Acciaio_Flessione $\gamma M=1.05$ fyk/ $\gamma M=2619$ kg/cm² ft=4300 kg/cm² :**Verificato**

X	cls	N	TY	TZ	MT	MY	MZ	My4	Mz4	Comb.
cm		kg	kg	kg	kg*m	kg*m	kg*m			
0	1	-32	-29	-2251	4	5231	680	--	--	6

X	cls	Nr	Vyr	Vzr	Mry	Mrz	MTrd	SF_V.	SF_M	SF_Mt	SF
cm		kg	kg	kg	kg*m	kg*m	kg*m				
0	1	238441	106222	42129	21670	10317	652	19	3.3	>100	3.3

Asta: 202 [1295,1338] Sez. G: HE 220 B L=134.0 cm Crit.: Acciaio_Flessione $\gamma M=1.05$ fyk/ $\gamma M=2619$ kg/cm² ft=4300 kg/cm² :**Verificato**

X	cls	N	TY	TZ	MT	MY	MZ	My4	Mz4	Comb.
cm		kg	kg	kg	kg*m	kg*m	kg*m			
0	1	-27	-42	-1372	3	2298	717	--	--	6

X	cls	Nr	Vyr	Vzr	Mry	Mrz	MTrd	SF_V.	SF_M	SF_Mt	SF
cm		kg	kg	kg	kg*m	kg*m	kg*m				
0	1	238441	106224	42129	21670	10317	652	31	5.7	>100	5.7

Asta: 202 [1338,1381] Sez. G: HE 220 B L=119.0 cm Crit.: Acciaio_Flessione $\gamma M=1.05$ fyk/ $\gamma M=2619$ kg/cm² ft=4300 kg/cm² :**Verificato**

X	cls	N	TY	TZ	MT	MY	MZ	My4	Mz4	Comb.
cm		kg	kg	kg	kg*m	kg*m	kg*m			
0	1	-52	422	-527	4	544	770	--	--	6

X	cls	Nr	Vyr	Vzr	Mry	Mrz	MTrd	SF_V.	SF_M	SF_Mt	SF
cm		kg	kg	kg	kg*m	kg*m	kg*m				
0	1	238441	106210	42124	21670	10317	652	80	10	>100	10

Asta: 203 [1254,1296] Sez. G: HE 220 B L=134.0 cm Crit.: Acciaio_Flessione $\gamma M=1.05$ fyk/ $\gamma M=2619$ kg/cm² ft=4300 kg/cm² :**Verificato**

X	cls	N	TY	TZ	MT	MY	MZ	My4	Mz4	Comb.
cm		kg	kg	kg	kg*m	kg*m	kg*m			
0	1	-29	-44	-2252	4	5248	672	--	--	6

X	cls	Nr	Vyr	Vzr	Mry	Mrz	MTrd	SF_V.	SF_M	SF_Mt	SF
cm		kg	kg	kg	kg*m	kg*m	kg*m				
0	1	238441	106223	42129	21670	10317	652	19	3.3	>100	3.3

Asta: 203 [1296,1339] Sez. G: HE 220 B L=134.0 cm Crit.: Acciaio_Flessione $\gamma M=1.05$ fyk/ $\gamma M=2619$ kg/cm² ft=4300 kg/cm² :**Verificato**

X	cls	N	TY	TZ	MT	MY	MZ	My4	Mz4	Comb.
cm		kg	kg	kg	kg*m	kg*m	kg*m			
0	1	-24	-22	-1372	3	2314	729	--	--	6

X	cls	Nr	Vyr	Vzr	Mry	Mrz	MTrd	SF_V.	SF_M	SF_Mt	SF
cm		kg	kg	kg	kg*m	kg*m	kg*m				
0	1	238441	106224	42130	21670	10317	652	31	5.6	>100	5.6

Asta: 203 [1339,1382] Sez. G: HE 220 B L=119.0 cm Crit.: Acciaio_Flessione $\gamma M=1.05$ fyk/ $\gamma M=2619$ kg/cm² ft=4300 kg/cm² :**Verificato**

X	cls	N	TY	TZ	MT	MY	MZ	My4	Mz4	Comb.
cm		kg	kg	kg	kg*m	kg*m	kg*m			
0	1	-19	423	-534	3	558	757	--	--	6

X	cls	Nr	Vyr	Vzr	Mry	Mrz	MTrd	SF_V.	SF_M	SF_Mt	SF
cm		kg	kg	kg	kg*m	kg*m	kg*m				
0	1	238441	106225	42130	21670	10317	652	79	10	>100	10

Asta: 204 [1255,1297] Sez. G: HE 220 B L=134.0 cm Crit.: Acciaio_Flessione $\gamma M=1.05$ fyk/ $\gamma M=2619$ kg/cm² ft=4300 kg/cm² :**Verificato**

X	cls	N	TY	TZ	MT	MY	MZ	My4	Mz4	Comb.
cm		kg	kg	kg	kg*m	kg*m	kg*m			
0	1	-25	-27	-2251	3	5231	676	--	--	6

X	cls	Nr	Vyr	Vzr	Mry	Mrz	MTrd	SF_V.	SF_M	SF_Mt	SF
cm		kg	kg	kg	kg*m	kg*m	kg*m				
0	1	238441	106261	42144	21670	10317	652	19	3.3	>100	3.3

Asta: 204 [1297,1340] Sez. G: HE 220 B L=134.0 cm Crit.: Acciaio_Flessione $\gamma M=1.05$ fyk/ $\gamma M=2619$ kg/cmq ft=4300 kg/cmq :**Verificato**

X	cls	N	TY	TZ	MT	MY	MZ	My4	Mz4	Comb.
cm		kg	kg	kg	kg*m	kg*m	kg*m			
0	1	-20	-65	-1372	3	2298	710	--	--	6

X	cls	Nr	Vyr	Vzr	Mry	Mrz	MTrd	SF_V.	SF_M	SF_Mt	SF
cm		kg	kg	kg	kg*m	kg*m	kg*m				
0	1	238441	106262	42145	21670	10317	652	31	5.7	>100	5.7

Asta: 204 [1340,1383] Sez. G: HE 220 B L=119.0 cm Crit.: Acciaio_Flessione $\gamma M=1.05$ fyk/ $\gamma M=2619$ kg/cmq ft=4300 kg/cmq :**Verificato**

X	cls	N	TY	TZ	MT	MY	MZ	My4	Mz4	Comb.
cm		kg	kg	kg	kg*m	kg*m	kg*m			
0	1	-52	510	-527	3	544	797	--	--	6

X	cls	Nr	Vyr	Vzr	Mry	Mrz	MTrd	SF_V.	SF_M	SF_Mt	SF
cm		kg	kg	kg	kg*m	kg*m	kg*m				
0	1	238441	106282	42152	21670	10317	652	80	9.8	>100	9.8

Asta: 205 [1017,1298] Sez. G: HE 220 B L=134.0 cm Crit.: Acciaio_Flessione $\gamma M=1.05$ fyk/ $\gamma M=2619$ kg/cmq ft=4300 kg/cmq :**Verificato**

X	cls	N	TY	TZ	MT	MY	MZ	My4	Mz4	Comb.
cm		kg	kg	kg	kg*m	kg*m	kg*m			
0	1	97	-58	-2253	4	5271	650	--	--	6

X	cls	Nr	Vyr	Vzr	Mry	Mrz	MTrd	SF_V.	SF_M	SF_Mt	SF
cm		kg	kg	kg	kg*m	kg*m	kg*m				
0	1	238441	106214	42125	21670	10317	652	19	3.3	>100	3.3

Asta: 205 [1298,1341] Sez. G: HE 220 B L=134.0 cm Crit.: Acciaio_Flessione $\gamma M=1.05$ fyk/ $\gamma M=2619$ kg/cmq ft=4300 kg/cmq :**Verificato**

X	cls	N	TY	TZ	MT	MY	MZ	My4	Mz4	Comb.
cm		kg	kg	kg	kg*m	kg*m	kg*m			
0	1	99	-33	-1374	4	2334	725	--	--	6

X	cls	Nr	Vyr	Vzr	Mry	Mrz	MTrd	SF_V.	SF_M	SF_Mt	SF
cm		kg	kg	kg	kg*m	kg*m	kg*m				
0	1	238441	106216	42126	21670	10317	652	31	5.6	>100	5.6

Asta: 205 [1341,1384] Sez. G: HE 220 B L=119.0 cm Crit.: Acciaio_Flessione $\gamma M=1.05$ fyk/ $\gamma M=2619$ kg/cmq ft=4300 kg/cmq :**Verificato**

X	cls	N	TY	TZ	MT	MY	MZ	My4	Mz4	Comb.
cm		kg	kg	kg	kg*m	kg*m	kg*m			
0	1	100	425	-536	4	576	767	--	--	6

X	cls	Nr	Vyr	Vzr	Mry	Mrz	MTrd	SF_V.	SF_M	SF_Mt	SF
cm		kg	kg	kg	kg*m	kg*m	kg*m				
0	1	238441	106218	42127	21670	10317	652	79	9.9	>100	9.9

Asta: 206 [1257,1299] Sez. G: HE 220 B L=134.0 cm Crit.: Acciaio_Flessione $\gamma M=1.05$ fyk/ $\gamma M=2619$ kg/cmq ft=4300 kg/cmq :**Verificato**

X	cls	N	TY	TZ	MT	MY	MZ	My4	Mz4	Comb.
cm		kg	kg	kg	kg*m	kg*m	kg*m			
0	1	-24	-55	-2251	4	5231	639	--	--	6

X	cls	Nr	Vyr	Vzr	Mry	Mrz	MTrd	SF_V.	SF_M	SF_Mt	SF
cm		kg	kg	kg	kg*m	kg*m	kg*m				

X	cls	Nr	Vyr	Vzr	Mry	Mrz	MTrd	SF_V.	SF_M	SF_Mt	SF
0	1	238441	106210	42124	21670	10317	652	19	3.3	>100	3.3

Asta: 206 [1299,1342] Sez. G: HE 220 B L=134.0 cm Crit.: Acciaio_Flessione $\gamma_M=1.05$ $f_yk/\gamma_M=2619$ kg/cm² $f_t=4300$ kg/cm² :**Verificato**

X	cls	N	TY	TZ	MT	MY	MZ	My4	Mz4	Comb.
cm		kg	kg	kg	kg*m	kg*m	kg*m			
0	1	-18	-66	-1372	4	2298	708	--	--	6

X	cls	Nr	Vyr	Vzr	Mry	Mrz	MTrd	SF_V.	SF_M	SF_Mt	SF
cm		kg	kg	kg	kg*m	kg*m	kg*m				
0	1	238441	106214	42125	21670	10317	652	31	5.7	>100	5.7

Asta: 206 [1342,1385] Sez. G: HE 220 B L=119.0 cm Crit.: Acciaio_Flessione $\gamma_M=1.05$ $f_yk/\gamma_M=2619$ kg/cm² $f_t=4300$ kg/cm² :**Verificato**

X	cls	N	TY	TZ	MT	MY	MZ	My4	Mz4	Comb.
cm		kg	kg	kg	kg*m	kg*m	kg*m			
0	1	-51	431	-527	4	544	792	--	--	6

X	cls	Nr	Vyr	Vzr	Mry	Mrz	MTrd	SF_V.	SF_M	SF_Mt	SF
cm		kg	kg	kg	kg*m	kg*m	kg*m				
0	1	238441	106201	42120	21670	10317	652	80	9.8	>100	9.8

Asta: 207 [1258,1300] Sez. G: HE 220 B L=134.0 cm Crit.: Acciaio_Flessione $\gamma_M=1.05$ $f_yk/\gamma_M=2619$ kg/cm² $f_t=4300$ kg/cm² :**Verificato**

X	cls	N	TY	TZ	MT	MY	MZ	My4	Mz4	Comb.
cm		kg	kg	kg	kg*m	kg*m	kg*m			
0	1	-12	-69	-2252	4	5248	637	--	--	6

X	cls	Nr	Vyr	Vzr	Mry	Mrz	MTrd	SF_V.	SF_M	SF_Mt	SF
cm		kg	kg	kg	kg*m	kg*m	kg*m				
0	1	238441	106203	42121	21670	10317	652	19	3.3	>100	3.3

Asta: 207 [1300,1343] Sez. G: HE 220 B L=134.0 cm Crit.: Acciaio_Flessione $\gamma_M=1.05$ $f_yk/\gamma_M=2619$ kg/cm² $f_t=4300$ kg/cm² :**Verificato**

X	cls	N	TY	TZ	MT	MY	MZ	My4	Mz4	Comb.
cm		kg	kg	kg	kg*m	kg*m	kg*m			
0	1	-7	-29	-1372	4	2314	726	--	--	6

X	cls	Nr	Vyr	Vzr	Mry	Mrz	MTrd	SF_V.	SF_M	SF_Mt	SF
cm		kg	kg	kg	kg*m	kg*m	kg*m				
0	1	238441	106206	42122	21670	10317	652	31	5.6	>100	5.6

Asta: 207 [1343,1386] Sez. G: HE 220 B L=119.0 cm Crit.: Acciaio_Flessione $\gamma_M=1.05$ $f_yk/\gamma_M=2619$ kg/cm² $f_t=4300$ kg/cm² :**Verificato**

X	cls	N	TY	TZ	MT	MY	MZ	My4	Mz4	Comb.
cm		kg	kg	kg	kg*m	kg*m	kg*m			
0	1	-2	412	-534	4	558	763	--	--	6

X	cls	Nr	Vyr	Vzr	Mry	Mrz	MTrd	SF_V.	SF_M	SF_Mt	SF
cm		kg	kg	kg	kg*m	kg*m	kg*m				
0	1	238441	106208	42123	21670	10317	652	79	10	>100	10

Asta: 208 [1259,1301] Sez. G: HE 220 B L=134.0 cm Crit.: Acciaio_Flessione $\gamma_M=1.05$ $f_yk/\gamma_M=2619$ kg/cm² $f_t=4300$ kg/cm² :**Verificato**

X	cls	N	TY	TZ	MT	MY	MZ	My4	Mz4	Comb.
cm		kg	kg	kg	kg*m	kg*m	kg*m			
0	1	-27	-66	-2251	3	5234	633	--	--	6

X	cls	Nr	Vyr	Vzr	Mry	Mrz	MTrd	SF_V.	SF_M	SF_Mt	SF
cm		kg	kg	kg	kg*m	kg*m	kg*m				
0	1	238441	106235	42134	21670	10317	652	19	3.3	>100	3.3

Asta: 208 [1301,1344] Sez. G: HE 220 B L=134.0 cm Crit.: Acciaio_Flessione $\gamma_M=1.05$ $f_yk/\gamma_M=2619$ kg/cm² $f_t=4300$ kg/cm² :**Verificato**

X	cls	N	TY	TZ	MT	MY	MZ	My4	Mz4	Comb.
cm		kg	kg	kg	kg*m	kg*m	kg*m			
0	1	-21	-47	-1372	3	2301	719	--	--	6

X	cls	Nr	Vyr	Vzr	Mry	Mrz	MTrd	SF_V.	SF_M	SF_Mt	SF
cm		kg	kg	kg	kg*m	kg*m	kg*m				
0	1	238441	106237	42135	21670	10317	652	31	5.7	>100	5.7

Asta: 208 [1344,1387] Sez. G: HE 220 B L=119.0 cm Crit.: Acciaio_Flessione $\gamma M=1.05$ fyk/ $\gamma M=2619$ kg/cm² ft=4300 kg/cm² :**Verificato**

X	cls	N	TY	TZ	MT	MY	MZ	My4	Mz4	Comb.
cm		kg	kg	kg	kg*m	kg*m	kg*m			
0	1	-32	471	-527	3	546	780	--	--	6

X	cls	Nr	Vyr	Vzr	Mry	Mrz	MTrd	SF_V.	SF_M	SF_Mt	SF
cm		kg	kg	kg	kg*m	kg*m	kg*m				
0	1	238441	106254	42141	21670	10317	652	80	9.9	>100	9.9

Asta: 209 [1018,1302] Sez. G: HE 220 B L=134.0 cm Crit.: Acciaio_Flessione $\gamma M=1.05$ fyk/ $\gamma M=2619$ kg/cm² ft=4300 kg/cm² :**Verificato**

X	cls	N	TY	TZ	MT	MY	MZ	My4	Mz4	Comb.
cm		kg	kg	kg	kg*m	kg*m	kg*m			
0	1	-239	-4	-2252	3	5262	731	--	--	6

X	cls	Nr	Vyr	Vzr	Mry	Mrz	MTrd	SF_V.	SF_M	SF_Mt	SF
cm		kg	kg	kg	kg*m	kg*m	kg*m				
0	1	238441	106231	42132	21670	10317	652	19	3.2	>100	3.2

Asta: 209 [1302,1345] Sez. G: HE 220 B L=134.0 cm Crit.: Acciaio_Flessione $\gamma M=1.05$ fyk/ $\gamma M=2619$ kg/cm² ft=4300 kg/cm² :**Verificato**

X	cls	N	TY	TZ	MT	MY	MZ	My4	Mz4	Comb.
cm		kg	kg	kg	kg*m	kg*m	kg*m			
0	1	-233	14	-1373	3	2327	736	--	--	6

X	cls	Nr	Vyr	Vzr	Mry	Mrz	MTrd	SF_V.	SF_M	SF_Mt	SF
cm		kg	kg	kg	kg*m	kg*m	kg*m				
0	1	238441	106231	42132	21670	10317	652	31	5.6	>100	5.6

Asta: 209 [1345,1388] Sez. G: HE 220 B L=119.0 cm Crit.: Acciaio_Flessione $\gamma M=1.05$ fyk/ $\gamma M=2619$ kg/cm² ft=4300 kg/cm² :**Verificato**

X	cls	N	TY	TZ	MT	MY	MZ	My4	Mz4	Comb.
cm		kg	kg	kg	kg*m	kg*m	kg*m			
0	1	-228	395	-535	3	570	717	--	--	6

X	cls	Nr	Vyr	Vzr	Mry	Mrz	MTrd	SF_V.	SF_M	SF_Mt	SF
cm		kg	kg	kg	kg*m	kg*m	kg*m				
0	1	238441	106231	42132	21670	10317	652	79	10	>100	10

Asta: 210 [1261,1303] Sez. G: HE 220 B L=134.0 cm Crit.: Acciaio_Flessione $\gamma M=1.05$ fyk/ $\gamma M=2619$ kg/cm² ft=4300 kg/cm² :**Verificato**

X	cls	N	TY	TZ	MT	MY	MZ	My4	Mz4	Comb.
cm		kg	kg	kg	kg*m	kg*m	kg*m			
0	1	-28	85	-2251	3	5234	838	--	--	6

X	cls	Nr	Vyr	Vzr	Mry	Mrz	MTrd	SF_V.	SF_M	SF_Mt	SF
cm		kg	kg	kg	kg*m	kg*m	kg*m				
0	1	238441	106261	42144	21670	10317	652	19	3.1	>100	3.1

Asta: 210 [1303,1346] Sez. G: HE 220 B L=134.0 cm Crit.: Acciaio_Flessione $\gamma M=1.05$ fyk/ $\gamma M=2619$ kg/cm² ft=4300 kg/cm² :**Verificato**

X	cls	N	TY	TZ	MT	MY	MZ	My4	Mz4	Comb.
cm		kg	kg	kg	kg*m	kg*m	kg*m			
0	1	-22	21	-1372	3	2301	727	--	--	6

X	cls	Nr	Vyr	Vzr	Mry	Mrz	MTrd	SF_V.	SF_M	SF_Mt	SF
cm		kg	kg	kg	kg*m	kg*m	kg*m				

X	cls	Nr	Vyr	Vzr	Mry	Mrz	MTrd	SF_V.	SF_M	SF_Mt	SF
0	1	238441	106259	42143	21670	10317	652	31	5.7	>100	5.7

Asta: 210 [1346,1389] Sez. G: HE 220 B L=119.0 cm Crit.: Acciaio_Flessione $\gamma_M=1.05$ fyk/ $\gamma_M=2619$ kg/cmq ft=4300 kg/cmq :**Verificato**

X	cls	N	TY	TZ	MT	MY	MZ	My4	Mz4	Comb.
cm		kg	kg	kg	kg*m	kg*m	kg*m			
0	1	-31	395	-527	3	546	700	--	--	6

X	cls	Nr	Vyr	Vzr	Mry	Mrz	MTrd	SF_V.	SF_M	SF_Mt	SF
cm		kg	kg	kg	kg*m	kg*m	kg*m				
0	1	238441	106245	42138	21670	10317	652	80	11	>100	11

Asta: 211 [1262,1304] Sez. G: HE 220 B L=134.0 cm Crit.: Acciaio_Flessione $\gamma_M=1.05$ fyk/ $\gamma_M=2619$ kg/cmq ft=4300 kg/cmq :**Verificato**

X	cls	N	TY	TZ	MT	MY	MZ	My4	Mz4	Comb.
cm		kg	kg	kg	kg*m	kg*m	kg*m			
0	1	-11	60	-2252	3	5248	824	--	--	6

X	cls	Nr	Vyr	Vzr	Mry	Mrz	MTrd	SF_V.	SF_M	SF_Mt	SF
cm		kg	kg	kg	kg*m	kg*m	kg*m				
0	1	238441	106260	42144	21670	10317	652	19	3.1	>100	3.1

Asta: 211 [1304,1347] Sez. G: HE 220 B L=134.0 cm Crit.: Acciaio_Flessione $\gamma_M=1.05$ fyk/ $\gamma_M=2619$ kg/cmq ft=4300 kg/cmq :**Verificato**

X	cls	N	TY	TZ	MT	MY	MZ	My4	Mz4	Comb.
cm		kg	kg	kg	kg*m	kg*m	kg*m			
0	1	-6	58	-1372	3	2314	747	--	--	6

X	cls	Nr	Vyr	Vzr	Mry	Mrz	MTrd	SF_V.	SF_M	SF_Mt	SF
cm		kg	kg	kg	kg*m	kg*m	kg*m				
0	1	238441	106257	42142	21670	10317	652	31	5.6	>100	5.6

Asta: 211 [1347,1390] Sez. G: HE 220 B L=119.0 cm Crit.: Acciaio_Flessione $\gamma_M=1.05$ fyk/ $\gamma_M=2619$ kg/cmq ft=4300 kg/cmq :**Verificato**

X	cls	N	TY	TZ	MT	MY	MZ	My4	Mz4	Comb.
cm		kg	kg	kg	kg*m	kg*m	kg*m			
0	1	-1	379	-534	3	558	672	--	--	6

X	cls	Nr	Vyr	Vzr	Mry	Mrz	MTrd	SF_V.	SF_M	SF_Mt	SF
cm		kg	kg	kg	kg*m	kg*m	kg*m				
0	1	238441	106254	42141	21670	10317	652	79	11	>100	11

Asta: 212 [1263,1305] Sez. G: HE 220 B L=134.0 cm Crit.: Acciaio_Flessione $\gamma_M=1.05$ fyk/ $\gamma_M=2619$ kg/cmq ft=4300 kg/cmq :**Verificato**

X	cls	N	TY	TZ	MT	MY	MZ	My4	Mz4	Comb.
cm		kg	kg	kg	kg*m	kg*m	kg*m			
0	1	-23	71	-2251	3	5231	829	--	--	6

X	cls	Nr	Vyr	Vzr	Mry	Mrz	MTrd	SF_V.	SF_M	SF_Mt	SF
cm		kg	kg	kg	kg*m	kg*m	kg*m				
0	1	238441	106285	42154	21670	10317	652	19	3.1	>100	3.1

Asta: 212 [1305,1348] Sez. G: HE 220 B L=134.0 cm Crit.: Acciaio_Flessione $\gamma_M=1.05$ fyk/ $\gamma_M=2619$ kg/cmq ft=4300 kg/cmq :**Verificato**

X	cls	N	TY	TZ	MT	MY	MZ	My4	Mz4	Comb.
cm		kg	kg	kg	kg*m	kg*m	kg*m			
0	1	-17	40	-1372	3	2298	739	--	--	6

X	cls	Nr	Vyr	Vzr	Mry	Mrz	MTrd	SF_V.	SF_M	SF_Mt	SF
cm		kg	kg	kg	kg*m	kg*m	kg*m				
0	1	238441	106282	42152	21670	10317	652	31	5.6	>100	5.6

Asta: 212 [1348,1391] Sez. G: HE 220 B L=119.0 cm Crit.: Acciaio_Flessione $\gamma_M=1.05$ fyk/ $\gamma_M=2619$ kg/cmq ft=4300 kg/cmq :**Verificato**

X	cls	N	TY	TZ	MT	MY	MZ	My4	Mz4	Comb.
cm		kg	kg	kg	kg*m	kg*m	kg*m			
0	1	-51	434	-527	2	544	689	--	--	6

X	cls	Nr	Vyr	Vzr	Mry	Mrz	MTrd	SF_V.	SF_M	SF_Mt	SF
cm		kg	kg	kg	kg*m	kg*m	kg*m				
0	1	238441	106297	42158	21670	10317	652	80	11	>100	11

Asta: 213 [1019,1306] Sez. G: HE 220 B L=134.0 cm Crit.: Acciaio_Flessione $\gamma M=1.05$ fyk/ $\gamma M=2619$ kg/cm² ft=4300 kg/cm² :**Verificato**

X	cls	N	TY	TZ	MT	MY	MZ	My4	Mz4	Comb.
cm		kg	kg	kg	kg*m	kg*m	kg*m			
0	1	98	45	-2253	3	5271	806	--	--	6

X	cls	Nr	Vyr	Vzr	Mry	Mrz	MTrd	SF_V.	SF_M	SF_Mt	SF
cm		kg	kg	kg	kg*m	kg*m	kg*m				
0	1	238441	106247	42138	21670	10317	652	19	3.1	>100	3.1

Asta: 213 [1306,1349] Sez. G: HE 220 B L=134.0 cm Crit.: Acciaio_Flessione $\gamma M=1.05$ fyk/ $\gamma M=2619$ kg/cm² ft=4300 kg/cm² :**Verificato**

X	cls	N	TY	TZ	MT	MY	MZ	My4	Mz4	Comb.
cm		kg	kg	kg	kg*m	kg*m	kg*m			
0	1	100	61	-1374	3	2334	749	--	--	6

X	cls	Nr	Vyr	Vzr	Mry	Mrz	MTrd	SF_V.	SF_M	SF_Mt	SF
cm		kg	kg	kg	kg*m	kg*m	kg*m				
0	1	238441	106244	42137	21670	10317	652	31	5.5	>100	5.5

Asta: 213 [1349,1392] Sez. G: HE 220 B L=119.0 cm Crit.: Acciaio_Flessione $\gamma M=1.05$ fyk/ $\gamma M=2619$ kg/cm² ft=4300 kg/cm² :**Verificato**

X	cls	N	TY	TZ	MT	MY	MZ	My4	Mz4	Comb.
cm		kg	kg	kg	kg*m	kg*m	kg*m			
0	1	101	365	-536	3	576	669	--	--	6

X	cls	Nr	Vyr	Vzr	Mry	Mrz	MTrd	SF_V.	SF_M	SF_Mt	SF
cm		kg	kg	kg	kg*m	kg*m	kg*m				
0	1	238441	106243	42137	21670	10317	652	79	11	>100	11

Asta: 214 [1264,1307] Sez. G: HE 220 B L=134.0 cm Crit.: Acciaio_Flessione $\gamma M=1.05$ fyk/ $\gamma M=2619$ kg/cm² ft=4300 kg/cm² :**Verificato**

X	cls	N	TY	TZ	MT	MY	MZ	My4	Mz4	Comb.
cm		kg	kg	kg	kg*m	kg*m	kg*m			
0	1	-27	40	-2251	3	5231	790	--	--	6

X	cls	Nr	Vyr	Vzr	Mry	Mrz	MTrd	SF_V.	SF_M	SF_Mt	SF
cm		kg	kg	kg	kg*m	kg*m	kg*m				
0	1	238441	106235	42134	21670	10317	652	19	3.1	>100	3.1

Asta: 214 [1307,1350] Sez. G: HE 220 B L=134.0 cm Crit.: Acciaio_Flessione $\gamma M=1.05$ fyk/ $\gamma M=2619$ kg/cm² ft=4300 kg/cm² :**Verificato**

X	cls	N	TY	TZ	MT	MY	MZ	My4	Mz4	Comb.
cm		kg	kg	kg	kg*m	kg*m	kg*m			
0	1	-21	38	-1372	3	2298	737	--	--	6

X	cls	Nr	Vyr	Vzr	Mry	Mrz	MTrd	SF_V.	SF_M	SF_Mt	SF
cm		kg	kg	kg	kg*m	kg*m	kg*m				
0	1	238441	106233	42133	21670	10317	652	31	5.6	>100	5.6

Asta: 214 [1350,1393] Sez. G: HE 220 B L=119.0 cm Crit.: Acciaio_Flessione $\gamma M=1.05$ fyk/ $\gamma M=2619$ kg/cm² ft=4300 kg/cm² :**Verificato**

X	cls	N	TY	TZ	MT	MY	MZ	My4	Mz4	Comb.
cm		kg	kg	kg	kg*m	kg*m	kg*m			
0	1	-52	357	-527	4	544	686	--	--	6

X	cls	Nr	Vyr	Vzr	Mry	Mrz	MTrd	SF_V.	SF_M	SF_Mt	SF
cm		kg	kg	kg	kg*m	kg*m	kg*m				

X	cls	Nr	Vyr	Vzr	Mry	Mrz	MTrd	SF_V.	SF_M	SF_Mt	SF
0	1	238441	106217	42126	21670	10317	652	80	11	>100	11

Asta: 215 [1265,1308] Sez. G: HE 220 B L=134.0 cm Crit.: Acciaio_Flessione $\gamma_M=1.05$ fyk/ $\gamma_M=2619$ kg/cm² ft=4300 kg/cm² :**Verificato**

X	cls	N	TY	TZ	MT	MY	MZ	My4	Mz4	Comb.
cm		kg	kg	kg	kg*m	kg*m	kg*m			
0	1	-29	31	-2252	3	5248	784	--	--	6

X	cls	Nr	Vyr	Vzr	Mry	Mrz	MTrd	SF_V.	SF_M	SF_Mt	SF
cm		kg	kg	kg	kg*m	kg*m	kg*m				
0	1	238441	106241	42136	21670	10317	652	19	3.1	>100	3.1

Asta: 215 [1308,1351] Sez. G: HE 220 B L=134.0 cm Crit.: Acciaio_Flessione $\gamma_M=1.05$ fyk/ $\gamma_M=2619$ kg/cm² ft=4300 kg/cm² :**Verificato**

X	cls	N	TY	TZ	MT	MY	MZ	My4	Mz4	Comb.
cm		kg	kg	kg	kg*m	kg*m	kg*m			
0	1	-24	49	-1372	3	2314	745	--	--	6

X	cls	Nr	Vyr	Vzr	Mry	Mrz	MTrd	SF_V.	SF_M	SF_Mt	SF
cm		kg	kg	kg	kg*m	kg*m	kg*m				
0	1	238441	106239	42135	21670	10317	652	31	5.6	>100	5.6

Asta: 215 [1351,1394] Sez. G: HE 220 B L=119.0 cm Crit.: Acciaio_Flessione $\gamma_M=1.05$ fyk/ $\gamma_M=2619$ kg/cm² ft=4300 kg/cm² :**Verificato**

X	cls	N	TY	TZ	MT	MY	MZ	My4	Mz4	Comb.
cm		kg	kg	kg	kg*m	kg*m	kg*m			
0	1	-19	369	-534	3	558	680	--	--	6

X	cls	Nr	Vyr	Vzr	Mry	Mrz	MTrd	SF_V.	SF_M	SF_Mt	SF
cm		kg	kg	kg	kg*m	kg*m	kg*m				
0	1	238441	106237	42135	21670	10317	652	79	11	>100	11

Asta: 216 [1266,1309] Sez. G: HE 220 B L=134.0 cm Crit.: Acciaio_Flessione $\gamma_M=1.05$ fyk/ $\gamma_M=2619$ kg/cm² ft=4300 kg/cm² :**Verificato**

X	cls	N	TY	TZ	MT	MY	MZ	My4	Mz4	Comb.
cm		kg	kg	kg	kg*m	kg*m	kg*m			
0	1	-32	42	-2251	3	5231	784	--	--	6

X	cls	Nr	Vyr	Vzr	Mry	Mrz	MTrd	SF_V.	SF_M	SF_Mt	SF
cm		kg	kg	kg	kg*m	kg*m	kg*m				
0	1	238441	106274	42149	21670	10317	652	19	3.1	>100	3.1

Asta: 216 [1309,1352] Sez. G: HE 220 B L=134.0 cm Crit.: Acciaio_Flessione $\gamma_M=1.05$ fyk/ $\gamma_M=2619$ kg/cm² ft=4300 kg/cm² :**Verificato**

X	cls	N	TY	TZ	MT	MY	MZ	My4	Mz4	Comb.
cm		kg	kg	kg	kg*m	kg*m	kg*m			
0	1	-27	15	-1372	3	2298	731	--	--	6

X	cls	Nr	Vyr	Vzr	Mry	Mrz	MTrd	SF_V.	SF_M	SF_Mt	SF
cm		kg	kg	kg	kg*m	kg*m	kg*m				
0	1	238441	106271	42148	21670	10317	652	31	5.7	>100	5.7

Asta: 216 [1352,1395] Sez. G: HE 220 B L=119.0 cm Crit.: Acciaio_Flessione $\gamma_M=1.05$ fyk/ $\gamma_M=2619$ kg/cm² ft=4300 kg/cm² :**Verificato**

X	cls	N	TY	TZ	MT	MY	MZ	My4	Mz4	Comb.
cm		kg	kg	kg	kg*m	kg*m	kg*m			
0	1	-52	446	-527	3	544	713	--	--	6

X	cls	Nr	Vyr	Vzr	Mry	Mrz	MTrd	SF_V.	SF_M	SF_Mt	SF
cm		kg	kg	kg	kg*m	kg*m	kg*m				
0	1	238441	106289	42155	21670	10317	652	80	11	>100	11

Asta: 217 [1020,1310] Sez. G: HE 220 B L=134.0 cm Crit.: Acciaio_Flessione $\gamma_M=1.05$ fyk/ $\gamma_M=2619$ kg/cm² ft=4300 kg/cm² :**Verificato**

X	cls	N	TY	TZ	MT	MY	MZ	My4	Mz4	Comb.
cm		kg	kg	kg	kg*m	kg*m	kg*m			
0	1	69	19	-2253	3	5271	766	--	--	6

X	cls	Nr	Vyr	Vzr	Mry	Mrz	MTrd	SF_V.	SF_M	SF_Mt	SF
cm		kg	kg	kg	kg*m	kg*m	kg*m				
0	1	238441	106237	42134	21670	10317	652	19	3.1	>100	3.1

Asta: 217 [1310,1353] Sez. G: HE 220 B L=134.0 cm Crit.: Acciaio_Flessione $\gamma M=1.05$ fyk/ $\gamma M=2619$ kg/cm² ft=4300 kg/cm² :**Verificato**

X	cls	N	TY	TZ	MT	MY	MZ	My4	Mz4	Comb.
cm		kg	kg	kg	kg*m	kg*m	kg*m			
0	1	72	38	-1374	3	2334	742	--	--	6

X	cls	Nr	Vyr	Vzr	Mry	Mrz	MTrd	SF_V.	SF_M	SF_Mt	SF
cm		kg	kg	kg	kg*m	kg*m	kg*m				
0	1	238441	106235	42134	21670	10317	652	31	5.6	>100	5.6

Asta: 217 [1353,1396] Sez. G: HE 220 B L=119.0 cm Crit.: Acciaio_Flessione $\gamma M=1.05$ fyk/ $\gamma M=2619$ kg/cm² ft=4300 kg/cm² :**Verificato**

X	cls	N	TY	TZ	MT	MY	MZ	My4	Mz4	Comb.
cm		kg	kg	kg	kg*m	kg*m	kg*m			
0	1	73	377	-536	3	576	692	--	--	6

X	cls	Nr	Vyr	Vzr	Mry	Mrz	MTrd	SF_V.	SF_M	SF_Mt	SF
cm		kg	kg	kg	kg*m	kg*m	kg*m				
0	1	238441	106235	42134	21670	10317	652	79	11	>100	11

Asta: 218 [1268,1311] Sez. G: HE 220 B L=134.0 cm Crit.: Acciaio_Flessione $\gamma M=1.05$ fyk/ $\gamma M=2619$ kg/cm² ft=4300 kg/cm² :**Verificato**

X	cls	N	TY	TZ	MT	MY	MZ	My4	Mz4	Comb.
cm		kg	kg	kg	kg*m	kg*m	kg*m			
0	1	-35	22	-2251	3	5231	758	--	--	6

X	cls	Nr	Vyr	Vzr	Mry	Mrz	MTrd	SF_V.	SF_M	SF_Mt	SF
cm		kg	kg	kg	kg*m	kg*m	kg*m				
0	1	238441	106230	42132	21670	10317	652	19	3.2	>100	3.2

Asta: 218 [1311,1354] Sez. G: HE 220 B L=134.0 cm Crit.: Acciaio_Flessione $\gamma M=1.05$ fyk/ $\gamma M=2619$ kg/cm² ft=4300 kg/cm² :**Verificato**

X	cls	N	TY	TZ	MT	MY	MZ	My4	Mz4	Comb.
cm		kg	kg	kg	kg*m	kg*m	kg*m			
0	1	-29	13	-1372	3	2298	729	--	--	6

X	cls	Nr	Vyr	Vzr	Mry	Mrz	MTrd	SF_V.	SF_M	SF_Mt	SF
cm		kg	kg	kg	kg*m	kg*m	kg*m				
0	1	238441	106230	42132	21670	10317	652	31	5.7	>100	5.7

Asta: 218 [1354,1397] Sez. G: HE 220 B L=119.0 cm Crit.: Acciaio_Flessione $\gamma M=1.05$ fyk/ $\gamma M=2619$ kg/cm² ft=4300 kg/cm² :**Verificato**

X	cls	N	TY	TZ	MT	MY	MZ	My4	Mz4	Comb.
cm		kg	kg	kg	kg*m	kg*m	kg*m			
0	1	-52	376	-527	4	544	711	--	--	6

X	cls	Nr	Vyr	Vzr	Mry	Mrz	MTrd	SF_V.	SF_M	SF_Mt	SF
cm		kg	kg	kg	kg*m	kg*m	kg*m				
0	1	238441	106214	42125	21670	10317	652	80	11	>100	11

Asta: 219 [1269,1312] Sez. G: HE 220 B L=134.0 cm Crit.: Acciaio_Flessione $\gamma M=1.05$ fyk/ $\gamma M=2619$ kg/cm² ft=4300 kg/cm² :**Verificato**

X	cls	N	TY	TZ	MT	MY	MZ	My4	Mz4	Comb.
cm		kg	kg	kg	kg*m	kg*m	kg*m			
0	1	-24	8	-2252	3	5248	750	--	--	6

X	cls	Nr	Vyr	Vzr	Mry	Mrz	MTrd	SF_V.	SF_M	SF_Mt	SF
cm		kg	kg	kg	kg*m	kg*m	kg*m				

X	cls	Nr	Vyr	Vzr	Mry	Mrz	MTrd	SF_V.	SF_M	SF_Mt	SF
0	1	238441	106233	42133	21670	10317	652	19	3.2	>100	3.2

Asta: 219 [1312,1355] Sez. G: HE 220 B L=134.0 cm Crit.: Acciaio_Flessione $\gamma M=1.05$ fyk/ $\gamma M=2619$ kg/cmq ft=4300 kg/cmq :**Verificato**

X	cls	N	TY	TZ	MT	MY	MZ	My4	Mz4	Comb.
cm		kg	kg	kg	kg*m	kg*m	kg*m			
0	1	-20	29	-1372	3	2314	740	--	--	6

X	cls	Nr	Vyr	Vzr	Mry	Mrz	MTrd	SF_V.	SF_M	SF_Mt	SF
cm		kg	kg	kg	kg*m	kg*m	kg*m				
0	1	238441	106232	42133	21670	10317	652	31	5.6	>100	5.6

Asta: 219 [1355,1398] Sez. G: HE 220 B L=119.0 cm Crit.: Acciaio_Flessione $\gamma M=1.05$ fyk/ $\gamma M=2619$ kg/cmq ft=4300 kg/cmq :**Verificato**

X	cls	N	TY	TZ	MT	MY	MZ	My4	Mz4	Comb.
cm		kg	kg	kg	kg*m	kg*m	kg*m			
0	1	-15	383	-534	3	559	702	--	--	6

X	cls	Nr	Vyr	Vzr	Mry	Mrz	MTrd	SF_V.	SF_M	SF_Mt	SF
cm		kg	kg	kg	kg*m	kg*m	kg*m				
0	1	238441	106232	42132	21670	10317	652	79	11	>100	11

Asta: 220 [1270,1313] Sez. G: HE 220 B L=134.0 cm Crit.: Acciaio_Flessione $\gamma M=1.05$ fyk/ $\gamma M=2619$ kg/cmq ft=4300 kg/cmq :**Verificato**

X	cls	N	TY	TZ	MT	MY	MZ	My4	Mz4	Comb.
cm		kg	kg	kg	kg*m	kg*m	kg*m			
0	1	-39	16	-2324	3	5402	748	--	--	6

X	cls	Nr	Vyr	Vzr	Mry	Mrz	MTrd	SF_V.	SF_M	SF_Mt	SF
cm		kg	kg	kg	kg*m	kg*m	kg*m				
0	1	238441	106269	42147	21670	10317	652	18	3.1	>100	3.1

Asta: 220 [1313,1356] Sez. G: HE 220 B L=134.0 cm Crit.: Acciaio_Flessione $\gamma M=1.05$ fyk/ $\gamma M=2619$ kg/cmq ft=4300 kg/cmq :**Verificato**

X	cls	N	TY	TZ	MT	MY	MZ	My4	Mz4	Comb.
cm		kg	kg	kg	kg*m	kg*m	kg*m			
0	1	-34	-4	-1414	3	2371	727	--	--	6

X	cls	Nr	Vyr	Vzr	Mry	Mrz	MTrd	SF_V.	SF_M	SF_Mt	SF
cm		kg	kg	kg	kg*m	kg*m	kg*m				
0	1	238441	106267	42147	21670	10317	652	30	5.6	>100	5.6

Asta: 220 [1356,1399] Sez. G: HE 220 B L=119.0 cm Crit.: Acciaio_Flessione $\gamma M=1.05$ fyk/ $\gamma M=2619$ kg/cmq ft=4300 kg/cmq :**Verificato**

X	cls	N	TY	TZ	MT	MY	MZ	My4	Mz4	Comb.
cm		kg	kg	kg	kg*m	kg*m	kg*m			
0	1	-54	462	-540	3	559	735	--	--	6

X	cls	Nr	Vyr	Vzr	Mry	Mrz	MTrd	SF_V.	SF_M	SF_Mt	SF
cm		kg	kg	kg	kg*m	kg*m	kg*m				
0	1	238441	106285	42153	21670	10317	652	78	10	>100	10

Asta: 221 [1021,1314] Sez. G: HE 220 B L=134.0 cm Crit.: Acciaio_Flessione $\gamma M=1.05$ fyk/ $\gamma M=2619$ kg/cmq ft=4300 kg/cmq :**Verificato**

X	cls	N	TY	TZ	MT	MY	MZ	My4	Mz4	Comb.
cm		kg	kg	kg	kg*m	kg*m	kg*m			
0	1	47	-2	-2400	3	5615	737	--	--	6

X	cls	Nr	Vyr	Vzr	Mry	Mrz	MTrd	SF_V.	SF_M	SF_Mt	SF
cm		kg	kg	kg	kg*m	kg*m	kg*m				
0	1	238441	106231	42132	21670	10317	652	18	3.0	>100	3.0

Asta: 221 [1314,1357] Sez. G: HE 220 B L=134.0 cm Crit.: Acciaio_Flessione $\gamma M=1.05$ fyk/ $\gamma M=2619$ kg/cmq ft=4300 kg/cmq :**Verificato**

X	cls	N	TY	TZ	MT	MY	MZ	My4	Mz4	Comb.
cm		kg	kg	kg	kg*m	kg*m	kg*m			
0	1	50	23	-1459	3	2481	741	--	--	6

X	cls	Nr	Vyr	Vzr	Mry	Mrz	MTrd	SF_V.	SF_M	SF_Mt	SF
cm		kg	kg	kg	kg*m	kg*m	kg*m				
0	1	238441	106231	42132	21670	10317	652	29	5.4	>100	5.4

Asta: 221 [1357,1400] Sez. G: HE 220 B L=119.0 cm Crit.: Acciaio_Flessione $\gamma M=1.05$ fyk/ $\gamma M=2619$ kg/cm² ft=4300 kg/cm² :**Verificato**

X	cls	N	TY	TZ	MT	MY	MZ	My4	Mz4	Comb.
cm		kg	kg	kg	kg*m	kg*m	kg*m			
0	1	51	390	-563	3	608	710	--	--	6

X	cls	Nr	Vyr	Vzr	Mry	Mrz	MTrd	SF_V.	SF_M	SF_Mt	SF
cm		kg	kg	kg	kg*m	kg*m	kg*m				
0	1	238441	106231	42132	21670	10317	652	75	10	>100	10

Asta: 222 [1272,1315] Sez. G: HE 220 B L=134.0 cm Crit.: Acciaio_Flessione $\gamma M=1.05$ fyk/ $\gamma M=2619$ kg/cm² ft=4300 kg/cm² :**Verificato**

X	cls	N	TY	TZ	MT	MY	MZ	My4	Mz4	Comb.
cm		kg	kg	kg	kg*m	kg*m	kg*m			
0	1	-45	5	-2398	3	5573	736	--	--	6

X	cls	Nr	Vyr	Vzr	Mry	Mrz	MTrd	SF_V.	SF_M	SF_Mt	SF
cm		kg	kg	kg	kg*m	kg*m	kg*m				
0	1	238441	106232	42133	21670	10317	652	18	3.0	>100	3.0

Asta: 222 [1315,1358] Sez. G: HE 220 B L=134.0 cm Crit.: Acciaio_Flessione $\gamma M=1.05$ fyk/ $\gamma M=2619$ kg/cm² ft=4300 kg/cm² :**Verificato**

X	cls	N	TY	TZ	MT	MY	MZ	My4	Mz4	Comb.
cm		kg	kg	kg	kg*m	kg*m	kg*m			
0	1	-39	-2	-1457	3	2443	729	--	--	6

X	cls	Nr	Vyr	Vzr	Mry	Mrz	MTrd	SF_V.	SF_M	SF_Mt	SF
cm		kg	kg	kg	kg*m	kg*m	kg*m				
0	1	238441	106233	42133	21670	10317	652	29	5.4	>100	5.4

Asta: 222 [1358,1401] Sez. G: HE 220 B L=119.0 cm Crit.: Acciaio_Flessione $\gamma M=1.05$ fyk/ $\gamma M=2619$ kg/cm² ft=4300 kg/cm² :**Verificato**

X	cls	N	TY	TZ	MT	MY	MZ	My4	Mz4	Comb.
cm		kg	kg	kg	kg*m	kg*m	kg*m			
0	1	-58	394	-554	4	574	730	--	--	6

X	cls	Nr	Vyr	Vzr	Mry	Mrz	MTrd	SF_V.	SF_M	SF_Mt	SF
cm		kg	kg	kg	kg*m	kg*m	kg*m				
0	1	238441	106217	42126	21670	10317	652	76	10	>100	10

Asta: 223 [1273,1316] Sez. G: HE 220 B L=134.0 cm Crit.: Acciaio_Flessione $\gamma M=1.05$ fyk/ $\gamma M=2619$ kg/cm² ft=4300 kg/cm² :**Verificato**

X	cls	N	TY	TZ	MT	MY	MZ	My4	Mz4	Comb.
cm		kg	kg	kg	kg*m	kg*m	kg*m			
0	1	-47	-13	-2235	3	5180	723	--	--	6

X	cls	Nr	Vyr	Vzr	Mry	Mrz	MTrd	SF_V.	SF_M	SF_Mt	SF
cm		kg	kg	kg	kg*m	kg*m	kg*m				
0	1	238441	106264	42145	21670	10317	652	19	3.2	>100	3.2

Asta: 223 [1316,1359] Sez. G: HE 220 B L=134.0 cm Crit.: Acciaio_Flessione $\gamma M=1.05$ fyk/ $\gamma M=2619$ kg/cm² ft=4300 kg/cm² :**Verificato**

X	cls	N	TY	TZ	MT	MY	MZ	My4	Mz4	Comb.
cm		kg	kg	kg	kg*m	kg*m	kg*m			
0	1	-43	11	-1356	3	2268	741	--	--	6

X	cls	Nr	Vyr	Vzr	Mry	Mrz	MTrd	SF_V.	SF_M	SF_Mt	SF
cm		kg	kg	kg	kg*m	kg*m	kg*m				

X	cls	Nr	Vyr	Vzr	Mry	Mrz	MTrd	SF_V.	SF_M	SF_Mt	SF
0	1	238441	106263	42145	21670	10317	652	31	5.7	>100	5.7

Asta: 223 [1359,1402] Sez. G: HE 220 B L=119.0 cm Crit.: Acciaio_Flessione $\gamma M=1.05$ fyk/ $\gamma M=2619$ kg/cm² ft=4300 kg/cm² :**Verificato**

X	cls	N	TY	TZ	MT	MY	MZ	My4	Mz4	Comb.
cm		kg	kg	kg	kg*m	kg*m	kg*m			
119	1	850	190	2091	1	1968	101	--	--	(20+21)-XI-6

X	cls	Nr	Vyr	Vzr	Mry	Mrz	MTrd	SF_V.	SF_M	SF_Mt	SF
cm		kg	kg	kg	kg*m	kg*m	kg*m				
119	1	238441	106367	42186	21670	10317	652	20	9.6	>100	9.6

Asta: 224 [1274,1317] Sez. G: HE 220 B L=134.0 cm Crit.: Acciaio_Flessione $\gamma M=1.05$ fyk/ $\gamma M=2619$ kg/cm² ft=4300 kg/cm² :**Verificato**

X	cls	N	TY	TZ	MT	MY	MZ	My4	Mz4	Comb.
cm		kg	kg	kg	kg*m	kg*m	kg*m			
0	1	48	-2	-1796	-7	3714	724	--	--	6

X	cls	Nr	Vyr	Vzr	Mry	Mrz	MTrd	SF_V.	SF_M	SF_Mt	SF
cm		kg	kg	kg	kg*m	kg*m	kg*m				
0	1	238441	105989	42036	21670	10317	652	23	4.1	92	4.1

Asta: 224 [1317,1360] Sez. G: HE 220 B L=134.0 cm Crit.: Acciaio_Flessione $\gamma M=1.05$ fyk/ $\gamma M=2619$ kg/cm² ft=4300 kg/cm² :**Verificato**

X	cls	N	TY	TZ	MT	MY	MZ	My4	Mz4	Comb.
cm		kg	kg	kg	kg*m	kg*m	kg*m			
0	1	52	-20	-978	-7	1391	727	--	--	6

X	cls	Nr	Vyr	Vzr	Mry	Mrz	MTrd	SF_V.	SF_M	SF_Mt	SF
cm		kg	kg	kg	kg*m	kg*m	kg*m				
0	1	238441	105989	42036	21670	10317	652	43	7.4	92	7.4

Asta: 224 [1360,1403] Sez. G: HE 220 B L=119.0 cm Crit.: Acciaio_Flessione $\gamma M=1.05$ fyk/ $\gamma M=2619$ kg/cm² ft=4300 kg/cm² :**Verificato**

X	cls	N	TY	TZ	MT	MY	MZ	My4	Mz4	Comb.
cm		kg	kg	kg	kg*m	kg*m	kg*m			
0	1	26	446	-191	-7	163	754	--	--	6

X	cls	Nr	Vyr	Vzr	Mry	Mrz	MTrd	SF_V.	SF_M	SF_Mt	SF
cm		kg	kg	kg	kg*m	kg*m	kg*m				
0	1	238441	105972	42030	21670	10317	652	>100	12	89	12

Asta: 225 [1022,1318] Sez. G: HE 220 B L=134.0 cm Crit.: Acciaio_Flessione $\gamma M=1.05$ fyk/ $\gamma M=2619$ kg/cm² ft=4300 kg/cm² :**Verificato**

X	cls	N	TY	TZ	MT	MY	MZ	My4	Mz4	Comb.
cm		kg	kg	kg	kg*m	kg*m	kg*m			
0	1	-401	-95	-2840	-5	7562	625	--	--	6

X	cls	Nr	Vyr	Vzr	Mry	Mrz	MTrd	SF_V.	SF_M	SF_Mt	SF
cm		kg	kg	kg	kg*m	kg*m	kg*m				
0	1	238441	106127	42091	21670	10317	652	15	2.4	>100	2.4

Asta: 225 [1318,1361] Sez. G: HE 220 B L=134.0 cm Crit.: Acciaio_Flessione $\gamma M=1.05$ fyk/ $\gamma M=2619$ kg/cm² ft=4300 kg/cm² :**Verificato**

X	cls	N	TY	TZ	MT	MY	MZ	My4	Mz4	Comb.
cm		kg	kg	kg	kg*m	kg*m	kg*m			
0	1	-272	-5	-1976	-5	3840	753	--	--	6

X	cls	Nr	Vyr	Vzr	Mry	Mrz	MTrd	SF_V.	SF_M	SF_Mt	SF
cm		kg	kg	kg	kg*m	kg*m	kg*m				
0	1	238441	106106	42083	21670	10317	652	21	4.0	>100	4.0

Asta: 225 [1361,1404] Sez. G: HE 220 B L=119.0 cm Crit.: Acciaio_Flessione $\gamma M=1.05$ fyk/ $\gamma M=2619$ kg/cm² ft=4300 kg/cm² :**Verificato**

X	cls	N	TY	TZ	MT	MY	MZ	My4	Mz4	Comb.
cm		kg	kg	kg	kg*m	kg*m	kg*m			
0	1	-296	488	-1152	-6	1275	760	--	--	6

X	cls	Nr	Vyr	Vzr	Mry	Mrz	MTrd	SF_V.	SF_M	SF_Mt	SF
cm		kg	kg	kg	kg*m	kg*m	kg*m				
0	1	238441	106070	42068	21670	10317	652	37	7.5	>100	7.5

Asta: 227 [1024,1025] Sez. G: UPN 260 L=180.0 cm Crit.: Acciaio_Flessione $\gamma M=1.05$ fyk/ $\gamma M=2619$ kg/cm² ft=4300 kg/cm² :**Verificato**

X	cls	N	TY	TZ	MT	MY	MZ	My4	Mz4	Comb.
cm		kg	kg	kg	kg*m	kg*m	kg*m			
180	1	286	-134	-83	-0	-62	349	--	--	12

X	cls	Nr	Vyr	Vzr	Mry	Mrz	MTrd	SF_V.	SF_M	SF_Mt	SF
cm		kg	kg	kg	kg*m	kg*m	kg*m				
180	1	128965	39368	41424	11895	2692	290	>100	7.3	>100	7.3

Asta: 228 [1025,1026] Sez. G: UPN 260 L=180.0 cm Crit.: Acciaio_Flessione $\gamma M=1.05$ fyk/ $\gamma M=2619$ kg/cm² ft=4300 kg/cm² :**Verificato**

X	cls	N	TY	TZ	MT	MY	MZ	My4	Mz4	Comb.
cm		kg	kg	kg	kg*m	kg*m	kg*m			
180	1	-148	-131	140	1	0	343	--	--	12

X	cls	Nr	Vyr	Vzr	Mry	Mrz	MTrd	SF_V.	SF_M	SF_Mt	SF
cm		kg	kg	kg	kg*m	kg*m	kg*m				
180	1	128965	39298	41350	11895	2692	290	>100	7.8	>100	7.8

Asta: 229 [1026,1027] Sez. G: UPN 260 L=180.0 cm Crit.: Acciaio_Flessione $\gamma M=1.05$ fyk/ $\gamma M=2619$ kg/cm² ft=4300 kg/cm² :**Verificato**

X	cls	N	TY	TZ	MT	MY	MZ	My4	Mz4	Comb.
cm		kg	kg	kg	kg*m	kg*m	kg*m			
180	1	287	-135	109	-0	0	346	--	--	12

X	cls	Nr	Vyr	Vzr	Mry	Mrz	MTrd	SF_V.	SF_M	SF_Mt	SF
cm		kg	kg	kg	kg*m	kg*m	kg*m				
180	1	128965	39369	41425	11895	2692	290	>100	7.6	>100	7.6

Asta: 230 [1027,1028] Sez. G: UPN 260 L=180.0 cm Crit.: Acciaio_Flessione $\gamma M=1.05$ fyk/ $\gamma M=2619$ kg/cm² ft=4300 kg/cm² :**Verificato**

X	cls	N	TY	TZ	MT	MY	MZ	My4	Mz4	Comb.
cm		kg	kg	kg	kg*m	kg*m	kg*m			
180	1	-163	-155	217	-3	0	365	--	--	6

X	cls	Nr	Vyr	Vzr	Mry	Mrz	MTrd	SF_V.	SF_M	SF_Mt	SF
cm		kg	kg	kg	kg*m	kg*m	kg*m				
180	1	128965	39189	41236	11895	2692	290	>100	7.3	84	7.3

Asta: 231 [1028,1029] Sez. G: UPN 260 L=180.0 cm Crit.: Acciaio_Flessione $\gamma M=1.05$ fyk/ $\gamma M=2619$ kg/cm² ft=4300 kg/cm² :**Verificato**

X	cls	N	TY	TZ	MT	MY	MZ	My4	Mz4	Comb.
cm		kg	kg	kg	kg*m	kg*m	kg*m			
180	1	315	-123	109	2	0	338	--	--	12

X	cls	Nr	Vyr	Vzr	Mry	Mrz	MTrd	SF_V.	SF_M	SF_Mt	SF
cm		kg	kg	kg	kg*m	kg*m	kg*m				
180	1	128965	39248	41297	11895	2692	290	>100	7.8	>100	7.8

Asta: 232 [1029,1030] Sez. G: UPN 260 L=180.0 cm Crit.: Acciaio_Flessione $\gamma M=1.05$ fyk/ $\gamma M=2619$ kg/cm² ft=4300 kg/cm² :**Verificato**

X	cls	N	TY	TZ	MT	MY	MZ	My4	Mz4	Comb.
cm		kg	kg	kg	kg*m	kg*m	kg*m			
180	1	-158	-137	217	-0	0	347	--	--	6

X	cls	Nr	Vyr	Vzr	Mry	Mrz	MTrd	SF_V.	SF_M	SF_Mt	SF
cm		kg	kg	kg	kg*m	kg*m	kg*m				

X	cls	Nr	Vyr	Vzr	Mry	Mrz	MTrd	SF_V.	SF_M	SF_Mt	SF
180	1	128965	39368	41424	11895	2692	290	>100	7.7	>100	7.7

Asta: 233 [1030,1031] Sez. G: UPN 260 L=180.0 cm Crit.: Acciaio_Flessione $\gamma M=1.05$ fyk/ $\gamma M=2619$ kg/cm² ft=4300 kg/cm² :**Verificato**

X	cls	N	TY	TZ	MT	MY	MZ	My4	Mz4	Comb.
cm		kg	kg	kg	kg*m	kg*m	kg*m			
180	1	316	-133	109	0	0	345	--	--	12

X	cls	Nr	Vyr	Vzr	Mry	Mrz	MTrd	SF_V.	SF_M	SF_Mt	SF
cm		kg	kg	kg	kg*m	kg*m	kg*m				
180	1	128965	39373	41429	11895	2692	290	>100	7.7	>100	7.7

Asta: 234 [1031,1032] Sez. G: UPN 260 L=180.0 cm Crit.: Acciaio_Flessione $\gamma M=1.05$ fyk/ $\gamma M=2619$ kg/cm² ft=4300 kg/cm² :**Verificato**

X	cls	N	TY	TZ	MT	MY	MZ	My4	Mz4	Comb.
cm		kg	kg	kg	kg*m	kg*m	kg*m			
180	1	-143	-155	217	-4	0	365	--	--	6

X	cls	Nr	Vyr	Vzr	Mry	Mrz	MTrd	SF_V.	SF_M	SF_Mt	SF
cm		kg	kg	kg	kg*m	kg*m	kg*m				
180	1	128965	39173	41219	11895	2692	290	>100	7.3	77	7.3

Asta: 235 [1032,1033] Sez. G: UPN 260 L=180.0 cm Crit.: Acciaio_Flessione $\gamma M=1.05$ fyk/ $\gamma M=2619$ kg/cm² ft=4300 kg/cm² :**Verificato**

X	cls	N	TY	TZ	MT	MY	MZ	My4	Mz4	Comb.
cm		kg	kg	kg	kg*m	kg*m	kg*m			
180	1	321	-123	109	2	0	337	--	--	12

X	cls	Nr	Vyr	Vzr	Mry	Mrz	MTrd	SF_V.	SF_M	SF_Mt	SF
cm		kg	kg	kg	kg*m	kg*m	kg*m				
180	1	128965	39246	41296	11895	2692	290	>100	7.8	>100	7.8

Asta: 236 [1033,1034] Sez. G: UPN 260 L=180.0 cm Crit.: Acciaio_Flessione $\gamma M=1.05$ fyk/ $\gamma M=2619$ kg/cm² ft=4300 kg/cm² :**Verificato**

X	cls	N	TY	TZ	MT	MY	MZ	My4	Mz4	Comb.
cm		kg	kg	kg	kg*m	kg*m	kg*m			
180	1	-158	-137	217	-0	0	347	--	--	6

X	cls	Nr	Vyr	Vzr	Mry	Mrz	MTrd	SF_V.	SF_M	SF_Mt	SF
cm		kg	kg	kg	kg*m	kg*m	kg*m				
180	1	128965	39363	41419	11895	2692	290	>100	7.7	>100	7.7

Asta: 237 [1034,1035] Sez. G: UPN 260 L=180.0 cm Crit.: Acciaio_Flessione $\gamma M=1.05$ fyk/ $\gamma M=2619$ kg/cm² ft=4300 kg/cm² :**Verificato**

X	cls	N	TY	TZ	MT	MY	MZ	My4	Mz4	Comb.
cm		kg	kg	kg	kg*m	kg*m	kg*m			
180	1	302	-132	109	0	0	344	--	--	12

X	cls	Nr	Vyr	Vzr	Mry	Mrz	MTrd	SF_V.	SF_M	SF_Mt	SF
cm		kg	kg	kg	kg*m	kg*m	kg*m				
180	1	128965	39372	41428	11895	2692	290	>100	7.7	>100	7.7

Asta: 238 [1035,1036] Sez. G: UPN 260 L=180.0 cm Crit.: Acciaio_Flessione $\gamma M=1.05$ fyk/ $\gamma M=2619$ kg/cm² ft=4300 kg/cm² :**Verificato**

X	cls	N	TY	TZ	MT	MY	MZ	My4	Mz4	Comb.
cm		kg	kg	kg	kg*m	kg*m	kg*m			
180	1	-160	-154	217	-4	0	365	--	--	6

X	cls	Nr	Vyr	Vzr	Mry	Mrz	MTrd	SF_V.	SF_M	SF_Mt	SF
cm		kg	kg	kg	kg*m	kg*m	kg*m				
180	1	128965	39174	41220	11895	2692	290	>100	7.3	78	7.3

Asta: 239 [1036,1037] Sez. G: UPN 260 L=180.0 cm Crit.: Acciaio_Flessione $\gamma M=1.05$ fyk/ $\gamma M=2619$ kg/cm² ft=4300 kg/cm² :**Verificato**

X	cls	N	TY	TZ	MT	MY	MZ	My4	Mz4	Comb.
cm		kg	kg	kg	kg*m	kg*m	kg*m			
180	1	274	-121	109	2	0	336	--	--	12

X	cls	Nr	Vyr	Vzr	Mry	Mrz	MTrd	SF_V.	SF_M	SF_Mt	SF
cm		kg	kg	kg	kg*m	kg*m	kg*m				
180	1	128965	39244	41294	11895	2692	290	>100	7.9	>100	7.9

Asta: 240 [1037,1038] Sez. G: UPN 260 L=180.0 cm Crit.: Acciaio_Flessione $\gamma M=1.05$ fyk/ $\gamma M=2619$ kg/cm² ft=4300 kg/cm² :**Verificato**

X	cls	N	TY	TZ	MT	MY	MZ	My4	Mz4	Comb.
cm		kg	kg	kg	kg*m	kg*m	kg*m			
180	1	-205	-136	217	-0	0	346	--	--	6

X	cls	Nr	Vyr	Vzr	Mry	Mrz	MTrd	SF_V.	SF_M	SF_Mt	SF
cm		kg	kg	kg	kg*m	kg*m	kg*m				
180	1	128965	39363	41419	11895	2692	290	>100	7.7	>100	7.7

Asta: 241 [1038,1039] Sez. G: UPN 260 L=180.0 cm Crit.: Acciaio_Flessione $\gamma M=1.05$ fyk/ $\gamma M=2619$ kg/cm² ft=4300 kg/cm² :**Verificato**

X	cls	N	TY	TZ	MT	MY	MZ	My4	Mz4	Comb.
cm		kg	kg	kg	kg*m	kg*m	kg*m			
180	1	210	-131	109	0	0	343	--	--	12

X	cls	Nr	Vyr	Vzr	Mry	Mrz	MTrd	SF_V.	SF_M	SF_Mt	SF
cm		kg	kg	kg	kg*m	kg*m	kg*m				
180	1	128965	39372	41428	11895	2692	290	>100	7.8	>100	7.8

Asta: 242 [1039,1040] Sez. G: UPN 260 L=180.0 cm Crit.: Acciaio_Flessione $\gamma M=1.05$ fyk/ $\gamma M=2619$ kg/cm² ft=4300 kg/cm² :**Verificato**

X	cls	N	TY	TZ	MT	MY	MZ	My4	Mz4	Comb.
cm		kg	kg	kg	kg*m	kg*m	kg*m			
180	1	-247	-153	217	-4	0	364	--	--	6

X	cls	Nr	Vyr	Vzr	Mry	Mrz	MTrd	SF_V.	SF_M	SF_Mt	SF
cm		kg	kg	kg	kg*m	kg*m	kg*m				
180	1	128965	39171	41216	11895	2692	290	>100	7.3	76	7.3

Asta: 243 [1040,1041] Sez. G: UPN 260 L=180.0 cm Crit.: Acciaio_Flessione $\gamma M=1.05$ fyk/ $\gamma M=2619$ kg/cm² ft=4300 kg/cm² :**Verificato**

X	cls	N	TY	TZ	MT	MY	MZ	My4	Mz4	Comb.
cm		kg	kg	kg	kg*m	kg*m	kg*m			
180	1	111	-117	109	2	0	332	--	--	12

X	cls	Nr	Vyr	Vzr	Mry	Mrz	MTrd	SF_V.	SF_M	SF_Mt	SF
cm		kg	kg	kg	kg*m	kg*m	kg*m				
180	1	128965	39241	41290	11895	2692	290	>100	8.0	>100	8.0

Asta: 244 [1041,1042] Sez. G: UPN 260 L=180.0 cm Crit.: Acciaio_Flessione $\gamma M=1.05$ fyk/ $\gamma M=2619$ kg/cm² ft=4300 kg/cm² :**Verificato**

X	cls	N	TY	TZ	MT	MY	MZ	My4	Mz4	Comb.
cm		kg	kg	kg	kg*m	kg*m	kg*m			
180	1	-359	-133	217	-0	0	343	--	--	6

X	cls	Nr	Vyr	Vzr	Mry	Mrz	MTrd	SF_V.	SF_M	SF_Mt	SF
cm		kg	kg	kg	kg*m	kg*m	kg*m				
180	1	128965	39364	41420	11895	2692	290	>100	7.7	>100	7.7

Asta: 245 [1042,1043] Sez. G: UPN 260 L=180.0 cm Crit.: Acciaio_Flessione $\gamma M=1.05$ fyk/ $\gamma M=2619$ kg/cm² ft=4300 kg/cm² :**Verificato**

X	cls	N	TY	TZ	MT	MY	MZ	My4	Mz4	Comb.
cm		kg	kg	kg	kg*m	kg*m	kg*m			
180	1	-121	-129	217	0	0	339	--	--	6

X	cls	Nr	Vyr	Vzr	Mry	Mrz	MTrd	SF_V.	SF_M	SF_Mt	SF
cm		kg	kg	kg	kg*m	kg*m	kg*m				

X	cls	Nr	Vyr	Vzr	Mry	Mrz	MTrd	SF_V.	SF_M	SF_Mt	SF
180	1	128965	39364	41419	11895	2692	290	>100	7.9	>100	7.9

Asta: 246 [1043,1044] Sez. G: UPN 260 L=180.0 cm Crit.: Acciaio_Flessione $\gamma M=1.05$ fyk/ $\gamma M=2619$ kg/cm² ft=4300 kg/cm² :**Verificato**

X	cls	N	TY	TZ	MT	MY	MZ	My4	Mz4	Comb.
cm		kg	kg	kg	kg*m	kg*m	kg*m			
180	1	-496	-151	217	-4	0	362	--	--	6

X	cls	Nr	Vyr	Vzr	Mry	Mrz	MTrd	SF_V.	SF_M	SF_Mt	SF
cm		kg	kg	kg	kg*m	kg*m	kg*m				
180	1	128965	39164	41209	11895	2692	290	>100	7.2	74	7.2

Asta: 247 [1044,1045] Sez. G: UPN 260 L=180.0 cm Crit.: Acciaio_Flessione $\gamma M=1.05$ fyk/ $\gamma M=2619$ kg/cm² ft=4300 kg/cm² :**Verificato**

X	cls	N	TY	TZ	MT	MY	MZ	My4	Mz4	Comb.
cm		kg	kg	kg	kg*m	kg*m	kg*m			
180	1	-306	-110	109	3	0	326	--	--	12

X	cls	Nr	Vyr	Vzr	Mry	Mrz	MTrd	SF_V.	SF_M	SF_Mt	SF
cm		kg	kg	kg	kg*m	kg*m	kg*m				
180	1	128965	39238	41288	11895	2692	290	>100	8.1	>100	8.1

Asta: 248 [1045,1046] Sez. G: UPN 260 L=180.0 cm Crit.: Acciaio_Flessione $\gamma M=1.05$ fyk/ $\gamma M=2619$ kg/cm² ft=4300 kg/cm² :**Verificato**

X	cls	N	TY	TZ	MT	MY	MZ	My4	Mz4	Comb.
cm		kg	kg	kg	kg*m	kg*m	kg*m			
180	1	-764	-125	217	-0	0	336	--	--	6

X	cls	Nr	Vyr	Vzr	Mry	Mrz	MTrd	SF_V.	SF_M	SF_Mt	SF
cm		kg	kg	kg	kg*m	kg*m	kg*m				
180	1	128965	39361	41417	11895	2692	290	>100	7.7	>100	7.7

Asta: 249 [1046,1047] Sez. G: UPN 260 L=180.0 cm Crit.: Acciaio_Flessione $\gamma M=1.05$ fyk/ $\gamma M=2619$ kg/cm² ft=4300 kg/cm² :**Verificato**

X	cls	N	TY	TZ	MT	MY	MZ	My4	Mz4	Comb.
cm		kg	kg	kg	kg*m	kg*m	kg*m			
180	1	-773	-120	217	0	0	330	--	--	6

X	cls	Nr	Vyr	Vzr	Mry	Mrz	MTrd	SF_V.	SF_M	SF_Mt	SF
cm		kg	kg	kg	kg*m	kg*m	kg*m				
180	1	128965	39363	41419	11895	2692	290	>100	7.8	>100	7.8

Asta: 250 [1047,1048] Sez. G: UPN 260 L=180.0 cm Crit.: Acciaio_Flessione $\gamma M=1.05$ fyk/ $\gamma M=2619$ kg/cm² ft=4300 kg/cm² :**Verificato**

X	cls	N	TY	TZ	MT	MY	MZ	My4	Mz4	Comb.
cm		kg	kg	kg	kg*m	kg*m	kg*m			
180	1	-1155	-142	217	-4	0	351	--	--	6

X	cls	Nr	Vyr	Vzr	Mry	Mrz	MTrd	SF_V.	SF_M	SF_Mt	SF
cm		kg	kg	kg	kg*m	kg*m	kg*m				
180	1	128965	39180	41226	11895	2692	290	>100	7.2	80	7.2

Asta: 251 [1048,1049] Sez. G: UPN 260 L=180.0 cm Crit.: Acciaio_Flessione $\gamma M=1.05$ fyk/ $\gamma M=2619$ kg/cm² ft=4300 kg/cm² :**Verificato**

X	cls	N	TY	TZ	MT	MY	MZ	My4	Mz4	Comb.
cm		kg	kg	kg	kg*m	kg*m	kg*m			
180	1	-694	-135	109	2	0	346	--	--	12

X	cls	Nr	Vyr	Vzr	Mry	Mrz	MTrd	SF_V.	SF_M	SF_Mt	SF
cm		kg	kg	kg	kg*m	kg*m	kg*m				
180	1	128965	39243	41292	11895	2692	290	>100	7.5	>100	7.5

Asta: 252 [1049,1050] Sez. G: UPN 260 L=180.0 cm Crit.: Acciaio_Flessione $\gamma M=1.05$ fyk/ $\gamma M=2619$ kg/cm² ft=4300 kg/cm² :**Verificato**

X	cls	N	TY	TZ	MT	MY	MZ	My4	Mz4	Comb.
cm		kg	kg	kg	kg*m	kg*m	kg*m			
180	1	-1197	-151	217	-0	0	359	--	--	6

X	cls	Nr	Vyr	Vzr	Mry	Mrz	MTrd	SF_V.	SF_M	SF_Mt	SF
cm		kg	kg	kg	kg*m	kg*m	kg*m				
180	1	128965	39363	41419	11895	2692	290	>100	7.0	>100	7.0

Asta: 253 [1050,1051] Sez. G: UPN 260 L=180.0 cm Crit.: Acciaio_Flessione $\gamma M=1.05$ fyk/ $\gamma M=2619$ kg/cm² ft=4300 kg/cm² :**Verificato**

X	cls	N	TY	TZ	MT	MY	MZ	My4	Mz4	Comb.
cm		kg	kg	kg	kg*m	kg*m	kg*m			
180	1	-394	-146	217	0	0	354	--	--	6

X	cls	Nr	Vyr	Vzr	Mry	Mrz	MTrd	SF_V.	SF_M	SF_Mt	SF
cm		kg	kg	kg	kg*m	kg*m	kg*m				
180	1	128965	39365	41421	11895	2692	290	>100	7.4	>100	7.4

Asta: 254 [1051,1052] Sez. G: UPN 260 L=180.0 cm Crit.: Acciaio_Flessione $\gamma M=1.05$ fyk/ $\gamma M=2619$ kg/cm² ft=4300 kg/cm² :**Verificato**

X	cls	N	TY	TZ	MT	MY	MZ	My4	Mz4	Comb.
cm		kg	kg	kg	kg*m	kg*m	kg*m			
180	1	-822	-167	217	-4	0	377	--	--	6

X	cls	Nr	Vyr	Vzr	Mry	Mrz	MTrd	SF_V.	SF_M	SF_Mt	SF
cm		kg	kg	kg	kg*m	kg*m	kg*m				
180	1	128965	39163	41208	11895	2692	290	>100	6.8	74	6.8

Asta: 255 [1052,1053] Sez. G: UPN 260 L=180.0 cm Crit.: Acciaio_Flessione $\gamma M=1.05$ fyk/ $\gamma M=2619$ kg/cm² ft=4300 kg/cm² :**Verificato**

X	cls	N	TY	TZ	MT	MY	MZ	My4	Mz4	Comb.
cm		kg	kg	kg	kg*m	kg*m	kg*m			
180	1	-96	-126	109	3	0	340	--	--	12

X	cls	Nr	Vyr	Vzr	Mry	Mrz	MTrd	SF_V.	SF_M	SF_Mt	SF
cm		kg	kg	kg	kg*m	kg*m	kg*m				
180	1	128965	39237	41286	11895	2692	290	>100	7.9	>100	7.9

Asta: 256 [1053,1054] Sez. G: UPN 260 L=180.0 cm Crit.: Acciaio_Flessione $\gamma M=1.05$ fyk/ $\gamma M=2619$ kg/cm² ft=4300 kg/cm² :**Verificato**

X	cls	N	TY	TZ	MT	MY	MZ	My4	Mz4	Comb.
cm		kg	kg	kg	kg*m	kg*m	kg*m			
180	1	-602	-142	217	-0	0	351	--	--	6

X	cls	Nr	Vyr	Vzr	Mry	Mrz	MTrd	SF_V.	SF_M	SF_Mt	SF
cm		kg	kg	kg	kg*m	kg*m	kg*m				
180	1	128965	39363	41419	11895	2692	290	>100	7.4	>100	7.4

Asta: 257 [1054,1055] Sez. G: UPN 260 L=180.0 cm Crit.: Acciaio_Flessione $\gamma M=1.05$ fyk/ $\gamma M=2619$ kg/cm² ft=4300 kg/cm² :**Verificato**

X	cls	N	TY	TZ	MT	MY	MZ	My4	Mz4	Comb.
cm		kg	kg	kg	kg*m	kg*m	kg*m			
180	1	-56	-138	217	0	0	347	--	--	6

X	cls	Nr	Vyr	Vzr	Mry	Mrz	MTrd	SF_V.	SF_M	SF_Mt	SF
cm		kg	kg	kg	kg*m	kg*m	kg*m				
180	1	128965	39363	41419	11895	2692	290	>100	7.7	>100	7.7

Asta: 258 [1055,1056] Sez. G: UPN 260 L=180.0 cm Crit.: Acciaio_Flessione $\gamma M=1.05$ fyk/ $\gamma M=2619$ kg/cm² ft=4300 kg/cm² :**Verificato**

X	cls	N	TY	TZ	MT	MY	MZ	My4	Mz4	Comb.
cm		kg	kg	kg	kg*m	kg*m	kg*m			
180	1	-471	-159	217	-4	0	369	--	--	6

X	cls	Nr	Vyr	Vzr	Mry	Mrz	MTrd	SF_V.	SF_M	SF_Mt	SF
cm		kg	kg	kg	kg*m	kg*m	kg*m				

X	cls	Nr	Vyr	Vzr	Mry	Mrz	MTrd	SF_V.	SF_M	SF_Mt	SF
180	1	128965	39171	41217	11895	2692	290	>100	7.1	77	7.1

Asta: 259 [1056,1057] Sez. G: UPN 260 L=180.0 cm Crit.: Acciaio_Flessione $\gamma M=1.05$ fyk/ $\gamma M=2619$ kg/cm² ft=4300 kg/cm² :**Verificato**

X	cls	N	TY	TZ	MT	MY	MZ	My4	Mz4	Comb.
cm		kg	kg	kg	kg*m	kg*m	kg*m			
180	1	63	-122	109	3	0	337	--	--	12

X	cls	Nr	Vyr	Vzr	Mry	Mrz	MTrd	SF_V.	SF_M	SF_Mt	SF
cm		kg	kg	kg	kg*m	kg*m	kg*m				
180	1	128965	39241	41290	11895	2692	290	>100	8.0	>100	8.0

Asta: 260 [1057,1058] Sez. G: UPN 260 L=180.0 cm Crit.: Acciaio_Flessione $\gamma M=1.05$ fyk/ $\gamma M=2619$ kg/cm² ft=4300 kg/cm² :**Verificato**

X	cls	N	TY	TZ	MT	MY	MZ	My4	Mz4	Comb.
cm		kg	kg	kg	kg*m	kg*m	kg*m			
180	1	-421	-138	217	-0	0	347	--	--	6

X	cls	Nr	Vyr	Vzr	Mry	Mrz	MTrd	SF_V.	SF_M	SF_Mt	SF
cm		kg	kg	kg	kg*m	kg*m	kg*m				
180	1	128965	39365	41420	11895	2692	290	>100	7.6	>100	7.6

Asta: 261 [1058,1059] Sez. G: UPN 260 L=180.0 cm Crit.: Acciaio_Flessione $\gamma M=1.05$ fyk/ $\gamma M=2619$ kg/cm² ft=4300 kg/cm² :**Verificato**

X	cls	N	TY	TZ	MT	MY	MZ	My4	Mz4	Comb.
cm		kg	kg	kg	kg*m	kg*m	kg*m			
180	1	45	-132	109	0	0	344	--	--	12

X	cls	Nr	Vyr	Vzr	Mry	Mrz	MTrd	SF_V.	SF_M	SF_Mt	SF
cm		kg	kg	kg	kg*m	kg*m	kg*m				
180	1	128965	39367	41423	11895	2692	290	>100	7.8	>100	7.8

Asta: 262 [1059,1060] Sez. G: UPN 260 L=180.0 cm Crit.: Acciaio_Flessione $\gamma M=1.05$ fyk/ $\gamma M=2619$ kg/cm² ft=4300 kg/cm² :**Verificato**

X	cls	N	TY	TZ	MT	MY	MZ	My4	Mz4	Comb.
cm		kg	kg	kg	kg*m	kg*m	kg*m			
180	1	-409	-155	217	-4	0	365	--	--	6

X	cls	Nr	Vyr	Vzr	Mry	Mrz	MTrd	SF_V.	SF_M	SF_Mt	SF
cm		kg	kg	kg	kg*m	kg*m	kg*m				
180	1	128965	39167	41212	11895	2692	290	>100	7.2	75	7.2

Asta: 263 [1060,1061] Sez. G: UPN 260 L=180.0 cm Crit.: Acciaio_Flessione $\gamma M=1.05$ fyk/ $\gamma M=2619$ kg/cm² ft=4300 kg/cm² :**Verificato**

X	cls	N	TY	TZ	MT	MY	MZ	My4	Mz4	Comb.
cm		kg	kg	kg	kg*m	kg*m	kg*m			
180	1	8	-120	109	3	0	335	--	--	12

X	cls	Nr	Vyr	Vzr	Mry	Mrz	MTrd	SF_V.	SF_M	SF_Mt	SF
cm		kg	kg	kg	kg*m	kg*m	kg*m				
180	1	128965	39240	41290	11895	2692	290	>100	8.0	>100	8.0

Asta: 264 [1061,1062] Sez. G: UPN 260 L=180.0 cm Crit.: Acciaio_Flessione $\gamma M=1.05$ fyk/ $\gamma M=2619$ kg/cm² ft=4300 kg/cm² :**Verificato**

X	cls	N	TY	TZ	MT	MY	MZ	My4	Mz4	Comb.
cm		kg	kg	kg	kg*m	kg*m	kg*m			
180	1	-454	-135	217	-0	0	344	--	--	6

X	cls	Nr	Vyr	Vzr	Mry	Mrz	MTrd	SF_V.	SF_M	SF_Mt	SF
cm		kg	kg	kg	kg*m	kg*m	kg*m				
180	1	128965	39357	41413	11895	2692	290	>100	7.6	>100	7.6

Asta: 265 [1062,1063] Sez. G: UPN 260 L=180.0 cm Crit.: Acciaio_Flessione $\gamma M=1.05$ fyk/ $\gamma M=2619$ kg/cm² ft=4300 kg/cm² :**Verificato**

X	cls	N	TY	TZ	MT	MY	MZ	My4	Mz4	Comb.
cm		kg	kg	kg	kg*m	kg*m	kg*m			
180	1	-117	-135	49	-2	-108	347	--	--	12

X	cls	Nr	Vyr	Vzr	Mry	Mrz	MTrd	SF_V.	SF_M	SF_Mt	SF
cm		kg	kg	kg	kg*m	kg*m	kg*m				
180	1	128965	39281	41332	11895	2692	290	>100	7.2	>100	7.2

Asta: 266 [1063,1064] Sez. G: UPN 260 L=180.0 cm Crit.: Acciaio_Flessione $\gamma_M=1.05$ fyk/ $\gamma_M=2619$ kg/cmq ft=4300 kg/cmq :**Verificato**

X	cls	N	TY	TZ	MT	MY	MZ	My4	Mz4	Comb.
cm		kg	kg	kg	kg*m	kg*m	kg*m			
180	1	-564	-134	518	1	452	347	--	--	6

X	cls	Nr	Vyr	Vzr	Mry	Mrz	MTrd	SF_V.	SF_M	SF_Mt	SF
cm		kg	kg	kg	kg*m	kg*m	kg*m				
180	1	128965	39347	41402	11895	2692	290	80	5.8	>100	5.8

Asta: 267 [1064,1065] Sez. G: UPN 260 L=200.0 cm Crit.: Acciaio_Flessione $\gamma_M=1.05$ fyk/ $\gamma_M=2619$ kg/cmq ft=4300 kg/cmq :**Verificato**

X	cls	N	TY	TZ	MT	MY	MZ	My4	Mz4	Comb.
cm		kg	kg	kg	kg*m	kg*m	kg*m			
200	1	-359	-54	13	-1	0	258	--	--	6

X	cls	Nr	Vyr	Vzr	Mry	Mrz	MTrd	SF_V.	SF_M	SF_Mt	SF
cm		kg	kg	kg	kg*m	kg*m	kg*m				
200	1	128965	39320	41374	11895	2692	290	>100	10	>100	10

Asta: 268 [1066,1067] Sez. G: IPE 100 L=200.0 cm Crit.: Acciaio_Flessione $\gamma_M=1.05$ fyk/ $\gamma_M=2619$ kg/cmq ft=4300 kg/cmq :**Verificato**

X	cls	N	TY	TZ	MT	MY	MZ	My4	Mz4	Comb.
cm		kg	kg	kg	kg*m	kg*m	kg*m			
100	1	-133	1	0	0	-196	16	--	--	6

X	cls	Nr	Vyr	Vzr	Mry	Mrz	MTrd	SF_V.	SF_M	SF_Mt	SF
cm		kg	kg	kg	kg*m	kg*m	kg*m				
100	1	27037	9476	7685	1033	240	27	>100	3.8	>100	3.8

Asta: 269 [1067,1068] Sez. G: IPE 100 L=180.0 cm Crit.: Acciaio_Flessione $\gamma_M=1.05$ fyk/ $\gamma_M=2619$ kg/cmq ft=4300 kg/cmq :**Verificato**

X	cls	N	TY	TZ	MT	MY	MZ	My4	Mz4	Comb.
cm		kg	kg	kg	kg*m	kg*m	kg*m			
90	1	30	-0	0	-0	-159	16	--	--	6

X	cls	Nr	Vyr	Vzr	Mry	Mrz	MTrd	SF_V.	SF_M	SF_Mt	SF
cm		kg	kg	kg	kg*m	kg*m	kg*m				
90	1	27037	9481	7689	1033	240	27	>100	4.5	>100	4.5

Asta: 270 [1068,1069] Sez. G: IPE 100 L=180.0 cm Crit.: Acciaio_Flessione $\gamma_M=1.05$ fyk/ $\gamma_M=2619$ kg/cmq ft=4300 kg/cmq :**Verificato**

X	cls	N	TY	TZ	MT	MY	MZ	My4	Mz4	Comb.
cm		kg	kg	kg	kg*m	kg*m	kg*m			
90	1	-265	0	0	0	-159	16	--	--	6

X	cls	Nr	Vyr	Vzr	Mry	Mrz	MTrd	SF_V.	SF_M	SF_Mt	SF
cm		kg	kg	kg	kg*m	kg*m	kg*m				
90	1	27037	9470	7680	1033	240	27	>100	4.4	>100	4.4

Asta: 271 [1069,1070] Sez. G: IPE 100 L=180.0 cm Crit.: Acciaio_Flessione $\gamma_M=1.05$ fyk/ $\gamma_M=2619$ kg/cmq ft=4300 kg/cmq :**Verificato**

X	cls	N	TY	TZ	MT	MY	MZ	My4	Mz4	Comb.
cm		kg	kg	kg	kg*m	kg*m	kg*m			
90	1	149	-0	0	0	-159	16	--	--	6

X	cls	Nr	Vyr	Vzr	Mry	Mrz	MTrd	SF_V.	SF_M	SF_Mt	SF
cm		kg	kg	kg	kg*m	kg*m	kg*m				

X	cls	Nr	Vyr	Vzr	Mry	Mrz	MTrd	SF_V.	SF_M	SF_Mt	SF
90	1	27037	9480	7688	1033	240	27	>100	4.4	>100	4.4

Asta: 272 [1070,1071] Sez. G: IPE 100 L=180.0 cm Crit.: Acciaio_Flessione $\gamma M=1.05$ fyk/ $\gamma M=2619$ kg/cmq
ft=4300 kg/cmq :**Verificato**

X	cls	N	TY	TZ	MT	MY	MZ	My4	Mz4	Comb.
cm		kg	kg	kg	kg*m	kg*m	kg*m			
90	1	-225	-1	0	-0	-159	16	--	--	6

X	cls	Nr	Vyr	Vzr	Mry	Mrz	MTrd	SF_V.	SF_M	SF_Mt	SF
cm		kg	kg	kg	kg*m	kg*m	kg*m				
90	1	27037	9459	7671	1033	240	27	>100	4.4	>100	4.4

Asta: 273 [1071,1072] Sez. G: IPE 100 L=180.0 cm Crit.: Acciaio_Flessione $\gamma M=1.05$ fyk/ $\gamma M=2619$ kg/cmq
ft=4300 kg/cmq :**Verificato**

X	cls	N	TY	TZ	MT	MY	MZ	My4	Mz4	Comb.
cm		kg	kg	kg	kg*m	kg*m	kg*m			
90	1	152	1	0	0	-159	16	--	--	6

X	cls	Nr	Vyr	Vzr	Mry	Mrz	MTrd	SF_V.	SF_M	SF_Mt	SF
cm		kg	kg	kg	kg*m	kg*m	kg*m				
90	1	27037	9457	7670	1033	240	27	>100	4.4	>100	4.4

Asta: 280 [1072,1073] Sez. G: IPE 100 L=180.0 cm Crit.: Acciaio_Flessione $\gamma M=1.05$ fyk/ $\gamma M=2619$ kg/cmq
ft=4300 kg/cmq :**Verificato**

X	cls	N	TY	TZ	MT	MY	MZ	My4	Mz4	Comb.
cm		kg	kg	kg	kg*m	kg*m	kg*m			
90	1	-186	0	0	-0	-159	16	--	--	6

X	cls	Nr	Vyr	Vzr	Mry	Mrz	MTrd	SF_V.	SF_M	SF_Mt	SF
cm		kg	kg	kg	kg*m	kg*m	kg*m				
90	1	27037	9480	7688	1033	240	27	>100	4.4	>100	4.4

Asta: 281 [1073,1074] Sez. G: IPE 100 L=180.0 cm Crit.: Acciaio_Flessione $\gamma M=1.05$ fyk/ $\gamma M=2619$ kg/cmq
ft=4300 kg/cmq :**Verificato**

X	cls	N	TY	TZ	MT	MY	MZ	My4	Mz4	Comb.
cm		kg	kg	kg	kg*m	kg*m	kg*m			
90	1	177	0	0	0	-159	16	--	--	6

X	cls	Nr	Vyr	Vzr	Mry	Mrz	MTrd	SF_V.	SF_M	SF_Mt	SF
cm		kg	kg	kg	kg*m	kg*m	kg*m				
90	1	27037	9479	7688	1033	240	27	>100	4.4	>100	4.4

Asta: 282 [1074,1075] Sez. G: IPE 100 L=180.0 cm Crit.: Acciaio_Flessione $\gamma M=1.05$ fyk/ $\gamma M=2619$ kg/cmq
ft=4300 kg/cmq :**Verificato**

X	cls	N	TY	TZ	MT	MY	MZ	My4	Mz4	Comb.
cm		kg	kg	kg	kg*m	kg*m	kg*m			
90	1	-199	-0	0	-0	-159	16	--	--	6

X	cls	Nr	Vyr	Vzr	Mry	Mrz	MTrd	SF_V.	SF_M	SF_Mt	SF
cm		kg	kg	kg	kg*m	kg*m	kg*m				
90	1	27037	9457	7669	1033	240	27	>100	4.4	>100	4.4

Asta: 283 [1075,1076] Sez. G: IPE 100 L=180.0 cm Crit.: Acciaio_Flessione $\gamma M=1.05$ fyk/ $\gamma M=2619$ kg/cmq
ft=4300 kg/cmq :**Verificato**

X	cls	N	TY	TZ	MT	MY	MZ	My4	Mz4	Comb.
cm		kg	kg	kg	kg*m	kg*m	kg*m			
90	1	154	1	0	0	-159	16	--	--	6

X	cls	Nr	Vyr	Vzr	Mry	Mrz	MTrd	SF_V.	SF_M	SF_Mt	SF
cm		kg	kg	kg	kg*m	kg*m	kg*m				
90	1	27037	9457	7670	1033	240	27	>100	4.4	>100	4.4

Asta: 284 [1076,1077] Sez. G: IPE 100 L=180.0 cm Crit.: Acciaio_Flessione $\gamma M=1.05$ fyk/ $\gamma M=2619$ kg/cmq
ft=4300 kg/cmq :**Verificato**

X	cls	N	TY	TZ	MT	MY	MZ	My4	Mz4	Comb.
cm		kg	kg	kg	kg*m	kg*m	kg*m			
90	1	-179	0	0	-0	-159	16	--	--	6

X	cls	Nr	Vyr	Vzr	Mry	Mrz	MTrd	SF_V.	SF_M	SF_Mt	SF
cm		kg	kg	kg	kg*m	kg*m	kg*m				
90	1	27037	9479	7688	1033	240	27	>100	4.4	>100	4.4

Asta: 285 [1077,1078] Sez. G: IPE 100 L=180.0 cm Crit.: Acciaio_Flessione $\gamma M=1.05$ fyk/ $\gamma M=2619$ kg/cmq ft=4300 kg/cmq :**Verificato**

X	cls	N	TY	TZ	MT	MY	MZ	My4	Mz4	Comb.
cm		kg	kg	kg	kg*m	kg*m	kg*m			
90	1	167	0	0	0	-159	16	--	--	6

X	cls	Nr	Vyr	Vzr	Mry	Mrz	MTrd	SF_V.	SF_M	SF_Mt	SF
cm		kg	kg	kg	kg*m	kg*m	kg*m				
90	1	27037	9479	7688	1033	240	27	>100	4.4	>100	4.4

Asta: 286 [1078,1079] Sez. G: IPE 100 L=180.0 cm Crit.: Acciaio_Flessione $\gamma M=1.05$ fyk/ $\gamma M=2619$ kg/cmq ft=4300 kg/cmq :**Verificato**

X	cls	N	TY	TZ	MT	MY	MZ	My4	Mz4	Comb.
cm		kg	kg	kg	kg*m	kg*m	kg*m			
90	1	-202	-0	0	-0	-159	16	--	--	6

X	cls	Nr	Vyr	Vzr	Mry	Mrz	MTrd	SF_V.	SF_M	SF_Mt	SF
cm		kg	kg	kg	kg*m	kg*m	kg*m				
90	1	27037	9457	7670	1033	240	27	>100	4.4	>100	4.4

Asta: 287 [1079,1080] Sez. G: IPE 100 L=180.0 cm Crit.: Acciaio_Flessione $\gamma M=1.05$ fyk/ $\gamma M=2619$ kg/cmq ft=4300 kg/cmq :**Verificato**

X	cls	N	TY	TZ	MT	MY	MZ	My4	Mz4	Comb.
cm		kg	kg	kg	kg*m	kg*m	kg*m			
90	1	130	1	0	0	-159	16	--	--	6

X	cls	Nr	Vyr	Vzr	Mry	Mrz	MTrd	SF_V.	SF_M	SF_Mt	SF
cm		kg	kg	kg	kg*m	kg*m	kg*m				
90	1	27037	9457	7669	1033	240	27	>100	4.4	>100	4.4

Asta: 288 [1080,1081] Sez. G: IPE 100 L=180.0 cm Crit.: Acciaio_Flessione $\gamma M=1.05$ fyk/ $\gamma M=2619$ kg/cmq ft=4300 kg/cmq :**Verificato**

X	cls	N	TY	TZ	MT	MY	MZ	My4	Mz4	Comb.
cm		kg	kg	kg	kg*m	kg*m	kg*m			
90	1	-182	0	0	-0	-159	16	--	--	6

X	cls	Nr	Vyr	Vzr	Mry	Mrz	MTrd	SF_V.	SF_M	SF_Mt	SF
cm		kg	kg	kg	kg*m	kg*m	kg*m				
90	1	27037	9479	7688	1033	240	27	>100	4.4	>100	4.4

Asta: 289 [1081,1082] Sez. G: IPE 100 L=180.0 cm Crit.: Acciaio_Flessione $\gamma M=1.05$ fyk/ $\gamma M=2619$ kg/cmq ft=4300 kg/cmq :**Verificato**

X	cls	N	TY	TZ	MT	MY	MZ	My4	Mz4	Comb.
cm		kg	kg	kg	kg*m	kg*m	kg*m			
90	1	134	0	0	0	-159	16	--	--	6

X	cls	Nr	Vyr	Vzr	Mry	Mrz	MTrd	SF_V.	SF_M	SF_Mt	SF
cm		kg	kg	kg	kg*m	kg*m	kg*m				
90	1	27037	9479	7688	1033	240	27	>100	4.4	>100	4.4

Asta: 290 [1082,1083] Sez. G: IPE 100 L=180.0 cm Crit.: Acciaio_Flessione $\gamma M=1.05$ fyk/ $\gamma M=2619$ kg/cmq ft=4300 kg/cmq :**Verificato**

X	cls	N	TY	TZ	MT	MY	MZ	My4	Mz4	Comb.
cm		kg	kg	kg	kg*m	kg*m	kg*m			
90	1	-215	-0	0	-0	-159	16	--	--	6

X	cls	Nr	Vyr	Vzr	Mry	Mrz	MTrd	SF_V.	SF_M	SF_Mt	SF
cm		kg	kg	kg	kg*m	kg*m	kg*m				

X	cls	Nr	Vyr	Vzr	Mry	Mrz	MTrd	SF_V.	SF_M	SF_Mt	SF
90	1	27037	9457	7669	1033	240	27	>100	4.4	>100	4.4

Asta: 291 [1083,1084] Sez. G: IPE 100 L=180.0 cm Crit.: Acciaio_Flessione $\gamma M=1.05$ fyk/ $\gamma M=2619$ kg/cmq
ft=4300 kg/cmq :**Verificato**

X	cls	N	TY	TZ	MT	MY	MZ	My4	Mz4	Comb.
cm		kg	kg	kg	kg*m	kg*m	kg*m			
90	1	74	1	0	0	-159	16	--	--	6

X	cls	Nr	Vyr	Vzr	Mry	Mrz	MTrd	SF_V.	SF_M	SF_Mt	SF
cm		kg	kg	kg	kg*m	kg*m	kg*m				
90	1	27037	9457	7669	1033	240	27	>100	4.5	>100	4.5

Asta: 292 [1084,1085] Sez. G: IPE 100 L=180.0 cm Crit.: Acciaio_Flessione $\gamma M=1.05$ fyk/ $\gamma M=2619$ kg/cmq
ft=4300 kg/cmq :**Verificato**

X	cls	N	TY	TZ	MT	MY	MZ	My4	Mz4	Comb.
cm		kg	kg	kg	kg*m	kg*m	kg*m			
90	1	-189	1	0	-0	-159	16	--	--	6

X	cls	Nr	Vyr	Vzr	Mry	Mrz	MTrd	SF_V.	SF_M	SF_Mt	SF
cm		kg	kg	kg	kg*m	kg*m	kg*m				
90	1	27037	9479	7688	1033	240	27	>100	4.4	>100	4.4

Asta: 293 [1085,1086] Sez. G: IPE 100 L=180.0 cm Crit.: Acciaio_Flessione $\gamma M=1.05$ fyk/ $\gamma M=2619$ kg/cmq
ft=4300 kg/cmq :**Verificato**

X	cls	N	TY	TZ	MT	MY	MZ	My4	Mz4	Comb.
cm		kg	kg	kg	kg*m	kg*m	kg*m			
90	1	71	1	0	0	-159	16	--	--	6

X	cls	Nr	Vyr	Vzr	Mry	Mrz	MTrd	SF_V.	SF_M	SF_Mt	SF
cm		kg	kg	kg	kg*m	kg*m	kg*m				
90	1	27037	9479	7688	1033	240	27	>100	4.5	>100	4.5

Asta: 294 [1086,1087] Sez. G: IPE 100 L=180.0 cm Crit.: Acciaio_Flessione $\gamma M=1.05$ fyk/ $\gamma M=2619$ kg/cmq
ft=4300 kg/cmq :**Verificato**

X	cls	N	TY	TZ	MT	MY	MZ	My4	Mz4	Comb.
cm		kg	kg	kg	kg*m	kg*m	kg*m			
90	1	-223	1	0	-0	-159	16	--	--	6

X	cls	Nr	Vyr	Vzr	Mry	Mrz	MTrd	SF_V.	SF_M	SF_Mt	SF
cm		kg	kg	kg	kg*m	kg*m	kg*m				
90	1	27037	9456	7669	1033	240	27	>100	4.4	>100	4.4

Asta: 295 [1087,1088] Sez. G: IPE 100 L=180.0 cm Crit.: Acciaio_Flessione $\gamma M=1.05$ fyk/ $\gamma M=2619$ kg/cmq
ft=4300 kg/cmq :**Verificato**

X	cls	N	TY	TZ	MT	MY	MZ	My4	Mz4	Comb.
cm		kg	kg	kg	kg*m	kg*m	kg*m			
90	1	-5	2	0	0	-159	16	--	--	6

X	cls	Nr	Vyr	Vzr	Mry	Mrz	MTrd	SF_V.	SF_M	SF_Mt	SF
cm		kg	kg	kg	kg*m	kg*m	kg*m				
90	1	27037	9456	7669	1033	240	27	>100	4.5	>100	4.5

Asta: 296 [1088,1089] Sez. G: IPE 100 L=180.0 cm Crit.: Acciaio_Flessione $\gamma M=1.05$ fyk/ $\gamma M=2619$ kg/cmq
ft=4300 kg/cmq :**Verificato**

X	cls	N	TY	TZ	MT	MY	MZ	My4	Mz4	Comb.
cm		kg	kg	kg	kg*m	kg*m	kg*m			
90	1	-136	2	0	-0	-159	16	--	--	6

X	cls	Nr	Vyr	Vzr	Mry	Mrz	MTrd	SF_V.	SF_M	SF_Mt	SF
cm		kg	kg	kg	kg*m	kg*m	kg*m				
90	1	27037	9479	7687	1033	240	27	>100	4.4	>100	4.4

Asta: 297 [1089,1090] Sez. G: IPE 100 L=180.0 cm Crit.: Acciaio_Flessione $\gamma M=1.05$ fyk/ $\gamma M=2619$ kg/cmq
ft=4300 kg/cmq :**Verificato**

X	cls	N	TY	TZ	MT	MY	MZ	My4	Mz4	Comb.
cm		kg	kg	kg	kg*m	kg*m	kg*m			
90	1	69	2	0	0	-159	16	--	--	6

X	cls	Nr	Vyr	Vzr	Mry	Mrz	MTrd	SF_V.	SF_M	SF_Mt	SF
cm		kg	kg	kg	kg*m	kg*m	kg*m				
90	1	27037	9479	7688	1033	240	27	>100	4.5	>100	4.5

Asta: 298 [1090,1091] Sez. G: IPE 100 L=180.0 cm Crit.: Acciaio_Flessione $\gamma M=1.05$ fyk/ $\gamma M=2619$ kg/cmq ft=4300 kg/cmq :**Verificato**

X	cls	N	TY	TZ	MT	MY	MZ	My4	Mz4	Comb.
cm		kg	kg	kg	kg*m	kg*m	kg*m			
90	1	-91	1	0	-0	-159	16	--	--	6

X	cls	Nr	Vyr	Vzr	Mry	Mrz	MTrd	SF_V.	SF_M	SF_Mt	SF
cm		kg	kg	kg	kg*m	kg*m	kg*m				
90	1	27037	9458	7670	1033	240	27	>100	4.5	>100	4.5

Asta: 299 [1091,1092] Sez. G: IPE 100 L=180.0 cm Crit.: Acciaio_Flessione $\gamma M=1.05$ fyk/ $\gamma M=2619$ kg/cmq ft=4300 kg/cmq :**Verificato**

X	cls	N	TY	TZ	MT	MY	MZ	My4	Mz4	Comb.
cm		kg	kg	kg	kg*m	kg*m	kg*m			
90	1	258	-0	0	0	-159	16	--	--	6

X	cls	Nr	Vyr	Vzr	Mry	Mrz	MTrd	SF_V.	SF_M	SF_Mt	SF
cm		kg	kg	kg	kg*m	kg*m	kg*m				
90	1	27037	9457	7669	1033	240	27	>100	4.4	>100	4.4

Asta: 300 [1092,1093] Sez. G: IPE 100 L=180.0 cm Crit.: Acciaio_Flessione $\gamma M=1.05$ fyk/ $\gamma M=2619$ kg/cmq ft=4300 kg/cmq :**Verificato**

X	cls	N	TY	TZ	MT	MY	MZ	My4	Mz4	Comb.
cm		kg	kg	kg	kg*m	kg*m	kg*m			
90	1	-284	-1	0	-0	-159	16	--	--	6

X	cls	Nr	Vyr	Vzr	Mry	Mrz	MTrd	SF_V.	SF_M	SF_Mt	SF
cm		kg	kg	kg	kg*m	kg*m	kg*m				
90	1	27037	9479	7688	1033	240	27	>100	4.3	>100	4.3

Asta: 301 [1093,1094] Sez. G: IPE 100 L=180.0 cm Crit.: Acciaio_Flessione $\gamma M=1.05$ fyk/ $\gamma M=2619$ kg/cmq ft=4300 kg/cmq :**Verificato**

X	cls	N	TY	TZ	MT	MY	MZ	My4	Mz4	Comb.
cm		kg	kg	kg	kg*m	kg*m	kg*m			
90	1	210	-1	0	0	-159	16	--	--	6

X	cls	Nr	Vyr	Vzr	Mry	Mrz	MTrd	SF_V.	SF_M	SF_Mt	SF
cm		kg	kg	kg	kg*m	kg*m	kg*m				
90	1	27037	9479	7688	1033	240	27	>100	4.4	>100	4.4

Asta: 302 [1094,1095] Sez. G: IPE 100 L=180.0 cm Crit.: Acciaio_Flessione $\gamma M=1.05$ fyk/ $\gamma M=2619$ kg/cmq ft=4300 kg/cmq :**Verificato**

X	cls	N	TY	TZ	MT	MY	MZ	My4	Mz4	Comb.
cm		kg	kg	kg	kg*m	kg*m	kg*m			
90	1	-360	-2	0	-0	-159	16	--	--	6

X	cls	Nr	Vyr	Vzr	Mry	Mrz	MTrd	SF_V.	SF_M	SF_Mt	SF
cm		kg	kg	kg	kg*m	kg*m	kg*m				
90	1	27037	9456	7668	1033	240	27	>100	4.3	>100	4.3

Asta: 303 [1095,1096] Sez. G: IPE 100 L=180.0 cm Crit.: Acciaio_Flessione $\gamma M=1.05$ fyk/ $\gamma M=2619$ kg/cmq ft=4300 kg/cmq :**Verificato**

X	cls	N	TY	TZ	MT	MY	MZ	My4	Mz4	Comb.
cm		kg	kg	kg	kg*m	kg*m	kg*m			
90	1	116	-0	0	0	-159	16	--	--	6

X	cls	Nr	Vyr	Vzr	Mry	Mrz	MTrd	SF_V.	SF_M	SF_Mt	SF
cm		kg	kg	kg	kg*m	kg*m	kg*m				

X	cls	Nr	Vyr	Vzr	Mry	Mrz	MTrd	SF_V.	SF_M	SF_Mt	SF
90	1	27037	9456	7669	1033	240	27	>100	4.5	>100	4.5

Asta: 304 [1096,1097] Sez. G: IPE 100 L=180.0 cm Crit.: Acciaio_Flessione $\gamma M=1.05$ fyk/ $\gamma M=2619$ kg/cm²
ft=4300 kg/cm² :**Verificato**

X	cls	N	TY	TZ	MT	MY	MZ	My4	Mz4	Comb.
cm		kg	kg	kg	kg*m	kg*m	kg*m			
90	1	-288	-1	0	-0	-159	16	--	--	6

X	cls	Nr	Vyr	Vzr	Mry	Mrz	MTrd	SF_V.	SF_M	SF_Mt	SF
cm		kg	kg	kg	kg*m	kg*m	kg*m				
90	1	27037	9479	7688	1033	240	27	>100	4.3	>100	4.3

Asta: 305 [1097,1098] Sez. G: IPE 100 L=180.0 cm Crit.: Acciaio_Flessione $\gamma M=1.05$ fyk/ $\gamma M=2619$ kg/cm²
ft=4300 kg/cm² :**Verificato**

X	cls	N	TY	TZ	MT	MY	MZ	My4	Mz4	Comb.
cm		kg	kg	kg	kg*m	kg*m	kg*m			
90	1	147	-1	0	0	-159	16	--	--	6

X	cls	Nr	Vyr	Vzr	Mry	Mrz	MTrd	SF_V.	SF_M	SF_Mt	SF
cm		kg	kg	kg	kg*m	kg*m	kg*m				
90	1	27037	9479	7688	1033	240	27	>100	4.4	>100	4.4

Asta: 306 [1098,1099] Sez. G: IPE 100 L=180.0 cm Crit.: Acciaio_Flessione $\gamma M=1.05$ fyk/ $\gamma M=2619$ kg/cm²
ft=4300 kg/cm² :**Verificato**

X	cls	N	TY	TZ	MT	MY	MZ	My4	Mz4	Comb.
cm		kg	kg	kg	kg*m	kg*m	kg*m			
90	1	-286	-1	0	-0	-159	16	--	--	6

X	cls	Nr	Vyr	Vzr	Mry	Mrz	MTrd	SF_V.	SF_M	SF_Mt	SF
cm		kg	kg	kg	kg*m	kg*m	kg*m				
90	1	27037	9457	7669	1033	240	27	>100	4.3	>100	4.3

Asta: 307 [1099,1100] Sez. G: IPE 100 L=180.0 cm Crit.: Acciaio_Flessione $\gamma M=1.05$ fyk/ $\gamma M=2619$ kg/cm²
ft=4300 kg/cm² :**Verificato**

X	cls	N	TY	TZ	MT	MY	MZ	My4	Mz4	Comb.
cm		kg	kg	kg	kg*m	kg*m	kg*m			
90	1	114	1	0	0	-159	16	--	--	6

X	cls	Nr	Vyr	Vzr	Mry	Mrz	MTrd	SF_V.	SF_M	SF_Mt	SF
cm		kg	kg	kg	kg*m	kg*m	kg*m				
90	1	27037	9456	7669	1033	240	27	>100	4.5	>100	4.5

Asta: 308 [1100,1101] Sez. G: IPE 100 L=180.0 cm Crit.: Acciaio_Flessione $\gamma M=1.05$ fyk/ $\gamma M=2619$ kg/cm²
ft=4300 kg/cm² :**Verificato**

X	cls	N	TY	TZ	MT	MY	MZ	My4	Mz4	Comb.
cm		kg	kg	kg	kg*m	kg*m	kg*m			
90	1	-225	0	0	-0	-159	16	--	--	6

X	cls	Nr	Vyr	Vzr	Mry	Mrz	MTrd	SF_V.	SF_M	SF_Mt	SF
cm		kg	kg	kg	kg*m	kg*m	kg*m				
90	1	27037	9479	7688	1033	240	27	>100	4.4	>100	4.4

Asta: 309 [1101,1102] Sez. G: IPE 100 L=180.0 cm Crit.: Acciaio_Flessione $\gamma M=1.05$ fyk/ $\gamma M=2619$ kg/cm²
ft=4300 kg/cm² :**Verificato**

X	cls	N	TY	TZ	MT	MY	MZ	My4	Mz4	Comb.
cm		kg	kg	kg	kg*m	kg*m	kg*m			
90	1	146	0	0	0	-159	16	--	--	6

X	cls	Nr	Vyr	Vzr	Mry	Mrz	MTrd	SF_V.	SF_M	SF_Mt	SF
cm		kg	kg	kg	kg*m	kg*m	kg*m				
90	1	27037	9479	7687	1033	240	27	>100	4.4	>100	4.4

Asta: 310 [1102,1103] Sez. G: IPE 100 L=180.0 cm Crit.: Acciaio_Flessione $\gamma M=1.05$ fyk/ $\gamma M=2619$ kg/cm²
ft=4300 kg/cm² :**Verificato**

X	cls	N	TY	TZ	MT	MY	MZ	My4	Mz4	Comb.
cm		kg	kg	kg	kg*m	kg*m	kg*m			
90	1	-220	-0	0	-0	-159	16	--	--	6

X	cls	Nr	Vyr	Vzr	Mry	Mrz	MTrd	SF_V.	SF_M	SF_Mt	SF
cm		kg	kg	kg	kg*m	kg*m	kg*m				
90	1	27037	9456	7669	1033	240	27	>100	4.4	>100	4.4

Asta: 311 [1103,1104] Sez. G: IPE 100 L=180.0 cm Crit.: Acciaio_Flessione $\gamma M=1.05$ fyk/ $\gamma M=2619$ kg/cmq ft=4300 kg/cmq :**Verificato**

X	cls	N	TY	TZ	MT	MY	MZ	My4	Mz4	Comb.
cm		kg	kg	kg	kg*m	kg*m	kg*m			
90	1	137	1	0	0	-159	16	--	--	6

X	cls	Nr	Vyr	Vzr	Mry	Mrz	MTrd	SF_V.	SF_M	SF_Mt	SF
cm		kg	kg	kg	kg*m	kg*m	kg*m				
90	1	27037	9457	7670	1033	240	27	>100	4.4	>100	4.4

Asta: 312 [1104,1105] Sez. G: IPE 100 L=180.0 cm Crit.: Acciaio_Flessione $\gamma M=1.05$ fyk/ $\gamma M=2619$ kg/cmq ft=4300 kg/cmq :**Verificato**

X	cls	N	TY	TZ	MT	MY	MZ	My4	Mz4	Comb.
cm		kg	kg	kg	kg*m	kg*m	kg*m			
90	1	-152	0	0	-0	-159	16	--	--	6

X	cls	Nr	Vyr	Vzr	Mry	Mrz	MTrd	SF_V.	SF_M	SF_Mt	SF
cm		kg	kg	kg	kg*m	kg*m	kg*m				
90	1	27037	9478	7687	1033	240	27	>100	4.4	>100	4.4

Asta: 313 [1105,1106] Sez. G: IPE 100 L=180.0 cm Crit.: Acciaio_Flessione $\gamma M=1.05$ fyk/ $\gamma M=2619$ kg/cmq ft=4300 kg/cmq :**Verificato**

X	cls	N	TY	TZ	MT	MY	MZ	My4	Mz4	Comb.
cm		kg	kg	kg	kg*m	kg*m	kg*m			
90	1	205	0	0	-0	-159	16	--	--	6

X	cls	Nr	Vyr	Vzr	Mry	Mrz	MTrd	SF_V.	SF_M	SF_Mt	SF
cm		kg	kg	kg	kg*m	kg*m	kg*m				
90	1	27037	9468	7678	1033	240	27	>100	4.4	>100	4.4

Asta: 314 [1106,1107] Sez. G: IPE 100 L=180.0 cm Crit.: Acciaio_Flessione $\gamma M=1.05$ fyk/ $\gamma M=2619$ kg/cmq ft=4300 kg/cmq :**Verificato**

X	cls	N	TY	TZ	MT	MY	MZ	My4	Mz4	Comb.
cm		kg	kg	kg	kg*m	kg*m	kg*m			
90	1	19	0	0	0	-159	16	--	--	6

X	cls	Nr	Vyr	Vzr	Mry	Mrz	MTrd	SF_V.	SF_M	SF_Mt	SF
cm		kg	kg	kg	kg*m	kg*m	kg*m				
90	1	27037	9480	7688	1033	240	27	>100	4.5	>100	4.5

Asta: 315 [1107,1108] Sez. G: IPE 100 L=200.0 cm Crit.: Acciaio_Flessione $\gamma M=1.05$ fyk/ $\gamma M=2619$ kg/cmq ft=4300 kg/cmq :**Verificato**

X	cls	N	TY	TZ	MT	MY	MZ	My4	Mz4	Comb.
cm		kg	kg	kg	kg*m	kg*m	kg*m			
100	1	171	-1	0	-0	-196	16	--	--	6

X	cls	Nr	Vyr	Vzr	Mry	Mrz	MTrd	SF_V.	SF_M	SF_Mt	SF
cm		kg	kg	kg	kg*m	kg*m	kg*m				
100	1	27037	9479	7687	1033	240	27	>100	3.8	>100	3.8

Asta: 316 [1150,1151] Sez. G: IPE 100 L=200.0 cm Crit.: Acciaio_Flessione $\gamma M=1.05$ fyk/ $\gamma M=2619$ kg/cmq ft=4300 kg/cmq :**Verificato**

X	cls	N	TY	TZ	MT	MY	MZ	My4	Mz4	Comb.
cm		kg	kg	kg	kg*m	kg*m	kg*m			
100	1	53	0	0	-0	-234	16	--	--	6

X	cls	Nr	Vyr	Vzr	Mry	Mrz	MTrd	SF_V.	SF_M	SF_Mt	SF
cm		kg	kg	kg	kg*m	kg*m	kg*m				

X	cls	Nr	Vyr	Vzr	Mry	Mrz	MTrd	SF_V.	SF_M	SF_Mt	SF
100	1	27037	9474	7683	1033	240	27	>100	3.4	>100	3.4

Asta: 317 [1151,1152] Sez. G: IPE 100 L=180.0 cm Crit.: Acciaio_Flessione $\gamma M=1.05$ fyk/ $\gamma M=2619$ kg/cmq ft=4300 kg/cmq :Verificato

X	cls	N	TY	TZ	MT	MY	MZ	My4	Mz4	Comb.
cm		kg	kg	kg	kg*m	kg*m	kg*m			
90	1	-46	-0	0	0	-190	16	--	--	6

X	cls	Nr	Vyr	Vzr	Mry	Mrz	MTrd	SF_V.	SF_M	SF_Mt	SF
cm		kg	kg	kg	kg*m	kg*m	kg*m				
90	1	27037	9477	7686	1033	240	27	>100	4.0	>100	4.0

Asta: 318 [1152,1153] Sez. G: IPE 100 L=180.0 cm Crit.: Acciaio_Flessione $\gamma M=1.05$ fyk/ $\gamma M=2619$ kg/cmq ft=4300 kg/cmq :Verificato

X	cls	N	TY	TZ	MT	MY	MZ	My4	Mz4	Comb.
cm		kg	kg	kg	kg*m	kg*m	kg*m			
90	1	4	-0	0	0	-190	16	--	--	6

X	cls	Nr	Vyr	Vzr	Mry	Mrz	MTrd	SF_V.	SF_M	SF_Mt	SF
cm		kg	kg	kg	kg*m	kg*m	kg*m				
90	1	27037	9480	7688	1033	240	27	>100	4.0	>100	4.0

Asta: 319 [1153,1154] Sez. G: IPE 100 L=180.0 cm Crit.: Acciaio_Flessione $\gamma M=1.05$ fyk/ $\gamma M=2619$ kg/cmq ft=4300 kg/cmq :Verificato

X	cls	N	TY	TZ	MT	MY	MZ	My4	Mz4	Comb.
cm		kg	kg	kg	kg*m	kg*m	kg*m			
90	1	4	-0	0	0	-190	16	--	--	6

X	cls	Nr	Vyr	Vzr	Mry	Mrz	MTrd	SF_V.	SF_M	SF_Mt	SF
cm		kg	kg	kg	kg*m	kg*m	kg*m				
90	1	27037	9479	7687	1033	240	27	>100	4.0	>100	4.0

Asta: 320 [1154,1155] Sez. G: IPE 100 L=180.0 cm Crit.: Acciaio_Flessione $\gamma M=1.05$ fyk/ $\gamma M=2619$ kg/cmq ft=4300 kg/cmq :Verificato

X	cls	N	TY	TZ	MT	MY	MZ	My4	Mz4	Comb.
cm		kg	kg	kg	kg*m	kg*m	kg*m			
90	1	1	0	0	-0	-190	16	--	--	6

X	cls	Nr	Vyr	Vzr	Mry	Mrz	MTrd	SF_V.	SF_M	SF_Mt	SF
cm		kg	kg	kg	kg*m	kg*m	kg*m				
90	1	27037	9471	7681	1033	240	27	>100	4.0	>100	4.0

Asta: 321 [1155,1156] Sez. G: IPE 100 L=180.0 cm Crit.: Acciaio_Flessione $\gamma M=1.05$ fyk/ $\gamma M=2619$ kg/cmq ft=4300 kg/cmq :Verificato

X	cls	N	TY	TZ	MT	MY	MZ	My4	Mz4	Comb.
cm		kg	kg	kg	kg*m	kg*m	kg*m			
90	1	-2	-0	0	0	-190	16	--	--	6

X	cls	Nr	Vyr	Vzr	Mry	Mrz	MTrd	SF_V.	SF_M	SF_Mt	SF
cm		kg	kg	kg	kg*m	kg*m	kg*m				
90	1	27037	9470	7680	1033	240	27	>100	4.0	>100	4.0

Asta: 322 [1156,1157] Sez. G: IPE 100 L=180.0 cm Crit.: Acciaio_Flessione $\gamma M=1.05$ fyk/ $\gamma M=2619$ kg/cmq ft=4300 kg/cmq :Verificato

X	cls	N	TY	TZ	MT	MY	MZ	My4	Mz4	Comb.
cm		kg	kg	kg	kg*m	kg*m	kg*m			
90	1	8	0	0	-0	-190	16	--	--	6

X	cls	Nr	Vyr	Vzr	Mry	Mrz	MTrd	SF_V.	SF_M	SF_Mt	SF
cm		kg	kg	kg	kg*m	kg*m	kg*m				
90	1	27037	9479	7688	1033	240	27	>100	4.0	>100	4.0

Asta: 323 [1157,1158] Sez. G: IPE 100 L=180.0 cm Crit.: Acciaio_Flessione $\gamma M=1.05$ fyk/ $\gamma M=2619$ kg/cmq ft=4300 kg/cmq :Verificato

X	cls	N	TY	TZ	MT	MY	MZ	My4	Mz4	Comb.
cm		kg	kg	kg	kg*m	kg*m	kg*m			
90	1	3	-0	0	0	-190	16	--	--	6

X	cls	Nr	Vyr	Vzr	Mry	Mrz	MTrd	SF_V.	SF_M	SF_Mt	SF
cm		kg	kg	kg	kg*m	kg*m	kg*m				
90	1	27037	9479	7688	1033	240	27	>100	4.0	>100	4.0

Asta: 324 [1158,1159] Sez. G: IPE 100 L=180.0 cm Crit.: Acciaio_Flessione $\gamma M=1.05$ fyk/ $\gamma M=2619$ kg/cmq ft=4300 kg/cmq :Verificato

X	cls	N	TY	TZ	MT	MY	MZ	My4	Mz4	Comb.
cm		kg	kg	kg	kg*m	kg*m	kg*m			
90	1	-5	0	0	-0	-190	16	--	--	6

X	cls	Nr	Vyr	Vzr	Mry	Mrz	MTrd	SF_V.	SF_M	SF_Mt	SF
cm		kg	kg	kg	kg*m	kg*m	kg*m				
90	1	27037	9470	7680	1033	240	27	>100	4.0	>100	4.0

Asta: 325 [1159,1160] Sez. G: IPE 100 L=180.0 cm Crit.: Acciaio_Flessione $\gamma M=1.05$ fyk/ $\gamma M=2619$ kg/cmq ft=4300 kg/cmq :Verificato

X	cls	N	TY	TZ	MT	MY	MZ	My4	Mz4	Comb.
cm		kg	kg	kg	kg*m	kg*m	kg*m			
90	1	-8	-0	0	0	-190	16	--	--	6

X	cls	Nr	Vyr	Vzr	Mry	Mrz	MTrd	SF_V.	SF_M	SF_Mt	SF
cm		kg	kg	kg	kg*m	kg*m	kg*m				
90	1	27037	9470	7680	1033	240	27	>100	4.0	>100	4.0

Asta: 326 [1160,1161] Sez. G: IPE 100 L=180.0 cm Crit.: Acciaio_Flessione $\gamma M=1.05$ fyk/ $\gamma M=2619$ kg/cmq ft=4300 kg/cmq :Verificato

X	cls	N	TY	TZ	MT	MY	MZ	My4	Mz4	Comb.
cm		kg	kg	kg	kg*m	kg*m	kg*m			
90	1	7	0	0	-0	-190	16	--	--	6

X	cls	Nr	Vyr	Vzr	Mry	Mrz	MTrd	SF_V.	SF_M	SF_Mt	SF
cm		kg	kg	kg	kg*m	kg*m	kg*m				
90	1	27037	9479	7687	1033	240	27	>100	4.0	>100	4.0

Asta: 327 [1161,1162] Sez. G: IPE 100 L=180.0 cm Crit.: Acciaio_Flessione $\gamma M=1.05$ fyk/ $\gamma M=2619$ kg/cmq ft=4300 kg/cmq :Verificato

X	cls	N	TY	TZ	MT	MY	MZ	My4	Mz4	Comb.
cm		kg	kg	kg	kg*m	kg*m	kg*m			
90	1	6	0	0	0	-190	16	--	--	6

X	cls	Nr	Vyr	Vzr	Mry	Mrz	MTrd	SF_V.	SF_M	SF_Mt	SF
cm		kg	kg	kg	kg*m	kg*m	kg*m				
90	1	27037	9479	7687	1033	240	27	>100	4.0	>100	4.0

Asta: 328 [1162,1163] Sez. G: IPE 100 L=180.0 cm Crit.: Acciaio_Flessione $\gamma M=1.05$ fyk/ $\gamma M=2619$ kg/cmq ft=4300 kg/cmq :Verificato

X	cls	N	TY	TZ	MT	MY	MZ	My4	Mz4	Comb.
cm		kg	kg	kg	kg*m	kg*m	kg*m			
90	1	3	1	0	-0	-190	16	--	--	6

X	cls	Nr	Vyr	Vzr	Mry	Mrz	MTrd	SF_V.	SF_M	SF_Mt	SF
cm		kg	kg	kg	kg*m	kg*m	kg*m				
90	1	27037	9470	7680	1033	240	27	>100	4.0	>100	4.0

Asta: 329 [1163,1164] Sez. G: IPE 100 L=180.0 cm Crit.: Acciaio_Flessione $\gamma M=1.05$ fyk/ $\gamma M=2619$ kg/cmq ft=4300 kg/cmq :Verificato

X	cls	N	TY	TZ	MT	MY	MZ	My4	Mz4	Comb.
cm		kg	kg	kg	kg*m	kg*m	kg*m			
90	1	2	0	0	0	-190	16	--	--	6

X	cls	Nr	Vyr	Vzr	Mry	Mrz	MTrd	SF_V.	SF_M	SF_Mt	SF
cm		kg	kg	kg	kg*m	kg*m	kg*m				

X	cls	Nr	Vyr	Vzr	Mry	Mrz	MTrd	SF_V.	SF_M	SF_Mt	SF
90	1	27037	9470	7680	1033	240	27	>100	4.0	>100	4.0

Asta: 330 [1164,1165] Sez. G: IPE 100 L=180.0 cm Crit.: Acciaio_Flessione $\gamma M=1.05$ fyk/ $\gamma M=2619$ kg/cmq
ft=4300 kg/cmq :**Verificato**

X	cls	N	TY	TZ	MT	MY	MZ	My4	Mz4	Comb.
cm		kg	kg	kg	kg*m	kg*m	kg*m			
90	1	15	0	0	-0	-190	16	--	--	6

X	cls	Nr	Vyr	Vzr	Mry	Mrz	MTrd	SF_V.	SF_M	SF_Mt	SF
cm		kg	kg	kg	kg*m	kg*m	kg*m				
90	1	27037	9479	7687	1033	240	27	>100	4.0	>100	4.0

Asta: 331 [1165,1166] Sez. G: IPE 100 L=180.0 cm Crit.: Acciaio_Flessione $\gamma M=1.05$ fyk/ $\gamma M=2619$ kg/cmq
ft=4300 kg/cmq :**Verificato**

X	cls	N	TY	TZ	MT	MY	MZ	My4	Mz4	Comb.
cm		kg	kg	kg	kg*m	kg*m	kg*m			
90	1	17	0	0	0	-190	16	--	--	6

X	cls	Nr	Vyr	Vzr	Mry	Mrz	MTrd	SF_V.	SF_M	SF_Mt	SF
cm		kg	kg	kg	kg*m	kg*m	kg*m				
90	1	27037	9479	7687	1033	240	27	>100	4.0	>100	4.0

Asta: 332 [1166,1167] Sez. G: IPE 100 L=180.0 cm Crit.: Acciaio_Flessione $\gamma M=1.05$ fyk/ $\gamma M=2619$ kg/cmq
ft=4300 kg/cmq :**Verificato**

X	cls	N	TY	TZ	MT	MY	MZ	My4	Mz4	Comb.
cm		kg	kg	kg	kg*m	kg*m	kg*m			
90	1	21	1	0	-0	-190	16	--	--	6

X	cls	Nr	Vyr	Vzr	Mry	Mrz	MTrd	SF_V.	SF_M	SF_Mt	SF
cm		kg	kg	kg	kg*m	kg*m	kg*m				
90	1	27037	9470	7680	1033	240	27	>100	4.0	>100	4.0

Asta: 333 [1167,1168] Sez. G: IPE 100 L=180.0 cm Crit.: Acciaio_Flessione $\gamma M=1.05$ fyk/ $\gamma M=2619$ kg/cmq
ft=4300 kg/cmq :**Verificato**

X	cls	N	TY	TZ	MT	MY	MZ	My4	Mz4	Comb.
cm		kg	kg	kg	kg*m	kg*m	kg*m			
90	1	20	0	0	0	-190	16	--	--	6

X	cls	Nr	Vyr	Vzr	Mry	Mrz	MTrd	SF_V.	SF_M	SF_Mt	SF
cm		kg	kg	kg	kg*m	kg*m	kg*m				
90	1	27037	9470	7680	1033	240	27	>100	4.0	>100	4.0

Asta: 334 [1168,1169] Sez. G: IPE 100 L=180.0 cm Crit.: Acciaio_Flessione $\gamma M=1.05$ fyk/ $\gamma M=2619$ kg/cmq
ft=4300 kg/cmq :**Verificato**

X	cls	N	TY	TZ	MT	MY	MZ	My4	Mz4	Comb.
cm		kg	kg	kg	kg*m	kg*m	kg*m			
90	1	27	1	0	-0	-190	16	--	--	6

X	cls	Nr	Vyr	Vzr	Mry	Mrz	MTrd	SF_V.	SF_M	SF_Mt	SF
cm		kg	kg	kg	kg*m	kg*m	kg*m				
90	1	27037	9479	7687	1033	240	27	>100	4.0	>100	4.0

Asta: 335 [1169,1170] Sez. G: IPE 100 L=180.0 cm Crit.: Acciaio_Flessione $\gamma M=1.05$ fyk/ $\gamma M=2619$ kg/cmq
ft=4300 kg/cmq :**Verificato**

X	cls	N	TY	TZ	MT	MY	MZ	My4	Mz4	Comb.
cm		kg	kg	kg	kg*m	kg*m	kg*m			
90	1	29	1	0	0	-190	16	--	--	6

X	cls	Nr	Vyr	Vzr	Mry	Mrz	MTrd	SF_V.	SF_M	SF_Mt	SF
cm		kg	kg	kg	kg*m	kg*m	kg*m				
90	1	27037	9479	7687	1033	240	27	>100	4.0	>100	4.0

Asta: 336 [1170,1171] Sez. G: IPE 100 L=180.0 cm Crit.: Acciaio_Flessione $\gamma M=1.05$ fyk/ $\gamma M=2619$ kg/cmq
ft=4300 kg/cmq :**Verificato**

X	cls	N	TY	TZ	MT	MY	MZ	My4	Mz4	Comb.
cm		kg	kg	kg	kg*m	kg*m	kg*m			
90	1	37	1	0	-0	-190	16	--	--	6

X	cls	Nr	Vyr	Vzr	Mry	Mrz	MTrd	SF_V.	SF_M	SF_Mt	SF
cm		kg	kg	kg	kg*m	kg*m	kg*m				
90	1	27037	9470	7680	1033	240	27	>100	4.0	>100	4.0

Asta: 337 [1171,1172] Sez. G: IPE 100 L=180.0 cm Crit.: Acciaio_Flessione $\gamma M=1.05$ $f_yk/\gamma M=2619$ kg/cmq
ft=4300 kg/cmq :**Verificato**

X	cls	N	TY	TZ	MT	MY	MZ	My4	Mz4	Comb.
cm		kg	kg	kg	kg*m	kg*m	kg*m			
90	1	19	1	0	0	-190	16	--	--	6

X	cls	Nr	Vyr	Vzr	Mry	Mrz	MTrd	SF_V.	SF_M	SF_Mt	SF
cm		kg	kg	kg	kg*m	kg*m	kg*m				
90	1	27037	9470	7680	1033	240	27	>100	4.0	>100	4.0

Asta: 338 [1172,1173] Sez. G: IPE 100 L=180.0 cm Crit.: Acciaio_Flessione $\gamma M=1.05$ $f_yk/\gamma M=2619$ kg/cmq
ft=4300 kg/cmq :**Verificato**

X	cls	N	TY	TZ	MT	MY	MZ	My4	Mz4	Comb.
cm		kg	kg	kg	kg*m	kg*m	kg*m			
90	1	-29	2	0	-0	-190	16	--	--	6

X	cls	Nr	Vyr	Vzr	Mry	Mrz	MTrd	SF_V.	SF_M	SF_Mt	SF
cm		kg	kg	kg	kg*m	kg*m	kg*m				
90	1	27037	9479	7687	1033	240	27	>100	4.0	>100	4.0

Asta: 339 [1173,1174] Sez. G: IPE 100 L=180.0 cm Crit.: Acciaio_Flessione $\gamma M=1.05$ $f_yk/\gamma M=2619$ kg/cmq
ft=4300 kg/cmq :**Verificato**

X	cls	N	TY	TZ	MT	MY	MZ	My4	Mz4	Comb.
cm		kg	kg	kg	kg*m	kg*m	kg*m			
90	1	-121	1	0	0	-190	16	--	--	6

X	cls	Nr	Vyr	Vzr	Mry	Mrz	MTrd	SF_V.	SF_M	SF_Mt	SF
cm		kg	kg	kg	kg*m	kg*m	kg*m				
90	1	27037	9479	7687	1033	240	27	>100	3.9	>100	3.9

Asta: 340 [1174,1175] Sez. G: IPE 100 L=180.0 cm Crit.: Acciaio_Flessione $\gamma M=1.05$ $f_yk/\gamma M=2619$ kg/cmq
ft=4300 kg/cmq :**Verificato**

X	cls	N	TY	TZ	MT	MY	MZ	My4	Mz4	Comb.
cm		kg	kg	kg	kg*m	kg*m	kg*m			
90	1	-272	1	0	-0	-190	16	--	--	6

X	cls	Nr	Vyr	Vzr	Mry	Mrz	MTrd	SF_V.	SF_M	SF_Mt	SF
cm		kg	kg	kg	kg*m	kg*m	kg*m				
90	1	27037	9475	7684	1033	240	27	>100	3.9	>100	3.9

Asta: 341 [1175,1176] Sez. G: IPE 100 L=180.0 cm Crit.: Acciaio_Flessione $\gamma M=1.05$ $f_yk/\gamma M=2619$ kg/cmq
ft=4300 kg/cmq :**Verificato**

X	cls	N	TY	TZ	MT	MY	MZ	My4	Mz4	Comb.
cm		kg	kg	kg	kg*m	kg*m	kg*m			
90	1	-275	-1	0	0	-190	16	--	--	6

X	cls	Nr	Vyr	Vzr	Mry	Mrz	MTrd	SF_V.	SF_M	SF_Mt	SF
cm		kg	kg	kg	kg*m	kg*m	kg*m				
90	1	27037	9474	7683	1033	240	27	>100	3.8	>100	3.8

Asta: 342 [1176,1177] Sez. G: IPE 100 L=180.0 cm Crit.: Acciaio_Flessione $\gamma M=1.05$ $f_yk/\gamma M=2619$ kg/cmq
ft=4300 kg/cmq :**Verificato**

X	cls	N	TY	TZ	MT	MY	MZ	My4	Mz4	Comb.
cm		kg	kg	kg	kg*m	kg*m	kg*m			
90	1	-119	-1	0	-0	-190	16	--	--	6

X	cls	Nr	Vyr	Vzr	Mry	Mrz	MTrd	SF_V.	SF_M	SF_Mt	SF
cm		kg	kg	kg	kg*m	kg*m	kg*m				

X	cls	Nr	Vyr	Vzr	Mry	Mrz	MTrd	SF_V.	SF_M	SF_Mt	SF
90	1	27037	9479	7687	1033	240	27	>100	3.9	>100	3.9

Asta: 343 [1177,1178] Sez. G: IPE 100 L=180.0 cm Crit.: Acciaio_Flessione $\gamma M=1.05$ fyk/ $\gamma M=2619$ kg/cmq ft=4300 kg/cmq :Verificato

X	cls	N	TY	TZ	MT	MY	MZ	My4	Mz4	Comb.
cm		kg	kg	kg	kg*m	kg*m	kg*m			
90	1	-34	-1	0	0	-190	16	--	--	6

X	cls	Nr	Vyr	Vzr	Mry	Mrz	MTrd	SF_V.	SF_M	SF_Mt	SF
cm		kg	kg	kg	kg*m	kg*m	kg*m				
90	1	27037	9479	7688	1033	240	27	>100	4.0	>100	4.0

Asta: 344 [1178,1179] Sez. G: IPE 100 L=180.0 cm Crit.: Acciaio_Flessione $\gamma M=1.05$ fyk/ $\gamma M=2619$ kg/cmq ft=4300 kg/cmq :Verificato

X	cls	N	TY	TZ	MT	MY	MZ	My4	Mz4	Comb.
cm		kg	kg	kg	kg*m	kg*m	kg*m			
90	1	19	-1	0	-0	-190	16	--	--	6

X	cls	Nr	Vyr	Vzr	Mry	Mrz	MTrd	SF_V.	SF_M	SF_Mt	SF
cm		kg	kg	kg	kg*m	kg*m	kg*m				
90	1	27037	9470	7680	1033	240	27	>100	4.0	>100	4.0

Asta: 345 [1179,1180] Sez. G: IPE 100 L=180.0 cm Crit.: Acciaio_Flessione $\gamma M=1.05$ fyk/ $\gamma M=2619$ kg/cmq ft=4300 kg/cmq :Verificato

X	cls	N	TY	TZ	MT	MY	MZ	My4	Mz4	Comb.
cm		kg	kg	kg	kg*m	kg*m	kg*m			
90	1	31	-1	0	0	-190	16	--	--	6

X	cls	Nr	Vyr	Vzr	Mry	Mrz	MTrd	SF_V.	SF_M	SF_Mt	SF
cm		kg	kg	kg	kg*m	kg*m	kg*m				
90	1	27037	9470	7680	1033	240	27	>100	4.0	>100	4.0

Asta: 346 [1180,1181] Sez. G: IPE 100 L=180.0 cm Crit.: Acciaio_Flessione $\gamma M=1.05$ fyk/ $\gamma M=2619$ kg/cmq ft=4300 kg/cmq :Verificato

X	cls	N	TY	TZ	MT	MY	MZ	My4	Mz4	Comb.
cm		kg	kg	kg	kg*m	kg*m	kg*m			
90	1	28	-1	0	-0	-190	16	--	--	6

X	cls	Nr	Vyr	Vzr	Mry	Mrz	MTrd	SF_V.	SF_M	SF_Mt	SF
cm		kg	kg	kg	kg*m	kg*m	kg*m				
90	1	27037	9479	7687	1033	240	27	>100	4.0	>100	4.0

Asta: 347 [1181,1182] Sez. G: IPE 100 L=180.0 cm Crit.: Acciaio_Flessione $\gamma M=1.05$ fyk/ $\gamma M=2619$ kg/cmq ft=4300 kg/cmq :Verificato

X	cls	N	TY	TZ	MT	MY	MZ	My4	Mz4	Comb.
cm		kg	kg	kg	kg*m	kg*m	kg*m			
90	1	20	-1	0	0	-190	16	--	--	6

X	cls	Nr	Vyr	Vzr	Mry	Mrz	MTrd	SF_V.	SF_M	SF_Mt	SF
cm		kg	kg	kg	kg*m	kg*m	kg*m				
90	1	27037	9479	7687	1033	240	27	>100	4.0	>100	4.0

Asta: 348 [1182,1183] Sez. G: IPE 100 L=180.0 cm Crit.: Acciaio_Flessione $\gamma M=1.05$ fyk/ $\gamma M=2619$ kg/cmq ft=4300 kg/cmq :Verificato

X	cls	N	TY	TZ	MT	MY	MZ	My4	Mz4	Comb.
cm		kg	kg	kg	kg*m	kg*m	kg*m			
90	1	20	-0	0	-0	-190	16	--	--	6

X	cls	Nr	Vyr	Vzr	Mry	Mrz	MTrd	SF_V.	SF_M	SF_Mt	SF
cm		kg	kg	kg	kg*m	kg*m	kg*m				
90	1	27037	9470	7680	1033	240	27	>100	4.0	>100	4.0

Asta: 349 [1183,1184] Sez. G: IPE 100 L=180.0 cm Crit.: Acciaio_Flessione $\gamma M=1.05$ fyk/ $\gamma M=2619$ kg/cmq ft=4300 kg/cmq :Verificato

X	cls	N	TY	TZ	MT	MY	MZ	My4	Mz4	Comb.
cm		kg	kg	kg	kg*m	kg*m	kg*m			
90	1	14	-1	0	0	-190	16	--	--	6

X	cls	Nr	Vyr	Vzr	Mry	Mrz	MTrd	SF_V.	SF_M	SF_Mt	SF
cm		kg	kg	kg	kg*m	kg*m	kg*m				
90	1	27037	9470	7680	1033	240	27	>100	4.0	>100	4.0

Asta: 350 [1184,1185] Sez. G: IPE 100 L=180.0 cm Crit.: Acciaio_Flessione $\gamma M=1.05$ fyk/ $\gamma M=2619$ kg/cmq ft=4300 kg/cmq :Verificato

X	cls	N	TY	TZ	MT	MY	MZ	My4	Mz4	Comb.
cm		kg	kg	kg	kg*m	kg*m	kg*m			
90	1	14	-0	0	-0	-190	16	--	--	6

X	cls	Nr	Vyr	Vzr	Mry	Mrz	MTrd	SF_V.	SF_M	SF_Mt	SF
cm		kg	kg	kg	kg*m	kg*m	kg*m				
90	1	27037	9479	7687	1033	240	27	>100	4.0	>100	4.0

Asta: 351 [1185,1186] Sez. G: IPE 100 L=180.0 cm Crit.: Acciaio_Flessione $\gamma M=1.05$ fyk/ $\gamma M=2619$ kg/cmq ft=4300 kg/cmq :Verificato

X	cls	N	TY	TZ	MT	MY	MZ	My4	Mz4	Comb.
cm		kg	kg	kg	kg*m	kg*m	kg*m			
90	1	3	-0	0	0	-190	16	--	--	6

X	cls	Nr	Vyr	Vzr	Mry	Mrz	MTrd	SF_V.	SF_M	SF_Mt	SF
cm		kg	kg	kg	kg*m	kg*m	kg*m				
90	1	27037	9479	7687	1033	240	27	>100	4.0	>100	4.0

Asta: 352 [1186,1187] Sez. G: IPE 100 L=180.0 cm Crit.: Acciaio_Flessione $\gamma M=1.05$ fyk/ $\gamma M=2619$ kg/cmq ft=4300 kg/cmq :Verificato

X	cls	N	TY	TZ	MT	MY	MZ	My4	Mz4	Comb.
cm		kg	kg	kg	kg*m	kg*m	kg*m			
90	1	-7	0	0	-0	-190	16	--	--	6

X	cls	Nr	Vyr	Vzr	Mry	Mrz	MTrd	SF_V.	SF_M	SF_Mt	SF
cm		kg	kg	kg	kg*m	kg*m	kg*m				
90	1	27037	9469	7680	1033	240	27	>100	4.0	>100	4.0

Asta: 353 [1187,1188] Sez. G: IPE 100 L=180.0 cm Crit.: Acciaio_Flessione $\gamma M=1.05$ fyk/ $\gamma M=2619$ kg/cmq ft=4300 kg/cmq :Verificato

X	cls	N	TY	TZ	MT	MY	MZ	My4	Mz4	Comb.
cm		kg	kg	kg	kg*m	kg*m	kg*m			
90	1	-10	-0	0	0	-190	16	--	--	6

X	cls	Nr	Vyr	Vzr	Mry	Mrz	MTrd	SF_V.	SF_M	SF_Mt	SF
cm		kg	kg	kg	kg*m	kg*m	kg*m				
90	1	27037	9470	7680	1033	240	27	>100	4.0	>100	4.0

Asta: 354 [1188,1189] Sez. G: IPE 100 L=180.0 cm Crit.: Acciaio_Flessione $\gamma M=1.05$ fyk/ $\gamma M=2619$ kg/cmq ft=4300 kg/cmq :Verificato

X	cls	N	TY	TZ	MT	MY	MZ	My4	Mz4	Comb.
cm		kg	kg	kg	kg*m	kg*m	kg*m			
90	1	4	-0	0	-0	-190	16	--	--	6

X	cls	Nr	Vyr	Vzr	Mry	Mrz	MTrd	SF_V.	SF_M	SF_Mt	SF
cm		kg	kg	kg	kg*m	kg*m	kg*m				
90	1	27037	9477	7686	1033	240	27	>100	4.0	>100	4.0

Asta: 355 [1189,1190] Sez. G: IPE 100 L=180.0 cm Crit.: Acciaio_Flessione $\gamma M=1.05$ fyk/ $\gamma M=2619$ kg/cmq ft=4300 kg/cmq :Verificato

X	cls	N	TY	TZ	MT	MY	MZ	My4	Mz4	Comb.
cm		kg	kg	kg	kg*m	kg*m	kg*m			
90	1	6	-0	0	-0	-190	16	--	--	6

X	cls	Nr	Vyr	Vzr	Mry	Mrz	MTrd	SF_V.	SF_M	SF_Mt	SF
cm		kg	kg	kg	kg*m	kg*m	kg*m				

X	cls	Nr	Vyr	Vzr	Mry	Mrz	MTrd	SF_V.	SF_M	SF_Mt	SF
90	1	27037	9479	7687	1033	240	27	>100	4.0	>100	4.0

Asta: 356 [1190,1191] Sez. G: IPE 100 L=180.0 cm Crit.: Acciaio_Flessione $\gamma M=1.05$ fyk/ $\gamma M=2619$ kg/cmq
ft=4300 kg/cmq :**Verificato**

X	cls	N	TY	TZ	MT	MY	MZ	My4	Mz4	Comb.
cm		kg	kg	kg	kg*m	kg*m	kg*m			
90	1	-20	0	0	-0	-190	16	--	--	6

X	cls	Nr	Vyr	Vzr	Mry	Mrz	MTrd	SF_V.	SF_M	SF_Mt	SF
cm		kg	kg	kg	kg*m	kg*m	kg*m				
90	1	27037	9477	7686	1033	240	27	>100	4.0	>100	4.0

Asta: 357 [1191,1192] Sez. G: IPE 100 L=200.0 cm Crit.: Acciaio_Flessione $\gamma M=1.05$ fyk/ $\gamma M=2619$ kg/cmq
ft=4300 kg/cmq :**Verificato**

X	cls	N	TY	TZ	MT	MY	MZ	My4	Mz4	Comb.
cm		kg	kg	kg	kg*m	kg*m	kg*m			
100	1	71	-1	0	0	-234	16	--	--	6

X	cls	Nr	Vyr	Vzr	Mry	Mrz	MTrd	SF_V.	SF_M	SF_Mt	SF
cm		kg	kg	kg	kg*m	kg*m	kg*m				
100	1	27037	9473	7683	1033	240	27	>100	3.4	>100	3.4

Asta: 358 [1193,1194] Sez. G: IPE 100 L=200.0 cm Crit.: Acciaio_Flessione $\gamma M=1.05$ fyk/ $\gamma M=2619$ kg/cmq
ft=4300 kg/cmq :**Verificato**

X	cls	N	TY	TZ	MT	MY	MZ	My4	Mz4	Comb.
cm		kg	kg	kg	kg*m	kg*m	kg*m			
100	1	-105	0	0	0	-234	16	--	--	6

X	cls	Nr	Vyr	Vzr	Mry	Mrz	MTrd	SF_V.	SF_M	SF_Mt	SF
cm		kg	kg	kg	kg*m	kg*m	kg*m				
100	1	27037	9480	7688	1033	240	27	>100	3.4	>100	3.4

Asta: 359 [1194,1195] Sez. G: IPE 100 L=180.0 cm Crit.: Acciaio_Flessione $\gamma M=1.05$ fyk/ $\gamma M=2619$ kg/cmq
ft=4300 kg/cmq :**Verificato**

X	cls	N	TY	TZ	MT	MY	MZ	My4	Mz4	Comb.
cm		kg	kg	kg	kg*m	kg*m	kg*m			
90	1	18	-1	0	-0	-190	16	--	--	6

X	cls	Nr	Vyr	Vzr	Mry	Mrz	MTrd	SF_V.	SF_M	SF_Mt	SF
cm		kg	kg	kg	kg*m	kg*m	kg*m				
90	1	27037	9471	7681	1033	240	27	>100	4.0	>100	4.0

Asta: 360 [1195,1196] Sez. G: IPE 100 L=180.0 cm Crit.: Acciaio_Flessione $\gamma M=1.05$ fyk/ $\gamma M=2619$ kg/cmq
ft=4300 kg/cmq :**Verificato**

X	cls	N	TY	TZ	MT	MY	MZ	My4	Mz4	Comb.
cm		kg	kg	kg	kg*m	kg*m	kg*m			
90	1	-13	-0	0	-0	-190	16	--	--	6

X	cls	Nr	Vyr	Vzr	Mry	Mrz	MTrd	SF_V.	SF_M	SF_Mt	SF
cm		kg	kg	kg	kg*m	kg*m	kg*m				
90	1	27037	9476	7685	1033	240	27	>100	4.0	>100	4.0

Asta: 361 [1196,1197] Sez. G: IPE 100 L=180.0 cm Crit.: Acciaio_Flessione $\gamma M=1.05$ fyk/ $\gamma M=2619$ kg/cmq
ft=4300 kg/cmq :**Verificato**

X	cls	N	TY	TZ	MT	MY	MZ	My4	Mz4	Comb.
cm		kg	kg	kg	kg*m	kg*m	kg*m			
90	1	-17	-0	0	0	-190	16	--	--	6

X	cls	Nr	Vyr	Vzr	Mry	Mrz	MTrd	SF_V.	SF_M	SF_Mt	SF
cm		kg	kg	kg	kg*m	kg*m	kg*m				
90	1	27037	9477	7686	1033	240	27	>100	4.0	>100	4.0

Asta: 362 [1197,1198] Sez. G: IPE 100 L=180.0 cm Crit.: Acciaio_Flessione $\gamma M=1.05$ fyk/ $\gamma M=2619$ kg/cmq
ft=4300 kg/cmq :**Verificato**

X	cls	N	TY	TZ	MT	MY	MZ	My4	Mz4	Comb.
cm		kg	kg	kg	kg*m	kg*m	kg*m			
90	1	-29	0	0	0	-190	16	--	--	6

X	cls	Nr	Vyr	Vzr	Mry	Mrz	MTrd	SF_V.	SF_M	SF_Mt	SF
cm		kg	kg	kg	kg*m	kg*m	kg*m				
90	1	27037	9468	7678	1033	240	27	>100	4.0	>100	4.0

Asta: 363 [1198,1199] Sez. G: IPE 100 L=180.0 cm Crit.: Acciaio_Flessione $\gamma M=1.05$ fyk/ $\gamma M=2619$ kg/cmq ft=4300 kg/cmq :**Verificato**

X	cls	N	TY	TZ	MT	MY	MZ	My4	Mz4	Comb.
cm		kg	kg	kg	kg*m	kg*m	kg*m			
90	1	-29	-0	0	-0	-190	16	--	--	6

X	cls	Nr	Vyr	Vzr	Mry	Mrz	MTrd	SF_V.	SF_M	SF_Mt	SF
cm		kg	kg	kg	kg*m	kg*m	kg*m				
90	1	27037	9469	7679	1033	240	27	>100	4.0	>100	4.0

Asta: 364 [1199,1200] Sez. G: IPE 100 L=180.0 cm Crit.: Acciaio_Flessione $\gamma M=1.05$ fyk/ $\gamma M=2619$ kg/cmq ft=4300 kg/cmq :**Verificato**

X	cls	N	TY	TZ	MT	MY	MZ	My4	Mz4	Comb.
cm		kg	kg	kg	kg*m	kg*m	kg*m			
90	1	-24	0	0	-0	-190	16	--	--	6

X	cls	Nr	Vyr	Vzr	Mry	Mrz	MTrd	SF_V.	SF_M	SF_Mt	SF
cm		kg	kg	kg	kg*m	kg*m	kg*m				
90	1	27037	9478	7687	1033	240	27	>100	4.0	>100	4.0

Asta: 365 [1200,1201] Sez. G: IPE 100 L=180.0 cm Crit.: Acciaio_Flessione $\gamma M=1.05$ fyk/ $\gamma M=2619$ kg/cmq ft=4300 kg/cmq :**Verificato**

X	cls	N	TY	TZ	MT	MY	MZ	My4	Mz4	Comb.
cm		kg	kg	kg	kg*m	kg*m	kg*m			
90	1	-21	-0	0	0	-190	16	--	--	6

X	cls	Nr	Vyr	Vzr	Mry	Mrz	MTrd	SF_V.	SF_M	SF_Mt	SF
cm		kg	kg	kg	kg*m	kg*m	kg*m				
90	1	27037	9479	7687	1033	240	27	>100	4.0	>100	4.0

Asta: 366 [1201,1202] Sez. G: IPE 100 L=180.0 cm Crit.: Acciaio_Flessione $\gamma M=1.05$ fyk/ $\gamma M=2619$ kg/cmq ft=4300 kg/cmq :**Verificato**

X	cls	N	TY	TZ	MT	MY	MZ	My4	Mz4	Comb.
cm		kg	kg	kg	kg*m	kg*m	kg*m			
90	1	-28	0	0	0	-190	16	--	--	6

X	cls	Nr	Vyr	Vzr	Mry	Mrz	MTrd	SF_V.	SF_M	SF_Mt	SF
cm		kg	kg	kg	kg*m	kg*m	kg*m				
90	1	27037	9468	7679	1033	240	27	>100	4.0	>100	4.0

Asta: 367 [1202,1203] Sez. G: IPE 100 L=180.0 cm Crit.: Acciaio_Flessione $\gamma M=1.05$ fyk/ $\gamma M=2619$ kg/cmq ft=4300 kg/cmq :**Verificato**

X	cls	N	TY	TZ	MT	MY	MZ	My4	Mz4	Comb.
cm		kg	kg	kg	kg*m	kg*m	kg*m			
90	1	-27	-0	0	-0	-190	16	--	--	6

X	cls	Nr	Vyr	Vzr	Mry	Mrz	MTrd	SF_V.	SF_M	SF_Mt	SF
cm		kg	kg	kg	kg*m	kg*m	kg*m				
90	1	27037	9468	7679	1033	240	27	>100	4.0	>100	4.0

Asta: 368 [1203,1204] Sez. G: IPE 100 L=180.0 cm Crit.: Acciaio_Flessione $\gamma M=1.05$ fyk/ $\gamma M=2619$ kg/cmq ft=4300 kg/cmq :**Verificato**

X	cls	N	TY	TZ	MT	MY	MZ	My4	Mz4	Comb.
cm		kg	kg	kg	kg*m	kg*m	kg*m			
90	1	-23	0	0	-0	-190	16	--	--	6

X	cls	Nr	Vyr	Vzr	Mry	Mrz	MTrd	SF_V.	SF_M	SF_Mt	SF
cm		kg	kg	kg	kg*m	kg*m	kg*m				

X	cls	Nr	Vyr	Vzr	Mry	Mrz	MTrd	SF_V.	SF_M	SF_Mt	SF
90	1	27037	9479	7687	1033	240	27	>100	4.0	>100	4.0

Asta: 369 [1204,1205] Sez. G: IPE 100 L=180.0 cm Crit.: Acciaio_Flessione $\gamma M=1.05$ fyk/ $\gamma M=2619$ kg/cmq
ft=4300 kg/cmq :**Verificato**

X	cls	N	TY	TZ	MT	MY	MZ	My4	Mz4	Comb.
cm		kg	kg	kg	kg*m	kg*m	kg*m			
90	1	-23	0	0	0	-190	16	--	--	6

X	cls	Nr	Vyr	Vzr	Mry	Mrz	MTrd	SF_V.	SF_M	SF_Mt	SF
cm		kg	kg	kg	kg*m	kg*m	kg*m				
90	1	27037	9479	7687	1033	240	27	>100	4.0	>100	4.0

Asta: 370 [1205,1206] Sez. G: IPE 100 L=180.0 cm Crit.: Acciaio_Flessione $\gamma M=1.05$ fyk/ $\gamma M=2619$ kg/cmq
ft=4300 kg/cmq :**Verificato**

X	cls	N	TY	TZ	MT	MY	MZ	My4	Mz4	Comb.
cm		kg	kg	kg	kg*m	kg*m	kg*m			
90	1	-34	1	0	0	-190	16	--	--	6

X	cls	Nr	Vyr	Vzr	Mry	Mrz	MTrd	SF_V.	SF_M	SF_Mt	SF
cm		kg	kg	kg	kg*m	kg*m	kg*m				
90	1	27037	9468	7679	1033	240	27	>100	4.0	>100	4.0

Asta: 371 [1206,1207] Sez. G: IPE 100 L=180.0 cm Crit.: Acciaio_Flessione $\gamma M=1.05$ fyk/ $\gamma M=2619$ kg/cmq
ft=4300 kg/cmq :**Verificato**

X	cls	N	TY	TZ	MT	MY	MZ	My4	Mz4	Comb.
cm		kg	kg	kg	kg*m	kg*m	kg*m			
90	1	-33	-0	0	-0	-190	16	--	--	6

X	cls	Nr	Vyr	Vzr	Mry	Mrz	MTrd	SF_V.	SF_M	SF_Mt	SF
cm		kg	kg	kg	kg*m	kg*m	kg*m				
90	1	27037	9468	7679	1033	240	27	>100	4.0	>100	4.0

Asta: 372 [1207,1208] Sez. G: IPE 100 L=180.0 cm Crit.: Acciaio_Flessione $\gamma M=1.05$ fyk/ $\gamma M=2619$ kg/cmq
ft=4300 kg/cmq :**Verificato**

X	cls	N	TY	TZ	MT	MY	MZ	My4	Mz4	Comb.
cm		kg	kg	kg	kg*m	kg*m	kg*m			
90	1	-26	0	0	-0	-190	16	--	--	6

X	cls	Nr	Vyr	Vzr	Mry	Mrz	MTrd	SF_V.	SF_M	SF_Mt	SF
cm		kg	kg	kg	kg*m	kg*m	kg*m				
90	1	27037	9479	7687	1033	240	27	>100	4.0	>100	4.0

Asta: 373 [1208,1209] Sez. G: IPE 100 L=180.0 cm Crit.: Acciaio_Flessione $\gamma M=1.05$ fyk/ $\gamma M=2619$ kg/cmq
ft=4300 kg/cmq :**Verificato**

X	cls	N	TY	TZ	MT	MY	MZ	My4	Mz4	Comb.
cm		kg	kg	kg	kg*m	kg*m	kg*m			
90	1	-27	0	0	0	-190	16	--	--	6

X	cls	Nr	Vyr	Vzr	Mry	Mrz	MTrd	SF_V.	SF_M	SF_Mt	SF
cm		kg	kg	kg	kg*m	kg*m	kg*m				
90	1	27037	9479	7687	1033	240	27	>100	4.0	>100	4.0

Asta: 374 [1209,1210] Sez. G: IPE 100 L=180.0 cm Crit.: Acciaio_Flessione $\gamma M=1.05$ fyk/ $\gamma M=2619$ kg/cmq
ft=4300 kg/cmq :**Verificato**

X	cls	N	TY	TZ	MT	MY	MZ	My4	Mz4	Comb.
cm		kg	kg	kg	kg*m	kg*m	kg*m			
90	1	-43	1	0	0	-190	16	--	--	6

X	cls	Nr	Vyr	Vzr	Mry	Mrz	MTrd	SF_V.	SF_M	SF_Mt	SF
cm		kg	kg	kg	kg*m	kg*m	kg*m				
90	1	27037	9468	7679	1033	240	27	>100	4.0	>100	4.0

Asta: 375 [1210,1211] Sez. G: IPE 100 L=180.0 cm Crit.: Acciaio_Flessione $\gamma M=1.05$ fyk/ $\gamma M=2619$ kg/cmq
ft=4300 kg/cmq :**Verificato**

X	cls	N	TY	TZ	MT	MY	MZ	My4	Mz4	Comb.
cm		kg	kg	kg	kg*m	kg*m	kg*m			
90	1	-41	0	0	-0	-190	16	--	--	6

X	cls	Nr	Vyr	Vzr	Mry	Mrz	MTrd	SF_V.	SF_M	SF_Mt	SF
cm		kg	kg	kg	kg*m	kg*m	kg*m				
90	1	27037	9468	7679	1033	240	27	>100	4.0	>100	4.0

Asta: 376 [1211,1212] Sez. G: IPE 100 L=180.0 cm Crit.: Acciaio_Flessione $\gamma M=1.05$ fyk/ $\gamma M=2619$ kg/cmq ft=4300 kg/cmq :**Verificato**

X	cls	N	TY	TZ	MT	MY	MZ	My4	Mz4	Comb.
cm		kg	kg	kg	kg*m	kg*m	kg*m			
90	1	-28	1	0	-0	-190	16	--	--	6

X	cls	Nr	Vyr	Vzr	Mry	Mrz	MTrd	SF_V.	SF_M	SF_Mt	SF
cm		kg	kg	kg	kg*m	kg*m	kg*m				
90	1	27037	9479	7687	1033	240	27	>100	4.0	>100	4.0

Asta: 377 [1212,1213] Sez. G: IPE 100 L=180.0 cm Crit.: Acciaio_Flessione $\gamma M=1.05$ fyk/ $\gamma M=2619$ kg/cmq ft=4300 kg/cmq :**Verificato**

X	cls	N	TY	TZ	MT	MY	MZ	My4	Mz4	Comb.
cm		kg	kg	kg	kg*m	kg*m	kg*m			
90	1	-29	1	0	0	-190	16	--	--	6

X	cls	Nr	Vyr	Vzr	Mry	Mrz	MTrd	SF_V.	SF_M	SF_Mt	SF
cm		kg	kg	kg	kg*m	kg*m	kg*m				
90	1	27037	9479	7687	1033	240	27	>100	4.0	>100	4.0

Asta: 378 [1213,1214] Sez. G: IPE 100 L=180.0 cm Crit.: Acciaio_Flessione $\gamma M=1.05$ fyk/ $\gamma M=2619$ kg/cmq ft=4300 kg/cmq :**Verificato**

X	cls	N	TY	TZ	MT	MY	MZ	My4	Mz4	Comb.
cm		kg	kg	kg	kg*m	kg*m	kg*m			
90	1	-49	1	0	0	-190	16	--	--	6

X	cls	Nr	Vyr	Vzr	Mry	Mrz	MTrd	SF_V.	SF_M	SF_Mt	SF
cm		kg	kg	kg	kg*m	kg*m	kg*m				
90	1	27037	9468	7679	1033	240	27	>100	4.0	>100	4.0

Asta: 379 [1214,1215] Sez. G: IPE 100 L=180.0 cm Crit.: Acciaio_Flessione $\gamma M=1.05$ fyk/ $\gamma M=2619$ kg/cmq ft=4300 kg/cmq :**Verificato**

X	cls	N	TY	TZ	MT	MY	MZ	My4	Mz4	Comb.
cm		kg	kg	kg	kg*m	kg*m	kg*m			
90	1	-31	1	0	-0	-190	16	--	--	6

X	cls	Nr	Vyr	Vzr	Mry	Mrz	MTrd	SF_V.	SF_M	SF_Mt	SF
cm		kg	kg	kg	kg*m	kg*m	kg*m				
90	1	27037	9468	7678	1033	240	27	>100	4.0	>100	4.0

Asta: 380 [1215,1216] Sez. G: IPE 100 L=180.0 cm Crit.: Acciaio_Flessione $\gamma M=1.05$ fyk/ $\gamma M=2619$ kg/cmq ft=4300 kg/cmq :**Verificato**

X	cls	N	TY	TZ	MT	MY	MZ	My4	Mz4	Comb.
cm		kg	kg	kg	kg*m	kg*m	kg*m			
90	1	32	2	0	-0	-190	16	--	--	6

X	cls	Nr	Vyr	Vzr	Mry	Mrz	MTrd	SF_V.	SF_M	SF_Mt	SF
cm		kg	kg	kg	kg*m	kg*m	kg*m				
90	1	27037	9478	7687	1033	240	27	>100	4.0	>100	4.0

Asta: 381 [1216,1217] Sez. G: IPE 100 L=180.0 cm Crit.: Acciaio_Flessione $\gamma M=1.05$ fyk/ $\gamma M=2619$ kg/cmq ft=4300 kg/cmq :**Verificato**

X	cls	N	TY	TZ	MT	MY	MZ	My4	Mz4	Comb.
cm		kg	kg	kg	kg*m	kg*m	kg*m			
90	1	122	1	0	0	-190	16	--	--	6

X	cls	Nr	Vyr	Vzr	Mry	Mrz	MTrd	SF_V.	SF_M	SF_Mt	SF
cm		kg	kg	kg	kg*m	kg*m	kg*m				

X	cls	Nr	Vyr	Vzr	Mry	Mrz	MTrd	SF_V.	SF_M	SF_Mt	SF
90	1	27037	9479	7687	1033	240	27	>100	3.9	>100	3.9

Asta: 382 [1217,1218] Sez. G: IPE 100 L=180.0 cm Crit.: Acciaio_Flessione $\gamma M=1.05$ fyk/ $\gamma M=2619$ kg/cmq ft=4300 kg/cmq :Verificato

X	cls	N	TY	TZ	MT	MY	MZ	My4	Mz4	Comb.
cm		kg	kg	kg	kg*m	kg*m	kg*m			
90	1	233	1	0	0	-190	16	--	--	6

X	cls	Nr	Vyr	Vzr	Mry	Mrz	MTrd	SF_V.	SF_M	SF_Mt	SF
cm		kg	kg	kg	kg*m	kg*m	kg*m				
90	1	27037	9468	7679	1033	240	27	>100	3.9	>100	3.9

Asta: 383 [1218,1219] Sez. G: IPE 100 L=180.0 cm Crit.: Acciaio_Flessione $\gamma M=1.05$ fyk/ $\gamma M=2619$ kg/cmq ft=4300 kg/cmq :Verificato

X	cls	N	TY	TZ	MT	MY	MZ	My4	Mz4	Comb.
cm		kg	kg	kg	kg*m	kg*m	kg*m			
90	1	230	-1	0	-0	-190	16	--	--	6

X	cls	Nr	Vyr	Vzr	Mry	Mrz	MTrd	SF_V.	SF_M	SF_Mt	SF
cm		kg	kg	kg	kg*m	kg*m	kg*m				
90	1	27037	9469	7680	1033	240	27	>100	3.9	>100	3.9

Asta: 384 [1219,1220] Sez. G: IPE 100 L=180.0 cm Crit.: Acciaio_Flessione $\gamma M=1.05$ fyk/ $\gamma M=2619$ kg/cmq ft=4300 kg/cmq :Verificato

X	cls	N	TY	TZ	MT	MY	MZ	My4	Mz4	Comb.
cm		kg	kg	kg	kg*m	kg*m	kg*m			
90	1	114	-1	0	-0	-190	16	--	--	6

X	cls	Nr	Vyr	Vzr	Mry	Mrz	MTrd	SF_V.	SF_M	SF_Mt	SF
cm		kg	kg	kg	kg*m	kg*m	kg*m				
90	1	27037	9479	7687	1033	240	27	>100	3.9	>100	3.9

Asta: 385 [1220,1221] Sez. G: IPE 100 L=180.0 cm Crit.: Acciaio_Flessione $\gamma M=1.05$ fyk/ $\gamma M=2619$ kg/cmq ft=4300 kg/cmq :Verificato

X	cls	N	TY	TZ	MT	MY	MZ	My4	Mz4	Comb.
cm		kg	kg	kg	kg*m	kg*m	kg*m			
90	1	25	-1	0	0	-190	16	--	--	6

X	cls	Nr	Vyr	Vzr	Mry	Mrz	MTrd	SF_V.	SF_M	SF_Mt	SF
cm		kg	kg	kg	kg*m	kg*m	kg*m				
90	1	27037	9479	7687	1033	240	27	>100	4.0	>100	4.0

Asta: 386 [1221,1222] Sez. G: IPE 100 L=180.0 cm Crit.: Acciaio_Flessione $\gamma M=1.05$ fyk/ $\gamma M=2619$ kg/cmq ft=4300 kg/cmq :Verificato

X	cls	N	TY	TZ	MT	MY	MZ	My4	Mz4	Comb.
cm		kg	kg	kg	kg*m	kg*m	kg*m			
90	1	-42	-1	0	0	-190	16	--	--	6

X	cls	Nr	Vyr	Vzr	Mry	Mrz	MTrd	SF_V.	SF_M	SF_Mt	SF
cm		kg	kg	kg	kg*m	kg*m	kg*m				
90	1	27037	9468	7679	1033	240	27	>100	4.0	>100	4.0

Asta: 387 [1222,1223] Sez. G: IPE 100 L=180.0 cm Crit.: Acciaio_Flessione $\gamma M=1.05$ fyk/ $\gamma M=2619$ kg/cmq ft=4300 kg/cmq :Verificato

X	cls	N	TY	TZ	MT	MY	MZ	My4	Mz4	Comb.
cm		kg	kg	kg	kg*m	kg*m	kg*m			
90	1	-58	-1	0	-0	-190	16	--	--	6

X	cls	Nr	Vyr	Vzr	Mry	Mrz	MTrd	SF_V.	SF_M	SF_Mt	SF
cm		kg	kg	kg	kg*m	kg*m	kg*m				
90	1	27037	9468	7678	1033	240	27	>100	4.0	>100	4.0

Asta: 388 [1223,1224] Sez. G: IPE 100 L=180.0 cm Crit.: Acciaio_Flessione $\gamma M=1.05$ fyk/ $\gamma M=2619$ kg/cmq ft=4300 kg/cmq :Verificato

X	cls	N	TY	TZ	MT	MY	MZ	My4	Mz4	Comb.
cm		kg	kg	kg	kg*m	kg*m	kg*m			
90	1	-40	-1	0	-0	-190	16	--	--	6

X	cls	Nr	Vyr	Vzr	Mry	Mrz	MTrd	SF_V.	SF_M	SF_Mt	SF
cm		kg	kg	kg	kg*m	kg*m	kg*m				
90	1	27037	9479	7687	1033	240	27	>100	4.0	>100	4.0

Asta: 389 [1224,1225] Sez. G: IPE 100 L=180.0 cm Crit.: Acciaio_Flessione $\gamma M=1.05$ $f_yk/\gamma M=2619$ kg/cmq
ft=4300 kg/cmq :**Verificato**

X	cls	N	TY	TZ	MT	MY	MZ	My4	Mz4	Comb.
cm		kg	kg	kg	kg*m	kg*m	kg*m			
90	1	-36	-1	0	0	-190	16	--	--	6

X	cls	Nr	Vyr	Vzr	Mry	Mrz	MTrd	SF_V.	SF_M	SF_Mt	SF
cm		kg	kg	kg	kg*m	kg*m	kg*m				
90	1	27037	9479	7687	1033	240	27	>100	4.0	>100	4.0

Asta: 390 [1225,1226] Sez. G: IPE 100 L=180.0 cm Crit.: Acciaio_Flessione $\gamma M=1.05$ $f_yk/\gamma M=2619$ kg/cmq
ft=4300 kg/cmq :**Verificato**

X	cls	N	TY	TZ	MT	MY	MZ	My4	Mz4	Comb.
cm		kg	kg	kg	kg*m	kg*m	kg*m			
90	1	-52	-0	0	0	-190	16	--	--	6

X	cls	Nr	Vyr	Vzr	Mry	Mrz	MTrd	SF_V.	SF_M	SF_Mt	SF
cm		kg	kg	kg	kg*m	kg*m	kg*m				
90	1	27037	9468	7678	1033	240	27	>100	4.0	>100	4.0

Asta: 391 [1226,1227] Sez. G: IPE 100 L=180.0 cm Crit.: Acciaio_Flessione $\gamma M=1.05$ $f_yk/\gamma M=2619$ kg/cmq
ft=4300 kg/cmq :**Verificato**

X	cls	N	TY	TZ	MT	MY	MZ	My4	Mz4	Comb.
cm		kg	kg	kg	kg*m	kg*m	kg*m			
90	1	-51	-1	0	-0	-190	16	--	--	6

X	cls	Nr	Vyr	Vzr	Mry	Mrz	MTrd	SF_V.	SF_M	SF_Mt	SF
cm		kg	kg	kg	kg*m	kg*m	kg*m				
90	1	27037	9468	7679	1033	240	27	>100	4.0	>100	4.0

Asta: 392 [1227,1228] Sez. G: IPE 100 L=180.0 cm Crit.: Acciaio_Flessione $\gamma M=1.05$ $f_yk/\gamma M=2619$ kg/cmq
ft=4300 kg/cmq :**Verificato**

X	cls	N	TY	TZ	MT	MY	MZ	My4	Mz4	Comb.
cm		kg	kg	kg	kg*m	kg*m	kg*m			
90	1	-36	-0	0	-0	-190	16	--	--	6

X	cls	Nr	Vyr	Vzr	Mry	Mrz	MTrd	SF_V.	SF_M	SF_Mt	SF
cm		kg	kg	kg	kg*m	kg*m	kg*m				
90	1	27037	9479	7687	1033	240	27	>100	4.0	>100	4.0

Asta: 393 [1228,1229] Sez. G: IPE 100 L=180.0 cm Crit.: Acciaio_Flessione $\gamma M=1.05$ $f_yk/\gamma M=2619$ kg/cmq
ft=4300 kg/cmq :**Verificato**

X	cls	N	TY	TZ	MT	MY	MZ	My4	Mz4	Comb.
cm		kg	kg	kg	kg*m	kg*m	kg*m			
90	1	-30	-0	0	0	-190	16	--	--	6

X	cls	Nr	Vyr	Vzr	Mry	Mrz	MTrd	SF_V.	SF_M	SF_Mt	SF
cm		kg	kg	kg	kg*m	kg*m	kg*m				
90	1	27037	9479	7687	1033	240	27	>100	4.0	>100	4.0

Asta: 394 [1229,1230] Sez. G: IPE 100 L=180.0 cm Crit.: Acciaio_Flessione $\gamma M=1.05$ $f_yk/\gamma M=2619$ kg/cmq
ft=4300 kg/cmq :**Verificato**

X	cls	N	TY	TZ	MT	MY	MZ	My4	Mz4	Comb.
cm		kg	kg	kg	kg*m	kg*m	kg*m			
90	1	-37	0	0	0	-190	16	--	--	6

X	cls	Nr	Vyr	Vzr	Mry	Mrz	MTrd	SF_V.	SF_M	SF_Mt	SF
cm		kg	kg	kg	kg*m	kg*m	kg*m				

X	cls	Nr	Vyr	Vzr	Mry	Mrz	MTrd	SF_V.	SF_M	SF_Mt	SF
90	1	27037	9468	7679	1033	240	27	>100	4.0	>100	4.0

Asta: 395 [1230,1231] Sez. G: IPE 100 L=180.0 cm Crit.: Acciaio_Flessione $\gamma M=1.05$ fyk/ $\gamma M=2619$ kg/cmq
ft=4300 kg/cmq :**Verificato**

X	cls	N	TY	TZ	MT	MY	MZ	My4	Mz4	Comb.
cm		kg	kg	kg	kg*m	kg*m	kg*m			
90	1	-39	-1	0	-0	-190	16	--	--	6

X	cls	Nr	Vyr	Vzr	Mry	Mrz	MTrd	SF_V.	SF_M	SF_Mt	SF
cm		kg	kg	kg	kg*m	kg*m	kg*m				
90	1	27037	9467	7678	1033	240	27	>100	4.0	>100	4.0

Asta: 396 [1231,1232] Sez. G: IPE 100 L=180.0 cm Crit.: Acciaio_Flessione $\gamma M=1.05$ fyk/ $\gamma M=2619$ kg/cmq
ft=4300 kg/cmq :**Verificato**

X	cls	N	TY	TZ	MT	MY	MZ	My4	Mz4	Comb.
cm		kg	kg	kg	kg*m	kg*m	kg*m			
90	1	-38	-0	0	-0	-190	16	--	--	6

X	cls	Nr	Vyr	Vzr	Mry	Mrz	MTrd	SF_V.	SF_M	SF_Mt	SF
cm		kg	kg	kg	kg*m	kg*m	kg*m				
90	1	27037	9478	7687	1033	240	27	>100	4.0	>100	4.0

Asta: 397 [1232,1233] Sez. G: IPE 100 L=180.0 cm Crit.: Acciaio_Flessione $\gamma M=1.05$ fyk/ $\gamma M=2619$ kg/cmq
ft=4300 kg/cmq :**Verificato**

X	cls	N	TY	TZ	MT	MY	MZ	My4	Mz4	Comb.
cm		kg	kg	kg	kg*m	kg*m	kg*m			
90	1	-45	0	0	0	-190	16	--	--	6

X	cls	Nr	Vyr	Vzr	Mry	Mrz	MTrd	SF_V.	SF_M	SF_Mt	SF
cm		kg	kg	kg	kg*m	kg*m	kg*m				
90	1	27037	9475	7684	1033	240	27	>100	4.0	>100	4.0

Asta: 398 [1233,1234] Sez. G: IPE 100 L=180.0 cm Crit.: Acciaio_Flessione $\gamma M=1.05$ fyk/ $\gamma M=2619$ kg/cmq
ft=4300 kg/cmq :**Verificato**

X	cls	N	TY	TZ	MT	MY	MZ	My4	Mz4	Comb.
cm		kg	kg	kg	kg*m	kg*m	kg*m			
90	1	-42	0	0	0	-190	16	--	--	6

X	cls	Nr	Vyr	Vzr	Mry	Mrz	MTrd	SF_V.	SF_M	SF_Mt	SF
cm		kg	kg	kg	kg*m	kg*m	kg*m				
90	1	27037	9471	7681	1033	240	27	>100	4.0	>100	4.0

Asta: 399 [1234,1235] Sez. G: IPE 100 L=200.0 cm Crit.: Acciaio_Flessione $\gamma M=1.05$ fyk/ $\gamma M=2619$ kg/cmq
ft=4300 kg/cmq :**Verificato**

X	cls	N	TY	TZ	MT	MY	MZ	My4	Mz4	Comb.
cm		kg	kg	kg	kg*m	kg*m	kg*m			
100	1	-111	-2	0	0	-234	16	--	--	6

X	cls	Nr	Vyr	Vzr	Mry	Mrz	MTrd	SF_V.	SF_M	SF_Mt	SF
cm		kg	kg	kg	kg*m	kg*m	kg*m				
100	1	27037	9481	7689	1033	240	27	>100	3.4	>100	3.4

Asta: 400 [1277,1278] Sez. G: IPE 100 L=200.0 cm Crit.: Acciaio_Flessione $\gamma M=1.05$ fyk/ $\gamma M=2619$ kg/cmq
ft=4300 kg/cmq :**Verificato**

X	cls	N	TY	TZ	MT	MY	MZ	My4	Mz4	Comb.
cm		kg	kg	kg	kg*m	kg*m	kg*m			
100	1	60	0	0	-0	-227	16	--	--	6

X	cls	Nr	Vyr	Vzr	Mry	Mrz	MTrd	SF_V.	SF_M	SF_Mt	SF
cm		kg	kg	kg	kg*m	kg*m	kg*m				
100	1	27037	9471	7681	1033	240	27	>100	3.5	>100	3.5

Asta: 401 [1278,1279] Sez. G: IPE 100 L=180.0 cm Crit.: Acciaio_Flessione $\gamma M=1.05$ fyk/ $\gamma M=2619$ kg/cmq
ft=4300 kg/cmq :**Verificato**

X	cls	N	TY	TZ	MT	MY	MZ	My4	Mz4	Comb.
cm		kg	kg	kg	kg*m	kg*m	kg*m			
90	1	-32	-0	0	-0	-184	16	--	--	6

X	cls	Nr	Vyr	Vzr	Mry	Mrz	MTrd	SF_V.	SF_M	SF_Mt	SF
cm		kg	kg	kg	kg*m	kg*m	kg*m				
90	1	27037	9468	7679	1033	240	27	>100	4.1	>100	4.1

Asta: 402 [1279,1280] Sez. G: IPE 100 L=180.0 cm Crit.: Acciaio_Flessione $\gamma M=1.05$ fyk/ $\gamma M=2619$ kg/cmq ft=4300 kg/cmq :**Verificato**

X	cls	N	TY	TZ	MT	MY	MZ	My4	Mz4	Comb.
cm		kg	kg	kg	kg*m	kg*m	kg*m			
90	1	-46	-0	0	-0	-184	16	--	--	6

X	cls	Nr	Vyr	Vzr	Mry	Mrz	MTrd	SF_V.	SF_M	SF_Mt	SF
cm		kg	kg	kg	kg*m	kg*m	kg*m				
90	1	27037	9463	7675	1033	240	27	>100	4.1	>100	4.1

Asta: 403 [1280,1281] Sez. G: IPE 100 L=180.0 cm Crit.: Acciaio_Flessione $\gamma M=1.05$ fyk/ $\gamma M=2619$ kg/cmq ft=4300 kg/cmq :**Verificato**

X	cls	N	TY	TZ	MT	MY	MZ	My4	Mz4	Comb.
cm		kg	kg	kg	kg*m	kg*m	kg*m			
90	1	-22	-1	0	0	-156	16	--	--	6

X	cls	Nr	Vyr	Vzr	Mry	Mrz	MTrd	SF_V.	SF_M	SF_Mt	SF
cm		kg	kg	kg	kg*m	kg*m	kg*m				
90	1	27037	9473	7683	1033	240	27	>100	4.6	>100	4.6

Asta: 404 [1281,1282] Sez. G: IPE 100 L=180.0 cm Crit.: Acciaio_Flessione $\gamma M=1.05$ fyk/ $\gamma M=2619$ kg/cmq ft=4300 kg/cmq :**Verificato**

X	cls	N	TY	TZ	MT	MY	MZ	My4	Mz4	Comb.
cm		kg	kg	kg	kg*m	kg*m	kg*m			
90	1	-37	-1	0	0	-156	16	--	--	6

X	cls	Nr	Vyr	Vzr	Mry	Mrz	MTrd	SF_V.	SF_M	SF_Mt	SF
cm		kg	kg	kg	kg*m	kg*m	kg*m				
90	1	27037	9434	7651	1033	240	27	>100	4.6	82	4.6

Asta: 405 [1282,1283] Sez. G: IPE 100 L=180.0 cm Crit.: Acciaio_Flessione $\gamma M=1.05$ fyk/ $\gamma M=2619$ kg/cmq ft=4300 kg/cmq :**Verificato**

X	cls	N	TY	TZ	MT	MY	MZ	My4	Mz4	Comb.
cm		kg	kg	kg	kg*m	kg*m	kg*m			
90	1	-10	1	0	-0	-156	16	--	--	6

X	cls	Nr	Vyr	Vzr	Mry	Mrz	MTrd	SF_V.	SF_M	SF_Mt	SF
cm		kg	kg	kg	kg*m	kg*m	kg*m				
90	1	27037	9434	7651	1033	240	27	>100	4.6	80	4.6

Asta: 406 [1283,1284] Sez. G: IPE 100 L=180.0 cm Crit.: Acciaio_Flessione $\gamma M=1.05$ fyk/ $\gamma M=2619$ kg/cmq ft=4300 kg/cmq :**Verificato**

X	cls	N	TY	TZ	MT	MY	MZ	My4	Mz4	Comb.
cm		kg	kg	kg	kg*m	kg*m	kg*m			
90	1	-16	-0	0	-0	-170	16	--	--	6

X	cls	Nr	Vyr	Vzr	Mry	Mrz	MTrd	SF_V.	SF_M	SF_Mt	SF
cm		kg	kg	kg	kg*m	kg*m	kg*m				
90	1	27037	9476	7685	1033	240	27	>100	4.3	>100	4.3

Asta: 407 [1284,1285] Sez. G: IPE 100 L=180.0 cm Crit.: Acciaio_Flessione $\gamma M=1.05$ fyk/ $\gamma M=2619$ kg/cmq ft=4300 kg/cmq :**Verificato**

X	cls	N	TY	TZ	MT	MY	MZ	My4	Mz4	Comb.
cm		kg	kg	kg	kg*m	kg*m	kg*m			
90	1	8	-0	0	0	-170	16	--	--	6

X	cls	Nr	Vyr	Vzr	Mry	Mrz	MTrd	SF_V.	SF_M	SF_Mt	SF
cm		kg	kg	kg	kg*m	kg*m	kg*m				

X	cls	Nr	Vyr	Vzr	Mry	Mrz	MTrd	SF_V.	SF_M	SF_Mt	SF
90	1	27037	9478	7687	1033	240	27	>100	4.3	>100	4.3

Asta: 408 [1285,1286] Sez. G: IPE 100 L=180.0 cm Crit.: Acciaio_Flessione $\gamma M=1.05$ fyk/ $\gamma M=2619$ kg/cmq
ft=4300 kg/cmq :**Verificato**

X	cls	N	TY	TZ	MT	MY	MZ	My4	Mz4	Comb.
cm		kg	kg	kg	kg*m	kg*m	kg*m			
90	1	-13	-1	0	0	-170	16	--	--	6

X	cls	Nr	Vyr	Vzr	Mry	Mrz	MTrd	SF_V.	SF_M	SF_Mt	SF
cm		kg	kg	kg	kg*m	kg*m	kg*m				
90	1	27037	9434	7651	1033	240	27	>100	4.3	81	4.3

Asta: 409 [1286,1287] Sez. G: IPE 100 L=180.0 cm Crit.: Acciaio_Flessione $\gamma M=1.05$ fyk/ $\gamma M=2619$ kg/cmq
ft=4300 kg/cmq :**Verificato**

X	cls	N	TY	TZ	MT	MY	MZ	My4	Mz4	Comb.
cm		kg	kg	kg	kg*m	kg*m	kg*m			
90	1	11	1	0	-0	-170	16	--	--	6

X	cls	Nr	Vyr	Vzr	Mry	Mrz	MTrd	SF_V.	SF_M	SF_Mt	SF
cm		kg	kg	kg	kg*m	kg*m	kg*m				
90	1	27037	9433	7650	1033	240	27	>100	4.3	80	4.3

Asta: 410 [1287,1288] Sez. G: IPE 100 L=180.0 cm Crit.: Acciaio_Flessione $\gamma M=1.05$ fyk/ $\gamma M=2619$ kg/cmq
ft=4300 kg/cmq :**Verificato**

X	cls	N	TY	TZ	MT	MY	MZ	My4	Mz4	Comb.
cm		kg	kg	kg	kg*m	kg*m	kg*m			
90	1	-2	0	0	-0	-170	16	--	--	6

X	cls	Nr	Vyr	Vzr	Mry	Mrz	MTrd	SF_V.	SF_M	SF_Mt	SF
cm		kg	kg	kg	kg*m	kg*m	kg*m				
90	1	27037	9478	7687	1033	240	27	>100	4.3	>100	4.3

Asta: 411 [1288,1289] Sez. G: IPE 100 L=180.0 cm Crit.: Acciaio_Flessione $\gamma M=1.05$ fyk/ $\gamma M=2619$ kg/cmq
ft=4300 kg/cmq :**Verificato**

X	cls	N	TY	TZ	MT	MY	MZ	My4	Mz4	Comb.
cm		kg	kg	kg	kg*m	kg*m	kg*m			
90	1	20	-0	0	0	-170	16	--	--	6

X	cls	Nr	Vyr	Vzr	Mry	Mrz	MTrd	SF_V.	SF_M	SF_Mt	SF
cm		kg	kg	kg	kg*m	kg*m	kg*m				
90	1	27037	9478	7687	1033	240	27	>100	4.3	>100	4.3

Asta: 412 [1289,1290] Sez. G: IPE 100 L=180.0 cm Crit.: Acciaio_Flessione $\gamma M=1.05$ fyk/ $\gamma M=2619$ kg/cmq
ft=4300 kg/cmq :**Verificato**

X	cls	N	TY	TZ	MT	MY	MZ	My4	Mz4	Comb.
cm		kg	kg	kg	kg*m	kg*m	kg*m			
90	1	-4	-1	0	0	-170	16	--	--	6

X	cls	Nr	Vyr	Vzr	Mry	Mrz	MTrd	SF_V.	SF_M	SF_Mt	SF
cm		kg	kg	kg	kg*m	kg*m	kg*m				
90	1	27037	9434	7651	1033	240	27	>100	4.3	81	4.3

Asta: 413 [1290,1291] Sez. G: IPE 100 L=180.0 cm Crit.: Acciaio_Flessione $\gamma M=1.05$ fyk/ $\gamma M=2619$ kg/cmq
ft=4300 kg/cmq :**Verificato**

X	cls	N	TY	TZ	MT	MY	MZ	My4	Mz4	Comb.
cm		kg	kg	kg	kg*m	kg*m	kg*m			
90	1	21	1	0	-0	-170	16	--	--	6

X	cls	Nr	Vyr	Vzr	Mry	Mrz	MTrd	SF_V.	SF_M	SF_Mt	SF
cm		kg	kg	kg	kg*m	kg*m	kg*m				
90	1	27037	9434	7651	1033	240	27	>100	4.3	81	4.3

Asta: 414 [1291,1292] Sez. G: IPE 100 L=180.0 cm Crit.: Acciaio_Flessione $\gamma M=1.05$ fyk/ $\gamma M=2619$ kg/cmq
ft=4300 kg/cmq :**Verificato**

X	cls	N	TY	TZ	MT	MY	MZ	My4	Mz4	Comb.
cm		kg	kg	kg	kg*m	kg*m	kg*m			
90	1	9	1	0	-0	-170	16	--	--	6

X	cls	Nr	Vyr	Vzr	Mry	Mrz	MTrd	SF_V.	SF_M	SF_Mt	SF
cm		kg	kg	kg	kg*m	kg*m	kg*m				
90	1	27037	9478	7687	1033	240	27	>100	4.3	>100	4.3

Asta: 415 [1292,1293] Sez. G: IPE 100 L=180.0 cm Crit.: Acciaio_Flessione $\gamma M=1.05$ fyk/ $\gamma M=2619$ kg/cmq ft=4300 kg/cmq :**Verificato**

X	cls	N	TY	TZ	MT	MY	MZ	My4	Mz4	Comb.
cm		kg	kg	kg	kg*m	kg*m	kg*m			
90	1	32	0	0	0	-170	16	--	--	6

X	cls	Nr	Vyr	Vzr	Mry	Mrz	MTrd	SF_V.	SF_M	SF_Mt	SF
cm		kg	kg	kg	kg*m	kg*m	kg*m				
90	1	27037	9478	7687	1033	240	27	>100	4.3	>100	4.3

Asta: 416 [1293,1294] Sez. G: IPE 100 L=180.0 cm Crit.: Acciaio_Flessione $\gamma M=1.05$ fyk/ $\gamma M=2619$ kg/cmq ft=4300 kg/cmq :**Verificato**

X	cls	N	TY	TZ	MT	MY	MZ	My4	Mz4	Comb.
cm		kg	kg	kg	kg*m	kg*m	kg*m			
90	1	5	-0	0	0	-170	16	--	--	6

X	cls	Nr	Vyr	Vzr	Mry	Mrz	MTrd	SF_V.	SF_M	SF_Mt	SF
cm		kg	kg	kg	kg*m	kg*m	kg*m				
90	1	27037	9434	7651	1033	240	27	>100	4.3	81	4.3

Asta: 417 [1294,1295] Sez. G: IPE 100 L=180.0 cm Crit.: Acciaio_Flessione $\gamma M=1.05$ fyk/ $\gamma M=2619$ kg/cmq ft=4300 kg/cmq :**Verificato**

X	cls	N	TY	TZ	MT	MY	MZ	My4	Mz4	Comb.
cm		kg	kg	kg	kg*m	kg*m	kg*m			
90	1	31	2	0	-0	-170	16	--	--	6

X	cls	Nr	Vyr	Vzr	Mry	Mrz	MTrd	SF_V.	SF_M	SF_Mt	SF
cm		kg	kg	kg	kg*m	kg*m	kg*m				
90	1	27037	9434	7651	1033	240	27	>100	4.3	81	4.3

Asta: 418 [1295,1296] Sez. G: IPE 100 L=180.0 cm Crit.: Acciaio_Flessione $\gamma M=1.05$ fyk/ $\gamma M=2619$ kg/cmq ft=4300 kg/cmq :**Verificato**

X	cls	N	TY	TZ	MT	MY	MZ	My4	Mz4	Comb.
cm		kg	kg	kg	kg*m	kg*m	kg*m			
90	1	18	1	0	-0	-170	16	--	--	6

X	cls	Nr	Vyr	Vzr	Mry	Mrz	MTrd	SF_V.	SF_M	SF_Mt	SF
cm		kg	kg	kg	kg*m	kg*m	kg*m				
90	1	27037	9478	7687	1033	240	27	>100	4.3	>100	4.3

Asta: 419 [1296,1297] Sez. G: IPE 100 L=180.0 cm Crit.: Acciaio_Flessione $\gamma M=1.05$ fyk/ $\gamma M=2619$ kg/cmq ft=4300 kg/cmq :**Verificato**

X	cls	N	TY	TZ	MT	MY	MZ	My4	Mz4	Comb.
cm		kg	kg	kg	kg*m	kg*m	kg*m			
90	1	40	1	0	0	-170	16	--	--	6

X	cls	Nr	Vyr	Vzr	Mry	Mrz	MTrd	SF_V.	SF_M	SF_Mt	SF
cm		kg	kg	kg	kg*m	kg*m	kg*m				
90	1	27037	9478	7687	1033	240	27	>100	4.3	>100	4.3

Asta: 420 [1297,1298] Sez. G: IPE 100 L=180.0 cm Crit.: Acciaio_Flessione $\gamma M=1.05$ fyk/ $\gamma M=2619$ kg/cmq ft=4300 kg/cmq :**Verificato**

X	cls	N	TY	TZ	MT	MY	MZ	My4	Mz4	Comb.
cm		kg	kg	kg	kg*m	kg*m	kg*m			
90	1	2	0	0	0	-170	16	--	--	6

X	cls	Nr	Vyr	Vzr	Mry	Mrz	MTrd	SF_V.	SF_M	SF_Mt	SF
cm		kg	kg	kg	kg*m	kg*m	kg*m				

X	cls	Nr	Vyr	Vzr	Mry	Mrz	MTrd	SF_V.	SF_M	SF_Mt	SF
90	1	27037	9435	7652	1033	240	27	>100	4.3	82	4.3

Asta: 421 [1298,1299] Sez. G: IPE 100 L=180.0 cm Crit.: Acciaio_Flessione $\gamma M=1.05$ fyk/ $\gamma M=2619$ kg/cmq
ft=4300 kg/cmq :**Verificato**

X	cls	N	TY	TZ	MT	MY	MZ	My4	Mz4	Comb.
cm		kg	kg	kg	kg*m	kg*m	kg*m			
90	1	28	3	0	-0	-170	16	--	--	6

X	cls	Nr	Vyr	Vzr	Mry	Mrz	MTrd	SF_V.	SF_M	SF_Mt	SF
cm		kg	kg	kg	kg*m	kg*m	kg*m				
90	1	27037	9434	7651	1033	240	27	>100	4.3	82	4.3

Asta: 422 [1299,1300] Sez. G: IPE 100 L=180.0 cm Crit.: Acciaio_Flessione $\gamma M=1.05$ fyk/ $\gamma M=2619$ kg/cmq
ft=4300 kg/cmq :**Verificato**

X	cls	N	TY	TZ	MT	MY	MZ	My4	Mz4	Comb.
cm		kg	kg	kg	kg*m	kg*m	kg*m			
90	1	16	2	0	-0	-170	16	--	--	6

X	cls	Nr	Vyr	Vzr	Mry	Mrz	MTrd	SF_V.	SF_M	SF_Mt	SF
cm		kg	kg	kg	kg*m	kg*m	kg*m				
90	1	27037	9478	7687	1033	240	27	>100	4.3	>100	4.3

Asta: 423 [1300,1301] Sez. G: IPE 100 L=180.0 cm Crit.: Acciaio_Flessione $\gamma M=1.05$ fyk/ $\gamma M=2619$ kg/cmq
ft=4300 kg/cmq :**Verificato**

X	cls	N	TY	TZ	MT	MY	MZ	My4	Mz4	Comb.
cm		kg	kg	kg	kg*m	kg*m	kg*m			
90	1	56	2	0	0	-170	16	--	--	6

X	cls	Nr	Vyr	Vzr	Mry	Mrz	MTrd	SF_V.	SF_M	SF_Mt	SF
cm		kg	kg	kg	kg*m	kg*m	kg*m				
90	1	27037	9478	7687	1033	240	27	>100	4.3	>100	4.3

Asta: 424 [1301,1302] Sez. G: IPE 100 L=180.0 cm Crit.: Acciaio_Flessione $\gamma M=1.05$ fyk/ $\gamma M=2619$ kg/cmq
ft=4300 kg/cmq :**Verificato**

X	cls	N	TY	TZ	MT	MY	MZ	My4	Mz4	Comb.
cm		kg	kg	kg	kg*m	kg*m	kg*m			
90	1	75	1	0	0	-170	16	--	--	6

X	cls	Nr	Vyr	Vzr	Mry	Mrz	MTrd	SF_V.	SF_M	SF_Mt	SF
cm		kg	kg	kg	kg*m	kg*m	kg*m				
90	1	27037	9448	7662	1033	240	27	>100	4.3	>100	4.3

Asta: 425 [1302,1303] Sez. G: IPE 100 L=180.0 cm Crit.: Acciaio_Flessione $\gamma M=1.05$ fyk/ $\gamma M=2619$ kg/cmq
ft=4300 kg/cmq :**Verificato**

X	cls	N	TY	TZ	MT	MY	MZ	My4	Mz4	Comb.
cm		kg	kg	kg	kg*m	kg*m	kg*m			
90	1	92	-1	0	-0	-170	16	--	--	6

X	cls	Nr	Vyr	Vzr	Mry	Mrz	MTrd	SF_V.	SF_M	SF_Mt	SF
cm		kg	kg	kg	kg*m	kg*m	kg*m				
90	1	27037	9449	7663	1033	240	27	>100	4.3	>100	4.3

Asta: 426 [1303,1304] Sez. G: IPE 100 L=180.0 cm Crit.: Acciaio_Flessione $\gamma M=1.05$ fyk/ $\gamma M=2619$ kg/cmq
ft=4300 kg/cmq :**Verificato**

X	cls	N	TY	TZ	MT	MY	MZ	My4	Mz4	Comb.
cm		kg	kg	kg	kg*m	kg*m	kg*m			
90	1	28	-2	0	-0	-170	16	--	--	6

X	cls	Nr	Vyr	Vzr	Mry	Mrz	MTrd	SF_V.	SF_M	SF_Mt	SF
cm		kg	kg	kg	kg*m	kg*m	kg*m				
90	1	27037	9478	7687	1033	240	27	>100	4.3	>100	4.3

Asta: 427 [1304,1305] Sez. G: IPE 100 L=180.0 cm Crit.: Acciaio_Flessione $\gamma M=1.05$ fyk/ $\gamma M=2619$ kg/cmq
ft=4300 kg/cmq :**Verificato**

X	cls	N	TY	TZ	MT	MY	MZ	My4	Mz4	Comb.
cm		kg	kg	kg	kg*m	kg*m	kg*m			
90	1	26	-2	0	0	-170	16	--	--	6

X	cls	Nr	Vyr	Vzr	Mry	Mrz	MTrd	SF_V.	SF_M	SF_Mt	SF
cm		kg	kg	kg	kg*m	kg*m	kg*m				
90	1	27037	9478	7687	1033	240	27	>100	4.3	>100	4.3

Asta: 428 [1305,1306] Sez. G: IPE 100 L=180.0 cm Crit.: Acciaio_Flessione $\gamma M=1.05$ fyk/ $\gamma M=2619$ kg/cmq
ft=4300 kg/cmq :**Verificato**

X	cls	N	TY	TZ	MT	MY	MZ	My4	Mz4	Comb.
cm		kg	kg	kg	kg*m	kg*m	kg*m			
90	1	-4	-3	0	0	-170	16	--	--	6

X	cls	Nr	Vyr	Vzr	Mry	Mrz	MTrd	SF_V.	SF_M	SF_Mt	SF
cm		kg	kg	kg	kg*m	kg*m	kg*m				
90	1	27037	9435	7652	1033	240	27	>100	4.3	83	4.3

Asta: 429 [1306,1307] Sez. G: IPE 100 L=180.0 cm Crit.: Acciaio_Flessione $\gamma M=1.05$ fyk/ $\gamma M=2619$ kg/cmq
ft=4300 kg/cmq :**Verificato**

X	cls	N	TY	TZ	MT	MY	MZ	My4	Mz4	Comb.
cm		kg	kg	kg	kg*m	kg*m	kg*m			
90	1	12	-0	0	-0	-170	16	--	--	6

X	cls	Nr	Vyr	Vzr	Mry	Mrz	MTrd	SF_V.	SF_M	SF_Mt	SF
cm		kg	kg	kg	kg*m	kg*m	kg*m				
90	1	27037	9435	7651	1033	240	27	>100	4.3	82	4.3

Asta: 430 [1307,1308] Sez. G: IPE 100 L=180.0 cm Crit.: Acciaio_Flessione $\gamma M=1.05$ fyk/ $\gamma M=2619$ kg/cmq
ft=4300 kg/cmq :**Verificato**

X	cls	N	TY	TZ	MT	MY	MZ	My4	Mz4	Comb.
cm		kg	kg	kg	kg*m	kg*m	kg*m			
90	1	10	-1	0	-0	-170	16	--	--	6

X	cls	Nr	Vyr	Vzr	Mry	Mrz	MTrd	SF_V.	SF_M	SF_Mt	SF
cm		kg	kg	kg	kg*m	kg*m	kg*m				
90	1	27037	9478	7687	1033	240	27	>100	4.3	>100	4.3

Asta: 431 [1308,1309] Sez. G: IPE 100 L=180.0 cm Crit.: Acciaio_Flessione $\gamma M=1.05$ fyk/ $\gamma M=2619$ kg/cmq
ft=4300 kg/cmq :**Verificato**

X	cls	N	TY	TZ	MT	MY	MZ	My4	Mz4	Comb.
cm		kg	kg	kg	kg*m	kg*m	kg*m			
90	1	29	-1	0	0	-170	16	--	--	6

X	cls	Nr	Vyr	Vzr	Mry	Mrz	MTrd	SF_V.	SF_M	SF_Mt	SF
cm		kg	kg	kg	kg*m	kg*m	kg*m				
90	1	27037	9478	7687	1033	240	27	>100	4.3	>100	4.3

Asta: 432 [1309,1310] Sez. G: IPE 100 L=180.0 cm Crit.: Acciaio_Flessione $\gamma M=1.05$ fyk/ $\gamma M=2619$ kg/cmq
ft=4300 kg/cmq :**Verificato**

X	cls	N	TY	TZ	MT	MY	MZ	My4	Mz4	Comb.
cm		kg	kg	kg	kg*m	kg*m	kg*m			
90	1	3	-2	0	0	-170	16	--	--	6

X	cls	Nr	Vyr	Vzr	Mry	Mrz	MTrd	SF_V.	SF_M	SF_Mt	SF
cm		kg	kg	kg	kg*m	kg*m	kg*m				
90	1	27037	9434	7651	1033	240	27	>100	4.3	81	4.3

Asta: 433 [1310,1311] Sez. G: IPE 100 L=180.0 cm Crit.: Acciaio_Flessione $\gamma M=1.05$ fyk/ $\gamma M=2619$ kg/cmq
ft=4300 kg/cmq :**Verificato**

X	cls	N	TY	TZ	MT	MY	MZ	My4	Mz4	Comb.
cm		kg	kg	kg	kg*m	kg*m	kg*m			
90	1	22	0	0	-0	-170	16	--	--	6

X	cls	Nr	Vyr	Vzr	Mry	Mrz	MTrd	SF_V.	SF_M	SF_Mt	SF
cm		kg	kg	kg	kg*m	kg*m	kg*m				

X	cls	Nr	Vyr	Vzr	Mry	Mrz	MTrd	SF_V.	SF_M	SF_Mt	SF
90	1	27037	9434	7651	1033	240	27	>100	4.3	81	4.3

Asta: 434 [1311,1312] Sez. G: IPE 100 L=180.0 cm Crit.: Acciaio_Flessione $\gamma M=1.05$ fyk/ $\gamma M=2619$ kg/cmq
ft=4300 kg/cmq :**Verificato**

X	cls	N	TY	TZ	MT	MY	MZ	My4	Mz4	Comb.
cm		kg	kg	kg	kg*m	kg*m	kg*m			
90	1	12	-0	0	-0	-170	16	--	--	6

X	cls	Nr	Vyr	Vzr	Mry	Mrz	MTrd	SF_V.	SF_M	SF_Mt	SF
cm		kg	kg	kg	kg*m	kg*m	kg*m				
90	1	27037	9478	7687	1033	240	27	>100	4.3	>100	4.3

Asta: 435 [1312,1313] Sez. G: IPE 100 L=180.0 cm Crit.: Acciaio_Flessione $\gamma M=1.05$ fyk/ $\gamma M=2619$ kg/cmq
ft=4300 kg/cmq :**Verificato**

X	cls	N	TY	TZ	MT	MY	MZ	My4	Mz4	Comb.
cm		kg	kg	kg	kg*m	kg*m	kg*m			
90	1	34	-1	0	0	-170	16	--	--	6

X	cls	Nr	Vyr	Vzr	Mry	Mrz	MTrd	SF_V.	SF_M	SF_Mt	SF
cm		kg	kg	kg	kg*m	kg*m	kg*m				
90	1	27037	9480	7688	1033	240	27	>100	4.3	>100	4.3

Asta: 436 [1313,1314] Sez. G: IPE 100 L=180.0 cm Crit.: Acciaio_Flessione $\gamma M=1.05$ fyk/ $\gamma M=2619$ kg/cmq
ft=4300 kg/cmq :**Verificato**

X	cls	N	TY	TZ	MT	MY	MZ	My4	Mz4	Comb.
cm		kg	kg	kg	kg*m	kg*m	kg*m			
90	1	13	-1	0	0	-184	16	--	--	6

X	cls	Nr	Vyr	Vzr	Mry	Mrz	MTrd	SF_V.	SF_M	SF_Mt	SF
cm		kg	kg	kg	kg*m	kg*m	kg*m				
90	1	27037	9434	7651	1033	240	27	>100	4.1	82	4.1

Asta: 437 [1314,1315] Sez. G: IPE 100 L=180.0 cm Crit.: Acciaio_Flessione $\gamma M=1.05$ fyk/ $\gamma M=2619$ kg/cmq
ft=4300 kg/cmq :**Verificato**

X	cls	N	TY	TZ	MT	MY	MZ	My4	Mz4	Comb.
cm		kg	kg	kg	kg*m	kg*m	kg*m			
90	1	38	1	0	-0	-184	16	--	--	6

X	cls	Nr	Vyr	Vzr	Mry	Mrz	MTrd	SF_V.	SF_M	SF_Mt	SF
cm		kg	kg	kg	kg*m	kg*m	kg*m				
90	1	27037	9431	7649	1033	240	27	>100	4.1	76	4.1

Asta: 438 [1315,1316] Sez. G: IPE 100 L=180.0 cm Crit.: Acciaio_Flessione $\gamma M=1.05$ fyk/ $\gamma M=2619$ kg/cmq
ft=4300 kg/cmq :**Verificato**

X	cls	N	TY	TZ	MT	MY	MZ	My4	Mz4	Comb.
cm		kg	kg	kg	kg*m	kg*m	kg*m			
90	1	32	-0	0	0	-184	16	--	--	6

X	cls	Nr	Vyr	Vzr	Mry	Mrz	MTrd	SF_V.	SF_M	SF_Mt	SF
cm		kg	kg	kg	kg*m	kg*m	kg*m				
90	1	27037	9480	7688	1033	240	27	>100	4.1	>100	4.1

Asta: 439 [1316,1317] Sez. G: IPE 100 L=180.0 cm Crit.: Acciaio_Flessione $\gamma M=1.05$ fyk/ $\gamma M=2619$ kg/cmq
ft=4300 kg/cmq :**Verificato**

X	cls	N	TY	TZ	MT	MY	MZ	My4	Mz4	Comb.
cm		kg	kg	kg	kg*m	kg*m	kg*m			
90	1	56	-0	0	0	-156	16	--	--	6

X	cls	Nr	Vyr	Vzr	Mry	Mrz	MTrd	SF_V.	SF_M	SF_Mt	SF
cm		kg	kg	kg	kg*m	kg*m	kg*m				
90	1	27037	9459	7671	1033	240	27	>100	4.6	>100	4.6

Asta: 440 [1317,1318] Sez. G: IPE 100 L=180.0 cm Crit.: Acciaio_Flessione $\gamma M=1.05$ fyk/ $\gamma M=2619$ kg/cmq
ft=4300 kg/cmq :**Verificato**

X	cls	N	TY	TZ	MT	MY	MZ	My4	Mz4	Comb.
cm		kg	kg	kg	kg*m	kg*m	kg*m			
90	1	38	0	0	0	-156	16	--	--	6

X	cls	Nr	Vyr	Vzr	Mry	Mrz	MTrd	SF_V.	SF_M	SF_Mt	SF
cm		kg	kg	kg	kg*m	kg*m	kg*m				
90	1	27037	9467	7678	1033	240	27	>100	4.6	>100	4.6

Asta: 441 [1318,1319] Sez. G: IPE 100 L=200.0 cm Crit.: Acciaio_Flessione $\gamma M=1.05$ $f_yk/\gamma M=2619$ kg/cmq
 $f_t=4300$ kg/cmq :**Verificato**

X	cls	N	TY	TZ	MT	MY	MZ	My4	Mz4	Comb.
cm		kg	kg	kg	kg*m	kg*m	kg*m			
100	1	80	-2	0	0	-193	16	--	--	6

X	cls	Nr	Vyr	Vzr	Mry	Mrz	MTrd	SF_V.	SF_M	SF_Mt	SF
cm		kg	kg	kg	kg*m	kg*m	kg*m				
100	1	27037	9471	7681	1033	240	27	>100	3.9	>100	3.9

Asta: 442 [1320,1321] Sez. G: IPE 100 L=200.0 cm Crit.: Acciaio_Flessione $\gamma M=1.05$ $f_yk/\gamma M=2619$ kg/cmq
 $f_t=4300$ kg/cmq :**Verificato**

X	cls	N	TY	TZ	MT	MY	MZ	My4	Mz4	Comb.
cm		kg	kg	kg	kg*m	kg*m	kg*m			
100	1	-75	-2	0	-0	-214	15	--	--	6

X	cls	Nr	Vyr	Vzr	Mry	Mrz	MTrd	SF_V.	SF_M	SF_Mt	SF
cm		kg	kg	kg	kg*m	kg*m	kg*m				
100	1	27037	9457	7669	1033	240	27	>100	3.7	>100	3.7

Asta: 443 [1321,1322] Sez. G: IPE 100 L=180.0 cm Crit.: Acciaio_Flessione $\gamma M=1.05$ $f_yk/\gamma M=2619$ kg/cmq
 $f_t=4300$ kg/cmq :**Verificato**

X	cls	N	TY	TZ	MT	MY	MZ	My4	Mz4	Comb.
cm		kg	kg	kg	kg*m	kg*m	kg*m			
90	1	-43	-0	0	-0	-174	16	--	--	6

X	cls	Nr	Vyr	Vzr	Mry	Mrz	MTrd	SF_V.	SF_M	SF_Mt	SF
cm		kg	kg	kg	kg*m	kg*m	kg*m				
90	1	27037	9480	7688	1033	240	27	>100	4.2	>100	4.2

Asta: 444 [1322,1323] Sez. G: IPE 100 L=180.0 cm Crit.: Acciaio_Flessione $\gamma M=1.05$ $f_yk/\gamma M=2619$ kg/cmq
 $f_t=4300$ kg/cmq :**Verificato**

X	cls	N	TY	TZ	MT	MY	MZ	My4	Mz4	Comb.
cm		kg	kg	kg	kg*m	kg*m	kg*m			
90	1	-220	0	0	-0	-174	16	--	--	6

X	cls	Nr	Vyr	Vzr	Mry	Mrz	MTrd	SF_V.	SF_M	SF_Mt	SF
cm		kg	kg	kg	kg*m	kg*m	kg*m				
90	1	27037	9460	7672	1033	240	27	>100	4.1	>100	4.1

Asta: 445 [1323,1324] Sez. G: IPE 100 L=180.0 cm Crit.: Acciaio_Flessione $\gamma M=1.05$ $f_yk/\gamma M=2619$ kg/cmq
 $f_t=4300$ kg/cmq :**Verificato**

X	cls	N	TY	TZ	MT	MY	MZ	My4	Mz4	Comb.
cm		kg	kg	kg	kg*m	kg*m	kg*m			
90	1	142	-1	0	0	-147	16	--	--	6

X	cls	Nr	Vyr	Vzr	Mry	Mrz	MTrd	SF_V.	SF_M	SF_Mt	SF
cm		kg	kg	kg	kg*m	kg*m	kg*m				
90	1	27037	9473	7682	1033	240	27	>100	4.7	>100	4.7

Asta: 446 [1324,1325] Sez. G: IPE 100 L=180.0 cm Crit.: Acciaio_Flessione $\gamma M=1.05$ $f_yk/\gamma M=2619$ kg/cmq
 $f_t=4300$ kg/cmq :**Verificato**

X	cls	N	TY	TZ	MT	MY	MZ	My4	Mz4	Comb.
cm		kg	kg	kg	kg*m	kg*m	kg*m			
90	1	-143	-2	0	0	-147	16	--	--	6

X	cls	Nr	Vyr	Vzr	Mry	Mrz	MTrd	SF_V.	SF_M	SF_Mt	SF
cm		kg	kg	kg	kg*m	kg*m	kg*m				

X	cls	Nr	Vyr	Vzr	Mry	Mrz	MTrd	SF_V.	SF_M	SF_Mt	SF
90	1	27037	9435	7651	1033	240	27	>100	4.7	82	4.7

Asta: 447 [1325,1326] Sez. G: IPE 100 L=180.0 cm Crit.: Acciaio_Flessione $\gamma M=1.05$ fyk/ $\gamma M=2619$ kg/cmq
ft=4300 kg/cmq :**Verificato**

X	cls	N	TY	TZ	MT	MY	MZ	My4	Mz4	Comb.
cm		kg	kg	kg	kg*m	kg*m	kg*m			
90	1	221	1	0	-0	-147	16	--	--	6

X	cls	Nr	Vyr	Vzr	Mry	Mrz	MTrd	SF_V.	SF_M	SF_Mt	SF
cm		kg	kg	kg	kg*m	kg*m	kg*m				
90	1	27037	9434	7651	1033	240	27	>100	4.6	80	4.6

Asta: 448 [1326,1327] Sez. G: IPE 100 L=180.0 cm Crit.: Acciaio_Flessione $\gamma M=1.05$ fyk/ $\gamma M=2619$ kg/cmq
ft=4300 kg/cmq :**Verificato**

X	cls	N	TY	TZ	MT	MY	MZ	My4	Mz4	Comb.
cm		kg	kg	kg	kg*m	kg*m	kg*m			
90	1	-158	0	0	-0	-161	16	--	--	6

X	cls	Nr	Vyr	Vzr	Mry	Mrz	MTrd	SF_V.	SF_M	SF_Mt	SF
cm		kg	kg	kg	kg*m	kg*m	kg*m				
90	1	27037	9476	7685	1033	240	27	>100	4.4	>100	4.4

Asta: 449 [1327,1328] Sez. G: IPE 100 L=180.0 cm Crit.: Acciaio_Flessione $\gamma M=1.05$ fyk/ $\gamma M=2619$ kg/cmq
ft=4300 kg/cmq :**Verificato**

X	cls	N	TY	TZ	MT	MY	MZ	My4	Mz4	Comb.
cm		kg	kg	kg	kg*m	kg*m	kg*m			
90	1	212	-0	0	0	-161	16	--	--	6

X	cls	Nr	Vyr	Vzr	Mry	Mrz	MTrd	SF_V.	SF_M	SF_Mt	SF
cm		kg	kg	kg	kg*m	kg*m	kg*m				
90	1	27037	9478	7687	1033	240	27	>100	4.4	>100	4.4

Asta: 450 [1328,1329] Sez. G: IPE 100 L=180.0 cm Crit.: Acciaio_Flessione $\gamma M=1.05$ fyk/ $\gamma M=2619$ kg/cmq
ft=4300 kg/cmq :**Verificato**

X	cls	N	TY	TZ	MT	MY	MZ	My4	Mz4	Comb.
cm		kg	kg	kg	kg*m	kg*m	kg*m			
90	1	-138	-2	0	0	-161	16	--	--	6

X	cls	Nr	Vyr	Vzr	Mry	Mrz	MTrd	SF_V.	SF_M	SF_Mt	SF
cm		kg	kg	kg	kg*m	kg*m	kg*m				
90	1	27037	9434	7651	1033	240	27	>100	4.4	81	4.4

Asta: 451 [1329,1330] Sez. G: IPE 100 L=180.0 cm Crit.: Acciaio_Flessione $\gamma M=1.05$ fyk/ $\gamma M=2619$ kg/cmq
ft=4300 kg/cmq :**Verificato**

X	cls	N	TY	TZ	MT	MY	MZ	My4	Mz4	Comb.
cm		kg	kg	kg	kg*m	kg*m	kg*m			
90	1	240	2	0	-0	-161	16	--	--	6

X	cls	Nr	Vyr	Vzr	Mry	Mrz	MTrd	SF_V.	SF_M	SF_Mt	SF
cm		kg	kg	kg	kg*m	kg*m	kg*m				
90	1	27037	9434	7651	1033	240	27	>100	4.3	81	4.3

Asta: 452 [1330,1331] Sez. G: IPE 100 L=180.0 cm Crit.: Acciaio_Flessione $\gamma M=1.05$ fyk/ $\gamma M=2619$ kg/cmq
ft=4300 kg/cmq :**Verificato**

X	cls	N	TY	TZ	MT	MY	MZ	My4	Mz4	Comb.
cm		kg	kg	kg	kg*m	kg*m	kg*m			
90	1	-157	0	0	-0	-161	16	--	--	6

X	cls	Nr	Vyr	Vzr	Mry	Mrz	MTrd	SF_V.	SF_M	SF_Mt	SF
cm		kg	kg	kg	kg*m	kg*m	kg*m				
90	1	27037	9478	7687	1033	240	27	>100	4.4	>100	4.4

Asta: 453 [1331,1332] Sez. G: IPE 100 L=180.0 cm Crit.: Acciaio_Flessione $\gamma M=1.05$ fyk/ $\gamma M=2619$ kg/cmq
ft=4300 kg/cmq :**Verificato**

X	cls	N	TY	TZ	MT	MY	MZ	My4	Mz4	Comb.
cm		kg	kg	kg	kg*m	kg*m	kg*m			
90	1	231	-0	0	0	-161	16	--	--	6

X	cls	Nr	Vyr	Vzr	Mry	Mrz	MTrd	SF_V.	SF_M	SF_Mt	SF
cm		kg	kg	kg	kg*m	kg*m	kg*m				
90	1	27037	9478	7687	1033	240	27	>100	4.3	>100	4.3

Asta: 454 [1332,1333] Sez. G: IPE 100 L=180.0 cm Crit.: Acciaio_Flessione $\gamma M=1.05$ fyk/ $\gamma M=2619$ kg/cmq ft=4300 kg/cmq :Verificato

X	cls	N	TY	TZ	MT	MY	MZ	My4	Mz4	Comb.
cm		kg	kg	kg	kg*m	kg*m	kg*m			
90	1	-128	-2	0	0	-161	16	--	--	6

X	cls	Nr	Vyr	Vzr	Mry	Mrz	MTrd	SF_V.	SF_M	SF_Mt	SF
cm		kg	kg	kg	kg*m	kg*m	kg*m				
90	1	27037	9434	7651	1033	240	27	>100	4.4	81	4.4

Asta: 455 [1333,1334] Sez. G: IPE 100 L=180.0 cm Crit.: Acciaio_Flessione $\gamma M=1.05$ fyk/ $\gamma M=2619$ kg/cmq ft=4300 kg/cmq :Verificato

X	cls	N	TY	TZ	MT	MY	MZ	My4	Mz4	Comb.
cm		kg	kg	kg	kg*m	kg*m	kg*m			
90	1	269	2	0	-0	-161	16	--	--	6

X	cls	Nr	Vyr	Vzr	Mry	Mrz	MTrd	SF_V.	SF_M	SF_Mt	SF
cm		kg	kg	kg	kg*m	kg*m	kg*m				
90	1	27037	9434	7651	1033	240	27	>100	4.3	81	4.3

Asta: 456 [1334,1335] Sez. G: IPE 100 L=180.0 cm Crit.: Acciaio_Flessione $\gamma M=1.05$ fyk/ $\gamma M=2619$ kg/cmq ft=4300 kg/cmq :Verificato

X	cls	N	TY	TZ	MT	MY	MZ	My4	Mz4	Comb.
cm		kg	kg	kg	kg*m	kg*m	kg*m			
90	1	-149	0	0	-0	-161	16	--	--	6

X	cls	Nr	Vyr	Vzr	Mry	Mrz	MTrd	SF_V.	SF_M	SF_Mt	SF
cm		kg	kg	kg	kg*m	kg*m	kg*m				
90	1	27037	9478	7687	1033	240	27	>100	4.4	>100	4.4

Asta: 457 [1335,1336] Sez. G: IPE 100 L=180.0 cm Crit.: Acciaio_Flessione $\gamma M=1.05$ fyk/ $\gamma M=2619$ kg/cmq ft=4300 kg/cmq :Verificato

X	cls	N	TY	TZ	MT	MY	MZ	My4	Mz4	Comb.
cm		kg	kg	kg	kg*m	kg*m	kg*m			
90	1	262	0	0	0	-161	16	--	--	6

X	cls	Nr	Vyr	Vzr	Mry	Mrz	MTrd	SF_V.	SF_M	SF_Mt	SF
cm		kg	kg	kg	kg*m	kg*m	kg*m				
90	1	27037	9478	7687	1033	240	27	>100	4.3	>100	4.3

Asta: 458 [1336,1337] Sez. G: IPE 100 L=180.0 cm Crit.: Acciaio_Flessione $\gamma M=1.05$ fyk/ $\gamma M=2619$ kg/cmq ft=4300 kg/cmq :Verificato

X	cls	N	TY	TZ	MT	MY	MZ	My4	Mz4	Comb.
cm		kg	kg	kg	kg*m	kg*m	kg*m			
90	1	-108	-1	0	0	-161	16	--	--	6

X	cls	Nr	Vyr	Vzr	Mry	Mrz	MTrd	SF_V.	SF_M	SF_Mt	SF
cm		kg	kg	kg	kg*m	kg*m	kg*m				
90	1	27037	9434	7651	1033	240	27	>100	4.4	81	4.4

Asta: 459 [1337,1338] Sez. G: IPE 100 L=180.0 cm Crit.: Acciaio_Flessione $\gamma M=1.05$ fyk/ $\gamma M=2619$ kg/cmq ft=4300 kg/cmq :Verificato

X	cls	N	TY	TZ	MT	MY	MZ	My4	Mz4	Comb.
cm		kg	kg	kg	kg*m	kg*m	kg*m			
90	1	317	2	0	-0	-161	16	--	--	6

X	cls	Nr	Vyr	Vzr	Mry	Mrz	MTrd	SF_V.	SF_M	SF_Mt	SF
cm		kg	kg	kg	kg*m	kg*m	kg*m				

X	cls	Nr	Vyr	Vzr	Mry	Mrz	MTrd	SF_V.	SF_M	SF_Mt	SF
90	1	27037	9434	7651	1033	240	27	>100	4.3	82	4.3

Asta: 460 [1338,1339] Sez. G: IPE 100 L=180.0 cm Crit.: Acciaio_Flessione $\gamma M=1.05$ fyk/ $\gamma M=2619$ kg/cmq
ft=4300 kg/cmq :**Verificato**

X	cls	N	TY	TZ	MT	MY	MZ	My4	Mz4	Comb.
cm		kg	kg	kg	kg*m	kg*m	kg*m			
90	1	-144	1	0	-0	-161	16	--	--	6

X	cls	Nr	Vyr	Vzr	Mry	Mrz	MTrd	SF_V.	SF_M	SF_Mt	SF
cm		kg	kg	kg	kg*m	kg*m	kg*m				
90	1	27037	9478	7687	1033	240	27	>100	4.4	>100	4.4

Asta: 461 [1339,1340] Sez. G: IPE 100 L=180.0 cm Crit.: Acciaio_Flessione $\gamma M=1.05$ fyk/ $\gamma M=2619$ kg/cmq
ft=4300 kg/cmq :**Verificato**

X	cls	N	TY	TZ	MT	MY	MZ	My4	Mz4	Comb.
cm		kg	kg	kg	kg*m	kg*m	kg*m			
90	1	301	0	0	0	-161	16	--	--	6

X	cls	Nr	Vyr	Vzr	Mry	Mrz	MTrd	SF_V.	SF_M	SF_Mt	SF
cm		kg	kg	kg	kg*m	kg*m	kg*m				
90	1	27037	9478	7687	1033	240	27	>100	4.3	>100	4.3

Asta: 462 [1340,1341] Sez. G: IPE 100 L=180.0 cm Crit.: Acciaio_Flessione $\gamma M=1.05$ fyk/ $\gamma M=2619$ kg/cmq
ft=4300 kg/cmq :**Verificato**

X	cls	N	TY	TZ	MT	MY	MZ	My4	Mz4	Comb.
cm		kg	kg	kg	kg*m	kg*m	kg*m			
90	1	-110	-1	0	0	-161	16	--	--	6

X	cls	Nr	Vyr	Vzr	Mry	Mrz	MTrd	SF_V.	SF_M	SF_Mt	SF
cm		kg	kg	kg	kg*m	kg*m	kg*m				
90	1	27037	9435	7652	1033	240	27	>100	4.4	83	4.4

Asta: 463 [1341,1342] Sez. G: IPE 100 L=180.0 cm Crit.: Acciaio_Flessione $\gamma M=1.05$ fyk/ $\gamma M=2619$ kg/cmq
ft=4300 kg/cmq :**Verificato**

X	cls	N	TY	TZ	MT	MY	MZ	My4	Mz4	Comb.
cm		kg	kg	kg	kg*m	kg*m	kg*m			
90	1	347	3	0	-0	-161	16	--	--	6

X	cls	Nr	Vyr	Vzr	Mry	Mrz	MTrd	SF_V.	SF_M	SF_Mt	SF
cm		kg	kg	kg	kg*m	kg*m	kg*m				
90	1	27037	9435	7651	1033	240	27	>100	4.3	82	4.3

Asta: 464 [1342,1343] Sez. G: IPE 100 L=180.0 cm Crit.: Acciaio_Flessione $\gamma M=1.05$ fyk/ $\gamma M=2619$ kg/cmq
ft=4300 kg/cmq :**Verificato**

X	cls	N	TY	TZ	MT	MY	MZ	My4	Mz4	Comb.
cm		kg	kg	kg	kg*m	kg*m	kg*m			
90	1	-261	1	0	-0	-161	16	--	--	6

X	cls	Nr	Vyr	Vzr	Mry	Mrz	MTrd	SF_V.	SF_M	SF_Mt	SF
cm		kg	kg	kg	kg*m	kg*m	kg*m				
90	1	27037	9478	7687	1033	240	27	>100	4.3	>100	4.3

Asta: 465 [1343,1344] Sez. G: IPE 100 L=180.0 cm Crit.: Acciaio_Flessione $\gamma M=1.05$ fyk/ $\gamma M=2619$ kg/cmq
ft=4300 kg/cmq :**Verificato**

X	cls	N	TY	TZ	MT	MY	MZ	My4	Mz4	Comb.
cm		kg	kg	kg	kg*m	kg*m	kg*m			
90	1	179	1	0	0	-161	16	--	--	6

X	cls	Nr	Vyr	Vzr	Mry	Mrz	MTrd	SF_V.	SF_M	SF_Mt	SF
cm		kg	kg	kg	kg*m	kg*m	kg*m				
90	1	27037	9478	7687	1033	240	27	>100	4.4	>100	4.4

Asta: 466 [1344,1345] Sez. G: IPE 100 L=180.0 cm Crit.: Acciaio_Flessione $\gamma M=1.05$ fyk/ $\gamma M=2619$ kg/cmq
ft=4300 kg/cmq :**Verificato**

X	cls	N	TY	TZ	MT	MY	MZ	My4	Mz4	Comb.
cm		kg	kg	kg	kg*m	kg*m	kg*m			
90	1	-499	-0	0	0	-161	16	--	--	6

X	cls	Nr	Vyr	Vzr	Mry	Mrz	MTrd	SF_V.	SF_M	SF_Mt	SF
cm		kg	kg	kg	kg*m	kg*m	kg*m				
90	1	27037	9448	7662	1033	240	27	>100	4.2	>100	4.2

Asta: 467 [1345,1346] Sez. G: IPE 100 L=180.0 cm Crit.: Acciaio_Flessione $\gamma M=1.05$ fyk/ $\gamma M=2619$ kg/cmq ft=4300 kg/cmq :**Verificato**

X	cls	N	TY	TZ	MT	MY	MZ	My4	Mz4	Comb.
cm		kg	kg	kg	kg*m	kg*m	kg*m			
90	1	-117	-0	0	-0	-161	16	--	--	6

X	cls	Nr	Vyr	Vzr	Mry	Mrz	MTrd	SF_V.	SF_M	SF_Mt	SF
cm		kg	kg	kg	kg*m	kg*m	kg*m				
90	1	27037	9449	7663	1033	240	27	>100	4.4	>100	4.4

Asta: 468 [1346,1347] Sez. G: IPE 100 L=180.0 cm Crit.: Acciaio_Flessione $\gamma M=1.05$ fyk/ $\gamma M=2619$ kg/cmq ft=4300 kg/cmq :**Verificato**

X	cls	N	TY	TZ	MT	MY	MZ	My4	Mz4	Comb.
cm		kg	kg	kg	kg*m	kg*m	kg*m			
90	1	-201	-1	0	-0	-161	16	--	--	6

X	cls	Nr	Vyr	Vzr	Mry	Mrz	MTrd	SF_V.	SF_M	SF_Mt	SF
cm		kg	kg	kg	kg*m	kg*m	kg*m				
90	1	27037	9478	7687	1033	240	27	>100	4.4	>100	4.4

Asta: 469 [1347,1348] Sez. G: IPE 100 L=180.0 cm Crit.: Acciaio_Flessione $\gamma M=1.05$ fyk/ $\gamma M=2619$ kg/cmq ft=4300 kg/cmq :**Verificato**

X	cls	N	TY	TZ	MT	MY	MZ	My4	Mz4	Comb.
cm		kg	kg	kg	kg*m	kg*m	kg*m			
90	1	120	-2	0	0	-161	16	--	--	6

X	cls	Nr	Vyr	Vzr	Mry	Mrz	MTrd	SF_V.	SF_M	SF_Mt	SF
cm		kg	kg	kg	kg*m	kg*m	kg*m				
90	1	27037	9478	7687	1033	240	27	>100	4.4	>100	4.4

Asta: 470 [1348,1349] Sez. G: IPE 100 L=180.0 cm Crit.: Acciaio_Flessione $\gamma M=1.05$ fyk/ $\gamma M=2619$ kg/cmq ft=4300 kg/cmq :**Verificato**

X	cls	N	TY	TZ	MT	MY	MZ	My4	Mz4	Comb.
cm		kg	kg	kg	kg*m	kg*m	kg*m			
90	1	-33	-3	0	0	-161	16	--	--	6

X	cls	Nr	Vyr	Vzr	Mry	Mrz	MTrd	SF_V.	SF_M	SF_Mt	SF
cm		kg	kg	kg	kg*m	kg*m	kg*m				
90	1	27037	9435	7652	1033	240	27	>100	4.5	83	4.5

Asta: 471 [1349,1350] Sez. G: IPE 100 L=180.0 cm Crit.: Acciaio_Flessione $\gamma M=1.05$ fyk/ $\gamma M=2619$ kg/cmq ft=4300 kg/cmq :**Verificato**

X	cls	N	TY	TZ	MT	MY	MZ	My4	Mz4	Comb.
cm		kg	kg	kg	kg*m	kg*m	kg*m			
90	1	271	1	0	-0	-161	16	--	--	6

X	cls	Nr	Vyr	Vzr	Mry	Mrz	MTrd	SF_V.	SF_M	SF_Mt	SF
cm		kg	kg	kg	kg*m	kg*m	kg*m				
90	1	27037	9435	7652	1033	240	27	>100	4.3	82	4.3

Asta: 472 [1350,1351] Sez. G: IPE 100 L=180.0 cm Crit.: Acciaio_Flessione $\gamma M=1.05$ fyk/ $\gamma M=2619$ kg/cmq ft=4300 kg/cmq :**Verificato**

X	cls	N	TY	TZ	MT	MY	MZ	My4	Mz4	Comb.
cm		kg	kg	kg	kg*m	kg*m	kg*m			
90	1	-82	-1	0	-0	-161	16	--	--	6

X	cls	Nr	Vyr	Vzr	Mry	Mrz	MTrd	SF_V.	SF_M	SF_Mt	SF
cm		kg	kg	kg	kg*m	kg*m	kg*m				

X	cls	Nr	Vyr	Vzr	Mry	Mrz	MTrd	SF_V.	SF_M	SF_Mt	SF
90	1	27037	9478	7687	1033	240	27	>100	4.5	>100	4.5

Asta: 473 [1351,1352] Sez. G: IPE 100 L=180.0 cm Crit.: Acciaio_Flessione $\gamma M=1.05$ fyk/ $\gamma M=2619$ kg/cm²
ft=4300 kg/cm² :**Verificato**

X	cls	N	TY	TZ	MT	MY	MZ	My4	Mz4	Comb.
cm		kg	kg	kg	kg*m	kg*m	kg*m			
90	1	238	-1	0	0	-161	16	--	--	6

X	cls	Nr	Vyr	Vzr	Mry	Mrz	MTrd	SF_V.	SF_M	SF_Mt	SF
cm		kg	kg	kg	kg*m	kg*m	kg*m				
90	1	27037	9478	7687	1033	240	27	>100	4.3	>100	4.3

Asta: 474 [1352,1353] Sez. G: IPE 100 L=180.0 cm Crit.: Acciaio_Flessione $\gamma M=1.05$ fyk/ $\gamma M=2619$ kg/cm²
ft=4300 kg/cm² :**Verificato**

X	cls	N	TY	TZ	MT	MY	MZ	My4	Mz4	Comb.
cm		kg	kg	kg	kg*m	kg*m	kg*m			
90	1	-63	-2	0	0	-161	16	--	--	6

X	cls	Nr	Vyr	Vzr	Mry	Mrz	MTrd	SF_V.	SF_M	SF_Mt	SF
cm		kg	kg	kg	kg*m	kg*m	kg*m				
90	1	27037	9434	7651	1033	240	27	>100	4.5	81	4.5

Asta: 475 [1353,1354] Sez. G: IPE 100 L=180.0 cm Crit.: Acciaio_Flessione $\gamma M=1.05$ fyk/ $\gamma M=2619$ kg/cm²
ft=4300 kg/cm² :**Verificato**

X	cls	N	TY	TZ	MT	MY	MZ	My4	Mz4	Comb.
cm		kg	kg	kg	kg*m	kg*m	kg*m			
90	1	276	1	0	-0	-161	16	--	--	6

X	cls	Nr	Vyr	Vzr	Mry	Mrz	MTrd	SF_V.	SF_M	SF_Mt	SF
cm		kg	kg	kg	kg*m	kg*m	kg*m				
90	1	27037	9434	7651	1033	240	27	>100	4.3	82	4.3

Asta: 476 [1354,1355] Sez. G: IPE 100 L=180.0 cm Crit.: Acciaio_Flessione $\gamma M=1.05$ fyk/ $\gamma M=2619$ kg/cm²
ft=4300 kg/cm² :**Verificato**

X	cls	N	TY	TZ	MT	MY	MZ	My4	Mz4	Comb.
cm		kg	kg	kg	kg*m	kg*m	kg*m			
90	1	-117	-0	0	-0	-161	16	--	--	6

X	cls	Nr	Vyr	Vzr	Mry	Mrz	MTrd	SF_V.	SF_M	SF_Mt	SF
cm		kg	kg	kg	kg*m	kg*m	kg*m				
90	1	27037	9478	7687	1033	240	27	>100	4.4	>100	4.4

Asta: 477 [1355,1356] Sez. G: IPE 100 L=180.0 cm Crit.: Acciaio_Flessione $\gamma M=1.05$ fyk/ $\gamma M=2619$ kg/cm²
ft=4300 kg/cm² :**Verificato**

X	cls	N	TY	TZ	MT	MY	MZ	My4	Mz4	Comb.
cm		kg	kg	kg	kg*m	kg*m	kg*m			
90	1	237	-0	0	0	-161	16	--	--	6

X	cls	Nr	Vyr	Vzr	Mry	Mrz	MTrd	SF_V.	SF_M	SF_Mt	SF
cm		kg	kg	kg	kg*m	kg*m	kg*m				
90	1	27037	9480	7688	1033	240	27	>100	4.3	>100	4.3

Asta: 478 [1356,1357] Sez. G: IPE 100 L=180.0 cm Crit.: Acciaio_Flessione $\gamma M=1.05$ fyk/ $\gamma M=2619$ kg/cm²
ft=4300 kg/cm² :**Verificato**

X	cls	N	TY	TZ	MT	MY	MZ	My4	Mz4	Comb.
cm		kg	kg	kg	kg*m	kg*m	kg*m			
90	1	-103	-2	0	0	-174	16	--	--	6

X	cls	Nr	Vyr	Vzr	Mry	Mrz	MTrd	SF_V.	SF_M	SF_Mt	SF
cm		kg	kg	kg	kg*m	kg*m	kg*m				
90	1	27037	9435	7652	1033	240	27	>100	4.2	82	4.2

Asta: 479 [1357,1358] Sez. G: IPE 100 L=180.0 cm Crit.: Acciaio_Flessione $\gamma M=1.05$ fyk/ $\gamma M=2619$ kg/cm²
ft=4300 kg/cm² :**Verificato**

X	cls	N	TY	TZ	MT	MY	MZ	My4	Mz4	Comb.
cm		kg	kg	kg	kg*m	kg*m	kg*m			
90	1	264	2	0	-0	-174	16	--	--	6

X	cls	Nr	Vyr	Vzr	Mry	Mrz	MTrd	SF_V.	SF_M	SF_Mt	SF
cm		kg	kg	kg	kg*m	kg*m	kg*m				
90	1	27037	9431	7649	1033	240	27	>100	4.1	77	4.1

Asta: 480 [1358,1359] Sez. G: IPE 100 L=180.0 cm Crit.: Acciaio_Flessione $\gamma M=1.05$ fyk/ $\gamma M=2619$ kg/cmq ft=4300 kg/cmq :**Verificato**

X	cls	N	TY	TZ	MT	MY	MZ	My4	Mz4	Comb.
cm		kg	kg	kg	kg*m	kg*m	kg*m			
90	1	-90	-0	0	0	-174	16	--	--	6

X	cls	Nr	Vyr	Vzr	Mry	Mrz	MTrd	SF_V.	SF_M	SF_Mt	SF
cm		kg	kg	kg	kg*m	kg*m	kg*m				
90	1	27037	9480	7688	1033	240	27	>100	4.2	>100	4.2

Asta: 481 [1359,1360] Sez. G: IPE 100 L=180.0 cm Crit.: Acciaio_Flessione $\gamma M=1.05$ fyk/ $\gamma M=2619$ kg/cmq ft=4300 kg/cmq :**Verificato**

X	cls	N	TY	TZ	MT	MY	MZ	My4	Mz4	Comb.
cm		kg	kg	kg	kg*m	kg*m	kg*m			
90	1	320	-1	0	0	-147	16	--	--	6

X	cls	Nr	Vyr	Vzr	Mry	Mrz	MTrd	SF_V.	SF_M	SF_Mt	SF
cm		kg	kg	kg	kg*m	kg*m	kg*m				
90	1	27037	9456	7688	1033	240	27	>100	4.5	>100	4.5

Asta: 482 [1360,1361] Sez. G: IPE 100 L=180.0 cm Crit.: Acciaio_Flessione $\gamma M=1.05$ fyk/ $\gamma M=2619$ kg/cmq ft=4300 kg/cmq :**Verificato**

X	cls	N	TY	TZ	MT	MY	MZ	My4	Mz4	Comb.
cm		kg	kg	kg	kg*m	kg*m	kg*m			
90	1	16	-0	0	0	-147	16	--	--	6

X	cls	Nr	Vyr	Vzr	Mry	Mrz	MTrd	SF_V.	SF_M	SF_Mt	SF
cm		kg	kg	kg	kg*m	kg*m	kg*m				
90	1	27037	9477	7686	1033	240	27	>100	4.8	>100	4.8

Asta: 483 [1361,1362] Sez. G: IPE 100 L=200.0 cm Crit.: Acciaio_Flessione $\gamma M=1.05$ fyk/ $\gamma M=2619$ kg/cmq ft=4300 kg/cmq :**Verificato**

X	cls	N	TY	TZ	MT	MY	MZ	My4	Mz4	Comb.
cm		kg	kg	kg	kg*m	kg*m	kg*m			
100	1	230	-1	0	0	-182	16	--	--	6

X	cls	Nr	Vyr	Vzr	Mry	Mrz	MTrd	SF_V.	SF_M	SF_Mt	SF
cm		kg	kg	kg	kg*m	kg*m	kg*m				
100	1	27037	9458	7670	1033	240	27	>100	4.0	>100	4.0

Asta: 484 [1364,1363] Sez. G: UPN 260 L=200.0 cm Crit.: Acciaio_Flessione $\gamma M=1.05$ fyk/ $\gamma M=2619$ kg/cmq ft=4300 kg/cmq :**Verificato**

X	cls	N	TY	TZ	MT	MY	MZ	My4	Mz4	Comb.
cm		kg	kg	kg	kg*m	kg*m	kg*m			
0	1	278	179	-567	-5	641	381	--	--	6

X	cls	Nr	Vyr	Vzr	Mry	Mrz	MTrd	SF_V.	SF_M	SF_Mt	SF
cm		kg	kg	kg	kg*m	kg*m	kg*m				
0	1	128965	39130	41174	11895	2692	290	73	5.1	64	5.1

Asta: 485 [1365,1364] Sez. G: UPN 260 L=180.0 cm Crit.: Acciaio_Flessione $\gamma M=1.05$ fyk/ $\gamma M=2619$ kg/cmq ft=4300 kg/cmq :**Verificato**

X	cls	N	TY	TZ	MT	MY	MZ	My4	Mz4	Comb.
cm		kg	kg	kg	kg*m	kg*m	kg*m			
0	1	577	119	163	0	-23	334	--	--	12

X	cls	Nr	Vyr	Vzr	Mry	Mrz	MTrd	SF_V.	SF_M	SF_Mt	SF
cm		kg	kg	kg	kg*m	kg*m	kg*m				

X	cls	Nr	Vyr	Vzr	Mry	Mrz	MTrd	SF_V.	SF_M	SF_Mt	SF
0	1	128965	39363	41419	11895	2692	290	>100	7.7	>100	7.7

Asta: 486 [1366,1365] Sez. G: UPN 260 L=180.0 cm Crit.: Acciaio_Flessione $\gamma M=1.05$ fyk/ $\gamma M=2619$ kg/cm² ft=4300 kg/cm² :Verificato

X	cls	N	TY	TZ	MT	MY	MZ	My4	Mz4	Comb.
cm		kg	kg	kg	kg*m	kg*m	kg*m			
0	1	132	140	-229	-3	0	356	--	--	6

X	cls	Nr	Vyr	Vzr	Mry	Mrz	MTrd	SF_V.	SF_M	SF_Mt	SF
cm		kg	kg	kg	kg*m	kg*m	kg*m				
0	1	128965	39188	41234	11895	2692	290	>100	7.5	83	7.5

Asta: 487 [1367,1366] Sez. G: UPN 260 L=180.0 cm Crit.: Acciaio_Flessione $\gamma M=1.05$ fyk/ $\gamma M=2619$ kg/cm² ft=4300 kg/cm² :Verificato

X	cls	N	TY	TZ	MT	MY	MZ	My4	Mz4	Comb.
cm		kg	kg	kg	kg*m	kg*m	kg*m			
0	1	436	123	-92	1	0	338	--	--	12

X	cls	Nr	Vyr	Vzr	Mry	Mrz	MTrd	SF_V.	SF_M	SF_Mt	SF
cm		kg	kg	kg	kg*m	kg*m	kg*m				
0	1	128965	39317	41371	11895	2692	290	>100	7.7	>100	7.7

Asta: 488 [1368,1367] Sez. G: UPN 260 L=180.0 cm Crit.: Acciaio_Flessione $\gamma M=1.05$ fyk/ $\gamma M=2619$ kg/cm² ft=4300 kg/cm² :Verificato

X	cls	N	TY	TZ	MT	MY	MZ	My4	Mz4	Comb.
cm		kg	kg	kg	kg*m	kg*m	kg*m			
0	1	-24	95	-92	5	0	309	--	--	12

X	cls	Nr	Vyr	Vzr	Mry	Mrz	MTrd	SF_V.	SF_M	SF_Mt	SF
cm		kg	kg	kg	kg*m	kg*m	kg*m				
0	1	128965	39081	41122	11895	2692	290	>100	8.7	53	8.7

Asta: 489 [1369,1368] Sez. G: UPN 260 L=180.0 cm Crit.: Acciaio_Flessione $\gamma M=1.05$ fyk/ $\gamma M=2619$ kg/cm² ft=4300 kg/cm² :Verificato

X	cls	N	TY	TZ	MT	MY	MZ	My4	Mz4	Comb.
cm		kg	kg	kg	kg*m	kg*m	kg*m			
0	1	333	177	-195	-7	0	383	--	--	6

X	cls	Nr	Vyr	Vzr	Mry	Mrz	MTrd	SF_V.	SF_M	SF_Mt	SF
cm		kg	kg	kg	kg*m	kg*m	kg*m				
0	1	128965	38974	41010	11895	2692	290	>100	6.9	39	6.9

Asta: 490 [1370,1369] Sez. G: UPN 260 L=180.0 cm Crit.: Acciaio_Flessione $\gamma M=1.05$ fyk/ $\gamma M=2619$ kg/cm² ft=4300 kg/cm² :Verificato

X	cls	N	TY	TZ	MT	MY	MZ	My4	Mz4	Comb.
cm		kg	kg	kg	kg*m	kg*m	kg*m			
0	1	-53	131	-208	-1	0	347	--	--	6

X	cls	Nr	Vyr	Vzr	Mry	Mrz	MTrd	SF_V.	SF_M	SF_Mt	SF
cm		kg	kg	kg	kg*m	kg*m	kg*m				
0	1	128965	39336	41390	11895	2692	290	>100	7.7	>100	7.7

Asta: 491 [1371,1370] Sez. G: UPN 260 L=180.0 cm Crit.: Acciaio_Flessione $\gamma M=1.05$ fyk/ $\gamma M=2619$ kg/cm² ft=4300 kg/cm² :Verificato

X	cls	N	TY	TZ	MT	MY	MZ	My4	Mz4	Comb.
cm		kg	kg	kg	kg*m	kg*m	kg*m			
0	1	358	132	-106	0	0	346	--	--	12

X	cls	Nr	Vyr	Vzr	Mry	Mrz	MTrd	SF_V.	SF_M	SF_Mt	SF
cm		kg	kg	kg	kg*m	kg*m	kg*m				
0	1	128965	39365	41421	11895	2692	290	>100	7.6	>100	7.6

Asta: 492 [1372,1371] Sez. G: UPN 260 L=180.0 cm Crit.: Acciaio_Flessione $\gamma M=1.05$ fyk/ $\gamma M=2619$ kg/cm² ft=4300 kg/cm² :Verificato

X	cls	N	TY	TZ	MT	MY	MZ	My4	Mz4	Comb.
cm		kg	kg	kg	kg*m	kg*m	kg*m			
0	1	-103	96	-106	6	0	310	--	--	12

X	cls	Nr	Vyr	Vzr	Mry	Mrz	MTrd	SF_V.	SF_M	SF_Mt	SF
cm		kg	kg	kg	kg*m	kg*m	kg*m				
0	1	128965	39071	41112	11895	2692	290	>100	8.6	52	8.6

Asta: 493 [1373,1372] Sez. G: UPN 260 L=180.0 cm Crit.: Acciaio_Flessione $\gamma M=1.05$ fyk/ $\gamma M=2619$ kg/cm² ft=4300 kg/cm² :**Verificato**

X	cls	N	TY	TZ	MT	MY	MZ	My4	Mz4	Comb.
cm		kg	kg	kg	kg*m	kg*m	kg*m			
0	1	304	178	-208	-7	0	384	--	--	6

X	cls	Nr	Vyr	Vzr	Mry	Mrz	MTrd	SF_V.	SF_M	SF_Mt	SF
cm		kg	kg	kg	kg*m	kg*m	kg*m				
0	1	128965	38976	41011	11895	2692	290	>100	6.9	39	6.9

Asta: 494 [1374,1373] Sez. G: UPN 260 L=180.0 cm Crit.: Acciaio_Flessione $\gamma M=1.05$ fyk/ $\gamma M=2619$ kg/cm² ft=4300 kg/cm² :**Verificato**

X	cls	N	TY	TZ	MT	MY	MZ	My4	Mz4	Comb.
cm		kg	kg	kg	kg*m	kg*m	kg*m			
0	1	-91	130	-208	-0	0	346	--	--	6

X	cls	Nr	Vyr	Vzr	Mry	Mrz	MTrd	SF_V.	SF_M	SF_Mt	SF
cm		kg	kg	kg	kg*m	kg*m	kg*m				
0	1	128965	39353	41409	11895	2692	290	>100	7.7	>100	7.7

Asta: 495 [1375,1374] Sez. G: UPN 260 L=180.0 cm Crit.: Acciaio_Flessione $\gamma M=1.05$ fyk/ $\gamma M=2619$ kg/cm² ft=4300 kg/cm² :**Verificato**

X	cls	N	TY	TZ	MT	MY	MZ	My4	Mz4	Comb.
cm		kg	kg	kg	kg*m	kg*m	kg*m			
0	1	348	132	-106	0	0	346	--	--	12

X	cls	Nr	Vyr	Vzr	Mry	Mrz	MTrd	SF_V.	SF_M	SF_Mt	SF
cm		kg	kg	kg	kg*m	kg*m	kg*m				
0	1	128965	39363	41419	11895	2692	290	>100	7.6	>100	7.6

Asta: 496 [1376,1375] Sez. G: UPN 260 L=180.0 cm Crit.: Acciaio_Flessione $\gamma M=1.05$ fyk/ $\gamma M=2619$ kg/cm² ft=4300 kg/cm² :**Verificato**

X	cls	N	TY	TZ	MT	MY	MZ	My4	Mz4	Comb.
cm		kg	kg	kg	kg*m	kg*m	kg*m			
0	1	-121	96	-106	6	0	310	--	--	12

X	cls	Nr	Vyr	Vzr	Mry	Mrz	MTrd	SF_V.	SF_M	SF_Mt	SF
cm		kg	kg	kg	kg*m	kg*m	kg*m				
0	1	128965	39071	41112	11895	2692	290	>100	8.6	52	8.6

Asta: 497 [1377,1376] Sez. G: UPN 260 L=180.0 cm Crit.: Acciaio_Flessione $\gamma M=1.05$ fyk/ $\gamma M=2619$ kg/cm² ft=4300 kg/cm² :**Verificato**

X	cls	N	TY	TZ	MT	MY	MZ	My4	Mz4	Comb.
cm		kg	kg	kg	kg*m	kg*m	kg*m			
0	1	311	179	-208	-7	0	385	--	--	6

X	cls	Nr	Vyr	Vzr	Mry	Mrz	MTrd	SF_V.	SF_M	SF_Mt	SF
cm		kg	kg	kg	kg*m	kg*m	kg*m				
0	1	128965	38978	41013	11895	2692	290	>100	6.9	40	6.9

Asta: 498 [1378,1377] Sez. G: UPN 260 L=180.0 cm Crit.: Acciaio_Flessione $\gamma M=1.05$ fyk/ $\gamma M=2619$ kg/cm² ft=4300 kg/cm² :**Verificato**

X	cls	N	TY	TZ	MT	MY	MZ	My4	Mz4	Comb.
cm		kg	kg	kg	kg*m	kg*m	kg*m			
0	1	-95	131	-208	-0	0	347	--	--	6

X	cls	Nr	Vyr	Vzr	Mry	Mrz	MTrd	SF_V.	SF_M	SF_Mt	SF
cm		kg	kg	kg	kg*m	kg*m	kg*m				

X	cls	Nr	Vyr	Vzr	Mry	Mrz	MTrd	SF_V.	SF_M	SF_Mt	SF
0	1	128965	39353	41409	11895	2692	290	>100	7.7	>100	7.7

Asta: 499 [1379,1378] Sez. G: UPN 260 L=180.0 cm Crit.: Acciaio_Flessione $\gamma M=1.05$ fyk/ $\gamma M=2619$ kg/cm² ft=4300 kg/cm² :Verificato

X	cls	N	TY	TZ	MT	MY	MZ	My4	Mz4	Comb.
cm		kg	kg	kg	kg*m	kg*m	kg*m			
0	1	378	133	-106	0	0	347	--	--	12

X	cls	Nr	Vyr	Vzr	Mry	Mrz	MTrd	SF_V.	SF_M	SF_Mt	SF
cm		kg	kg	kg	kg*m	kg*m	kg*m				
0	1	128965	39364	41419	11895	2692	290	>100	7.6	>100	7.6

Asta: 500 [1380,1379] Sez. G: UPN 260 L=180.0 cm Crit.: Acciaio_Flessione $\gamma M=1.05$ fyk/ $\gamma M=2619$ kg/cm² ft=4300 kg/cm² :Verificato

X	cls	N	TY	TZ	MT	MY	MZ	My4	Mz4	Comb.
cm		kg	kg	kg	kg*m	kg*m	kg*m			
0	1	-105	97	-106	6	0	311	--	--	12

X	cls	Nr	Vyr	Vzr	Mry	Mrz	MTrd	SF_V.	SF_M	SF_Mt	SF
cm		kg	kg	kg	kg*m	kg*m	kg*m				
0	1	128965	39074	41115	11895	2692	290	>100	8.6	52	8.6

Asta: 501 [1381,1380] Sez. G: UPN 260 L=180.0 cm Crit.: Acciaio_Flessione $\gamma M=1.05$ fyk/ $\gamma M=2619$ kg/cm² ft=4300 kg/cm² :Verificato

X	cls	N	TY	TZ	MT	MY	MZ	My4	Mz4	Comb.
cm		kg	kg	kg	kg*m	kg*m	kg*m			
0	1	372	181	-208	-7	0	386	--	--	6

X	cls	Nr	Vyr	Vzr	Mry	Mrz	MTrd	SF_V.	SF_M	SF_Mt	SF
cm		kg	kg	kg	kg*m	kg*m	kg*m				
0	1	128965	38981	41017	11895	2692	290	>100	6.8	40	6.8

Asta: 502 [1382,1381] Sez. G: UPN 260 L=180.0 cm Crit.: Acciaio_Flessione $\gamma M=1.05$ fyk/ $\gamma M=2619$ kg/cm² ft=4300 kg/cm² :Verificato

X	cls	N	TY	TZ	MT	MY	MZ	My4	Mz4	Comb.
cm		kg	kg	kg	kg*m	kg*m	kg*m			
0	1	-49	132	-208	-0	0	348	--	--	6

X	cls	Nr	Vyr	Vzr	Mry	Mrz	MTrd	SF_V.	SF_M	SF_Mt	SF
cm		kg	kg	kg	kg*m	kg*m	kg*m				
0	1	128965	39354	41409	11895	2692	290	>100	7.7	>100	7.7

Asta: 503 [1383,1382] Sez. G: UPN 260 L=180.0 cm Crit.: Acciaio_Flessione $\gamma M=1.05$ fyk/ $\gamma M=2619$ kg/cm² ft=4300 kg/cm² :Verificato

X	cls	N	TY	TZ	MT	MY	MZ	My4	Mz4	Comb.
cm		kg	kg	kg	kg*m	kg*m	kg*m			
0	1	490	135	-106	0	0	348	--	--	12

X	cls	Nr	Vyr	Vzr	Mry	Mrz	MTrd	SF_V.	SF_M	SF_Mt	SF
cm		kg	kg	kg	kg*m	kg*m	kg*m				
0	1	128965	39364	41419	11895	2692	290	>100	7.5	>100	7.5

Asta: 504 [1384,1383] Sez. G: UPN 260 L=180.0 cm Crit.: Acciaio_Flessione $\gamma M=1.05$ fyk/ $\gamma M=2619$ kg/cm² ft=4300 kg/cm² :Verificato

X	cls	N	TY	TZ	MT	MY	MZ	My4	Mz4	Comb.
cm		kg	kg	kg	kg*m	kg*m	kg*m			
0	1	-10	99	-106	5	0	312	--	--	12

X	cls	Nr	Vyr	Vzr	Mry	Mrz	MTrd	SF_V.	SF_M	SF_Mt	SF
cm		kg	kg	kg	kg*m	kg*m	kg*m				
0	1	128965	39081	41122	11895	2692	290	>100	8.6	53	8.6

Asta: 505 [1385,1384] Sez. G: UPN 260 L=180.0 cm Crit.: Acciaio_Flessione $\gamma M=1.05$ fyk/ $\gamma M=2619$ kg/cm² ft=4300 kg/cm² :Verificato

X	cls	N	TY	TZ	MT	MY	MZ	My4	Mz4	Comb.
cm		kg	kg	kg	kg*m	kg*m	kg*m			
0	1	589	186	-208	-7	0	391	--	--	6

X	cls	Nr	Vyr	Vzr	Mry	Mrz	MTrd	SF_V.	SF_M	SF_Mt	SF
cm		kg	kg	kg	kg*m	kg*m	kg*m				
0	1	128965	38983	41019	11895	2692	290	>100	6.7	40	6.7

Asta: 506 [1386,1385] Sez. G: UPN 260 L=180.0 cm Crit.: Acciaio_Flessione $\gamma M=1.05$ fyk/ $\gamma M=2619$ kg/cm² ft=4300 kg/cm² :**Verificato**

X	cls	N	TY	TZ	MT	MY	MZ	My4	Mz4	Comb.
cm		kg	kg	kg	kg*m	kg*m	kg*m			
0	1	157	139	-208	-0	0	355	--	--	6

X	cls	Nr	Vyr	Vzr	Mry	Mrz	MTrd	SF_V.	SF_M	SF_Mt	SF
cm		kg	kg	kg	kg*m	kg*m	kg*m				
0	1	128965	39351	41406	11895	2692	290	>100	7.5	>100	7.5

Asta: 507 [1387,1386] Sez. G: UPN 260 L=180.0 cm Crit.: Acciaio_Flessione $\gamma M=1.05$ fyk/ $\gamma M=2619$ kg/cm² ft=4300 kg/cm² :**Verificato**

X	cls	N	TY	TZ	MT	MY	MZ	My4	Mz4	Comb.
cm		kg	kg	kg	kg*m	kg*m	kg*m			
0	1	924	143	-106	0	0	356	--	--	12

X	cls	Nr	Vyr	Vzr	Mry	Mrz	MTrd	SF_V.	SF_M	SF_Mt	SF
cm		kg	kg	kg	kg*m	kg*m	kg*m				
0	1	128965	39365	41421	11895	2692	290	>100	7.2	>100	7.2

Asta: 508 [1388,1387] Sez. G: UPN 260 L=180.0 cm Crit.: Acciaio_Flessione $\gamma M=1.05$ fyk/ $\gamma M=2619$ kg/cm² ft=4300 kg/cm² :**Verificato**

X	cls	N	TY	TZ	MT	MY	MZ	My4	Mz4	Comb.
cm		kg	kg	kg	kg*m	kg*m	kg*m			
0	1	463	127	-106	3	0	341	--	--	12

X	cls	Nr	Vyr	Vzr	Mry	Mrz	MTrd	SF_V.	SF_M	SF_Mt	SF
cm		kg	kg	kg	kg*m	kg*m	kg*m				
0	1	128965	39193	41240	11895	2692	290	>100	7.7	86	7.7

Asta: 509 [1389,1388] Sez. G: UPN 260 L=180.0 cm Crit.: Acciaio_Flessione $\gamma M=1.05$ fyk/ $\gamma M=2619$ kg/cm² ft=4300 kg/cm² :**Verificato**

X	cls	N	TY	TZ	MT	MY	MZ	My4	Mz4	Comb.
cm		kg	kg	kg	kg*m	kg*m	kg*m			
0	1	875	147	-208	-5	0	359	--	--	6

X	cls	Nr	Vyr	Vzr	Mry	Mrz	MTrd	SF_V.	SF_M	SF_Mt	SF
cm		kg	kg	kg	kg*m	kg*m	kg*m				
0	1	128965	39108	41150	11895	2692	290	>100	7.1	59	7.1

Asta: 510 [1390,1389] Sez. G: UPN 260 L=180.0 cm Crit.: Acciaio_Flessione $\gamma M=1.05$ fyk/ $\gamma M=2619$ kg/cm² ft=4300 kg/cm² :**Verificato**

X	cls	N	TY	TZ	MT	MY	MZ	My4	Mz4	Comb.
cm		kg	kg	kg	kg*m	kg*m	kg*m			
0	1	480	120	-208	-0	0	337	--	--	6

X	cls	Nr	Vyr	Vzr	Mry	Mrz	MTrd	SF_V.	SF_M	SF_Mt	SF
cm		kg	kg	kg	kg*m	kg*m	kg*m				
0	1	128965	39355	41410	11895	2692	290	>100	7.8	>100	7.8

Asta: 511 [1391,1390] Sez. G: UPN 260 L=180.0 cm Crit.: Acciaio_Flessione $\gamma M=1.05$ fyk/ $\gamma M=2619$ kg/cm² ft=4300 kg/cm² :**Verificato**

X	cls	N	TY	TZ	MT	MY	MZ	My4	Mz4	Comb.
cm		kg	kg	kg	kg*m	kg*m	kg*m			
0	1	594	124	-106	0	0	338	--	--	12

X	cls	Nr	Vyr	Vzr	Mry	Mrz	MTrd	SF_V.	SF_M	SF_Mt	SF
cm		kg	kg	kg	kg*m	kg*m	kg*m				

X	cls	Nr	Vyr	Vzr	Mry	Mrz	MTrd	SF_V.	SF_M	SF_Mt	SF
0	1	128965	39365	41421	11895	2692	290	>100	7.7	>100	7.7

Asta: 512 [1392,1391] Sez. G: UPN 260 L=180.0 cm Crit.: Acciaio_Flessione $\gamma M=1.05$ fyk/ $\gamma M=2619$ kg/cmq ft=4300 kg/cmq :Verificato

X	cls	N	TY	TZ	MT	MY	MZ	My4	Mz4	Comb.
cm		kg	kg	kg	kg*m	kg*m	kg*m			
0	1	170	88	-106	5	0	303	--	--	12

X	cls	Nr	Vyr	Vzr	Mry	Mrz	MTrd	SF_V.	SF_M	SF_Mt	SF
cm		kg	kg	kg	kg*m	kg*m	kg*m				
0	1	128965	39082	41123	11895	2692	290	>100	8.8	54	8.8

Asta: 513 [1393,1392] Sez. G: UPN 260 L=180.0 cm Crit.: Acciaio_Flessione $\gamma M=1.05$ fyk/ $\gamma M=2619$ kg/cmq ft=4300 kg/cmq :Verificato

X	cls	N	TY	TZ	MT	MY	MZ	My4	Mz4	Comb.
cm		kg	kg	kg	kg*m	kg*m	kg*m			
0	1	397	176	-208	-7	0	381	--	--	6

X	cls	Nr	Vyr	Vzr	Mry	Mrz	MTrd	SF_V.	SF_M	SF_Mt	SF
cm		kg	kg	kg	kg*m	kg*m	kg*m				
0	1	128965	38985	41021	11895	2692	290	>100	6.9	40	6.9

Asta: 514 [1394,1393] Sez. G: UPN 260 L=180.0 cm Crit.: Acciaio_Flessione $\gamma M=1.05$ fyk/ $\gamma M=2619$ kg/cmq ft=4300 kg/cmq :Verificato

X	cls	N	TY	TZ	MT	MY	MZ	My4	Mz4	Comb.
cm		kg	kg	kg	kg*m	kg*m	kg*m			
0	1	40	128	-208	-0	0	344	--	--	6

X	cls	Nr	Vyr	Vzr	Mry	Mrz	MTrd	SF_V.	SF_M	SF_Mt	SF
cm		kg	kg	kg	kg*m	kg*m	kg*m				
0	1	128965	39353	41408	11895	2692	290	>100	7.8	>100	7.8

Asta: 515 [1395,1394] Sez. G: UPN 260 L=180.0 cm Crit.: Acciaio_Flessione $\gamma M=1.05$ fyk/ $\gamma M=2619$ kg/cmq ft=4300 kg/cmq :Verificato

X	cls	N	TY	TZ	MT	MY	MZ	My4	Mz4	Comb.
cm		kg	kg	kg	kg*m	kg*m	kg*m			
0	1	380	130	-106	0	0	344	--	--	12

X	cls	Nr	Vyr	Vzr	Mry	Mrz	MTrd	SF_V.	SF_M	SF_Mt	SF
cm		kg	kg	kg	kg*m	kg*m	kg*m				
0	1	128965	39363	41419	11895	2692	290	>100	7.7	>100	7.7

Asta: 516 [1396,1395] Sez. G: UPN 260 L=180.0 cm Crit.: Acciaio_Flessione $\gamma M=1.05$ fyk/ $\gamma M=2619$ kg/cmq ft=4300 kg/cmq :Verificato

X	cls	N	TY	TZ	MT	MY	MZ	My4	Mz4	Comb.
cm		kg	kg	kg	kg*m	kg*m	kg*m			
0	1	-55	93	-106	6	0	308	--	--	12

X	cls	Nr	Vyr	Vzr	Mry	Mrz	MTrd	SF_V.	SF_M	SF_Mt	SF
cm		kg	kg	kg	kg*m	kg*m	kg*m				
0	1	128965	39074	41115	11895	2692	290	>100	8.7	52	8.7

Asta: 517 [1397,1396] Sez. G: UPN 260 L=180.0 cm Crit.: Acciaio_Flessione $\gamma M=1.05$ fyk/ $\gamma M=2619$ kg/cmq ft=4300 kg/cmq :Verificato

X	cls	N	TY	TZ	MT	MY	MZ	My4	Mz4	Comb.
cm		kg	kg	kg	kg*m	kg*m	kg*m			
0	1	298	178	-208	-7	0	383	--	--	6

X	cls	Nr	Vyr	Vzr	Mry	Mrz	MTrd	SF_V.	SF_M	SF_Mt	SF
cm		kg	kg	kg	kg*m	kg*m	kg*m				
0	1	128965	38982	41018	11895	2692	290	>100	6.9	40	6.9

Asta: 518 [1398,1397] Sez. G: UPN 260 L=180.0 cm Crit.: Acciaio_Flessione $\gamma M=1.05$ fyk/ $\gamma M=2619$ kg/cmq ft=4300 kg/cmq :Verificato

X	cls	N	TY	TZ	MT	MY	MZ	My4	Mz4	Comb.
cm		kg	kg	kg	kg*m	kg*m	kg*m			
0	1	-78	129	-208	-0	0	345	--	--	6

X	cls	Nr	Vyr	Vzr	Mry	Mrz	MTrd	SF_V.	SF_M	SF_Mt	SF
cm		kg	kg	kg	kg*m	kg*m	kg*m				
0	1	128965	39354	41410	11895	2692	290	>100	7.8	>100	7.8

Asta: 519 [1399,1398] Sez. G: UPN 260 L=180.0 cm Crit.: Acciaio_Flessione $\gamma M=1.05$ fyk/ $\gamma M=2619$ kg/cm² ft=4300 kg/cm² :**Verificato**

X	cls	N	TY	TZ	MT	MY	MZ	My4	Mz4	Comb.
cm		kg	kg	kg	kg*m	kg*m	kg*m			
0	1	322	133	-106	-0	0	347	--	--	12

X	cls	Nr	Vyr	Vzr	Mry	Mrz	MTrd	SF_V.	SF_M	SF_Mt	SF
cm		kg	kg	kg	kg*m	kg*m	kg*m				
0	1	128965	39373	41429	11895	2692	290	>100	7.6	>100	7.6

Asta: 520 [1400,1399] Sez. G: UPN 260 L=180.0 cm Crit.: Acciaio_Flessione $\gamma M=1.05$ fyk/ $\gamma M=2619$ kg/cm² ft=4300 kg/cm² :**Verificato**

X	cls	N	TY	TZ	MT	MY	MZ	My4	Mz4	Comb.
cm		kg	kg	kg	kg*m	kg*m	kg*m			
0	1	-129	95	-119	5	0	309	--	--	12

X	cls	Nr	Vyr	Vzr	Mry	Mrz	MTrd	SF_V.	SF_M	SF_Mt	SF
cm		kg	kg	kg	kg*m	kg*m	kg*m				
0	1	128965	39078	41119	11895	2692	290	>100	8.6	53	8.6

Asta: 521 [1401,1400] Sez. G: UPN 260 L=180.0 cm Crit.: Acciaio_Flessione $\gamma M=1.05$ fyk/ $\gamma M=2619$ kg/cm² ft=4300 kg/cm² :**Verificato**

X	cls	N	TY	TZ	MT	MY	MZ	My4	Mz4	Comb.
cm		kg	kg	kg	kg*m	kg*m	kg*m			
0	1	250	179	-222	-8	0	385	--	--	6

X	cls	Nr	Vyr	Vzr	Mry	Mrz	MTrd	SF_V.	SF_M	SF_Mt	SF
cm		kg	kg	kg	kg*m	kg*m	kg*m				
0	1	128965	38956	40990	11895	2692	290	>100	6.9	38	6.9

Asta: 522 [1402,1401] Sez. G: UPN 260 L=180.0 cm Crit.: Acciaio_Flessione $\gamma M=1.05$ fyk/ $\gamma M=2619$ kg/cm² ft=4300 kg/cm² :**Verificato**

X	cls	N	TY	TZ	MT	MY	MZ	My4	Mz4	Comb.
cm		kg	kg	kg	kg*m	kg*m	kg*m			
0	1	-144	126	-222	0	0	343	--	--	6

X	cls	Nr	Vyr	Vzr	Mry	Mrz	MTrd	SF_V.	SF_M	SF_Mt	SF
cm		kg	kg	kg	kg*m	kg*m	kg*m				
0	1	128965	39366	41422	11895	2692	290	>100	7.8	>100	7.8

Asta: 523 [1403,1402] Sez. G: UPN 260 L=180.0 cm Crit.: Acciaio_Flessione $\gamma M=1.05$ fyk/ $\gamma M=2619$ kg/cm² ft=4300 kg/cm² :**Verificato**

X	cls	N	TY	TZ	MT	MY	MZ	My4	Mz4	Comb.
cm		kg	kg	kg	kg*m	kg*m	kg*m			
0	1	185	120	-104	3	21	336	--	--	12

X	cls	Nr	Vyr	Vzr	Mry	Mrz	MTrd	SF_V.	SF_M	SF_Mt	SF
cm		kg	kg	kg	kg*m	kg*m	kg*m				
0	1	128965	39205	41253	11895	2692	290	>100	7.8	92	7.8

Asta: 524 [1404,1403] Sez. G: UPN 260 L=180.0 cm Crit.: Acciaio_Flessione $\gamma M=1.05$ fyk/ $\gamma M=2619$ kg/cm² ft=4300 kg/cm² :**Verificato**

X	cls	N	TY	TZ	MT	MY	MZ	My4	Mz4	Comb.
cm		kg	kg	kg	kg*m	kg*m	kg*m			
0	1	-256	139	-521	0	606	351	--	--	6

X	cls	Nr	Vyr	Vzr	Mry	Mrz	MTrd	SF_V.	SF_M	SF_Mt	SF
cm		kg	kg	kg	kg*m	kg*m	kg*m				

X	cls	Nr	Vyr	Vzr	Mry	Mrz	MTrd	SF_V.	SF_M	SF_Mt	SF
0	1	128965	39370	41426	11895	2692	290	80	5.5	>100	5.5

Asta: 525 [1405,1404] Sez. G: UPN 260 L=200.0 cm Crit.: Acciaio_Flessione $\gamma M=1.05$ fyk/ $\gamma M=2619$ kg/cm² ft=4300 kg/cm² :**Verificato**

X	cls	N	TY	TZ	MT	MY	MZ	My4	Mz4	Comb.
cm		kg	kg	kg	kg*m	kg*m	kg*m			
200	1	-160	24	515	4	598	175	--	--	6

X	cls	Nr	Vyr	Vzr	Mry	Mrz	MTrd	SF_V.	SF_M	SF_Mt	SF
cm		kg	kg	kg	kg*m	kg*m	kg*m				
200	1	128965	39140	41184	11895	2692	290	80	8.6	67	8.6

Asta: 526 [1193,1236] Sez. G: UPN 260 L=150.0 cm Crit.: Acciaio_Flessione $\gamma M=1.05$ fyk/ $\gamma M=2619$ kg/cm² ft=4300 kg/cm² :**Verificato**

X	cls	N	TY	TZ	MT	MY	MZ	My4	Mz4	Comb.
cm		kg	kg	kg	kg*m	kg*m	kg*m			
150	1	487	-91	877	-12	1896	325	--	--	6

X	cls	Nr	Vyr	Vzr	Mry	Mrz	MTrd	SF_V.	SF_M	SF_Mt	SF
cm		kg	kg	kg	kg*m	kg*m	kg*m				
150	1	128965	38725	40747	11895	2692	290	46	3.5	24	3.5

Asta: 526 [1150,1193] Sez. G: UPN 260 L=150.0 cm Crit.: Acciaio_Flessione $\gamma M=1.05$ fyk/ $\gamma M=2619$ kg/cm² ft=4300 kg/cm² :**Verificato**

X	cls	N	TY	TZ	MT	MY	MZ	My4	Mz4	Comb.
cm		kg	kg	kg	kg*m	kg*m	kg*m			
150	1	696	19	326	0	637	211	--	--	6

X	cls	Nr	Vyr	Vzr	Mry	Mrz	MTrd	SF_V.	SF_M	SF_Mt	SF
cm		kg	kg	kg	kg*m	kg*m	kg*m				
150	1	128965	39368	41424	11895	2692	290	>100	7.3	>100	7.3

Asta: 526 [1109,1150] Sez. G: UPN 260 L=150.0 cm Crit.: Acciaio_Flessione $\gamma M=1.05$ fyk/ $\gamma M=2619$ kg/cm² ft=4300 kg/cm² :**Verificato**

X	cls	N	TY	TZ	MT	MY	MZ	My4	Mz4	Comb.
cm		kg	kg	kg	kg*m	kg*m	kg*m			
150	1	895	-91	-225	12	204	263	--	--	6

X	cls	Nr	Vyr	Vzr	Mry	Mrz	MTrd	SF_V.	SF_M	SF_Mt	SF
cm		kg	kg	kg	kg*m	kg*m	kg*m				
150	1	128965	38708	40730	11895	2692	290	>100	8.2	24	8.2

Asta: 526 [1236,1277] Sez. G: UPN 260 L=134.0 cm Crit.: Acciaio_Flessione $\gamma M=1.05$ fyk/ $\gamma M=2619$ kg/cm² ft=4300 kg/cm² :**Verificato**

X	cls	N	TY	TZ	MT	MY	MZ	My4	Mz4	Comb.
cm		kg	kg	kg	kg*m	kg*m	kg*m			
0	1	528	-54	-1122	22	2211	76	--	--	2

X	cls	Nr	Vyr	Vzr	Mry	Mrz	MTrd	SF_V.	SF_M	SF_Mt	SF
cm		kg	kg	kg	kg*m	kg*m	kg*m				
0	1	128965	38150	40143	11895	2692	290	36	4.6	13	4.6

Asta: 526 [1277,1320] Sez. G: UPN 260 L=134.0 cm Crit.: Acciaio_Flessione $\gamma M=1.05$ fyk/ $\gamma M=2619$ kg/cm² ft=4300 kg/cm² :**Verificato**

X	cls	N	TY	TZ	MT	MY	MZ	My4	Mz4	Comb.
cm		kg	kg	kg	kg*m	kg*m	kg*m			
0	1	769	-35	-495	9	581	227	--	--	6

X	cls	Nr	Vyr	Vzr	Mry	Mrz	MTrd	SF_V.	SF_M	SF_Mt	SF
cm		kg	kg	kg	kg*m	kg*m	kg*m				
0	1	128965	38899	40930	11895	2692	290	83	7.2	33	7.2

Asta: 526 [1320,1363] Sez. G: UPN 260 L=119.0 cm Crit.: Acciaio_Flessione $\gamma M=1.05$ fyk/ $\gamma M=2619$ kg/cm² ft=4300 kg/cm² :**Verificato**

X	cls	N	TY	TZ	MT	MY	MZ	My4	Mz4	Comb.
cm		kg	kg	kg	kg*m	kg*m	kg*m			
0	1	484	198	44	-3	-82	249	--	--	12

X	cls	Nr	Vyr	Vzr	Mry	Mrz	MTrd	SF_V.	SF_M	SF_Mt	SF
cm		kg	kg	kg	kg*m	kg*m	kg*m				
0	1	128965	39236	41285	11895	2692	290	>100	9.7	>100	9.7

Asta: 526 [1066,1109] Sez. G: UPN 260 L=125.0 cm Crit.: Acciaio_Flessione $\gamma M=1.05$ fyk/ $\gamma M=2619$ kg/cmq ft=4300 kg/cmq :**Verificato**

X	cls	N	TY	TZ	MT	MY	MZ	My4	Mz4	Comb.
cm		kg	kg	kg	kg*m	kg*m	kg*m			
125	1	431	-61	503	-10	604	313	--	--	6

X	cls	Nr	Vyr	Vzr	Mry	Mrz	MTrd	SF_V.	SF_M	SF_Mt	SF
cm		kg	kg	kg	kg*m	kg*m	kg*m				
125	1	128965	38852	40881	11895	2692	290	81	5.9	30	5.9

Asta: 526 [1023,1066] Sez. G: UPN 260 L=125.0 cm Crit.: Acciaio_Flessione $\gamma M=1.05$ fyk/ $\gamma M=2619$ kg/cmq ft=4300 kg/cmq :**Verificato**

X	cls	N	TY	TZ	MT	MY	MZ	My4	Mz4	Comb.
cm		kg	kg	kg	kg*m	kg*m	kg*m			
125	1	368	-200	46	0	19	255	--	--	12

X	cls	Nr	Vyr	Vzr	Mry	Mrz	MTrd	SF_V.	SF_M	SF_Mt	SF
cm		kg	kg	kg	kg*m	kg*m	kg*m				
125	1	128965	39356	41412	11895	2692	290	>100	10	>100	10

Asta: 527 [1235,1276] Sez. G: UPN 260 L=150.0 cm Crit.: Acciaio_Flessione $\gamma M=1.05$ fyk/ $\gamma M=2619$ kg/cmq ft=4300 kg/cmq :**Verificato**

X	cls	N	TY	TZ	MT	MY	MZ	My4	Mz4	Comb.
cm		kg	kg	kg	kg*m	kg*m	kg*m			
150	1	-258	56	873	-12	1878	74	--	--	2

X	cls	Nr	Vyr	Vzr	Mry	Mrz	MTrd	SF_V.	SF_M	SF_Mt	SF
cm		kg	kg	kg	kg*m	kg*m	kg*m				
150	1	128965	38697	40718	11895	2692	290	47	5.3	23	5.3

Asta: 527 [1192,1235] Sez. G: UPN 260 L=150.0 cm Crit.: Acciaio_Flessione $\gamma M=1.05$ fyk/ $\gamma M=2619$ kg/cmq ft=4300 kg/cmq :**Verificato**

X	cls	N	TY	TZ	MT	MY	MZ	My4	Mz4	Comb.
cm		kg	kg	kg	kg*m	kg*m	kg*m			
150	1	-253	-27	236	-0	464	246	--	--	6

X	cls	Nr	Vyr	Vzr	Mry	Mrz	MTrd	SF_V.	SF_M	SF_Mt	SF
cm		kg	kg	kg	kg*m	kg*m	kg*m				
150	1	128965	39357	41412	11895	2692	290	>100	7.6	>100	7.6

Asta: 527 [1149,1192] Sez. G: UPN 260 L=150.0 cm Crit.: Acciaio_Flessione $\gamma M=1.05$ fyk/ $\gamma M=2619$ kg/cmq ft=4300 kg/cmq :**Verificato**

X	cls	N	TY	TZ	MT	MY	MZ	My4	Mz4	Comb.
cm		kg	kg	kg	kg*m	kg*m	kg*m			
0	1	-83	89	-390	11	694	324	--	--	6

X	cls	Nr	Vyr	Vzr	Mry	Mrz	MTrd	SF_V.	SF_M	SF_Mt	SF
cm		kg	kg	kg	kg*m	kg*m	kg*m				
0	1	128965	38770	40795	11895	2692	290	>100	5.6	26	5.6

Asta: 527 [1276,1319] Sez. G: UPN 260 L=134.0 cm Crit.: Acciaio_Flessione $\gamma M=1.05$ fyk/ $\gamma M=2619$ kg/cmq ft=4300 kg/cmq :**Verificato**

X	cls	N	TY	TZ	MT	MY	MZ	My4	Mz4	Comb.
cm		kg	kg	kg	kg*m	kg*m	kg*m			
0	1	-56	103	-879	19	1599	332	--	--	6

X	cls	Nr	Vyr	Vzr	Mry	Mrz	MTrd	SF_V.	SF_M	SF_Mt	SF
cm		kg	kg	kg	kg*m	kg*m	kg*m				

X	cls	Nr	Vyr	Vzr	Mry	Mrz	MTrd	SF_V.	SF_M	SF_Mt	SF
0	1	128965	38350	40353	11895	2692	290	46	3.9	16	3.9

Asta: 527 [1319,1362] Sez. G: UPN 260 L=134.0 cm Crit.: Acciaio_Flessione $\gamma M=1.05$ fyk/ $\gamma M=2619$ kg/cm² ft=4300 kg/cm² :**Verificato**

X	cls	N	TY	TZ	MT	MY	MZ	My4	Mz4	Comb.
cm		kg	kg	kg	kg*m	kg*m	kg*m			
0	1	-184	-2	-419	9	465	211	--	--	6

X	cls	Nr	Vyr	Vzr	Mry	Mrz	MTrd	SF_V.	SF_M	SF_Mt	SF
cm		kg	kg	kg	kg*m	kg*m	kg*m				
0	1	128965	38871	40901	11895	2692	290	98	8.4	31	8.4

Asta: 527 [1362,1405] Sez. G: UPN 260 L=119.0 cm Crit.: Acciaio_Flessione $\gamma M=1.05$ fyk/ $\gamma M=2619$ kg/cm² ft=4300 kg/cm² :**Verificato**

X	cls	N	TY	TZ	MT	MY	MZ	My4	Mz4	Comb.
cm		kg	kg	kg	kg*m	kg*m	kg*m			
0	1	-133	-7	57	0	-96	229	--	--	12

X	cls	Nr	Vyr	Vzr	Mry	Mrz	MTrd	SF_V.	SF_M	SF_Mt	SF
cm		kg	kg	kg	kg*m	kg*m	kg*m				
0	1	128965	39366	41421	11895	2692	290	>100	11	>100	11

Asta: 527 [1108,1149] Sez. G: UPN 260 L=125.0 cm Crit.: Acciaio_Flessione $\gamma M=1.05$ fyk/ $\gamma M=2619$ kg/cm² ft=4300 kg/cm² :**Verificato**

X	cls	N	TY	TZ	MT	MY	MZ	My4	Mz4	Comb.
cm		kg	kg	kg	kg*m	kg*m	kg*m			
125	1	-531	98	542	-6	700	120	--	--	6

X	cls	Nr	Vyr	Vzr	Mry	Mrz	MTrd	SF_V.	SF_M	SF_Mt	SF
cm		kg	kg	kg	kg*m	kg*m	kg*m				
125	1	128965	39023	41061	11895	2692	290	76	9.3	45	9.3

Asta: 527 [1065,1108] Sez. G: UPN 260 L=125.0 cm Crit.: Acciaio_Flessione $\gamma M=1.05$ fyk/ $\gamma M=2619$ kg/cm² ft=4300 kg/cm² :**Verificato**

X	cls	N	TY	TZ	MT	MY	MZ	My4	Mz4	Comb.
cm		kg	kg	kg	kg*m	kg*m	kg*m			
0	1	-263	25	17	3	1	260	--	--	6

X	cls	Nr	Vyr	Vzr	Mry	Mrz	MTrd	SF_V.	SF_M	SF_Mt	SF
cm		kg	kg	kg	kg*m	kg*m	kg*m				
0	1	128965	39198	41245	11895	2692	290	>100	10	88	10

Asta: 600 [1023,1067] Sez. G: D20 L=235.9 cm Crit.: Acciaio_Tirante $\gamma M=1.05$ fyk/ $\gamma M=2619$ kg/cm² ft=4300 kg/cm² :**Verificato**

X	cls	N	TY	TZ	MT	MY	MZ	My4	Mz4	Comb.
cm		kg	kg	kg	kg*m	kg*m	kg*m			
0	1	-361	--	--	--	--	--	--	--	(20+21)-VII-5

X	cls	Nr	Vyr	Vzr	Mry	Mrz	MTrd	SF_V.	SF_M	SF_Mt	SF
cm		kg	kg	kg	kg*m	kg*m	kg*m				
0	1	8228	--	--	--	--	--	>100	23	>100	23

Asta: 601 [1066,1024] Sez. G: D20 L=235.9 cm Crit.: Acciaio_Tirante $\gamma M=1.05$ fyk/ $\gamma M=2619$ kg/cm² ft=4300 kg/cm² :**Verificato**

X	cls	N	TY	TZ	MT	MY	MZ	My4	Mz4	Comb.
cm		kg	kg	kg	kg*m	kg*m	kg*m			
0	1	322	--	--	--	--	--	--	--	(20+21)-VII-5

X	cls	Nr	Vyr	Vzr	Mry	Mrz	MTrd	SF_V.	SF_M	SF_Mt	SF
cm		kg	kg	kg	kg*m	kg*m	kg*m				
0	1	8228	--	--	--	--	--	>100	26	>100	26

Asta: 602 [1024,1068] Sez. G: D20 L=219.2 cm Crit.: Acciaio_Tirante $\gamma M=1.05$ fyk/ $\gamma M=2619$ kg/cm² ft=4300 kg/cm² :**Verificato**

X	cls	N	TY	TZ	MT	MY	MZ	My4	Mz4	Comb.
cm		kg	kg	kg	kg*m	kg*m	kg*m			
0	1	-646	--	--	--	--	--	--	--	(20+21)-IV-2

X	cls	Nr	Vyr	Vzr	Mry	Mrz	MTrd	SF_V.	SF_M	SF_Mt	SF
cm		kg	kg	kg	kg*m	kg*m	kg*m				
0	1	8228	--	--	--	--	--	>100	13	>100	13

Asta: 603 [1068,1026] Sez. G: D20 L=219.2 cm Crit.: Acciaio_Tirante $\gamma M=1.05$ fyk/ $\gamma M=2619$ kg/cm² ft=4300 kg/cm² :**Verificato**

X	cls	N	TY	TZ	MT	MY	MZ	My4	Mz4	Comb.
cm		kg	kg	kg	kg*m	kg*m	kg*m			
0	1	500	--	--	--	--	--	--	--	12

X	cls	Nr	Vyr	Vzr	Mry	Mrz	MTrd	SF_V.	SF_M	SF_Mt	SF
cm		kg	kg	kg	kg*m	kg*m	kg*m				
0	1	8228	--	--	--	--	--	>100	16	>100	16

Asta: 604 [1364,1322] Sez. G: D20 L=215.8 cm Crit.: Acciaio_Tirante $\gamma M=1.05$ fyk/ $\gamma M=2619$ kg/cm² ft=4300 kg/cm² :**Verificato**

X	cls	N	TY	TZ	MT	MY	MZ	My4	Mz4	Comb.
cm		kg	kg	kg	kg*m	kg*m	kg*m			
216	1	-561	--	--	--	--	--	--	--	(20+21)-VIII-5

X	cls	Nr	Vyr	Vzr	Mry	Mrz	MTrd	SF_V.	SF_M	SF_Mt	SF
cm		kg	kg	kg	kg*m	kg*m	kg*m				
216	1	8228	--	--	--	--	--	>100	15	>100	15

Asta: 605 [1363,1321] Sez. G: D20 L=232.7 cm Crit.: Acciaio_Tirante $\gamma M=1.05$ fyk/ $\gamma M=2619$ kg/cm² ft=4300 kg/cm² :**Verificato**

X	cls	N	TY	TZ	MT	MY	MZ	My4	Mz4	Comb.
cm		kg	kg	kg	kg*m	kg*m	kg*m			
233	1	-573	--	--	--	--	--	--	--	12

X	cls	Nr	Vyr	Vzr	Mry	Mrz	MTrd	SF_V.	SF_M	SF_Mt	SF
cm		kg	kg	kg	kg*m	kg*m	kg*m				
233	1	8228	--	--	--	--	--	>100	14	>100	14

Asta: 606 [1322,1366] Sez. G: D20 L=215.8 cm Crit.: Acciaio_Tirante $\gamma M=1.05$ fyk/ $\gamma M=2619$ kg/cm² ft=4300 kg/cm² :**Verificato**

X	cls	N	TY	TZ	MT	MY	MZ	My4	Mz4	Comb.
cm		kg	kg	kg	kg*m	kg*m	kg*m			
216	1	440	--	--	--	--	--	--	--	(20+21)-VIII-1

X	cls	Nr	Vyr	Vzr	Mry	Mrz	MTrd	SF_V.	SF_M	SF_Mt	SF
cm		kg	kg	kg	kg*m	kg*m	kg*m				
216	1	8228	--	--	--	--	--	>100	19	>100	19

Asta: 607 [1320,1364] Sez. G: D20 L=232.7 cm Crit.: Acciaio_Tirante $\gamma M=1.05$ fyk/ $\gamma M=2619$ kg/cm² ft=4300 kg/cm² :**Verificato**

X	cls	N	TY	TZ	MT	MY	MZ	My4	Mz4	Comb.
cm		kg	kg	kg	kg*m	kg*m	kg*m			
233	1	473	--	--	--	--	--	--	--	6

X	cls	Nr	Vyr	Vzr	Mry	Mrz	MTrd	SF_V.	SF_M	SF_Mt	SF
cm		kg	kg	kg	kg*m	kg*m	kg*m				
233	1	8228	--	--	--	--	--	>100	17	>100	17

Asta: 608 [1070,1028] Sez. G: D20 L=219.2 cm Crit.: Acciaio_Tirante $\gamma M=1.05$ fyk/ $\gamma M=2619$ kg/cm² ft=4300 kg/cm² :**Verificato**

X	cls	N	TY	TZ	MT	MY	MZ	My4	Mz4	Comb.
cm		kg	kg	kg	kg*m	kg*m	kg*m			
0	1	513	--	--	--	--	--	--	--	6

X	cls	Nr	Vyr	Vzr	Mry	Mrz	MTrd	SF_V.	SF_M	SF_Mt	SF
cm		kg	kg	kg	kg*m	kg*m	kg*m				

X	cls	Nr	Vyr	Vzr	Mry	Mrz	MTrd	SF_V.	SF_M	SF_Mt	SF
0	1	8228	--	--	--	--	--	>100	16	>100	16

Asta: 609 [1026,1070] Sez. G: D20 L=219.2 cm Crit.: Acciaio_Tirante $\gamma_M=1.05$ fyk/ $\gamma_M=2619$ kg/cmq ft=4300 kg/cmq :**Verificato**

X	cls	N	TY	TZ	MT	MY	MZ	My4	Mz4	Comb.
cm		kg	kg	kg	kg*m	kg*m	kg*m			
0	1	-508	--	--	--	--	--	--	--	12

X	cls	Nr	Vyr	Vzr	Mry	Mrz	MTrd	SF_V.	SF_M	SF_Mt	SF
cm		kg	kg	kg	kg*m	kg*m	kg*m				
0	1	8228	--	--	--	--	--	>100	16	>100	16

Asta: 610 [1324,1368] Sez. G: D20 L=215.8 cm Crit.: Acciaio_Tirante $\gamma_M=1.05$ fyk/ $\gamma_M=2619$ kg/cmq ft=4300 kg/cmq :**Verificato**

X	cls	N	TY	TZ	MT	MY	MZ	My4	Mz4	Comb.
cm		kg	kg	kg	kg*m	kg*m	kg*m			
216	1	484	--	--	--	--	--	--	--	12

X	cls	Nr	Vyr	Vzr	Mry	Mrz	MTrd	SF_V.	SF_M	SF_Mt	SF
cm		kg	kg	kg	kg*m	kg*m	kg*m				
216	1	8228	--	--	--	--	--	>100	17	>100	17

Asta: 611 [1366,1324] Sez. G: D20 L=215.8 cm Crit.: Acciaio_Tirante $\gamma_M=1.05$ fyk/ $\gamma_M=2619$ kg/cmq ft=4300 kg/cmq :**Verificato**

X	cls	N	TY	TZ	MT	MY	MZ	My4	Mz4	Comb.
cm		kg	kg	kg	kg*m	kg*m	kg*m			
216	1	-428	--	--	--	--	--	--	--	12

X	cls	Nr	Vyr	Vzr	Mry	Mrz	MTrd	SF_V.	SF_M	SF_Mt	SF
cm		kg	kg	kg	kg*m	kg*m	kg*m				
216	1	8228	--	--	--	--	--	>100	19	>100	19

Asta: 612 [1023,1024] Sez. G: UPN 260 L=200.0 cm Crit.: Acciaio_Flessione $\gamma_M=1.05$ fyk/ $\gamma_M=2619$ kg/cmq ft=4300 kg/cmq :**Verificato**

X	cls	N	TY	TZ	MT	MY	MZ	My4	Mz4	Comb.
cm		kg	kg	kg	kg*m	kg*m	kg*m			
200	1	93	-192	504	1	527	384	--	--	6

X	cls	Nr	Vyr	Vzr	Mry	Mrz	MTrd	SF_V.	SF_M	SF_Mt	SF
cm		kg	kg	kg	kg*m	kg*m	kg*m				
200	1	128965	39298	41351	11895	2692	290	82	5.3	>100	5.3

Asta: 613 [1028,1072] Sez. G: D20 L=219.2 cm Crit.: Acciaio_Tirante $\gamma_M=1.05$ fyk/ $\gamma_M=2619$ kg/cmq ft=4300 kg/cmq :**Verificato**

X	cls	N	TY	TZ	MT	MY	MZ	My4	Mz4	Comb.
cm		kg	kg	kg	kg*m	kg*m	kg*m			
0	1	-514	--	--	--	--	--	--	--	(20+21)-IV-6

X	cls	Nr	Vyr	Vzr	Mry	Mrz	MTrd	SF_V.	SF_M	SF_Mt	SF
cm		kg	kg	kg	kg*m	kg*m	kg*m				
0	1	8228	--	--	--	--	--	>100	16	>100	16

Asta: 614 [1326,1370] Sez. G: D20 L=215.8 cm Crit.: Acciaio_Tirante $\gamma_M=1.05$ fyk/ $\gamma_M=2619$ kg/cmq ft=4300 kg/cmq :**Verificato**

X	cls	N	TY	TZ	MT	MY	MZ	My4	Mz4	Comb.
cm		kg	kg	kg	kg*m	kg*m	kg*m			
216	1	482	--	--	--	--	--	--	--	6

X	cls	Nr	Vyr	Vzr	Mry	Mrz	MTrd	SF_V.	SF_M	SF_Mt	SF
cm		kg	kg	kg	kg*m	kg*m	kg*m				
216	1	8228	--	--	--	--	--	>100	17	>100	17

Asta: 615 [1368,1326] Sez. G: D20 L=215.8 cm Crit.: Acciaio_Tirante $\gamma_M=1.05$ fyk/ $\gamma_M=2619$ kg/cmq ft=4300 kg/cmq :**Verificato**

X	cls	N	TY	TZ	MT	MY	MZ	My4	Mz4	Comb.
cm		kg	kg	kg	kg*m	kg*m	kg*m			
216	1	-492	--	--	--	--	--	--	--	(20+21)-VIII-1

X	cls	Nr	Vyr	Vzr	Mry	Mrz	MTrd	SF_V.	SF_M	SF_Mt	SF
cm		kg	kg	kg	kg*m	kg*m	kg*m				
216	1	8228	--	--	--	--	--	>100	17	>100	17

Asta: 616 [1074,1032] Sez. G: D20 L=219.2 cm Crit.: Acciaio_Tirante $\gamma_M=1.05$ fyk/ $\gamma_M=2619$ kg/cmq ft=4300 kg/cmq :**Verificato**

X	cls	N	TY	TZ	MT	MY	MZ	My4	Mz4	Comb.
cm		kg	kg	kg	kg*m	kg*m	kg*m			
0	1	493	--	--	--	--	--	--	--	6

X	cls	Nr	Vyr	Vzr	Mry	Mrz	MTrd	SF_V.	SF_M	SF_Mt	SF
cm		kg	kg	kg	kg*m	kg*m	kg*m				
0	1	8228	--	--	--	--	--	>100	17	>100	17

Asta: 617 [1030,1074] Sez. G: D20 L=219.2 cm Crit.: Acciaio_Tirante $\gamma_M=1.05$ fyk/ $\gamma_M=2619$ kg/cmq ft=4300 kg/cmq :**Verificato**

X	cls	N	TY	TZ	MT	MY	MZ	My4	Mz4	Comb.
cm		kg	kg	kg	kg*m	kg*m	kg*m			
0	1	-484	--	--	--	--	--	--	--	6

X	cls	Nr	Vyr	Vzr	Mry	Mrz	MTrd	SF_V.	SF_M	SF_Mt	SF
cm		kg	kg	kg	kg*m	kg*m	kg*m				
0	1	8228	--	--	--	--	--	>100	17	>100	17

Asta: 618 [1328,1372] Sez. G: D20 L=215.8 cm Crit.: Acciaio_Tirante $\gamma_M=1.05$ fyk/ $\gamma_M=2619$ kg/cmq ft=4300 kg/cmq :**Verificato**

X	cls	N	TY	TZ	MT	MY	MZ	My4	Mz4	Comb.
cm		kg	kg	kg	kg*m	kg*m	kg*m			
216	1	530	--	--	--	--	--	--	--	12

X	cls	Nr	Vyr	Vzr	Mry	Mrz	MTrd	SF_V.	SF_M	SF_Mt	SF
cm		kg	kg	kg	kg*m	kg*m	kg*m				
216	1	8228	--	--	--	--	--	>100	16	>100	16

Asta: 619 [1370,1328] Sez. G: D20 L=215.8 cm Crit.: Acciaio_Tirante $\gamma_M=1.05$ fyk/ $\gamma_M=2619$ kg/cmq ft=4300 kg/cmq :**Verificato**

X	cls	N	TY	TZ	MT	MY	MZ	My4	Mz4	Comb.
cm		kg	kg	kg	kg*m	kg*m	kg*m			
216	1	-479	--	--	--	--	--	--	--	12

X	cls	Nr	Vyr	Vzr	Mry	Mrz	MTrd	SF_V.	SF_M	SF_Mt	SF
cm		kg	kg	kg	kg*m	kg*m	kg*m				
216	1	8228	--	--	--	--	--	>100	17	>100	17

Asta: 620 [1076,1034] Sez. G: D20 L=219.2 cm Crit.: Acciaio_Tirante $\gamma_M=1.05$ fyk/ $\gamma_M=2619$ kg/cmq ft=4300 kg/cmq :**Verificato**

X	cls	N	TY	TZ	MT	MY	MZ	My4	Mz4	Comb.
cm		kg	kg	kg	kg*m	kg*m	kg*m			
0	1	477	--	--	--	--	--	--	--	12

X	cls	Nr	Vyr	Vzr	Mry	Mrz	MTrd	SF_V.	SF_M	SF_Mt	SF
cm		kg	kg	kg	kg*m	kg*m	kg*m				
0	1	8228	--	--	--	--	--	>100	17	>100	17

Asta: 621 [1032,1076] Sez. G: D20 L=219.2 cm Crit.: Acciaio_Tirante $\gamma_M=1.05$ fyk/ $\gamma_M=2619$ kg/cmq ft=4300 kg/cmq :**Verificato**

X	cls	N	TY	TZ	MT	MY	MZ	My4	Mz4	Comb.
cm		kg	kg	kg	kg*m	kg*m	kg*m			
0	1	-474	--	--	--	--	--	--	--	12

X	cls	Nr	Vyr	Vzr	Mry	Mrz	MTrd	SF_V.	SF_M	SF_Mt	SF
cm		kg	kg	kg	kg*m	kg*m	kg*m				

X	cls	Nr	Vyr	Vzr	Mry	Mrz	MTrd	SF_V.	SF_M	SF_Mt	SF
0	1	8228	--	--	--	--	--	>100	17	>100	17

Asta: 622 [1330,1374] Sez. G: D20 L=215.8 cm Crit.: Acciaio_Tirante $\gamma_M=1.05$ fyk/ $\gamma_M=2619$ kg/cmq ft=4300 kg/cmq :**Verificato**

X	cls	N	TY	TZ	MT	MY	MZ	My4	Mz4	Comb.
cm		kg	kg	kg	kg*m	kg*m	kg*m			
216	1	504	--	--	--	--	--	--	--	6

X	cls	Nr	Vyr	Vzr	Mry	Mrz	MTrd	SF_V.	SF_M	SF_Mt	SF
cm		kg	kg	kg	kg*m	kg*m	kg*m				
216	1	8228	--	--	--	--	--	>100	16	>100	16

Asta: 623 [1372,1330] Sez. G: D20 L=215.8 cm Crit.: Acciaio_Tirante $\gamma_M=1.05$ fyk/ $\gamma_M=2619$ kg/cmq ft=4300 kg/cmq :**Verificato**

X	cls	N	TY	TZ	MT	MY	MZ	My4	Mz4	Comb.
cm		kg	kg	kg	kg*m	kg*m	kg*m			
216	1	-468	--	--	--	--	--	--	--	(20+21)-VIII-1

X	cls	Nr	Vyr	Vzr	Mry	Mrz	MTrd	SF_V.	SF_M	SF_Mt	SF
cm		kg	kg	kg	kg*m	kg*m	kg*m				
216	1	8228	--	--	--	--	--	>100	18	>100	18

Asta: 624 [1078,1036] Sez. G: D20 L=219.2 cm Crit.: Acciaio_Tirante $\gamma_M=1.05$ fyk/ $\gamma_M=2619$ kg/cmq ft=4300 kg/cmq :**Verificato**

X	cls	N	TY	TZ	MT	MY	MZ	My4	Mz4	Comb.
cm		kg	kg	kg	kg*m	kg*m	kg*m			
0	1	474	--	--	--	--	--	--	--	6

X	cls	Nr	Vyr	Vzr	Mry	Mrz	MTrd	SF_V.	SF_M	SF_Mt	SF
cm		kg	kg	kg	kg*m	kg*m	kg*m				
0	1	8228	--	--	--	--	--	>100	17	>100	17

Asta: 625 [1034,1078] Sez. G: D20 L=219.2 cm Crit.: Acciaio_Tirante $\gamma_M=1.05$ fyk/ $\gamma_M=2619$ kg/cmq ft=4300 kg/cmq :**Verificato**

X	cls	N	TY	TZ	MT	MY	MZ	My4	Mz4	Comb.
cm		kg	kg	kg	kg*m	kg*m	kg*m			
0	1	-469	--	--	--	--	--	--	--	6

X	cls	Nr	Vyr	Vzr	Mry	Mrz	MTrd	SF_V.	SF_M	SF_Mt	SF
cm		kg	kg	kg	kg*m	kg*m	kg*m				
0	1	8228	--	--	--	--	--	>100	18	>100	18

Asta: 626 [1332,1376] Sez. G: D20 L=215.8 cm Crit.: Acciaio_Tirante $\gamma_M=1.05$ fyk/ $\gamma_M=2619$ kg/cmq ft=4300 kg/cmq :**Verificato**

X	cls	N	TY	TZ	MT	MY	MZ	My4	Mz4	Comb.
cm		kg	kg	kg	kg*m	kg*m	kg*m			
216	1	548	--	--	--	--	--	--	--	12

X	cls	Nr	Vyr	Vzr	Mry	Mrz	MTrd	SF_V.	SF_M	SF_Mt	SF
cm		kg	kg	kg	kg*m	kg*m	kg*m				
216	1	8228	--	--	--	--	--	>100	15	>100	15

Asta: 627 [1374,1332] Sez. G: D20 L=215.8 cm Crit.: Acciaio_Tirante $\gamma_M=1.05$ fyk/ $\gamma_M=2619$ kg/cmq ft=4300 kg/cmq :**Verificato**

X	cls	N	TY	TZ	MT	MY	MZ	My4	Mz4	Comb.
cm		kg	kg	kg	kg*m	kg*m	kg*m			
216	1	-497	--	--	--	--	--	--	--	12

X	cls	Nr	Vyr	Vzr	Mry	Mrz	MTrd	SF_V.	SF_M	SF_Mt	SF
cm		kg	kg	kg	kg*m	kg*m	kg*m				
216	1	8228	--	--	--	--	--	>100	17	>100	17

Asta: 628 [1080,1038] Sez. G: D20 L=219.2 cm Crit.: Acciaio_Tirante $\gamma_M=1.05$ fyk/ $\gamma_M=2619$ kg/cmq ft=4300 kg/cmq :**Verificato**

X	cls	N	TY	TZ	MT	MY	MZ	My4	Mz4	Comb.
cm		kg	kg	kg	kg*m	kg*m	kg*m			
0	1	441	--	--	--	--	--	--	--	12

X	cls	Nr	Vyr	Vzr	Mry	Mrz	MTrd	SF_V.	SF_M	SF_Mt	SF
cm		kg	kg	kg	kg*m	kg*m	kg*m				
0	1	8228	--	--	--	--	--	>100	19	>100	19

Asta: 629 [1036,1080] Sez. G: D20 L=219.2 cm Crit.: Acciaio_Tirante $\gamma M=1.05$ fyk/ $\gamma M=2619$ kg/cmq
ft=4300 kg/cmq :**Verificato**

X	cls	N	TY	TZ	MT	MY	MZ	My4	Mz4	Comb.
cm		kg	kg	kg	kg*m	kg*m	kg*m			
0	1	-443	--	--	--	--	--	--	--	12

X	cls	Nr	Vyr	Vzr	Mry	Mrz	MTrd	SF_V.	SF_M	SF_Mt	SF
cm		kg	kg	kg	kg*m	kg*m	kg*m				
0	1	8228	--	--	--	--	--	>100	19	>100	19

Asta: 630 [1334,1378] Sez. G: D20 L=215.8 cm Crit.: Acciaio_Tirante $\gamma M=1.05$ fyk/ $\gamma M=2619$ kg/cmq
ft=4300 kg/cmq :**Verificato**

X	cls	N	TY	TZ	MT	MY	MZ	My4	Mz4	Comb.
cm		kg	kg	kg	kg*m	kg*m	kg*m			
216	1	532	--	--	--	--	--	--	--	6

X	cls	Nr	Vyr	Vzr	Mry	Mrz	MTrd	SF_V.	SF_M	SF_Mt	SF
cm		kg	kg	kg	kg*m	kg*m	kg*m				
216	1	8228	--	--	--	--	--	>100	15	>100	15

Asta: 631 [1376,1334] Sez. G: D20 L=215.8 cm Crit.: Acciaio_Tirante $\gamma M=1.05$ fyk/ $\gamma M=2619$ kg/cmq
ft=4300 kg/cmq :**Verificato**

X	cls	N	TY	TZ	MT	MY	MZ	My4	Mz4	Comb.
cm		kg	kg	kg	kg*m	kg*m	kg*m			
216	1	-481	--	--	--	--	--	--	--	6

X	cls	Nr	Vyr	Vzr	Mry	Mrz	MTrd	SF_V.	SF_M	SF_Mt	SF
cm		kg	kg	kg	kg*m	kg*m	kg*m				
216	1	8228	--	--	--	--	--	>100	17	>100	17

Asta: 632 [1082,1040] Sez. G: D20 L=219.2 cm Crit.: Acciaio_Tirante $\gamma M=1.05$ fyk/ $\gamma M=2619$ kg/cmq
ft=4300 kg/cmq :**Verificato**

X	cls	N	TY	TZ	MT	MY	MZ	My4	Mz4	Comb.
cm		kg	kg	kg	kg*m	kg*m	kg*m			
0	1	433	--	--	--	--	--	--	--	6

X	cls	Nr	Vyr	Vzr	Mry	Mrz	MTrd	SF_V.	SF_M	SF_Mt	SF
cm		kg	kg	kg	kg*m	kg*m	kg*m				
0	1	8228	--	--	--	--	--	>100	19	>100	19

Asta: 633 [1038,1082] Sez. G: D20 L=219.2 cm Crit.: Acciaio_Tirante $\gamma M=1.05$ fyk/ $\gamma M=2619$ kg/cmq
ft=4300 kg/cmq :**Verificato**

X	cls	N	TY	TZ	MT	MY	MZ	My4	Mz4	Comb.
cm		kg	kg	kg	kg*m	kg*m	kg*m			
0	1	-439	--	--	--	--	--	--	--	6

X	cls	Nr	Vyr	Vzr	Mry	Mrz	MTrd	SF_V.	SF_M	SF_Mt	SF
cm		kg	kg	kg	kg*m	kg*m	kg*m				
0	1	8228	--	--	--	--	--	>100	19	>100	19

Asta: 634 [1336,1380] Sez. G: D20 L=215.8 cm Crit.: Acciaio_Tirante $\gamma M=1.05$ fyk/ $\gamma M=2619$ kg/cmq
ft=4300 kg/cmq :**Verificato**

X	cls	N	TY	TZ	MT	MY	MZ	My4	Mz4	Comb.
cm		kg	kg	kg	kg*m	kg*m	kg*m			
216	1	575	--	--	--	--	--	--	--	12

X	cls	Nr	Vyr	Vzr	Mry	Mrz	MTrd	SF_V.	SF_M	SF_Mt	SF
cm		kg	kg	kg	kg*m	kg*m	kg*m				

X	cls	Nr	Vyr	Vzr	Mry	Mrz	MTrd	SF_V.	SF_M	SF_Mt	SF
216	1	8228	--	--	--	--	--	>100	14	>100	14

Asta: 635 [1378,1336] Sez. G: D20 L=215.8 cm Crit.: Acciaio_Tirante $\gamma_M=1.05$ fyk/ $\gamma_M=2619$ kg/cmq
ft=4300 kg/cmq :**Verificato**

X	cls	N	TY	TZ	MT	MY	MZ	My4	Mz4	Comb.
cm		kg	kg	kg	kg*m	kg*m	kg*m			
216	1	-518	--	--	--	--	--	--	--	12

X	cls	Nr	Vyr	Vzr	Mry	Mrz	MTrd	SF_V.	SF_M	SF_Mt	SF
cm		kg	kg	kg	kg*m	kg*m	kg*m				
216	1	8228	--	--	--	--	--	>100	16	>100	16

Asta: 636 [1084,1042] Sez. G: D20 L=219.2 cm Crit.: Acciaio_Tirante $\gamma_M=1.05$ fyk/ $\gamma_M=2619$ kg/cmq
ft=4300 kg/cmq :**Verificato**

X	cls	N	TY	TZ	MT	MY	MZ	My4	Mz4	Comb.
cm		kg	kg	kg	kg*m	kg*m	kg*m			
0	1	365	--	--	--	--	--	--	--	12

X	cls	Nr	Vyr	Vzr	Mry	Mrz	MTrd	SF_V.	SF_M	SF_Mt	SF
cm		kg	kg	kg	kg*m	kg*m	kg*m				
0	1	8228	--	--	--	--	--	>100	23	>100	23

Asta: 637 [1040,1084] Sez. G: D20 L=219.2 cm Crit.: Acciaio_Tirante $\gamma_M=1.05$ fyk/ $\gamma_M=2619$ kg/cmq
ft=4300 kg/cmq :**Verificato**

X	cls	N	TY	TZ	MT	MY	MZ	My4	Mz4	Comb.
cm		kg	kg	kg	kg*m	kg*m	kg*m			
0	1	-382	--	--	--	--	--	--	--	12

X	cls	Nr	Vyr	Vzr	Mry	Mrz	MTrd	SF_V.	SF_M	SF_Mt	SF
cm		kg	kg	kg	kg*m	kg*m	kg*m				
0	1	8228	--	--	--	--	--	>100	22	>100	22

Asta: 638 [1338,1382] Sez. G: D20 L=215.8 cm Crit.: Acciaio_Tirante $\gamma_M=1.05$ fyk/ $\gamma_M=2619$ kg/cmq
ft=4300 kg/cmq :**Verificato**

X	cls	N	TY	TZ	MT	MY	MZ	My4	Mz4	Comb.
cm		kg	kg	kg	kg*m	kg*m	kg*m			
216	1	583	--	--	--	--	--	--	--	6

X	cls	Nr	Vyr	Vzr	Mry	Mrz	MTrd	SF_V.	SF_M	SF_Mt	SF
cm		kg	kg	kg	kg*m	kg*m	kg*m				
216	1	8228	--	--	--	--	--	>100	14	>100	14

Asta: 639 [1380,1338] Sez. G: D20 L=215.8 cm Crit.: Acciaio_Tirante $\gamma_M=1.05$ fyk/ $\gamma_M=2619$ kg/cmq
ft=4300 kg/cmq :**Verificato**

X	cls	N	TY	TZ	MT	MY	MZ	My4	Mz4	Comb.
cm		kg	kg	kg	kg*m	kg*m	kg*m			
216	1	-526	--	--	--	--	--	--	--	6

X	cls	Nr	Vyr	Vzr	Mry	Mrz	MTrd	SF_V.	SF_M	SF_Mt	SF
cm		kg	kg	kg	kg*m	kg*m	kg*m				
216	1	8228	--	--	--	--	--	>100	16	>100	16

Asta: 640 [1086,1044] Sez. G: D20 L=219.2 cm Crit.: Acciaio_Tirante $\gamma_M=1.05$ fyk/ $\gamma_M=2619$ kg/cmq
ft=4300 kg/cmq :**Verificato**

X	cls	N	TY	TZ	MT	MY	MZ	My4	Mz4	Comb.
cm		kg	kg	kg	kg*m	kg*m	kg*m			
0	1	345	--	--	--	--	--	--	--	6

X	cls	Nr	Vyr	Vzr	Mry	Mrz	MTrd	SF_V.	SF_M	SF_Mt	SF
cm		kg	kg	kg	kg*m	kg*m	kg*m				
0	1	8228	--	--	--	--	--	>100	24	>100	24

Asta: 641 [1042,1086] Sez. G: D20 L=219.2 cm Crit.: Acciaio_Tirante $\gamma_M=1.05$ fyk/ $\gamma_M=2619$ kg/cmq
ft=4300 kg/cmq :**Verificato**

X	cls	N	TY	TZ	MT	MY	MZ	My4	Mz4	Comb.
cm		kg	kg	kg	kg*m	kg*m	kg*m			
0	1	-375	--	--	--	--	--	--	--	6

X	cls	Nr	Vyr	Vzr	Mry	Mrz	MTrd	SF_V.	SF_M	SF_Mt	SF
cm		kg	kg	kg	kg*m	kg*m	kg*m				
0	1	8228	--	--	--	--	--	>100	22	>100	22

Asta: 642 [1340,1384] Sez. G: D20 L=215.8 cm Crit.: Acciaio_Tirante $\gamma_M=1.05$ fyk/ $\gamma_M=2619$ kg/cm² ft=4300 kg/cm² :**Verificato**

X	cls	N	TY	TZ	MT	MY	MZ	My4	Mz4	Comb.
cm		kg	kg	kg	kg*m	kg*m	kg*m			
216	1	630	--	--	--	--	--	--	--	12

X	cls	Nr	Vyr	Vzr	Mry	Mrz	MTrd	SF_V.	SF_M	SF_Mt	SF
cm		kg	kg	kg	kg*m	kg*m	kg*m				
216	1	8228	--	--	--	--	--	>100	13	>100	13

Asta: 643 [1382,1340] Sez. G: D20 L=215.8 cm Crit.: Acciaio_Tirante $\gamma_M=1.05$ fyk/ $\gamma_M=2619$ kg/cm² ft=4300 kg/cm² :**Verificato**

X	cls	N	TY	TZ	MT	MY	MZ	My4	Mz4	Comb.
cm		kg	kg	kg	kg*m	kg*m	kg*m			
216	1	-562	--	--	--	--	--	--	--	12

X	cls	Nr	Vyr	Vzr	Mry	Mrz	MTrd	SF_V.	SF_M	SF_Mt	SF
cm		kg	kg	kg	kg*m	kg*m	kg*m				
216	1	8228	--	--	--	--	--	>100	15	>100	15

Asta: 644 [1088,1046] Sez. G: D20 L=219.2 cm Crit.: Acciaio_Tirante $\gamma_M=1.05$ fyk/ $\gamma_M=2619$ kg/cm² ft=4300 kg/cm² :**Verificato**

X	cls	N	TY	TZ	MT	MY	MZ	My4	Mz4	Comb.
cm		kg	kg	kg	kg*m	kg*m	kg*m			
219	1	-220	--	--	--	--	--	--	--	(20+21)-II-3

X	cls	Nr	Vyr	Vzr	Mry	Mrz	MTrd	SF_V.	SF_M	SF_Mt	SF
cm		kg	kg	kg	kg*m	kg*m	kg*m				
219	1	8228	--	--	--	--	--	>100	37	>100	37

Asta: 645 [1044,1088] Sez. G: D20 L=219.2 cm Crit.: Acciaio_Tirante $\gamma_M=1.05$ fyk/ $\gamma_M=2619$ kg/cm² ft=4300 kg/cm² :**Verificato**

X	cls	N	TY	TZ	MT	MY	MZ	My4	Mz4	Comb.
cm		kg	kg	kg	kg*m	kg*m	kg*m			
0	1	-257	--	--	--	--	--	--	--	12

X	cls	Nr	Vyr	Vzr	Mry	Mrz	MTrd	SF_V.	SF_M	SF_Mt	SF
cm		kg	kg	kg	kg*m	kg*m	kg*m				
0	1	8228	--	--	--	--	--	>100	32	>100	32

Asta: 646 [1342,1386] Sez. G: D20 L=215.8 cm Crit.: Acciaio_Tirante $\gamma_M=1.05$ fyk/ $\gamma_M=2619$ kg/cm² ft=4300 kg/cm² :**Verificato**

X	cls	N	TY	TZ	MT	MY	MZ	My4	Mz4	Comb.
cm		kg	kg	kg	kg*m	kg*m	kg*m			
216	1	698	--	--	--	--	--	--	--	6

X	cls	Nr	Vyr	Vzr	Mry	Mrz	MTrd	SF_V.	SF_M	SF_Mt	SF
cm		kg	kg	kg	kg*m	kg*m	kg*m				
216	1	8228	--	--	--	--	--	>100	12	>100	12

Asta: 647 [1384,1342] Sez. G: D20 L=215.8 cm Crit.: Acciaio_Tirante $\gamma_M=1.05$ fyk/ $\gamma_M=2619$ kg/cm² ft=4300 kg/cm² :**Verificato**

X	cls	N	TY	TZ	MT	MY	MZ	My4	Mz4	Comb.
cm		kg	kg	kg	kg*m	kg*m	kg*m			
216	1	-628	--	--	--	--	--	--	--	6

X	cls	Nr	Vyr	Vzr	Mry	Mrz	MTrd	SF_V.	SF_M	SF_Mt	SF
cm		kg	kg	kg	kg*m	kg*m	kg*m				

X	cls	Nr	Vyr	Vzr	Mry	Mrz	MTrd	SF_V.	SF_M	SF_Mt	SF
216	1	8228	--	--	--	--	--	>100	13	>100	13

Asta: 648 [1090,1048] Sez. G: D20 L=219.2 cm Crit.: Acciaio_Tirante $\gamma_M=1.05$ fyk/ $\gamma_M=2619$ kg/cmq
ft=4300 kg/cmq :**Verificato**

X	cls	N	TY	TZ	MT	MY	MZ	My4	Mz4	Comb.
cm		kg	kg	kg	kg*m	kg*m	kg*m			
0	1	280	--	--	--	--	--	--	--	6

X	cls	Nr	Vyr	Vzr	Mry	Mrz	MTrd	SF_V.	SF_M	SF_Mt	SF
cm		kg	kg	kg	kg*m	kg*m	kg*m				
0	1	8228	--	--	--	--	--	>100	29	>100	29

Asta: 649 [1046,1090] Sez. G: D20 L=219.2 cm Crit.: Acciaio_Tirante $\gamma_M=1.05$ fyk/ $\gamma_M=2619$ kg/cmq
ft=4300 kg/cmq :**Verificato**

X	cls	N	TY	TZ	MT	MY	MZ	My4	Mz4	Comb.
cm		kg	kg	kg	kg*m	kg*m	kg*m			
0	1	-234	--	--	--	--	--	--	--	6

X	cls	Nr	Vyr	Vzr	Mry	Mrz	MTrd	SF_V.	SF_M	SF_Mt	SF
cm		kg	kg	kg	kg*m	kg*m	kg*m				
0	1	8228	--	--	--	--	--	>100	35	>100	35

Asta: 650 [1344,1388] Sez. G: D20 L=215.8 cm Crit.: Acciaio_Tirante $\gamma_M=1.05$ fyk/ $\gamma_M=2619$ kg/cmq
ft=4300 kg/cmq :**Verificato**

X	cls	N	TY	TZ	MT	MY	MZ	My4	Mz4	Comb.
cm		kg	kg	kg	kg*m	kg*m	kg*m			
216	1	736	--	--	--	--	--	--	--	12

X	cls	Nr	Vyr	Vzr	Mry	Mrz	MTrd	SF_V.	SF_M	SF_Mt	SF
cm		kg	kg	kg	kg*m	kg*m	kg*m				
216	1	8228	--	--	--	--	--	>100	11	>100	11

Asta: 651 [1386,1344] Sez. G: D20 L=215.8 cm Crit.: Acciaio_Tirante $\gamma_M=1.05$ fyk/ $\gamma_M=2619$ kg/cmq
ft=4300 kg/cmq :**Verificato**

X	cls	N	TY	TZ	MT	MY	MZ	My4	Mz4	Comb.
cm		kg	kg	kg	kg*m	kg*m	kg*m			
216	1	-706	--	--	--	--	--	--	--	12

X	cls	Nr	Vyr	Vzr	Mry	Mrz	MTrd	SF_V.	SF_M	SF_Mt	SF
cm		kg	kg	kg	kg*m	kg*m	kg*m				
216	1	8228	--	--	--	--	--	>100	12	>100	12

Asta: 652 [1092,1050] Sez. G: D20 L=219.2 cm Crit.: Acciaio_Tirante $\gamma_M=1.05$ fyk/ $\gamma_M=2619$ kg/cmq
ft=4300 kg/cmq :**Verificato**

X	cls	N	TY	TZ	MT	MY	MZ	My4	Mz4	Comb.
cm		kg	kg	kg	kg*m	kg*m	kg*m			
0	1	713	--	--	--	--	--	--	--	12

X	cls	Nr	Vyr	Vzr	Mry	Mrz	MTrd	SF_V.	SF_M	SF_Mt	SF
cm		kg	kg	kg	kg*m	kg*m	kg*m				
0	1	8228	--	--	--	--	--	>100	12	>100	12

Asta: 653 [1048,1092] Sez. G: D20 L=219.2 cm Crit.: Acciaio_Tirante $\gamma_M=1.05$ fyk/ $\gamma_M=2619$ kg/cmq
ft=4300 kg/cmq :**Verificato**

X	cls	N	TY	TZ	MT	MY	MZ	My4	Mz4	Comb.
cm		kg	kg	kg	kg*m	kg*m	kg*m			
0	1	-671	--	--	--	--	--	--	--	12

X	cls	Nr	Vyr	Vzr	Mry	Mrz	MTrd	SF_V.	SF_M	SF_Mt	SF
cm		kg	kg	kg	kg*m	kg*m	kg*m				
0	1	8228	--	--	--	--	--	>100	12	>100	12

Asta: 654 [1346,1390] Sez. G: D20 L=215.8 cm Crit.: Acciaio_Tirante $\gamma_M=1.05$ fyk/ $\gamma_M=2619$ kg/cmq
ft=4300 kg/cmq :**Verificato**

X	cls	N	TY	TZ	MT	MY	MZ	My4	Mz4	Comb.
cm		kg	kg	kg	kg*m	kg*m	kg*m			
216	1	288	--	--	--	--	--	--	--	6

X	cls	Nr	Vyr	Vzr	Mry	Mrz	MTrd	SF_V.	SF_M	SF_Mt	SF
cm		kg	kg	kg	kg*m	kg*m	kg*m				
216	1	8228	--	--	--	--	--	>100	29	>100	29

Asta: 655 [1388,1346] Sez. G: D20 L=215.8 cm Crit.: Acciaio_Tirante $\gamma M=1.05$ fyk/ $\gamma M=2619$ kg/cm² ft=4300 kg/cm² :**Verificato**

X	cls	N	TY	TZ	MT	MY	MZ	My4	Mz4	Comb.
cm		kg	kg	kg	kg*m	kg*m	kg*m			
0	1	275	--	--	--	--	--	--	--	(20+21)-V-4

X	cls	Nr	Vyr	Vzr	Mry	Mrz	MTrd	SF_V.	SF_M	SF_Mt	SF
cm		kg	kg	kg	kg*m	kg*m	kg*m				
0	1	8228	--	--	--	--	--	>100	30	>100	30

Asta: 656 [1094,1052] Sez. G: D20 L=219.2 cm Crit.: Acciaio_Tirante $\gamma M=1.05$ fyk/ $\gamma M=2619$ kg/cm² ft=4300 kg/cm² :**Verificato**

X	cls	N	TY	TZ	MT	MY	MZ	My4	Mz4	Comb.
cm		kg	kg	kg	kg*m	kg*m	kg*m			
0	1	692	--	--	--	--	--	--	--	6

X	cls	Nr	Vyr	Vzr	Mry	Mrz	MTrd	SF_V.	SF_M	SF_Mt	SF
cm		kg	kg	kg	kg*m	kg*m	kg*m				
0	1	8228	--	--	--	--	--	>100	12	>100	12

Asta: 657 [1050,1094] Sez. G: D20 L=219.2 cm Crit.: Acciaio_Tirante $\gamma M=1.05$ fyk/ $\gamma M=2619$ kg/cm² ft=4300 kg/cm² :**Verificato**

X	cls	N	TY	TZ	MT	MY	MZ	My4	Mz4	Comb.
cm		kg	kg	kg	kg*m	kg*m	kg*m			
0	1	-736	--	--	--	--	--	--	--	6

X	cls	Nr	Vyr	Vzr	Mry	Mrz	MTrd	SF_V.	SF_M	SF_Mt	SF
cm		kg	kg	kg	kg*m	kg*m	kg*m				
0	1	8228	--	--	--	--	--	>100	11	>100	11

Asta: 658 [1348,1392] Sez. G: D20 L=215.8 cm Crit.: Acciaio_Tirante $\gamma M=1.05$ fyk/ $\gamma M=2619$ kg/cm² ft=4300 kg/cm² :**Verificato**

X	cls	N	TY	TZ	MT	MY	MZ	My4	Mz4	Comb.
cm		kg	kg	kg	kg*m	kg*m	kg*m			
216	1	367	--	--	--	--	--	--	--	12

X	cls	Nr	Vyr	Vzr	Mry	Mrz	MTrd	SF_V.	SF_M	SF_Mt	SF
cm		kg	kg	kg	kg*m	kg*m	kg*m				
216	1	8228	--	--	--	--	--	>100	22	>100	22

Asta: 659 [1390,1348] Sez. G: D20 L=215.8 cm Crit.: Acciaio_Tirante $\gamma M=1.05$ fyk/ $\gamma M=2619$ kg/cm² ft=4300 kg/cm² :**Verificato**

X	cls	N	TY	TZ	MT	MY	MZ	My4	Mz4	Comb.
cm		kg	kg	kg	kg*m	kg*m	kg*m			
216	1	-296	--	--	--	--	--	--	--	12

X	cls	Nr	Vyr	Vzr	Mry	Mrz	MTrd	SF_V.	SF_M	SF_Mt	SF
cm		kg	kg	kg	kg*m	kg*m	kg*m				
216	1	8228	--	--	--	--	--	>100	28	>100	28

Asta: 660 [1096,1054] Sez. G: D20 L=219.2 cm Crit.: Acciaio_Tirante $\gamma M=1.05$ fyk/ $\gamma M=2619$ kg/cm² ft=4300 kg/cm² :**Verificato**

X	cls	N	TY	TZ	MT	MY	MZ	My4	Mz4	Comb.
cm		kg	kg	kg	kg*m	kg*m	kg*m			
0	1	562	--	--	--	--	--	--	--	12

X	cls	Nr	Vyr	Vzr	Mry	Mrz	MTrd	SF_V.	SF_M	SF_Mt	SF
cm		kg	kg	kg	kg*m	kg*m	kg*m				

X	cls	Nr	Vyr	Vzr	Mry	Mrz	MTrd	SF_V.	SF_M	SF_Mt	SF
0	1	8228	--	--	--	--	--	>100	15	>100	15

Asta: 661 [1052,1096] Sez. G: D20 L=219.2 cm Crit.: Acciaio_Tirante $\gamma_M=1.05$ fyk/ $\gamma_M=2619$ kg/cmq
ft=4300 kg/cmq :**Verificato**

X	cls	N	TY	TZ	MT	MY	MZ	My4	Mz4	Comb.
cm		kg	kg	kg	kg*m	kg*m	kg*m			
0	1	-602	--	--	--	--	--	--	--	12

X	cls	Nr	Vyr	Vzr	Mry	Mrz	MTrd	SF_V.	SF_M	SF_Mt	SF
cm		kg	kg	kg	kg*m	kg*m	kg*m				
0	1	8228	--	--	--	--	--	>100	14	>100	14

Asta: 662 [1350,1394] Sez. G: D20 L=215.8 cm Crit.: Acciaio_Tirante $\gamma_M=1.05$ fyk/ $\gamma_M=2619$ kg/cmq
ft=4300 kg/cmq :**Verificato**

X	cls	N	TY	TZ	MT	MY	MZ	My4	Mz4	Comb.
cm		kg	kg	kg	kg*m	kg*m	kg*m			
216	1	435	--	--	--	--	--	--	--	6

X	cls	Nr	Vyr	Vzr	Mry	Mrz	MTrd	SF_V.	SF_M	SF_Mt	SF
cm		kg	kg	kg	kg*m	kg*m	kg*m				
216	1	8228	--	--	--	--	--	>100	19	>100	19

Asta: 663 [1392,1350] Sez. G: D20 L=215.8 cm Crit.: Acciaio_Tirante $\gamma_M=1.05$ fyk/ $\gamma_M=2619$ kg/cmq
ft=4300 kg/cmq :**Verificato**

X	cls	N	TY	TZ	MT	MY	MZ	My4	Mz4	Comb.
cm		kg	kg	kg	kg*m	kg*m	kg*m			
216	1	-369	--	--	--	--	--	--	--	6

X	cls	Nr	Vyr	Vzr	Mry	Mrz	MTrd	SF_V.	SF_M	SF_Mt	SF
cm		kg	kg	kg	kg*m	kg*m	kg*m				
216	1	8228	--	--	--	--	--	>100	22	>100	22

Asta: 664 [1098,1056] Sez. G: D20 L=219.2 cm Crit.: Acciaio_Tirante $\gamma_M=1.05$ fyk/ $\gamma_M=2619$ kg/cmq
ft=4300 kg/cmq :**Verificato**

X	cls	N	TY	TZ	MT	MY	MZ	My4	Mz4	Comb.
cm		kg	kg	kg	kg*m	kg*m	kg*m			
0	1	558	--	--	--	--	--	--	--	6

X	cls	Nr	Vyr	Vzr	Mry	Mrz	MTrd	SF_V.	SF_M	SF_Mt	SF
cm		kg	kg	kg	kg*m	kg*m	kg*m				
0	1	8228	--	--	--	--	--	>100	15	>100	15

Asta: 665 [1054,1098] Sez. G: D20 L=219.2 cm Crit.: Acciaio_Tirante $\gamma_M=1.05$ fyk/ $\gamma_M=2619$ kg/cmq
ft=4300 kg/cmq :**Verificato**

X	cls	N	TY	TZ	MT	MY	MZ	My4	Mz4	Comb.
cm		kg	kg	kg	kg*m	kg*m	kg*m			
0	1	-579	--	--	--	--	--	--	--	6

X	cls	Nr	Vyr	Vzr	Mry	Mrz	MTrd	SF_V.	SF_M	SF_Mt	SF
cm		kg	kg	kg	kg*m	kg*m	kg*m				
0	1	8228	--	--	--	--	--	>100	14	>100	14

Asta: 666 [1352,1396] Sez. G: D20 L=215.8 cm Crit.: Acciaio_Tirante $\gamma_M=1.05$ fyk/ $\gamma_M=2619$ kg/cmq
ft=4300 kg/cmq :**Verificato**

X	cls	N	TY	TZ	MT	MY	MZ	My4	Mz4	Comb.
cm		kg	kg	kg	kg*m	kg*m	kg*m			
216	1	470	--	--	--	--	--	--	--	12

X	cls	Nr	Vyr	Vzr	Mry	Mrz	MTrd	SF_V.	SF_M	SF_Mt	SF
cm		kg	kg	kg	kg*m	kg*m	kg*m				
216	1	8228	--	--	--	--	--	>100	18	>100	18

Asta: 667 [1394,1352] Sez. G: D20 L=215.8 cm Crit.: Acciaio_Tirante $\gamma_M=1.05$ fyk/ $\gamma_M=2619$ kg/cmq
ft=4300 kg/cmq :**Verificato**

X	cls	N	TY	TZ	MT	MY	MZ	My4	Mz4	Comb.
cm		kg	kg	kg	kg*m	kg*m	kg*m			
216	1	-412	--	--	--	--	--	--	--	12

X	cls	Nr	Vyr	Vzr	Mry	Mrz	MTrd	SF_V.	SF_M	SF_Mt	SF
cm		kg	kg	kg	kg*m	kg*m	kg*m				
216	1	8228	--	--	--	--	--	>100	20	>100	20

Asta: 668 [1100,1058] Sez. G: D20 L=219.2 cm Crit.: Acciaio_Tirante $\gamma_M=1.05$ fyk/ $\gamma_M=2619$ kg/cm² ft=4300 kg/cm² :**Verificato**

X	cls	N	TY	TZ	MT	MY	MZ	My4	Mz4	Comb.
cm		kg	kg	kg	kg*m	kg*m	kg*m			
0	1	481	--	--	--	--	--	--	--	12

X	cls	Nr	Vyr	Vzr	Mry	Mrz	MTrd	SF_V.	SF_M	SF_Mt	SF
cm		kg	kg	kg	kg*m	kg*m	kg*m				
0	1	8228	--	--	--	--	--	>100	17	>100	17

Asta: 669 [1056,1100] Sez. G: D20 L=219.2 cm Crit.: Acciaio_Tirante $\gamma_M=1.05$ fyk/ $\gamma_M=2619$ kg/cm² ft=4300 kg/cm² :**Verificato**

X	cls	N	TY	TZ	MT	MY	MZ	My4	Mz4	Comb.
cm		kg	kg	kg	kg*m	kg*m	kg*m			
0	1	-506	--	--	--	--	--	--	--	(20+21)-II-6

X	cls	Nr	Vyr	Vzr	Mry	Mrz	MTrd	SF_V.	SF_M	SF_Mt	SF
cm		kg	kg	kg	kg*m	kg*m	kg*m				
0	1	8228	--	--	--	--	--	>100	16	>100	16

Asta: 670 [1354,1398] Sez. G: D20 L=215.8 cm Crit.: Acciaio_Tirante $\gamma_M=1.05$ fyk/ $\gamma_M=2619$ kg/cm² ft=4300 kg/cm² :**Verificato**

X	cls	N	TY	TZ	MT	MY	MZ	My4	Mz4	Comb.
cm		kg	kg	kg	kg*m	kg*m	kg*m			
216	1	480	--	--	--	--	--	--	--	6

X	cls	Nr	Vyr	Vzr	Mry	Mrz	MTrd	SF_V.	SF_M	SF_Mt	SF
cm		kg	kg	kg	kg*m	kg*m	kg*m				
216	1	8228	--	--	--	--	--	>100	17	>100	17

Asta: 671 [1396,1354] Sez. G: D20 L=215.8 cm Crit.: Acciaio_Tirante $\gamma_M=1.05$ fyk/ $\gamma_M=2619$ kg/cm² ft=4300 kg/cm² :**Verificato**

X	cls	N	TY	TZ	MT	MY	MZ	My4	Mz4	Comb.
cm		kg	kg	kg	kg*m	kg*m	kg*m			
216	1	-432	--	--	--	--	--	--	--	(20+21)-VI-1

X	cls	Nr	Vyr	Vzr	Mry	Mrz	MTrd	SF_V.	SF_M	SF_Mt	SF
cm		kg	kg	kg	kg*m	kg*m	kg*m				
216	1	8228	--	--	--	--	--	>100	19	>100	19

Asta: 672 [1102,1060] Sez. G: D20 L=219.2 cm Crit.: Acciaio_Tirante $\gamma_M=1.05$ fyk/ $\gamma_M=2619$ kg/cm² ft=4300 kg/cm² :**Verificato**

X	cls	N	TY	TZ	MT	MY	MZ	My4	Mz4	Comb.
cm		kg	kg	kg	kg*m	kg*m	kg*m			
0	1	527	--	--	--	--	--	--	--	(20+21)-II-1

X	cls	Nr	Vyr	Vzr	Mry	Mrz	MTrd	SF_V.	SF_M	SF_Mt	SF
cm		kg	kg	kg	kg*m	kg*m	kg*m				
0	1	8228	--	--	--	--	--	>100	16	>100	16

Asta: 673 [1058,1102] Sez. G: D20 L=219.2 cm Crit.: Acciaio_Tirante $\gamma_M=1.05$ fyk/ $\gamma_M=2619$ kg/cm² ft=4300 kg/cm² :**Verificato**

X	cls	N	TY	TZ	MT	MY	MZ	My4	Mz4	Comb.
cm		kg	kg	kg	kg*m	kg*m	kg*m			
0	1	-492	--	--	--	--	--	--	--	6

X	cls	Nr	Vyr	Vzr	Mry	Mrz	MTrd	SF_V.	SF_M	SF_Mt	SF
cm		kg	kg	kg	kg*m	kg*m	kg*m				

X	cls	Nr	Vyr	Vzr	Mry	Mrz	MTrd	SF_V.	SF_M	SF_Mt	SF
0	1	8228	--	--	--	--	--	>100	17	>100	17

Asta: 674 [1356,1400] Sez. G: D20 L=215.8 cm Crit.: Acciaio_Tirante $\gamma_M=1.05$ fyk/ $\gamma_M=2619$ kg/cmq
ft=4300 kg/cmq :**Verificato**

X	cls	N	TY	TZ	MT	MY	MZ	My4	Mz4	Comb.
cm		kg	kg	kg	kg*m	kg*m	kg*m			
216	1	508	--	--	--	--	--	--	--	12

X	cls	Nr	Vyr	Vzr	Mry	Mrz	MTrd	SF_V.	SF_M	SF_Mt	SF
cm		kg	kg	kg	kg*m	kg*m	kg*m				
216	1	8228	--	--	--	--	--	>100	16	>100	16

Asta: 675 [1398,1356] Sez. G: D20 L=215.8 cm Crit.: Acciaio_Tirante $\gamma_M=1.05$ fyk/ $\gamma_M=2619$ kg/cmq
ft=4300 kg/cmq :**Verificato**

X	cls	N	TY	TZ	MT	MY	MZ	My4	Mz4	Comb.
cm		kg	kg	kg	kg*m	kg*m	kg*m			
216	1	-461	--	--	--	--	--	--	--	12

X	cls	Nr	Vyr	Vzr	Mry	Mrz	MTrd	SF_V.	SF_M	SF_Mt	SF
cm		kg	kg	kg	kg*m	kg*m	kg*m				
216	1	8228	--	--	--	--	--	>100	18	>100	18

Asta: 676 [1104,1062] Sez. G: D20 L=219.2 cm Crit.: Acciaio_Tirante $\gamma_M=1.05$ fyk/ $\gamma_M=2619$ kg/cmq
ft=4300 kg/cmq :**Verificato**

X	cls	N	TY	TZ	MT	MY	MZ	My4	Mz4	Comb.
cm		kg	kg	kg	kg*m	kg*m	kg*m			
0	1	430	--	--	--	--	--	--	--	6

X	cls	Nr	Vyr	Vzr	Mry	Mrz	MTrd	SF_V.	SF_M	SF_Mt	SF
cm		kg	kg	kg	kg*m	kg*m	kg*m				
0	1	8228	--	--	--	--	--	>100	19	>100	19

Asta: 677 [1060,1104] Sez. G: D20 L=219.2 cm Crit.: Acciaio_Tirante $\gamma_M=1.05$ fyk/ $\gamma_M=2619$ kg/cmq
ft=4300 kg/cmq :**Verificato**

X	cls	N	TY	TZ	MT	MY	MZ	My4	Mz4	Comb.
cm		kg	kg	kg	kg*m	kg*m	kg*m			
0	1	-450	--	--	--	--	--	--	--	12

X	cls	Nr	Vyr	Vzr	Mry	Mrz	MTrd	SF_V.	SF_M	SF_Mt	SF
cm		kg	kg	kg	kg*m	kg*m	kg*m				
0	1	8228	--	--	--	--	--	>100	18	>100	18

Asta: 678 [1358,1402] Sez. G: D20 L=215.8 cm Crit.: Acciaio_Tirante $\gamma_M=1.05$ fyk/ $\gamma_M=2619$ kg/cmq
ft=4300 kg/cmq :**Verificato**

X	cls	N	TY	TZ	MT	MY	MZ	My4	Mz4	Comb.
cm		kg	kg	kg	kg*m	kg*m	kg*m			
216	1	472	--	--	--	--	--	--	--	6

X	cls	Nr	Vyr	Vzr	Mry	Mrz	MTrd	SF_V.	SF_M	SF_Mt	SF
cm		kg	kg	kg	kg*m	kg*m	kg*m				
216	1	8228	--	--	--	--	--	>100	17	>100	17

Asta: 679 [1400,1358] Sez. G: D20 L=215.8 cm Crit.: Acciaio_Tirante $\gamma_M=1.05$ fyk/ $\gamma_M=2619$ kg/cmq
ft=4300 kg/cmq :**Verificato**

X	cls	N	TY	TZ	MT	MY	MZ	My4	Mz4	Comb.
cm		kg	kg	kg	kg*m	kg*m	kg*m			
216	1	-427	--	--	--	--	--	--	--	6

X	cls	Nr	Vyr	Vzr	Mry	Mrz	MTrd	SF_V.	SF_M	SF_Mt	SF
cm		kg	kg	kg	kg*m	kg*m	kg*m				
216	1	8228	--	--	--	--	--	>100	19	>100	19

Asta: 680 [1106,1064] Sez. G: D20 L=219.2 cm Crit.: Acciaio_Tirante $\gamma_M=1.05$ fyk/ $\gamma_M=2619$ kg/cmq
ft=4300 kg/cmq :**Verificato**

X	cls	N	TY	TZ	MT	MY	MZ	My4	Mz4	Comb.
cm		kg	kg	kg	kg*m	kg*m	kg*m			
0	1	583	--	--	--	--	--	--	--	(20+21)-II-1

X	cls	Nr	Vyr	Vzr	Mry	Mrz	MTrd	SF_V.	SF_M	SF_Mt	SF
cm		kg	kg	kg	kg*m	kg*m	kg*m				
0	1	8228	--	--	--	--	--	>100	14	>100	14

Asta: 681 [1062,1106] Sez. G: D20 L=219.2 cm Crit.: Acciaio_Tirante $\gamma_M=1.05$ fyk/ $\gamma_M=2619$ kg/cmq ft=4300 kg/cmq :**Verificato**

X	cls	N	TY	TZ	MT	MY	MZ	My4	Mz4	Comb.
cm		kg	kg	kg	kg*m	kg*m	kg*m			
0	1	-439	--	--	--	--	--	--	--	(20+21)-II-1

X	cls	Nr	Vyr	Vzr	Mry	Mrz	MTrd	SF_V.	SF_M	SF_Mt	SF
cm		kg	kg	kg	kg*m	kg*m	kg*m				
0	1	8228	--	--	--	--	--	>100	19	>100	19

Asta: 682 [1360,1404] Sez. G: D20 L=215.8 cm Crit.: Acciaio_Tirante $\gamma_M=1.05$ fyk/ $\gamma_M=2619$ kg/cmq ft=4300 kg/cmq :**Verificato**

X	cls	N	TY	TZ	MT	MY	MZ	My4	Mz4	Comb.
cm		kg	kg	kg	kg*m	kg*m	kg*m			
216	1	627	--	--	--	--	--	--	--	(20+21)-VI-6

X	cls	Nr	Vyr	Vzr	Mry	Mrz	MTrd	SF_V.	SF_M	SF_Mt	SF
cm		kg	kg	kg	kg*m	kg*m	kg*m				
216	1	8228	--	--	--	--	--	>100	13	>100	13

Asta: 683 [1402,1360] Sez. G: D20 L=215.8 cm Crit.: Acciaio_Tirante $\gamma_M=1.05$ fyk/ $\gamma_M=2619$ kg/cmq ft=4300 kg/cmq :**Verificato**

X	cls	N	TY	TZ	MT	MY	MZ	My4	Mz4	Comb.
cm		kg	kg	kg	kg*m	kg*m	kg*m			
216	1	-438	--	--	--	--	--	--	--	(20+21)-VI-6

X	cls	Nr	Vyr	Vzr	Mry	Mrz	MTrd	SF_V.	SF_M	SF_Mt	SF
cm		kg	kg	kg	kg*m	kg*m	kg*m				
216	1	8228	--	--	--	--	--	>100	19	>100	19

Asta: 684 [1194,1152] Sez. G: D20 L=234.3 cm Crit.: Acciaio_Tirante $\gamma_M=1.05$ fyk/ $\gamma_M=2619$ kg/cmq ft=4300 kg/cmq :**Verificato**

X	cls	N	TY	TZ	MT	MY	MZ	My4	Mz4	Comb.
cm		kg	kg	kg	kg*m	kg*m	kg*m			
0	1	489	--	--	--	--	--	--	--	(20+21)-VIII-4

X	cls	Nr	Vyr	Vzr	Mry	Mrz	MTrd	SF_V.	SF_M	SF_Mt	SF
cm		kg	kg	kg	kg*m	kg*m	kg*m				
0	1	8228	--	--	--	--	--	>100	17	>100	17

Asta: 685 [1151,1195] Sez. G: D20 L=234.3 cm Crit.: Acciaio_Tirante $\gamma_M=1.05$ fyk/ $\gamma_M=2619$ kg/cmq ft=4300 kg/cmq :**Verificato**

X	cls	N	TY	TZ	MT	MY	MZ	My4	Mz4	Comb.
cm		kg	kg	kg	kg*m	kg*m	kg*m			
0	1	-483	--	--	--	--	--	--	--	(20+21)-VIII-4

X	cls	Nr	Vyr	Vzr	Mry	Mrz	MTrd	SF_V.	SF_M	SF_Mt	SF
cm		kg	kg	kg	kg*m	kg*m	kg*m				
0	1	8228	--	--	--	--	--	>100	17	>100	17

Asta: 686 [1195,1153] Sez. G: D20 L=234.3 cm Crit.: Acciaio_Tirante $\gamma_M=1.05$ fyk/ $\gamma_M=2619$ kg/cmq ft=4300 kg/cmq :**Verificato**

X	cls	N	TY	TZ	MT	MY	MZ	My4	Mz4	Comb.
cm		kg	kg	kg	kg*m	kg*m	kg*m			
0	1	284	--	--	--	--	--	--	--	(20+21)-VIII-8

X	cls	Nr	Vyr	Vzr	Mry	Mrz	MTrd	SF_V.	SF_M	SF_Mt	SF
cm		kg	kg	kg	kg*m	kg*m	kg*m				

X	cls	Nr	Vyr	Vzr	Mry	Mrz	MTrd	SF_V.	SF_M	SF_Mt	SF
0	1	8228	--	--	--	--	--	>100	29	>100	29

Asta: 687 [1152,1196] Sez. G: D20 L=234.3 cm Crit.: Acciaio_Tirante $\gamma_M=1.05$ fyk/ $\gamma_M=2619$ kg/cmq ft=4300 kg/cmq :**Verificato**

X	cls	N	TY	TZ	MT	MY	MZ	My4	Mz4	Comb.
cm		kg	kg	kg	kg*m	kg*m	kg*m			
0	1	-287	--	--	--	--	--	--	--	(20+21)-VIII-8

X	cls	Nr	Vyr	Vzr	Mry	Mrz	MTrd	SF_V.	SF_M	SF_Mt	SF
cm		kg	kg	kg	kg*m	kg*m	kg*m				
0	1	8228	--	--	--	--	--	>100	29	>100	29

Asta: 688 [1196,1154] Sez. G: D20 L=234.3 cm Crit.: Acciaio_Tirante $\gamma_M=1.05$ fyk/ $\gamma_M=2619$ kg/cmq ft=4300 kg/cmq :**Verificato**

X	cls	N	TY	TZ	MT	MY	MZ	My4	Mz4	Comb.
cm		kg	kg	kg	kg*m	kg*m	kg*m			
0	1	127	--	--	--	--	--	--	--	(20+21)-VIII-4

X	cls	Nr	Vyr	Vzr	Mry	Mrz	MTrd	SF_V.	SF_M	SF_Mt	SF
cm		kg	kg	kg	kg*m	kg*m	kg*m				
0	1	8228	--	--	--	--	--	>100	65	>100	65

Asta: 689 [1153,1197] Sez. G: D20 L=234.3 cm Crit.: Acciaio_Tirante $\gamma_M=1.05$ fyk/ $\gamma_M=2619$ kg/cmq ft=4300 kg/cmq :**Verificato**

X	cls	N	TY	TZ	MT	MY	MZ	My4	Mz4	Comb.
cm		kg	kg	kg	kg*m	kg*m	kg*m			
0	1	-131	--	--	--	--	--	--	--	(20+21)-VIII-4

X	cls	Nr	Vyr	Vzr	Mry	Mrz	MTrd	SF_V.	SF_M	SF_Mt	SF
cm		kg	kg	kg	kg*m	kg*m	kg*m				
0	1	8228	--	--	--	--	--	>100	63	>100	63

Asta: 690 [1197,1155] Sez. G: D20 L=234.3 cm Crit.: Acciaio_Tirante $\gamma_M=1.05$ fyk/ $\gamma_M=2619$ kg/cmq ft=4300 kg/cmq :**Verificato**

X	cls	N	TY	TZ	MT	MY	MZ	My4	Mz4	Comb.
cm		kg	kg	kg	kg*m	kg*m	kg*m			
0	1	243	--	--	--	--	--	--	--	(20+21)-VIII-7

X	cls	Nr	Vyr	Vzr	Mry	Mrz	MTrd	SF_V.	SF_M	SF_Mt	SF
cm		kg	kg	kg	kg*m	kg*m	kg*m				
0	1	8228	--	--	--	--	--	>100	34	>100	34

Asta: 691 [1154,1198] Sez. G: D20 L=234.3 cm Crit.: Acciaio_Tirante $\gamma_M=1.05$ fyk/ $\gamma_M=2619$ kg/cmq ft=4300 kg/cmq :**Verificato**

X	cls	N	TY	TZ	MT	MY	MZ	My4	Mz4	Comb.
cm		kg	kg	kg	kg*m	kg*m	kg*m			
234	1	238	--	--	--	--	--	--	--	(20+21)-VIII-2

X	cls	Nr	Vyr	Vzr	Mry	Mrz	MTrd	SF_V.	SF_M	SF_Mt	SF
cm		kg	kg	kg	kg*m	kg*m	kg*m				
234	1	8228	--	--	--	--	--	>100	35	>100	35

Asta: 692 [1198,1156] Sez. G: D20 L=234.3 cm Crit.: Acciaio_Tirante $\gamma_M=1.05$ fyk/ $\gamma_M=2619$ kg/cmq ft=4300 kg/cmq :**Verificato**

X	cls	N	TY	TZ	MT	MY	MZ	My4	Mz4	Comb.
cm		kg	kg	kg	kg*m	kg*m	kg*m			
0	1	370	--	--	--	--	--	--	--	(20+21)-VIII-4

X	cls	Nr	Vyr	Vzr	Mry	Mrz	MTrd	SF_V.	SF_M	SF_Mt	SF
cm		kg	kg	kg	kg*m	kg*m	kg*m				
0	1	8228	--	--	--	--	--	>100	22	>100	22

Asta: 693 [1155,1199] Sez. G: D20 L=234.3 cm Crit.: Acciaio_Tirante $\gamma_M=1.05$ fyk/ $\gamma_M=2619$ kg/cmq ft=4300 kg/cmq :**Verificato**

X	cls	N	TY	TZ	MT	MY	MZ	My4	Mz4	Comb.
cm		kg	kg	kg	kg*m	kg*m	kg*m			
0	1	-372	--	--	--	--	--	--	--	(20+21)-VIII-8

X	cls	Nr	Vyr	Vzr	Mry	Mrz	MTrd	SF_V.	SF_M	SF_Mt	SF
cm		kg	kg	kg	kg*m	kg*m	kg*m				
0	1	8228	--	--	--	--	--	>100	22	>100	22

Asta: 694 [1199,1157] Sez. G: D20 L=234.3 cm Crit.: Acciaio_Tirante $\gamma_M=1.05$ fyk/ $\gamma_M=2619$ kg/cmq ft=4300 kg/cmq :Verificato

X	cls	N	TY	TZ	MT	MY	MZ	My4	Mz4	Comb.
cm		kg	kg	kg	kg*m	kg*m	kg*m			
234	1	-235	--	--	--	--	--	--	--	(20+21)-VIII-5

X	cls	Nr	Vyr	Vzr	Mry	Mrz	MTrd	SF_V.	SF_M	SF_Mt	SF
cm		kg	kg	kg	kg*m	kg*m	kg*m				
234	1	8228	--	--	--	--	--	>100	35	>100	35

Asta: 695 [1156,1200] Sez. G: D20 L=234.3 cm Crit.: Acciaio_Tirante $\gamma_M=1.05$ fyk/ $\gamma_M=2619$ kg/cmq ft=4300 kg/cmq :Verificato

X	cls	N	TY	TZ	MT	MY	MZ	My4	Mz4	Comb.
cm		kg	kg	kg	kg*m	kg*m	kg*m			
234	1	234	--	--	--	--	--	--	--	(20+21)-VIII-1

X	cls	Nr	Vyr	Vzr	Mry	Mrz	MTrd	SF_V.	SF_M	SF_Mt	SF
cm		kg	kg	kg	kg*m	kg*m	kg*m				
234	1	8228	--	--	--	--	--	>100	35	>100	35

Asta: 696 [1200,1158] Sez. G: D20 L=234.3 cm Crit.: Acciaio_Tirante $\gamma_M=1.05$ fyk/ $\gamma_M=2619$ kg/cmq ft=4300 kg/cmq :Verificato

X	cls	N	TY	TZ	MT	MY	MZ	My4	Mz4	Comb.
cm		kg	kg	kg	kg*m	kg*m	kg*m			
234	1	-206	--	--	--	--	--	--	--	(20+21)-VIII-1

X	cls	Nr	Vyr	Vzr	Mry	Mrz	MTrd	SF_V.	SF_M	SF_Mt	SF
cm		kg	kg	kg	kg*m	kg*m	kg*m				
234	1	8228	--	--	--	--	--	>100	40	>100	40

Asta: 697 [1157,1201] Sez. G: D20 L=234.3 cm Crit.: Acciaio_Tirante $\gamma_M=1.05$ fyk/ $\gamma_M=2619$ kg/cmq ft=4300 kg/cmq :Verificato

X	cls	N	TY	TZ	MT	MY	MZ	My4	Mz4	Comb.
cm		kg	kg	kg	kg*m	kg*m	kg*m			
234	1	208	--	--	--	--	--	--	--	(20+21)-VIII-5

X	cls	Nr	Vyr	Vzr	Mry	Mrz	MTrd	SF_V.	SF_M	SF_Mt	SF
cm		kg	kg	kg	kg*m	kg*m	kg*m				
234	1	8228	--	--	--	--	--	>100	40	>100	40

Asta: 698 [1201,1159] Sez. G: D20 L=234.3 cm Crit.: Acciaio_Tirante $\gamma_M=1.05$ fyk/ $\gamma_M=2619$ kg/cmq ft=4300 kg/cmq :Verificato

X	cls	N	TY	TZ	MT	MY	MZ	My4	Mz4	Comb.
cm		kg	kg	kg	kg*m	kg*m	kg*m			
234	1	-318	--	--	--	--	--	--	--	(20+21)-VIII-2

X	cls	Nr	Vyr	Vzr	Mry	Mrz	MTrd	SF_V.	SF_M	SF_Mt	SF
cm		kg	kg	kg	kg*m	kg*m	kg*m				
234	1	8228	--	--	--	--	--	>100	26	>100	26

Asta: 699 [1158,1202] Sez. G: D20 L=234.3 cm Crit.: Acciaio_Tirante $\gamma_M=1.05$ fyk/ $\gamma_M=2619$ kg/cmq ft=4300 kg/cmq :Verificato

X	cls	N	TY	TZ	MT	MY	MZ	My4	Mz4	Comb.
cm		kg	kg	kg	kg*m	kg*m	kg*m			
234	1	319	--	--	--	--	--	--	--	(20+21)-VIII-2

X	cls	Nr	Vyr	Vzr	Mry	Mrz	MTrd	SF_V.	SF_M	SF_Mt	SF
cm		kg	kg	kg	kg*m	kg*m	kg*m				

X	cls	Nr	Vyr	Vzr	Mry	Mrz	MTrd	SF_V.	SF_M	SF_Mt	SF
234	1	8228	--	--	--	--	--	>100	26	>100	26

Asta: 700 [1202,1160] Sez. G: D20 L=234.3 cm Crit.: Acciaio_Tirante $\gamma_M=1.05$ fyk/ $\gamma_M=2619$ kg/cmq ft=4300 kg/cmq :**Verificato**

X	cls	N	TY	TZ	MT	MY	MZ	My4	Mz4	Comb.
cm		kg	kg	kg	kg*m	kg*m	kg*m			
234	1	-331	--	--	--	--	--	--	--	(20+21)-VIII-5

X	cls	Nr	Vyr	Vzr	Mry	Mrz	MTrd	SF_V.	SF_M	SF_Mt	SF
cm		kg	kg	kg	kg*m	kg*m	kg*m				
234	1	8228	--	--	--	--	--	>100	25	>100	25

Asta: 701 [1159,1203] Sez. G: D20 L=234.3 cm Crit.: Acciaio_Tirante $\gamma_M=1.05$ fyk/ $\gamma_M=2619$ kg/cmq ft=4300 kg/cmq :**Verificato**

X	cls	N	TY	TZ	MT	MY	MZ	My4	Mz4	Comb.
cm		kg	kg	kg	kg*m	kg*m	kg*m			
234	1	341	--	--	--	--	--	--	--	(20+21)-VIII-5

X	cls	Nr	Vyr	Vzr	Mry	Mrz	MTrd	SF_V.	SF_M	SF_Mt	SF
cm		kg	kg	kg	kg*m	kg*m	kg*m				
234	1	8228	--	--	--	--	--	>100	24	>100	24

Asta: 702 [1203,1161] Sez. G: D20 L=234.3 cm Crit.: Acciaio_Tirante $\gamma_M=1.05$ fyk/ $\gamma_M=2619$ kg/cmq ft=4300 kg/cmq :**Verificato**

X	cls	N	TY	TZ	MT	MY	MZ	My4	Mz4	Comb.
cm		kg	kg	kg	kg*m	kg*m	kg*m			
234	1	-232	--	--	--	--	--	--	--	(20+21)-VIII-5

X	cls	Nr	Vyr	Vzr	Mry	Mrz	MTrd	SF_V.	SF_M	SF_Mt	SF
cm		kg	kg	kg	kg*m	kg*m	kg*m				
234	1	8228	--	--	--	--	--	>100	36	>100	36

Asta: 703 [1160,1204] Sez. G: D20 L=234.3 cm Crit.: Acciaio_Tirante $\gamma_M=1.05$ fyk/ $\gamma_M=2619$ kg/cmq ft=4300 kg/cmq :**Verificato**

X	cls	N	TY	TZ	MT	MY	MZ	My4	Mz4	Comb.
cm		kg	kg	kg	kg*m	kg*m	kg*m			
234	1	236	--	--	--	--	--	--	--	(20+21)-VIII-5

X	cls	Nr	Vyr	Vzr	Mry	Mrz	MTrd	SF_V.	SF_M	SF_Mt	SF
cm		kg	kg	kg	kg*m	kg*m	kg*m				
234	1	8228	--	--	--	--	--	>100	35	>100	35

Asta: 704 [1204,1162] Sez. G: D20 L=234.3 cm Crit.: Acciaio_Tirante $\gamma_M=1.05$ fyk/ $\gamma_M=2619$ kg/cmq ft=4300 kg/cmq :**Verificato**

X	cls	N	TY	TZ	MT	MY	MZ	My4	Mz4	Comb.
cm		kg	kg	kg	kg*m	kg*m	kg*m			
234	1	-238	--	--	--	--	--	--	--	(20+21)-VIII-2

X	cls	Nr	Vyr	Vzr	Mry	Mrz	MTrd	SF_V.	SF_M	SF_Mt	SF
cm		kg	kg	kg	kg*m	kg*m	kg*m				
234	1	8228	--	--	--	--	--	>100	35	>100	35

Asta: 705 [1161,1205] Sez. G: D20 L=234.3 cm Crit.: Acciaio_Tirante $\gamma_M=1.05$ fyk/ $\gamma_M=2619$ kg/cmq ft=4300 kg/cmq :**Verificato**

X	cls	N	TY	TZ	MT	MY	MZ	My4	Mz4	Comb.
cm		kg	kg	kg	kg*m	kg*m	kg*m			
234	1	235	--	--	--	--	--	--	--	(20+21)-VIII-2

X	cls	Nr	Vyr	Vzr	Mry	Mrz	MTrd	SF_V.	SF_M	SF_Mt	SF
cm		kg	kg	kg	kg*m	kg*m	kg*m				
234	1	8228	--	--	--	--	--	>100	35	>100	35

Asta: 706 [1205,1163] Sez. G: D20 L=234.3 cm Crit.: Acciaio_Tirante $\gamma_M=1.05$ fyk/ $\gamma_M=2619$ kg/cmq ft=4300 kg/cmq :**Verificato**

X	cls	N	TY	TZ	MT	MY	MZ	My4	Mz4	Comb.
cm		kg	kg	kg	kg*m	kg*m	kg*m			
234	1	-328	--	--	--	--	--	--	--	(20+21)-VIII-6

X	cls	Nr	Vyr	Vzr	Mry	Mrz	MTrd	SF_V.	SF_M	SF_Mt	SF
cm		kg	kg	kg	kg*m	kg*m	kg*m				
234	1	8228	--	--	--	--	--	>100	25	>100	25

Asta: 707 [1162,1206] Sez. G: D20 L=234.3 cm Crit.: Acciaio_Tirante $\gamma_M=1.05$ fyk/ $\gamma_M=2619$ kg/cmq ft=4300 kg/cmq :**Verificato**

X	cls	N	TY	TZ	MT	MY	MZ	My4	Mz4	Comb.
cm		kg	kg	kg	kg*m	kg*m	kg*m			
234	1	334	--	--	--	--	--	--	--	(20+21)-VIII-6

X	cls	Nr	Vyr	Vzr	Mry	Mrz	MTrd	SF_V.	SF_M	SF_Mt	SF
cm		kg	kg	kg	kg*m	kg*m	kg*m				
234	1	8228	--	--	--	--	--	>100	25	>100	25

Asta: 708 [1206,1164] Sez. G: D20 L=234.3 cm Crit.: Acciaio_Tirante $\gamma_M=1.05$ fyk/ $\gamma_M=2619$ kg/cmq ft=4300 kg/cmq :**Verificato**

X	cls	N	TY	TZ	MT	MY	MZ	My4	Mz4	Comb.
cm		kg	kg	kg	kg*m	kg*m	kg*m			
234	1	-337	--	--	--	--	--	--	--	(20+21)-VI-1

X	cls	Nr	Vyr	Vzr	Mry	Mrz	MTrd	SF_V.	SF_M	SF_Mt	SF
cm		kg	kg	kg	kg*m	kg*m	kg*m				
234	1	8228	--	--	--	--	--	>100	24	>100	24

Asta: 709 [1163,1207] Sez. G: D20 L=234.3 cm Crit.: Acciaio_Tirante $\gamma_M=1.05$ fyk/ $\gamma_M=2619$ kg/cmq ft=4300 kg/cmq :**Verificato**

X	cls	N	TY	TZ	MT	MY	MZ	My4	Mz4	Comb.
cm		kg	kg	kg	kg*m	kg*m	kg*m			
234	1	343	--	--	--	--	--	--	--	(20+21)-VI-1

X	cls	Nr	Vyr	Vzr	Mry	Mrz	MTrd	SF_V.	SF_M	SF_Mt	SF
cm		kg	kg	kg	kg*m	kg*m	kg*m				
234	1	8228	--	--	--	--	--	>100	24	>100	24

Asta: 710 [1207,1165] Sez. G: D20 L=234.3 cm Crit.: Acciaio_Tirante $\gamma_M=1.05$ fyk/ $\gamma_M=2619$ kg/cmq ft=4300 kg/cmq :**Verificato**

X	cls	N	TY	TZ	MT	MY	MZ	My4	Mz4	Comb.
cm		kg	kg	kg	kg*m	kg*m	kg*m			
234	1	-261	--	--	--	--	--	--	--	(20+21)-VI-5

X	cls	Nr	Vyr	Vzr	Mry	Mrz	MTrd	SF_V.	SF_M	SF_Mt	SF
cm		kg	kg	kg	kg*m	kg*m	kg*m				
234	1	8228	--	--	--	--	--	>100	31	>100	31

Asta: 711 [1164,1208] Sez. G: D20 L=234.3 cm Crit.: Acciaio_Tirante $\gamma_M=1.05$ fyk/ $\gamma_M=2619$ kg/cmq ft=4300 kg/cmq :**Verificato**

X	cls	N	TY	TZ	MT	MY	MZ	My4	Mz4	Comb.
cm		kg	kg	kg	kg*m	kg*m	kg*m			
234	1	259	--	--	--	--	--	--	--	(20+21)-VI-5

X	cls	Nr	Vyr	Vzr	Mry	Mrz	MTrd	SF_V.	SF_M	SF_Mt	SF
cm		kg	kg	kg	kg*m	kg*m	kg*m				
234	1	8228	--	--	--	--	--	>100	32	>100	32

Asta: 712 [1208,1166] Sez. G: D20 L=234.3 cm Crit.: Acciaio_Tirante $\gamma_M=1.05$ fyk/ $\gamma_M=2619$ kg/cmq ft=4300 kg/cmq :**Verificato**

X	cls	N	TY	TZ	MT	MY	MZ	My4	Mz4	Comb.
cm		kg	kg	kg	kg*m	kg*m	kg*m			
234	1	-240	--	--	--	--	--	--	--	(20+21)-VIII-2

X	cls	Nr	Vyr	Vzr	Mry	Mrz	MTrd	SF_V.	SF_M	SF_Mt	SF
cm		kg	kg	kg	kg*m	kg*m	kg*m				

X	cls	Nr	Vyr	Vzr	Mry	Mrz	MTrd	SF_V.	SF_M	SF_Mt	SF
234	1	8228	--	--	--	--	--	>100	34	>100	34

Asta: 713 [1165,1209] Sez. G: D20 L=234.3 cm Crit.: Acciaio_Tirante $\gamma_M=1.05$ fyk/ $\gamma_M=2619$ kg/cmq ft=4300 kg/cmq :**Verificato**

X	cls	N	TY	TZ	MT	MY	MZ	My4	Mz4	Comb.
cm		kg	kg	kg	kg*m	kg*m	kg*m			
234	1	235	--	--	--	--	--	--	--	(20+21)-VIII-2

X	cls	Nr	Vyr	Vzr	Mry	Mrz	MTrd	SF_V.	SF_M	SF_Mt	SF
cm		kg	kg	kg	kg*m	kg*m	kg*m				
234	1	8228	--	--	--	--	--	>100	35	>100	35

Asta: 714 [1209,1167] Sez. G: D20 L=234.3 cm Crit.: Acciaio_Tirante $\gamma_M=1.05$ fyk/ $\gamma_M=2619$ kg/cmq ft=4300 kg/cmq :**Verificato**

X	cls	N	TY	TZ	MT	MY	MZ	My4	Mz4	Comb.
cm		kg	kg	kg	kg*m	kg*m	kg*m			
234	1	-334	--	--	--	--	--	--	--	(20+21)-VIII-6

X	cls	Nr	Vyr	Vzr	Mry	Mrz	MTrd	SF_V.	SF_M	SF_Mt	SF
cm		kg	kg	kg	kg*m	kg*m	kg*m				
234	1	8228	--	--	--	--	--	>100	25	>100	25

Asta: 715 [1166,1210] Sez. G: D20 L=234.3 cm Crit.: Acciaio_Tirante $\gamma_M=1.05$ fyk/ $\gamma_M=2619$ kg/cmq ft=4300 kg/cmq :**Verificato**

X	cls	N	TY	TZ	MT	MY	MZ	My4	Mz4	Comb.
cm		kg	kg	kg	kg*m	kg*m	kg*m			
234	1	340	--	--	--	--	--	--	--	(20+21)-VIII-6

X	cls	Nr	Vyr	Vzr	Mry	Mrz	MTrd	SF_V.	SF_M	SF_Mt	SF
cm		kg	kg	kg	kg*m	kg*m	kg*m				
234	1	8228	--	--	--	--	--	>100	24	>100	24

Asta: 716 [1210,1168] Sez. G: D20 L=234.3 cm Crit.: Acciaio_Tirante $\gamma_M=1.05$ fyk/ $\gamma_M=2619$ kg/cmq ft=4300 kg/cmq :**Verificato**

X	cls	N	TY	TZ	MT	MY	MZ	My4	Mz4	Comb.
cm		kg	kg	kg	kg*m	kg*m	kg*m			
234	1	-386	--	--	--	--	--	--	--	(20+21)-VI-1

X	cls	Nr	Vyr	Vzr	Mry	Mrz	MTrd	SF_V.	SF_M	SF_Mt	SF
cm		kg	kg	kg	kg*m	kg*m	kg*m				
234	1	8228	--	--	--	--	--	>100	21	>100	21

Asta: 717 [1167,1211] Sez. G: D20 L=234.3 cm Crit.: Acciaio_Tirante $\gamma_M=1.05$ fyk/ $\gamma_M=2619$ kg/cmq ft=4300 kg/cmq :**Verificato**

X	cls	N	TY	TZ	MT	MY	MZ	My4	Mz4	Comb.
cm		kg	kg	kg	kg*m	kg*m	kg*m			
234	1	404	--	--	--	--	--	--	--	(20+21)-VI-1

X	cls	Nr	Vyr	Vzr	Mry	Mrz	MTrd	SF_V.	SF_M	SF_Mt	SF
cm		kg	kg	kg	kg*m	kg*m	kg*m				
234	1	8228	--	--	--	--	--	>100	20	>100	20

Asta: 718 [1211,1169] Sez. G: D20 L=234.3 cm Crit.: Acciaio_Tirante $\gamma_M=1.05$ fyk/ $\gamma_M=2619$ kg/cmq ft=4300 kg/cmq :**Verificato**

X	cls	N	TY	TZ	MT	MY	MZ	My4	Mz4	Comb.
cm		kg	kg	kg	kg*m	kg*m	kg*m			
234	1	-299	--	--	--	--	--	--	--	(20+21)-VI-5

X	cls	Nr	Vyr	Vzr	Mry	Mrz	MTrd	SF_V.	SF_M	SF_Mt	SF
cm		kg	kg	kg	kg*m	kg*m	kg*m				
234	1	8228	--	--	--	--	--	>100	28	>100	28

Asta: 719 [1168,1212] Sez. G: D20 L=234.3 cm Crit.: Acciaio_Tirante $\gamma_M=1.05$ fyk/ $\gamma_M=2619$ kg/cmq ft=4300 kg/cmq :**Verificato**

X	cls	N	TY	TZ	MT	MY	MZ	My4	Mz4	Comb.
cm		kg	kg	kg	kg*m	kg*m	kg*m			
234	1	301	--	--	--	--	--	--	--	(20+21)-VI-5

X	cls	Nr	Vyr	Vzr	Mry	Mrz	MTrd	SF_V.	SF_M	SF_Mt	SF
cm		kg	kg	kg	kg*m	kg*m	kg*m				
234	1	8228	--	--	--	--	--	>100	27	>100	27

Asta: 720 [1212,1170] Sez. G: D20 L=234.3 cm Crit.: Acciaio_Tirante $\gamma_M=1.05$ fyk/ $\gamma_M=2619$ kg/cm² ft=4300 kg/cm² :Verificato

X	cls	N	TY	TZ	MT	MY	MZ	My4	Mz4	Comb.
cm		kg	kg	kg	kg*m	kg*m	kg*m			
234	1	-287	--	--	--	--	--	--	--	(20+21)-VII-2

X	cls	Nr	Vyr	Vzr	Mry	Mrz	MTrd	SF_V.	SF_M	SF_Mt	SF
cm		kg	kg	kg	kg*m	kg*m	kg*m				
234	1	8228	--	--	--	--	--	>100	29	>100	29

Asta: 721 [1169,1213] Sez. G: D20 L=234.3 cm Crit.: Acciaio_Tirante $\gamma_M=1.05$ fyk/ $\gamma_M=2619$ kg/cm² ft=4300 kg/cm² :Verificato

X	cls	N	TY	TZ	MT	MY	MZ	My4	Mz4	Comb.
cm		kg	kg	kg	kg*m	kg*m	kg*m			
234	1	286	--	--	--	--	--	--	--	(20+21)-VII-6

X	cls	Nr	Vyr	Vzr	Mry	Mrz	MTrd	SF_V.	SF_M	SF_Mt	SF
cm		kg	kg	kg	kg*m	kg*m	kg*m				
234	1	8228	--	--	--	--	--	>100	29	>100	29

Asta: 722 [1213,1171] Sez. G: D20 L=234.3 cm Crit.: Acciaio_Tirante $\gamma_M=1.05$ fyk/ $\gamma_M=2619$ kg/cm² ft=4300 kg/cm² :Verificato

X	cls	N	TY	TZ	MT	MY	MZ	My4	Mz4	Comb.
cm		kg	kg	kg	kg*m	kg*m	kg*m			
234	1	-395	--	--	--	--	--	--	--	(20+21)-VIII-6

X	cls	Nr	Vyr	Vzr	Mry	Mrz	MTrd	SF_V.	SF_M	SF_Mt	SF
cm		kg	kg	kg	kg*m	kg*m	kg*m				
234	1	8228	--	--	--	--	--	>100	21	>100	21

Asta: 723 [1170,1214] Sez. G: D20 L=234.3 cm Crit.: Acciaio_Tirante $\gamma_M=1.05$ fyk/ $\gamma_M=2619$ kg/cm² ft=4300 kg/cm² :Verificato

X	cls	N	TY	TZ	MT	MY	MZ	My4	Mz4	Comb.
cm		kg	kg	kg	kg*m	kg*m	kg*m			
234	1	398	--	--	--	--	--	--	--	(20+21)-VIII-6

X	cls	Nr	Vyr	Vzr	Mry	Mrz	MTrd	SF_V.	SF_M	SF_Mt	SF
cm		kg	kg	kg	kg*m	kg*m	kg*m				
234	1	8228	--	--	--	--	--	>100	21	>100	21

Asta: 724 [1214,1172] Sez. G: D20 L=234.3 cm Crit.: Acciaio_Tirante $\gamma_M=1.05$ fyk/ $\gamma_M=2619$ kg/cm² ft=4300 kg/cm² :Verificato

X	cls	N	TY	TZ	MT	MY	MZ	My4	Mz4	Comb.
cm		kg	kg	kg	kg*m	kg*m	kg*m			
234	1	-489	--	--	--	--	--	--	--	(20+21)-VI-1

X	cls	Nr	Vyr	Vzr	Mry	Mrz	MTrd	SF_V.	SF_M	SF_Mt	SF
cm		kg	kg	kg	kg*m	kg*m	kg*m				
234	1	8228	--	--	--	--	--	>100	17	>100	17

Asta: 725 [1171,1215] Sez. G: D20 L=234.3 cm Crit.: Acciaio_Tirante $\gamma_M=1.05$ fyk/ $\gamma_M=2619$ kg/cm² ft=4300 kg/cm² :Verificato

X	cls	N	TY	TZ	MT	MY	MZ	My4	Mz4	Comb.
cm		kg	kg	kg	kg*m	kg*m	kg*m			
234	1	502	--	--	--	--	--	--	--	(20+21)-VI-1

X	cls	Nr	Vyr	Vzr	Mry	Mrz	MTrd	SF_V.	SF_M	SF_Mt	SF
cm		kg	kg	kg	kg*m	kg*m	kg*m				

X	cls	Nr	Vyr	Vzr	Mry	Mrz	MTrd	SF_V.	SF_M	SF_Mt	SF
234	1	8228	--	--	--	--	--	>100	16	>100	16

Asta: 726 [1215,1173] Sez. G: D20 L=234.3 cm Crit.: Acciaio_Tirante $\gamma_M=1.05$ fyk/ $\gamma_M=2619$ kg/cmq ft=4300 kg/cmq :**Verificato**

X	cls	N	TY	TZ	MT	MY	MZ	My4	Mz4	Comb.
cm		kg	kg	kg	kg*m	kg*m	kg*m			
234	1	-400	--	--	--	--	--	--	--	(20+21)-V-1

X	cls	Nr	Vyr	Vzr	Mry	Mrz	MTrd	SF_V.	SF_M	SF_Mt	SF
cm		kg	kg	kg	kg*m	kg*m	kg*m				
234	1	8228	--	--	--	--	--	>100	21	>100	21

Asta: 727 [1172,1216] Sez. G: D20 L=234.3 cm Crit.: Acciaio_Tirante $\gamma_M=1.05$ fyk/ $\gamma_M=2619$ kg/cmq ft=4300 kg/cmq :**Verificato**

X	cls	N	TY	TZ	MT	MY	MZ	My4	Mz4	Comb.
cm		kg	kg	kg	kg*m	kg*m	kg*m			
234	1	408	--	--	--	--	--	--	--	(20+21)-V-5

X	cls	Nr	Vyr	Vzr	Mry	Mrz	MTrd	SF_V.	SF_M	SF_Mt	SF
cm		kg	kg	kg	kg*m	kg*m	kg*m				
234	1	8228	--	--	--	--	--	>100	20	>100	20

Asta: 728 [1216,1174] Sez. G: D20 L=234.3 cm Crit.: Acciaio_Tirante $\gamma_M=1.05$ fyk/ $\gamma_M=2619$ kg/cmq ft=4300 kg/cmq :**Verificato**

X	cls	N	TY	TZ	MT	MY	MZ	My4	Mz4	Comb.
cm		kg	kg	kg	kg*m	kg*m	kg*m			
234	1	-436	--	--	--	--	--	--	--	(20+21)-VIII-6

X	cls	Nr	Vyr	Vzr	Mry	Mrz	MTrd	SF_V.	SF_M	SF_Mt	SF
cm		kg	kg	kg	kg*m	kg*m	kg*m				
234	1	8228	--	--	--	--	--	>100	19	>100	19

Asta: 729 [1173,1217] Sez. G: D20 L=234.3 cm Crit.: Acciaio_Tirante $\gamma_M=1.05$ fyk/ $\gamma_M=2619$ kg/cmq ft=4300 kg/cmq :**Verificato**

X	cls	N	TY	TZ	MT	MY	MZ	My4	Mz4	Comb.
cm		kg	kg	kg	kg*m	kg*m	kg*m			
234	1	438	--	--	--	--	--	--	--	(20+21)-VIII-6

X	cls	Nr	Vyr	Vzr	Mry	Mrz	MTrd	SF_V.	SF_M	SF_Mt	SF
cm		kg	kg	kg	kg*m	kg*m	kg*m				
234	1	8228	--	--	--	--	--	>100	19	>100	19

Asta: 730 [1217,1175] Sez. G: D20 L=234.3 cm Crit.: Acciaio_Tirante $\gamma_M=1.05$ fyk/ $\gamma_M=2619$ kg/cmq ft=4300 kg/cmq :**Verificato**

X	cls	N	TY	TZ	MT	MY	MZ	My4	Mz4	Comb.
cm		kg	kg	kg	kg*m	kg*m	kg*m			
234	1	-504	--	--	--	--	--	--	--	(20+21)-VIII-2

X	cls	Nr	Vyr	Vzr	Mry	Mrz	MTrd	SF_V.	SF_M	SF_Mt	SF
cm		kg	kg	kg	kg*m	kg*m	kg*m				
234	1	8228	--	--	--	--	--	>100	16	>100	16

Asta: 731 [1174,1218] Sez. G: D20 L=234.3 cm Crit.: Acciaio_Tirante $\gamma_M=1.05$ fyk/ $\gamma_M=2619$ kg/cmq ft=4300 kg/cmq :**Verificato**

X	cls	N	TY	TZ	MT	MY	MZ	My4	Mz4	Comb.
cm		kg	kg	kg	kg*m	kg*m	kg*m			
234	1	530	--	--	--	--	--	--	--	(20+21)-VIII-2

X	cls	Nr	Vyr	Vzr	Mry	Mrz	MTrd	SF_V.	SF_M	SF_Mt	SF
cm		kg	kg	kg	kg*m	kg*m	kg*m				
234	1	8228	--	--	--	--	--	>100	16	>100	16

Asta: 732 [1218,1176] Sez. G: D20 L=234.3 cm Crit.: Acciaio_Tirante $\gamma_M=1.05$ fyk/ $\gamma_M=2619$ kg/cmq ft=4300 kg/cmq :**Verificato**

X	cls	N	TY	TZ	MT	MY	MZ	My4	Mz4	Comb.
cm		kg	kg	kg	kg*m	kg*m	kg*m			
0	1	496	--	--	--	--	--	--	--	(20+21)-VI-4

X	cls	Nr	Vyr	Vzr	Mry	Mrz	MTrd	SF_V.	SF_M	SF_Mt	SF
cm		kg	kg	kg	kg*m	kg*m	kg*m				
0	1	8228	--	--	--	--	--	>100	17	>100	17

Asta: 733 [1175,1219] Sez. G: D20 L=234.3 cm Crit.: Acciaio_Tirante $\gamma M=1.05$ fyk/ $\gamma M=2619$ kg/cm² ft=4300 kg/cm² :**Verificato**

X	cls	N	TY	TZ	MT	MY	MZ	My4	Mz4	Comb.
cm		kg	kg	kg	kg*m	kg*m	kg*m			
0	1	-480	--	--	--	--	--	--	--	(20+21)-VI-8

X	cls	Nr	Vyr	Vzr	Mry	Mrz	MTrd	SF_V.	SF_M	SF_Mt	SF
cm		kg	kg	kg	kg*m	kg*m	kg*m				
0	1	8228	--	--	--	--	--	>100	17	>100	17

Asta: 734 [1219,1177] Sez. G: D20 L=234.3 cm Crit.: Acciaio_Tirante $\gamma M=1.05$ fyk/ $\gamma M=2619$ kg/cm² ft=4300 kg/cm² :**Verificato**

X	cls	N	TY	TZ	MT	MY	MZ	My4	Mz4	Comb.
cm		kg	kg	kg	kg*m	kg*m	kg*m			
0	1	430	--	--	--	--	--	--	--	(20+21)-VI-4

X	cls	Nr	Vyr	Vzr	Mry	Mrz	MTrd	SF_V.	SF_M	SF_Mt	SF
cm		kg	kg	kg	kg*m	kg*m	kg*m				
0	1	8228	--	--	--	--	--	>100	19	>100	19

Asta: 735 [1176,1220] Sez. G: D20 L=234.3 cm Crit.: Acciaio_Tirante $\gamma M=1.05$ fyk/ $\gamma M=2619$ kg/cm² ft=4300 kg/cm² :**Verificato**

X	cls	N	TY	TZ	MT	MY	MZ	My4	Mz4	Comb.
cm		kg	kg	kg	kg*m	kg*m	kg*m			
0	1	-416	--	--	--	--	--	--	--	(20+21)-VI-4

X	cls	Nr	Vyr	Vzr	Mry	Mrz	MTrd	SF_V.	SF_M	SF_Mt	SF
cm		kg	kg	kg	kg*m	kg*m	kg*m				
0	1	8228	--	--	--	--	--	>100	20	>100	20

Asta: 736 [1220,1178] Sez. G: D20 L=234.3 cm Crit.: Acciaio_Tirante $\gamma M=1.05$ fyk/ $\gamma M=2619$ kg/cm² ft=4300 kg/cm² :**Verificato**

X	cls	N	TY	TZ	MT	MY	MZ	My4	Mz4	Comb.
cm		kg	kg	kg	kg*m	kg*m	kg*m			
0	1	431	--	--	--	--	--	--	--	(20+21)-VIII-3

X	cls	Nr	Vyr	Vzr	Mry	Mrz	MTrd	SF_V.	SF_M	SF_Mt	SF
cm		kg	kg	kg	kg*m	kg*m	kg*m				
0	1	8228	--	--	--	--	--	>100	19	>100	19

Asta: 737 [1177,1221] Sez. G: D20 L=234.3 cm Crit.: Acciaio_Tirante $\gamma M=1.05$ fyk/ $\gamma M=2619$ kg/cm² ft=4300 kg/cm² :**Verificato**

X	cls	N	TY	TZ	MT	MY	MZ	My4	Mz4	Comb.
cm		kg	kg	kg	kg*m	kg*m	kg*m			
0	1	-425	--	--	--	--	--	--	--	(20+21)-VIII-3

X	cls	Nr	Vyr	Vzr	Mry	Mrz	MTrd	SF_V.	SF_M	SF_Mt	SF
cm		kg	kg	kg	kg*m	kg*m	kg*m				
0	1	8228	--	--	--	--	--	>100	19	>100	19

Asta: 738 [1221,1179] Sez. G: D20 L=234.3 cm Crit.: Acciaio_Tirante $\gamma M=1.05$ fyk/ $\gamma M=2619$ kg/cm² ft=4300 kg/cm² :**Verificato**

X	cls	N	TY	TZ	MT	MY	MZ	My4	Mz4	Comb.
cm		kg	kg	kg	kg*m	kg*m	kg*m			
0	1	513	--	--	--	--	--	--	--	(20+21)-VIII-3

X	cls	Nr	Vyr	Vzr	Mry	Mrz	MTrd	SF_V.	SF_M	SF_Mt	SF
cm		kg	kg	kg	kg*m	kg*m	kg*m				

X	cls	Nr	Vyr	Vzr	Mry	Mrz	MTrd	SF_V.	SF_M	SF_Mt	SF
0	1	8228	--	--	--	--	--	>100	16	>100	16

Asta: 739 [1178,1222] Sez. G: D20 L=234.3 cm Crit.: Acciaio_Tirante $\gamma_M=1.05$ fyk/ $\gamma_M=2619$ kg/cmq ft=4300 kg/cmq :**Verificato**

X	cls	N	TY	TZ	MT	MY	MZ	My4	Mz4	Comb.
cm		kg	kg	kg	kg*m	kg*m	kg*m			
0	1	-502	--	--	--	--	--	--	--	(20+21)-VIII-3

X	cls	Nr	Vyr	Vzr	Mry	Mrz	MTrd	SF_V.	SF_M	SF_Mt	SF
cm		kg	kg	kg	kg*m	kg*m	kg*m				
0	1	8228	--	--	--	--	--	>100	16	>100	16

Asta: 740 [1222,1180] Sez. G: D20 L=234.3 cm Crit.: Acciaio_Tirante $\gamma_M=1.05$ fyk/ $\gamma_M=2619$ kg/cmq ft=4300 kg/cmq :**Verificato**

X	cls	N	TY	TZ	MT	MY	MZ	My4	Mz4	Comb.
cm		kg	kg	kg	kg*m	kg*m	kg*m			
0	1	416	--	--	--	--	--	--	--	(20+21)-VI-8

X	cls	Nr	Vyr	Vzr	Mry	Mrz	MTrd	SF_V.	SF_M	SF_Mt	SF
cm		kg	kg	kg	kg*m	kg*m	kg*m				
0	1	8228	--	--	--	--	--	>100	20	>100	20

Asta: 741 [1179,1223] Sez. G: D20 L=234.3 cm Crit.: Acciaio_Tirante $\gamma_M=1.05$ fyk/ $\gamma_M=2619$ kg/cmq ft=4300 kg/cmq :**Verificato**

X	cls	N	TY	TZ	MT	MY	MZ	My4	Mz4	Comb.
cm		kg	kg	kg	kg*m	kg*m	kg*m			
0	1	-408	--	--	--	--	--	--	--	(20+21)-VI-8

X	cls	Nr	Vyr	Vzr	Mry	Mrz	MTrd	SF_V.	SF_M	SF_Mt	SF
cm		kg	kg	kg	kg*m	kg*m	kg*m				
0	1	8228	--	--	--	--	--	>100	20	>100	20

Asta: 742 [1223,1181] Sez. G: D20 L=234.3 cm Crit.: Acciaio_Tirante $\gamma_M=1.05$ fyk/ $\gamma_M=2619$ kg/cmq ft=4300 kg/cmq :**Verificato**

X	cls	N	TY	TZ	MT	MY	MZ	My4	Mz4	Comb.
cm		kg	kg	kg	kg*m	kg*m	kg*m			
0	1	319	--	--	--	--	--	--	--	(20+21)-VI-4

X	cls	Nr	Vyr	Vzr	Mry	Mrz	MTrd	SF_V.	SF_M	SF_Mt	SF
cm		kg	kg	kg	kg*m	kg*m	kg*m				
0	1	8228	--	--	--	--	--	>100	26	>100	26

Asta: 743 [1180,1224] Sez. G: D20 L=234.3 cm Crit.: Acciaio_Tirante $\gamma_M=1.05$ fyk/ $\gamma_M=2619$ kg/cmq ft=4300 kg/cmq :**Verificato**

X	cls	N	TY	TZ	MT	MY	MZ	My4	Mz4	Comb.
cm		kg	kg	kg	kg*m	kg*m	kg*m			
0	1	-319	--	--	--	--	--	--	--	(20+21)-VI-4

X	cls	Nr	Vyr	Vzr	Mry	Mrz	MTrd	SF_V.	SF_M	SF_Mt	SF
cm		kg	kg	kg	kg*m	kg*m	kg*m				
0	1	8228	--	--	--	--	--	>100	26	>100	26

Asta: 744 [1224,1182] Sez. G: D20 L=234.3 cm Crit.: Acciaio_Tirante $\gamma_M=1.05$ fyk/ $\gamma_M=2619$ kg/cmq ft=4300 kg/cmq :**Verificato**

X	cls	N	TY	TZ	MT	MY	MZ	My4	Mz4	Comb.
cm		kg	kg	kg	kg*m	kg*m	kg*m			
0	1	323	--	--	--	--	--	--	--	(20+21)-VI-7

X	cls	Nr	Vyr	Vzr	Mry	Mrz	MTrd	SF_V.	SF_M	SF_Mt	SF
cm		kg	kg	kg	kg*m	kg*m	kg*m				
0	1	8228	--	--	--	--	--	>100	25	>100	25

Asta: 745 [1181,1225] Sez. G: D20 L=234.3 cm Crit.: Acciaio_Tirante $\gamma_M=1.05$ fyk/ $\gamma_M=2619$ kg/cmq ft=4300 kg/cmq :**Verificato**

X	cls	N	TY	TZ	MT	MY	MZ	My4	Mz4	Comb.
cm		kg	kg	kg	kg*m	kg*m	kg*m			
0	1	-321	--	--	--	--	--	--	--	(20+21)-VI-7

X	cls	Nr	Vyr	Vzr	Mry	Mrz	MTrd	SF_V.	SF_M	SF_Mt	SF
cm		kg	kg	kg	kg*m	kg*m	kg*m				
0	1	8228	--	--	--	--	--	>100	26	>100	26

Asta: 746 [1225,1183] Sez. G: D20 L=234.3 cm Crit.: Acciaio_Tirante $\gamma M=1.05$ fyk/ $\gamma M=2619$ kg/cmq
ft=4300 kg/cmq :**Verificato**

X	cls	N	TY	TZ	MT	MY	MZ	My4	Mz4	Comb.
cm		kg	kg	kg	kg*m	kg*m	kg*m			
0	1	428	--	--	--	--	--	--	--	(20+21)-VI-7

X	cls	Nr	Vyr	Vzr	Mry	Mrz	MTrd	SF_V.	SF_M	SF_Mt	SF
cm		kg	kg	kg	kg*m	kg*m	kg*m				
0	1	8228	--	--	--	--	--	>100	19	>100	19

Asta: 747 [1182,1226] Sez. G: D20 L=234.3 cm Crit.: Acciaio_Tirante $\gamma M=1.05$ fyk/ $\gamma M=2619$ kg/cmq
ft=4300 kg/cmq :**Verificato**

X	cls	N	TY	TZ	MT	MY	MZ	My4	Mz4	Comb.
cm		kg	kg	kg	kg*m	kg*m	kg*m			
0	1	-426	--	--	--	--	--	--	--	(20+21)-VI-3

X	cls	Nr	Vyr	Vzr	Mry	Mrz	MTrd	SF_V.	SF_M	SF_Mt	SF
cm		kg	kg	kg	kg*m	kg*m	kg*m				
0	1	8228	--	--	--	--	--	>100	19	>100	19

Asta: 748 [1226,1184] Sez. G: D20 L=234.3 cm Crit.: Acciaio_Tirante $\gamma M=1.05$ fyk/ $\gamma M=2619$ kg/cmq
ft=4300 kg/cmq :**Verificato**

X	cls	N	TY	TZ	MT	MY	MZ	My4	Mz4	Comb.
cm		kg	kg	kg	kg*m	kg*m	kg*m			
0	1	359	--	--	--	--	--	--	--	(20+21)-VI-8

X	cls	Nr	Vyr	Vzr	Mry	Mrz	MTrd	SF_V.	SF_M	SF_Mt	SF
cm		kg	kg	kg	kg*m	kg*m	kg*m				
0	1	8228	--	--	--	--	--	>100	23	>100	23

Asta: 749 [1183,1227] Sez. G: D20 L=234.3 cm Crit.: Acciaio_Tirante $\gamma M=1.05$ fyk/ $\gamma M=2619$ kg/cmq
ft=4300 kg/cmq :**Verificato**

X	cls	N	TY	TZ	MT	MY	MZ	My4	Mz4	Comb.
cm		kg	kg	kg	kg*m	kg*m	kg*m			
0	1	-355	--	--	--	--	--	--	--	(20+21)-VI-4

X	cls	Nr	Vyr	Vzr	Mry	Mrz	MTrd	SF_V.	SF_M	SF_Mt	SF
cm		kg	kg	kg	kg*m	kg*m	kg*m				
0	1	8228	--	--	--	--	--	>100	23	>100	23

Asta: 750 [1227,1185] Sez. G: D20 L=234.3 cm Crit.: Acciaio_Tirante $\gamma M=1.05$ fyk/ $\gamma M=2619$ kg/cmq
ft=4300 kg/cmq :**Verificato**

X	cls	N	TY	TZ	MT	MY	MZ	My4	Mz4	Comb.
cm		kg	kg	kg	kg*m	kg*m	kg*m			
0	1	252	--	--	--	--	--	--	--	(20+21)-VI-3

X	cls	Nr	Vyr	Vzr	Mry	Mrz	MTrd	SF_V.	SF_M	SF_Mt	SF
cm		kg	kg	kg	kg*m	kg*m	kg*m				
0	1	8228	--	--	--	--	--	>100	33	>100	33

Asta: 751 [1184,1228] Sez. G: D20 L=234.3 cm Crit.: Acciaio_Tirante $\gamma M=1.05$ fyk/ $\gamma M=2619$ kg/cmq
ft=4300 kg/cmq :**Verificato**

X	cls	N	TY	TZ	MT	MY	MZ	My4	Mz4	Comb.
cm		kg	kg	kg	kg*m	kg*m	kg*m			
0	1	-247	--	--	--	--	--	--	--	(20+21)-VI-3

X	cls	Nr	Vyr	Vzr	Mry	Mrz	MTrd	SF_V.	SF_M	SF_Mt	SF
cm		kg	kg	kg	kg*m	kg*m	kg*m				

X	cls	Nr	Vyr	Vzr	Mry	Mrz	MTrd	SF_V.	SF_M	SF_Mt	SF
0	1	8228	--	--	--	--	--	>100	33	>100	33

Asta: 752 [1228,1186] Sez. G: D20 L=234.3 cm Crit.: Acciaio_Tirante $\gamma_M=1.05$ fyk/ $\gamma_M=2619$ kg/cmq ft=4300 kg/cmq :**Verificato**

X	cls	N	TY	TZ	MT	MY	MZ	My4	Mz4	Comb.
cm		kg	kg	kg	kg*m	kg*m	kg*m			
0	1	278	--	--	--	--	--	--	--	(20+21)-VI-7

X	cls	Nr	Vyr	Vzr	Mry	Mrz	MTrd	SF_V.	SF_M	SF_Mt	SF
cm		kg	kg	kg	kg*m	kg*m	kg*m				
0	1	8228	--	--	--	--	--	>100	30	>100	30

Asta: 753 [1185,1229] Sez. G: D20 L=234.3 cm Crit.: Acciaio_Tirante $\gamma_M=1.05$ fyk/ $\gamma_M=2619$ kg/cmq ft=4300 kg/cmq :**Verificato**

X	cls	N	TY	TZ	MT	MY	MZ	My4	Mz4	Comb.
cm		kg	kg	kg	kg*m	kg*m	kg*m			
0	1	-281	--	--	--	--	--	--	--	(20+21)-VI-7

X	cls	Nr	Vyr	Vzr	Mry	Mrz	MTrd	SF_V.	SF_M	SF_Mt	SF
cm		kg	kg	kg	kg*m	kg*m	kg*m				
0	1	8228	--	--	--	--	--	>100	29	>100	29

Asta: 754 [1229,1187] Sez. G: D20 L=234.3 cm Crit.: Acciaio_Tirante $\gamma_M=1.05$ fyk/ $\gamma_M=2619$ kg/cmq ft=4300 kg/cmq :**Verificato**

X	cls	N	TY	TZ	MT	MY	MZ	My4	Mz4	Comb.
cm		kg	kg	kg	kg*m	kg*m	kg*m			
0	1	406	--	--	--	--	--	--	--	(20+21)-VI-3

X	cls	Nr	Vyr	Vzr	Mry	Mrz	MTrd	SF_V.	SF_M	SF_Mt	SF
cm		kg	kg	kg	kg*m	kg*m	kg*m				
0	1	8228	--	--	--	--	--	>100	20	>100	20

Asta: 755 [1186,1230] Sez. G: D20 L=234.3 cm Crit.: Acciaio_Tirante $\gamma_M=1.05$ fyk/ $\gamma_M=2619$ kg/cmq ft=4300 kg/cmq :**Verificato**

X	cls	N	TY	TZ	MT	MY	MZ	My4	Mz4	Comb.
cm		kg	kg	kg	kg*m	kg*m	kg*m			
0	1	-394	--	--	--	--	--	--	--	(20+21)-VI-3

X	cls	Nr	Vyr	Vzr	Mry	Mrz	MTrd	SF_V.	SF_M	SF_Mt	SF
cm		kg	kg	kg	kg*m	kg*m	kg*m				
0	1	8228	--	--	--	--	--	>100	21	>100	21

Asta: 756 [1230,1188] Sez. G: D20 L=234.3 cm Crit.: Acciaio_Tirante $\gamma_M=1.05$ fyk/ $\gamma_M=2619$ kg/cmq ft=4300 kg/cmq :**Verificato**

X	cls	N	TY	TZ	MT	MY	MZ	My4	Mz4	Comb.
cm		kg	kg	kg	kg*m	kg*m	kg*m			
0	1	260	--	--	--	--	--	--	--	(20+21)-VI-8

X	cls	Nr	Vyr	Vzr	Mry	Mrz	MTrd	SF_V.	SF_M	SF_Mt	SF
cm		kg	kg	kg	kg*m	kg*m	kg*m				
0	1	8228	--	--	--	--	--	>100	32	>100	32

Asta: 757 [1187,1231] Sez. G: D20 L=234.3 cm Crit.: Acciaio_Tirante $\gamma_M=1.05$ fyk/ $\gamma_M=2619$ kg/cmq ft=4300 kg/cmq :**Verificato**

X	cls	N	TY	TZ	MT	MY	MZ	My4	Mz4	Comb.
cm		kg	kg	kg	kg*m	kg*m	kg*m			
0	1	-263	--	--	--	--	--	--	--	(20+21)-VI-4

X	cls	Nr	Vyr	Vzr	Mry	Mrz	MTrd	SF_V.	SF_M	SF_Mt	SF
cm		kg	kg	kg	kg*m	kg*m	kg*m				
0	1	8228	--	--	--	--	--	>100	31	>100	31

Asta: 758 [1231,1189] Sez. G: D20 L=234.3 cm Crit.: Acciaio_Tirante $\gamma_M=1.05$ fyk/ $\gamma_M=2619$ kg/cmq ft=4300 kg/cmq :**Verificato**

X	cls	N	TY	TZ	MT	MY	MZ	My4	Mz4	Comb.
cm		kg	kg	kg	kg*m	kg*m	kg*m			
0	1	137	--	--	--	--	--	--	--	(20+21)-VI-7

X	cls	Nr	Vyr	Vzr	Mry	Mrz	MTrd	SF_V.	SF_M	SF_Mt	SF
cm		kg	kg	kg	kg*m	kg*m	kg*m				
0	1	8228	--	--	--	--	--	>100	60	>100	60

Asta: 759 [1188,1232] Sez. G: D20 L=234.3 cm Crit.: Acciaio_Tirante $\gamma_M=1.05$ fyk/ $\gamma_M=2619$ kg/cmq ft=4300 kg/cmq :**Verificato**

X	cls	N	TY	TZ	MT	MY	MZ	My4	Mz4	Comb.
cm		kg	kg	kg	kg*m	kg*m	kg*m			
0	1	-144	--	--	--	--	--	--	--	(20+21)-VI-7

X	cls	Nr	Vyr	Vzr	Mry	Mrz	MTrd	SF_V.	SF_M	SF_Mt	SF
cm		kg	kg	kg	kg*m	kg*m	kg*m				
0	1	8228	--	--	--	--	--	>100	57	>100	57

Asta: 760 [1232,1190] Sez. G: D20 L=234.3 cm Crit.: Acciaio_Tirante $\gamma_M=1.05$ fyk/ $\gamma_M=2619$ kg/cmq ft=4300 kg/cmq :**Verificato**

X	cls	N	TY	TZ	MT	MY	MZ	My4	Mz4	Comb.
cm		kg	kg	kg	kg*m	kg*m	kg*m			
0	1	297	--	--	--	--	--	--	--	(20+21)-VI-3

X	cls	Nr	Vyr	Vzr	Mry	Mrz	MTrd	SF_V.	SF_M	SF_Mt	SF
cm		kg	kg	kg	kg*m	kg*m	kg*m				
0	1	8228	--	--	--	--	--	>100	28	>100	28

Asta: 761 [1189,1233] Sez. G: D20 L=234.3 cm Crit.: Acciaio_Tirante $\gamma_M=1.05$ fyk/ $\gamma_M=2619$ kg/cmq ft=4300 kg/cmq :**Verificato**

X	cls	N	TY	TZ	MT	MY	MZ	My4	Mz4	Comb.
cm		kg	kg	kg	kg*m	kg*m	kg*m			
0	1	-289	--	--	--	--	--	--	--	(20+21)-VI-3

X	cls	Nr	Vyr	Vzr	Mry	Mrz	MTrd	SF_V.	SF_M	SF_Mt	SF
cm		kg	kg	kg	kg*m	kg*m	kg*m				
0	1	8228	--	--	--	--	--	>100	28	>100	28

Asta: 762 [1233,1191] Sez. G: D20 L=234.3 cm Crit.: Acciaio_Tirante $\gamma_M=1.05$ fyk/ $\gamma_M=2619$ kg/cmq ft=4300 kg/cmq :**Verificato**

X	cls	N	TY	TZ	MT	MY	MZ	My4	Mz4	Comb.
cm		kg	kg	kg	kg*m	kg*m	kg*m			
234	1	-458	--	--	--	--	--	--	--	(20+21)-VI-6

X	cls	Nr	Vyr	Vzr	Mry	Mrz	MTrd	SF_V.	SF_M	SF_Mt	SF
cm		kg	kg	kg	kg*m	kg*m	kg*m				
234	1	8228	--	--	--	--	--	>100	18	>100	18

Asta: 763 [1190,1234] Sez. G: D20 L=234.3 cm Crit.: Acciaio_Tirante $\gamma_M=1.05$ fyk/ $\gamma_M=2619$ kg/cmq ft=4300 kg/cmq :**Verificato**

X	cls	N	TY	TZ	MT	MY	MZ	My4	Mz4	Comb.
cm		kg	kg	kg	kg*m	kg*m	kg*m			
234	1	456	--	--	--	--	--	--	--	(20+21)-VI-6

X	cls	Nr	Vyr	Vzr	Mry	Mrz	MTrd	SF_V.	SF_M	SF_Mt	SF
cm		kg	kg	kg	kg*m	kg*m	kg*m				
234	1	8228	--	--	--	--	--	>100	18	>100	18

Asta: 764 [1066,1001] Sez. G: D20 L=235.9 cm Crit.: Acciaio_Tirante $\gamma_M=1.05$ fyk/ $\gamma_M=2619$ kg/cmq ft=4300 kg/cmq :**Verificato**

X	cls	N	TY	TZ	MT	MY	MZ	My4	Mz4	Comb.
cm		kg	kg	kg	kg*m	kg*m	kg*m			
236	1	281	--	--	--	--	--	--	--	(20+21)-VII-4

X	cls	Nr	Vyr	Vzr	Mry	Mrz	MTrd	SF_V.	SF_M	SF_Mt	SF
cm		kg	kg	kg	kg*m	kg*m	kg*m				

X	cls	Nr	Vyr	Vzr	Mry	Mrz	MTrd	SF_V.	SF_M	SF_Mt	SF
236	1	8228	--	--	--	--	--	>100	29	>100	29

Asta: 765 [1001,1150] Sez. G: D20 L=250.0 cm Crit.: Acciaio_Tirante $\gamma_M=1.05$ fyk/ $\gamma_M=2619$ kg/cmq ft=4300 kg/cmq :**Verificato**

X	cls	N	TY	TZ	MT	MY	MZ	My4	Mz4	Comb.
cm		kg	kg	kg	kg*m	kg*m	kg*m			
0	1	-136	--	--	--	--	--	--	--	12

X	cls	Nr	Vyr	Vzr	Mry	Mrz	MTrd	SF_V.	SF_M	SF_Mt	SF
cm		kg	kg	kg	kg*m	kg*m	kg*m				
0	1	8228	--	--	--	--	--	>100	61	>100	61

Asta: 766 [1150,1194] Sez. G: D20 L=250.0 cm Crit.: Acciaio_Tirante $\gamma_M=1.05$ fyk/ $\gamma_M=2619$ kg/cmq ft=4300 kg/cmq :**Verificato**

X	cls	N	TY	TZ	MT	MY	MZ	My4	Mz4	Comb.
cm		kg	kg	kg	kg*m	kg*m	kg*m			
250	1	232	--	--	--	--	--	--	--	(20+21)-VIII-4

X	cls	Nr	Vyr	Vzr	Mry	Mrz	MTrd	SF_V.	SF_M	SF_Mt	SF
cm		kg	kg	kg	kg*m	kg*m	kg*m				
250	1	8228	--	--	--	--	--	>100	36	>100	36

Asta: 767 [1194,1236] Sez. G: D20 L=250.0 cm Crit.: Acciaio_Tirante $\gamma_M=1.05$ fyk/ $\gamma_M=2619$ kg/cmq ft=4300 kg/cmq :**Verificato**

X	cls	N	TY	TZ	MT	MY	MZ	My4	Mz4	Comb.
cm		kg	kg	kg	kg*m	kg*m	kg*m			
0	1	-200	--	--	--	--	--	--	--	(20+21)-III-7

X	cls	Nr	Vyr	Vzr	Mry	Mrz	MTrd	SF_V.	SF_M	SF_Mt	SF
cm		kg	kg	kg	kg*m	kg*m	kg*m				
0	1	8228	--	--	--	--	--	>100	41	>100	41

Asta: 768 [1236,1278] Sez. G: D20 L=240.7 cm Crit.: Acciaio_Tirante $\gamma_M=1.05$ fyk/ $\gamma_M=2619$ kg/cmq ft=4300 kg/cmq :**Verificato**

X	cls	N	TY	TZ	MT	MY	MZ	My4	Mz4	Comb.
cm		kg	kg	kg	kg*m	kg*m	kg*m			
241	1	368	--	--	--	--	--	--	--	(20+21)-V-5

X	cls	Nr	Vyr	Vzr	Mry	Mrz	MTrd	SF_V.	SF_M	SF_Mt	SF
cm		kg	kg	kg	kg*m	kg*m	kg*m				
241	1	8228	--	--	--	--	--	>100	22	>100	22

Asta: 769 [1278,1320] Sez. G: D20 L=240.7 cm Crit.: Acciaio_Tirante $\gamma_M=1.05$ fyk/ $\gamma_M=2619$ kg/cmq ft=4300 kg/cmq :**Verificato**

X	cls	N	TY	TZ	MT	MY	MZ	My4	Mz4	Comb.
cm		kg	kg	kg	kg*m	kg*m	kg*m			
0	1	-356	--	--	--	--	--	--	--	(20+21)-V-5

X	cls	Nr	Vyr	Vzr	Mry	Mrz	MTrd	SF_V.	SF_M	SF_Mt	SF
cm		kg	kg	kg	kg*m	kg*m	kg*m				
0	1	8228	--	--	--	--	--	>100	23	>100	23

Asta: 770 [1067,1109] Sez. G: D20 L=235.9 cm Crit.: Acciaio_Tirante $\gamma_M=1.05$ fyk/ $\gamma_M=2619$ kg/cmq ft=4300 kg/cmq :**Verificato**

X	cls	N	TY	TZ	MT	MY	MZ	My4	Mz4	Comb.
cm		kg	kg	kg	kg*m	kg*m	kg*m			
0	1	-266	--	--	--	--	--	--	--	(20+21)-V-4

X	cls	Nr	Vyr	Vzr	Mry	Mrz	MTrd	SF_V.	SF_M	SF_Mt	SF
cm		kg	kg	kg	kg*m	kg*m	kg*m				
0	1	8228	--	--	--	--	--	>100	31	>100	31

Asta: 771 [1109,1151] Sez. G: D20 L=250.0 cm Crit.: Acciaio_Tirante $\gamma_M=1.05$ fyk/ $\gamma_M=2619$ kg/cmq ft=4300 kg/cmq :**Verificato**

X	cls	N	TY	TZ	MT	MY	MZ	My4	Mz4	Comb.
cm		kg	kg	kg	kg*m	kg*m	kg*m			
250	1	153	--	--	--	--	--	--	--	6

X	cls	Nr	Vyr	Vzr	Mry	Mrz	MTrd	SF_V.	SF_M	SF_Mt	SF
cm		kg	kg	kg	kg*m	kg*m	kg*m				
250	1	8228	--	--	--	--	--	>100	54	>100	54

Asta: 772 [1151,1193] Sez. G: D20 L=250.0 cm Crit.: Acciaio_Tirante $\gamma M=1.05$ fyk/ $\gamma M=2619$ kg/cm² ft=4300 kg/cm² :**Verificato**

X	cls	N	TY	TZ	MT	MY	MZ	My4	Mz4	Comb.
cm		kg	kg	kg	kg*m	kg*m	kg*m			
0	1	-226	--	--	--	--	--	--	--	(20+21)-VIII-8

X	cls	Nr	Vyr	Vzr	Mry	Mrz	MTrd	SF_V.	SF_M	SF_Mt	SF
cm		kg	kg	kg	kg*m	kg*m	kg*m				
0	1	8228	--	--	--	--	--	>100	36	>100	36

Asta: 773 [1193,1012] Sez. G: D20 L=250.0 cm Crit.: Acciaio_Tirante $\gamma M=1.05$ fyk/ $\gamma M=2619$ kg/cm² ft=4300 kg/cm² :**Verificato**

X	cls	N	TY	TZ	MT	MY	MZ	My4	Mz4	Comb.
cm		kg	kg	kg	kg*m	kg*m	kg*m			
250	1	215	--	--	--	--	--	--	--	(20+21)-III-7

X	cls	Nr	Vyr	Vzr	Mry	Mrz	MTrd	SF_V.	SF_M	SF_Mt	SF
cm		kg	kg	kg	kg*m	kg*m	kg*m				
250	1	8228	--	--	--	--	--	>100	38	>100	38

Asta: 774 [1012,1277] Sez. G: D20 L=240.7 cm Crit.: Acciaio_Tirante $\gamma M=1.05$ fyk/ $\gamma M=2619$ kg/cm² ft=4300 kg/cm² :**Verificato**

X	cls	N	TY	TZ	MT	MY	MZ	My4	Mz4	Comb.
cm		kg	kg	kg	kg*m	kg*m	kg*m			
0	1	-381	--	--	--	--	--	--	--	(20+21)-V-5

X	cls	Nr	Vyr	Vzr	Mry	Mrz	MTrd	SF_V.	SF_M	SF_Mt	SF
cm		kg	kg	kg	kg*m	kg*m	kg*m				
0	1	8228	--	--	--	--	--	>100	22	>100	22

Asta: 775 [1277,1321] Sez. G: D20 L=240.7 cm Crit.: Acciaio_Tirante $\gamma M=1.05$ fyk/ $\gamma M=2619$ kg/cm² ft=4300 kg/cm² :**Verificato**

X	cls	N	TY	TZ	MT	MY	MZ	My4	Mz4	Comb.
cm		kg	kg	kg	kg*m	kg*m	kg*m			
241	1	391	--	--	--	--	--	--	--	(20+21)-V-5

X	cls	Nr	Vyr	Vzr	Mry	Mrz	MTrd	SF_V.	SF_M	SF_Mt	SF
cm		kg	kg	kg	kg*m	kg*m	kg*m				
241	1	8228	--	--	--	--	--	>100	21	>100	21

Asta: 776 [1107,1065] Sez. G: D20 L=235.9 cm Crit.: Acciaio_Tirante $\gamma M=1.05$ fyk/ $\gamma M=2619$ kg/cm² ft=4300 kg/cm² :**Verificato**

X	cls	N	TY	TZ	MT	MY	MZ	My4	Mz4	Comb.
cm		kg	kg	kg	kg*m	kg*m	kg*m			
0	1	401	--	--	--	--	--	--	--	12

X	cls	Nr	Vyr	Vzr	Mry	Mrz	MTrd	SF_V.	SF_M	SF_Mt	SF
cm		kg	kg	kg	kg*m	kg*m	kg*m				
0	1	8228	--	--	--	--	--	>100	21	>100	21

Asta: 777 [1064,1108] Sez. G: D20 L=235.9 cm Crit.: Acciaio_Tirante $\gamma M=1.05$ fyk/ $\gamma M=2619$ kg/cm² ft=4300 kg/cm² :**Verificato**

X	cls	N	TY	TZ	MT	MY	MZ	My4	Mz4	Comb.
cm		kg	kg	kg	kg*m	kg*m	kg*m			
0	1	-408	--	--	--	--	--	--	--	12

X	cls	Nr	Vyr	Vzr	Mry	Mrz	MTrd	SF_V.	SF_M	SF_Mt	SF
cm		kg	kg	kg	kg*m	kg*m	kg*m				

X	cls	Nr	Vyr	Vzr	Mry	Mrz	MTrd	SF_V.	SF_M	SF_Mt	SF
0	1	8228	--	--	--	--	--	>100	20	>100	20

Asta: 778 [1107,1149] Sez. G: D20 L=235.9 cm Crit.: Acciaio_Tirante $\gamma_M=1.05$ fyk/ $\gamma_M=2619$ kg/cmq
ft=4300 kg/cmq :**Verificato**

X	cls	N	TY	TZ	MT	MY	MZ	My4	Mz4	Comb.
cm		kg	kg	kg	kg*m	kg*m	kg*m			
0	1	-276	--	--	--	--	--	--	--	(20+21)-VII-2

X	cls	Nr	Vyr	Vzr	Mry	Mrz	MTrd	SF_V.	SF_M	SF_Mt	SF
cm		kg	kg	kg	kg*m	kg*m	kg*m				
0	1	8228	--	--	--	--	--	>100	30	>100	30

Asta: 779 [1108,1011] Sez. G: D20 L=235.9 cm Crit.: Acciaio_Tirante $\gamma_M=1.05$ fyk/ $\gamma_M=2619$ kg/cmq
ft=4300 kg/cmq :**Verificato**

X	cls	N	TY	TZ	MT	MY	MZ	My4	Mz4	Comb.
cm		kg	kg	kg	kg*m	kg*m	kg*m			
236	1	273	--	--	--	--	--	--	--	(20+21)-V-2

X	cls	Nr	Vyr	Vzr	Mry	Mrz	MTrd	SF_V.	SF_M	SF_Mt	SF
cm		kg	kg	kg	kg*m	kg*m	kg*m				
236	1	8228	--	--	--	--	--	>100	30	>100	30

Asta: 780 [1149,1191] Sez. G: D20 L=250.0 cm Crit.: Acciaio_Tirante $\gamma_M=1.05$ fyk/ $\gamma_M=2619$ kg/cmq
ft=4300 kg/cmq :**Verificato**

X	cls	N	TY	TZ	MT	MY	MZ	My4	Mz4	Comb.
cm		kg	kg	kg	kg*m	kg*m	kg*m			
250	1	168	--	--	--	--	--	--	--	12

X	cls	Nr	Vyr	Vzr	Mry	Mrz	MTrd	SF_V.	SF_M	SF_Mt	SF
cm		kg	kg	kg	kg*m	kg*m	kg*m				
250	1	8228	--	--	--	--	--	>100	49	>100	49

Asta: 781 [1011,1192] Sez. G: D20 L=250.0 cm Crit.: Acciaio_Tirante $\gamma_M=1.05$ fyk/ $\gamma_M=2619$ kg/cmq
ft=4300 kg/cmq :**Verificato**

X	cls	N	TY	TZ	MT	MY	MZ	My4	Mz4	Comb.
cm		kg	kg	kg	kg*m	kg*m	kg*m			
0	1	-121	--	--	--	--	--	--	--	12

X	cls	Nr	Vyr	Vzr	Mry	Mrz	MTrd	SF_V.	SF_M	SF_Mt	SF
cm		kg	kg	kg	kg*m	kg*m	kg*m				
0	1	8228	--	--	--	--	--	>100	68	>100	68

Asta: 782 [1191,1235] Sez. G: D20 L=250.0 cm Crit.: Acciaio_Tirante $\gamma_M=1.05$ fyk/ $\gamma_M=2619$ kg/cmq
ft=4300 kg/cmq :**Verificato**

X	cls	N	TY	TZ	MT	MY	MZ	My4	Mz4	Comb.
cm		kg	kg	kg	kg*m	kg*m	kg*m			
0	1	-215	--	--	--	--	--	--	--	(20+21)-VI-6

X	cls	Nr	Vyr	Vzr	Mry	Mrz	MTrd	SF_V.	SF_M	SF_Mt	SF
cm		kg	kg	kg	kg*m	kg*m	kg*m				
0	1	8228	--	--	--	--	--	>100	38	>100	38

Asta: 783 [1192,1234] Sez. G: D20 L=250.0 cm Crit.: Acciaio_Tirante $\gamma_M=1.05$ fyk/ $\gamma_M=2619$ kg/cmq
ft=4300 kg/cmq :**Verificato**

X	cls	N	TY	TZ	MT	MY	MZ	My4	Mz4	Comb.
cm		kg	kg	kg	kg*m	kg*m	kg*m			
250	1	213	--	--	--	--	--	--	--	(20+21)-VI-2

X	cls	Nr	Vyr	Vzr	Mry	Mrz	MTrd	SF_V.	SF_M	SF_Mt	SF
cm		kg	kg	kg	kg*m	kg*m	kg*m				
250	1	8228	--	--	--	--	--	>100	39	>100	39

Asta: 784 [1235,1022] Sez. G: D20 L=250.0 cm Crit.: Acciaio_Tirante $\gamma_M=1.05$ fyk/ $\gamma_M=2619$ kg/cmq
ft=4300 kg/cmq :**Verificato**

X	cls	N	TY	TZ	MT	MY	MZ	My4	Mz4	Comb.
cm		kg	kg	kg	kg*m	kg*m	kg*m			
250	1	202	--	--	--	--	--	--	--	(20+21)-I-1

X	cls	Nr	Vyr	Vzr	Mry	Mrz	MTrd	SF_V.	SF_M	SF_Mt	SF
cm		kg	kg	kg	kg*m	kg*m	kg*m				
250	1	8228	--	--	--	--	--	>100	41	>100	41

Asta: 785 [1234,1276] Sez. G: D20 L=250.0 cm Crit.: Acciaio_Tirante $\gamma M=1.05$ fyk/ $\gamma M=2619$ kg/cm² ft=4300 kg/cm² :**Verificato**

X	cls	N	TY	TZ	MT	MY	MZ	My4	Mz4	Comb.
cm		kg	kg	kg	kg*m	kg*m	kg*m			
0	1	-225	--	--	--	--	--	--	--	(20+21)-I-1

X	cls	Nr	Vyr	Vzr	Mry	Mrz	MTrd	SF_V.	SF_M	SF_Mt	SF
cm		kg	kg	kg	kg*m	kg*m	kg*m				
0	1	8228	--	--	--	--	--	>100	37	>100	37

Asta: 786 [1022,1319] Sez. G: D20 L=240.7 cm Crit.: Acciaio_Tirante $\gamma M=1.05$ fyk/ $\gamma M=2619$ kg/cm² ft=4300 kg/cm² :**Verificato**

X	cls	N	TY	TZ	MT	MY	MZ	My4	Mz4	Comb.
cm		kg	kg	kg	kg*m	kg*m	kg*m			
0	1	-366	--	--	--	--	--	--	--	(20+21)-VII-7

X	cls	Nr	Vyr	Vzr	Mry	Mrz	MTrd	SF_V.	SF_M	SF_Mt	SF
cm		kg	kg	kg	kg*m	kg*m	kg*m				
0	1	8228	--	--	--	--	--	>100	23	>100	23

Asta: 787 [1276,1318] Sez. G: D20 L=240.7 cm Crit.: Acciaio_Tirante $\gamma M=1.05$ fyk/ $\gamma M=2619$ kg/cm² ft=4300 kg/cm² :**Verificato**

X	cls	N	TY	TZ	MT	MY	MZ	My4	Mz4	Comb.
cm		kg	kg	kg	kg*m	kg*m	kg*m			
241	1	377	--	--	--	--	--	--	--	(20+21)-VII-3

X	cls	Nr	Vyr	Vzr	Mry	Mrz	MTrd	SF_V.	SF_M	SF_Mt	SF
cm		kg	kg	kg	kg*m	kg*m	kg*m				
241	1	8228	--	--	--	--	--	>100	22	>100	22

Asta: 788 [1319,1361] Sez. G: D20 L=240.7 cm Crit.: Acciaio_Tirante $\gamma M=1.05$ fyk/ $\gamma M=2619$ kg/cm² ft=4300 kg/cm² :**Verificato**

X	cls	N	TY	TZ	MT	MY	MZ	My4	Mz4	Comb.
cm		kg	kg	kg	kg*m	kg*m	kg*m			
241	1	394	--	--	--	--	--	--	--	(20+21)-VII-7

X	cls	Nr	Vyr	Vzr	Mry	Mrz	MTrd	SF_V.	SF_M	SF_Mt	SF
cm		kg	kg	kg	kg*m	kg*m	kg*m				
241	1	8228	--	--	--	--	--	>100	21	>100	21

Asta: 789 [1318,1362] Sez. G: D20 L=240.7 cm Crit.: Acciaio_Tirante $\gamma M=1.05$ fyk/ $\gamma M=2619$ kg/cm² ft=4300 kg/cm² :**Verificato**

X	cls	N	TY	TZ	MT	MY	MZ	My4	Mz4	Comb.
cm		kg	kg	kg	kg*m	kg*m	kg*m			
0	1	-346	--	--	--	--	--	--	--	(20+21)-VII-3

X	cls	Nr	Vyr	Vzr	Mry	Mrz	MTrd	SF_V.	SF_M	SF_Mt	SF
cm		kg	kg	kg	kg*m	kg*m	kg*m				
0	1	8228	--	--	--	--	--	>100	24	>100	24

Asta: 790 [1404,1362] Sez. G: D20 L=232.7 cm Crit.: Acciaio_Tirante $\gamma M=1.05$ fyk/ $\gamma M=2619$ kg/cm² ft=4300 kg/cm² :**Verificato**

X	cls	N	TY	TZ	MT	MY	MZ	My4	Mz4	Comb.
cm		kg	kg	kg	kg*m	kg*m	kg*m			
233	1	-205	--	--	--	--	--	--	--	6

X	cls	Nr	Vyr	Vzr	Mry	Mrz	MTrd	SF_V.	SF_M	SF_Mt	SF
cm		kg	kg	kg	kg*m	kg*m	kg*m				

X	cls	Nr	Vyr	Vzr	Mry	Mrz	MTrd	SF_V.	SF_M	SF_Mt	SF
233	1	8228	--	--	--	--	--	>100	40	>100	40

Asta: 791 [1361,1405] Sez. G: D20 L=232.7 cm Crit.: Acciaio_Tirante $\gamma M=1.05$ fyk/ $\gamma M=2619$ kg/cmq
ft=4300 kg/cmq :**Verificato**

X	cls	N	TY	TZ	MT	MY	MZ	My4	Mz4	Comb.
cm		kg	kg	kg	kg*m	kg*m	kg*m			
233	1	199	--	--	--	--	--	--	--	6

X	cls	Nr	Vyr	Vzr	Mry	Mrz	MTrd	SF_V.	SF_M	SF_Mt	SF
cm		kg	kg	kg	kg*m	kg*m	kg*m				
233	1	8228	--	--	--	--	--	>100	41	>100	41

Asta: 792 [1072,1030] Sez. G: D20 L=219.2 cm Crit.: Acciaio_Tirante $\gamma M=1.05$ fyk/ $\gamma M=2619$ kg/cmq
ft=4300 kg/cmq :**Verificato**

X	cls	N	TY	TZ	MT	MY	MZ	My4	Mz4	Comb.
cm		kg	kg	kg	kg*m	kg*m	kg*m			
0	1	495	--	--	--	--	--	--	--	12

X	cls	Nr	Vyr	Vzr	Mry	Mrz	MTrd	SF_V.	SF_M	SF_Mt	SF
cm		kg	kg	kg	kg*m	kg*m	kg*m				
0	1	8228	--	--	--	--	--	>100	17	>100	17

7. Verifiche stato limite di esercizio

Verifica Plinti (Stati limite esercizio)

Scenario di calcolo: **Set_SLV_SLD**

Simbologia

Simbologia: PLINTI DIRETTI

H [cm]	Altezza totale del plinto
Hsup [cm]	Altezza della eventuale parte a tronco di piramide
Bx [cm]	Base inferiore parallela ad X
By [cm]	Base inferiore parallela ad Y
Bxsup [cm]	Base superiore parallela ad X
Bysup [cm]	Base superiore parallela ad Y
MagrX [cm]	Larghezza Magrone parallela ad X
MagrY [cm]	Larghezza Magrone parallela ad Y
Hmagr [cm]	Altezza Magrone
TR.X [cm]	Traslazione secondo l'asse X globale
TR.Y [cm]	Traslazione secondo l'asse Y globale
Rot. [°]	Rotazione intorno all'asse Z globale
Pos	Posizione della sezione di verifica assume uno dei seguenti valori:
- Arm. X	Sezione nella base del plinto per armature in direzione X locale del plinto (la base della sezione di verifica è diretta come Y locale)
- Arm. Y	Sezione nella base del plinto per armature in direzione Y locale del plinto (la base della sezione di verifica è diretta come X locale)
- Par. X	Sezione della parete del bicchiere disposta in direzione X locale del plinto
- Par. Y	Sezione della parete del bicchiere disposta in direzione Y locale del plinto
- Arm. X	Sezione nella base del plinto per armature in direzione X locale del plinto (la base della sezione di verifica è diretta come Y locale)
- Arm. Y	Sezione nella base del plinto per armature in direzione Y locale del plinto (la base della sezione di verifica è diretta come X locale)
- Rad	Sezione nella base del plinto per armature in direzione radiale (la base della sezione di verifica è ortogonale alla direzione radiale)
- Rad	Sezione nella base del plinto per armature in direzione radiale (la base della sezione di verifica è ortogonale alla direzione radiale)
- Lat	Sezione nella base del plinto per armature disposte sul lato (plinti triangolari ed esagonali su pali)
- PI	Sezione del palo (z=quota)

B/R [cm]	Base della sezione di verifica oppure raggio della sezione del palo
H [cm]	Altezza della sezione di verifica (sezioni rettangolari)
N [kg]	Sforzo Normale
M [kg*m]	Momento flettente dir X
AfSup o Af [cmq]	Armatura superiore oppure per sezioni circolari l'armatura complessiva
AfInf [cmq]	Armatura inferiore
σ_c [kg/cmq]	Tensione nel calcestruzzo
σ_f [kg/cmq]	Tensione nell'acciaio
σ_{ca} [kg/cmq]	Tensione ammissibile nel calcestruzzo
σ_{fa} [kg/cmq]	Tensione ammissibile nell'acciaio
σ_{ct} [kg/cmq]	Tensione a trazione nel calcestruzzo (verifica a formazione fessure o decompressione quando richiesta)
σ_{cta} [kg/cmq]	Tensione ammissibile a trazione nel calcestruzzo (per la verifica a formazione fessure o decompressione quando richiesta)
Comb	Combinazione di carico
Act [mq]	Area di calcestruzzo teso
Aft [cmq]	Area di acciaio teso
pAft [cm]	Perimetro area di acciaio teso
$S_{r,max}$ [cm]	Distanza massima delle fessure
σ_{fmed} [kg/cmq]	Tensione media dell'acciaio
Wd [mm]	Apertura delle fessure
Wk [mm]	Apertura caratteristica delle fessure
Wamm [mm]	Apertura ammissibile delle fessure per la combinazione corrente
Cs	Coefficiente di sicurezza definito come minimo di σ_{Amm}/σ tra acciaio e calcestruzzo oppure Wamm/Wk

Plinto n°: 108 [Nodo 1] - Tipo: Plinto Diretto - Crit.Prog.: CLS_Plinti_ND - Terreno: Terreno1: Verificato

H	HSup	Bx	By	BxSup	BySup	MagrX	MagrY	HMagr	TR.X	TR.Y	Rot
cm	cm	cm	cm	cm	cm	cm	cm	cm	cm	cm	°
40.0	0.0	180.0	180.0	180.0	180.0	220.0	220.0	20.0	0.0	0.0	0

Geometria sezioni

Pos	B/R	H
	cm	cm
Arm. Y	180.0	40.0

Verifica tensioni di esercizio

Pos	N	M	AfSup Af	Afinf	σ_c	σ_f	σ_{ca}	σ_{fa}	Comb	Ver	Cs
	kg	kg*m	cmq	cmq	kg/cmq	kg/cmq	kg/cmq	kg/cmq			
Arm. Y	0	-1425	4.71	4.71	-10	925	149	3600	121(Rara)	Si	3.9
Arm. Y	0	-854	4.71	4.71	-6	554	112	3600	153(QP)	Si	6.5

Verifica apertura fessure

Pos	N	M	Act	Aft	pAft	$S_{r,max}$	σ_{fmed}	Wd	Wk	Wamm	Cb	Ver	Cs
	kg	kg*m	mq	cmq	cm	cm	kg/cmq	mm	mm	mm			
Arm. Y	0	-1006	0.1	4.71	18.85	67.1	38	0.007	0.007	0.400	137(Freq.)	Si	54
Arm. Y	0	-854	0.1	4.71	18.85	67.1	33	0.006	0.006	0.300	153(QP)	Si	48

Plinto n°: 110 [Nodo 2] - Tipo: Plinto Diretto - Crit.Prog.: CLS_Plinti_ND - Terreno: Terreno1: Verificato

H	HSup	Bx	By	BxSup	BySup	MagrX	MagrY	HMagr	TR.X	TR.Y	Rot
cm	cm	cm	cm	cm	cm	cm	cm	cm	cm	cm	°
40.0	0.0	180.0	180.0	180.0	180.0	220.0	220.0	20.0	0.0	0.0	0

Geometria sezioni

Pos	B/R	H
	cm	cm
Arm. Y	180.0	40.0

Verifica tensioni di esercizio

Pos	N	M	AfSup Af	Afinf	σ_c	σ_f	σ_{ca}	σ_{fa}	Comb	Ver	Cs
	kg	kg*m	cmq	cmq	kg/cmq	kg/cmq	kg/cmq	kg/cmq			
Arm. Y	0	-1514	4.71	4.71	-11	983	149	3600	121(Rara)	Si	3.7
Arm. Y	0	-939	4.71	4.71	-7	609	112	3600	153(QP)	Si	5.9

Verifica apertura fessure

Pos	N	M	Act	Aft	pAft	S _{r,max}	σ _{fmed}	Wd	Wk	Wamm	Cb	Ver	Cs
	kg	kg*m	mq	cmq	cm	cm	kg/cmq	mm	mm	mm			
Arm. Y	0	-1094	0.1	4.71	18.85	67.1	42	0.008	0.008	0.400	137(Freq.)	Si	50
Arm. Y	0	-939	0.1	4.71	18.85	67.1	36	0.007	0.007	0.300	153(QP)	Si	44

Plinto n°: 109 [Nodo 3] - Tipo: Plinto Diretto - Crit.Prog.: CLS_Plinti_ND - Terreno: Terreno1: Verificato

H	HSup	Bx	By	BxSup	BySup	MagrX	MagrY	HMagr	TR.X	TR.Y	Rot
cm	cm	cm	cm	cm	cm	cm	cm	cm	cm	cm	°
40.0	0.0	180.0	180.0	180.0	180.0	220.0	220.0	20.0	0.0	0.0	0

Geometria sezioni

Pos	B/R	H
	cm	cm
Arm. Y	180.0	40.0

Verifica tensioni di esercizio

Pos	N	M	AfSup Af	Afinf	σ _c	σ _f	σ _{ca}	σ _{fa}	Comb	Ver	Cs
	kg	kg*m	cmq	cmq	kg/cmq	kg/cmq	kg/cmq	kg/cmq			
Arm. Y	0	-1513	4.71	4.71	-11	982	149	3600	121(Rara)	Si	3.7
Arm. Y	0	-934	4.71	4.71	-7	606	112	3600	153(QP)	Si	5.9

Verifica apertura fessure

Pos	N	M	Act	Aft	pAft	S _{r,max}	σ _{fmed}	Wd	Wk	Wamm	Cb	Ver	Cs
	kg	kg*m	mq	cmq	cm	cm	kg/cmq	mm	mm	mm			
Arm. Y	0	-1085	0.1	4.71	18.85	67.1	41	0.008	0.008	0.400	137(Freq.)	Si	50
Arm. Y	0	-934	0.1	4.71	18.85	67.1	36	0.007	0.007	0.300	153(QP)	Si	44

Plinto n°: 119 [Nodo 4] - Tipo: Plinto Diretto - Crit.Prog.: CLS_Plinti_ND - Terreno: Terreno1: Verificato

H	HSup	Bx	By	BxSup	BySup	MagrX	MagrY	HMagr	TR.X	TR.Y	Rot
cm	cm	cm	cm	cm	cm	cm	cm	cm	cm	cm	°
40.0	0.0	180.0	180.0	180.0	180.0	220.0	220.0	20.0	0.0	0.0	0

Geometria sezioni

Pos	B/R	H
	cm	cm
Arm. X	180.0	40.0

Verifica tensioni di esercizio

Pos	N	M	AfSup Af	Afinf	σ _c	σ _f	σ _{ca}	σ _{fa}	Comb	Ver	Cs
	kg	kg*m	cmq	cmq	kg/cmq	kg/cmq	kg/cmq	kg/cmq			
Arm. X	0	-1600	4.71	4.71	-12	1038	149	3600	117(Rara)	Si	3.5
Arm. X	0	-1018	4.71	4.71	-7	661	112	3600	153(QP)	Si	5.4

Verifica apertura fessure

Pos	N	M	Act	Aft	pAft	S _{r,max}	σ _{fmed}	Wd	Wk	Wamm	Cb	Ver	Cs
	kg	kg*m	mq	cmq	cm	cm	kg/cmq	mm	mm	mm			
Arm. X	0	-1223	0.1	4.71	18.85	67.1	47	0.009	0.009	0.400	137(Freq.)	Si	45
Arm. X	0	-1018	0.1	4.71	18.85	67.1	39	0.007	0.007	0.300	153(QP)	Si	40

Plinto n°: 122 [Nodo 5] - Tipo: Plinto Diretto - Crit.Prog.: CLS_Plinti_ND - Terreno: Terreno1: Verificato

H	HSup	Bx	By	BxSup	BySup	MagrX	MagrY	HMagr	TR.X	TR.Y	Rot
cm	cm	cm	cm	cm	cm	cm	cm	cm	cm	cm	°
40.0	0.0	180.0	180.0	180.0	180.0	220.0	220.0	20.0	0.0	0.0	0

Geometria sezioni

Pos	B/R	H
	cm	cm
Arm. Y	180.0	40.0

Verifica tensioni di esercizio

Pos	N	M	AfSup Af	Afinf	σ_c	σ_f	σ_{ca}	σ_{fa}	Comb	Ver	Cs
	kg	kg*m	cmq	cmq	kg/cmq	kg/cmq	kg/cmq	kg/cmq			
Arm. Y	0	-1314	4.71	4.71	-9	853	149	3600	125(Rara)	Si	4.2
Arm. Y	0	-868	4.71	4.71	-6	563	112	3600	153(QP)	Si	6.4

Verifica apertura fessure

Pos	N	M	Act	Aft	pAft	$S_{r,max}$	σ_{fmed}	Wd	Wk	Wamm	Cb	Ver	Cs
	kg	kg*m	mq	cmq	cm	cm	kg/cmq	mm	mm	mm			
Arm. Y	0	-1044	0.1	4.71	18.85	67.1	40	0.008	0.008	0.400	137(Freq.)	Si	52
Arm. Y	0	-868	0.1	4.71	18.85	67.1	33	0.006	0.006	0.300	153(QP)	Si	47

Plinto n°: 120 [Nodo 6] - Tipo: Plinto Diretto - Crit.Prog.: CLS_Plinti_ND - Terreno: Terreno1: Verificato

H	HSup	Bx	By	BxSup	BySup	MagrX	MagrY	HMagr	TR.X	TR.Y	Rot
cm	cm	cm	cm	cm	cm	cm	cm	cm	cm	cm	°
40.0	0.0	180.0	180.0	180.0	180.0	220.0	220.0	20.0	0.0	0.0	0

Geometria sezioni

Pos	B/R	H
	cm	cm
Arm. Y	180.0	40.0

Verifica tensioni di esercizio

Pos	N	M	AfSup Af	Afinf	σ_c	σ_f	σ_{ca}	σ_{fa}	Comb	Ver	Cs
	kg	kg*m	cmq	cmq	kg/cmq	kg/cmq	kg/cmq	kg/cmq			
Arm. Y	0	-1598	4.71	4.71	-11	1037	149	3600	125(Rara)	Si	3.5
Arm. Y	0	-1029	4.71	4.71	-7	668	112	3600	153(QP)	Si	5.4

Verifica apertura fessure

Pos	N	M	Act	Aft	pAft	$S_{r,max}$	σ_{fmed}	Wd	Wk	Wamm	Cb	Ver	Cs
	kg	kg*m	mq	cmq	cm	cm	kg/cmq	mm	mm	mm			
Arm. Y	0	-1233	0.1	4.71	18.85	67.1	47	0.009	0.009	0.400	137(Freq.)	Si	44
Arm. Y	0	-1029	0.1	4.71	18.85	67.1	39	0.008	0.008	0.300	153(QP)	Si	40

Plinto n°: 111 [Nodo 7] - Tipo: Plinto Diretto - Crit.Prog.: CLS_Plinti_ND - Terreno: Terreno1: Verificato

H	HSup	Bx	By	BxSup	BySup	MagrX	MagrY	HMagr	TR.X	TR.Y	Rot
cm	cm	cm	cm	cm	cm	cm	cm	cm	cm	cm	°
40.0	0.0	180.0	180.0	180.0	180.0	220.0	220.0	20.0	0.0	0.0	0

Geometria sezioni

Pos	B/R	H
	cm	cm
Arm. Y	180.0	40.0

Verifica tensioni di esercizio

Pos	N	M	AfSup Af	Afinf	σ_c	σ_f	σ_{ca}	σ_{fa}	Comb	Ver	Cs
	kg	kg*m	cmq	cmq	kg/cmq	kg/cmq	kg/cmq	kg/cmq			
Arm. Y	0	-1350	4.71	4.71	-10	876	149	3600	121(Rara)	Si	4.1
Arm. Y	0	-797	4.71	4.71	-6	517	112	3600	153(QP)	Si	7.0

Verifica apertura fessure

Pos	N	M	Act	Aft	pAft	$S_{r,max}$	σ_{fmed}	Wd	Wk	Wamm	Cb	Ver	Cs
	kg	kg*m	mq	cmq	cm	cm	kg/cmq	mm	mm	mm			
Arm. Y	0	-930	0.1	4.71	18.85	67.1	36	0.007	0.007	0.400	137(Freq.)	Si	59
Arm. Y	0	-797	0.1	4.71	18.85	67.1	30	0.006	0.006	0.300	153(QP)	Si	51

Plinto n°: 121 [Nodo 8] - Tipo: Plinto Diretto - Crit.Prog.: CLS_Plinti_ND - Terreno: Terreno1: Verificato

H	HSup	Bx	By	BxSup	BySup	MagrX	MagrY	HMagr	TR.X	TR.Y	Rot
cm	cm	cm	cm	cm	cm	cm	cm	cm	cm	cm	°
40.0	0.0	180.0	180.0	180.0	180.0	220.0	220.0	20.0	0.0	0.0	0

Geometria sezioni

Pos	B/R	H
	cm	cm
Arm. Y	180.0	40.0

Verifica tensioni di esercizio

Pos	N	M	AfSup Af	Afinf	σ_c	σ_f	σ_{ca}	σ_{fa}	Comb	Ver	Cs
	kg	kg*m	cmq	cmq	kg/cmq	kg/cmq	kg/cmq	kg/cmq			
Arm. Y	0	-1660	4.71	4.71	-12	1077	149	3600	125(Rara)	Si	3.3
Arm. Y	0	-1053	4.71	4.71	-8	683	112	3600	153(QP)	Si	5.3

Verifica apertura fessure

Pos	N	M	Act	Aft	pAft	$S_{r,max}$	σ_{fmed}	Wd	Wk	Wamm	Cb	Ver	Cs
	kg	kg*m	mq	cmq	cm	cm	kg/cmq	mm	mm	mm			
Arm. Y	0	-1258	0.1	4.71	18.85	67.1	48	0.009	0.009	0.400	137(Freq.)	Si	43
Arm. Y	0	-1053	0.1	4.71	18.85	67.1	40	0.008	0.008	0.300	153(QP)	Si	39

Verifica delle travi collegamento plinti (Stati limite esercizio)Scenario di calcolo: **Set_SLV_SLD****Simbologia**

Terreno	Nome della stratigrafia per travi Winkler
L [cm]	Lunghezza teorica elemento (distanza tra i nodi)
Ln [cm]	Lunghezza netta elemento (tiene conto dei conci rigidi)
L2,L3 [cm]	Lunghezze libere di inflessione
Sez. R: Sezione Rettangolare	
	By[cm]: Larghezza (asse locale y)
	Bz[cm]: Larghezza (asse locale z)
Sez. T: Sezione a T (rovescia e non)	
	Ba[cm]: Larghezza base inferiore
	Ha[cm]: Altezza inferiore
	Bs[cm]: Larghezza superiore
	Hs[cm]: Altezza superiore
Sez. L: Sezione ad L (rovescia e non)	
	Ba[cm]: Larghezza base inferiore
	Ha[cm]: Altezza inferiore
	Bs[cm]: Larghezza superiore
	Hs[cm]: Altezza superiore
Sez. C: Sezione circolare	
	R[cm]: Raggio
Sez. G: Sezione generica	
	B[cm]: Larghezza
	H[cm]: Altezza
X [cm]	Punto di verifica
σ_{ca} [kg/cmq]	Tensione ammissibile nel cls
σ_{fa} [kg/cmq]	Tensione ammissibile nell'acciaio
σ_{cta} [kg/cmq]	Tensione ammissibile a trazione (quando richiesto dalla verifica)
M- [kg*m]	Momento negativo massimo di calcolo
M+ [kg*m]	Momento positivo massimo di calcolo
M [kg*m]	Momento di calcolo (travi a flessione, pilastri circolari)
My [kg*m]	Momento calcolo per verifiche a pressoflessione
Mz [kg*m]	Momento calcolo per verifiche a pressoflessione (Sez. L, Pilastri)
N [kg]	Sforzo normale corrispondente ad My (e Mz per Sez. L, Pilastri)
Afsup [cmq]	Area di ferro superiore
Afinf [cmq]	Area di ferro inferiore
Afsin [cmq]	Area di ferro sinistra (Sez. L)
Afdes [cmq]	Area di ferro destra (Sez. L)
σ_c - [kg/cmq]	Tensione nel cls compresso per effetto di M-
σ_c + [kg/cmq]	Tensione nel cls compresso per effetto di M+
σ_t - [kg/cmq]	Tensione nel cls teso per effetto di M-
σ_t + [kg/cmq]	Tensione nel cls teso per effetto di M+

σ_f^- [kg/cmq]	Tensione nell'acciaio per effetto di M-
σ_f^+ [kg/cmq]	Tensione nell'acciaio per effetto di M+
Cb-	Combinazione di carico generatore di M-
Cb+	Combinazione di carico generatore di M+
σ_c [kg/cmq]	Tensione nel cls per effetto di N My
σ_f [kg/cmq]	Tensione nell'acciaio per effetto di N My
Cb	Combinazione di carico generatore di N My
Act [mq]	Area di calcestruzzo teso
Aft [cmq]	Area di acciaio teso
pAft [cm]	Perimetro area di acciaio teso
$S_{r,max}$ [cm]	Distanza massima delle fessure
σ_{fmed} [kg/cmq]	Tensione media dell'acciaio
Wd [mm]	Apertura delle fessure
Wk [mm]	Apertura caratteristica delle fessure
Wamm_Freq [mm]	Apertura ammissibile delle fessure per combinazione Frequente
Wamm_Qp [mm]	Apertura ammissibile delle fessure per combinazione Quasi Permanente
Wamm_Rara [mm]	Apertura ammissibile delle fessure per combinazione Rara
Cs	Coefficiente di sicurezza definito come minimo di σ_{Amm}/σ tra acciaio e calcestruzzo oppure Wamm/Wk

Trave: 8000 [1,3], Pilastrate [108,109] Sez. R: By=30.0 cm Bz=40.0 cm L=720.0 cm Ln=720.0 cm Criterio: Cls aste collegamento Plinti_ND

Combinazione Rara: $\sigma_{ca}[\text{kg/cm}^2]=149$ $\sigma_{fa}[\text{kg/cm}^2]=3600$

X	M+	M-	Afsup	Afinf	σ_{c+}	σ_{f+}	σ_{c-}	σ_{f-}	Cb+	Cb-	Ver.	CS
cm	kg*m	kg*m	cmq	cmq	kg/cmq	kg/cmq	kg/cmq	kg/cmq				
0.0	--	810	4.62	4.62	--	--	-15	574	121	129	Si	6.3
72.0	92	174	4.62	4.62	-2	66	-3	124	121	129	Si	29
360.0	841	--	4.62	4.62	-16	596	--	--	121	125	Si	6.0
648.0	--	899	4.62	4.62	--	--	-17	637	129	121	Si	5.6
720.0	--	1723	4.62	4.62	--	--	-32	1221	129	121	Si	2.9

Combinazione QP: $\sigma_{ca}[\text{kg/cm}^2]=112$ $\sigma_{fa}[\text{kg/cm}^2]=3600$

X	M+	M-	Afsup	Afinf	σ_{c+}	σ_{f+}	σ_{c-}	σ_{f-}	Cb+	Cb-	Ver.	CS
cm	kg*m	kg*m	cmq	cmq	kg/cmq	kg/cmq	kg/cmq	kg/cmq				
0.0	--	808	4.62	4.62	--	--	-15	573	153	153	Si	6.3
72.0	--	173	4.62	4.62	--	--	-3	123	153	153	Si	29
360.0	811	--	4.62	4.62	-15	575	--	--	153	153	Si	6.3
648.0	--	694	4.62	4.62	--	--	-13	492	153	153	Si	7.3
720.0	--	1459	4.62	4.62	--	--	-27	1034	153	153	Si	3.5

Verifica aperture fessure: $W_{amm_Freq}[\text{mm}]=0.400$ $W_{amm_Qp}[\text{mm}]=0.300$

X	M	Act	Aft	pAft	$S_{r,max}$	σ_{fmed}	Wd	Wk	Cb	Ver.	Cs
cm	kg*m	mq	cmq	cm	cm	kg/cmq	mm	mm			
0.0	809	0.0	4.62	13.19	29.2	573	0.048	0.081	141(Fr)	Si	4.9
0.0	808	0.0	4.62	13.19	29.2	573	0.048	0.081	153(Qp)	Si	3.7
72.0	173	0.0	4.62	13.19	29.2	123	0.010	0.017	153(Qp)	Si	17
72.0	174	0.0	4.62	13.19	29.2	123	0.010	0.017	141(Fr)	Si	23
360.0	-811	0.0	4.62	13.19	29.2	575	0.048	0.081	153(Qp)	Si	3.7
360.0	-813	0.0	4.62	13.19	29.2	576	0.048	0.082	138(Fr)	Si	4.9
648.0	694	0.0	4.62	13.19	29.2	492	0.041	0.070	153(Qp)	Si	4.3
648.0	699	0.0	4.62	13.19	29.2	496	0.041	0.070	137(Fr)	Si	5.7
720.0	1459	0.0	4.62	13.19	29.2	1034	0.086	0.147	153(Qp)	Si	2.0
720.0	1465	0.0	4.62	13.19	29.2	1038	0.087	0.147	137(Fr)	Si	2.7

Trave: 8000 [3,2], Pilastrate [109,110] Sez. R: By=30.0 cm Bz=40.0 cm L=720.0 cm Ln=720.0 cm Criterio: Cls aste collegamento Plinti_ND

Combinazione Rara: $\sigma_{ca}[\text{kg/cm}^2]=149$ $\sigma_{fa}[\text{kg/cm}^2]=3600$

X	M+	M-	Afsup	Afinf	σ_{c+}	σ_{f+}	σ_{c-}	σ_{f-}	Cb+	Cb-	Ver.	CS
cm	kg*m	kg*m	cmq	cmq	kg/cmq	kg/cmq	kg/cmq	kg/cmq				
0.0	--	1368	4.62	4.62	--	--	-26	970	121	125	Si	3.7
72.0	--	653	4.62	4.62	--	--	-12	463	121	125	Si	7.8
360.0	649	--	4.62	4.62	-12	460	--	--	125	120	Si	7.8
648.0	--	779	4.62	4.62	--	--	-15	553	125	121	Si	6.5
720.0	--	1519	4.62	4.62	--	--	-29	1077	125	121	Si	3.3

Combinazione QP: $\sigma_{ca}[\text{kg/cm}^2]=112$ $\sigma_{fa}[\text{kg/cm}^2]=3600$

X	M+	M-	Afsup	Afinf	σ_{c+}	σ_{f+}	σ_{c-}	σ_{f-}	Cb+	Cb-	Ver.	CS
cm	kg*m	kg*m	cmq	cmq	kg/cmq	kg/cmq	kg/cmq	kg/cmq				
0.0	--	1344	4.62	4.62	--	--	-25	953	153	153	Si	3.8
72.0	--	638	4.62	4.62	--	--	-12	452	153	153	Si	8.0
360.0	628	--	4.62	4.62	-12	445	--	--	153	153	Si	8.1
648.0	--	594	4.62	4.62	--	--	-11	421	153	153	Si	8.5
720.0	--	1288	4.62	4.62	--	--	-24	913	153	153	Si	3.9

Verifica aperture fessure: $W_{amm_Freq}[\text{mm}]=0.400$ $W_{amm_Qp}[\text{mm}]=0.300$

X	M	Act	Aft	pAft	$S_{r,max}$	σ_{fmed}	Wd	Wk	Cb	Ver.	Cs
cm	kg*m	mq	cmq	cm	cm	kg/cmq	mm	mm			
0.0	1354	0.0	4.62	13.19	29.2	960	0.080	0.136	137(Fr)	Si	2.9
0.0	1344	0.0	4.62	13.19	29.2	953	0.079	0.135	153(Qp)	Si	2.2
72.0	638	0.0	4.62	13.19	29.2	452	0.038	0.064	153(Qp)	Si	4.7
72.0	645	0.0	4.62	13.19	29.2	457	0.038	0.065	137(Fr)	Si	6.2
360.0	-628	0.0	4.62	13.19	29.2	445	0.037	0.063	153(Qp)	Si	4.8
360.0	-636	0.0	4.62	13.19	29.2	451	0.038	0.064	137(Fr)	Si	6.3
648.0	594	0.0	4.62	13.19	29.2	421	0.035	0.060	153(Qp)	Si	5.0
648.0	615	0.0	4.62	13.19	29.2	436	0.036	0.062	138(Fr)	Si	6.5
720.0	1288	0.0	4.62	13.19	29.2	913	0.076	0.130	153(Qp)	Si	2.3
720.0	1312	0.0	4.62	13.19	29.2	930	0.078	0.132	138(Fr)	Si	3.0

Trave: 8000 [2,7], Pilastrate [110,111] Sez. R: By=30.0 cm Bz=40.0 cm L=720.0 cm Ln=720.0 cm Criterio: Cls aste collegamento Plinti_ND

Combinazione Rara: σ_{ca} [kg/cm²]=149 σ_{fa} [kg/cm²]=3600

X	M+	M-	Afsup	Afinf	σ_{c+}	σ_{f+}	σ_{c-}	σ_{f-}	Cb+	Cb-	Ver.	CS
cm	kg*m	kg*m	cmq	cmq	kg/cm ²	kg/cm ²	kg/cm ²	kg/cm ²				
0.0	--	1407	4.62	4.62	--	--	-26	997	121	129	Si	3.6
72.0	--	655	4.62	4.62	--	--	-12	465	121	129	Si	7.7
360.0	824	--	4.62	4.62	-15	584	--	--	120	125	Si	6.2
648.0	--	554	4.62	4.62	--	--	-10	392	129	121	Si	9.2
720.0	--	1271	4.62	4.62	--	--	-24	901	129	121	Si	4.0

Combinazione QP: σ_{ca} [kg/cm²]=112 σ_{fa} [kg/cm²]=3600

X	M+	M-	Afsup	Afinf	σ_{c+}	σ_{f+}	σ_{c-}	σ_{f-}	Cb+	Cb-	Ver.	CS
cm	kg*m	kg*m	cmq	cmq	kg/cm ²	kg/cm ²	kg/cm ²	kg/cm ²				
0.0	--	1363	4.62	4.62	--	--	-26	966	153	153	Si	3.7
72.0	--	626	4.62	4.62	--	--	-12	444	153	153	Si	8.1
360.0	768	--	4.62	4.62	-14	545	--	--	153	153	Si	6.6
648.0	--	326	4.62	4.62	--	--	-6	231	153	153	Si	16
720.0	--	989	4.62	4.62	--	--	-19	701	153	153	Si	5.1

Verifica aperture fessure:Wamm_Freq[mm]=0.400 Wamm_Qp[mm]=0.300

X	M	Act	Aft	pAft	S _{r,max}	σ_{fmed}	Wd	Wk	Cb	Ver.	Cs
cm	kg*m	mq	cmq	cm	cm	kg/cm ²	mm	mm			
0.0	1390	0.0	4.62	13.19	29.2	986	0.082	0.140	138(Fr)	Si	2.9
0.0	1363	0.0	4.62	13.19	29.2	966	0.081	0.137	153(Qp)	Si	2.2
72.0	626	0.0	4.62	13.19	29.2	444	0.037	0.063	153(Qp)	Si	4.8
72.0	643	0.0	4.62	13.19	29.2	456	0.038	0.065	138(Fr)	Si	6.2
360.0	-768	0.0	4.62	13.19	29.2	545	0.045	0.077	153(Qp)	Si	3.9
360.0	-788	0.0	4.62	13.19	29.2	559	0.047	0.079	138(Fr)	Si	5.0
648.0	326	0.0	4.62	13.19	29.2	231	0.019	0.033	153(Qp)	Si	9.1
648.0	388	0.0	4.62	13.19	29.2	275	0.023	0.039	137(Fr)	Si	10
720.0	989	0.0	4.62	13.19	29.2	701	0.058	0.099	153(Qp)	Si	3.0
720.0	1061	0.0	4.62	13.19	29.2	752	0.063	0.107	137(Fr)	Si	3.8

Trave: 8001 [4,6], Pilastrate [119,120] Sez. R: By=30.0 cm Bz=40.0 cm L=720.0 cm Ln=720.0 cm Criterio: Cls aste collegamento Plinti_ND

Combinazione Rara: σ_{ca} [kg/cm²]=149 σ_{fa} [kg/cm²]=3600

X	M+	M-	Afsup	Afinf	σ_{c+}	σ_{f+}	σ_{c-}	σ_{f-}	Cb+	Cb-	Ver.	CS
cm	kg*m	kg*m	cmq	cmq	kg/cm ²	kg/cm ²	kg/cm ²	kg/cm ²				
0.0	--	807	4.62	4.62	--	--	-15	572	121	129	Si	6.3
72.0	97	173	4.62	4.62	-2	69	-3	123	121	129	Si	29
360.0	832	--	4.62	4.62	-16	590	--	--	121	125	Si	6.1
648.0	--	922	4.62	4.62	--	--	-17	654	129	121	Si	5.5
720.0	--	1750	4.62	4.62	--	--	-33	1241	129	121	Si	2.9

Combinazione QP: σ_{ca} [kg/cm²]=112 σ_{fa} [kg/cm²]=3600

X	M+	M-	Afsup	Afinf	σ_{c+}	σ_{f+}	σ_{c-}	σ_{f-}	Cb+	Cb-	Ver.	CS
cm	kg*m	kg*m	cmq	cmq	kg/cm ²	kg/cm ²	kg/cm ²	kg/cm ²				
0.0	--	805	4.62	4.62	--	--	-15	570	153	153	Si	6.3
72.0	--	172	4.62	4.62	--	--	-3	122	153	153	Si	30
360.0	806	--	4.62	4.62	-15	571	--	--	153	153	Si	6.3
648.0	--	706	4.62	4.62	--	--	-13	500	153	153	Si	7.2
720.0	--	1472	4.62	4.62	--	--	-28	1044	153	153	Si	3.4

Verifica aperture fessure:Wamm_Freq[mm]=0.400 Wamm_Qp[mm]=0.300

X	M	Act	Aft	pAft	S _{r,max}	σ_{fmed}	Wd	Wk	Cb	Ver.	Cs
cm	kg*m	mq	cmq	cm	cm	kg/cm ²	mm	mm			
0.0	807	0.0	4.62	13.19	29.2	572	0.048	0.081	138(Fr)	Si	4.9
0.0	805	0.0	4.62	13.19	29.2	570	0.048	0.081	153(Qp)	Si	3.7
72.0	172	0.0	4.62	13.19	29.2	122	0.010	0.017	153(Qp)	Si	17
72.0	173	0.0	4.62	13.19	29.2	123	0.010	0.017	138(Fr)	Si	23
360.0	-806	0.0	4.62	13.19	29.2	571	0.048	0.081	153(Qp)	Si	3.7
360.0	-809	0.0	4.62	13.19	29.2	574	0.048	0.081	138(Fr)	Si	4.9
648.0	706	0.0	4.62	13.19	29.2	500	0.042	0.071	153(Qp)	Si	4.2
648.0	713	0.0	4.62	13.19	29.2	505	0.042	0.072	137(Fr)	Si	5.6
720.0	1472	0.0	4.62	13.19	29.2	1044	0.087	0.148	153(Qp)	Si	2.0

X	M	Act	Aft	pAft	S _{r,max}	σ _{fmed}	Wd	Wk	Cb	Ver.	Cs
720.0	1480	0.0	4.62	13.19	29.2	1049	0.088	0.149	137(Fr)	Si	2.7

Trave: 8001 [6,8], Pilastrate [120,121] Sez. R: By=30.0 cm Bz=40.0 cm L=720.0 cm Ln=720.0 cm Criterio: Cls aste collegamento Plinti_ND

Combinazione Rara: σ_{ca} [kg/cm²]=149 σ_{fa} [kg/cm²]=3600

X	M+	M-	Afsup	Afinf	σ _{C+}	σ _{f+}	σ _{C-}	σ _{f-}	Cb+	Cb-	Ver.	CS
cm	kg*m	kg*m	cmq	cmq	kg/cm ²	kg/cm ²	kg/cm ²	kg/cm ²				
0.0	--	1409	4.62	4.62	--	--	-27	999	121	125	Si	3.6
72.0	--	681	4.62	4.62	--	--	-13	483	121	125	Si	7.5
360.0	676	--	4.62	4.62	-13	479	--	--	125	120	Si	7.5
648.0	--	741	4.62	4.62	--	--	-14	526	125	120	Si	6.8
720.0	--	1468	4.62	4.62	--	--	-28	1041	125	120	Si	3.5

Combinazione QP: σ_{ca} [kg/cm²]=112 σ_{fa} [kg/cm²]=3600

X	M+	M-	Afsup	Afinf	σ _{C+}	σ _{f+}	σ _{C-}	σ _{f-}	Cb+	Cb-	Ver.	CS
cm	kg*m	kg*m	cmq	cmq	kg/cm ²	kg/cm ²	kg/cm ²	kg/cm ²				
0.0	--	1353	4.62	4.62	--	--	-25	959	153	153	Si	3.8
72.0	--	643	4.62	4.62	--	--	-12	456	153	153	Si	7.9
360.0	638	--	4.62	4.62	-12	453	--	--	153	153	Si	8.0
648.0	--	568	4.62	4.62	--	--	-11	403	153	153	Si	8.9
720.0	--	1259	4.62	4.62	--	--	-24	892	153	153	Si	4.0

Verifica aperture fessure: Wamm_Freq[mm]=0.400 Wamm_Qp[mm]=0.300

X	M	Act	Aft	pAft	S _{r,max}	σ _{fmed}	Wd	Wk	Cb	Ver.	Cs
cm	kg*m	mq	cmq	cm	cm	kg/cm ²	mm	mm			
0.0	1370	0.0	4.62	13.19	29.2	971	0.081	0.138	141(Fr)	Si	2.9
0.0	1353	0.0	4.62	13.19	29.2	959	0.080	0.136	153(Qp)	Si	2.2
72.0	643	0.0	4.62	13.19	29.2	456	0.038	0.065	153(Qp)	Si	4.6
72.0	656	0.0	4.62	13.19	29.2	465	0.039	0.066	141(Fr)	Si	6.1
360.0	-638	0.0	4.62	13.19	29.2	453	0.038	0.064	153(Qp)	Si	4.7
360.0	-650	0.0	4.62	13.19	29.2	461	0.038	0.065	137(Fr)	Si	6.1
648.0	568	0.0	4.62	13.19	29.2	403	0.034	0.057	153(Qp)	Si	5.3
648.0	609	0.0	4.62	13.19	29.2	432	0.036	0.061	138(Fr)	Si	6.5
720.0	1259	0.0	4.62	13.19	29.2	892	0.074	0.127	153(Qp)	Si	2.4
720.0	1306	0.0	4.62	13.19	29.2	926	0.077	0.131	138(Fr)	Si	3.0

Trave: 8001 [8,5], Pilastrate [121,122] Sez. R: By=30.0 cm Bz=40.0 cm L=720.0 cm Ln=720.0 cm Criterio: Cls aste collegamento Plinti_ND

Combinazione Rara: σ_{ca} [kg/cm²]=149 σ_{fa} [kg/cm²]=3600

X	M+	M-	Afsup	Afinf	σ _{C+}	σ _{f+}	σ _{C-}	σ _{f-}	Cb+	Cb-	Ver.	CS
cm	kg*m	kg*m	cmq	cmq	kg/cm ²	kg/cm ²	kg/cm ²	kg/cm ²				
0.0	--	1353	4.62	4.62	--	--	-25	960	121	129	Si	3.8
72.0	--	615	4.62	4.62	--	--	-12	436	121	129	Si	8.3
360.0	809	--	4.62	4.62	-15	573	--	--	120	125	Si	6.3
648.0	--	798	4.62	4.62	--	--	-15	565	129	121	Si	6.4
720.0	--	1560	4.62	4.62	--	--	-29	1106	129	121	Si	3.3

Combinazione QP: σ_{ca} [kg/cm²]=112 σ_{fa} [kg/cm²]=3600

X	M+	M-	Afsup	Afinf	σ _{C+}	σ _{f+}	σ _{C-}	σ _{f-}	Cb+	Cb-	Ver.	CS
cm	kg*m	kg*m	cmq	cmq	kg/cm ²	kg/cm ²	kg/cm ²	kg/cm ²				
0.0	--	1308	4.62	4.62	--	--	-25	928	153	153	Si	3.9
72.0	--	587	4.62	4.62	--	--	-11	416	153	153	Si	8.7
360.0	745	--	4.62	4.62	-14	528	--	--	153	153	Si	6.8
648.0	--	412	4.62	4.62	--	--	-8	292	153	153	Si	12
720.0	--	1090	4.62	4.62	--	--	-21	773	153	153	Si	4.7

Verifica aperture fessure: Wamm_Freq[mm]=0.400 Wamm_Qp[mm]=0.300

X	M	Act	Aft	pAft	S _{r,max}	σ _{fmed}	Wd	Wk	Cb	Ver.	Cs
cm	kg*m	mq	cmq	cm	cm	kg/cm ²	mm	mm			
0.0	1367	0.0	4.62	13.19	29.2	969	0.081	0.137	138(Fr)	Si	2.9
0.0	1308	0.0	4.62	13.19	29.2	928	0.077	0.132	153(Qp)	Si	2.3
72.0	587	0.0	4.62	13.19	29.2	416	0.035	0.059	153(Qp)	Si	5.1
72.0	627	0.0	4.62	13.19	29.2	445	0.037	0.063	138(Fr)	Si	6.3
360.0	-745	0.0	4.62	13.19	29.2	528	0.044	0.075	153(Qp)	Si	4.0
360.0	-778	0.0	4.62	13.19	29.2	551	0.046	0.078	138(Fr)	Si	5.1
648.0	412	0.0	4.62	13.19	29.2	292	0.024	0.041	153(Qp)	Si	7.2

X	M	Act	Aft	pAft	S _{r,max}	σ _{fmed}	Wd	Wk	Cb	Ver.	Cs
648.0	505	0.0	4.62	13.19	29.2	358	0.030	0.051	137(Fr)	Si	7.9
720.0	1090	0.0	4.62	13.19	29.2	773	0.064	0.110	153(Qp)	Si	2.7
720.0	1198	0.0	4.62	13.19	29.2	849	0.071	0.120	137(Fr)	Si	3.3

Trave: 8002 [1,4], Pilastrate [108,119] Sez. R: By=30.0 cm Bz=40.0 cm L=450.0 cm Ln=450.0 cm Criterio: Cls aste collegamento Plinti_ND

Combinazione Rara: σ_{ca} [kg/cm²]=149 σ_{fa} [kg/cm²]=3600

X	M+	M-	Afsup	Afinf	σ _{c+}	σ _{f+}	σ _{c-}	σ _{f-}	Cb+	Cb-	Ver.	CS
cm	kg*m	kg*m	cmq	cmq	kg/cm ²	kg/cm ²	kg/cm ²	kg/cm ²				
0.0	1712	61	4.62	4.62	-32	1214	-1	43	121	129	Si	3.0
45.0	1714	--	4.62	4.62	-32	1215	--	--	121	129	Si	3.0
225.0	1117	--	4.62	4.62	-21	792	--	--	121	129	Si	4.5
405.0	175	458	4.62	4.62	-3	124	-9	325	125	120	Si	11
450.0	--	997	4.62	4.62	--	--	-19	707	125	121	Si	5.1

Combinazione QP: σ_{ca} [kg/cm²]=112 σ_{fa} [kg/cm²]=3600

X	M+	M-	Afsup	Afinf	σ _{c+}	σ _{f+}	σ _{c-}	σ _{f-}	Cb+	Cb-	Ver.	CS
cm	kg*m	kg*m	cmq	cmq	kg/cm ²	kg/cm ²	kg/cm ²	kg/cm ²				
0.0	80	--	4.62	4.62	-1	56	--	--	153	153	Si	64
45.0	310	--	4.62	4.62	-6	220	--	--	153	153	Si	16
225.0	623	--	4.62	4.62	-12	442	--	--	153	153	Si	8.1
405.0	--	35	4.62	4.62	--	--	-1	25	153	153	Si	>100
450.0	--	351	4.62	4.62	--	--	-7	249	153	153	Si	14

Verifica aperture fessure:Wamm_Freq[mm]=0.400 Wamm_Qp[mm]=0.300

X	M	Act	Aft	pAft	S _{r,max}	σ _{fmed}	Wd	Wk	Cb	Ver.	Cs
cm	kg*m	mq	cmq	cm	cm	kg/cm ²	mm	mm			
0.0	-188	0.0	4.62	13.19	29.2	133	0.011	0.019	137(Fr)	Si	21
0.0	-80	0.0	4.62	13.19	29.2	56	0.005	0.008	153(Qp)	Si	37
45.0	-310	0.0	4.62	13.19	29.2	220	0.018	0.031	153(Qp)	Si	9.6
45.0	-413	0.0	4.62	13.19	29.2	293	0.024	0.042	137(Fr)	Si	9.6
225.0	-623	0.0	4.62	13.19	29.2	442	0.037	0.063	153(Qp)	Si	4.8
225.0	-705	0.0	4.62	13.19	29.2	500	0.042	0.071	137(Fr)	Si	5.6
405.0	35	0.0	4.62	13.19	29.2	25	0.002	0.004	153(Qp)	Si	85
405.0	95	0.0	4.62	13.19	29.2	67	0.006	0.010	138(Fr)	Si	42
450.0	351	0.0	4.62	13.19	29.2	249	0.021	0.035	153(Qp)	Si	8.5
450.0	406	0.0	4.62	13.19	29.2	288	0.024	0.041	138(Fr)	Si	9.8

Trave: 8003 [3,6], Pilastrate [109,120] Sez. R: By=30.0 cm Bz=40.0 cm L=450.0 cm Ln=450.0 cm Criterio: Cls aste collegamento Plinti_ND

Combinazione Rara: σ_{ca} [kg/cm²]=149 σ_{fa} [kg/cm²]=3600

X	M+	M-	Afsup	Afinf	σ _{c+}	σ _{f+}	σ _{c-}	σ _{f-}	Cb+	Cb-	Ver.	CS
cm	kg*m	kg*m	cmq	cmq	kg/cm ²	kg/cm ²	kg/cm ²	kg/cm ²				
0.0	1589	191	4.62	4.62	-30	1127	-4	135	121	129	Si	3.2
45.0	1616	--	4.62	4.62	-30	1146	--	--	121	129	Si	3.1
225.0	1118	--	4.62	4.62	-21	792	--	--	121	129	Si	4.5
405.0	279	357	4.62	4.62	-5	198	-7	253	125	120	Si	14
450.0	--	872	4.62	4.62	--	--	-16	619	125	121	Si	5.8

Combinazione QP: σ_{ca} [kg/cm²]=112 σ_{fa} [kg/cm²]=3600

X	M+	M-	Afsup	Afinf	σ _{c+}	σ _{f+}	σ _{c-}	σ _{f-}	Cb+	Cb-	Ver.	CS
cm	kg*m	kg*m	cmq	cmq	kg/cm ²	kg/cm ²	kg/cm ²	kg/cm ²				
0.0	--	49	4.62	4.62	--	--	-1	35	153	153	Si	>100
45.0	207	--	4.62	4.62	-4	146	--	--	153	153	Si	25
225.0	623	--	4.62	4.62	-12	442	--	--	153	153	Si	8.2
405.0	68	--	4.62	4.62	-1	48	--	--	153	153	Si	75
450.0	--	223	4.62	4.62	--	--	-4	158	153	153	Si	23

Verifica aperture fessure:Wamm_Freq[mm]=0.400 Wamm_Qp[mm]=0.300

X	M	Act	Aft	pAft	S _{r,max}	σ _{fmed}	Wd	Wk	Cb	Ver.	Cs
cm	kg*m	mq	cmq	cm	cm	kg/cm ²	mm	mm			
0.0	158	0.0	4.62	13.19	29.2	112	0.009	0.016	138(Fr)	Si	25
0.0	49	0.0	4.62	13.19	29.2	35	0.003	0.005	153(Qp)	Si	60
45.0	-207	0.0	4.62	13.19	29.2	146	0.012	0.021	153(Qp)	Si	14
45.0	-310	0.0	4.62	13.19	29.2	219	0.018	0.031	137(Fr)	Si	13
225.0	-623	0.0	4.62	13.19	29.2	442	0.037	0.063	153(Qp)	Si	4.8

X	M	Act	Aft	pAft	S _{r,max}	σ _{fmed}	Wd	Wk	Cb	Ver.	Cs
225.0	-705	0.0	4.62	13.19	29.2	500	0.042	0.071	137(Fr)	Si	5.6
405.0	-68	0.0	4.62	13.19	29.2	48	0.004	0.007	153(Qp)	Si	44
405.0	-128	0.0	4.62	13.19	29.2	90	0.008	0.013	137(Fr)	Si	31
450.0	223	0.0	4.62	13.19	29.2	158	0.013	0.022	153(Qp)	Si	13
450.0	279	0.0	4.62	13.19	29.2	198	0.016	0.028	138(Fr)	Si	14

Trave: 8004 [2,8], Pilastrate [110,121] Sez. R: By=30.0 cm Bz=40.0 cm L=450.0 cm Ln=450.0 cm Criterio: Cls aste collegamento Plinti_ND

Combinazione Rara: $\sigma_{ca}[\text{kg/cm}^2]=149$ $\sigma_{fa}[\text{kg/cm}^2]=3600$

X	M+	M-	Afsup	Afinf	σ _{C+}	σ _{f+}	σ _{C-}	σ _{f-}	Cb+	Cb-	Ver.	CS
cm	kg*m	kg*m	cmq	cmq	kg/cmq	kg/cmq	kg/cmq	kg/cmq				
0.0	1487	295	4.62	4.62	-28	1054	-6	209	121	129	Si	3.4
45.0	1541	7	4.62	4.62	-29	1092	-0	5	121	129	Si	3.3
225.0	1150	--	4.62	4.62	-22	815	--	--	121	129	Si	4.4
405.0	423	240	4.62	4.62	-8	300	-5	170	125	120	Si	12
450.0	157	706	4.62	4.62	-3	111	-13	501	125	121	Si	7.2

Combinazione QP: $\sigma_{ca}[\text{kg/cm}^2]=112$ $\sigma_{fa}[\text{kg/cm}^2]=3600$

X	M+	M-	Afsup	Afinf	σ _{C+}	σ _{f+}	σ _{C-}	σ _{f-}	Cb+	Cb-	Ver.	CS
cm	kg*m	kg*m	cmq	cmq	kg/cmq	kg/cmq	kg/cmq	kg/cmq				
0.0	--	133	4.62	4.62	--	--	-3	95	153	153	Si	38
45.0	141	--	4.62	4.62	-3	100	--	--	153	153	Si	36
225.0	632	--	4.62	4.62	-12	448	--	--	153	153	Si	8.0
405.0	150	--	4.62	4.62	-3	107	--	--	153	153	Si	34
450.0	--	122	4.62	4.62	--	--	-2	86	153	153	Si	42

Verifica aperture fessure: Wamm_Freq[mm]=0.400 Wamm_Qp[mm]=0.300

X	M	Act	Aft	pAft	S _{r,max}	σ _{fmed}	Wd	Wk	Cb	Ver.	Cs
cm	kg*m	mq	cmq	cm	cm	kg/cmq	mm	mm			
0.0	230	0.0	4.62	13.19	29.2	163	0.014	0.023	138(Fr)	Si	17
0.0	133	0.0	4.62	13.19	29.2	95	0.008	0.013	153(Qp)	Si	22
45.0	-141	0.0	4.62	13.19	29.2	100	0.008	0.014	153(Qp)	Si	21
45.0	-248	0.0	4.62	13.19	29.2	176	0.015	0.025	137(Fr)	Si	16
225.0	-632	0.0	4.62	13.19	29.2	448	0.037	0.064	153(Qp)	Si	4.7
225.0	-711	0.0	4.62	13.19	29.2	504	0.042	0.071	137(Fr)	Si	5.6
405.0	-150	0.0	4.62	13.19	29.2	107	0.009	0.015	153(Qp)	Si	20
405.0	-212	0.0	4.62	13.19	29.2	151	0.013	0.021	141(Fr)	Si	19
450.0	122	0.0	4.62	13.19	29.2	86	0.007	0.012	153(Qp)	Si	24
450.0	202	0.0	4.62	13.19	29.2	143	0.012	0.020	138(Fr)	Si	20

Trave: 8005 [7,5], Pilastrate [111,122] Sez. R: By=30.0 cm Bz=40.0 cm L=450.0 cm Ln=450.0 cm Criterio: Cls aste collegamento Plinti_ND

Combinazione Rara: $\sigma_{ca}[\text{kg/cm}^2]=149$ $\sigma_{fa}[\text{kg/cm}^2]=3600$

X	M+	M-	Afsup	Afinf	σ _{C+}	σ _{f+}	σ _{C-}	σ _{f-}	Cb+	Cb-	Ver.	CS
cm	kg*m	kg*m	cmq	cmq	kg/cmq	kg/cmq	kg/cmq	kg/cmq				
0.0	1781	243	4.62	4.62	-34	1263	-5	172	121	129	Si	2.9
45.0	1816	--	4.62	4.62	-34	1288	--	--	121	129	Si	2.8
225.0	1349	--	4.62	4.62	-25	956	--	--	121	129	Si	3.8
405.0	443	246	4.62	4.62	-8	314	-5	175	125	120	Si	11
450.0	148	644	4.62	4.62	-3	105	-12	456	125	120	Si	7.9

Combinazione QP: $\sigma_{ca}[\text{kg/cm}^2]=112$ $\sigma_{fa}[\text{kg/cm}^2]=3600$

X	M+	M-	Afsup	Afinf	σ _{C+}	σ _{f+}	σ _{C-}	σ _{f-}	Cb+	Cb-	Ver.	CS
cm	kg*m	kg*m	cmq	cmq	kg/cmq	kg/cmq	kg/cmq	kg/cmq				
0.0	--	42	4.62	4.62	--	--	-1	30	153	153	Si	>100
45.0	228	--	4.62	4.62	-4	162	--	--	153	153	Si	22
225.0	702	--	4.62	4.62	-13	498	--	--	153	153	Si	7.2
405.0	204	--	4.62	4.62	-4	144	--	--	153	153	Si	25
450.0	--	73	4.62	4.62	--	--	-1	52	153	153	Si	70

Verifica aperture fessure: Wamm_Freq[mm]=0.400 Wamm_Qp[mm]=0.300

X	M	Act	Aft	pAft	S _{r,max}	σ _{fmed}	Wd	Wk	Cb	Ver.	Cs
cm	kg*m	mq	cmq	cm	cm	kg/cmq	mm	mm			
0.0	205	0.0	4.62	13.19	29.2	145	0.012	0.021	138(Fr)	Si	19
0.0	42	0.0	4.62	13.19	29.2	30	0.002	0.004	153(Qp)	Si	71
45.0	-228	0.0	4.62	13.19	29.2	162	0.014	0.023	153(Qp)	Si	13

X	M	Act	Aft	pAft	S _{r,max}	σ _{fmed}	Wd	Wk	Cb	Ver.	Cs
45.0	-380	0.0	4.62	13.19	29.2	269	0.022	0.038	137(Fr)	Si	10
225.0	-702	0.0	4.62	13.19	29.2	498	0.042	0.071	153(Qp)	Si	4.3
225.0	-830	0.0	4.62	13.19	29.2	589	0.049	0.083	137(Fr)	Si	4.8
405.0	-204	0.0	4.62	13.19	29.2	144	0.012	0.020	153(Qp)	Si	15
405.0	-308	0.0	4.62	13.19	29.2	219	0.018	0.031	137(Fr)	Si	13
450.0	73	0.0	4.62	13.19	29.2	52	0.004	0.007	153(Qp)	Si	41
450.0	144	0.0	4.62	13.19	29.2	102	0.009	0.014	141(Fr)	Si	28

Verifica dei dadi di base (Stati limite esercizio)

Scenario di calcolo: **Set_SLV_SLD**

Simbologia

Terreno	Nome della stratigrafia per travi Winkler
L [cm]	Lunghezza teorica elemento (distanza tra i nodi)
Ln [cm]	Lunghezza netta elemento (tiene conto dei conchi rigidi)
L2,L3 [cm]	Lunghezze libere di inflessione
Sez. R: Sezione Rettangolare	
	By[cm]: Larghezza (asse locale y)
	Bz[cm]: Larghezza (asse locale z)
Sez. T: Sezione a T (rovescia e non)	
	Ba[cm]: Larghezza base inferiore
	Ha[cm]: Altezza inferiore
	Bs[cm]: Larghezza superiore
	Hs[cm]: Altezza superiore
Sez. L: Sezione ad L (rovescia e non)	
	Ba[cm]: Larghezza base inferiore
	Ha[cm]: Altezza inferiore
	Bs[cm]: Larghezza superiore
	Hs[cm]: Altezza superiore
Sez. C: Sezione circolare	
	R[cm]: Raggio
Sez. G: Sezione generica	
	B[cm]: Larghezza
	H[cm]: Altezza
X [cm]	Punto di verifica
σ _{ca} [kg/cm ²]	Tensione ammissibile nel cls
σ _{fa} [kg/cm ²]	Tensione ammissibile nell'acciaio
σ _{cta} [kg/cm ²]	Tensione ammissibile a trazione (quando richiesto dalla verifica)
M ⁻ [kg*m]	Momento negativo massimo di calcolo
M ⁺ [kg*m]	Momento positivo massimo di calcolo
M [kg*m]	Momento di calcolo (travi a flessione, pilastri circolari)
My [kg*m]	Momento calcolo per verifiche a pressoflessione
Mz [kg*m]	Momento calcolo per verifiche a pressoflessione (Sez. L, Pilastri)
N [kg]	Sforzo normale corrispondente ad My (e Mz per Sez. L, Pilastri)
A _{fsup} [cm ²]	Area di ferro superiore
A _{finf} [cm ²]	Area di ferro inferiore
A _{fsin} [cm ²]	Area di ferro sinistra (Sez. L)
A _{fdes} [cm ²]	Area di ferro destra (Sez. L)
σ _{c-} [kg/cm ²]	Tensione nel cls compresso per effetto di M ⁻
σ _{c+} [kg/cm ²]	Tensione nel cls compresso per effetto di M ⁺
σ _{ct-} [kg/cm ²]	Tensione nel cls teso per effetto di M ⁻
σ _{ct+} [kg/cm ²]	Tensione nel cls teso per effetto di M ⁺
σ _{f-} [kg/cm ²]	Tensione nell'acciaio per effetto di M ⁻
σ _{f+} [kg/cm ²]	Tensione nell'acciaio per effetto di M ⁺
Cb ⁻	Combinazione di carico generatore di M ⁻
Cb ⁺	Combinazione di carico generatore di M ⁺
σ _c [kg/cm ²]	Tensione nel cls per effetto di N My
σ _f [kg/cm ²]	Tensione nell'acciaio per effetto di N My
Cb	Combinazione di carico generatore di N My
Act [mq]	Area di calcestruzzo teso
Aft [cm ²]	Area di acciaio teso
pAft [cm]	Perimetro area di acciaio teso
S _{r,max} [cm]	Distanza massima delle fessure

σ_{fmed} [kg/cmq]	Tensione media dell'acciaio
Wd [mm]	Apertura delle fessure
Wk [mm]	Apertura caratteristica delle fessure
Wamm_Freq [mm]	Apertura ammissibile delle fessure per combinazione Frequente
Wamm_Qp [mm]	Apertura ammissibile delle fessure per combinazione Quasi Permanente
Wamm_Rara [mm]	Apertura ammissibile delle fessure per combinazione Rara
Cs	Coefficiente di sicurezza definito come minimo di σ_{Amm}/σ tra acciaio e calcestruzzo oppure Wamm/Wk

Dado: 108 [1,8] Sez. R: By=80.0 cm Bz=80.0 cm L=80.0 cm Ln=80.0 cm L2=80.0 cm L3=80.0 cm Criterio: CLS_Dado-Base

Zona	Armature		
cm	cmq	cmq	cmq
0.0	AfSpigolo = 2.01	Afy = 14.07	Afz = 14.07
80.0	AfSpigolo = 2.01	Afy = 14.07	Afz = 14.07

Verifica snellezza: fcd=141 [kg/cm²] - **Verificato**

Cb	N	fcd*Ac	v	λ_{max}	λ_{lim}
	kg	kg			
117	9998	903040	0.011	3.464	237.597

Combinazione Rara: σ_{ca} [kg/cm²]=149 σ_{fa} [kg/cm²]=3600

X	N	My	Mz	σ_{cy}	σ_{fy}	σ_{cz}	σ_{fz}	Cb	Ver.	Cs
cm	kg	kg*m	kg*m	kg/cm ²	kg/cm ²	kg/cm ²	kg/cm ²			
0.0	-9569	-2101	21	-3	12	-1	-19	125	Si	43
0.0	-9990	-4561	719	-7	117	-2	-12	121	Si	20
80.0	-8718	-2840	437	-5	45	-2	-12	117	Si	33
80.0	-8710	-3727	718	-6	89	-2	-9	121	Si	25

Combinazione QP: σ_{ca} [kg/cm²]=112 σ_{fa} [kg/cm²]=3600

X	N	My	Mz	σ_{cy}	σ_{fy}	σ_{cz}	σ_{fz}	Cb	Ver.	Cs
cm	kg	kg*m	kg*m	kg/cm ²	kg/cm ²	kg/cm ²	kg/cm ²			
0.0	-5212	-1115	28	-2	6	-1	-10	154	Si	61
80.0	-3932	-828	22	-1	4	-1	-8	153	Si	81

Verifica aperture fessure: Wamm_Freq[mm]=0.400 Wamm_Qp[mm]=0.300

X	N	My	Mz	Act	Aft	pAft	S _{r,max}	σ_{fmed}	Wd	Wk	Cb	Ver.	Cs
cm	kg	kg*m	kg*m	mq	cmq	cm	cm	kg/cm ²	mm	mm			
0.0	-6780	-1507	27	0.1	23.89	59.72	20.0	8	0.000	0.000	146(Fr)	Si	>100
0.0	-5212	-1115	28	0.0	23.18	57.94	19.6	5	0.000	0.000	154(Qp)	Si	>100
80.0	-3932	-828	22	0.0	22.87	57.18	19.4	3	0.000	0.000	153(Qp)	Si	>100
80.0	-5500	-1116	21	0.0	22.18	55.46	19.0	4	0.000	0.000	137(Fr)	Si	>100

Dado: 109 [3,9] Sez. R: By=80.0 cm Bz=80.0 cm L=80.0 cm Ln=80.0 cm L2=80.0 cm L3=80.0 cm Criterio: CLS_Dado-Base

Zona	Armature		
cm	cmq	cmq	cmq
0.0	AfSpigolo = 2.01	Afy = 14.07	Afz = 14.07
80.0	AfSpigolo = 2.01	Afy = 14.07	Afz = 14.07

Verifica snellezza: fcd=141 [kg/cm²] - **Verificato**

Cb	N	fcd*Ac	v	λ_{max}	λ_{lim}
	kg	kg			
121	10023	903040	0.011	3.464	237.301

Combinazione Rara: σ_{ca} [kg/cm²]=149 σ_{fa} [kg/cm²]=3600

X	N	My	Mz	σ_{cy}	σ_{fy}	σ_{cz}	σ_{fz}	Cb	Ver.	Cs
cm	kg	kg*m	kg*m	kg/cm ²	kg/cm ²	kg/cm ²	kg/cm ²			
0.0	-9545	-1866	50	-3	6	-1	-19	125	Si	47
0.0	-10023	-4336	725	-7	105	-2	-12	121	Si	21
80.0	-8726	-2662	447	-4	37	-2	-12	117	Si	35
80.0	-8743	-3551	721	-6	79	-2	-9	121	Si	26

Combinazione QP: σ_{ca} [kg/cm²]=112 σ_{fa} [kg/cm²]=3600

X	N	My	Mz	σ_{cy}	σ_{fy}	σ_{cz}	σ_{fz}	Cb	Ver.	Cs
cm	kg	kg*m	kg*m	kg/cmq	kg/cmq	kg/cmq	kg/cmq			
0.0	-5230	-881	41	-2	0	-1	-10	154	Si	72
80.0	-3950	-645	29	-1	0	-1	-8	153	Si	97

Verifica aperture fessure:Wamm_Freq[mm]=0.400 Wamm_Qp[mm]=0.300

X	N	My	Mz	Act	Aft	pAft	$S_{r,max}$	σ_{fmed}	Wd	Wk	Cb	Ver.	Cs
cm	kg	kg*m	kg*m	mq	cmq	cm	cm	kg/cmq	mm	mm			
0.0	-6785	-1272	45	0.0	20.69	51.72	18.1	3	0.000	0.000	146(Fr)	Si	>100
0.0	-5230	-881	41	0.0	18.72	46.80	16.6	0	0.000	0.000	154(Qp)	Si	>100
80.0	-3950	-645	29	0.0	18.16	45.39	16.1	0	0.000	0.000	153(Qp)	Si	>100
80.0	-5505	-932	32	0.0	18.82	47.05	16.7	1	0.000	0.000	137(Fr)	Si	>100

Dado: 110 [2,10] Sez. R: By=80.0 cm Bz=80.0 cm L=80.0 cm Ln=80.0 cm L2=80.0 cm L3=80.0 cm
Criterio: CLS_Dado-Base

Zona	Armature		
cm	cmq	cmq	cmq
0.0	AfSpigolo = 2.01	Afy = 14.07	Afz = 14.07
80.0	AfSpigolo = 2.01	Afy = 14.07	Afz = 14.07

Verifica snellezza: fcd=141 [kg/cmq] - **Verificato**

Cb	N	fcd*Ac	v	λ_{max}	λ_{lim}
	kg	kg			
117	10147	903040	0.011	3.464	235.844

Combinazione Rara: σ_{ca} [kg/cmq]=149 σ_{fa} [kg/cmq]=3600

X	N	My	Mz	σ_{cy}	σ_{fy}	σ_{cz}	σ_{fz}	Cb	Ver.	Cs
cm	kg	kg*m	kg*m	kg/cmq	kg/cmq	kg/cmq	kg/cmq			
0.0	-9858	-1752	-106	-3	3	-1	-19	125	Si	49
0.0	-10037	-4240	697	-7	100	-2	-12	121	Si	22
80.0	-8867	-2581	393	-4	33	-2	-13	117	Si	36
80.0	-8757	-3474	703	-6	75	-2	-9	121	Si	26

Combinazione QP: σ_{ca} [kg/cmq]=112 σ_{fa} [kg/cmq]=3600

X	N	My	Mz	σ_{cy}	σ_{fy}	σ_{cz}	σ_{fz}	Cb	Ver.	Cs
cm	kg	kg*m	kg*m	kg/cmq	kg/cmq	kg/cmq	kg/cmq			
0.0	-5400	-758	-30	-1	-2	-1	-11	154	Si	77
80.0	-4120	-548	-17	-1	-2	-1	-8	153	Si	>100

Verifica aperture fessure:Wamm_Freq[mm]=0.400 Wamm_Qp[mm]=0.300

X	N	My	Mz	Act	Aft	pAft	$S_{r,max}$	σ_{fmed}	Wd	Wk	Cb	Ver.	Cs
cm	kg	kg*m	kg*m	mq	cmq	cm	cm	kg/cmq	mm	mm			
0.0	-5316	-775	-30	0.0	0.00	0.00	0.0	0	0.000	0.000	152(Fr)	Si	>100
0.0	-5400	-758	-30	0.0	0.00	0.00	0.0	0	0.000	0.000	154(Qp)	Si	>100
80.0	-4120	-548	-17	0.0	0.00	0.00	0.0	0	0.000	0.000	153(Qp)	Si	>100
80.0	-4141	-545	-17	0.0	0.00	0.00	0.0	0	0.000	0.000	135(Fr)	Si	>100

Dado: 111 [7,11] Sez. R: By=80.0 cm Bz=80.0 cm L=80.0 cm Ln=80.0 cm L2=80.0 cm L3=80.0 cm
Criterio: CLS_Dado-Base

Zona	Armature		
cm	cmq	cmq	cmq
0.0	AfSpigolo = 2.01	Afy = 14.07	Afz = 14.07
80.0	AfSpigolo = 2.01	Afy = 14.07	Afz = 14.07

Verifica snellezza: fcd=141 [kg/cmq] - **Verificato**

Cb	N	fcd*Ac	v	λ_{max}	λ_{lim}
	kg	kg			
121	8417	903040	0.009	3.464	258.948

Combinazione Rara: σ_{ca} [kg/cmq]=149 σ_{fa} [kg/cmq]=3600

X	N	My	Mz	σ_{cy}	σ_{fy}	σ_{cz}	σ_{fz}	Cb	Ver.	Cs
cm	kg	kg*m	kg*m	kg/cmq	kg/cmq	kg/cmq	kg/cmq			
0.0	-7754	-2139	727	-3	24	-2	-7	125	Si	43
0.0	-8417	-4734	844	-8	147	-2	-7	121	Si	19
80.0	-7006	-2870	680	-5	65	-2	-6	117	Si	32
80.0	-7137	-3785	799	-6	112	-2	-5	121	Si	24

Combinazione QP: $\sigma_{ca}[\text{kg}/\text{cmq}]=112$ $\sigma_{fa}[\text{kg}/\text{cmq}]=3600$

X	N	My	Mz	σ_{cy}	σ_{fy}	σ_{cz}	σ_{fz}	Cb	Ver.	Cs
cm	kg	kg*m	kg*m	kg/cmq	kg/cmq	kg/cmq	kg/cmq			
0.0	-4428	-913	344	-2	4	-1	-5	154	Si	73
80.0	-3148	-638	228	-1	2	-1	-4	153	Si	>100

Verifica aperture fessure: $W_{amm_Freq}[\text{mm}]=0.400$ $W_{amm_Qp}[\text{mm}]=0.300$

X	N	My	Mz	Act	Aft	pAft	$S_{r,max}$	σ_{fmed}	Wd	Wk	Cb	Ver.	Cs
cm	kg	kg*m	kg*m	mq	cmq	cm	cm	kg/cmq	mm	mm			
0.0	-5575	-1423	489	0.1	26.40	65.99	21.2	10	0.001	0.001	146(Fr)	Si	>100
0.0	-4428	-913	344	0.0	22.50	56.24	19.2	3	0.000	0.000	154(Qp)	Si	>100
80.0	-3148	-638	228	0.0	22.17	55.43	19.0	2	0.000	0.000	153(Qp)	Si	>100
80.0	-4295	-1003	322	0.1	24.81	62.02	20.4	6	0.000	0.000	137(Fr)	Si	>100

Dado: 119 [4,19] Sez. R: $B_y=80.0$ cm $B_z=80.0$ cm $L=80.0$ cm $L_n=80.0$ cm $L_2=80.0$ cm $L_3=80.0$ cm
 Criterio: CLS_Dado-Base

Zona	Armature		
cm	cmq	cmq	cmq
0.0	AfSpigolo = 2.01	Afy = 14.07	Afz = 14.07
80.0	AfSpigolo = 2.01	Afy = 14.07	Afz = 14.07

Verifica snellezza: $f_{cd}=141$ [kg/cmq] - **Verificato**

Cb	N	$f_{cd} \cdot A_c$	v	λ_{max}	λ_{lim}
	kg	kg			
125	15952	903040	0.018	3.464	188.096

Combinazione Rara: $\sigma_{ca}[\text{kg}/\text{cmq}]=149$ $\sigma_{fa}[\text{kg}/\text{cmq}]=3600$

X	N	My	Mz	σ_{cy}	σ_{fy}	σ_{cz}	σ_{fz}	Cb	Ver.	Cs
cm	kg	kg*m	kg*m	kg/cmq	kg/cmq	kg/cmq	kg/cmq			
0.0	-15952	155	4	-2	-31	-2	-32	134	Si	65
80.0	-14232	-779	428	-3	-19	-2	-24	117	Si	56

Combinazione QP: $\sigma_{ca}[\text{kg}/\text{cmq}]=112$ $\sigma_{fa}[\text{kg}/\text{cmq}]=3600$

X	N	My	Mz	σ_{cy}	σ_{fy}	σ_{cz}	σ_{fz}	Cb	Ver.	Cs
cm	kg	kg*m	kg*m	kg/cmq	kg/cmq	kg/cmq	kg/cmq			
0.0	-7847	-96	12	-1	-15	-1	-16	154	Si	97
80.0	-6567	-166	12	-1	-11	-1	-13	153	Si	>100

Verifica aperture fessure: $W_{amm_Freq}[\text{mm}]=0.400$ $W_{amm_Qp}[\text{mm}]=0.300$

X	N	My	Mz	Act	Aft	pAft	$S_{r,max}$	σ_{fmed}	Wd	Wk	Cb	Ver.	Cs
cm	kg	kg*m	kg*m	mq	cmq	cm	cm	kg/cmq	mm	mm			
0.0	-7846	-97	12	0.0	0.00	0.00	0.0	0	0.000	0.000	152(Fr)	Si	>100
0.0	-7847	-96	12	0.0	0.00	0.00	0.0	0	0.000	0.000	154(Qp)	Si	>100
80.0	-6567	-166	12	0.0	0.00	0.00	0.0	0	0.000	0.000	153(Qp)	Si	>100
80.0	-6567	-166	12	0.0	0.00	0.00	0.0	0	0.000	0.000	135(Fr)	Si	>100

Dado: 120 [6,20] Sez. R: $B_y=80.0$ cm $B_z=80.0$ cm $L=80.0$ cm $L_n=80.0$ cm $L_2=80.0$ cm $L_3=80.0$ cm
 Criterio: CLS_Dado-Base

Zona	Armature		
cm	cmq	cmq	cmq
0.0	AfSpigolo = 2.01	Afy = 14.07	Afz = 14.07
80.0	AfSpigolo = 2.01	Afy = 14.07	Afz = 14.07

Verifica snellezza: $f_{cd}=141$ [kg/cmq] - **Verificato**

Cb	N	$f_{cd} \cdot A_c$	v	λ_{max}	λ_{lim}
	kg	kg			
125	15856	903040	0.018	3.464	188.670

Combinazione Rara: $\sigma_{ca}[\text{kg}/\text{cmq}]=149$ $\sigma_{fa}[\text{kg}/\text{cmq}]=3600$

X	N	My	Mz	σ_{cy}	σ_{fy}	σ_{cz}	σ_{fz}	Cb	Ver.	Cs
cm	kg	kg*m	kg*m	kg/cmq	kg/cmq	kg/cmq	kg/cmq			
0.0	-15856	385	79	-3	-28	-2	-31	134	Si	59
80.0	-14173	-605	468	-3	-21	-2	-23	117	Si	60

Combinazione QP: $\sigma_{ca}[kg/cm^2]=112$ $\sigma_{fa}[kg/cm^2]=3600$

X	N	My	Mz	σ_{cy}	σ_{fy}	σ_{cz}	σ_{fz}	Cb	Ver.	Cs
cm	kg	kg*m	kg*m	kg/cm ²	kg/cm ²	kg/cm ²	kg/cm ²			
0.0	-7817	133	61	-1	-14	-1	-15	154	Si	94
80.0	-6537	13	44	-1	-13	-1	-13	153	Si	>100

Verifica aperture fessure: $W_{amm_Freq}[mm]=0.400$ $W_{amm_Qp}[mm]=0.300$

X	N	My	Mz	Act	Aft	pAft	$S_{r,max}$	σ_{fmed}	Wd	Wk	Cb	Ver.	Cs
cm	kg	kg*m	kg*m	mq	cmq	cm	cm	kg/cm ²	mm	mm			
0.0	-7827	131	57	0.0	0.00	0.00	0.0	0	0.000	0.000	152(Fr)	Si	>100
0.0	-7817	133	61	0.0	0.00	0.00	0.0	0	0.000	0.000	154(Qp)	Si	>100
80.0	-6537	13	44	0.0	0.00	0.00	0.0	0	0.000	0.000	153(Qp)	Si	>100
80.0	-6534	13	45	0.0	0.00	0.00	0.0	0	0.000	0.000	135(Fr)	Si	>100

Dado: 121 [8,21] Sez. R: $B_y=80.0$ cm $B_z=80.0$ cm $L=80.0$ cm $L_n=80.0$ cm $L_2=80.0$ cm $L_3=80.0$ cm
 Criterio: CLS_Dado-Base

Zona	Armature		
cm	cmq	cmq	cmq
0.0	AfSpigolo = 2.01	Afy = 14.07	Afz = 14.07
80.0	AfSpigolo = 2.01	Afy = 14.07	Afz = 14.07

Verifica snellezza: $f_{cd}=141$ [kg/cm²] - **Verificato**

Cb	N	$f_{cd} \cdot A_c$	v	λ_{max}	λ_{lim}
	kg	kg			
	125	16819	903040	0.019	3.464
					183.186

Combinazione Rara: $\sigma_{ca}[kg/cm^2]=149$ $\sigma_{fa}[kg/cm^2]=3600$

X	N	My	Mz	σ_{cy}	σ_{fy}	σ_{cz}	σ_{fz}	Cb	Ver.	Cs
cm	kg	kg*m	kg*m	kg/cm ²	kg/cm ²	kg/cm ²	kg/cm ²			
0.0	-16819	628	-207	-3	-27	-2	-32	134	Si	52
80.0	-14954	-439	330	-2	-25	-2	-26	117	Si	61

Combinazione QP: $\sigma_{ca}[kg/cm^2]=112$ $\sigma_{fa}[kg/cm^2]=3600$

X	N	My	Mz	σ_{cy}	σ_{fy}	σ_{cz}	σ_{fz}	Cb	Ver.	Cs
cm	kg	kg*m	kg*m	kg/cm ²	kg/cm ²	kg/cm ²	kg/cm ²			
0.0	-8143	286	-63	-1	-13	-1	-16	154	Si	81
80.0	-6863	129	-38	-1	-12	-1	-14	153	Si	>100

Verifica aperture fessure: $W_{amm_Freq}[mm]=0.400$ $W_{amm_Qp}[mm]=0.300$

X	N	My	Mz	Act	Aft	pAft	$S_{r,max}$	σ_{fmed}	Wd	Wk	Cb	Ver.	Cs
cm	kg	kg*m	kg*m	mq	cmq	cm	cm	kg/cm ²	mm	mm			
0.0	-8495	401	-71	0.0	0.00	0.00	0.0	0	0.000	0.000	152(Fr)	Si	>100
0.0	-8143	286	-63	0.0	0.00	0.00	0.0	0	0.000	0.000	154(Qp)	Si	>100
80.0	-6863	129	-38	0.0	0.00	0.00	0.0	0	0.000	0.000	153(Qp)	Si	>100
80.0	-6775	110	-36	0.0	0.00	0.00	0.0	0	0.000	0.000	135(Fr)	Si	>100

Dado: 122 [5,22] Sez. R: $B_y=80.0$ cm $B_z=80.0$ cm $L=80.0$ cm $L_n=80.0$ cm $L_2=80.0$ cm $L_3=80.0$ cm
 Criterio: CLS_Dado-Base

Zona	Armature		
cm	cmq	cmq	cmq
0.0	AfSpigolo = 2.01	Afy = 14.07	Afz = 14.07
80.0	AfSpigolo = 2.01	Afy = 14.07	Afz = 14.07

Verifica snellezza: $f_{cd}=141$ [kg/cm²] - **Verificato**

Cb	N	$f_{cd} \cdot A_c$	v	λ_{max}	λ_{lim}
	kg	kg			
	125	11895	903040	0.013	3.464
					217.826

Combinazione Rara: $\sigma_{ca}[kg/cm^2]=149$ $\sigma_{fa}[kg/cm^2]=3600$

X	N	My	Mz	σ_{cy}	σ_{fy}	σ_{cz}	σ_{fz}	Cb	Ver.	Cs
cm	kg	kg*m	kg*m	kg/cm ²	kg/cm ²	kg/cm ²	kg/cm ²			
0.0	-11895	1062	1264	-3	-11	-3	-9	134	Si	53
80.0	-10209	-28	1072	-1	-20	-2	-8	117	Si	62

Combinazione QP: $\sigma_{ca}[kg/cmq]=112$ $\sigma_{fa}[kg/cmq]=3600$

X	N	My	Mz	σ_{cy}	σ_{fy}	σ_{cz}	σ_{fz}	Cb	Ver.	Cs
cm	kg	kg*m	kg*m	kg/cmq	kg/cmq	kg/cmq	kg/cmq			
0.0	-6166	560	558	-1	-6	-1	-6	154	Si	82
80.0	-4886	317	371	-1	-6	-1	-5	153	Si	>100

Verifica aperture fessure: $Wamm_Freq[mm]=0.400$ $Wamm_Qp[mm]=0.300$

X	N	My	Mz	Act	Aft	pAft	$S_{r,max}$	σ_{fmed}	Wd	Wk	Cb	Ver.	Cs
cm	kg	kg*m	kg*m	mq	cmq	cm	cm	kg/cmq	mm	mm			
0.0	-5786	443	587	0.0	0.00	0.00	0.0	0	0.000	0.000	152(Fr)	Si	>100
0.0	-6166	560	558	0.0	0.00	0.00	0.0	0	0.000	0.000	154(Qp)	Si	>100
80.0	-4886	317	371	0.0	0.00	0.00	0.0	0	0.000	0.000	153(Qp)	Si	>100
80.0	-4981	335	366	0.0	0.00	0.00	0.0	0	0.000	0.000	135(Fr)	Si	>100

Verifica spostamenti verticali delle aste in Acciaio secondo NTC 2008

Scenario di calcolo: **Set_SLV_SLD**

Simbologia:

- L Luce della trave a cui appartiene l'asta
 δ_c Monta iniziale della trave
x Ascissa, nel sistema locale dell'asta, corrispondente allo spostamento massimo
Comb. Combinazione/i di carico Rara/e
 δ_{max} Spostamento nello stato finale depurato della monta iniziale (positivo se diretto verso il basso)
 δ_2 Spostamento elastico dovuto ai soli carichi variabili (positivo se diretto verso il basso)
L/k: Valore limite
N.b. La verifica è soddisfatta se il valore assoluto degli spostamenti è inferiore al limite

Travata: 101 [1001,1002]: L=720.0 cm, Modello =Appoggiata, Crit.Prog: Acciaio_FlessTors, $\delta_c = 0.0$ cm:
Verificato

Verifica spostamento nello stato finale (§4.2.4.2.1 - NTC)

x	Comb.	δ_{max}	L/250.00	Cs
cm		mm	mm	
342.0	39	3.84	28.80	7.5

Verifica spostamento elastico dovuto ai soli carichi variabili (§4.2.4.2.1 - NTC)

x	Comb.	δ_2	L/300.00	Cs
cm		mm	mm	
342.0	39	2.12	24.00	11

Travata: 101 [1002,1003]: L=720.0 cm, Modello =Appoggiata, Crit.Prog: Acciaio_FlessTors, $\delta_c = 0.0$ cm:
Verificato

Verifica spostamento nello stato finale (§4.2.4.2.1 - NTC)

x	Comb.	δ_{max}	L/250.00	Cs
cm		mm	mm	
360.0	22	2.73	28.80	11

Verifica spostamento elastico dovuto ai soli carichi variabili (§4.2.4.2.1 - NTC)

x	Comb.	δ_2	L/300.00	Cs
cm		mm	mm	
360.0	22	1.56	24.00	15

Travata: 101 [1003,1004]: L=720.0 cm, Modello =Appoggiata, Crit.Prog: Acciaio_FlessTors, $\delta_c = 0.0$ cm:
Verificato

Verifica spostamento nello stato finale (§4.2.4.2.1 - NTC)

x	Comb.	δ_{max}	L/250.00	Cs
cm		mm	mm	
360.0	39	2.83	28.80	10

Verifica spostamento elastico dovuto ai soli carichi variabili (§4.2.4.2.1 - NTC)

x	Comb.	δ_2	L/300.00	Cs
cm		mm	mm	
360.0	39	1.55	24.00	15

Travata: 101 [1004,1005]: L=720.0 cm, Modello =Appoggiata, Crit.Prog: Acciaio_FlessTors, $\delta_c = 0.0$ cm:
Verificato

Verifica spostamento nello stato finale (§4.2.4.2.1 - NTC)

x	Comb.	δ_{max}	L/250.00	Cs
cm		mm	mm	
360.0	22	2.79	28.80	10

Verifica spostamento elastico dovuto ai soli carichi variabili (§4.2.4.2.1 - NTC)

x	Comb.	δ_2	L/300.00	Cs
cm		mm	mm	
360.0	22	1.53	24.00	16

Travata: 101 [1005,1006]: L=720.0 cm, Modello =Appoggiata, Crit.Prog: Acciaio_FlessTors, $\delta_c = 0.0$ cm:
Verificato

Verifica spostamento nello stato finale (§4.2.4.2.1 - NTC)

x	Comb.	δ_{max}	L/250.00	Cs
cm		mm	mm	
360.0	22	2.79	28.80	10

Verifica spostamento elastico dovuto ai soli carichi variabili (§4.2.4.2.1 - NTC)

x	Comb.	δ_2	L/300.00	Cs
cm		mm	mm	
360.0	22	1.53	24.00	16

Travata: 101 [1006,1007]: L=720.0 cm, Modello =Appoggiata, Crit.Prog: Acciaio_FlessTors, $\delta_c = 0.0$ cm:
Verificato

Verifica spostamento nello stato finale (§4.2.4.2.1 - NTC)

x	Comb.	δ_{max}	L/250.00	Cs
cm		mm	mm	
360.0	22	2.79	28.80	10

Verifica spostamento elastico dovuto ai soli carichi variabili (§4.2.4.2.1 - NTC)

x	Comb.	δ_2	L/300.00	Cs
cm		mm	mm	
360.0	22	1.53	24.00	16

Travata: 101 [1007,1008]: L=720.0 cm, Modello =Appoggiata, Crit.Prog: Acciaio_FlessTors, $\delta_c = 0.0$ cm:
Verificato

Verifica spostamento nello stato finale (§4.2.4.2.1 - NTC)

x	Comb.	δ_{max}	L/250.00	Cs
cm		mm	mm	
360.0	22	2.79	28.80	10

Verifica spostamento elastico dovuto ai soli carichi variabili (§4.2.4.2.1 - NTC)

x	Comb.	δ_2	L/300.00	Cs
cm		mm	mm	
360.0	22	1.53	24.00	16

Travata: 101 [1008,1009]: L=720.0 cm, Modello =Appoggiata, Crit.Prog: Acciaio_FlessTors, $\delta_c = 0.0$ cm:
Verificato

Verifica spostamento nello stato finale (§4.2.4.2.1 - NTC)

x	Comb.	δ_{max}	L/250.00	Cs
cm		mm	mm	

x	Comb.	δ_{max}	L/250.00	Cs
360.0	39	2.83	28.80	10

Verifica spostamento elastico dovuto ai soli carichi variabili (§4.2.4.2.1 - NTC)

x	Comb.	δ_2	L/300.00	Cs
cm		mm	mm	
360.0	39	1.56	24.00	15

Travata: 101 [1009,1010]: L=720.0 cm, Modello =Appoggiata, Crit.Prog: Acciaio_FlessTors, $\delta_c = 0.0$ cm:
Verificato

Verifica spostamento nello stato finale (§4.2.4.2.1 - NTC)

x	Comb.	δ_{max}	L/250.00	Cs
cm		mm	mm	
360.0	22	2.68	28.80	11

Verifica spostamento elastico dovuto ai soli carichi variabili (§4.2.4.2.1 - NTC)

x	Comb.	δ_2	L/300.00	Cs
cm		mm	mm	
360.0	22	1.51	24.00	16

Travata: 101 [1010,1011]: L=720.0 cm, Modello =Appoggiata, Crit.Prog: Acciaio_FlessTors, $\delta_c = 0.0$ cm:
Verificato

Verifica spostamento nello stato finale (§4.2.4.2.1 - NTC)

x	Comb.	δ_{max}	L/250.00	Cs
cm		mm	mm	
378.0	39	3.80	28.80	7.6

Verifica spostamento elastico dovuto ai soli carichi variabili (§4.2.4.2.1 - NTC)

x	Comb.	δ_2	L/300.00	Cs
cm		mm	mm	
378.0	39	2.08	24.00	12

Travata: 102 [1012,1013]: L=720.0 cm, Modello =Appoggiata, Crit.Prog: Acciaio_FlessTors, $\delta_c = 0.0$ cm:
Verificato

Verifica spostamento nello stato finale (§4.2.4.2.1 - NTC)

x	Comb.	δ_{max}	L/250.00	Cs
cm		mm	mm	
342.0	39	6.82	28.80	4.2

Verifica spostamento elastico dovuto ai soli carichi variabili (§4.2.4.2.1 - NTC)

x	Comb.	δ_2	L/300.00	Cs
cm		mm	mm	
342.0	39	3.88	24.00	6.2

Travata: 102 [1013,1014]: L=720.0 cm, Modello =Appoggiata, Crit.Prog: Acciaio_FlessTors, $\delta_c = 0.0$ cm:
Verificato

Verifica spostamento nello stato finale (§4.2.4.2.1 - NTC)

x	Comb.	δ_{max}	L/250.00	Cs
cm		mm	mm	
360.0	22	4.80	28.80	6.0

Verifica spostamento elastico dovuto ai soli carichi variabili (§4.2.4.2.1 - NTC)

x	Comb.	δ_2	L/300.00	Cs
cm		mm	mm	
360.0	22	2.78	24.00	8.6

Travata: 102 [1014,1015]: L=720.0 cm, Modello =Appoggiata, Crit.Prog: Acciaio_FlessTors, $\delta_c = 0.0$ cm:
Verificato

Verifica spostamento nello stato finale (§4.2.4.2.1 - NTC)

x	Comb.	δ_{max}	L/250.00	Cs
cm		mm	mm	
360.0	39	5.11	28.80	5.6

Verifica spostamento elastico dovuto ai soli carichi variabili (§4.2.4.2.1 - NTC)

x	Comb.	δ_2	L/300.00	Cs
cm		mm	mm	
360.0	39	2.91	24.00	8.2

Travata: 102 [1015,1016]: L=720.0 cm, Modello =Appoggiata, Crit.Prog: Acciaio_FlessTors, $\delta_c = 0.0$ cm:
Verificato

Verifica spostamento nello stato finale (§4.2.4.2.1 - NTC)

x	Comb.	δ_{max}	L/250.00	Cs
cm		mm	mm	
360.0	22	5.04	28.80	5.7

Verifica spostamento elastico dovuto ai soli carichi variabili (§4.2.4.2.1 - NTC)

x	Comb.	δ_2	L/300.00	Cs
cm		mm	mm	
360.0	22	2.87	24.00	8.4

Travata: 102 [1016,1017]: L=720.0 cm, Modello =Appoggiata, Crit.Prog: Acciaio_FlessTors, $\delta_c = 0.0$ cm:
Verificato

Verifica spostamento nello stato finale (§4.2.4.2.1 - NTC)

x	Comb.	δ_{max}	L/250.00	Cs
cm		mm	mm	
360.0	39	5.00	28.80	5.8

Verifica spostamento elastico dovuto ai soli carichi variabili (§4.2.4.2.1 - NTC)

x	Comb.	δ_2	L/300.00	Cs
cm		mm	mm	
360.0	39	2.83	24.00	8.5

Travata: 102 [1017,1018]: L=720.0 cm, Modello =Appoggiata, Crit.Prog: Acciaio_FlessTors, $\delta_c = 0.0$ cm:
Verificato

Verifica spostamento nello stato finale (§4.2.4.2.1 - NTC)

x	Comb.	δ_{max}	L/250.00	Cs
cm		mm	mm	
360.0	39	5.24	28.80	5.5

Verifica spostamento elastico dovuto ai soli carichi variabili (§4.2.4.2.1 - NTC)

x	Comb.	δ_2	L/300.00	Cs
cm		mm	mm	
360.0	39	3.07	24.00	7.8

Travata: 102 [1018,1019]: L=720.0 cm, Modello =Appoggiata, Crit.Prog: Acciaio_FlessTors, $\delta_c = 0.0$ cm:
Verificato

Verifica spostamento nello stato finale (§4.2.4.2.1 - NTC)

x	Comb.	δ_{max}	L/250.00	Cs
cm		mm	mm	
360.0	22	4.83	28.80	6.0

Verifica spostamento elastico dovuto ai soli carichi variabili (§4.2.4.2.1 - NTC)

x	Comb.	δ_2	L/300.00	Cs
cm		mm	mm	
360.0	22	2.67	24.00	9.0

Travata: 102 [1019,1020]: L=720.0 cm, Modello =Appoggiata, Crit.Prog: Acciaio_FlessTors, $\delta_c = 0.0$ cm:

Verificato

Verifica spostamento nello stato finale (§4.2.4.2.1 - NTC)

x	Comb.	δ_{max}	L/250.00	Cs
cm		mm	mm	
360.0	39	5.14	28.80	5.6

Verifica spostamento elastico dovuto ai soli carichi variabili (§4.2.4.2.1 - NTC)

x	Comb.	δ_2	L/300.00	Cs
cm		mm	mm	
360.0	39	2.94	24.00	8.2

Travata: 102 [1020,1021]: L=720.0 cm, Modello =Appoggiata, Crit.Prog: Acciaio_FlessTors, $\delta_c = 0.0$ cm:**Verificato**

Verifica spostamento nello stato finale (§4.2.4.2.1 - NTC)

x	Comb.	δ_{max}	L/250.00	Cs
cm		mm	mm	
360.0	22	4.80	28.80	6.0

Verifica spostamento elastico dovuto ai soli carichi variabili (§4.2.4.2.1 - NTC)

x	Comb.	δ_2	L/300.00	Cs
cm		mm	mm	
360.0	22	2.78	24.00	8.6

Travata: 102 [1021,1022]: L=720.0 cm, Modello =Appoggiata, Crit.Prog: Acciaio_FlessTors, $\delta_c = 0.0$ cm:**Verificato**

Verifica spostamento nello stato finale (§4.2.4.2.1 - NTC)

x	Comb.	δ_{max}	L/250.00	Cs
cm		mm	mm	
378.0	39	6.91	28.80	4.2

Verifica spostamento elastico dovuto ai soli carichi variabili (§4.2.4.2.1 - NTC)

x	Comb.	δ_2	L/300.00	Cs
cm		mm	mm	
378.0	39	3.96	24.00	6.1

Travata: 144 [1001,1012]: L=450.0 cm, Modello =Appoggiata, Crit.Prog: Acciaio_Flessione, $\delta_c = 0.0$ cm:**Verificato**

Verifica spostamento nello stato finale (§4.2.4.2.1 - NTC)

x	Comb.	δ_{max}	L/250.00	Cs
cm		mm	mm	
210.0	26	-1.33	18.00	14

Verifica spostamento elastico dovuto ai soli carichi variabili (§4.2.4.2.1 - NTC)

x	Comb.	δ_2	L/300.00	Cs
cm		mm	mm	
180.0	26	-1.04	15.00	14

Travata: 145 [1111,1238]: L=450.0 cm, Modello =Appoggiata, Crit.Prog: Acciaio_Flessione, $\delta_c = 0.0$ cm:**Verificato**

Verifica spostamento nello stato finale (§4.2.4.2.1 - NTC)

x	Comb.	δ_{max}	L/250.00	Cs
cm		mm	mm	
240.0	26	-3.58	18.00	5.0

Verifica spostamento elastico dovuto ai soli carichi variabili (§4.2.4.2.1 - NTC)

x	Comb.	δ_2	L/300.00	Cs
cm		mm	mm	
240.0	26	-2.69	15.00	5.6

Travata: 146 [1112,1239]: L=450.0 cm, Modello =Appoggiata, Crit.Prog: Acciaio_Flessione, $\delta c = 0.0$ cm:
Verificato

Verifica spostamento nello stato finale (§4.2.4.2.1 - NTC)

x	Comb.	δ_{max}	L/250.00	Cs
cm		mm	mm	
240.0	26	-4.60	18.00	3.9

Verifica spostamento elastico dovuto ai soli carichi variabili (§4.2.4.2.1 - NTC)

x	Comb.	δ_2	L/300.00	Cs
cm		mm	mm	
240.0	26	-3.44	15.00	4.4

Travata: 147 [1113,1240]: L=450.0 cm, Modello =Appoggiata, Crit.Prog: Acciaio_Flessione, $\delta c = 0.0$ cm:
Verificato

Verifica spostamento nello stato finale (§4.2.4.2.1 - NTC)

x	Comb.	δ_{max}	L/250.00	Cs
cm		mm	mm	
240.0	26	-4.36	18.00	4.1

Verifica spostamento elastico dovuto ai soli carichi variabili (§4.2.4.2.1 - NTC)

x	Comb.	δ_2	L/300.00	Cs
cm		mm	mm	
240.0	26	-3.18	15.00	4.7

Travata: 148 [1002,1013]: L=450.0 cm, Modello =Appoggiata, Crit.Prog: Acciaio_Flessione, $\delta c = 0.0$ cm:
Verificato

Verifica spostamento nello stato finale (§4.2.4.2.1 - NTC)

x	Comb.	δ_{max}	L/250.00	Cs
cm		mm	mm	
165.0	26	-0.80	18.00	22

Verifica spostamento elastico dovuto ai soli carichi variabili (§4.2.4.2.1 - NTC)

x	Comb.	δ_2	L/300.00	Cs
cm		mm	mm	
135.0	26	-0.69	15.00	22

Travata: 149 [1115,1242]: L=450.0 cm, Modello =Appoggiata, Crit.Prog: Acciaio_Flessione, $\delta c = 0.0$ cm:
Verificato

Verifica spostamento nello stato finale (§4.2.4.2.1 - NTC)

x	Comb.	δ_{max}	L/250.00	Cs
cm		mm	mm	
240.0	26	-4.44	18.00	4.1

Verifica spostamento elastico dovuto ai soli carichi variabili (§4.2.4.2.1 - NTC)

x	Comb.	δ_2	L/300.00	Cs
cm		mm	mm	
240.0	26	-3.27	15.00	4.6

Travata: 150 [1116,1243]: L=450.0 cm, Modello =Appoggiata, Crit.Prog: Acciaio_Flessione, $\delta c = 0.0$ cm:
Verificato

Verifica spostamento nello stato finale (§4.2.4.2.1 - NTC)

x	Comb.	δ_{max}	L/250.00	Cs
cm		mm	mm	
240.0	26	-4.58	18.00	3.9

Verifica spostamento elastico dovuto ai soli carichi variabili (§4.2.4.2.1 - NTC)

x	Comb.	δ_2	L/300.00	Cs
cm		mm	mm	
240.0	26	-3.38	15.00	4.4

Travata: 151 [1117,1244]: L=450.0 cm, Modello =Appoggiata, Crit.Prog: Acciaio_Flessione, $\delta_c = 0.0$ cm:
Verificato

Verifica spostamento nello stato finale (§4.2.4.2.1 - NTC)

x	Comb.	δ_{max}	L/250.00	Cs
cm		mm	mm	
240.0	26	-4.53	18.00	4.0

Verifica spostamento elastico dovuto ai soli carichi variabili (§4.2.4.2.1 - NTC)

x	Comb.	δ_2	L/300.00	Cs
cm		mm	mm	
240.0	26	-3.36	15.00	4.5

Travata: 152 [1003,1014]: L=450.0 cm, Modello =Appoggiata, Crit.Prog: Acciaio_Flessione, $\delta_c = 0.0$ cm:
Verificato

Verifica spostamento nello stato finale (§4.2.4.2.1 - NTC)

x	Comb.	δ_{max}	L/250.00	Cs
cm		mm	mm	
180.0	26	-0.83	18.00	22

Verifica spostamento elastico dovuto ai soli carichi variabili (§4.2.4.2.1 - NTC)

x	Comb.	δ_2	L/300.00	Cs
cm		mm	mm	
150.0	26	-0.72	15.00	21

Travata: 153 [1118,1245]: L=450.0 cm, Modello =Appoggiata, Crit.Prog: Acciaio_Flessione, $\delta_c = 0.0$ cm:
Verificato

Verifica spostamento nello stato finale (§4.2.4.2.1 - NTC)

x	Comb.	δ_{max}	L/250.00	Cs
cm		mm	mm	
240.0	26	-4.53	18.00	4.0

Verifica spostamento elastico dovuto ai soli carichi variabili (§4.2.4.2.1 - NTC)

x	Comb.	δ_2	L/300.00	Cs
cm		mm	mm	
240.0	26	-3.36	15.00	4.5

Travata: 154 [1119,1246]: L=450.0 cm, Modello =Appoggiata, Crit.Prog: Acciaio_Flessione, $\delta_c = 0.0$ cm:
Verificato

Verifica spostamento nello stato finale (§4.2.4.2.1 - NTC)

x	Comb.	δ_{max}	L/250.00	Cs
cm		mm	mm	
240.0	26	-4.58	18.00	3.9

Verifica spostamento elastico dovuto ai soli carichi variabili (§4.2.4.2.1 - NTC)

x	Comb.	δ_2	L/300.00	Cs
cm		mm	mm	
240.0	26	-3.39	15.00	4.4

Travata: 155 [1120,1247]: L=450.0 cm, Modello =Appoggiata, Crit.Prog: Acciaio_Flessione, $\delta_c = 0.0$ cm:
Verificato

Verifica spostamento nello stato finale (§4.2.4.2.1 - NTC)

x	Comb.	δ_{max}	L/250.00	Cs
cm		mm	mm	
240.0	26	-4.53	18.00	4.0

Verifica spostamento elastico dovuto ai soli carichi variabili (§4.2.4.2.1 - NTC)

x	Comb.	δ_2	L/300.00	Cs
cm		mm	mm	
240.0	26	-3.36	15.00	4.5

Travata: 156 [1004,1015]: L=450.0 cm, Modello =Appoggiata, Crit.Prog: Acciaio_Flessione, $\delta_c = 0.0$ cm:
Verificato

Verifica spostamento nello stato finale (§4.2.4.2.1 - NTC)

x	Comb.	δ_{max}	L/250.00	Cs
cm		mm	mm	
180.0	26	-0.83	18.00	22

Verifica spostamento elastico dovuto ai soli carichi variabili (§4.2.4.2.1 - NTC)

x	Comb.	δ_2	L/300.00	Cs
cm		mm	mm	
150.0	26	-0.71	15.00	21

Travata: 157 [1122,1249]: L=450.0 cm, Modello =Appoggiata, Crit.Prog: Acciaio_Flessione, $\delta_c = 0.0$ cm:
Verificato

Verifica spostamento nello stato finale (§4.2.4.2.1 - NTC)

x	Comb.	δ_{max}	L/250.00	Cs
cm		mm	mm	
240.0	26	-4.53	18.00	4.0

Verifica spostamento elastico dovuto ai soli carichi variabili (§4.2.4.2.1 - NTC)

x	Comb.	δ_2	L/300.00	Cs
cm		mm	mm	
240.0	26	-3.36	15.00	4.5

Travata: 158 [1123,1250]: L=450.0 cm, Modello =Appoggiata, Crit.Prog: Acciaio_Flessione, $\delta_c = 0.0$ cm:
Verificato

Verifica spostamento nello stato finale (§4.2.4.2.1 - NTC)

x	Comb.	δ_{max}	L/250.00	Cs
cm		mm	mm	
240.0	26	-4.58	18.00	3.9

Verifica spostamento elastico dovuto ai soli carichi variabili (§4.2.4.2.1 - NTC)

x	Comb.	δ_2	L/300.00	Cs
cm		mm	mm	
240.0	26	-3.39	15.00	4.4

Travata: 159 [1124,1251]: L=450.0 cm, Modello =Appoggiata, Crit.Prog: Acciaio_Flessione, $\delta_c = 0.0$ cm:
Verificato

Verifica spostamento nello stato finale (§4.2.4.2.1 - NTC)

x	Comb.	δ_{max}	L/250.00	Cs
cm		mm	mm	
240.0	26	-4.53	18.00	4.0

Verifica spostamento elastico dovuto ai soli carichi variabili (§4.2.4.2.1 - NTC)

x	Comb.	δ_2	L/300.00	Cs
cm		mm	mm	
240.0	26	-3.36	15.00	4.5

Travata: 160 [1005,1016]: L=450.0 cm, Modello =Appoggiata, Crit.Prog: Acciaio_Flessione, $\delta_c = 0.0$ cm:
Verificato

Verifica spostamento nello stato finale (§4.2.4.2.1 - NTC)

x	Comb.	δ_{max}	L/250.00	Cs
cm		mm	mm	
180.0	26	-0.83	18.00	22

Verifica spostamento elastico dovuto ai soli carichi variabili (§4.2.4.2.1 - NTC)

x	Comb.	δ_2	L/300.00	Cs
cm		mm	mm	
150.0	26	-0.71	15.00	21

Travata: 161 [1126,1253]: L=450.0 cm, Modello =Appoggiata, Crit.Prog: Acciaio_Flessione, $\delta_c = 0.0$ cm:
Verificato

Verifica spostamento nello stato finale (§4.2.4.2.1 - NTC)

x	Comb.	δ_{max}	L/250.00	Cs
cm		mm	mm	
240.0	26	-4.53	18.00	4.0

Verifica spostamento elastico dovuto ai soli carichi variabili (§4.2.4.2.1 - NTC)

x	Comb.	δ_2	L/300.00	Cs
cm		mm	mm	
240.0	26	-3.36	15.00	4.5

Travata: 162 [1127,1254]: L=450.0 cm, Modello =Appoggiata, Crit.Prog: Acciaio_Flessione, $\delta_c = 0.0$ cm:
Verificato

Verifica spostamento nello stato finale (§4.2.4.2.1 - NTC)

x	Comb.	δ_{max}	L/250.00	Cs
cm		mm	mm	
240.0	26	-4.58	18.00	3.9

Verifica spostamento elastico dovuto ai soli carichi variabili (§4.2.4.2.1 - NTC)

x	Comb.	δ_2	L/300.00	Cs
cm		mm	mm	
240.0	26	-3.39	15.00	4.4

Travata: 163 [1128,1255]: L=450.0 cm, Modello =Appoggiata, Crit.Prog: Acciaio_Flessione, $\delta_c = 0.0$ cm:
Verificato

Verifica spostamento nello stato finale (§4.2.4.2.1 - NTC)

x	Comb.	δ_{max}	L/250.00	Cs
cm		mm	mm	
240.0	26	-4.53	18.00	4.0

Verifica spostamento elastico dovuto ai soli carichi variabili (§4.2.4.2.1 - NTC)

x	Comb.	δ_2	L/300.00	Cs
cm		mm	mm	
240.0	26	-3.36	15.00	4.5

Travata: 164 [1006,1017]: L=450.0 cm, Modello =Appoggiata, Crit.Prog: Acciaio_Flessione, $\delta_c = 0.0$ cm:
Verificato

Verifica spostamento nello stato finale (§4.2.4.2.1 - NTC)

x	Comb.	δ_{max}	L/250.00	Cs
cm		mm	mm	
180.0	26	-0.81	18.00	22

Verifica spostamento elastico dovuto ai soli carichi variabili (§4.2.4.2.1 - NTC)

x	Comb.	δ_2	L/300.00	Cs
cm		mm	mm	
165.0	26	-0.69	15.00	22

Travata: 165 [1130,1257]: L=450.0 cm, Modello =Appoggiata, Crit.Prog: Acciaio_Flessione, $\delta_c = 0.0$ cm:
Verificato

Verifica spostamento nello stato finale (§4.2.4.2.1 - NTC)

x	Comb.	δ_{max}	L/250.00	Cs
cm		mm	mm	
240.0	26	-4.53	18.00	4.0

Verifica spostamento elastico dovuto ai soli carichi variabili (§4.2.4.2.1 - NTC)

x	Comb.	δ_2	L/300.00	Cs
cm		mm	mm	
240.0	26	-3.36	15.00	4.5

Travata: 166 [1131,1258]: L=450.0 cm, Modello =Appoggiata, Crit.Prog: Acciaio_Flessione, $\delta_c = 0.0$ cm:
Verificato

Verifica spostamento nello stato finale (§4.2.4.2.1 - NTC)

x	Comb.	δ_{max}	L/250.00	Cs
cm		mm	mm	
240.0	26	-4.58	18.00	3.9

Verifica spostamento elastico dovuto ai soli carichi variabili (§4.2.4.2.1 - NTC)

x	Comb.	δ_2	L/300.00	Cs
cm		mm	mm	
240.0	26	-3.39	15.00	4.4

Travata: 167 [1132,1259]: L=450.0 cm, Modello =Appoggiata, Crit.Prog: Acciaio_Flessione, $\delta_c = 0.0$ cm:
Verificato

Verifica spostamento nello stato finale (§4.2.4.2.1 - NTC)

x	Comb.	δ_{max}	L/250.00	Cs
cm		mm	mm	
240.0	26	-4.54	18.00	4.0

Verifica spostamento elastico dovuto ai soli carichi variabili (§4.2.4.2.1 - NTC)

x	Comb.	δ_2	L/300.00	Cs
cm		mm	mm	
240.0	26	-3.37	15.00	4.5

Travata: 168 [1007,1018]: L=450.0 cm, Modello =Appoggiata, Crit.Prog: Acciaio_Flessione, $\delta_c = 0.0$ cm:
Verificato

Verifica spostamento nello stato finale (§4.2.4.2.1 - NTC)

x	Comb.	δ_{max}	L/250.00	Cs
cm		mm	mm	
255.0	26	-1.60	18.00	11

Verifica spostamento elastico dovuto ai soli carichi variabili (§4.2.4.2.1 - NTC)

x	Comb.	δ_2	L/300.00	Cs
cm		mm	mm	
240.0	26	-1.42	15.00	11

Travata: 169 [1134,1261]: L=450.0 cm, Modello =Appoggiata, Crit.Prog: Acciaio_Flessione, $\delta_c = 0.0$ cm:
Verificato

Verifica spostamento nello stato finale (§4.2.4.2.1 - NTC)

x	Comb.	δ_{max}	L/250.00	Cs
cm		mm	mm	
240.0	26	-4.54	18.00	4.0

Verifica spostamento elastico dovuto ai soli carichi variabili (§4.2.4.2.1 - NTC)

x	Comb.	δ_2	L/300.00	Cs
cm		mm	mm	
240.0	26	-3.37	15.00	4.5

Travata: 170 [1135,1262]: L=450.0 cm, Modello =Appoggiata, Crit.Prog: Acciaio_Flessione, $\delta c = 0.0$ cm:
Verificato

Verifica spostamento nello stato finale (§4.2.4.2.1 - NTC)

x	Comb.	δ_{max}	L/250.00	Cs
cm		mm	mm	
240.0	26	-4.58	18.00	3.9

Verifica spostamento elastico dovuto ai soli carichi variabili (§4.2.4.2.1 - NTC)

x	Comb.	δ_2	L/300.00	Cs
cm		mm	mm	
240.0	26	-3.39	15.00	4.4

Travata: 171 [1136,1263]: L=450.0 cm, Modello =Appoggiata, Crit.Prog: Acciaio_Flessione, $\delta c = 0.0$ cm:
Verificato

Verifica spostamento nello stato finale (§4.2.4.2.1 - NTC)

x	Comb.	δ_{max}	L/250.00	Cs
cm		mm	mm	
240.0	26	-4.53	18.00	4.0

Verifica spostamento elastico dovuto ai soli carichi variabili (§4.2.4.2.1 - NTC)

x	Comb.	δ_2	L/300.00	Cs
cm		mm	mm	
240.0	26	-3.36	15.00	4.5

Travata: 172 [1008,1019]: L=450.0 cm, Modello =Appoggiata, Crit.Prog: Acciaio_Flessione, $\delta c = 0.0$ cm:
Verificato

Verifica spostamento nello stato finale (§4.2.4.2.1 - NTC)

x	Comb.	δ_{max}	L/250.00	Cs
cm		mm	mm	
180.0	26	-0.81	18.00	22

Verifica spostamento elastico dovuto ai soli carichi variabili (§4.2.4.2.1 - NTC)

x	Comb.	δ_2	L/300.00	Cs
cm		mm	mm	
165.0	26	-0.69	15.00	22

Travata: 173 [1137,1264]: L=450.0 cm, Modello =Appoggiata, Crit.Prog: Acciaio_Flessione, $\delta c = 0.0$ cm:
Verificato

Verifica spostamento nello stato finale (§4.2.4.2.1 - NTC)

x	Comb.	δ_{max}	L/250.00	Cs
cm		mm	mm	
240.0	26	-4.53	18.00	4.0

Verifica spostamento elastico dovuto ai soli carichi variabili (§4.2.4.2.1 - NTC)

x	Comb.	δ_2	L/300.00	Cs
cm		mm	mm	
240.0	26	-3.36	15.00	4.5

Travata: 174 [1138,1265]: L=450.0 cm, Modello =Appoggiata, Crit.Prog: Acciaio_Flessione, $\delta c = 0.0$ cm:
Verificato

Verifica spostamento nello stato finale (§4.2.4.2.1 - NTC)

x	Comb.	δ_{max}	L/250.00	Cs
cm		mm	mm	
240.0	26	-4.58	18.00	3.9

Verifica spostamento elastico dovuto ai soli carichi variabili (§4.2.4.2.1 - NTC)

x	Comb.	δ_2	L/300.00	Cs
cm		mm	mm	

x	Comb.	δ_2	L/300.00	Cs
240.0	26	-3.39	15.00	4.4

Travata: 175 [1139,1266]: L=450.0 cm, Modello =Appoggiata, Crit.Prog: Acciaio_Flessione, $\delta_c = 0.0$ cm:
Verificato

Verifica spostamento nello stato finale (§4.2.4.2.1 - NTC)

x	Comb.	δ_{max}	L/250.00	Cs
cm		mm	mm	
240.0	26	-4.53	18.00	4.0

Verifica spostamento elastico dovuto ai soli carichi variabili (§4.2.4.2.1 - NTC)

x	Comb.	δ_2	L/300.00	Cs
cm		mm	mm	
240.0	26	-3.36	15.00	4.5

Travata: 176 [1009,1020]: L=450.0 cm, Modello =Appoggiata, Crit.Prog: Acciaio_Flessione, $\delta_c = 0.0$ cm:
Verificato

Verifica spostamento nello stato finale (§4.2.4.2.1 - NTC)

x	Comb.	δ_{max}	L/250.00	Cs
cm		mm	mm	
180.0	26	-0.82	18.00	22

Verifica spostamento elastico dovuto ai soli carichi variabili (§4.2.4.2.1 - NTC)

x	Comb.	δ_2	L/300.00	Cs
cm		mm	mm	
150.0	26	-0.70	15.00	21

Travata: 177 [1141,1268]: L=450.0 cm, Modello =Appoggiata, Crit.Prog: Acciaio_Flessione, $\delta_c = 0.0$ cm:
Verificato

Verifica spostamento nello stato finale (§4.2.4.2.1 - NTC)

x	Comb.	δ_{max}	L/250.00	Cs
cm		mm	mm	
240.0	26	-4.53	18.00	4.0

Verifica spostamento elastico dovuto ai soli carichi variabili (§4.2.4.2.1 - NTC)

x	Comb.	δ_2	L/300.00	Cs
cm		mm	mm	
240.0	26	-3.36	15.00	4.5

Travata: 178 [1142,1269]: L=450.0 cm, Modello =Appoggiata, Crit.Prog: Acciaio_Flessione, $\delta_c = 0.0$ cm:
Verificato

Verifica spostamento nello stato finale (§4.2.4.2.1 - NTC)

x	Comb.	δ_{max}	L/250.00	Cs
cm		mm	mm	
240.0	26	-4.58	18.00	3.9

Verifica spostamento elastico dovuto ai soli carichi variabili (§4.2.4.2.1 - NTC)

x	Comb.	δ_2	L/300.00	Cs
cm		mm	mm	
240.0	26	-3.39	15.00	4.4

Travata: 179 [1143,1270]: L=450.0 cm, Modello =Appoggiata, Crit.Prog: Acciaio_Flessione, $\delta_c = 0.0$ cm:
Verificato

Verifica spostamento nello stato finale (§4.2.4.2.1 - NTC)

x	Comb.	δ_{max}	L/250.00	Cs
cm		mm	mm	
240.0	26	-4.62	18.00	3.9

Verifica spostamento elastico dovuto ai soli carichi variabili (§4.2.4.2.1 - NTC)

x	Comb.	δ_2	L/300.00	Cs
cm		mm	mm	
240.0	26	-3.45	15.00	4.3

Travata: 180 [1010,1021]: L=450.0 cm, Modello =Appoggiata, Crit.Prog: Acciaio_Flessione, $\delta_c = 0.0$ cm:
Verificato

Verifica spostamento nello stato finale (§4.2.4.2.1 - NTC)

x	Comb.	δ_{max}	L/250.00	Cs
cm		mm	mm	
180.0	26	-0.86	18.00	21

Verifica spostamento elastico dovuto ai soli carichi variabili (§4.2.4.2.1 - NTC)

x	Comb.	δ_2	L/300.00	Cs
cm		mm	mm	
165.0	26	-0.74	15.00	20

Travata: 181 [1145,1272]: L=450.0 cm, Modello =Appoggiata, Crit.Prog: Acciaio_Flessione, $\delta_c = 0.0$ cm:
Verificato

Verifica spostamento nello stato finale (§4.2.4.2.1 - NTC)

x	Comb.	δ_{max}	L/250.00	Cs
cm		mm	mm	
240.0	26	-4.71	18.00	3.8

Verifica spostamento elastico dovuto ai soli carichi variabili (§4.2.4.2.1 - NTC)

x	Comb.	δ_2	L/300.00	Cs
cm		mm	mm	
240.0	26	-3.54	15.00	4.2

Travata: 182 [1146,1273]: L=450.0 cm, Modello =Appoggiata, Crit.Prog: Acciaio_Flessione, $\delta_c = 0.0$ cm:
Verificato

Verifica spostamento nello stato finale (§4.2.4.2.1 - NTC)

x	Comb.	δ_{max}	L/250.00	Cs
cm		mm	mm	
240.0	26	-4.59	18.00	3.9

Verifica spostamento elastico dovuto ai soli carichi variabili (§4.2.4.2.1 - NTC)

x	Comb.	δ_2	L/300.00	Cs
cm		mm	mm	
240.0	26	-3.43	15.00	4.4

Travata: 183 [1147,1274]: L=450.0 cm, Modello =Appoggiata, Crit.Prog: Acciaio_Flessione, $\delta_c = 0.0$ cm:
Verificato

Verifica spostamento nello stato finale (§4.2.4.2.1 - NTC)

x	Comb.	δ_{max}	L/250.00	Cs
cm		mm	mm	
240.0	26	-3.34	18.00	5.4

Verifica spostamento elastico dovuto ai soli carichi variabili (§4.2.4.2.1 - NTC)

x	Comb.	δ_2	L/300.00	Cs
cm		mm	mm	
240.0	26	-2.45	15.00	6.1

Travata: 184 [1011,1022]: L=450.0 cm, Modello =Appoggiata, Crit.Prog: Acciaio_Flessione, $\delta_c = 0.0$ cm:
Verificato

Verifica spostamento nello stato finale (§4.2.4.2.1 - NTC)

x	Comb.	δ_{max}	L/250.00	Cs
cm		mm	mm	

x	Comb.	δ_{max}	L/250.00	Cs
195.0	26	-1.21	18.00	15

Verifica spostamento elastico dovuto ai soli carichi variabili (§4.2.4.2.1 - NTC)

x	Comb.	δ_2	L/300.00	Cs
cm		mm	mm	
165.0	26	-0.93	15.00	16

Travata: 527 [1065,1405]: L=1087.1 cm, Modello =Appoggiata, Crit.Prog: Acciaio_Flessione, $\delta_c = 0.0$ cm:
Verificato

Verifica spostamento nello stato finale (§4.2.4.2.1 - NTC)

x	Comb.	δ_{max}	L/250.00	Cs
cm		mm	mm	
580.1	26	-16.16	43.48	2.7

Verifica spostamento elastico dovuto ai soli carichi variabili (§4.2.4.2.1 - NTC)

x	Comb.	δ_2	L/300.00	Cs
cm		mm	mm	
565.1	26	-11.88	36.24	3.0

Travata: 526 [1023,1363]: L=1087.1 cm, Modello =Appoggiata, Crit.Prog: Acciaio_Flessione, $\delta_c = 0.0$ cm:
Verificato

Verifica spostamento nello stato finale (§4.2.4.2.1 - NTC)

x	Comb.	δ_{max}	L/250.00	Cs
cm		mm	mm	
595.1	26	-17.32	43.48	2.5

Verifica spostamento elastico dovuto ai soli carichi variabili (§4.2.4.2.1 - NTC)

x	Comb.	δ_2	L/300.00	Cs
cm		mm	mm	
580.1	26	-13.03	36.24	2.8

Travata: 192 [1244,1371]: L=387.0 cm, Modello =Appoggiata, Crit.Prog: Acciaio_Flessione, $\delta_c = 0.0$ cm:
Verificato

Verifica spostamento nello stato finale (§4.2.4.2.1 - NTC)

x	Comb.	δ_{max}	L/250.00	Cs
cm		mm	mm	
174.2	26	-2.79	15.48	5.5

Verifica spostamento elastico dovuto ai soli carichi variabili (§4.2.4.2.1 - NTC)

x	Comb.	δ_2	L/300.00	Cs
cm		mm	mm	
174.2	26	-2.20	12.90	5.9

Travata: 194 [1245,1373]: L=387.0 cm, Modello =Appoggiata, Crit.Prog: Acciaio_Flessione, $\delta_c = 0.0$ cm:
Verificato

Verifica spostamento nello stato finale (§4.2.4.2.1 - NTC)

x	Comb.	δ_{max}	L/250.00	Cs
cm		mm	mm	
174.2	26	-2.79	15.48	5.5

Verifica spostamento elastico dovuto ai soli carichi variabili (§4.2.4.2.1 - NTC)

x	Comb.	δ_2	L/300.00	Cs
cm		mm	mm	
174.2	26	-2.20	12.90	5.9

Travata: 191 [1243,1370]: L=387.0 cm, Modello =Appoggiata, Crit.Prog: Acciaio_Flessione, $\delta_c = 0.0$ cm:
Verificato

Verifica spostamento nello stato finale (§4.2.4.2.1 - NTC)

x	Comb.	δ_{max}	L/250.00	Cs
cm		mm	mm	
174.2	26	-2.80	15.48	5.5

Verifica spostamento elastico dovuto ai soli carichi variabili (§4.2.4.2.1 - NTC)

x	Comb.	δ_2	L/300.00	Cs
cm		mm	mm	
174.2	26	-2.20	12.90	5.9

Travata: 193 [1014,1372]: L=387.0 cm, Modello =Sbalzo, Crit.Prog: Acciaio_Flessione, $\delta_c = 0.0$ cm:
Verificato

Verifica spostamento nello stato finale (§4.2.4.2.1 - NTC)

x	Comb.	δ_{max}	L/125.00	Cs
cm		mm	mm	
387.0	26	13.69	30.96	2.3

Verifica spostamento elastico dovuto ai soli carichi variabili (§4.2.4.2.1 - NTC)

x	Comb.	δ_2	L/150.00	Cs
cm		mm	mm	
387.0	26	10.16	25.80	2.5

Travata: 197 [1015,1376]: L=387.0 cm, Modello =Sbalzo, Crit.Prog: Acciaio_Flessione, $\delta_c = 0.0$ cm:
Verificato

Verifica spostamento nello stato finale (§4.2.4.2.1 - NTC)

x	Comb.	δ_{max}	L/125.00	Cs
cm		mm	mm	
387.0	26	13.69	30.96	2.3

Verifica spostamento elastico dovuto ai soli carichi variabili (§4.2.4.2.1 - NTC)

x	Comb.	δ_2	L/150.00	Cs
cm		mm	mm	
387.0	26	10.16	25.80	2.5

Travata: 196 [1247,1375]: L=387.0 cm, Modello =Appoggiata, Crit.Prog: Acciaio_Flessione, $\delta_c = 0.0$ cm:
Verificato

Verifica spostamento nello stato finale (§4.2.4.2.1 - NTC)

x	Comb.	δ_{max}	L/250.00	Cs
cm		mm	mm	
174.2	26	-2.79	15.48	5.5

Verifica spostamento elastico dovuto ai soli carichi variabili (§4.2.4.2.1 - NTC)

x	Comb.	δ_2	L/300.00	Cs
cm		mm	mm	
174.2	26	-2.20	12.90	5.9

Travata: 195 [1246,1374]: L=387.0 cm, Modello =Appoggiata, Crit.Prog: Acciaio_Flessione, $\delta_c = 0.0$ cm:
Verificato

Verifica spostamento nello stato finale (§4.2.4.2.1 - NTC)

x	Comb.	δ_{max}	L/250.00	Cs
cm		mm	mm	
174.2	26	-2.80	15.48	5.5

Verifica spostamento elastico dovuto ai soli carichi variabili (§4.2.4.2.1 - NTC)

x	Comb.	δ_2	L/300.00	Cs
cm		mm	mm	
174.2	26	-2.20	12.90	5.9

Travata: 199 [1250,1378]: L=387.0 cm, Modello =Appoggiata, Crit.Prog: Acciaio_Flessione, $\delta_c = 0.0$ cm:

Verificato

Verifica spostamento nello stato finale (§4.2.4.2.1 - NTC)

x	Comb.	δ_{max}	L/250.00	Cs
cm		mm	mm	
174.2	26	-2.80	15.48	5.5

Verifica spostamento elastico dovuto ai soli carichi variabili (§4.2.4.2.1 - NTC)

x	Comb.	δ_2	L/300.00	Cs
cm		mm	mm	
174.2	26	-2.20	12.90	5.9

Travata: 200 [1251,1379]: L=387.0 cm, Modello =Appoggiata, Crit.Prog: Acciaio_Flessione, $\delta_c = 0.0$ cm:**Verificato**

Verifica spostamento nello stato finale (§4.2.4.2.1 - NTC)

x	Comb.	δ_{max}	L/250.00	Cs
cm		mm	mm	
174.2	26	-2.79	15.48	5.5

Verifica spostamento elastico dovuto ai soli carichi variabili (§4.2.4.2.1 - NTC)

x	Comb.	δ_2	L/300.00	Cs
cm		mm	mm	
174.2	26	-2.20	12.90	5.9

Travata: 198 [1249,1377]: L=387.0 cm, Modello =Appoggiata, Crit.Prog: Acciaio_Flessione, $\delta_c = 0.0$ cm:**Verificato**

Verifica spostamento nello stato finale (§4.2.4.2.1 - NTC)

x	Comb.	δ_{max}	L/250.00	Cs
cm		mm	mm	
174.2	26	-2.79	15.48	5.5

Verifica spostamento elastico dovuto ai soli carichi variabili (§4.2.4.2.1 - NTC)

x	Comb.	δ_2	L/300.00	Cs
cm		mm	mm	
174.2	26	-2.20	12.90	5.9

Travata: 201 [1016,1380]: L=387.0 cm, Modello =Sbalzo, Crit.Prog: Acciaio_Flessione, $\delta_c = 0.0$ cm:**Verificato**

Verifica spostamento nello stato finale (§4.2.4.2.1 - NTC)

x	Comb.	δ_{max}	L/125.00	Cs
cm		mm	mm	
387.0	26	13.69	30.96	2.3

Verifica spostamento elastico dovuto ai soli carichi variabili (§4.2.4.2.1 - NTC)

x	Comb.	δ_2	L/150.00	Cs
cm		mm	mm	
387.0	26	10.16	25.80	2.5

Travata: 203 [1254,1382]: L=387.0 cm, Modello =Appoggiata, Crit.Prog: Acciaio_Flessione, $\delta_c = 0.0$ cm:**Verificato**

Verifica spostamento nello stato finale (§4.2.4.2.1 - NTC)

x	Comb.	δ_{max}	L/250.00	Cs
cm		mm	mm	
174.2	26	-2.80	15.48	5.5

Verifica spostamento elastico dovuto ai soli carichi variabili (§4.2.4.2.1 - NTC)

x	Comb.	δ_2	L/300.00	Cs
cm		mm	mm	
174.2	26	-2.20	12.90	5.9

Travata: 202 [1253,1381]: L=387.0 cm, Modello =Appoggiata, Crit.Prog: Acciaio_Flessione, $\delta c = 0.0$ cm:
Verificato

Verifica spostamento nello stato finale (§4.2.4.2.1 - NTC)

x	Comb.	δ_{max}	L/250.00	Cs
cm		mm	mm	
174.2	26	-2.79	15.48	5.5

Verifica spostamento elastico dovuto ai soli carichi variabili (§4.2.4.2.1 - NTC)

x	Comb.	δ_2	L/300.00	Cs
cm		mm	mm	
174.2	26	-2.20	12.90	5.9

Travata: 204 [1255,1383]: L=387.0 cm, Modello =Appoggiata, Crit.Prog: Acciaio_Flessione, $\delta c = 0.0$ cm:
Verificato

Verifica spostamento nello stato finale (§4.2.4.2.1 - NTC)

x	Comb.	δ_{max}	L/250.00	Cs
cm		mm	mm	
174.2	26	-2.79	15.48	5.5

Verifica spostamento elastico dovuto ai soli carichi variabili (§4.2.4.2.1 - NTC)

x	Comb.	δ_2	L/300.00	Cs
cm		mm	mm	
174.2	26	-2.20	12.90	5.9

Travata: 185 [1012,1364]: L=387.0 cm, Modello =Sbalzo, Crit.Prog: Acciaio_Flessione, $\delta c = 0.0$ cm:
Verificato

Verifica spostamento nello stato finale (§4.2.4.2.1 - NTC)

x	Comb.	δ_{max}	L/125.00	Cs
cm		mm	mm	
387.0	26	19.53	30.96	1.6

Verifica spostamento elastico dovuto ai soli carichi variabili (§4.2.4.2.1 - NTC)

x	Comb.	δ_2	L/150.00	Cs
cm		mm	mm	
387.0	26	14.61	25.80	1.8

Travata: 186 [1238,1365]: L=387.0 cm, Modello =Appoggiata, Crit.Prog: Acciaio_Flessione, $\delta c = 0.0$ cm:
Verificato

Verifica spostamento nello stato finale (§4.2.4.2.1 - NTC)

x	Comb.	δ_{max}	L/250.00	Cs
cm		mm	mm	
174.2	26	-2.34	15.48	6.6

Verifica spostamento elastico dovuto ai soli carichi variabili (§4.2.4.2.1 - NTC)

x	Comb.	δ_2	L/300.00	Cs
cm		mm	mm	
174.2	26	-1.86	12.90	7.0

Travata: 187 [1239,1366]: L=387.0 cm, Modello =Appoggiata, Crit.Prog: Acciaio_Flessione, $\delta c = 0.0$ cm:
Verificato

Verifica spostamento nello stato finale (§4.2.4.2.1 - NTC)

x	Comb.	δ_{max}	L/250.00	Cs
cm		mm	mm	
174.2	26	-2.81	15.48	5.5

Verifica spostamento elastico dovuto ai soli carichi variabili (§4.2.4.2.1 - NTC)

x	Comb.	δ_2	L/300.00	Cs
cm		mm	mm	
174.2	26	-2.22	12.90	5.8

Travata: 189 [1013,1368]: L=387.0 cm, Modello =Sbalzo, Crit.Prog: Acciaio_Flessione, $\delta_c = 0.0$ cm:
Verificato

Verifica spostamento nello stato finale (§4.2.4.2.1 - NTC)

x	Comb.	δ_{max}	L/125.00	Cs
cm		mm	mm	
387.0	26	13.20	30.96	2.3

Verifica spostamento elastico dovuto ai soli carichi variabili (§4.2.4.2.1 - NTC)

x	Comb.	δ_2	L/150.00	Cs
cm		mm	mm	
387.0	26	9.66	25.80	2.7

Travata: 188 [1240,1367]: L=387.0 cm, Modello =Appoggiata, Crit.Prog: Acciaio_Flessione, $\delta_c = 0.0$ cm:
Verificato

Verifica spostamento nello stato finale (§4.2.4.2.1 - NTC)

x	Comb.	δ_{max}	L/250.00	Cs
cm		mm	mm	
174.2	26	-2.71	15.48	5.7

Verifica spostamento elastico dovuto ai soli carichi variabili (§4.2.4.2.1 - NTC)

x	Comb.	δ_2	L/300.00	Cs
cm		mm	mm	
174.2	26	-2.12	12.90	6.1

Travata: 190 [1242,1369]: L=387.0 cm, Modello =Appoggiata, Crit.Prog: Acciaio_Flessione, $\delta_c = 0.0$ cm:
Verificato

Verifica spostamento nello stato finale (§4.2.4.2.1 - NTC)

x	Comb.	δ_{max}	L/250.00	Cs
cm		mm	mm	
174.2	26	-2.75	15.48	5.6

Verifica spostamento elastico dovuto ai soli carichi variabili (§4.2.4.2.1 - NTC)

x	Comb.	δ_2	L/300.00	Cs
cm		mm	mm	
174.2	26	-2.16	12.90	6.0

Travata: 214 [1264,1393]: L=387.0 cm, Modello =Appoggiata, Crit.Prog: Acciaio_Flessione, $\delta_c = 0.0$ cm:
Verificato

Verifica spostamento nello stato finale (§4.2.4.2.1 - NTC)

x	Comb.	δ_{max}	L/250.00	Cs
cm		mm	mm	
174.2	26	-2.79	15.48	5.5

Verifica spostamento elastico dovuto ai soli carichi variabili (§4.2.4.2.1 - NTC)

x	Comb.	δ_2	L/300.00	Cs
cm		mm	mm	
174.2	26	-2.20	12.90	5.9

Travata: 212 [1263,1391]: L=387.0 cm, Modello =Appoggiata, Crit.Prog: Acciaio_Flessione, $\delta_c = 0.0$ cm:
Verificato

Verifica spostamento nello stato finale (§4.2.4.2.1 - NTC)

x	Comb.	δ_{max}	L/250.00	Cs
cm		mm	mm	
174.2	26	-2.79	15.48	5.5

Verifica spostamento elastico dovuto ai soli carichi variabili (§4.2.4.2.1 - NTC)

x	Comb.	δ_2	L/300.00	Cs
cm		mm	mm	
174.2	26	-2.20	12.90	5.9

Travata: 213 [1019,1392]: L=387.0 cm, Modello =Sbalzo, Crit.Prog: Acciaio_Flessione, $\delta_c = 0.0$ cm:
Verificato

Verifica spostamento nello stato finale (§4.2.4.2.1 - NTC)

x	Comb.	δ_{max}	L/125.00	Cs
cm		mm	mm	
387.0	26	13.69	30.96	2.3

Verifica spostamento elastico dovuto ai soli carichi variabili (§4.2.4.2.1 - NTC)

x	Comb.	δ_2	L/150.00	Cs
cm		mm	mm	
387.0	26	10.16	25.80	2.5

Travata: 215 [1265,1394]: L=387.0 cm, Modello =Appoggiata, Crit.Prog: Acciaio_Flessione, $\delta_c = 0.0$ cm:
Verificato

Verifica spostamento nello stato finale (§4.2.4.2.1 - NTC)

x	Comb.	δ_{max}	L/250.00	Cs
cm		mm	mm	
174.2	26	-2.80	15.48	5.5

Verifica spostamento elastico dovuto ai soli carichi variabili (§4.2.4.2.1 - NTC)

x	Comb.	δ_2	L/300.00	Cs
cm		mm	mm	
174.2	26	-2.20	12.90	5.9

Travata: 216 [1266,1395]: L=387.0 cm, Modello =Appoggiata, Crit.Prog: Acciaio_Flessione, $\delta_c = 0.0$ cm:
Verificato

Verifica spostamento nello stato finale (§4.2.4.2.1 - NTC)

x	Comb.	δ_{max}	L/250.00	Cs
cm		mm	mm	
174.2	26	-2.79	15.48	5.5

Verifica spostamento elastico dovuto ai soli carichi variabili (§4.2.4.2.1 - NTC)

x	Comb.	δ_2	L/300.00	Cs
cm		mm	mm	
174.2	26	-2.20	12.90	5.9

Travata: 217 [1020,1396]: L=387.0 cm, Modello =Sbalzo, Crit.Prog: Acciaio_Flessione, $\delta_c = 0.0$ cm:
Verificato

Verifica spostamento nello stato finale (§4.2.4.2.1 - NTC)

x	Comb.	δ_{max}	L/125.00	Cs
cm		mm	mm	
387.0	26	13.69	30.96	2.3

Verifica spostamento elastico dovuto ai soli carichi variabili (§4.2.4.2.1 - NTC)

x	Comb.	δ_2	L/150.00	Cs
cm		mm	mm	
387.0	26	10.16	25.80	2.5

Travata: 219 [1269,1398]: L=387.0 cm, Modello =Appoggiata, Crit.Prog: Acciaio_Flessione, $\delta_c = 0.0$ cm:
Verificato

Verifica spostamento nello stato finale (§4.2.4.2.1 - NTC)

x	Comb.	δ_{max}	L/250.00	Cs
cm		mm	mm	
174.2	26	-2.80	15.48	5.5

Verifica spostamento elastico dovuto ai soli carichi variabili (§4.2.4.2.1 - NTC)

x	Comb.	δ_2	L/300.00	Cs
cm		mm	mm	
174.2	26	-2.20	12.90	5.9

Travata: 218 [1268,1397]: L=387.0 cm, Modello =Appoggiata, Crit.Prog: Acciaio_Flessione, $\delta_c = 0.0$ cm:
Verificato

Verifica spostamento nello stato finale (§4.2.4.2.1 - NTC)

x	Comb.	δ_{max}	L/250.00	Cs
cm		mm	mm	
174.2	26	-2.79	15.48	5.5

Verifica spostamento elastico dovuto ai soli carichi variabili (§4.2.4.2.1 - NTC)

x	Comb.	δ_2	L/300.00	Cs
cm		mm	mm	
174.2	26	-2.20	12.90	5.9

Travata: 220 [1270,1399]: L=387.0 cm, Modello =Appoggiata, Crit.Prog: Acciaio_Flessione, $\delta_c = 0.0$ cm:
Verificato

Verifica spostamento nello stato finale (§4.2.4.2.1 - NTC)

x	Comb.	δ_{max}	L/250.00	Cs
cm		mm	mm	
174.2	26	-2.83	15.48	5.5

Verifica spostamento elastico dovuto ai soli carichi variabili (§4.2.4.2.1 - NTC)

x	Comb.	δ_2	L/300.00	Cs
cm		mm	mm	
174.2	26	-2.24	12.90	5.8

Travata: 221 [1021,1400]: L=387.0 cm, Modello =Sbalzo, Crit.Prog: Acciaio_Flessione, $\delta_c = 0.0$ cm:
Verificato

Verifica spostamento nello stato finale (§4.2.4.2.1 - NTC)

x	Comb.	δ_{max}	L/125.00	Cs
cm		mm	mm	
387.0	26	14.19	30.96	2.2

Verifica spostamento elastico dovuto ai soli carichi variabili (§4.2.4.2.1 - NTC)

x	Comb.	δ_2	L/150.00	Cs
cm		mm	mm	
387.0	26	10.65	25.80	2.4

Travata: 223 [1273,1402]: L=387.0 cm, Modello =Appoggiata, Crit.Prog: Acciaio_Flessione, $\delta_c = 0.0$ cm:
Verificato

Verifica spostamento nello stato finale (§4.2.4.2.1 - NTC)

x	Comb.	δ_{max}	L/250.00	Cs
cm		mm	mm	
174.2	26	-2.78	15.48	5.6

Verifica spostamento elastico dovuto ai soli carichi variabili (§4.2.4.2.1 - NTC)

x	Comb.	δ_2	L/300.00	Cs
cm		mm	mm	
174.2	26	-2.19	12.90	5.9

Travata: 224 [1274,1403]: L=387.0 cm, Modello =Appoggiata, Crit.Prog: Acciaio_Flessione, $\delta_c = 0.0$ cm:
Verificato

Verifica spostamento nello stato finale (§4.2.4.2.1 - NTC)

x	Comb.	δ_{max}	L/250.00	Cs
cm		mm	mm	
174.2	26	-2.27	15.48	6.8

Verifica spostamento elastico dovuto ai soli carichi variabili (§4.2.4.2.1 - NTC)

x	Comb.	δ_2	L/300.00	Cs
cm		mm	mm	
187.6	26	-1.79	12.90	7.2

Travata: 222 [1272,1401]: L=387.0 cm, Modello =Appoggiata, Crit.Prog: Acciaio_Flessione, $\delta_c = 0.0$ cm:
Verificato

Verifica spostamento nello stato finale (§4.2.4.2.1 - NTC)

x	Comb.	δ_{max}	L/250.00	Cs
cm		mm	mm	
174.2	26	-2.87	15.48	5.4

Verifica spostamento elastico dovuto ai soli carichi variabili (§4.2.4.2.1 - NTC)

x	Comb.	δ_2	L/300.00	Cs
cm		mm	mm	
174.2	26	-2.28	12.90	5.7

Travata: 225 [1022,1404]: L=387.0 cm, Modello =Sbalzo, Crit.Prog: Acciaio_Flessione, $\delta_c = 0.0$ cm:
Verificato

Verifica spostamento nello stato finale (§4.2.4.2.1 - NTC)

x	Comb.	δ_{max}	L/125.00	Cs
cm		mm	mm	
387.0	26	18.04	30.96	1.7

Verifica spostamento elastico dovuto ai soli carichi variabili (§4.2.4.2.1 - NTC)

x	Comb.	δ_2	L/150.00	Cs
cm		mm	mm	
387.0	26	13.13	25.80	2.0

Travata: 205 [1017,1384]: L=387.0 cm, Modello =Sbalzo, Crit.Prog: Acciaio_Flessione, $\delta_c = 0.0$ cm:
Verificato

Verifica spostamento nello stato finale (§4.2.4.2.1 - NTC)

x	Comb.	δ_{max}	L/125.00	Cs
cm		mm	mm	
387.0	26	13.69	30.96	2.3

Verifica spostamento elastico dovuto ai soli carichi variabili (§4.2.4.2.1 - NTC)

x	Comb.	δ_2	L/150.00	Cs
cm		mm	mm	
387.0	26	10.16	25.80	2.5

Travata: 206 [1257,1385]: L=387.0 cm, Modello =Appoggiata, Crit.Prog: Acciaio_Flessione, $\delta_c = 0.0$ cm:
Verificato

Verifica spostamento nello stato finale (§4.2.4.2.1 - NTC)

x	Comb.	δ_{max}	L/250.00	Cs
cm		mm	mm	
174.2	26	-2.79	15.48	5.5

Verifica spostamento elastico dovuto ai soli carichi variabili (§4.2.4.2.1 - NTC)

x	Comb.	δ_2	L/300.00	Cs
cm		mm	mm	
174.2	26	-2.20	12.90	5.9

Travata: 207 [1258,1386]: L=387.0 cm, Modello =Appoggiata, Crit.Prog: Acciaio_Flessione, $\delta c = 0.0$ cm:
Verificato

Verifica spostamento nello stato finale (§4.2.4.2.1 - NTC)

x	Comb.	δ_{max}	L/250.00	Cs
cm		mm	mm	
174.2	26	-2.80	15.48	5.5

Verifica spostamento elastico dovuto ai soli carichi variabili (§4.2.4.2.1 - NTC)

x	Comb.	δ_2	L/300.00	Cs
cm		mm	mm	
174.2	26	-2.20	12.90	5.9

Travata: 210 [1261,1389]: L=387.0 cm, Modello =Appoggiata, Crit.Prog: Acciaio_Flessione, $\delta c = 0.0$ cm:
Verificato

Verifica spostamento nello stato finale (§4.2.4.2.1 - NTC)

x	Comb.	δ_{max}	L/250.00	Cs
cm		mm	mm	
174.2	26	-2.79	15.48	5.5

Verifica spostamento elastico dovuto ai soli carichi variabili (§4.2.4.2.1 - NTC)

x	Comb.	δ_2	L/300.00	Cs
cm		mm	mm	
174.2	26	-2.20	12.90	5.9

Travata: 208 [1259,1387]: L=387.0 cm, Modello =Appoggiata, Crit.Prog: Acciaio_Flessione, $\delta c = 0.0$ cm:
Verificato

Verifica spostamento nello stato finale (§4.2.4.2.1 - NTC)

x	Comb.	δ_{max}	L/250.00	Cs
cm		mm	mm	
174.2	26	-2.79	15.48	5.5

Verifica spostamento elastico dovuto ai soli carichi variabili (§4.2.4.2.1 - NTC)

x	Comb.	δ_2	L/300.00	Cs
cm		mm	mm	
174.2	26	-2.20	12.90	5.9

Travata: 209 [1018,1388]: L=387.0 cm, Modello =Sbalzo, Crit.Prog: Acciaio_Flessione, $\delta c = 0.0$ cm:
Verificato

Verifica spostamento nello stato finale (§4.2.4.2.1 - NTC)

x	Comb.	δ_{max}	L/125.00	Cs
cm		mm	mm	
387.0	26	13.67	30.96	2.3

Verifica spostamento elastico dovuto ai soli carichi variabili (§4.2.4.2.1 - NTC)

x	Comb.	δ_2	L/150.00	Cs
cm		mm	mm	
387.0	26	10.14	25.80	2.5

Travata: 211 [1262,1390]: L=387.0 cm, Modello =Appoggiata, Crit.Prog: Acciaio_Flessione, $\delta c = 0.0$ cm:
Verificato

Verifica spostamento nello stato finale (§4.2.4.2.1 - NTC)

x	Comb.	δ_{max}	L/250.00	Cs
cm		mm	mm	
174.2	26	-2.80	15.48	5.5

Verifica spostamento elastico dovuto ai soli carichi variabili (§4.2.4.2.1 - NTC)

x	Comb.	δ_2	L/300.00	Cs
cm		mm	mm	

x	Comb.	δ_2	L/300.00	Cs
174.2	26	-2.20	12.90	5.9

Travata: 109 [1030,1116]: L=250.0 cm, Modello =Appoggiata, Crit.Prog: Acciaio_Flessione, $\delta_c = 0.0$ cm:
Verificato

Verifica spostamento nello stato finale (§4.2.4.2.1 - NTC)

x	Comb.	δ_{max}	L/250.00	Cs
cm		mm	mm	
137.5	26	-0.87	10.00	11

Verifica spostamento elastico dovuto ai soli carichi variabili (§4.2.4.2.1 - NTC)

x	Comb.	δ_2	L/300.00	Cs
cm		mm	mm	
137.5	26	-0.75	8.33	11

Travata: 112 [1033,1118]: L=250.0 cm, Modello =Appoggiata, Crit.Prog: Acciaio_Flessione, $\delta_c = 0.0$ cm:
Verificato

Verifica spostamento nello stato finale (§4.2.4.2.1 - NTC)

x	Comb.	δ_{max}	L/250.00	Cs
cm		mm	mm	
137.5	26	-0.87	10.00	12

Verifica spostamento elastico dovuto ai soli carichi variabili (§4.2.4.2.1 - NTC)

x	Comb.	δ_2	L/300.00	Cs
cm		mm	mm	
137.5	26	-0.75	8.33	11

Travata: 110 [1031,1117]: L=250.0 cm, Modello =Appoggiata, Crit.Prog: Acciaio_Flessione, $\delta_c = 0.0$ cm:
Verificato

Verifica spostamento nello stato finale (§4.2.4.2.1 - NTC)

x	Comb.	δ_{max}	L/250.00	Cs
cm		mm	mm	
137.5	26	-0.87	10.00	12

Verifica spostamento elastico dovuto ai soli carichi variabili (§4.2.4.2.1 - NTC)

x	Comb.	δ_2	L/300.00	Cs
cm		mm	mm	
137.5	26	-0.75	8.33	11

Travata: 111 [1032,1003]: L=250.0 cm, Modello =Sbalzo, Crit.Prog: Acciaio_Flessione, $\delta_c = 0.0$ cm:
Verificato

Verifica spostamento nello stato finale (§4.2.4.2.1 - NTC)

x	Comb.	δ_{max}	L/125.00	Cs
cm		mm	mm	
0.0	26	3.83	20.00	5.2

Verifica spostamento elastico dovuto ai soli carichi variabili (§4.2.4.2.1 - NTC)

x	Comb.	δ_2	L/150.00	Cs
cm		mm	mm	
0.0	26	3.16	16.67	5.3

Travata: 115 [1036,1004]: L=250.0 cm, Modello =Sbalzo, Crit.Prog: Acciaio_Flessione, $\delta_c = 0.0$ cm:
Verificato

Verifica spostamento nello stato finale (§4.2.4.2.1 - NTC)

x	Comb.	δ_{max}	L/125.00	Cs
cm		mm	mm	
0.0	26	3.83	20.00	5.2

Verifica spostamento elastico dovuto ai soli carichi variabili (§4.2.4.2.1 - NTC)

x	Comb.	δ_2	L/150.00	Cs
cm		mm	mm	
0.0	26	3.16	16.67	5.3

Travata: 113 [1034,1119]: L=250.0 cm, Modello =Appoggiata, Crit.Prog: Acciaio_Flessione, $\delta_c = 0.0$ cm:
Verificato

Verifica spostamento nello stato finale (§4.2.4.2.1 - NTC)

x	Comb.	δ_{max}	L/250.00	Cs
cm		mm	mm	
137.5	26	-0.87	10.00	11

Verifica spostamento elastico dovuto ai soli carichi variabili (§4.2.4.2.1 - NTC)

x	Comb.	δ_2	L/300.00	Cs
cm		mm	mm	
137.5	26	-0.75	8.33	11

Travata: 114 [1035,1120]: L=250.0 cm, Modello =Appoggiata, Crit.Prog: Acciaio_Flessione, $\delta_c = 0.0$ cm:
Verificato

Verifica spostamento nello stato finale (§4.2.4.2.1 - NTC)

x	Comb.	δ_{max}	L/250.00	Cs
cm		mm	mm	
137.5	26	-0.87	10.00	12

Verifica spostamento elastico dovuto ai soli carichi variabili (§4.2.4.2.1 - NTC)

x	Comb.	δ_2	L/300.00	Cs
cm		mm	mm	
137.5	26	-0.75	8.33	11

Travata: 116 [1037,1122]: L=250.0 cm, Modello =Appoggiata, Crit.Prog: Acciaio_Flessione, $\delta_c = 0.0$ cm:
Verificato

Verifica spostamento nello stato finale (§4.2.4.2.1 - NTC)

x	Comb.	δ_{max}	L/250.00	Cs
cm		mm	mm	
137.5	26	-0.87	10.00	12

Verifica spostamento elastico dovuto ai soli carichi variabili (§4.2.4.2.1 - NTC)

x	Comb.	δ_2	L/300.00	Cs
cm		mm	mm	
137.5	26	-0.75	8.33	11

Travata: 117 [1038,1123]: L=250.0 cm, Modello =Appoggiata, Crit.Prog: Acciaio_Flessione, $\delta_c = 0.0$ cm:
Verificato

Verifica spostamento nello stato finale (§4.2.4.2.1 - NTC)

x	Comb.	δ_{max}	L/250.00	Cs
cm		mm	mm	
137.5	26	-0.87	10.00	11

Verifica spostamento elastico dovuto ai soli carichi variabili (§4.2.4.2.1 - NTC)

x	Comb.	δ_2	L/300.00	Cs
cm		mm	mm	
137.5	26	-0.75	8.33	11

Travata: 118 [1039,1124]: L=250.0 cm, Modello =Appoggiata, Crit.Prog: Acciaio_Flessione, $\delta_c = 0.0$ cm:
Verificato

Verifica spostamento nello stato finale (§4.2.4.2.1 - NTC)

x	Comb.	δ_{max}	L/250.00	Cs
cm		mm	mm	

x	Comb.	δ_{max}	L/250.00	Cs
137.5	26	-0.87	10.00	12

Verifica spostamento elastico dovuto ai soli carichi variabili (§4.2.4.2.1 - NTC)

x	Comb.	δ_2	L/300.00	Cs
cm		mm	mm	
137.5	26	-0.75	8.33	11

Travata: 121 [1042,1127]: L=250.0 cm, Modello =Appoggiata, Crit.Prog: Acciaio_Flessione, $\delta_c = 0.0$ cm:
Verificato

Verifica spostamento nello stato finale (§4.2.4.2.1 - NTC)

x	Comb.	δ_{max}	L/250.00	Cs
cm		mm	mm	
137.5	26	-0.87	10.00	11

Verifica spostamento elastico dovuto ai soli carichi variabili (§4.2.4.2.1 - NTC)

x	Comb.	δ_2	L/300.00	Cs
cm		mm	mm	
137.5	26	-0.75	8.33	11

Travata: 122 [1043,1128]: L=250.0 cm, Modello =Appoggiata, Crit.Prog: Acciaio_Flessione, $\delta_c = 0.0$ cm:
Verificato

Verifica spostamento nello stato finale (§4.2.4.2.1 - NTC)

x	Comb.	δ_{max}	L/250.00	Cs
cm		mm	mm	
137.5	26	-0.87	10.00	12

Verifica spostamento elastico dovuto ai soli carichi variabili (§4.2.4.2.1 - NTC)

x	Comb.	δ_2	L/300.00	Cs
cm		mm	mm	
137.5	26	-0.75	8.33	11

Travata: 119 [1040,1005]: L=250.0 cm, Modello =Sbalzo, Crit.Prog: Acciaio_Flessione, $\delta_c = 0.0$ cm:
Verificato

Verifica spostamento nello stato finale (§4.2.4.2.1 - NTC)

x	Comb.	δ_{max}	L/125.00	Cs
cm		mm	mm	
0.0	26	3.83	20.00	5.2

Verifica spostamento elastico dovuto ai soli carichi variabili (§4.2.4.2.1 - NTC)

x	Comb.	δ_2	L/150.00	Cs
cm		mm	mm	
0.0	26	3.16	16.67	5.3

Travata: 120 [1041,1126]: L=250.0 cm, Modello =Appoggiata, Crit.Prog: Acciaio_Flessione, $\delta_c = 0.0$ cm:
Verificato

Verifica spostamento nello stato finale (§4.2.4.2.1 - NTC)

x	Comb.	δ_{max}	L/250.00	Cs
cm		mm	mm	
137.5	26	-0.87	10.00	12

Verifica spostamento elastico dovuto ai soli carichi variabili (§4.2.4.2.1 - NTC)

x	Comb.	δ_2	L/300.00	Cs
cm		mm	mm	
137.5	26	-0.75	8.33	11

Travata: 104 [1025,1111]: L=250.0 cm, Modello =Appoggiata, Crit.Prog: Acciaio_Flessione, $\delta_c = 0.0$ cm:
Verificato

Verifica spostamento nello stato finale (§4.2.4.2.1 - NTC)

x	Comb.	δ_{max}	L/250.00	Cs
cm		mm	mm	
137.5	26	-0.73	10.00	14

Verifica spostamento elastico dovuto ai soli carichi variabili (§4.2.4.2.1 - NTC)

x	Comb.	δ_2	L/300.00	Cs
cm		mm	mm	
125.0	26	-0.66	8.33	13

Travata: 105 [1026,1112]: L=250.0 cm, Modello =Appoggiata, Crit.Prog: Acciaio_Flessione, $\delta_c = 0.0$ cm:
Verificato

Verifica spostamento nello stato finale (§4.2.4.2.1 - NTC)

x	Comb.	δ_{max}	L/250.00	Cs
cm		mm	mm	
137.5	26	-0.88	10.00	11

Verifica spostamento elastico dovuto ai soli carichi variabili (§4.2.4.2.1 - NTC)

x	Comb.	δ_2	L/300.00	Cs
cm		mm	mm	
137.5	26	-0.76	8.33	11

Travata: 103 [1024,1001]: L=250.0 cm, Modello =Sbalzo, Crit.Prog: Acciaio_Flessione, $\delta_c = 0.0$ cm:
Verificato

Verifica spostamento nello stato finale (§4.2.4.2.1 - NTC)

x	Comb.	δ_{max}	L/125.00	Cs
cm		mm	mm	
0.0	26	5.01	20.00	4.0

Verifica spostamento elastico dovuto ai soli carichi variabili (§4.2.4.2.1 - NTC)

x	Comb.	δ_2	L/150.00	Cs
cm		mm	mm	
0.0	26	3.87	16.67	4.3

Travata: 106 [1027,1113]: L=250.0 cm, Modello =Appoggiata, Crit.Prog: Acciaio_Flessione, $\delta_c = 0.0$ cm:
Verificato

Verifica spostamento nello stato finale (§4.2.4.2.1 - NTC)

x	Comb.	δ_{max}	L/250.00	Cs
cm		mm	mm	
137.5	26	-0.87	10.00	12

Verifica spostamento elastico dovuto ai soli carichi variabili (§4.2.4.2.1 - NTC)

x	Comb.	δ_2	L/300.00	Cs
cm		mm	mm	
137.5	26	-0.75	8.33	11

Travata: 107 [1028,1002]: L=250.0 cm, Modello =Sbalzo, Crit.Prog: Acciaio_Flessione, $\delta_c = 0.0$ cm:
Verificato

Verifica spostamento nello stato finale (§4.2.4.2.1 - NTC)

x	Comb.	δ_{max}	L/125.00	Cs
cm		mm	mm	
0.0	26	3.83	20.00	5.2

Verifica spostamento elastico dovuto ai soli carichi variabili (§4.2.4.2.1 - NTC)

x	Comb.	δ_2	L/150.00	Cs
cm		mm	mm	
0.0	26	3.16	16.67	5.3

Travata: 108 [1029,1115]: L=250.0 cm, Modello =Appoggiata, Crit.Prog: Acciaio_Flessione, $\delta_c = 0.0$ cm:

Verificato

Verifica spostamento nello stato finale (§4.2.4.2.1 - NTC)

x	Comb.	δ_{max}	L/250.00	Cs
cm		mm	mm	
137.5	26	-0.87	10.00	12

Verifica spostamento elastico dovuto ai soli carichi variabili (§4.2.4.2.1 - NTC)

x	Comb.	δ_2	L/300.00	Cs
cm		mm	mm	
137.5	26	-0.75	8.33	11

Travata: 130 [1051,1136]: L=250.0 cm, Modello =Appoggiata, Crit.Prog: Acciaio_Flessione, $\delta_c = 0.0$ cm:**Verificato**

Verifica spostamento nello stato finale (§4.2.4.2.1 - NTC)

x	Comb.	δ_{max}	L/250.00	Cs
cm		mm	mm	
137.5	26	-0.87	10.00	12

Verifica spostamento elastico dovuto ai soli carichi variabili (§4.2.4.2.1 - NTC)

x	Comb.	δ_2	L/300.00	Cs
cm		mm	mm	
137.5	26	-0.75	8.33	11

Travata: 131 [1052,1008]: L=250.0 cm, Modello =Sbalzo, Crit.Prog: Acciaio_Flessione, $\delta_c = 0.0$ cm:**Verificato**

Verifica spostamento nello stato finale (§4.2.4.2.1 - NTC)

x	Comb.	δ_{max}	L/125.00	Cs
cm		mm	mm	
0.0	26	3.83	20.00	5.2

Verifica spostamento elastico dovuto ai soli carichi variabili (§4.2.4.2.1 - NTC)

x	Comb.	δ_2	L/150.00	Cs
cm		mm	mm	
0.0	26	3.16	16.67	5.3

Travata: 132 [1053,1137]: L=250.0 cm, Modello =Appoggiata, Crit.Prog: Acciaio_Flessione, $\delta_c = 0.0$ cm:**Verificato**

Verifica spostamento nello stato finale (§4.2.4.2.1 - NTC)

x	Comb.	δ_{max}	L/250.00	Cs
cm		mm	mm	
137.5	26	-0.87	10.00	12

Verifica spostamento elastico dovuto ai soli carichi variabili (§4.2.4.2.1 - NTC)

x	Comb.	δ_2	L/300.00	Cs
cm		mm	mm	
137.5	26	-0.75	8.33	11

Travata: 133 [1054,1138]: L=250.0 cm, Modello =Appoggiata, Crit.Prog: Acciaio_Flessione, $\delta_c = 0.0$ cm:**Verificato**

Verifica spostamento nello stato finale (§4.2.4.2.1 - NTC)

x	Comb.	δ_{max}	L/250.00	Cs
cm		mm	mm	
137.5	26	-0.87	10.00	11

Verifica spostamento elastico dovuto ai soli carichi variabili (§4.2.4.2.1 - NTC)

x	Comb.	δ_2	L/300.00	Cs
cm		mm	mm	
137.5	26	-0.75	8.33	11

Travata: 134 [1055,1139]: L=250.0 cm, Modello =Appoggiata, Crit.Prog: Acciaio_Flessione, $\delta_c = 0.0$ cm:
Verificato

Verifica spostamento nello stato finale (§4.2.4.2.1 - NTC)

x	Comb.	δ_{max}	L/250.00	Cs
cm		mm	mm	
137.5	26	-0.87	10.00	12

Verifica spostamento elastico dovuto ai soli carichi variabili (§4.2.4.2.1 - NTC)

x	Comb.	δ_2	L/300.00	Cs
cm		mm	mm	
137.5	26	-0.75	8.33	11

Travata: 136 [1057,1141]: L=250.0 cm, Modello =Appoggiata, Crit.Prog: Acciaio_Flessione, $\delta_c = 0.0$ cm:
Verificato

Verifica spostamento nello stato finale (§4.2.4.2.1 - NTC)

x	Comb.	δ_{max}	L/250.00	Cs
cm		mm	mm	
137.5	26	-0.87	10.00	12

Verifica spostamento elastico dovuto ai soli carichi variabili (§4.2.4.2.1 - NTC)

x	Comb.	δ_2	L/300.00	Cs
cm		mm	mm	
137.5	26	-0.75	8.33	11

Travata: 137 [1058,1142]: L=250.0 cm, Modello =Appoggiata, Crit.Prog: Acciaio_Flessione, $\delta_c = 0.0$ cm:
Verificato

Verifica spostamento nello stato finale (§4.2.4.2.1 - NTC)

x	Comb.	δ_{max}	L/250.00	Cs
cm		mm	mm	
137.5	26	-0.87	10.00	11

Verifica spostamento elastico dovuto ai soli carichi variabili (§4.2.4.2.1 - NTC)

x	Comb.	δ_2	L/300.00	Cs
cm		mm	mm	
137.5	26	-0.75	8.33	11

Travata: 138 [1059,1143]: L=250.0 cm, Modello =Appoggiata, Crit.Prog: Acciaio_Flessione, $\delta_c = 0.0$ cm:
Verificato

Verifica spostamento nello stato finale (§4.2.4.2.1 - NTC)

x	Comb.	δ_{max}	L/250.00	Cs
cm		mm	mm	
137.5	26	-0.87	10.00	12

Verifica spostamento elastico dovuto ai soli carichi variabili (§4.2.4.2.1 - NTC)

x	Comb.	δ_2	L/300.00	Cs
cm		mm	mm	
137.5	26	-0.75	8.33	11

Travata: 135 [1056,1009]: L=250.0 cm, Modello =Sbalzo, Crit.Prog: Acciaio_Flessione, $\delta_c = 0.0$ cm:
Verificato

Verifica spostamento nello stato finale (§4.2.4.2.1 - NTC)

x	Comb.	δ_{max}	L/125.00	Cs
cm		mm	mm	
0.0	26	3.83	20.00	5.2

Verifica spostamento elastico dovuto ai soli carichi variabili (§4.2.4.2.1 - NTC)

x	Comb.	δ_2	L/150.00	Cs
cm		mm	mm	
0.0	26	3.16	16.67	5.3

Travata: 140 [1061,1145]: L=250.0 cm, Modello =Appoggiata, Crit.Prog: Acciaio_Flessione, $\delta_c = 0.0$ cm:
Verificato

Verifica spostamento nello stato finale (§4.2.4.2.1 - NTC)

x	Comb.	δ_{max}	L/250.00	Cs
cm		mm	mm	
137.5	26	-0.87	10.00	12

Verifica spostamento elastico dovuto ai soli carichi variabili (§4.2.4.2.1 - NTC)

x	Comb.	δ_2	L/300.00	Cs
cm		mm	mm	
137.5	26	-0.75	8.33	11

Travata: 139 [1060,1010]: L=250.0 cm, Modello =Sbalzo, Crit.Prog: Acciaio_Flessione, $\delta_c = 0.0$ cm:
Verificato

Verifica spostamento nello stato finale (§4.2.4.2.1 - NTC)

x	Comb.	δ_{max}	L/125.00	Cs
cm		mm	mm	
0.0	26	3.83	20.00	5.2

Verifica spostamento elastico dovuto ai soli carichi variabili (§4.2.4.2.1 - NTC)

x	Comb.	δ_2	L/150.00	Cs
cm		mm	mm	
0.0	26	3.16	16.67	5.3

Travata: 141 [1062,1146]: L=250.0 cm, Modello =Appoggiata, Crit.Prog: Acciaio_Flessione, $\delta_c = 0.0$ cm:
Verificato

Verifica spostamento nello stato finale (§4.2.4.2.1 - NTC)

x	Comb.	δ_{max}	L/250.00	Cs
cm		mm	mm	
137.5	26	-0.89	10.00	11

Verifica spostamento elastico dovuto ai soli carichi variabili (§4.2.4.2.1 - NTC)

x	Comb.	δ_2	L/300.00	Cs
cm		mm	mm	
137.5	26	-0.78	8.33	11

Travata: 142 [1063,1147]: L=250.0 cm, Modello =Appoggiata, Crit.Prog: Acciaio_Flessione, $\delta_c = 0.0$ cm:
Verificato

Verifica spostamento nello stato finale (§4.2.4.2.1 - NTC)

x	Comb.	δ_{max}	L/250.00	Cs
cm		mm	mm	
137.5	26	-0.73	10.00	14

Verifica spostamento elastico dovuto ai soli carichi variabili (§4.2.4.2.1 - NTC)

x	Comb.	δ_2	L/300.00	Cs
cm		mm	mm	
125.0	26	-0.66	8.33	13

Travata: 143 [1064,1011]: L=250.0 cm, Modello =Sbalzo, Crit.Prog: Acciaio_Flessione, $\delta_c = 0.0$ cm:
Verificato

Verifica spostamento nello stato finale (§4.2.4.2.1 - NTC)

x	Comb.	δ_{max}	L/125.00	Cs
cm		mm	mm	
0.0	26	4.91	20.00	4.1

Verifica spostamento elastico dovuto ai soli carichi variabili (§4.2.4.2.1 - NTC)

x	Comb.	δ_2	L/150.00	Cs
cm		mm	mm	
0.0	26	3.77	16.67	4.4

Travata: 123 [1044,1006]: L=250.0 cm, Modello =Sbalzo, Crit.Prog: Acciaio_Flessione, $\delta_c = 0.0$ cm:
Verificato

Verifica spostamento nello stato finale (§4.2.4.2.1 - NTC)

x	Comb.	δ_{max}	L/125.00	Cs
cm		mm	mm	
0.0	26	3.83	20.00	5.2

Verifica spostamento elastico dovuto ai soli carichi variabili (§4.2.4.2.1 - NTC)

x	Comb.	δ_2	L/150.00	Cs
cm		mm	mm	
0.0	26	3.16	16.67	5.3

Travata: 124 [1045,1130]: L=250.0 cm, Modello =Appoggiata, Crit.Prog: Acciaio_Flessione, $\delta_c = 0.0$ cm:
Verificato

Verifica spostamento nello stato finale (§4.2.4.2.1 - NTC)

x	Comb.	δ_{max}	L/250.00	Cs
cm		mm	mm	
137.5	26	-0.87	10.00	12

Verifica spostamento elastico dovuto ai soli carichi variabili (§4.2.4.2.1 - NTC)

x	Comb.	δ_2	L/300.00	Cs
cm		mm	mm	
137.5	26	-0.75	8.33	11

Travata: 125 [1046,1131]: L=250.0 cm, Modello =Appoggiata, Crit.Prog: Acciaio_Flessione, $\delta_c = 0.0$ cm:
Verificato

Verifica spostamento nello stato finale (§4.2.4.2.1 - NTC)

x	Comb.	δ_{max}	L/250.00	Cs
cm		mm	mm	
137.5	26	-0.87	10.00	11

Verifica spostamento elastico dovuto ai soli carichi variabili (§4.2.4.2.1 - NTC)

x	Comb.	δ_2	L/300.00	Cs
cm		mm	mm	
137.5	26	-0.75	8.33	11

Travata: 127 [1048,1007]: L=250.0 cm, Modello =Sbalzo, Crit.Prog: Acciaio_Flessione, $\delta_c = 0.0$ cm:
Verificato

Verifica spostamento nello stato finale (§4.2.4.2.1 - NTC)

x	Comb.	δ_{max}	L/125.00	Cs
cm		mm	mm	
0.0	26	3.83	20.00	5.2

Verifica spostamento elastico dovuto ai soli carichi variabili (§4.2.4.2.1 - NTC)

x	Comb.	δ_2	L/150.00	Cs
cm		mm	mm	
0.0	26	3.16	16.67	5.3

Travata: 126 [1047,1132]: L=250.0 cm, Modello =Appoggiata, Crit.Prog: Acciaio_Flessione, $\delta_c = 0.0$ cm:
Verificato

Verifica spostamento nello stato finale (§4.2.4.2.1 - NTC)

x	Comb.	δ_{max}	L/250.00	Cs
cm		mm	mm	
137.5	26	-0.87	10.00	12

Verifica spostamento elastico dovuto ai soli carichi variabili (§4.2.4.2.1 - NTC)

x	Comb.	δ_2	L/300.00	Cs
cm		mm	mm	
137.5	26	-0.75	8.33	11

Travata: 128 [1049,1134]: L=250.0 cm, Modello =Appoggiata, Crit.Prog: Acciaio_Flessione, $\delta_c = 0.0$ cm:
Verificato

Verifica spostamento nello stato finale (§4.2.4.2.1 - NTC)

x	Comb.	δ_{max}	L/250.00	Cs
cm		mm	mm	
137.5	26	-0.87	10.00	12

Verifica spostamento elastico dovuto ai soli carichi variabili (§4.2.4.2.1 - NTC)

x	Comb.	δ_2	L/300.00	Cs
cm		mm	mm	
137.5	26	-0.75	8.33	11

Travata: 129 [1050,1135]: L=250.0 cm, Modello =Appoggiata, Crit.Prog: Acciaio_Flessione, $\delta_c = 0.0$ cm:
Verificato

Verifica spostamento nello stato finale (§4.2.4.2.1 - NTC)

x	Comb.	δ_{max}	L/250.00	Cs
cm		mm	mm	
137.5	26	-0.87	10.00	11

Verifica spostamento elastico dovuto ai soli carichi variabili (§4.2.4.2.1 - NTC)

x	Comb.	δ_2	L/300.00	Cs
cm		mm	mm	
137.5	26	-0.75	8.33	11

Travata: 401 [1278,1279]: L=180.0 cm, Modello =Appoggiata, Crit.Prog: Acciaio_Flessione, $\delta_c = 0.0$ cm:
Verificato

Verifica spostamento nello stato finale (§4.2.4.2.1 - NTC)

x	Comb.	δ_{max}	L/250.00	Cs
cm		mm	mm	
90.0	39	1.25	7.20	5.8

Verifica spostamento elastico dovuto ai soli carichi variabili (§4.2.4.2.1 - NTC)

x	Comb.	δ_2	L/300.00	Cs
cm		mm	mm	
90.0	39	0.93	6.00	6.5

Travata: 405 [1282,1283]: L=180.0 cm, Modello =Appoggiata, Crit.Prog: Acciaio_Flessione, $\delta_c = 0.0$ cm:
Verificato

Verifica spostamento nello stato finale (§4.2.4.2.1 - NTC)

x	Comb.	δ_{max}	L/250.00	Cs
cm		mm	mm	
90.0	39	1.07	7.20	6.8

Verifica spostamento elastico dovuto ai soli carichi variabili (§4.2.4.2.1 - NTC)

x	Comb.	δ_2	L/300.00	Cs
cm		mm	mm	
90.0	25	-0.92	6.00	6.5

Travata: 409 [1286,1287]: L=180.0 cm, Modello =Appoggiata, Crit.Prog: Acciaio_Flessione, $\delta_c = 0.0$ cm:
Verificato

Verifica spostamento nello stato finale (§4.2.4.2.1 - NTC)

x	Comb.	δ_{max}	L/250.00	Cs
cm		mm	mm	
90.0	39	1.16	7.20	6.2

Verifica spostamento elastico dovuto ai soli carichi variabili (§4.2.4.2.1 - NTC)

x	Comb.	δ_2	L/300.00	Cs
cm		mm	mm	
90.0	39	0.84	6.00	7.2

Travata: 413 [1290,1291]: L=180.0 cm, Modello =Appoggiata, Crit.Prog: Acciaio_Flessione, $\delta_c = 0.0$ cm:
Verificato

Verifica spostamento nello stato finale (§4.2.4.2.1 - NTC)

x	Comb.	δ_{max}	L/250.00	Cs
cm		mm	mm	
90.0	39	1.16	7.20	6.2

Verifica spostamento elastico dovuto ai soli carichi variabili (§4.2.4.2.1 - NTC)

x	Comb.	δ_2	L/300.00	Cs
cm		mm	mm	
90.0	39	0.84	6.00	7.2

Travata: 417 [1294,1295]: L=180.0 cm, Modello =Appoggiata, Crit.Prog: Acciaio_Flessione, $\delta_c = 0.0$ cm:
Verificato

Verifica spostamento nello stato finale (§4.2.4.2.1 - NTC)

x	Comb.	δ_{max}	L/250.00	Cs
cm		mm	mm	
90.0	39	1.16	7.20	6.2

Verifica spostamento elastico dovuto ai soli carichi variabili (§4.2.4.2.1 - NTC)

x	Comb.	δ_2	L/300.00	Cs
cm		mm	mm	
90.0	39	0.84	6.00	7.2

Travata: 421 [1298,1299]: L=180.0 cm, Modello =Appoggiata, Crit.Prog: Acciaio_Flessione, $\delta_c = 0.0$ cm:
Verificato

Verifica spostamento nello stato finale (§4.2.4.2.1 - NTC)

x	Comb.	δ_{max}	L/250.00	Cs
cm		mm	mm	
90.0	39	1.16	7.20	6.2

Verifica spostamento elastico dovuto ai soli carichi variabili (§4.2.4.2.1 - NTC)

x	Comb.	δ_2	L/300.00	Cs
cm		mm	mm	
90.0	39	0.84	6.00	7.2

Travata: 425 [1302,1303]: L=180.0 cm, Modello =Appoggiata, Crit.Prog: Acciaio_Flessione, $\delta_c = 0.0$ cm:
Verificato

Verifica spostamento nello stato finale (§4.2.4.2.1 - NTC)

x	Comb.	δ_{max}	L/250.00	Cs
cm		mm	mm	
90.0	39	1.16	7.20	6.2

Verifica spostamento elastico dovuto ai soli carichi variabili (§4.2.4.2.1 - NTC)

x	Comb.	δ_2	L/300.00	Cs
cm		mm	mm	
90.0	39	0.84	6.00	7.2

Travata: 429 [1306,1307]: L=180.0 cm, Modello =Appoggiata, Crit.Prog: Acciaio_Flessione, $\delta c = 0.0$ cm:
Verificato

Verifica spostamento nello stato finale (§4.2.4.2.1 - NTC)

x	Comb.	δ_{max}	L/250.00	Cs
cm		mm	mm	
90.0	39	1.16	7.20	6.2

Verifica spostamento elastico dovuto ai soli carichi variabili (§4.2.4.2.1 - NTC)

x	Comb.	δ_2	L/300.00	Cs
cm		mm	mm	
90.0	39	0.84	6.00	7.2

Travata: 433 [1310,1311]: L=180.0 cm, Modello =Appoggiata, Crit.Prog: Acciaio_Flessione, $\delta c = 0.0$ cm:
Verificato

Verifica spostamento nello stato finale (§4.2.4.2.1 - NTC)

x	Comb.	δ_{max}	L/250.00	Cs
cm		mm	mm	
90.0	39	1.16	7.20	6.2

Verifica spostamento elastico dovuto ai soli carichi variabili (§4.2.4.2.1 - NTC)

x	Comb.	δ_2	L/300.00	Cs
cm		mm	mm	
90.0	39	0.84	6.00	7.2

Travata: 437 [1314,1315]: L=180.0 cm, Modello =Appoggiata, Crit.Prog: Acciaio_Flessione, $\delta c = 0.0$ cm:
Verificato

Verifica spostamento nello stato finale (§4.2.4.2.1 - NTC)

x	Comb.	δ_{max}	L/250.00	Cs
cm		mm	mm	
90.0	39	1.25	7.20	5.8

Verifica spostamento elastico dovuto ai soli carichi variabili (§4.2.4.2.1 - NTC)

x	Comb.	δ_2	L/300.00	Cs
cm		mm	mm	
90.0	39	0.93	6.00	6.5

Travata: 402 [1279,1280]: L=180.0 cm, Modello =Appoggiata, Crit.Prog: Acciaio_Flessione, $\delta c = 0.0$ cm:
Verificato

Verifica spostamento nello stato finale (§4.2.4.2.1 - NTC)

x	Comb.	δ_{max}	L/250.00	Cs
cm		mm	mm	
90.0	39	1.25	7.20	5.8

Verifica spostamento elastico dovuto ai soli carichi variabili (§4.2.4.2.1 - NTC)

x	Comb.	δ_2	L/300.00	Cs
cm		mm	mm	
90.0	39	0.93	6.00	6.5

Travata: 403 [1280,1281]: L=180.0 cm, Modello =Appoggiata, Crit.Prog: Acciaio_Flessione, $\delta c = 0.0$ cm:
Verificato

Verifica spostamento nello stato finale (§4.2.4.2.1 - NTC)

x	Comb.	δ_{max}	L/250.00	Cs
cm		mm	mm	
90.0	39	1.07	7.20	6.8

Verifica spostamento elastico dovuto ai soli carichi variabili (§4.2.4.2.1 - NTC)

x	Comb.	δ_2	L/300.00	Cs
cm		mm	mm	

x	Comb.	δ_2	L/300.00	Cs
90.0	25	-0.92	6.00	6.5

Travata: 404 [1281,1282]: L=180.0 cm, Modello =Appoggiata, Crit.Prog: Acciaio_Flessione, $\delta_c = 0.0$ cm:
Verificato

Verifica spostamento nello stato finale (§4.2.4.2.1 - NTC)

x	Comb.	δ_{max}	L/250.00	Cs
cm		mm	mm	
90.0	39	1.07	7.20	6.8

Verifica spostamento elastico dovuto ai soli carichi variabili (§4.2.4.2.1 - NTC)

x	Comb.	δ_2	L/300.00	Cs
cm		mm	mm	
90.0	25	-0.92	6.00	6.5

Travata: 406 [1283,1284]: L=180.0 cm, Modello =Appoggiata, Crit.Prog: Acciaio_Flessione, $\delta_c = 0.0$ cm:
Verificato

Verifica spostamento nello stato finale (§4.2.4.2.1 - NTC)

x	Comb.	δ_{max}	L/250.00	Cs
cm		mm	mm	
90.0	39	1.16	7.20	6.2

Verifica spostamento elastico dovuto ai soli carichi variabili (§4.2.4.2.1 - NTC)

x	Comb.	δ_2	L/300.00	Cs
cm		mm	mm	
90.0	39	0.84	6.00	7.2

Travata: 407 [1284,1285]: L=180.0 cm, Modello =Appoggiata, Crit.Prog: Acciaio_Flessione, $\delta_c = 0.0$ cm:
Verificato

Verifica spostamento nello stato finale (§4.2.4.2.1 - NTC)

x	Comb.	δ_{max}	L/250.00	Cs
cm		mm	mm	
90.0	39	1.16	7.20	6.2

Verifica spostamento elastico dovuto ai soli carichi variabili (§4.2.4.2.1 - NTC)

x	Comb.	δ_2	L/300.00	Cs
cm		mm	mm	
90.0	39	0.84	6.00	7.2

Travata: 408 [1285,1286]: L=180.0 cm, Modello =Appoggiata, Crit.Prog: Acciaio_Flessione, $\delta_c = 0.0$ cm:
Verificato

Verifica spostamento nello stato finale (§4.2.4.2.1 - NTC)

x	Comb.	δ_{max}	L/250.00	Cs
cm		mm	mm	
90.0	39	1.16	7.20	6.2

Verifica spostamento elastico dovuto ai soli carichi variabili (§4.2.4.2.1 - NTC)

x	Comb.	δ_2	L/300.00	Cs
cm		mm	mm	
90.0	39	0.84	6.00	7.2

Travata: 410 [1287,1288]: L=180.0 cm, Modello =Appoggiata, Crit.Prog: Acciaio_Flessione, $\delta_c = 0.0$ cm:
Verificato

Verifica spostamento nello stato finale (§4.2.4.2.1 - NTC)

x	Comb.	δ_{max}	L/250.00	Cs
cm		mm	mm	
90.0	39	1.16	7.20	6.2

Verifica spostamento elastico dovuto ai soli carichi variabili (§4.2.4.2.1 - NTC)

x	Comb.	δ_2	L/300.00	Cs
cm		mm	mm	
90.0	39	0.84	6.00	7.2

Travata: 411 [1288,1289]: L=180.0 cm, Modello =Appoggiata, Crit.Prog: Acciaio_Flessione, $\delta_c = 0.0$ cm:
Verificato

Verifica spostamento nello stato finale (§4.2.4.2.1 - NTC)

x	Comb.	δ_{max}	L/250.00	Cs
cm		mm	mm	
90.0	39	1.16	7.20	6.2

Verifica spostamento elastico dovuto ai soli carichi variabili (§4.2.4.2.1 - NTC)

x	Comb.	δ_2	L/300.00	Cs
cm		mm	mm	
90.0	39	0.84	6.00	7.2

Travata: 412 [1289,1290]: L=180.0 cm, Modello =Appoggiata, Crit.Prog: Acciaio_Flessione, $\delta_c = 0.0$ cm:
Verificato

Verifica spostamento nello stato finale (§4.2.4.2.1 - NTC)

x	Comb.	δ_{max}	L/250.00	Cs
cm		mm	mm	
90.0	39	1.16	7.20	6.2

Verifica spostamento elastico dovuto ai soli carichi variabili (§4.2.4.2.1 - NTC)

x	Comb.	δ_2	L/300.00	Cs
cm		mm	mm	
90.0	39	0.84	6.00	7.2

Travata: 414 [1291,1292]: L=180.0 cm, Modello =Appoggiata, Crit.Prog: Acciaio_Flessione, $\delta_c = 0.0$ cm:
Verificato

Verifica spostamento nello stato finale (§4.2.4.2.1 - NTC)

x	Comb.	δ_{max}	L/250.00	Cs
cm		mm	mm	
90.0	39	1.16	7.20	6.2

Verifica spostamento elastico dovuto ai soli carichi variabili (§4.2.4.2.1 - NTC)

x	Comb.	δ_2	L/300.00	Cs
cm		mm	mm	
90.0	39	0.84	6.00	7.2

Travata: 415 [1292,1293]: L=180.0 cm, Modello =Appoggiata, Crit.Prog: Acciaio_Flessione, $\delta_c = 0.0$ cm:
Verificato

Verifica spostamento nello stato finale (§4.2.4.2.1 - NTC)

x	Comb.	δ_{max}	L/250.00	Cs
cm		mm	mm	
90.0	39	1.16	7.20	6.2

Verifica spostamento elastico dovuto ai soli carichi variabili (§4.2.4.2.1 - NTC)

x	Comb.	δ_2	L/300.00	Cs
cm		mm	mm	
90.0	39	0.84	6.00	7.2

Travata: 416 [1293,1294]: L=180.0 cm, Modello =Appoggiata, Crit.Prog: Acciaio_Flessione, $\delta_c = 0.0$ cm:
Verificato

Verifica spostamento nello stato finale (§4.2.4.2.1 - NTC)

x	Comb.	δ_{max}	L/250.00	Cs
cm		mm	mm	

x	Comb.	δ_{max}	L/250.00	Cs
90.0	39	1.16	7.20	6.2

Verifica spostamento elastico dovuto ai soli carichi variabili (§4.2.4.2.1 - NTC)

x	Comb.	δ_2	L/300.00	Cs
cm		mm	mm	
90.0	39	0.84	6.00	7.2

Travata: 418 [1295,1296]: L=180.0 cm, Modello =Appoggiata, Crit.Prog: Acciaio_Flessione, $\delta_c = 0.0$ cm:
Verificato

Verifica spostamento nello stato finale (§4.2.4.2.1 - NTC)

x	Comb.	δ_{max}	L/250.00	Cs
cm		mm	mm	
90.0	39	1.16	7.20	6.2

Verifica spostamento elastico dovuto ai soli carichi variabili (§4.2.4.2.1 - NTC)

x	Comb.	δ_2	L/300.00	Cs
cm		mm	mm	
90.0	39	0.84	6.00	7.2

Travata: 419 [1296,1297]: L=180.0 cm, Modello =Appoggiata, Crit.Prog: Acciaio_Flessione, $\delta_c = 0.0$ cm:
Verificato

Verifica spostamento nello stato finale (§4.2.4.2.1 - NTC)

x	Comb.	δ_{max}	L/250.00	Cs
cm		mm	mm	
90.0	39	1.16	7.20	6.2

Verifica spostamento elastico dovuto ai soli carichi variabili (§4.2.4.2.1 - NTC)

x	Comb.	δ_2	L/300.00	Cs
cm		mm	mm	
90.0	39	0.84	6.00	7.2

Travata: 420 [1297,1298]: L=180.0 cm, Modello =Appoggiata, Crit.Prog: Acciaio_Flessione, $\delta_c = 0.0$ cm:
Verificato

Verifica spostamento nello stato finale (§4.2.4.2.1 - NTC)

x	Comb.	δ_{max}	L/250.00	Cs
cm		mm	mm	
90.0	39	1.16	7.20	6.2

Verifica spostamento elastico dovuto ai soli carichi variabili (§4.2.4.2.1 - NTC)

x	Comb.	δ_2	L/300.00	Cs
cm		mm	mm	
90.0	39	0.84	6.00	7.2

Travata: 422 [1299,1300]: L=180.0 cm, Modello =Appoggiata, Crit.Prog: Acciaio_Flessione, $\delta_c = 0.0$ cm:
Verificato

Verifica spostamento nello stato finale (§4.2.4.2.1 - NTC)

x	Comb.	δ_{max}	L/250.00	Cs
cm		mm	mm	
90.0	39	1.16	7.20	6.2

Verifica spostamento elastico dovuto ai soli carichi variabili (§4.2.4.2.1 - NTC)

x	Comb.	δ_2	L/300.00	Cs
cm		mm	mm	
90.0	39	0.84	6.00	7.2

Travata: 423 [1300,1301]: L=180.0 cm, Modello =Appoggiata, Crit.Prog: Acciaio_Flessione, $\delta_c = 0.0$ cm:
Verificato

Verifica spostamento nello stato finale (§4.2.4.2.1 - NTC)

x	Comb.	δ_{max}	L/250.00	Cs
cm		mm	mm	
90.0	39	1.16	7.20	6.2

Verifica spostamento elastico dovuto ai soli carichi variabili (§4.2.4.2.1 - NTC)

x	Comb.	δ_2	L/300.00	Cs
cm		mm	mm	
90.0	39	0.84	6.00	7.2

Travata: 424 [1301,1302]: L=180.0 cm, Modello =Appoggiata, Crit.Prog: Acciaio_Flessione, $\delta_c = 0.0$ cm:
Verificato

Verifica spostamento nello stato finale (§4.2.4.2.1 - NTC)

x	Comb.	δ_{max}	L/250.00	Cs
cm		mm	mm	
90.0	39	1.16	7.20	6.2

Verifica spostamento elastico dovuto ai soli carichi variabili (§4.2.4.2.1 - NTC)

x	Comb.	δ_2	L/300.00	Cs
cm		mm	mm	
90.0	39	0.84	6.00	7.2

Travata: 426 [1303,1304]: L=180.0 cm, Modello =Appoggiata, Crit.Prog: Acciaio_Flessione, $\delta_c = 0.0$ cm:
Verificato

Verifica spostamento nello stato finale (§4.2.4.2.1 - NTC)

x	Comb.	δ_{max}	L/250.00	Cs
cm		mm	mm	
90.0	39	1.16	7.20	6.2

Verifica spostamento elastico dovuto ai soli carichi variabili (§4.2.4.2.1 - NTC)

x	Comb.	δ_2	L/300.00	Cs
cm		mm	mm	
90.0	39	0.84	6.00	7.2

Travata: 427 [1304,1305]: L=180.0 cm, Modello =Appoggiata, Crit.Prog: Acciaio_Flessione, $\delta_c = 0.0$ cm:
Verificato

Verifica spostamento nello stato finale (§4.2.4.2.1 - NTC)

x	Comb.	δ_{max}	L/250.00	Cs
cm		mm	mm	
90.0	39	1.16	7.20	6.2

Verifica spostamento elastico dovuto ai soli carichi variabili (§4.2.4.2.1 - NTC)

x	Comb.	δ_2	L/300.00	Cs
cm		mm	mm	
90.0	39	0.84	6.00	7.2

Travata: 428 [1305,1306]: L=180.0 cm, Modello =Appoggiata, Crit.Prog: Acciaio_Flessione, $\delta_c = 0.0$ cm:
Verificato

Verifica spostamento nello stato finale (§4.2.4.2.1 - NTC)

x	Comb.	δ_{max}	L/250.00	Cs
cm		mm	mm	
90.0	39	1.16	7.20	6.2

Verifica spostamento elastico dovuto ai soli carichi variabili (§4.2.4.2.1 - NTC)

x	Comb.	δ_2	L/300.00	Cs
cm		mm	mm	
90.0	39	0.84	6.00	7.2

Travata: 430 [1307,1308]: L=180.0 cm, Modello =Appoggiata, Crit.Prog: Acciaio_Flessione, $\delta_c = 0.0$ cm:

Verificato

Verifica spostamento nello stato finale (§4.2.4.2.1 - NTC)

x	Comb.	δ_{max}	L/250.00	Cs
cm		mm	mm	
90.0	39	1.16	7.20	6.2

Verifica spostamento elastico dovuto ai soli carichi variabili (§4.2.4.2.1 - NTC)

x	Comb.	δ_2	L/300.00	Cs
cm		mm	mm	
90.0	39	0.84	6.00	7.2

Travata: 431 [1308,1309]: L=180.0 cm, Modello =Appoggiata, Crit.Prog: Acciaio_Flessione, $\delta_c = 0.0$ cm:
Verificato

Verifica spostamento nello stato finale (§4.2.4.2.1 - NTC)

x	Comb.	δ_{max}	L/250.00	Cs
cm		mm	mm	
90.0	39	1.16	7.20	6.2

Verifica spostamento elastico dovuto ai soli carichi variabili (§4.2.4.2.1 - NTC)

x	Comb.	δ_2	L/300.00	Cs
cm		mm	mm	
90.0	39	0.84	6.00	7.2

Travata: 432 [1309,1310]: L=180.0 cm, Modello =Appoggiata, Crit.Prog: Acciaio_Flessione, $\delta_c = 0.0$ cm:
Verificato

Verifica spostamento nello stato finale (§4.2.4.2.1 - NTC)

x	Comb.	δ_{max}	L/250.00	Cs
cm		mm	mm	
90.0	39	1.16	7.20	6.2

Verifica spostamento elastico dovuto ai soli carichi variabili (§4.2.4.2.1 - NTC)

x	Comb.	δ_2	L/300.00	Cs
cm		mm	mm	
90.0	39	0.84	6.00	7.2

Travata: 434 [1311,1312]: L=180.0 cm, Modello =Appoggiata, Crit.Prog: Acciaio_Flessione, $\delta_c = 0.0$ cm:
Verificato

Verifica spostamento nello stato finale (§4.2.4.2.1 - NTC)

x	Comb.	δ_{max}	L/250.00	Cs
cm		mm	mm	
90.0	39	1.16	7.20	6.2

Verifica spostamento elastico dovuto ai soli carichi variabili (§4.2.4.2.1 - NTC)

x	Comb.	δ_2	L/300.00	Cs
cm		mm	mm	
90.0	39	0.84	6.00	7.2

Travata: 435 [1312,1313]: L=180.0 cm, Modello =Appoggiata, Crit.Prog: Acciaio_Flessione, $\delta_c = 0.0$ cm:
Verificato

Verifica spostamento nello stato finale (§4.2.4.2.1 - NTC)

x	Comb.	δ_{max}	L/250.00	Cs
cm		mm	mm	
90.0	39	1.16	7.20	6.2

Verifica spostamento elastico dovuto ai soli carichi variabili (§4.2.4.2.1 - NTC)

x	Comb.	δ_2	L/300.00	Cs
cm		mm	mm	
90.0	39	0.84	6.00	7.2

Travata: 436 [1313,1314]: L=180.0 cm, Modello =Appoggiata, Crit.Prog: Acciaio_Flessione, $\delta c = 0.0$ cm:
Verificato

Verifica spostamento nello stato finale (§4.2.4.2.1 - NTC)

x	Comb.	δ_{max}	L/250.00	Cs
cm		mm	mm	
90.0	39	1.25	7.20	5.8

Verifica spostamento elastico dovuto ai soli carichi variabili (§4.2.4.2.1 - NTC)

x	Comb.	δ_2	L/300.00	Cs
cm		mm	mm	
90.0	39	0.93	6.00	6.5

Travata: 438 [1315,1316]: L=180.0 cm, Modello =Appoggiata, Crit.Prog: Acciaio_Flessione, $\delta c = 0.0$ cm:
Verificato

Verifica spostamento nello stato finale (§4.2.4.2.1 - NTC)

x	Comb.	δ_{max}	L/250.00	Cs
cm		mm	mm	
90.0	39	1.25	7.20	5.8

Verifica spostamento elastico dovuto ai soli carichi variabili (§4.2.4.2.1 - NTC)

x	Comb.	δ_2	L/300.00	Cs
cm		mm	mm	
90.0	39	0.93	6.00	6.5

Travata: 439 [1316,1317]: L=180.0 cm, Modello =Appoggiata, Crit.Prog: Acciaio_Flessione, $\delta c = 0.0$ cm:
Verificato

Verifica spostamento nello stato finale (§4.2.4.2.1 - NTC)

x	Comb.	δ_{max}	L/250.00	Cs
cm		mm	mm	
90.0	39	1.07	7.20	6.8

Verifica spostamento elastico dovuto ai soli carichi variabili (§4.2.4.2.1 - NTC)

x	Comb.	δ_2	L/300.00	Cs
cm		mm	mm	
90.0	25	-0.92	6.00	6.5

Travata: 440 [1317,1318]: L=180.0 cm, Modello =Appoggiata, Crit.Prog: Acciaio_Flessione, $\delta c = 0.0$ cm:
Verificato

Verifica spostamento nello stato finale (§4.2.4.2.1 - NTC)

x	Comb.	δ_{max}	L/250.00	Cs
cm		mm	mm	
90.0	39	1.07	7.20	6.8

Verifica spostamento elastico dovuto ai soli carichi variabili (§4.2.4.2.1 - NTC)

x	Comb.	δ_2	L/300.00	Cs
cm		mm	mm	
90.0	25	-0.92	6.00	6.5

Travata: 443 [1321,1322]: L=180.0 cm, Modello =Appoggiata, Crit.Prog: Acciaio_Flessione, $\delta c = 0.0$ cm:
Verificato

Verifica spostamento nello stato finale (§4.2.4.2.1 - NTC)

x	Comb.	δ_{max}	L/250.00	Cs
cm		mm	mm	
90.0	39	1.18	7.20	6.1

Verifica spostamento elastico dovuto ai soli carichi variabili (§4.2.4.2.1 - NTC)

x	Comb.	δ_2	L/300.00	Cs
cm		mm	mm	
90.0	39	0.88	6.00	6.8

Travata: 447 [1325,1326]: L=180.0 cm, Modello =Appoggiata, Crit.Prog: Acciaio_Flessione, $\delta_c = 0.0$ cm:
Verificato

Verifica spostamento nello stato finale (§4.2.4.2.1 - NTC)

x	Comb.	δ_{max}	L/250.00	Cs
cm		mm	mm	
90.0	39	1.01	7.20	7.1

Verifica spostamento elastico dovuto ai soli carichi variabili (§4.2.4.2.1 - NTC)

x	Comb.	δ_2	L/300.00	Cs
cm		mm	mm	
90.0	25	-0.90	6.00	6.7

Travata: 451 [1329,1330]: L=180.0 cm, Modello =Appoggiata, Crit.Prog: Acciaio_Flessione, $\delta_c = 0.0$ cm:
Verificato

Verifica spostamento nello stato finale (§4.2.4.2.1 - NTC)

x	Comb.	δ_{max}	L/250.00	Cs
cm		mm	mm	
90.0	39	1.10	7.20	6.6

Verifica spostamento elastico dovuto ai soli carichi variabili (§4.2.4.2.1 - NTC)

x	Comb.	δ_2	L/300.00	Cs
cm		mm	mm	
90.0	25	-0.81	6.00	7.4

Travata: 455 [1333,1334]: L=180.0 cm, Modello =Appoggiata, Crit.Prog: Acciaio_Flessione, $\delta_c = 0.0$ cm:
Verificato

Verifica spostamento nello stato finale (§4.2.4.2.1 - NTC)

x	Comb.	δ_{max}	L/250.00	Cs
cm		mm	mm	
90.0	39	1.10	7.20	6.6

Verifica spostamento elastico dovuto ai soli carichi variabili (§4.2.4.2.1 - NTC)

x	Comb.	δ_2	L/300.00	Cs
cm		mm	mm	
90.0	25	-0.81	6.00	7.4

Travata: 459 [1337,1338]: L=180.0 cm, Modello =Appoggiata, Crit.Prog: Acciaio_Flessione, $\delta_c = 0.0$ cm:
Verificato

Verifica spostamento nello stato finale (§4.2.4.2.1 - NTC)

x	Comb.	δ_{max}	L/250.00	Cs
cm		mm	mm	
90.0	39	1.10	7.20	6.6

Verifica spostamento elastico dovuto ai soli carichi variabili (§4.2.4.2.1 - NTC)

x	Comb.	δ_2	L/300.00	Cs
cm		mm	mm	
90.0	25	-0.81	6.00	7.4

Travata: 463 [1341,1342]: L=180.0 cm, Modello =Appoggiata, Crit.Prog: Acciaio_Flessione, $\delta_c = 0.0$ cm:
Verificato

Verifica spostamento nello stato finale (§4.2.4.2.1 - NTC)

x	Comb.	δ_{max}	L/250.00	Cs
cm		mm	mm	
90.0	39	1.10	7.20	6.6

Verifica spostamento elastico dovuto ai soli carichi variabili (§4.2.4.2.1 - NTC)

x	Comb.	δ_2	L/300.00	Cs
cm		mm	mm	
90.0	25	-0.81	6.00	7.4

Travata: 467 [1345,1346]: L=180.0 cm, Modello =Appoggiata, Crit.Prog: Acciaio_Flessione, $\delta_c = 0.0$ cm:
Verificato

Verifica spostamento nello stato finale (§4.2.4.2.1 - NTC)

x	Comb.	δ_{max}	L/250.00	Cs
cm		mm	mm	
90.0	39	1.10	7.20	6.6

Verifica spostamento elastico dovuto ai soli carichi variabili (§4.2.4.2.1 - NTC)

x	Comb.	δ_2	L/300.00	Cs
cm		mm	mm	
90.0	25	-0.81	6.00	7.4

Travata: 471 [1349,1350]: L=180.0 cm, Modello =Appoggiata, Crit.Prog: Acciaio_Flessione, $\delta_c = 0.0$ cm:
Verificato

Verifica spostamento nello stato finale (§4.2.4.2.1 - NTC)

x	Comb.	δ_{max}	L/250.00	Cs
cm		mm	mm	
90.0	39	1.10	7.20	6.6

Verifica spostamento elastico dovuto ai soli carichi variabili (§4.2.4.2.1 - NTC)

x	Comb.	δ_2	L/300.00	Cs
cm		mm	mm	
90.0	25	-0.81	6.00	7.4

Travata: 475 [1353,1354]: L=180.0 cm, Modello =Appoggiata, Crit.Prog: Acciaio_Flessione, $\delta_c = 0.0$ cm:
Verificato

Verifica spostamento nello stato finale (§4.2.4.2.1 - NTC)

x	Comb.	δ_{max}	L/250.00	Cs
cm		mm	mm	
90.0	39	1.10	7.20	6.6

Verifica spostamento elastico dovuto ai soli carichi variabili (§4.2.4.2.1 - NTC)

x	Comb.	δ_2	L/300.00	Cs
cm		mm	mm	
90.0	25	-0.81	6.00	7.4

Travata: 479 [1357,1358]: L=180.0 cm, Modello =Appoggiata, Crit.Prog: Acciaio_Flessione, $\delta_c = 0.0$ cm:
Verificato

Verifica spostamento nello stato finale (§4.2.4.2.1 - NTC)

x	Comb.	δ_{max}	L/250.00	Cs
cm		mm	mm	
90.0	39	1.18	7.20	6.1

Verifica spostamento elastico dovuto ai soli carichi variabili (§4.2.4.2.1 - NTC)

x	Comb.	δ_2	L/300.00	Cs
cm		mm	mm	
90.0	39	0.88	6.00	6.8

Travata: 444 [1322,1323]: L=180.0 cm, Modello =Appoggiata, Crit.Prog: Acciaio_Flessione, $\delta_c = 0.0$ cm:
Verificato

Verifica spostamento nello stato finale (§4.2.4.2.1 - NTC)

x	Comb.	δ_{max}	L/250.00	Cs
cm		mm	mm	
90.0	39	1.18	7.20	6.1

Verifica spostamento elastico dovuto ai soli carichi variabili (§4.2.4.2.1 - NTC)

x	Comb.	δ_2	L/300.00	Cs
cm		mm	mm	
90.0	39	0.88	6.00	6.8

Travata: 445 [1323,1324]: L=180.0 cm, Modello =Appoggiata, Crit.Prog: Acciaio_Flessione, $\delta_c = 0.0$ cm:
Verificato

Verifica spostamento nello stato finale (§4.2.4.2.1 - NTC)

x	Comb.	δ_{max}	L/250.00	Cs
cm		mm	mm	
90.0	39	1.01	7.20	7.1

Verifica spostamento elastico dovuto ai soli carichi variabili (§4.2.4.2.1 - NTC)

x	Comb.	δ_2	L/300.00	Cs
cm		mm	mm	
90.0	25	-0.90	6.00	6.7

Travata: 446 [1324,1325]: L=180.0 cm, Modello =Appoggiata, Crit.Prog: Acciaio_Flessione, $\delta_c = 0.0$ cm:
Verificato

Verifica spostamento nello stato finale (§4.2.4.2.1 - NTC)

x	Comb.	δ_{max}	L/250.00	Cs
cm		mm	mm	
90.0	39	1.01	7.20	7.1

Verifica spostamento elastico dovuto ai soli carichi variabili (§4.2.4.2.1 - NTC)

x	Comb.	δ_2	L/300.00	Cs
cm		mm	mm	
90.0	25	-0.90	6.00	6.7

Travata: 448 [1326,1327]: L=180.0 cm, Modello =Appoggiata, Crit.Prog: Acciaio_Flessione, $\delta_c = 0.0$ cm:
Verificato

Verifica spostamento nello stato finale (§4.2.4.2.1 - NTC)

x	Comb.	δ_{max}	L/250.00	Cs
cm		mm	mm	
90.0	39	1.10	7.20	6.6

Verifica spostamento elastico dovuto ai soli carichi variabili (§4.2.4.2.1 - NTC)

x	Comb.	δ_2	L/300.00	Cs
cm		mm	mm	
90.0	25	-0.81	6.00	7.4

Travata: 449 [1327,1328]: L=180.0 cm, Modello =Appoggiata, Crit.Prog: Acciaio_Flessione, $\delta_c = 0.0$ cm:
Verificato

Verifica spostamento nello stato finale (§4.2.4.2.1 - NTC)

x	Comb.	δ_{max}	L/250.00	Cs
cm		mm	mm	
90.0	39	1.10	7.20	6.6

Verifica spostamento elastico dovuto ai soli carichi variabili (§4.2.4.2.1 - NTC)

x	Comb.	δ_2	L/300.00	Cs
cm		mm	mm	
90.0	25	-0.81	6.00	7.4

Travata: 450 [1328,1329]: L=180.0 cm, Modello =Appoggiata, Crit.Prog: Acciaio_Flessione, $\delta_c = 0.0$ cm:
Verificato

Verifica spostamento nello stato finale (§4.2.4.2.1 - NTC)

x	Comb.	δ_{max}	L/250.00	Cs
cm		mm	mm	
90.0	39	1.10	7.20	6.6

Verifica spostamento elastico dovuto ai soli carichi variabili (§4.2.4.2.1 - NTC)

x	Comb.	δ_2	L/300.00	Cs
cm		mm	mm	
90.0	25	-0.81	6.00	7.4

Travata: 452 [1330,1331]: L=180.0 cm, Modello =Appoggiata, Crit.Prog: Acciaio_Flessione, $\delta_c = 0.0$ cm:
Verificato

Verifica spostamento nello stato finale (§4.2.4.2.1 - NTC)

x	Comb.	δ_{max}	L/250.00	Cs
cm		mm	mm	
90.0	39	1.10	7.20	6.6

Verifica spostamento elastico dovuto ai soli carichi variabili (§4.2.4.2.1 - NTC)

x	Comb.	δ_2	L/300.00	Cs
cm		mm	mm	
90.0	25	-0.81	6.00	7.4

Travata: 453 [1331,1332]: L=180.0 cm, Modello =Appoggiata, Crit.Prog: Acciaio_Flessione, $\delta_c = 0.0$ cm:
Verificato

Verifica spostamento nello stato finale (§4.2.4.2.1 - NTC)

x	Comb.	δ_{max}	L/250.00	Cs
cm		mm	mm	
90.0	39	1.10	7.20	6.6

Verifica spostamento elastico dovuto ai soli carichi variabili (§4.2.4.2.1 - NTC)

x	Comb.	δ_2	L/300.00	Cs
cm		mm	mm	
90.0	25	-0.81	6.00	7.4

Travata: 454 [1332,1333]: L=180.0 cm, Modello =Appoggiata, Crit.Prog: Acciaio_Flessione, $\delta_c = 0.0$ cm:
Verificato

Verifica spostamento nello stato finale (§4.2.4.2.1 - NTC)

x	Comb.	δ_{max}	L/250.00	Cs
cm		mm	mm	
90.0	39	1.10	7.20	6.6

Verifica spostamento elastico dovuto ai soli carichi variabili (§4.2.4.2.1 - NTC)

x	Comb.	δ_2	L/300.00	Cs
cm		mm	mm	
90.0	25	-0.81	6.00	7.4

Travata: 456 [1334,1335]: L=180.0 cm, Modello =Appoggiata, Crit.Prog: Acciaio_Flessione, $\delta_c = 0.0$ cm:
Verificato

Verifica spostamento nello stato finale (§4.2.4.2.1 - NTC)

x	Comb.	δ_{max}	L/250.00	Cs
cm		mm	mm	
90.0	39	1.10	7.20	6.6

Verifica spostamento elastico dovuto ai soli carichi variabili (§4.2.4.2.1 - NTC)

x	Comb.	δ_2	L/300.00	Cs
cm		mm	mm	
90.0	25	-0.81	6.00	7.4

Travata: 457 [1335,1336]: L=180.0 cm, Modello =Appoggiata, Crit.Prog: Acciaio_Flessione, $\delta c = 0.0$ cm:
Verificato

Verifica spostamento nello stato finale (§4.2.4.2.1 - NTC)

x	Comb.	δ_{max}	L/250.00	Cs
cm		mm	mm	
90.0	39	1.10	7.20	6.6

Verifica spostamento elastico dovuto ai soli carichi variabili (§4.2.4.2.1 - NTC)

x	Comb.	δ_2	L/300.00	Cs
cm		mm	mm	
90.0	25	-0.81	6.00	7.4

Travata: 458 [1336,1337]: L=180.0 cm, Modello =Appoggiata, Crit.Prog: Acciaio_Flessione, $\delta c = 0.0$ cm:
Verificato

Verifica spostamento nello stato finale (§4.2.4.2.1 - NTC)

x	Comb.	δ_{max}	L/250.00	Cs
cm		mm	mm	
90.0	39	1.10	7.20	6.6

Verifica spostamento elastico dovuto ai soli carichi variabili (§4.2.4.2.1 - NTC)

x	Comb.	δ_2	L/300.00	Cs
cm		mm	mm	
90.0	25	-0.81	6.00	7.4

Travata: 460 [1338,1339]: L=180.0 cm, Modello =Appoggiata, Crit.Prog: Acciaio_Flessione, $\delta c = 0.0$ cm:
Verificato

Verifica spostamento nello stato finale (§4.2.4.2.1 - NTC)

x	Comb.	δ_{max}	L/250.00	Cs
cm		mm	mm	
90.0	39	1.10	7.20	6.6

Verifica spostamento elastico dovuto ai soli carichi variabili (§4.2.4.2.1 - NTC)

x	Comb.	δ_2	L/300.00	Cs
cm		mm	mm	
90.0	25	-0.81	6.00	7.4

Travata: 461 [1339,1340]: L=180.0 cm, Modello =Appoggiata, Crit.Prog: Acciaio_Flessione, $\delta c = 0.0$ cm:
Verificato

Verifica spostamento nello stato finale (§4.2.4.2.1 - NTC)

x	Comb.	δ_{max}	L/250.00	Cs
cm		mm	mm	
90.0	39	1.10	7.20	6.6

Verifica spostamento elastico dovuto ai soli carichi variabili (§4.2.4.2.1 - NTC)

x	Comb.	δ_2	L/300.00	Cs
cm		mm	mm	
90.0	25	-0.81	6.00	7.4

Travata: 462 [1340,1341]: L=180.0 cm, Modello =Appoggiata, Crit.Prog: Acciaio_Flessione, $\delta c = 0.0$ cm:
Verificato

Verifica spostamento nello stato finale (§4.2.4.2.1 - NTC)

x	Comb.	δ_{max}	L/250.00	Cs
cm		mm	mm	
90.0	39	1.10	7.20	6.6

Verifica spostamento elastico dovuto ai soli carichi variabili (§4.2.4.2.1 - NTC)

x	Comb.	δ_2	L/300.00	Cs
cm		mm	mm	

x	Comb.	δ_2	L/300.00	Cs
90.0	25	-0.81	6.00	7.4

Travata: 464 [1342,1343]: L=180.0 cm, Modello =Appoggiata, Crit.Prog: Acciaio_Flessione, $\delta_c = 0.0$ cm:
Verificato

Verifica spostamento nello stato finale (§4.2.4.2.1 - NTC)

x	Comb.	δ_{max}	L/250.00	Cs
cm		mm	mm	
90.0	39	1.10	7.20	6.6

Verifica spostamento elastico dovuto ai soli carichi variabili (§4.2.4.2.1 - NTC)

x	Comb.	δ_2	L/300.00	Cs
cm		mm	mm	
90.0	25	-0.81	6.00	7.4

Travata: 465 [1343,1344]: L=180.0 cm, Modello =Appoggiata, Crit.Prog: Acciaio_Flessione, $\delta_c = 0.0$ cm:
Verificato

Verifica spostamento nello stato finale (§4.2.4.2.1 - NTC)

x	Comb.	δ_{max}	L/250.00	Cs
cm		mm	mm	
90.0	39	1.10	7.20	6.6

Verifica spostamento elastico dovuto ai soli carichi variabili (§4.2.4.2.1 - NTC)

x	Comb.	δ_2	L/300.00	Cs
cm		mm	mm	
90.0	25	-0.81	6.00	7.4

Travata: 466 [1344,1345]: L=180.0 cm, Modello =Appoggiata, Crit.Prog: Acciaio_Flessione, $\delta_c = 0.0$ cm:
Verificato

Verifica spostamento nello stato finale (§4.2.4.2.1 - NTC)

x	Comb.	δ_{max}	L/250.00	Cs
cm		mm	mm	
90.0	39	1.10	7.20	6.6

Verifica spostamento elastico dovuto ai soli carichi variabili (§4.2.4.2.1 - NTC)

x	Comb.	δ_2	L/300.00	Cs
cm		mm	mm	
90.0	25	-0.81	6.00	7.4

Travata: 468 [1346,1347]: L=180.0 cm, Modello =Appoggiata, Crit.Prog: Acciaio_Flessione, $\delta_c = 0.0$ cm:
Verificato

Verifica spostamento nello stato finale (§4.2.4.2.1 - NTC)

x	Comb.	δ_{max}	L/250.00	Cs
cm		mm	mm	
90.0	39	1.10	7.20	6.6

Verifica spostamento elastico dovuto ai soli carichi variabili (§4.2.4.2.1 - NTC)

x	Comb.	δ_2	L/300.00	Cs
cm		mm	mm	
90.0	25	-0.81	6.00	7.4

Travata: 469 [1347,1348]: L=180.0 cm, Modello =Appoggiata, Crit.Prog: Acciaio_Flessione, $\delta_c = 0.0$ cm:
Verificato

Verifica spostamento nello stato finale (§4.2.4.2.1 - NTC)

x	Comb.	δ_{max}	L/250.00	Cs
cm		mm	mm	
90.0	39	1.10	7.20	6.6

Verifica spostamento elastico dovuto ai soli carichi variabili (§4.2.4.2.1 - NTC)

x	Comb.	δ_2	L/300.00	Cs
cm		mm	mm	
90.0	25	-0.81	6.00	7.4

Travata: 470 [1348,1349]: L=180.0 cm, Modello =Appoggiata, Crit.Prog: Acciaio_Flessione, $\delta_c = 0.0$ cm:
Verificato

Verifica spostamento nello stato finale (§4.2.4.2.1 - NTC)

x	Comb.	δ_{max}	L/250.00	Cs
cm		mm	mm	
90.0	39	1.10	7.20	6.6

Verifica spostamento elastico dovuto ai soli carichi variabili (§4.2.4.2.1 - NTC)

x	Comb.	δ_2	L/300.00	Cs
cm		mm	mm	
90.0	25	-0.81	6.00	7.4

Travata: 472 [1350,1351]: L=180.0 cm, Modello =Appoggiata, Crit.Prog: Acciaio_Flessione, $\delta_c = 0.0$ cm:
Verificato

Verifica spostamento nello stato finale (§4.2.4.2.1 - NTC)

x	Comb.	δ_{max}	L/250.00	Cs
cm		mm	mm	
90.0	39	1.10	7.20	6.6

Verifica spostamento elastico dovuto ai soli carichi variabili (§4.2.4.2.1 - NTC)

x	Comb.	δ_2	L/300.00	Cs
cm		mm	mm	
90.0	25	-0.81	6.00	7.4

Travata: 473 [1351,1352]: L=180.0 cm, Modello =Appoggiata, Crit.Prog: Acciaio_Flessione, $\delta_c = 0.0$ cm:
Verificato

Verifica spostamento nello stato finale (§4.2.4.2.1 - NTC)

x	Comb.	δ_{max}	L/250.00	Cs
cm		mm	mm	
90.0	39	1.10	7.20	6.6

Verifica spostamento elastico dovuto ai soli carichi variabili (§4.2.4.2.1 - NTC)

x	Comb.	δ_2	L/300.00	Cs
cm		mm	mm	
90.0	25	-0.81	6.00	7.4

Travata: 474 [1352,1353]: L=180.0 cm, Modello =Appoggiata, Crit.Prog: Acciaio_Flessione, $\delta_c = 0.0$ cm:
Verificato

Verifica spostamento nello stato finale (§4.2.4.2.1 - NTC)

x	Comb.	δ_{max}	L/250.00	Cs
cm		mm	mm	
90.0	39	1.10	7.20	6.6

Verifica spostamento elastico dovuto ai soli carichi variabili (§4.2.4.2.1 - NTC)

x	Comb.	δ_2	L/300.00	Cs
cm		mm	mm	
90.0	25	-0.81	6.00	7.4

Travata: 476 [1354,1355]: L=180.0 cm, Modello =Appoggiata, Crit.Prog: Acciaio_Flessione, $\delta_c = 0.0$ cm:
Verificato

Verifica spostamento nello stato finale (§4.2.4.2.1 - NTC)

x	Comb.	δ_{max}	L/250.00	Cs
cm		mm	mm	

x	Comb.	δ_{max}	L/250.00	Cs
90.0	39	1.10	7.20	6.6

Verifica spostamento elastico dovuto ai soli carichi variabili (§4.2.4.2.1 - NTC)

x	Comb.	δ_2	L/300.00	Cs
cm		mm	mm	
90.0	25	-0.81	6.00	7.4

Travata: 477 [1355,1356]: L=180.0 cm, Modello =Appoggiata, Crit.Prog: Acciaio_Flessione, $\delta_c = 0.0$ cm:
Verificato

Verifica spostamento nello stato finale (§4.2.4.2.1 - NTC)

x	Comb.	δ_{max}	L/250.00	Cs
cm		mm	mm	
90.0	39	1.10	7.20	6.6

Verifica spostamento elastico dovuto ai soli carichi variabili (§4.2.4.2.1 - NTC)

x	Comb.	δ_2	L/300.00	Cs
cm		mm	mm	
90.0	25	-0.81	6.00	7.4

Travata: 478 [1356,1357]: L=180.0 cm, Modello =Appoggiata, Crit.Prog: Acciaio_Flessione, $\delta_c = 0.0$ cm:
Verificato

Verifica spostamento nello stato finale (§4.2.4.2.1 - NTC)

x	Comb.	δ_{max}	L/250.00	Cs
cm		mm	mm	
90.0	39	1.18	7.20	6.1

Verifica spostamento elastico dovuto ai soli carichi variabili (§4.2.4.2.1 - NTC)

x	Comb.	δ_2	L/300.00	Cs
cm		mm	mm	
90.0	39	0.88	6.00	6.8

Travata: 480 [1358,1359]: L=180.0 cm, Modello =Appoggiata, Crit.Prog: Acciaio_Flessione, $\delta_c = 0.0$ cm:
Verificato

Verifica spostamento nello stato finale (§4.2.4.2.1 - NTC)

x	Comb.	δ_{max}	L/250.00	Cs
cm		mm	mm	
90.0	39	1.18	7.20	6.1

Verifica spostamento elastico dovuto ai soli carichi variabili (§4.2.4.2.1 - NTC)

x	Comb.	δ_2	L/300.00	Cs
cm		mm	mm	
90.0	39	0.88	6.00	6.8

Travata: 481 [1359,1360]: L=180.0 cm, Modello =Appoggiata, Crit.Prog: Acciaio_Flessione, $\delta_c = 0.0$ cm:
Verificato

Verifica spostamento nello stato finale (§4.2.4.2.1 - NTC)

x	Comb.	δ_{max}	L/250.00	Cs
cm		mm	mm	
90.0	39	1.01	7.20	7.1

Verifica spostamento elastico dovuto ai soli carichi variabili (§4.2.4.2.1 - NTC)

x	Comb.	δ_2	L/300.00	Cs
cm		mm	mm	
90.0	25	-0.90	6.00	6.7

Travata: 482 [1360,1361]: L=180.0 cm, Modello =Appoggiata, Crit.Prog: Acciaio_Flessione, $\delta_c = 0.0$ cm:
Verificato

Verifica spostamento nello stato finale (§4.2.4.2.1 - NTC)

x	Comb.	δ_{max}	L/250.00	Cs
cm		mm	mm	
90.0	39	1.01	7.20	7.1

Verifica spostamento elastico dovuto ai soli carichi variabili (§4.2.4.2.1 - NTC)

x	Comb.	δ_2	L/300.00	Cs
cm		mm	mm	
90.0	25	-0.90	6.00	6.7

Travata: 485 [1365,1364]: L=180.0 cm, Modello =Appoggiata, Crit.Prog: Acciaio_Flessione, $\delta_c = 0.0$ cm:
Verificato

Verifica spostamento nello stato finale (§4.2.4.2.1 - NTC)

x	Comb.	δ_{max}	L/250.00	Cs
cm		mm	mm	
90.0	26	-0.34	7.20	21

Verifica spostamento elastico dovuto ai soli carichi variabili (§4.2.4.2.1 - NTC)

x	Comb.	δ_2	L/300.00	Cs
cm		mm	mm	
90.0	26	-0.32	6.00	18

Travata: 489 [1369,1368]: L=180.0 cm, Modello =Appoggiata, Crit.Prog: Acciaio_Flessione, $\delta_c = 0.0$ cm:
Verificato

Verifica spostamento nello stato finale (§4.2.4.2.1 - NTC)

x	Comb.	δ_{max}	L/250.00	Cs
cm		mm	mm	
90.0	26	-0.26	7.20	28

Verifica spostamento elastico dovuto ai soli carichi variabili (§4.2.4.2.1 - NTC)

x	Comb.	δ_2	L/300.00	Cs
cm		mm	mm	
90.0	26	-0.27	6.00	22

Travata: 493 [1373,1372]: L=180.0 cm, Modello =Appoggiata, Crit.Prog: Acciaio_Flessione, $\delta_c = 0.0$ cm:
Verificato

Verifica spostamento nello stato finale (§4.2.4.2.1 - NTC)

x	Comb.	δ_{max}	L/250.00	Cs
cm		mm	mm	
90.0	26	-0.26	7.20	28

Verifica spostamento elastico dovuto ai soli carichi variabili (§4.2.4.2.1 - NTC)

x	Comb.	δ_2	L/300.00	Cs
cm		mm	mm	
90.0	26	-0.27	6.00	22

Travata: 497 [1377,1376]: L=180.0 cm, Modello =Appoggiata, Crit.Prog: Acciaio_Flessione, $\delta_c = 0.0$ cm:
Verificato

Verifica spostamento nello stato finale (§4.2.4.2.1 - NTC)

x	Comb.	δ_{max}	L/250.00	Cs
cm		mm	mm	
90.0	26	-0.26	7.20	28

Verifica spostamento elastico dovuto ai soli carichi variabili (§4.2.4.2.1 - NTC)

x	Comb.	δ_2	L/300.00	Cs
cm		mm	mm	
90.0	26	-0.27	6.00	22

Travata: 501 [1381,1380]: L=180.0 cm, Modello =Appoggiata, Crit.Prog: Acciaio_Flessione, $\delta_c = 0.0$ cm:

Verificato

Verifica spostamento nello stato finale (§4.2.4.2.1 - NTC)

x	Comb.	δ_{max}	L/250.00	Cs
cm		mm	mm	
90.0	26	-0.26	7.20	28

Verifica spostamento elastico dovuto ai soli carichi variabili (§4.2.4.2.1 - NTC)

x	Comb.	δ_2	L/300.00	Cs
cm		mm	mm	
90.0	26	-0.27	6.00	22

Travata: 505 [1385,1384]: L=180.0 cm, Modello =Appoggiata, Crit.Prog: Acciaio_Flessione, $\delta_c = 0.0$ cm:**Verificato**

Verifica spostamento nello stato finale (§4.2.4.2.1 - NTC)

x	Comb.	δ_{max}	L/250.00	Cs
cm		mm	mm	
90.0	26	-0.26	7.20	28

Verifica spostamento elastico dovuto ai soli carichi variabili (§4.2.4.2.1 - NTC)

x	Comb.	δ_2	L/300.00	Cs
cm		mm	mm	
90.0	26	-0.27	6.00	22

Travata: 509 [1389,1388]: L=180.0 cm, Modello =Appoggiata, Crit.Prog: Acciaio_Flessione, $\delta_c = 0.0$ cm:**Verificato**

Verifica spostamento nello stato finale (§4.2.4.2.1 - NTC)

x	Comb.	δ_{max}	L/250.00	Cs
cm		mm	mm	
90.0	26	-0.26	7.20	28

Verifica spostamento elastico dovuto ai soli carichi variabili (§4.2.4.2.1 - NTC)

x	Comb.	δ_2	L/300.00	Cs
cm		mm	mm	
90.0	26	-0.27	6.00	22

Travata: 513 [1393,1392]: L=180.0 cm, Modello =Appoggiata, Crit.Prog: Acciaio_Flessione, $\delta_c = 0.0$ cm:**Verificato**

Verifica spostamento nello stato finale (§4.2.4.2.1 - NTC)

x	Comb.	δ_{max}	L/250.00	Cs
cm		mm	mm	
90.0	26	-0.26	7.20	28

Verifica spostamento elastico dovuto ai soli carichi variabili (§4.2.4.2.1 - NTC)

x	Comb.	δ_2	L/300.00	Cs
cm		mm	mm	
90.0	26	-0.27	6.00	22

Travata: 517 [1397,1396]: L=180.0 cm, Modello =Appoggiata, Crit.Prog: Acciaio_Flessione, $\delta_c = 0.0$ cm:**Verificato**

Verifica spostamento nello stato finale (§4.2.4.2.1 - NTC)

x	Comb.	δ_{max}	L/250.00	Cs
cm		mm	mm	
90.0	26	-0.26	7.20	28

Verifica spostamento elastico dovuto ai soli carichi variabili (§4.2.4.2.1 - NTC)

x	Comb.	δ_2	L/300.00	Cs
cm		mm	mm	
90.0	26	-0.27	6.00	22

Travata: 521 [1401,1400]: L=180.0 cm, Modello =Appoggiata, Crit.Prog: Acciaio_Flessione, $\delta c = 0.0$ cm:
Verificato

Verifica spostamento nello stato finale (§4.2.4.2.1 - NTC)

x	Comb.	δ_{max}	L/250.00	Cs
cm		mm	mm	
90.0	26	-0.25	7.20	28

Verifica spostamento elastico dovuto ai soli carichi variabili (§4.2.4.2.1 - NTC)

x	Comb.	δ_2	L/300.00	Cs
cm		mm	mm	
90.0	26	-0.27	6.00	23

Travata: 486 [1366,1365]: L=180.0 cm, Modello =Appoggiata, Crit.Prog: Acciaio_Flessione, $\delta c = 0.0$ cm:
Verificato

Verifica spostamento nello stato finale (§4.2.4.2.1 - NTC)

x	Comb.	δ_{max}	L/250.00	Cs
cm		mm	mm	
90.0	26	-0.25	7.20	28

Verifica spostamento elastico dovuto ai soli carichi variabili (§4.2.4.2.1 - NTC)

x	Comb.	δ_2	L/300.00	Cs
cm		mm	mm	
90.0	26	-0.26	6.00	23

Travata: 487 [1367,1366]: L=180.0 cm, Modello =Appoggiata, Crit.Prog: Acciaio_Flessione, $\delta c = 0.0$ cm:
Verificato

Verifica spostamento nello stato finale (§4.2.4.2.1 - NTC)

x	Comb.	δ_{max}	L/250.00	Cs
cm		mm	mm	
90.0	26	-0.26	7.20	28

Verifica spostamento elastico dovuto ai soli carichi variabili (§4.2.4.2.1 - NTC)

x	Comb.	δ_2	L/300.00	Cs
cm		mm	mm	
90.0	26	-0.27	6.00	22

Travata: 488 [1368,1367]: L=180.0 cm, Modello =Appoggiata, Crit.Prog: Acciaio_Flessione, $\delta c = 0.0$ cm:
Verificato

Verifica spostamento nello stato finale (§4.2.4.2.1 - NTC)

x	Comb.	δ_{max}	L/250.00	Cs
cm		mm	mm	
90.0	26	-0.26	7.20	28

Verifica spostamento elastico dovuto ai soli carichi variabili (§4.2.4.2.1 - NTC)

x	Comb.	δ_2	L/300.00	Cs
cm		mm	mm	
90.0	26	-0.27	6.00	22

Travata: 490 [1370,1369]: L=180.0 cm, Modello =Appoggiata, Crit.Prog: Acciaio_Flessione, $\delta c = 0.0$ cm:
Verificato

Verifica spostamento nello stato finale (§4.2.4.2.1 - NTC)

x	Comb.	δ_{max}	L/250.00	Cs
cm		mm	mm	
90.0	26	-0.26	7.20	28

Verifica spostamento elastico dovuto ai soli carichi variabili (§4.2.4.2.1 - NTC)

x	Comb.	δ_2	L/300.00	Cs
cm		mm	mm	
90.0	26	-0.27	6.00	22

Travata: 491 [1371,1370]: L=180.0 cm, Modello =Appoggiata, Crit.Prog: Acciaio_Flessione, $\delta_c = 0.0$ cm:
Verificato

Verifica spostamento nello stato finale (§4.2.4.2.1 - NTC)

x	Comb.	δ_{max}	L/250.00	Cs
cm		mm	mm	
90.0	26	-0.26	7.20	28

Verifica spostamento elastico dovuto ai soli carichi variabili (§4.2.4.2.1 - NTC)

x	Comb.	δ_2	L/300.00	Cs
cm		mm	mm	
90.0	26	-0.27	6.00	22

Travata: 492 [1372,1371]: L=180.0 cm, Modello =Appoggiata, Crit.Prog: Acciaio_Flessione, $\delta_c = 0.0$ cm:
Verificato

Verifica spostamento nello stato finale (§4.2.4.2.1 - NTC)

x	Comb.	δ_{max}	L/250.00	Cs
cm		mm	mm	
90.0	26	-0.26	7.20	28

Verifica spostamento elastico dovuto ai soli carichi variabili (§4.2.4.2.1 - NTC)

x	Comb.	δ_2	L/300.00	Cs
cm		mm	mm	
90.0	26	-0.27	6.00	22

Travata: 494 [1374,1373]: L=180.0 cm, Modello =Appoggiata, Crit.Prog: Acciaio_Flessione, $\delta_c = 0.0$ cm:
Verificato

Verifica spostamento nello stato finale (§4.2.4.2.1 - NTC)

x	Comb.	δ_{max}	L/250.00	Cs
cm		mm	mm	
90.0	26	-0.26	7.20	28

Verifica spostamento elastico dovuto ai soli carichi variabili (§4.2.4.2.1 - NTC)

x	Comb.	δ_2	L/300.00	Cs
cm		mm	mm	
90.0	26	-0.27	6.00	22

Travata: 495 [1375,1374]: L=180.0 cm, Modello =Appoggiata, Crit.Prog: Acciaio_Flessione, $\delta_c = 0.0$ cm:
Verificato

Verifica spostamento nello stato finale (§4.2.4.2.1 - NTC)

x	Comb.	δ_{max}	L/250.00	Cs
cm		mm	mm	
90.0	26	-0.26	7.20	28

Verifica spostamento elastico dovuto ai soli carichi variabili (§4.2.4.2.1 - NTC)

x	Comb.	δ_2	L/300.00	Cs
cm		mm	mm	
90.0	26	-0.27	6.00	22

Travata: 496 [1376,1375]: L=180.0 cm, Modello =Appoggiata, Crit.Prog: Acciaio_Flessione, $\delta_c = 0.0$ cm:
Verificato

Verifica spostamento nello stato finale (§4.2.4.2.1 - NTC)

x	Comb.	δ_{max}	L/250.00	Cs
cm		mm	mm	
90.0	26	-0.26	7.20	28

Verifica spostamento elastico dovuto ai soli carichi variabili (§4.2.4.2.1 - NTC)

x	Comb.	δ_2	L/300.00	Cs
cm		mm	mm	
90.0	26	-0.27	6.00	22

Travata: 498 [1378,1377]: L=180.0 cm, Modello =Appoggiata, Crit.Prog: Acciaio_Flessione, $\delta_c = 0.0$ cm:
Verificato

Verifica spostamento nello stato finale (§4.2.4.2.1 - NTC)

x	Comb.	δ_{max}	L/250.00	Cs
cm		mm	mm	
90.0	26	-0.26	7.20	28

Verifica spostamento elastico dovuto ai soli carichi variabili (§4.2.4.2.1 - NTC)

x	Comb.	δ_2	L/300.00	Cs
cm		mm	mm	
90.0	26	-0.27	6.00	22

Travata: 499 [1379,1378]: L=180.0 cm, Modello =Appoggiata, Crit.Prog: Acciaio_Flessione, $\delta_c = 0.0$ cm:
Verificato

Verifica spostamento nello stato finale (§4.2.4.2.1 - NTC)

x	Comb.	δ_{max}	L/250.00	Cs
cm		mm	mm	
90.0	26	-0.26	7.20	28

Verifica spostamento elastico dovuto ai soli carichi variabili (§4.2.4.2.1 - NTC)

x	Comb.	δ_2	L/300.00	Cs
cm		mm	mm	
90.0	26	-0.27	6.00	22

Travata: 500 [1380,1379]: L=180.0 cm, Modello =Appoggiata, Crit.Prog: Acciaio_Flessione, $\delta_c = 0.0$ cm:
Verificato

Verifica spostamento nello stato finale (§4.2.4.2.1 - NTC)

x	Comb.	δ_{max}	L/250.00	Cs
cm		mm	mm	
90.0	26	-0.26	7.20	28

Verifica spostamento elastico dovuto ai soli carichi variabili (§4.2.4.2.1 - NTC)

x	Comb.	δ_2	L/300.00	Cs
cm		mm	mm	
90.0	26	-0.27	6.00	22

Travata: 502 [1382,1381]: L=180.0 cm, Modello =Appoggiata, Crit.Prog: Acciaio_Flessione, $\delta_c = 0.0$ cm:
Verificato

Verifica spostamento nello stato finale (§4.2.4.2.1 - NTC)

x	Comb.	δ_{max}	L/250.00	Cs
cm		mm	mm	
90.0	26	-0.26	7.20	28

Verifica spostamento elastico dovuto ai soli carichi variabili (§4.2.4.2.1 - NTC)

x	Comb.	δ_2	L/300.00	Cs
cm		mm	mm	
90.0	26	-0.27	6.00	22

Travata: 503 [1383,1382]: L=180.0 cm, Modello =Appoggiata, Crit.Prog: Acciaio_Flessione, $\delta_c = 0.0$ cm:
Verificato

Verifica spostamento nello stato finale (§4.2.4.2.1 - NTC)

x	Comb.	δ_{max}	L/250.00	Cs
cm		mm	mm	
90.0	26	-0.26	7.20	28

Verifica spostamento elastico dovuto ai soli carichi variabili (§4.2.4.2.1 - NTC)

x	Comb.	δ_2	L/300.00	Cs
cm		mm	mm	
90.0	26	-0.27	6.00	22

Travata: 504 [1384,1383]: L=180.0 cm, Modello =Appoggiata, Crit.Prog: Acciaio_Flessione, $\delta_c = 0.0$ cm:
Verificato

Verifica spostamento nello stato finale (§4.2.4.2.1 - NTC)

x	Comb.	δ_{max}	L/250.00	Cs
cm		mm	mm	
90.0	26	-0.26	7.20	28

Verifica spostamento elastico dovuto ai soli carichi variabili (§4.2.4.2.1 - NTC)

x	Comb.	δ_2	L/300.00	Cs
cm		mm	mm	
90.0	26	-0.27	6.00	22

Travata: 506 [1386,1385]: L=180.0 cm, Modello =Appoggiata, Crit.Prog: Acciaio_Flessione, $\delta_c = 0.0$ cm:
Verificato

Verifica spostamento nello stato finale (§4.2.4.2.1 - NTC)

x	Comb.	δ_{max}	L/250.00	Cs
cm		mm	mm	
90.0	26	-0.26	7.20	28

Verifica spostamento elastico dovuto ai soli carichi variabili (§4.2.4.2.1 - NTC)

x	Comb.	δ_2	L/300.00	Cs
cm		mm	mm	
90.0	26	-0.27	6.00	22

Travata: 507 [1387,1386]: L=180.0 cm, Modello =Appoggiata, Crit.Prog: Acciaio_Flessione, $\delta_c = 0.0$ cm:
Verificato

Verifica spostamento nello stato finale (§4.2.4.2.1 - NTC)

x	Comb.	δ_{max}	L/250.00	Cs
cm		mm	mm	
90.0	26	-0.26	7.20	28

Verifica spostamento elastico dovuto ai soli carichi variabili (§4.2.4.2.1 - NTC)

x	Comb.	δ_2	L/300.00	Cs
cm		mm	mm	
90.0	26	-0.27	6.00	22

Travata: 508 [1388,1387]: L=180.0 cm, Modello =Appoggiata, Crit.Prog: Acciaio_Flessione, $\delta_c = 0.0$ cm:
Verificato

Verifica spostamento nello stato finale (§4.2.4.2.1 - NTC)

x	Comb.	δ_{max}	L/250.00	Cs
cm		mm	mm	
90.0	26	-0.26	7.20	28

Verifica spostamento elastico dovuto ai soli carichi variabili (§4.2.4.2.1 - NTC)

x	Comb.	δ_2	L/300.00	Cs
cm		mm	mm	
90.0	26	-0.27	6.00	22

Travata: 510 [1390,1389]: L=180.0 cm, Modello =Appoggiata, Crit.Prog: Acciaio_Flessione, $\delta_c = 0.0$ cm:
Verificato

Verifica spostamento nello stato finale (§4.2.4.2.1 - NTC)

x	Comb.	δ_{max}	L/250.00	Cs
cm		mm	mm	
90.0	26	-0.26	7.20	28

Verifica spostamento elastico dovuto ai soli carichi variabili (§4.2.4.2.1 - NTC)

x	Comb.	δ_2	L/300.00	Cs
cm		mm	mm	
90.0	26	-0.27	6.00	22

Travata: 511 [1391,1390]: L=180.0 cm, Modello =Appoggiata, Crit.Prog: Acciaio_Flessione, $\delta_c = 0.0$ cm:
Verificato

Verifica spostamento nello stato finale (§4.2.4.2.1 - NTC)

x	Comb.	δ_{max}	L/250.00	Cs
cm		mm	mm	
90.0	26	-0.26	7.20	28

Verifica spostamento elastico dovuto ai soli carichi variabili (§4.2.4.2.1 - NTC)

x	Comb.	δ_2	L/300.00	Cs
cm		mm	mm	
90.0	26	-0.27	6.00	22

Travata: 512 [1392,1391]: L=180.0 cm, Modello =Appoggiata, Crit.Prog: Acciaio_Flessione, $\delta_c = 0.0$ cm:
Verificato

Verifica spostamento nello stato finale (§4.2.4.2.1 - NTC)

x	Comb.	δ_{max}	L/250.00	Cs
cm		mm	mm	
90.0	26	-0.26	7.20	28

Verifica spostamento elastico dovuto ai soli carichi variabili (§4.2.4.2.1 - NTC)

x	Comb.	δ_2	L/300.00	Cs
cm		mm	mm	
90.0	26	-0.27	6.00	22

Travata: 514 [1394,1393]: L=180.0 cm, Modello =Appoggiata, Crit.Prog: Acciaio_Flessione, $\delta_c = 0.0$ cm:
Verificato

Verifica spostamento nello stato finale (§4.2.4.2.1 - NTC)

x	Comb.	δ_{max}	L/250.00	Cs
cm		mm	mm	
90.0	26	-0.26	7.20	28

Verifica spostamento elastico dovuto ai soli carichi variabili (§4.2.4.2.1 - NTC)

x	Comb.	δ_2	L/300.00	Cs
cm		mm	mm	
90.0	26	-0.27	6.00	22

Travata: 515 [1395,1394]: L=180.0 cm, Modello =Appoggiata, Crit.Prog: Acciaio_Flessione, $\delta_c = 0.0$ cm:
Verificato

Verifica spostamento nello stato finale (§4.2.4.2.1 - NTC)

x	Comb.	δ_{max}	L/250.00	Cs
cm		mm	mm	
90.0	26	-0.26	7.20	28

Verifica spostamento elastico dovuto ai soli carichi variabili (§4.2.4.2.1 - NTC)

x	Comb.	δ_2	L/300.00	Cs
cm		mm	mm	
90.0	26	-0.27	6.00	22

Travata: 516 [1396,1395]: L=180.0 cm, Modello =Appoggiata, Crit.Prog: Acciaio_Flessione, $\delta c = 0.0$ cm:
Verificato

Verifica spostamento nello stato finale (§4.2.4.2.1 - NTC)

x	Comb.	δ_{max}	L/250.00	Cs
cm		mm	mm	
90.0	26	-0.26	7.20	28

Verifica spostamento elastico dovuto ai soli carichi variabili (§4.2.4.2.1 - NTC)

x	Comb.	δ_2	L/300.00	Cs
cm		mm	mm	
90.0	26	-0.27	6.00	22

Travata: 518 [1398,1397]: L=180.0 cm, Modello =Appoggiata, Crit.Prog: Acciaio_Flessione, $\delta c = 0.0$ cm:
Verificato

Verifica spostamento nello stato finale (§4.2.4.2.1 - NTC)

x	Comb.	δ_{max}	L/250.00	Cs
cm		mm	mm	
90.0	26	-0.26	7.20	28

Verifica spostamento elastico dovuto ai soli carichi variabili (§4.2.4.2.1 - NTC)

x	Comb.	δ_2	L/300.00	Cs
cm		mm	mm	
90.0	26	-0.27	6.00	22

Travata: 519 [1399,1398]: L=180.0 cm, Modello =Appoggiata, Crit.Prog: Acciaio_Flessione, $\delta c = 0.0$ cm:
Verificato

Verifica spostamento nello stato finale (§4.2.4.2.1 - NTC)

x	Comb.	δ_{max}	L/250.00	Cs
cm		mm	mm	
90.0	26	-0.26	7.20	28

Verifica spostamento elastico dovuto ai soli carichi variabili (§4.2.4.2.1 - NTC)

x	Comb.	δ_2	L/300.00	Cs
cm		mm	mm	
90.0	26	-0.27	6.00	22

Travata: 520 [1400,1399]: L=180.0 cm, Modello =Appoggiata, Crit.Prog: Acciaio_Flessione, $\delta c = 0.0$ cm:
Verificato

Verifica spostamento nello stato finale (§4.2.4.2.1 - NTC)

x	Comb.	δ_{max}	L/250.00	Cs
cm		mm	mm	
90.0	26	-0.25	7.20	28

Verifica spostamento elastico dovuto ai soli carichi variabili (§4.2.4.2.1 - NTC)

x	Comb.	δ_2	L/300.00	Cs
cm		mm	mm	
90.0	26	-0.27	6.00	23

Travata: 522 [1402,1401]: L=180.0 cm, Modello =Appoggiata, Crit.Prog: Acciaio_Flessione, $\delta c = 0.0$ cm:
Verificato

Verifica spostamento nello stato finale (§4.2.4.2.1 - NTC)

x	Comb.	δ_{max}	L/250.00	Cs
cm		mm	mm	
90.0	26	-0.25	7.20	28

Verifica spostamento elastico dovuto ai soli carichi variabili (§4.2.4.2.1 - NTC)

x	Comb.	δ_2	L/300.00	Cs
cm		mm	mm	

x	Comb.	δ_2	L/300.00	Cs
90.0	26	-0.27	6.00	23

Travata: 523 [1403,1402]: L=180.0 cm, Modello =Appoggiata, Crit.Prog: Acciaio_Flessione, $\delta_c = 0.0$ cm:
Verificato

Verifica spostamento nello stato finale (§4.2.4.2.1 - NTC)

x	Comb.	δ_{max}	L/250.00	Cs
cm		mm	mm	
90.0	26	-0.26	7.20	28

Verifica spostamento elastico dovuto ai soli carichi variabili (§4.2.4.2.1 - NTC)

x	Comb.	δ_2	L/300.00	Cs
cm		mm	mm	
90.0	26	-0.27	6.00	22

Travata: 524 [1404,1403]: L=180.0 cm, Modello =Appoggiata, Crit.Prog: Acciaio_Flessione, $\delta_c = 0.0$ cm:
Verificato

Verifica spostamento nello stato finale (§4.2.4.2.1 - NTC)

x	Comb.	δ_{max}	L/250.00	Cs
cm		mm	mm	
90.0	26	-0.34	7.20	21

Verifica spostamento elastico dovuto ai soli carichi variabili (§4.2.4.2.1 - NTC)

x	Comb.	δ_2	L/300.00	Cs
cm		mm	mm	
90.0	26	-0.33	6.00	18

Travata: 359 [1194,1195]: L=180.0 cm, Modello =Appoggiata, Crit.Prog: Acciaio_Flessione, $\delta_c = 0.0$ cm:
Verificato

Verifica spostamento nello stato finale (§4.2.4.2.1 - NTC)

x	Comb.	δ_{max}	L/250.00	Cs
cm		mm	mm	
90.0	39	1.29	7.20	5.6

Verifica spostamento elastico dovuto ai soli carichi variabili (§4.2.4.2.1 - NTC)

x	Comb.	δ_2	L/300.00	Cs
cm		mm	mm	
90.0	39	0.94	6.00	6.4

Travata: 363 [1198,1199]: L=180.0 cm, Modello =Appoggiata, Crit.Prog: Acciaio_Flessione, $\delta_c = 0.0$ cm:
Verificato

Verifica spostamento nello stato finale (§4.2.4.2.1 - NTC)

x	Comb.	δ_{max}	L/250.00	Cs
cm		mm	mm	
90.0	39	1.29	7.20	5.6

Verifica spostamento elastico dovuto ai soli carichi variabili (§4.2.4.2.1 - NTC)

x	Comb.	δ_2	L/300.00	Cs
cm		mm	mm	
90.0	39	0.94	6.00	6.4

Travata: 367 [1202,1203]: L=180.0 cm, Modello =Appoggiata, Crit.Prog: Acciaio_Flessione, $\delta_c = 0.0$ cm:
Verificato

Verifica spostamento nello stato finale (§4.2.4.2.1 - NTC)

x	Comb.	δ_{max}	L/250.00	Cs
cm		mm	mm	
90.0	39	1.29	7.20	5.6

Verifica spostamento elastico dovuto ai soli carichi variabili (§4.2.4.2.1 - NTC)

x	Comb.	δ_2	L/300.00	Cs
cm		mm	mm	
90.0	39	0.94	6.00	6.4

Travata: 371 [1206,1207]: L=180.0 cm, Modello =Appoggiata, Crit.Prog: Acciaio_Flessione, $\delta_c = 0.0$ cm:
Verificato

Verifica spostamento nello stato finale (§4.2.4.2.1 - NTC)

x	Comb.	δ_{max}	L/250.00	Cs
cm		mm	mm	
90.0	39	1.29	7.20	5.6

Verifica spostamento elastico dovuto ai soli carichi variabili (§4.2.4.2.1 - NTC)

x	Comb.	δ_2	L/300.00	Cs
cm		mm	mm	
90.0	39	0.94	6.00	6.4

Travata: 375 [1210,1211]: L=180.0 cm, Modello =Appoggiata, Crit.Prog: Acciaio_Flessione, $\delta_c = 0.0$ cm:
Verificato

Verifica spostamento nello stato finale (§4.2.4.2.1 - NTC)

x	Comb.	δ_{max}	L/250.00	Cs
cm		mm	mm	
90.0	39	1.29	7.20	5.6

Verifica spostamento elastico dovuto ai soli carichi variabili (§4.2.4.2.1 - NTC)

x	Comb.	δ_2	L/300.00	Cs
cm		mm	mm	
90.0	39	0.94	6.00	6.4

Travata: 379 [1214,1215]: L=180.0 cm, Modello =Appoggiata, Crit.Prog: Acciaio_Flessione, $\delta_c = 0.0$ cm:
Verificato

Verifica spostamento nello stato finale (§4.2.4.2.1 - NTC)

x	Comb.	δ_{max}	L/250.00	Cs
cm		mm	mm	
90.0	39	1.29	7.20	5.6

Verifica spostamento elastico dovuto ai soli carichi variabili (§4.2.4.2.1 - NTC)

x	Comb.	δ_2	L/300.00	Cs
cm		mm	mm	
90.0	39	0.94	6.00	6.4

Travata: 383 [1218,1219]: L=180.0 cm, Modello =Appoggiata, Crit.Prog: Acciaio_Flessione, $\delta_c = 0.0$ cm:
Verificato

Verifica spostamento nello stato finale (§4.2.4.2.1 - NTC)

x	Comb.	δ_{max}	L/250.00	Cs
cm		mm	mm	
90.0	39	1.29	7.20	5.6

Verifica spostamento elastico dovuto ai soli carichi variabili (§4.2.4.2.1 - NTC)

x	Comb.	δ_2	L/300.00	Cs
cm		mm	mm	
90.0	39	0.94	6.00	6.4

Travata: 387 [1222,1223]: L=180.0 cm, Modello =Appoggiata, Crit.Prog: Acciaio_Flessione, $\delta_c = 0.0$ cm:
Verificato

Verifica spostamento nello stato finale (§4.2.4.2.1 - NTC)

x	Comb.	δ_{max}	L/250.00	Cs
cm		mm	mm	

x	Comb.	δ_{max}	L/250.00	Cs
90.0	39	1.29	7.20	5.6

Verifica spostamento elastico dovuto ai soli carichi variabili (§4.2.4.2.1 - NTC)

x	Comb.	δ_2	L/300.00	Cs
cm		mm	mm	
90.0	39	0.94	6.00	6.4

Travata: 391 [1226,1227]: L=180.0 cm, Modello =Appoggiata, Crit.Prog: Acciaio_Flessione, $\delta_c = 0.0$ cm:
Verificato

Verifica spostamento nello stato finale (§4.2.4.2.1 - NTC)

x	Comb.	δ_{max}	L/250.00	Cs
cm		mm	mm	
90.0	39	1.29	7.20	5.6

Verifica spostamento elastico dovuto ai soli carichi variabili (§4.2.4.2.1 - NTC)

x	Comb.	δ_2	L/300.00	Cs
cm		mm	mm	
90.0	39	0.94	6.00	6.4

Travata: 395 [1230,1231]: L=180.0 cm, Modello =Appoggiata, Crit.Prog: Acciaio_Flessione, $\delta_c = 0.0$ cm:
Verificato

Verifica spostamento nello stato finale (§4.2.4.2.1 - NTC)

x	Comb.	δ_{max}	L/250.00	Cs
cm		mm	mm	
90.0	39	1.29	7.20	5.6

Verifica spostamento elastico dovuto ai soli carichi variabili (§4.2.4.2.1 - NTC)

x	Comb.	δ_2	L/300.00	Cs
cm		mm	mm	
90.0	39	0.94	6.00	6.4

Travata: 360 [1195,1196]: L=180.0 cm, Modello =Appoggiata, Crit.Prog: Acciaio_Flessione, $\delta_c = 0.0$ cm:
Verificato

Verifica spostamento nello stato finale (§4.2.4.2.1 - NTC)

x	Comb.	δ_{max}	L/250.00	Cs
cm		mm	mm	
90.0	39	1.29	7.20	5.6

Verifica spostamento elastico dovuto ai soli carichi variabili (§4.2.4.2.1 - NTC)

x	Comb.	δ_2	L/300.00	Cs
cm		mm	mm	
90.0	39	0.94	6.00	6.4

Travata: 361 [1196,1197]: L=180.0 cm, Modello =Appoggiata, Crit.Prog: Acciaio_Flessione, $\delta_c = 0.0$ cm:
Verificato

Verifica spostamento nello stato finale (§4.2.4.2.1 - NTC)

x	Comb.	δ_{max}	L/250.00	Cs
cm		mm	mm	
90.0	39	1.29	7.20	5.6

Verifica spostamento elastico dovuto ai soli carichi variabili (§4.2.4.2.1 - NTC)

x	Comb.	δ_2	L/300.00	Cs
cm		mm	mm	
90.0	39	0.94	6.00	6.4

Travata: 362 [1197,1198]: L=180.0 cm, Modello =Appoggiata, Crit.Prog: Acciaio_Flessione, $\delta_c = 0.0$ cm:
Verificato

Verifica spostamento nello stato finale (§4.2.4.2.1 - NTC)

x	Comb.	δ_{max}	L/250.00	Cs
cm		mm	mm	
90.0	39	1.29	7.20	5.6

Verifica spostamento elastico dovuto ai soli carichi variabili (§4.2.4.2.1 - NTC)

x	Comb.	δ_2	L/300.00	Cs
cm		mm	mm	
90.0	39	0.94	6.00	6.4

Travata: 364 [1199,1200]: L=180.0 cm, Modello =Appoggiata, Crit.Prog: Acciaio_Flessione, $\delta_c = 0.0$ cm:
Verificato

Verifica spostamento nello stato finale (§4.2.4.2.1 - NTC)

x	Comb.	δ_{max}	L/250.00	Cs
cm		mm	mm	
90.0	39	1.29	7.20	5.6

Verifica spostamento elastico dovuto ai soli carichi variabili (§4.2.4.2.1 - NTC)

x	Comb.	δ_2	L/300.00	Cs
cm		mm	mm	
90.0	39	0.94	6.00	6.4

Travata: 365 [1200,1201]: L=180.0 cm, Modello =Appoggiata, Crit.Prog: Acciaio_Flessione, $\delta_c = 0.0$ cm:
Verificato

Verifica spostamento nello stato finale (§4.2.4.2.1 - NTC)

x	Comb.	δ_{max}	L/250.00	Cs
cm		mm	mm	
90.0	39	1.29	7.20	5.6

Verifica spostamento elastico dovuto ai soli carichi variabili (§4.2.4.2.1 - NTC)

x	Comb.	δ_2	L/300.00	Cs
cm		mm	mm	
90.0	39	0.94	6.00	6.4

Travata: 366 [1201,1202]: L=180.0 cm, Modello =Appoggiata, Crit.Prog: Acciaio_Flessione, $\delta_c = 0.0$ cm:
Verificato

Verifica spostamento nello stato finale (§4.2.4.2.1 - NTC)

x	Comb.	δ_{max}	L/250.00	Cs
cm		mm	mm	
90.0	39	1.29	7.20	5.6

Verifica spostamento elastico dovuto ai soli carichi variabili (§4.2.4.2.1 - NTC)

x	Comb.	δ_2	L/300.00	Cs
cm		mm	mm	
90.0	39	0.94	6.00	6.4

Travata: 368 [1203,1204]: L=180.0 cm, Modello =Appoggiata, Crit.Prog: Acciaio_Flessione, $\delta_c = 0.0$ cm:
Verificato

Verifica spostamento nello stato finale (§4.2.4.2.1 - NTC)

x	Comb.	δ_{max}	L/250.00	Cs
cm		mm	mm	
90.0	39	1.29	7.20	5.6

Verifica spostamento elastico dovuto ai soli carichi variabili (§4.2.4.2.1 - NTC)

x	Comb.	δ_2	L/300.00	Cs
cm		mm	mm	
90.0	39	0.94	6.00	6.4

Travata: 369 [1204,1205]: L=180.0 cm, Modello =Appoggiata, Crit.Prog: Acciaio_Flessione, $\delta_c = 0.0$ cm:

Verificato

Verifica spostamento nello stato finale (§4.2.4.2.1 - NTC)

x	Comb.	δ_{max}	L/250.00	Cs
cm		mm	mm	
90.0	39	1.29	7.20	5.6

Verifica spostamento elastico dovuto ai soli carichi variabili (§4.2.4.2.1 - NTC)

x	Comb.	δ_2	L/300.00	Cs
cm		mm	mm	
90.0	39	0.94	6.00	6.4

Travata: 370 [1205,1206]: L=180.0 cm, Modello =Appoggiata, Crit.Prog: Acciaio_Flessione, $\delta_c = 0.0$ cm:
Verificato

Verifica spostamento nello stato finale (§4.2.4.2.1 - NTC)

x	Comb.	δ_{max}	L/250.00	Cs
cm		mm	mm	
90.0	39	1.29	7.20	5.6

Verifica spostamento elastico dovuto ai soli carichi variabili (§4.2.4.2.1 - NTC)

x	Comb.	δ_2	L/300.00	Cs
cm		mm	mm	
90.0	39	0.94	6.00	6.4

Travata: 372 [1207,1208]: L=180.0 cm, Modello =Appoggiata, Crit.Prog: Acciaio_Flessione, $\delta_c = 0.0$ cm:
Verificato

Verifica spostamento nello stato finale (§4.2.4.2.1 - NTC)

x	Comb.	δ_{max}	L/250.00	Cs
cm		mm	mm	
90.0	39	1.29	7.20	5.6

Verifica spostamento elastico dovuto ai soli carichi variabili (§4.2.4.2.1 - NTC)

x	Comb.	δ_2	L/300.00	Cs
cm		mm	mm	
90.0	39	0.94	6.00	6.4

Travata: 373 [1208,1209]: L=180.0 cm, Modello =Appoggiata, Crit.Prog: Acciaio_Flessione, $\delta_c = 0.0$ cm:
Verificato

Verifica spostamento nello stato finale (§4.2.4.2.1 - NTC)

x	Comb.	δ_{max}	L/250.00	Cs
cm		mm	mm	
90.0	39	1.29	7.20	5.6

Verifica spostamento elastico dovuto ai soli carichi variabili (§4.2.4.2.1 - NTC)

x	Comb.	δ_2	L/300.00	Cs
cm		mm	mm	
90.0	39	0.94	6.00	6.4

Travata: 374 [1209,1210]: L=180.0 cm, Modello =Appoggiata, Crit.Prog: Acciaio_Flessione, $\delta_c = 0.0$ cm:
Verificato

Verifica spostamento nello stato finale (§4.2.4.2.1 - NTC)

x	Comb.	δ_{max}	L/250.00	Cs
cm		mm	mm	
90.0	39	1.29	7.20	5.6

Verifica spostamento elastico dovuto ai soli carichi variabili (§4.2.4.2.1 - NTC)

x	Comb.	δ_2	L/300.00	Cs
cm		mm	mm	
90.0	39	0.94	6.00	6.4

Travata: 376 [1211,1212]: L=180.0 cm, Modello =Appoggiata, Crit.Prog: Acciaio_Flessione, $\delta c = 0.0$ cm:
Verificato

Verifica spostamento nello stato finale (§4.2.4.2.1 - NTC)

x	Comb.	δ_{max}	L/250.00	Cs
cm		mm	mm	
90.0	39	1.29	7.20	5.6

Verifica spostamento elastico dovuto ai soli carichi variabili (§4.2.4.2.1 - NTC)

x	Comb.	δ_2	L/300.00	Cs
cm		mm	mm	
90.0	39	0.94	6.00	6.4

Travata: 377 [1212,1213]: L=180.0 cm, Modello =Appoggiata, Crit.Prog: Acciaio_Flessione, $\delta c = 0.0$ cm:
Verificato

Verifica spostamento nello stato finale (§4.2.4.2.1 - NTC)

x	Comb.	δ_{max}	L/250.00	Cs
cm		mm	mm	
90.0	39	1.29	7.20	5.6

Verifica spostamento elastico dovuto ai soli carichi variabili (§4.2.4.2.1 - NTC)

x	Comb.	δ_2	L/300.00	Cs
cm		mm	mm	
90.0	39	0.94	6.00	6.4

Travata: 378 [1213,1214]: L=180.0 cm, Modello =Appoggiata, Crit.Prog: Acciaio_Flessione, $\delta c = 0.0$ cm:
Verificato

Verifica spostamento nello stato finale (§4.2.4.2.1 - NTC)

x	Comb.	δ_{max}	L/250.00	Cs
cm		mm	mm	
90.0	39	1.29	7.20	5.6

Verifica spostamento elastico dovuto ai soli carichi variabili (§4.2.4.2.1 - NTC)

x	Comb.	δ_2	L/300.00	Cs
cm		mm	mm	
90.0	39	0.94	6.00	6.4

Travata: 380 [1215,1216]: L=180.0 cm, Modello =Appoggiata, Crit.Prog: Acciaio_Flessione, $\delta c = 0.0$ cm:
Verificato

Verifica spostamento nello stato finale (§4.2.4.2.1 - NTC)

x	Comb.	δ_{max}	L/250.00	Cs
cm		mm	mm	
90.0	39	1.29	7.20	5.6

Verifica spostamento elastico dovuto ai soli carichi variabili (§4.2.4.2.1 - NTC)

x	Comb.	δ_2	L/300.00	Cs
cm		mm	mm	
90.0	39	0.94	6.00	6.4

Travata: 381 [1216,1217]: L=180.0 cm, Modello =Appoggiata, Crit.Prog: Acciaio_Flessione, $\delta c = 0.0$ cm:
Verificato

Verifica spostamento nello stato finale (§4.2.4.2.1 - NTC)

x	Comb.	δ_{max}	L/250.00	Cs
cm		mm	mm	
90.0	39	1.29	7.20	5.6

Verifica spostamento elastico dovuto ai soli carichi variabili (§4.2.4.2.1 - NTC)

x	Comb.	δ_2	L/300.00	Cs
cm		mm	mm	
90.0	39	0.94	6.00	6.4

Travata: 382 [1217,1218]: L=180.0 cm, Modello =Appoggiata, Crit.Prog: Acciaio_Flessione, $\delta_c = 0.0$ cm:
Verificato

Verifica spostamento nello stato finale (§4.2.4.2.1 - NTC)

x	Comb.	δ_{max}	L/250.00	Cs
cm		mm	mm	
90.0	39	1.29	7.20	5.6

Verifica spostamento elastico dovuto ai soli carichi variabili (§4.2.4.2.1 - NTC)

x	Comb.	δ_2	L/300.00	Cs
cm		mm	mm	
90.0	39	0.94	6.00	6.4

Travata: 384 [1219,1220]: L=180.0 cm, Modello =Appoggiata, Crit.Prog: Acciaio_Flessione, $\delta_c = 0.0$ cm:
Verificato

Verifica spostamento nello stato finale (§4.2.4.2.1 - NTC)

x	Comb.	δ_{max}	L/250.00	Cs
cm		mm	mm	
90.0	39	1.29	7.20	5.6

Verifica spostamento elastico dovuto ai soli carichi variabili (§4.2.4.2.1 - NTC)

x	Comb.	δ_2	L/300.00	Cs
cm		mm	mm	
90.0	39	0.94	6.00	6.4

Travata: 385 [1220,1221]: L=180.0 cm, Modello =Appoggiata, Crit.Prog: Acciaio_Flessione, $\delta_c = 0.0$ cm:
Verificato

Verifica spostamento nello stato finale (§4.2.4.2.1 - NTC)

x	Comb.	δ_{max}	L/250.00	Cs
cm		mm	mm	
90.0	39	1.29	7.20	5.6

Verifica spostamento elastico dovuto ai soli carichi variabili (§4.2.4.2.1 - NTC)

x	Comb.	δ_2	L/300.00	Cs
cm		mm	mm	
90.0	39	0.94	6.00	6.4

Travata: 386 [1221,1222]: L=180.0 cm, Modello =Appoggiata, Crit.Prog: Acciaio_Flessione, $\delta_c = 0.0$ cm:
Verificato

Verifica spostamento nello stato finale (§4.2.4.2.1 - NTC)

x	Comb.	δ_{max}	L/250.00	Cs
cm		mm	mm	
90.0	39	1.29	7.20	5.6

Verifica spostamento elastico dovuto ai soli carichi variabili (§4.2.4.2.1 - NTC)

x	Comb.	δ_2	L/300.00	Cs
cm		mm	mm	
90.0	39	0.94	6.00	6.4

Travata: 388 [1223,1224]: L=180.0 cm, Modello =Appoggiata, Crit.Prog: Acciaio_Flessione, $\delta_c = 0.0$ cm:
Verificato

Verifica spostamento nello stato finale (§4.2.4.2.1 - NTC)

x	Comb.	δ_{max}	L/250.00	Cs
cm		mm	mm	
90.0	39	1.29	7.20	5.6

Verifica spostamento elastico dovuto ai soli carichi variabili (§4.2.4.2.1 - NTC)

x	Comb.	δ_2	L/300.00	Cs
cm		mm	mm	
90.0	39	0.94	6.00	6.4

Travata: 389 [1224,1225]: L=180.0 cm, Modello =Appoggiata, Crit.Prog: Acciaio_Flessione, $\delta_c = 0.0$ cm:
Verificato

Verifica spostamento nello stato finale (§4.2.4.2.1 - NTC)

x	Comb.	δ_{max}	L/250.00	Cs
cm		mm	mm	
90.0	39	1.29	7.20	5.6

Verifica spostamento elastico dovuto ai soli carichi variabili (§4.2.4.2.1 - NTC)

x	Comb.	δ_2	L/300.00	Cs
cm		mm	mm	
90.0	39	0.94	6.00	6.4

Travata: 390 [1225,1226]: L=180.0 cm, Modello =Appoggiata, Crit.Prog: Acciaio_Flessione, $\delta_c = 0.0$ cm:
Verificato

Verifica spostamento nello stato finale (§4.2.4.2.1 - NTC)

x	Comb.	δ_{max}	L/250.00	Cs
cm		mm	mm	
90.0	39	1.29	7.20	5.6

Verifica spostamento elastico dovuto ai soli carichi variabili (§4.2.4.2.1 - NTC)

x	Comb.	δ_2	L/300.00	Cs
cm		mm	mm	
90.0	39	0.94	6.00	6.4

Travata: 392 [1227,1228]: L=180.0 cm, Modello =Appoggiata, Crit.Prog: Acciaio_Flessione, $\delta_c = 0.0$ cm:
Verificato

Verifica spostamento nello stato finale (§4.2.4.2.1 - NTC)

x	Comb.	δ_{max}	L/250.00	Cs
cm		mm	mm	
90.0	39	1.29	7.20	5.6

Verifica spostamento elastico dovuto ai soli carichi variabili (§4.2.4.2.1 - NTC)

x	Comb.	δ_2	L/300.00	Cs
cm		mm	mm	
90.0	39	0.94	6.00	6.4

Travata: 393 [1228,1229]: L=180.0 cm, Modello =Appoggiata, Crit.Prog: Acciaio_Flessione, $\delta_c = 0.0$ cm:
Verificato

Verifica spostamento nello stato finale (§4.2.4.2.1 - NTC)

x	Comb.	δ_{max}	L/250.00	Cs
cm		mm	mm	
90.0	39	1.29	7.20	5.6

Verifica spostamento elastico dovuto ai soli carichi variabili (§4.2.4.2.1 - NTC)

x	Comb.	δ_2	L/300.00	Cs
cm		mm	mm	
90.0	39	0.94	6.00	6.4

Travata: 394 [1229,1230]: L=180.0 cm, Modello =Appoggiata, Crit.Prog: Acciaio_Flessione, $\delta_c = 0.0$ cm:
Verificato

Verifica spostamento nello stato finale (§4.2.4.2.1 - NTC)

x	Comb.	δ_{max}	L/250.00	Cs
cm		mm	mm	
90.0	39	1.29	7.20	5.6

Verifica spostamento elastico dovuto ai soli carichi variabili (§4.2.4.2.1 - NTC)

x	Comb.	δ_2	L/300.00	Cs
cm		mm	mm	
90.0	39	0.94	6.00	6.4

Travata: 396 [1231,1232]: L=180.0 cm, Modello =Appoggiata, Crit.Prog: Acciaio_Flessione, $\delta_c = 0.0$ cm:
Verificato

Verifica spostamento nello stato finale (§4.2.4.2.1 - NTC)

x	Comb.	δ_{max}	L/250.00	Cs
cm		mm	mm	
90.0	39	1.29	7.20	5.6

Verifica spostamento elastico dovuto ai soli carichi variabili (§4.2.4.2.1 - NTC)

x	Comb.	δ_2	L/300.00	Cs
cm		mm	mm	
90.0	39	0.94	6.00	6.4

Travata: 397 [1232,1233]: L=180.0 cm, Modello =Appoggiata, Crit.Prog: Acciaio_Flessione, $\delta_c = 0.0$ cm:
Verificato

Verifica spostamento nello stato finale (§4.2.4.2.1 - NTC)

x	Comb.	δ_{max}	L/250.00	Cs
cm		mm	mm	
90.0	39	1.29	7.20	5.6

Verifica spostamento elastico dovuto ai soli carichi variabili (§4.2.4.2.1 - NTC)

x	Comb.	δ_2	L/300.00	Cs
cm		mm	mm	
90.0	39	0.94	6.00	6.4

Travata: 398 [1233,1234]: L=180.0 cm, Modello =Appoggiata, Crit.Prog: Acciaio_Flessione, $\delta_c = 0.0$ cm:
Verificato

Verifica spostamento nello stato finale (§4.2.4.2.1 - NTC)

x	Comb.	δ_{max}	L/250.00	Cs
cm		mm	mm	
90.0	39	1.29	7.20	5.6

Verifica spostamento elastico dovuto ai soli carichi variabili (§4.2.4.2.1 - NTC)

x	Comb.	δ_2	L/300.00	Cs
cm		mm	mm	
90.0	39	0.94	6.00	6.4

Travata: 317 [1151,1152]: L=180.0 cm, Modello =Appoggiata, Crit.Prog: Acciaio_Flessione, $\delta_c = 0.0$ cm:
Verificato

Verifica spostamento nello stato finale (§4.2.4.2.1 - NTC)

x	Comb.	δ_{max}	L/250.00	Cs
cm		mm	mm	
90.0	39	1.29	7.20	5.6

Verifica spostamento elastico dovuto ai soli carichi variabili (§4.2.4.2.1 - NTC)

x	Comb.	δ_2	L/300.00	Cs
cm		mm	mm	
90.0	39	0.94	6.00	6.4

Travata: 321 [1155,1156]: L=180.0 cm, Modello =Appoggiata, Crit.Prog: Acciaio_Flessione, $\delta_c = 0.0$ cm:
Verificato

Verifica spostamento nello stato finale (§4.2.4.2.1 - NTC)

x	Comb.	δ_{max}	L/250.00	Cs
cm		mm	mm	
90.0	39	1.29	7.20	5.6

Verifica spostamento elastico dovuto ai soli carichi variabili (§4.2.4.2.1 - NTC)

x	Comb.	δ_2	L/300.00	Cs
cm		mm	mm	
90.0	39	0.94	6.00	6.4

Travata: 325 [1159,1160]: L=180.0 cm, Modello =Appoggiata, Crit.Prog: Acciaio_Flessione, $\delta_c = 0.0$ cm:
Verificato

Verifica spostamento nello stato finale (§4.2.4.2.1 - NTC)

x	Comb.	δ_{max}	L/250.00	Cs
cm		mm	mm	
90.0	39	1.29	7.20	5.6

Verifica spostamento elastico dovuto ai soli carichi variabili (§4.2.4.2.1 - NTC)

x	Comb.	δ_2	L/300.00	Cs
cm		mm	mm	
90.0	39	0.94	6.00	6.4

Travata: 329 [1163,1164]: L=180.0 cm, Modello =Appoggiata, Crit.Prog: Acciaio_Flessione, $\delta_c = 0.0$ cm:
Verificato

Verifica spostamento nello stato finale (§4.2.4.2.1 - NTC)

x	Comb.	δ_{max}	L/250.00	Cs
cm		mm	mm	
90.0	39	1.29	7.20	5.6

Verifica spostamento elastico dovuto ai soli carichi variabili (§4.2.4.2.1 - NTC)

x	Comb.	δ_2	L/300.00	Cs
cm		mm	mm	
90.0	39	0.94	6.00	6.4

Travata: 333 [1167,1168]: L=180.0 cm, Modello =Appoggiata, Crit.Prog: Acciaio_Flessione, $\delta_c = 0.0$ cm:
Verificato

Verifica spostamento nello stato finale (§4.2.4.2.1 - NTC)

x	Comb.	δ_{max}	L/250.00	Cs
cm		mm	mm	
90.0	39	1.29	7.20	5.6

Verifica spostamento elastico dovuto ai soli carichi variabili (§4.2.4.2.1 - NTC)

x	Comb.	δ_2	L/300.00	Cs
cm		mm	mm	
90.0	39	0.94	6.00	6.4

Travata: 337 [1171,1172]: L=180.0 cm, Modello =Appoggiata, Crit.Prog: Acciaio_Flessione, $\delta_c = 0.0$ cm:
Verificato

Verifica spostamento nello stato finale (§4.2.4.2.1 - NTC)

x	Comb.	δ_{max}	L/250.00	Cs
cm		mm	mm	
90.0	39	1.29	7.20	5.6

Verifica spostamento elastico dovuto ai soli carichi variabili (§4.2.4.2.1 - NTC)

x	Comb.	δ_2	L/300.00	Cs
cm		mm	mm	
90.0	39	0.94	6.00	6.4

Travata: 341 [1175,1176]: L=180.0 cm, Modello =Appoggiata, Crit.Prog: Acciaio_Flessione, $\delta c = 0.0$ cm:
Verificato

Verifica spostamento nello stato finale (§4.2.4.2.1 - NTC)

x	Comb.	δ_{max}	L/250.00	Cs
cm		mm	mm	
90.0	39	1.29	7.20	5.6

Verifica spostamento elastico dovuto ai soli carichi variabili (§4.2.4.2.1 - NTC)

x	Comb.	δ_2	L/300.00	Cs
cm		mm	mm	
90.0	39	0.94	6.00	6.4

Travata: 345 [1179,1180]: L=180.0 cm, Modello =Appoggiata, Crit.Prog: Acciaio_Flessione, $\delta c = 0.0$ cm:
Verificato

Verifica spostamento nello stato finale (§4.2.4.2.1 - NTC)

x	Comb.	δ_{max}	L/250.00	Cs
cm		mm	mm	
90.0	39	1.29	7.20	5.6

Verifica spostamento elastico dovuto ai soli carichi variabili (§4.2.4.2.1 - NTC)

x	Comb.	δ_2	L/300.00	Cs
cm		mm	mm	
90.0	39	0.94	6.00	6.4

Travata: 349 [1183,1184]: L=180.0 cm, Modello =Appoggiata, Crit.Prog: Acciaio_Flessione, $\delta c = 0.0$ cm:
Verificato

Verifica spostamento nello stato finale (§4.2.4.2.1 - NTC)

x	Comb.	δ_{max}	L/250.00	Cs
cm		mm	mm	
90.0	39	1.29	7.20	5.6

Verifica spostamento elastico dovuto ai soli carichi variabili (§4.2.4.2.1 - NTC)

x	Comb.	δ_2	L/300.00	Cs
cm		mm	mm	
90.0	39	0.94	6.00	6.4

Travata: 353 [1187,1188]: L=180.0 cm, Modello =Appoggiata, Crit.Prog: Acciaio_Flessione, $\delta c = 0.0$ cm:
Verificato

Verifica spostamento nello stato finale (§4.2.4.2.1 - NTC)

x	Comb.	δ_{max}	L/250.00	Cs
cm		mm	mm	
90.0	39	1.29	7.20	5.6

Verifica spostamento elastico dovuto ai soli carichi variabili (§4.2.4.2.1 - NTC)

x	Comb.	δ_2	L/300.00	Cs
cm		mm	mm	
90.0	39	0.94	6.00	6.4

Travata: 318 [1152,1153]: L=180.0 cm, Modello =Appoggiata, Crit.Prog: Acciaio_Flessione, $\delta c = 0.0$ cm:
Verificato

Verifica spostamento nello stato finale (§4.2.4.2.1 - NTC)

x	Comb.	δ_{max}	L/250.00	Cs
cm		mm	mm	
90.0	39	1.29	7.20	5.6

Verifica spostamento elastico dovuto ai soli carichi variabili (§4.2.4.2.1 - NTC)

x	Comb.	δ_2	L/300.00	Cs
cm		mm	mm	

x	Comb.	δ^2	L/300.00	Cs
90.0	39	0.94	6.00	6.4

Travata: 319 [1153,1154]: L=180.0 cm, Modello =Appoggiata, Crit.Prog: Acciaio_Flessione, $\delta_c = 0.0$ cm:
Verificato

Verifica spostamento nello stato finale (§4.2.4.2.1 - NTC)

x	Comb.	δ_{max}	L/250.00	Cs
cm		mm	mm	
90.0	39	1.29	7.20	5.6

Verifica spostamento elastico dovuto ai soli carichi variabili (§4.2.4.2.1 - NTC)

x	Comb.	δ^2	L/300.00	Cs
cm		mm	mm	
90.0	39	0.94	6.00	6.4

Travata: 320 [1154,1155]: L=180.0 cm, Modello =Appoggiata, Crit.Prog: Acciaio_Flessione, $\delta_c = 0.0$ cm:
Verificato

Verifica spostamento nello stato finale (§4.2.4.2.1 - NTC)

x	Comb.	δ_{max}	L/250.00	Cs
cm		mm	mm	
90.0	39	1.29	7.20	5.6

Verifica spostamento elastico dovuto ai soli carichi variabili (§4.2.4.2.1 - NTC)

x	Comb.	δ^2	L/300.00	Cs
cm		mm	mm	
90.0	39	0.94	6.00	6.4

Travata: 322 [1156,1157]: L=180.0 cm, Modello =Appoggiata, Crit.Prog: Acciaio_Flessione, $\delta_c = 0.0$ cm:
Verificato

Verifica spostamento nello stato finale (§4.2.4.2.1 - NTC)

x	Comb.	δ_{max}	L/250.00	Cs
cm		mm	mm	
90.0	39	1.29	7.20	5.6

Verifica spostamento elastico dovuto ai soli carichi variabili (§4.2.4.2.1 - NTC)

x	Comb.	δ^2	L/300.00	Cs
cm		mm	mm	
90.0	39	0.94	6.00	6.4

Travata: 323 [1157,1158]: L=180.0 cm, Modello =Appoggiata, Crit.Prog: Acciaio_Flessione, $\delta_c = 0.0$ cm:
Verificato

Verifica spostamento nello stato finale (§4.2.4.2.1 - NTC)

x	Comb.	δ_{max}	L/250.00	Cs
cm		mm	mm	
90.0	39	1.29	7.20	5.6

Verifica spostamento elastico dovuto ai soli carichi variabili (§4.2.4.2.1 - NTC)

x	Comb.	δ^2	L/300.00	Cs
cm		mm	mm	
90.0	39	0.94	6.00	6.4

Travata: 324 [1158,1159]: L=180.0 cm, Modello =Appoggiata, Crit.Prog: Acciaio_Flessione, $\delta_c = 0.0$ cm:
Verificato

Verifica spostamento nello stato finale (§4.2.4.2.1 - NTC)

x	Comb.	δ_{max}	L/250.00	Cs
cm		mm	mm	
90.0	39	1.29	7.20	5.6

Verifica spostamento elastico dovuto ai soli carichi variabili (§4.2.4.2.1 - NTC)

x	Comb.	δ_2	L/300.00	Cs
cm		mm	mm	
90.0	39	0.94	6.00	6.4

Travata: 326 [1160,1161]: L=180.0 cm, Modello =Appoggiata, Crit.Prog: Acciaio_Flessione, $\delta_c = 0.0$ cm:
Verificato

Verifica spostamento nello stato finale (§4.2.4.2.1 - NTC)

x	Comb.	δ_{max}	L/250.00	Cs
cm		mm	mm	
90.0	39	1.29	7.20	5.6

Verifica spostamento elastico dovuto ai soli carichi variabili (§4.2.4.2.1 - NTC)

x	Comb.	δ_2	L/300.00	Cs
cm		mm	mm	
90.0	39	0.94	6.00	6.4

Travata: 327 [1161,1162]: L=180.0 cm, Modello =Appoggiata, Crit.Prog: Acciaio_Flessione, $\delta_c = 0.0$ cm:
Verificato

Verifica spostamento nello stato finale (§4.2.4.2.1 - NTC)

x	Comb.	δ_{max}	L/250.00	Cs
cm		mm	mm	
90.0	39	1.29	7.20	5.6

Verifica spostamento elastico dovuto ai soli carichi variabili (§4.2.4.2.1 - NTC)

x	Comb.	δ_2	L/300.00	Cs
cm		mm	mm	
90.0	39	0.94	6.00	6.4

Travata: 328 [1162,1163]: L=180.0 cm, Modello =Appoggiata, Crit.Prog: Acciaio_Flessione, $\delta_c = 0.0$ cm:
Verificato

Verifica spostamento nello stato finale (§4.2.4.2.1 - NTC)

x	Comb.	δ_{max}	L/250.00	Cs
cm		mm	mm	
90.0	39	1.29	7.20	5.6

Verifica spostamento elastico dovuto ai soli carichi variabili (§4.2.4.2.1 - NTC)

x	Comb.	δ_2	L/300.00	Cs
cm		mm	mm	
90.0	39	0.94	6.00	6.4

Travata: 330 [1164,1165]: L=180.0 cm, Modello =Appoggiata, Crit.Prog: Acciaio_Flessione, $\delta_c = 0.0$ cm:
Verificato

Verifica spostamento nello stato finale (§4.2.4.2.1 - NTC)

x	Comb.	δ_{max}	L/250.00	Cs
cm		mm	mm	
90.0	39	1.29	7.20	5.6

Verifica spostamento elastico dovuto ai soli carichi variabili (§4.2.4.2.1 - NTC)

x	Comb.	δ_2	L/300.00	Cs
cm		mm	mm	
90.0	39	0.94	6.00	6.4

Travata: 331 [1165,1166]: L=180.0 cm, Modello =Appoggiata, Crit.Prog: Acciaio_Flessione, $\delta_c = 0.0$ cm:
Verificato

Verifica spostamento nello stato finale (§4.2.4.2.1 - NTC)

x	Comb.	δ_{max}	L/250.00	Cs
cm		mm	mm	

x	Comb.	δ_{max}	L/250.00	Cs
90.0	39	1.29	7.20	5.6

Verifica spostamento elastico dovuto ai soli carichi variabili (§4.2.4.2.1 - NTC)

x	Comb.	δ_2	L/300.00	Cs
cm		mm	mm	
90.0	39	0.94	6.00	6.4

Travata: 332 [1166,1167]: L=180.0 cm, Modello =Appoggiata, Crit.Prog: Acciaio_Flessione, $\delta_c = 0.0$ cm:
Verificato

Verifica spostamento nello stato finale (§4.2.4.2.1 - NTC)

x	Comb.	δ_{max}	L/250.00	Cs
cm		mm	mm	
90.0	39	1.29	7.20	5.6

Verifica spostamento elastico dovuto ai soli carichi variabili (§4.2.4.2.1 - NTC)

x	Comb.	δ_2	L/300.00	Cs
cm		mm	mm	
90.0	39	0.94	6.00	6.4

Travata: 334 [1168,1169]: L=180.0 cm, Modello =Appoggiata, Crit.Prog: Acciaio_Flessione, $\delta_c = 0.0$ cm:
Verificato

Verifica spostamento nello stato finale (§4.2.4.2.1 - NTC)

x	Comb.	δ_{max}	L/250.00	Cs
cm		mm	mm	
90.0	39	1.29	7.20	5.6

Verifica spostamento elastico dovuto ai soli carichi variabili (§4.2.4.2.1 - NTC)

x	Comb.	δ_2	L/300.00	Cs
cm		mm	mm	
90.0	39	0.94	6.00	6.4

Travata: 335 [1169,1170]: L=180.0 cm, Modello =Appoggiata, Crit.Prog: Acciaio_Flessione, $\delta_c = 0.0$ cm:
Verificato

Verifica spostamento nello stato finale (§4.2.4.2.1 - NTC)

x	Comb.	δ_{max}	L/250.00	Cs
cm		mm	mm	
90.0	39	1.29	7.20	5.6

Verifica spostamento elastico dovuto ai soli carichi variabili (§4.2.4.2.1 - NTC)

x	Comb.	δ_2	L/300.00	Cs
cm		mm	mm	
90.0	39	0.94	6.00	6.4

Travata: 336 [1170,1171]: L=180.0 cm, Modello =Appoggiata, Crit.Prog: Acciaio_Flessione, $\delta_c = 0.0$ cm:
Verificato

Verifica spostamento nello stato finale (§4.2.4.2.1 - NTC)

x	Comb.	δ_{max}	L/250.00	Cs
cm		mm	mm	
90.0	39	1.29	7.20	5.6

Verifica spostamento elastico dovuto ai soli carichi variabili (§4.2.4.2.1 - NTC)

x	Comb.	δ_2	L/300.00	Cs
cm		mm	mm	
90.0	39	0.94	6.00	6.4

Travata: 338 [1172,1173]: L=180.0 cm, Modello =Appoggiata, Crit.Prog: Acciaio_Flessione, $\delta_c = 0.0$ cm:
Verificato

Verifica spostamento nello stato finale (§4.2.4.2.1 - NTC)

x	Comb.	δ_{max}	L/250.00	Cs
cm		mm	mm	
90.0	39	1.29	7.20	5.6

Verifica spostamento elastico dovuto ai soli carichi variabili (§4.2.4.2.1 - NTC)

x	Comb.	δ_2	L/300.00	Cs
cm		mm	mm	
90.0	39	0.94	6.00	6.4

Travata: 339 [1173,1174]: L=180.0 cm, Modello =Appoggiata, Crit.Prog: Acciaio_Flessione, $\delta_c = 0.0$ cm:
Verificato

Verifica spostamento nello stato finale (§4.2.4.2.1 - NTC)

x	Comb.	δ_{max}	L/250.00	Cs
cm		mm	mm	
90.0	39	1.29	7.20	5.6

Verifica spostamento elastico dovuto ai soli carichi variabili (§4.2.4.2.1 - NTC)

x	Comb.	δ_2	L/300.00	Cs
cm		mm	mm	
90.0	39	0.94	6.00	6.4

Travata: 340 [1174,1175]: L=180.0 cm, Modello =Appoggiata, Crit.Prog: Acciaio_Flessione, $\delta_c = 0.0$ cm:
Verificato

Verifica spostamento nello stato finale (§4.2.4.2.1 - NTC)

x	Comb.	δ_{max}	L/250.00	Cs
cm		mm	mm	
90.0	39	1.29	7.20	5.6

Verifica spostamento elastico dovuto ai soli carichi variabili (§4.2.4.2.1 - NTC)

x	Comb.	δ_2	L/300.00	Cs
cm		mm	mm	
90.0	39	0.94	6.00	6.4

Travata: 342 [1176,1177]: L=180.0 cm, Modello =Appoggiata, Crit.Prog: Acciaio_Flessione, $\delta_c = 0.0$ cm:
Verificato

Verifica spostamento nello stato finale (§4.2.4.2.1 - NTC)

x	Comb.	δ_{max}	L/250.00	Cs
cm		mm	mm	
90.0	39	1.29	7.20	5.6

Verifica spostamento elastico dovuto ai soli carichi variabili (§4.2.4.2.1 - NTC)

x	Comb.	δ_2	L/300.00	Cs
cm		mm	mm	
90.0	39	0.94	6.00	6.4

Travata: 343 [1177,1178]: L=180.0 cm, Modello =Appoggiata, Crit.Prog: Acciaio_Flessione, $\delta_c = 0.0$ cm:
Verificato

Verifica spostamento nello stato finale (§4.2.4.2.1 - NTC)

x	Comb.	δ_{max}	L/250.00	Cs
cm		mm	mm	
90.0	39	1.29	7.20	5.6

Verifica spostamento elastico dovuto ai soli carichi variabili (§4.2.4.2.1 - NTC)

x	Comb.	δ_2	L/300.00	Cs
cm		mm	mm	
90.0	39	0.94	6.00	6.4

Travata: 344 [1178,1179]: L=180.0 cm, Modello =Appoggiata, Crit.Prog: Acciaio_Flessione, $\delta_c = 0.0$ cm:

Verificato

Verifica spostamento nello stato finale (§4.2.4.2.1 - NTC)

x	Comb.	δ_{max}	L/250.00	Cs
cm		mm	mm	
90.0	39	1.29	7.20	5.6

Verifica spostamento elastico dovuto ai soli carichi variabili (§4.2.4.2.1 - NTC)

x	Comb.	δ_2	L/300.00	Cs
cm		mm	mm	
90.0	39	0.94	6.00	6.4

Travata: 346 [1180,1181]: L=180.0 cm, Modello =Appoggiata, Crit.Prog: Acciaio_Flessione, $\delta_c = 0.0$ cm:**Verificato**

Verifica spostamento nello stato finale (§4.2.4.2.1 - NTC)

x	Comb.	δ_{max}	L/250.00	Cs
cm		mm	mm	
90.0	39	1.29	7.20	5.6

Verifica spostamento elastico dovuto ai soli carichi variabili (§4.2.4.2.1 - NTC)

x	Comb.	δ_2	L/300.00	Cs
cm		mm	mm	
90.0	39	0.94	6.00	6.4

Travata: 347 [1181,1182]: L=180.0 cm, Modello =Appoggiata, Crit.Prog: Acciaio_Flessione, $\delta_c = 0.0$ cm:**Verificato**

Verifica spostamento nello stato finale (§4.2.4.2.1 - NTC)

x	Comb.	δ_{max}	L/250.00	Cs
cm		mm	mm	
90.0	39	1.29	7.20	5.6

Verifica spostamento elastico dovuto ai soli carichi variabili (§4.2.4.2.1 - NTC)

x	Comb.	δ_2	L/300.00	Cs
cm		mm	mm	
90.0	39	0.94	6.00	6.4

Travata: 348 [1182,1183]: L=180.0 cm, Modello =Appoggiata, Crit.Prog: Acciaio_Flessione, $\delta_c = 0.0$ cm:**Verificato**

Verifica spostamento nello stato finale (§4.2.4.2.1 - NTC)

x	Comb.	δ_{max}	L/250.00	Cs
cm		mm	mm	
90.0	39	1.29	7.20	5.6

Verifica spostamento elastico dovuto ai soli carichi variabili (§4.2.4.2.1 - NTC)

x	Comb.	δ_2	L/300.00	Cs
cm		mm	mm	
90.0	39	0.94	6.00	6.4

Travata: 350 [1184,1185]: L=180.0 cm, Modello =Appoggiata, Crit.Prog: Acciaio_Flessione, $\delta_c = 0.0$ cm:**Verificato**

Verifica spostamento nello stato finale (§4.2.4.2.1 - NTC)

x	Comb.	δ_{max}	L/250.00	Cs
cm		mm	mm	
90.0	39	1.29	7.20	5.6

Verifica spostamento elastico dovuto ai soli carichi variabili (§4.2.4.2.1 - NTC)

x	Comb.	δ_2	L/300.00	Cs
cm		mm	mm	
90.0	39	0.94	6.00	6.4

Travata: 351 [1185,1186]: L=180.0 cm, Modello =Appoggiata, Crit.Prog: Acciaio_Flessione, $\delta c = 0.0$ cm:
Verificato

Verifica spostamento nello stato finale (§4.2.4.2.1 - NTC)

x	Comb.	δ_{max}	L/250.00	Cs
cm		mm	mm	
90.0	39	1.29	7.20	5.6

Verifica spostamento elastico dovuto ai soli carichi variabili (§4.2.4.2.1 - NTC)

x	Comb.	δ_2	L/300.00	Cs
cm		mm	mm	
90.0	39	0.94	6.00	6.4

Travata: 352 [1186,1187]: L=180.0 cm, Modello =Appoggiata, Crit.Prog: Acciaio_Flessione, $\delta c = 0.0$ cm:
Verificato

Verifica spostamento nello stato finale (§4.2.4.2.1 - NTC)

x	Comb.	δ_{max}	L/250.00	Cs
cm		mm	mm	
90.0	39	1.29	7.20	5.6

Verifica spostamento elastico dovuto ai soli carichi variabili (§4.2.4.2.1 - NTC)

x	Comb.	δ_2	L/300.00	Cs
cm		mm	mm	
90.0	39	0.94	6.00	6.4

Travata: 354 [1188,1189]: L=180.0 cm, Modello =Appoggiata, Crit.Prog: Acciaio_Flessione, $\delta c = 0.0$ cm:
Verificato

Verifica spostamento nello stato finale (§4.2.4.2.1 - NTC)

x	Comb.	δ_{max}	L/250.00	Cs
cm		mm	mm	
90.0	39	1.29	7.20	5.6

Verifica spostamento elastico dovuto ai soli carichi variabili (§4.2.4.2.1 - NTC)

x	Comb.	δ_2	L/300.00	Cs
cm		mm	mm	
90.0	39	0.94	6.00	6.4

Travata: 355 [1189,1190]: L=180.0 cm, Modello =Appoggiata, Crit.Prog: Acciaio_Flessione, $\delta c = 0.0$ cm:
Verificato

Verifica spostamento nello stato finale (§4.2.4.2.1 - NTC)

x	Comb.	δ_{max}	L/250.00	Cs
cm		mm	mm	
90.0	39	1.29	7.20	5.6

Verifica spostamento elastico dovuto ai soli carichi variabili (§4.2.4.2.1 - NTC)

x	Comb.	δ_2	L/300.00	Cs
cm		mm	mm	
90.0	39	0.94	6.00	6.4

Travata: 356 [1190,1191]: L=180.0 cm, Modello =Appoggiata, Crit.Prog: Acciaio_Flessione, $\delta c = 0.0$ cm:
Verificato

Verifica spostamento nello stato finale (§4.2.4.2.1 - NTC)

x	Comb.	δ_{max}	L/250.00	Cs
cm		mm	mm	
90.0	39	1.29	7.20	5.6

Verifica spostamento elastico dovuto ai soli carichi variabili (§4.2.4.2.1 - NTC)

x	Comb.	δ_2	L/300.00	Cs
cm		mm	mm	
90.0	39	0.94	6.00	6.4

Travata: 269 [1067,1068]: L=180.0 cm, Modello =Appoggiata, Crit.Prog: Acciaio_Flessione, $\delta_c = 0.0$ cm:
Verificato

Verifica spostamento nello stato finale (§4.2.4.2.1 - NTC)

x	Comb.	δ_{max}	L/250.00	Cs
cm		mm	mm	
90.0	39	1.08	7.20	6.6

Verifica spostamento elastico dovuto ai soli carichi variabili (§4.2.4.2.1 - NTC)

x	Comb.	δ_2	L/300.00	Cs
cm		mm	mm	
90.0	25	-0.81	6.00	7.4

Travata: 273 [1071,1072]: L=180.0 cm, Modello =Appoggiata, Crit.Prog: Acciaio_Flessione, $\delta_c = 0.0$ cm:
Verificato

Verifica spostamento nello stato finale (§4.2.4.2.1 - NTC)

x	Comb.	δ_{max}	L/250.00	Cs
cm		mm	mm	
90.0	39	1.08	7.20	6.6

Verifica spostamento elastico dovuto ai soli carichi variabili (§4.2.4.2.1 - NTC)

x	Comb.	δ_2	L/300.00	Cs
cm		mm	mm	
90.0	25	-0.81	6.00	7.4

Travata: 283 [1075,1076]: L=180.0 cm, Modello =Appoggiata, Crit.Prog: Acciaio_Flessione, $\delta_c = 0.0$ cm:
Verificato

Verifica spostamento nello stato finale (§4.2.4.2.1 - NTC)

x	Comb.	δ_{max}	L/250.00	Cs
cm		mm	mm	
90.0	39	1.08	7.20	6.6

Verifica spostamento elastico dovuto ai soli carichi variabili (§4.2.4.2.1 - NTC)

x	Comb.	δ_2	L/300.00	Cs
cm		mm	mm	
90.0	25	-0.81	6.00	7.4

Travata: 287 [1079,1080]: L=180.0 cm, Modello =Appoggiata, Crit.Prog: Acciaio_Flessione, $\delta_c = 0.0$ cm:
Verificato

Verifica spostamento nello stato finale (§4.2.4.2.1 - NTC)

x	Comb.	δ_{max}	L/250.00	Cs
cm		mm	mm	
90.0	39	1.08	7.20	6.6

Verifica spostamento elastico dovuto ai soli carichi variabili (§4.2.4.2.1 - NTC)

x	Comb.	δ_2	L/300.00	Cs
cm		mm	mm	
90.0	25	-0.81	6.00	7.4

Travata: 291 [1083,1084]: L=180.0 cm, Modello =Appoggiata, Crit.Prog: Acciaio_Flessione, $\delta_c = 0.0$ cm:
Verificato

Verifica spostamento nello stato finale (§4.2.4.2.1 - NTC)

x	Comb.	δ_{max}	L/250.00	Cs
cm		mm	mm	
90.0	39	1.08	7.20	6.6

Verifica spostamento elastico dovuto ai soli carichi variabili (§4.2.4.2.1 - NTC)

x	Comb.	δ_2	L/300.00	Cs
cm		mm	mm	
90.0	25	-0.81	6.00	7.4

Travata: 295 [1087,1088]: L=180.0 cm, Modello =Appoggiata, Crit.Prog: Acciaio_Flessione, $\delta_c = 0.0$ cm:
Verificato

Verifica spostamento nello stato finale (§4.2.4.2.1 - NTC)

x	Comb.	δ_{max}	L/250.00	Cs
cm		mm	mm	
90.0	39	1.08	7.20	6.6

Verifica spostamento elastico dovuto ai soli carichi variabili (§4.2.4.2.1 - NTC)

x	Comb.	δ_2	L/300.00	Cs
cm		mm	mm	
90.0	25	-0.81	6.00	7.4

Travata: 299 [1091,1092]: L=180.0 cm, Modello =Appoggiata, Crit.Prog: Acciaio_Flessione, $\delta_c = 0.0$ cm:
Verificato

Verifica spostamento nello stato finale (§4.2.4.2.1 - NTC)

x	Comb.	δ_{max}	L/250.00	Cs
cm		mm	mm	
90.0	39	1.08	7.20	6.6

Verifica spostamento elastico dovuto ai soli carichi variabili (§4.2.4.2.1 - NTC)

x	Comb.	δ_2	L/300.00	Cs
cm		mm	mm	
90.0	25	-0.81	6.00	7.4

Travata: 303 [1095,1096]: L=180.0 cm, Modello =Appoggiata, Crit.Prog: Acciaio_Flessione, $\delta_c = 0.0$ cm:
Verificato

Verifica spostamento nello stato finale (§4.2.4.2.1 - NTC)

x	Comb.	δ_{max}	L/250.00	Cs
cm		mm	mm	
90.0	39	1.08	7.20	6.6

Verifica spostamento elastico dovuto ai soli carichi variabili (§4.2.4.2.1 - NTC)

x	Comb.	δ_2	L/300.00	Cs
cm		mm	mm	
90.0	25	-0.81	6.00	7.4

Travata: 307 [1099,1100]: L=180.0 cm, Modello =Appoggiata, Crit.Prog: Acciaio_Flessione, $\delta_c = 0.0$ cm:
Verificato

Verifica spostamento nello stato finale (§4.2.4.2.1 - NTC)

x	Comb.	δ_{max}	L/250.00	Cs
cm		mm	mm	
90.0	39	1.08	7.20	6.6

Verifica spostamento elastico dovuto ai soli carichi variabili (§4.2.4.2.1 - NTC)

x	Comb.	δ_2	L/300.00	Cs
cm		mm	mm	
90.0	25	-0.81	6.00	7.4

Travata: 311 [1103,1104]: L=180.0 cm, Modello =Appoggiata, Crit.Prog: Acciaio_Flessione, $\delta_c = 0.0$ cm:
Verificato

Verifica spostamento nello stato finale (§4.2.4.2.1 - NTC)

x	Comb.	δ_{max}	L/250.00	Cs
cm		mm	mm	
90.0	39	1.08	7.20	6.6

Verifica spostamento elastico dovuto ai soli carichi variabili (§4.2.4.2.1 - NTC)

x	Comb.	δ_2	L/300.00	Cs
cm		mm	mm	
90.0	25	-0.81	6.00	7.4

Travata: 270 [1068,1069]: L=180.0 cm, Modello =Appoggiata, Crit.Prog: Acciaio_Flessione, $\delta_c = 0.0$ cm:
Verificato

Verifica spostamento nello stato finale (§4.2.4.2.1 - NTC)

x	Comb.	δ_{max}	L/250.00	Cs
cm		mm	mm	
90.0	39	1.08	7.20	6.6

Verifica spostamento elastico dovuto ai soli carichi variabili (§4.2.4.2.1 - NTC)

x	Comb.	δ_2	L/300.00	Cs
cm		mm	mm	
90.0	25	-0.81	6.00	7.4

Travata: 271 [1069,1070]: L=180.0 cm, Modello =Appoggiata, Crit.Prog: Acciaio_Flessione, $\delta_c = 0.0$ cm:
Verificato

Verifica spostamento nello stato finale (§4.2.4.2.1 - NTC)

x	Comb.	δ_{max}	L/250.00	Cs
cm		mm	mm	
90.0	39	1.08	7.20	6.6

Verifica spostamento elastico dovuto ai soli carichi variabili (§4.2.4.2.1 - NTC)

x	Comb.	δ_2	L/300.00	Cs
cm		mm	mm	
90.0	25	-0.81	6.00	7.4

Travata: 272 [1070,1071]: L=180.0 cm, Modello =Appoggiata, Crit.Prog: Acciaio_Flessione, $\delta_c = 0.0$ cm:
Verificato

Verifica spostamento nello stato finale (§4.2.4.2.1 - NTC)

x	Comb.	δ_{max}	L/250.00	Cs
cm		mm	mm	
90.0	39	1.08	7.20	6.6

Verifica spostamento elastico dovuto ai soli carichi variabili (§4.2.4.2.1 - NTC)

x	Comb.	δ_2	L/300.00	Cs
cm		mm	mm	
90.0	25	-0.81	6.00	7.4

Travata: 280 [1072,1073]: L=180.0 cm, Modello =Appoggiata, Crit.Prog: Acciaio_Flessione, $\delta_c = 0.0$ cm:
Verificato

Verifica spostamento nello stato finale (§4.2.4.2.1 - NTC)

x	Comb.	δ_{max}	L/250.00	Cs
cm		mm	mm	
90.0	39	1.08	7.20	6.6

Verifica spostamento elastico dovuto ai soli carichi variabili (§4.2.4.2.1 - NTC)

x	Comb.	δ_2	L/300.00	Cs
cm		mm	mm	
90.0	25	-0.81	6.00	7.4

Travata: 281 [1073,1074]: L=180.0 cm, Modello =Appoggiata, Crit.Prog: Acciaio_Flessione, $\delta_c = 0.0$ cm:
Verificato

Verifica spostamento nello stato finale (§4.2.4.2.1 - NTC)

x	Comb.	δ_{max}	L/250.00	Cs
cm		mm	mm	
90.0	39	1.08	7.20	6.6

Verifica spostamento elastico dovuto ai soli carichi variabili (§4.2.4.2.1 - NTC)

x	Comb.	δ_2	L/300.00	Cs
cm		mm	mm	
90.0	25	-0.81	6.00	7.4

Travata: 282 [1074,1075]: L=180.0 cm, Modello =Appoggiata, Crit.Prog: Acciaio_Flessione, $\delta_c = 0.0$ cm:
Verificato

Verifica spostamento nello stato finale (§4.2.4.2.1 - NTC)

x	Comb.	δ_{max}	L/250.00	Cs
cm		mm	mm	
90.0	39	1.08	7.20	6.6

Verifica spostamento elastico dovuto ai soli carichi variabili (§4.2.4.2.1 - NTC)

x	Comb.	δ_2	L/300.00	Cs
cm		mm	mm	
90.0	25	-0.81	6.00	7.4

Travata: 284 [1076,1077]: L=180.0 cm, Modello =Appoggiata, Crit.Prog: Acciaio_Flessione, $\delta_c = 0.0$ cm:
Verificato

Verifica spostamento nello stato finale (§4.2.4.2.1 - NTC)

x	Comb.	δ_{max}	L/250.00	Cs
cm		mm	mm	
90.0	39	1.08	7.20	6.6

Verifica spostamento elastico dovuto ai soli carichi variabili (§4.2.4.2.1 - NTC)

x	Comb.	δ_2	L/300.00	Cs
cm		mm	mm	
90.0	25	-0.81	6.00	7.4

Travata: 285 [1077,1078]: L=180.0 cm, Modello =Appoggiata, Crit.Prog: Acciaio_Flessione, $\delta_c = 0.0$ cm:
Verificato

Verifica spostamento nello stato finale (§4.2.4.2.1 - NTC)

x	Comb.	δ_{max}	L/250.00	Cs
cm		mm	mm	
90.0	39	1.08	7.20	6.6

Verifica spostamento elastico dovuto ai soli carichi variabili (§4.2.4.2.1 - NTC)

x	Comb.	δ_2	L/300.00	Cs
cm		mm	mm	
90.0	25	-0.81	6.00	7.4

Travata: 286 [1078,1079]: L=180.0 cm, Modello =Appoggiata, Crit.Prog: Acciaio_Flessione, $\delta_c = 0.0$ cm:
Verificato

Verifica spostamento nello stato finale (§4.2.4.2.1 - NTC)

x	Comb.	δ_{max}	L/250.00	Cs
cm		mm	mm	
90.0	39	1.08	7.20	6.6

Verifica spostamento elastico dovuto ai soli carichi variabili (§4.2.4.2.1 - NTC)

x	Comb.	δ_2	L/300.00	Cs
cm		mm	mm	
90.0	25	-0.81	6.00	7.4

Travata: 288 [1080,1081]: L=180.0 cm, Modello =Appoggiata, Crit.Prog: Acciaio_Flessione, $\delta c = 0.0$ cm:
Verificato

Verifica spostamento nello stato finale (§4.2.4.2.1 - NTC)

x	Comb.	δ_{max}	L/250.00	Cs
cm		mm	mm	
90.0	39	1.08	7.20	6.6

Verifica spostamento elastico dovuto ai soli carichi variabili (§4.2.4.2.1 - NTC)

x	Comb.	δ_2	L/300.00	Cs
cm		mm	mm	
90.0	25	-0.81	6.00	7.4

Travata: 289 [1081,1082]: L=180.0 cm, Modello =Appoggiata, Crit.Prog: Acciaio_Flessione, $\delta c = 0.0$ cm:
Verificato

Verifica spostamento nello stato finale (§4.2.4.2.1 - NTC)

x	Comb.	δ_{max}	L/250.00	Cs
cm		mm	mm	
90.0	39	1.08	7.20	6.6

Verifica spostamento elastico dovuto ai soli carichi variabili (§4.2.4.2.1 - NTC)

x	Comb.	δ_2	L/300.00	Cs
cm		mm	mm	
90.0	25	-0.81	6.00	7.4

Travata: 290 [1082,1083]: L=180.0 cm, Modello =Appoggiata, Crit.Prog: Acciaio_Flessione, $\delta c = 0.0$ cm:
Verificato

Verifica spostamento nello stato finale (§4.2.4.2.1 - NTC)

x	Comb.	δ_{max}	L/250.00	Cs
cm		mm	mm	
90.0	39	1.08	7.20	6.6

Verifica spostamento elastico dovuto ai soli carichi variabili (§4.2.4.2.1 - NTC)

x	Comb.	δ_2	L/300.00	Cs
cm		mm	mm	
90.0	25	-0.81	6.00	7.4

Travata: 292 [1084,1085]: L=180.0 cm, Modello =Appoggiata, Crit.Prog: Acciaio_Flessione, $\delta c = 0.0$ cm:
Verificato

Verifica spostamento nello stato finale (§4.2.4.2.1 - NTC)

x	Comb.	δ_{max}	L/250.00	Cs
cm		mm	mm	
90.0	39	1.08	7.20	6.6

Verifica spostamento elastico dovuto ai soli carichi variabili (§4.2.4.2.1 - NTC)

x	Comb.	δ_2	L/300.00	Cs
cm		mm	mm	
90.0	25	-0.81	6.00	7.4

Travata: 293 [1085,1086]: L=180.0 cm, Modello =Appoggiata, Crit.Prog: Acciaio_Flessione, $\delta c = 0.0$ cm:
Verificato

Verifica spostamento nello stato finale (§4.2.4.2.1 - NTC)

x	Comb.	δ_{max}	L/250.00	Cs
cm		mm	mm	
90.0	39	1.08	7.20	6.6

Verifica spostamento elastico dovuto ai soli carichi variabili (§4.2.4.2.1 - NTC)

x	Comb.	δ_2	L/300.00	Cs
cm		mm	mm	

x	Comb.	δ^2	L/300.00	Cs
90.0	25	-0.81	6.00	7.4

Travata: 294 [1086,1087]: L=180.0 cm, Modello =Appoggiata, Crit.Prog: Acciaio_Flessione, $\delta_c = 0.0$ cm:
Verificato

Verifica spostamento nello stato finale (§4.2.4.2.1 - NTC)

x	Comb.	δ_{max}	L/250.00	Cs
cm		mm	mm	
90.0	39	1.08	7.20	6.6

Verifica spostamento elastico dovuto ai soli carichi variabili (§4.2.4.2.1 - NTC)

x	Comb.	δ^2	L/300.00	Cs
cm		mm	mm	
90.0	25	-0.81	6.00	7.4

Travata: 296 [1088,1089]: L=180.0 cm, Modello =Appoggiata, Crit.Prog: Acciaio_Flessione, $\delta_c = 0.0$ cm:
Verificato

Verifica spostamento nello stato finale (§4.2.4.2.1 - NTC)

x	Comb.	δ_{max}	L/250.00	Cs
cm		mm	mm	
90.0	39	1.08	7.20	6.6

Verifica spostamento elastico dovuto ai soli carichi variabili (§4.2.4.2.1 - NTC)

x	Comb.	δ^2	L/300.00	Cs
cm		mm	mm	
90.0	25	-0.81	6.00	7.4

Travata: 297 [1089,1090]: L=180.0 cm, Modello =Appoggiata, Crit.Prog: Acciaio_Flessione, $\delta_c = 0.0$ cm:
Verificato

Verifica spostamento nello stato finale (§4.2.4.2.1 - NTC)

x	Comb.	δ_{max}	L/250.00	Cs
cm		mm	mm	
90.0	39	1.08	7.20	6.6

Verifica spostamento elastico dovuto ai soli carichi variabili (§4.2.4.2.1 - NTC)

x	Comb.	δ^2	L/300.00	Cs
cm		mm	mm	
90.0	25	-0.81	6.00	7.4

Travata: 298 [1090,1091]: L=180.0 cm, Modello =Appoggiata, Crit.Prog: Acciaio_Flessione, $\delta_c = 0.0$ cm:
Verificato

Verifica spostamento nello stato finale (§4.2.4.2.1 - NTC)

x	Comb.	δ_{max}	L/250.00	Cs
cm		mm	mm	
90.0	39	1.08	7.20	6.6

Verifica spostamento elastico dovuto ai soli carichi variabili (§4.2.4.2.1 - NTC)

x	Comb.	δ^2	L/300.00	Cs
cm		mm	mm	
90.0	25	-0.81	6.00	7.4

Travata: 300 [1092,1093]: L=180.0 cm, Modello =Appoggiata, Crit.Prog: Acciaio_Flessione, $\delta_c = 0.0$ cm:
Verificato

Verifica spostamento nello stato finale (§4.2.4.2.1 - NTC)

x	Comb.	δ_{max}	L/250.00	Cs
cm		mm	mm	
90.0	39	1.08	7.20	6.6

Verifica spostamento elastico dovuto ai soli carichi variabili (§4.2.4.2.1 - NTC)

x	Comb.	δ_2	L/300.00	Cs
cm		mm	mm	
90.0	25	-0.81	6.00	7.4

Travata: 301 [1093,1094]: L=180.0 cm, Modello =Appoggiata, Crit.Prog: Acciaio_Flessione, $\delta_c = 0.0$ cm:
Verificato

Verifica spostamento nello stato finale (§4.2.4.2.1 - NTC)

x	Comb.	δ_{max}	L/250.00	Cs
cm		mm	mm	
90.0	39	1.08	7.20	6.6

Verifica spostamento elastico dovuto ai soli carichi variabili (§4.2.4.2.1 - NTC)

x	Comb.	δ_2	L/300.00	Cs
cm		mm	mm	
90.0	25	-0.81	6.00	7.4

Travata: 302 [1094,1095]: L=180.0 cm, Modello =Appoggiata, Crit.Prog: Acciaio_Flessione, $\delta_c = 0.0$ cm:
Verificato

Verifica spostamento nello stato finale (§4.2.4.2.1 - NTC)

x	Comb.	δ_{max}	L/250.00	Cs
cm		mm	mm	
90.0	39	1.08	7.20	6.6

Verifica spostamento elastico dovuto ai soli carichi variabili (§4.2.4.2.1 - NTC)

x	Comb.	δ_2	L/300.00	Cs
cm		mm	mm	
90.0	25	-0.81	6.00	7.4

Travata: 304 [1096,1097]: L=180.0 cm, Modello =Appoggiata, Crit.Prog: Acciaio_Flessione, $\delta_c = 0.0$ cm:
Verificato

Verifica spostamento nello stato finale (§4.2.4.2.1 - NTC)

x	Comb.	δ_{max}	L/250.00	Cs
cm		mm	mm	
90.0	39	1.08	7.20	6.6

Verifica spostamento elastico dovuto ai soli carichi variabili (§4.2.4.2.1 - NTC)

x	Comb.	δ_2	L/300.00	Cs
cm		mm	mm	
90.0	25	-0.81	6.00	7.4

Travata: 305 [1097,1098]: L=180.0 cm, Modello =Appoggiata, Crit.Prog: Acciaio_Flessione, $\delta_c = 0.0$ cm:
Verificato

Verifica spostamento nello stato finale (§4.2.4.2.1 - NTC)

x	Comb.	δ_{max}	L/250.00	Cs
cm		mm	mm	
90.0	39	1.08	7.20	6.6

Verifica spostamento elastico dovuto ai soli carichi variabili (§4.2.4.2.1 - NTC)

x	Comb.	δ_2	L/300.00	Cs
cm		mm	mm	
90.0	25	-0.81	6.00	7.4

Travata: 306 [1098,1099]: L=180.0 cm, Modello =Appoggiata, Crit.Prog: Acciaio_Flessione, $\delta_c = 0.0$ cm:
Verificato

Verifica spostamento nello stato finale (§4.2.4.2.1 - NTC)

x	Comb.	δ_{max}	L/250.00	Cs
cm		mm	mm	

x	Comb.	δ_{max}	L/250.00	Cs
90.0	39	1.08	7.20	6.6

Verifica spostamento elastico dovuto ai soli carichi variabili (§4.2.4.2.1 - NTC)

x	Comb.	δ_2	L/300.00	Cs
cm		mm	mm	
90.0	25	-0.81	6.00	7.4

Travata: 308 [1100,1101]: L=180.0 cm, Modello =Appoggiata, Crit.Prog: Acciaio_Flessione, $\delta_c = 0.0$ cm:
Verificato

Verifica spostamento nello stato finale (§4.2.4.2.1 - NTC)

x	Comb.	δ_{max}	L/250.00	Cs
cm		mm	mm	
90.0	39	1.08	7.20	6.6

Verifica spostamento elastico dovuto ai soli carichi variabili (§4.2.4.2.1 - NTC)

x	Comb.	δ_2	L/300.00	Cs
cm		mm	mm	
90.0	25	-0.81	6.00	7.4

Travata: 309 [1101,1102]: L=180.0 cm, Modello =Appoggiata, Crit.Prog: Acciaio_Flessione, $\delta_c = 0.0$ cm:
Verificato

Verifica spostamento nello stato finale (§4.2.4.2.1 - NTC)

x	Comb.	δ_{max}	L/250.00	Cs
cm		mm	mm	
90.0	39	1.08	7.20	6.6

Verifica spostamento elastico dovuto ai soli carichi variabili (§4.2.4.2.1 - NTC)

x	Comb.	δ_2	L/300.00	Cs
cm		mm	mm	
90.0	25	-0.81	6.00	7.4

Travata: 310 [1102,1103]: L=180.0 cm, Modello =Appoggiata, Crit.Prog: Acciaio_Flessione, $\delta_c = 0.0$ cm:
Verificato

Verifica spostamento nello stato finale (§4.2.4.2.1 - NTC)

x	Comb.	δ_{max}	L/250.00	Cs
cm		mm	mm	
90.0	39	1.08	7.20	6.6

Verifica spostamento elastico dovuto ai soli carichi variabili (§4.2.4.2.1 - NTC)

x	Comb.	δ_2	L/300.00	Cs
cm		mm	mm	
90.0	25	-0.81	6.00	7.4

Travata: 312 [1104,1105]: L=180.0 cm, Modello =Appoggiata, Crit.Prog: Acciaio_Flessione, $\delta_c = 0.0$ cm:
Verificato

Verifica spostamento nello stato finale (§4.2.4.2.1 - NTC)

x	Comb.	δ_{max}	L/250.00	Cs
cm		mm	mm	
90.0	39	1.08	7.20	6.6

Verifica spostamento elastico dovuto ai soli carichi variabili (§4.2.4.2.1 - NTC)

x	Comb.	δ_2	L/300.00	Cs
cm		mm	mm	
90.0	25	-0.81	6.00	7.4

Travata: 313 [1105,1106]: L=180.0 cm, Modello =Appoggiata, Crit.Prog: Acciaio_Flessione, $\delta_c = 0.0$ cm:
Verificato

Verifica spostamento nello stato finale (§4.2.4.2.1 - NTC)

x	Comb.	δ_{max}	L/250.00	Cs
cm		mm	mm	
90.0	39	1.08	7.20	6.6

Verifica spostamento elastico dovuto ai soli carichi variabili (§4.2.4.2.1 - NTC)

x	Comb.	δ_2	L/300.00	Cs
cm		mm	mm	
90.0	25	-0.81	6.00	7.4

Travata: 314 [1106,1107]: L=180.0 cm, Modello =Appoggiata, Crit.Prog: Acciaio_Flessione, $\delta_c = 0.0$ cm:
Verificato

Verifica spostamento nello stato finale (§4.2.4.2.1 - NTC)

x	Comb.	δ_{max}	L/250.00	Cs
cm		mm	mm	
90.0	39	1.08	7.20	6.6

Verifica spostamento elastico dovuto ai soli carichi variabili (§4.2.4.2.1 - NTC)

x	Comb.	δ_2	L/300.00	Cs
cm		mm	mm	
90.0	25	-0.81	6.00	7.4

Travata: 227 [1024,1025]: L=180.0 cm, Modello =Appoggiata, Crit.Prog: Acciaio_Flessione, $\delta_c = 0.0$ cm:
Verificato

Verifica spostamento nello stato finale (§4.2.4.2.1 - NTC)

x	Comb.	δ_{max}	L/250.00	Cs
cm		mm	mm	
90.0	26	-0.32	7.20	22

Verifica spostamento elastico dovuto ai soli carichi variabili (§4.2.4.2.1 - NTC)

x	Comb.	δ_2	L/300.00	Cs
cm		mm	mm	
90.0	26	-0.30	6.00	20

Travata: 231 [1028,1029]: L=180.0 cm, Modello =Appoggiata, Crit.Prog: Acciaio_Flessione, $\delta_c = 0.0$ cm:
Verificato

Verifica spostamento nello stato finale (§4.2.4.2.1 - NTC)

x	Comb.	δ_{max}	L/250.00	Cs
cm		mm	mm	
90.0	26	-0.25	7.20	28

Verifica spostamento elastico dovuto ai soli carichi variabili (§4.2.4.2.1 - NTC)

x	Comb.	δ_2	L/300.00	Cs
cm		mm	mm	
90.0	26	-0.27	6.00	23

Travata: 235 [1032,1033]: L=180.0 cm, Modello =Appoggiata, Crit.Prog: Acciaio_Flessione, $\delta_c = 0.0$ cm:
Verificato

Verifica spostamento nello stato finale (§4.2.4.2.1 - NTC)

x	Comb.	δ_{max}	L/250.00	Cs
cm		mm	mm	
90.0	26	-0.25	7.20	28

Verifica spostamento elastico dovuto ai soli carichi variabili (§4.2.4.2.1 - NTC)

x	Comb.	δ_2	L/300.00	Cs
cm		mm	mm	
90.0	26	-0.27	6.00	23

Travata: 239 [1036,1037]: L=180.0 cm, Modello =Appoggiata, Crit.Prog: Acciaio_Flessione, $\delta_c = 0.0$ cm:

Verificato

Verifica spostamento nello stato finale (§4.2.4.2.1 - NTC)

x	Comb.	δ_{max}	L/250.00	Cs
cm		mm	mm	
90.0	26	-0.25	7.20	28

Verifica spostamento elastico dovuto ai soli carichi variabili (§4.2.4.2.1 - NTC)

x	Comb.	δ_2	L/300.00	Cs
cm		mm	mm	
90.0	26	-0.27	6.00	23

Travata: 243 [1040,1041]: L=180.0 cm, Modello =Appoggiata, Crit.Prog: Acciaio_Flessione, $\delta_c = 0.0$ cm:**Verificato**

Verifica spostamento nello stato finale (§4.2.4.2.1 - NTC)

x	Comb.	δ_{max}	L/250.00	Cs
cm		mm	mm	
90.0	26	-0.25	7.20	28

Verifica spostamento elastico dovuto ai soli carichi variabili (§4.2.4.2.1 - NTC)

x	Comb.	δ_2	L/300.00	Cs
cm		mm	mm	
90.0	26	-0.27	6.00	23

Travata: 247 [1044,1045]: L=180.0 cm, Modello =Appoggiata, Crit.Prog: Acciaio_Flessione, $\delta_c = 0.0$ cm:**Verificato**

Verifica spostamento nello stato finale (§4.2.4.2.1 - NTC)

x	Comb.	δ_{max}	L/250.00	Cs
cm		mm	mm	
90.0	26	-0.25	7.20	28

Verifica spostamento elastico dovuto ai soli carichi variabili (§4.2.4.2.1 - NTC)

x	Comb.	δ_2	L/300.00	Cs
cm		mm	mm	
90.0	26	-0.27	6.00	23

Travata: 251 [1048,1049]: L=180.0 cm, Modello =Appoggiata, Crit.Prog: Acciaio_Flessione, $\delta_c = 0.0$ cm:**Verificato**

Verifica spostamento nello stato finale (§4.2.4.2.1 - NTC)

x	Comb.	δ_{max}	L/250.00	Cs
cm		mm	mm	
90.0	26	-0.25	7.20	28

Verifica spostamento elastico dovuto ai soli carichi variabili (§4.2.4.2.1 - NTC)

x	Comb.	δ_2	L/300.00	Cs
cm		mm	mm	
90.0	26	-0.27	6.00	23

Travata: 255 [1052,1053]: L=180.0 cm, Modello =Appoggiata, Crit.Prog: Acciaio_Flessione, $\delta_c = 0.0$ cm:**Verificato**

Verifica spostamento nello stato finale (§4.2.4.2.1 - NTC)

x	Comb.	δ_{max}	L/250.00	Cs
cm		mm	mm	
90.0	26	-0.25	7.20	28

Verifica spostamento elastico dovuto ai soli carichi variabili (§4.2.4.2.1 - NTC)

x	Comb.	δ_2	L/300.00	Cs
cm		mm	mm	
90.0	26	-0.27	6.00	23

Travata: 259 [1056,1057]: L=180.0 cm, Modello =Appoggiata, Crit.Prog: Acciaio_Flessione, $\delta c = 0.0$ cm:
Verificato

Verifica spostamento nello stato finale (§4.2.4.2.1 - NTC)

x	Comb.	δ_{max}	L/250.00	Cs
cm		mm	mm	
90.0	26	-0.25	7.20	28

Verifica spostamento elastico dovuto ai soli carichi variabili (§4.2.4.2.1 - NTC)

x	Comb.	δ_2	L/300.00	Cs
cm		mm	mm	
90.0	26	-0.27	6.00	23

Travata: 263 [1060,1061]: L=180.0 cm, Modello =Appoggiata, Crit.Prog: Acciaio_Flessione, $\delta c = 0.0$ cm:
Verificato

Verifica spostamento nello stato finale (§4.2.4.2.1 - NTC)

x	Comb.	δ_{max}	L/250.00	Cs
cm		mm	mm	
90.0	26	-0.25	7.20	28

Verifica spostamento elastico dovuto ai soli carichi variabili (§4.2.4.2.1 - NTC)

x	Comb.	δ_2	L/300.00	Cs
cm		mm	mm	
90.0	26	-0.27	6.00	23

Travata: 228 [1025,1026]: L=180.0 cm, Modello =Appoggiata, Crit.Prog: Acciaio_Flessione, $\delta c = 0.0$ cm:
Verificato

Verifica spostamento nello stato finale (§4.2.4.2.1 - NTC)

x	Comb.	δ_{max}	L/250.00	Cs
cm		mm	mm	
90.0	26	-0.25	7.20	29

Verifica spostamento elastico dovuto ai soli carichi variabili (§4.2.4.2.1 - NTC)

x	Comb.	δ_2	L/300.00	Cs
cm		mm	mm	
90.0	26	-0.26	6.00	23

Travata: 229 [1026,1027]: L=180.0 cm, Modello =Appoggiata, Crit.Prog: Acciaio_Flessione, $\delta c = 0.0$ cm:
Verificato

Verifica spostamento nello stato finale (§4.2.4.2.1 - NTC)

x	Comb.	δ_{max}	L/250.00	Cs
cm		mm	mm	
90.0	26	-0.25	7.20	28

Verifica spostamento elastico dovuto ai soli carichi variabili (§4.2.4.2.1 - NTC)

x	Comb.	δ_2	L/300.00	Cs
cm		mm	mm	
90.0	26	-0.27	6.00	23

Travata: 230 [1027,1028]: L=180.0 cm, Modello =Appoggiata, Crit.Prog: Acciaio_Flessione, $\delta c = 0.0$ cm:
Verificato

Verifica spostamento nello stato finale (§4.2.4.2.1 - NTC)

x	Comb.	δ_{max}	L/250.00	Cs
cm		mm	mm	
90.0	26	-0.25	7.20	28

Verifica spostamento elastico dovuto ai soli carichi variabili (§4.2.4.2.1 - NTC)

x	Comb.	δ_2	L/300.00	Cs
cm		mm	mm	
90.0	26	-0.27	6.00	23

Travata: 232 [1029,1030]: L=180.0 cm, Modello =Appoggiata, Crit.Prog: Acciaio_Flessione, $\delta_c = 0.0$ cm:
Verificato

Verifica spostamento nello stato finale (§4.2.4.2.1 - NTC)

x	Comb.	δ_{max}	L/250.00	Cs
cm		mm	mm	
90.0	26	-0.25	7.20	28

Verifica spostamento elastico dovuto ai soli carichi variabili (§4.2.4.2.1 - NTC)

x	Comb.	δ_2	L/300.00	Cs
cm		mm	mm	
90.0	26	-0.27	6.00	23

Travata: 233 [1030,1031]: L=180.0 cm, Modello =Appoggiata, Crit.Prog: Acciaio_Flessione, $\delta_c = 0.0$ cm:
Verificato

Verifica spostamento nello stato finale (§4.2.4.2.1 - NTC)

x	Comb.	δ_{max}	L/250.00	Cs
cm		mm	mm	
90.0	26	-0.25	7.20	28

Verifica spostamento elastico dovuto ai soli carichi variabili (§4.2.4.2.1 - NTC)

x	Comb.	δ_2	L/300.00	Cs
cm		mm	mm	
90.0	26	-0.27	6.00	23

Travata: 234 [1031,1032]: L=180.0 cm, Modello =Appoggiata, Crit.Prog: Acciaio_Flessione, $\delta_c = 0.0$ cm:
Verificato

Verifica spostamento nello stato finale (§4.2.4.2.1 - NTC)

x	Comb.	δ_{max}	L/250.00	Cs
cm		mm	mm	
90.0	26	-0.25	7.20	28

Verifica spostamento elastico dovuto ai soli carichi variabili (§4.2.4.2.1 - NTC)

x	Comb.	δ_2	L/300.00	Cs
cm		mm	mm	
90.0	26	-0.27	6.00	23

Travata: 236 [1033,1034]: L=180.0 cm, Modello =Appoggiata, Crit.Prog: Acciaio_Flessione, $\delta_c = 0.0$ cm:
Verificato

Verifica spostamento nello stato finale (§4.2.4.2.1 - NTC)

x	Comb.	δ_{max}	L/250.00	Cs
cm		mm	mm	
90.0	26	-0.25	7.20	28

Verifica spostamento elastico dovuto ai soli carichi variabili (§4.2.4.2.1 - NTC)

x	Comb.	δ_2	L/300.00	Cs
cm		mm	mm	
90.0	26	-0.27	6.00	23

Travata: 237 [1034,1035]: L=180.0 cm, Modello =Appoggiata, Crit.Prog: Acciaio_Flessione, $\delta_c = 0.0$ cm:
Verificato

Verifica spostamento nello stato finale (§4.2.4.2.1 - NTC)

x	Comb.	δ_{max}	L/250.00	Cs
cm		mm	mm	
90.0	26	-0.25	7.20	28

Verifica spostamento elastico dovuto ai soli carichi variabili (§4.2.4.2.1 - NTC)

x	Comb.	δ_2	L/300.00	Cs
cm		mm	mm	
90.0	26	-0.27	6.00	23

Travata: 238 [1035,1036]: L=180.0 cm, Modello =Appoggiata, Crit.Prog: Acciaio_Flessione, $\delta_c = 0.0$ cm:
Verificato

Verifica spostamento nello stato finale (§4.2.4.2.1 - NTC)

x	Comb.	δ_{max}	L/250.00	Cs
cm		mm	mm	
90.0	26	-0.25	7.20	28

Verifica spostamento elastico dovuto ai soli carichi variabili (§4.2.4.2.1 - NTC)

x	Comb.	δ_2	L/300.00	Cs
cm		mm	mm	
90.0	26	-0.27	6.00	23

Travata: 240 [1037,1038]: L=180.0 cm, Modello =Appoggiata, Crit.Prog: Acciaio_Flessione, $\delta_c = 0.0$ cm:
Verificato

Verifica spostamento nello stato finale (§4.2.4.2.1 - NTC)

x	Comb.	δ_{max}	L/250.00	Cs
cm		mm	mm	
90.0	26	-0.25	7.20	28

Verifica spostamento elastico dovuto ai soli carichi variabili (§4.2.4.2.1 - NTC)

x	Comb.	δ_2	L/300.00	Cs
cm		mm	mm	
90.0	26	-0.27	6.00	23

Travata: 241 [1038,1039]: L=180.0 cm, Modello =Appoggiata, Crit.Prog: Acciaio_Flessione, $\delta_c = 0.0$ cm:
Verificato

Verifica spostamento nello stato finale (§4.2.4.2.1 - NTC)

x	Comb.	δ_{max}	L/250.00	Cs
cm		mm	mm	
90.0	26	-0.25	7.20	28

Verifica spostamento elastico dovuto ai soli carichi variabili (§4.2.4.2.1 - NTC)

x	Comb.	δ_2	L/300.00	Cs
cm		mm	mm	
90.0	26	-0.27	6.00	23

Travata: 242 [1039,1040]: L=180.0 cm, Modello =Appoggiata, Crit.Prog: Acciaio_Flessione, $\delta_c = 0.0$ cm:
Verificato

Verifica spostamento nello stato finale (§4.2.4.2.1 - NTC)

x	Comb.	δ_{max}	L/250.00	Cs
cm		mm	mm	
90.0	26	-0.25	7.20	28

Verifica spostamento elastico dovuto ai soli carichi variabili (§4.2.4.2.1 - NTC)

x	Comb.	δ_2	L/300.00	Cs
cm		mm	mm	
90.0	26	-0.27	6.00	23

Travata: 244 [1041,1042]: L=180.0 cm, Modello =Appoggiata, Crit.Prog: Acciaio_Flessione, $\delta_c = 0.0$ cm:
Verificato

Verifica spostamento nello stato finale (§4.2.4.2.1 - NTC)

x	Comb.	δ_{max}	L/250.00	Cs
cm		mm	mm	
90.0	26	-0.25	7.20	28

Verifica spostamento elastico dovuto ai soli carichi variabili (§4.2.4.2.1 - NTC)

x	Comb.	δ_2	L/300.00	Cs
cm		mm	mm	
90.0	26	-0.27	6.00	23

Travata: 245 [1042,1043]: L=180.0 cm, Modello =Appoggiata, Crit.Prog: Acciaio_Flessione, $\delta_c = 0.0$ cm:
Verificato

Verifica spostamento nello stato finale (§4.2.4.2.1 - NTC)

x	Comb.	δ_{max}	L/250.00	Cs
cm		mm	mm	
90.0	26	-0.25	7.20	28

Verifica spostamento elastico dovuto ai soli carichi variabili (§4.2.4.2.1 - NTC)

x	Comb.	δ_2	L/300.00	Cs
cm		mm	mm	
90.0	26	-0.27	6.00	23

Travata: 246 [1043,1044]: L=180.0 cm, Modello =Appoggiata, Crit.Prog: Acciaio_Flessione, $\delta_c = 0.0$ cm:
Verificato

Verifica spostamento nello stato finale (§4.2.4.2.1 - NTC)

x	Comb.	δ_{max}	L/250.00	Cs
cm		mm	mm	
90.0	26	-0.25	7.20	28

Verifica spostamento elastico dovuto ai soli carichi variabili (§4.2.4.2.1 - NTC)

x	Comb.	δ_2	L/300.00	Cs
cm		mm	mm	
90.0	26	-0.27	6.00	23

Travata: 248 [1045,1046]: L=180.0 cm, Modello =Appoggiata, Crit.Prog: Acciaio_Flessione, $\delta_c = 0.0$ cm:
Verificato

Verifica spostamento nello stato finale (§4.2.4.2.1 - NTC)

x	Comb.	δ_{max}	L/250.00	Cs
cm		mm	mm	
90.0	26	-0.25	7.20	28

Verifica spostamento elastico dovuto ai soli carichi variabili (§4.2.4.2.1 - NTC)

x	Comb.	δ_2	L/300.00	Cs
cm		mm	mm	
90.0	26	-0.27	6.00	23

Travata: 249 [1046,1047]: L=180.0 cm, Modello =Appoggiata, Crit.Prog: Acciaio_Flessione, $\delta_c = 0.0$ cm:
Verificato

Verifica spostamento nello stato finale (§4.2.4.2.1 - NTC)

x	Comb.	δ_{max}	L/250.00	Cs
cm		mm	mm	
90.0	26	-0.25	7.20	28

Verifica spostamento elastico dovuto ai soli carichi variabili (§4.2.4.2.1 - NTC)

x	Comb.	δ_2	L/300.00	Cs
cm		mm	mm	
90.0	26	-0.27	6.00	23

Travata: 250 [1047,1048]: L=180.0 cm, Modello =Appoggiata, Crit.Prog: Acciaio_Flessione, $\delta_c = 0.0$ cm:
Verificato

Verifica spostamento nello stato finale (§4.2.4.2.1 - NTC)

x	Comb.	δ_{max}	L/250.00	Cs
cm		mm	mm	
90.0	26	-0.25	7.20	28

Verifica spostamento elastico dovuto ai soli carichi variabili (§4.2.4.2.1 - NTC)

x	Comb.	δ_2	L/300.00	Cs
cm		mm	mm	
90.0	26	-0.27	6.00	23

Travata: 252 [1049,1050]: L=180.0 cm, Modello =Appoggiata, Crit.Prog: Acciaio_Flessione, $\delta_c = 0.0$ cm:
Verificato

Verifica spostamento nello stato finale (§4.2.4.2.1 - NTC)

x	Comb.	δ_{max}	L/250.00	Cs
cm		mm	mm	
90.0	26	-0.25	7.20	28

Verifica spostamento elastico dovuto ai soli carichi variabili (§4.2.4.2.1 - NTC)

x	Comb.	δ_2	L/300.00	Cs
cm		mm	mm	
90.0	26	-0.27	6.00	23

Travata: 253 [1050,1051]: L=180.0 cm, Modello =Appoggiata, Crit.Prog: Acciaio_Flessione, $\delta_c = 0.0$ cm:
Verificato

Verifica spostamento nello stato finale (§4.2.4.2.1 - NTC)

x	Comb.	δ_{max}	L/250.00	Cs
cm		mm	mm	
90.0	26	-0.25	7.20	28

Verifica spostamento elastico dovuto ai soli carichi variabili (§4.2.4.2.1 - NTC)

x	Comb.	δ_2	L/300.00	Cs
cm		mm	mm	
90.0	26	-0.27	6.00	23

Travata: 254 [1051,1052]: L=180.0 cm, Modello =Appoggiata, Crit.Prog: Acciaio_Flessione, $\delta_c = 0.0$ cm:
Verificato

Verifica spostamento nello stato finale (§4.2.4.2.1 - NTC)

x	Comb.	δ_{max}	L/250.00	Cs
cm		mm	mm	
90.0	26	-0.25	7.20	28

Verifica spostamento elastico dovuto ai soli carichi variabili (§4.2.4.2.1 - NTC)

x	Comb.	δ_2	L/300.00	Cs
cm		mm	mm	
90.0	26	-0.27	6.00	23

Travata: 256 [1053,1054]: L=180.0 cm, Modello =Appoggiata, Crit.Prog: Acciaio_Flessione, $\delta_c = 0.0$ cm:
Verificato

Verifica spostamento nello stato finale (§4.2.4.2.1 - NTC)

x	Comb.	δ_{max}	L/250.00	Cs
cm		mm	mm	
90.0	26	-0.25	7.20	28

Verifica spostamento elastico dovuto ai soli carichi variabili (§4.2.4.2.1 - NTC)

x	Comb.	δ_2	L/300.00	Cs
cm		mm	mm	
90.0	26	-0.27	6.00	23

Travata: 257 [1054,1055]: L=180.0 cm, Modello =Appoggiata, Crit.Prog: Acciaio_Flessione, $\delta c = 0.0$ cm:
Verificato

Verifica spostamento nello stato finale (§4.2.4.2.1 - NTC)

x	Comb.	δ_{max}	L/250.00	Cs
cm		mm	mm	
90.0	26	-0.25	7.20	28

Verifica spostamento elastico dovuto ai soli carichi variabili (§4.2.4.2.1 - NTC)

x	Comb.	δ_2	L/300.00	Cs
cm		mm	mm	
90.0	26	-0.27	6.00	23

Travata: 258 [1055,1056]: L=180.0 cm, Modello =Appoggiata, Crit.Prog: Acciaio_Flessione, $\delta c = 0.0$ cm:
Verificato

Verifica spostamento nello stato finale (§4.2.4.2.1 - NTC)

x	Comb.	δ_{max}	L/250.00	Cs
cm		mm	mm	
90.0	26	-0.25	7.20	28

Verifica spostamento elastico dovuto ai soli carichi variabili (§4.2.4.2.1 - NTC)

x	Comb.	δ_2	L/300.00	Cs
cm		mm	mm	
90.0	26	-0.27	6.00	23

Travata: 260 [1057,1058]: L=180.0 cm, Modello =Appoggiata, Crit.Prog: Acciaio_Flessione, $\delta c = 0.0$ cm:
Verificato

Verifica spostamento nello stato finale (§4.2.4.2.1 - NTC)

x	Comb.	δ_{max}	L/250.00	Cs
cm		mm	mm	
90.0	26	-0.25	7.20	28

Verifica spostamento elastico dovuto ai soli carichi variabili (§4.2.4.2.1 - NTC)

x	Comb.	δ_2	L/300.00	Cs
cm		mm	mm	
90.0	26	-0.27	6.00	23

Travata: 261 [1058,1059]: L=180.0 cm, Modello =Appoggiata, Crit.Prog: Acciaio_Flessione, $\delta c = 0.0$ cm:
Verificato

Verifica spostamento nello stato finale (§4.2.4.2.1 - NTC)

x	Comb.	δ_{max}	L/250.00	Cs
cm		mm	mm	
90.0	26	-0.25	7.20	28

Verifica spostamento elastico dovuto ai soli carichi variabili (§4.2.4.2.1 - NTC)

x	Comb.	δ_2	L/300.00	Cs
cm		mm	mm	
90.0	26	-0.27	6.00	23

Travata: 262 [1059,1060]: L=180.0 cm, Modello =Appoggiata, Crit.Prog: Acciaio_Flessione, $\delta c = 0.0$ cm:
Verificato

Verifica spostamento nello stato finale (§4.2.4.2.1 - NTC)

x	Comb.	δ_{max}	L/250.00	Cs
cm		mm	mm	
90.0	26	-0.25	7.20	28

Verifica spostamento elastico dovuto ai soli carichi variabili (§4.2.4.2.1 - NTC)

x	Comb.	δ_2	L/300.00	Cs
cm		mm	mm	

x	Comb.	δ_2	L/300.00	Cs
90.0	26	-0.27	6.00	23

Travata: 264 [1061,1062]: L=180.0 cm, Modello =Appoggiata, Crit.Prog: Acciaio_Flessione, $\delta_c = 0.0$ cm:
Verificato

Verifica spostamento nello stato finale (§4.2.4.2.1 - NTC)

x	Comb.	δ_{max}	L/250.00	Cs
cm		mm	mm	
90.0	26	-0.25	7.20	28

Verifica spostamento elastico dovuto ai soli carichi variabili (§4.2.4.2.1 - NTC)

x	Comb.	δ_2	L/300.00	Cs
cm		mm	mm	
90.0	26	-0.27	6.00	23

Travata: 265 [1062,1063]: L=180.0 cm, Modello =Appoggiata, Crit.Prog: Acciaio_Flessione, $\delta_c = 0.0$ cm:
Verificato

Verifica spostamento nello stato finale (§4.2.4.2.1 - NTC)

x	Comb.	δ_{max}	L/250.00	Cs
cm		mm	mm	
90.0	26	-0.24	7.20	30

Verifica spostamento elastico dovuto ai soli carichi variabili (§4.2.4.2.1 - NTC)

x	Comb.	δ_2	L/300.00	Cs
cm		mm	mm	
90.0	26	-0.25	6.00	24

Travata: 266 [1063,1064]: L=180.0 cm, Modello =Appoggiata, Crit.Prog: Acciaio_Flessione, $\delta_c = 0.0$ cm:
Verificato

Verifica spostamento nello stato finale (§4.2.4.2.1 - NTC)

x	Comb.	δ_{max}	L/250.00	Cs
cm		mm	mm	
90.0	26	-0.30	7.20	24

Verifica spostamento elastico dovuto ai soli carichi variabili (§4.2.4.2.1 - NTC)

x	Comb.	δ_2	L/300.00	Cs
cm		mm	mm	
90.0	26	-0.28	6.00	21

Travata: 315 [1107,1108]: L=200.0 cm, Modello =Appoggiata, Crit.Prog: Acciaio_Flessione, $\delta_c = 0.0$ cm:
Verificato

Verifica spostamento nello stato finale (§4.2.4.2.1 - NTC)

x	Comb.	δ_{max}	L/250.00	Cs
cm		mm	mm	
100.0	39	1.64	8.00	4.9

Verifica spostamento elastico dovuto ai soli carichi variabili (§4.2.4.2.1 - NTC)

x	Comb.	δ_2	L/300.00	Cs
cm		mm	mm	
100.0	39	1.18	6.67	5.6

Travata: 441 [1318,1319]: L=200.0 cm, Modello =Appoggiata, Crit.Prog: Acciaio_Flessione, $\delta_c = 0.0$ cm:
Verificato

Verifica spostamento nello stato finale (§4.2.4.2.1 - NTC)

x	Comb.	δ_{max}	L/250.00	Cs
cm		mm	mm	
100.0	39	1.61	8.00	5.0

Verifica spostamento elastico dovuto ai soli carichi variabili (§4.2.4.2.1 - NTC)

x	Comb.	δ_2	L/300.00	Cs
cm		mm	mm	
100.0	25	-1.28	6.67	5.2

Travata: 101 [1011,1149]: L=200.0 cm, Modello =Sbalzo, Crit.Prog: Acciaio_FlessTors, $\delta_c = 0.0$ cm:
Verificato

Verifica spostamento nello stato finale (§4.2.4.2.1 - NTC)

x	Comb.	δ_{max}	L/125.00	Cs
cm		mm	mm	
200.0	26	1.87	16.00	8.5

Verifica spostamento elastico dovuto ai soli carichi variabili (§4.2.4.2.1 - NTC)

x	Comb.	δ_2	L/150.00	Cs
cm		mm	mm	
200.0	26	1.61	13.33	8.3

Travata: 102 [1022,1276]: L=200.0 cm, Modello =Sbalzo, Crit.Prog: Acciaio_FlessTors, $\delta_c = 0.0$ cm:
Verificato

Verifica spostamento nello stato finale (§4.2.4.2.1 - NTC)

x	Comb.	δ_{max}	L/125.00	Cs
cm		mm	mm	
200.0	26	2.24	16.00	7.1

Verifica spostamento elastico dovuto ai soli carichi variabili (§4.2.4.2.1 - NTC)

x	Comb.	δ_2	L/150.00	Cs
cm		mm	mm	
200.0	26	1.71	13.33	7.8

Travata: 399 [1234,1235]: L=200.0 cm, Modello =Appoggiata, Crit.Prog: Acciaio_Flessione, $\delta_c = 0.0$ cm:
Verificato

Verifica spostamento nello stato finale (§4.2.4.2.1 - NTC)

x	Comb.	δ_{max}	L/250.00	Cs
cm		mm	mm	
100.0	39	1.96	8.00	4.1

Verifica spostamento elastico dovuto ai soli carichi variabili (§4.2.4.2.1 - NTC)

x	Comb.	δ_2	L/300.00	Cs
cm		mm	mm	
100.0	39	1.42	6.67	4.7

Travata: 267 [1064,1065]: L=200.0 cm, Modello =Appoggiata, Crit.Prog: Acciaio_Flessione, $\delta_c = 0.0$ cm:
Verificato

Verifica spostamento nello stato finale (§4.2.4.2.1 - NTC)

x	Comb.	δ_{max}	L/250.00	Cs
cm		mm	mm	
100.0	26	-0.38	8.00	21

Verifica spostamento elastico dovuto ai soli carichi variabili (§4.2.4.2.1 - NTC)

x	Comb.	δ_2	L/300.00	Cs
cm		mm	mm	
100.0	26	-0.36	6.67	18

Travata: 525 [1405,1404]: L=200.0 cm, Modello =Appoggiata, Crit.Prog: Acciaio_Flessione, $\delta_c = 0.0$ cm:
Verificato

Verifica spostamento nello stato finale (§4.2.4.2.1 - NTC)

x	Comb.	δ_{max}	L/250.00	Cs
cm		mm	mm	

x	Comb.	δ_{max}	L/250.00	Cs
100.0	26	-0.41	8.00	19

Verifica spostamento elastico dovuto ai soli carichi variabili (§4.2.4.2.1 - NTC)

x	Comb.	δ_2	L/300.00	Cs
cm		mm	mm	
100.0	26	-0.40	6.67	17

Travata: 483 [1361,1362]: L=200.0 cm, Modello =Appoggiata, Crit.Prog: Acciaio_Flessione, $\delta_c = 0.0$ cm:
Verificato

Verifica spostamento nello stato finale (§4.2.4.2.1 - NTC)

x	Comb.	δ_{max}	L/250.00	Cs
cm		mm	mm	
100.0	39	1.53	8.00	5.2

Verifica spostamento elastico dovuto ai soli carichi variabili (§4.2.4.2.1 - NTC)

x	Comb.	δ_2	L/300.00	Cs
cm		mm	mm	
100.0	25	-1.24	6.67	5.4

Travata: 357 [1191,1192]: L=200.0 cm, Modello =Appoggiata, Crit.Prog: Acciaio_Flessione, $\delta_c = 0.0$ cm:
Verificato

Verifica spostamento nello stato finale (§4.2.4.2.1 - NTC)

x	Comb.	δ_{max}	L/250.00	Cs
cm		mm	mm	
100.0	39	1.96	8.00	4.1

Verifica spostamento elastico dovuto ai soli carichi variabili (§4.2.4.2.1 - NTC)

x	Comb.	δ_2	L/300.00	Cs
cm		mm	mm	
100.0	39	1.42	6.67	4.7

Travata: 612 [1023,1024]: L=200.0 cm, Modello =Appoggiata, Crit.Prog: Acciaio_Flessione, $\delta_c = 0.0$ cm:
Verificato

Verifica spostamento nello stato finale (§4.2.4.2.1 - NTC)

x	Comb.	δ_{max}	L/250.00	Cs
cm		mm	mm	
100.0	26	-0.40	8.00	20

Verifica spostamento elastico dovuto ai soli carichi variabili (§4.2.4.2.1 - NTC)

x	Comb.	δ_2	L/300.00	Cs
cm		mm	mm	
100.0	26	-0.37	6.67	18

Travata: 442 [1320,1321]: L=200.0 cm, Modello =Appoggiata, Crit.Prog: Acciaio_Flessione, $\delta_c = 0.0$ cm:
Verificato

Verifica spostamento nello stato finale (§4.2.4.2.1 - NTC)

x	Comb.	δ_{max}	L/250.00	Cs
cm		mm	mm	
100.0	39	1.79	8.00	4.5

Verifica spostamento elastico dovuto ai soli carichi variabili (§4.2.4.2.1 - NTC)

x	Comb.	δ_2	L/300.00	Cs
cm		mm	mm	
100.0	39	1.33	6.67	5.0

Travata: 101 [1109,1001]: L=200.0 cm, Modello =Sbalzo, Crit.Prog: Acciaio_FlessTors, $\delta_c = 0.0$ cm:
Verificato

Verifica spostamento nello stato finale (§4.2.4.2.1 - NTC)

x	Comb.	δ_{max}	L/125.00	Cs
cm		mm	mm	
0.0	26	1.81	16.00	8.8

Verifica spostamento elastico dovuto ai soli carichi variabili (§4.2.4.2.1 - NTC)

x	Comb.	δ_2	L/150.00	Cs
cm		mm	mm	
0.0	26	1.55	13.33	8.6

Travata: 102 [1236,1012]: L=200.0 cm, Modello =Sbalzo, Crit.Prog: Acciaio_FlessTors, $\delta_c = 0.0$ cm:
Verificato

Verifica spostamento nello stato finale (§4.2.4.2.1 - NTC)

x	Comb.	δ_{max}	L/125.00	Cs
cm		mm	mm	
0.0	26	2.38	16.00	6.7

Verifica spostamento elastico dovuto ai soli carichi variabili (§4.2.4.2.1 - NTC)

x	Comb.	δ_2	L/150.00	Cs
cm		mm	mm	
0.0	26	1.84	13.33	7.2

Travata: 316 [1150,1151]: L=200.0 cm, Modello =Appoggiata, Crit.Prog: Acciaio_Flessione, $\delta_c = 0.0$ cm:
Verificato

Verifica spostamento nello stato finale (§4.2.4.2.1 - NTC)

x	Comb.	δ_{max}	L/250.00	Cs
cm		mm	mm	
100.0	39	1.96	8.00	4.1

Verifica spostamento elastico dovuto ai soli carichi variabili (§4.2.4.2.1 - NTC)

x	Comb.	δ_2	L/300.00	Cs
cm		mm	mm	
100.0	39	1.42	6.67	4.7

Travata: 358 [1193,1194]: L=200.0 cm, Modello =Appoggiata, Crit.Prog: Acciaio_Flessione, $\delta_c = 0.0$ cm:
Verificato

Verifica spostamento nello stato finale (§4.2.4.2.1 - NTC)

x	Comb.	δ_{max}	L/250.00	Cs
cm		mm	mm	
100.0	39	1.96	8.00	4.1

Verifica spostamento elastico dovuto ai soli carichi variabili (§4.2.4.2.1 - NTC)

x	Comb.	δ_2	L/300.00	Cs
cm		mm	mm	
100.0	39	1.42	6.67	4.7

Travata: 400 [1277,1278]: L=200.0 cm, Modello =Appoggiata, Crit.Prog: Acciaio_Flessione, $\delta_c = 0.0$ cm:
Verificato

Verifica spostamento nello stato finale (§4.2.4.2.1 - NTC)

x	Comb.	δ_{max}	L/250.00	Cs
cm		mm	mm	
100.0	39	1.90	8.00	4.2

Verifica spostamento elastico dovuto ai soli carichi variabili (§4.2.4.2.1 - NTC)

x	Comb.	δ_2	L/300.00	Cs
cm		mm	mm	
100.0	39	1.41	6.67	4.7

Travata: 484 [1364,1363]: L=200.0 cm, Modello =Appoggiata, Crit.Prog: Acciaio_Flessione, $\delta_c = 0.0$ cm:

Verificato

Verifica spostamento nello stato finale (§4.2.4.2.1 - NTC)

x	Comb.	δ_{max}	L/250.00	Cs
cm		mm	mm	
100.0	26	-0.41	8.00	19

Verifica spostamento elastico dovuto ai soli carichi variabili (§4.2.4.2.1 - NTC)

x	Comb.	δ_2	L/300.00	Cs
cm		mm	mm	
100.0	26	-0.40	6.67	17

Travata: 268 [1066,1067]: L=200.0 cm, Modello =Appoggiata, Crit.Prog: Acciaio_Flessione, $\delta_c = 0.0$ cm:

Verificato

Verifica spostamento nello stato finale (§4.2.4.2.1 - NTC)

x	Comb.	δ_{max}	L/250.00	Cs
cm		mm	mm	
100.0	39	1.64	8.00	4.9

Verifica spostamento elastico dovuto ai soli carichi variabili (§4.2.4.2.1 - NTC)

x	Comb.	δ_2	L/300.00	Cs
cm		mm	mm	
100.0	39	1.18	6.67	5.6

Verifica spostamenti laterali delle colonne in acciaio secondo NTC 2008

Scenario di calcolo: **Set_SLV_SLD**

Simbologia:

Interp.	Interpiano
NS e NI	Nodi giacenti sulla stessa verticale, appartenenti all'impalcato j e i, rispettivamente, dell'interpiano i-j
Nodo	Nodo/i dell'ultimo impalcato
Comb	Combinazione/i di carico Rara/e più gravosa/e
SpostX sup.	Spostamento lungo x del nodo superiore per la combinazione Comb.
SpostY sup.	Spostamento lungo y del nodo superiore per la combinazione Comb.
SpostX inf.	Spostamento lungo x del nodo inferiore per la combinazione Comb.
SpostY inf.	Spostamento lungo y del nodo inferiore per la combinazione Comb.
δ	Spostamento/i orizzontale/i relativo/i di piano
Δ	Spostamento/i orizzontale/i totale/i
L/k	Limite di deformabilità (Tab. 4.2.XIII, §4.2.4.2.2 - NTC 2008)

Verifica spostamenti orizzontali relativi di piano (§4.2.4.2.2 - NTC)

Interp.	NS	NI.	Comb.	SpostX sup.	SpostY sup.	SpostX inf.	SpostY inf.	δ	h/300	Verifica
				mm	mm	mm	mm	mm	mm	
0-1	1012	12	33	0.13	1.32	0.00	0.00	1.33	15.49	Si
0-1	1013	13	33	0.12	1.32	0.00	0.00	1.33	15.49	Si
0-1	1014	14	33	0.11	1.37	0.00	0.00	1.38	15.49	Si
0-1	1015	15	33	0.10	1.47	0.00	0.00	1.47	15.49	Si
0-1	1016	16	33	0.10	1.64	0.00	0.00	1.64	15.49	Si
0-1	1017	17	33	0.09	1.94	0.00	0.00	1.94	15.49	Si
0-1	1018	18	33	0.10	2.40	0.00	0.00	2.40	15.49	Si
0-1	1019	19	33	0.10	1.93	0.00	0.00	1.94	15.49	Si
0-1	1020	20	33	0.09	1.63	0.00	0.00	1.63	15.49	Si
0-1	1021	21	33	0.08	1.46	0.00	0.00	1.46	15.49	Si
0-1	1022	22	33	0.07	1.31	0.00	0.00	1.32	15.49	Si

Verifica spostamenti orizzontali in sommità (§4.2.4.2.2 - NTC)

Nodo	Comb.	SpostX	SpostY	Δ	H/500	Verifica
		mm	mm	mm	mm	
1012	33	0.13	1.32	1.33	9.29	Si
1013	33	0.12	1.32	1.33	9.29	Si
1014	33	0.11	1.37	1.38	9.29	Si
1015	33	0.10	1.47	1.47	9.29	Si

Nodo	Comb.	SpostX	SpostY	Δ	H/500	Verifica
1016	33	0.10	1.64	1.64	9.29	Si
1017	33	0.09	1.94	1.94	9.29	Si
1018	33	0.10	2.40	2.40	9.29	Si
1019	33	0.10	1.93	1.94	9.29	Si
1020	33	0.09	1.63	1.63	9.29	Si
1021	33	0.08	1.46	1.46	9.29	Si
1022	33	0.07	1.31	1.32	9.29	Si

Il Progettista